

ALEXANDRA C. J. VON MILLER
ARCHAISCHE SIEDLUNGSBEFUNDE IN EPHEOS

TEXTBAND

FORSCHUNGEN IN EPHEOS

Herausgegeben vom

ÖSTERREICHISCHEN ARCHÄOLOGISCHEN INSTITUT

der

ÖSTERREICHISCHEN AKADEMIE DER
WISSENSCHAFTEN IN WIEN

BAND XIII/3



VERLAG DER
ÖSTERREICHISCHEN
AKADEMIE DER
WISSENSCHAFTEN

ALEXANDRA C. J. VON MILLER

Archaische Siedlungsbefunde in Ephesos

STRATIGRAFIE, BAUPHASEN, KERAMIK UND
KLEINFUNDE AUS DEN GRABUNGEN UNTER DER
TETRAGONOS AGORA

ARCHAISCHE KERAMIKFUNDE AUS
DEM THEATER UND VON DEN NORDWESTLICHEN
AUSLÄUFERN DES PANAYIRDAĞ

MIT BEITRÄGEN VON
MICHAEL KERSCHNER UND LISA BETINA

TEXTBAND



VERLAG DER
ÖSTERREICHISCHEN
AKADEMIE DER
WISSENSCHAFTEN

Angenommen durch die Publikationskommission der philosophisch-historischen Klasse der ÖAW:
Michael Alram, Bert Fragner, Hermann Hunger, Sigrid Jalkotzy-Deger, Brigitte Mazohl, Franz Rainer,
Oliver Jens Schmitt, Peter Wiesinger und Waldemar Zacharasiewicz

Veröffentlicht mit Unterstützung des
Austrian Science Fund (FWF): PUB 386-G25



Open Access: Wo nicht anders festgehalten, ist diese Publikation lizenziert
unter der Creative Commons Lizenz Namensnennung 4.0
Open access: Except where otherwise noted, this work is licensed
under a Creative Commons Attribution 4.0 Unported License. To view a copy of this licence, visit
<http://creativecommons.org/licenses/by/4.0/>

Umschlagabbildung:
Dinos mit Tierfries (Kat. 1108),
Zeichnung: Alexandra von Miller

Umschlaggestaltung:
Büro Pani; Andrea Sulzgruber

Tafelüberarbeitung und Druckvorbereitung:
Andrea Sulzgruber

Bibliografische Information der Deutschen Bibliothek
Die Deutsche Bibliothek verzeichnet diese Publikation in der Deutschen Nationalbibliografie,
detaillierte bibliografische Daten sind im Internet über <<http://dnb.ddb.de>> abrufbar.

Diese Publikation wurde einem anonymen, internationalen Begutachtungsverfahren unterzogen.

This publication was subject to international and anonymous peer review.

Peer review is an essential part of the Austrian Academy of Sciences Press evaluation process.
Before any book can be accepted for publication, it is assessed by international specialists and ultimately
must be approved by the Austrian Academy of Sciences Publication Committee.

Die verwendete Papiersorte ist aus chlorfrei gebleichtem Zellstoff hergestellt,
frei von säurebildenden Bestandteilen und alterungsbeständig.

Bestimmte Rechte vorbehalten.
ISBN 978-3-7001-7895-8
Copyright © 2019 by
Österreichische Akademie der Wissenschaften, Wien
Redaktion und Lektorat: Barbara Beck-Brandt, Eva Diana Breitfeld-von Eickstedt, Judith Kreuzer
Satz: Andrea Sulzgruber
Druck: Prime Rate, Budapest
<https://epub.oeaw.ac.at/7895-8>
<https://verlag.oeaw.ac.at>
Made in Europe

INHALT

TEIL I: TEXT

| | |
|--|-----------|
| Vorwort der Grabungsleitung | 13 |
| Vorwort der Verfasserin | 15 |
| 1 Die archaische Siedlung unter der Tetragonos Agora | 19 |
| 1.A Stratigrafie und Befunde | 19 |
| 1.A.1 Einleitung: Topografie und forschungsgeschichtlicher Überblick | 19 |
| 1.A.1.1 Topografie | 19 |
| 1.A.1.2 Forschungsgeschichtlicher Überblick | 20 |
| 1.A.2 Baubeschreibung und Befundkatalog | 20 |
| 1.A.2.1 AG Phase I | 21 |
| 1.A.2.1.1 Befundkatalog | 21 |
| 1.A.2.2 AG Phase II | 21 |
| 1.A.2.2.1 Befundkatalog | 22 |
| 1.A.2.3 AG Phase III | 23 |
| 1.A.2.3.1 Befundkatalog | 24 |
| 1.A.2.4 AG Phase IV | 27 |
| 1.A.2.4.1 Befundkatalog | 28 |
| 1.A.3 Die Bauphasen im stratigrafischen Gesamtbefund: Zusammenfassende Darstellung | 30 |
| 1.A.3.1 AG Phase I | 30 |
| 1.A.3.2 AG Phase II | 30 |
| 1.A.3.3 AG Phase III | 31 |
| 1.A.3.4 AG Phase IV | 32 |
| 1.A.3.5 Zusammenfassende Übersicht | 33 |
| 1.A.4 Tabellarische Befundaufschlüsselung | 34 |
| 1.B Die Keramik | 45 |
| 1.B.1 Forschungs- und Publikationsstand zur ostgriechischen Keramik archaischer Zeit | 45 |
| 1.B.1.1 Typologie und Chronologie | 46 |
| 1.B.1.1.1 Relative Chronologie | 46 |
| 1.B.1.1.2 Absolute Chronologie | 48 |
| 1.B.1.2 Zum Forschungsstand in Ephesos | 52 |
| 1.B.2 Methode | 53 |
| 1.B.2.1 Materialaufnahme | 53 |
| 1.B.2.2 Auswertung und Präsentation | 54 |
| 1.B.2.3 Terminologie | 56 |
| 1.B.3 Die Gefäßkeramik aus den archaischen Siedlungsbefunden in Ephesos | 57 |
| 1.B.3.1 Trinkgefäße | 57 |
| 1.B.3.1.1 Zum Stand der Fabrikatsanalysen | 57 |
| 1.B.3.1.2 Ostgriechische Kotylen | 62 |
| 1.B.3.1.3 Vogelschüsseln | 75 |
| 1.B.3.1.4 Kalottenschalen | 77 |
| 1.B.3.1.5 Knickrandskyphoi | 82 |

| | | |
|------------|---|-----|
| 1.B.3.1.6 | Knickrandschalen | 85 |
| 1.B.3.1.7 | Schalen mit ausgebogenem Rand | 99 |
| 1.B.3.1.8 | Tassen | 100 |
| 1.B.3.1.9 | Kantharoi | 107 |
| 1.B.3.1.10 | Chiotische Trinkgefäße | 108 |
| 1.B.3.1.11 | Trinkgefäße lydischen Typs | 109 |
| 1.B.3.2 | Mischgefäße | 110 |
| 1.B.3.2.1 | Kratere | 110 |
| 1.B.3.2.2 | Dinoi | 114 |
| 1.B.3.2.3 | Orientalisierende Mischgefäße | 116 |
| 1.B.3.2.4 | Nordionisch-schwarzfigurige Mischgefäße | 119 |
| 1.B.3.3 | Tiefe Schüsseln | 120 |
| 1.B.3.4 | Serviergefäße | 123 |
| 1.B.3.4.1 | Schüsseln | 123 |
| 1.B.3.4.2 | Teller | 136 |
| 1.B.3.4.3 | Deckel | 149 |
| 1.B.3.5 | Schankgefäße | 152 |
| 1.B.3.5.1 | Kännchen | 152 |
| 1.B.3.5.2 | Kannen | 156 |
| 1.B.3.6 | Vorrats- und Transportgefäße | 175 |
| 1.B.3.6.1 | Amphoren der Feinkeramik | 175 |
| 1.B.3.6.2 | Schulterhenkelamphoren | 177 |
| 1.B.3.6.3 | Haushaltsamphoren/Hydrien | 178 |
| 1.B.3.6.4 | Handels- und Transportamphoren | 190 |
| 1.B.3.6.5 | Stamnoi | 212 |
| 1.B.3.6.6 | Eimer | 212 |
| 1.B.3.7 | Küchenwaren | 213 |
| 1.B.3.7.1 | Gefäße für die Nahrungszubereitung | 213 |
| 1.B.3.7.2 | Kochgefäße | 216 |
| 1.B.3.7.3 | Küchengerätschaften | 224 |
| 1.B.3.8 | Speichergefäße | 226 |
| 1.B.3.8.1 | Pithoi | 226 |
| 1.B.3.9 | Lampen | 227 |
| 1.B.3.10 | Salbgefäße | 229 |
| 1.B.3.10.1 | Ringaskoi | 229 |
| 1.B.3.10.2 | Lekythoi | 230 |
| 1.B.3.10.3 | Amphoriskoi | 230 |
| 1.B.3.10.4 | Tiegel | 231 |
| 1.B.3.10.5 | Pyxiden | 231 |
| 1.B.3.11 | Flaschen | 231 |
| 1.B.3.12 | Omphalosschalen | 232 |
| 1.B.3.13 | Miniaturgefäße | 233 |
| 1.B.3.13.1 | Hydriskoi | 233 |
| 1.B.3.13.2 | Offene Formen | 233 |
| 1.B.3.14 | Keramische Sonderformen | 234 |
| 1.B.3.14.1 | Stopfen/Spielsteine | 234 |
| 1.B.3.14.2 | Spinnwirtel | 234 |
| 1.B.3.14.3 | Netzgewichte | 234 |
| 1.B.3.15 | Korinthische Importkeramik | 235 |
| 1.B.3.15.1 | Trinkgefäße | 235 |
| 1.B.3.15.2 | Schankgefäße | 238 |
| 1.B.3.15.3 | Aryballoi | 240 |

| | | |
|------------|--|-----|
| 1.B.3.15.4 | Anderes | 240 |
| 1.B.3.16 | Attische Importkeramik und attisierende Gefäße | 241 |
| 1.B.3.16.1 | Schalen | 241 |
| 1.B.3.16.2 | Geschlossene Gefäße | 241 |
| 1.B.4 | Zusammenfassende Diskussion des Gefäßensembles | 242 |
| 1.B.5 | Baukeramik | 249 |
| 1.C | Die Kleinfunde | 251 |
| 1.C.1 | Metallfunde | 251 |
| 1.C.1.1 | Bronze | 251 |
| 1.C.1.1.1 | Trachtbestandteile | 251 |
| 1.C.1.1.2 | Schmuck | 252 |
| 1.C.1.1.3 | Waffen | 253 |
| 1.C.1.1.4 | Objekte unbestimmter Funktion | 255 |
| 1.C.1.2 | Eisen | 255 |
| 1.C.1.2.1 | Waffen/Nutzgerät | 255 |
| 1.C.1.2.2 | Anderes | 256 |
| 1.C.2 | Andere Kleinfunde | 256 |
| 1.C.2.1 | Elfenbein | 256 |
| 1.C.2.1.1 | Trachtbestandteile | 256 |
| 1.C.2.1.2 | Anderes | 257 |
| 1.D | Die Kontexte | 258 |
| 1.D.1 | Absolute Chronologie der Bauphasen: Stratigrafie und Keramik | 258 |
| 1.D.1.1 | AG Phase I | 258 |
| 1.D.1.1.1 | Holzpfostenbau VZ | 258 |
| 1.D.1.2 | AG Phase II | 258 |
| 1.D.1.2.1 | Mauersockel AZ 10 | 258 |
| 1.D.1.2.2 | Mauersockel AZ 9 (Gebäude PB) | 259 |
| 1.D.1.2.3 | Ovalbau OB | 259 |
| 1.D.1.2.4 | Holzpfostenbau VG | 260 |
| 1.D.1.2.5 | Mauern AZ 1 und AZ 2 | 260 |
| 1.D.1.2.6 | Gebäude UB | 261 |
| 1.D.1.2.7 | Gebäude XB | 261 |
| 1.D.1.3 | AG Phase III | 262 |
| 1.D.1.3.1 | Mauern AZ 6/AZ 11/AZ 12 (Gebäude YB) | 262 |
| 1.D.1.3.2 | Rechteckiger Bau NB | 263 |
| 1.D.1.3.3 | Kalkmergelbau KMB | 264 |
| 1.D.1.3.4 | Zweiräumiger Bau MB | 264 |
| 1.D.1.3.5 | Rechteckiges Gebäude KB | 265 |
| 1.D.1.3.6 | Rechteckiges Gebäude BZ | 265 |
| 1.D.1.3.7 | Töpfereibetrieb | 266 |
| 1.D.1.4 | AG Phase IV | 266 |
| 1.D.1.4.1 | Haushofkomplex HA-West | 266 |
| 1.D.1.4.2 | Gebäudeflucht HA-Ost 1 | 267 |
| 1.D.1.4.3 | Raumkonstellation HA-Ost 2 | 268 |
| 1.D.1.5 | Zusammenfassung | 269 |
| 1.D.2 | Die Keramik im Kontext: Annäherung an eine funktionale Analyse | 269 |
| 1.D.2.1 | Die Fundensembles der Agora-Siedlung: Regelfall und Sonderphänomene | 270 |
| 1.D.2.1.1 | Der Ovalbau OB und die Siedlung der AG Phase II | 271 |
| 1.D.2.1.2 | Das zweiräumige Gebäude MB, der Kalkmergelbau KMB und die Siedlung der AG Phase III | 276 |

| | | |
|------------|---|-----|
| 1.D.2.1.3 | Der Töpfereibetrieb und die Siedlung der AG Phase III ... | 279 |
| 1.D.2.1.4 | Der ziegelgedeckte Raum HA 6 und der Haushof- komplex HA-West | 280 |
| 1.D.2.2 | Diskussion | 283 |
| 1.D.3 | Die Siedlungsbefunde unter der Tetragonos Agora: Zusammenfassende Darstellung | 287 |
| 1.E | Typochronologie | 289 |
| 1.E.1 | Eine chronologische Gefäßtypologie für das archaische Ephesos | 289 |
| 1.E.1.1 | Die Keramik der AG Phase I: 730/700–675/670 v. Chr. | 289 |
| 1.E.1.2 | Die Keramik der AG Phase IIa+b: 675/670–660/650 v. Chr. | 289 |
| 1.E.1.3 | Die Keramik der AG Phase IIIa+b: 650–600 v. Chr. | 294 |
| 1.E.1.4 | Die Keramik der AG Phase IV: 600–550/530 v. Chr. | 299 |
| 1.E.2 | Zusammenfassung | 305 |
| 2 | Geometrische und archaische Keramikfunde aus dem Theater und aus den Grabungen der 1920er Jahre am nordwestlichen Ausläufer des Panayırdağ | 309 |
| 2.A | Geometrische und archaische Keramik aus dem Theater von Ephesos | 310 |
| 2.A.1 | Grabung und Kontext | 310 |
| 2.A.2 | Die Keramik | 312 |
| 2.A.2.1 | Trinkgefäße | 312 |
| 2.A.2.1.1 | Ostgriechische Kotylen | 312 |
| 2.A.2.1.2 | Kalottenschalen | 312 |
| 2.A.2.1.3 | Knickrandschalen | 314 |
| 2.A.2.1.4 | Schalen mit ausgebogenem Rand | 314 |
| 2.A.2.1.5 | Tassen | 315 |
| 2.A.2.1.6 | Chiotische Trinkgefäße | 316 |
| 2.A.2.2 | Mischgefäße | 316 |
| 2.A.2.3 | Serviergefäße | 318 |
| 2.A.2.3.1 | Schüsseln | 318 |
| 2.A.2.3.2 | Teller | 319 |
| 2.A.2.3.3 | Deckel | 320 |
| 2.A.2.4 | Schankgefäße | 320 |
| 2.A.2.4.1 | Kännchen | 320 |
| 2.A.2.4.2 | Kannen | 320 |
| 2.A.2.5 | Vorrats- und Transportgefäße | 321 |
| 2.A.2.5.1 | Amphoren der Feinkeramik | 321 |
| 2.A.2.5.2 | Haushaltsamphoren/Hydrien | 322 |
| 2.A.2.5.3 | Transportamphoren | 323 |
| 2.A.2.5.4 | Stamnoi | 323 |
| 2.A.2.6 | Küchenwaren | 323 |
| 2.A.2.7 | Lampen | 324 |
| 2.A.2.8 | Salbgefäße | 324 |
| 2.A.2.8.1 | Ringaskoi | 324 |
| 2.A.2.8.2 | Aryballoi | 324 |
| 2.A.2.8.3 | Lekythoi | 325 |
| 2.A.2.8.4 | Pyxiden | 325 |
| 2.A.2.9 | Miniaturgefäße | 325 |
| 2.A.2.10 | Korinthische Importkeramik | 325 |
| 2.A.2.11 | Attische Importkeramik und attisierende Gefäße | 325 |
| 2.A.2.11.1 | Schalen | 325 |
| 2.A.2.11.2 | Geschlossene Gefäße | 326 |
| 2.A.3 | Diskussion | 326 |

| | |
|---|-----|
| 2.B Geometrische und archaische Keramik vom nordwestlichen Ausläufer des Panayırdağ (mit Beiträgen von M. Kerschner) | 329 |
| 2.B.1 Grabung und Kontext | 329 |
| 2.B.1.1 Dokumentationslage | 329 |
| 2.B.1.2 Fundauswahl | 330 |
| 2.B.2 Die Keramik | 331 |
| 2.B.2.1 Trinkgefäße | 331 |
| 2.B.2.1.1 Ostgriechische Kotylen | 331 |
| 2.B.2.1.2 Vogelschüsseln | 334 |
| 2.B.2.1.3 Kalottenschalen | 334 |
| 2.B.2.1.4 Knickrandskyphoi | 337 |
| 2.B.2.1.5 Knickrandschalen | 337 |
| 2.B.2.1.6 Tassen | 338 |
| 2.B.2.1.7 Kantharoi (M. Kerschner) | 340 |
| 2.B.2.2 Mischgefäße | 341 |
| 2.B.2.2.1 Geometrische/subgeometrische Mischgefäße | 341 |
| 2.B.2.2.2 Archaische Mischgefäße | 343 |
| 2.B.2.2.3 Orientalisierende Mischgefäße | 344 |
| 2.B.2.2.4 Nordionisch-schwarzfigurige Mischgefäße | 347 |
| 2.B.2.3 Tiefe Schüsseln | 350 |
| 2.B.2.4 Serviergefäße | 350 |
| 2.B.2.4.1 Schüsseln | 350 |
| 2.B.2.4.2 Teller | 352 |
| 2.B.2.4.3 Deckel | 354 |
| 2.B.2.5 Schankgefäße | 354 |
| 2.B.2.5.1 Kännchen | 354 |
| 2.B.2.5.2 Kannen | 355 |
| 2.B.2.6 Vorrats- und Transportgefäße | 357 |
| 2.B.2.6.1 Amphoren der Feinkeramik | 357 |
| 2.B.2.6.2 Haushaltsamphoren/Hydrien | 358 |
| 2.B.2.6.3 Transportamphoren | 359 |
| 2.B.2.7 Küchenwaren | 361 |
| 2.B.2.8 Speichergefäße | 362 |
| 2.B.2.9 Lampen | 363 |
| 2.B.2.10 Keramische Sonderformen | 363 |
| 2.B.2.11 Keramik lydischen Typs aus den Grabungen von Josef Keil (M. Kerschner) | 363 |
| 2.B.2.11.1 Ovoide Kotylen | 364 |
| 2.B.2.11.2 Schulterhenkelamphoren des Myrina-Typs | 380 |
| 2.B.2.11.3 Teller der ›Marbled ware‹ | 384 |
| 2.B.2.11.4 Lydische Keramik oder Keramik lydischen Typs: Zur Frage der Terminologie | 386 |
| 2.B.2.12 Korinthische Importkeramik | 393 |
| 2.B.2.13 Zypriotische Importkeramik | 394 |
| 2.B.3 Diskussion | 394 |
| 3 Das archaische Ephesos im Spiegel Ioniens | 403 |
| 3.A Das chronologische Typenspektrum im kontextuellen Vergleich mit ionischen Fundplätzen | 403 |
| 3.A.1 Milet | 403 |
| 3.A.2 Assesos | 405 |
| 3.A.3 Samos | 407 |

| | |
|--|-----|
| 3.A.4 Smyrna | 410 |
| 3.A.5 Klazomenai | 412 |
| 3.A.6 Chios | 413 |
| 3.A.7 Zusammenfassung | 414 |
| 3.B Das archaische Ephesos und die keramische Kultur ionisch geprägter Zentren am Schwarzen Meer und in Ägypten | 416 |
| 3.B.1 Istros und die ionischen Niederlassungen im Schwarzmeerraum | 416 |
| 3.B.2 Naukratis | 419 |
| 3.B.3 Zusammenfassung | 419 |
| 3.C Die Siedlungskeramik als Reflex der kulturellen und wirtschafts- geschichtlichen Prägung des archaischen Ephesos: Zusammenfassende Darstellung und Ausblick | 421 |
| 4 Petrographic evaluation of selected Geometric and Archaic vessels: identifying imports and defining Ephesian reference groups (<i>L. Betina</i>) | 425 |
| 4.A Introduction | 425 |
| 4.B Aims of the analytical programme | 426 |
| 4.C Petrographic descriptions and interpretation | 428 |
| 4.D Discussion | 457 |
| 4.D.1 The composition of ceramics from Ephesos in the first half of the 1 st millennium B.C. | 457 |
| 4.D.2 A local reference group? Pottery from the Archaic kiln on the Tetragonos Agora | 458 |
| 4.D.3 Geochemical differentiation of fine-grained petrofabrics | 459 |
| 4.D.4 Varieties of Ephesian petrofabrics and shape repertoire | 466 |
| 4.D.5 On the provenance of imported vessels | 467 |
| 4.E Conclusion | 471 |
| 5 Zusammenfassung/Summary/Özet | 473 |
| 5.A Zusammenfassung | 473 |
| 5.B Summary | 475 |
| 5.C Özet | 478 |
| 6 Verzeichnisse | 481 |
| Abgekürzt zitierte Literatur | 481 |
| Abkürzungen in Text und Katalog | 508 |
| Abkürzungen zur Bezeichnung der Baustrukturen | 508 |
| Abkürzungen bei Inventarnummern | 508 |
| Verfasser/-innen von Zeichnungen, Umzeichnungen und Fotografien | 508 |
| Abbildungsnachweis | 509 |
| Tafelabbildungen | 509 |
| Textabbildungen | 531 |

TEIL II: KATALOG

| | |
|---|-----|
| Erläuterungen zum Katalog | 7 |
| Agora-Siedlung | 9 |
| Theater | 309 |
| ›Keil-Grabung‹ am Nordwestabhang des Panayırdağ 1926/1927/1929 | 341 |

TEIL III: TAFELN

Plantafeln 1–31

Keramiktafeln 1–215

Fototafeln 1–24

Chronologische Typentafeln 1–8

VORWORT DER GRABUNGSLEITUNG

Eine konzise Forschungsstrategie für Ephesos zu entwickeln, bedeutete von Anfang an teamorientierte Grabungsleitung und eine Aufteilung der Kompetenzen, da aufgrund der Komplexität des Forschungsobjekts eine Vernachlässigung wichtiger Aspekte sowie eine Zersplitterung in nicht kohärente Einzelprojekte drohte. Diese Schwachstelle der Grabung Ephesos war in der Vergangenheit oft kritisiert worden und sollte sich nicht wiederholen. Es war daher logisch, die Verantwortung über die Erforschung des vorhellenistischen Ephesos an einen Experten abzutreten, und ich bin Michael Kerschner, meinem langjährigen Weggefährten, sehr dankbar, dass er diese herausfordernde und bisweilen belastende Funktion übernommen hat.

Die nun vorliegende Arbeit von Alexandra von Miller über die archaische Keramik von der Tetragonos Agora und anderen griechischen Siedlungsplätzen in Ephesos ist, neben den zahlreichen wegweisenden Arbeiten des Projektleiters Michael Kerschner, ein erster großer Wurf, ein Meilenstein in der Forschungsgeschichte von Ephesos. Die Arbeit basiert auf Ausgrabungen auf der Tetragonos Agora unter der Leitung von Gerhard Langmann und später Peter Scherrer, wobei es der Autorin gelungen ist, die Stratigrafie zu verfeinern und durch ihre minutiöse Aufarbeitung des keramischen Fundmaterials die ursprünglichen Datierungsvorschläge teilweise zu korrigieren. Betont werden muss, dass trotz der flächenmäßig geringen Ausdehnung der Grabung die archaische Siedlung unter der Tetragonos Agora in Ephesos bislang die feinste relativchronologische Gliederung im archaischen Ionien erlaubt.

Durch die Einbeziehung archaischer Keramik aus dem Theater sowie von Material aus Grabungen im Bereich des Vediusgymnasiums und des Stadions, die schon unter Josef Keil und Franz Miltner in den Jahren 1926–1929 erfolgten, konnte das Spektrum erweitert, neu hinzugekommenes kombiniert und dadurch ein Gesamtbild des archaischen Ephesos gewonnen werden. Den Ausgangspunkt dieser Studie bietet eine von Alexandra von Miller verfasste, an der Universität Wien approbierte und von der Dr. Maria Schaumayer-Stiftung ausgezeichnete Dissertation, die überarbeitet und mit Beiträgen von Lisa Betina (vormals Peloschek) und Michael Kerschner erweitert wurde.

Das umfangreiche Werk stellte sowohl die Redaktion am ÖAI als auch den Verlag der Österreichischen Akademie der Wissenschaften vor große Herausforderungen. Dafür sei den Teams unter Barbara Beck-Brandt und Thomas Jentzsch sehr herzlich gedankt. Die Drucklegung war nur mit einer unterstützenden Finanzierung durch den FWF möglich, der auch für die Open Access-Stellung Sorge trug.

Es ist der vorliegenden Studie zu verdanken, dass nun auch anhand der materiellen Kultur die enge kulturelle Verschränkung von Heiligtum und Siedlung(en) deutlich wird. Stratigrafie und Kontext waren die Grundlage für weitreichende Schlussfolgerungen, die unser Bild über das archaische Ephesos nachhaltig verändern werden.

Sabine Ladstätter
Stanford, Jänner 2019

VORWORT DER VERFASSERIN

Die archaische Epoche steht seit Beginn der Ausgrabungen in der zweiten Hälfte des 19. Jahrhunderts im Fokus der archäologischen Forschungstätigkeiten in Ephesos. Tatsächlich war es die Suche nach dem bei Antipatros von Sidon als eines der sieben Weltwunder überlieferten spät-klassischen Artemistempel, der im Kern auf einen archaischen Vorgängerbau zurückgeht, welche im Jahre 1863 die erste archäologische Expedition unter der Leitung von John Turtle Wood nach Ephesos führte. Damit wurde eine mittlerweile über hundertfünfzigjährige Grabungstradition in Ephesos initiiert, mit der seit seiner Gründung im Jahre 1898 das Österreichische Archäologische Institut betraut ist. Die Frühzeit von Ephesos blieb seither, wie es zahlreiche Aufsätze und Monografien belegen, stets im Blickpunkt der Forschung, wenngleich der archäologische Quellenbestand abseits des Artemisions zunächst wenig umfangreich und für eine Interpretation schwer verwertbar blieb.

Diese Situation erfuhr in den Jahren 1987–1996 eine entscheidende Wende, als es im Zuge der Ausgrabungen im Bereich der Tetragonos Agora gelang, eine mehrere Bauphasen umfassende archaische Siedlung zu lokalisieren und in Teilen freizulegen. Die Arbeiten fanden zunächst unter der Leitung von Gerhard Langmann statt und lagen seit 1992 in der Verantwortung von Peter Scherrer, der im Jahre 2006 im Rahmen dieser Publikationsreihe erste vorläufige, gleichwohl grundlegende Ergebnisse zur Stratigrafie, Bebauung und Chronologie der archaischen Siedlung vorlegte (FiE 13, 2). Damit eröffnete sich nicht nur ein neuer Zugang in der bis zum heutigen Tage teils kontrovers geführten Diskussion um die historische Topografie des frühen Ephesos, sondern es war zugleich erstmals die Voraussetzung gegeben, auf Basis einer stratigrafisch verankerten und repräsentativen Materialmenge generelle Informationen zur Entwicklung des archaischen Ephesos am Beispiel der Siedlung unter der Tetragonos Agora zu gewinnen und die in seiner jenseits des sakralen Ambientes im Artemisheiligtum materiellen Kultur zutage tretenden charakteristischen Merkmale herauszuarbeiten.

Diese letztgenannten Informationen soweit als möglich vorzustellen ist das Ziel des vorliegenden Bandes, der sich in seinem ersten Teil (Kapitel 1) eingehend mit den archaischen Siedlungsbefunden unter der Tetragonos Agora auseinandersetzt und dabei unterschiedlichen Fragestellungen chronologischer, typologischer und funktionaler Natur Rechnung zu tragen bemüht ist. Dies geschieht in einer kontextuellen Analyse, in deren Rahmen die bereits vom Ausgräber Peter Scherrer vorgestellte Grabungsstratigrafie, welche im Zuge der Auswertung verfeinert werden konnte, sowie auch bautypologische Überlegungen zu den Siedlungsstrukturen gemeinsam mit dem vergesellschafteten Fundmaterial berücksichtigt werden. Dabei ist zu betonen, dass ohne die vorbildliche und umfassende Grabungsdokumentation eine Auswertung der teilweise sehr komplexen und aufgrund der Grabungssituation vor Ort auch ausschnitthaften Stratigrafie nicht hätte erfolgreich verlaufen können. Gleichwohl liegt das Hauptaugenmerk ausdrücklich auf der Fundkeramik, weshalb die vorliegende Arbeit in erster Linie als keramische Materialstudie verstanden sein möchte.

Um das Profil des archaischen Ephesos auch abseits der Agora-Siedlung weiter zu schärfen, werden zwei zur archaischen Siedlung teilweise parallel datierende Materialkomplexe in die Überlegungen einbezogen und in Relation zu der Siedlung unter der Tetragonos Agora diskutiert (Kapitel 2).

Die Fundkeramik aus dem Bereich des späteren Vedioseum zählte mit zu den ältesten Grabungsfunden aus Ephesos, die von einer Beschäftigung mit der frühen ephesischen Siedlungstopografie zeugen. Sie wurde bereits in den 1920er Jahren geborgen, als Josef Keil und Franz Miltner zu Füßen des nordwestlichen Abhangs des Panayırdağ nach Hinweisen auf

die ›altepheische‹ Siedlung suchten. Diese Hinweise auf eine Aktivität vorklassischer Zeit blieben jedoch auf die hier erstmals vollständig vorgelegte Gefäßkeramik beschränkt, während tatsächliche Siedlungsstrukturen nicht angetroffen wurden. Die archaische Fundkeramik aus den Bauniveaus des Theaters von Ephesos birgt in ihrer stratigrafischen Verortung in nacharchaischen Schichtniveaus ebenfalls wenige Anhaltspunkte, doch erweitert sie in ihrer typologischen Bandbreite den von der Lebensdauer der Agora-Siedlung vorgegebenen chronologischen Rahmen und vermag somit unsere Kenntnis um die materielle Kultur bis in die spätarchaische Zeit maßgeblich zu erweitern.

Gemeinsam vermitteln die keramischen Hinterlassenschaften aller drei in diesem Band thematisierten ephesischen Fundstellen einen wenn auch ausschnitthaften, so doch umfangreichen und aufgrund der Materialmenge repräsentativen Einblick in den in Ephesos vom späten 8. bis in das ausgehende 6. Jahrhundert vertretenen Gefäßbestand, der zu einem Vergleich mit anderen Fundorten des ionischen Kulturraumes anregt (Kapitel 3). Mit der hiermit vorgestellten Materialbasis wird es erstmals möglich, Gemeinsamkeiten des archaischen Ephesos mit benachbarten Zentren aufzuzeigen, Unterschiede festzustellen und lokale Phänomene zu benennen. In diesem Zusammenhang muss besonders auf die Ergebnisse der von Lisa Betina an ausgewähltem Material durchgeführten petrografischen und geochemischen Analysen verwiesen werden (Kapitel 4), welche die archäologische und fabrikatstypologische Interpretation des Fundbestands mit archäometrischen Daten hinterlegen und somit auf eine verbindliche Grundlage stellen.

Es liegt in der Natur dieser Arbeit und ihres inhaltlichen Rahmens, dass viele Themenkreise und Fragestellungen zwar angesprochen und in Bezug auf die neu vorgestellte Materialevidenz angeschnitten, nicht aber in die erforderliche Tiefe verfolgt werden können. Dies muss zukünftigen Forschungsvorhaben vorbehalten bleiben. Der Anspruch dieses Bandes bleibt es jedoch, die nunmehr erweiterte archäologische Quellenlage zum archaischen Ephesos vorzustellen, wesentliche Informationen und Daten verfügbar und nutzbar zu machen sowie eine positive Argumentationsgrundlage bereitzustellen, auf die mögliche anschließende Arbeiten zu jenen weiterführenden Spezialthemen, die hier nur angesprochen werden konnten, aufbauen können.

Die vorliegende Materialstudie geht in ihrem Kern auf meine Dissertation über die archaischen Siedlungsbefunde von Ephesos zurück. Diese wurde, auch dank der finanziellen Unterstützung durch das vom Österreichischen Bundesministerium für Wissenschaft und Forschung am Österreichischen Archäologischen Institut in Wien vergebene Stipendium für Archäologie sowie des vom Landesamt für Bildung und Kultur, Abteilung für Hochschulförderung, Universität und Forschung der Autonomen Provinz Bozen/Südtirol zuerkannten Studienstipendiums für Postgraduale Ausbildungen im Jahre 2013 an der Universität Wien zum Abschluss gebracht. Die inhaltliche Überarbeitung des Textes zum Zweck der Publikation erfolgte im Wesentlichen noch im Laufe desselben Jahres, weshalb nach 2013 erschienene Literatur nur bedingt in das Publikationsmanuskript eingearbeitet werden konnte. Für das Vertrauen, das mir von Sabine Ladstätter, Direktorin des Österreichischen Archäologischen Instituts und Grabungsleiterin von Ephesos, und insbesondere von Michael Kerschner, Leiter der Forschungsvorhaben zum vorhellenistischen Ephesos, entgegengebracht wurde, als sie mich mit der Aufgabe betrauten, das hier vorgelegte Material aus den Agora-Grabungen und aus den Grabungen J. Keils zu bearbeiten, habe ich ebenso zu danken wie für die bereitwillig gewährte, allfällige Unterstützung während meiner wiederholt langen Aufenthalte in Ephesos sowie für die wohlwollende akademische Betreuung meiner Arbeit. Alice Waldner danke ich für die freundliche Übergabe des archaischen Materials aus den von der Österreichischen Akademie der Wissenschaften durchgeführten Theatergrabungen. Sabine Ladstätter gilt darüber hinaus mein besonderer Dank für ihre Unterstützung des hiermit zum Abschluss gebrachten Publikationsvorhabens.

Meinen Mitautoren an diesem Buch, Michael Kerschner und Lisa Betina, sei für ihre Bereitschaft gedankt, trotz mannigfacher anderer Verpflichtungen zu dem guten Gelingen der Publikation beizutragen und diese mitzutragen. Michael Kerschner brachte dankenswerterweise sein fundiertes Wissen über die Keramik lydischen Typs ein; Lisa Betina hat sich um die archäometrische Analyse der Keramik und deren Auswertung verdient gemacht und die archäologische Materialstudie damit um eine unverzichtbare Dimension ergänzt.

Eine Reihe weiterer Personen hat zum glücklichen Abschluss des hier publizierten Forschungsvorhabens beigetragen. Bei der Materialaufnahme durfte ich mich auf die unschätzbare Hilfe der Restauratorinnen Mihrican Eser, Silvia Kalabis und Didem Taner verlassen; Niki Gail hat sich der fotografischen Dokumentation und Druckvorbereitung der publikationsrelevanten Gefäße angenommen. Jana Ulrich und Ireen Kowalleck danke ich für die uneigennützig gewährten helfenden Handgriffe, die mich in der Endphase der Materialdokumentation wesentlich entlastet haben. Besonderen Dank schulde ich des Weiteren Isabella Benda-Weber und Lilli Zabrana, die mir bei der Einsichtnahme in die umfangreiche Grabungsdokumentation zu den Agora-Grabungen hilfreich zur Seite standen; ein Teil der Profilpläne wurde dankenswerterweise von Peter Scherrer ausgewählt und zur Bearbeitung zur Verfügung gestellt. Vor dem Beginn meiner Beschäftigung mit dem Material wurde die Aufarbeitung der archaischen Keramikfunde aus den Grabungen unter der Tetragonos Agora vom Fonds zur Förderung der wissenschaftlichen Forschung (FWF) durch das Projekt P 11032 (Projektleitung P. Scherrer, Ausführende W. Mayr, M. Kerschner) gefördert, in dessen Rahmen ein Teil der hier vorgelegten Keramik erstmals aufgenommen und in unterschiedlicher Ausführlichkeit dokumentiert werden konnte (Zeichnungen stammen von K. Bernhardt, L. Betina, M. Kerschner, B. Konnemann, W. Mayr und U. Winkler). Für die freundliche Übergabe der bestehenden Dokumentation danke ich Michael Kerschner, Alice Waldner danke ich für das Überlassen der Dokumentation zur Keramik aus den Theatergrabungen (Zeichnungen stammen von M. Gessl). Alice Waldner und Martin Hofbauer sei darüber hinaus aufrichtig für die vorab großzügig gewährte Einsichtnahme in ihre sich in Publikationsvorbereitung befindlichen Manuskripte zu Stratigrafie und Keramik aus den Theatergrabungen gedankt.

Die Profil- und Planzeichnungen stammen von Gabriele Erath, Türkan Gedik, Gertrud Gruber, Karin Koller, Christian Maier, Peter Scherrer, Charlotta Scheich, Feriştah Soykal, Elisabeth Trinkl und Ute Winkler. Die Digitalisierung der Profilzeichnungen und Phasenpläne wurde von Martin Hofbauer und im Besonderen von Isabella Benda-Weber angefertigt. Die topografischen Übersichtspläne wurden freundlicherweise von Michael Kerschner zur Verfügung gestellt. Die Zusammenfassung haben dankenswerterweise Neşe Kul-Berndt in die türkische und Sarah Cormack in die englische Sprache übertragen. Barbara Beck-Brandt, mit Unterstützung von Diana Breitfeld und Judith Kreuzer, ist für die umsichtige Redaktion und das Lektorat des Manuskriptes zu danken.

Zahlreiche Kolleginnen und Kollegen haben im Laufe der Materialauswertung und Manuskripterstellung mit wertvollen Hinweisen und dem großzügig gewährten Einblick in noch unveröffentlichte Manuskripte zur Klärung vieler Unsicherheiten und zur Vermeidung mancher Fehler beigetragen. Für ihre Diskussionsbereitschaft sei daher Christoph Baier, Lisa Betina, Iulian Birzescu, Martin Hofbauer, Ivonne Kaiser, Ireen Kowalleck, Mark Lawall, Cornelis Neeft, Nadine Panteleon, Udo Schlotzhauer, Alexander Vacek, Alexandra Villing und Alice Waldner aufrichtig gedankt. Michael Kerschner bin ich schließlich nicht allein für die inhaltlichen Diskussionen und kritischen Anmerkungen zu meiner Arbeit verpflichtet – ohne die über viele Kampagnen ermöglichte Mitarbeit an seinen Projekten in Ephesos, Milet und Teos wäre die vorliegende Studie nicht denkbar gewesen.

Dem Verlag der Österreichischen Akademie der Wissenschaften sei für die Aufnahme der Studie in sein Programm, dem ÖAI und dem FWF für die Finanzierung von Druckvorbereitung und Druck gedankt. Den mir nicht bekannten Gutachterinnen und Gutachtern danke ich für ihre positive Stellungnahmen, die dies ermöglicht haben.

Alexandra von Miller
Halle (Saale), Juni 2019

1 DIE ARCHAISCHE SIEDLUNG UNTER DER TETRAGONOS AGORA

1.A STRATIGRAFIE UND BEFUNDE

1.A.1 Einleitung: Topografie und forschungsgeschichtlicher Überblick

1.A.1.1 TOPOGRAFIE

Die Tetragonos Agora von Ephesos erstreckt sich als im Grundriss quadratische, seit dem 1. Jahrhundert n. Chr. von zweischiffigen Säulenhallen allseitig umfasste Platzanlage im Zwickel der beiden das Stadtbild prägenden Hügel Bülbüldağ und Panayırdağ. In der heutigen Ruinenlandschaft liegt sie zwischen dem Theater im Norden und der Celsusbibliothek im Süden eingebettet westlich der Marmorstraße (Plantaf. 1. 2)¹. Seit der Neugründung der Stadt unter Lysimachos im beginnenden 3. Jahrhundert v. Chr.² lag hier der Handelsmarkt von Ephesos, dessen Bezeichnung mit »Tetragonos Agora« spätestens seit der frühen Kaiserzeit zweimal in Inschriften belegt ist³, und der auch nach den Erdbebenzerstörungen im 4. nachchristlichen Jahrhundert in dieser Funktion bis in das 7. Jahrhundert n. Chr. erhalten blieb⁴.

Die hellenistische Agora stellte nicht die erste Bebauung dieses Areals dar. Ihr war eine sich über mehrere Bauphasen erstreckende Siedlung vorausgegangen, die bei Grabungen in den Jahren 1987–1996 unter der Westflanke der Agora in einem Ausschnitt von etwa 370 m² Fläche freigelegt wurde (Plantaf. 2). Die Ausgräber G. Langmann und P. Scherrer haben diese Ansiedlung mit der erstmals bei dem Dichter Kallinos im mittleren 7. Jahrhundert v. Chr. überlieferten Siedlung Smyrna identifiziert, deren Lage auch bei Strabon in der Tradition des Dichters Hipponax beschrieben wird⁵. Geoarchäologische Untersuchungen im Bereich der Tetragonos Agora zeugen von der Lage der Siedlung in unmittelbarer Nähe zu der im Norden verlaufenden zeitgenössischen Küstenlinie an einer durch die Ausläufer des Bülbüldağ und des Panayırdağ gebildeten Meeresbucht⁶. Dieser Hanglage ist ein kontinuierlicher Anstieg der Siedlungsniveaus in südliche Richtung geschuldet. Für das Ende der Siedlung machen die Ausgräber tektonische Veränderungen verantwortlich, welche das Absacken des bebauten Geländes um bis zu 1 m und einen daraus resultierenden Anstieg des Meeres- und Grundwasserspiegels auf Höhe des Siedlungsniveaus zur Folge hatten⁷, der einer klassischen Nachnutzung im tiefst gelegenen Bereich entgegengestanden haben dürfte, während eine solche in der südlichen Hanglage nachgewiesen werden konnte⁸.

¹ Zur Lage der Tetragonos Agora in der urbanen Topografie von Ephesos vgl. Scherrer – Trinkl 2006, 336 f. Plan 1–3. Zur topografischen Situation in archaischer Zeit s. insbesondere auch Scherrer – Trinkl 2006, 60 f.

² Strab. 14, 640. 646.

³ Zu den inschriftlichen Zeugnissen s. Scherrer – Trinkl 2006, 11 f. Abb. 15. 16.

⁴ Ein ausführlicher Überblick zu der baugeschichtlichen Entwicklung der Tetragonos Agora ist bei Scherrer – Trinkl 2006, 13–57 nachzulesen.

⁵ Vgl. dazu Langmann 1993; Scherrer – Trinkl 2006, 60 f.; Scherrer 2007, 331. Zur literarischen Überlieferung s. Strab. 11, 505; 12, 550; 14, 633. 634. Vgl. auch Akurgal 1983, 11 f.

⁶ Zu den Ergebnissen der geoarchäologischen Untersuchungen im Bereich der Agora-Siedlung vgl. Brückner 1997, 44 f.; Kraft u. a. 2000, 189. 210 f. Taf. 6; 224 f. Taf. 13; Kraft u. a. 2005, 149 f. s. auch Langmann 1993; Scherrer – Trinkl 2006, 61; Scherrer 2007, bes. 330–333; Stock u. a. 2014.

⁷ Dazu Langmann 1993, 284; Scherrer – Trinkl 2006, 64. 148.

⁸ s. dazu Scherrer – Trinkl 2006, 69–164.

1.A.1.2 FORSCHUNGSGESCHICHTLICHER ÜBERBLICK

Seit die archäologischen Forschungstätigkeiten in Ephesos im Laufe des 19. Jahrhunderts ihren Anfang genommen hatten, galt der Tetragonos Agora ein wiederkehrendes Interesse⁹, das zu Beginn des 20. Jahrhunderts in der Publikation der Anlage durch W. Wilberg einen ersten Höhepunkt erfuhr¹⁰. In den 1960er Jahren wurde die Erforschung der Tetragonos Agora zunächst vom Efes Müzesi in Selçuk wieder aufgenommen und mündete seit den 1970er Jahren in systematische Grabungen des Österreichischen Archäologischen Instituts, die im Jahr 2001 ihren einstweiligen Abschluss fanden¹¹.

Für die archaische Siedlung unter der Tetragonos Agora waren die Grabungskampagnen der Jahre 1987–1996, die zunächst unter der Leitung von G. Langmann, seit 1993 unter der von P. Scherrer standen, von maßgeblicher Relevanz. Die fortschreitenden Erkenntnisse aus diesen Grabungen wurden in zusammenfassenden Grabungsberichten regelmäßig veröffentlicht¹². Eine ausführliche Darstellung und Illustration der vorläufigen Grabungsergebnisse auf Basis der Baubefunde und der daraus ableitbaren Phasengliederung der archaischen Siedlung wurde zuletzt in der Reihe »Forschungen in Ephesos« vorgelegt¹³; die älteste Bauphase konnte von M. Kerschner anhand ausgewählter Funde in das beginnende 7. Jahrhundert datiert werden¹⁴. Daneben gelangten weitere Gefäßfragmente im Zusammenhang gesonderter Fragestellungen zur Publikation¹⁵. Eine umfassende und kontextuelle Vorlage der Funde und Befunde aus der archaischen Siedlung unter der Tetragonos Agora, welche als Grundlage nicht nur einer chronologischen Einordnung der Ansiedlung und ihrer Phasen dienen könnte, stand bisher allerdings noch aus und ist eine der wesentlichen Zielsetzungen der vorliegenden Arbeit.

1.A.2 Baubeschreibung und Befundkatalog

Die Grabungen der Jahre 1987–1996 unter der Westflanke der Tetragonos Agora berührten, in unterschiedlicher Vollständigkeit, 20 Gebäude bzw. Gebäudekomplexe archaischer Zeit, die sich in ihrem stratigrafischen Verhältnis zueinander mehreren aufeinanderfolgenden Phasen zuweisen lassen¹⁶. Die Benennung der einzelnen Siedlungsobjekte in diesem Band übernimmt die Bezeichnungen von Scherrer – Trinkl 2006¹⁷, die bei Bedarf dem neuen Kenntnisstand angepasst wurden. Die Beschreibung der einzelnen Siedlungsobjekte erfolgt innerhalb der einzelnen Siedlungsphasen von Westen nach Osten und von Norden nach Süden; eine Übersicht über die materialführenden Befunde zu den einzelnen Strukturen ist in der tabellarischen Befundaufschlüsselung (s. Kap. 1.A.4) einzusehen. Aufgrund der dichten Überbauung späterer Epochen¹⁸ konnte die archaische Siedlung nicht flächig in der gesamten Ausdehnung des Grabungsareals erfasst werden. Eine weitere Schwierigkeit ergab sich durch den Umstand, dass die Ausgrabung der ältesten, tiefst gelegenen Horizonte teilweise durch das dort anstehende Grundwasser beeinträchtigt war.

⁹ Ein ausführlicher forschungsgeschichtlicher Überblick ist bei Scherrer – Trinkl 2006, S. XI; 1–9 nachzulesen.

¹⁰ Wilberg 1923, 1–90.

¹¹ Scherrer – Trinkl 2006, 6–9.

¹² Vgl. die Grabungsberichte Langmann 1988; Langmann 1989; Langmann 1990; Langmann 1991/1992; Langmann – Scherrer 1993; Scherrer 1994; Scherrer 1996; Scherrer 1997.

¹³ Scherrer – Trinkl 2006, 61–64. 70 f. s. zusammenfassend auch Scherrer 1999, 385–387 und Scherrer 2007, 330–333. Zur vorläufigen Datierung der Bauphasen s. auch Kerschner u. a. 2000.

¹⁴ s. Kerschner 2003a, 51–58. Zur Datierung der Phasen vgl. außerdem Kerschner u. a. 2000, 47 f.

¹⁵ Vgl. Benda 1991; Kerschner 1997b; Kerschner u. a. 2000; Kerschner 2002a–i; Kerschner – Mommsen 2005; Kerschner 2007. Weitere archaische Keramikfunde vom Südtor der Tetragonos Agora wurden von Gassner 1997, 25–36 vorgelegt.

¹⁶ Vgl. dazu auch die Ausführungen bei Scherrer – Trinkl 2006, 61–64.

¹⁷ Vgl. dazu Scherrer – Trinkl 2006, S. XXVIII.

¹⁸ Vgl. Scherrer – Trinkl 2006, Faltplan 1.

1.A.2.1 AG PHASE I

Die erste Bauphase (Plantaf. 3) ist im Grabungsareal an nur einer Stelle mit Sicherheit nachzuweisen und manifestiert sich durch nur wenige Kulturreste, welche im Umfeld einiger zugehöriger Pfostenlöcher und einer grubenförmigen Feuerstelle am natürlich gewachsenen Bodenniveau (›Kalkrotlehm‹) auflagen. Ein gelbes Lehmniveau stellt den Nutzungshorizont dieser ältesten Phase dar. Es wurde vom Schotterboden des in der Nachfolgephase AG Phase II darüber errichteten Gebäudes VG versiegelt und ist daher mit Sicherheit als eine diesem stratigrafisch vorangehende Nutzung erkennbar.

1.A.2.1.1 Befundkatalog

Holzpfostenbau VZ (Plantaf. 18, 20, Profil HA 8/7, HA 8/13)

Überreste einer Struktur im westlichen Bereich des Areals, bestehend aus wenigen Pfostenlöchern, Kulturresten und einem gelben Lehm Boden mit grubenförmig abgesenkter Feuerstelle über dem natürlich anstehenden Boden.

1.A.2.2 AG PHASE II

Direkt oberhalb des natürlich gewachsenen Bodens (›Kalkrotlehm‹) bzw. oberhalb der Befunde der AG Phase I schließt eine Bebauung in Steinarchitektur an, die nun über das gesamte ausgegrabene Areal verstreut fassbar ist (Plantaf. 4, 5). Die Mauersockel der Gebäude dieser ältesten Steinbauphase wurden aus Konglomeratgestein gefügt, über welchem aus gelben Lehmziegeln errichtete Wände rekonstruiert werden. Schotterböden und/oder zumeist gelbe Lehmstampfböden bildeten die den Mauersockeln zugehörigen Gehniveaus, wobei nicht immer klar ersichtlich ist, ob die Schotterböden eine den Lehmstampfböden vorangehende Bauperiode anzeigen, ob die Schotterniveaus als das unebene Gelände ausgleichender homogener Unterbau zu den Lehm Böden als eigentliches Gehniveau der AG Phase II zu werten sind, oder aber ob beide Bodenvarianten parallel in Verwendung waren und weniger Ausdruck einer chronologischen Abfolge denn einer architektonischen Diversität sind. Nur für das Gebäude VG lässt sich anhand der stratigrafisch aufeinanderfolgenden Bodenniveaus eine Zweiphasigkeit des Gebäudes im Baubefund belegen. Dachziegel konnten der AG Phase II nicht zugeordnet werden, weshalb von mit organischem Material gedeckten Dächern auszugehen ist. Wie für die Vorgängerphase AG Phase I sind auch für diese erste Steinbauphase Holzpfostenstellungen nachgewiesen, die wohl im Zusammenhang mit der Dachkonstruktion der Gebäude zu interpretieren sind. Von den neun der AG Phase II zugehörigen Mauerstrukturen lassen sich drei zu einräumigen Gebäuden mit rechteckigem Grundriss (VG, UB, XB) und eine (OB) zu einem Ovalbau ergänzen. Die nur sehr partiell angeschnittenen Mauerzüge AZ 1, AZ 2, AZ 10 und AZ 9 (PB) können nicht zu Gebäuden rekonstruiert werden; ihr gerader Verlauf lässt jedoch auf weitere rechteckige Grundrisse schließen.

Die Siedlung der AG Phase II fiel einer im gesamten Areal fassbaren Brandzerstörung zum Opfer, die M. Kerschner nach einer ersten Sichtung der Keramik zwischen 680 und 660 v. Chr. eingeordnet hat¹⁹ und für die der Ausgräber P. Scherrer vorsichtig einen Zusammenhang mit dem von Kallinos bezeugten Einfall der Kimmerier andachte²⁰. Die Befundsituation kann eine solche Deutung indes nicht verifizieren; der Materialbestand aus den Niveaus, welche die Brandzerstörung angeben, liefert keinerlei konkrete Indizien für eine kriegerische Auseinandersetzung²¹.

¹⁹ Vgl. Kerschner u. a. 2000; Kerschner 2003a, 58.

²⁰ Vgl. Scherrer – Trinkl 2006, 62; Scherrer 2007, 331 sowie die Überlieferung bei Strab. 14, 648. Zu dieser Episode s. auch Kerschner 2017c, 39–42.

²¹ Vgl. im Gegensatz dazu etwa die Fundzusammensetzung in den Zerstörungsbefunden des späten 7. Jhs. in Smyrna bei Cook 1958/1959, 23–25 und des mittleren 6. Jhs. in Sardeis bei Cahill 2010e, 483, 486 mit weiterführender Lit.

1.A.2.2.1 Befundkatalog

AZ 10 (Plantaf. 30, Profil NB 1. NB 2. NB 4)

Ost-West orientierte Konglomeratsteinmauer im Nordwesten des Grabungsareals, läuft unter die westliche Grabungsgrenze. Dem Mauerstück ist ein Feinschotterhorizont als Gehniveau zugeordnet, das sich südlich des Mauerabschnitts erstreckt und in dem sich Pfostengruben und Pfostenlöcher abzeichnen. Das Gehniveau liegt über einer die Unebenheiten des natürlich gewachsenen Bodens (›Kalkrotlehm‹) ausgleichenden, lehmigen bis kieseligen Schicht unterschiedlicher Stärke. Die Pfostengrube im Profil NB 4 ist der Struktur AZ 10 zugeordnet. Aus dem Profil geht hervor, dass der untere Teil des ursprünglich sich darin befindlichen Holzpfostens beim Brand am Ende der AG Phase II zunächst erhalten geblieben und von dem Zerstörungsschutt der Struktur umschlossen worden war, ehe der Pfostenstumpf bei der Einplanierung des Geländes im Zuge der Nachfolgebauung entfernt und die entstandene Grube verfüllt wurde.

VG (Plantaf. 18–20, Profil HA 8/3. HA 8/6. HA 8/7. HA 8/12. HA 8/13)

Einräumiges Gebäude im westlichen Bereich der Siedlung mit Konglomeratsteinsockel in rechteckigem Grundriss, OK zwischen ca. –0,33 bis –0,06 m. Ausdehnung ca. 4,80 × 3,25 m; die Nordmauer ist teilweise ausgerissen. Baustratigrafisch liegt ein zweigeteilter Innenboden vor, bestehend aus einem die Kulturschicht der Vorgängerphase überlagernden, kompakten Schotterboden, in dem neben weiteren Vertiefungen drei kreisrunde Pfostenlöcher (Dm ca. 30 cm; UK –0,33 m, –0,19 m, –0,09 m) annähernd in der mittleren Längsachse des Gebäudes eingebracht sind. Diese können mit großer Wahrscheinlichkeit der Dachkonstruktion der Schotterbodenphase zugeordnet werden. Der baustratigrafisch jüngere, gelbe Lehm Boden verfüllt diese Pfostenlöcher und Vertiefungen (Profil HA 8/7. HA 8/12. HA 8/13), die in der AG Phase IIb damit außer Funktion kamen. Die Niveaus des Raumes HA 8 der AG Phase IV schließen teilweise direkt an diesen gelben Lehm Boden der AG Phase IIb an (Plantaf. 16. 18, Profil HA 8/1+4. HA 8/3).

AZ 1 (Plantaf. 15. 16, Profil HA 7/1. HA 7/2)

Ost-West orientierte Konglomeratsteinmauer südwestlich von VG, läuft unter die westliche Grabungsgrenze, OK max. ca. 0,04 m. Das Mauerstück wird vom Innenboden des Raumes HA 7 (Profil HA 7/1) und der Nord-Süd orientierten Trennmauer zwischen den Räumen HA 7 und HA 8 (Profil HA 7/2) überlagert. Nördlich der Mauer konnte in einem kleinen Bereich ein gelber Lehm Boden mit einer zugehörigen Feuerstelle freigelegt werden.

AZ 2

Ost-West orientierte Konglomeratsteinmauer südöstlich von AZ 1, OK max. ca. 0,19 m. Der Mauer sind der Ausschnitt eines gelben Lehm Bodenniveaus und Überreste von gelben Lehmziegeln des Wandaufbaus (Lehmversturz) zugehörig. Die Bauniveaus in Raum HA 8 (AG Phase IV) überlagern die spärlichen Befunde.

AZ 9 (PB) (Plantaf. 9. 10. 12, Profil HA 1/1. HA 1/2. HA 3/1. HA 3/4. HA 5/3)

Ost-West orientierte Konglomeratsteinmauer unmittelbar südlich der nördlichen Grabungsgrenze. Südlich der Mauer schließt ein dreiteilig aufgebautes Gehniveau (Boden im Gebäudeinneren [?]) am natürlich gewachsenen Boden (›Kalkrotlehm‹) an. Über einer ausgleichenden Schotterschicht (Profil HA 3/1) ist ein gelber Lehmhorizont aufgebracht, der im Zuge der Ausgrabung Abdrücke eines Holzplankenbodens zeigte. Östlich davon bleibt das Gehniveau (als dem Gebäude zugehöriges Außenniveau [?]) auf einen Schotterhorizont beschränkt (Profil HA 1/1). Der Wandaufbau bestand aus gelben Lehmziegeln, in deren Versturz die zeitlich nachfolgenden Gebäude eingrei-

fen, wie dies besonders mit der Baugrube der MB 2-Nordmauer sichtbar wird (Profil HA 3/1). Die teils sehr massiven Verstürzschichten im Umfeld von AZ 9 lassen vermuten, dass sie im Zuge der Einplanung für die Nachfolgebebauung mit jenen der südlich weiter hangaufwärts liegenden Gebäude (OB und UB) vermengt wurden.

OB (Plantaf. 9–12, 21, 25, Profil HA 1/1, HA 5/1, HA 5/2, HA 5/2a, HA 5/3, HA 5a, HA 9/4, HA 9/11)

Ovalbau im Zentrum des ergrabenen Bereichs südlich der Mauer AZ 9 mit teils ausgerissenem Konglomeratsteinsockel, OK max. –0,20 m im Norden und 0,15 m im Süden; Ausdehnung ca. 6,5 × 4 m. Der Wandaufbau bestand aus hell- bis mittelbraunen Lehmziegeln mit kleinen Kalkbröckchen (Lehmversturz). Im Gebäudeinneren, dessen Stratigrafie im Grundwasser stark gestört war, konnte nur an einer Stelle im Süden des Gebäudes eine dünne Schotterschicht als Bodenniveau nachgewiesen werden (Profil HA 9/4). Daneben lassen sich im Westen von OB ein Lehmboden (Profil HA 5/2) sowie östlich von OB ein Schotterboden (Profil HA 1/1) als Außenniveaus über dem natürlich anstehenden Terrain (>Kalkrotlehm<) nachweisen.

UB (Plantaf. 21–25, Profil HA 9/4, HA 9/6, HA 9/7, HA 9/10, HA 9/11)

Einräumiges Gebäude südlich von OB mit Konglomeratsteinsockel in rechteckigem Grundriss; Ausdehnung ca. 5,10 × 3,60 m. Vom Gebäude haben sich bis auf den Mauersockel und den verstürzten Lehmziegelaufbau im Zerstörungsschutt keine weiteren Befunde der Bau- und Nutzungsphase erhalten.

XB (Plantaf. 26–29, Profil HA 11/7, HA 11/9, HA 11/10a+b, HA 11/13, HA 11/19)

Einräumiges Gebäude mit Konglomeratsteinsockel in rechteckigem Grundriss, verläuft bis unter die östliche Grabungsgrenze; Mauer-OK zwischen ca. 0,13 m im Süden und ca. 0,07 bis –0,08 m im Norden, Gesamtlänge ca. 7,20 m. Baustratigrafisch zweigeteiltes Bodenniveau aus einer den natürlich gewachsenen Boden (>Kalkrotlehm<) ausgleichenden Schotterschicht und einem darüber aufgetragenen roten Lehmhorizont (Profil HA 11/9, HA 11/10a+b, HA 11/19), der sich vor allem außerhalb der nördlichen Begrenzungsmauer als vorgelagertes Außenniveau (OK ca. –0,12 m) ohne Schotterunterbau nachweisen lässt (Profil HA 11/10a+b).

1.A.2.3 AG PHASE III

Bald nach dem Zerstörungsbrand erfolgte der Wiederaufbau der Siedlung (Plantaf. 6, 7) über dem einplanierten Zerstörungsschutt der Vorgängerphase. Die Architektur der AG Phase III zeichnet sich durch stabilere und höher gebaute Mauersockel aus; nur im Gebäude KMB fanden anstelle des Konglomeratgesteins sorgfältig gesetzte Kalkmergelplatten Verwendung²². Die aufgehenden Wände sowie die Innenböden wurden nun vornehmlich aus rotem Lehm gefügt; vor allem für die Außenniveaus sind darüber hinaus auch weiterhin Schotter- oder Kleinsteinhorizonte nachgewiesen. Die meisten Gebäude der AG Phase III wurden im Verhältnis zu jenen der AG Phase II versetzt angelegt und lassen sich nun in ein regelmäßigeres Bebauungssystem einfügen. Es sind ausschließlich rechteckige Grundrisse fassbar (NB, MB, KMB, BZ, KB), wobei mit MB erstmals ein zweiräumiges Gebäude nachzuweisen ist, dessen langrechteckiger Hauptraum MB 1 den Ovalbau OB überlagert. Es ist auffallend, dass damit auch in der AG Phase III ein gegenüber den zeitgleichen Bauten architektonisch hervorgehobenes Gebäude im selben Bereich der Sied-

²² Dieses Baumaterial ist bislang vor allem von den vorkreiszeitlichen Anlagen im Artemision bekannt. s. dazu Scherrer 1999, 385 f.; Scherrer – Trinkl 2006, 62 Anm. 39; zuletzt Kerschner – Prochaska 2011, 77–91. s. auch Kerschner 2017c, 34, 43 f.

lung lokalisiert ist. Stratigrafisch können zumindest für die Bauten NB, KMB und MB mehrere Bauperioden innerhalb der AG Phase III nachgewiesen werden. Bei NB zeigt sich dies durch zwei, bei KMB durch drei übereinanderliegende Bodenniveaus, im Gebäude MB erfolgte in einem sekundären Bauvorgang die Schließung des Vorraumes MB 2 nach Osten hin. Im Laufe der AG Phase III war die Siedlung mit dem Gebäude BZ in südliche Richtung hangaufwärts erweitert worden, wobei dieses Gebäude durch gewerbliche Anlagen klassischer Zeit massiv gestört wurde²³. Die architektonischen Merkmale verankern BZ noch deutlich in AG Phase III, die zugehörigen Baubefunde datieren jedoch später als die der übrigen Gebäude (s. Kap. 1.D.1.3) und unterstreichen damit eine innere Untergliederung der AG Phase III, wie sie auch im Baubefund der Gebäude NB, MB und KMB deutlich wird.

Im Ostteil der ausgegrabenen Siedlungsfläche befand sich über dem Vorgängerbau XB ein handwerklich genutztes Areal. Dieses ist anhand eines Töpferofens, mehrerer begleitender Gruben und eines Pithos fassbar. Die Einrichtung der Töpferwerkstatt erfolgte wie die des Gebäudes BZ während einer jüngeren Subphase innerhalb der AG Phase III, die sich auch in der stratigrafischen Bauabfolge des östlichen Grabungsbereichs erschließt. Dem Töpfereibetrieb ging in der AG Phase III das nur noch anhand der Mauerstücke AZ 6 und AZ 12 wahrscheinlich zu machende Gebäude YB voraus. Die nördliche Begrenzungsmauer AZ 12 des Gebäudes YB wurde auf Höhe der Nordwestecke der älteren XB-Mauer durchschlagen, um den Töpferofen einzubauen. Damit ist die Mauer AZ 12 eindeutig älter als der Töpfereibetrieb und sicher nicht in einem Zusammenhang mit den Hofhäusern der AG Phase IV zu sehen, wie der Ausgräber P. Scherrer dies in seinem vorläufigen Bericht noch vorgeschlagen hatte, als er AZ 12 als nördliche Begrenzungsmauer des Raumes HA 11a der AG Phase IV ansprach²⁴. Nördlich von AZ 12 lag auf demselben Niveau, welches die Zerstörung des Vorgängerbaus XB definiert, die Steinbank AZ 11 auf, welche in die Nordmauer von XB eingreift und wohl parallel zu dem Gebäude YB (AZ 6 und 12) bestanden haben dürfte. In der äußersten Nordostecke des Grabungsareals lag schließlich das nur in seiner südwestlichen Ecke ausgegrabene Gebäude KB (BK), dessen Baugrube in die Niveaus der AG Phase II eingreift und das Gebäude damit ebenfalls in der AG Phase III verankert. Die Aufgabe der Siedlung der AG Phase III erfolgte planmäßig und ging mit einer Niveauerhöhung für die Nachfolgebebauung einher.

1.A.2.3.1 Befundkatalog

NB (Plantaf. 30, 31, Profil NB 1, NB 2, NB 4, NB 6, NB 7, NB 9)

Gebäude mit Konglomeratsteinsockel in leicht trapezoidem Grundriss in der nordwestlichen Ecke des ergrabenen Areals, läuft bis unter die westliche Grabungsgrenze; B ca. 4,3 m, L 4,5 m. Maueraufbau aus grau- bis rotbraunen Lehmziegeln mit etwas Feinschotter (Lehmversturz). Der rote Lehm Boden im Gebäudeinneren weist partiell einen darüber aufgetragenen Belag aus Grünschiefersplitt auf, das östlich vorgelagerte Außenniveau ist von einem Kleinsteinboden (Profil NB 6, NB 7) gekennzeichnet. Beide Gelniveaus innerhalb und außerhalb von NB liegen über einer Sand-Schotter-Bettung (Profil NB 2, Profil NB 4). Nahe der westlichen Grabungsgrenze lag innerhalb von NB eine aus Kalkmergelplatten gefügte, eckige Herdstelle (Profil NB 1, NB 2, NB 9), für die der Ausgräber P. Scherrer eine Position in der ursprünglichen Raummitte vorschlug, weshalb er für das gesamte Gebäude eine Ausdehnung von annähernd 4,3 × 5,5 m/6 m rekonstruierte²⁵.

²³ Vgl. dazu Scherrer – Trinkl 2006, 69–71.

²⁴ Scherrer – Trinkl 2006, 63 Plan 19 b. Vgl. auch Scherrer 2007, 331.

²⁵ Scherrer – Trinkl 2006, 63. Vgl. dazu auch die zentral gelegenen Herde in den archaischen Raumeinheiten in Azoria auf Kreta bei Haggis u. a. 2007, 275, 281, 288 Abb. 23, 28; Haggis u. a. 2011, 47, 54 Abb. 28.

KMB (Plantaf. 13–17. 19, Profil HA 6/1. HA 6/2. HA 6/3. HA 6/6. HA 6/7. HA 6/9. HA 6/10. HA 6/11. HA 8/1+4. HA 8/2. HA 8/8a)

Einräumiges Gebäude südlich von NB mit aus Kalkmergelplatten gefügtem Mauersockel in rechteckigem Grundriss; Ausdehnung ca. $4,85 \times 4,15$ m. Wandaufbau aus dunkelbraunen Lehmziegeln, versetzt mit Kalkbröckchen und vegetabilen Häckseln (Lehmversturzt). Der über einer ausgleichenden, teils mit Schotter versetzten Schicht gelegene rote Lehmstampfboden lässt mindestens drei baustratigrafische Phasen erkennen, wobei für die beiden obersten Bodenniveaus Feuerstellen nachgewiesen sind. Ein Grubenherd (Profil HA 6/7) gehört der zweiten Lehmboodenphase an, bestand aber möglicherweise schon in der ersten Lehmboodenphase. Dem jüngsten Gehorizont ist eine Feuerstelle zugeordnet, die sich als Aschenbelag an seiner Oberkante abzeichnete (Profil HA 6/9). Ein Schotterhorizont definiert das Niveau des schmalen Ganges zwischen dem Kalkmergelbau KMB und dem zweiräumigen Gebäude MB (Profil HA 6/10) sowie das westliche Außenniveau (Profil HA 6/1). Im Gebäude KMB konnte keine explizite Zerstörungsschicht erkannt werden.

BZ²⁶

Gebäude im äußersten Süden des Grabungsareals, mit rechteckigem Grundriss. Erhalten sind die Südostecke sowie die ausgerissene Nord-Süd-Flucht der aus Konglomeratgestein gesetzten Mauer; L ca. 6,70 m/7 m; Mauerbreite ca. 0,54 m, OK ca. 0,90 m, UK ca. 0,35 m. Ein roter Lehmbooden, ca. 5 cm stark nördlich der Südmauer und bis zu 15 cm stark bei dem die Mauer störenden Brunnen klassischer Zeit bezeichnet das zugehörige Gehniveau, das nach Norden hin der Hangneigung folgend abfällt (Boden-OK ca. 0,85 m bis auf 0,60/0,50 m). Die Stratigrafie ist durch die gewerbliche Nachfolgenutzung klassischer Zeit stark gestört²⁷.

MB 1/2 (Plantaf. 9–12. 15. 25, Profil HA 1/1. HA 1/2. HA 2/1. HA 3/1. HA 3/4. HA 5a. HA 5/1. HA 5/2. HA 5/2a. HA 5/3. HA 5/8. HA 5/11. HA 6/10. HA 9/11)

Zweiräumiges Gebäude mit Konglomeratsteinsockeln in rechteckigem Grundriss; Ausdehnung $10,2 \times 5,2$ m, davon der Hauptraum MB 1 mit $6,8 \times 4,3$ m und der Vorraum MB 2 mit $2,2 \times 5,2$ m. Wandaufbau aus sandigen, mittel- bis rötlich braunen Lehmziegeln mit Kalkeinschlüssen. Beide Räume zeigen einen roten Stampflehmbooden (Profil HA 2/1. HA 3/1. HA 5/2. HA 5/2a). In MB 2 überlagert der Lehmbooden die ältere Mauer AZ 9 und deren zugehörigen Zerstörungsschutt (Profil HA 3/1. HA 3/4. HA 5a), in den die Baugrube der MB 2-Nordmauer deutlich eingreift (Profil HA 3/1). Die Mauern sowie Bau- und Nutzungsniveaus des Hauptraumes MB 1 überlagern die Mauerreste und den einplanierten Zerstörungsschutt des Ovalbaus OB (Profil HA 5/8). Im Zentrum von MB 1 ist ein annähernd kreisförmiger Grubenherd (Dm ca. 70/76 cm) in den Lehmbooden eingetieft, der in seinem westlichen Abschnitt eine Schotterverfüllung, in seinem östlichen Abschnitt eine kalkhaltige Lehmverfüllung aufwies (Profil HA 5/1). Das Zentrum des Herdes, dessen Unterkante bis unter den Grundwasserspiegel hinabreichte, wird von einer Aschenschicht eingenommen. Der Grubenherd ist von mehreren Vertiefungen und Pfostenlöchern umgeben (Profil HA 5/1. HA 5/2); je eine Pfostengrube befindet sich im Nordosten (Dm ca. 24/25 cm; UK $-0,30$ m) und im Südwesten (Dm ca. 14/15 cm; UK $-0,34$ m). Das östliche Außenniveau zum Gebäude MB besteht aus einem Schotterhorizont (Profil HA 1/1. HA 1/2), der schmale Gang, welcher MB im Westen von KMB trennt, weist ebenfalls ein Schotterniveau auf (Profil HA 6/10). Im Vorraum MB 2 ist mit der sekundär eingesetzten Mauer oberhalb des Bodenniveaus, welches in der AG Phase IIIa den Vorraum an den östlich vorgelagerten Hof anschloss, eine Umbauphase deutlich zu erkennen (Profil HA 5/3. HA 2/1).

²⁶ s. die Profile bei Scherrer – Trinkl 2006, 354 Plan 20; 358 Profil 1; 359 Profil 4.

²⁷ Vgl. dazu Scherrer – Trinkl 2006, 70–72.

KB (Plantaf. 27. 29. 30, Profil HA 11/10a+b. HA 11/19. KB 1. KB 2. KB 3. KB 4)

Gebäudeecke einer Struktur mit rechteckigem Grundriss in der nordöstlichen Ecke des Grabungsareals. Die erhaltene Südwestecke (OK ca. 0,20 m) ist aus Kalkquadersteinen gefügt, der Maueraufbau erfolgte in gelben Lehmziegeln (Lehmversturzt). Das zugehörige Gehniveau ist inner- und außerhalb des Gebäudes als Schotterhorizont nachgewiesen, der sich über einer älteren Zerstörung (XB) erstreckt. Dieses Bodenniveau teilt sich das Gebäude KB mit dem südlich anschließenden Töpfereibetrieb (Profil HA 11/10a+b) und dem Hof im Westen (Profil KB 2. KB 3). Die südliche Baugrube von KB greift in die nördlichen Außenniveaus des älteren Gebäudes XB ein (Profil HA 11/10a+b).

AZ 11 (Plantaf. 27, Profil HA 11/10a+b)

Ost-West orientierte Mauer/Steinbank im Osten des Grabungsareals, läuft unter die östliche Grabungsgrenze; OK ca. 0,05–0,07 m. Die Steinbank sitzt über dem Zerstörungsniveau des Gebäudes XB auf und ist dessen Nordmauer vorgelagert oder greift teilweise in diese ein²⁸. Der Steinbank konnten keine Befunde direkt zugeordnet werden. Baustratigrafisch steht sie jedoch in einem Zusammenhang mit dem Gebäude YB (AZ 6 und AZ 12).

AZ 6 und AZ 12 (YB) (Plantaf. 26–29, Profil HA 11/1. HA 11/8. HA 11/10a+b. HA 11/16. HA 11/19. HA 11/21)

Das Gebäude YB ist über zwei Mauerabschnitte, AZ 6 und AZ 12, wahrscheinlich zu machen. Die Nord-Süd orientierte Mauer AZ 6 (OK ca. 0,31 m) liegt im südöstlichen Bereich der Grabung und läuft unter die südliche Grabungsgrenze, die Ost-West orientierte Mauer AZ 12 (OK ca. 0,30 m im Osten bis 0,25 m im Westen) liegt leicht versetzt zu der Nordmauer des Gebäudes XB auf dessen Zerstörungsniveau etwa gleichauf mit der Steinbank AZ 11 und läuft unter die östliche Grabungsgrenze. Beide Mauerabschnitte sind aus Konglomeratsteinen im Baustil der AG Phase III gefügt, der Wandaufbau erfolgte in gelben Lehmziegeln (Lehmversturzt).

Einwandfrei zugehörige Horizonte waren nur im südlichen Bereich bei AZ 6 (Profil HA 11/1. HA 11/16. HA 11/21) festzustellen, wo für die archaische Zeit keine unmittelbare Vorgänger- bzw. Nachfolgebebauung stattfand. Dabei hat es den Anschein, als ob auch das Gebäude YB einer Brandzerstörung zum Opfer gefallen sein könnte, die es aber nur partiell berührte und nicht die gesamte Bebauung der AG Phase III. Eine Vermischung der AZ 6-zeitlichen Befunde mit jenen der einplanierten Vorgängerphase des nordöstlich gelegenen, älteren Gebäudes XB wird man aufgrund der Hangneigung in nördliche Richtung eher ausschließen dürfen, jedoch ist eine AG Phase II-zeitliche und damit AZ 6 vorangehende Bebauung hangaufwärts jenseits des ausgegrabenen Areals in Betracht zu ziehen, deren Zerstörungsschutt mit den Niveaus von AZ 6 vermischt sein könnte.

Weniger klar ersichtlich ist hingegen die Situation im nördlichen Bereich des Gebäudes YB mit seiner Nordmauer AZ 12. Diese setzt unmittelbar auf dem einplanierten Zerstörungsschutt des Vorgängerbaus XB auf (Profil HA 11/8. HA 11/10a+b. HA 11/19), doch bleibt die Situation im Gebäudeinneren gerade auch im Hinblick auf die handwerklichen Aktivitäten des nachfolgenden Töpfereibetriebs unklar. Nur im westlichen Abschnitt der Mauer AZ 12 ist ein nördlich vorgelagerter Schotterhorizont als dem Gebäude YB zugehöriges Außenniveau erkennbar (Profil HA 11/19).

²⁸ Vgl. dazu Scherrer – Trinkl 2006, Faltpfan 1.

Töpfereibetrieb (Plantaf. 27–29, Profil HA 11/8. HA 11/10a+b. HA 11/14a+b. HA 11/19)

Wirtschaftshof im Osten des Grabungsareals, bestehend aus einem in den Boden (OK ca. –0,06 m) eingelassenen Pithos, einem Töpferofen mit Schürkanal und begleitenden Werkgruben. Den Schotterbodenhorizont teilt sich der Töpfereibetrieb mit dem niveaugleich gelegenen Gebäude KB im Norden (Profil HA 11/10a+b). Der Töpferofen durchbricht mit der Mauer AZ 12 die Nordmauer zum wahrscheinlichen Gebäude YB und ist damit nachzeitig (Profil HA 11/08); im nördlichen Bereich liegt der Schürkanal des Ofens auf einer kompakten Schotterbank auf, welche den Steinversturz der Mauer AZ 12 überlagert (Profil HA 11/19). Im Zwickel zwischen AZ 12 und der östlichen Grabungsgrenze liegt als weitere Einrichtung des Töpfereibetriebs ein Pithos (Keramiktaf. 85; Fototaf. 11), der bis auf Höhe der Zierleiste in ein Schotterbodenniveau eingetieft war (Profil HA 11/14a+b), woraus hervorgeht, dass hierin das aktuelle Bodenniveau zur Zeit der Nutzung des Pithos vorliegt.

1.A.2.4 AG PHASE IV

Nach Aufgabe der Siedlung und der Töpferwerkstatt der AG Phase III wurden über dem einplanierten Bau- und Kulturschutt zwei mehrräumige Hauskomplexe mit Innenhöfen errichtet, die in Teilen ihre Vorgängerstrukturen noch berücksichtigten, deren Mauerfluchten als Fundamente weiter nutzten und sich an einer gemeinsamen nördlichen Abschlussmauer orientierten (Plantaf. 8). Die Bodenhorizonte bestehen nun einheitlich aus über einer Lehmbettung aufgetragenen Schotterniveaus.

Im westlichen Bereich der archaischen Siedlung unter der Tetragonos Agora bildeten die rechteckigen Raumeinheiten HA 6, HA 7 und HA 8 gemeinsam mit dem Hof HA 4 den Gebäudekomplex HA-West. Die nördliche Hofbegrenzung fußt auf der Nordmauer des Vorgängerbaus NB und auch der Raum HA 6 baut auf dem Gebäude KMB aus AG Phase III auf und erweitert dessen Ausdehnung nach Westen, während die Trennmauer zwischen den langrechteckigen Räumen HA 7 und HA 8 die Flucht der Westmauer des Gebäudes VG aus der AG Phase II aufgreift. Die Ostmauer von Raum HA 8 verläuft nicht parallel dazu, sondern ist leicht in westliche Richtung verzogen, sodass HA 8 einen trapezförmigen Grundriss bildet. Diese Abweichung der Fluchten erklärte P. Scherrer schlüssig mit der Berücksichtigung der im Osten anschließenden, wohl etwas früher errichteten Gebäudekomplexe und dem Bedürfnis, den Hof HA 4 durch eine schmale Gasse zugänglich zu machen, die auf einer Breite von 0,60 m/0,90 m zwischen den beiden Hofhäusern verläuft²⁹.

Östlich von HA-West liegen elf rechteckige Räumlichkeiten, die P. Scherrer zu dem Hauskomplex HA-Ost zusammengefasst hat. Die westliche Raumflucht dieses Hauses, die hier unter HA-Ost 1 angeführt sein soll, steht in einem direkten Zusammenhang mit den Gebäuden MB und UB der Vorgängersiedlungen in AG Phase II und III, deren Mauerfluchten weiter genutzt wurden. Die Nord-Süd-Fluchten des Vorraumes MB 2 wurden jedoch leicht nach Westen versetzt und durch eine eingezogene Binnenmauer entstand ein zweiräumiger Vorbau (HA 3 und HA 2) zu dem Hauptraum HA 5, der sich wiederum direkt auf den Vorgängerbau MB 1 bezieht. Im Süden von Raum HA 5 schließt mit HA 9 ein leicht trapezförmiger Raum an, der das südlich vorgelagerte Areal einschließlich des Gebäudes UB aus der AG Phase II in den Hauskomplex einbezieht. Während die zu dem Hauptraum HA 5 gehörigen Horizonte durch die Einplanung der hellenistischen Zeit bis auf einen kleinen Rest des Schotterbodens vollständig verloren sind, zeichnen sich in den kleinen Räumen HA 2 und HA 3 sowie im östlich vorgelagerten Hof HA 1 mit den zugehörigen Schotterböden wie im Hofhaus HA-West die Nutzungsniveaus deutlich ab. In Raum HA 9 lassen sich mit einem Schotterboden oberhalb eines teils rot verbrannten Lehm-bodens stratigrafisch zwei Horizonte fassen, deren zeitliche Abfolge im keramischen Befund jedoch nicht greifbar ist, weshalb sie wohl einem Bauvorgang zuzurechnen sein dürften.

²⁹ Dazu Scherrer – Trinkl 2006, 63 f.

Unter HA-Ost 2 werden die im Osten anschließenden Räume HA 10–HA 13 zusammengefasst. Diese schließen direkt an HA-Ost 1 an und teilen sich mit dieser zentralen Raumflucht auch den Hof HA 1, doch ist in diesem Bereich durch das sich hier befindliche gewerbliche Areal in AG Phase IIIb von einer anderen Entstehungsgeschichte der Räumlichkeiten als in HA-Ost 1 auszugehen, was sich nicht zuletzt in der abweichenden Orientierung der Räume ausdrückt. Die Räume HA 11b und HA 12 greifen die Orientierung der Vorgängerbauten XB und YB aus der AG Phase II und III auf; eine architektonische Einheit mit HA-Ost 1 wurde durch die Verlängerung der Fluchten nach Westen herbeigeführt, wodurch die trapezförmigen Räume HA 10a+b in das in den Vorgängerphasen unbebaute Areal eingeschoben wurden. Die im Vergleich mit dem Nutzungsniveau des Töpfereibetriebs deutlich höher gelegenen, teils stark zerstörten Schotterböden in HA 11b und HA 12 finden nördlich davon eine niveaugleiche Entsprechung über einer Zerstörungsschicht des Töpfereibetriebs. Somit sind diese Räume in der stratigrafischen Abfolge klar erkennbar später angelegt worden als die Strukturen der AG Phase III. Die Süd-mauer von HA-Ost 2 und die Nord-mauer von HA 11b bzw. HA 12 überlagern indes die Ost-mauer von HA 10a/b, wie auch die Trennmauer zwischen HA 11b und HA 12 deutlich höher liegt³⁰. Dies deutet darauf hin, dass in HA-Ost 2 eine ältere, Nord-Süd verlaufende Mauerflucht der AG Phase III (YB [?]/Töpfereibetrieb [?]) in der AG Phase IV als Abgrenzungsmauer zu den Raumeinheiten HA 10a+b weiter Bestand hatte. Im Hinblick auf die nunmehr der älteren AG Phase IIIa zugeordnete Mauer AZ 12 können auch die ehemals getrennten Raumeinheiten HA 11a und HA 13 zu einem Raum zusammengefasst werden, der mit dem Hof HA 1 gleichzusetzen sein dürfte. Der kaum angeschnittene Raum HA 14 ist durch die Ost-West orientierte Mauer AZ 7 und die Nord-Süd orientierte Mauer AZ 8 definiert; ihm konnten keine materialführenden Befunde archaischer Zeit zugeordnet werden, doch ist seine Zugehörigkeit zu der AG Phase IV baustratigrafisch gesichert.

Mit der AG Phase IV endete im ausgegrabenen Bereich die archaische Besiedlung unter der Tetragonos Agora, ohne dass im Grabungsbefund eine gewaltsame Zerstörung, wie sie für AG Phase II vorliegt, nachweisbar wäre. Vielmehr scheinen die beiden Wohnkomplexe aufgrund des angestiegenen Grundwasser- und Meeresspiegels aufgegeben und einem langsamen Verfallprozess anheimgefallen zu sein³¹. Wo sich dieser Bauverfall abzeichnet, datiert er die Aufgabe der Hofhäuser. Ansonsten liefert die mit zahlreichem und vielfältigem archaischen Material versetzte Planierschicht, welche der Anlage der hellenistischen Agora im frühen 3. Jahrhundert vorausging, mit ihren jüngsten archaischen Keramikfunden einen indirekten Datierungsansatz. Eine Nachnutzung in klassischer Zeit ist mit einem gewerblichen Ensemble im Umfeld des Gebäudes BZ zumindest für die höher gelegenen Bereiche des ehemaligen Siedlungsgeländes nachgewiesen³².

1.A.2.4.1 Befundkatalog

HA-West (Plantaf. 11. 13–16. 18–20. 23. 30. 31, Profil NB 2. NB 6. NB 7. NB 9. HA 5/2. HA 6/1. HA 6/2. HA 6/6. HA 6/9. HA 6/11. HA 7/1a+b. HA 7/2. HA 8/1+4. HA 8/2. HA 8/3. HA 8/6. HA 8/8a. HA 8/11. HA 8/12. HA 9/3. HA 9/9)

Die westliche Gebäudeeinheit besteht aus den drei Räumen HA 7 (L 6,3 m), HA 8 (Ausdehnung 6,3 × 3,7 m) und HA 6 (Ausdehnung 4,85 × ca. 5 m) sowie dem Hof HA 4; nur der Raum HA 8 konnte in seiner gesamten Ausdehnung erfasst werden. Der Wandaufbau über den Steinsockeln besteht aus grauen bis mittelbraunen Lehmziegeln mit Schotter, Kalkbrocken und Holzkohleinschlüssen (Lehmversturz). Die Gelniveaus bestehen aus Schotter- und Kleinsteinhorizonten, die teilweise über einer die Vorgängerphasen einplanierenden Lehm-bettung liegen (Profil NB 2.

³⁰ Vgl. Scherrer – Trinkl 2006, Faltplan 1.

³¹ Vgl. dazu den Beitrag von Scherrer 2000, 45; Scherrer – Trinkl 2006, 64. 148. Die gleichen Überlegungen könnten zuvor schon zur Aufgabe der Siedlungsphase AG Phase III geführt haben, deren Einplanung das Siedlungsniveau für die AG Phase IV deutlich angehoben hatte.

³² s. dazu Scherrer – Trinkl 2006, 69–164.

NB 9. HA 6/1. HA 6/6. HA 6/9. HA 6/11. HA 8/6. HA 8/8a. HA 8/12. HA 9/9), während die Mauerzüge meist unmittelbar auf den Vorgängerstrukturen aufsetzen (Profil HA 6/1. HA 6/6. HA 6/9. HA 7/2. HA 8/1+4. HA 8/2. HA 8/3. HA 8/8a. HA 8/11. HA 9/3). In HA 6 zeichnen sich im Schotterboden drei annähernd axial ausgerichtete Pfostenlöcher ab, von denen zwei im Profil HA 6/6 nachzuvollziehen sind. Ähnlich wie im Gebäude VG der AG Phase II sind diese Pfostenlöcher wahrscheinlich der Dachkonstruktion zuzuordnen, wobei für HA 6 aufgrund entsprechender Funde ein Ziegeldach wahrscheinlich gemacht werden kann. Im Raum HA 7 sind in der Baustratigrafie zwei Schotterbodenniveaus nachzuweisen (Profil HA 7/1. HA 8/12), deren unterstes eine Steinsetzung (Bodenunterbau [?]) einschließt, welche das Terrain bis zur erhaltenen Oberkante der älteren Mauerstruktur AZ 1 erhöhte (Profil HA 7/2).

HA-Ost 1 (Plantaf. 9–12. 15. 20–25, Profil HA 1/1. HA 1/2. HA 2/1. HA 3/1. HA 3/2. HA 3/4. HA 5a. HA 5/2a. HA 5/2. HA 5/3. HA 5/8. HA 5/11. HA 6/10. HA 9/3. HA 9/4. HA 9/5. HA 9/6. HA 9/7. HA 9/9. HA 9/10. HA 9/11)

Die mittlere Gebäudeeinheit besteht aus den Räumen HA 2, HA 3, HA 5 (Ausdehnung 6,8 × 4,3 m), HA 9 (Ausdehnung 5,8 × 4,7 m) und dem östlich anschließenden Hof HA 1 (L 10,2 m). Der Wandaufbau über den Steinsockeln war aus feingeschlämmten, hellen Lehmziegeln mit wenigen Kalkeinschlüssen gefertigt (Lehmversturz). Alle Räume in HA-Ost 1 sowie der westlich vorgelagerte Gang haben Schotterböden (Profil HA 1/1. HA 1/2. HA 2/1. HA 3/4. HA 5/2a. HA 9/3. HA 9/4), von denen jener im Raum HA 5 allerdings nur in wenigen Resten erhalten geblieben ist (Profil HA 5/2). Im Raum HA 9 ist ein zweiphasiger Bodenaufbau nachgewiesen, wobei erst der jüngere, über einer roten Lehmbedeutung aufgebrachte, sandige Schotterboden auch die ältere Nordmauer des Vorgängerbaus UB (OK ca. 0,22–0,27 m) überlagert (Profil HA 9/4. HA 9/11). Dabei wird auch eine massive Steinpackung (OK ca. 0,18–0,25 m), welche zwischen UB und MB gelegen ist und in etwa an die erhaltene Oberkante der UB-Nordmauer heranreicht, bedeckt (Profil HA 9/3. HA 9/4). Diese Steinpackung wurde wohl im Areal eingebracht, um den der Hangneigung geschuldeten, starken Niveauunterschied zwischen den Räumen HA 5 und HA 9 (Profil HA 9/5) im Bauvorgang auszugleichen. Alle Räume in HA-Ost 1 nutzen ihre Vorgängerstrukturen als Fundamentmauern weiter, nur die westliche Begrenzungsmauer des Raumes HA 9 (Profil HA 9/9. HA 9/10) und die Trennmauer zwischen den Räumen HA 3 und HA 2 (Profil HA 2/1. HA 3/2) haben keine direkten Vorläufer.

HA-Ost 2 (Plantaf. 25–30, Profil HA 10/1. HA 10/2. HA 10/4a. HA 11/1. HA 11/7. HA 11/9. HA 11/10a+b. HA 11/11. HA 11/13. HA 11/14a+b. HA 11/16. HA 11/21. KB 3. KB 4)

Die östliche Gebäudeeinheit setzt sich aus den Räumen HA 10a+b, HA 11b, HA 12 und HA 14 sowie dem Hof HA 11a+HA 13 (≈HA 1) zusammen. Der Maueraufbau oberhalb der Steinsockel (Mauerstärke ca. 0,33 m) bestand aus braunen bis graubraunen Lehmziegeln (Lehmversturz). Die zugehörigen Schotterhorizonte haben sich teilweise nur sehr schlecht erhalten (Profil KB 3. KB 4. HA 11/11. HA 10/1. HA 10/2. HA 10/4. HA 11/10a+b. HA 11/21), sind aber vor allem im Bereich des einplanierten Töpfereibetriebs gut erkennbar, wo der Bodenhorizont der AG Phase IV den verstürzten Lehmofen und den Pithos auf Höhe des extra dafür abgeschlagenen Gefäßrandes (OK 0,19 m) überlagert (Profil HA 11/14a+b). Im Bereich südlich des Töpfereibetriebs liegen die Mauerniveaus der AG Phase IV unmittelbar auf jenen der Vorgängerphase auf (Profil HA 11/1. HA 11/7. HA 11/9. HA 11/13), während sich im tiefer gelegenen Areal des Töpfereibetriebs und nördlich davon Geländeerhöhungen abzeichnen (Profil KB 3. KB 4. HA 11/10a+b). Die Raumeinheiten HA 10a+b weisen als einzige keine direkte Vorgängerbebauung auf; der das Gelände einplanierende Kulturschutt, auf dem die Mauern errichtet wurden (Profil HA 10/1. HA 10/2. HA 10/4a. HA 11/11. HA 11/16) dürfte daher entweder mit der umgebenden Vorgängersiedlung oder aber mit einer in der Grabung nicht erfassten Bebauung hangaufwärts in Verbindung zu bringen sein.

1.A.3 Die Bauphasen im stratigrafischen Gesamtbefund: Zusammenfassende Darstellung

Die archaischen Siedlungsbefunde (s. Kap. 1.A.2) unter der Tetragonos Agora konnten aufgrund der unten ausführlich dargelegten kontextuellen Analyse der Gesamtbefunde (s. Kap. 1.D.1) vier unterschiedlichen Phasen, AG Phase I–IV, zugeordnet werden. Die AG Phase II und III unterteilen sich in je zwei Subphasen, AG Phase IIa+b und AG Phase IIIa+b, wobei sich die Zweiteilung nicht für jedes einer Phase zugehörige Siedlungsobjekt nachweisen lässt und diese auch nicht immer in beiden Kategorien, Baubefund und Fundkeramik, evident wird. Die absoluten Datierungsangaben, die im Folgenden der zusammenfassenden Kurzbeschreibung der einzelnen Phasen beigelegt sind, sollen als Näherungswerte verstanden sein, wie sie sich aus dem Gesamtbefund und insbesondere aus der Fundkeramik (s. Kap. 1.B.3 und 1.D.1) erschließen. Sie geben nicht den zeitlichen Rahmen an, den die Fundkeramik insgesamt abdeckt, sondern beziehen sich auf die jeweils jüngsten Fundstücke und damit auf jene datierende Gefäßkeramik, welche für die zeitliche Einordnung der Befunde maßgebend ist.

1.A.3.1 AG PHASE I

Der ältesten Siedlungsphase AG Phase I (Plantaf. 3) konnten ein gelber Lehm Boden mit abgetieftem Grubenherd und Pfostenlöcher zugeordnet werden; die wenige Fundkeramik reicht nicht weiter als in das beginnende zweite Viertel des 7. Jahrhunderts hinab und positioniert die AG Phase I zwischen 730/700 und 675/670 (Tab. 1).

Tabelle 1: Befundübersicht AG Phase I

| Phase | Objekt | Datierende Keramik |
|------------|---|--------------------|
| AG Phase I | Holzpfostenbau VZ mit gelbem Lehm Boden und Feuerstelle | 730/700–675/670 |

1.A.3.2 AG PHASE II

Der AG Phase II gehören sieben Siedlungsobjekte, die rechteckigen Gebäude AZ 10, AZ 9 (PB), VG, AZ 1/AZ 2, UB, XB und der Ovalbau OB, an. Sie verteilen sich auf die beiden Subphasen AG Phase IIa (Plantaf. 4) und AG Phase IIb (Plantaf. 5). Von den ursprünglichen Gebäuden haben sich die Grundmauersockel sowie schottrige und lehmige Bodenhorizonte erhalten, für die im Falle von AZ 9, VG und XB ein mehrteiliger Aufbau aus Schotterunterboden und gelbem sowie rotem Gelniveau nachgewiesen ist. Für die Struktur AZ 9 zeichnete sich bei der Grabung im Abdruck des zugehörigen Lehmhorizonts ein Holzplankenboden als eigentliches Gelniveau ab. Nur bei VG spiegelt die Abfolge der Böden eindeutig eine tatsächliche Zweiphasigkeit des Gebäudes (AG Phase IIa und AG Phase IIb) wider, die auch im keramischen Befund zum Ausdruck kommt. Der gelbe Lehm Boden zu den Mauern AZ 1 und AZ 2 scheint dem jüngeren Bodenniveau in VG zu entsprechen und diese Struktur ebenfalls erst in der AG Phase IIb einzuordnen.

Die AG Phase II stellt sich als eine in ihrem Baubefund sehr heterogene Siedlungsphase dar, in der unterschiedliche Gebäudegrundrisse, ovale und rechteckige, nebeneinander bestanden und verschiedene Baumaterialien für die Bodenhorizonte Verwendung fanden (Schotter, roter und gelber Lehm, Holz). In den Gebäuden XB und AZ 9 sind zwei- und dreilagige Bodenkonstruktionen gesichert, wobei die Schotterniveaus in mehrlagigen Konstruktionen vielfach als ausgleichende und stabilisierende Unterböden gedient haben dürften. In diesem Zusammenhang gibt auch der Schotterboden zu AZ 10 möglicherweise nicht das eigentliche Gelniveau an, sondern den Unterbau für einen Bodenhorizont, von dem sich im begrenzten ergrabenen Ausschnitt nichts erhalten hat. Die Befundsituation im Gebäude VG belegt umgekehrt, dass auch Schotterlagen als eigentliche Bodenhorizonte gedient haben konnten. Erst durch die Aufgabe des Schotterbodens mit der mittigen Dachpfostenstellung in der zweiten AG Phase IIb des Gebäudes VG wurde dieser Schotterboden in der Funktion eines Unterbodens weiter verwendet. Zusammenfassend sind in AG Phase II im stratigrafischen Befund zwei Subphasen erkennbar, die sich in VG und möglicherweise in XB durch einen zweiten Bodenhorizont abzeichnen. Die Mauersockel AZ 1 und

AZ 2 scheinen in Analogie mit dem jüngeren Boden im Gebäude VG ebenfalls erst einer zweiten Bauperiode innerhalb der AG Phase II zuzurechnen zu sein. Im keramischen Befund können die beiden Subphasen AG Phase IIa und IIb nur in VG eindeutig nachvollzogen werden. Alle sieben Gebäude, vor denen sich der Ovalbau OB in mehrererlei Hinsicht auszeichnet (s. Kap. 1.D.2), fielen demselben Zerstörungsbrand zum Opfer, der um die Mitte des 7. Jahrhunderts verankert werden kann. Die Siedlungsphase AG Phase II ist damit zwischen dem beginnenden zweiten Viertel und dem mittleren 7. Jahrhundert einzuordnen (Tab. 2). Sie bestand im ausgegrabenen Areal aus den Wohngebäuden bzw. Strukturen AZ 10, AZ 9, VG, AZ 1 und AZ 2, UB und XB sowie dem Ovalbau OB, der möglicherweise als Gebäude mit (auch) öffentlichem Charakter zu verstehen ist (s. Kap. 1.D.2).

Tabelle 2: Befundübersicht AG Phase II

| Phase | Objekt | Datierende Keramik |
|--------------|---|--------------------|
| AG Phase II | Mauersockel AZ 10 mit Schotterboden und Pfostenlöchern | 2. Viertel 7. Jh. |
| AG Phase II | Mauersockel AZ 9 (PB) mit Holzplankenboden auf Schotter-Lehm-Unterbau | 2. Viertel 7. Jh. |
| AG Phase II | Ovalbau OB | 2. Viertel 7. Jh. |
| AG Phase II | Rechteckiger Bau UB | Mitte 7. Jh. |
| AG Phase II | Rechteckiger Bau XB mit rotem Lehm Boden auf Schotterunterbau | 2. Viertel 7. Jh. |
| AG Phase IIa | Rechteckiger Bau VG mit Schotterboden und Pfostenreihe | 2. Viertel 7. Jh. |
| AG Phase IIb | Rechteckiger Bau VG mit gelbem Lehm Boden | Mitte 7. Jh. |
| AG Phase IIb | Mauersockel AZ 1/AZ 2 mit gelbem Lehm Boden und Feuerstelle | Mitte 7. Jh. |

1.A.3.3 AG PHASE III

Nach dem Zerstörungsbrand, welcher das Ende der Gebäude der AG Phase II bedeutete, erfolgte im ergrabenen Areal in rascher Folge ein Wiederaufbau der Siedlung mit den neuen Gebäuden NB, KMB, MB und YB (AZ 6 und AZ 12), die direkt über dem einplanierten Zerstörungsschutt der Vorgängerphase AG Phase II errichtet wurden (Plantaf. 6). Es handelt sich nun ausnahmslos um Gebäude mit rechteckigem Grundriss, wobei sich MB durch seine zwei Raumeinheiten auszeichnet und KMB im Mauersockelbereich durch die Verwendung von Kalkmergelplatten aus dem Rahmen fällt. In allen Gebäuden sind Lehm Böden nachgewiesen, während die Außenniveaus meist durch Schotter- oder Kleinsteinhorizonte definiert sind. Das Gebäude YB ist das einzige, welches bereits kurz nach seiner Errichtung möglicherweise durch ein begrenztes Schadensfeuer zerstört wurde und nur in der AG Phase IIIa Bestand hatte, während die westlich gelegenen Gebäude NB, KMB und MB in der AG Phase IIIb weiter bestanden (Plantaf. 7) und in der Stratigrafie nachvollziehbare Umbauten erlebten. Bei NB zeigt sich dies durch ein steinernes Bodenniveau über einem Lehmhorizont, bei KMB durch drei aufeinanderfolgende Lehm Böden, von denen sich die Nachzeitigkeit des jüngsten auch im keramischen Befund klar ablesen lässt. Der Vorraum von MB wurde in einem zweiten Schritt durch eine sekundär eingezogene Mauer nach Osten hin geschlossen. Diese Schließung ist möglicherweise als Reaktion auf die Errichtung einer Töpferwerkstatt und des Gebäudes KB im östlichen Bereich des Siedlungsareals in der AG Phase IIIb zu verstehen. Die Töpferwerkstatt überlagert das Gebäude YB der AG Phase IIIa und teilt sich mit dem nördlich gelegenen Gebäude KB einen Gehhorizont. Im Süden der Siedlung entstand ebenfalls in der AG Phase IIIb das Gebäude BZ in einem Bereich, für den sich keine direkten Vorgängerstrukturen abzeichnen; der Brandschutt in der Bauplanierung deutet indessen auf weiter oben am Hang gelegene Strukturen hin, die von demselben Schadensfeuer wie die Gebäude der AG Phase II betroffen gewesen sein müssen³³.

³³ Zu dem Gebäude BZ vgl. schon Scherrer – Trinkl 2006, 70 f.

Wie in AG Phase II zeichnen sich auch für die AG Phase III also mindestens zwei Subphasen, AG Phase IIIa und IIIb, ab, die sich ebenfalls im keramischen Befund deutlich ablesen lassen (Tab. 3). Die Fundkeramik der Siedlungsobjekte KB, BZ und des Töpfereibetriebs grenzen die AG Phase IIIb auf das letzte Viertel des 7. Jahrhunderts ein. Dies entspricht der Datierung der jüngeren Subphasen und der Zerstörungshorizonte in den Gebäuden NB, KMB und MB, die beginnend mit der AG Phase IIIa bereits seit dem mittleren 7. Jahrhundert bestanden. Die jüngsten Gefäße aus den Horizonten, welche die Aufgabe der Gebäude NB und KMB datieren, reichen sogar deutlich bis an die Wende zum 6. Jahrhundert hinab. Damit zeichnet sich im Westen des ergrabenen Areals eine ausgedehntere Reichweite der Keramik ab als im östlichen Bereich, eine Evidenz, die mit der von P. Scherrer aufgrund der architektonischen Befunde geäußerten Vermutung, der Gebäudekomplex HA-West könnte in der AG Phase IV zeitverzögert zu den Komplexen HA-Ost 1+2 gebaut worden sein³⁴, auffallend koinzidiert. Die AG Phase IIIa kann demnach im Anschluss an die AG Phase II auf das dritte Viertel des 7. Jahrhunderts, die AG Phase IIIb in etwa auf das letzte Viertel des 7. Jahrhunderts eingegrenzt werden. Die Siedlung der zweiten Hälfte des 7. Jahrhunderts bestand im ausgegrabenen Bereich aus insgesamt sechs Gebäuden, wobei YB in einem zweiten Schritt von einer gewerblichen Einrichtung abgelöst wurde. Mit dem zweiräumigen Haus MB bestand auch in der AG Phase III an derselben Stelle wie schon in der AG Phase II ein Gebäude mit von den umliegenden Strukturen abweichenden Merkmalen in Bautypologie, Ausstattung und Keramikinventar (s. Kap. 1.D.2).

Tabelle 3: Befundübersicht AG Phase III

| Phase | Objekt | Datierende Keramik |
|---------------|---|-------------------------|
| AG Phase IIIa | Rechteckiger Bau YB (AZ 6/AZ 11/AZ 12) | Mitte 7. Jh. |
| AG Phase III | Rechteckiger Bau NB mit gemauerter Herdstelle und Lehmbo- den mit Belag aus Grünschiefersplitt | Mitte 7. Jh.–um 600 |
| AG Phase IIIa | Kalkmergelbau KMB mit roten Lehmböden und Grubenherd | Mitte/2. Hälfte 7. Jh. |
| AG Phase IIIb | Kalkmergelbau KMB mit rotem Lehmbo- den und Aschenlinse | um 600 |
| AG Phase III | Zweiräumiger Bau MB mit Grubenherd und Pfostenstellungen | Mitte/4. Viertel 7. Jh. |
| AG Phase IIIb | Rechteckiger Bau KB mit Schotterboden | 2. Viertel–Ende 7. Jh. |
| AG Phase IIIb | Rechteckiger Bau BZ mit rotem Lehmbo- den | 4. Viertel 7. Jh. |
| AG Phase IIIb | Töpfereibetrieb (Lehmfen, Pithos und Werkgruben) auf Schotterhorizont | 4. Viertel/Ende 7. Jh. |

1.A.3.4 AG PHASE IV

In der AG Phase IV entstanden über den einplanierten Gebäuden der Vorgängerphase AG Phase III die Gebäudekomplexe HA-West und HA-Ost (HA-Ost 1 und HA-Ost 2), die in Teilen die Steinsockel der Vorgängerstrukturen als Grundmauern weiter nutzten (Plantaf. 8). Daraus ergibt sich eine leicht zueinander versetzte Ausrichtung der einzelnen Gebäudekomplexe. Es handelt sich nun um mehrräumige Hofhäuser mit teils über Lehm-
bettungen aufgetragenen Schotterböden in den geschlossenen Räumen HA 6, HA 7, HA 8, HA 2, HA 3, HA 5, HA 9, HA 10, HA 11 und HA 12 sowie in den Höfen HA 4, HA 1 und HA 11a+13. Für den Raum HA 7 im Gebäudekomplex HA-West verweisen zwei übereinander folgende Bodenhorizonte auf eine Umbauphase, die sich aber auf nur diese Raumeinheit beschränkt und die im keramischen Befund nicht evident wird. Daher wird von einer weiteren Untergliederung der Siedlungsphase AG Phase IV abgesehen. Die Trennung der Schotterhorizonte im Raum HA 3 und im Hof HA 1 des Gebäudekomplexes HA-Ost 1 in ein älteres und ein jüngeres Niveau berücksichtigt die aus der Grabungsdokumentation hervorgehende Abfolge und war ein technischer Versuch, die eigentlichen und reinen Bodenhorizonte von jenen zu trennen, die mit darunterliegenden Planirniveaus

³⁴ Vgl. Scherrer – Trinkl 2006, 63 f.

vermischt waren (s. Kap. 1.A.4). Diese Trennung hat sich letztlich jedoch als nicht zielführend erwiesen; sie spiegelt keine Zweiphasigkeit wider, wie sie im Raum HA 7 zumindest in der Stratigrafie eindeutig gegeben ist. Im Gebäudekomplex HA-West ist mit Raum HA 6 der für die Agora-Siedlung einzige Beleg eines Ziegeldaches gegeben (s. Kap. 1.B.5).

Die Bebauung der AG Phase IV stellt sich im Gegensatz zu den Vorgängerphasen AG Phase II und III nun wesentlich einheitlicher dar; nur der Raum HA 6 weicht mit seinem Ziegeldach von der architektonischen Ausstattung der umliegenden Gebäude ab. Die Verbauung scheint in der AG Phase IV nun wieder auf jenes Areal beschränkt, das auch schon in der AG Phase II und IIIa genutzt wurde, während im Bereich des Gebäudes BZ aus der AG Phase IIIb keine unmittelbare Nachfolgestruktur in der AG Phase IV erkennbar ist. Dies mag einerseits an der durch die klassische Brunnenanlage stark gestörten Befundsituation liegen³⁵. Andererseits ist die Möglichkeit einer längeren Lebensdauer des Gebäudes BZ bis in die AG Phase IV in Betracht zu ziehen, denn das Gebäude war durch seine Hanglage weniger vom ansteigenden Grundwasserspiegel betroffen, der von P. Scherrer als Grund für die Aufgabe der Siedlungsphase AG Phase III angesehen wurde³⁶. Umgekehrt fehlen die Horizonte, welche die Aufgabe von BZ bezeichnen, und die datierende Keramik aus dem Bodenniveau gibt nur einen *terminus ad quem* in der AG Phase IIIb an und liefert keine ausreichenden Indizien für die tatsächliche Lebensdauer oder eine Aufgabe des Gebäudes gemeinsam mit den tiefer gelegenen Siedlungsobjekten der AG Phase III.

Das Ende der Agora-Siedlung zeichnet sich mit dem Versturz der Hofhäuser im mittleren 6. Jahrhundert ab. Nur im Bereich der Räume HA 3 und HA 7 finden sich vereinzelte Gefäße mit einer Datierung tendenziell erst in der zweiten Hälfte des 6. Jahrhunderts (Tab. 4)³⁷. In diesem Zusammenhang ist die Möglichkeit gestörter Befunde durch eine eventuelle Nachnutzung des Areals nach Aufgabe der Siedlung zu erwägen sowie die Tatsache, dass die Verstürzniveaus in diesem Bereich bei der Grabung vielleicht nicht immer eindeutig von den Planierhorizonten der hellenistischen Nachfolgebebauung getrennt werden konnten.

Tabelle 4: Befundübersicht AG Phase IV

| Phase | Objekt | Datierende Keramik |
|-------------|--|-------------------------------|
| AG Phase IV | HA-West, Hof HA 4 mit Steinpflasterung | 1. Hälfte 6. Jh. |
| AG Phase IV | HA-West, HA 6 mit Ziegeldach/HA 7/HA 8 | Ende 7. Jh.–Mitte 6. Jh. |
| AG Phase IV | HA-Ost 1, HA 1/HA 2/HA 3 | Ende 7. Jh.–Mitte 6. Jh. |
| AG Phase IV | HA-Ost 1, HA 5 | 2. Hälfte 7. Jh.–Mitte 6. Jh. |
| AG Phase IV | HA-Ost 1, HA 9 | 1. Hälfte 6. Jh. |
| AG Phase IV | HA-Ost 2, HA 10 | Ende 7. Jh.–Mitte 6. Jh. |
| AG Phase IV | HA-Ost 2, HA 11/HA 12/HA 13/HA 14 | (1. Hälfte) 6. Jh. |

1.A.3.5 ZUSAMMENFASSENDER ÜBERSICHT

Die archaischen Befunde aus der Siedlung unter der Tetragonos Agora decken den Zeitraum vom zweiten Viertel des 7. Jahrhunderts bis in das mittlere 6. Jahrhundert ab (Tab. 5) und geben in ihrem keramischen Befund darüber hinaus einen Einblick bis zurück in das mittlere 8. Jahrhundert. In der archaischen Siedlung unter der späteren Tetragonos Agora stehen Wohnhäuser neben Gebäuden mit vielleicht (auch) öffentlichem Charakter und einem gewerblich genutzten Bereich.

³⁵ Vgl. Scherrer – Trinkl 2006, 69–78.

³⁶ Vgl. den Beitrag von Scherrer 2000, 45; Scherrer – Trinkl 2006, 64.

³⁷ Diesem Umstand wird in der absoluten Datierungsangabe 600–550/530 Rechnung getragen.

Tabelle 5: Übersicht Siedlungsphasen

| Phase | Datierung |
|---------------|-----------------------------------|
| AG Phase I | <i>terminus ante quem</i> 675/670 |
| AG Phase IIa | 675/670–660/650 |
| AG Phase IIb | 660–650 |
| AG Phase IIIa | 650–630/620 |
| AG Phase IIIb | 630/620–600 |
| AG Phase IV | 600–550/530 |

1.A.4 Tabellarische Befundaufschlüsselung³⁸

Holzpfostenbau VZ AG Phase I: Älteste Kulturschicht

| Nutzung: Erstes Viertel 7. Jahrhundert (<i>terminus ante quem</i> um 675/670) | | |
|--|-----------------|---|
| 91/180 | (–0,08)–(–0,20) | ältester gelber Lehmhorizont und darunter grauer Lehm unter Schotter VG bis KRL |
| 91/188 | (–0,08)–(–0,20) | älteste Kulturschicht über KRL |

AZ 10 AG Phase II: Feinschotterniveau mit zugehörigen Pfosten, Versturz- und Zerstörungsmaterial darüber

| Nutzung: Zweites Viertel 7. Jahrhundert (um 670) | | |
|--|-----------------|---|
| 93/148 | o. A. | ohne Angaben |
| 93/144 | (–0,42)–(–0,50) | Feinschotterniveau und KRL mit Pfostenlöchern |
| 93/145 | (–0,50)–(–0,62) | Pfostenlöcher und Pfostengruben in KRL |
| Zerstörung: Zweites Viertel/Mitte 7. Jahrhundert | | |
| 93/143 | (–0,29)–(–0,42) | Zerstörung unter rotem Lehm bis Feinschotterboden |
| 92/185 | (–0,50)–(–0,85) | Zerstörung älter als NB in HA 4b |

VG AG Phase II: Älterer Schotterboden mit Pfostenstellungen, jüngerer Lehm Boden und Zerstörung

| Älteste Nutzung Schotterniveau: Zweites Viertel 7. Jahrhundert | | |
|--|-----------------|--|
| 91/184 | 0,00–(–0,15) | westliches Pfostenloch in VG mit gelbem Lehm |
| 91/178 | (–0,01)–(–0,08) | Schotterboden von VG |
| 91/123 | 0,00–(–0,13) | Lehmerde bis OK VG O-Mauer: Außenniveau zu Schotterboden |
| Jüngere Nutzung Lehmniveau: Zweites Viertel 7. Jahrhundert | | |
| 91/155 | 0,08–(–0,18) | unter dem Störgraben im älteren gelben Lehm Boden HA 8 Nordwestteil |
| 91/156 | 0,12–0,00 | ältere Lehm Böden über/bis Schotterboden in VG HA 8 |
| 91/152 | 0,12–(–0,11) | Graben im gelben Lehm Boden HA 8 Ostteil in VG |
| Zerstörung: Zweites Viertel/Mitte 7. Jahrhundert | | |
| 91/183 | (–0,08)–(–0,15) | älteste Kulturschicht zwischen Schotterunterboden und KRL mit LZ und Asche: Zerstörung VG und Vorgängerbau vermischt |
| 91/154 | (–0,10)–(–0,27) | Aschenschicht und brauner Lehm darunter bis KRL: Zerstörung VG und Vorgängerbau vermischt |
| 92/131 | 0,07–(–0,11) | Zerstörung VG Nordmauer über dem inneren Schotterboden |
| 91/167 | 0,00–(–0,10) | KRL und Kulturreste südlich von VG |

³⁸ Die Kurzbeschreibung der Einzelfunde bezieht sich auf die entsprechenden Angaben in der Grabungsdokumentation. Die Datierungsangaben beziehen sich auf die typochronologische Datierung der vergesellschafteten Fundkeramik, die nicht zwingend mit der letztgültigen chronologischen Einordnung der Kontexte übereinstimmen muss, die sich erst in der Zusammenschau mit der Stratigrafie erschließt (vgl. dazu Kap. 1.D)

AZ 9 (PB) AG Phase II: Gelber Lehm Boden über Schotterunterbau auf KRL, Zerstörung und Versturz über Boden und Außenniveau

| Bau und Nutzung: Zweites Viertel 7. Jahrhundert | | |
|---|-----------------|---|
| 90/165 | (-0,55)–(-0,65) | grauer Schotter bis Grundwasser HA 1 |
| 89/243 | (-0,63)–(-0,70) | gelber Lehm Boden und darunter unter Holzboden HA 3 |
| 89/230 | (-0,50)–(-0,53) | Schotter auf ältestem gelben Lehm Boden in Hof HA 1 |
| 89/173 | (-0,55)–(-0,65) | Planumputzen gelber Lehm Boden |
| Zerstörung: Zweites Viertel/Mitte 7. Jahrhundert | | |
| 90/148 | (-0,65)–(-0,71) | Planumputzen Steinhorizont mit wenig LZ und Asche bis KRL in HA 3 unter dem gelben Lehm Boden |
| 90/147 | (-0,50)–(-0,65) | Brandzerstörungsschutt über gelbem Lehm Boden auf Schotterhorizont |
| 90/173 | (-0,50)–(-0,60) | Zerstörung/Steinversturz ab OK PB |
| 90/174 | ca. (-0,60) | Zerstörung ab PB OK bzw. unter ihrem Steinversturz |
| 90/093 | (-0,45)–(-0,70) | Zerstörungsschicht aus Lehm und Asche zu PB, nördliches Außenniveau |
| 90/091 | (-0,45)–(-0,70) | Feinschotter und Lehm mit nördlichem Zerstörungshorizont, nördliches Außenniveau |
| 89/116 | (-0,42)–(-0,60) | Asche und Lehmversturz in HA 3 |

OB AG Phase II: Lehm Boden, Zerstörung und Versturz darüber

| Nutzung: Zweites Viertel/Mitte 7. Jahrhundert | | |
|---|---------------------|--|
| 89/180 | (-0,45)–(-0,65) | Lehmniveau auf KRL zwischen Hofmauer HA und OB |
| 90/166 | (-0,30)–(-0,35) | Lehmniveau auf KRL, Außenniveau zu OB |
| 90/186 | (-0,36)–Kalkrotlehm | dünne Schotterschicht unter Zerstörung OB bis KRL |
| 90/185 | (-0,21)–(-0,36) | unterer Schotterhorizont in HA 1 |
| Zerstörung: Zweites Viertel/Mitte 7. Jahrhundert | | |
| 90/168 | (-0,50)–(-0,65) | KRL mit LZ |
| 91/139 | (-0,16)–(-0,36) | KRL mit LZ und Steinen |
| 89/125 | (-0,26)–(-0,55) | Zerstörung bis roter Boden (KRL) in OB |
| 89/156 | (-0,30)–(-0,40) | Zerstörungsniveau mit Sand, Steinen, Lehm und HK |
| 89/159 | (-0,40)–(-0,50) | Zerstörungsniveau bis KRL |
| 89/161 | (-0,45)–(-0,53) | Zerstörungshorizont nördlich und östlich OB mit gelbem Lehmversturz |
| 89/178 | (-0,30)–(-0,40) | Zerstörungsversturz der OB Ostmauer |
| 89/188 | (-0,40)–(-0,60) | Zerstörungsniveau und Kulturschicht bis KRL zwischen OB und Hof; gestört. |
| 89/238 | (-0,30)–(-0,70) | Zerstörung unter Steinplattenboden westlich Hof Westmauer zu OB |
| 89/242 | (-0,65)–(-0,80) | Zerstörung, darunter Schotterboden, Lehmniveau mit großen Steinen bis KRL bzw. Steinplattenboden in Schotterbettung unter Grundwasser OK zu OB in 4b |
| 90/081 | (-0,05)–(-0,33) | Zerstörung der OB Westmauer |
| 90/108 | (-0,28)–(-0,42) | Zerstörungsversturz westlich OB |
| 90/146 | (-0,35)–(-0,45) | Älteste Zerstörung, vermischt mit Baugrube für Nachfolgebauten bis KRL |
| 91/177 | (-0,02)–(-0,20) | KRL mit Asche und LZ nördlich erhaltenem Steinunterboden, älter als die Bauten |

UB AG Phase II: Zerstörungshorizont

| Aufgabe: Zweites Viertel/Mitte 7. Jahrhundert | | |
|--|--------------|---|
| 91/126 | 0,15–(-0,15) | Erde und LZ zwischen rotem Lehm Boden und KRL HA 9a |
| 91/128 | 0,10–(-0,08) | Erde und LZ zwischen rotem Lehm Boden und KRL HA 9b |
| 91/187 | 0,18–0,00 | Vermischter Lehm unter Boden bis OB Mauer-OK |

| | | |
|--------|--------------|---|
| 91/182 | 0,15–0,00 | Lehm mit Asche und LZ unter Steinversturz bis KRL |
| 91/090 | 0,25–0,15 | Ältere Zerstörung mit Lehmerde, Asche, LZ und Steinen |
| 91/190 | 0,25–0,15 | Lehmerde im Südwesten zwischen Raumecke und Steinplatten bis UK ältere Mauer UB |
| 91/173 | 0,25–0,15 | Zerstörung, Steine und LZ, in der Südostecke |
| 91/174 | 0,25–0,06 | Zerstörung mit LZ, Schotter und Lehm im Nordosten |
| 91/175 | 0,06–(–0,02) | Lehm und Zerstörung nördlich des erhaltenen Steinunterbodens bis OB Mauer-OK zwischen älterem und jüngerem Raum Ostwand |

XB AG Phase II: Schotterboden und roter Lehm Boden in XB und Kulturreste, Zerstörung

| | | |
|--|-----------------|---|
| Bau- und Schotterniveau: Zweites Viertel 7. Jahrhundert | | |
| 95/218 | (–0,11)–(–0,21) | KRL in XB |
| 95/240 | (–0,07)–(–0,13) | KRL westlich XB/HA 11b |
| 95/337 | 0,05–(–0,20) | KRL mit Kulturresten in HA 12 |
| 96/241 | (–0,20)–(–0,25) | unterster Schotterhorizont auf KRL |
| Rotes Lehmniveau: Zweites Viertel 7. Jahrhundert | | |
| 96/231 | (–0,12)–(–0,30) | roter Lehm Boden bis KRL nördlich und unter AZ 11 (XB) |
| 96/237 | (–0,12)–(–0,24) | roter Lehm Boden bis KRL nördlich und unter AZ 11 (XB) |
| Zerstörung: Zweites Viertel/Mitte 7. Jahrhundert | | |
| 96/239 | (–0,15)–(–0,33) | ältere Zerstörung über unterstem Schotterniveau (XB) in HA 13 |
| 93/112 | 0,05–(–0,18) | Zerstörung XB in HA 11a |
| 95/336 | 0,22–0,05 | graubrauner Lehm mit HK bis Feinschotter in XB (Zerstörung XB) in HA 12 |
| 96/156 | 0,13–0,05 | aschiger Lehm östlich YB/XB bis KRL |
| 96/211 | 0,04–(–0,04) | Putzen XB Nordmauer OK |
| 95/227 | 0,10–0,01 | Putzen XB OK HA 11a |
| 96/206 | 0,08–0,04 | Verunreinigter Lehm und HK bis XB Nordmauer OK in HA 13 |

AZ 1/AZ 2 AG Phase II(b): Lehm Boden mit Feuerstelle, Zerstörung darüber bis Schotterhorizont der Nachfolgephase

| | | |
|--|-----------------|---|
| Nutzung: Zweites Viertel 7. Jahrhundert | | |
| 91/131 | (–0,04)–(–0,15) | Feuerstelle und Umgebung in HA 7 |
| Zerstörung: Mitte 7. Jahrhundert | | |
| 91/150 | 0,16–0,06 | gelber Lehm Boden und Bauschutt darüber im Süden HA 8: AZ 2 |
| 91/148 | 0,15–0,00 | verfüllte Vertiefungen im gelben Lehm Boden im Süden HA 8: AZ 2 |
| 91/115 | 0,00–(–0,15) | Zerstörung unter Feinschotterhorizont II bis Herd in HA 7 |
| 91/119 | 0,02–(–0,03) | Zerstörung zwischen Schotterhorizont II und Lehm Boden |
| 91/120 | 0,01–(–0,26) | verbrannter Lehm Boden und Lehm und LZ in HA 7 |
| 91/122 | (–0,19)–(–0,33) | Zerstörung südlich von AZ 1 |

AZ 6 (YB) AG Phase IIIa: Kulturreste auf KRL, aschhaltiger Zerstörungshorizont mit LZ- und Steinversturz darüber bzw. südlich YB

| | | |
|--|-----------------|--|
| Bau und Nutzung: Zweites Viertel 7. Jahrhundert | | |
| 92/165 | (–0,04)–(–0,06) | älteste Kulturschicht auf KRL zu AZ 6 |
| 92/189 | 0,12–0,01 | älteste Kulturschicht über KRL zu AZ 6 |
| 96/161 | 0,07–(–0,03) | Lehm, Muscheln und HK auf KRL in AZ 6 |
| 92/188 | 0,03–(–0,11) | Material auf KRL in AZ 6 |
| 95/231 | 0,03–(–0,05) | Lehm bis KRL in HA 11b |
| 95/232 | 0,01–(–0,07) | Lehm westlich XB in HA 11b |

| Aufgabe: Mitte 7. Jahrhundert | | |
|--------------------------------------|--------------|--|
| 92/159 | 0,18–0,01 | aschiger Lehm unter hellenistischem Niveau südlich HA 10 (Zerstörung YB) |
| 92/163 | 0,10–(–0,04) | aschige Erde unter Schotterboden HA 10b (Zerstörung YB) |
| 93/124 | 0,28–0,02 | Zerstörung und Steine mit LZ bis KRL südlich HA 10 |
| 93/138 | 0,13–(–0,06) | Lehm, Steinversturz und Zerstörung bis KRL (Zerstörung YB) |
| 96/155 | 0,20–0,10 | Zerstörung mit Asche und Lehm ab UK HA 10b Südmauer |
| 96/160 | 0,22–0,07 | gelbe LZ und Lehm ab UK HA 10b Ostmauer |

NB AG Phase III: Zerstörung der Vorgängerphase und Lehm Böden, Sand-Schotter-Lage einer zweiten Nutzung, Zerstörung darüber

| Bauzeit: Mitte 7. Jahrhundert | | |
|--|-----------------|---|
| 92/179 | (–0,35)–(–0,50) | brauner Lehm über Steinen: Einplanierung Zerstörung Phase 1 in NB 4b |
| 89/237 | (–0,40)–(–0,70) | vermisches Material unter 88/A Grabungsgrenze zu OB 4b |
| Sand-Schotter-Bettung einer Nutzung: Mitte 7. Jahrhundert | | |
| 93/137 | (–0,23)–(–0,29) | Grünschiefersplittniveau, darunter rot verbrannter Lehm Boden und Zerstörung darunter in 4a |
| 89/247 | (–0,45)–(–0,65) | Sand-Schotter-Bettung mit Lehm darunter bis KRL in 4b |
| 89/246 | (–0,23)–(–0,45) | Sand und Schotter unter Steinboden zu beiden Seiten NB Ostmauer |
| 89/236 | (–0,25)–(–0,35) | Sand-Schotter-Bettung zwischen NB und MB unter Steinplattenboden |
| Aufgabe: Anfang 6. Jahrhundert | | |
| 89/233 | (–0,12)–(–0,23) | Zerstörung zwischen Lehm Boden/Sandschicht und älterem Steinboden HA 4a |
| 89/135 | 0,00–(–0,22) | Lehmige Zerstörungsschicht, HK und Steinversturz zwischen NB und MB |

KMB AG Phase III: Planierung der AG Phase I (Abtragung VG), älterer roter Lehm Boden auf Schotterunterbau, jüngerer roter Lehm Boden mit Feuerstelle und sandig-lehmiges Außenniveau, jüngster roter Lehm Boden

| Bauzeit: Zweites Viertel/Mitte 7. Jahrhundert | | |
|--|-----------------|---|
| 89/216 | (–0,25)–(–0,50) | Erde-Sand-Schicht unter Schotterniveau und UK KMB, datiert Bauzeit |
| 89/220 | (–0,35)–(–0,40) | Lehmerde und Asche und LZ und Steine bis KRL im NW von HA 5, datiert Bauzeit KMB |
| 91/124 | (–0,25)–(–0,40) | LZ, Asche und Schotter bis KRL |
| 92/110 | (–0,18)–(–0,39) | Erde und Asche über KRL |
| 92/123 | (–0,12)–(–0,30) | Grube in Boden KMB (passt an 92/110: Planierung) |
| 92/124 | (–0,11)–(–0,31) | direkt außerhalb KMB Südwestecke bis KRL |
| 92/172 | (–0,15)–(–0,35) | Zerstörung mit Asche und LZ unter älterem Lehm Boden auf KRL |
| 91/189 | (–0,45)–(–0,55) | unterste Kulturschicht im KRL bis UK KMB-Mauer |
| Ältere Nutzungsphase: Mitte 7. Jahrhundert | | |
| 89/217 | (–0,15)–(–0,35) | Schotterniveau und lehmige Erde (UK einer Brandschicht, Zerstörung VG) darunter in KMB, zwischen älterem und jüngerem Boden |
| 92/078 | (–0,04)–(–0,16) | KRL mit Kulturschutt unter Schotterniveau Bauzeit 1. Boden, keine Diagnostics |
| 91/118 | (–0,20)–(–0,25) | 1. roter Lehm Boden |
| 91/117 | (–0,05)–(–0,30) | Zerstörungsschicht zwischen den Lehm Böden |
| Jüngere Nutzungsphase: Zweite Hälfte 7. Jahrhundert | | |
| 92/138 | (–0,12)–(–0,15) | 2. roter Lehm Boden über Schotter |
| 92/168 | (–0,12)–(–0,15) | 2. roter Lehm Boden mit Feuerstelle |
| Jüngstes Nutzungsniveau: Anfang 6. Jahrhundert | | |
| 92/112 | (–0,05)–(–0,11) | 3. roter Lehm Boden und eingedrückte Asche (Feuerstelle) |
| 89/225 | (–0,10)–(–0,35) | sandig-lehmiges Außenniveau KRL nördlich KMB-Mauer, datiert Kalkmergelbau |
| 92/073 | 0,07–0,02 | unter Schotterschicht II in HA 7, datiert Aufgabe KMB: keine Diagnostics |

MB 2 AG Phase III: Einplanierte Zerstörung AG Phase I und Stampflehboden bzw. Schotterboden östlich in HA 1, Zerstörung darüber

| Einplanierung Vorgängerphase AZ 9 und Nutzung: Mitte 7. Jahrhundert | | |
|--|-----------------|---|
| 90/150 | (-0,40)–(-0,58) | Putzen AZ 9 unter dem unteren Stampflehboden in MB ab dessen OK |
| 90/172 | (-0,38)–(-0,50) | Stampflehboden in MB und darunter Zerstörung östlich AZ 9 |
| 89/115 | (-0,30)–(-0,50) | Schotter unter Lehmniveau in HA 1 |
| 90/163 | (-0,25)–(-0,35) | aufplanierte Zerstörung in HA 1 |
| 90/144 | (-0,46)–(-0,50) | Schotter über älterem gelben Lehm Boden in HA 1 |
| Aufgabe: Viertes Viertel 7. Jahrhundert | | |
| 89/239 | (-0,14)–(-0,43) | Zerstörung MB ab Westmauer OK zu Stampflehboden |
| 90/126 | (-0,26)–(-0,39) | Zerstörung über Stampflehboden in HA 3 |
| 89/111 | (-0,15)–(-0,42) | Zerstörung bis Ascheschicht in HA 3, braune lehmige Erde |
| 90/090 | (-0,35)–(-0,45) | Zerstörung und Sand und Schotter nördliches Außenniveau |

MB 1 AG Phase III: Planierung Zerstörung OB, roter Lehm Boden mit Feuerstelle

| Bauzeit mit einplanierter Vorgängerphase: Zweites Viertel/Mitte 7. Jahrhundert | | |
|---|-----------------|---|
| 90/079 | (-0,20)–(-0,33) | Baugrube MB/OB West |
| 90/082 | (-0,33)–(-0,44) | Baugrubenboden in KRL |
| 91/127 | 0,15–(-0,10) | Erde über OB Südmauer; Planierung für MB |
| 90/167 | (-0,40)–(-0,50) | Aufplanierung im Zwickel an OB Nordwestmauer |
| 89/151 | (-0,20)–(-0,40) | Sand-Schotter-Erdgemisch nördlich und östlich OB |
| 89/154 | (-0,20)–(-0,30) | Sand-Schotter-Erdgemisch mit Zerstörung über und innerhalb OB-Mauer |
| 89/177 | (-0,15)–(-0,30) | Sand und Erde mit Zerstörungsschutt (?) |
| Nutzungsniveau: Zweites Viertel/Mitte 7. Jahrhundert | | |
| 89/126 | (-0,20)–(-0,25) | Planumputzen bis zum roten Lehm Boden |
| 89/120 | (-0,15)–(-0,55) | Füllung der Feuerstelle im zentralen Bereich |
| 90/183 | (-0,12)–(-0,21) | mittlerer Schotterhorizont in HA 1 |

KB/BK AG Phase IIIb: Bau: Einplanierte Zerstörung (XB) und Baugrube, Schotterboden in BK und westlich BK (HA1), Lehm- und Lehmziegelversturz darüber

| Bau: 7. Jahrhundert | | |
|--|-----------------|--|
| 96/242 | (-0,10)–(-0,30) | Baugrube südlich BK Südmauer im Ostprofil |
| 96/214 | (-0,15)–(-0,40) | UK Schotterboden bis KRL westlich BK (HA 1) |
| Nutzung: Zweites Viertel 7. Jahrhundert | | |
| 96/233 | (-0,11)–(-0,25) | Schotterboden in BK, ältere Zerstörung und Bauniveau darunter (XB [?]) |
| 96/213 | (-0,11)–(-0,15) | Schotterhorizont unter Nordmauer HA 13 westlich BK |
| Aufgabe: Ende 7. Jahrhundert (um 610) | | |
| 96/195 | 0,07–(-0,04) | Lehmgemisch westlich BK |
| 96/199 | (-0,04)–(-0,08) | Lehm und LZ westlich BK |
| 96/230 | (-0,08)–(-0,15) | Zerstörung mit gelben LZ, Lehm, Schotter und HK (KB) in HA 13 |
| 96/227 | 0,07–(-0,11) | Mauerlehm in BK ab OK und Baugrube HA 13 Nordmauer bis Schotterniveau |
| 96/218 | (-0,02)–(-0,12) | Mauerlehm, HK und LZ südlich BK bis roter Lehm Boden |

BZ AG Phase IIIb: Vorgängerphase und Aufplanierung unter Mauer und Boden, roter Lehm Boden

| Bauzeit mit Vorgängerplanierung: Viertes Viertel 7. Jahrhundert | | |
|--|--------------|---|
| 89/085 | 0,41–0,38 | aus dem Südprofil: keine Diagnostics |
| 91/179 | 0,00–(-0,47) | lehmige Erde mit Zerstörungsresten westlich Brunnen AB, A/88 |
| 93/092 | 0,30–0,00 | HK in Lehmniveau, älter als BZ |
| 93/101 | 0,32–0,03 | Graubrauner schmieriger Lehm bis KRL, älter als spätere Anlagen |

| | | |
|--|-----------------|---|
| 91/181 | ab 0,00 | Schotter und Erde in Grube |
| 89/124 | 0,05–(–0,20) | bis roter Lehm Boden knapp über Mauer-UK bis darunter |
| 89/244 | 0,30–(–0,05) | unter dem roten Lehm Boden |
| 89/050 | ca. 0,50–(0,35) | graubrauner feuchter Lehm |
| Bodenniveau: Viertes Viertel 7. Jahrhundert | | |
| 89/063 | 0,40–0,25 | rotes Lehmniveau und braune Lehmschichten darüber und darunter |
| 89/056 | 0,60–0,40 | grauer Lehm mit Asche auf Höhe des roten Bodens und knapp darüber |

Töpfereibetrieb AG Phase IIIb: Nutzungsniveau Töpferei; Bau und Nutzung von Pithos, Ofen mit begleitenden Gruben, Aufgabe des Betriebs: Verfüllung des Pithos, Ofenversturz und Verfüllung

| | | |
|---|-----------------|--|
| Anlage Bau- und Nutzungsniveau: Zweite Hälfte/viertes Viertel 7. Jahrhundert | | |
| 96/238 | (–0,02)–(–0,18) | Kleinstein-Grobschotter-Horizont unter Ofen |
| 96/208 | (–0,07)–(–0,23) | Schotterbank in XB |
| 96/225 | (–0,09)–(–0,24) | Schotterbank im Norden von XB unter Töpferofen |
| 95/209 | (–0,07)–(–0,23) | Feinschotter über KRL (XB) in HA 11a |
| 95/237 | 0,02–(–0,10) | Schotterniveau in XB bis KRL in HA 11a |
| 96/191 | (–0,04)–(–0,11) | Schotterniveau in HA 13, darunter Lehm mit HK und Feinschotter |
| 96/188 | 0,07–0,01 | gemischtes Material über Schotterniveau |
| 96/190 | 0,01–(–0,04) | gemischtes Material und Schotterhorizont darunter |
| 96/224 | 0,01–(–0,09) | unter Töpferofen |
| 96/228 | 0,08–0,04 | Mauerlehm und darunter unreiner Lehm unter Ofennutzungsniveau |
| 96/229 | 0,04–(–0,08) | Lehm mit HK zwischen Ofennutzschicht und Kleinsteinhorizont |
| 96/219 | 0,00–(–0,12) | Lehm bis Grobschotterhorizont: Bauzeit/Nutzung |
| Töpferofen Bauzeit und Nutzung: Viertes Viertel 7. Jahrhundert | | |
| 96/223 | 0,07–0,01 | Ofenboden bis Schotterniveau, Bauzeit Töpferofen |
| 96/221 | 0,25–0,05 | Ofenwand, Bauzeit Töpferofen |
| 96/235 | 0,10–(–0,06) | Aschenboden des Ofens, darunter Lehm bis Kleinsteinunterbau; Bauzeit Ofen |
| 96/226 | 0,09–(–0,12) | Aschengrube und Ofenbefeuerungsgrube |
| Ofenverfüllung: Aufgabe und Zerstörung: Ende 7. Jahrhundert | | |
| 96/196 | 0,25–0,05 | innere Verfüllung des Töpferofens |
| 95/169 | 0,25–0,05 | Ofenverfüllung |
| 95/271 | 0,25/0,05–0,03 | Ofenverfüllung |
| 96/192 | (–0,04)–(–0,11) | Beschickungsgrube und Schürkanal Töpferofen |
| 96/179 | 0,23–(–0,04) | Lehm, verstürzte Ofenteile und Keramik im Schürkanal |
| Gruben: Zweite Hälfte/viertes Viertel 7. Jahrhundert | | |
| 95/186 | 0,05–(–0,13) | Grube beim Töpferofen |
| 95/187 | 0,02–(–0,07) | Grube beim Töpferofen |
| 95/190 | (–0,07)–(–0,15) | Grube beim Töpferofen in KRL |
| 96/182 | 0,12–(–0,10) | Grubenverfüllung 3 |
| 95/184 | 0,11–0,05 | Lehm-Sand-Gemisch unter feinem Sand in HA 11a mit oberem Bereich der Sandgrube |
| Pithosetzgrube: Viertes Viertel 7. Jahrhundert | | |
| 95/210 | (–0,14)–(–0,26) | Pithosgrube ab Aschenschicht: Einbringung |
| 95/208 | (–0,07)–(–0,14) | Pithosgrube bis Aschenschicht: keine Diagnostics |
| 96/212 | (–0,17)–(–1,00) | Pithosetzgrube: Einbringung |
| Pithosverfüllung: Zweite Hälfte 7. Jahrhundert | | |
| 96/158 | 0,20–0,05 | HA 11a, Pithosverfüllung |
| 96/187 | 0,05–(–0,91) | HA 11a, Pithos und sandig-lehmige Pithosverfüllung |

| Aufgabe: Viertes Viertel 7. Jahrhundert | | |
|--|--------------|--|
| 96/183 | 0,12–(-0,10) | Lehm bei Pithos |
| 96/171 | 0,06–(-0,07) | gemischt bei Pithos in HA 11a |
| 96/167 | 0,15–0,07 | lehmige Zerstörung Töpferofen |
| 96/139 | 0,27–0,21 | Zerstörung bis Töpferofen OK |
| 96/152 | 0,27–0,15 | Zerstörung über und neben Töpferofen |
| 95/198 | 0,15–0,06 | Lehmgemisch östlich Lehmofen HA 11a |
| 96/215 | 0,05–0,00 | Lehm und Ofenteile unter Steinversturz |

HA-West: HA 4 AG Phase IV: Einplanierung NB, Stein-Schotter-Boden und lehmiges Außenniveau, Zerstörungshorizont/Versturz über Hofboden

| Einplanierung Vorgängerphasen: Anfang 6. Jahrhundert | | |
|---|-------------------|--|
| 92/167 | 0,00–(-0,35) | vermischte Schichten südlich NB Südmauer, HA 4 |
| 90/121 | 0,10/0,00–(-0,05) | Erde entlang der Westmauer HA 3 |
| 90/075 | 0,10–(-0,20) | lehmige Erde nördlich von KMB |
| 89/147 | 0,03–(-0,20) | mittelbraune lehmige Erde in HA 4a bis Steinboden-OK |
| Lehmbettung: Viertes Viertel 7. Jahrhundert | | |
| 92/177 | (-0,17)–(-0,35) | Lehm-/Sandboden, darunter Brandschutt in NB |
| 93/135 | (-0,12)–(-0,23) | brauner Lehm Boden und Zerstörung darunter bis Kiesniveau in NB |
| 93/076 | ca. (-0,10) | Lehm Boden unter Steinfußboden (problematisch) in 4b |
| 92/130 | (-0,06)–(-0,17) | brauner Lehm unter dem Steinboden in HA 4b, über älterem Schotterboden |
| 92/158 | (-0,03)–(-0,08) | ab Ascheschicht in HA 4b bis Steinboden: keine Diagnostics |
| Steinboden bzw. Schotterboden und Außenniveau: Erstes Viertel 6. Jahrhundert | | |
| 92/200 | (-0,04)–(-0,16) | Steinunterboden in HA 4b |
| 93/134 | 0,07–(-0,12) | Steinunterboden bis älterer Lehmhorizont in HA 4b |
| 92/128 | 0,00–(-0,06) | Steinboden in HA 4b |
| 92/099 | 0,03–0,01 | Putzen Schotterboden über Steinunterboden in HA 4b |
| 92/104 | 0,00 | Schotterboden in HA 4a |
| 89/224 | 0,10–(-0,10) | lehmige Erde unter Steinversturz/Außenniveau |
| Aufgabe und Versturz: Mitte 6. Jahrhundert | | |
| 90/069 | 0,30–0,10 | über und westlich Gang Westmauer und KMB Steinversturz |
| 90/100 | 0,10–(-0,50) | Steinversturz über NB Ostmauer und HA 4 |
| 89/235 | 0,10–(-0,20) | Versturz über Steinplattenboden in HA 4a |
| 89/227 | 0,00–(-0,15) | Zerstörungsplanum über Steinniveau/Lehm Boden in HA 4a |
| 89/150 | 0,20–(-0,25) | Erde bei Trennmauer HA 3/HA 4 |
| 89/221 | 0,35–0,07 | nordöstlich KMB über und zwischen Steinversturz Zerstörung HA 4 |
| 89/222 | 0,25–0,00 | nordöstlich KMB, Steinversturz |
| 89/226 | 0,29–0,00 | Lehmniveau mit Zerstörungsmaterial HA 4a |
| 90/074 | 0,35–0,10 | Steinversturz der HA Nordmauer: keine Diagnostics |
| 92/076 | 0,15–0,03 | Lehm und Kohle über Steinlage in HA 4b |
| 92/129 | 0,16–(-0,09) | Mauerschutt HA 4b Nordmauer |
| 92/143 | 0,45–0,09 | Zerstörung über HA 4b bis Sandboden mit Steinunterbau in HA 4b |
| 92/147 | 0,09–0,01 | unterer Teil des Schutts bis Sandboden in HA 4b mit HK |
| 92/166 | 0,50–0,00 | außerhalb NB Südmauer = HA 4 |
| 92/093 | 0,65–0,02 | brauner Lehm mit Kalkbröckchen bis Nordmauer NB |

HA-West: HA 6/7/8 AG Phase IV: Sandig-erdiger Unterboden mit einplanierter Zerstörung der Vorgängerphasen, Schotterboden, Aufgabe älterer Schotterboden in HA 7, 2. Schotterbodenphase in HA 7, Aufgabe

| Bauzeit mit Aufplanierung Vorgängerphasen: Viertes Viertel 7. Jahrhundert | | |
|--|-----------------|---|
| 91/099 | (-0,08)–(-0,58) | Erde bis KRL südlich HA 7/HA 8 |
| 89/214 | 0,00–(-0,25) | Erde-Sand-Schicht HA 6 zwischen KMB und NB im Zwickel/KMB |
| 91/153 | 0,15–(-0,10) | Planierung bis Aschenschicht (Feuerstelle) über KMB |
| 89/212 | (-0,01)–(-0,15) | Lehmniveau und Sand-Feinschotter-Unterbau mit älterer Zerstörung darunter in KMB bis jüngerer Schotterboden Südwestecke KMB zu HA 6 |
| 89/245 | 0,05–(-0,15) | lehmige Erde bis Sand-Schotter-Niveau im Gang östlich HA 6 |
| 91/103 | 0,05–0,02 | Zerstörung des Vorgängerbaus in HA 7 keine Diagnostics |
| Nutzungs niveau: Ende 7. Jahrhundert | | |
| 92/105 | (-0,05)–(-0,18) | Schotterhorizont, teils über Versturz der KMB Westmauer HA 6 |
| 92/113 | (-0,05)–(-0,13) | Feinschotter und Sand HA 6/KMB |
| 91/116 | (-0,02)–(-0,20) | Schotterniveau und Zerstörung darunter HA 6 |
| 91/164 | 0,20–0,15 | Schotterboden über gelbem Lehm Boden HA 8 |
| 91/145 | 0,25–0,17 | Steinhorizont und Schotterboden auf gelbem Lehm Boden in HA 8 |
| 93/102 | 0,18–0,13 | Lehm zwischen Schotterhorizont im Südwesten HA 8 und südlicher Steinlage |
| 91/105 | 0,13–0,05 | Feinschotterboden II und Zerstörung darunter HA 7 |
| 91/114 | 0,11–0,01 | Feinschotterhorizont II HA 7 |
| 91/110 | 0,05–0,00 | Schotterboden II in HA 7: keine Diagnostics |
| 92/072 | 0,13–0,07 | Schotterschicht in HA 7: keine Diagnostics |
| Auffüllung zwischen älterem und jüngerem Schotterniveau: Zweite Hälfte 7. Jahrhundert | | |
| 91/111 | 0,20–0,11 | Zerstörung zwischen Feinschotterhorizont I und II HA 7/über Schotterboden II |
| 92/071 | 0,17–0,13 | zwischen Schotterschicht I und II HA 7 |
| Jüngeres Nutzungs niveau in HA 7: 6. Jahrhundert | | |
| 92/070 | 0,23–0,17 | Schotterschicht I HA 7 |
| 90/106 | (-0,10)–(-0,28) | Feinschotterhorizont HA-Gang |
| Aufgabe und Zerstörungsversturz: Mitte/zweite Hälfte 6. Jahrhundert | | |
| 90/104 | 0,10–(-0,10) | Erde über Schotterhorizont HA-Gang |
| 89/209 | 0,15–0,00 | lehmige Zerstörung über und neben schräger Ostwestmauer KMB und Steinböden |
| 90/080 | 0,10–(-0,05) | lehmige Erde zwischen KMB und MB 1 |
| 91/112 | 0,08–(-0,02) | über Schotterhorizont HA 6 |
| 92/066 | 0,25–0,18 | Zerstörung KMB SW Teil HA 7/HA 8: keine Diagnostics |
| 91/093 | 0,30–0,25 | Zerstörung HA 7 |
| 91/100 | 0,28–0,13 | Zerstörung HA 7 |
| 90/169 | 0,33–0,05 | Zerstörung bis OK Ostmauer HA 7/HA 8 |
| 92/015 | 0,25–0,16 | Zerstörung HA 8 unter hellbraungrauem Lehm |
| 90/202 | 0,30–0,20 | vermischte Lehmschichten und Zerstörungsmaterial bis etwa OK HA 8 |

HA-Ost 1: HA 2/3/1 AG Phase IV: Bauzeit HA, erstes Bodenniveau mit Lehm Boden in HA 1 und Schotterböden in HA 2 und 3, erhöhtes Schotterbodenniveau in HA 1 und HA 3, Aufgabe

| Bauzeit: Viertes Viertel 7. Jahrhundert | | |
|---|-----------------|--|
| 93/075 | 0,00–(-0,25) | Mauer HA 3 |
| 90/155 | (-0,14)–(-0,35) | Putzen Mauer MB Ostmauer |
| 90/164 | (-0,31)–(-0,55) | Sand und Schotter und Lehm und LZ unter der jüngeren Nordmauer in HA 1 |
| Ältere Nutzungsphase: Mitte/viertes Viertel 6. Jahrhundert | | |
| 89/113 | (-0,10)–(-0,30) | ockerfarbenes Lehm niveau (Boden) in HA 1 bis über MB 2 OK Ostmauer |
| 90/141 | (-0,18)–(-0,46) | Zerstörungsschutt mit viel Schotter in HA 3; gestört (?) |

| | | |
|--|-----------------|---|
| 90/131 | (-0,12)–(-0,24) | Feinschotterhorizont in HA 3 |
| 90/086 | (-0,13)–(-0,30) | Feinschotterhorizont in HA 2 |
| 90/089 | (-0,30)–(-0,35) | Feinschotter über Zerstörung nördliches Außenniveau |
| 90/161 | (-0,22)–(-0,31) | grauer Sand und Schotter nördliches Außenniveau |
| 90/160 | (-0,13)–(-0,22) | lehmige Erde nördlich HA 1 Nordmauer |
| Jüngere Nutzungsphase (?): Zweites Viertel 7. Jahrhundert | | |
| 90/159 | 0,05–(-0,25) | Schotter in HA 1, eventuell gestört |
| 90/139 | (-0,05)–(-0,18) | sandige Erde in HA 3/sandiger Feinschotterhorizont |
| Aufgabe, Versturz und Einplanierung für Nachfolgebauten: Mitte/zweite Hälfte 6. Jahrhundert | | |
| 89/119 | 0,00–(-0,20) | Lehmschicht über Trennmauer HA 2/3/5 |
| 89/182 | 0,20–(-0,10) | Lehmverfüllung unter Steinhorizont in der Südwestecke HA 2 |
| 89/183 | 0,20–(-0,10) | lehmige Erde bis OK HA 2 in der Südostecke unter Steinhorizont |
| 89/186 | 0,20–(-0,10) | Lehm unter Steinversturz und darunter Schotter, Verfüllung bis Mauer-UK HA 2 |
| 90/071 | 0,30–(-0,10) | lehmige Erde nördlich HA 2 Nordmauer über sandig-schottrigem Außenniveau; gestört (?) |
| 90/084 | (-0,04)–(-0,13) | Zerstörungsmaterial mit Steinversturz und Erde über Schotterhorizont HA 2 |
| 90/130 | 0,11–(-0,12) | braune lehmige Erde und Zerstörung unter hellenistischen Bauten HA 3 |
| 89/114 | 0,50–(-0,40) | HA 3, Zurückversetzen Profil und Reinigen |
| 90/153 | 0,25–(-0,14) | Aufschüttung für Boden in der Südostecke HA 2: keine Diagnostics |

HA-Ost 1: HA 5 AG Phase IV: Schotterboden, Zerstörungsversturz, Grubenverfüllungen

| | | |
|--|-----------------|--|
| Nutzungs niveau: Zweite Hälfte 7. Jahrhundert | | |
| 90/122 | (-0,05)–(-0,19) | Schotterboden an der Westmauer HA 5 |
| 90/182 | 0,00–(-0,12) | oberer Feinschotterhorizont in HA 1 wie 90/171 |
| Aufgabe und Versturz: Mitte 6. Jahrhundert | | |
| 89/174 | (-0,20)–(-0,60) | Amphorengrube (unterer Teil, oberer Teil 89/121 datiert nacharchaisch) |
| 90/157 | 0,05–(-0,41) | Schutt bis KRL westlich Hof Ostmauer |
| 91/141 | 0,36–0,21 | HA-Gang, Steinversturz und Erde darunter |
| 91/149 | 0,55–0,15 | Steinversturz und lehmige Erde darunter im Nordbereich HA-Gang |
| 90/179 | 0,07–0,00 | dunkelbraune lehmige Erde mit Steinversturz in HA 1 |

HA-Ost 1: HA 9 AG Phase IV: Aufplanierte Zerstörung unter Boden; teils rot verbrannter Lehm Boden und Schotterhorizont im östlichen Teil sowie lehmiges und sandiges Außenniveau im Süden mit Grubenverfüllung, Zerstörung darüber

| | | |
|---|-----------------|--|
| Bauzeit: Viertes Viertel 7. Jahrhundert/Anfang 6. Jahrhundert | | |
| 89/199 | (-0,45)–(-0,55) | aufplanierte Zerstörungsschicht Vorgängerphase bis auf KRL, HA 9b |
| 89/197 | 0,07–(-0,30) | sandiges Außenniveau mit wenig Schotter im Süden von HA 9b |
| 89/189 | 0,10–(-0,25) | südliches Außenniveau HA 9b: rötlich lehmiges Gelniveau und Straten darüber, teilweise aus Profilbegradigung |
| 89/198 | (-0,25)–(-0,45) | sandiges Niveau und Zerstörungsschicht darunter |
| 89/118 | 0,20–0,05 | HA-Gang und südlich davor, braune lehmige Erde, Maueraußenniveau: Bauzeit |
| Nutzungszeit mit Lehm Boden und Außenniveau: Anfang 6. Jahrhundert | | |
| 91/089 | 0,28–0,25 | gelber Lehmhorizont in HA 9a, Fußboden |
| 91/125 | 0,18–0,10 | roter Boden und darunter LZ |
| 91/121 | 0,24–0,18 | verbrannter Lehm Boden und darunter bis auf Kleinstenniveau und OK innere Trennmauer |
| 89/192 | 0,30–0,07 | südliches Außenniveau HA 9b, sandig im unteren Bereich |

| Versturz: Mitte 6. Jahrhundert | | |
|---------------------------------------|-----------------|---|
| 92/117 | 0,32–0,24 | LZ über rot verbranntem Lehm Boden: keine Diagnostics |
| 91/136 | (–0,08)–(–0,16) | Lehm mit Bauschutt (Zerstörung HA /OB) |
| 91/088 | 0,20–0,00 | Zerstörung HA Gang mit Asche, Steinen und LZ |
| 91/185 | 0,40–0,30 | hellbrauner Lehm über HA 9 |

HA-Ost 2: HA 10 AG Phase IV: Bau und Feinschotterboden, Aufgabe über Schotterboden und HA-Mauern

| Bau und Nutzung: Ende 7. Jahrhundert/6. Jahrhundert | | |
|--|-----------------|---|
| 92/184 | 0,13–0,03 | Sandboden im Süden von HA 10 unter Störgraben und Zerstörung darunter |
| 92/186 | 0,03–(–0,11) | Grube unter Sandboden östlich Brunnen HA 10b, Verfüllung und Zerstörungsversturz |
| 92/164 | 0,01–(–0,11) | KRL mit Kulturresten südlich HA 10 |
| 92/171 | 0,05–(–0,04) | Lehm auf KRL bzw. in einer Grube südlich HA 10: keine Diagnostics |
| 92/192 | (–0,12)–(–0,35) | gelbe LZ in Grube (XB [?]) unter HA 10 |
| 91/176 | 0,20–0,10 | Schotterniveau und darunter lehmige Erde zwischen HA 9 Ostmauer und Ostprofil und HA 10 |
| 93/125 | 0,28–0,02 | Feinschotter und Zerstörung (YB/XB) darunter bis KRL vor HA 10 |
| 92/149 | 0,25–0,18 | Feinschotter mit Sandunterboden unter Störgraben HA 10b |
| 92/183 | 0,25–0,12 | Schotterniveau und darunter in HA 10b |
| 92/157 | 0,20–0,18 | Schotterniveau |
| 92/160 | 0,18 | Putzen des Steinbodens in der Ecke HA 10b |
| 92/161 | 0,18–0,10 | Schotterschicht in HA 10b |
| 93/136 | 0,24–0,13 | Feinschotterboden |
| 96/157 | 0,30–0,22 | Schotterniveau über gelber LZ-Zerstörung (XB/YB) Südostecke HA 10b |
| Aufgabe: Mitte 6. Jahrhundert | | |
| 93/122 | 0,37–0,28 | Lehm südlich HA 10 bis Feinschotterhorizont |
| 93/133 | 0,32–0,24 | Lehm über Feinschotterhorizont in HA 10a |
| 93/140 | 0,20–(–0,06) | brauner Lehm und Steinversturz über und östlich HA 10a Ostmauer |
| 96/154 | 0,30–0,20 | Lehm über und neben Steinversturz südlich HA 10 |
| 92/180 | 0,40–0,25 | Zerstörung über HA 10b |

HA-Ost 2: HA 11/12/13/14 AG Phase IV: Bau HA (Einplanierung und Baugrube), Schotterboden der Nutzungszeit über einplanierter Vorgängerzerstörung, Aufgabe

| Bau und Einplanierung der Vorgängerbebauung: Anfang 6. Jahrhundert | | |
|---|--------------|---|
| 96/194 | 0,26–0,08 | Lehm unter Steinversturz nördlich HA 13 Südmauer |
| 96/166 | 0,21–0,15 | Lehm bei Pithos |
| 96/189 | 0,26–0,16 | um Ofen nördlich Steinversturz in HA 13 |
| 96/181 | 0,22–0,06 | lehmige Zerstörung mit Steinversturz und gelben LZ an Ostmauer HA 13 (ähnlich wie 96/179, Ofen) |
| 95/147 | 0,23–0,18 | Zerstörungsschicht und Isolierlehm rund um Ofen HA 11a/13 |
| 96/172 | 0,20–(–0,07) | gemischt bis Schotterboden in HA 11a |
| 96/175 | 0,24–0,18 | zwischen Schotterniveaus in HA 11a, Grube 2 |
| 95/195 | 0,21–0,17 | Lehmgemisch nördlich HA 11a Südmauer |
| 95/178 | 0,18–0,14 | Lehm mit HK, Kalkbröckchen und gelben Lehmeinschlüssen in HA 11b |
| 95/228 | 0,14–0,03 | graubrauner Lehm in HA 11b |
| 96/162 | 0,24–0,11 | Mauerausritt YB und östlich davon Lehmplanierung UK HA 11b Südmauer |
| 95/248 | 0,17–0,10 | verunreinigter Lehm südlich HA 11b/HA 12 mit HK, Kalk und Steinchen |
| 95/268 | 0,15–0,09 | verunreinigter sandiger Lehm mit HK, Kalk, Schotter in HA 11b |

| | | |
|---|-----------------|---|
| 95/276 | 0,09–(–0,08) | graubrauner Lehm, HK, gelbe LZ auf KRL in HA 11b |
| 95/278 | 0,23–0,15 | verunreinigter graubrauner Lehm in HA 11b |
| 96/153 | 0,23–0,13 | verunreinigter Lehm südlich HA 11b |
| 96/163 | 0,11–(–0,09) | Lehmplanierung und HK in KRL |
| 95/275 | 0,24–0,11 | graubrauner Lehm in HA 11 |
| 95/203 | 0,06–0,01 | Lehm-Sand-Gemisch in HA 11a mit gelben Lehmziegelbröckchen |
| 95/204 | 0,01–(–0,07) | Lehm-Sand-Gemisch in HA 11a mit gelben Lehmziegelbröckchen |
| 96/232 | (–0,11)–(–0,25) | Baugrube zu HA 13 Nordmauer in BK mit Schottergrube |
| 96/173 | 0,29–0,14 | Baugrube Nordmauer HA 11a; gestört (?) |
| 96/178 | 0,07–(–0,02) | Baugrube Nordmauer HA 11a; gestört (?) |
| 95/173 | 0,28–0,18 | Planierung in HA 11b mit gelben und roten Lehmbröckchen |
| 95/283 | 0,15–0,09 | Graubrauner Lehm bis OK XB |
| 95/285 | 0,09–0,03 | Graubrauner Lehm westlich XB |
| 96/216 | 0,03–(–0,02) | sandiger Lehm und Putzen AZ 11, XB Nordmauer und BK Südmauer |
| 96/159 | 0,25–0,12 | Grubenverfüllung 1 |
| 96/164 | 0,25–0,13 | Grubenverfüllung 2 |
| Schotterboden: 6. Jahrhundert | | |
| 96/147 | 0,29–0,21 | Schotterniveau im Lehm mit gelbem Lehmgranulat in HA 12 |
| 95/313 | 0,33–0,30 | Schotterboden in HA 12: keine Diagnostics |
| 96/207 | 0,26–0,04 | Schottriger Lehm und Material darunter südlich Ofen in HA 13 |
| 96/174 | 0,26–0,19 | Schotterniveau in HA 11a und Grube 3 |
| 96/144 | 0,25–0,23 | Graubrauner Lehm und gelbe Lehmbröckchen mit wenig Schotter in HA 11a |
| 96/142 | 0,27–0,25 | Schotterniveau mit Lehmgemisch in HA 11a |
| 93/096 | 0,15–0,05 | Feinschotter und Lehm bis Zerstörung darunter in HA 11a |
| 96/177 | 0,14–0,07 | Schotterniveau nördlich Pithos |
| 95/254 | ca. 0,28 | Putzen Schotterhorizont HA 11b |
| 96/150 | 0,27–0,19 | Schotterniveau an Mauer HA 10b/11b |
| 96/165 | 0,25–0,20 | Schotterniveau südlich Pithos |
| Aufgabe und Versturz: 6. Jahrhundert | | |
| 95/297 | 0,26–0,22 | Grube in Schotterboden in HA 12 verfüllt mit Zerstörungsschutt: Aufgabe |
| 95/172 | 0,36–0,28 | Zerstörung in HA 11b |
| 95/253 | ca. 0,33 | Putzen Schotterschicht HA 12/Zerstörung mit gelben LZ |
| 95/294 | 0,33–0,26 | Lehmgrube in Schotterschicht HA 12 |
| 96/124 | 0,33–0,29 | oberer Teil Schotterniveau und Lehm über HA, Zerstörung in HA 11/12 |
| 96/185 | 0,39–0,29 | Zerstörung bis Schotterniveau in HA 12 |
| 96/123 | 0,39–0,33 | verunreinigter Lehm mit Steinversturz bis Schotterniveau |
| 96/176 | 0,29–0,22 | lehmige Zerstörung bis gelbes steiniges Zerstörungsniveau in HA 13 |
| 95/255 | 0,28–0,24 | Putzen verunreinigtes Erdlehmniveau 1993 in HA 11b |
| 95/246 | 0,34–0,17 | Lehm südlich HA 11b/HA 12 |
| 96/145 | 0,35–0,19 | verunreinigter Lehm mit HK, rosa Lehm und Schotter in HA 11b |
| 95/251 | 0,10–0,01 | Putzen HA 11b/12 Südmauer OK: Aufgabe HA: keine Diagnostics |
| 95/295 | 0,33–0,15 | Störung Mauer HA 11b/12: Aufgabe HA |

1.B DIE KERAMIK

1.B.1 Forschungs- und Publikationsstand zur ostgriechischen Keramik archaischer Zeit

Im Folgenden soll der aktuelle Forschungs- und Publikationsstand zur ostgriechischen Keramik archaischer Zeit skizziert werden. Eine detaillierte forschungsgeschichtliche Abhandlung ist nicht angestrebt. Das Hauptaugenmerk liegt vielmehr auf den jüngeren Entwicklungen besonders der letzten 40 Jahre, welche für die Keramikforschung bis heute von maßgeblicher Relevanz sind und die damit auch dieser Arbeit zugrunde liegen, sowie auf den für Ephesos vorliegenden Arbeiten. Die Anfänge der über 150-jährigen Forschungsgeschichte zur Materie sollen hingegen nicht näher vertieft werden³⁹. Ihr Wert für die jüngere Forschung liegt vornehmlich in umfangreichen Befund- und Materialvorlagen⁴⁰ und ersten richtungsweisenden gattungsspezifischen Studien⁴¹ begründet.

Es ist das Verdienst R. M. Cooks, in »Greek Painted Pottery« auf Basis der älteren Forschungen und Publikationen eine erste Klassifizierung auch der ostgriechischen Keramik vorgenommen zu haben⁴², die am Anfang der jüngeren Auseinandersetzung mit dieser steht und auf die sich im Grunde bis heute alle Arbeiten zu diesem Thema in der einen oder anderen Form beziehen. J. N. Coldstream verdankt die Keramikforschung mit »Greek Geometric Pottery« das richtungsweisende Überblickswerk zu der der Archaik vorangehenden und diese in ihren Anfängen stark prägenden Keramikproduktion geometrischer Zeit⁴³. In den späten 1990er Jahren erschien, unter Berücksichtigung der fortgeschrittenen wissenschaftlichen Erkenntnisse, als weiter ausformulierte Version mit »East Greek Pottery« ein Überblickswerk mit Handbuchcharakter zur ostgriechischen Keramik von R. M. Cook in Zusammenarbeit mit P. Dupont, dem eine erste Synthese zu den ostgriechischen Amphoren verdankt wird⁴⁴.

Zwischen den Erscheinungsdaten dieser Standardwerke liegt neben einer Reihe wichtiger Materialvorlagen⁴⁵ die endgültige Ablöse der lange Zeit vorherrschenden Annahme von Rhodos als Hauptproduktionszentrum ostgriechischer Keramik⁴⁶ durch die von H. Walter und E. Walter-Karydi formulierte Idee mehrerer regionaler Produktionszentren⁴⁷. Bis in die 1960er Jahre galt, wenn auch nicht unwidersprochen, das auf der damaligen Fundevidenz aus rhodischen Grabkontexten beruhende »panrhodische Konzept«⁴⁸, das erst mit den umfangreichen Keramikvorlagen aus dem Heraion von Samos der differenzierteren Vorstellung mehrerer, sich stilistisch voneinander unterscheidender Produktionszentren und -regionen abgelöst wurde. Innerhalb dieser

³⁹ Ein forschungsgeschichtlicher Überblick seit den Anfängen der Beschäftigung mit ostgriechischer Keramik ist bei Cook 1992, 309–315 und Coulié 2013, 142–187 nachzulesen. Vgl. außerdem die ausführlichen forschungsgeschichtlichen Beiträge bei Kerschner 2002a, 28–36; Kerschner 2017a, 100–102.

⁴⁰ s. etwa Salzmann 1875; Petrie 1886; Boehlau 1898; Dragendorff 1903; Kinch 1914; Dugas 1928; Jacopi 1929; Technau 1929; Jacopi 1931; Jacopi 1932/1933; Eilmann 1933; Dugas – Rhomaios 1934; Dugas 1935; Laurenzi 1936; Lambrino 1938; Cook 1949; Walter 1957; Walter – Vierneisel 1959.

⁴¹ s. Cook 1933/1934; Cook 1952 zur Fikelluraware und der nordionisch-schwarzfigurigen Ware und in Anlehnung daran Cook 1965; Villard – Vallet 1955 zu den Knickrandschalen.

⁴² Cook 1960, 116–142.

⁴³ s. Coldstream 1968, 262–301.

⁴⁴ Cook – Dupont 1998.

⁴⁵ Vgl. etwa Cook 1965; Hayes 1966; Condurachi 1966; Boardman 1967; Kleiner u. a. 1967; Coldstream 1968; Kopcke 1968; Tuchelt 1971; Metzger 1972; Hayes 1973; Ploug 1973; von Graeve 1973/1974; von Graeve 1975; Calvet – Yon 1977; Gjerstad 1977b; Thalmann 1977; Alexandrescu 1978; Isler 1978b; Kleine 1979; Schiering 1979; Furtwängler 1980; Voigtländer 1982; Schaus 1985; Furtwängler – Kienast 1989; Lemos 1991; Radt 1992; Ersoy 1993; Boldrini 1994.

⁴⁶ Vgl. den Überblick zu den rhodischen Grabungen bei Coulié 2013, 144–147; Coulié – Filimonos-Tsopotou 2014, 24–75 mit weiterführender Lit. Zur tatsächlich lokal rhodischen Keramik vgl. im Überblick Coulié 2013, 184–186; Coulié – Filimonos-Tsopotou 2014, 104–121. 290–315.

⁴⁷ s. Walter 1968; Walter-Karydi 1973. Einen guten Einblick bietet hierzu Kerschner 2002a, 28–36.

⁴⁸ s. dazu im Überblick Kerschner 2002a, 29. Der erstmalige Eingang der ostgriechischen Keramik in die archäologische Diskussion geht auf die Pionierarbeiten A. Salzmanns auf Rhodos zurück: Salzmann 1875. Zu der Keramik aus den Grabungen A. Salzmanns zuletzt auch Coulié 2014.

teils nur sehr summarisch charakterisierten, da unzureichend bekannten Produktionsregionen wurde Samos selbst das künstlerisch-innovative Primat eingeräumt, womit auch hier letztlich die Fundmenge vor Ort ähnlich wie zuvor in Rhodos zum Beurteilungskriterium der Relevanz des Fundplatzes für die Keramikproduktion wurde.

Als weitere zentrale Entwicklungen in der ostgriechischen Keramikforschung haben der Beginn der systematischen Amphorenforschung⁴⁹ und die ab den 1970er Jahren initiierte Berücksichtigung innovativer naturwissenschaftlicher Methoden in der Keramikanalyse⁵⁰ zu gelten, mit denen erstmals die Resultate archäometrischer Analysen des Tonrohstoffes in die Herkunftsfrage der Gefäße einbezogen wurden und die in ihrer konsequenten Weiterführung seither einen wesentlichen Erkenntnisfortschritt erbracht haben. Zu den wichtigsten, da für den gesamten ionischen Kulturraum besonders relevanten Ergebnissen zählen neben einer Reihe anderer Herstellungsorte sicher die Identifizierung Milets als eines der richtungsweisenden Produktionszentren für Knickrandschalen, Tierfrieskeramik und Fikelluraware⁵¹, die Bestätigung einer orientalisierenden Keramikproduktion in der Äolis⁵², die Verortung der späten Ausprägung des Tierfriesstils gemeinsam mit dem schon von J. N. Coldstream definierten und zunächst auf Rhodos lokalisierten ›Bird-kotyle-workshop‹⁵³ in Teos im nördlichen Ionien⁵⁴ sowie der Produktionsnachweis der chiotischen Keramik auf der Insel Chios und daran angelehnt am gegenüberliegenden Festland⁵⁵.

1.B.1.1 TYPOLOGIE UND CHRONOLOGIE

1.B.1.1.1 *Relative Chronologie*

Das relative Chronologiegerüst der ostgriechischen Keramik archaischer Zeit beruht im Wesentlichen auf dem Verständnis der form- und dekortypologischen Entwicklung der Feinkeramik, welches sich aus geschlossenen Befunden in Ionien⁵⁶ und im weiteren Verbreitungsradius ostgriechischer Keramik⁵⁷ erschließt. Das von R. M. Cook auf Basis stilistischer Grundlagen

⁴⁹ Vgl. dazu besonders die Materialvorlagen und Diskussionen spezieller Fragestellungen bei Zeest 1960; Grace 1971; Clinkenbeard 1982; Dupont 1982; Clinkenbeard 1986; Doğer 1986; Jones 1986a; di Sandro 1986; Johnston 1990; Ruban 1991; Grandjean 1992; Lawall 1995; Whitbread 1995; Cook – Dupont 1998; Monachov 1999; Sezgin 2004; Dupont 2005a; Kerschner – Mommsen 2005; Naso 2005; Birzescu 2009; Fantalkin – Tal 2010; Tzocher 2011b; Birzescu 2012a; Sezgin 2012.

⁵⁰ Vgl. für die ostgriechische Keramik Dupont 1983; Dupont 1986. s. auch Jones 1986b. Erstmals wird die archäometrische Methode bei Boardman – Schweizer 1973, 267–283 thematisiert. Ein allgemeiner Überblick ist bei Kerschner 2017a nachzulesen, bes. die Literaturverweise Anm. 16.

⁵¹ Zu der nunmehr gesicherten Produktion in Milet vgl. Dupont 1983, 37–39; Dupont 1986; Kerschner 2002b, 37–47. Zuletzt hat Coulié 2014, 48–62 den Versuch unternommen, einzelne Malerhände innerhalb der milesischen Tierfriesproduktion zu scheiden.

⁵² Kerschner 2002e, 84–92; Kerschner 2006c; Posamentir – Solovyov 2006, 106–110.

⁵³ Zum ›Bird-kotyle-workshop‹ vgl. Coldstream 1968, 277–279. s. auch Coulié 2013, 172–175.

⁵⁴ Eine Lokalisierung des ›Bird-kotyle-workshop‹ im nördlichen Ionien wurde erstmals von Dupont 1983, 40. 41 vorgeschlagen und von Kerschner – Mommsen 1997 bestätigt. Die aktuelle Auflage Coldstream 2008, 479 berücksichtigt diese neuen Ergebnisse bereits. Zuletzt gelang die nachweisliche Lokalisierung der Vogelschalenwerkstatt in Teos. s. dazu Kerschner 2014a, 109. 115; Kadioğlu u. a. 2015, 349–353; Kerschner 2017a, 107 f. Vgl. dazu auch schon die archäologische Argumentation bei Kerschner 2002e, 72–92. Zu der Verortung des späten Tierfriesstils vgl. Dupont 1983, 39 f.; Dupont 1986, 67 f.; Kerschner 2002e, 72–92.

⁵⁵ Zu Chios vgl. Dupont 1983, 30 f. 41; Jones 1986b, 282–288. Zu Erythrai vgl. Bayburtluoğlu 1978, 30; s. auch Dupont 1983, 24 f. 41. Zu Klazomenai s. Hürmüzü 2008. Zusammenfassend vgl. Kerschner – Mommsen 2009, 133–136.

⁵⁶ Für das Heraion von Samos s. Walter 1957; Walter – Vierneisel 1959; Furtwängler 1980; Furtwängler – Kienast 1989. Für Milet vgl. von Graeve 1973/1974; von Graeve 1975; Kerschner 1999. Für Assesos s. Kalaitzoglou 2008. Für Iasos s. Ibba 2004; Donati 2013. Für Ephesos s. Langmann 1967; Kerschner 1997a. Für Klazomenai vgl. Ersoy 1993; Ersoy 2004. Für Smyrna vgl. Akurgal 1983. Für Chios vgl. Boardman 1967.

⁵⁷ s. dazu Alexandrescu 1978 und Alexandrescu 2005b zu Istros; Hayes 1966 und Hayes 1973 zu Taucheira; Utili 1999 zu Assos; Jacopi 1929, Jacopi 1931 und Jacopi 1932/1933 zu den Nekropolen von Rhodos; Waldbaum 2011 zu Ashkelon; Villard – Vallet 1955 und Villard – Vallet 1964 zu Megara Hyblaea.

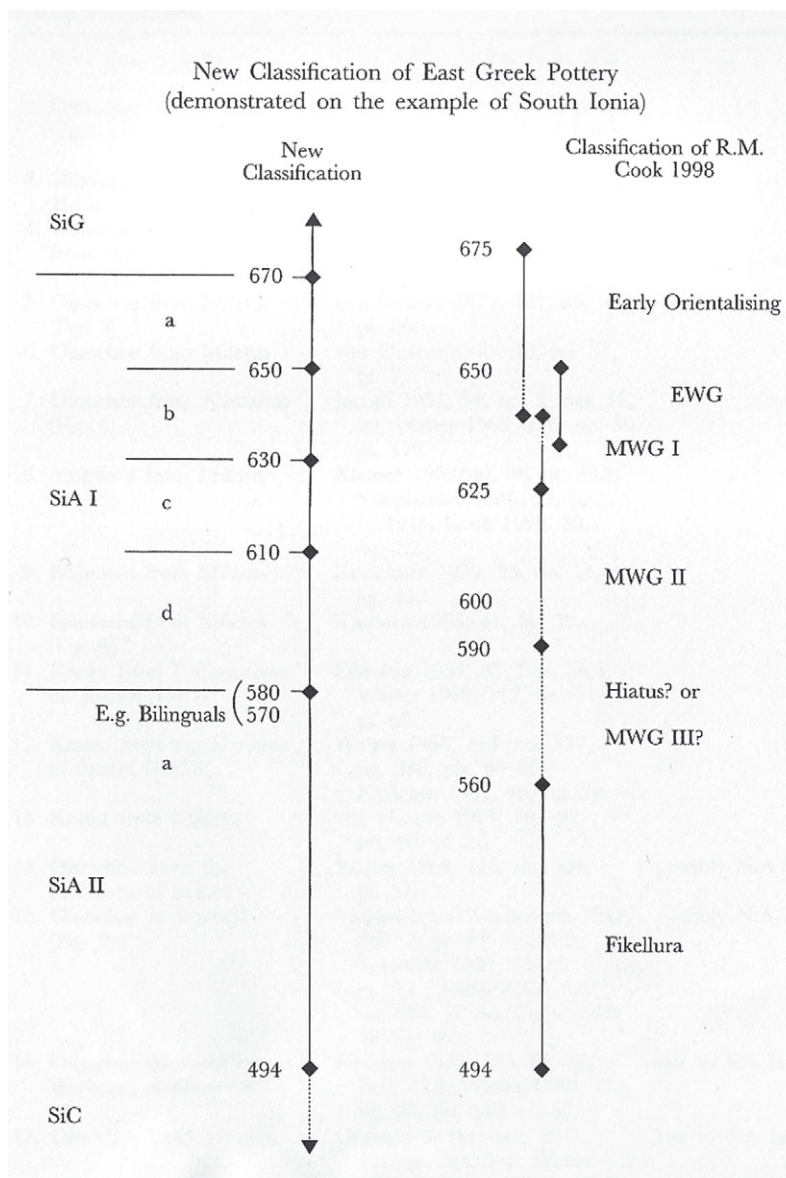


Abb. 1 Typologie der ionischen Feinkeramik nach Kerschner – Schlotzhauer 2005

erstellte Chronologiesystem für die bemalte Feinkeramik⁵⁸ wurde zuletzt von M. Kerschner und U. Schlotzhauer unter Einbeziehung der Herkunftsfrage terminologisch und inhaltlich modifiziert (Abb. 1)⁵⁹.

Für die Trinkgefäße als zweite große Gruppe innerhalb der Feinkeramik liegen mehrere chronologische Typenreihen vor. Für die ionischen Knickrandschalen⁶⁰ wurde die erste richtungweisende Typologie von F. Villard und G. Vallet auf Basis der Funde aus Megara Hyblaea⁶¹

⁵⁸ Vgl. dazu Cook – Dupont 1998, 32–70. 77–107.

⁵⁹ s. Kerschner – Schlotzhauer 2005; Kerschner – Schlotzhauer 2007. Speziell mit dem Verhältnis der Tierfrieskeramik zu der beginnenden Fikelluraware hat sich U. Schlotzhauer auseinandergesetzt: Schlotzhauer 2001, 119–122; Schlotzhauer 2006a, bes. 135–141; Schlotzhauer 2007. Zu der Chronologie der Gattung vgl. auch Schlotzhauer 2012, 44.

⁶⁰ Der Begriff der Knickrandschale wurde von Schlotzhauer 2000, 413 mit überzeugender Argumentation in die Lit. eingeführt.

⁶¹ s. Villard – Vallet 1955, 14–34.

vorgelegt, welche auch der Typologie von J. Hayes für die Schalen aus Taucheira⁶², derjenigen von G. Ploug für die Schalen von Tell Sukas⁶³ und derjenigen von S. Boldrini für die Schalen aus Gravisca⁶⁴ zugrunde liegt. U. Schlotzhauer hat zuletzt auf Basis der Knickrandschalen aus Milet und Samos das chronologische Typensystem entworfen, an welchem sich auch die vorliegende Arbeit orientiert⁶⁵. Die ostgriechischen Kotylen und Kalottenschalen⁶⁶ wurden unter Berücksichtigung von Exemplaren aus geschlossenen Befunden im gesamten Mittelmeerraum von M. Kerschner in eine typologische und chronologische Reihung gebracht⁶⁷. Um die Einordnung chiotischer Feinkeramik haben sich J. Boardman und A. Lemos maßgeblich verdient gemacht⁶⁸.

Der Feinkeramik steht das vielfältige Gefäßrepertoire der gröberen Warenqualitäten gegenüber, welches neben den bemalten und nichtbemalten Alltagswaren sowie den Vorrats- und Transportgefäßen auch die Küchenwaren einschließt. Eine Einordnung dieser Gefäßgattungen erfolgt mit Ausnahme der mittlerweile recht gut erfassten Transportamphoren meist anhand der vergesellschafteten Feinwaren; eine eigenständige typologische Reihung mit chronologischen Implikationen ist nur in Ausnahmefällen gegeben, was neben dem über lange Zeit geringeren Interesse an diesen künstlerisch unspektakulären und in ihrer Menge schwerer zu handhabenden Gefäßen mit geringerem Wiedererkennungswert auch der Befundsituation geschuldet sein mag, bleibt eine dichte Reihe geschlossener Befunde mit ausreichend Vergleichsmaterial jenseits stilistischer Interpretationsmöglichkeiten doch die einzige Option, relativchronologische Abfolgen zu fassen.

Die wenigen in den archaischen Siedlungsbefunden vergesellschafteten korinthischen und attischen Importgefäße dienen als chronologisch gut bekannte Gattungen im Rahmen der kontextuellen Befundvorlage vor allem der Absicherung der relativen Phasenabfolge der Agora-Siedlung⁶⁹. Diese ruht auf zwei argumentativen Säulen: der Siedlungsstratigraphie und dem keramischen Gefäßensemble.

1.B.1.1.2 Absolute Chronologie

Die absolute Datierung all dieser relativchronologischen Systeme baut auf zwei Fundamenten auf.

Zum einen sind dies die wenigen, aus der literarischen Überlieferung erschlossenen und teilweise kontrovers diskutierten Daten für historische Ereignisse, welche sich im archäologischen Befund widerspiegeln und die damit wichtige Indizien zum Vorkommen bestimmter Gefäßtypen und Typenvarianten in eingrenzbaaren Zeiträumen liefern. Zu den für die ostgriechisch-archaische Keramikforschung wesentlichen Daten gehören die Verwüstung Ashkelons durch die Babylonier

⁶² Hayes 1966, 111–134; Hayes 1973, 55–58.

⁶³ Ploug 1973, 27–38.

⁶⁴ Boldrini 1994, 137–235.

⁶⁵ s. Schlotzhauer 1995; Schlotzhauer 2000; Schlotzhauer 2014. Speziell zur Forschungsgeschichte der Knickrandschalen und den verschiedenen in der Literatur vertretenen Klassifizierungsmodellen vgl. die zusammenfassende Darstellung bei Schlotzhauer 2014, 11–65.

⁶⁶ Der Begriff der Kalottenschale wurde von Kerschner 2002d, 63 in die Literatur eingeführt.

⁶⁷ Vgl. Kerschner 1995; Kerschner 2002d, 63–72.

⁶⁸ Boardman 1967; Lemos 1991. Vgl. auch Hayes 1966, 57–63 und zusammenfassend Cook – Dupont 1998, 71–76.

⁶⁹ Die Analyse der korinthischen und attischen Gefäßfragmente stützt sich auf die einschlägige Fachliteratur und auf Arbeiten, die sich speziell mit den korinthischen und attischen Importen in Ionien und in Ephesos auseinandergesetzt haben. Die Diskussion einzelner Detailfragen wird hierbei nicht angestrebt, sondern das Hauptaugenmerk liegt auf der chronologischen Einordnung der Gefäßfragmente, die für die Interpretation der Fundkontexte von unmittelbarem Interesse ist. Grundlage der chronologischen Auswertung für die korinthische Keramik bilden die Chronologiesysteme von H. G. G. Payne und D. A. Amyx; im Speziellen werden die Arbeiten von C. W. Neeft berücksichtigt. Vgl. Amyx 1988, 399. 428; Neeft 1975; Neeft 1987. Die Interpretation der attischen und attisierenden Stücke fußt auf der Arbeit von B. A. Sparkes und L. Talcott zu den Funden von der Athener Agora: Sparkes – Talcott 1970.

und die Aufgabe der Befestigung von Mezad Hashavyahu wahrscheinlich im Zusammenhang derselben Operation, die Brandzerstörung des Athenaheiligtums in Assesos und die Zerstörung Smyrnas durch den Lyderkönig Alyattes, dessen Tod und damit zusammenhängend seine Bestattung, der Bau des sog. Kroisostempels bzw. die Stiftung seiner Säulen im ephesischen Artemision durch Alyattes' Sohn und Nachfolger Kroisos, die Einnahme der lydischen Hauptstadt Sardeis durch die Perser und die bei Herodot tradierte Perserzerstörung Milets in Folge des Ionischen Aufstands.

Die Einnahme Ashkelons ist in der Babylonischen Chronik (Inv. B.M. 21946), dem Tatenbericht des Nebuchadnezar II, überliefert und wird einhellig in die Wintermonate des Jahres 604 datiert⁷⁰. Für die ostgriechische Keramikchronologie liefern die wenigen Gefäße aus den Zerstörungsniveaus und vor allem die zahlreichen Gefäße aus den vor 604 datierten Verfüllschichten einen sicheren *terminus ante quem* bzw. *terminus ad quem*⁷¹, der sich durch den auf die babylonische Zerstörung folgenden Hiatus bis zur persischen Wiederbesiedlung im ausgehenden 6. Jahrhundert sehr klar lesen lässt.

Die Aufgabe der Befestigung von Mezad Hashavyhu⁷², dem zweiten wichtigen Fundort ostgriechischer Keramik in der Levante, wird in einem unmittelbaren Zusammenhang mit derselben militärischen Aktion der Babylonier gegen Ashkelon gesehen, wengleich hier keine Hinweise auf eine gewaltsame Zerstörung gegeben sind⁷³.

Für die absolute Datierung der chronologischen Fixpunkte im westlichen Kleinasien, zu denen vor allem Herodot die ereignisgeschichtlichen Informationen überliefert⁷⁴, ist die lydische Herrscherchronologie maßgebend. Diese stellt gleichzeitig aber auch die Achillesferse dar in dem Versuch, die im archäologischen Befund fassbaren und historisch überlieferten Ereignisse absolut zu datieren⁷⁵. Die Problematik soll im Folgenden kurz in zusammenfassender Weise referiert werden.

Im Grunde beschränkt sich das einzige verlässliche, da an die assyrischen Annalen angebundene Datum innerhalb der Herrscherdynastie auf die Regierungszeit des ersten Mermnadenherrschers Gyges; dennoch herrscht auch über dessen Regierungszeit keine letzte Übereinstimmung in der Forschung⁷⁶. Deutlich scheint allemal, dass die bei Herodot überlieferten Herrschaftsjahre nicht der Realität entsprechen können, weil sie sich als unvereinbar mit den assyrischen, babylonischen und ägyptischen Quellen erwiesen haben. Ein zentrales Dokument in der Frage nach dem Zeitpunkt des Niedergangs der Mermnaden und ihres letzten Königs Kroisos durch die persische Eroberung der Lyderhauptstadt Sardeis unter Kyros⁷⁷ liegt in der Stele des Nabonid vor⁷⁸. Für das Jahr 547/546, dem neunten Regierungsjahr des Nabonid, wird hier von einem Feldzug des Kyros jenseits des Tigris gegen einen Ort berichtet, dessen Name, obwohl nicht sicher lesbar, lange mit den Lyderreich bzw. mit Sardeis identifiziert wurde; in einer neuen Lesung wurde

⁷⁰ Für eine zusammenfassende Darstellung der historischen Ereignisse vgl. den Beitrag von Stager 2011a, 3–11. Zur Geschichte des Platzes allgemein s. Stager 2008, 7–10. Vgl. außerdem Waldbaum – Magness 1997, 37. Die Ereignisse sind innerhalb der den babylonischen Königslisten zu entnehmenden Regierungszeit des Nabuchadnezar II (605–562) sicher zu verorten. Vgl. dazu Oelsner 2004, 18. 21.

⁷¹ Vgl. dazu Waldbaum 2011, 127–132.

⁷² Die von Fantalkin 2001, 137–147 in Anlehnung an den ersten Ausgräber J. Naveh vorgeschlagene Interpretation der Anlage als Stützpunkt griechischer Söldner ist auf breite Anerkennung gestoßen, wengleich Waldbaum 2011, 133 Anm. 16 nicht unwesentliche Argumente anführt, welche die Sicherheit einer solchen Interpretation relativieren. Vgl. dazu auch Fantalkin 2003; Fantalkin 2006, 202 f.

⁷³ Vgl. Fantalkin 2001, bes. 49. 128–136; Waldbaum 2011, 135. s. außerdem Waldbaum – Magness 1997, 38–40.

⁷⁴ Die Überlieferungslage vor allem zu den Ereignissen unter Kroisos ist bei Ehrhardt 2005, 102–110 in einem kritischen und mit umfassenden Anmerkungen versehenen Überblick nachzulesen.

⁷⁵ s. zur Problematik allgemein Haider 2004.

⁷⁶ Vgl. dazu Haider 2004, 84. 87. 89 und Kalaitzoglou 2008, 53–63.

⁷⁷ Vgl. die Überlieferung bei Hdt. 1, 46–89.

⁷⁸ Dieser Tatenbericht des letzten babylonischen Königs dürfte erst im frühen Hellenismus auf Grundlage älterer Zeugnisse niedergeschrieben worden sein. Vgl. dazu Cahill – Kroll 2005, 606.

zuletzt hingegen die Identifikation mit dem ebenfalls jenseits des Tigris gelegenen Urartu vorgeschlagen⁷⁹. Für das Jahr 546/545 ist auf der Stele des Nabonid keine Militäration verzeichnet. Für die darauffolgenden Jahre bis zur Eroberung Babylons um 539 fehlen an dem Dokument die entsprechenden Passagen, obwohl gerade die Jahre 545/544–541/540 wiederum interessant wären, da die Synchronisierung der Herodot-Angaben mit babylonischen Quellen dieses Datum für das Ende des Lyderreichs als weitere Möglichkeit aufzeigte⁸⁰. Während die kontrovers diskutierten Angaben 547/546, 545/544 und 541/540 letztlich unsicher bleiben, gilt indessen das Todesjahr des Kyros um 530 als ein sicherer, wenn auch in dieser Frage wenig zufriedenstellender *terminus ante quem* für die persische Eroberung von Sardeis und damit für das Regierungsende des letzten Mermnadenherrschers Kroisos⁸¹. Wenn man Herodot Glauben schenken darf, wird man den *terminus ante quem* aber auf das Jahr 539 zurückverlegen können, für welches die Eroberung Babylons verbürgt ist, die erst nach dem Sturz des Lyderreichs stattgefunden haben soll⁸². Jenseits der auf schriftlichen Zeugnissen beruhenden Argumentation um die Eroberung von Sardeis konnten N. Cahill und J. H. Kroll mit der Publikation eines Zerstörungsbefundes aus Sardeis einen wertvollen archäologischen Beitrag zu dieser Debatte leisten. Die Zerstörung der Befestigungsanlage und das keramische Fundensemble der entsprechenden Horizonte, das nicht über die Mitte des 6. Jahrhunderts hinauszureichen scheint, wird in überzeugender Weise mit der historisch bezeugten Eroberung von Sardeis verknüpft⁸³.

Das erste Ereignis, dessen Datierung an die Chronologie der lydischen Herrscherdynastie der Mermnaden geknüpft ist, ist die Zerstörung des Heiligtums der Athena Assesia, die G. Kalaitzoglou in einem Zerstörungsschutt am Mengerev Tepe greifbar zu machen glaubt⁸⁴. Die Brandzerstörung des Heiligtums fand gemäß dem Bericht Herodots im 12. Jahr der kriegerischen Auseinandersetzung Milets mit dem Lyderreich statt, welches mit dem 5. Regierungsjahr des Alyattes übereinstimmt⁸⁵. G. Kalaitzoglou hat ausgehend von seiner Analyse der Mermnadenchronologie den Regierungsbeginn des Alyattes mit 612 festgesetzt und erschließt damit für die Brandzerstörung des Athenaheiligtums bei Assesos das Jahr 608⁸⁶. Der vorgelegte keramische Befund ist damit durchaus vereinbar, gleichwohl die Frage der lydischen Chronologie angesichts der oben angeführten Widersprüche keinesfalls als endgültig geklärt und daher auch der vorgeschlagene Datierungszeitpunkt für den assesischen Befund nicht als gesichert gelten kann.

Das zweite, mit Alyattes verknüpfte Ereignis, das sich deutlich im archäologischen Befund abzeichnet, stellt die Eroberung Smyrnas dar⁸⁷. Die Datierung dieses Ereignisses, das Herodot nicht näher eingrenzt, beruht auf der stratigrafischen Fundevidenz. J. M. Cook kommt in seinen grundlegenden Aufsätzen zu dem Schluss, dass die Eroberung Smyrnas um 600 stattgefunden haben muss⁸⁸. Das Fehlen attischer Importkeramik sowie korinthischer Importkeramik des mittelkorinthischen und spätkorinthischen Stils in den Zerstörungshorizonten sind für diese Datierung

⁷⁹ Vgl. dazu die zusammenfassenden Ausführungen bei Cahill – Kroll 2005, 606–608; Kalaitzoglou 2008, 46–48. Haider 2004, 86 schließt in Anlehnung an die Urartu-Lesung die Möglichkeit einer Identifikation mit Sardeis überhaupt aus.

⁸⁰ Dazu Cahill – Kroll 2005, 607; Kalaitzoglou 2008, 48–53.

⁸¹ Vgl. dazu Haider 2004, 89.

⁸² Vgl. Hdt. 1, 178; 1, 189. Dem schließen sich auch Cahill – Kroll 2005, 605 und Kalaitzoglou 2008, 49 an.

⁸³ s. Cahill – Kroll 2005; Cahill 2010e. Vgl. außerdem den Beitrag von M. Kerschner in Kap. 2.B.2.11.1b in diesem Band.

⁸⁴ Die Argumente für die letztendlich nicht absolut gesicherte Identifikation sind bei Kalaitzoglou 2008, 5–20 nachzulesen. Dazu auch Lohmann 1995, 311–322. Kritisch zu Datierung und vor allem zur Interpretation des Befundes zuletzt Schlotzhauer 2014, 324.

⁸⁵ Hdt. 1, 19.

⁸⁶ Vgl. Kalaitzoglou 2008, 41–65.

⁸⁷ Zur literarischen Überlieferung vgl. Hdt. 1, 16. s. dazu auch Cook 1958/1959, 23–27; Cook 1985, 28; Cook – Dupont 1998, 9.

⁸⁸ Vgl. Cook 1958/1959, 25–27; Cook 1985. Vgl. auch Cook – Nicholls 1998, 134 f.

ausschlaggebend, der sich auch E. Akurgal anschließt⁸⁹. Während aber J. M. Cook von einem längeren Hiatus zwischen der Zerstörung und dem Wiederaufbau etwa ab dem zweiten Viertel des 6. Jahrhunderts ausgeht, vertritt E. Akurgal die Ansicht, dass der Wiederaufbau oder die Reparatur der zerstörten Häuser unmittelbar im Anschluss an die Eroberungszerstörung erfolgte⁹⁰. Zu betonen ist in diesem Fall, dass die Datierung des historischen Ereignisses sich nicht allein aus der schriftlichen Überlieferung, sondern auch aus der archäologischen Interpretation der Befunde erschließt.

Das Ende der Regierungszeit des Alyattes⁹¹ wird zu einem weiteren Fixpunkt in der Chronologie, denn mit seiner Grabstätte, die mit dem Tumulus B in Tepe bei Sardeis identifiziert wurde⁹², ist wiederum die Möglichkeit gegeben, sich über die archäologische Analyse des Fundinventars der Datierung eines historischen Ereignisses anzunähern, das in der schriftlichen Überlieferung aufgrund der oben dargestellten Schwierigkeiten nur schwer zu greifen ist. Bereits J. M. Cook hat darauf hingewiesen, dass das aus dem Tumulus publizierte Material in etwa jenem Zeithorizont des mittleren 6. Jahrhunderts entspricht, das in Smyrna die Wiederaufbauphase nach der lydischen Eroberung bezeichnet⁹³. Das aus der Überlieferung bei Herodot erschlossene Todesdatum des Alyattes, wie es sich in der Literatur häufig mit »um 560«⁹⁴ angegeben findet, steht damit zumindest in keinem Widerspruch.

Nach dem Tod des Alyattes folgte sein Sohn Kroisos auf den lydischen Thron. Für seine Regierungszeit ist neben einer Reihe von Weihungen in griechischen Heiligtümern auch die Stiftung eines Tempels und dessen Säulen im Artemision von Ephesos überliefert⁹⁵. Obwohl diese literarisch bezeugte Architekturstiftung aufgrund einiger dem archaischen Dipteros zugehörigen lydischen Inschriften als historisch anzusehen ist⁹⁶, bleibt die absolute zeitliche Eingrenzung innerhalb der Regierungszeit des Kroisos ebenso wie das zeitliche Verhältnis der Säulenstiftung zum insgesamten Baufortschritt des Dipteros wiederum unsicher.

Das letzte und bedeutende historische Datum für die archaische ostgriechische Keramik ist in der bei Herodot geschilderten Zerstörung Milets in Folge des Ionischen Aufstands gegeben⁹⁷. Die Datierung des Aufstands der ionischen Städte gegen die persische Herrschaft in den Jahren 500/499–494 ist nicht zuletzt durch die Korrelation mit persischen Quellen gesichert. Im archäologischen Befund findet das Material aus dem massiven sog. Perserschutt⁹⁸ von Milet einen *terminus ante quem* oder einen *terminus ad quem* am Ende des Ionischen Aufstands 494 nach der Seeschlacht von Lade.

Den zweiten wesentlichen Bezugspunkt für die ostgriechische Keramikchronologie stellt das Chronologiegerüst der korinthischen Keramik dar, welches über die Vergesellschaftung korinthischer Importkeramik mit ostgriechischen Gefäßtypen indirekt auch zu deren Datierung herangezogen wird. Abgesehen davon, dass schon innerhalb der korinthischen Keramikforschung

⁸⁹ Zur Interpretation und zur Keramik in den Zerstörungsschichten s. Anderson 1958/1959, 143–148; Cook 1958/1959, 25–27. Vgl. außerdem Akurgal 1983, 50 f. 128.

⁹⁰ Vgl. Akurgal 1983, 51; Cook 1958/1959, 27; Cook 1985, 28.

⁹¹ Vgl. Hdt. 1, 25.

⁹² Das Grabmal des Alyattes wird bei Hdt. 1, 93 beschrieben; auf dieser Beschreibung beruht die Identifikation.

⁹³ Vgl. Cook 1958/1959, 27; Cook 1985, 28.

⁹⁴ Jüngste Analysen gehen hingegen von dem Tod des Alyattes bereits um 580 aus. Vgl. dazu Kerschner – Prochaska 2011, Anm. 235. 238.

⁹⁵ Vgl. Hdt. 1, 92; Paus. 7, 2. 7.

⁹⁶ Der architektonische Tempelbefund wurde von A. Ohnesorg vorgelegt. Speziell zur Frage der Kroisos-Stiftung vgl. Ohnesorg 2007, 128 f. s. dazu auch Ohnesorg 2008, 263–273 und Kerschner – Prochaska 2011, 108–117. s. außerdem Ratté 2011, 56–63. Zur Überlieferung vgl. auch die Ausführungen bei Ehrhardt 2005, 108 f.; Kerschner 2006f, 258 f. 263; Muss 2008a, 48 f. und zuletzt Fischer 2013, 59–61. Allgemein zur Chronologie zuletzt Kerschner – Prochaska 2011, 107. Vgl. auch Kerschner 2017a, 58–60.

⁹⁷ Vgl. Hdt. 1, 142. 143; 6, 6–20. Grundlegend zum Ionischen Aufstand ist der Aufsatz von Murray 1988, 461–490.

⁹⁸ Zur archäologischen Evidenz vgl. Voigtländer 1982; Kerschner 1999, 8–10. 33. 48 f. s. außerdem Senff 2007, 322.

divergierende Systeme vertreten werden⁹⁹, besteht einer der wesentlichen Unsicherheitsfaktoren im Faktum, dass als primärer Fixpunkt innerhalb der korinthischen Keramikchronologie die von Thukydides literarisch überlieferten und teils widersprüchlichen Gründungsdaten der westgriechischen Kolonien gelten¹⁰⁰ und gerade die Fundvergesellschaftung mit ostgriechischer Keramik umgekehrt der Verifikation des korinthischen Chronologiegerüsts dienlich sein könnte. In diesem Zusammenhang kam den Befunden, welche in Smyrna mit der Alyattes-Zerströrung assoziiert werden, in der kontrovers geführten Diskussion um die korinthische Keramikchronologie lange Zeit eine Schlüsselrolle zu¹⁰¹. In dieser Verstrickung der beiden Keramikchronologien, der korinthischen und der ostgriechischen, liegt die Gefahr methodischer Zirkelschlüsse begründet, gleichwohl sich die korinthische Keramikchronologie in ihrer praktischen Anwendung auch auf die ostgriechischen Befunde bislang recht gut bewährt hat.

1.B.1.2 ZUM FORSCHUNGSSTAND IN EPHEOS

In Ephesos beruht der publizierte Kenntnisstand der archaischen Keramik bislang auf einigen wenigen publizierten Befunden und herausragenden Einzelstücken vor allem aus dem Artemision¹⁰² und aus Gräbern am sog. Staatsmarkt¹⁰³, aus nacharchaischen Befunden vom Südtor der Tetragonos Agora und aus einem Brunnen klassischer Zeit im Bereich der archaischen Siedlung unter der Tetragonos Agora¹⁰⁴ sowie aus nacharchaischen Befunden im Vediusgymnasium¹⁰⁵. Die Publikationen geben insgesamt einen guten Einblick in das Gefäßspektrum, welches für die archaische Zeit in Ephesos zu erwarten ist, und zeugen bereits von einer relativen Bandbreite an Gefäßtypen, Waren und Importen, wobei dem Artemision als überregionalem Heiligtum sicher eine gesonderte Rolle zukommt¹⁰⁶. Die archäometrische Beprobung einer dichten Reihe archaischer Gefäßfragmente¹⁰⁷ konnte unter anderem außerdem eine frühe lokale Produktion archaischer Tierfrieskeramik für Ephesos belegen¹⁰⁸, womit Ephesos neben Milet und Samos eine neue Rolle in der Diskussion um die Entwicklung der bemalten ostgriechischen Feinkeramik zukommt.

Ein geschlossener Siedlungskontext mit all seinen chronologischen, kultur- und siedlungsgeschichtlichen Implikationen liegt aus Ephesos bisher noch nicht vor. Das oben angesprochene, publizierte Material aus den Siedlungsgrabungen von der Tetragonos Agora und aus dem Vediusgymnasium entstammt nacharchaischen Befunden und ist somit über stilistische und typologische Vergleiche datierbar, für die Erstellung eines echten chronologischen Gerüsts für das archaische Ephesos auf Basis einer Keramikauswertung aber nur bedingt dienlich. Die Publikation einer Auswahl von Siedlungskeramik aus den ältesten Befunden unter der Tetragonos Agora durch M. Kerschner diente vorab der chronologischen Einordnung dieser ersten Bauphase; sie stellt jedoch keine umfassende Befundvorlage und -auswertung dar¹⁰⁹.

⁹⁹ Vgl. dazu im Überblick Cook – Dupont 1998, 9 f. Zur Frage der Chronologie s. besonders auch Neeft 1975, 114–117; Neeft 1987, 379 f.; Amyx 1988, 397–429; Neeft 1995; Neeft 2006, 93 f.; Neeft 2012.

¹⁰⁰ Vgl. Coldstream 1968, 322–327. Ein guter Überblick dazu in Bezug auf die korinthische Keramik ist außerdem bei Neeft 1987, 363–371; Neeft 2012 nachzulesen. Vgl. außerdem Coulié 2013, 109 f. Ausgehend von der Evidenz in Al Mina konnte zuletzt A. Vacek neue Argumente in die Diskussion um den Beginn der Stufe EPC einbringen. Vgl. dazu Vacek 2012, 288–290.

¹⁰¹ Dazu Amyx 1988, bes. 404 f. 407. 412 f. 423.

¹⁰² Hogarth 1908, 218–231; Brein 1978a; Brein 1978b; Gasser 1992; Kerschner 1997a; Kerschner 2008c.

¹⁰³ Langmann 1967, 103–123.

¹⁰⁴ Gassner 1997; Kerschner 1997b; Kerschner 2006a.

¹⁰⁵ Dazu Kerschner 2008a.

¹⁰⁶ Zusammenfassend hat sich hierzu zuletzt Kerschner 2007 geäußert.

¹⁰⁷ Kerschner u. a. 2002 konnten die beiden Rohstoffgruppen H und I ephesischen Werkstätten zuordnen; s. außerdem Kerschner 2002b, 47–50. Eine erste, aber wenig ergiebige Analyse wurde bereits von P. Dupont vorgenommen. s. dazu Dupont 1983, 29.

¹⁰⁸ Zu dem entsprechenden, bei der Erstpublikation noch unbeprobten Gefäß s. Kerschner 1997b, 9–27.

¹⁰⁹ s. Kerschner 2003a, 51–58.

1.B.2 Methode

1.B.2.1 MATERIALAUFNAHME

Die dieser Arbeit zugrunde liegende Materialbearbeitung zielte auf eine möglichst umfassende Aufnahme des keramischen Fundmaterials aus den archaischen Siedlungsschichten unter der Tetragonos Agora ab, die in den Jahren 1989–1996 ausgegraben worden waren. Das Material war bereits gewaschen und in Teilen durch die Hände mehrerer Bearbeiter gegangen, die ihre Arbeit und Aufzeichnung derselben nach unterschiedlichen Schwerpunkten gestaltet haben¹¹⁰. Der inhaltlichen Beschäftigung mit dem Fundmaterial ging daher die Sichtung, Ordnung und Überprüfung der bereits vorhandenen Dokumentation voraus, die im Anschluss daran um die für eine einheitliche Erfassung des Materialbestands notwendigen Informationen ergänzt werden konnte. Wo im Katalog Angaben fehlen, ist dies darauf zurückzuführen, dass die Stücke zwar als Zeichnung vorliegen, sie im Depot des Grabungshauses in Selçuk aber nicht mehr aufzufinden waren.

Jeder der insgesamt 361 keramikführenden archaischen Schichtbefunde wurde in einem ersten Schritt ausgelegt, nach sich abzeichnenden Waren, Formengruppen und Fragmentart (Abb. 2) sortiert und numerisch erfasst¹¹¹. Dabei wurde das Gefäßrepertoire bereits auf mögliche Anpassungen zwischen den Befunden hin untersucht. Bei dem Zusammensetzen der in größeren Teilen erhaltenen Gefäße waren mir die Restauratorinnen M. Eser, S. Kalabis und D. Taner eine unschätzbare Hilfe. Die im Anschluss daran aussortierten, da kleinstteiligen oder völlig uncharakteristischen Gefäßfragmente wurden ebenfalls numerisch erfasst und verzeichnet. Jene Fragmente, welche einer weiteren Bearbeitung zugeführt werden sollten, wurden gemäß ihrer Befundsituation beschriftet und nummeriert, gesondert verpackt und in einem zweiten Schritt individuell dokumentiert. Dies traf auf alle diagnostischen Fragmente zu, d. h., auf alle Rand- und Bodenfragmente, von denen genug erhalten war, um Rückschlüsse auf das ursprüngliche Ganzgefäß zu erlauben¹¹². Des Weiteren wurden jene Wandfragmente für eine weitere Bearbeitung ausgewählt, deren Erhaltungszustand und/oder Dekor eine nähere Klassifizierung ermöglichten oder Rückschlüsse auf die ursprüngliche Gefäßproportion und das Dekorsystem gestatteten. Dies betraf feinkeramische und Gefäße der Alltagswaren gleichermaßen, wenngleich innerhalb dieser letzten Gruppe tendenziell verstärkt bemalte Gefäßfragmente vertreten sind, sodass diese in der Fundvorlage insgesamt einen größeren Anteil haben als unbemalte Gefäßfragmente (s. u. Kap. 1.D.2).

Die individuelle Dokumentation der diagnostischen Stücke beinhaltet die Beschreibung eines jeden Gefäßfragments nach Art, erhaltener Breite und aus der korrekten Orientierung sich ergebenden, erhaltenen Höhe des Gefäßes, nach Wandstärke, Durchmesser und erhaltenem Prozentanteil. Ebenfalls erfasst wurden Farbe und Bearbeitung der Oberfläche sowie Farbe und Charakter des Dekors, Farbe und Konsistenz des Scherbens am frischen Bruch sowie Farbe, Größe und Häufigkeit der enthaltenen Partikel und Einschlüsse, wie sie sich in der 10-fachen Vergrößerung unter der Lupe darstellten. Alle Farbangaben richten sich nach den »Munsell Soil Color Charts«. Im Katalog wird diese beschreibende Charakterisierung durch die Angabe der fabrikatstypologischen Zugehörigkeit zu einer NAA-Herkunftsgruppe oder einer petrografischen oder geochemischen Gruppe ergänzt, sofern eine solche festgestellt werden konnte (s. u. Kap. 1.B.2.2).

Im Anschluss an die Beschreibung wurden die ausgewählten Stücke gezeichnet und fotografiert. Neben den Arbeitsfotos, die primär die Bearbeitung des Materials unterstützen sollten und

¹¹⁰ Die Bearbeitung der archaischen Keramik aus den Siedlungsbefunden unter der Tetragonos Agora wurde bereits von W. Mayr begonnen und von M. Kerschner und Mitarbeitern fortgeführt. Für die Übergabe der bei Arbeitsbeginn vorhandenen Dokumentation danke ich M. Kerschner.

¹¹¹ Das Modell des Statistikformulars für die archaischen Befunde geht auf einen Entwurf zurück, den I. Kowalleck für die Fundbearbeitung am Panayırdağ erstellt hat und den ich entsprechend der Bedürfnisse meiner Arbeit an den archaischen Befunden modifiziert habe.

¹¹² Zur Definition diagnostischer Fragmente vgl. Kerschner 2011, 22–24.

von der Bearbeiterin selbst erstellt wurden, wurden ausgewählte Fragmente dem Fotografen des ÖAI N. Gail zur professionellen Aufnahme übergeben. In einem dritten Schritt wurden die individuell erfassten Gefäßfragmente in eine Access-Datenbank eingetragen, welche die Beschreibung der Stücke um die Zuordnung zu einem ursprünglichen Ganzgefäß und eine differenzierte Beschreibung von Form und Dekor ergänzt. Der Datenbankeintrag bildete die Grundlage für den Katalog. Die Bleistiftzeichnungen wurden gescannt, im Freehand 11-Programm digitalisiert und im Illustrator 0.9-Format für den Satz der Tafeln abgespeichert.

1.B.2.2 AUSWERTUNG UND PRÄSENTATION

Nach abgeschlossener Dokumentation der Keramik aus den archaischen Siedlungsbefunden konnte mit der typologischen und chronologischen Auswertung des Materials begonnen werden, welches die Grundlage für die Datierung der einzelnen Siedlungsbefunde und Siedlungsphasen darstellt. Der Entscheidung, die Keramik in einem eigenen Abschnitt zunächst weitgehend unabhängig von den Befunden zu diskutieren, liegt die Überzeugung zugrunde, dass die geschlossene Darstellung des Gefäßrepertoires die Nutzbarkeit erleichtert und gleichzeitig die Argumentation auch in den Nachfolgekapteln zu Befunden und Chronologie flüssiger gestaltet werden kann, wenn die dem Material immanenten Indikatoren bereits umfassend dargestellt und diskutiert wurden. Der Fundvergesellschaftung wird umgekehrt in der Anordnung des Katalogs und der Tafeln Rechnung getragen. Dabei werden die Befunde unter der Tetragonos Agora in Bauhorizonte (Planierschichten, Unterböden), Nutzungshorizonte (Bodenhorizonte) und Zerstörungshorizonte (Asche- und Brandschichten, Stein- und Lehmziegelverstürze) der einzelnen Siedlungsobjekte zusammengefasst, womit jeweils die stratigrafische Situation berücksichtigt wird. Für die Interpretation ist dabei zu bedenken, dass in den Bau- und Nutzungshorizonten einer Siedlungsphase in erster Linie keramisches Material der jeweiligen Vorgängerphase vergesellschaftet ist und daher die Planier- und Bodenniveaus beispielsweise der AG Phase III nicht nur für eben diese, sondern auch für die Deutung bereits der AG Phase II einen Aussagewert beinhalten. Die Datierungsangaben im Katalog beziehen sich in erster Linie auf die im Material immanenten Indizien wie Form und Dekor, wie sie sich in der diskutierten Fachliteratur abzeichnen; sie geben maximale Laufzeiten an. Wo die Literatur nicht weiterhilft, kommt die stratigrafische Grundlage der fraglichen Gefäße zum Tragen. Die im Katalog angegebenen Vergleiche weisen auf tatsächliche und unmittelbare Parallelbeispiele hin und sind nicht als erschöpfende Literaturhinweise zu einer Gefäßform zu verstehen; diese sind im Keramikkapitel nachzulesen und werden dort auch diskutiert. Abgesehen von den Gefäßfragmenten aus den archaischen Siedlungsschichten unter der Tetragonos Agora werden in diesem Zusammenhang einzelne, auch in nacharchaischen Schichten vergesellschaftete Fragmente thematisiert und im Text abgebildet, sofern sie der Argumentation dienlich sein können.

Die quantitative Auswertung¹¹³, die in Form von Kreisdiagrammen visualisiert wird, dient im Zusammenhang konkreter Fragestellungen, welche sich im Zuge der Materialauswertung ergeben, der Veranschaulichung und besseren Nachvollziehbarkeit der Argumentation. Sie berücksichtigt, wenn entsprechend angegeben, in wenigen Fällen die in den Statistikblättern erfassten Gesamtzahlen an Fragmenten. Da die Scherbenanzahl aufgrund ihrer zufälligen Beliebigkeit per se jedoch keinen großen Informationsgehalt birgt und nur in den wenigsten Fällen Sinn macht, bezieht sich die quantitative Auswertung vornehmlich auf die individuell erfassten diagnostischen Gefäßfragmente. Diese geben einerseits die Mindestanzahl individueller Gefäße in den einzelnen Befunden an; andererseits sind sie es, die aufgrund ihrer typochronologischen Implikationen tatsächlich und konkret als Argumentationsgrundlage konkreter Fragestellungen herangezogen

¹¹³ Zu den methodischen Grundlagen statistischer Keramikauswertung vgl. Orton – Hughes 2013, 203–218; speziell für Ephesos s. auch Kerschner 2011, 21 f. Von einer diffizilen statistischen Analyse wird aufgrund der im begrenzten Grabungsareal recht kleinen Befundeinheiten mit teils sehr geringen Fundmengen abgesehen.

Ephesos Tetragonosagora archaische Keramik

| | | |
|-----------|----------------|--------------------|
| SE | Anpassungen an | Zugehörigkeiten zu |
|-----------|----------------|--------------------|

Erhaltungszustand:

| | | | |
|------------------------------|-------------------------|------------------------|---------------------------|
| Anpassungen | häufig (mehr als 5) | selten (weniger als 5) | keine |
| Bruchkanten | scharf | tlw. verrieben | verrieben |
| Durchschnittl. Fragmentgröße | hoch (mind. 50% > 7 cm) | Gemischt | gering (mind. 50% < 3 cm) |
| Erhaltungszustand | homogen | inhomogen | |
| Einzelgefäß | ganz | fragmentiert | |

Anzahl

| | | RS | WS | H | BS | gesamt |
|-----------------------------|-------------------------|----|----|---|----|--------|
| Trinkgefäße | Kotylen/Kalottenschalen | | | | | |
| | Knickrandschalen | | | | | |
| | Andere Schalen | | | | | |
| | Tassen | | | | | |
| Glanztonware | | | | | | |
| Tierfrieskeramik | offen | | | | | |
| | geschlossen | | | | | |
| Nordionisch-schwarzfigurig | | | | | | |
| Fikellura | | | | | | |
| Korinthischer Import | | | | | | |
| Chiotischer Import | | | | | | |
| Schwarzbunte Ware | | | | | | |
| Reifenware/Firnissware | offen | | | | | |
| | geschlossen | | | | | |
| Graue Ware | offen | | | | | |
| | geschlossen | | | | | |
| Unbemalt polierte Ware | offen | | | | | |
| | geschlossen | | | | | |
| unbemalte Alltagskeramik | offen | | | | | |
| | geschlossen | | | | | |
| Küchenware | | | | | | |
| Kochgerät | | | | | | |
| Reibschüsseln | | | | | | |
| Pithoi | | | | | | |
| Transportamphoren | | | | | | |
| Stopfen | | | | | | |
| Salbölgefäße/Miniaturgefäße | | | | | | |
| Lampen | | | | | | |
| Webgewicht/Spinnwirtel | | | | | | |
| Anderes | | | | | | |
| RS gesamt | | | | | | |
| Fragmente gesamt | | | | | | |

Abb. 2 Statistikblatt zur Materialaufnahme

werden können. Die Beschriftung der Diagramme gibt einerseits die absoluten Zahlenwerte an und andererseits den prozentualen Anteil im Verhältnis des gesamten Gefäßkorpus, der für die einzelnen Fragestellungen berücksichtigt wird. In der Gegenüberstellung dieser beiden Werte erschließt sich nachvollziehbar die höhere oder geringere Repräsentativität der quantitativen Aufschlüsselung, die von der jeweils berücksichtigten Gesamtanzahl an Gefäßen abhängig ist.

Die fabrikatspezifische Untersuchung des keramischen Materials ruht auf mehreren Säulen, die in ihren methodischen Grundlagen ineinandergreifen und sich ergänzen.

Die Ergebnisse der von M. Kerschner und H. Mommsen an ephesischem Fundmaterial getätigten NA-Analysen (s. u. Kap. 1.B.3.1.1) bildeten eine gute Ausgangsbasis für die scherbentypologische Untersuchung unter dem Mikroskop. Da vor allem für die Trinkgefäße eine gut sortierte Probenreihe für Ephesos vorliegt, wurde diese Gefäßgattung unter dem Mikroskop mit den Beispielgefäßen naturwissenschaftlich definierter Scherbentypen abgeglichen. Die entsprechenden Verweise im Katalog beziehen sich auf die Zuordnung der jeweiligen Referenzgefäße. Die Hinweise »Standardfabrikat« und »Vogelschalenwerkstatt« werden in diesem Zusammenhang in unterschiedlicher Weise angewandt. Der Hinweis »Vogelschalenwerkstatt« findet sich bei jenen Trinkgefäßen, die im mikroskopischen Abgleich mit einem mit der NAA-Methode der Herkunftsgruppe B (s. u. Kap. 1.B.3.1.1) sicher zugewiesenem Gefäß kompatibel sind. Der Hinweis »Standardfabrikat« bezeichnet indessen Gefäße, die nach haptischen, optischen und dekorativen Gesichtspunkten der nordionischen Standardproduktion der Kalottenschalen anzugehören scheinen, die sich im mikroskopischen Abgleich aber nicht eindeutig als solche haben verifizieren lassen. Die meisten dieser nur mit »Standardfabrikat« bezeichneten Gefäße unterscheiden sich von jenen der »Vogelschalenwerkstatt« nur in der hellgrauen Farbe ihres Scherbens, die im beprobten Referenzmaterial aus Ephesos keine unmittelbare Entsprechung fand. Für Trinkgefäße ohne entsprechende Angaben im Katalog wurde unter dem Mikroskop keine Übereinstimmung mit einer NAA-Herkunftsgruppe erzielt; in den Kreisdiagrammen werden diese Gefäßfragmente als »unbestimmt« angeführt.

Die Bearbeitung der von M. Kerschner dankenswerterweise an weiteren ausgewählten Stücken für eine NA-Analyse entnommenen Proben steht bisher noch aus. Diese Ergebnisse werden erwartungsgemäß zu einem späteren Zeitpunkt und in einem anderen Zusammenhang vorgelegt werden.

Schließlich hat sich L. Betina um die petrografische Dünnschliffanalyse und geochemische Analyse ausgewählter Materialien aus den archaischen Siedlungsbefunden besonders verdient gemacht. Die Ergebnisse dieser im Zusammenhang konkreter Fragestellungen getätigten Analysen (s. u. Kap. 4) konnten bereits in die Überlegungen zum Material einbezogen werden und fanden Eingang in den Katalog.

1.B.2.3 TERMINOLOGIE

Die vorliegende Arbeit richtet sich nach in der ostgriechischen Keramikforschung üblichen Begriffen; wo aufgrund besonderer Umstände Abweichungen nötig sind, wird dies im Text begründet. Die Bezeichnungen für chronologische Phasen und keramische Typen folgen den Chronologiesystemen und Typologien, die im vorangehenden Kapitel bereits benannt wurden. Bezüglich der bemalten Feinkeramik findet das Chronologiesystem nach M. Kerschner und U. Schlotzhauer¹¹⁴ (Abb. 1) Anwendung. Die Auswertung der Kotylen und Kalottenschalen folgt der Typologie nach M. Kerschner¹¹⁵, jene der Knickrandschalen der Typologie nach U. Schlotzhauer¹¹⁶. Wo in den Nachfolgekapteln andere Typologien relevant sind, werden diese fallweise vorgestellt.

¹¹⁴ Kerschner – Schlotzhauer 2005; Kerschner – Schlotzhauer 2007.

¹¹⁵ Kerschner 1995. Vgl. auch Kerschner 2002d, 63–72.

¹¹⁶ Die Typenbezeichnung richtet sich nach Schlotzhauer 1995, die Datierungen im Katalog berücksichtigen die aktuellen Angaben bei Schlotzhauer 2012, 94–114 und Schlotzhauer 2014.

Abseits der Feinkeramik kann eine strenge typologische Untergliederung des Materials nur mit Vorbehalt erfolgen. Besonders bei den Amphoren fußen die hier vornehmlich berücksichtigten Typologien von I. Bîrzescu, P. Dupont, M. Lawall und Y. Sezgin auf Ganzgefäßen¹¹⁷ und sind daher auf das stark fragmentierte Material aus den archaischen Siedlungsbefunden nur bedingt anwendbar. Für die grobkeramischen Alltagswaren wird eine allgemein gruppenbildende Typisierung nach den am Fragment fassbaren indikativen Merkmalen angestrebt, innerhalb derer die einzelnen formalen Spielarten im Text zusammenfassend besprochen und diskutiert werden. Aufgrund der durch den fragmentarischen Erhaltungszustand bedingten Gegebenheiten im Siedlungskontext wird innerhalb der grundsätzlich formal bestimmten Gliederung des Materials das Hauptaugenmerk auf jeweils jenes formale oder dekorative Element gelegt, welches die Ansprache und Einordnung der Fragmente konkret ermöglicht. Dies trifft vor allem auf die Kratere, Teller, Deckel und Kannen zu, die innerhalb des Gefäßspektrums zu den hauptsächlichen Trägern auch stilistisch klassifizierbaren Dekors zählen.

1.B.3 Die Gefäßkeramik aus den archaischen Siedlungsbefunden in Ephesos

Im Folgenden wird der Versuch unternommen, das keramische Inventar aus den archaischen Siedlungsbefunden unter der Tetragonos Agora zunächst weitgehend unabhängig vom Befundzusammenhang nach form- und dekortypologischen Kriterien zu diskutieren. Wo sich aus der spezifischen Fundvergesellschaftung wichtige Indizien ergeben, fließen diese selbstverständlich in die Betrachtungen ein. Die Reihung der Gefäßformen spiegelt die Abfolge der Fragmente innerhalb des nach Befunden aufgeschlüsselten Katalogs und Tafelteils wider.

1.B.3.1 TRINKGEFÄSSE

Die Trinkgefäße bilden jene Gefäßgruppe, die in den meisten Befunden archaischer Zeit in Ionien vertreten und in Siedlungsbefunden ebenso wie in Heiligtumsbefunden und Grabkontexten belegt ist. Abgesehen von der bemalten Feinkeramik stellen die Trinkgefäße außerdem eine der am besten analysierten Fundgruppen innerhalb der ostgriechischen Keramik dar, weshalb sie auch und gerade für die chronologische Auswertung der archaischen Siedlungsbefunde in Ephesos eine zentrale Rolle einnehmen. Die große Anzahl sowie das breit gefächerte Typenspektrum (Diagramm 1) vermögen dabei eine gute Argumentationsgrundlage nicht nur im Hinblick auf chronologische, sondern auch auf Fragestellungen wirtschaftsgeschichtlicher und kulturhistorischer Natur zu schaffen.

1.B.3.1.1 Zum Stand der Fabrikatsanalysen

Ehe mit der Präsentation der archaischen Trinkgefäße begonnen werden kann, soll an dieser Stelle in aller Kürze der publizierte Ergebnisstand zu den Fabrikatsanalysen referiert werden, die von H. Mommsen mittels der NAA-Methode an der Universität Bonn durchgeführt wurden, da in den folgenden Ausführungen immer wieder darauf Bezug zu nehmen sein wird¹¹⁸. Dies betrifft insbesondere jene Gruppen, die in Ephesos für den mikroskopischen Abgleich der Trink-

¹¹⁷ Vgl. Lawall 1995; Cook – Dupont 1998, 142–191; Sezgin 2004; Bîrzescu 2005; Bîrzescu 2009; Bîrzescu 2012a; Sezgin 2012.

¹¹⁸ Der Publikationsstand zu den Fabrikatsanalysen an ostgriechischer Keramik ist bei Kerschner – Mommsen 1997; Kerschner 2002a–i; Kerschner u. a. 2002; Kerschner – Mommsen 2004–2006; Kerschner – Mommsen 2005; Kerschner 2006b; Kerschner 2006c; Kerschner – Mommsen 2006; Posamentir – Solovyov 2006; Posamentir – Solovyov 2007; Kerschner – Mommsen 2009; Posamentir u. a. 2009; Kerschner 2017a, 108–112 nachzulesen. N. Panteleon hat eine archäometrische Beprobung der milesischen Kratere initiiert. Vgl. dazu Panteleon 2013, 23–26. In kritischer Auseinandersetzung mit der archäologischen Interpretation der archäometrischen Ergebnissen äußerte sich zuletzt Ayaçlar 2007, 55–67. Einen zusammenfassenden Überblick bietet außerdem Coulié 2013, 159. 169–176.

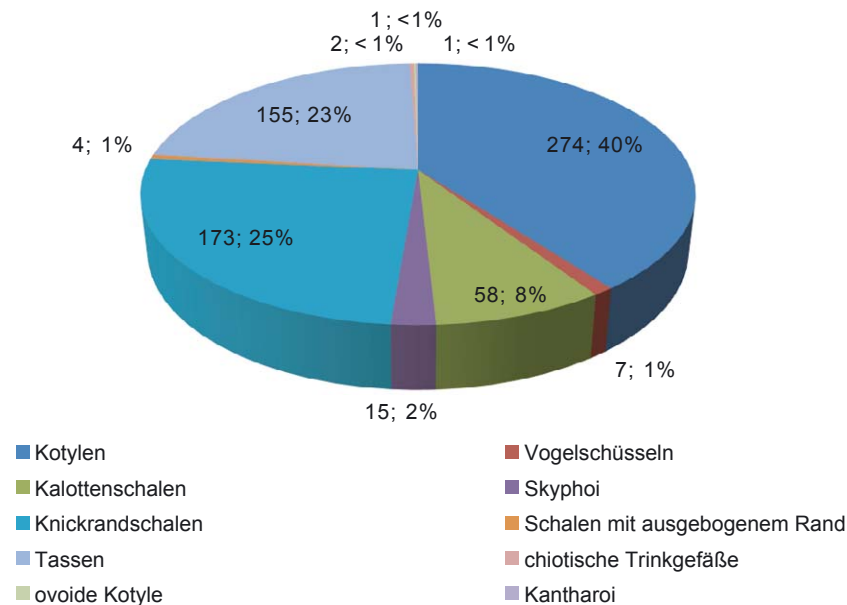


Diagramm 1 Übersicht der ostgriechischen Trinkgefäße von der Tetragonos Agora

gefäße zur Verfügung standen. Wie bereits angesprochen (s. o. Kap. 1.B.2.2), wurde im Zuge der Fundaufnahme der Versuch unternommen, die Trinkgefäße aus den archaischen Siedlungsbefunden mittels eines mikroskopischen Abgleichs mit bereits beprobten Trinkgefäßen einer der bisher aus Ephesos bekannten Herkunftsgruppen zuzuweisen. Eine Zuordnung wurde nur dann vorgenommen, wenn die Übereinstimmung auch tatsächlich in allen mit dem Auge fassbaren Kriterien wie Farbe und Konsistenz des Scherbens sowie Größe, Farbe, Form und Verteilung der Einschlüsse gegeben war, während eine bloße allgemeine Ähnlichkeit keine Berücksichtigung fand. Im Zusammenhang einzelner Fragestellungen werden diese Ähnlichkeiten, die sich im Katalog aus der Scherbenbeschreibung erschließen lassen, jedoch durchaus angesprochen und in die Überlegungen einbezogen.

Bislang lassen sich elf archäometrisch ermittelte und publizierte Herkunftsgruppen¹¹⁹ geografisch auf eine Region oder einen Produktionsort in der östlichen Ägäis eingrenzen (Tab. 6).

Die beiden Herkunftsgruppen I und H bezeichnen eine lokale ephesische Gefäßproduktion. Der Fehlbrand eines archaischen Pithos aus hellenistischen Planierschichten auf der Tetragonos Agora (AG 89/109.21) ist nach archäometrischen Gesichtspunkten identisch mit Gefäßen aus der originalen Verfüllung eines späthellenistischen Brennofens¹²⁰, womit die Lokalisierung der Herkunftsgruppe H in Ephesos gesichert ist. Das bislang belegte Gefäßrepertoire umfasst neben dem erwähnten Pithos Vogelkotylen, subgeometrische Keramik mit Kammbürstendekor und orientalisierende Keramik. Die optisch fassbaren Merkmale der Herkunftsgruppe H finden sich in ähnlicher Form auch bei der zweiten ephesischen Herkunftsgruppe I wieder, deren Lokalisierung in Ephesos über vier Reliefbechermodel hellenistischer Zeit¹²¹ eine starke Argumentationsgrundlage findet und eine lokale Produktion orientalisierender Keramik belegt.

¹¹⁹ Die unlängst neu definierten Herkunftsgruppen U, V und W sind in Ephesos ausschließlich für früheisenzeitliche Keramik belegt und konnten in den mikroskopischen Fabrikatsabgleich des archaischen Siedlungsmaterials noch nicht miteinbezogen werden. Vgl. dazu Kerschner 2014a, 114–117.

¹²⁰ Dazu Ladstätter 2002, 117–119.

¹²¹ Dazu Rogl 2002, 193–198.

Tabelle 6: Übersicht über die Herkunftsgruppen

| Gruppe | Herkunftsregion/Herkunftsort | Literatur |
|------------------------|-------------------------------------|--|
| A | Milet/Kalabaktepe-Werkstatt | Kerschner 2002b, 37–42; Kerschner – Mommsen 2004–2006, 83 f.; Kerschner – Mommsen 2005, 123–125; Kerschner 2006b, 133–135; Posamentir – Solovyov 2006, 111 f. |
| B (B-/C) | Teos/Vogelschalenwerkstatt | Kerschner – Mommsen 1997; Kerschner 2002d, 63–72; Kerschner 2002e, 72–76; Kerschner – Mommsen 2004–2006, 86 f.; Kerschner 2006b, 136–139; Posamentir – Solovyov 2006, 120–124; Posamentir – Solovyov 2007, 180 f.; Kerschner – Mommsen 2009, 136–139; Kerschner 2014a, 109. 115; Kadioğlu u. a. 2015, 349–353; Kerschner 2017a, 111. |
| D | Milet (?) | Kerschner 2002b, 42–47; Kerschner – Mommsen 2004–2006, 83 f.; Posamentir – Solovyov 2006, 111 |
| E | Nordionien (Klazomenai [?]) | Kerschner 2002e, 76–80; Kerschner – Mommsen 2004–2006, 87 f.; Kerschner 2006a, 136. 140 f.; Posamentir – Solovyov 2006, 117–119; Posamentir – Solovyov 2007, 181; Kerschner – Mommsen 2009, 136–139 |
| F | Nordionien (Smyrna [?]) | Kerschner 2002e, 80–84; Kerschner – Mommsen 2004–2006, 88; Kerschner 2006a, 136; Kerschner – Mommsen 2009, 136–139 |
| G/g | Kyme (?) | Kerschner 2002e, 84–92; Kerschner – Mommsen 2004–2006, 89–91; Kerschner 2006b, 136. 141 f.; Kerschner 2006c, 109–115; Kerschner – Mommsen 2006; Posamentir – Solovyov 2006, 106–111; Posamentir – Solovyov 2007, 181 f.; Kerschner – Mommsen 2009, 139–142; Kerschner 2014a, 112–114 |
| H | Ephesos | Kerschner 2002b, 47–49; Kerschner – Mommsen 2004–2006, 86 |
| I | Ephesos | Kerschner 2002c, 52–55; Kerschner u. a. 2002, 190 f. 199–205; Kerschner – Mommsen 2004–2006, 84. 86 |
| J | Samos | Kerschner 2002c, 51 f.; Kerschner – Mommsen 2004–2006, 84 f.; Kerschner – Mommsen 2005, 126; Posamentir – Solovyov 2006, 111; Schlotzhauer 2006a, 311–313; Mommsen 2012, 439 |
| M | Ephesos/Umgebung (?) | Kerschner u. a. 2002, 193. 199; Scherrer – Trinkl 2006, 212. 214. 248; Kowalleck 2008, 90 f. Anm. 432 |
| TRO-D TRO-B | Hellespont-Werkstätten (Abydos [?]) | Kerschner 2006b, 148–151; Mommsen u. a. 2006, 165–167; Posamentir – Solovyov 2006, 114–117; Posamentir – Solovyov 2007, 182 f. 197–201; Posamentir u. a. 2009; Aytaçlar – Kozanlı 2012 |

Die Herkunftsgruppe M weist sowohl nach optischen Gesichtspunkten als auch in der archäometrischen Messung große Ähnlichkeiten mit der Herkunftsgruppe I auf, weshalb beide Gruppen zunächst als zusammengehörig interpretiert wurden¹²². Bislang liegt in einer Kotyle mit Kammbürstendekor das einzige subgeometrische/früharchaische Gefäß der Herkunftsgruppe M vor, deren Lokalisierung aufgrund fehlenden Referenzmaterials unsicher bleibt. Sowohl die chemische wie optische Verwandtschaft mit der ephesischen Herkunftsgruppe I als auch die spätbronzezeitlichen bzw. spätklassischen Gefäße, welche eine lange Verwendung der zugehörigen

¹²² s. dazu Kerschner 2002c, 52–54; Kerschner u. a. 2002, 190–193.

Tonlagerstätte im ephesischen Gefäßrepertoire belegen¹²³, sind jedoch zunächst gute Gründe, auch die Herkunftsgruppe M in Ephesos selbst oder in seinem näheren Umfeld zu suchen.

Die Herkunftsgruppe J unterscheidet sich zumindest in der chemischen Messung deutlich von den gesicherten ephesischen Herkunftsgruppen H und I. Das zugehörige Gefäßspektrum repräsentiert mit Zickzackmetopenkotylen, einer Knickrandschale und einer Amphore mit Wulstrand Formen, welche vor allem im mittleren und südlichen Ionien, neben Ephesos selbst in Samos und in Milet, ein gehäuftes Vorkommen verzeichnen, wobei die Amphore mit Wulstrand in der traditionellen Interpretation eher nach Samos denn nach Milet verweist. Mit der Beprobung einiger ausschließlich für das samische Heraion und sein Filialheiligtum in Naukratis typischer sog. Hera-Tassen¹²⁴ gelang schließlich die sichere Lokalisierung der Herkunftsgruppe J auf der Insel Samos.

Die Herkunftsgruppe A wurde anhand von Fehlbränden aus insgesamt vier Ofenbefunden am Kalabaktepe bei Milet¹²⁵ definiert und wird als Fabrikat der sog. Kalabaktepe-Werkstätten von einer zweiten in Milet lokalisierten Herkunftsgruppe D abgegrenzt. Die Lokalisierung der Herkunftsgruppe A in Milet ist darüber hinaus mit Gefäßfragmenten mykenischer Zeit bestätigt. Zu den erwiesenen Erzeugnissen der Kalabaktepe-Werkstätten gehören Knickrandschalen, Reifenwaren, Graue Waren, orientalisierende Keramik, Fikelluraware und Amphoren, welche der Herkunftsgruppe A zugewiesen sind. Für die Fikelluraware ist mit der Herkunftsgruppe D ein zweites Fabrikat gegeben, dessen Vertreter über ihre Befundsituation eindeutig in Milet und seinem Umfeld zu lokalisieren sein werden, und welches sich optisch kaum, archäometrisch aber deutlich von der Herkunftsgruppe A abgrenzen lässt. Das Gefäßspektrum, welches für die Herkunftsgruppe D bislang nachgewiesen ist, verteilt sich neben der Fikelluraware auf Randfalzkotylen, Vogelschüsseln, Kalottenschalen und Amphoren. Für den scherbentypologischen Abgleich der Trinkgefäße standen in Ephesos keine Referenzproben milesischer Trinkgefäße zur Verfügung, doch kann aufgrund optischer Merkmale¹²⁶ für einige Gefäße eine Zugehörigkeit zu den milesischen Herkunftsgruppen A und/oder D wahrscheinlich gemacht werden.

Die Herkunftsgruppe B (B-/C) bezeichnet die Gefäße der Vogelschalenwerkstatt, die neben den namensgebenden Vogelkotylen, Vogelkannen, Vogelschüsseln und Kalottenschalen auch für orientalisierende Gefäße nordionischer Ausprägung nachgewiesen ist, deren frühe Vertreter sich auf den nordionischen Raum zu konzentrieren scheinen und die auch in ihrer späten Stufe NiA Id kaum in südionischen Zentren auftreten, welche eine starke eigene Tradition bemalter Feinkeramik haben. Gemeinsam mit den Analyseergebnissen P. Duponts¹²⁷ schien die archäologische Evidenz damit die nordionische Provenienz der Herkunftsgruppe B/B-/C zu sichern. Ihre von M. Kerschner zunächst auf der Basis archäologischer Argumente angenommene Lokalisierung in Teos konnte zuletzt auch auf archäometrischer Grundlage bestätigt werden¹²⁸.

Die Herkunftsgruppen E und F sind aufgrund des vertretenen Gefäßspektrums mit Kalottenschalen, Gefäßen des nordionischen Tierfriesstils und nordionisch-schwarzfiguriger Keramik

¹²³ Dazu Trinkl u. a. 2006, 246–250. Vgl. in Bezug zu Keramik der Glanztonware außerdem Scherrer – Trinkl 2006, 212, 214; Kowalleck 2008, 90 f. Anm. 432 (Scherbentyp G 1).

¹²⁴ Vgl. Kerschner – Mommsen 2004–2006, 84–86; Schlotzhauer 2006b, 311–313; Mommsen 2012, 439; tabellari-sche Übersicht S. 454.

¹²⁵ Zu dem Grabungsbefund vgl. Senff 1995, 31, 34 f.; Senff 2000, 34–37.

¹²⁶ Vgl. Kerschner 2002b, 37 f. 44. Meine mehrjährige Beteiligung an der Bearbeitung geometrischer und archaischer Keramik vom Kalabaktepe bei Milet unter der Leitung von M. Kerschner veranlasste mich dazu, bestimmte Gefäße, trotz des fehlenden mikroskopischen Abgleichs des Scherbens, bei aller gebotenen Vorsicht versuchsweise als milesisch anzusprechen. Im Katalog wird dies bei der Scherbenbeschreibung durch die Beifügung »milesisch?« kenntlich gemacht.

¹²⁷ s. dazu Dupont 1983, 31–33, 39–41.

¹²⁸ Zur archäologischen Evidenz vgl. Kerschner 2002e, 84. s. auch Posamentir – Solovyov 2006, 117 f. und Kerschner – Mommsen 2009, 137. Jüngste Grabungen in archaischen Niveaus in Teos haben diese Annahme mittlerweile bestätigt. Vgl. dazu Kerschner 2014a, 109, 115; Kadioğlu u. a. 2015, 349–353; Kerschner 2017a, 107 f.

in einem engen Zusammenhang mit den Vogelschalenwerkstätten zu sehen. Die Herkunft der beprobten Gefäße aus Erythrai, aus Phokaia und vor allem aus Smyrna liefert darüber hinaus ein weiteres Indiz für die Lokalisierung im nördlichen Ionien. Die genaue Zuweisung zu einem Zentrum, und hier sind vor allem Smyrna und Klazomenai relevant, steht noch aus, wobei gerade für die Herkunftsgruppe F mit den Mäanderschalen eine Variante von Kalottenschalen vorliegt, die aus Smyrna, nicht aber aus Klazomenai bekannt ist; eine in Smyrna gefundene Reibschüssel desselben Elementmusters weist ebenfalls eher auf eine lokale Produktion denn auf einen Import hin. Umgekehrt ist für Klazomenai allein schon durch die Existenz von Fehlbränden und Ofenbefunden eine lokale Keramikproduktion in archaischer Zeit gesichert¹²⁹. Wie für die milesischen Gruppen A und D stand auch für die Gruppen E und F in Ephesos kein Referenzmaterial zum Abgleich der Fabrikate zur Verfügung. Allerdings liegen mehrere Kotylen und Kalottenschalen vor, deren Oberflächengestaltung und Fabrikat demjenigen der Herkunftsgruppe B unmittelbar vergleichbar sind, ohne im mikroskopischen Abgleich wirklich zu entsprechen¹³⁰. Für sie ist möglicherweise eine Zugehörigkeit zu den Herkunftsgruppen E und/oder F denkbar.

Mit der Herkunftsgruppe G/g ist eine weitere Gruppe von Gefäßen gegeben, deren Repertoire (Vogelkotylen, Rosettenschalen, geometrische Kratere, Tierfrieskeramik, Graue Waren, Dunkelgrundige Waren) auf eine geografische Nachbarschaft mit Nordionien schließen lässt, und die über einen Vertreter der ›London Dinos Group‹¹³¹ auf die Äolis eingeschränkt werden konnte. Die chemische Zusammensetzung verweist ebenfalls einerseits in die Äolis, andererseits hat sie mit gesicherten phokäischen Tonlagerstätten zumindest römischer Zeit nichts gemein¹³². Mit einer Probeserie, die Fundkeramik aus Kyme von der spätgeometrischen bis in die kaiserzeitliche Epoche umfasste, gelang die mehr als wahrscheinliche Lokalisierung der Herkunftsgruppe G/g in Kyme¹³³. Der Herkunftsgruppe G/g konnte aufgrund fehlender Referenzproben kein Trinkgefäß aus den archaischen Siedlungsbefunden in Ephesos zugewiesen werden. Da die Gruppe jedoch mit den Kotylen und Kalottenschalen Gefäße produzierte, die nachweislich auch nach Ephesos exportiert wurden¹³⁴ und umgekehrt nicht alle Kotylen und Kalottenschalen einer Herkunftsgruppe zugewiesen werden konnten, bleibt deren Zugehörigkeit zur Herkunftsgruppe G/g eine Möglichkeit.

Eine letzte Herkunftsgruppe, die in Ephesos ebenfalls nicht für den mikroskopischen Abgleich zur Verfügung stand, wird unter der Bezeichnung »Hellespont-Werkstatt« zusammengefasst und in der Troas am Hellespont lokalisiert. Das besondere Merkmal dieser Werkstatt besteht in einer heterogenen Gefäßproduktion, die neben Elementen vornehmlich südionisch-milesischer Tradition auch vereinzelt nordionische und äolische Impulse aufgreift und vor allem in den Schwarzmeerraum exportiert. Als mögliches Produktionszentrum wurde die milesische Kolonie Abydos in Erwägung gezogen.

Daneben liegt in Ephesos eine Reihe beprobter Trinkgefäße vor, die mikroskopische Übereinstimmungen mit dem Material aus den archaischen Siedlungsbefunden aufweisen, deren Herkunft sich bislang aber nicht hat lokalisieren lassen (SAK 3, Ulo 01, Ulo 04, ProbenNr. Ephe 10, ProbenNr. Ephe 77, ProbenNr. Ephe 85). Andere Gefäße sind in ihrer Gruppenbildung entweder

¹²⁹ Dazu Dupont 1983, 25.

¹³⁰ Die Nähe zu den Gefäßen der Vogelschalenwerkstatt wird im Katalog für die fraglichen Stücke durch den der Scherbenbeschreibung beigefügten Zusatz »Standardfabrikat« angegeben, wobei der Begriff hier in Anlehnung an J. N. Coldstreams ›Bird-kotyle-workshop‹ nicht naturwissenschaftlich, sondern rein archäologisch verwendet wird. Vgl. auch Kerschner 2002e, 72.

¹³¹ Der Begriff geht auf Price 1924, 193 f. zurück; eine äolische Herkunft der Gruppe wurde erstmals von Schefold 1966, 57 vorgeschlagen, der Kyme als wahrscheinliches Produktionszentrum für die Gruppe annahm. s. auch Coulié 2013, 182.

¹³² Vgl. dazu auch Dupont 1983, 22 f.; Kerschner – Mommsen 2004–2006, 89 f.; Kerschner 2006c, 115. Walter-Karydi 1970, 10 hatte noch Phokaia als Zentrum äolischer Vasenmalerei und damit als Herkunftsort der ›London Dinos Group‹ proklamiert; diese Interpretation wurde zuletzt von İren 2002a, 190–197 aufgegriffen.

¹³³ Vgl. Kerschner – Mommsen 2004–2006, 90; Kerschner 2014a, 112–114.

¹³⁴ s. Kerschner 2002g, 98 Nr. 18 Taf. 1.

nicht hinreichend abgesichert oder aber es handelt sich um Fabrikate mit bislang singulären chemischen Mustern (single). Da sie jedoch als Referenz für den mikroskopischen Abgleich herangezogen wurden, wird auch auf diese in ihrer Interpretation problematischen Stücke und Gruppen verwiesen.

Zuletzt sei schließlich noch auf einen Scherbentyp hingewiesen, welcher sich vornehmlich bei einer großen Anzahl gröberer Alltagswaren nachweisen lässt, der in Einzelfällen jedoch auch im Repertoire der Trinkgefäße vertreten ist. Es handelt sich dabei um ein in verschiedenen rotbraunen bis rotorangen Nuancen gefärbtes Fabrikat, das im Kern des Bruchs häufig anders ausfällt als im oberflächlichen Bereich, und in dem sich mitunter schmale, violette Bänder am Übergang zwischen den Farbzonen abzeichnen. Der Scherben ist meist nur mittelhart gebrannt und weist einen schiefrigen Bruch auf, dessen Matrix mit den wenigen feinen bis mittleren dunklen Einschlüssen und ebensolchen weißen Partikeln, manchmal auch roten und braunen Partikeln, die sich optisch fassen lassen, sehr pastös wirkt. Verbindlich ist darüber hinaus der meist goldfarbene Glimmer, der sich in unterschiedlicher Quantität abzeichnet. Die häufige Nachweisbarkeit dieses Fabrikats vor allem bei gebrauchskeramischen Gefäßformen macht die lokale Zuordnung an eine ephesische Produktion sehr plausibel. Auffallend ist indes das weitgehende Fehlen der sog. Kalkpseudomorphosen, welche die von den Trinkgefäßen bekannten Fabrikate ephesischer Produktion maßgeblich kennzeichnen¹³⁵ und die weniger als Zusätze im Zuge der Tonaufbereitung durch den Töpfer denn vielmehr als ein Charakteristikum der anstehenden Tonlagerstätte selbst zu werten sind. Die Auffälligkeit des Scherbentyps ist letztlich sicher auch durch die Qualität des Brandes mitbestimmt, im Zuge dessen sich die Matrix grundsätzlich anders darstellt, als es für dasselbe Fabrikat möglich sein könnte, das einen höher temperierten Brennzyklus durchläuft. Wie bei den Gefäßen vermutlich milesischer Herkunft wird auch für Gefäße dieses Scherbentyps im Katalog der Zusatz »ephesisch (?)« beigefügt, um die in der archäologischen Interpretation wahrscheinliche Zuordnung an eine lokale Werkstatt anzuzeigen. Innerhalb der von L. Betina petrografisch beprobten Gefäßfragmente zeichnet sich eine Übereinstimmung dieses Fabrikats mit der petrografischen Gruppe EPH-Metamorphic_06 ab (s. u. Kap. 4.C).

1.B.3.1.2 Ostgriechische Kotylen

Die ostgriechischen Kotylen (Diagramm 2) stellen mit insgesamt 275 Stück die größte Fundgruppe in den archaischen Siedlungsbefunden unter der Tetragonos Agora dar. Ihr Verbreitungsschwerpunkt erstreckt sich vom mittleren 8. bis in das mittlere 7. Jahrhundert, womit die Kotylen neben den Tassen und Skyphoi zu den typischen Trinkgefäßen der spätgeometrischen und früharchaischen Zeit im ostgriechischen Raum zählen.

1.B.3.1.2a Ostgriechische Imitationen korinthischer Kotylen¹³⁶

Ab der zweiten Hälfte des 8. Jahrhunderts setzt mit der Produktion der Kotylen in Korinth (s. u. Kap. 1.B.3.15.1b) auch deren Export nach Ionien¹³⁷ ein und, wie in den archaischen Siedlungsbefunden aus Ephesos ersichtlich, in weiterer Folge auch deren Nachbildung in ostgriechischen Werkstätten¹³⁸. Mit **Kat. 1**, **Kat. 32**, **Kat. 33**, **Kat. 67**, **Kat. 68**, **Kat. 147–Kat. 150** und **Kat. 310** liegen bereits in den Befunden der AG Phase I und II zehn Gefäße vor, welche die Übernahme

¹³⁵ Vgl. Kerschner 2002b, 48 (Herkunftsgruppe H). 52 f. (Herkunftsgruppe I).

¹³⁶ Eine ausführliche Darstellung und Analyse der Gefäßgruppe liegt im Rahmen einer Detailstudie (von Miller 2016) vor.

¹³⁷ Zu der Entwicklung der spätgeometrischen Kotylen aus den mittelgeometrischen Skyphoi vgl. Neeft 1975, 104–117; Neeft 1982, 39–41. Zu der Bedeutung des korinthischen Importanteils in ionischen Befunden vgl. Kerschner 2003a, 51 mit weiteren Literaturangaben.

¹³⁸ Zu der möglichen Imitation protokorinthischer Gefäße in ostgriechischen Werkstätten haben sich bereits Anderson 1958/1959, 142 Nr. 54–58 Taf. 22. 23 für Smyrna und von Graeve 1973/1974, 110 f. Nr. 136–138 Taf. 32 für Milet geäußert. s. auch Walter 1957, 41 Beil. 54, 2; Walter – Vierneisel 1959, 19 Beil. 33, 2; Furtwängler 1980, 161.

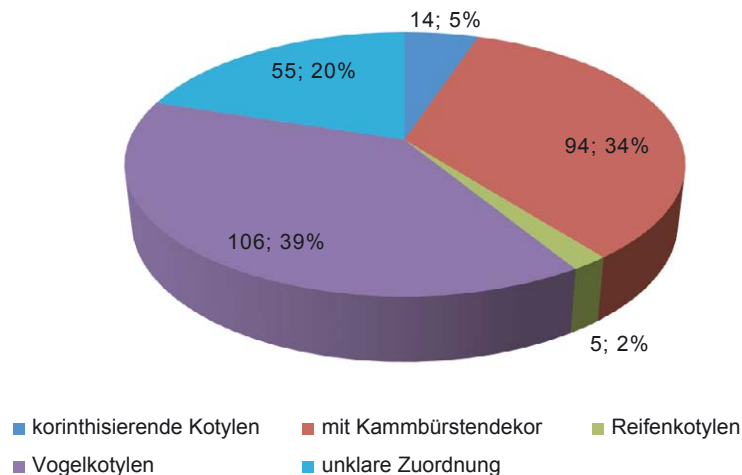


Diagramm 2 Übersicht der ostgriechischen Kotylen von der Tetragonos Agora

der dünnwandigen, tiefen Kotylenform korinthischen Vorbilds mit ihren glatt verjüngten Rändern (**Kat. 32. Kat. 147–Kat. 150**) und kleinen, wulstförmigen Standringen (**Kat. 33. Kat. 68**) in außerkorinthischen bzw. ionischen Werkstattbetrieben belegen. Die Zuweisung der Bodenfragmente zu korinthisierenden Imitationen ist durchaus etwas problematisch, da auch innerhalb der ostgriechischen Form der Randfalzkotyle zierlichere Gefäße vorkommen, doch sind diese in der Minderzahl und scheinen vor allem bei den nordionischen Vogelkotylen verbreitet zu sein, während die südionischen Randfalzkotylen zu größeren Gefäßen mit deutlich schwereren Proportionen tendieren, wie im Anschluss noch zu zeigen sein wird (s. u. Kap. 1.B.3.1.2ba). Ob für die korinthisierenden Kotylen gemeinsam mit den formalen Charakteristika auch die Dekorprinzipien protokorinthischer Kotylen übernommen wurden, ist aufgrund des Erhaltungszustands der Fragmente nicht mehr genau nachzuvollziehen. **Kat. 147** scheint die grundsätzliche Zweiteilung protokorinthischer Kotylen, wie sie in **Kat. 231** und **Kat. 1881** anschaulich wird, in einen vollständig gefirnissten Unterkörper und eine aufgehellte obere Gefäßzone zu übernehmen, wobei Letztere anders als die reifenverzierten Vorbilder ohne jeden Dekor verbleibt. Bei **Kat. 1** zeichnet sich mit den beiden vertikalen Balken ein Dekorelement ab, das auch von den korinthischen Vorbildern bekannt ist, dort aber in ein komplexeres Dekorsystem eingebunden ist, das für **Kat. 1** nicht nachgewiesen werden kann.

Kat. 150, Kat. 608 und **Kat. 1057** übernehmen die korinthische Form in die Gattung der Dunkelgrundigen Ware und stehen damit wahrscheinlich bewusst in der Tradition jener dunkelgrundigen Kotylen, die auch in Korinth selbst hergestellt wurden (s. u. Kap. 1.B.3.15.1b) und beispielsweise mit **Kat. 229** und **Kat. 230** auch aus Ephesos vorliegen. Ein im Dekor vergleichbares Stück wahrscheinlich milesischer Produktion stammt aus der subgeometrischen Aufschüttung vom Kalabaktepe bei Milet¹³⁹, entspricht formal jedoch den ionischen Randfalzkotylen. Mit **Kat. 1590** ist in Ephesos ein weiteres Gefäß gegeben, welches Elemente korinthischer und ostgriechischer Kotylen kombiniert und in die Dunkelgrundige Ware übernimmt. Die dünnwandige, tiefe und eher kleine Form steht mit Ausnahme des schmalen, hohen Randfalzes den korinthischen Gefäßen näher als den ostgriechischen. Der Dekor aus schmalen, am dunklen Gefäßuntergrund aufgetragenen weißen Reifen zitiert wie bei **Kat. 608**, wo der zusätzliche Dekor in aufgesetztem Rot gehalten ist, ebenfalls korinthische Kotylen¹⁴⁰. An die Stelle des dort übli-

200 f. Nr. 9. 10 Abb. 12; 207. Nr. 1 Abb. 15; 208 für Samos. Zusammenfassend dazu auch Kerschner 2003a, 52; Kerschner 2017a, 105 f. Vgl. auch Payne 1931, 181–209; Coldstream 1968, 109 f.; Pelagatti 1982, 137. 139 f.

¹³⁹ Dazu Kerschner 1999, 21. 41 Nr. 32 Abb. 10.

¹⁴⁰ Bereits Coldstream 1968, 97 hat darauf hingewiesen, dass es sich dabei weniger um Deckweiß handelt denn um eine feine Aufarbeitung des lokalen gelben Tons, der in dieser Form auch noch in der archaischen Gefäßproduk-

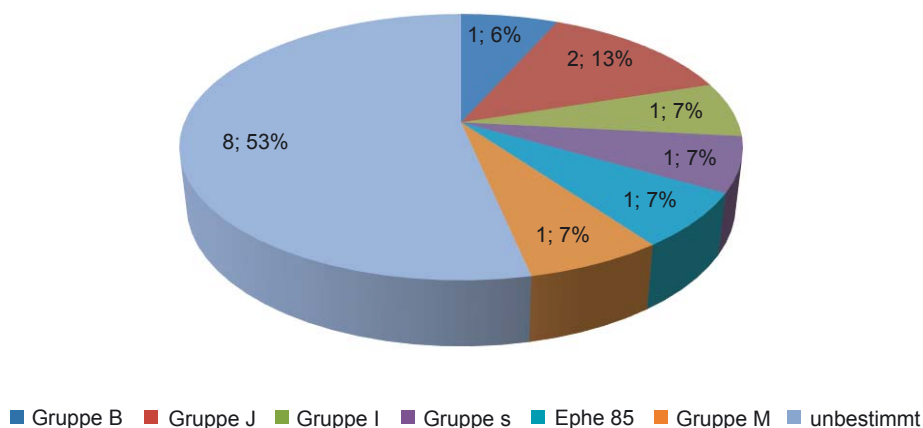


Diagramm 3 Herkunft korinthisierender Kotylen

chen rechteckigen Hauptbildfeldes in der Henkelzone, bei dunkelgrundigen Gefäßen häufig mit einem Stundenglasmotiv versehen (s. u. Kap. 1.B.3.15.1b), tritt bei **Kat. 1590** jedoch ein mittiger Doppelkreis, wie er für die dunkelgrundigen korinthischen Kotylen ebenfalls belegt ist¹⁴¹. Das Motiv begegnet erstmals bereits bei korinthischen Skyphoi (›proto-kotylai‹) mittelgeometrischer Zeit¹⁴². In Smyrna findet sich ein entsprechendes Kreismotiv nahe des Henkelansatzes einer dunkelgrundigen Kotyle, für die J. K. Anderson eine lokale Herstellung nach korinthischem Vorbild für möglich hält¹⁴³.

Bei der etwas dickwandigeren Kotyle **Kat. 834** zeigt das mehrteilige Bündel vertikaler Balken unter dem glatten Rand an, dass der Hersteller nicht gewillt war, sich vom Metopendekorsystem ionischer Randfalzkotylen zu lösen und dieses für die fremde Gefäßform adaptierte, eine Vorgehensweise, die sich auch mit dem Fragment **Kat. 310** und mit **Kat. 1214** einer Zickzackmetopenkotyle abzeichnet. Dieser vertikale Balkendekor ist darüber hinaus auch für die frühesten korinthischen Kotylen vom Typ ›hemispherical kotylai‹ belegt, die auf das dritte Viertel des 8. Jahrhunderts eingegrenzt werden¹⁴⁴.

Kat. 1729 steht mit der wesentlich feiner gezeichneten Strichgruppe im niedrigen Bildfeld und den insgesamt sehr zierlichen Gefäßproportionen dem protokorinthischen Vorbild, wie beispielsweise **Kat. 1834** es darstellen könnte, näher.

Trotz der geringen Stückzahl formal korinthisierender Kotylen ostgriechischer Produktion scheint es sich hierbei nicht um die Spezialität einer einzigen Werkstatt gehandelt zu haben, sondern um ein Phänomen, das, wie die mikroskopische Scherbenanalyse zeigen konnte, zumindest punktuell sowohl in nordionischen (**Kat. 1729**) als auch in samischen (**Kat. 1. Kat. 33**) und ephesischen Werkstätten (**Kat. 310** [?], **Kat. 608**) Niederschlag fand (Diagramm 3). Die übrigen Kotylen sind mit Scherbenproben vereinbar, die nicht lokalisiert sind (single, ProbenNr. Ephe 85) oder mit keinem NAA-beprobten Gefäß vergleichbar. Auffallend ist dabei jedoch die

tion weiterverwendet wird. Ich danke C. W. Neeft, der mich auf dieses Phänomen erstmals aufmerksam gemacht hat. Zur Verwendung von Deckrot schon bei protokorinthischen Kotylen vgl. Anderson 1958/1959, 141 f. Nr. 47 Taf. 21.

¹⁴¹ Vgl. Jacopi 1932/1933, 72 Nr. 3 Abb. 80 (Grab 20); Dunbabin 1962, 70 Nr. 592. 593 Taf. 27; Coldstream 1968, 97. 100; Pelagatti 1982, Nr. 4 Abb. 2 Taf. 36; Stillwell – Benson 1984, 24 Nr. 43 Taf. 3; Buchner – Ridgway 1993, 231 Nr. 4 Taf. 79 (Grab 178). Neeft (in Druckvorbereitung), 38 nennt den Kreisdekor als beliebtestes Motiv auf dunkelgrundigen korinthischen Kotylen.

¹⁴² s. dazu Coldstream 1968, 97 Taf. 18 f.

¹⁴³ Vgl. Anderson 1958/1959, 142 Nr. 54 Taf. 22.

¹⁴⁴ Dazu Neeft 1975, 104–117; Neeft 1982.

scherbentypologische Übereinstimmung der nichtlokalisierten Kotylen **Kat. 32**, **Kat. 147** und **Kat. 150**, die offenbar aus derselben Produktion zu stammen scheinen.

Das Übergewicht der samisch-korinthisierenden Importe (13 %) in der Agora-Siedlung scheint aufgrund der geringen Materialmenge (**Kat. 1**, **Kat. 33**) zwar wenig aussagekräftig, sollte mit Blick auf die gut nachvollziehbare Sequenz korinthisierender Kotylen auf Samos aber nicht ignoriert werden. Korinthisierende Kotylen sind in Samos in Befunden des späten 8. Jahrhunderts erstmals vertreten¹⁴⁵ und reichen bis in Befunde des ausgehenden 7. Jahrhunderts hinab¹⁴⁶. Samisch-korinthisierende Kotylen kommen als dunkelgrundige Gefäße in zwei Dekorvarianten vor. Die erste Variante lässt sich an die dunkelgrundigen Kotylen protokorinthischer Herstellung mit in Deckfarbe aufgesetzter Bemalung anschließen¹⁴⁷, die auch in den Agora-Befunden vertreten sind (**Kat. 150**, **Kat. 608**, **Kat. 1057**). Die zweite samische Dekorvariante nimmt schon mit dem frühesten Exemplar eine von mittelgeometrischen Skyphoi bekannte Dekorvariante auf, bei der nur das langrechteckige Henkelfeld vom deckenden Überzug ausgespart bleibt¹⁴⁸. **Kat. 1** aus der AG Phase I ist das bislang einzige Stück, welches für Samos eine Produktion auch von korinthisierenden Kotylen mit ostgriechischem Metopendekor als dritte Dekorvariante nahelegen kann. Eine letzte für samisch-korinthisierende Kotylen belegte Dekorvariante ist an einem Stück aus dem Artemision von Ephesos belegt (**ART 93/K449.1**, Abb. 39), das mittels der NA-Analyse durch H. Mommsen eindeutig als samisch identifiziert werden konnte¹⁴⁹. Das Gefäß greift mit der Übernahme der für lydische Gefäße typischen ›streaked technique‹ ein zweites, westanatolisches Fremdelement auf, welches in eklektischer Weise mit der protokorinthischen Kotylenform kombiniert wird. Das unterhalb der Henkelzone umlaufende Reifenbündel ist indes schon von den dunkelgrundigen korinthisierenden Kotylen bekannt. Innerhalb der Reihe samisch-korinthisierender Kotylen dürfte die Kotyle aus dem ephesischen Artemision bereits in der mittleren zweiten Hälfte des 7. Jahrhunderts anzusiedeln sein; als Vertreter der ›Streaky ware‹ stellt sie eine spannende Schnittstelle zwischen ostgriechisch-korinthisierenden und lydischen Keramiktraditionen dar, die sich für die Rekonstruktion der Entstehungsgeschichte der ovoiden Kotylen (s. u. Kap. 2.B.2.11.1) von Relevanz erweisen könnte.

Der Verbreitungsschwerpunkt der korinthisierenden Kotylen liegt in der Agora-Siedlung deutlich in den Befunden vor dem mittleren 7. Jahrhundert (AG Phase I + II) und hier in deren Zerstörungsbefunden (Diagramm 4). Interessanterweise konzentrieren sich die korinthisierenden Kotylen dabei gemeinsam mit den tatsächlichen korinthischen Importen im westlichen Bereich der Siedlung in den Objekten UB, AZ 10 und OB (s. u. Kap. 1.D.2.1.1). Auch die lokal in Ephesos hergestellte Kotyle **Kat. 608** aus einem Horizont, welcher die Bauphase des Gebäudes MB angibt, muss in diesem chronologischen Zusammenhang verstanden werden.

1.B.3.1.2b Randfalzkotylen

Die typisch ostgriechische Kotyle zeichnet sich im Gegensatz zur korinthischen durch schwerere Proportionen, eine dickere Gefäßwandung und einen mehr oder weniger deutlich abgesetzten Randfalz aus, unterhalb dessen die horizontalen bis leicht schräg nach oben gerichteten, meist rundstabigen Gefäßhenkel aufsitzen. Von den insgesamt 260 Randfalzkotylen aus den archaischen Siedlungsbefunden unter der Tetragonos Agora lassen sich nicht alle eindeutig einem Typ (Diagramm 2) zuordnen. Die Randfragmente **Kat. 68**, **Kat. 89**, **Kat. 91**, **Kat. 120**, **Kat. 151**, **Kat. 152**, **Kat. 236**, **Kat. 259**, **Kat. 260**, **Kat. 312**, **Kat. 342**, **Kat. 344**, **Kat. 420**, **Kat. 423–Kat. 426**, **Kat. 455**, **Kat. 610**, **Kat. 611**, **Kat. 708**, **Kat. 733**, **Kat. 795**, **Kat. 797**, **Kat. 898**, **Kat. 899**, **Kat. 990**, **Kat. 1058**, **Kat. 1213**, **Kat. 1337**, **Kat. 1650**, **Kat. 1652**, **Kat. 1653**, **Kat. 1730**,

¹⁴⁵ Vgl. Walter 1957, 41 Beil. 54, 2.

¹⁴⁶ Dazu Furtwängler 1980, 161.

¹⁴⁷ Vgl. Walter – Viermeisel 1959, 18–27, bes. 19 Beil. 33, 2; Furtwängler 1980, 161. 200 f. Nr. 10 Abb. 12.

¹⁴⁸ Vgl. Walter 1957, 41 Beil. 54, 2; Furtwängler 1980, 161. 200 Nr. 9 Abb. 12; 207 f. Nr. 1 Abb. 15; 208.

¹⁴⁹ Dazu Kerschner 2007, 233–235 Abb. 1 Taf. 33.

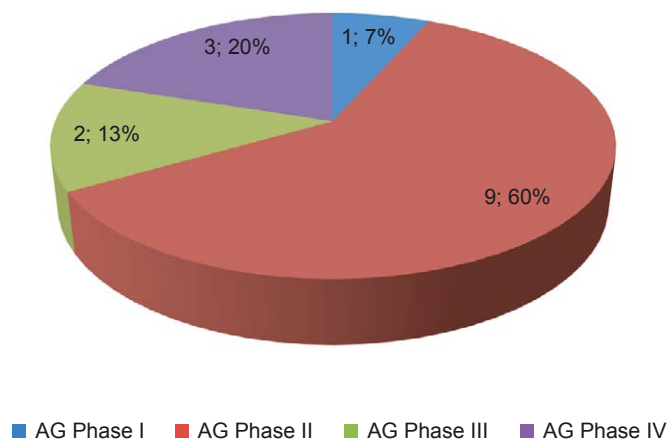


Diagramm 4 Verteilung korinthisierender Kotylen

Kat. 1732, Kat. 1733, Kat. 1737 und **Kat. 1884–Kat. 1886** sowie die Wandfragmente **Kat. 345, Kat. 427, Kat. 642, Kat. 644, Kat. 991, Kat. 1714, Kat. 1738** und **Kat. 1887** sind wegen ihres fragmentarischen Erhaltungszustands nicht näher einzugrenzen.

1.B.3.1.2ba Randfalzkotylen mit Kammbürstendekor

Eine Reihe von Randfalzkotylen aus den archaischen Siedlungsbefunden zeichnet sich durch einen mit der Kammbürste aufgetragenen Dekor in den Bildmetopen der Hauptdekorzone aus. Diese befindet sich am Gefäß unterhalb des teils vollständig gefirnissten, teilweise von zwei schmalen Reifen gesäumten Randes und wird nach unten hin meist von einer Gruppe am Gefäß umlaufender Reifen begrenzt, welche in den dunkel gehaltenen Gefäßunterkörper überleiten. Die einzelnen Bildmetopen werden von mehrteiligen Bündeln vertikaler Balken voneinander abgetrennt. Die Henkel und Henkelansätze können gefirnisst sein und von einem ebenso gefirnissten Henkelfeld begleitet werden, oder aber sie verbleiben bis auf ein am Henkel entlang laufendes Firnisband, das in den Gefäßkörper ausgreift, unbemalt. Diese sekundären Merkmale erlauben es, auch eine Reihe von Fragmenten, bei denen sich der charakteristische Kammbürstendekor nicht erhalten hat, mit größter Wahrscheinlichkeit der Gruppe der Randfalzkotylen mit Kammbürstendekor zuzuweisen (z. B. **Kat. 69. Kat. 88. Kat. 90. Kat. 121. Kat. 237. Kat. 248. Kat. 311. Kat. 344. Kat. 428. Kat. 530. Kat. 609. Kat. 612. Kat. 642. Kat. 734. Kat. 735. Kat. 796. Kat. 798. Kat. 977. Kat. 1237. Kat. 1238. Kat. 1481. Kat. 1651–Kat. 1653. Kat. 1731. Kat. 1733–Kat. 1736. Kat. 1739. Kat. 1883–Kat. 1885**).

Innerhalb der Randfalzkotylen mit Kammbürstendekor hat M. Kerschner Wellen-, Punkt-, Strich- und Zickzackmetopenkotylen unterschieden¹⁵⁰. Mit Ausnahme der Wellenmetopenkotylen ist jede der vier Varianten in den Siedlungsbefunden unter der Tetragonos Agora vertreten. Die Strichmetopenkotylen beschränken sich auf die zwei Gefäßfragmente **Kat. 154** und **Kat. 303**, wobei sich **Kat. 303** mit seinen sehr kurzen Strichen bereits den Punktmetopenkotylen annähert, für die mit **Kat. 1338** ein schönes Beispiel vorliegt. Dieses steht mit seinem sandigen und goldglimmerhältigen Fabrikat milesischen Gefäßen nahe. **Kat. 1485** scheint beide Elemente, Strich und Punkt, zu kombinieren.

Die größte Gruppe in den archaischen Siedlungsbefunden bildet mit 58 zugehörigen Fragmenten die Variante der Zickzackmetopenkotylen. Ihnen sind je zwei übereinanderliegende, horizontale Zickzacklinien in den Bildmetopen gemeinsam, die in ihrer Ausführung freilich sehr unterschiedlich sein können. Während **Kat. 645, Kat. 1453** und **Kat. 1484** sehr sorgfältig

¹⁵⁰ Kerschner 1995, 9–11 Abb. 8–13.

und wie in einem Durchlauf gemalte Zickzackbänder aufweisen, zeigen **Kat. 92, Kat. 122, Kat. 123, Kat. 249, Kat. 410, Kat. 429, Kat. 456, Kat. 466, Kat. 467, Kat. 531, Kat. 586, Kat. 613, Kat. 614, Kat. 646, Kat. 675, Kat. 799–Kat. 802, Kat. 900, Kat. 901, Kat. 947, Kat. 1239, Kat. 1241, Kat. 1375, Kat. 1587, Kat. 1632, Kat. 1742** und **Kat. 1743** unregelmäßig ausgeführte, hohe Zickzacklinien mit ineinander verschränkten Einzelsegmenten. Bei **Kat. 261, Kat. 347, Kat. 587, Kat. 736** und **Kat. 1589** haben diese Einzelsegmente beinahe hakenförmig geschwungenen Charakter, bei **Kat. 803** und **Kat. 1654–Kat. 1656** bleiben sie sehr flach. Dahingegen zeichnen sich **Kat. 737, Kat. 851, Kat. 1588** und **Kat. 1838** durch sehr niedrige, beinahe schon wellenförmig ausgeführte Zickzackbänder aus. Der Versuch, die unterschiedlichen Ausführungen der Zickzacklinien bestimmten, im Fabrikat sich abzeichnenden Werkstattkreisen zuzuordnen, führte zu keinem weiterführenden Ergebnis. Vielmehr zeichnen sich für jede der Varianten sowohl Produktionen im Umfeld von Ephesos (Herkunftsgruppe H, I, M) und Samos (Herkunftsgruppe J) ab. Allein die Kotylen mit hakenförmigem Metopendekor scheinen sich auf Ephesos (Herkunftsgruppe I) bzw. auf die beiden nicht zugeordneten Fabrikate ProbenNr. Ephe 10 und ProbenNr. Ephe 77 zu beschränken.

Die große ephesische Kotyle **Kat. 92** sowie **Kat. 123** unterscheiden sich von den anderen Gefäßen durch eine dritte Zickzacklinie in den Metopen; **Kat. 35** hebt sich durch den geraden Rand und die eng gesetzten Zickzacklinien ab, die das Gefäß möglicherweise schon eher in die Nähe der Vogelkotylen des Typs 6b (s. u. Kap. 1.B.3.1.2bc) rücken. **Kat. 1214** sticht durch seine für diesen Gefäßtyp sehr ungewöhnliche geringe Wandstärke und den kleinen Randdurchmesser hervor, der das randfalzlose Gefäß in die Nähe der oben besprochenen korinthisierenden Kotylen rückt. Diese Merkmale treffen auch auf **Kat. 1483** und **Kat. 1633** zu. Bei **Kat. 153, Kat. 500** und **Kat. 1240** lässt sich nicht mehr genau feststellen, ob die Bildmetope nun mit Zickzacklinien oder doch mit Strichen gefüllt war.

Die Zickzackmetopenkotylen sind als populärste Variante unter den Kotylen mit Kammbüschendekor erstmals in südionischen Befunden des letzten Viertels des 8. Jahrhunderts nachgewiesen¹⁵¹, ihr Dekorschema ist in Ionien außerdem von den Knickrandskyphoi bestens belegt¹⁵².

Als gesicherte Produktionszentren von Zickzackmetopenkotylen sind bislang Ephesos, Samos und Milet bekannt¹⁵³; gerade die ephesische Produktion bestätigt sich mit 14 zugewiesenen Stücken deutlich auch in den archaischen Siedlungsbefunden unter der Tetragonos Agora (Diagramm 5). Von den weiteren 14 einer südionischen Werkstatt zugeordneten Gefäßen sind jene der Herkunftsgruppe M wahrscheinlich ebenfalls in Ephesos oder seinem näheren Umfeld zu verankern. Innerhalb der teils mutmaßlichen Kotylen mit Kammbüschendekor weisen 9 der Kotylen (**Kat. 796, Kat. 797, Kat. 900, Kat. 1481, Kat. 1734, Kat. 1735, Kat. 1741, Kat. 1742, Kat. 1883**) das rötliche und tendenziell mittelhart gebrannte Fabrikat auf, welches in Ephesos vor allem auch bei den gebrauchskeramischen Formen nachgewiesen ist. Es handelt sich um großformatige Vertreter der Gruppe, die in jenen Fällen, wo sich der Dekor erhalten hat, als Zickzackmetopenkotylen der Variante mit hohen, unregelmäßig gemalten Zickzacklinien erkennbar sind (**Kat. 900, Kat. 1741, Kat. 1742**). Die vier Strich- bzw. Punktmetopenkotylen konnten scherbentypologisch nicht weiter eingegrenzt werden, die Punktmetopenkotyle **Kat. 1338** könnte jedoch aus einer milesischen Werkstatt stammen.

Im Hinblick auf ihre chronologische Einordnung wird sich eine vergleichbare Datierung der Strich- und Punktmetopenkotylen mit den Zickzackmetopenkotylen annehmen lassen und zumindest für die Strichmetopenkotylen zeigt sich in **Kat. 154** und **Kat. 303** ihr paralleles Vorkommen

¹⁵¹ Vgl. dazu Walter – Vierneisel 1959, 19 Beil. 33, 1 aus dem Brunnen G (ca. 710–640/630 bzw. bis 650/640 nach Schlotzhauer 2014, 297) und Walter 1968, 105 Nr. 235–237 Taf. 41 (hier aus dem Brunnen F [ca. 730–670] auf Samos); von Graeve 1975, 51 f. Nr. 47 Abb. 21 Taf. 10 aus der Phase der Ovalbauten in Milet (spätgeometrisch).

¹⁵² Vgl. etwa Boardman 1967, 121 Nr. 217–221 Taf. 32; Coldstream 1968, 290 Taf. 64 c; Walter 1968, 103 Nr. 212 Taf. 38; 104 Nr. 222, 224, 226 Taf. 40; Schlotzhauer 2014, 491 Nr. 52, 54 Taf. 9, 10; 493 Nr. 62 Taf. 11; 495 Nr. 72 Taf. 13.

¹⁵³ Dazu Kerschner 1997a, 213; Kerschner u. a. 2000, 48; Kerschner 2003a, 53; Kerschner 2007, 224; Kerschner 2008a, 29 f. s. außerdem Kerschner 2002g, 100 Nr. 26 Taf. 1.

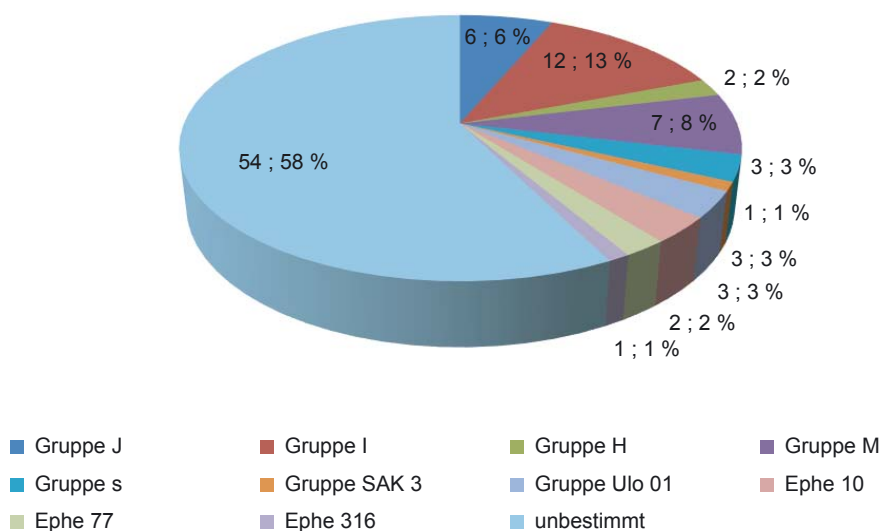


Diagramm 5 Herkunft der Kotylen mit Kammbürstendekor

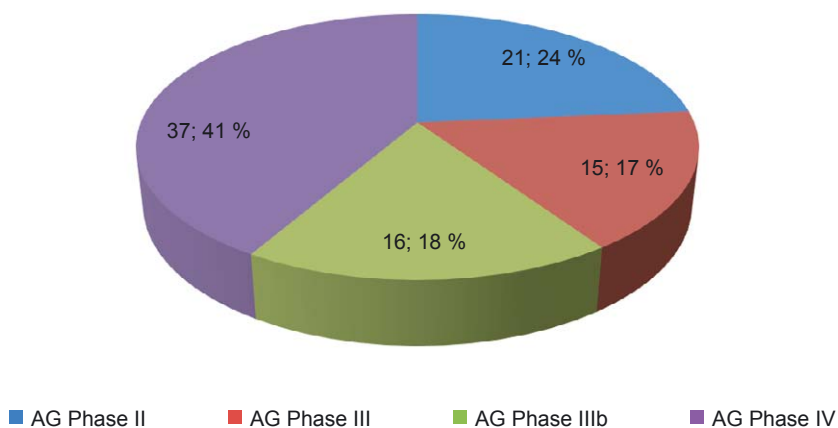


Diagramm 6 Verteilung der Kotylen mit Kammbürstendekor

mit den Zickzackmetopenkotylen, deren Verbreitungsschwerpunkt sich von den Befunden der AG Phase II bis in die Bauhorizonte der AG Phase IV abzeichnet (Diagramm 6). Damit stellt sich vor dem Hintergrund der repräsentativen Fundevidenz aus der archaischen Siedlung unter der Tetragonos Agora erneut die bereits von M. Kerschner aufgeworfene Frage, ob diesem an sich subgeometrischen Gefäßtyp in Ephesos vielleicht auch aufgrund der Produktionsbeteiligung lokaler Werkstätten eine längere Lebensdauer vergönnt war als bisher angenommen¹⁵⁴. Die Fundkonzentration jener Kotylen, die das rötliche Fabrikat wahrscheinlich lokaler Gebrauchswaren aufweisen, im östlichen Bereich der Siedlung in Kontexten der Töpferwerkstatt in AG Phase IIIb (**Kat. 796. Kat. 797. Kat. 900**) bzw. ihrer Nachfolgebauung in AG Phase IV (**Kat. 1734. Kat. 1735. Kat. 1741. Kat. 1742 und Kat. 1883**) kann in diesem Zusammenhang ein – wenn auch nicht hinreichendes – Indiz für eine lokale Produktion dieser Kotylen in der Töpferwerkstatt unter der Tetragonos Agora darstellen.

¹⁵⁴ Vgl. Kerschner 1997a, 186–190.

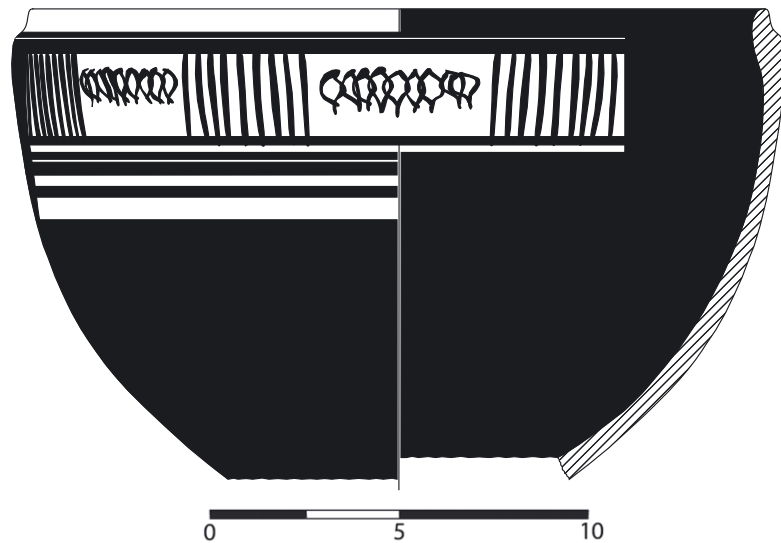


Abb. 3 Schlaufenmetopenkotyle AG 87/141.7 und AG 87/140

Für die Frage, wie lange mit dem Fortleben des subgeometrischen Zickzackmetopendekors zu rechnen ist, kommt schließlich der Kalottenschale **Kat. 947** ein besonderes Interesse zu. Das Stück stammt aus einem Zerstörungsbefund der AG Phase IIIb und illustriert die Übernahme des Dekors der Zickzackmetopenkotylen auf die flache Form der frühen Kalottenschalen mit rudimentärem Randfalz (s. u. Kap. 1.B.3.1.4a), die sich auch im selben Befund vergesellschaftet finden. **Kat. 947** liefert damit ein starkes Argument dafür, dass selbst angesichts neuer formaler Impulse bewusst an etablierten Dekortraditionen festgehalten wurde, und man keineswegs davon ausgehen muss, dass innovative Entwicklungen sofort ihren Niederschlag fanden und dies nicht in Form einer angleichenden Imitation geschehen musste. Vielmehr blieb trotz der Übernahme der neuen Form der Kalottenschale das retardierende Dekorelement bestimmend. Leider konnte dieses signifikante Gefäß bislang keinem Scherbentyp zugewiesen werden.

Neben den Zickzack-, Strich- und Punktmetopenkotylen ist aus den Planierschichten oberhalb der Agora-Siedlung das bislang singuläre Fragment einer Schlaufenmetopenkotyle (AG 87/141.7+AG 87/140, Abb. 3)¹⁵⁵ bekannt, bei der sich die von **Kat. 261**, **Kat. 347**, **Kat. 587**, **Kat. 736** und **Kat. 1588** geläufigen, hakenförmigen Zickzacksegmente zu Schlaufen erweitern¹⁵⁶. Als Dekorelement scheint genau dieses Motiv in der ostgriechischen Gefäßmalerei für Trinkgefäße weniger üblich zu sein, findet sich dafür aber als Metopendekor geometrischer Knickrandskyphoi im nördlichen Griechenland¹⁵⁷. Aus Samos sind Kratere mit Schlaufenmetopendekor bekannt¹⁵⁸.

1.B.3.1.2bb Reifenkotylen

Die ephesische Kotyle **Kat. 430** zeichnet sich durch an der tongrundig belassenen Außenseite umlaufende schmale Reifen aus. Dieses Dekorschema ist für ionische Randfalzkotylen bislang nicht belegt und erinnert an die Gestaltungsweise protokorinthischer Gefäße, die hier für eine Randfalzkotyle adaptiert wurde (s. u. Kap. 1.B.3.15.1b). Darüber hinaus sind Reifenkotylen

¹⁵⁵ Das Gefäß wurde von Kerschner 2007, 224 Nr. 2 Taf. 31 erstmals publiziert.

¹⁵⁶ Kunisch 1998, 85 f. Abb. 35 c führt das Motiv als »flüchtige Rautenkette«. Vgl. auch Schlotzhauer 2014, 491 Nr. 53 Taf. 9, wo der Dekor für einen Knickrandskyphos belegt ist.

¹⁵⁷ Vgl. Besios u. a. 2012, 66 Nr. 5.

¹⁵⁸ Vgl. Technau 1929, 19 Abb. 11; Walter 1968, 98 Nr. 121. 122 Taf. 21; 113 Nr. 389 Taf. 71. Im spätgeometrischen Attika kommen vergleichbare Schlaufen als umlaufende Friese vor. s. etwa Coldstream 1968, Taf. 14 a-c.

aus südionischen Befunden, etwa aus Milet, bekannt¹⁵⁹, zeichnen sich dort jedoch durch eine breitere Bänderung aus, die mit **Kat. 430** nicht unmittelbar zu vergleichen ist. Eine Produktion von Reifenkotylen ist aufgrund archäometrischer Evidenzen für Milet anzunehmen¹⁶⁰; die den milesischen Reifenkotylen nahe stehenden Gefäße **Kat. 794**, **Kat. 1486** und **Kat. 1713** konnten im scherbentypologischen Abgleich jedoch nicht näher eingegrenzt werden. Mit **Kat. 499** ist hingegen eine Produktion von Kotylen mit Merkmalen der Reifenkotylen in den Vogelschalenwerkstätten belegt.

In der subgeometrischen Aufschüttung vom Kalabaktepe in Milet liegt für die Reifenkotylen ein *terminus ante quem* vom späteren 8. bis in das mittlere 7. Jahrhundert vor¹⁶¹. Mit **Kat. 430** ist für Ephesos ein Vorkommen der Reifenkotylen in der AG Phase II belegt, doch handelt es sich hierbei wie bereits ausgeführt um eine Sonderform innerhalb der Reifenkotylen; **Kat. 499** und **Kat. 794** aus Bauhorizonten der AG Phase III unterstützten diesen chronologischen Ansatz. Die übrigen Gefäße sind in Befunden erst der AG Phase IV vergesellschaftet. Im Gegensatz zu den Zickzackmetopenkotylen führt für die geringe Anzahl der Reifenkotylen die Verbreitungstatistik nicht weiter.

1.B.3.1.2bc Vogelkotylen

Die Vogelkotylen bilden die dritte Gruppe ostgriechischer Randfalzkotylen aus den archaischen Siedlungsbefunden in Ephesos. Sie wurden aufgrund ihres charakteristischen Erscheinungsbildes in Dekor und Fabrikat schon früh als zusammengehörige Gruppe erkannt, was J. N. Coldstream mit dem Begriff des ›Bird-kotyle-workshop‹ erstmals nachhaltig zum Ausdruck brachte¹⁶². Seit den ersten Fabrikatsanalysen durch P. Dupont haben die Vogelkotylen als vorherrschender Trinkgefäßtyp des nördlichen Ioniens in spätgeometrischer und früharchaischer Zeit zu gelten¹⁶³ und gehören gleichzeitig zu den frühen Exportschlagern einer ionischen Keramikproduktion im Mittelmeerraum und vor allem auch in das südliche Ionien, wo die importierten Gefäße lokale Produktionen anregten.

Für die Ansprache von Gefäßen als Vogelkotylen werden im Folgenden zwei Anhaltspunkte geltend gemacht. Einerseits ist dies unabhängig vom Fabrikat der charakteristische Dekor, der über seine Standardisierung die Ansprache auch sehr kleiner Fragmente und ihre Zuweisung zu bestimmten Typen¹⁶⁴ erlaubt; andererseits ist es das charakteristische Fabrikat der nordionischen Vogelschalenwerkstatt, welches auch Stücke ohne differenzierten Dekor, wie beispielsweise Bodenfragmente, der Gruppe der Vogelkotylen zuordnet.

Schmetterlingsmetopen im Sockelfries kennzeichnen die Vogelkotylen der Typen 3–5 mit einer Datierung vom mittleren 8. bis in das erste Viertel des 7. Jahrhunderts. **Kat. 93**, **Kat. 411**, **Kat. 469** und **Kat. 647** können daher nur sehr allgemein in diesem Zeitraum verortet werden. Eine genauere Typenzuweisung ist ebenso wenig möglich wie für **Kat. 94**, **Kat. 155**, **Kat. 265**, **Kat. 313**, **Kat. 343**, **Kat. 353**, **Kat. 412**, **Kat. 431**, **Kat. 432**, **Kat. 468**, **Kat. 470**, **Kat. 534**, **Kat. 535**, **Kat. 719**, **Kat. 1659** und **Kat. 1746–Kat. 1749**, bei denen sich vom Dekor nur die gerahmte Gitterraute erhalten hat, die als Motiv der beiden rahmenden Außenmetopen für die Typen 2–8 mit einem chronologischen Spielraum vom mittleren 8. bis in das mittlere 7. Jahrhundert denkbar ist. Fragmente aus dem Bereich des Henkelfeldes wie **Kat. 2**, **Kat. 71**, **Kat. 262**, **Kat. 348**, **Kat. 709**, **Kat. 1272**, **Kat. 1382** und **Kat. 1744** sind für alle Typen der Vogelkotylen möglich. Was diese Gefäße dennoch deutlich von den undifferenzierten Randfalzkotylen ebenso

¹⁵⁹ Kerschner 1999, 20 f. 41 Nr. 30. 31 Abb. 10.

¹⁶⁰ Vgl. dazu Kerschner 2002g, 103 Nr. 45. 46 Taf. 2.

¹⁶¹ Dazu Kerschner 1999, 15.

¹⁶² Vgl. Coldstream 1968, 277–279.

¹⁶³ Zu der archäometrischen Grundlage s. Dupont 1983, 31–33; Dupont 1986; Kerschner – Mommsen 1997; Kerschner 2002d, 63–72; Kerschner – Mommsen 2009, 136–139; Kerschner 2014a, 109. 115; Kadioğlu u. a. 2015, 349–353.

¹⁶⁴ Für die Typologie der Vogelkotylen vgl. Kerschner 1995, 11–15 Abb. 14–37.

wie von den Randfalzkotylen mit Kammbürstendekor unterscheidet, ist neben den konsequent kleineren Gefäßproportionen die einheitlich gefirnisste Zone um den Henkelansatz, in der, wie **Kat. 1382** zeigt, unterhalb des Henkels ein tongrundiges Feld ausgespart bleibt, und an welche das in Metopen gegliederte Hauptbildfeld mit einem Bündel vertikaler Balken anschließt, das selten die hohe Stückzahl erreicht, die von den Kotylen mit Kammbürstendekor bekannt ist. Darüber hinaus ist den Vogelkotylen im Gegensatz zu den übrigen Randfalzkotylen meist ein tongrundiger Randfalz gemein, der zur Dekorzone hin von einer Linie abgegrenzt wird.

Kat. 1657 und **Kat. 1745** stellen als Vogelkotylen vom Typ 3¹⁶⁵ die typologisch älteste in den archaischen Siedlungsbefunden aus Ephesos vorkommende Ausprägung der Gruppe mit einer Datierung im dritten Viertel des 8. Jahrhunderts dar. Gemeinsam ist ihnen der gegenständige Mäanderhaken in der Hauptmetope, von dem sich bei beiden Gefäßen der rechte Abschnitt erhalten hat. Während sich jedoch das der nordionischen Vogelschalenwerkstatt zugehörige Gefäß **Kat. 1657** annähernd kanonisch mit einem punktgefüllten Hakenmäander¹⁶⁶ in der Hauptmetope und seitlich flankierenden Rautenmetopen über einem Schmetterlingsmetopenfries in der Sockelzone präsentiert, liegt der schraffierte Hakenmäander bei **Kat. 1745** über einer aus bloßen Linien bestehenden Sockelzone, welche die Variante Typ 3b kennzeichnet. Das helle, poröse Fabrikat erinnert an milesische Gefäße.

Mit den Vogelkotylen vom Typ 4¹⁶⁷ wird mit der Vogelmetope das namensgebende Motiv der Gefäßgruppe eingeführt. Das über dem Schmetterlingsmetopenfries ruhende Bildfeld besteht verbindlich aus zwei Metopen mit gerahmten Gitterrauten, die eine Vogelmetope und eine weitere mit einem Mäanderbaum flankieren. Die Abfolge der beiden mittleren Metopen kann dabei, wie **Kat. 315** und **Kat. 316** veranschaulichen, variieren. Der Mäanderbaum **Kat. 315** wird von zwei kleinen Z-Motiven begleitet, bei **Kat. 316** sind zwei Kreuzmotive eingeschoben. Von der Vogelmetope hat sich bei **Kat. 315** nur das hinter dem Vogelkörper herabhängende Gitterdreieck erhalten, bei **Kat. 316** füllen zwei kurze Zickzacklinien die Freiräume unter dem Vogelkörper und zwischen Hals, Kopf und Brustkontur. In einer seltenen Variante Typ 4a wird der Schmetterlingsmetopenfries in der Sockelzone wie bei **Kat. 1658** von einem Gitterrautenband ersetzt. Das mit Typ 4 auftretende Vogelbild im Metopenfries setzt sich bis zum Ende der Laufzeit der Vogelkotylen im mittleren 7. Jahrhundert auch für die Typen 5–8 fort. In eben diesem typologischen und chronologischen Rahmen sind die Kotylen **Kat. 124**, **Kat. 457**, **Kat. 536**, **Kat. 590**, **Kat. 618**, **Kat. 713**, **Kat. 902**, **Kat. 1242**, **Kat. 1376**, **Kat. 1591**, **Kat. 1634** und **Kat. 1752** zu verorten, die jeweils den Ausschnitt einer Vogelmetope zeigen.

Bei den Vogelkotylen Typ 5¹⁶⁸ wird in der Mittelachse des Metopenfrieses ein schmales Feld eingefügt. Die beiden Hauptmetopen zeigen meist wie jene der Vogelkotylen vom Typ 4 einen Vogel und einen Mäanderbaum, der Vogel kann jedoch auch von einem zweiten Mäanderbaum oder Mäanderhaken ersetzt werden. Bei **Kat. 263**, **Kat. 533**, **Kat. 615** und **Kat. 1839** kann keine Entscheidung zwischen dem Typ 4 oder dem Typ 5 getroffen werden. Bei den wenigen Fragmenten **Kat. 95**, **Kat. 349**, **Kat. 1660** und **Kat. 1715**, welche sich über ein schmales Feld auszeichnen und damit ebenfalls für den Typ 5 in Frage kommen, lässt sich aufgrund des Erhaltungszustands nicht ausschließen, dass es sich um Gefäße der Variante Typ 6b handelt, die wie **Kat. 352**, **Kat. 588** und **Kat. 1592** ebenfalls eine schmale Ornamentmetope, allerdings als viertes neben der Rautenmetope und gegenüber der Hauptmetope mit Vogelbild zurückgenommenes Bildfeld aufweisen. Die Ornamentmetope kann wie bei **Kat. 352** und **Kat. 588** stehende Haken beinhalten, wie **Kat. 1592** ein Gitterrautenband aufweisen oder wie bei **AG 88/002.1** (Abb. 4) aus den hellenistischen Planierschichten über der Agora-Siedlung ein vertikales Zickzackband

¹⁶⁵ s. Kerschner 1995, 12 f.

¹⁶⁶ Punktgefüllte Hakenmäander sind eigentlich ein distinktives Merkmal der Variante Typ 3a ohne flankierende Rautenmetopen. Vgl. Kerschner 1995, 13.

¹⁶⁷ Vgl. Kerschner 1995, 13 f. Abb. 21. 22. 111. 112.

¹⁶⁸ Kerschner 1995, 14 Abb. 23–25. 115–117.



Abb. 4 Vogelkotyle AG 88/002.1

zeigen¹⁶⁹. Die Variante mit einem Gitterband als Sockelzone, wie sie in **Kat. 1715** vorliegt, ist bisher hingegen weder für den Typ 5 noch für die Variante Typ 6b belegt.

Als weiteres Unterscheidungskriterium zu den vorangehenden Typen wird mit der erst im letzten Viertel des 8. Jahrhunderts aufkommenden Vogelkotyle Typ 6¹⁷⁰ ein Zickzackband als Sockelfries eingeführt. In der Motivkombination von Zickzacklinie und Mäanderbaum sind **Kat. 96**, **Kat. 156** und **Kat. 158** als Vogelkotylen vom Typ 6 ausgewiesen, wobei bei **Kat. 156** interessanterweise auf das Triglyphenelement zwischen Mäanderbaum und Vogel verzichtet wurde. Das Nebeneinander von Mäanderbaum und Hakenmäander bei **Kat. 314** ist ebenfalls nur für Typ 6 möglich. Bei **Kat. 1487** werden diese Motive mit einem offenen Flechtband in der Sockelzone kombiniert, was das Gefäß parallel zu der beginnenden Tierfriesmalerei tendenziell an das Ende der Laufzeit des Typus 6 im zweiten Viertel des 7. Jahrhunderts stellt. Die Mäanderbäume zeichnen sich hier darüber hinaus durch kleine Ärmchen aus. Die Kotylen der Variante Typ 6a sind durch einen einfachen Sockelfries aus umlaufenden Reifen gekennzeichnet (z. B. **Kat. 97**, **Kat. 648**). Mit den Vogelkotylen vom Typ 6 findet das Motiv des Mäanderbaums sein Ende, wodurch die Gefäße **Kat. 36**, **Kat. 37**, **Kat. 487**, **Kat. 615** und **Kat. 1750** auf die Typen 4–6 eingegrenzt werden können.

Wie die Kotylen des Typs 6 sind auch jene vom Typ 7¹⁷¹ mit einem Zickzackband versehen, der Metopenfries wird nun allerdings auf drei Bildmetopen reduziert, die sich verbindlich aus einer Vogelmetope und zwei rahmenden Gitterrautenmetopen zusammensetzen. Wo dieses Schema nicht nachweisbar ist, können Fragmente mit Zickzacksockelfries (**Kat. 38**, **Kat. 39**, **Kat. 125**, **Kat. 157**, **Kat. 264**, **Kat. 458**, **Kat. 537**, **Kat. 616**, **Kat. 617**, **Kat. 903**, **Kat. 978**, **Kat. 1661**, **Kat. 1753**) keinem der beiden Typen mit Sicherheit zugewiesen werden; für die sehr kleinformatigen Gefäße **Kat. 73** und **Kat. 589**, bei denen aufgrund der Gefäßproportionen kaum mit einer vierten Bildmetope gerechnet werden kann, ist eine Zugehörigkeit zu Typ 7 zumindest sehr wahrscheinlich.

Kat. 350 ist sowohl für ein Gefäß vom Typ 7 als auch für eines vom Typ 8¹⁷² denkbar; Letzterer führt als einzige Neuerung gegenüber dem Typ 7 Schrägstriche (**Kat. 354**, **Kat. 676**, **Kat. 1437**, **Kat. 1754**) und Punkte (**Kat. 459**, **Kat. 904**) als Motiv der Sockelzone ein. Die kleinformatigen Kotylen **Kat. 351** und **Kat. 353** werden ebenfalls einem dieser beiden Typen angehören, die beide bereits in das 7. Jahrhundert zu datieren sind.

¹⁶⁹ Für entsprechende Vergleichsbeispiele s. Eilmann 1933, 69 Abb. 18 a; Dugas – Rhomaios 1934, 100 Nr. 14 Taf. 47; Boardman 1967, 134 Nr. 443. 444. 446. 447 Taf. 42; Walter 1968, 106 Nr. 259. 260. 268 Taf. 43. 44; Metzger 1972, 21 Nr. 2 Taf. 1; von Graeve 1973/1974, 95–97 Nr. 47. 53. 55 Taf. 23; von Graeve 1975, 52 Nr. 49 Abb. 23 Taf. 10; Özgünel 1978, Abb. 14. 15 Taf. 3; Walter-Karydi 1982, 10 Nr. 3. 4 Taf. 1; Benda 1991, 34 Nr. 12 Typus 8; de La Genière 1992, 73 Nr. 72 Abb. 7; Kerschner 1995, 14 f. Abb. 26–32; Kerschner 1999, 40 Nr. 27 Abb. 10; Kerschner 2003a, 54 Nr. 3 Abb. 6; Kerschner 2007, Abb. 1 Taf. 31.

¹⁷⁰ Dazu Kerschner 1995, 14 f. Abb. 26–32.

¹⁷¹ Kerschner 1995, 15 Abb. 33.

¹⁷² Kerschner 1995, 15 Abb. 34–37.

Bei den beiden Kotylen **Kat. 700** und **Kat. 1662** findet sich mit den umgekehrten Z-Reihen im Sockelfries ein Motiv, das von den Vogelkotylen bislang kaum belegt ist. Eine Kotyle aus den Siedlungsniveaus vom Kalabaktepe in Milet¹⁷³ mit vergleichbarem Sockeldekor gehört Typ 5 an, und eine nordionische Kalottenschale aus den Befunden vom Panayırdağ zeigt in einer Variation der Vogelschalen vom Typ 1 ebenfalls eine umgekehrte Z-Reihe in der Sockelzone¹⁷⁴. Damit dürfte das Motiv trotz seines begrenzten Bekanntheitsgrades dem Repertoire der nordionischen Vogelschalenwerkstatt zugewiesen werden können, und dies bereits seit den Anfängen der Produktion, wie eine Vogelkotyle vom Typ 1/Typ 2 aus Chios wahrscheinlich machen kann¹⁷⁵. **Kat. 1662** ist hingegen als das Produkt einer ephesischen Werkstatt anzusprechen, während **Kat. 700** im scherbentypologischen Abgleich keine Übereinstimmung mit bekannten Fabrikaten aufweist. Dieses besonders dickwandige Gefäß zeichnet sich zudem durch zwei den Sockelfries beidseitig rahmende, mit Punkten aus Deckweiß gefüllte Bänder aus, wie sie sich in ähnlicher Form bei einem geschlossenen Gefäß **Kat. 559** in Befunden derselben AG Phase III wiederfinden.

Der Überblick über die typologischen Varianten der Vogelkotylen macht einen gewissen Schematismus in der malerischen Gestaltung dieser Gefäßgruppe deutlich, der sich nicht auf die Produkte der richtungsweisenden Vogelschalenwerkstatt beschränkt. Auch die in lokalen Werkstätten anderer Regionen hergestellten Vogelkotylen bleiben erstaunlich nahe am nordionischen Vorbild, was vom großen Prestigewert dieser Importe als »Marke« zeugt, die in der Imitation eben gerade nicht verfremdet, sondern möglichst dem Original nahe bleiben sollte. Auf deutliche Abweichungen vor allem in der Motivwahl der Sockelzonen (**Kat. 700. Kat. 1662. Kat. 1715**) wurde bereits hingewiesen; ansonsten scheinen Modifikationen innerhalb der einzelnen Typen auf die divergierende Füllornamentik beschränkt zu bleiben. Mit Varianten schraffierter Dreiecke (**Kat. 156. Kat. 157. Kat. 350. Kat. 352. Kat. 536. Kat. 537. Kat. 590. Kat. 618. Kat. 713. Kat. 805. Kat. 902. Kat. 903. Kat. 1634. Kat. 1750. Kat. 1751**) und Zickzackmotive (**Kat. 124. Kat. 354. Kat. 590. Kat. 676. Kat. 1437**) in den Vogelmetopen und schraffierter Rauten (**Kat. 37. Kat. 1750**), diverser Kreuzmotive (**Kat. 96. Kat. 316**) sowie Hakenmotive (**Kat. 158. Kat. 315. Kat. 457. Kat. 533**) in den Mäanderbaummetopen¹⁷⁶ ist der Spielraum freilich nicht besonders weit gefasst.

Darüber hinaus zeigt die genauere Betrachtung der Metopenfriese bei aller motivischen Geschlossenheit, deren Ursache letztlich aus der geometrischen Tradition, in welcher die Gefäßgruppe verwurzelt ist, zu erklären sein wird, dass sich in der stilistischen Ausführung der Metopenfriese und ihrer Details sehr wohl klare Differenzen fassen lassen, welche individuelle Malerhände und ihr werkstattliches Umfeld widerspiegeln mögen, oder auch den Rahmen, in dem diese eine Vorbildwirkung entfalteteten (s. u. Kap. 1.B.3.5.2ad). Aus dem vielfach stark fragmentierten Material aus den archaischen Siedlungsbefunden lassen sich freilich keine solchen Beziehungen klar herauslesen, wohl aber mögen die ephesische Kotyle **Kat. 352** und ihr in der Gestaltung des Vogelkörpers und im Malduktus unmittelbares Vergleichsbeispiel aus Larisa am Hermos¹⁷⁷ dazu anhalten, die Möglichkeit zumindest nicht auszuschließen. Die Oberflächenge-

¹⁷³ Vgl. Kerschner 1995, Abb. 117. Vergleichbare gespiegelte Z-Reihen sind in spätgeometrischer Zeit für Kannen und Kotylen bereits belegt. Vgl. dazu Coldstream 1968, 279 Taf. 61 b.

¹⁷⁴ Vgl. von Miller 2013, 361 Nr. 1985 (Inv. PAN 09/1019.15).

¹⁷⁵ s. Boardman 1967, 133 f. Nr. 445 Taf. 42. Eine weitere Vogelkotyle vom Typ 1 mit gespiegelter Z-Reihe ist in Ephesos als Streufund von der Panayırdağ-Hauptterrasse bekannt. Dort schmücken zwei horizontale Z-Reihen das Bildfeld unterhalb der an den Randfalz anschließenden Zickzacklinie. Das Motiv trat jüngst auch auf Kotylen bei Grabungen in Teos (Inv. T11 88/21–10.013.3) zutage. Für den Hinweis zu dem Stück von der Panayırdağ-Hauptterrasse sowie für die Referenzmöglichkeit nach Teos danke ich M. Kerschner. Das Motiv ist außerdem in der korinthischen Keramikproduktion verortet. Vgl. dazu beispielsweise Dunbabin 1962, 109 Nr. 1015 Taf. 42; 113 Nr. 1068 Taf. 46; 270 Nr. 2597. 2601 Taf. 39.

¹⁷⁶ Kerschner 1995, Schema 3 hat auch für die Rautenmetopen hakenförmige Füllmotive nachgewiesen; im Material aus den archaischen Siedlungsbefunden bleiben diese Metopen jedoch ohne sekundären Dekor.

¹⁷⁷ Vgl. Boehlau – Schefold 1942, 170 Abb. 14 Taf. 57.

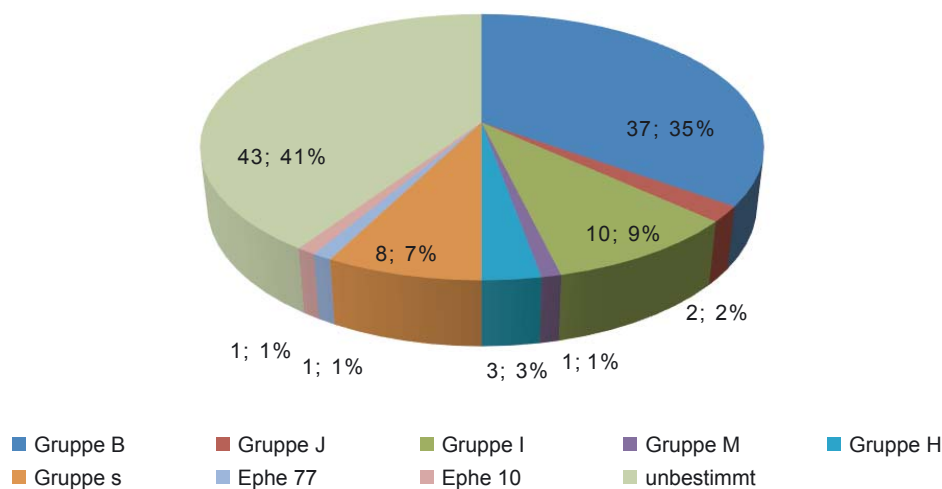


Diagramm 7 Herkunft der Vogelkotylen

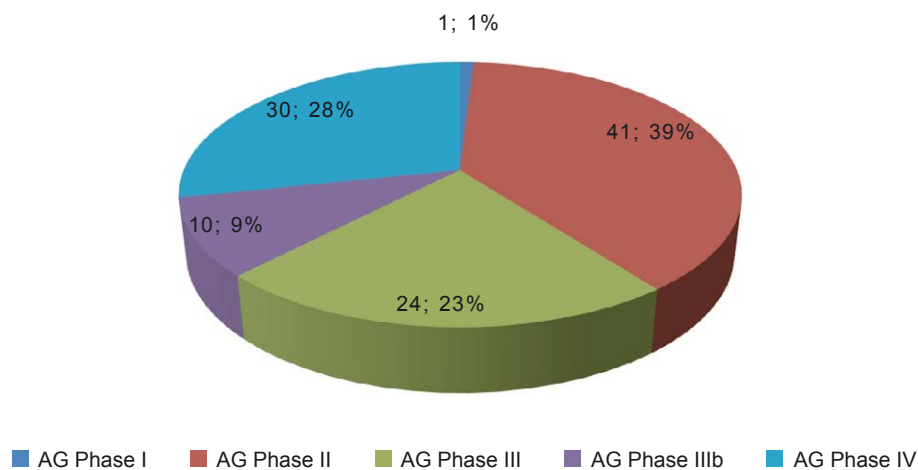


Diagramm 8 Verteilung der Vogelkotylen

staltung mit einem hellen Malgrund findet sich indessen mit **Kat. 616** bei einer zweiten Kotyle der lokalen Herkunftsgruppe H, die wie **Kat. 352** einem Gefäß vom Typ 6 oder Typ 7 angehört.

Bei den Vogelmetopen ist in der Ausführung der Bilddetails ein gewisser Spielraum gegeben, was die Gestaltung der Körperpartien des Vogels betrifft. Bis auf wenige Ausnahmen (**Kat. 648**, **Kat. 902**) sind die Vögel nach rechts orientiert. Die meisten Vogelbilder zeigen einen mehr oder weniger deutlich gebogenen Hals, der in einen rund verdickten Kopf und klar davon abgesetzten Schnabel übergeht (**Kat. 457**, **Kat. 536**, **Kat. 590**). Meist bleibt ein Auge ausgespart (**Kat. 124**, **Kat. 316**, **Kat. 350**, **Kat. 352**, **Kat. 354**, **Kat. 1376**, **Kat. 1751**, **Kat. 1752**). **Kat. 95** und **Kat. 351** verzichten hingegen bewusst auf diese differenzierende Ausgestaltung zugunsten einer einfachen Silhouette mit annähernd dreieckiger Kopfkontur. Das üblicherweise über dem Vogelkörper hängende, schraffierte Dreieck wird bei **Kat. 350**, **Kat. 713** und **Kat. 1751**, alle drei Produkte der Vogelschalenwerkstatt, umgedreht. Bei **Kat. 903** aus derselben Werkstatt werden die Gitterdreiecke zusätzlich mit einer Rahmung versehen. Außerdem ist für den Vogel **Kat. 903** ein deutlich abgesetztes Schwanzgefieder angegeben, ein Detail, das sonst nur bei einem weiteren Gefäß (**Kat. 1634**) in dieser Deutlichkeit vorliegt.

In der Entwicklung von Vogelkörpern mit eingeschriebenem Flügel (**Kat. 352. Kat. 457. Kat. 648. Kat. 676. Kat. 902**) und gerahmten, schraffierten bis hin zu einfach flächig kreuzschraffierten Körpern (**Kat. 97. Kat. 316. Kat. 350. Kat. 354. Kat. 537. Kat. 590. Kat. 618. Kat. 903. Kat. 1242. Kat. 1591. Kat. 1752**) wird man ein primär relativchronologisches Element fassen können, wird doch allein letztere Variante auf die archaischen Vogelschalen übernommen. Einfach schräg schraffierte Vogelkörper (**Kat. 124**) bleiben eine Ausnahme.

Bei den Mäanderbaummetopen lassen sich zwei wesentliche Varianten nach der Gestaltung der Mäanderhaken unterscheiden. Bei der einen besteht die Mäanderbekrönung aus zwei spiegelgleichen, durch eine horizontale Haste verbundenen Mäanderhaken (**Kat. 36. Kat. 315. Kat. 1750**), bei der zweiten rahmen zwei frei in das Bildfeld gesetzte Mäanderhaken die vertikale Haste des Mäanderbaums (**Kat. 316**). Diese stehen mitunter nicht spiegelgleich zueinander, sondern duplizieren dieselbe Richtung (**Kat. 37**). Die scherbentypologisch zuordenbaren Gefäße der ersten Variante verweisen auf die Vogelschalenwerkstatt (**Kat. 315. Kat. 1750**), die beiden lokalisierten Vertreter der zweiten Variante (**Kat. 96. Kat. 316**) wurden in Ephesos hergestellt und zeugen vielleicht von einer gewissen Schwierigkeit, das komplexe Motiv der spiegelgleichen Mäanderhaken umzusetzen. Beide lokale Kotylen zeigen darüber hinaus je ein Kreuz als Füllmotiv.

Die Scherbenanalyse (Diagramm 7) hat gezeigt, dass innerhalb der zuordenbaren Vogelkotylen jene der Herkunftsgruppe B den größten Anteil innehaben. Diesen 37 sicher zugewiesenen Kotylen können 15 weitere beige stellt werden, die unter den beprobten Kotylen in Ephesos kein sicheres Gegenstück fanden, die sich aber von dem NAA-Referenzstück [Inv. ART 87/273.1] allein durch den grauen Farbton unterscheiden und die daher im Katalog auch mit dem Vermerk »Standardfabrikat« versehen sind (s. o. Kap. 1.B.2.1). Ebenfalls innerhalb der unbestimmten, da ohne naturwissenschaftliche Referenz verbliebenen Stücke findet sich mit **Kat. 1659** eine Kotyle wahrscheinlich milesischer Produktion. Im Bereich der lokalen Produktion zeichnet sich für die Herkunftsgruppen I und H mit **Kat. 35, Kat. 95 und Kat. 96, Kat. 158, Kat. 351, Kat. 616 und Kat. 617** sowie **Kat. 1753** eine Vorliebe für die Kotylen vom Typ 6 ab, dem auch **Kat. 97** mit der wahrscheinlich lokalen/regionalen Herkunftsgruppe M angehört. Mit einer lokalen Herstellung von Vogelkotylen ist folglich ab dem letzten Viertel des 8. Jahrhunderts zu rechnen. Die frei im Bild schwebenden Mäanderhaken und die Kreuzmotive als Füllornamentik scheinen beides Charakteristika der Herkunftsgruppe I zu sein (**Kat. 96. Kat. 316**). **Kat. 97** zeigt mit den großen Gefäßproportionen zudem ein weiteres Formelement, das besonders auch für Vogelkotylen der Herkunftsgruppe I bezeichnend zu sein scheint (**Kat. 316. Kat. 617. Kat. 1662. Kat. 1752**), ansonsten aber zu den Formmerkmalen südionischer Randfalzkotylen mit Kammbürstendekor zählt. Lokale Hersteller haben nach dem nordionischen Import (35 %) den größten Anteil an den Vogelkotylen aus den archaischen Siedlungsbefunden (12 %).

Die Vogelkotylen treten in einem recht ausgewogenen Verhältnis in Befunden beginnend mit der AG Phase II bis in die Bauhorizonte der AG Phase IV auf (Diagramm 8); der Befund der AG Phase I ist aufgrund seiner geringen Fundmenge in diesem Zusammenhang nicht repräsentativ. Die meisten Vogelkotylen finden sich in den Horizonten der AG Phase II, bis in die AG Phase IV ist ein gradueller Rückgang bemerkbar, der aber keineswegs auf ein tatsächliches Produktionsende der Vogelkotyle vor dem ausgehenden 7. Jahrhundert schließen ließe. Erst in den Befunden des 6. Jahrhunderts wird dieses allmählich deutlich. Nur 8 der insgesamt 30 Vogelkotylen aus den Befunden der AG Phase IV stammen aus jenen Horizonten, welche die Aufgabe der Besiedlung angeben und damit jenes keramische Repertoire enthalten, welches während der Benützung dieser Phase auch tatsächlich in Gebrauch war.

1.B.3.1.3 Vogelschüsseln

Die Vogelschüsseln übertragen die morphologischen und dekorativen Grundmerkmale der Vogelkotylen auf wesentlich größere Proportionen. Dadurch scheint eine Verwendung dieser Gefäße

als Trinkgefäße eher unwahrscheinlich; ihre Funktion ist ähnlich jener der Kratere und Dinoi wohl im Umfeld der Mischgefäße oder in jenem der Serviergefäße zu suchen.

Kat. 8, Kat. 126, Kat. 127, Kat. 159, Kat. 160 und **Kat. 1385** sind innerhalb der Vogelschüsseln dem Typ A zuzurechnen, von dem sich der Typ B (**Kat. 250**) wesentlich durch einen außenseitig aufgetragenen hellen Malgrund unterscheidet¹⁷⁸, wie er ab dem ausgehenden 8. Jahrhundert zunächst punktuell in die Keramikproduktion Eingang findet und sich beginnend mit den orientalisierenden Gefäßen als ein wesentliches Merkmal ostgriechischer Feinkeramik archaischer Zeit etabliert¹⁷⁹. Neben den Unterschieden in den Gefäßdimensionen ist für die Ansprache eines Gefäßes als Vogelschüssel das respektive der Vogelkotylen erweiterte Dekorrepertoire ausschlaggebend¹⁸⁰. Letzterem wird hier die größere Bedeutung zugemessen, da das Kriterium der Gefäßproportionen allein im Hinblick auf die zahlreichen sehr großen Zickzackmetopenkotylen relativiert wird und demzufolge auch diese in manchen Fällen eher als Schüsseln denn als Trinkgefäße anzusprechen wären.

Mit Ausnahme von **Kat. 126** zeichnet sich für alle Vogelschüsseln aus den archaischen Siedlungsbefunden eindeutig ein Metopendekorsystem ab. **Kat. 126** zeigt mit einer doppelt gerahmten Gitterraute jedoch ein Dekorelement, das aufs Engste mit dem kanonischen Dekorsystem der Vogelkotylen in Metopengliederung verbunden ist und daher wohl auch für dieses Gefäß mit großer Wahrscheinlichkeit angenommen werden kann. Gleichzeitig belegt das Fragment die Variationsbereitschaft der Vasenmaler, die auf den Vogelkotylen kaum einmal Ausdruck findet. Die gerahmte Gitterraute bleibt als Grundelement auch bei **Kat. 8** und **Kat. 160** erhalten; das von einem kleinen achteiligen Stern begleitete Bildelement im Anschluss an die Rautenmetope ist bei **Kat. 8** aus dem kanonischen Repertoire der Vogelkotylen aber nicht zu erschließen. Vergleichbare Sterne gehören zu dem regulären Motivschatz geometrischer Füllornamentik. Bei **Kat. 127** reihen sich in drei schmalen Metopen ein Hakenmotiv, ein Mäanderbaum und ein senkrechttes Band W-förmiger Winkel aneinander, während die Schmetterlingsmetopen in der Sockelzone die Vogelkotylen der Typen 1–4 zitieren. Bei **Kat. 126** scheint die Sockelzone hingegen mit einfachen senkrechten Balken gefüllt zu sein. **Kat. 159** zeichnet sich durch eine zu beiden Seiten von je einem Mäanderbaum flankierte, zentrale Mittelmetope aus, in der ein Vogel abgebildet ist. Die Kopfparte des Vogels ist mit dem elegant geschwungenen Hals und einem langen, leicht gebogenen Schnabel sehr sorgfältig gezeichnet; mit den hakenförmig abgespreizten Flügeln, auf denen kleine, senkrecht aufsitzende Striche das Gefieder andeuten sollen, versucht der Maler, dem Bild eine größere Dynamik zu verleihen, als sie gemeinhin in den Vogelmetopen zum Ausdruck kommt. Das Motiv der abgespreizten Flügel ist dabei allerdings durchaus kein singuläres Phänomen¹⁸¹, findet in der Ausführung, wie sie bei dem ephesischen Gefäß **Kat. 159** vorliegt, jedoch keinen unmittelbaren Vergleich. Die Vogelschüssel Typ B **Kat. 250** entfernt sich am weitesten vom Vorbild der Vogelkotylen. Den Sockelfries schmücken antithetisch von den Begrenzungslinien in den Fries hineinragende, senkrechte Striche, wie sie auch von einem samischen Dinos bekannt sind¹⁸², in der Hauptdekorzone folgt auf ein schmalrechteckiges, gefirnisstes Feld in der äußersten Metope ein komplexes Motiv aus einer ihrerseits mit Vierfachrauten gefüllten Vierfachraute, die nach oben und unten von je zwei hängenden und stehenden gerahmten Dreiecken zur Friesbegrenzung hin erweitert wird. Ein ähnliches Motiv, mit allerdings schraffierten Gitterrauten in den Feldern, ist von einer Vogelschüssel aus Milet

¹⁷⁸ Zu den Vogelschüsseln s. Kerschner 1995, 24 Abb. 73–76. 132–138.

¹⁷⁹ Vgl. etwa Walter – Vierneisel 1959, 19 (Samos); von Graeve 1975, 51 f. Nr. 47 Abb. 21 Taf. 10; von Graeve 1978, 36; Kerschner 1999, 17; Kerschner u. a. 2000, 47; Kerschner 2002d, 69 (Milet); Kerschner 2006b, 223 f. (Ephesos). Jenseits der Feinkeramik ist der helle Gefäßüberzug ein Charakteristikum chiotischer Keramik und klazomenischer Amphoren archaischer Zeit.

¹⁸⁰ Gut illustriert beispielsweise bei Kinch 1914, 166 f. Abb. 52; Coulié – Filimonos-Tsopotou 2014, 306 f. Nr. 177.

¹⁸¹ Vgl. etwa Technau 1929, 9 Abb. 1; Boardman 1967, 134 Nr. 438 Taf. 42; Walter 1968, 117 Nr. 450. 451 Taf. 82; Kerschner 1995, Abb. 24; Besios u. a. 2012, 91 Nr. 8. 9.

¹⁸² Vgl. Eilmann 1933, Beil. 44, 6; Kunisch 1998, 48 f. Abb. 20 h spricht hier von verzahnten Halbstrichen in einem Horizontalfeld.

sowie von Gefäßen aus Samos und Didyma bekannt¹⁸³. **Kat. 1385** zeigt schließlich mit einem Konturenstrahlenkranz den typischen Dekor des äußeren Gefäßbeckens besonders der späteren Schüsseln des 7. Jahrhunderts. Die Fundvergesellschaftung des Stücks in einem Zerstörungsbe- fund der AG Phase IV unterstreicht diesen chronologisch jüngeren Ansatz.

Die Produktion von Vogelschüsseln des Typs B ist auf Grundlage archäometrischer Untersu- chungen bislang für Milet, Rhodos und die nordionische Vogelschalenwerkstatt nachgewiesen worden¹⁸⁴; das sandige, mit nur wenigen Magerungspartikeln versehene Fabrikat von **Kat. 250** steht den Rohstoffen milesischer Gefäße nahe. Die Vogelschüsseln des Typs A verweisen mit der Herkunftsgruppe J (**Kat. 8**) nach Samos, mit der Herkunftsgruppe I (**Kat. 159**) nach Ephesos und mit der Herkunftsgruppe B (**Kat. 126**) auch für diesen Typ erneut nach Nordionien. **Kat. 127** ist dem nicht näher lokalisierten Fabrikat der ProbenNr. Ephe 10 zugeordnet.

Die enge Verwandtschaft der Vogelschüsseln mit den Vogelkotylen und Vogelschalen ist ein gutes Argument für ihre Datierung im fortgeschrittenen 8. und 7. Jahrhundert. In den ephesi- schen Siedlungsbefunden zeichnet sich für die Vogelschüsseln mit Ausnahme von **Kat. 1385** ein einheitliches Bild ihrer Verbreitung in der AG Phase II ab. Für die Gefäße vom Typ A mit ihrem aufs Engste mit den Vogelkotylen verbundenen Dekor ist dies mehr als schlüssig; **Kat. 250** nimmt als Vertreter des Typs B mit dem hellen Gefäßüberzug bereits eine relativchronologisch jüngere Entwicklung auf, bleibt aber im Dekor ebenfalls noch den geometrischen Traditionen verpflichtet und verzichtet auf orientalisierende Elemente, wie diese von Vogelschüsseln des Typs B sehr wohl bekannt sind¹⁸⁵.

1.B.3.1.4 Kalottenschalen

Ab dem zweiten Viertel des 7. Jahrhunderts werden im nördlichen Ionien die Randfalzkotylen durch flachere Schalenformen ersetzt, die sich über Form und Dekor in mehrere Gruppen unter- teilen lassen¹⁸⁶. Ihre Anzahl ist in den archaischen Siedlungsbefunden von Ephesos gegenüber jener der Randfalzkotylen deutlich zurückgenommen (Diagramm 1).

1.B.3.1.4a Vogelschalen

Die Vogelschalen stellen innerhalb der Kalottenschalen die älteste Gruppe dar, die sich in Form und Dekor direkt aus den Vogelkotylen des jüngsten Typs 8 ableiten lassen, indem sie die drei Bildmetopen mit Vogel und schraffierter Gitterraute verbindlich tradieren und zunächst auch einen rudimentären Randfalz aufweisen. Der früheste Typ 1¹⁸⁷ mit einer Datierung vom zweiten Viertel bis in das mittlere vierte Viertel des 7. Jahrhunderts (**Kat. 1757**) führt dabei das Dekor- system der Vogelkotylen vom Typ 8 direkt weiter, indem auch der Sockeldekor aus Punkten und Schrägstrichen für die flache Schalenform übernommen wird.

Wahrscheinlich ebenfalls einer Vogelschale vom Typ 1 oder aber vom Typ 2 sind die Vogel- schalen **Kat. 649**, **Kat. 714**, **Kat. 949**, **Kat. 1383** und **Kat. 1488** zugehörig, die mit dem gefir- nissten Henkelfeld und dem tongrundig ausgesparten Feld unterhalb des Henkels ein Dekor- element aufweisen, das mit den Schalen vom Typ 2 sein Ende findet. **Kat. 1758–Kat. 1760** gehören möglicherweise zu demselben Gefäß und zeigen mit **Kat. 1760** das Beispiel für einen klar abgesetzten Standring, wie er für die frühesten Vogelschalen charakteristisch ist und auch

¹⁸³ s. dazu Walter 1968, 118 Nr. 465 Taf. 83; 119 Nr. 483 Taf. 85; Tuchelt 1971, 59 Nr. 7 Taf. 3 (ähnlich); 66 Nr. 70 Taf. 7 (Motiv); Kerschner 1995, 24 Abb. 138.

¹⁸⁴ Für Milet und die Vogelschalenwerkstatt vgl. Kerschner 2002b, 46. 69; für Rhodos s. Dupont 1983, 41 Anm. 62.

¹⁸⁵ s. von Graeve 1973/1974, 101 Nr. 79 Taf. 26. Vgl. dazu auch Kerschner 1995, Abb. 75. 76.

¹⁸⁶ Vgl. Kerschner 1995, 16–32.

¹⁸⁷ Vgl. Kerschner 1995, 16 f. Abb. 38. 39. 118.

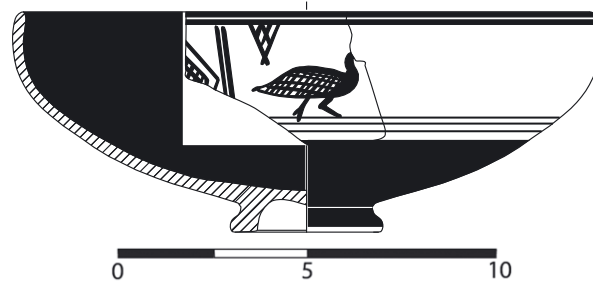


Abb. 5 Vogelschale AG 89/073.1

mit **Kat. 162**, **Kat. 1061** und **Kat. 1489** vorliegt. Unklar bleibt, ob die Sockelzone wie bei Typ 1 kleine Punkte oder Schrägstriche enthielt oder wie bei Typ 2 leer bleibt¹⁸⁸.

Kat. 1243 ist genau über dieses Detail als Vogelschale des Typs 2 ausgewiesen, deren Produktion etwa zeitgleich mit Typ 1 einzusetzen scheint. Mit den Vogelschalen vom Typ 2 kommen außerdem erstmals tongrundig ausgesparte Mitteltondi in den Schalenbecken auf, in die wie bei **Kat. 98** und **Kat. 1062** schmale Reifen eingeschrieben sein können. Dieses Gestaltungsdetail haben die Schalen des Typs 2 mit jenen vom Typ 3¹⁸⁹ gemeinsam, wobei beide Typen auch ohne das ausgesparte Mitteltondo möglich sind, wie **AG 89/073.1** aus den nacharchaischen Planier-niveaus veranschaulichen kann (Abb. 5).

Die Vogelschalen vom Typ 3 unterscheiden sich vom Typ 2 durch die Aufgabe der gefirnissten Henkelzone. Wie bei **Kat. 601** trennt nur noch ein hängender Strahl die Henkelzone von den Bildmetopen ab. Die Vogelschalen vom Typ 3 werden zwischen dem mittleren und dem ausgehenden 7. Jahrhundert eingegrenzt.

Die Vogelschalen **Kat. 251**, **Kat. 677**, **Kat. 1339–Kat. 1341**, **Kat. 1663**, **Kat. 1761** und **Kat. 1762** sind über Form und Dekor nur sehr allgemein den Typen 1–4 zuzuordnen. Ihre relative Dünnwandigkeit, die sich abzeichnende flache Ganzform, der rudimentäre Randfalz und der kanonische Dekor aus gerahmten Gitterrauten und Vögeln mit schraffierten Körpern sind für alle der vier frühen Typen der Vogelschalen denkbar. **Kat. 1339** fällt durch seine relative Gefäßtiefe aus dem Rahmen. Obwohl sich bei **Kat. 73**, **Kat. 161** und **Kat. 1755** kein Dekorsystem rekonstruieren lässt, sprechen die morphologischen Charakteristika für eine Zuordnung auch dieser Schalen in das Umfeld der frühen Vogelschalen.

Kat. 950, **Kat. 1274** und **Kat. 1764** sind aus der Kombination der flachen Schalenform und des an seiner Außenseite von einem Strahlenkranz geschmückten Gefäßbeckens als Vogelschalen vom Typ 4 erkennbar¹⁹⁰, deren Produktion um 630 einsetzt und die bis in das beginnende 6. Jahrhundert hinabreicht. Diesem Typ wird auch die flache Schale **Kat. 1066** mit Strahlenkranz an der Außenseite zugehörig sein. Das Gefäßbecken zeigt mit dem tongrundig ausgesparten Mitteltondo, in welches schmale Reifen eingeschrieben sind, ein weiteres distinktives Merkmal der Vogelschalen vom Typ 4. **Kat. 1215** und **Kat. 1275** repräsentieren Vogelschalen vom Typ 4, die bereits die tiefe und halbkugelige Spätform aufweisen, der rudimentäre Randfalz schließt eine Zuordnung zu den späteren Schalen Typ 5 und Typ 6 jedoch aus. **Kat. 1215** verfügt mit den schmalen Sockellinien und Triglyphen über die typischen Merkmale des Typs 4, das äußere Schalenbecken schmückt jedoch eine kleine Punktrossette, die anstelle des Strahlenkranzes tritt oder einem nicht mehr erhaltenen Strahlenkranz hinzugefügt wurde; ein weiterer Punkt ist als Füllmotiv in die Bildmetope eingefügt. Die engen Standringe **Kat. 993** und **Kat. 1763** zeigen jene Variante des Schalenbodens, welcher auch für die Vogelschalen 5–7 verbindlich bleibt.

¹⁸⁸ Vgl. Kerschner 1995, 17 f. Abb. 40–46. 119. 120.

¹⁸⁹ Kerschner 1995, 18 f. Abb. 47–51. 121. 122.

¹⁹⁰ Kerschner 1995, 19 f. Abb. 52–57. 123–125.

In den Schalen der Variante Typ 4c¹⁹¹ leben die altertümlichen Dekorelemente des flächig gefirnissten Schalenbeckens (**Kat. 317. Kat. 1765**) und der gefirnissten Henkelzone noch einmal auf, werden aber bereits mit der halbkugeligen, tiefen Spätform der Kalottenschalen kombiniert.

Mit den Vogelschalen vom Typ 5 und Typ 6¹⁹² wird im letzten Viertel des 7. Jahrhunderts die flache Form der Vogelschalen 1–4 endgültig abgelöst (z. B. **Kat. 1067**). **Kat. 1326** zeigt mit den in Deckrot aufgelegten Bändern im Schaleninneren ein distinktives Merkmal der späten Vogelschalen, **Kat. 1342** verfügt mit dem ausgesparten Reifen im Schalenbecken und dem nunmehr einfach gerundeten Rand über zwei weitere Erkennungszeichen der Typen 5 und 6.

Die ephesische Schale **Kat. 1384** ist die einzige Vertreterin einer Vogelschale vom Typ 8, die sich durch orientalisierende Elemente im Dekor auszeichnet¹⁹³. Die Variante Typ 8a, der auch **Kat. 1384** angehört, zeichnet sich dadurch aus, dass sie im Gegensatz zu Variante Typ 8b keinen hellen Malgrund an der Gefäßoberfläche aufweist. Der innovative Aspekt zeigt sich vielmehr in der Aufnahme neuer, der geometrischen Dekortradition unbekannter Motive. Zwar sind diese aufgrund des fragmentierten Zustands von **Kat. 1384** nicht mehr genau zu benennen, der kurvilineare Schnörkel und das hakenförmige Element zu seiner Rechten kommen jedoch beide in den kanonischen Bildmetopen der Vogelschalen nicht vor. Vogelschalen vom Typ 8 werden erst in die erste Hälfte des 6. Jahrhunderts datiert. Darüber hinaus zeichnet sich **Kat. 1384** durch eine ungewöhnliche, dickwandige Form mit steilgeradem Wandverlauf und verjüngter Lippe aus, die eine enge Parallele in der Rosettenschale **Kat. 1343** findet.

1.B.3.1.4b Rosettenschalen/Reifenschalen

Mit den Rosettenschalen tritt in der nordionischen Produktion seit Einführung der Vogelkotylen erstmals ein Trinkgefäß auf, welches sich von der geometrischen Dekortradition loslöst, indem nicht nur die tradierten Motive aufgegeben werden, sondern auch von der Gliederung der Bildzone in Metopen abgesehen wird. Die Produktion der Rosettenschalen beginnt um 620 und reicht weit in das 6. Jahrhundert hinab¹⁹⁴.

Rosettenschalen treten in den archaischen Siedlungsbefunden in Ephesos noch seltener auf als Vogelschalen; sie beschränken sich auf nur zwei eindeutig identifizierte Gefäßfragmente. **Kat. 1343** ist mit den schweren Gefäßproportionen als eine formal noch den späten Vogelschalen verpflichtete Variante mit einer Datierung im späten 7. Jahrhundert anzusehen; die dunkel gerahmte rote Rosette ist in dieser Form mit kurzen Binnengliedern zwischen den großen Punkten nur für die Schalen vom Typ 3 belegt, den auch im Schaleninneren aufgetragene Bänder in Deckrot und/oder Deckweiß auszeichnen¹⁹⁵. Die für diesen Typ verbindliche Metopengliederung ist nicht verifizierbar.

Die Wandfragmente **Kat. 992** und **Kat. 1766** sind sowohl als Rosettenschalen der Variante Typ 2a als auch als Reifenschalen vom Typ 1 denkbar. In beiden Fällen laufen am äußeren Schalenbecken dreiteilige Bündel schmaler Reifen um¹⁹⁶, welche bei den fraglichen Rosettenschalen um drei Punktrosetten in der Henkelzone ergänzt werden¹⁹⁷. Dagegen sind Dekorsysteme wie

¹⁹¹ Kerschner 1995, 20 Abb. 57.

¹⁹² Kerschner 1995, 21 f. Abb. 58–64. 126–130.

¹⁹³ Vgl. Kerschner 1995, 23 Abb. 66.

¹⁹⁴ Kerschner 1995, 25–28.

¹⁹⁵ Vgl. Kerschner 1995, 27 Abb. 91. s. auch Kinch 1914, 138 f. Nr. 5. 11 Taf. 25.

¹⁹⁶ Vgl. Kerschner 1995, 26 Abb. 87; 28 Abb. 95. 140.

¹⁹⁷ Vgl. dazu außerdem Hayes 1966, 55 Nr. 742 Taf. 38; Condurachi 1966, 442 Nr. 127. 128. 131 Taf. 10; Walter-Karydi 1973, 126 Nr. 303 Taf. 36; Ploug 1973, 43 Nr. 141 a Taf. 7; Gjerstad 1977b, 30 Nr. 9 Taf. 10; 31 Nr. 6. 8 Taf. 11; Thalmann 1977, 68 Nr. 16 Taf. 1; Walter-Karydi 1982, 11 Nr. 43–45 Taf. 2; Kerschner 1995, 25 f. Abb. 82–87; Ersoy 1993, 40 Nr. 130 Taf. 20; 45 f. Nr. 392 Taf. 27; 50 Nr. 155 Taf. 30; 55 f. Nr. 316 Taf. 36; 67 f. Nr. 313–317 Taf. 48; 76 Nr. 311 Taf. 55; 183 f. Nr. 134. 135 Taf. 191; Kerschner 2002g, 104 Nr. 50–52 Taf. 3; Ersoy 2004, Abb. 12 a–f; Bujskich 2007, 502 Nr. 1. 3 Taf. 61; Yilmaz 2008, 254 f. Abb. 16; CVA University of Reading (1), 32 f. Nr. 1 a Taf. 21.

auf der flachen Schale **Kat. 905** für Rosettenschalen vom Typ 4 und Reifenschalen vom Typ 3 möglich¹⁹⁸; beide Gefäßtypen sind ab dem ausgehenden 7. Jahrhundert im Umlauf. Im Falle der Rosettenschalen ist im ausgesparten Feld unterhalb des Lippenbands eine zentrale Punktrossette, gerahmt von mehrteiligen Balkenbündeln nahe dem Henkelansatz, zu erwarten.

Auch mehrere Standingfragmente sind sowohl für Rosettenschalen als auch für Reifenschalen denkbar. Der zeitliche Rahmen für **Kat. 1064** lässt sich anhand datierter Vergleichsstücke zwischen dem letzten Viertel des 7. und dem beginnenden dritten Viertel des 6. Jahrhunderts festlegen.

Kat. 1065 und **Kat. 1276** sind als enge Scheibenfüße sowohl für Rosettenschalen der Typen 1, 2 und 4 als auch für Reifenschalen der Typen 1 und 2 denkbar¹⁹⁹ und haben damit einen Verbreitungsspielraum vom späteren 7. bis in das mittlere 6. Jahrhundert.

Die dünnwandigen Schalen **Kat. 1060** und **Kat. 1756** sind trotz ihrer geringen Ausmaße dank des charakteristischen Dekors gut einzugrenzen, wenn auch nicht eindeutig zuordenbar. Die Außenseite von **Kat. 1756** ist mit einem Strahlenkranz versehen, während **Kat. 1060** ein ausgespartes Mittelrund im inneren Schalenboden aufweist. Konturstrahlenkränze schmücken die Schalenbecken der Vogelschalen der Typen 4–7, der Rosettenschalen der Typen 1, 4–5 und 7, der Mäanderschalen, der Augenschalen sowie der Reifenschalen vom Typ 5; sie stellen ebenso wie die im inneren Tellerboden ausgesparten Tondi, die mitunter mit einem Stern versehen sein können, ein distinktives Merkmal im Dekorschema der entwickelten nordionischen Kalottenschalen des späten 7. und frühen 6. Jahrhunderts dar²⁰⁰. Die Dünnwandigkeit der flachen Beckenböden verweist innerhalb der Kalottenschalen tendenziell auf eine späte Ausprägung erst des 6. Jahrhunderts²⁰¹, weshalb eine Vogelschale als ursprüngliches Ganzgefäß besonders für **Kat. 1060** auch aufgrund der stratigrafischen Fundvergesellschaftung eher ausgeschlossen werden kann.

Innerhalb der Kalottenschalen zeichnet sich, soweit diese scherbentypologisch zugewiesen werden konnten, mit insgesamt 12 Stück eine klare Dominanz von Gefäßen der Vogelschalenwerkstatt ab (Diagramm 9). Wenn man die 20 nicht zugewiesenen Gefäße, die sich mit diesen die Merkmale des Standardfabrikats teilen, hinzunehmen möchte, wird deutlich, dass die Kalottenschalen, anders als die Randfalzkotylen, sehr viel stärker an nordionische Werkstatttraditionen gebunden sind und bleiben. Vier Gefäße (Herkunftsgruppe I) sind in Ephesos selbst zu lokalisieren, wobei auffällt, dass es sich dabei durchwegs um Typen handelt, die nicht vor dem mittleren 7. Jahrhundert denkbar sind (**Kat. 993**, **Kat. 1066**, **Kat. 1067** und **Kat. 1384**). Auf die mit Zickzackmetopendekor versehene Kalottenschale **Kat. 947** wurde im Zusammenhang mit den Randfalzkotylen bereits verwiesen (s. o. Kap. 1.B.3.1.2ba).

Der im Vergleich zu südionischen Werkstätten große Anteil ephesischer Produktion an den Kalottenschalen mag sich einerseits daraus erklären, dass die lokale Produktion an einem Fundort naturgemäß stärker vertreten ist als importierte Gefäße, vor allem wenn es sich bei diesen wie im Falle der südionischen Kalottenschalen ja ebenso nur um eine Imitation oder Adaption handelte und der Import sich daher wohl eher auf die richtungsweisenden Werkstätten im nördlichen Ionien konzentrierte, wie es sich ja auch deutlich abzeichnet.

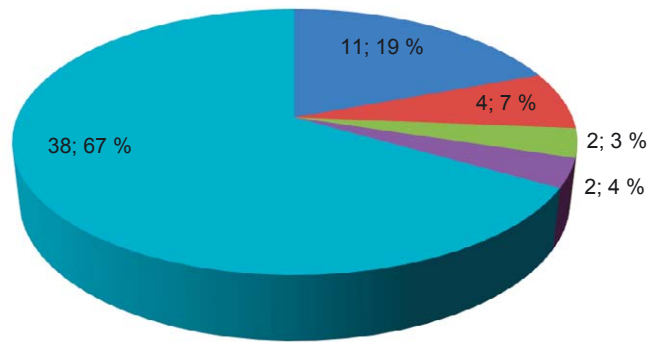
Andererseits lohnt sich auch die Überlegung, ob Ephesos nicht allein schon durch seine topografische Lage Einflüssen nordionischer Keramiktraditionen gegenüber aufgeschlossener und diese eher in das eigene Produktionsrepertoire zu übernehmen bereit war als etwa Samos oder Milet, und demzufolge das Verteilungsmuster nicht nur die zufällige Befundsituation und das Import- oder Imitationsverhalten in Ephesos widerspiegelt, sondern den tatsächlichen Produktionsverhältnissen gerecht wird.

¹⁹⁸ Vgl. Kerschner 1995, 26 Abb. 88–90; 29 Abb. 98.

¹⁹⁹ Vgl. Kerschner 1995, 25–29 Abb. 82–87. 92–96. 140.

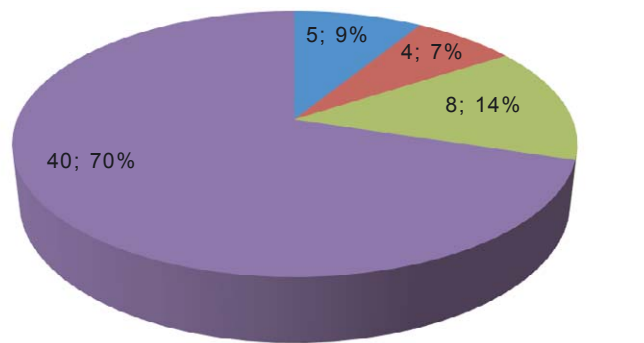
²⁰⁰ Dazu Kerschner 2002d, 65. 71; s. auch Kerschner 1995, 19–23 Abb. 52–56. 58. 60. 62. 65. 123; 25–28 Abb. 82. 83. 92–94; 30–32 Abb. 100. 101.

²⁰¹ Kerschner 1995, 26–28 (Rosettenschale Typ 4 und Typ 5); 29 (Reifenschale Typ 3 und Typ 4); 30–32 (Augenschale, Lotusschale, Reifenschale Typ 5).



■ Gruppe B ■ Gruppe I ■ Gruppe s ■ Ephe 85 ■ unbestimmt

Diagramm 9 Herkunft der Kalottenschalen



■ AG Phase II ■ AG Phase III ■ AG Phase IIIb ■ AG Phase IV

Diagramm 10 Verteilung der Kalottenschalen

Die Dominanz der späteren Kalottenschalen findet auch in der Gesamtverteilung der Kalottenschalen in den archaischen Siedlungsbefunden ihren Niederschlag. Die Kalottenschalen sind erstmals in den Phasen AG Phase II und III präsent, bleiben aber zunächst weit hinter der Anzahl der Kotylen zurück. Erst mit der AG Phase IIIb zeichnet sich ein sprunghafter Anstieg der Kalottenschalen ab, der noch in den Bauhorizonten der AG Phase IV vor allem im östlichen Bereich der Agora-Siedlung zum Ausdruck kommt (Diagramm 10).

1.B.3.1.4c Lotusschalen

Drei in den archaischen Siedlungsbefunden nicht vertretene Varianten der Kalottenschalen sind die Lotusschale, die Augenschale und die Mäanderschale, die jeweils nach ihrem zentralen Bildmotiv der Hauptdekorzone benannt sind. Bei den Lotusschalen ist dies eine stilisierte hängende Lotusblüte, welche zu beiden Seiten meist von je einem Firnispunkt und einem mehrteiligen Balkenbündel begleitet wird²⁰². Mit **AG 87/146.25+AG 87/145** (Abb. 6) liegt aus den hellenis-

²⁰² s. Kerschner 1995, 31 Abb. 103. 104. Vgl. außerdem Kinch 1914, 139 Abb. 46; Price 1924, 186 f. Abb. 9; Lambriano 1938, 61–63 Nr. 1–6 Abb. 28–30; 75 Nr. 3 Abb. 40 a; 77 Nr. 7 Abb. 42; Condurachi 1966, 443 Nr. 169. 170 Taf. 11; 444 Nr. 173–183 Taf. 12; Villard – Vallet 1964, 78 Nr. 1 Taf. 64; Ersoy 1993, 44 Nr. 393 Taf. 25; 70 Nr.

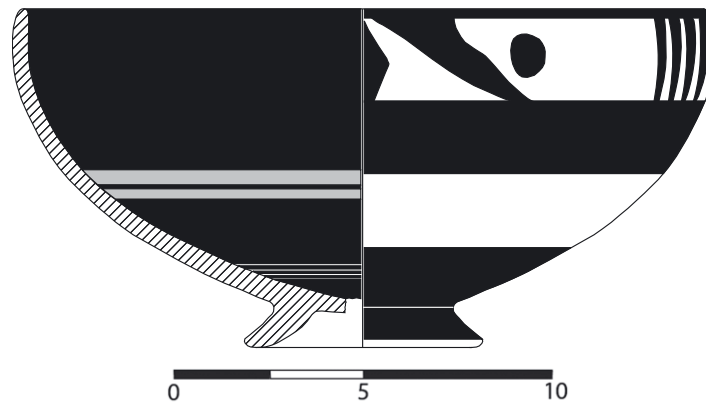


Abb. 6 Lotusschale AG 87/146.25 und AG 87/145

tischen Planierschichten der Tetragonos Agora eine exemplarische Ganzform des Gefäßtyps vor. Lotusschalen sind bislang in Befunden vom beginnenden bis in das mittlere 6. Jahrhundert nachgewiesen²⁰³.

1.B.3.1.4d Tierfriesschalen

Eine Sonderform innerhalb der nordionischen Kalottenschalen begegnet in den Tierfriesschalen. Dieser Gruppe ist das dünnwandige Schalenfragment **Kat. 1068** zugehörig, unterscheidet sich von den bekannten Gefäßen jedoch durch die geringe Wandstärke und die tendenziell flacheren Proportionen, beides Merkmale spätester Kalottenschalen des 6. Jahrhunderts. Das Gefäßinnere weist einen flächigen Überzug auf, der bei den Tierfriesschalen vor allem der schwarzfigurigen Tradition gemeinhin mit aufgesetzten Bändern in Deckrot und Deckweiß versehen ist. An der Gefäßaußenseite zeichnet sich ein ebenso gefirnisstes Schalenbecken ab; die Sockelzone besteht aus einem von je zwei schmalen Reifen gerahmten Firnisband. Darüber ist in der Hauptdekorzone der Rest eines fein gezeichneten Blütenmotivs (Blattvolute [?]) mit begleitenden Punkten erkennbar, wie es als Dekor der Henkelansätze von nordionischen Gefäßen des ausgehenden 7. und frühen 6. Jahrhunderts hinreichend belegt ist; im Anschluss daran ist der figürliche Dekor des Bildfrieses zu erwarten²⁰⁴. **Kat. 1068** stammt aus einem Zerstörungsbefund der AG Phase IV, der die stilistische Einordnung stratigrafisch untermauert.

1.B.3.1.5 Knickrandskyphoi

Die Knickrandskyphoi zeichnen sich durch ein tiefes Gefäßbecken, eine mehr oder weniger einziehende Schulter und einen davon deutlich abgeknickten Rand aus. Die Knickrandskyphoi aus den archaischen Siedlungsbefunden sind unterschiedlichen Typen zugehörig.

324 Taf. 49; 95 Nr. 325 Taf. 77; 253 Nr. 496 Taf. 272; Kerschner 1995, 31 Abb. 103. 104; Posamentir – Solovyov 2006, 124 Abb. 33.

²⁰³ Zu den entsprechenden Befunden vgl. Kinch 1914, 139–141; Price 1924, 187 Abb. 9; Lambrino 1938, 59–63; Ersoy 1993, 365–367. Vgl. auch Ploug 1973, 42 Nr. 139 Taf. 7; Alexandrescu 1978, 60 f. Nr. 234 Taf. 21.

²⁰⁴ Vgl. ein exemplarisches Gefäß bei Pautasso 2008, 103 Nr. 40. Zu dem Motiv vgl. auch das geschlossene Gefäß bei Alexandrescu 2005b, 330 Nr. C6 Taf. 53, das auch in seinem Fabrikat und der mattglänzenden Qualität des Überzugs mit **Kat. 1068** vergleichbar zu sein scheint.

1.B.3.1.5a Knickrandskyphoi mit Metopendekor

Sechs Fragmente lassen sich gut in das von U. Schlotzhauer erstellte Typologiesystem der süd-ionischen Knickrandskyphoi einfügen²⁰⁵.

Kat. 266 ist dem Typ 1²⁰⁶ südionischer Knickrandskyphoi geometrischer und subgeometrischer Zeit zugehörig, der in Milet und Samos beheimatet ist. Er zeichnet sich durch einen weniger abgeknickten denn abgebogenen Rand mit konkaver Kontur und zugespitzter Lippe aus und ist mit einer massiven Bodenplatte zu ergänzen. Die frühesten Vertreter des Typs weisen im mittleren 8. Jahrhundert einen langrechteckigen Fries in der Henkelzone auf, während bei **Kat. 266** unterhalb des reifengezierten Randes wahrscheinlich mit einem Metopenfries zu rechnen sein wird. Leider hat sich davon nur noch der kleinste Überrest eines schrägen Strichs erhalten, der in Analogie zu bekannten Vertretern des Typs wahrscheinlich zu einem Andreaskreuz ergänzt werden kann. Die Laufzeit der Knickrandskyphoi vom Typ 1 ist vom mittleren 8. Jahrhundert bis in das erste Viertel des 7. Jahrhunderts angegeben. **Kat. 266** ist aufgrund des fortschrittlichen Metopendekors und des engen Randdurchmessers tendenziell einer typologisch jüngeren Ausprägung mit getrecktem Gefäßkörper beizuordnen.

Kat. 1277 ist mit seinem abgebogenen Rand ebenfalls noch dem Typ 1 verwandt, allerdings weicht das Gefäß mit seinem flächig gefirnissten Gefäßkörper unterhalb des reifenverzierten Randes von den bekannten Dekorvarianten des Typs ab. Die steile Gefäßschulter, die auf ein gestrecktes Schalenbecken hinweist, setzt **Kat. 1277** ähnlich wie schon **Kat. 266** an das Ende der Laufzeit der Knickrandskyphoi vom Typ 1.

Die beiden Knickrandskyphoi **Kat. 413** und **Kat. 460** haben einen kurzen, steilen und im Querschnitt annähernd dreieckigen Rand gemeinsam, der über eine kantig zurückgesetzte Einziehung von der steilen Gefäßschulter abgesetzt ist. Dieses Formdetail bezeichnet die Knickrandskyphoi der Variante Typ 2.3²⁰⁷, welche wiederum sowohl für Milet als auch für Samos belegt sind und mit Standplatten ergänzt werden. Beide Randfragmente weisen den typischen Reifendekor an der Außenseite auf, bei **Kat. 460** hat sich zudem das vierteilige Balkenbündel des Metopenbildfeldes erhalten. Knickrandskyphoi der Variante Typ 2.3 werden vor allem auf Basis der subgeometrischen Aufschüttung am Kalabaktepe bei Milet in die erste Hälfte oder das zweite Viertel des 7. Jahrhunderts datiert²⁰⁸. **Kat. 1635** ist aufgrund seiner formtypologischen Merkmale ebenfalls den Knickrandskyphoi vom Typ 2.3 zuzuordnen, obwohl sich von dem entsprechenden Dekor der Außenseite keine Spuren erhalten haben.

Kat. 1767 zeigt eine ungewöhnliche Form für einen Knickrandskyphos, bei dem der deutlich abgesetzte Rand steilgerade auf der bauchig einziehenden Schulter aufsitzt. Das Fragment findet in der subgeometrischen Aufschüttung am Kalabaktepe bei Milet in Form und Dekor eine unmittelbare Parallele, auf der sich an der Schulter ein Metopendekor abzeichnet; über das Dekorsystem von **Kat. 1767** lassen sich keine Aussagen machen, da das Fragment aus dem Bereich des Henkelansatzes stammt.

Diese Knickrandskyphoi entsprechen nicht nur aufgrund ihrer form- und dekortypologischen Merkmale den südionischen Gefäßen mit Metopendekor, sondern sie sind mit Ausnahme des ephesischen Gefäßes **Kat. 1635** (Herkunftsgruppe I) auch scherbentypologisch südionischen Werkstätten zuzuordnen. Die drei kanonischen Gefäße **Kat. 262**, **Kat. 413** und **Kat. 460** sowie die Variante **Kat. 1277** sind mit der samischen Herkunftsgruppe J definiert; **Kat. 1767** kann über sein Fabrikat mit einiger Sicherheit einer Werkstatt in Milet zugesprochen werden, wo sich auch das einzige überzeugende, publizierte Vergleichsbeispiel für die unkanonische Form findet.

²⁰⁵ Vgl. Schlotzhauer 1995, 13–29; Schlotzhauer 2000, 410 Abb. 297; Schlotzhauer 2014.

²⁰⁶ Schlotzhauer 1995, 13–22 Beil. 1–5; Schlotzhauer 2014, 69–79. 275–285. 291 f.

²⁰⁷ Vgl. Schlotzhauer 1995, 26–29 Beil. 7. 8; Schlotzhauer 2014, 84 f. 285–288.

²⁰⁸ s. dazu Kerschner 1999, 15.

1.B.3.1.5b Dunkelgrundige Knickrandskyphoi

Die zweite große Gruppe der Knickrandskyphoi in den Siedlungsbefunden unter der Tetragonos Agora zeichnet sich durch einen an der Gefäßoberfläche flächig aufgetragenen Überzug aus.

Kat. 471 illustriert die Übernahme der oben besprochenen Knickrandskyphoi mit Metopendekor in die Dunkelgrundige Ware. Das Gefäß ist umseitig mit einem dunklen Überzug bedeckt, an der Außenseite schmücken in Deckweiß aufgetragene Reifen den Rand und ebensolche Balken die Schulterzone. Damit wurde gemeinsam mit der Gefäßform auch das Dekorprinzip der südionischen Knickrandskyphoi übernommen und gemäß den Erfordernissen der Gattung ins Negative verkehrt. Von der Metopenfüllung haben sich schwächste Spuren horizontaler Schrägstriche erhalten, die zu Winkelreihen oder Zickzacklinien zu ergänzen sein dürften. Formal steht **Kat. 471** den weiter entwickelten Knickrandskyphoi vom Typ 1 mit gestrecktem Gefäßbecken oder den subgeometrischen Knickrandschalen der Typen 3 und 4 nahe²⁰⁹; beide erstrecken sich über die ersten drei Viertel des 7. Jahrhunderts.

Kat. 164 und **Kat. 1262** zeichnen sich jeweils durch einen steilgeraden Rand aus, der vom tiefen Gefäßbecken durch einen mit dem Modellierholz scharfkantig gezogenen Grat abgesetzt ist. Die Gefäßoberfläche ist beidseitig mit einem flächigen Überzug versehen und weist keinen Metopendekor auf, wie er die Schulterzone südionischer Knickrandskyphoi schmückt. Die beiden Gefäße stehen daher außerhalb der von U. Schlotzhauer entworfenen Typologie für die südionischen Knickrandskyphoi²¹⁰, weisen mit dem deutlich abgesetzten Rand jedoch das konstituierende morphologische Detail der Gefäßform auf. **Kat. 852** ist wahrscheinlich als Knickrandskyphos desselben Typus anzusprechen, könnte aber auch zu einer Knickrandtasse ergänzt werden. **Kat. 1262** ist als Gefäß ephesischer Herstellung ausgewiesen (Herkunftsgruppe I), **Kat. 164** gehört der Herkunftsgruppe M an und ist damit ebenfalls für Ephesos denkbar. Damit liegen Indizien vor, welche einen Zusammenhang des durch **Kat. 164** und **Kat. 1262** repräsentierten Typus der Knickrandskyphoi mit ephesischen Keramiktraditionen plausibel machen. Das sind einerseits das für die südionischen Skyphoi weitgehend unbekanntes Dekorsystem²¹¹ sowie andererseits der scherbentypologische Nachweis einer lokalen oder regionalen Produktion für die fraglichen Knickrandskyphoi. Dass der Typus außerdem für die großen südionischen Produktionszentren von Knickrandskyphoi, nämlich Milet und Samos, kaum belegt ist, macht angesichts der großen Materialmengen, die aus milesischen und samischen Befunden vorliegen, sehr deutlich, dass auch das Vorbild für **Kat. 164** und **Kat. 1262** zumindest nicht zwingend in diesen beiden Zentren zu suchen ist, während umseitig gefirnisste Knickrandskyphoi aus Rhodos mehrfach belegt sind und dort auch häufig den markant betonten Randknick wie bei **Kat. 164** aufweisen²¹². Bereits M. Kerschner hat in diesem Zusammenhang eine Datierung in das ausgehende 8. und beginnende 7. Jahrhundert vorgeschlagen²¹³. Die stratigrafische Fundlage der beiden Stücke in den archaischen Siedlungsniveaus der AG Phase II und IV hilft in dieser Frage nur bedingt weiter; sicher ist das Bestehen der Form seit dem mittleren 7. Jahrhundert.

Kat. 238, **Kat. 357**, **Kat. 1261** und **Kat. 1345** zeigen die zweite Variante dunkelgrundiger Skyphoi, bei welcher der kurze Rand ohne markanten Knick über der Schulter ausbiegt. Bei **Kat. 357** und **Kat. 1261** sitzt an der Schulter ein rundstabiger Horizontalhenkel auf, der leicht

²⁰⁹ Zu den Knickrandschalen der Typen 3 und 4 vgl. Schlotzhauer 1995, 29–36 Beil. 9–17. s. auch Schlotzhauer 2014, 69–79. 87–94. 275–285. 288–295.

²¹⁰ s. Schlotzhauer 1995, 13–36 Beil. 1–17; Schlotzhauer 2000, 410 Abb. 297; Schlotzhauer 2014, 66–91. Das einzige Beispiel eines umseitig gefirnissten Knickrandskyphos aus Milet unterscheidet sich von den Exemplaren aus Ephesos durch seine extrem dünne Wandung. U. Schlotzhauer geht in Kerschner 1999, 22 Nr. 35 Abb. 11 vorsichtig von einem Importgefäß aus.

²¹¹ Mit einigen wenigen Exemplaren sind Dunkelgrundige Skyphoi auch in Milet und Samos vertreten. Vgl. dazu Schlotzhauer 2014, 488 Nr. 38 Taf. 7 (Samos); 489 Nr. 42. 43 Taf. 8 (Milet).

²¹² Vgl. Jacopi 1929, 132–134 Nr. 3 Abb. 126 (Grab 103); 138 Nr. 5. 6 Abb. 131 (Grab 111); 144 f. Nr. 2 Abb. 139 (Grab 132); Jacopi 1932/1933, 194 Nr. 3 Abb. 232 (Grab 82); 201 Nr. 2 Abb. 240 (Grab 83); Gjerstad 1977b, Nr. 135. 136 Abb. 2. 3 Taf. 14.

²¹³ Vgl. Kerschner 2003a, 54 Anm. 94.

schräg nach oben gebogen ist. Keines der vier Gefäße weist einen differenzierten Dekor auf, sondern sie scheinen mit einem einfach flächigen Überzug versehen zu sein. Eines der wenigen überzeugenden Vergleichsbeispiele findet sich in einem Gefäß in Tell Sukas, das von G. Ploug aufgrund formaler Ähnlichkeiten mit spätgeometrischen und subgeometrischen Skyphoi auf Samos in Verbindung gebracht wurde²¹⁴. In Klaros ist ein Skyphos desselben Typus in einem Befund der ersten Hälfte des 7. Jahrhunderts vergesellschaftet²¹⁵. Ansonsten scheint es sich hierbei nicht um einen weit verbreiteten Gefäßtypus zu handeln, der jedoch, wie **Kat. 238** (Herkunftsgruppe M) aufzeigt, im Umfeld von Ephesos selbst hergestellt worden sein könnte und auch gemeinsam mit dem Gefäß aus Klaros einen Verbreitungsschwerpunkt in der Region um Ephesos oder in Mittelionien angibt.

1.B.3.1.6 Knickrandschalen²¹⁶

Ab dem zweiten Viertel des 7. Jahrhunderts treten Knickrandschalen²¹⁷ im Repertoire archaischer Trinkgefäße auf, wobei bisherige Untersuchungen aufgezeigt haben, dass die Knickrandschalen als die typische archaische Schalenform des südlichen Ioniens zu gelten haben²¹⁸. Im Gegensatz zu den geometrischen und subgeometrischen Knickrandskyphoi zeichnen sich die archaischen Knickrandschalen, denen mit Ausnahme von **Kat. 9** alle Vertreter der Gefäßform angehören, vor allem durch einen deutlich nach außen abgeknickten Rand aus²¹⁹. Alle Knickrandschalen aus den archaischen Siedlungsbefunden in Ephesos lassen sich in das Typologiesystem von U. Schlotzhauer einfügen²²⁰, wenn auch freilich einzelne Varianten aus dem bislang bekannten Typenrepertoire ausscheren (Diagramm 11). Interessant ist insgesamt, dass die kanonischen archaischen Knickrandschalen mit Ausnahme von **Kat. 41** und **Kat. 433–Kat. 435** aus Zerstörungsbefunden der AG Phase II noch nicht vorkommen, sondern erst in der AG Phase III populär werden (Diagramm 12. 14. 17).

1.B.3.1.6a Knickrandschalen Typ 3

Kat. 9 kann den Knickrandschalen vom Typ 3 zugewiesen werden²²¹ und stellt damit die typologisch älteste gesicherte Knickrandschale noch subgeometrischer Tradition in den archaischen Siedlungsbefunden dar. Das dünnwandige Gefäß weist einen tiefen Gefäßkörper mit einziehender

²¹⁴ Vgl. dazu Ploug 1973, 28 f. Nr. 100 Abb. 1 Taf. 5. s. außerdem Technau 1929, 34 Nr. 2 Abb. 28 und Walter 1957, 41 Beil. 53, 3.

²¹⁵ Vgl. dazu de La Genière – Jolivet 2003, 46 Nr. 4 Abb. 10.

²¹⁶ Ich danke U. Schlotzhauer für die vorab freundlich gewährte Einsichtnahme in Teile seiner sich in Publikationsvorbereitung befindlichen Dissertation (Schlotzhauer 2014) zu den südionischen Knickrandschalen. Die vollständige Druckversion dieser grundlegenden Studie konnte leider nicht mehr zur Gänze berücksichtigt und eingearbeitet werden; die typologische Ansprache geht daher auf Schlotzhauer 1995 und Schlotzhauer 2000 zurück, was dem stark fragmentierten Material aus Ephesos aber entgegenkommt.

²¹⁷ Der Begriff wurde von Schlotzhauer 2000 in die Fachliteratur eingeführt.

²¹⁸ In den Befunden von Samos überwiegen deutlich die Knickrandschalen und Tassen, während Kotylen und Kalottenschalen kaum vertreten sind. s. dazu Kopecke 1968, 251–281; Isler 1978b, 92–98; Furtwängler 1980, 198–224; Dupont 1983, 40; Furtwängler – Kienast 1989, 81–89. Vgl. auch Walter 1957; Walter – Vierneisel 1959; s. außerdem Kerschner 2002b, 38 f. Anders verhält es sich in Ephesos, wo die Kotylen und Kalottenschalen neben den Knickrandschalen eine prominente Rolle spielen. s. dazu Benda 1991; Kerschner 1997a, 107–175. 186; Kerschner 2003a, 51–57; Kerschner 2006b, 83 f.; Kerschner 2008a, 58–64. Auch für Milet sind beide Schalenformen belegt. Dazu von Graeve 1973/1974, 86; von Graeve 1975, 41; Kerschner 1999, 39–44. Vgl. außerdem Dupont 1983, 31–36 und für Didyma Tuchelt 1971, 58–62.

²¹⁹ Zu den in der Formgebung immanenten Unterscheidungskriterien der geometrischen Knickrandskyphoi von den archaischen Knickrandschalen s. außerdem im Detail Schlotzhauer 2014, 9 f.

²²⁰ Vgl. Schlotzhauer 1995, 29–37 Beil. 17–73; Schlotzhauer 2000, 410 Abb. 297; Schlotzhauer 2014. Vgl. weiters die Typologiesysteme bei Villard – Vallet 1955; Hayes 1966, 111–134; Ploug 1973, 27–38; Boldrini 1994, 137–187.

²²¹ Schlotzhauer 1995, 29–34 Beil. 9–13; Schlotzhauer 2014, 87–91. 288–290. 292.

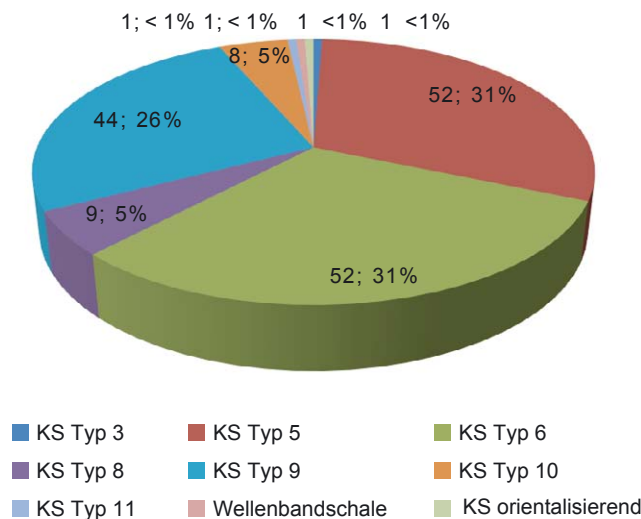


Diagramm 11 Übersicht der Knickrandschalen

Schulter auf, von welcher der schmale Rand abbiegt. An der Außenseite laufen am Rand und am Gefäßbecken Firnisreifen um, in der Dekorzone liegt ein Metopenfries, in dem mehrteilige Balkenbündel die mit zwei niedrigen horizontalen Zickzacklinien gefüllten Bildmetopen voneinander abtrennen. Im Gegensatz zu den Knickrandskyphoi sind Knickrandschalen verbindlich mit Standringen zu ergänzen. Knickrandschalen vom Typ 3 werden in das zweite und dritte Viertel des 7. Jahrhunderts datiert; **Kat. 9** ist über seine Zugehörigkeit zur Herkunftsgruppe J als samisches Importprodukt ausgewiesen.

1.B.3.1.6b Knickrandschalen Typ 5

Knickrandschalen vom Typ 5 liegen in den archaischen Siedlungsbefunden von Ephesos in drei Varianten vor. Allen dreien ist gemäß den formalen Merkmalen des Typs 5 ein tiefes Gefäßbecken über einem konischen Standring gemeinsam, das bis auf ein ausgespartes Band auf Höhe der Henkel an der Schulter mit Überzug bedeckt ist. Der ausgesparte Rand kann je nach Variante unterschiedlich verziert sein.

Kat. 1327 weist mit dem charakteristischen Randdekor aus schmalen umlaufenden Bändern und einem darüber angebrachten Wellenband die Merkmale der älteren Variante der Knickrandschalen vom Typ 5 auf²²². Die Schale hat einen steilgeraden, hohen Rand, der sich deutlich von der Randmorphologie der typologisch jüngeren Variante Typ 5.2 unterscheidet, für die eine konvexe Randaußenkante als wesentliches Merkmal gelten darf²²³. Die Randinnenkante kann entweder konkav gebogen (**Kat. 678. Kat. 855. Kat. 859. Kat. 1026. Kat. 1069. Kat. 1278. Kat. 1280. Kat. 1282. Kat. 1347. Kat. 1377. Kat. 1491–Kat. 1493. Kat. 1593. Kat. 1664 und Kat. 1889**) oder mit einer ebenfalls konvexen Innenkante zu einem polsterförmig geschwollenen Rand gewölbt sein (**Kat. 837. Kat. 858. Kat. 951. Kat. 952. Kat. 954. Kat. 1279. Kat. 1281. Kat. 1386–Kat. 1388. Kat. 1594. Kat. 1717. Kat. 1768 und Kat. 1769**). Im Dekor zeichnet sich die jüngere Variante der Knickrandschalen vom Typ 5.2 durch schmale, am Rand umlaufende Reifen aus, das Wellenband der älteren Variante Typ 5.1 fällt weg. Die meisten Knickrandschalen vom Typ 5 sind im Inneren mit einem Lippenband versehen, im Falle von **Kat. 678** und **Kat. 1491** ist dieses ungewöhnlicherweise in die Mitte des Randes herabgerutscht. Die auffallend

²²² Vgl. Schlotzhauer 1995, 37–39. Vgl. zum Typ auch Schlotzhauer 2014, 94–97. 295–308.

²²³ Dies steht der von Schlotzhauer 1995, 38 noch geäußerten Annahme, die Entwicklung gehe tendenziell von gewölbten Rändern hin zu steilgeraden Rändern, entgegen.

kleinen Knickrandschalen **Kat. 854** und **Kat. 856**, **Kat. 953** und **Kat. 1346** zeichnen sich durch ungewöhnlich kurze Ränder aus, während **Kat. 1216** ein besonders großes und dickwandiges Exemplar einer Knickrandschale vom Typ 5.2 darstellt. **Kat. 945** und die große Schale **Kat. 1490** verzichten auf die gewölbte Außenkontur, und besonders **Kat. 1490** steht mit dem hohen, steilen Rand der Knickrandschale der Variante Typ 5.1 **Kat. 1327** nahe. Somit könnte **Kat. 1490** zu den typologisch ältesten Vertretern der Knickrandschalen Typ 5.2 gehören.

Bei **Kat. 679**, **Kat. 701**, **Kat. 860**, **Kat. 861**, **Kat. 979**, **Kat. 994**, **Kat. 1217** und **Kat. 1328** kann aufgrund des fragmentierten Erhaltungszustands die Entscheidung, zu welcher der beiden Varianten die Gefäße gehörten, nicht getroffen werden.

Kat. 650, das Ganzgefäß **Kat. 1770** und **Kat. 1840** entsprechen im Dekor Typ 5.2 der Knickrandschalen, die extreme Dünnwandigkeit und die Gefäßproportionen mit dem weit ausgestellten Rand und der sich abzeichnende, enge Schulteransatz bei **Kat. 1840** stehen dagegen den zierlichen Knickrandschalen vom Typ 8 (s. u. Kap. 1.B.3.1.6d) näher als den üblicherweise schweren Gefäßen vom Typ 5; vergleichbare Gefäße hat U. Schlotzhauer zuletzt unter Typ 5.C zusammengefasst²²⁴. Die Gefäße finden einen engen Vergleich in den Funden vom Südtor der Tetragonos Agora, mit denen **Kat. 1770** auch das feine, annähernd glimmerlose Fabrikat teilt²²⁵. Mit **Kat. 650** liegt indessen ein Gefäß der Variante vor, das im Umfeld von Ephesos hergestellt worden sein dürfte (Herkunftsgruppe M).

Kat. 619 und **Kat. 651** sind aufgrund ihrer formalen und dekorativen Charakteristika für Knickrandschalen vom Typ 5 ebenso denkbar wie für die frühe Variante der Knickrandschalen Typ 9.1 (s. u. Kap. 1.B.3.1.6e).

Die Laufzeit der Knickrandschalen vom Typ 5 hat U. Schlotzhauer aufgrund der Fundevidenz in Samos und Milet zwischen 670–600/590 eingegrenzt²²⁶, was die bereits von F. Villard und G. Vallet vorgeschlagene Datierung ihres vergleichbaren Typs A.2 erweitert²²⁷. Der frühe Datierungsansatz G. M. A. Hanfmanns und A. E. Furtwänglers²²⁸ noch in das 8. Jahrhundert hat sich in neueren Forschungen nicht bestätigt. In den archaischen Siedlungsbefunden unter der Tetragonos Agora treten Knickrandschalen vom Typ 5 erstmals in der AG Phase III nicht vor dem mittleren 7. Jahrhundert auf (Diagramm 12), womit sich eine etwas zeitverzögerte Übernahme des Gefäßtyps aus den südionischen Zentren, von denen sich die auf Samos lokalisierte Herkunftsgruppe J im Material nachweisen lässt, nach Ephesos abzeichnet; der Gefäßtyp wurde dann aber auch in die lokale Keramikproduktion (Herkunftsgruppe I, H und M) übernommen (Diagramm 13). Dass das Gros der Knickrandschalen in den archaischen Siedlungsbefunden der typologisch jüngeren Variante 5.2 angehört, deren Produktionsbeginn U. Schlotzhauer erst im mittleren 7. Jahrhundert vermutet²²⁹, stimmt gut mit der Befundsituation in Ephesos überein. Die dünnwandige Variante Typ 5.C tritt mit **Kat. 650** erstmals in einem Zerstörungsbefund der AG Phase III auf.

Das gehäufte Vorkommen der Knickrandschalen der Variante Typ 5.2 in den Ofenbefunden in AG Phase III bekräftigt darüber hinaus eine lokale Produktion des Gefäßtyps bis zum Ende

²²⁴ Vgl. zum Typ 5.C Schlotzhauer 2012, 94–96 Nr. Nau 38–40 Taf. 9: Typ 5.C. Die Variante ist nach einer dankenswerten Information von U. Schlotzhauer auch in Milet belegt (Inv. K92/525.40. K92/246.1. K92/416.15. K92/223.2. K92/099.34). Zu einer ähnlichen Schale aus Borystheneos vgl. Čistov 2012, 182 Nr. 3 Taf. 25. s. dazu Schlotzhauer 2014, 504 Nr. 114–116 Taf. 22.

²²⁵ Vgl. dazu Gassner 1997, 30 Nr. 19 Taf. 1.

²²⁶ Schlotzhauer 1995, 38 f. und besonders Schlotzhauer 2014, 295–308. Zu den datierenden Befunden auf Samos s. Kopcke 1968, 257; Isler 1978b, 140–142; Furtwängler 1980; Furtwängler – Kienast 1989, 81–83. Vgl. außerdem Calvet – Yon 1977, 16 Nr. 67–74 Taf. 7. 8.

²²⁷ Villard – Vallet 1955, 29 legen die Datierung des Typs A.2 zwischen 620 und 600 fest, wobei der Typ der Variante Typ 5.2 nach Schlotzhauer 1995 entspricht. Die Variante Typ 5.1 nach Schlotzhauer 1995 ist für Megara Hyblaea nicht belegt.

²²⁸ Hanfmann 1956, 167–173; Hanfmann 1963, 282; Furtwängler 1980, 162. Kopcke 1968, 257 Nr. 23 Abb. 9 war sich der späteren Datierung dieses Schalentyps bis an das Ende des 7. Jhs. zwar bereits bewusst, erklärte diese aber deshalb zu einer Sonderform, um nicht in eklatanten Widerspruch zu der damals gängigen Datierung zu geraten.

²²⁹ Dazu Schlotzhauer 2014, 307.

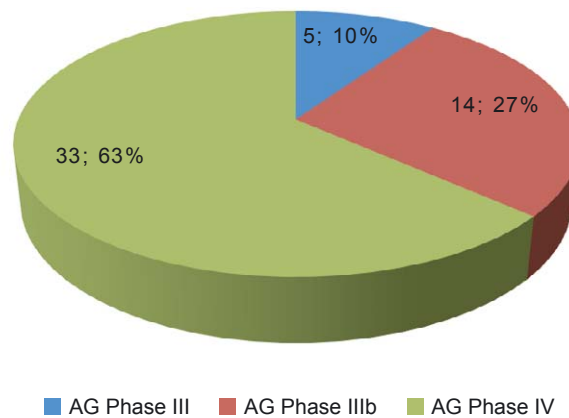


Diagramm 12 Verteilung der Knickrandschalen Typ 5

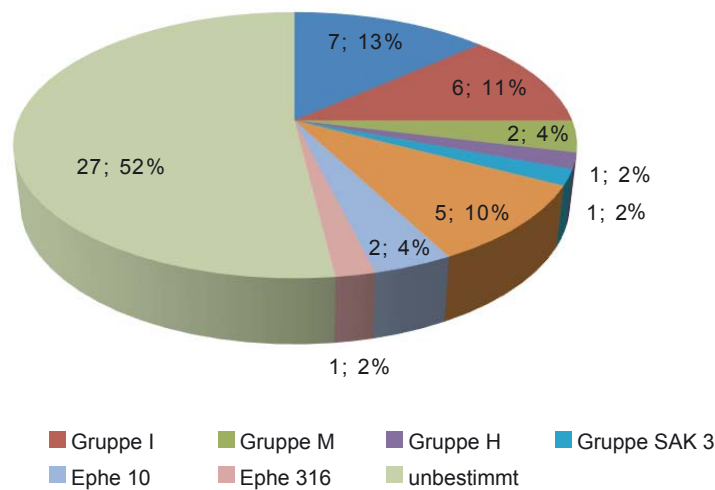


Diagramm 13 Herkunft der Knickrandschalen Typ 5

des 7. Jahrhunderts. Die scherbentypologisch zugeordneten Knickrandschalen vom Typ 5 aus den Ofenbefunden verteilen sich auf die Herkunftsgruppen M und I. Die relativ große Anzahl ungewöhnlich kleinformatiger Knickrandschalen in den ephesischen Befunden reflektiert wahrscheinlich eine Besonderheit lokaler Keramikproduktion; sie zeichnet sich auch bei anderen Typen der Knickrandschalen und bei den Tassen ab und steht in auffallendem Gegensatz zu den großformatigen Randfalzkotylen lokaler Produktion (s. u. Kap. 1.B.4 und Kap. 1.E.2).

1.B.3.1.6c Knickrandschalen Typ 6

Als zweiter Typ archaischer Knickrandschalen treten im 7. Jahrhundert die Gefäße vom Typ 6 auf, die im regulären Fall grundsätzlich kleiner auszufallen scheinen als jene vom Typ 5.

U. Schlotzhauer unterscheidet mehrere Varianten der Knickrandschalen vom Typ 6²³⁰, denen allen die bis auf ein ausgespartes Lippenband im Inneren und ein tongrundiges Schulterband auf Henkelhöhe vollständig bemalte Gefäßoberfläche gemeinsam ist. Die formtypologische Entwick-

²³⁰ s. dazu Schlotzhauer 1995, 39 f. Beil. 22–24; Schlotzhauer 2014, 97–101. 308–316.

lung der älteren Variante Typ 6.1²³¹ mit breit gelagertem Körper über einem flachen, konischen Fuß, deutlich nach außen geknickten Rändern und streng horizontalen Henkeln hin zur jüngeren Variante Typ 6.2²³² mit insgesamt gestreckteren Proportionen, höheren Rändern, engeren Füßen und leicht schräg gestellten Henkeln ist im Material der archaischen Siedlungsbefunde nicht nachzuvollziehen. Die Knickrandschalen vom Typ 6 scheinen in Ephesos mit Ausnahme der samischen Importgefäße **Kat. 40**, **Kat. 41** (Herkunftsgruppe J) und **Kat. 433** erst mit der jüngeren Variante übernommen zu werden. Das im gesamten Profil erhaltene Gefäß **Kat. 997** vermag dabei einen Eindruck davon zu vermitteln, dass die von U. Schlotzhauer ursprünglich vorgeschlagene typologische Reihung zwar eine tendenzielle Entwicklung widerspiegelt, dass diese aber keinesfalls stringent verlaufen muss. So können Gefäße wie im Falle von **Kat. 997** mit dem weit ausgeknickten Rand und dem niedrigen Standring Elemente der älteren Variante mit einem gestreckten, tiefen Schalenkörper, wie er die jüngere Variante kennzeichnet, kombinieren. Das Ganzgefäß **Kat. 1440** nähert sich demgegenüber weiter der entwickelten Variante an und variiert das strenge Dekorschema mit einem kleinen ausgesparten Kreis im inneren Schalenboden.

Die Schalen **Kat. 433**, **Kat. 652**, **Kat. 741**, **Kat. 743**, **Kat. 782**, **Kat. 806**, **Kat. 906**, **Kat. 945**, **Kat. 955**, **Kat. 956**, **Kat. 995**, **Kat. 1283**, **Kat. 1284**, **Kat. 1329**, **Kat. 1378**, **Kat. 1389** und **Kat. 1497–Kat. 1499** fügen sich nahtlos in das Erscheinungsbild südionischer Knickrandschalen der Variante Typ 6.2 ein, wobei die extrem dünnwandigen Gefäße **Kat. 806**, **Kat. 945** und **Kat. 1283** die typologische Verwandtschaft der Knickrandschalen vom Typ 6 mit jenen vom Typ 8 (s. u. Kap. 1.B.3.1.6d) veranschaulichen. **Kat. 1070** mit seinem ausgesparten Lippenband an der Randaußenkante und **Kat. 1390** mit seinem aufgehellten Schulteransatz scheren aus dem Dekorkanon der Knickrandschalen vom Typ 6 aus. **Kat. 1391** ist formal eindeutig den Knickrandschalen vom Typ 6 zugehörig, die aufgehellten Bänder am Rand erinnern hingegen an die Schalen vom Typ 5.2, sind mit **Kat. 1070** aber auch für Varianten des Typs 6 belegt.

Kat. 1352 zeichnet sich durch sein breit gelagertes Gefäßbecken aus, ein Merkmal, das für die ältere Variante des Typs 6 maßgebend ist, doch schließt die geringe Wandstärke diese Interpretation eher aus. Für **Kat. 1352** bleibt auch eine Ansprache als Knickrandschale vom Typ 9 (s. u. Kap. 1.B.3.1.6e) im Bereich des Möglichen.

Mit den Knickrandschalen **Kat. 434**, **Kat. 501**, **Kat. 502**, **Kat. 653**, **Kat. 739**, **Kat. 740**, **Kat. 742**, **Kat. 944**, **Kat. 980**, **Kat. 996**, **Kat. 1027**, **Kat. 1259**, **Kat. 1350**, **Kat. 1351**, **Kat. 1495**, **Kat. 1496**, **Kat. 1596**, **Kat. 1636**, **Kat. 1771**, **Kat. 1772** und **Kat. 1890** begegnet wie bei den Knickrandschalen vom Typ 5 hingegen erneut eine in südionischen Befunden weitgehend unbekannte, kleinformatige Ausprägung des Gefäßtyps. Auffallenderweise sind **Kat. 740**, **Kat. 980** und **Kat. 1351** dabei als ephesische Produkte ausgewiesen. **Kat. 434** konnte zwar nicht eindeutig zugeordnet werden, das rottonige, schiefrige Fabrikat steht jedoch jenem vieler Gebrauchswaren in Ephesos nahe, während **Kat. 502**, **Kat. 1495** und **Kat. 1496** im Erscheinungsbild den Herkunftsgruppen I und M verwandt sind. **Kat. 739** wurde im fabrikatstypologischen Abgleich als Gefäß der samischen Herkunftsgruppe J identifiziert, doch bleibt aufgrund der sekundären Brandeinwirkung ein Vorbehalt bestehen.

Die Knickrandschalen der jüngeren Variante Typ 6.2 werden von U. Schlotzhauer auf Basis der Befunde in Samos und Milet in das mittlere 7. Jahrhundert, also in etwa zeitgleich mit der jüngeren Variante der Knickrandschalen vom Typ 5, datiert, ein Ansatz, der sich in der Befundsituation der archaischen Siedlung unter der Tetragonos Agora mit einem Verbreitungsschwerpunkt ab der AG Phase III gut nachvollziehen lässt (Diagramm 14). Hier treten die ersten Gefäße im Zerstörungsbefund des Gebäudes XB und der Mauer AZ 10 der AG Phase II auf, die erstmals M. Kerschner in das ausgehende zweite Viertel des 7. Jahrhunderts angesetzt hat²³³. **Kat. 433**

²³¹ Vgl. als exemplarisches Ganzgefäß Walter – Vierneisel 1959, 19 Beil. 38, 1 (Brunnen G).

²³² Vgl. als exemplarische Ganzgefäße Walter 1957, 46 Beil. 67, 4; Beil. 69, 3; Walter – Vierneisel 1959, 19 Beil. 38, 2, 3 (Brunnen G); 28 Beil. 61, 4, 5 (Bothros); Kopcke 1968, 257 Nr. 22 Abb. 9 Taf. 95.

²³³ Vgl. dazu Kerschner 2003a, 58.

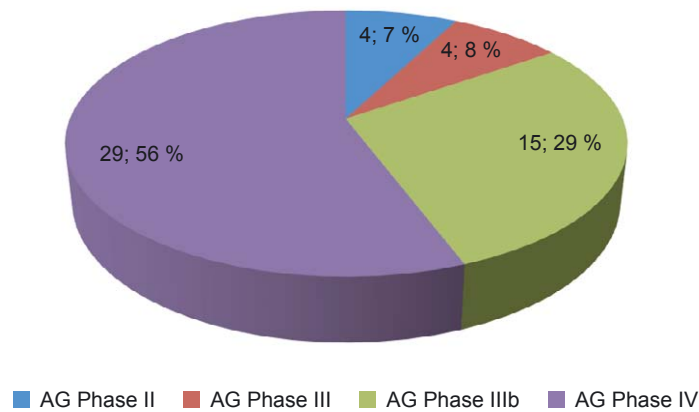


Diagramm 14 Verteilung der Knickrandschalen Typ 6

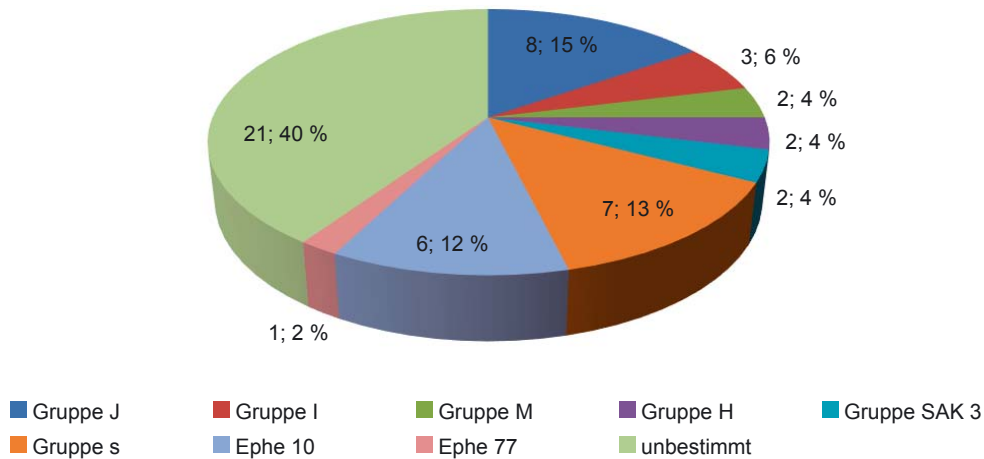


Diagramm 15 Herkunft der Knickrandschalen Typ 6

gehört dabei wie **Kat. 40** und **Kat. 41** noch der Variante Typ 6.1 an, während **Kat. 434** bereits die jüngere Variante repräsentiert.

Wie für die Knickrandschalen vom Typ 5 ist auch für jene vom Typ 6 eine lokale Produktion nachgewiesen (Herkunftsgruppe I, H, M). Daneben ist mit der Herkunftsgruppe J die samische Produktion stark vertreten (Diagramm 15). Fünf der kleinformatischen Schalen sind dem Fabrikat der ProbenNr. Ephe 10 zugewiesen. Für Ephe 10 und für jene singles (in den Diagrammen als Gruppe s bezeichnet), die auch in der Ofenverfüllung belegt sind, wird sich aus archäologischer Sicht die Frage stellen, ob hier nicht weitere Fabrikate vorliegen, die mit Ephesos zu korrelieren sind (s. u. Kap. 1.B.4).

Kat. 864–Kat. 866 zeigen überdimensional vergrößerte Gefäße, wie sie mit **Kat. 1216** auch schon für die Knickrandschalen vom Typ 5 nachgewiesen sind. Wie **Kat. 1216** sind auch **Kat. 864** und **Kat. 866** als ephesische Produkte erkennbar (Herkunftsgruppe I), während **Kat. 865** den milesischen Fabrikaten nahe steht. Der große Randdurchmesser und die beträchtliche Wandstärke heben die Fragmente von den Trinkgefäßen ab und rücken sie in die Nähe einer Gruppe von Krateren, welche in Dekor und Form aufs Engste mit den Knickrandschalen vom Typ 6 und/oder vom Typ 8 des 7. Jahrhunderts verwandt und beispielsweise in Tauch-

eira und Samos belegt sind, wo sie ostgriechischen, möglicherweise samischen Werkstätten zugewiesen werden²³⁴.

1.B.3.1.6d Knickrandschalen Typ 8

Die dünnwandigen, in der Regel eher kleinformatigen Knickrandschalen vom Typ 8, welche bei F. Villard und G. Vallet unter dem Typ A.1 subsummiert werden²³⁵, unterteilt U. Schlotzhauer in drei Varianten²³⁶, welche sich primär durch die Art ihrer Dekoration unterscheiden. Gemeinsam ist allen Varianten das tiefe, zum engen Ansatz des konischen Fußes hin zusammengezogene Schalenbecken, die zarten Horizontalhenkel und der tendenziell hohe, konvex gewölbte bis gerade Rand. Der maximale Durchmesser des Schalenkörpers an der Schulter wird häufig von der Gefäßmündung deutlich übertroffen. In den archaischen Siedlungsbefunden sind vier Varianten von Knickrandschalen des Typs 8 gegeben.

Die Schalen der Variante Typ 8.1 stimmen im Dekor mit jenem der Knickrandschalen vom Typ 6 überein, lassen sich von Letzteren jedoch durch die eierschalendünne Gefäßwandung und die zierlicheren Proportionen deutlich unterscheiden. **Kat. 807** zeigt eine Schale mit für den Typ ungewöhnlich kurzem Rand und enger Gefäßmündung, während **Kat. 907**, **Kat. 957** und **Kat. 1892** ganz kanonisch erscheinen.

Die Schalen **Kat. 435**, **Kat. 867** und **Kat. 1773** sind als Knickrandschalen der Variante Typ 8.2 anzusprechen, welche durch die am Rand und manchmal auch auf der Schulter in Deckrot und Deckweiß aufgetragenen polychromen Reifenbündel gekennzeichnet ist und die damit im Umfeld der Dunkelgrundigen Waren zu verorten ist.

Kat. 1392 ist wahrscheinlich als Knickrandschale der Variante Typ 8.3 anzusprechen, die sich durch ihre etwas größeren Proportionen von den Gefäßen der Variante Typ 8.1 unterscheidet. Hier ist freilich auch die Abgrenzung zu den zierlichen Varianten der Knickrandschalen vom Typ 6 mitunter schwierig. **Kat. 1392** dürfte nach Ausweis eines NAA-beprobten Referenzgefäßes mit einiger Wahrscheinlichkeit in den Vogelschalenwerkstätten hergestellt worden sein. Die petrografische Dünnschliffanalyse konnte dieses mikroskopische Ergebnis jedoch nicht eindeutig verifizieren (s. u. Kap. 4.C).

Die Übersicht über die bei den Knickrandschalen vom Typ 8 vertretenen Herkunftsgruppen belegt eine Produktion des Gefäßtyps durch mehrere Hersteller (Diagramm 16). Für Ephesos ist **Kat. 867** interessant, welches zum einen aus der Ofenverfüllung geborgen wurde, zum zweiten mit dem bislang unlokalisierten single [Inv. ART 94/268.2] ein Fabrikat aufweist, welches sich bereits für mehrere Gefäße nachweisen ließ, deren lokale Provenienz aus archäologischer Sicht gut argumentierbar ist (s. u. Kap. 1.B.4). Mit **Kat. 1892** (Herkunftsgruppe I) ist die lokale Produktion der Knickrandschalen vom Typ 8 indes einwandfrei gesichert.

Über die Datierung der Knickrandschalen vom Typ 8 in das letzte Drittel des 7. Jahrhunderts herrscht in der Forschung weitgehende Einigkeit²³⁷, und sie hat sich auch für ephesische Befunde bislang gut anwenden lassen. Zuletzt hat U. Schlotzhauer allerdings auf Basis der Befundlage in Milet einen Produktionsbeginn der Schalen vorsichtig schon im ausgehenden zweiten Viertel des

²³⁴ Hayes 1966, 44. 53 Nr. 719 Abb. 27 Taf. 37; 66. 71 Nr. 864 Abb. 27 Taf. 50; Isler 1978b, 152 Nr. 539. 540 Taf. 70 Beil. 14. Zur Form des Schalenkraters in Milet vgl. zuletzt Panteleon 2013, 84–90.

²³⁵ Villard – Vallet 1955, 15–18. Vgl. außerdem Hayes 1966, 111 f. Nr. 1192. 1194 Abb. 55 (Typ 1–Typ 3); Ploug 1973, 29 Nr. 102–104 Taf. 5 (Gruppe 2–Gruppe 4); Boldrini 1994, 147 f. Nr. 240–244 Taf. 4.

²³⁶ s. Schlotzhauer 1995, 42 f. Beil. 26–28; Schlotzhauer 2014, 103–105. 317–328.

²³⁷ Dazu Villard – Vallet 1955, 29; Hayes 1966, 120 Nr. 1194 Abb. 55 Taf. 87; Hayes 1973, 56 Nr. 2207 Abb. 23 Taf. 31; Ploug 1973, 29; Calvet – Yon 1977, 16 Nr. 64 Taf. 7; Gjerstad 1977b, 32 Nr. 122–124 Taf. 16; Isler 1978b, 95 Nr. 137 Beil. 2; 150 Nr. 525 Taf. 70 Beil. 13; 152 Nr. 539 Taf. 70 Beil. 14; Furtwängler – Kienast 1989, 81. 112 Nr. 4 Abb. 19; Buchner – Ridgway 1993, 318 Nr. 1 Taf. 101 (Grab 263); Boldrini 1994, 147; Schlotzhauer 1995, 43. Zu Ephesos s. Kerschner 1997a, 119 f. Nr. 23. 24 Taf. 4; 131 f. Nr. 46 Taf. 6; 152 Nr. 86 Taf. 11; 168 Nr. 123 Taf. 15.

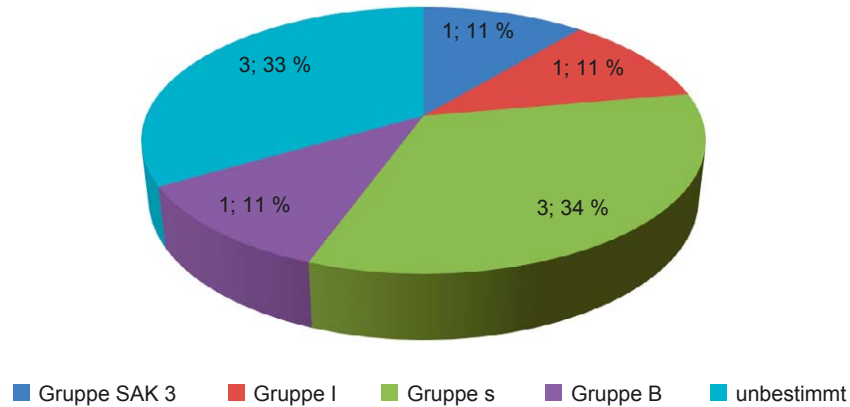


Diagramm 16 Herkunft der Knickrandschalen Typ 8

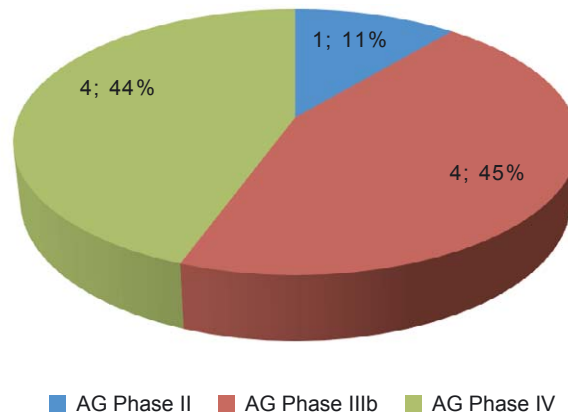


Diagramm 17 Verteilung der Knickrandschalen Typ 8

7. Jahrhunderts vorgeschlagen²³⁸. Dies scheint sich in den Befunden unter der Tetragonos Agora mit **Kat. 435** aus dem Zerstörungshorizont zum Gebäude XB in der AG Phase II zu bestätigen (Diagramm 17). Interessanterweise handelt es sich dabei um ein Gefäß der Variante Typ 8.2, die auch von U. Schlotzhauer erst seit dem mittleren 7. Jahrhundert angenommen werden. Die Verwendung von Deckrot im Zusammenhang polychromer Bänderung auf archaischen Trinkgefäßen schien nach bisherigen Evidenzen insgesamt ein Phänomen des letzten Jahrhundertdrittels zu sein²³⁹. Umgekehrt sind Gefäße der Dunkelgrundigen Ware vereinzelt schon seit dem ausgehenden 8. und beginnenden 7. Jahrhundert belegt, wobei sich der aufgesetzte Dekor dort freilich auf die Verwendung von Deckweiß beschränkt²⁴⁰.

Die dünnwandigen Knickrandschalen **Kat. 165** und **Kat. 1441** übernehmen das Dekorschema der Variante Typ 8.1 und übertragen es auf eine wesentlich flachere Gefäßform mit kurzem, ausgeknicktem Rand. In milesischen und samischen Befunden scheint diese Ausprägung der Knickrandschalen vom Typ 8 nicht vorzukommen, die scherbentypologische Übereinstimmung von **Kat. 1441** mit einem nicht zugeordneten singulären Fabrikat führt bei der Suche nach der

²³⁸ Dazu Schlotzhauer 2014, 327 Abb. 104.

²³⁹ Dies stimmt mit dem Auftreten roter Reifen erst bei den späten Kalottenschalen überein. Dazu Kerschner 1995, 19–32.

²⁴⁰ Vgl. dazu Walter – Vorneisel 1959, 19 Beil. 33, 2 (Brunnen G); Kleiner 1959/1960, 92 f. Nr. 3 Taf. 85; Walter 1968, 111 Nr. 357 Taf. 60; 117 Nr. 445 Taf. 81; Furtwängler 1980, 161. 200 Nr. 10 Abb. 12 (Phase I).

Lokalisierung der Variante nicht weiter. Das zweimalige Vorkommen einer sonst unbekanntem Gefäßform in Ephesos verführt freilich dazu, hier ähnlich wie bei den dunkelgrundigen Knickrandskyphoi eine lokale Spielart einer südionischen Trinkgefäßform erkennen zu wollen. Wie die regulären Varianten der Knickrandschalen vom Typ 8 kommt auch diese erstmals in den Zerstörungsbefunden der AG Phase II vor (**Kat. 165**) und findet sich noch in der AG Phase IV wieder (**Kat. 1441**).

1.B.3.1.6e Knickrandschalen Typ 9

Das Wandfragment **Kat. 1774** ist den Knickrandschalen vom Typ 8 in ihrer Dünnwandigkeit vergleichbar; der größere Raddurchmesser und das Dekorsystem des Randes identifizieren es allerdings eindeutig als Schale vom Typ 9. Die deutliche Affinität zu den Gefäßen vom Typ 8 lässt das Gefäß als typologisch frühestes innerhalb des seit dem ausgehenden 7. Jahrhundert verbreiteten Typs 9 erkennen²⁴¹.

U. Schlotzhauer hat innerhalb der Knickrandschalen vom Typ 9 ursprünglich drei Hauptgruppen unterschieden, die sich ihrerseits in weitere Varianten aufgliedern²⁴². Da die Schalen aus den archaischen Siedlungsbefunden meist stark fragmentiert sind, lässt sich nur in Einzelfällen eine diffizile Unterscheidung in einzelne Varianten treffen. Die Zuweisung zu Typ 9 kann umgekehrt meist mit großer Sicherheit erfolgen, da vor allem der spezifische Dekor die Zugehörigkeit zu anderen Schalenformen mit großer Sicherheit auszuschließen vermag.

Die typologisch frühen Varianten der Knickrandschalen vom Typ 9 zeichnen sich im Regelfall durch tiefe Gefäßkörper mit relativ dünner Wandung und deutlich abgesetzten, hohen Rändern aus. Die Schalen stehen auf niedrigen konischen Füßen. Die Ränder zeigen bereits in dieser frühesten Ausprägung das verbindliche Dekorschema, bei dem die Randinnenkante bis auf ein Lippenband überzogen ist und die Randaußenseite umgekehrt bis auf ein aufgemaltes Lippenband unbemalt verbleibt. An der tongrundigen Schulter verläuft ein Firnisband, der Schalenkörper unterhalb der Henkel ist wiederum flächig bemalt. Die Dekorweise des inneren Schalenbeckens unterscheidet die frühen Varianten Typ 9.1 bis Typ 9.3. Während sich die Variante Typ 9.1 durch ein vollständig gefirnisstes Schalenbecken auszeichnet, werden Schalen der Variante Typ 9.2 durch tongrundige Bänder im Becken und ebensolche Reifen im Beckenboden aufgelockert. Die Variante Typ 9.3 zeigt wie Typ 9.2 aufgehellte Bänder, aber keine Reifen am Schalengrund.

Mit den jüngeren Varianten Typ 9.4 bis Typ 9.7 werden die Schalenbecken zunehmend flacher und weiter, die Ränder knicken tendenziell weiter aus und die Füße entwickeln sich bis zur Variante Typ 9.7 von den konischen Füßen hin zu hohen Trompetenfüßen. Der Dekor der jüngeren Varianten variiert gegenüber jenen bereits von den älteren Varianten bekannten; als wesentliche Neuerung kommt ab Variante Typ 9.5 ein außen ausgespartes Band an der unteren Beckenwand hinzu (**Kat. 998**).

Kleine Randfragmente mit knappem Schulteransatz wie **Kat. 519**, **Kat. 520**, **Kat. 602**, **Kat. 981**, **Kat. 982**, **Kat. 1028**, **Kat. 1029**, **Kat. 1076–Kat. 1083**, **Kat. 1397–Kat. 1399** sind nur sehr allgemein den frühen Varianten mit steiler Schulter und tiefem Becken zuzuordnen. Dabei erinnert **Kat. 981** mit seinem steilen Rand und der gewölbten Außenseite an die Knickrandschalen vom Typ 5. Von **Kat. 1073**, **Kat. 1074**, **Kat. 1285**, **Kat. 1394**, **Kat. 1395** und **Kat. 1637** ist hingegen genug erhalten, um eine Bänderung im tiefen Schalenbecken auszuschließen, womit hierin je ein Gefäß der Variante Typ 9.1 vorliegt. **Kat. 1092** variiert das übliche Dekorschema, indem anstelle des einen Schulterbandes zwei Reifen umlaufen, **Kat. 1075** und **Kat. 1396** fallen

²⁴¹ Schlotzhauer 1995, 44; Schlotzhauer 2014, 105–111. 328–336. Vgl. außerdem Hayes 1966, 113 f.; Ploug 1973, 29–31; Furtwängler 1980, 166. Ein Exemplar einer Knickrandschale der ältesten Variante Typ 9.1 aus dem Zerstörungsschutt in Ashkelon und zwei weitere aus Mezad Hashavyahu machen den Beginn der Produktion schon im letzten Jahrzehnt des 7. Jhs. wahrscheinlich. s. dazu Fantalkin 2001, 76 f. Typ IC 2 Abb. 28; Waldbaum 2011, 211 Nr. 203.

²⁴² s. Schlotzhauer 1995, 43–46 Beil. 29–43; Schlotzhauer 2014, 105–111.

für die frühe Variante Typ 9.1 erstaunlich dickwandig aus und verzichten auf das äußere Lippenband. **Kat. 1085** stellt einen typischen Schalenfuß der frühen Varianten vor.

Kat. 1088 und **Kat. 1400** kombinieren ein tiefes, dünnwandiges Schalenbecken mit einer Bänderung im Inneren und sind damit für die älteren Varianten Typ 9.2 und Typ 9.3 möglich. **Kat. 521** und **Kat. 1087–Kat. 1089** sind mit der Bänderung im oberen Schalenbecken oder im Beckenboden ab Variante Typ 9.2 denkbar, der breiter angelegte Gefäßkörper nimmt die Entwicklung der jüngeren Varianten bereits vorweg.

Kat. 1030, **Kat. 1090**, **Kat. 1091** und **Kat. 1638** entsprechen den Varianten Typ 9.4 oder Typ 9.5 mit flachem Gefäßbecken und weit ausgeknicktem Rand.

Noch stärker als für die bisher besprochenen Knickrandschalen zeigt sich auch für jene vom Typ 9 in den scherbentypologisch zugewiesenen Gefäßen eine sehr heterogene Zusammensetzung der Produktionsanteile (Diagramm 18), bei denen den Fabrikaten, die einem bislang nicht lokalisierten und singulären chemischen Muster entsprechen (s), nur eine unwesentliche Vorrangstellung zukommt. Die lokale/regionale Produktion ist mit Gefäßen der Herkunftsgruppen I und M gesichert; in den Ofenbefunden zeichnet sie sich im Gegensatz zu den Knickrandschalen der Typen 5 und 6 jedoch noch nicht ab. Wie bei den kleinformatigen Knickrandschalen der Typen 5 und 6 vor allem aus den Töpfereibefunden sind auch innerhalb der Knickrandschalen vom Typ 9 die Fabrikate der ProbenNr. Ephe 10 und jene der ungesicherten singles für Exemplare belegt, welche die Proportionen dieser typologisch älteren Knickrandschalen für die neue Dekorweise übernehmen (z. B. **Kat. 1092**, **Kat. 1285**).

In den Siedlungsbefunden unter der Tetragonos Agora treten die ersten Knickrandschalen vom Typ 9 in den Zerstörungsniveaus des Gebäudes NB (**Kat. 519–Kat. 521**) und im jüngsten Nutzungsniveau des Kalkmergelbaus KMB (**Kat. 602**) am Ende der AG Phase III auf. Dabei handelt es sich durchwegs um Vertreter der älteren Varianten. Die klar als Vertreter der jüngeren Variante anzusprechenden Schalen **Kat. 1090** und **Kat. 1638** kommen erst in jenen Horizonten vor, welche mit der Aufgabe der Hofhäuser auch das Ende der archaischen Siedlung unter der Tetragonos Agora datieren.

Für die Knickrandschalen vom Typ 9 hat U. Schlotzhauer eine grundsätzliche Datierung zwischen dem beginnenden 6. und dem beginnenden 5. Jahrhundert vorgeschlagen, was auch im Verteilungsmuster der Gefäße in den archaischen Siedlungsbefunden von Ephesos gut zum Ausdruck kommt (Diagramm 19). Das Enddatum stützt sich auf die Fundevidenz des milesischen Perserschutts, das Anfangsdatum auf Befunde in Milet, Chios und Tell Sukas²⁴³. Zumindest für die Knickrandschalen der typologisch ältesten Variante Typ 9.1 zeichnet sich mit der kürzlich erfolgten Materialvorlage aus Mezad Hashavyahu möglicherweise eine etwas frühere Datierung bereits im 7. Jahrhundert ab, da die Variante Typ 9.1 dort in den Zerstörungsbefunden von 604 bereits nachgewiesen ist²⁴⁴. Umgekehrt ist diese Variante in dem aus Assesos vorgelegten keramischen Befund noch nicht belegt. Dieser Negativbefund ist insofern relevant, als man aufgrund der geografischen wie auch kulturellen Verbindung Milets mit Assesos geneigt wäre anzunehmen, dass das aktuell im Umlauf befindliche milesische Gefäßrepertoire im Heiligtum auch vertreten sein müsste. Dass dies nicht der Fall ist, ist ein Indiz dafür, dass zum Zeitpunkt der Zerstörung des Heiligtums (s. o. Kap. 1.B.1.1.2)²⁴⁵ die Knickrandschalen vom Typ 9 in milesischen Werkstätten noch nicht produziert wurden. Daraus ergibt sich, sofern die von A. Fantalkin vorgeschlagene Datierung der Aufgabe von Mezad Hashavyahu um 604 zutreffen sollte, ein enges Zeitfenster zwischen dem assesischen Befund und der Aufgabe von Mezad

²⁴³ Vgl. Schlotzhauer 2014, 328–336. Zu Chios vgl. Boardman 1967, 171 Nr. 864 Abb. 118; zu Tell Sukas s. Ploug 1973, 29–31 Nr. 105–126 Taf. 5 (Gruppe 5 und Gruppe 6).

²⁴⁴ Zu Mezad Heshavyahu vgl. Fantalkin 2001, 76 Nr. 8 Abb. 28. Speziell zu der Datierung der Befunde von Mezad Hashavyahu s. Fantalkin 2001, 136. Kritisch zur Aussagekraft des Stücks für eine Frühdatierung des Typs 9 äußert sich Schlotzhauer 2014, 333 f.

²⁴⁵ Von G. Kalaitzoglou wurde das Jahr 608 als Zeitpunkt für die Zerstörung des Heiligtums der Athena Assesia durch die Lyder vorgeschlagen. Vgl. dazu Kalaitzoglou 2008, 41–65.

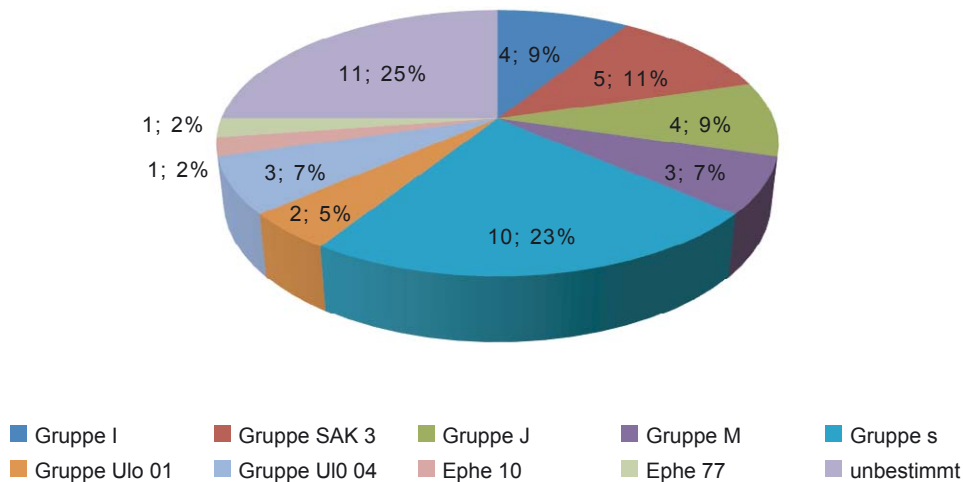


Diagramm 18 Herkunft der Knickrandschalen Typ 9

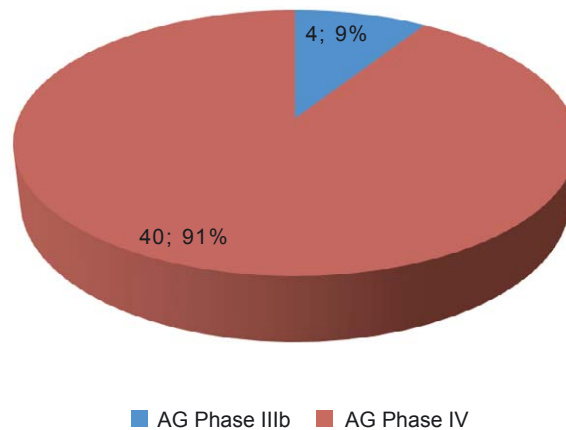


Diagramm 19 Verteilung der Knickrandschalen Typ 9

Heshavyahu, in dem der wahrscheinliche Produktionsbeginn der Knickrandschalen des Typs 9 einzuordnen sein wird. Der Produktionsbeginn wird dabei nicht unmittelbar vor oder um 604 zu suchen sein, da die fraglichen Gefäße ja überhaupt erst aus Ionien an die levantinische Küste gelangen mussten. Angesichts der bereits in den Zerstörungsniveaus der AG Phase III belegten Knickrandschalen lokaler Produktion (**Kat. 519** und **Kat. 520**) deutet dies umgekehrt an, dass die Aufgabe zumindest der Gebäude im Westen der Agora-Siedlung erst um die Wende zum 6. Jahrhundert stattgefunden haben kann.

1.B.3.1.6f Knickrandschalen Typ 10

Die Knickrandschalen vom Typ 10 sind genauso wie jene des Typs 9 eine Erscheinung primär des 6. Jahrhunderts. U. Schlotzhauer hat vier Varianten unterschieden²⁴⁶, deren weites, bauchiges Schalenbecken und der kurze, flach ausgeknickte Rand sie zu einem Typ zusammenfasst. Bis

²⁴⁶ Vgl. Schlotzhauer 1995, 47–49 Beil. 43–58. Vgl. außerdem Schlotzhauer 2014, 111–114. 337–345.

auf die Schalen der Variante 10.1 ruhen alle Gefäße des Typs 10 auf weiten, niedrigen Wulststandringen.

Die Schalen vom Typ 10.1 nehmen als früheste typologische Ausprägung im Dekor Elemente der Knickrandschalen Typ 8.2 und in der Form Elemente der Knickrandschalen Typ 9.1 bis Typ 9.3 auf. In den archaischen Befunden unter der Tetragonos Agora ist mit **Kat. 808** ein Gefäß gegeben, welches in seiner Formgebung und seinem Dekor mit der bemalten Innenseite und dem bis auf den gefirnissten Rand unbemalten äußeren Gefäßkörper sehr klar als Knickrandschale vom Typ 10 erkennbar ist, dessen extreme Dünnwandigkeit ebenso wie die zierlichen Horizontalhenkel für die Schalen vom Typ 10 bislang jedoch noch kaum belegt sind²⁴⁷. Damit ist **Kat. 808** zwar im weitesten Sinne der Variante Typ 10.1 zugehörig, die Relation der Einzellemente zueinander verhält sich jedoch genau umgekehrt wie bei U. Schlotzhauer definiert²⁴⁸. Die Schalen vom Typ 10.1 stehen wie die frühen Varianten der Knickrandschalen vom Typ 9 auf hohen Kegelfüßen.

Kat. 1500 weist hingegen ganz im Sinne der Knickrandschalen Typ 10.1 am gesamten Fragment einen dunklen Überzug auf, über dem bei **Kat. 1500** an der Außenseite Reifen in Deckweiß aufgetragen wurden. Der kurze Rand ist bei **Kat. 1500** für die Schalen vom Typ 10 ungewöhnlich steil abgeknickt. Grundsätzlich sind in Deckrot und Deckweiß aufgetragene Reifen für Schalen der Typen 10.1 bis 10.3 denkbar; **Kat. 1500** lässt sich innerhalb dieser Möglichkeiten aufgrund des fragmentierten Erhaltungszustands nicht näher zuweisen.

Die Bodenfragmente **Kat. 868** und **Kat. 1401** mit weitem, niedrigem Wulststandring sind über ihren in Deckrot aufgetragenen Reifendekor im inneren Schalenboden als Schalen der Typen 10.2 oder 10.3 ausgewiesen²⁴⁹, die sich im Wesentlichen durch die deutlich tieferen Schalenbecken der Variante Typ 10.2 voneinander unterscheiden lassen. Von den Gefäßen **Kat. 868** und **Kat. 1401** ist zu wenig erhalten, als dass Rückschlüsse auf die ursprünglichen Proportionen zulässig wären.

Kat. 1094 und **Kat. 1344** sind demgegenüber aufgrund des flachen Wandverlaufs mit einiger Sicherheit als Knickrandschale der Variante 10.3 erkennbar, wobei in beiden Fällen eine Ansprache als späte Kalottenschale ebenfalls möglich wäre.

Die in den archaischen Siedlungsbefunden am prominentesten vertretene und vielleicht vielfältigste Variante sind Schalen vom Typ 10.4 mit einer im Vergleich zu den anderen Varianten stärkeren Gefäßwandung und insgesamt meist schwereren Proportionen. **Kat. 1031** und **Kat. 1095** zeigen eine Spielart der Knickrandschalen Typ 10.4 mit vollständig gefirnisstem Schalenbecken und unbemalter Außenseite, bei der kleinen Schale **Kat. 1093** ist am Innenrand ein Lippenband ausgespart und die Randaußenseite wie das innere Gefäßbecken mit einem Überzug versehen.

Im Verteilungsmuster der Herkunftsgruppen zeichnet sich für die Knickrandschalen vom Typ 10 mit den Herkunftsgruppen I, H und M mit 25 % ein Primat ephesischer Produktion ab (Diagramm 20). Eine klare Konzentration auf eine der Varianten ist nicht ersichtlich; vielmehr verteilen sich die Ephesos zugewiesenen Schalen auf die Varianten Typ 10.1 (**Kat. 1500**), Typ 10.2/Typ 10.3 (**Kat. 1401**) und Typ 10.4 (**Kat. 1031**, **Kat. 1093**).

Die Knickrandschalen vom Typ 10 begegnen in den archaischen Siedlungsbefunden (Diagramm 21) erstmals am Beginn der AG Phase IIIb mit dem nichtkanonischen Gefäß **Kat. 808**. Am Ende derselben AG Phase IIIb sind mit **Kat. 868** die Varianten Typ 10.2 bzw. Typ 10.3 belegt. Die Variante Typ 10.4 tritt mit **Kat. 1031** erst in AG Phase IV auf, was auf einen verzögerten Produktionsbeginn hindeuten könnte. U. Schlotzhauer hat für die Variante Typ 10.4 als jüngsten Vertreter des Typs eine Datierung seit dem zweiten Viertel des 6. Jahrhunderts vorgeschlagen; das untere Ende der Produktion setzt er mit dem beginnenden vierten Viertel des 6. Jahrhunderts fest²⁵⁰. **Kat. 1031** aus einem Bodenhorizont der AG Phase IV deutet aufgrund seiner Vergesellschaftung mit Knickrandschalen der älteren Varianten vom Typ 9 umgekehrt schon auf einen

²⁴⁷ s. Schlotzhauer 2012, 175 Nr. Nau 146 Taf. 32 c–e mit einer Datierung erst im 6. Jh.

²⁴⁸ Vgl. Schlotzhauer 1995, 47.

²⁴⁹ s. dazu auch Schlotzhauer 2012, 100–102 Nr. Nau 49–53 Taf. 11. 12 a. b.

²⁵⁰ s. Schlotzhauer 1995, 48 f.; Schlotzhauer 2014, 337–345.

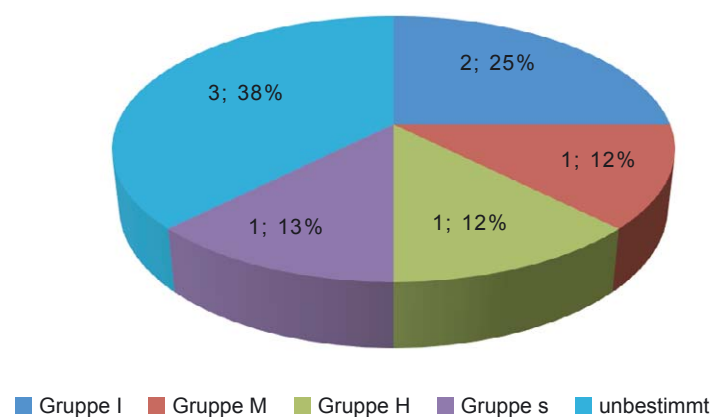


Diagramm 20 Herkunft der Knickrandschalen Typ 10

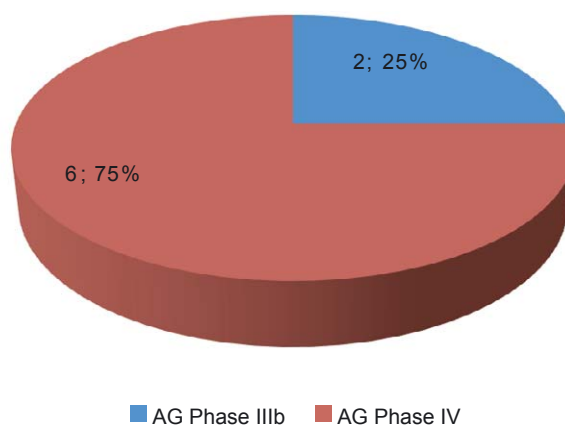


Diagramm 21 Verteilung der Knickrandschalen Typ 10

etwas früheren Beginn spätestens im ersten Viertel des 6. Jahrhunderts hin, wenn man davon ausgeht, dass der Bau der AG Phase IV unmittelbar auf die Aufgabe und Einplanung des Vorgängerbaus NB der AG Phase III folgte. Mit den zahlreichen aus Ashkelon und den wenigen aus Assesos publizierten Knickrandschalen der Variante Typ 10.4 scheint deren Datierung ebenfalls bereits im ausgehenden 7. Jahrhundert gesichert zu sein²⁵¹.

1.B.3.1.6g Knickrandschalen Typ 11

Große, tiefe Knickrandschalen mit unterschiedlicher Abfolge aus hellen und dunklen Zonen am Gefäßkörper werden als Schalen vom Typ 11 zusammengefasst. Sie stehen den Knickrandschalen der Variante Typ 10.4 nahe und datieren zwischen dem letzten Viertel des 7. Jahrhunderts und dem beginnenden 5. Jahrhundert²⁵².

²⁵¹ Vgl. dazu Waldbaum – Magness 1997, 27–29 Abb. 3; Kalaitzoglou 2008, 346 f. Nr. 18 Taf. 8; Nr. 20 Taf. 9; Waldbaum 2011, 181–204.

²⁵² Vgl. Schlotzhauer 1995, 49 Beil. 59–62; Schlotzhauer 2014, 115–118. 345–349; Schlotzhauer 2012, 102 f. Nr. Nau 54–56 Taf. 12.

Kat. 1501 zeigt ein gut erhaltenes Exemplar einer Knickrandschale vom Typ 11 mit am Gefäßkörper innen und außen umlaufenden Bändern, der hohe Rand steht steil über der bauchig eingezogenen Schulter auf, die rundstabigen Horizontalhenkel sind schräg nach oben gerichtet.

1.B.3.1.6h Wellenbandschalen

Die Wellenbandschalen sind in den archaischen Siedlungsbefunden von Ephesos mit nur einem Stück vertreten. **Kat. 1666** gehört zu einer relativ großen Schale mit tiefem Gefäßbecken und steilem Rand. Das bis auf ein Lippenband gefirnisste Gefäßinnere und das Wellenband an der Schulter unterhalb des bemalten Randes entsprechen dem für Wellenbandschalen üblichen Form- und Dekormuster; unterhalb des Schulterdekors sind am Gefäßbecken umlaufende Bänder zu erwarten²⁵³. Die Wellenbandschalen aus dem Zerstörungsbefund von Assesos bestätigen einen Datierungsansatz im späten 7. Jahrhundert²⁵⁴, wie er auch in der typologischen Verwandtschaft zu den besser erfassten Knickrandschalen vom Typ 11 zum Ausdruck kommt.

Dieser chronologische Ansatz ist auch für **Kat. 1666** mit seiner Fundlage in Horizonten, welche die Bau- und Nutzungsphase des Gebäudes HA 10 in der AG Phase IV bezeichnen, gültig. Seine wahrscheinliche Zugehörigkeit zu der Herkunftsgruppe B zeichnet **Kat. 1666** aber als singuläres Gefäß in der Reihe bisher bekannter Wellenbandschalen aus und ist umso bemerkenswerter, als sich für Wellenbandschalen ja insgesamt eine wesentlich geringere Popularität und ein kleinerer Verbreitungsradius abzeichnet als für die bisher besprochenen Knickrandschalen. Insofern muss eine Produktion des Typs in den Vogelschalenwerkstätten, wo die weitverbreiteten Knickrandschalen nach allem, was bekannt ist, kaum Niederschlag fanden, wie auch der Umlauf bis nach Ephesos, überraschen. In Analogie mit dem von M. Kerschner glaubhaft gemachten Ende der Vogelschalenwerkstatt als dominantem Exportzentrum²⁵⁵ Nordioniens im mittleren 6. Jahrhundert wird als untere Begrenzung des chronologischen Rahmens für **Kat. 1666** ebenfalls spätestens das mittlere 6. Jahrhundert wahrscheinlich.

1.B.1.3.6i Orientalisierende Knickrandschalen

Kat. 1260 ist das einzige Fragment einer orientalisierenden Knickrandschale aus den archaischen Siedlungsbefunden, von der sich der hohe, extrem dünnwandige Rand mit leicht kantiger Außenkontur erhalten hat. Damit vereint das Gefäß, soweit erkennbar, formale Merkmale der Knickrandschalen vom Typ 6 und vom Typ 8, die beide zwischen dem zweiten Viertel des 7. Jahrhunderts und dem beginnenden 6. Jahrhundert eingegrenzt werden. Dieser Datierungsansatz gilt ebenso für den Zeitraum orientalisierender Gefäßproduktion und wurde bereits von U. Schlotzhauer für die orientalisierenden Knickrandschalen ins Auge gefasst²⁵⁶. Die Befundlage aus dem älteren Nutzungshorizont in HA 7 stellte **Kat. 1260** bereits an das Ende der Laufzeit. Aus typologischer Sicht ist eine solche Einordnung jedoch unwahrscheinlich.

Das die Randaußenkante schmückende, doppelt geführte hohe Zickzackband steht motivisch noch in subgeometrischer Tradition und ist beispielsweise als Hauptdekor in der Schulterzone nordionischer Zickzackbandkotylen²⁵⁷ oder südionischer Knickrandskyphoi vertreten²⁵⁸ und

²⁵³ Zu den Wellenbandschalen vgl. Schlotzhauer 1995, 50 f. Beil. 63. 64. Sie entsprechen den kraterartigen Knickrandschalen vom Typ 13 in der neuen Klassifizierung bei Schlotzhauer 2014, 119–121. 350 f. s. außerdem Kalaitzoglou 2008, 72. 344 f. Nr. 7–9 Taf. 6. 7.

²⁵⁴ Dazu Kalaitzoglou 2008, 63.

²⁵⁵ Vgl. Kerschner 2002e, 75.

²⁵⁶ Schlotzhauer 1995, 56–70 Beil. 68–73; Schlotzhauer 2014, 99. 104 f. 109. Zu Tierfriesschalen milesischer Produktion s. außerdem Schlotzhauer 2000, 412 Abb. 293–296; zu Tierfriesschalen nordionischer Produktion vgl. Dupont 2000a, 452 Abb. 317. s. auch Kerschner 2017a, 107.

²⁵⁷ Vgl. dazu Kerschner 1995, 9 Abb. 5–7. s. außerdem Kleiner 1959/1960, 94 Nr. 7 a–c Taf. 79, 2; Özgünel 1978, 23 Abb. 26–29 Taf. 2. 3; Akurgal 2002, 109 Nr. 70 Abb. 37 Taf. 6.

²⁵⁸ s. dazu von Graeve 1973/1974, 51 Nr. 44 Abb. 18 Taf. 9; Schlotzhauer 1995, 30 Nr. 31 Beil. 11; Schlotzhauer 2014, 49 Nr. 48 Taf. 8; 492 Nr. 58 Taf. 9; 493 f. Nr. 65 Taf. 11.

weist **Kat. 1260** daher eher als frühes Exemplar orientalisierender Knickrandschalen aus. Da Knickrandschalen in den ephesischen Siedlungsbefunden allerdings erst ab AG Phase III relevant werden und es sich bei **Kat. 1260** um ein Gefäß handelt, das in der näheren Umgebung von Ephesos hergestellt worden sein dürfte (Herkunftsgruppe M), ist umgekehrt erst die zweite Hälfte des 7. Jahrhunderts als Datierungszeitpunkt plausibel. Für die Phase SiA Ib ist in Ephesos mit einem Dinos der Herkunftsgruppe I die Produktion orientalisierender Keramik seit dem dritten Viertel des 7. Jahrhunderts bereits belegt²⁵⁹.

1.B.3.1.7 Schalen mit ausgebogenem Rand

Wenige Schalen aus den archaischen Siedlungsbefunden zeichnen sich durch einen weniger abgeknickten denn ausgebogenen Rand aus, der an die dunkelgrundigen Skyphoi der zweiten Variante erinnert, die Gefäßbecken fallen aber wesentlich flacher aus. Dies macht gemeinsam mit der Fundsituation erstmals in den Benützungshorizonten der AG Phase IV und den Besonderheiten des Dekorsystems eine Interpretation dieser Schalen mit ausgebogenem Rand als eine Weiterentwicklung und Adaption der jüngeren Knickrandschalen vom Typ 9 und vom Typ 10 wahrscheinlich erst des mittleren 6. Jahrhunderts glaubhaft, die möglicherweise unter dem Eindruck attischer Importgefäße erfolgte.

Kat. 1096 ist mit dem bauchigen Schalenbecken und dem kurzen, abgebogenen Rand der Knickrandschale **Kat. 1093** vom Typ 10 aus demselben Befund verwandt und spiegelt auch deren Dekorsystem wider. **Kat. 1353** überträgt den gleichen Dekor auf ein größeres und flacheres Gefäß. **Kat. 1097** weist ebenfalls ein flaches Gefäßbecken und einen weiten Randdurchmesser auf und erinnert formal an die jüngeren Knickrandschalen vom Typ 9, mit denen auch das Dekorsystem des Gefäßinneren übereinstimmt; der kurze, abgebogene Rand und die bemalte Randaußenkante reflektieren dagegen die Knickrandschalen vom Typ 10. Die dickwandige Schale **Kat. 1718** mit kurzem, ausgebogenem Rand scheint an der Außenseite unbemalt gewesen zu sein, im Gefäßinneren war zumindest das Schalenbecken mit Überzug bedeckt.

Vergleichbare Schalen mit ausgebogenen Rändern sind aus ostgriechischen Befunden bislang kaum belegt; einzig **Kat. 1353** findet in Didyma ein Gegenstück, doch leider aus einem Befund, welcher der näheren zeitlichen Eingrenzung nicht dienlich ist²⁶⁰. Grundsätzlich sind Schalen mit ausgebogenem Rand im 6. Jahrhundert in Form der sog. Panionion-Schalen bekannt, die über ein sehr spezifisches Dekorsystem und einen glockenförmigen Schalenkörper mit hohem Kegelfuß als Gefäßtyp klar umrissen sind²⁶¹. Die Schalen mit ausgebogenem Rand aus den ephesischen Befunden werden den Kriterien der ›Panionion-Schalen‹ freilich nicht gerecht.

Wie der scherbentypologische Abgleich zeigen konnte, handelt es sich bei den Schalen mit ausgebogenem Rand nicht um eine spezifisch lokale Ausprägung; vielmehr verweist **Kat. 1097** mit der Herkunftsgruppe J nach Samos und **Kat. 1096** mit der Herkunftsgruppe SAK 3 auf eine Herstellung, die mit wenigen Ausnahmen auf die Produktion von Knickrandschalen spezialisiert gewesen zu sein scheint. Damit kommt einmal mehr die schon oben angesprochene Beziehung der Schalen mit ausgebogenem Rand zu den Knickrandschalen zum Ausdruck. **Kat. 1718** weist hingegen das schiefrige Fabrikat vieler ephesischer Gebrauchswaren auf, das auch die lokale Herstellung des Gefäßtyps glaubhaft machen kann.

²⁵⁹ Vgl. Kerschner u. a. 2002, 199–206.

²⁶⁰ s. dazu Tuchelt 1971, 61 Nr. 19 Abb. 5 Taf. 4. Zur Befundsituation »unter Fundament IIc« s. Tuchelt 1971, 50. 56 (Periode II). Vgl. außerdem eine kleine Schale mit ausgebogenem Rand aus Borysthenes in Čistov 2012, 184 Nr. 4 Taf. 25.

²⁶¹ Zu den Panionion-Schalen vgl. Kleiner u. a. 1967, 150–153 Taf. 3–5; Schattner 2006 mit weiterführender Lit. s. auch Kerschner 2008a, 36–38 Abb. 7. 8 Taf. 43.

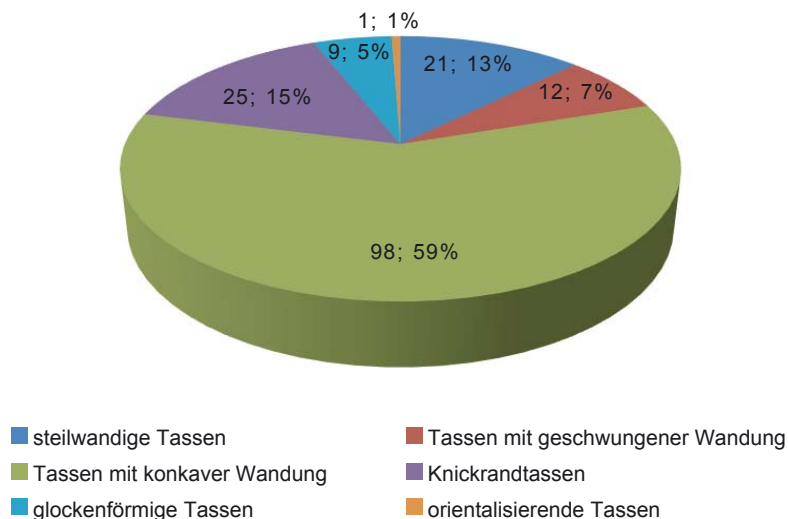


Diagramm 22 Übersicht der Tassen

1.B.3.1.8 Tassen

Mit den Tassen begegnet in den archaischen Siedlungsbefunden von Ephesos eine zweite Trinkgefäßform, die vor allem in südionischen Befunden prominent vertreten ist. Ähnlich wie bei den Knickrandschalen verzeichnen die Tassen ein breites Typenspektrum, das sich jedoch auf Formen des fortgeschrittenen 8. und 7. Jahrhunderts eingrenzen lässt (Diagramm 22), während im 6. Jahrhundert die Tasse im Repertoire der Trinkgefäße keine große Rolle mehr spielte²⁶².

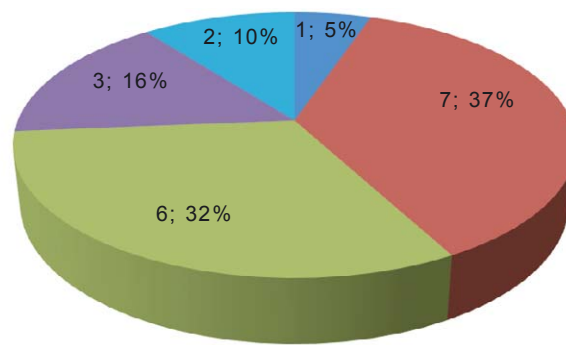
1.B.3.1.8a Steilwandige Tassen

Kat. 4, Kat. 11, Kat. 12, Kat. 128, Kat. 268, Kat. 269, Kat. 359, Kat. 436, Kat. 487, Kat. 570–Kat. 572, Kat. 591, Kat. 809, Kat. 838 und Kat. 1775 sind zu steilwandigen Tassen zu ergänzen, die sich im Profil durch einen zylindrischen bis steil konischen Wandverlauf auszeichnen. **Kat. 572** hebt sich durch eine kleine Rundstabilippe ab. Die Wandstärke steilwandiger Tassen kann, wie **Kat. 483** und **Kat. 567** anschaulich machen, variieren, und bei **Kat. 487** sind, während die meisten Gefäße eine gut geglättete Innenseite aufweisen, die Drehritzen noch deutlich erkennbar. Steilwandige Tassen zeichnen sich durch einen das ganze Gefäß bedeckenden Überzug aus, der diesen spät- und subgeometrischen Typ²⁶³ auch in seinem dunklen Gesamteindruck deutlich von den archaischen Typen unterscheidet, die eine zunehmende Aufhellung erfahren. **Kat. 269** nimmt mit dem unterhalb des Randes aufgehellten Feld bereits den typischen Dekor der archaischen Tassen mit konkaver Wandung vorweg (s. u. Kap. 1.B.3.1.8c).

Kat. 42, Kat. 745 und **Kat. 1667** zeigen eine Bodenvariante steilwandiger Tassen, bei der der flache Boden direkt in den Tassenkörper umbiegt; diese Variante ist wahrscheinlich eher für die späteren Vertreter des Typs zu erwarten, während sich die steilwandigen Tassen geometrischer Zeit durch einen kantigen Übergang vom Boden in die Wandung auszeichnen. Bei dem dickwandigen Gefäß **Kat. 1667** ist dabei direkt oberhalb des Bodens eine tongrundige Zone ausgespart, womit die Tendenz hin zur Aufhellung der Gefäßkörper, die für die archaischen Tassen bezeich-

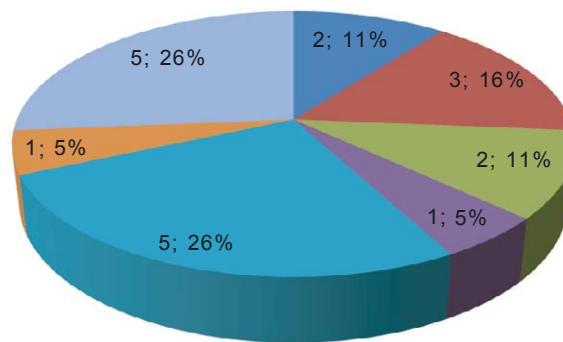
²⁶² Das Übergewicht der archaischen Schalen gegenüber den Tassen zeichnet sich bereits in den Befunden im Artemision und im Vediusgymnasium ab. Vgl. dazu Kerschner 1997a, 203; Kerschner 2008a, 26.

²⁶³ Zu den datierenden Befunden s. für Samos: Eilmann 1933, 57–60. bes. 58 Abb. 4 d. e.; Walter 1957, 40 Beil. 51, 2; Walter – Vierneisel 1959, 13 Beil. 14, 6. 7 (Brunnen F); Kopcke 1968, 269 f. Nr. 53 Abb. 20 Taf. 104; Furtwängler 1980, 159–161. 199 Nr. 3 Abb. 12. Zu Milet vgl. Kleine 1979, 148 Nr. 48 Abb. 18 Taf. 38; Kerschner 1999, 23 f. 43 Nr. 47 Abb. 12. Vgl. weiters Coldstream 1968, 290 Taf. 64 d.



■ AG Phase I ■ AG Phase II ■ AG Phase III ■ AG Phase IIIb ■ AG Phase IV

Diagramm 23 Verteilung der steilwandigen Tassen



■ Gruppe J ■ Gruppe I ■ Gruppe H ■ Gruppe M ■ Gruppe s ■ Ephe 77 ■ unbestimmt

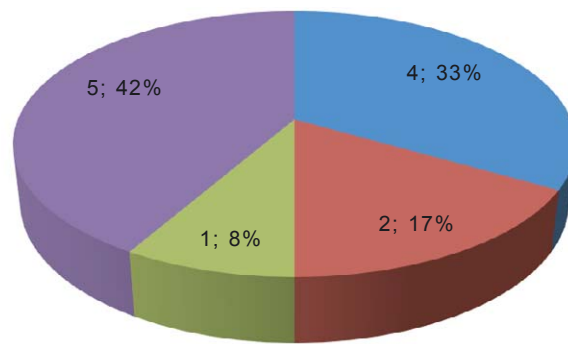
Diagramm 24 Herkunft der steilwandigen Tassen

nend ist, hier in der subgeometrischen Form bereits vorweggenommen wird. Bei **Kat. 1503** ist die Unterseite des Tassenbodens mit einem Kammbürstendekor versehen: von einem Mittelrund geht radial eine Gruppe von mindestens sechs schmalen Wellenbändern ab.

1.B.3.1.8b Tassen mit geschwungener Wandung

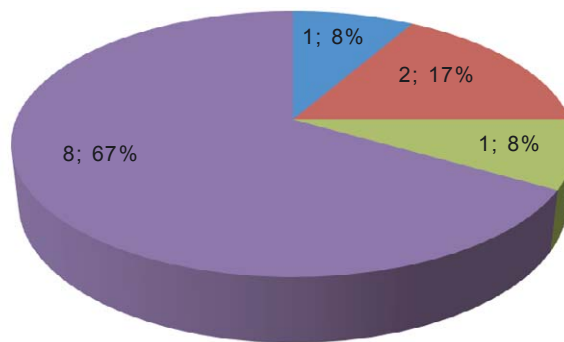
Etwas zeitlich versetzt zu den steilwandigen Tassen sind die in der Regel dünnerwandigen Tassen mit S-förmig profilierter Wandung und ausschwingendem Rand einzuordnen, die auf flachen Böden oder niedrigen Standringen ruhen können. Wie die steilwandigen Tassen weisen jene mit geschwungener Wandung meist einen flächigen Überzug auf (**Kat. 75. Kat. 167. Kat. 414. Kat. 503. Kat. 603. Kat. 1263. Kat. 1597**), der selten durch ein im Inneren umlaufendes Lippenband unterbrochen wird. In wenigen Fällen sind aber bereits aufgehellte Zonen an der Gefäßaußenseite ausgespart (**Kat. 1286**), die wie bei der kleinen Tasse **Kat. 958** Wellenbandzier tragen können. Damit scheinen die Tassen mit geschwungener Wandung bereits eine relativchronologisch jüngere Entwicklung im Tassenrepertoire zu verkörpern²⁶⁴, die sich typologisch bis in das

²⁶⁴ In samischen Befunden kommen flächig überzogene Tassen mit geschwungener Wandung vom späteren 8. bis in das ausgehende 7. Jh. vor. s. dazu Walter – Vierneisel 1959, 13 Beil. 14, 1 (Brunnen F); 19 Beil. 34, 3–5 (Brunnen G); Furtwängler 1980, 199 Nr. 6. 7 Abb. 12; 208 Nr. 1 Abb. 16. Vgl. auch Coldstream 1968, 290 Taf. 64 e.



■ AG Phase II ■ AG Phase III ■ AG Phase IIIb ■ AG Phase IV

Diagramm 25 Verteilung der Tassen mit geschwungener Wandung



■ Gruppe I ■ Gruppe s ■ Ephe 10 ■ unbestimmt

Diagramm 26 Herkunft der Tassen mit geschwungener Wandung

6. Jahrhundert verfolgen lässt und in ihrer spätesten Ausprägung als wesentlich kleinere und niedrigere, nun vollkommen unbemalt belassene Tasse (**Kat. 1506. Kat. 1790**) ihr Ende findet²⁶⁵. Beide Beispiele dieser spätesten Ausprägung des Typs aus den archaischen Siedlungsbefunden unter der Tetragonos Agora gehören der AG Phase IV an und waren in den Planierhorizonten, welche die Bauzeit der Hofhäuser an der Wende vom 7. zum 6. Jahrhundert datieren, vergesellschaftet. Auf Samos gehören vergleichbare und mit Dipinti versehene Tassen zum spezifischen Kultinventar im Heraion des 6. Jahrhunderts²⁶⁶.

²⁶⁵ Zu vergleichbaren Gefäßen in Samos s. Technau 1929, 33 Nr. 3 Abb. 25; Eilmann 1933, 58 Abb. 5; Isler 1978a, Abb. 41. 42 Taf. 40; Furtwängler 1980, 212 Nr. 5 Abb. 18 Taf. 50; 218–220 Nr. 1. 2 Abb. 22 Taf. 57; Furtwängler – Kienast 1989, 87–89 Abb. 14 Typ 6. 7; 133 Nr. 1 Abb. 28 Taf. 30. Unmittelbar mit den samischen Tassen sind jene aus Naukratis verwandt. Vgl. dazu Schlotzhauer 2006b; Schlotzhauer 2012, 116–118 Nr. Nau 78–82 Taf. 16. 17. Zu Klaros vgl. de La Genière – Jolivet 2003, 78 Nr. 6 Abb. 24.

²⁶⁶ Dazu Isler 1978b, 141–144; Kron 1984, bes. 292 f.; Furtwängler – Kienast 1989, 86–89; Schlotzhauer 2006b.

1.B.3.1.8c Tassen mit konkaver Wandung

Im zweiten Viertel des 7. Jahrhunderts kommt mit den Tassen mit konkaver Wandung²⁶⁷ ein sehr populärer Typ auf, der sich durch den spitzwinkligen Umbruch vom Boden in die konkav eingezogene Wandung, eine tongrundig ausgesparte und mit Reifen gefüllte Zone im unteren Wandbereich sowie ein ausgespartes Feld mit Horizontalstreifen unter dem Rand auszeichnet und auch an kleinen Fragmenten sehr gut zu erkennen ist. Im Material von Ephesos lässt sich die Entwicklung von den steilwandigen Tassen hin zu den Tassen mit konkaver Wandung gut nachvollziehen. **Kat. 43, Kat. 45, Kat. 99, Kat. 130, Kat. 168–Kat. 170, Kat. 173, Kat. 270, Kat. 271, Kat. 304, Kat. 360, Kat. 421, Kat. 437, Kat. 472, Kat. 473, Kat. 621, Kat. 656, Kat. 714, Kat. 721, Kat. 783, Kat. 839, Kat. 959, Kat. 1218, Kat. 1455, Kat. 1504, Kat. 1639, Kat. 1672, Kat. 1673, Kat. 1776–Kat. 1778, Kat. 1780–Kat. 1786 und Kat. 1842** stehen formal eigentlich noch den steilwandigen Tassen nahe und weisen einen weniger konkav eingezogenen denn konisch ausgestellten Wandverlauf auf; nur durch den spitzwinklig ausgezipfelten Wandansatz entsteht im unteren Wandverlauf eine konkave Einziehung, die in den steilkonischen Tassenkörper überleitet. Anders als bei den steilwandigen Tassen treten die aufgehellten Zonen im Rand- und unteren Wandbereich bereits als verbindliches Dekorelement auf, die Innenseite schmücken manchmal schmale Lippenbänder. Ornamentale gestaltete Henkel wie im Falle von **Kat. 1841**, wo am Anschluss an die Gefäßlippe ein tongrundiger Zwickel ausgespart bleibt, sind selten²⁶⁸.

In der weiteren typologischen Entwicklung rückt die konkave Einziehung vom unteren in den mittleren Wandbereich, sodass wie bei **Kat. 100, Kat. 101, Kat. 171, Kat. 172, Kat. 174, Kat. 175, Kat. 271, Kat. 438, Kat. 439, Kat. 489, Kat. 541, Kat. 542, Kat. 604, Kat. 620, Kat. 655, Kat. 680, Kat. 681, Kat. 715, Kat. 722, Kat. 723, Kat. 724, Kat. 810–Kat. 812, Kat. 840, Kat. 841, Kat. 1000, Kat. 1219, Kat. 1244, Kat. 1404, Kat. 1669, Kat. 1671, Kat. 1673, Kat. 1779, Kat. 1843, Kat. 1844 und Kat. 1894** das namensgebende konkave Wandprofil entsteht. Dafür, dass diese relative typologische Entwicklung Ausdruck einer kohärent verlaufenden chronologischen Abfolge sein könnte, ergeben sich auf Basis der archaischen Siedlungsbefunde in Ephesos keine positiven Hinweise, da beide Varianten seit der AG Phase II gemeinsam vorkommen (Diagramm 27. 28). **Kat. 361, Kat. 461, Kat. 746, Kat. 747 und Kat. 1670** weichen mit den großzügiger angelegten tongrundigen Flächen vom insgesamt noch vorherrschenden, aus geometrischen Traditionen übernommenen Dekorprinzip der Tassen mit konkaver Wandung ab und gehören wahrscheinlich schon an das Ende ihrer Entwicklung, die im dritten Viertel des 7. Jahrhunderts angesetzt wird.

Das Verteilungsmuster in den archaischen Siedlungsbefunden zeigt demgegenüber eine massive Präsenz der Tassen mit konkaver Wandung bis in jene Horizonte auf, welche die Aufgabe der AG Phase IV kennzeichnen (Diagramm 27). Gemeinsam mit dem hohen Produktionsanteil lokaler Werkstätten (29 %) könnte hier wie bei den Trinkgefäßen mit Zickzackmetopendekor eine gegenüber anderen Zentren konservative Keramikproduktion ephesischer Werkstätten zum Ausdruck kommen (Diagramm 28). Auch die Tassen mit dem für ephesische Gebrauchswaren kennzeichnenden rötlichen Fabrikat sind mit **Kat. 304, Kat. 721, Kat. 908 und Kat. 1673** von den AG Phase II(b) bis in die Bodenhorizonte der AG Phase IV vertreten.

1.B.3.1.8d Knickrandtassen

Die dritte große Gruppe neben den steilwandigen Tassen und den Tassen mit konkaver Wandung bilden die Knickrandtassen. Sie zeichnen sich durch ein mehr oder weniger tiefes, gerundetes

²⁶⁷ Zur Form vgl. Walter 1957, 47 f. Beil. 70, 3; Walter – Vierneisel 1959, 19 Beil. 39, 6–8 (Brunnen G); Furtwängler 1980, 159–161; Kerschner 1997a, 194. 213; Kerschner 1999, 24; Kerschner 2008a, 38 f.

²⁶⁸ Im Zusammenhang attischer Glanztonwaren des späten 6. und 5. Jhs. wurde der vergleichbare Henkeldekor bei Trinkgefäßen zuletzt als Reflex metallener Vorbilder interpretiert, deren doppelstabile Vertikalhenkel sich an der Mündung verzweigen. Vgl. dazu Walsh – Antonaccio 2014, 59 f. Abb. 10.

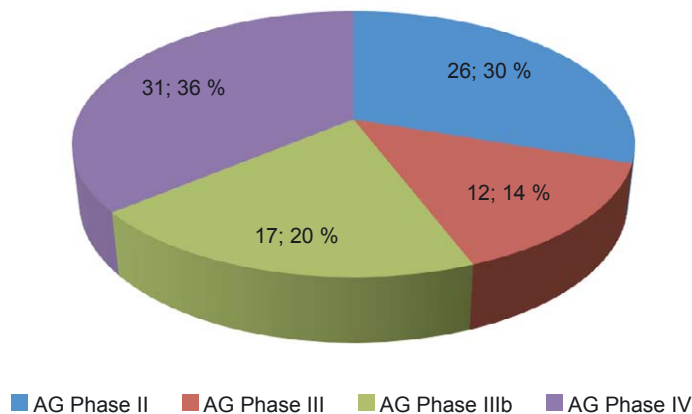


Diagramm 27 Verteilung der Tassen mit konkaver Wandung

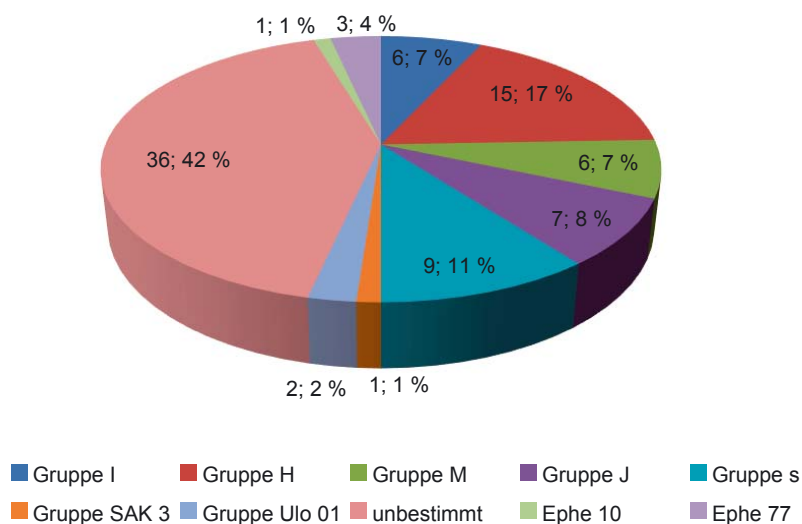


Diagramm 28 Herkunft der Tassen mit konkaver Wandung

Tassenbecken mit einem engen, flachen Boden (**Kat. 177**, **Kat. 622**, **Kat. 1677**) und einen abgeknickten, steilgeraden bis leicht ausgestellten Rand aus, der in seiner Höhe stark variieren kann. Während **Kat. 131**, **Kat. 362**, **Kat. 544**, **Kat. 573**, **Kat. 813**, **Kat. 1220**, **Kat. 1598**, **Kat. 1675**, **Kat. 1676**, **Kat. 1787–Kat. 1789** und **Kat. 1845** mit einem schalenförmigen Gefäßkörper einen relativ kurzen, leicht ausgestellten Knickrand ausbilden, wie er in ähnlicher Form von den Knickrandskyphoi und Knickrandschalen des 7. Jahrhunderts bekannt ist, zeichnen sich **Kat. 252**, **Kat. 272**, **Kat. 725**, **Kat. 1100**, **Kat. 1457**, **Kat. 1505** und **Kat. 1674** durch eine bauchig einziehende Schulter und einen senkrecht darauf stehenden Rand aus, der den Tassen den Charakter eines geschlossenen Gefäßes verleiht; bei **Kat. 543** geht der Tassenkörper darüber hinaus ohne markanten Knick in den einziehenden Rand über. **Kat. 319**, **Kat. 1456** und **Kat. 1502** bilden hingegen einen im Verhältnis zu dem zu erwartenden Gefäßkörper überhöhten Rand aus. **Kat. 178** zeigt mit dem kantig abgesetzten Rand ein morphologisches Detail, das bereits von den dunkelgrundigen Knickrandskyphoi aus Ephesos bekannt, bei den Knickrandtassen hingegen nicht geläufig ist. Auch **Kat. 440** wiederholt mit dem konkav geschwungenen Rand ein Formdetail, das ansonsten für die Knickrandskyphoi vom Typ 1 (**Kat. 266**) bezeichnend ist. Obwohl sich für die Knickrandtassen mitunter die Schwierigkeit ihrer Abgrenzung von den dunkelgrundigen Knickrandskyphoi und den Knickrandschalen vom Typ 6 ergeben kann, so

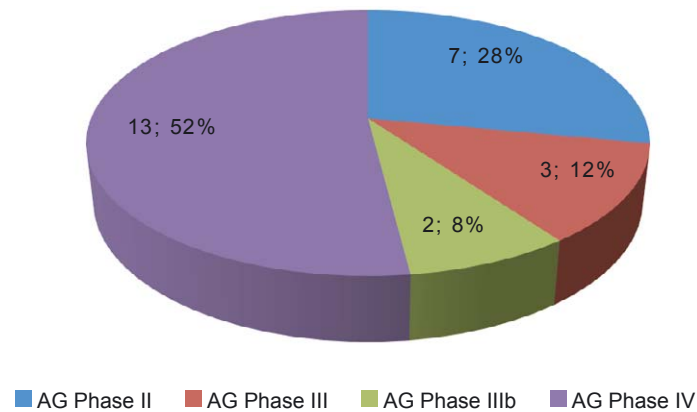


Diagramm 29 Verteilung der Knickrandtassen

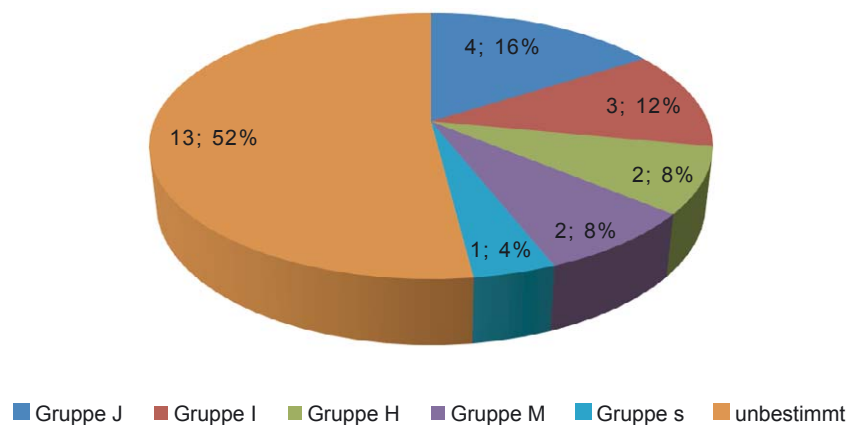


Diagramm 30 Herkunft der Knickrandtassen

gibt es doch Indikatoren, die allein oder in Kombination eine Identifikation auch kleinerer Fragmente als Knickrandtassen rechtfertigen. Zum einen zeichnen sich Knickrandtassen durchwegs durch kleinere Proportionen aus, als sie für Knickrandskyphoi und Knickrandschalen üblich sind, gleichwohl auch diese Gefäßformen bisweilen recht klein ausfallen können (z. B. **Kat. 1027**). In diesem Fall hilft das Dekorsystem, wenn es sich in hinreichendem Ausmaß am Fragment erhalten hat. Die meisten Knickrandtassen weisen eine vollständig mit einem Überzug bedeckte Außenseite auf; bei **Kat. 272** zeichnet sich unterhalb des Randes ein ausgespartes Feld nach dem Vorbild der Tassen mit konkaver Wandung, allerdings ohne Reifenzier, ab, während bei **Kat. 573** der untere Gefäßkörper aufgeheilt und mit einem Reifen geschmückt ist und **Kat. 1100** ebenfalls bis auf ein Band am Randansatz unbemalt bleibt. Im Inneren sind die Knickrandtassen meistens nur im Randbereich bemalt, während das Tassenbecken selten Dekor aufweist. Das aufgehellte Gefäßbecken unterscheidet die Tassen deutlich von den dunkelgrundigen Knickrandskyphoi, das Fehlen eines tongrundigen Bandes an der Gefäßschulter und der konsequente Verzicht auf ein Lippenband hebt die Knickrandtassen weiters deutlich von den Knickrandschalen vom Typ 6 ab. Darüber hinaus sind vertikale Henkel nur für Tassen, nicht für Schalen und Skyphoi möglich.

Knickrandtassen sind ein Phänomen des ausgehenden 8. und 7. Jahrhunderts. In Samos findet die Variante mit bauchig eingezogener Schulter seit dem letzten Viertel des 8. Jahrhunderts Verbreitung²⁶⁹. Die schalenförmigen, flachen Tassen mit ausgestellttem Rand sind in Samos vom

²⁶⁹ Vgl. Walter – Vierneisel 1959, 13 Beil. 14, 5 (Brunnen F).

ausgehenden 8. bis in das ausgehende 7. Jahrhundert nachgewiesen, in Ephesos tritt ein vergleichbares Stück mit der Opferschicht E im Artemision ebenfalls in einem Befund des letzten Jahrhundertviertels auf²⁷⁰. Aus Milet sind bislang keine Knickrandtassen publiziert und nur in Einzelfällen belegt²⁷¹. Die Laufzeit der Gefäßform mindestens bis in das ausgehende 7. Jahrhundert zeigt sich auch im Verteilungsmuster der archaischen Siedlungsbefunde (Diagramm 29), wo das Gros der Knickrandtassen (52 %) aus Befunden stammt, welche die Bauzeit der AG Phase IV angeben und in denen vornehmlich jene Gefäße enthalten sind, die in den Vorgängerphasen in Benützung waren. Wie bei den Tassen mit konkaver Wandung haben die lokalen/regionalen Werkstätten der Herkunftsgruppen I, H und M mit 28 % (Diagramm 30) den größten Anteil an den bestimmaren Knickrandtassen vor dem samischen Import (Herkunftsgruppe J).

1.B.3.1.8e Glockenförmige Tassen

Kat. 76, Kat. 102, Kat. 129, Kat. 132, Kat. 1287 und **Kat. 1719** zeichnen sich wiederum durch eine geschwungene Wandung aus, doch verläuft das Profil dieser Tassen grundsätzlich weniger S-förmig, sondern erhält durch die einziehende Schulter mit dem weniger weit ausschwingenden Rand einen glockenförmigen Schwung geschlosseneren Charakters, als er die Tassen mit S-förmig geschwungener Wandung kennzeichnet. Diese glockenförmigen Tassen scheinen im Gegensatz zu den vorher besprochenen Typen aufgehellten Zonen sowohl an der Innen- als auch an der Außenseite mehr Platz einzuräumen und können, wie **Kat. 76** zeigt, auch Wellenbanddekor aufweisen. **Kat. 1287** und **Kat. 1719** belegen auch für die glockenförmigen Tassen flache Böden. Das aufgehellte Dekorsystem der glockenförmigen Tassen spricht für ihre chronologische Einordnung nicht allzu lange vor der Mitte des 7. Jahrhunderts²⁷²; mit **Kat. 76, Kat. 102, Kat. 129** und **Kat. 132** sind glockenförmige Tassen schon in der AG Phase II gegenwärtig und fallen dort, soweit erkennbar, auch noch wesentlich dunkler aus als **Kat. 1287** und **Kat. 1719** aus den Befunden der AG Phase IV (Diagramm 31). Die zunehmende Aufhellung der Gefäßoberflächen im Laufe des 7. Jahrhunderts lässt sich demnach auch an dieser kleinen Gruppe glockenförmiger Tassen gut aufzeigen.

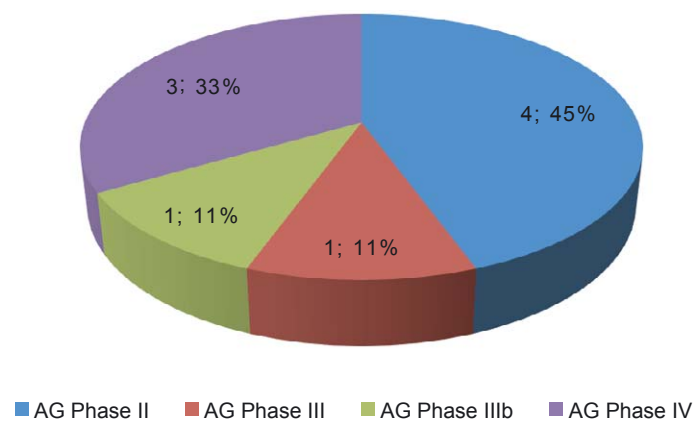


Diagramm 31 Verteilung der glockenförmigen Tassen

²⁷⁰ Zu Samos vgl. Walter – Vierneisel 1959, Beil. 34, 6. 7 (Brunnen G); Furtwängler 1980, 199 Nr. 8 Abb. 12. Zu Ephesos vgl. Kerschner 1997a, 181. 127 Nr. 36 Taf. 5.

²⁷¹ Für diesen Hinweis danke ich besonders U. Schlotzhauer, dem in Milet die Bearbeitung der Tassen obliegt. Vom Kalabaktepe sind nach der freundlichen Information von M. Kerschner ebenfalls einige wenige Knickrandtassen belegt (Inv. K08/42.15. K08/111.10).

²⁷² Vgl. dazu etwa Walter – Vierneisel 1959, 19 Beil. 40, 6 (Brunnen G); Kerschner 1997a, 135 f. Nr. 52 Taf. 7 Abb. 47.

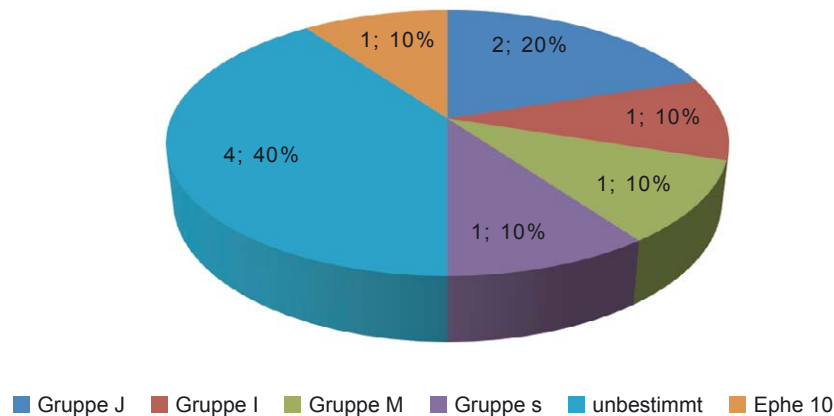


Diagramm 32 Herkunft der glockenförmigen Tassen

1.B.3.1.8f Orientalisierende Tassen

Zwei Tassenfragmente sind mit orientalisierendem Dekor versehen. Das samische Gefäß **Kat. 318** entspricht formal den Tassen mit konkaver Wandung, unterscheidet sich von deren herkömmlichem Erscheinungsbild jedoch durch den außenseitig aufgetragenen Malgrund, über dem oberhalb dreier umlaufender Reifen ein orientalisierender Ornamentfries aufgemalt ist, von dem sich die untere Reihe eines punktgefüllten Schlaufenbandes erhalten hat. Dieser Dekor gehört zu den beliebtesten Ornamenten der Phase SiA Ib und kann das Gefäß damit auf das dritte Viertel des 7. Jahrhunderts eingrenzen²⁷³.

Das Fragment **Kat. 869** vom flachen Boden einer Tasse trägt an seiner Unterseite einen flächigen Dekor aus in ein Gittermuster eingesetzten gefüllten Quadraten, das für Gefäße des späten Tierfriesstils im nördlichen Ionien und in der Äolis nachgewiesen ist²⁷⁴ und damit zwischen dem ausgehenden 7. und dem ersten Viertel des 6. Jahrhunderts eingeordnet werden kann. Das Fabrikat des Fragments erinnert dagegen an milesische Keramik, wie auch die Gefäßform der Tasse eher im südlichen Ionien anzusiedeln ist. N. Panteleon hat mich freundlicherweise darauf aufmerksam gemacht, dass vergleichbarer Dekor in Milet als flächiger Bodenschmuck und als Zwickeldekor großer Volutenkessel und -kratere²⁷⁵ schon in den Stilstufen MiA Ib und MiA Ic nachgewiesen ist²⁷⁶.

1.B.3.1.9 Kantharoi

Die Gefäßform des Kantharos zählt zu dem ostgriechischen Trinkgefäßrepertoire der spätgeometrischen Zeit und zeichnet sich durch ein tiefes, leicht bauchiges Gefäßbecken, einen hohen, steilen Rand und zwei überrandständige vertikale Bandhenkel aus. Die Gefäßaußenseite weist

²⁷³ Vgl. Kerschner – Schlotzhauer 2005, 17–25. Zu dem Motiv s. außerdem von Graeve 1973/1974, 105 f. Nr. 98. 104. 106 Taf. 28; von Graeve 1975, 47 f. Nr. 23 Taf. 6; Käuffer 2006, Nr. 157. 158 Taf. 8. Zu dem orientalisierenden Dekor auf Tassen vgl. weiters von Graeve 1975, 48 Nr. 29 Taf. 7. N. Panteleon hat mich freundlicherweise darauf hingewiesen, dass sich der erhaltene Dekor auch zu einem Kolbenband ergänzen ließe, das als Vorläufer des Schlaufenbandes häufig Binnendekor trägt. Vgl. dazu Panteleon 2013, Nr. 19–23 Taf. 80. Die Gesamtproportion des Dekors spricht aber im Falle von **Kat. 318** meiner Ansicht dennoch eher für ein Schlaufenband. Aus dem Artemision ist bei Kerschner 2005b, 138 eine orientalisierende Tasse ebenfalls mit konkaver Wandung bezeugt, die bereits früher in der Stilstufe A Ia eingeordnet wird.

²⁷⁴ Vgl. Boitani-Visentini 1978, 216 Abb. 1.1 Taf. 90; Boldrini 1994, 92 Nr. 157. s. außerdem Panteleon 2013, 204 Abb. 19.

²⁷⁵ Zu den Volutenkesseln hat sich zuletzt Kerschner 1997b zusammenfassend mit Literaturangaben geäußert. Vgl. ergänzend dazu außerdem Liddy 1988, 29–32, bes. 30. 32 Abb. 18 c.

²⁷⁶ Dazu Panteleon 2013 I, 144. 146; Panteleon 2013 II, 37 Nr. 155 Taf. 94.

meistens einen aufwendigen, in Bildmetopen untergliederten Dekor auf, den hohen Rand schmücken umlaufende Friese²⁷⁷.

Das einzige, mit einiger Sicherheit als Kantharos anzusprechende Gefäß **Kat. 1846** aus den archaischen Siedlungsbefunden gehört hingegen zur Gattung der Grauen Ware. Das tiefe, konvexe Schalenbecken, der deutlich abgesetzte, steile Randansatz und der Ansatz zu einem vertikalen Bandhenkel machen das Fragment als Kantharos kenntlich. Kantharoi der Grauen Ware sind zwischen dem ausgehenden 7. Jahrhundert und dem mittleren 6. Jahrhundert im nördlichen Westkleinasiens, besonders in der Äolis und den vorgelagerten Inseln, verbreitet²⁷⁸; in Ionien sind sie kaum belegt.

Im Verhältnis zu der großen Anzahl unterschiedlicher Trinkgefäße aus den archaischen Siedlungsbefunden in Ephesos sind die Kantharoi mit nur einem Gefäß deutlich unterrepräsentiert. Insgesamt scheinen sich Kantharoi jedoch in Ionien wenig etabliert zu haben. Allein in den Heiligtumsbefunden von Samos und Chios zeichnet sich ein größeres Vorkommen ab, während Kantharoi in Milet als mittlerweile gesichertem Zentrum früher ionischer Keramikproduktion ebenso wenig wie in Ephesos eine Rolle gespielt zu haben scheinen. Möglicherweise wurde die originär festlandgriechische Form des Kantharos in einem spezifischen funktionalen und sakralen Zusammenhang nach Samos und Emporion übernommen, der für Milet und Ephesos nicht vorlag. Neben einer funktionalen Einschränkung der Gefäßform mag auch die zeitliche Stellung der ephesischen Siedlungsbefunde nach dem 8. Jahrhundert für das weitgehende Fehlen der Kantharoi verantwortlich sein, die als originär außerionische Gefäße kein Weiterleben in archaischer Zeit verzeichnen, wie es sich umgekehrt für die Trinkgefäße mit ionischen Traditionen deutlich abzeichnet. So stammt auch das einzige andere bislang belegte Fragment eines Kantharos (**Kat. 2504**) vom nordwestlichen Ausläufer des Panayırdağ, wo das älteste Material bis in das mittlere 8. Jahrhundert zurückreicht (s. u. Kap. 1.B.2.1.7)

1.B.3.1.10 Chiotische Trinkgefäße

Innerhalb der ostgriechischen Keramikproduktion wurden die chiotischen Gefäße aufgrund ihrer technologischen, stilistischen und typologischen Besonderheiten schon früh als eigenständige Gruppe erfasst²⁷⁹ und aufgrund ihres Fundaufkommens zunächst dem griechischen Naukratis in Ägypten zugewiesen²⁸⁰. Die Zuweisung an die Insel Chios gilt mittlerweile als gesichert²⁸¹, wobei auch die Chios gegenüberliegende nordionische Küstenstadt Erythrai von C. Bayburtluoğlu als mögliches Herstellungszentrum chiotischer Keramik vorgeschlagen wurde²⁸² und zuletzt von B. Hürmüzlü auch für Klazomenai eine lokale Produktion nach chiotischem Vorbild wahrscheinlich gemacht werden konnte²⁸³.

²⁷⁷ Zur Gefäßform vgl. Technau 1929, 12 f.; Eilmann 1933, 91–103; Boardman 1967, 119; Walter 1968, 35–39 Taf. 26–31.

²⁷⁸ Vgl. dazu Uthmann 1999, 84 f. 248 Nr. 679. 683 Abb. 38. Allgemein zur Form s. Bayne 2000, 141 f. s. außerdem Boehlau – Schefold 1948, 122 f. Abb. 48 a. b; Ghali-Kahil 1960, 72 Nr. 128 Taf. 30.

²⁷⁹ Erstmals bei Petrie 1886, 18. 50–52 und in einer umfassenderen Studie zuerst bei Price 1924, 205–222. Zuletzt hat sich Lemos 1991 ausführlich mit den chiotischen Feinwaren und Trinkgefäßen auseinandergesetzt. Ein zusammenfassender Überblick liegt bei Cook – Dupont 1998, 46–51. 71–76; Kerschner – Mommsen 2009, 129–133 und Coulié 2013, 179–181 vor.

²⁸⁰ Die ältere Literatur spricht hier vom Naukratischen Stil/Naucratis Style. Vgl. auch Coulié 2013, 181 f.

²⁸¹ Vgl. Dupont 1983, 30 f. 41; Jones 1986b, 282–288; Dupont – Thomas 2006, bes. 80. Zu den jüngsten naturwissenschaftlichen Analysen an chiotischer Keramik aus dem Heiligtum von Katane vgl. Kerschner – Mommsen 2009, 133–136.

²⁸² Dazu Bayburtluoğlu 1978, 30; s. auch Dupont 1983, 24 f.; Williams 1983, 181 f. und zuletzt zusammenfassend bei Kerschner – Mommsen 2009, 135 f.

²⁸³ s. Hürmüzlü 2008.

1.B.3.1.10a Chiotische Tassen

Kat. 657 ist einer chiotischen Tasse zugehörig, wie sie in den Befunden von Emporion in der Phase 4 des Hafenheiligtums eine enge Parallele findet²⁸⁴ und damit vergleichbar in das letzte Viertel des 7. Jahrhunderts zu datieren sein wird. Der helle Gefäßüberzug als auch das Fabrikat bezeugen eine chiotische Provenienz des Gefäßes, das mit den südionischen Tassen der beiden mittleren Viertel des 7. Jahrhunderts den konkaven Wandverlauf gemeinsam hat. In Chios selbst sind Tassen mit konkaver Wandung seit dem beginnenden 7. Jahrhundert vertreten und werden dort mit kleinen Standringen versehen.

1.B.3.1.10b Chiotische Schalen/Phialen

Das kleine Wandfragment **Kat. 1101** lässt sich zu einer flachen Schalenform ergänzen, wie sie in der chiotischen Keramik vornehmlich von Phialen mit Omphalos bekannt ist²⁸⁵, deren Inneres aufwendig mit polychromem, vegetabilem Dekor und Zungenfriesen gestaltet ist. Polychrome Dekorsysteme kennzeichnen die chiotische Feinkeramik der ersten Hälfte des 6. Jahrhunderts. Vom Dekor haben sich bei **Kat. 1101** nur spärliche Reste von dunklem Firnis und Deckrot über dem hellen Überzug erhalten, deren alternierende Abfolge in vertikalen Sequenzen jedoch unmittelbar an die Zungenfrieze bekannter Omphalosschalen des zweiten Viertels des 6. Jahrhunderts erinnert²⁸⁶.

Phialen gehören neben Kelchen und Kantharoi zu jenen chiotischen Gefäßformen, welche einen recht weiten Verbreitungsradius in der Ägäis verzeichnen und auch in Ephesos bisher zumindest mit einem Stück aus dem Artemision vertreten sind²⁸⁷.

1.B.3.1.11 Trinkgefäße lydischen Typs

Die Keramik lydischen Typs (s. u. Kap. 2.B.2.11) bleibt in den archaischen Siedlungsbefunden unter der Tetragonos Agora auf nur einen Vertreter der ovoiden Kotylen beschränkt.

1.B.3.1.11a Ovoide Kotylen

Kat. 1102 vertritt eine in ostgriechischen Befunden weniger verbreitete Trinkgefäßform mit tiefem ovoidem Gefäßkörper und glatter, eingezogener Mündung, die gute Parallelen bei den Kotylen lydischer Produktionen des 6. Jahrhunderts findet (s. u. Kap. 2.B.2.11.1). Mit dem Eindringen lydischer Vorbilder in den ostgriechischen Raum ist spätestens seit dem ausgehenden 7. und dem beginnenden 6. Jahrhundert zu rechnen, als das Lyderreich unter König Alyattes und später König Kroisos militärisch und politisch auf Ionien ausgriff²⁸⁸. In diesem Zusammenhang spielen Ephesos und das ephesische Artemision eine besondere Rolle, gehört Letzteres doch zu den wenigen Fundorten Ioniens²⁸⁹, wo Keramik lydischen Typs in größerer Anzahl vertreten ist²⁹⁰.

²⁸⁴ Boardman 1967, 123. 125 Nr. 315 Taf. 37. Zur Grundform vgl. außerdem Boardman 1967, 124 Abb. 25. s. auch Williams 1983, 178–180.

²⁸⁵ Zu den chiotischen Omphalosschalen vgl. Boardman 1968; Hayes 1973, 26 Nr. 2051 Abb. 10 Taf. 16; Williams 1983, 180 f. Nr. 169 Abb. 20; Lemos 1991, 85. 120 Nr. 814 Taf. 114. 115; 121 Nr. 1075 Taf. 148; Nr. 1081 Taf. 151; Pautasso 2009, 103 Nr. 225–228 Abb. 27. 28 Taf. 15 und Taf. C.

²⁸⁶ Vgl. dazu Hayes 1973, 25 ›deposit 2‹ in Taucheria; Lemos 1991, 121 Nr. 1075 Taf. 148.

²⁸⁷ s. dazu Cook 1949, 159; Boardman 1968, 13.

²⁸⁸ Vgl. dazu zusammenfassend Kerschner 2005a, bes. 131; Kerschner 2006f, 254–256 mit weiterer Lit.

²⁸⁹ Lydische oder lydiesierende Keramik ist außerdem aus Befunden in Kyme, Larisa am Hermos, Pergamon, Phokaia, Smyrna und Metropolis bekannt. Für Klazomenai konnte eine lokale Produktion lydiesierender Keramik in der 1. Hälfte des 6. Jhs. nachgewiesen werden. s. dazu Ersoy 2003, 254–257; vgl. auch Kerschner 2005a, 134–141; Kerschner 2006f; Kerschner 2008d, bes. 227 f.; Coulié 2013, 171 f.; Kerschner 2017a, 106 f.

²⁹⁰ Kerschner 2005a, 134–139, Kerschner 2008d, 227–229 und zuletzt Kerschner 2010a. Insgesamt fällt das Fehlen explizit lydischer Keramik (ephesische Ware, ›Marbled ware‹, ›Black-on-red ware‹, ›Bichrome ware‹) in den

Das Randfragment **Kat. 1102** lässt sich an die von M. Kerschner für die ovoiden Kotylen definierte Dekorgruppe (d2) anschließen (s. u. Kap. 2.B.2.11.1b), ohne dieser jedoch völlig zu entsprechen, was für die ostgriechischen Imitationen des Gefäßtyps in lydisierender Manier nicht ungewöhnlich ist²⁹¹. Als ostgriechische Imitation ist **Kat. 1102** mit seiner mikroskopisch ermittelten Zugehörigkeit zur samischen Herkunftsgruppe J erkennbar²⁹². Die Dekorweise aus flächig gefirnisstem Gefäßinneren und tongrundig belassener Außenseite begegnet in Ephesos bei einer zweiten Kotyle aus einem spätarchaischen Befund an der Nordostterrasse des Panayırdağ²⁹³.

1.B.3.2 MISCHGEFÄSSE

Große, offene Gefäßformen wie Kratere und Dinoi sind in ihrer gesicherten Funktion als Mischgefäße für Wein eng mit dem sozialen Phänomen des gemeinsamen, auch ritualisierten Trinkens verbunden. Als solche sind sie wichtige Indikatoren komplexer Handlungsabläufe in einem sozialen Interaktionsambiente, wie es in Heiligtümern zu erwarten und in ostgriechischen Heiligtümern auch hinlänglich nachgewiesen ist²⁹⁴. In Grabbefunden stellen Mischgefäße in repräsentativer Weise die Einbindung des Verstorbenen und seiner Angehörigen in eben dieses gehobene soziale Netz dar. Das Auftreten von Mischgefäßen in Siedlungsbefunden ist insofern interessant, als es vielschichtige Abläufe auch im alltäglichen Zusammenleben vermuten lässt.

Aufgrund des stark fragmentierten Erhaltungszustands der Mischgefäße aus den archaischen Siedlungsbefunden beruht die Einteilung nicht konsequent auf formalen oder dekorativen Merkmalen, sondern fallweise auf eben jenem Charakteristikum, welches eine Ansprache und chronologische Einordnung erlaubt.

1.B.3.2.1 Kratere

1.B.3.2.1a Geometrische/subgeometrische Kratere

Die ionischen Kratere geometrischer Zeit²⁹⁵ zeichnen sich durch tiefe, bauchige Gefäßkörper mit einziehender Schulter aus, auf der ein kurzer, keilförmig verdickter Rand mit meist nach außen abgeschrägter Oberkante und mitunter leicht abgesetzter Lippe aufsitzt (**Kat. 13. Kat. 179. Kat. 749. Kat. 910. Kat. 1405. Kat. 1458. Kat. 1507–Kat. 1509. Kat. 1599. Kat. 1640. Kat. 1679. Kat. 1680. Kat. 1792**). Die Gestaltung der Randaußenkante mit einem eingeritzten Wellenband (**Kat. 239. Kat. 1791**) gehört dabei mit zu den seit spätgeometrischer Zeit am häufigsten auftretenden Dekormerkmalen, die vor allem auf Gefäßen samischer Produktion anzu-

Agora-Befunden und an der Nordostterrasse des Panayırdağ auf (von Miller 2013), während diese im Artemision und in wenigen Exemplaren auch am Nordwestabhang des Panayırdağ sehr wohl vertreten ist. s. dazu Hogarth 1908, 218 f. 221–223; Brein 1978b, 276–278; Kerschner 1997a, 208 f.; Kerschner 2005a, 134–139; Kerschner 2006f, 272–274; Kerschner 2007, 233–235, Kerschner 2008b, 130; Kerschner 2008d, 227–229 und den Beitrag von M. Kerschner in Kap. 2.B.2.11 in diesem Band. Allgemein zu lydischem Material in griechischen Heiligtümern s. Buxton 2002; Kerschner 2006f; zu den lydischen Keramikgattungen vgl. Schaus 1992; Gürtekin-Demir 2002.

²⁹¹ Einen besonders guten Überblick zur Gefäßform bietet Greenewalt 1972, 132; Gürtekin-Demir 2002, 122–127 Abb. 11. 12 und zuletzt Greenewalt 2010a. s. außerdem Butler 1914, 433 Abb. 5 (Skyphos); Gasser 1992, 192 Abb. 6. 7; Kerschner 2006b, 235 Nr. 1 Taf. 33; Kerschner 2010a, 139. In Samos spricht Furtwängler 1980, 161. 200 Nr. 9 Abb. 12 ein formal vergleichbares Gefäß als Kotyle an und datiert es noch vor 630/620. Zum streifigen Firnisaufrag außerdem Kerschner 1997a, 213; Gürtekin-Demir 2002, 122 f.; Kerschner 2005a, 137.

²⁹² Zu Gefäßen lydischen Typs auf Samos vgl. Kerschner 2006f, 272 Anm. 105.

²⁹³ Dazu von Miller 2013, 104 Kat. 2092. Die Publikation des Stücks im Rahmen der Abschlusspublikation zu den Grabungen an der Nordostterrasse des Panayırdağ ist zu erwarten.

²⁹⁴ Vgl. beispielsweise Furtwängler 1980, 170 f.; Furtwängler – Kienast 1989, 94 f.; Kerschner 1997a, 207; Kerschner 1999, 18; Schattner 2007, 273–303; Kalaitzoglou 2008, 185–214.

²⁹⁵ Ein guter Überblick über Form- und Dekorvarianten seit protogeometrischer Zeit findet sich bei Walter 1968. Vgl. außerdem Eilmann 1933, 73–87. s. weiters von Graeve 1973/1974, 89 f. Nr. 5–8 Taf. 17; von Graeve 1975, 41. 45 f. Nr. 10–15 Abb. 10. 11. 13 Taf. 5. 6.

treffen sind²⁹⁶. Eine zweite typologische Variante spätgeometrischer Kratere verfügt über einen eingezogenen Rand mit konkaver Außenkante (**Kat. 814. Kat. 1288**)²⁹⁷. Gefäße mit senkrecht stehendem Rand mit verjüngter Lippe wie **Kat. 13** sind dagegen eher selten anzutreffen²⁹⁸ und in Milet für das frühe 7. Jahrhundert belegt²⁹⁹. **Kat. 134** und **Kat. 748** zeigen einen Typus geometrischer Kratere mit kurzem, keilförmigem Rand, die in milesischen Befunden bis in das mittlere 7. Jahrhundert ausschließlich als Importprodukte belegt sind³⁰⁰. Bei **Kat. 1245** und **Kat. 1458** schrägt die breite Oberkante indessen nach innen ab. Die malerische Gestaltung der Kratere **Kat. 134, Kat. 1245** und **Kat. 1458** mit der breiten, den Rand bedeckenden Firniszone entspricht wie auch bei **Kat. 749, Kat. 1507, Kat. 1509, Kat. 1599, Kat. 1640, Kat. 1678–Kat. 1680** und **Kat. 1792** ebenfalls nicht der Modalität milesischer Werkstätten, welche die aufgehellte Randzone vorzugsweise mit Reifen- oder Wellenbanddekor versehen³⁰¹. Die Gefäße ruhen auf hohen Standfüßen (**Kat. 181. Kat. 364. Kat. 842. Kat. 960**), die am Übergang zu dem Kraterbecken häufig tiefe Rillen aufweisen³⁰².

Die typische Henkelform geometrischer Kratere ist der Bügelhenkel, der sich aus einem rundstabigen Horizontalhenkel an der Schulter und einem davon zum Rand hin geführten, vertikalen Bandhenkel zusammensetzt. **Kat. 77**, dem Fabrikat nach wahrscheinlich ein milesisches Produkt, könnte einem solchen Bügelhenkelkrater zugehörig sein, doch bleibt die schmale Formgebung des Randes mit der rund verdickten Lippe beispiellos und findet ihre nächsten Parallelen eher in Kantharoi spätgeometrischer Zeit³⁰³. Darüber hinaus entspricht der schmale, dafür aber kräftig gerundete Henkelquerschnitt nicht der typischen Morphologie geometrischer Bügelhenkel, die gewöhnlich breiter und im Querschnitt schmaler bandförmig ausfallen. Auch das Fragment **Kat. 133** eines vertikalen Bandhenkels ist zu einem Bügelhenkel zu ergänzen. Die Henkelaußenseite weist mit einer Abfolge aus mit Andreaskreuzen gefüllten Feldern einen Dekor auf, der von samischen Krateren und Kantharoi hinlänglich bekannt ist³⁰⁴.

Das Gefäßinnere geometrischer Kratere ist meist mit einem flächigen Überzug versehen; an der Außenseite folgt über dem gefirnissten, mitunter durch mehrteilige Reifenbündel aufgehellten Unterkörper (**Kat. 1793**) eine durch mehrere Reifen abgesetzte, hohe Dekorzone, in der sich die unterschiedlichen Spielarten des geometrischen Motivschatzes in Friesen und/oder Bildmetopen zusammenfinden (**Kat. 14. Kat. 78. Kat. 184. Kat. 273. Kat. 462. Kat. 682. Kat. 909**). Das dünnwandige Beckenfragment **Kat. 273** könnte auch einer großen Kotyle mit Kammstrichdekor zugehörig gewesen sein. Das Gefäß ist mit der Herkunftsgruppe J als samisches Importprodukt ausgewiesen, für die auffallend großformatige Kotylen mit Kammstrichdekor bereits belegt sind (z. B. **Kat. 609. Kat. 1587**).

²⁹⁶ Vgl. dazu Eilmann 1933, Nr. 7. 8. 14 Beil. 25; Walter 1968, 98 Nr. 119–123 Taf. 21; 112 Nr. 367 Taf. 63; Nr. 369 Taf. 64. In Milet konnten entsprechende Kratere als samische Importe ausgewiesen werden. Für diese freundliche Information danke ich N. Panteleon.

²⁹⁷ Zu entsprechenden Krateren aus samischen Befunden s. etwa Technau 1929, 32 Abb. 24, 2. 3; Eilmann 1933, 74 Abb. 24; Kleiner u. a. 1967, 166 Abb. 115 d; Kopcke 1968, 260–262 Nr. 25 Abb. 11 Taf. 66; 265 f. Nr. 43 Abb. 16 Taf. 102; Walter 1968, 32 f. bes. Abb. 17 b (spätgeometrisch); 52 f. Abb. 33 b–e (früharchaisch); Furtwängler 1980, 170 f. 202 Nr. 29 Abb. 13. In Milet konnte ein vergleichbarer Krater mittels der archäometrischen Beprobung eindeutig als samischer Import ausgewiesen werden. Für die freundliche Information danke ich N. Panteleon. Die Gefäße werden mit Bügelhenkeln ergänzt.

²⁹⁸ Vgl. etwa Eilmann 1933, 73 Abb. 23 a; 76 Abb. 26 a.

²⁹⁹ Dankenswerte Information von N. Panteleon.

³⁰⁰ Für die freundliche Information danke ich N. Panteleon.

³⁰¹ Vgl. etwa von Graeve 1973/1974, 110 Nr. 128 Taf. 31; von Graeve 1975, 45 Nr. 10 Abb. 10 Taf. 5; Kleine 1979, 149 Nr. 50 Abb. 19 Taf. 39. Zuletzt hat die umfassende Analyse der milesischen Kratere archaischer Zeit durch N. Panteleon dies bestätigt.

³⁰² Vgl. Boardman 1967, 114 Nr. 117. 118 Abb. 68; Walter 1968, 99 Nr. 113–134; 140 Taf. 24. 25; 108 Nr. 298 Taf. 51; de La Genière – Jolivet 2003, 103 Nr. 2. 5 Abb. 31; CVA Berlin, Antiquarium (4), 16 Taf. 154.

³⁰³ Vgl. dazu Walter 1968, 33. 99 f. Nr. 143. 150 Abb. 17 a Taf. 26. 28.

³⁰⁴ Dazu Technau 1929, 14 Nr. 1 Beil. 5; Eilmann 1933, 103 Beil. 31, 11; Walter 1968, 100 f. Nr. 160. 164 Taf. 31.

Auch die Standfüße können mit Dekorfriese geschmückt sein. **Kat. 364** zeigt mit einem sechsteiligen Zirkelhalbkreis ein Motiv, das parallel mit dem Aufkommen der Kammbürste erst im letzten Viertel des 8. Jahrhunderts in die südionische Keramik Einzug hält³⁰⁵, während **Kat. 441** einen einfachen Punktfries aufweist, der eine auch morphologisch hervorgehobene Zone am Kraterfuß betont³⁰⁶. Bei **Kat. 490** schmückt ein hohes, schmales Zickzackband den wuchtigen Gefäßständer, der mit dem hellen Malgrund an der Gefäßoberfläche bereits ein Dekorelement aufweist, das mit der subgeometrischen Strömung in die ostgriechische Keramikproduktion aufgenommen wird und sich als zentrales Element vor allem südionischer Feinkeramik des 7. und 6. Jahrhunderts etabliert.

Das dickwandige Beckenfragment **Kat. 5** lässt sich zu einem Krater mit Kreisdekor ergänzen. Horizontale, mit mehrteiligen Kreisen gefüllte Friese sind von samischen Gefäßen bereits seit frühgeometrischer Zeit bekannt³⁰⁷, bei **Kat. 5** ist allerdings nur eine Kreislinie verifizierbar. In diesem Zusammenhang ist ein weiteres Gefäß aus Samos interessant, bei dem sich die einzelnen Kreissegmente in unregelmäßigen Abständen gruppieren, ein Detail, das **Kat. 5** in Analogie mit dem samischen Vergleichsstück als subgeometrischen Ausläufer geometrischer Kratere in der ersten Hälfte des 7. Jahrhunderts ausweisen könnte³⁰⁸. Der Krater **Kat. 180** vereint auf seinem Gefäßbauch ein traditionell geometrisches Motiv, vielleicht ein Mäanderbaum (?) mit einem im 7. Jahrhundert typischen Wellenband und gehört damit ebenfalls der subgeometrischen Strömung der ersten Hälfte des 7. Jahrhunderts an.

Kat. 1354 und **Kat. 1678** kombinieren den niedrigen, keilförmigen Rand geometrischer Kratere ebenfalls bereits mit Wellenbanddekor. In dieser Kombination scheint die geometrische Form bis weit in das 7. Jahrhundert weiter tradiert worden zu sein, wie entsprechende Funde aus Mezad Hashavyahu³⁰⁹ belegen. Die Kratere **Kat. 910**, **Kat. 1245**, **Kat. 1458**, **Kat. 1507**, **Kat. 1509**, **Kat. 1599**, **Kat. 1640**, **Kat. 1679** und **Kat. 1792** sind mit ihren aufgehellten Gefäßkörpern ebenfalls als bereits späte Ausläufer des Typs erkennbar, deren hauptsächliche Vergesellschaftung in den Befunden der AG Phase IV damit gut übereinstimmt.

1.B.3.2.1b Halskratere

Aus den geometrischen Krateren entwickeln sich im 7. Jahrhundert die Halskratere³¹⁰. Wie ihre Vorläufer im 8. Jahrhundert zeichnen sie sich durch einen geschlossenen Kraterkörper mit nun stärker eingezogener Schulter aus; die niedrigen, keilförmigen Ränder bilden sich im Laufe der Entwicklung zu hohen, senkrechten Hälsen mit abgesetzten Randplatten um (**Kat. 504**, **Kat. 750**, **Kat. 1032**, **Kat. 1033**, **Kat. 1103–Kat. 1106**, **Kat. 1289**). Die konkav eingezogenen Ränder der zweiten Variante spätgeometrischer Kratere entwickeln sich im 7. Jahrhundert zu hohen, konischen Hälsen mit konkaver Kontur weiter (**Kat. 1510**, **Kat. 1600**).

In Milet und Samos scheint die Entwicklung der Halskratere eng mit dem Aufkommen der orientalisierenden Gefäßmalerei ab dem zweiten Viertel des 7. Jahrhunderts verbunden zu sein³¹¹. In Ephesos sind die Halskratere hingegen mit einem einfachen Dekor aus umlaufenden Bändern und Reifen oder Wellenbändern sowie mehrteiligen Strich- und Balkengruppen an der Randoberkante verziert und bedienen sich damit des üblichen Dekorrepertoires archaischer Alltagswaren.

Kat. 684 zeigt den Ausschnitt eines weiteren, nicht allzu häufigen Motivs archaischer Großgefäße. Die beiden antithetisch eingebogenen Schlaufenenden mit der zentralen Spitze lassen sich

³⁰⁵ Dazu Kerschner 2007, 224.

³⁰⁶ Vgl. dazu Walter 1968, 99 Nr. 132. 136 Taf. 24; Gjerstad 1977b, 25 Nr. 48. 49; 26 Nr. 5 Taf. 4. 5.

³⁰⁷ Vgl. dazu Walter 1968, 17 Abb. 6; 92 Nr. 22 Taf. 5; 95 Nr. 68 Taf. 13; 113 Nr. 382 Taf. 70.

³⁰⁸ Vgl. Walter 1968, 70. 124 Nr. 570 Taf. 111; Kerschner 2008a, 52. 70 Nr. 57 Taf. 16. 33; 41 Abb. 6 Taf. 42. Im ephesischen Artemision ist dieses Detail jedoch ebenfalls schon für Gefäße des 9. Jhs. nachgewiesen. Dazu Kerschner 2003a, 49 Nr. 4 Abb. 5.

³⁰⁹ Vgl. zu Mezad Hashavyahu Fantalkin 2001, 82 f. Nr. 1. 2 Abb. 30. s. außerdem Kalaitzoglou 2008, 194 f.

³¹⁰ Der Begriff wurde von Kalaitzoglou 2008, 186 in die Literatur eingeführt.

³¹¹ Vgl. Kalaitzoglou 2008, 195–204.



Abb. 7 Halskrater AG 87/139.4

zu einem Schlingenmuster ergänzen, wie es auf Hydrien in Samos für das frühe 7. Jahrhundert belegt ist³¹² und das in Ephesos in abgewandelter Form auch noch auf Hydrien in der klassischen Verfüllung des Brunnen S-AB vorkommt³¹³. Mit dem Krater **Kat. 684** aus dem Bauhorizont der AG Phase III ist das Motiv für das mittlere 7. Jahrhundert gesichert.

Kat. 1331 zeichnet sich durch seinen weit trichterförmig ausschwingenden, hohen Hals mit kantig umgeschlagenem Flachrand aus. Das Gefäß findet eine unmittelbare formale Parallele in einem Krater aus Borysthenes, den R. Posamentir in das beginnende 6. Jahrhundert datiert³¹⁴. In etwa demselben Zeithorizont gehören auch die beiden Kratere **Kat. 1105** und **Kat. 1106** aus einem Zerstörungsbefund der AG Phase IV an. Beide Gefäße zeichnen sich durch den schräg ausgestellten Hals und den nach innen abgeschrägten Flachrand mit beidseitiger Bänderung und Schrägstrichen an der Randoberkante aus. Ein weiteres Firnisband betont den Umbruch in die knappe Gefäßschulter (**Kat. 1105**), für die in Analogie zu **AG 87/139.4** aus den hellenistischen Planirniveaus (Abb. 7) ein umlaufendes Wellenband zu erwarten ist.

Der fragmentierte Erhaltungszustand sowie der Dekor machen die Abgrenzung der Halskratere von den ungefähr zeitgleich datierenden mastoiden Kratere mitunter schwierig. Während die Entscheidung zwischen den beiden Typen für Bodenfragmente (**Kat. 274. Kat. 365. Kat. 658. Kat. 753**) nicht getroffen werden kann, wurden für die Randfragmente das Vorhandensein einer deutlich abgesetzten Randplatte und die Steilheit des Halses zu entscheidenden Kriterien einer Zuweisung zu den Halskratere gewählt.

³¹² Dazu Walter 1968, 111 Nr. 352. 354. 355 Taf. 60.

³¹³ Scherrer – Trinkl 2006, 108 Nr. 30 Taf. 5; 98 Abb. 107.

³¹⁴ Vgl. Posamentir 2006, 166 Abb. 20. Vgl. zur Form außerdem Hanfmann 1956, 183 Abb. 27; Isler 1978b, 89 Nr. 110 Beil. 1; Kerschner 2008a, 65 Nr. 33 Taf. 12. 28 (formal); Panteleon 2013, 264 Nr. 1100 Taf. 72. 213.

1.B.3.2.1c Mastoide Kratere

Die mastoiden Kratere³¹⁵ lassen sich formal ebenfalls aus den südionischen Krateren geometrischer Zeit herleiten und zeichnen sich durch tiefe, den Knickrandschalen vergleichbare Gefäßkörper aus, die auf niedrigen Standringen ruhen und an deren leicht einziehender Schulter ein hoher, schräg ausgestellter Rand mit verdickter, abgesetzter Lippe aufsitzt (**Kat. 135. Kat. 363. Kat. 623. Kat. 1511**). Die Gefäßmündung weist im Regelfall den größten Durchmesser am Gefäß auf, was den schalenartig offenen Charakter der mastoiden Kratere zusätzlich unterstreicht und erneut in einen direkten Zusammenhang mit den Knickrandschalen des 7. Jahrhunderts stellt. An der Schulter sitzen leicht schräge Horizontalhenkel auf.

Die dekorative Gestaltung mastoider Kratere beschränkt sich typischerweise auf Bänder und Reifen an der Gefäßaußenseite. Das Gefäßinnere kann einen flächigen Überzug tragen, in dem tongrundige Zonen das Becken aufhellen, oder ebenfalls mit Reifen- und Bänderzier versehen sein können. Die Schulterzone wird durch Wellenbanddekor oder Schlaufenmotive (>S-chouché<) hervorgehoben, weitere Wellenbänder können an der Randaußenkante umlaufen. Die Randoberkante schmücken häufig Bündel vertikaler Balken (**Kat. 320**). Diese Dekorelemente gehören im 7. Jahrhundert zu den typischen der ionischen Alltagskeramik; der großflächige Überzug der Randzone (**Kat. 135. Kat. 363**) ist dabei ein Dekorelement, das zumindest in Milet als einem der führenden südionischen Herstellungszentren archaischer Keramik nicht beheimatet ist (s. o. Kap. 1.B.3.2.1a).

Kat. 624 ist wahrscheinlich einem sehr frühen Vertreter mastoider Kratere zugehörig. Die vertikalen Striche im rechten Fragmentbereich sind als die Ausläufer jener Bänder zu interpretieren, welche den Henkel oder die Henkelansätze ähnlich den archaischen Hydrien schmückten (z. B. **Kat. 86. Kat. 1379**). Das Wellenband im Anschluss daran hat mit den weiten Wellenbändern mastoider Kratere noch wenig gemein, sondern steht den eng gesetzten Zickzacklinien subgeometrischer Gefäße nahe. Das von zwei schmalen Reifen gerahmte, umlaufende Band am Gefäßkörper findet enge Parallelen bei milesischen Hydrien und Haushaltsamphoren des 7. Jahrhunderts (s. u. Kap. 1.B.6.3).

Auch **Kat. 1459** zeigt als früher Vertreter des Typus noch ein eingeritztes Wellenband an der Randaußenkante, wie es für die spätgeometrischen Kratere samischer Produktion bezeichnend ist (s. o. Kap. 1.B.3.2.1a); der hohe, schmale Rand mit der kleinen abgesetzten Lippe sowie das Wellenband auf der Schulter sind hingegen typische Merkmale mastoider Kratere des 7. Jahrhunderts.

1.B.3.2.2 *Dinoi*

Innerhalb der *Dinoi* können drei Haupttypen unterschieden werden.

1.B.3.2.2a *Dinoi* mit verdicktem Rand

Der erste Typus zeichnet sich durch ein bauchiges Gefäßbecken mit flach konisch einziehender Schulter und einem außen abgesetzten, wulstig verdickten Rand aus, der im Detail sehr unterschiedlich ausgeformt sein kann. Tendenziell flach wulstig bis leicht kantig verdickte Ränder (**Kat. 137. Kat. 322. Kat. 323. Kat. 816. Kat. 911** und **Kat. 1460**) sind aus ostgriechischen Befunden für *Dinoi* des gesamten 7. Jahrhunderts belegt³¹⁶, während **Kat. 1407** mit seiner kantig

³¹⁵ Die Bezeichnung wurde von Kalaitzoglou 2008, 186 in die Forschungsliteratur eingeführt. Zur Gefäßform vgl. Kalaitzoglou 2008, 188–195 und zuletzt Panteleon 2013, 90–124. s. weiters Technau 1929, 32 Nr. 4 Abb. 24; Tuchelt 1971, 63 Nr. 35 Abb. 7; von Graeve 1973/1974, 86. 107 f. 110 Nr. 120. 121 Taf. 30; Nr. 128 Taf. 31.

³¹⁶ Zu den datierenden Befunden s. für Chios Boardman 1967, 115 Nr. 140 Abb. 70 Taf. 29; für Milet von Graeve 1975, 45 f. Nr. 12 Abb. 12 Taf. 5; Kerschner 1999, 38 Nr. 7 Abb. 6; für Assesos s. Kalaitzoglou 2008, 414 f. Nr. 545 Taf. 116; für Samos vgl. Kopcke 1968, 260 f. Nr. 25 Abb. 11 Taf. 97; für Klaros de La Genière – Jolivet 2003, 104 Nr. 2 Abb. 32. Vgl. außerdem Young 1938, 416. 424 f. Nr. D15 Abb. 3. 9; Boehlau – Schefold 1942, 61 Abb.

abgesetzten, geraden Randplatte formal jenen Gefäßen nahe steht, die in Assesos in Kombination mit Tierfriesdekor der Stufen SiA Ic/SiA Id des letzten Viertels des 7. Jahrhunderts belegt sind³¹⁷. Der kleine Dinos **Kat. 749** hebt sich durch seinen keilförmig ausgebildeten Rand ab, an dessen flacher Oberkante ein ungewöhnlicher Wellendekor angebracht ist. Vergleichbare Randprofile sind vom 7. bis in das beginnende 5. Jahrhundert belegt³¹⁸. **Kat. 137** repräsentiert eine Dekorvariante mit einfachem Bänderdekor, während **Kat. 322**, **Kat. 323**, **Kat. 1407** und **Kat. 1460** dunkel gehalten zu sein scheinen und damit stärker geometrischen Vorlieben verbunden bleiben. Dieser dunkle Gesamteindruck ist auch für den großen Dinos **Kat. 911** und das Gefäß der Grauen Ware **Kat. 816** gegeben, bei dem nur in der Schulterzone ein breites Feld vom Überzug ausgespart bleibt. **Kat. 816** war mit einem randständigen Henkel versehen, der sich im Ansatz am Fragment abzeichnet.

1.B.3.2.2b Dinoi mit konisch eingezogenem Hals

Der zweite Typus unterscheidet sich vom eben besprochenen durch seine hohe, steilkonisch eingezogene Halspartie und den kleinen, abgesetzten Rand. Damit stehen die Gefäße **Kat. 136**, **Kat. 182**, **Kat. 183** und **Kat. 683** den mastoiden Krateren nahe, von denen sie sich jedoch deutlich durch den nach innen geneigten Wandverlauf abgrenzen lassen. Bei **Kat. 683** zeichnet sich weiters ein an der Schulter angebrachter Henkel ab, der bei Dinoi des 6. Jahrhunderts nicht mehr nachzuweisen ist³¹⁹. Die Dinoi finden Vergleiche wiederum schon in Befunden der ersten Hälfte des 7. Jahrhunderts³²⁰ und stehen formal einer Gruppe der für Tarsus definierten Typen der ›Eastern Greek Lebetes‹³²¹ nahe. **Kat. 136** ist mit dem flächigen Überzug der Gefäßaußenseite den Dekorprinzipien vor allem geometrischer und früharchaischer Gebrauchswaren verpflichtet, während **Kat. 182**, **Kat. 183** und **Kat. 683** bis auf ein einfaches Band unterhalb des Randes unbemalt bleiben und damit zwar einer tendenziell späteren dekortypologischen Entwicklungsstufe angehören mögen; der Befundzusammenhang zeigt hier jedoch klar ein paralleles Vorkommen beider Dekorvarianten an.

1.B.3.2.2c Dinoi mit senkrechtem Rand

Die Dinoi **Kat. 592** und **Kat. 870** bilden einen hohen, annähernd senkrecht einziehenden Rand aus und schließen mit einer kleinen, außen abgesetzten Wulstlippe ab. In Assesos spricht G. Kalaitzoglou vergleichbare Formen als halslose Stamnoi an und datiert sie in das mittlere 7. Jahrhundert, wobei er den auch bei **Kat. 870** vorhandenen Absatz am Übergang von der Schulter in den tendenziell flachen Rand als ein formales Charakteristikum älterer Vertreter des Typs ansieht, das gegen Ende des 7. Jahrhunderts gemeinsam mit der zunehmend steilen Ausrichtung der Ränder verloren geht³²², wonach **Kat. 592** zu einem tendenziell jüngeren Gefäß zu ergänzen wäre.

17 b; Eilmann 1933, 109 Abb. 53; Thalmann 1977, 73 Nr. 82 Taf. 6; Schattner 2007, 293–298 Nr. DiA1 9 und Nr. DiA1 10 Abb. 84; Kerschner 2008a, 65 Nr. 32 Taf. 12. 28.

³¹⁷ s. dazu Kalaitzoglou 2008, 206–211 Taf. 114–118, bes. 414 f. Nr. 545 Taf. 116. Zum Typ weiters Schattner 2007, 298–300. Vgl. außerdem Voigtländer 1986b, 661 Nr. 105 Abb. 30.

³¹⁸ Vgl. dazu etwa für Samos Eilmann 1933, 108 Abb. 51 b; für Milet Voigtländer 1982, 43 Nr. 70 Abb. 12; für Ephesos Kerschner 1997a, 136 Nr. 56 Taf. 8; für Didyma Schattner 2007, Nr. DiA1 17 Abb. 86.

³¹⁹ N. Panteleon kann zumindest für milesische Dinoi des 6. Jhs. Rotellenhenkel und Knäufe als einzig nachweisbare Handhaben glaubhaft machen.

³²⁰ Vgl. zu Milet Kerschner 1999, 37 Nr. 2 Abb. 6; zu Klaros vgl. de La Genière – Jolivet 2003, 77 Nr. 3 Abb. 23; zu Mezas Hashavyahu Fantalkin 2001, 83 Nr. 4 Abb. 30. s. außerdem Thalmann 1977, 72 f. Nr. 82 Abb. 7 Taf. 6; Kerschner 2008a, 42. 65 Nr. 32 Taf. 12. 28.

³²¹ Hanfmann 1963, 314 Nr. 1549. 1550 Abb. 152.

³²² Dazu Kalaitzoglou 2008, 236–239. 424 f. Nr. 615–621 Taf. 140.

In den archaischen Siedlungsbefunden von Ephesos kommen die beiden Typen mit Wulstrand und konisch eingezogener Halspartie erstmals in der AG Phase II vor und bestätigen damit den aus anderen ostgriechischen Befunden gewonnenen Datierungsansatz noch vor der Mitte des 7. Jahrhunderts. Der dritte Typ mit senkrechtem Rand ist hingegen erst in Befunden der zweiten Hälfte des 7. Jahrhunderts vertreten und tritt auch in Ephesos etwas später mit der AG Phase III auf.

Kat. 871 ist als Gefäßständer der Grauen Ware anzusprechen. Die ungewöhnliche Form mit der hutkrempeartig umgeschlagenen Basis findet eine Parallele bei einem doppelkonisch geformten Ständer in Assesos³²³; in diesem Zusammenhang dürfte die erhaltene Basis möglicherweise eher als oberer Rand des Ständers anzusprechen sein, auf welchem das zugehörige Gefäß aufsetzte. In Assesos werden die bikonischen Gefäßständer in das beginnende letzte Viertel des 7. Jahrhunderts datiert; die Fundlage von **Kat. 871** in der die Aufgabe der Töpferwerkstatt definierenden Ofenverfüllung ist damit gut vereinbar.

1.B.3.2.3 Orientalisierende Mischgefäße

Neben den mit bloßen Reifen und Wellenbändern verzierten Krateren und Dinoi stehen Mischgefäße mit orientalisierendem Dekor, die unterschiedliche Werkstatttraditionen, südionische und nordionische, widerspiegeln (Diagramm 33).

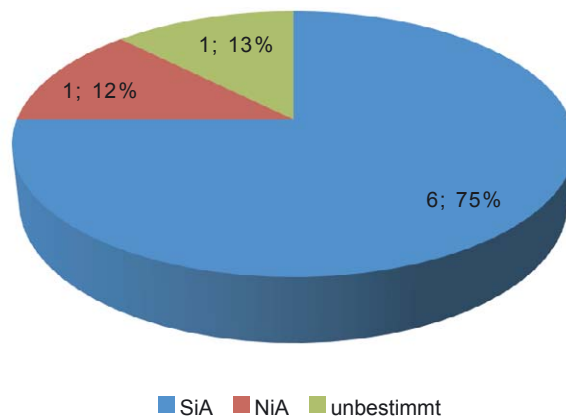


Diagramm 33 Übersicht der orientalisierenden Mischgefäße

Der orientalisierende Stil ist auf Krateren der archaischen Siedlungsbefunde bereits in seiner frühesten Ausprägung SiA Ia mit zwei Gefäßen vertreten. **Kat. 491** und **Kat. 1406** weisen mit dem hellen Malgrund an der Außenseite ein charakteristisches Dekorelement der südionischen Feinkeramik auf, der malerische Dekor ist dagegen noch stark an geometrischen Traditionen angelehnt, wie es für die Gefäße der Entwicklungsstufe SiA Ia per definitionem üblich ist³²⁴. Schachbrettmuster sind im Regelfall wie bei **Kat. 1406** als flächige Muster für Friese oder Bildmetopen in mehrfach unterteilte Dekorzonen eingefügt, welche wie bei den geometrischen Krateren mit unterschiedlichen Motiven gefüllt sind oder zwischen die figürlichen Friese eingeschoben werden³²⁵. Bei **Kat. 1406** zeigt sich mit dem Winkelkreuz im Bildfeld zur Rechten des Schachbrettfeldes ein charakteristisches Füllmotiv, welches vor allem ab der Stufe SiA Ib

³²³ Vgl. Kalaitzoglou 2008, 211–214. 416 Nr. 551 Taf. 120.

³²⁴ Vgl. Kerschner – Schlotzhauer 2005, 15 f.

³²⁵ s. etwa Walter 1968, 124 Nr. 563 Taf. 108; de La Genière – Jolivet 2003, 103 f. Nr. 2 Abb. 32; Kerschner 2007, Abb. 1 Taf. 32.

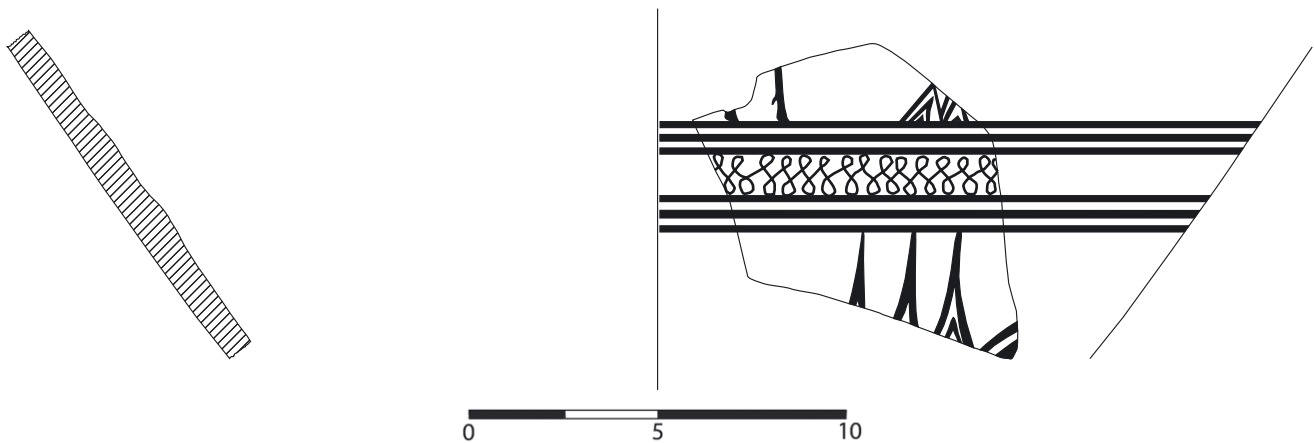


Abb. 8 Krater AG 89/065.6

nachgewiesen ist. **Kat. 491** präsentiert mit einem Fries aus stehenden Sigma-Winkelreihen ein weiteres mögliches Dekorelement früher orientalisierender Gefäße³²⁶.

Bei dem dickwandigen Bodenfragment **Kat. 1513** eines orientalisierenden Mischgefäßes zeichnen sich oberhalb der reifengeschmückten Bodenzone mehrere vertikale Linien in unterschiedlicher Strichstärke und Abfolge ab, die sich am wahrscheinlichsten zu einem Zungenfries mit teilweiser Binnenfüllung ergänzen lassen, wie er in den Stufen SiA Ia und vor allem SiA Ib neben den Kannen³²⁷ auch die Fußzonen der Kratere schmückt³²⁸. Ebenfalls mit der Stilstufe SiA Ib treten erstmals Ketten aus alternierenden Lotusblüten und -knospen in der Fußzone nicht nur der Kannen, sondern wie **AG 89/065.6** (Abb. 8) aus den hellenistischen Niveaus unter der Tetragonos Agora zeigt, auch der Kratere auf³²⁹.

Kat. 784 ist zu einem Kraterständer zu ergänzen und steht damit auch formal in einem unmittelbaren Zusammenhang mit dem geometrischen Gefäßrepertoire, der in die Außenseite schmückenden, schräg schraffierten Zinnenmäander erneut Ausdruck findet. Die feine Zeichnung und die hohe Qualität des hellen Malgrundes an der Gefäßaußenseite rücken **Kat. 784** jedoch schon in das Umfeld der frühorientalisierenden Gefäßmalerei, in der auch Mäandermotive bis in das dritte Viertel des 7. Jahrhunderts in untergeordneten Dekorzonon, etwa auf Deckeln und Hälsen orientalisierender Kannen, erhalten bleiben³³⁰.

Das Fragment **Kat. 872** entstammt dem Unterbauch eines schlanken Kraters, die fein geglättete Gefäßinnenseite macht eine Ansprache als Kanne eher unwahrscheinlich. Für die stilistische Einordnung von **Kat. 872** sind neben dem obligatorischen hellen Malgrund an der Gefäßaußenseite die Trennung der Bildfriese mittels einer doppelten Bänderung, die Gestaltung der Fußzone mit einem Strahlenkranz und das in sich gegliederte stehende Dreieck als standardisiertes Füllmotiv bezeichnend, welche in die Stilstufen SiA Ic und SiA Id verweisen, wobei die schlanken Proportionen des Füllornaments eher für Gefäße der Stufe SiA Ic zu erwarten sind³³¹. Bei dem Schulterfragment **Kat. 1290** tritt dasselbe Motiv als in den Dekorfries hängendes Füllornament

³²⁶ Vgl. Eilmann 1933, Beil. 26, 4; Walter 1968, 112 Nr. 366 Taf. 63. Das Motiv ist auch von den protokorinthischen Kotylen bekannt. Vgl. dazu Brock 1957, 90 Nr. 944 Taf. 74 (Grab II, kretische Imitation); Coldstream – Catling 1996, 84 Nr. 33 Abb. 79 (Grab 34).

³²⁷ Dazu Kerschner – Schlotzhauer 2005, 16. 24 Abb. 12. 14. s. auch Walter 1968, 119 Nr. 492 Taf. 87; 120 Nr. 502. 503 Taf. 91–96; 121 Nr. 510 Taf. 97; 121 Nr. 524 Taf. 99; Schattner 2007, 429 Nr. Or 5 Abb. 118.

³²⁸ Dazu Panteleon 2013, 169. 175 f. Nr. 369. 370 Taf. 6 d. e. 19 h. 1.

³²⁹ Vgl. dazu Käuffer 2006, 70 Abb. 22 (Dekor); Panteleon 2013, 86 Nr. 367 Taf. 6 b. 119 f.

³³⁰ Vgl. dazu beispielsweise Walter 1968, 120 Nr. 502. 503 Taf. 91–96; 121 Nr. 511. 512 Taf. 98; von Graeve 1973/1974, 104 Nr. 94. 95 Taf. 28; von Graeve 1987, 15 Nr. 1. 2 Taf. 5; Posamentir 2002, 11–13 Nr. 1. 2; Kerschner – Schlotzhauer 2005, 20–22 Abb. 12. 13. 17; Käuffer 2006, 199 f. Nr. 166–171 Taf. 45.

³³¹ Vgl. Kerschner – Schlotzhauer 2005, 32 f. 36. 44 f. Speziell zu den Krateren s. außerdem Panteleon 2013, 119 f. Nr. 503 Taf. 16. 77. 134 j.

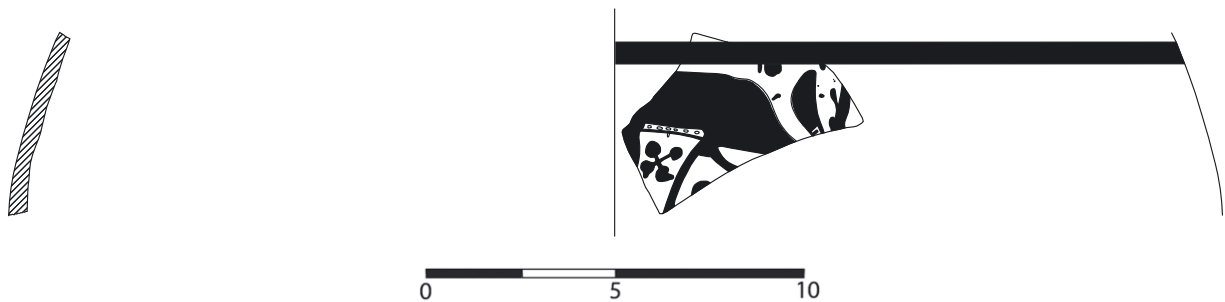


Abb. 9 Tierfriesgefäß AG 87/131.1

auf und ist hier mit einem kurvilinearen Dekorelement kombiniert, das möglicherweise zu einem zentralen Volutenmotiv zu ergänzen ist. Volutenmotive sind ab der Stilstufe SiA Ic zu erwarten, das augenscheinliche Fehlen einer Binnenpunktierung wie auch das Schlaufenende des hängenden Dreiecks verweisen für **Kat. 1290** indessen eher schon in die Stilstufe SiA Id.

Das bauchige Wandfragment **Kat. 1108** kann wahrscheinlich zu einem großen Dinos ergänzt werden, der mindestens mit zwei figürlich bemalten Friesen an Schulter und Gefäßbauch versehen ist. Die Tierfrieze werden von je einem umlaufenden Firmisband getrennt, wie es ab der Stufe SiA Ic üblich ist; auch die Punktzier im ausgesparten Bauchfell des nach rechts gewandten, äsenden Hirsches verweisen auf eine Einordnung in die fortgeschrittene zweite Hälfte des 7. Jahrhunderts. Allerdings fehlen bei **Kat. 1108** die für die Gefäße der Stufe SiA Ic typischen Füllmotive; anstelle der stehenden und hängenden Dreiecke und Rosetten ragen kleine Haken von der Begrenzungslinie in das Bildfeld und mit den vier unterschiedlichen am Fragment erkennbaren Varianten von Punktrosetten zeigen sich Füllmotive, die für den nordionischen Tierfriesstil charakteristisch sind³³². Auch die abstrahierende Wiedergabe des Entenfußes hat mit den südionischen Entenbildern wenig gemein und findet hingegen eine in seiner hakenförmigen Ausführung gut vergleichbare Parallele in einem nordionischen Gefäß aus Amathonte³³³.

Mit **Kat. 1108** liegt damit eines der frühesten nordionischen Tierfriesgefäße aus Ephesos, wahrscheinlich noch der Stufe NiA Ic vor. Der frühe Datierungsansatz findet auch in der akkuraten Malweise und der im Detail sehr spezifischen Ausgestaltung (Gesichtsdetails, Hinterlauf) der Tierfrieze Bestätigung. Die individuellen Einzelelemente wie das kleine Winkelkreuz und das kleine stehende Dreieck als nichtkanonische Füllmotive in den Tierfriesen sowie das in Silhouettentechnik ausgeführte Vögelchen, welches die Ente begleitet, zeugen ebenfalls davon, dass **Kat. 1108** einer noch experimentierfreudigen und nichtstandardisierten Phase nordionischer Tierfriesmalerei angehört, die in den hellenistischen Planierschichten über der archaischen Siedlung unter der Tetragonos Agora mit einem Zwillingsgefäß zu **Kat. 1108** ein zweites Mal begegnet (**AG 87/131.1**, Abb. 9). Die Unterteilung der Schulterzone durch vertikale Ornamentbänder, wie es bei **Kat. 1108** in einem Trennstreifen aus ineinander verschränkten Mäanderhaken gegeben ist, mag als weiteres Indiz für eine frühe Positionierung im nordionischen Tierfries gelten. Allerdings findet sich ein vergleichbares Dekorschema auch bei einem äolischen Skyphoskrater in Larisa am Hermos, bei dem die Tierfriesmalerei bereits mit der schwarzfigurigen Technik im zweiten Bauchfries kombiniert ist³³⁴.

Die Schulterzone des kleinen Kraters **Kat. 1109** ist mit hängenden Strahlen geschmückt. Strahlendekor an der Schulterzone ist für Dinoi ebenso wie für Halskratere belegt³³⁵ und kommt ab dem letzten Drittel des 7. Jahrhunderts auch bei Kannen prominent vor. Während die hängen-

³³² Vgl. dazu Walter-Karydi 1973, 142 Nr. 877 Taf. 105; 143 Nr. 895 Taf. 111; Nr. 899 Taf. 108; Nr. 918 Taf. 112.

³³³ Vgl. Thalmann 1977, 74. 77 Nr. 106 Taf. 8, wird dort allerdings noch in der damaligen Lehrmeinung als rhodisch verstanden.

³³⁴ s. Boehlau – Schefold 1942, 96 Abb. 13 Taf. 41.

³³⁵ Zu den Dinoi vgl. Walter-Karydi 1973, 133 Nr. 559 Taf. 54. 66, Kalaitzoglou 2008, 428 f. Nr. 543. 544. 546. 547 Taf. 114. 115. 118; zu den Krateren s. Kalaitzoglou 2008, 413 Nr. 536 Taf. 111.

den Strahlen bei Halskrateren ähnlich wie bei den Metopentellern als Trennelemente zwischen den Bildmetopen der Schulterzone fungieren, rahmen sie bei den Dinoi ein zentrales Bildfeld mit Tierfriesmalerei. Beide Gefäßtypen werden in Assesos in der mittleren zweiten Hälfte des 7. Jahrhunderts (SiA Ic) eingeordnet³³⁶. **Kat. 1109** unterscheidet sich von diesen Gefäßen jedoch wesentlich durch ein vielfach geführtes Mäandermotiv aus ineinander verschachtelten Vierecken, das eine enge Parallele bei einem südionischen Krater aus Borysthenes findet, bei dem die hängenden Strahlen wie bei **Kat. 1109** ein lineares Dekorelement rahmen. R. Posamentir hat für den Krater aus Borysthenes aufgrund stilistischer und scherbentypologischer Evidenzen eine lokale Produktion in der Region um den Hellespont angenommen und eine Datierung in das beginnende 6. Jahrhundert vorgeschlagen³³⁷.

1.B.3.2.4 Nordionisch-schwarzfigurige Mischgefäße

Das Kraterfragment **Kat. 1034** weist schwarzfigurigen Dekor auf. Die schwarzfigurige Maltechnik³³⁸ wurde im ausgehenden 7. Jahrhundert unter dem Eindruck korinthischer Importkeramik in die lokale Produktion nordionischer Tierfrieskeramik übernommen und auf Gefäßen der Stufe NiA Id zunächst mit der traditionell ostgriechischen Umrissmalerei kombiniert, wobei der innovativen Technik durch die Position der schwarzfigurigen Friese in der Hauptdekorzone an der Gefäßschulter das Primat eingeräumt wurde. In dieser ersten Stufe nordionisch-schwarzfiguriger Malerei³³⁹ blieb auch der inhaltliche Schwerpunkt auf zoomorphen Darstellungen erhalten, wenngleich das Repertoire der bereits bekannten Motive wie Vögel, Eber und Raubkatzen nun eine zunehmende Erweiterung um mythische Mischwesen wie Sphingen und Sirenen erfuhr. Die Füllornamentik nordionischer Tierfriese wurde in den schwarzfigurigen Bildfriesen zugunsten korinthischer Elemente, allen voran der Klecksrosette, allmählich zurückgedrängt und aufgegeben.

Das Wandfragment **Kat. 1034** eines großen Gefäßes mit gut geglätteter, aber unbemalter Innenseite zeigt oberhalb dreier breiter, am Gefäß umlaufender Bänder den Ausschnitt eines schwarzfigurigen Tierfrieses, in dem sich neben zwei viergeteilten Klecksrosetten mit Binnenritzung der Hinterlauf und ein Teil des elegant geschwungenen Schwanzes eines nach rechts gewandten Tieres erhalten hat. Am oberen Fragmentrand ragt die spitze Schwanzquaste in den Bildausschnitt. Der Bildtypus ist in der korinthischen und nordionischen Malerei für stehende und sitzende Greifen und Sphingen, aber auch Raubkatzen, hinreichend belegt³⁴⁰. Es scheint, dass die Übergangsphase, die durch die kombinierte Anwendung der traditionell ionischen Ausparungstechnik und der innovativen schwarzfigurigen Technik gekennzeichnet ist, bei **Kat. 1034** bereits vollzogen ist. Jedenfalls ist die Begrenzung des Bildfeldes mittels einer mehrfachen Bänderung für Gefäße mit mehreren umlaufenden Friesen nicht als typisch anzusehen³⁴¹. Gleichzeitig weisen der helle Malgrund der Gefäßoberfläche und der eng am korinthischen Vorbild orientierte Stil der Darstellung, besonders gut erkennbar auch an den Details des Hinterlaufs, den Krater als ein frühes Gefäß innerhalb der nordionisch-schwarzfigurigen Gefäßproduktion aus und datieren **Kat. 1034** zwischen dem ausgehenden 7. und dem beginnenden zweiten Viertel des 6. Jahr-

³³⁶ Vgl. Kalaitzoglou 2008, 202 f. 211.

³³⁷ Vgl. Posamentir 2006, 166 Abb. 19. 20. Zu den Hellespont-Werkstätten zuletzt Posamentir – Solovyov 2007, 182 f.; Posamentir u. a. 2009. Vgl. auch Aytacılar – Kozanlı 2012.

³³⁸ Zum aktuellen Forschungsstand schwarzfiguriger Keramik nordionischer Produktion vgl. zusammenfassend Özer 2004 mit weiterer Lit.

³³⁹ Vgl. Özer 2004, 199–201.

³⁴⁰ Vgl. beispielsweise Walter-Karydi 1973, 142 Nr. 883 Taf. 106; 143 Nr. 895 Taf. 111; 144 Nr. 938. 946 Taf. 114; Nr. 939 Taf. 115; Nr. 944 Taf. 116; 145 Nr. 953 Taf. 117; Thalmann 1977, 77 f. Nr. 1. 3 Taf. 11; Nr. 2. 3 Taf. 10; Nr. 7 Taf. 13.

³⁴¹ s. etwa Walter-Karydi 1973, 143 Nr. 918 Taf. 112; 144 Nr. 938. 942. 946 Taf. 114. 115; 145 Nr. 952 Taf. 116. Im Falle einer Mehrfachbänderung ist diese polychrom. Vgl. dazu Walter-Karydi 1973, 142 Nr. 884 Taf. 114; Thalmann 1977, Taf. 11.

hunderts. Die Vergesellschaftung des Stücks im Bodenniveau von HA 4 ist mit diesem Ansatz gut vereinbar. Als ursprüngliches Ganzgefäß kommt ein Kolonettenkrater oder ein Halskrater in Frage.

1.B.3.3 TIEFE SCHÜSSELN

In den archaischen Siedlungsbefunden unter der Tetragonos Agora fand sich eine recht homogene Gruppe tiefer, offener Gefäße, die sich durch einen zylindrischen bis konisch ausgestellten Wandverlauf, einen wulstartig (**Kat. 103. Kat. 625. Kat. 753**), kantig (**Kat. 1110. Kat. 1641**), tropfenförmig (**Kat. 324. Kat. 873. Kat. 1221**) oder keilförmig (**Kat. 185**) verdickten Rand und einen markanten Absatz unterhalb des Randes (**Kat. 1795**) auszeichnen. Offene Gefäße mit vergleichbarer Randmorphologie sind in Ionien bislang nur in Einzelstücken aus Samos, Milet, Klaros, Klazomenai und Pergamon publiziert³⁴²; bis auf die im geometrischen Stil dekorierten Exemplare aus Samos und Milet weisen die Vergleichsbeispiele wie die Gefäße aus den ephesischen Siedlungsbefunden keinen malerischen Dekor auf. Vielmehr wurden die unbemalten und geglätteten Oberflächen mitunter ähnlich wie bei **Kat. 324, Kat. 625, Kat. 753** und **Kat. 1110** einer aufwendigen Politur unterzogen, die den Gefäßen einen mattschimmernden Glanz verleiht. Einzig **Kat. 1795** weist an der Außenseite einen hellen Überzug auf, wie er mit den subgeometrischen Gefäßen erstmals in das ionische Gefäßrepertoire eingeführt (z. B. **Kat. 250**) und für die orientalisierende Keramik verbindlich wird. **Kat. 103** überträgt die Form in die Graue Ware, wobei hier auf die sorgfältige Glättung der Oberfläche verzichtet wurde. Graue Waren werden im Allgemeinen schwerpunktmäßig in das ausgehende 7. Jahrhundert und in die erste Hälfte des 6. Jahrhunderts datiert³⁴³. Obwohl die Graue Ware gemeinhin mit nordionischen/äolischen Werkstattkreisen in Verbindung gebracht wird³⁴⁴, was auch im darauf angewandten Begriff des sog. nordionischen *Bucchero* zum Ausdruck kommt, haben E. Walter-Karydi und A. Furtwängler eine Produktion für Samos und M. Martelli-Cristofani eine Produktion für Rhodos postuliert³⁴⁵. Zuletzt hat R. Posamentir aufgrund eines gehäuften Vorkommens eine südionische Produktion Grauer Waren auch für Milet angedacht³⁴⁶, die sich archäometrisch für die Kalabaktepe-Werkstatt hat nachweisen lassen (s. o. Kap. 1.B.3.1.1).

Der ausschnittshafte Erhaltungszustand der Fragmente Tiefer Schüsseln lässt nur bedingt Schlüsse auf das Aussehen der ursprünglichen Ganzgefäße zu. Aufgrund der beidseitig fassbaren Oberflächenbehandlung wird man von offenen Gefäßformen ausgehen können, obwohl auch geschlossene Gefäße im Randbereich mitunter der Außenseite vergleichbar behandelt werden. Die aus den Fragmenten zu erschließenden Proportionen deuten ebenfalls eher auf offene, aber tiefe Gefäßformen hin, wobei diese freilich sehr unterschiedlich dimensioniert sein können, wie die Gegenüberstellung von **Kat. 103** mit 18 cm Randdurchmesser und **Kat. 753** mit 66 cm Randdurchmesser verdeutlicht. Besonders **Kat. 185** und **Kat. 1641** erinnern mit ihren trichterförmig ausgestellten Gefäßbecken auch an die oben besprochenen Halskratere, für die orientalisierend bemalte Vertreter mit ähnlicher Randmorphologie im ausgehenden 7. Jahrhundert belegt

³⁴² Vgl. zu Samos Eilmann 1933, 104 Abb. 45 e (Standfuß); Furtwängler 1980, 215 Nr. 22 Abb. 19; zu Milet von Graeve 1975, 57 Nr. 71 Abb. 38; zu Klaros de La Genière – Jolivet 2003, 77 Nr. 5 Abb. 23; zu Klazomenai Artzy 2004, 21 Abb. 8; zu Pergamon Radt 1992, 208 Nr. 20 Abb. 5. Vgl. außerdem Boehlau – Schefold 1942, 88 f. Abb. 27 b; 109 Abb. 35 f.

³⁴³ s. dazu Isler 1978b, 99; Utili 1999, 94 f.; Posamentir 2002, 19–21; Pautasso 2009, 25.

³⁴⁴ Vgl. dazu Coldstream 1968, 262; Isler 1978b, 99; Kerschner 1997a, 209 f.; Cook – Dupont 1998, 135 f.; Utili 1999, 71–95; Bayne 2000, 157–237; Schlotzhauer – Villing 2006, 58. Zur Verbreitung Grauer Waren in Ephesos vgl. Kerschner 2005b, 126 f.; Kerschner 2007, 232.

³⁴⁵ Zu Samos vgl. Walter-Karydi 1973, 18 f.; Furtwängler 1980, 174. s. außerdem Eilmann 1933, 48. Zu Rhodos vgl. Martelli-Cristofani 1978, 173.

³⁴⁶ Vgl. Posamentir 2002, 21. Zusammenfassend zur Grauen Ware Ioniens s. auch Kerschner 2005b, 125–128 und zuletzt Pautasso 2009, 25 f. Vgl. außerdem Gassner 1997, 27 Anm. 11.

sind³⁴⁷, doch schiene **Kat. 1641** für eine Ansprache als Kraterhals bereits proportional überhöht. **Kat. 324, Kat. 625, Kat. 753, Kat. 1110, Kat. 1221** und besonders **Kat. 873** und **Kat. 1795** lassen dagegen eher an große, eimerartige Schüsseln mit tiefen, trichterförmigen Gefäßbecken denken, wie sie in den subgeometrischen Befunden vom Kalabaktepe bei Milet vorliegen³⁴⁸, in bemalter Form aus Larisa am Hermos bekannt sind³⁴⁹ und schließlich in Thera und auf Kreta als lokal hergestellte Ganzform vorkommen³⁵⁰. Aus Chios sind ähnliche Tiefe Schüsseln mit Bemalung, allerdings ohne das in Ephesos charakteristische Randprofil, publiziert³⁵¹. Im arkadischen Tegea wird ein formal vergleichbares spätgeometrisches Gefäß als Ständer eines Mischgefäßes angesprochen³⁵². Für die enger mundigen Ränder **Kat. 103, Kat. 185** und **Kat. 1641** sind analoge Tiefe Schüsseln in kleinerer Ausführung wahrscheinlich.

E. Walter-Karydi spricht das vergleichbare Gefäß in Samos als Situla an³⁵³, und tatsächlich ist die Randgestaltung auch für ostgriechische Situlen belegt³⁵⁴, doch sind die Tiefen Schüsseln aus Ephesos in ihrer sich abzeichnenden Formgebung nur bedingt mit der beutelförmigen Gestalt der Situlen vereinbar. Gleichwohl weisen vereinzelte Situlen auch einen steilkonisch ausgestellten oberen Wandverlauf auf, der für die Tiefen Schüsseln in Ephesos bezeichnend ist. Situlen sind bislang primär aus Ägypten belegt; in der Ostägäis sind sie aus den Heiligtumsbefunden in Samos, aus rhodischen Grabkontexten und aus Siedlungskontexten in Vroulia bekannt und datieren zwischen dem ausgehenden 7. und dem 6. Jahrhundert³⁵⁵. Viel wahrscheinlicher ist allerdings die formale Übereinstimmung mit den aus Thera und Kreta publizierten Eimern und dies umso mehr, als auch aus den archaischen Siedlungsbefunden mit **Kat. 892** und **Kat. 893, Kat. 1234, Kat. 1254** und **Kat. 1704** entsprechende Bodenfragmente vorliegen (s. u. Kap. 1.B.3.6.6). Da der Erhaltungszustand der Gefäßfragmente letztlich aber keine definitive Aussage über die zu ergänzenden Ganzgefäße erlaubt, wird an der neutralen Bezeichnung »Tiefe Schüssel« festgehalten. Funktional sind diese Gefäße sicher weniger mit den Schüsseln im Bereich der Serviergefäße zu verorten, sondern eher gemeinsam mit den Krateren, Situlen und Eimern im Bereich der Misch- und Vorratsgefäße³⁵⁶.

Die markante Formgebung der Tiefen Schüsseln findet abgesehen von den wenigen keramischen Vergleichen im ionischen Raum ihre nächsten Verwandten in einer Reihe durchwegs bemalter, kalathosförmiger Schüsseln und Kratere aus Befunden proto- und frühgeometrischer Zeitstellung, etwa in Kreta³⁵⁷, wo sich die Randform mit den pithoiden Lekanen von Azoria

³⁴⁷ s. dazu Calvet – Yon 1977, 15 Nr. 58 Taf. 6.

³⁴⁸ Inv. K06/294.20. K08/41.199. K08/41.214. Dankenswerte Information von M. Kerschner. Für die bereitwillige Diskussion archaischer Schüsseln aus Milet sei außerdem A. Villing gedankt.

³⁴⁹ Boehlau – Schefold 1942, 88 f. 109 sprechen die Form allerdings als Krater an.

³⁵⁰ Vgl. dazu Dragendorff 1903, 115 Abb. 306 a. 358; Haggis u. a. 2004, 355 f. Abb. 9. 10 (Lekane); Haggis u. a. 2007, 291 Abb. 37 (Lekane). Brock 1957, 161 verweist auf das Verschwinden der noch aus minoischen Traditionen ableitbaren Kratere mit vergleichbarer Randmorphologie am Ende der protogeometrischen Zeit, die keine direkte Vorbildwirkung für die Tiefen Schüsseln in Ionien entfaltet haben dürften.

³⁵¹ s. dazu Boardman 1967, 132 Nr. 430 Abb. 82 Taf. 42 mit einer Datierung um 700.

³⁵² Dazu Voyatzis 2014, 314. 333 Nr. C-LG 138.

³⁵³ Walter-Karydi 1973, 9 f. 121 Nr. 184 Abb. 11 Taf. 18.

³⁵⁴ Vgl. beispielsweise Weber 2006, 147 Abb. 6. 7; 148 Abb. 13. 14 und zuletzt den umfassenden Katalog bei Weber 2012, 360–369 Taf. 49. 50; 399 Nr. M25 Taf. 57 a. b. s. außerdem Villing 2013, 91–93.

³⁵⁵ Vgl. Kinch 1914, 125 f. Abb. 42; Jacopi 1929, 192 f. 195 Nr. 1 Abb. 187. 189; Coulié – Filimonos-Tsopotou 2014, 312–314 Nr. 183–185. Zusammenfassend bei Weber 2006, 146 f.; Villing 2013, 91 f.

³⁵⁶ Für das 3. Jh. begegnet die Randform darüber hinaus bei eimerartigen Bienenkörben (vgl. ein Exemplar im Museum von Isthmia). Die feine Oberflächengestaltung der ephesischen Stücke dürfte aber gegen eine solche Verwendung sprechen, zeichnen sich Bienenkörbe doch durch die im Inneren aufgeraute Oberfläche aus.

³⁵⁷ Vgl. dazu Coldstream – Catling 1996, 5. 6 Nr. 5. 13. 19. 24 Abb. 56. 57 Taf. 46 (Grab D); 8 Nr. 1 Abb. 59 Taf. 48 (Grab F); 61 Nr. 13 Abb. 74 (Grab 13); 113 Nr. 80 Abb. 96 Taf. 122 (Grab 75); 197 Nr. 11 Abb. 124 (Grab 207); 228 Nr. 26 Abb. 134 (Grab 229). s. außerdem Brock 1957, 26 Nr. 221 Taf. 16 (Grab V). Zur Form des Kraters (bell-krater) Brock 1957, 160 f.; Coldstream – Catling 1996, 368–372. 377 f.

offenbar bis in das 6. Jahrhundert hinab fortsetzt³⁵⁸, und Euboia³⁵⁹ oder bei einer Gruppe attischer Lekanen späarchaischer bis frühklassischer Zeitstellung³⁶⁰. Beide Gefäßgruppen lassen sich nicht in einen direkten Zusammenhang mit den Tiefen Schüsseln aus ostgriechischen Befunden bringen, wenngleich das aus Samos publizierte Vergleichsbeispiel des späten 7. oder frühen 6. Jahrhunderts mit seinem konvexen Wandansatz im Gesamterscheinungsbild den späarchaischen Lekanen aus Athen näher steht als den steilwandigen Schüsseln aus Ephesos³⁶¹, die sich formal eher den pithoiden Lekanen aus Azoria auf Kreta anschließen lassen. Die Randmorphologie und insbesondere die Oberflächengestaltung der ionischen Exemplare (mit Ausnahme des bemalten Kraters aus Milet) lassen außerdem eine Adaption von Metallgefäßen möglich erscheinen.

Dass die Tiefen Schüsseln sich von einem originär außerionischen Gefäßrepertoire ableiten lassen dürften und sich in der ionischen Gefäßproduktion auch nicht flächendeckend durchsetzen konnten, sondern eine zahlenmäßig eher kleine Gruppe bildeten, reflektiert sich gut in ihrem eher isolierten Vorkommen in ionischen Befunden. Umso bemerkenswerter ist vor diesem Hintergrund die Fundsituation in Ephesos, wo sich mit immerhin zehn Gefäßen aus den archaischen Siedlungsbefunden ein vergleichsweise gehäuftes Vorkommen abzeichnet. Gemeinsam mit der Übernahme der morphologischen Eigenheiten wohl metallischer Vorbilder scheint auch der Versuch unternommen worden zu sein, den Eindruck metallischer Oberflächen in die keramische Form zu übertragen. Dies wurde einerseits durch die sorgfältige Glättung oder Politur der Tiefen Schüsseln angestrebt, bei der die Gefäßoberfläche gehärtet wird und mitunter durch die Glättungsspuren leicht facettiert erscheint, was an die an Metallgefäßen sichtbaren Bearbeitungsspuren durch das Zurechthämmern und Austreiben der Bleche erinnert. Andererseits ist mit **Kat. 103** auch ein früher Vertreter der Gefäßform in der Gattung der Grauen Ware gegeben, der als einziger keine weitere Oberflächenbehandlung aufweist, was darauf hindeutet, dass der angestrebte Effekt der optischen Angleichung an Metallgefäße bei **Kat. 103** durch ein anderes Mittel erzielt worden war, nämlich den reduzierenden Brand.

Für die Datierung der Tiefen Schüsseln ist das geometrisch bemalte Gefäß aus einem gestörten Befund in der Südstadt von Milet relevant³⁶², dessen heller Überzug an der Gefäßaußenseite wie bei **Kat. 1795** bereits auf eine Entwicklung des 7. Jahrhunderts verweist und die Gefäßform der Tiefen Schüsseln damit in spät- bis subgeometrische Tradition stellt. Die fein polierten Gefäßoberflächen, die die meisten ephesischen Stücke auszeichnen, sind in Milet und Ephesos bei unbemalten Gefäßen, und hier vor allem bei diversen Schüsselformen, ebenfalls in Befunden des frühen 7. Jahrhunderts besonders häufig vertreten³⁶³. In den archaischen Siedlungsbefunden unter der Tetragonos Agora sind die Tiefen Schüsseln in der AG Phase II (**Kat. 103. Kat. 185. Kat. 324. Kat. 625**) und in jenen Horizonten, welche die Bauzeit der AG Phase III bezeichnen (**Kat. 753**), vertreten (Diagramm 34). Das besonders gut erhaltene Gefäß **Kat. 873** aus der Töpferofenverfüllung sowie **Kat. 1221** aus den Planierschichten, welche der Errichtung der Hofhäuser in der AG Phase IV vorausging, weisen das typische Fabrikat vieler gebrauchskeramischer Formen aus Ephesos auf und legen damit eine auch lokale Produktion der Gefäßform bis an das Ende des 7. Jahrhunderts nahe, ein Ansatz, der auch seitens der Schüsseln mit ähnlichem Rand-

³⁵⁸ Dazu Haggis u. a. 2004, 355 f. Abb. 9. 10; Haggis u. a. 2007, 291 Abb. 37. Dies steht im Widerspruch zu Brock 1957, 161, wo auf das Verschwinden der noch aus minoischen Traditionen ableitbaren Gefäße mit vergleichbarer Randmorphologie am Ende der protogeometrischen Zeit verwiesen wird.

³⁵⁹ Vgl. dazu Catling – Lemos 1990, 26 f. 110–114 Nr. 328. 329. 342. 345. 372. 373. 405–413.

³⁶⁰ Vgl. dazu Sparkes – Talcott 1970, 213 f. 361 f. Nr. 1785. 1786. 1799 Abb. 15 Taf. 83. 84.

³⁶¹ s. dazu Furtwängler 1980, 215 Nr. 22 Abb. 19.

³⁶² Vgl. von Graeve 1975, 57 Nr. 71 Abb. 38. Vgl. auch Boehlau – Schefold 1942, 109 Abb. 35 f.

³⁶³ Zu Ephesos vgl. Kerschner 1997a, 128 Nr. 41 Taf. 6; 143 Nr. 64 Taf. 9; 152–154 Nr. 89 Taf. 12; 158–160 Nr. 98–100. 102. 103 Taf. 13. Zu Milet vgl. Kerschner 1999, 38 Nr. 8. 10. 12. 13 Abb. 7; 39 Nr. 18 Abb. 8; 46 Nr. 69 Abb. 15.

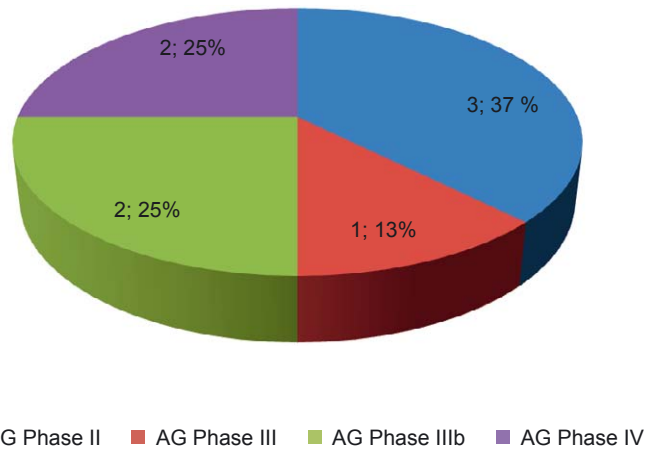


Diagramm 34 Verteilung der Tiefen Schüsseln

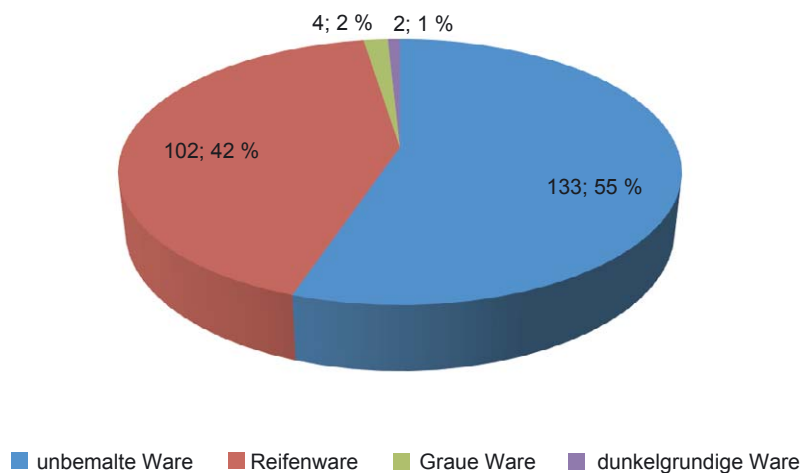


Diagramm 35 Warenverteilung der Schüsseln

profil aus Klaros und aus Samos gestützt wird; Letztere nimmt jedoch bereits die Formgebung der Lekanen des 6. Jahrhunderts (s. u. Kap. 1.B.3.4.1i) vorweg³⁶⁴.

1.B.3.4 SERVIERGEFÄSSE

Unter den Serviergefäßen werden offene Gefäßformen zusammengefasst, deren Funktion primär mit dem Auftragen fester Speisen verbunden ist. Die Abgrenzung zu anderen Funktionsbereichen ist dabei keine stringente, vielmehr muss für bestimmte Schüsselformen eine Nutzung als Essgeschirr, Misch- oder Vorratsgefäß ebenfalls in Betracht gezogen werden.

1.B.3.4.1 Schüsseln

Die Schüsseln bilden mit einer Gesamtzahl von 241 Gefäßen die größte Gruppe innerhalb der Gebrauchskeramik; das Repertoire (Diagramm 35) verteilt sich auf unbemalte und bemalte Gefäße, wobei viele der nichtbemalten Schüsseln eine feine Oberflächenglättung aufweisen.

³⁶⁴ Zu Klaros vgl. de La Genière – Jolivet 2003, 76 f. Nr. 5 Abb. 23 (2. Hälfte 7. Jh.). Zu Samos s. Furtwängler 1980, 172. 215 Nr. 22 Abb. 19 (Phase III).

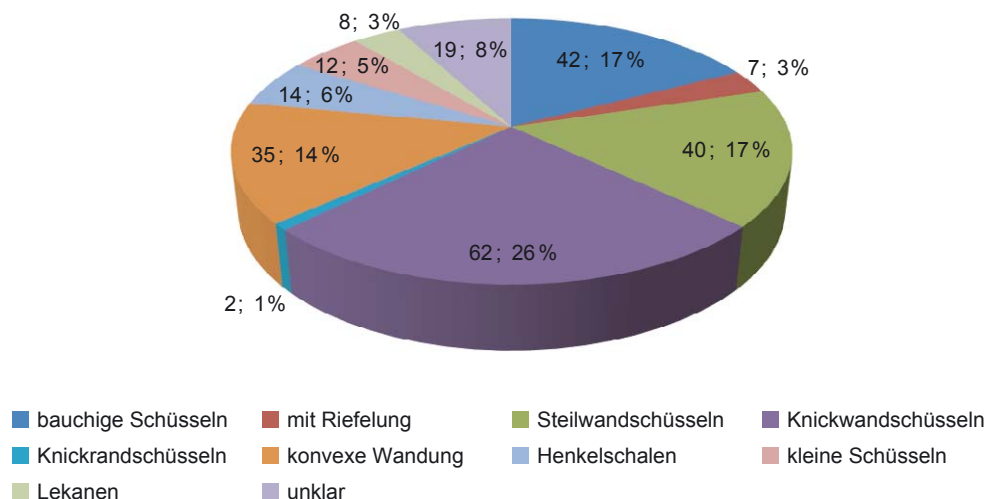


Diagramm 36 Übersicht der Schüsselformen

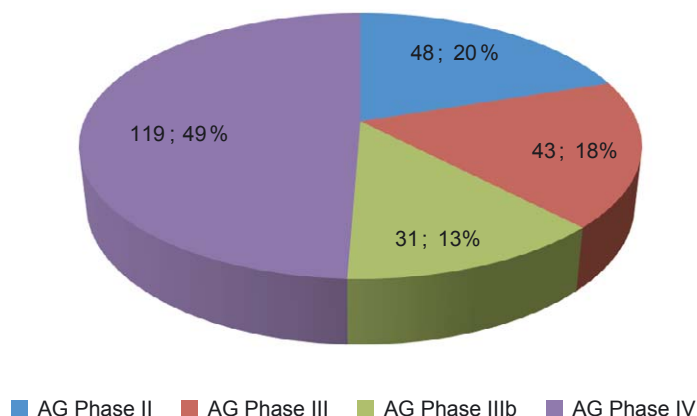


Diagramm 37 Verteilung der Schüsseln

Nur wenige Schüsseln sind der Grauen Ware und der Dunkelgrundigen Ware zugehörig; ein heller Gefäßüberzug, wie er für orientalisierende Gefäße üblich ist, scheint nur bei **Kat. 280** auf. Da dieser jedoch auch ohne orientalisierenden Maldekor üblich ist, muss hier nicht von einer feinkeramischen Schüssel ausgegangen werden.

Allein die Menge und die Vielfalt der Varianten (Diagramm 36) zeugen beginnend mit der AG Phase II davon, dass Schüsseln über die gesamte archaische Zeit hinweg im keramischen Inventar ephesischer Siedlungskontexte eine tragende Rolle in unterschiedlichen Anwendungen gespielt haben müssen (Diagramm 37).

1.B.3.4.1a Bauchige Schüsseln

Als bauchige Schüsseln werden Gefäße unterschiedlicher Tiefe und Größe zusammengefasst, denen eine konvex gewölbte Außenkontur gemeinsam ist und deren tendenziell zur Mündung hin einziehende Wandung den Gefäßen einen geschlossenen Charakter verleiht. Die bauchigen Schüsseln aus den archaischen Siedlungsbefunden in Ephesos illustrieren den Variantenreichtum der Gruppe.

Kat. 46 weist einen annähernd senkrechten oberen Wandverlauf auf und verjüngt sich an der kaum eingezogenen Mündung. Die zu erschließende Ganzform mit tiefem Schüsselbecken steht formal den randfalzlosen Kotylen nahe und ließe sich auch zu einer Omphalosschale ergänzen; die fein und facettiert polierte Oberfläche könnte als Reminiszenz metallischer Vorbilder zu verstehen sein, womit eine Omphalosschale als ursprüngliche Ganzform an Wahrscheinlichkeit gewänne³⁶⁵.

Der deutlich einziehende Rand von **Kat. 47** verdickt sich kontinuierlich tropfenförmig, findet sein überzeugendstes Vergleichsbeispiel in einer aus Borysthenes publizierte Schüssel der Grauen Ware³⁶⁶ und wäre demnach nicht vor dem ausgehenden 7. Jahrhundert einzuordnen³⁶⁷. **Kat. 47** aus dem Zerstörungshorizont der AG Phase II belegt die seltene Randform indes schon vor der Jahrhundertmitte, wenn auch nicht in der Grauen Ware. Daneben findet die Randform von **Kat. 47** Vorbilder bei Bronzeschüsseln schon seit protogeometrischer Zeit³⁶⁸.

Die Schüsseln **Kat. 48**, **Kat. 138**, **Kat. 275**, **Kat. 276**, **Kat. 367**, **Kat. 415**, **Kat. 492**, **Kat. 574**, **Kat. 702**, **Kat. 843**, **Kat. 1601**, **Kat. 1683**, **Kat. 1684** und **Kat. 1796** bilden kaum bis stark keilförmig verdickte Ränder mit mehr oder weniger scharfkantig nach innen abgeschrägten Oberkanten aus, die bei **Kat. 48**, **Kat. 367** und **Kat. 1683** auch an der Außenseite leicht abgesetzt sind. Bei **Kat. 49**, einer bauchigen Schüssel der Grauen Ware, und **Kat. 1222** ist der leichte Absatz an der Außenseite schon deutlicher als kleiner Kragen ausgeprägt. Das Verbreitungsmuster der bauchigen Schüsseln mit keilförmig verdicktem und nach innen abgeschrägtem Rand vor allem in den AG Phasen II und III sowie in den Bauhorizonten der AG Phase IV belegen gemeinsam mit den wenigen Vergleichsbeispielen aus anderen ostgriechischen Befunden³⁶⁹ eine Verbreitung der Gefäßform im 7. Jahrhundert, wobei die vielfach unbemalten und geglätteten Oberflächen eine Gestaltungsbesonderheit seit der ersten Hälfte des 7. Jahrhunderts sind und auf die Adaption metallischer Gefäßvorbilder in das keramische Repertoire hindeuten. Auch die Randmorphologie findet enge Parallelen bei Bronzeschüsseln³⁷⁰.

Kat. 325 zeichnet sich durch einen markanten Wandknick im unteren Bereich und einen wie auch bei **Kat. 548**, **Kat. 626**, **Kat. 961** und **Kat. 1223** nach außen abgeschrägten, leicht verdickten Rand mit gewölbter Oberkante aus. Auch der kantig verjüngte Rand der dünnwandigen Schüssel **Kat. 368** fällt nach außen ab. Bei **Kat. 547** läuft die konvexe Gefäßwandung in einer gerade abgestrichenen Lippe aus. Damit wird die Grundform der oben besprochenen bauchigen Schüsseln mit nach innen abgeschrägter Randoberkante variiert. Verbreitungsmuster, Oberflächengestaltung und Vergleichsbeispiele³⁷¹ verweisen in Analogie dazu auch für die bauchigen Schüsseln mit nach außen abgeschrägter oder gerade abgestrichener Lippe auf eine Datierung im 7. Jahrhundert.

Kat. 186, **Kat. 546**, **Kat. 754**, **Kat. 785**, **Kat. 1355**, **Kat. 1461**, **Kat. 1682**, **Kat. 1720**, **Kat. 1895** und **Kat. 1896** bilden dagegen einen flach wulstförmig bis kantig verdickten Rand aus, der leistenartig nach außen vorspringt. In dieser Gruppe treffen unbemalte, ähnlich den bisher besprochenen Gruppen polierte Gefäße (**Kat. 186**, **Kat. 754**, **Kat. 785**, **Kat. 1355**, **Kat. 1461**, **Kat. 1720**, **Kat. 1895**, **Kat. 1896**) und mit Reifen und Wellenbändern bemalte Gefäße (**Kat. 546**,

³⁶⁵ Für eine Omphalosschale mit vergleichbar steilem Rand aus dem Artemision von Ephesos s. Klebinder-Gauß 2007, 138 f. 267 Nr. 820 Taf. 64. Vgl. auch Payne 1940, Nr. 2 Taf. 55.

³⁶⁶ Vgl. Kerschner 2006b, 152 f. Abb. 27.

³⁶⁷ Zur chronologischen Einordnung der griechischen Besiedlung in Borysthenes s. Solovyov 1999, bes. 1–9. 48–52. Zu der keramischen Evidenz in Bezug auf den Beginn der griechischen Kolonisation im Schwarzmeerraum haben sich u. a. Boardman 1998b und Kerschner 2006d geäußert.

³⁶⁸ Dazu Coldstream – Catling 1996, 161 Nr. 63 Abb. 172 (Grab 107); 199 Nr. 6 Abb. 172 (Grab 207); Klebinder-Gauß 2007, 136 f. 267 Nr. 817. 818 Taf. 63; 143 f. 268 Nr. 833–835 Taf. 68.

³⁶⁹ Vgl. zu Samos Technau 1929, 36 Nr. 1 Abb. 28; Kopcke 1968, 269 Nr. 51 Abb. 19 Taf. 103; zu Ephesos s. Kerschner 1997a, 159 Nr. 99 Taf. 13. Vgl. für das Metallvorbild Klebinder-Gauß 2007, 138 f. 267 Nr. 820 Taf. 64.

³⁷⁰ Vgl. Coldstream – Catling 1996, 220–223 Nr. 59. 66a. 78. 88a. 100a. 100b. 119. Abb. 167. 168 (Grab 219); Sams 2011, 62 Abb. 4, 5.

³⁷¹ Vgl. zu Didyma Schattner 2007, Nr. SchA1 5 Abb. 106; zu Ephesos Kerschner 1997a, 143 Nr. 64 Taf. 9; Kerschner 2003a, 57 Nr. 3 Abb. 9; zu Pergamon Radt 1992, 191 Nr. 3 Abb. 4.

Kat. 1682) aufeinander. Bis auf die mit ihrer weit eingezogenen Mündung den Dinoi verwandte Schüssel **Kat. 1683** sind die Gefäße dieser Gruppe in Analogie zu vergleichbaren Schüsseln zwischen dem mittleren 7. und dem mittleren 6. Jahrhundert einzuordnen³⁷², wobei für die polierten Schüsseln **Kat. 186** und **Kat. 1355** bereits die erste Hälfte des 7. Jahrhunderts in Betracht zu ziehen sein wird; ein Ansatz, der für **Kat. 186** durch seine Fundlage in der AG Phase II bekräftigt wird³⁷³. Die große und schwere Schüssel **Kat. 1896** gehört der Grauen Ware an und weist ebenfalls eine sorgfältig polierte Oberfläche auf. Sie findet ihre engsten Parallelen in Befunden noch des zweiten Viertels des 7. Jahrhunderts in Chios mit einem Gefäß derselben Grauen Ware³⁷⁴.

Bei **Kat. 627** und **Kat. 1514** biegt die nur leicht einziehende Wand in einen kurzen Flachrand um, der bei **Kat. 627** zusätzlich durch eine konkave Einziehung im oberen Wandbereich abgesetzt ist. Beide Gefäße weisen den im 7. Jahrhundert für die ionischen Gebrauchswaren so typischen Dekor aus Reifen und Wellenbändern auf und finden enge Vergleiche in Befunden der zweiten Hälfte des 7. Jahrhunderts³⁷⁵, ein Ansatz, der mit der Fundlage der Stücke in Horizonten der AG Phase III und im Bauhorizont der AG Phase IV gut übereinstimmt. Auch das Wandfragment **Kat. 912** einer tiefen, bauchigen Schüssel wird in diesem zeitlichen Rahmen anzusetzen sein.

Bei dem singulären Stück **Kat. 1224** ist der Rand zu einer überhängenden Lippe umgeschlagen. Die Vergleichsbeispiele aus Taucheira und Chios stammen aus Befunden, die zwischen dem ausgehenden 7. und dem mittleren 6. Jahrhundert³⁷⁶ datieren; die Fundlage von **Kat. 1224** in einem Baubefund der AG Phase IV unterstützt den frühen Datierungsansatz an der Wende zum 6. Jahrhundert.

Die dünnwandige Schüssel **Kat. 1897** bildet eine kleine, dreieckige Lippe aus. Das formal nächste Stück zu **Kat. 1897** findet sich mit **Kat. 918** ebenfalls in der Siedlung unter der Tetragonos Agora; beide Gefäße scheinen aus dem typischen Fabrikat lokaler Gebrauchswaren hergestellt worden zu sein.

Bauchige Schüsseln können mit unterschiedlichen Handhaben ausgestattet sein. **Kat. 138** verfügt über eine breite, randständige Leiste mit zwei schmalen, vertikalen Durchbohrungen; eine darin befestigte Schnur könnte der Aufbewahrung des Gefäßes an einer Hängevorrichtung, aber auch dem Transport der Schüssel gedient haben. Bei **Kat. 325**, **Kat. 415**, **Kat. 545**, **Kat. 843** und **Kat. 1796** zeichnen sich bandförmige Schlaufenhenkel ab, die besonders für Gefäße noch der ersten Hälfte des 7. Jahrhunderts nachgewiesen sind³⁷⁷ und die damit als weiteres Indiz die oben für diese Schüsseln vorgeschlagene Datierung bekräftigen. **Kat. 702** ist mit einem englichtigen, randständigen Horizontalhenkel ausgestattet.

Über die Bodenform bauchiger Schüsseln lässt sich wenig aussagen; wahrscheinlich ist hier in Analogie zu der Vielfalt, die sich für die Randformen und Proportionen abzeichnet, auch mit einer heterogenen Bodengestaltung zu rechnen. Für breit gelagerte bauchige Schüsseln sind mit der zur Hälfte erhaltenen Schüssel³⁷⁸ **Kat. 702** weite, kantige Standringe belegt. Bei der tiefen, bauchigen Schüssel **Kat. 785** zeichnet sich im unteren Fragmentbereich hingegen der Ansatz zu einer abgesetzten Bodenplatte ab. Darüber hinaus sind flache Bodenplatten, die direkt in die konvexe Gefäßwand übergehen (**Kat. 760**, **Kat. 1687**), für bauchige Schüsseln denkbar.

³⁷² Zu Samos vgl. Kopcke 1968, 269 Nr. 50 Abb. 19 Taf. 103; Isler 1978b, 160 Nr. 606 Beil. 19; Furtwängler – Kienast 1989, 120 Nr. 5 Abb. 23. Zu Ephesos vgl. Kerschner 1997a, 124 Nr. 32 Taf. 5; s. außerdem Kleiner u. a. 1967, Taf. 8 c; Voigtländer 1986b, 667 Nr. 126 Abb. 33; Radt 1992, 199 Nr. 33 Abb. 4.

³⁷³ Wiederum sind vergleichbare Randmorphologien von Bronzeschüsseln bekannt. Vgl. dazu etwa Payne 1940, 155 Nr. 3 Taf. 55 (ohne Omphalos).

³⁷⁴ s. dazu Boardman 1967, 135 Nr. 461 Abb. 84. Vgl. außerdem Furtwängler – Kienast 1989, 128–130 Nr. 2 Abb. 26 Taf. 29; Bayne 2000, 161. 169 Nr. 5 Abb. 45; Schattner 2007, Nr. SB5 1 Abb. 55.

³⁷⁵ Vgl. zu Samos Technau 1929, 34 Nr. 4 Abb. 26; Furtwängler 1980, 210 Nr. 12 Abb. 17.

³⁷⁶ Vgl. dazu Boardman 1967, 117 Nr. 148 Abb. 71; Hayes 1973, 30 Nr. 2059 Abb. 12 Taf. 17; 35 Nr. 2086 Abb. 15.

³⁷⁷ Etwa in den subgeometrischen Befunden am Kalabaktepe von Milet mit Inv. K07/15.46. K08/41.207. K08/41.211. Dankenswerte Information von M. Kerschner.

³⁷⁸ Für ihre freundliche Hilfsbereitschaft beim Zusammensetzen des wichtigen Gefäßes danke ich M. Eser.

Die meisten der bauchigen Schüsseln tragen keinen malerischen Dekor; die reifendekorierten Gefäße **Kat. 546**, **Kat. 627** und **Kat. 1224** sowie **Kat. 1514** und **Kat. 1682** mit Wellenbanddekor bilden hier eine Ausnahme. Dafür weisen mit **Kat. 46**, **Kat. 48**, **Kat. 138**, **Kat. 186**, **Kat. 275**, **Kat. 276**, **Kat. 325**, **Kat. 492**, **Kat. 545**, **Kat. 702**, **Kat. 1355** und **Kat. 1796** viele der bauchigen Schüsseln ähnlich wie die oben besprochenen Tiefen Schüsseln eine gut geglättete bis polierte Oberfläche auf. Damit ist in der spezifischen Oberflächenbehandlung der bauchigen Schüsseln möglicherweise eine auch für diese Gefäße vorbildhafte Wirkung von Metallgefäßen angezeigt. Der Bestand an bauchigen Schüsseln in der Gattung der Grauen Ware (**Kat. 49**, **Kat. 1896**) ist mit dieser Überlegung ebenfalls gut vereinbar³⁷⁹. Die ungebrochenen Konturen der bauchigen Schüsseln lassen sich jedenfalls gut von metallischen Formen herleiten, wo die Zuformung der Gefäße durch das Austreiben von Metallblechen sich ebenfalls eher für fließende Konturen eignet³⁸⁰.

1.B.3.4.1b Schüsseln mit Riefelung

Die Schüsseln mit Riefelung bilden eine kleine und sehr heterogene Gruppe, deren Gemeinsamkeit sich im Wesentlichen auf die Gestaltung der unbemalten Gefäßoberfläche durch eingetiefte Rillen beschränkt. Diese können die Schüsselwandung (**Kat. 79**, **Kat. 685**, **Kat. 914**, **Kat. 918**, **Kat. 962**) oder den Rand (**Kat. 965**, **Kat. 1356**) schmücken. Die feine Glättung der Oberfläche, die Formgebung und der Rillendekor machen für die Schüsseln mit Riefelung wiederum einen Zusammenhang mit Metallgefäßen wahrscheinlich, der durch die Exemplare der Grauen Ware in dieser Gruppe weiter unterstrichen wird³⁸¹.

Kat. 79 steht mit seinem konvex gewölbten Schüsselbecken und dem flach wulstig verdickten Rand den bauchigen Schüsseln nahe, während **Kat. 685** und die gut polierte, flache Schüssel **Kat. 962** bis auf die tiefe Rillenzier die Knickwandschüsseln (s. u. Kap. 1.B.3.4.1d) zitieren. Vergleichbare kleine, unbemalte Schüsseln mit Riefelung und polierter Oberfläche sind aus der subgeometrischen Aufschüttung vom Kalabaktepe bei Milet und in der Opferschicht G aus dem Artemision von Ephesos bekannt³⁸² und demzufolge zwischen dem ersten und dem dritten Viertel des 7. Jahrhunderts einzugrenzen. Ähnliches gilt für die Schüssel **Kat. 914**, die wie **Kat. 962** die Form der Knickwandschüssel mit mehrfacher Rillenzier kombiniert und wiederum ein enges Vergleichsstück in der subgeometrischen Aufschüttung vom Kalabaktepe in Milet findet. In Chios findet sich ein ähnliches Gefäß der Grauen Ware in einem Befund des letzten Viertels des 7. Jahrhunderts³⁸³.

Die Schüsseln **Kat. 918** und **Kat. 965** sind singuläre Stücke. **Kat. 965** zeichnet sich durch einen schräg ausgestellten Flachrand und tiefen Rillen an der Randaußenkante aus, bei **Kat. 918** betonen feine Rillen den Übergang vom kalottenförmigen Gefäßbecken in den kleinen, kantigen Rand, der an die bauchige Schüssel **Kat. 1897** erinnert; das Fabrikat legt für beide Schüsseln **Kat. 918** und **Kat. 965** eine lokale ephesische Produktion nahe, die bei **Kat. 965** durch die Fundlage im Umfeld des Töpferofens zusätzlich an Wahrscheinlichkeit gewinnt.

Kat. 1356 gehört der Gattung der Grauen Ware an und ist innerhalb dieser einer gut belegten Gruppe von flachen Schüsseln mit kantig akzentuiertem Schüsselbecken und ausgestelltem Flachrand mit Rillenzier an der Oberkante zugehörig. In der Nekropole von Assos werden vergleichbare Gefäße mit und ohne Rillendekor zwischen dem mittleren 7. und dem mittleren

³⁷⁹ Zu der Schüsselform in der Grauen Ware vgl. Boehlau – Schefold 1942, 88 Abb. 27 b; Gebauer 1992, 81 Nr. 14 Abb. 2; Uthli 1999, 156 Nr. 243 Abb. 326.

³⁸⁰ Vgl. beispielsweise Payne 1940, 151; Brock 1957, 136 Nr. 1574 Taf. 112 (Grab P); Coldstream – Catling 1996, Nr. G.f2.3. Q.f19 Abb. 156.

³⁸¹ Zu Metallschüsseln mit Riefeldecor s. Klebinder-Gauß 2007, 148 f. 270 Nr. 867 Taf. 76.

³⁸² Zu Milet s. Kerschner 1999, 38 Nr. 13 Abb. 7. Zu Ephesos vgl. Kerschner 1997a, 111 Nr. 7 Taf. 2.

³⁸³ Vgl. zu Chios Boardman 1967, 135 Nr. 464 Abb. 84; zu Milet Kerschner 1999, 38 Nr. 12 Abb. 7.

6. Jahrhundert eingeordnet³⁸⁴, ein weiteres gutes Vergleichsbeispiel findet sich in den Zerstörungsbefunden von Assesos³⁸⁵.

1.B.3.4.1c Steilwandschüsseln

Als Steilwandschüsseln werden Schüsseln bezeichnet, deren Wandung von einem flachen bis konischen Beckenboden mit einem markanten Knick in eine steile, hohe Schüsselwandung umknicken³⁸⁶. Diese kann eine konkave Einziehung aufweisen (**Kat. 187. Kat. 279. Kat. 660. Kat. 1225. Kat. 1292. Kat. 1603**), leicht schräg ausgestellt sein (**Kat. 188. Kat. 189. Kat. 253. Kat. 1002. Kat. 1003. Kat. 1036. Kat. 1112. Kat. 1721**), senkrecht verlaufen (**Kat. 277. Kat. 278. Kat. 369. Kat. 370. Kat. 549. Kat. 755. Kat. 913. Kat. 1035. Kat. 1113. Kat. 1114. Kat. 1226. Kat. 1515. Kat. 1516. Kat. 1518. Kat. 1797. Kat. 1798**) oder gar leicht konisch einziehen (**Kat. 326. Kat. 474. Kat. 550. Kat. 551. Kat. 628. Kat. 659. Kat. 756. Kat. 1517. Kat. 1602. Kat. 1685. Kat. 1847**). Auch der Schüsselrand kann sehr unterschiedlich geformt sein; am häufigsten sind gerade abgestrichene, kaum verdickte Ränder mit fallweise abgeschrägten Oberkanten (**Kat. 187–Kat. 189. Kat. 277. Kat. 278. Kat. 326. Kat. 369. Kat. 370. Kat. 660. Kat. 755. Kat. 1721. Kat. 1797**) und kantig verdickte, außen schnabelförmig abgesetzte Ränder (**Kat. 253. Kat. 279. Kat. 549–Kat. 551. Kat. 628. Kat. 659. Kat. 913. Kat. 1002. Kat. 1036. Kat. 1112–Kat. 1114. Kat. 1225. Kat. 1226. Kat. 1515–Kat. 1518. Kat. 1602. Kat. 1603. Kat. 1685. Kat. 1798. Kat. 1847**). Bei **Kat. 1035** ist der Rand als schmale Randplatte ausgeformt.

Die dickwandigen Steilwandschüsseln **Kat. 659** und **Kat. 1847** stehen mit ihrer steilen Wandung und dem zu einer kantigen Leiste verdickten Rand jener Variante der Steilwandschüsseln am nächsten, die von den figürlich bemalten Gefäßen aus Chios, Milet, Samos, Rhodos und Zypern³⁸⁷ bekannt sind. Im Unterschied zu den Gefäßen der Tierfriesmalerei weist die unbemalte Variante **Kat. 1847**, welche in etwa gleichzeitig mit den aufwendigen Gefäßen der Tierfrieskeramik datieren dürfte, einen Standring anstelle eines hohen Fußes auf. Ein weiteres Merkmal, das die unbemalten Steilwandschüsseln von den orientalisierenden Gefäßen abhebt, sind die vertikalen, attachenartigen Handhaben, welche an die Stelle der englichtigen Bandhenkel treten. In Milet sind vergleichbare Handhaben für wesentlich flachere Schüsselformen belegt, die sowohl orientalisierenden Dekor tragen als auch unbemalt bleiben können³⁸⁸; **Kat. 659** könnte mit seinem Fabrikat nach Milet verweisen, während die geochemischen Analysen für **Kat. 1847** eine lokal ephesische Herstellung argumentierbar machen (s. u. Kap. 4.D.3). Die Gefäßform der Steilwandschüssel tritt in ostgriechischen Befunden gemeinhin erstmals in Kombination mit der Tierfriesmalerei der Phase SiA Ib im mittleren 7. Jahrhundert auf³⁸⁹ und bleibt bis in die Phase SiA Id nachweisbar. Zumindest für die in ihrer Formgebung unmittelbar vergleichbaren Steilwandschüsseln **Kat. 659** und **Kat. 1847** ist eine analoge Datierung zwischen dem mittleren 7. und dem ersten Viertel des 6. Jahrhunderts damit sehr wahrscheinlich.

Bei **Kat. 253, Kat. 279, Kat. 474, Kat. 549–Kat. 551, Kat. 628, Kat. 913, Kat. 1002, Kat. 1003, Kat. 1035, Kat. 1036, Kat. 1112–Kat. 1114, Kat. 1225, Kat. 1292, Kat. 1518, Kat. 1602, Kat. 1603, Kat. 1685** und **Kat. 1798** bleibt die oben besprochene Grundform zwar erhalten, sie wird jedoch für dünnwandigere und leichter proportionierte Gefäße umgesetzt, und

³⁸⁴ Zu Assos vgl. Utili 1999, 252 f. Nr. 710–720 Abb. 39.

³⁸⁵ Dazu Kalaitzoglou 2008, 130. 391 Nr. 365 Taf. 71.

³⁸⁶ Der Begriff wurde von Villing 1999, 189 in die Forschungsliteratur eingeführt. Zur Gefäßform s. Kinch 1914, 211–213. 218; Schiering 1957, 34; Walter-Karydi 1973, 18; Gjerstad 1977b, 34; zuletzt Villing 1999, 189–194.

³⁸⁷ Zu Chios s. Lemos 1991, 133 f. (Sphinx and Lion Style). Zu Zypern s. Walter-Karydi 1973, 18. 124 Nr. 265 Taf. 23; Gjerstad 1977b, 34 Nr. 151; zu Samos s. Technau 1929, 22 f. Nr. 17 Abb. 17; Walter-Karydi 1973, 18. 124 Nr. 264 Taf. 24. Zu Milet s. von Graeve 1987, 15 Nr. 3. 5 Abb. 2 Taf. 5; Villing 1999, 189–194. Zu Rhodos s. Kinch 1914, 211–213. 218 Abb. 102; Schiering 1957, 34.

³⁸⁸ s. dazu Villing 1999, 194–202 Nr. 7 Abb. 10; Nr. 11 Abb. 16.

³⁸⁹ Dazu Villing 1999, 190; Kerschner – Schlotzhauer 2005, 18. 23 Abb. 18.

ein wulstiger bis schnabelförmig verdickter Rand ersetzt die schwere kantige Randleiste. Bis auf die wenigen unbemalten und teils gut geglätteten Gefäße **Kat. 253**, **Kat. 913**, **Kat. 1002** und **Kat. 1035** sind die Schüsseln dieser Gruppe mit Firnisdekor versehen. Dieser zeigt sich in Form von am Gefäß umlaufenden Bändern und breiten Firniszonen (**Kat. 474**, **Kat. 549**, **Kat. 551**, **Kat. 1003**, **Kat. 1113**, **Kat. 1225**, **Kat. 1292**, **Kat. 1518**, **Kat. 1602**, **Kat. 1603**); selten lassen sich Wellenbänder (**Kat. 550**, **Kat. 1112**) und Gruppen schräger Striche und Balken an der Randoberkante (**Kat. 550**) nachweisen. Bei **Kat. 628**, **Kat. 1036** und **Kat. 1114** ist ein einfacher, flächiger Überzug gegeben, welcher auch die gesamte innere Oberfläche bedeckt, die bei den meisten Steilwandschüsseln gegenüber der Außenseite vernachlässigt wird und bis auf ein breites Lippenband unter dem Rand im Regelfall unbemalt bleibt. Bei der Schüssel der Grauen Ware **Kat. 279** wird der dunkle Gesamteindruck durch ein ausgespartes Band an der Randoberkante und im Bereich des Wandumbruchs aufgelockert. **Kat. 1798** ist über die feinen in Deckweiß aufgetragenen Reifen der Gattung der Dunkelgrundigen Ware anzugliedern. Alle diese Dekorvarianten reihen sich problemlos in das Repertoire der ostgriechischen Alltagskeramik des 7. Jahrhunderts ein³⁹⁰, die Fundlage von **Kat. 253** in einem Bodenniveau der AG Phase II macht eine Datierung noch vor der Mitte des 7. Jahrhunderts wahrscheinlich. Exemplare mit einfachem Zonendekor und flachen Oberkanten (**Kat. 279**, **Kat. 549**, **Kat. 551**) werden in Samos bereits als späte Ausprägung des beginnenden 6. Jahrhunderts verstanden, während Wellenbanddekor die Schüsseln des 7. Jahrhunderts kennzeichnet³⁹¹. Steilwandschüsseln der Dunkelgrundigen Ware (**Kat. 1798**) sind im Artemision von Ephesos in einem Befund des ausgehenden 7. Jahrhunderts mit einem Stück vertreten³⁹². Die kleine Randplatte von **Kat. 1035** scheint ebenfalls einer erst späten Entwicklung vor allem des 6. Jahrhunderts anzugehören und findet Parallelen bei Knickwandschüsseln desselben Zeithorizonts³⁹³. Die Steilwandschüsseln mit schnabelförmig vorgezogenem Rand stellen die größte Gruppe in den archaischen Siedlungsniveaus dar und verzeichnen ein gehäuftes Vorkommen in den Befunden der AG Phase III und den Bau- und Nutzungshorizonten der AG Phase IV.

Die Schüsseln **Kat. 756** und **Kat. 1515–Kat. 1517** variieren den Typus mit schnabelförmig vorgezogenem Rand, indem sie die steile Wandpartie überproportional erhöhen. Da es sich durchwegs um große Gefäße handelt, liegt die Gefahr einer Verwechslung mit den Dinoi mit konisch eingezogenem Hals (s. o. Kap. 1.B.3.2.2.b) vor, doch kann eine solche Zuordnung für die genannten Gefäße bei näherer Betrachtung ausgeschlossen werden. Bei dem Wandfragment **Kat. 756** hat sich mit dem markanten Wandumbruch das distinktive Merkmal erhalten, das die Steilwandschüsseln des Typs von den Dinoi abgrenzt; bei **Kat. 1516** zeichnet sich der Übergang in den Wandumbruch nur ab, bei **Kat. 1517** ist er im Ansatz bereits gegeben. Bis auf **Kat. 1515** sind die hohen Steilwandschüsseln zusätzlich zu der Bänderung des Gefäßkörpers mit einem Wellenband geschmückt, bei **Kat. 1516** kommen eine Bänderung der inneren Randzone und Gruppen schräger Balken an der Randoberkante hinzu, bei **Kat. 1517** ist die Gefäßoberfläche mit einem hellen Malgrund bedeckt. Hohe Steilwandschüsseln sind aus Chios und Samos, allerdings

³⁹⁰ Zu vergleichbaren Schüsseln s. für Samos Technau 1929, 34 Nr. 2 Abb. 26; Eilmann 1933, 115 Abb. 58 f; Walter – Vierneisel 1959, 20 Beil. 44, 3; Furtwängler 1980, 172. 222 Nr. 18 Abb. 22; Furtwängler – Kienast 1989, 96, 112 Nr. 11. 12 Abb. 19 Taf. 21; 119 Nr. 4 Abb. 22; zu Milet vgl. Kerschner 1999, 18. 38 Nr. 10 Abb. 7; zu Ephesos s. Gassner 1997, 33 Nr. 31. 33 Taf. 2; Kerschner 1997a, 57. 182–185 Nr. 2 Abb. 9; 128 Nr. 41 Taf. 6; 156 Nr. 95 Taf. 13; Kerschner 2003a, 57 Nr. 2 Abb. 9; zu Klaros s. de La Genière 1992, 73 Nr. 78 Abb. 7; de La Genière – Jolivet 2003, 76 Nr. 2 Abb. 22; zu Chios vgl. Boardman 1967, 117 Nr. 155 Abb. 71; vgl. außerdem auch Lambrino 1938, 203 Nr. 39 Abb. 159; Boehlau – Schefold 1942, 144 f. Abb. 59 e; Villard – Vallet 1955, Nr. 10 Abb. B; Condurachi 1966, 494 Nr. 664 Taf. 62; Alexandrescu 1978, 122 Nr. 798 Abb. 35; Voigtländer 1986b, 667 Nr. 123 Abb. 33; Radt 1992, 231 Nr. 5 Abb. 8; Boldrini 1994, 248 f. Nr. 502 Taf. 23; Schattner 2007, Nr. SC1 4. SC1 5 Abb. 59; Yılmaz 2008, 256 Nr. 30 Abb. 33; 257 Nr. 32 Abb. 35.

³⁹¹ Dazu Furtwängler – Kienast 1989, 96.

³⁹² Dazu Kerschner 1997a, 156 Nr. 97 Taf. 13.

³⁹³ Vgl. Alexandrescu 1978, 122 Nr. 802 Abb. 35; Voigtländer 1986b, 664 Nr. 113 Abb. 32.

ohne den Wellenbanddekor, publiziert und dort in Befunden des dritten Viertels des 7. Jahrhunderts vergesellschaftet³⁹⁴.

Die Steilwandschüsseln mit kaum bis keilförmig verdicktem Rand stehen in ihren Proportionen und den Dekorvarianten den Steilwandschüsseln mit schnabelförmig vorgezogenem Rand nahe. Unbemalte Gefäße (**Kat. 188. Kat. 369. Kat. 370. Kat. 1721**) kommen ebenso vor wie Schüsseln mit breiten Firmisbändern (**Kat. 187. Kat. 755. Kat. 1292. Kat. 1797**) und Schüsseln mit flächigem Überzug (**Kat. 189. Kat. 1225**). In den ephesischen Siedlungsbefunden sind die ersten Steilwandschüsseln der Variante mit keilförmig verdicktem Rand vereinzelt bereits in den Zerstörungsbefunden der AG Phase II vergesellschaftet. Die gegenüber den anderen Typen etwas frühere Datierung der Steilwandschüsseln mit keilförmig verdicktem Rand gewinnt durch Exemplare in der subgeometrischen Aufschüttung vom Kalabaktepe bei Milet und durch ein Gefäß mit noch subgeometrischer Bemalung aus den Befunden im Artemision von Ephesos an Wahrscheinlichkeit³⁹⁵.

Für **Kat. 277** mit annähernd geradem, leicht verjüngtem Rand und nach innen abgeschrägter Oberkante ist auch eine Ansprache als Deckel möglich (s. u. Kap. 1.B.3.4.3b).

Kat. 278 zeichnet sich dadurch aus, dass die steile Schüsselwandung direkt in eine weite, flache Bodenplatte übergeht, welche dem Gefäß einen beckenartigen Charakter verleiht, während für die übrigen Steilwandschüsseln in Analogie zu den genannten Vergleichsbeispielen aus ostgriechischen Befunden und auch im Hinblick auf die große Steilwandschüssel **Kat. 1847** Standrings ergänzt werden können. Niedrige, kantige Standrings wie **Kat. 759, Kat. 984, Kat. 1040, Kat. 1131, Kat. 1134** und **Kat. 1722** sind dabei freilich auch für die im Anschluss zu besprechenden Knickwandschüsseln denkbar, während für die dickwandigeren Bodenfragmente **Kat. 366, Kat. 522** und **Kat. 874** Kratere als mögliche Ganzformen in Frage kommen. Die chronologische Einordnung der Standringsfragmente ist schwierig; grundsätzlich scheinen weit ausgestellte Standrings jedoch eine Entwicklung erst des 6. Jahrhunderts widerzuspiegeln, was mit der Fundlage von **Kat. 1040** und **Kat. 1722** in Befunden der AG Phase IV gut übereinstimmt.

1.B.3.4.1d Knickwandschüsseln

Mit den Knickwandschüsseln begegnet in den archaischen Siedlungsbefunden eine zweite variantenreiche Schüsselform. Das distinktive Merkmal des Wandknicks rückt sie in die Nähe der Steilwandschüsseln, doch sind die Knickwandschüsseln grundsätzlich flacher proportioniert und der Umbruch in den meist schräg gestellten oberen Wandbereich fällt im Regelfall weniger scharfkantig aus als bei den Steilwandschüsseln; mitunter kann er zu einer weichen Kurve verschliffen sein.

Die am häufigsten vertretene Variante der Knickwandschüsseln verfügt über ein flaches Gefäßbecken, das mehr oder weniger akzentuiert in eine kurze, schräg ausgestellte Wand umbiegt und einen kleinen, schnabelförmig vorgezogenen Rand ausbildet, wie er schon von den Steilwandschüsseln bekannt ist. Die Gefäße sind meist unbemalt und weisen mitunter gut geglättete bis polierte Oberflächen auf. Bei den bemalten Schüsseln beschränkt sich der Dekor bevorzugt auf eine Bänderung des Randbereichs (**Kat. 104. Kat. 523. Kat. 1037. Kat. 1115. Kat. 1116. Kat. 1118–Kat. 1121** und **Kat. 1851**).

Die unbemalten Schüsseln **Kat. 416, Kat. 442, Kat. 576, Kat. 577, Kat. 819, Kat. 844, Kat. 915, Kat. 916, Kat. 963, Kat. 964, Kat. 1005, Kat. 1247, Kat. 1408, Kat. 1520–Kat. 1522, Kat. 1526, Kat. 1803, Kat. 1804** und **Kat. 1854** weisen dagegen eher fließende Konturen auf und der kaum verdickte, meist gerade abgestrichene Rand ist außenseitig kaum vom Schüsselbecken abgesetzt. **Kat. 1527** ist diesen Schüsseln in der Form unmittelbar vergleichbar, der flächig

³⁹⁴ Zu Chios s. Boardman 1967, 117 Nr. 147 Abb. 71. Zu Samos vgl. Furtwängler 1980, 202 Nr. 27 Abb. 13.

³⁹⁵ Zu den Schüsseln aus Milet vgl. Kerschner 1999, 18. 38 Nr. 9. 10 Abb. 7; zum Stück aus Ephesos vgl. Kerschner 1997a, 111. 182 Nr. 6 Taf. 2 Abb. 17.

aufgetragene Überzug der Gefäßoberfläche rückt das Gefäß jedoch in die Nähe einer Gruppe tiefer, kalottenförmiger Schüsseln (s. u. Kap. 1.B.3.4.1f).

Die Schüsseln **Kat. 1006**, **Kat. 1686** und **Kat. 1801** variieren die gleiche Randform durch eine nach innen abgeschrägte Randoberkante; **Kat. 1115** und **Kat. 1519** stellen die einzigen bemalten Gefäße der Gruppe dar. Bei **Kat. 1004** fällt der deutlich vorkragende Rand, an dem eine randständige, dattelförmige Handhabe aufsitzt, nach außen ab. Vergleichbare, ebenfalls meist unbemalte Schüsseln sind in ephesischen Befunden für das letzte Drittel des 7. Jahrhunderts bezeugt³⁹⁶ und werden allgemein zwischen dem mittleren 7. und dem beginnenden 6. Jahrhundert eingeordnet³⁹⁷. Das mehrmalige Vorkommen der Form in Befunden bereits der AG Phase II erlaubt eine Verschiebung des wahrscheinlichen Produktionsbeginns schon in das zweite Viertel des 7. Jahrhunderts. Der weitgehende Verzicht auf einen malerischen Dekor der Oberfläche zugunsten unbemalter, aber geglätteter Gefäße ist ein weiterer Indikator, der im Hinblick auf andere Schüsselformen der ersten Hälfte des 7. Jahrhunderts auch für diese Variante der Knickwandschüsseln eine frühere Datierung glaubhaft machen kann. **Kat. 1006** zeichnet sich gegenüber den anderen Gefäßen durch den bis auf den kantigen Wandumbruch kontinuierlich geraden äußeren Wandverlauf und die etwas schärfere Profilierung aus; beides verweist gemeinsam mit dem Auftreten der Form in Befunden erst der AG Phase IV auf eine Datierung erst im 6. Jahrhundert, als eine vergleichbare Randmorphologie auch für die Henkelschalen bezeichnend ist³⁹⁸.

Bei den Schüsseln **Kat. 523**, **Kat. 1037**, **Kat. 1115–Kat. 1119**, **Kat. 1293**, **Kat. 1799** und **Kat. 1851** mit nun tendenziell deutlicher akzentuiertem Wandknick ist der gerade abgestrichene Rand an der Außenseite deutlich schnabelförmig abgesetzt. Bis auf **Kat. 1117** weisen die Gefäße dieser Gruppe malerischen Dekor auf, wobei sich von **Kat. 1118** genug erhalten hat, um einen im inneren Schüsselbecken umlaufenden Reifen nachzuweisen. Solche finden sich auch bei der ungewöhnlich kleindimensionierten Knickwandschüssel **Kat. 1122**. In Samos treten vergleichbare Knickwandschüsseln erstmals an der Wende zum 6. Jahrhundert auf³⁹⁹. Bei der Schüssel **Kat. 1799** der Dunkelgrundigen Ware ist der abgesetzte Rand dagegen wulstig verdickt; zur beidseitig gefirnisssten Randzone treten vertikale Balken an der Randoberkante und in Deckrot aufgesetzte Reifen an der äußeren Schüsselwandung. Während dunkelgrundige Gefäße mit aufgesetztem Dekor in Deckweiß spätestens seit dem ausgehenden 8. Jahrhundert nachgewiesen werden können⁴⁰⁰, scheint Deckrot erst mit dem letzten Drittel des 7. Jahrhunderts Eingang in die Gefäßbemalung zu finden⁴⁰¹. **Kat. 1853** illustriert eine weitere Variante, bei welcher der schnabelförmige Rand zu einem kleinen Wulstrand zurückgenommen und die gesamte Gefäßoberfläche mit einem flächigen Überzug bedeckt ist.

Bei **Kat. 1120**, **Kat. 1121** und **Kat. 1294** hat sich der schnabelförmige Rand zu einem kleinen, kantigen Flachrand entwickelt, wie er schon für die Steilwandschüsseln mit **Kat. 1035** in der AG Phase IV nachgewiesen ist. Die Gruppe vertikaler Balken an der Randoberkante von **Kat. 1294**

³⁹⁶ Vgl. dazu Kerschner 1997a, 128 Nr. 40. 41 Taf. 6; 156–159 Nr. 98. 100. 102 Taf. 13.

³⁹⁷ s. etwa für Didyma Schattner 2007, 167 SB6 1 Abb. 55; für Larisa vgl. Boehlau – Schefold 1942, 152 Abb. 63 c.

³⁹⁸ Zu den späten Henkelschalen vgl. Niemeier 1999, 384. 411 Nr. 14 Abb. 27. Die chronologische Einordnung erst im 6. Jh. bestätigt sich auch durch vergleichbare Schüsseln aus nacharchaischen Befunden am Panayırdağ (Inv. PAN 08/2040.21. PAN 09/427.29. PAN 09/619.19). Zu den spätarchaischen Befunden vgl. von Miller 2013, 386 Nr. 2125 (Inv. PAN 09/427.29).

³⁹⁹ Dazu Furtwängler – Kienast 1989, 105. 112–115 Nr. 14. 15 Abb. 20 (Phase 1).

⁴⁰⁰ Vgl. dazu Walter 1968, 87 f. 111 Nr. 357 Taf. 60.

⁴⁰¹ Allgemein zu der Dunkelgrundigen Ware vgl. etwa Technau 1929, Nr. 5 Beil. 11; Eilmann 1933, 48 f. 55 f.; Lambriño 1938, 172 f.; Walter-Karydi 1973, 19 f.; Isler 1978b, 99; Furtwängler 1980, 175. 216 Nr. 34 Abb. 20 Taf. 53; Furtwängler – Kienast 1989, 114 Nr. 19. 20 Abb. 20 Taf. 22; 115 Nr. 27 Abb. 21 Taf. 23; 120 Nr. 2. 3 Abb. 23 Taf. 25; 143 Nr. 1 Abb. 31. s. außerdem Boehlau – Schefold 1942, 91–93 Taf. 39. 40. Zuletzt hat sich Panteleon 2013, 212–218 speziell mit den dunkelgrundigen Krateren von Milet befasst. Zu datierten Befunden im Heraion von Samos vgl. Walter 1968, 87 f. 111 Nr. 357 Taf. 60; Furtwängler – Kienast 1989, 115 Nr. 27 Abb. 21; 143 Nr. 1 Abb. 31; 148 Nr. 25 Abb. 32. Zur äolischen Produktion vgl. Posamentir – Solovyov 2006, 107 Abb. 3. Zu dem Dekor in Deckrot auf Trinkgefäßen vgl. Kerschner 1995, 19–32; Schlotzhauer 1995, 42 f.

zitiert noch die Dekortraditionen des 7. Jahrhunderts, während die Gestaltung des Gefäßbeckens mit breiten Firniszonen bei Knickwandschüsseln des 7. Jahrhunderts noch weniger populär ist.

Kat. 104, **Kat. 575** und **Kat. 1227** bilden eine gerundete Lippe aus, wobei sich bei **Kat. 104** der Rand kontinuierlich tropfenförmig aus der steilen Wand zur abgerundeten Lippe hin verdickt, während der Rand von **Kat. 1227** durch einen kleinen Vorsprung vom Schüsselbecken abgesetzt ist. Hier greift außerdem wie bei der Schüssel **Kat. 1038**, die einen leicht nach innen vorkragenden, keilförmig verdickten Rand ausbildet, die Bemalung von der Randzone erstmals in flächigen Firniszonen auch auf das Gefäßbecken über. Die Fundlage in den Befunden der AG Phase II bestätigt für **Kat. 104** eine Datierung noch vor der Mitte des 7. Jahrhunderts, die übrigen Knickwandschüsseln mit gerundeter Lippe werden in Analogie zu den Hauptvertretern der Form zwischen dem mittleren 7. Jahrhundert und dem 6. Jahrhundert einzuordnen sein, wobei die großflächiger bemalten Gefäße tendenziell später datieren.

1.B.3.4.1e Knickrandschüsseln

Kat. 1246 zeichnet sich vor allen anderen Schüsseln aus den archaischen Siedlungsniveaus durch den vom Schüsselbecken durch eine markante Einziehung abgesetzten, hohen Rand aus, ein Gestaltungsdetail, das in der ostgriechischen Keramik von den Knickrandskyphoi und von Deckeln mit Deckelfalz her bekannt ist. Aus den Heiligtumsbefunden im Artemision ist indes eine weitere Schüssel publiziert, deren keilförmig verdickter Rand sich wie bei **Kat. 1246** durch eine Einziehung abgesetzt steil über dem Gefäßbecken erhebt. Der Fundzusammenhang ordnet das Gefäß im ausgehenden 7. oder beginnenden 6. Jahrhundert ein⁴⁰², ein Ansatz, der über die Vergesellschaftung in den Befunden der AG Phase IV auch für **Kat. 1246** glaubhaft gemacht werden kann. Die Schüssel **Kat. 1852** ist dem Vergleichsbeispiel aus dem Artemision mit dem deutlich flacheren Gefäßbecken und dem keilförmig verdickten Rand noch näher; hier wird der Übergang von der Wandung in den Rand zusätzlich durch einen kleinen, umlaufenden Wulst betont.

1.B.3.4.1f Schüsseln mit konvexer Wandung

Als Schüsseln mit konvexer Wandung werden hier alle Schüsseln mit mehr oder weniger kalottenförmigem Gefäßkörper zusammengefasst, die sich nicht eindeutig einer der anderen Schüsselformen zuordnen lassen. Die Abgrenzung zu den bauchigen Schüsseln, Knickwandschüsseln und den Henkelschalen ist dabei nicht immer unproblematisch.

Dies trifft besonders auf die Schüsseln **Kat. 280**, **Kat. 327**, **Kat. 328**, **Kat. 443**, **Kat. 444**, **Kat. 464**, **Kat. 477**, **Kat. 506**, **Kat. 507**, **Kat. 578**, **Kat. 710**, **Kat. 917**, **Kat. 1039**, **Kat. 1123**, **Kat. 1124**, **Kat. 1248**, **Kat. 1295–Kat. 1297**, **Kat. 1357**, **Kat. 1604**, **Kat. 1606**, **Kat. 1848–Kat. 1850**, **Kat. 1898** und **Kat. 1899** zu. Die konvexen Schüsselbecken schließen eine Zugehörigkeit zu den Knickwandschüsseln aus, die grundsätzlich weite Gefäßmündung mit den kaum verdickten Rändern hebt die Schüsseln von den bauchigen Schüsseln mit einziehender Mündung ab und der fehlende Bänderdekor steht dem charakteristischen Dekorschema der Henkelschalen entgegen (s. u. Kap. 1.B.3.4.1g). **Kat. 280** weist dagegen einen flächig aufgetragenen, hellen Malgrund auf. Die morphologischen Merkmale und die Oberflächengestaltung reihen auch diese Schüsseln eindeutig in das Repertoire des 7. Jahrhunderts ein; die Vergesellschaftung noch in den Versturz-niveaus der AG Phase IV machen eine Laufzeit bis in das mittlere 6. Jahrhundert glaubhaft.

Kat. 190, **Kat. 875** und **Kat. 1409** gehören zu weitmundigen, flachen Schüsseln mit keilförmig verdickten Rändern, die im Unterschied zu den oben besprochenen Schüsseln mit konvexer Wandung Bemalung aufweisen.

⁴⁰² Vgl. dazu Kerschner 1997a, 156. 182 Nr. 96 Taf. 13.

Den Schüsseln **Kat. 475**, **Kat. 505** und **Kat. 1462** sind neben ihren tendenziell kleinen Dimensionen ein verhältnismäßig tiefes, konvexes Gefäßbecken und ein großflächig aufgetragener Überzug gemeinsam. Die Qualität des dicken roten Überzugs scheint ein Merkmal bemalter Alltagskeramik besonders des 6. Jahrhunderts zu sein.

Schüsseln mit gerundeten Gefäßbecken und leicht verdickten Rändern sind seit dem mittleren 7. Jahrhundert in Form der Henkelschalen (s. u. Kap. 1.B.3.4.1g) in ostgriechischen Befunden vertreten. Die hier angeführten Gefäße lassen sich durch ihren Dekor und durch ihren wesentlich steileren Wandverlauf, welcher ihnen einen stärker geschlossenen Charakter verleiht, jedoch deutlich von den Henkelschalen abgrenzen. Mit **Kat. 475** und **Kat. 505** ist die Form in Ephesos erstmals in der mittleren AG Phase III nachweisbar; **Kat. 1462** aus den Versturzniveaus der AG Phase IV zeigt ein Vorkommen bis mindestens in das mittlere 6. Jahrhundert an⁴⁰³.

Die etwas größere Schüssel **Kat. 1125**, bei der die tiefe Gefäßwandung in einen massiv verdickten Rand übergeht, entstammt ebenfalls den Versturzhorizonten der AG Phase IV und weist mit dem matt deckend roten Überzug darüber hinaus ein dekortypologisches Datierungsindiz auf.

1.B.3.4.1g Henkelschalen

Als Henkelschalen werden tendenziell kleine Schüsseln mit flachem Boden und konvex gerundetem Schüsselbecken bezeichnet. Die Henkelschalen bilden entweder kontinuierlich aus der Wandung keilförmig sich verdickende Ränder mit nach innen abgeschrägter Oberkante oder kleine, wulstig verdickte und an der Außenseite spitz abgesetzte Ränder aus, die Böden variieren von außen abgesetzten flachen Bodenplatten zu flachen Böden mit aufgewölbter Unterkante⁴⁰⁴. Am Rand setzt ein horizontaler Henkel an, dem die Gefäße ihre Bezeichnung schulden. Die meisten Henkelschalen tragen einfachen Reifen- und Bänderdekor. Für keines der hier als Henkelschalen geführten Gefäße ist das distinktive Merkmal des horizontalen Bandhenkels nachgewiesen; die Zuordnung erfolgt aufgrund der form- und dekortypologischen Merkmale, welche mit jenen der ionischen Henkelschalen übereinstimmen.

Kat. 240 und **Kat. 757** zeigen die zweite Randvariante der Henkelschalen mit kleiner, außen spitz von der Beckenkontur abgesetzter Lippe; diese Randmorphologie ist allerdings auch für Schüsseln ohne Henkel belegt⁴⁰⁵.

Die Bodenfragmente **Kat. 52**, **Kat. 1130** und **Kat. 1132** zeigen die Bodenvariante der Henkelschalen, bei der das Schüsselbecken auf einer geraden, an der Außenseite klar abgesetzten Bodenplatte ruht. **Kat. 105**, **Kat. 703** und **Kat. 1687** illustrieren die zweite Bodenvariante der Henkelschalen, bei der die flache Bodenfläche in einer ungebrochenen Kontur in die konvexe Gefäßwand übergeht. Der Wandverlauf der reifenverzierten Gefäße lässt auf tendenziell tiefe Ganzformen schließen. Die Bodenfragmente **Kat. 139**, **Kat. 241** und **Kat. 554** bilden ebenfalls eine gerade Bodenfläche aus, aber hier erfährt der Übergang vom Boden in das Schalenbecken eine Betonung durch eine leicht konkave Einziehung.

Eine ungewöhnlich flache Henkelschale liegt mit dem im Ganzprofil erhaltenen Gefäß **Kat. 371** vor. Hier ist mit dem nach außen abgeschrägten, keilförmig verdickten Rand eine Variante gegeben, die für Henkelschalen sonst nicht nachgewiesen ist. Auch das Wandfragment **Kat. 51** lässt sich zu einer relativ flachen Henkelschale ergänzen.

Kat. 80 zeichnet sich gegenüber den anderen Henkelschalen durch den Ansatz zu einem vertikalen Bandhenkel aus. Henkelschalen mit vertikalem Henkel sind in Samos mit wenigen Beispielen belegt und werden mit einem Gefäß aus dem Brunnen G noch vor der Mitte des 7. Jahr-

⁴⁰³ Entsprechende Gefäße in spätarchaischen Befunden am Panayırdağ machen ein Weiterleben der Form bis in die ausgehende Archaik wahrscheinlich. Vgl. dazu von Miller 2013, 387 Nr. 2131–2133 (Inv. PAN 09/1014.37. Inv. PAN 09/1017.14. Inv. PAN 09/1017.15).

⁴⁰⁴ Zu der Form vgl. Lambrino 1938, 179–181 Abb. 132–134; Furtwängler 1980, 172 (Griffschalen); Furtwängler – Kienast 1989, 95 f.; Boldrini 1994, 237; Niemeier 1999, 384. 411 Nr. 15 Abb. 14. 15. 27.

⁴⁰⁵ Vgl. dazu Walter 1957, 50 Beil. 75, 2.

hunderts eingeordnet⁴⁰⁶. Die dunkel gefirnisste Außenseite von **Kat. 80** kommt diesem Ansatz ebenso entgegen wie die Vergesellschaftung des Gefäßes in einem Befund der AG Phase II.

Für die Henkelschalen ist in ostgriechischen Befunden grundsätzlich eine Laufzeit vom mittleren 7. bis in das mittlere 6. Jahrhundert gegeben⁴⁰⁷. In den ephesischen Siedlungsbefunden zeichnet sich dagegen mit neun von zwölf Gefäßfragmenten ein Verbreitungsschwerpunkt der Form noch in der AG Phase II, die von M. Kerschner bereits auf das zweite Viertel des 7. Jahrhunderts eingegrenzt wurde⁴⁰⁸, sowie in den Bauhorizonten der AG Phase IIIa ab. Dabei wird ein etwa zeitgleiches Nebeneinander unterschiedlicher typologischer Spielarten deutlich, sodass eine feinchronologische Abfolge nicht argumentiert werden kann. Hierfür sind die teilweise sehr kleinen Gefäßfragmente auch gar nicht geeignet und für die Bodenfragmente **Kat. 52**, **Kat. 139**, **Kat. 241**, **Kat. 554**, **Kat. 1130** und **Kat. 1132** kann auch die Zugehörigkeit zu subgeometrischen Tellern letztlich nicht ausgeschlossen werden, selbst wenn der schlichte oder fehlende Dekor der Böden umgekehrt keine positiven Argumente für diese alternative Zuordnung liefert.

In Samos werden die Henkelschalen seit dem 6. Jahrhundert zunehmend von henkellosen Schalen abgelöst, die mit den Henkelschalen zwar noch den flachen bis leicht aufgewölbten Boden gemeinsam haben, deren Randmorphologie sich jedoch hin zu glatt verjüngten Rändern entwickelt.

1.B.3.4.1h Kleine Schüsseln

Eine Reihe von Fragmenten ist kleinformatigen Schüsseln zugehörig.

Von **Kat. 106** hat sich das gesamte Profil erhalten; es zeigt eine kleine Schüssel mit kalottenförmigem Gefäßbecken, leicht verjüngtem Rand und niedrigem Standring. Die unbemalte Gefäßoberfläche ist sorgfältig geglättet, ein Merkmal, das sich mittlerweile als charakteristisch für die Schüsseln der ersten Hälfte des 7. Jahrhunderts abzeichnet. Die Fundlage von **Kat. 106** in der Zerstörungsschicht der AG Phase II kommt dieser Interpretation entgegen. Die Randfragmente **Kat. 50**, **Kat. 191**, **Kat. 329**, **Kat. 553**, **Kat. 686**, **Kat. 820** und das Bodenfragment **Kat. 192** sind zu ähnlichen Ganzgefäßen zu ergänzen, für die sich ebenfalls ein Verbreitungsschwerpunkt in den Horizonten der AG Phase II und in den Bauhorizonten der AG Phase III ablesen lässt. **Kat. 1523** zeichnet sich durch ein tieferes Gefäßbecken und ein aufgemaltes Lippenband aus, bei dem außenseitig flächig überzogenen Gefäß **Kat. 476** ist die Lippe leicht abgesetzt.

Die Randfragmente **Kat. 463**, **Kat. 630** und **Kat. 818** lassen sich zu einer eng verwandten Gruppe kleinformatiger Schüsseln mit konvex gewölbtem Schüsselbecken und gerade abgestrichenem, unverdicktem Rand mit nach innen abgeschrägter Oberkante ergänzen. Die gut polierten Gefäße sind beidseitig von Firnisbändern umfasst, die Randoberkante schmücken vertikale Balken. Die sorgfältige Oberflächenbehandlung kann noch aus der Tradition der Gefäße der ersten Hälfte des 7. Jahrhunderts abgeleitet werden, während die Bemalung auf die Dekortraditionen verweist, die sich mit der Keramikproduktion der zweiten Hälfte des 7. Jahrhunderts durchsetzen. Alle drei Schüsseln sind in Horizonten vergesellschaftet, welche die Bauzeit der AG Phase III bezeichnen, weshalb sie im mittleren 7. Jahrhundert einzuordnen sein werden.

⁴⁰⁶ Dazu Walter – Vierneisel 1959, 20 Beil. 44, 22. s. außerdem Kopcke 1968, 269 Nr. 51 Abb. 19 Taf. 103. Zur Datierung des Bunnens G zuletzt Schlotzhauer 2014, 297.

⁴⁰⁷ Zur Datierung für Samos vgl. Walter – Vierneisel 1959, 20 Nr. 22 Beil. 44 (Brunnen G); Furtwängler 1980, 215 Nr. 21 Abb. 19 (Phase III); 222 Nr. 19 Abb. 23 (Phase IV); Furtwängler – Kienast 1989, 112 Nr. 16. 18 Abb. 20 (Phase I); 120 Nr. 5 Abb. 5 (Phase II); 148 Nr. 23 Abb. 32 (Brunnen W 2). Für Milet s. Niemeier 1999, 384 (spätarchaisch). s. außerdem für Gravisca Boldrini 1994, 237 (2. Viertel 6. Jh.).

⁴⁰⁸ Dazu Kerschner 2003a, 51–58.

1.B.3.4.1i Lekanen

Der Begriff Lekane bezeichnet große, tiefe und meist unbemalte Schüsseln der Gebrauchskeramik mit gerade nach außen umgebogenen oder leicht überhängenden Flachrändern und zwei Henkeln⁴⁰⁹, die in ostgriechischen Befunden seit dem ausgehenden 7. bzw. dem frühen 6. Jahrhundert nachweisbar sind und eine Laufzeit bis in das 5. Jahrhundert verzeichnen⁴¹⁰. Die Lekane wird im Bereich der Haushaltskeramik als multifunktionale Form angesiedelt, die besonders auch bei der Nahrungszubereitung eine Rolle gespielt haben mag (s. u. Kap. 1.B.3.7.1b)⁴¹¹. Die grundsätzliche Entwicklung geht von sehr tiefen, unbemalten Gefäßen hin zu flacheren Gefäßbecken mit weit ausgestellten Flachrändern und Überzug. In den archaischen Siedlungsbefunden treten Lekanen erstmals in den Horizonten der AG Phase IIIb auf.

Kat. 605 ist einer relativ dünnwandigen Lekane mit massiv und leicht wulstig verdicktem Flachrand zugehörig. Die Randoberkante weist eine leichte Delle auf. Das Gefäß steht mit seiner gut geglätteten Oberfläche in der qualitativollen Herstellungstradition der unbemalten Gebrauchskeramik früharchaischer Zeit.

Die Lekanen **Kat. 524**, **Kat. 758**, **Kat. 1126–Kat. 1128** und **Kat. 1410** gehören einer Variante mit tiefem, weit konisch bis leicht konvex gewölbtem Schüsselbecken und kantig ausgebögenem Flachrand mit gerader bis leicht nach innen abgeschrägter Oberkante an. **Kat. 1126** stellt innerhalb dieser Gruppe das typologisch älteste Gefäß mit noch kaum abgesetztem Rand dar. Bei **Kat. 524** und **Kat. 758** schmücken je zwei seichte Rillen die Randoberkante, **Kat. 1128** weist ähnlich wie **Kat. 605** eine fein geglättete Gefäßoberfläche auf. Für Lekanen mit geraden Flachrändern sind als typische Henkelform an der Randoberkante aufsitzende Bügelhenkel belegt⁴¹², wie sie sich bei **Kat. 1410** mit einem massiv rundstabigen Henkelansatz abzeichnen. **Kat. 1410** ist außerdem das einzige Gefäß der Gruppe, das bereits einen Überzug aufweist. **Kat. 1127** präsentiert mit dem engen, verschliffen kantigen Standring außerdem eine mögliche Bodengestaltung, die für Lekanen erwartet werden darf. Die flache, ebenfalls unbemalte Lekane **Kat. 1688** mit wulstig verdicktem Rand ist wahrscheinlich erst im 6. Jahrhundert einzuordnen.

Die Lekane **Kat. 1463** gehört bereits einer typologisch jüngeren Entwicklung an. Das Gefäßbecken ist nicht nur deutlich flacher, sondern auch durch eine kehlenförmige Einziehung vom etwas überhängenden Flachrand abgesetzt, dessen Oberkante seichte Dellen aufweist. Auch die Bemalung des Randes und des äußeren Gefäßbeckens mit breiten Firnisbändern ist eine Entwicklung, die für ostgriechische Lekanen wohl erst unter dem Eindruck verstärkt attischer Vorbildwirkung zu greifen beginnt⁴¹³. Die Fundlage von **Kat. 1463** in den Zerstörungshorizonten der AG Phase IV unterstützt diese Spätdatierung.

⁴⁰⁹ Allgemein zur Gefäßform, wobei hier vor allem die attische Entwicklung berücksichtigt wird, vgl. Sparkes – Talcott 1970, 211–216; Lüdorf 2000. s. außerdem Alexandrescu 1978, 107–110 Abb. 25. Eine Diskussion im Zusammenhang der ostgriechischen Entwicklung liegt bei Kalaitzoglou 2008, 147–149 vor.

⁴¹⁰ Vgl. für Samos Isler 1978b, 158 Nr. 587. 588 Beil. 18 (Schuttdepot); Furtwängler 1980, 172. 215 Nr. 22. 24 Abb. 19 (Phase III); Furtwängler – Kienast 1989, 128–130 Nr. 2 Abb. 26 (Phase IIIa); für Assesos vgl. Kalaitzoglou 2008, 147–149. 391 f. Nr. 369–372 Taf. 72; zu Milet vgl. Voigtländer 1982, 43–53 Nr. 89. 90 Abb. 16; für Chios vgl. Boardman 1967, 115 Nr. 146 Abb. 71 (Phase IV); 145 Nr. 608 Abb. 96 (Phase IV); 165 Nr. 813 Abb. 113 (Phase IV); für Taucheria s. Hayes 1973, 29 f. Nr. 260 Abb. 12 Taf. 17 (>deposit I<); zu Istros vgl. Alexandrescu 1978, 107–110 Abb. 25. Vgl. außerdem Schattner 2007, 137–146 Abb. 46–48; 155–160 Abb. 52. 53.

⁴¹¹ Vgl. dazu Villing 2009, 320, wo besonders das funktionale Naheverhältnis der Lekanen zu den Reibschüsseln thematisiert wird.

⁴¹² Dazu Alexandrescu 1978, 108 f.; Kalaitzoglou 2008, 391 f. Nr. 369. 371 Taf. 72. In Attika verschwinden am Rand aufgesetzte Bügelhenkel mit dem ausgehenden 7. Jh., bei korinthischen Gefäßen bestehen sie weiter bis in die späte Archaik. Dazu Sparkes – Talcott 1970, 215 f. 365 Nr. 1839–1843 Abb. 15 Taf. 87.

⁴¹³ Vgl. dazu Kalaitzoglou 2008, 148 f.

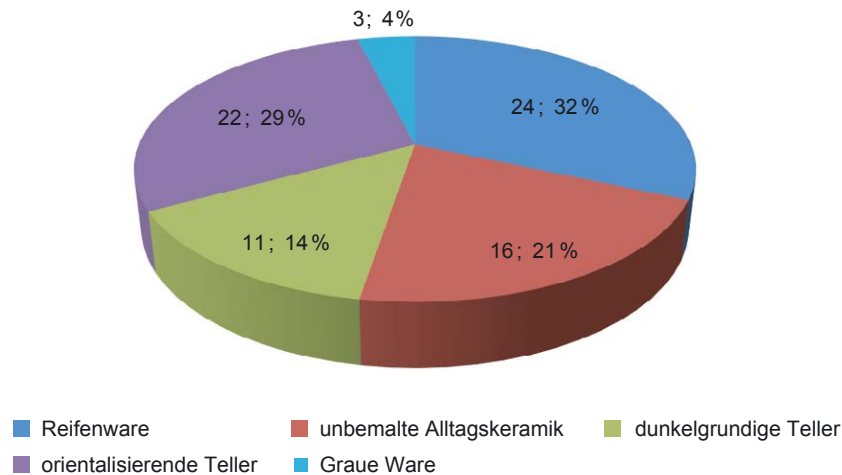


Diagramm 38 Warenverteilung der Teller

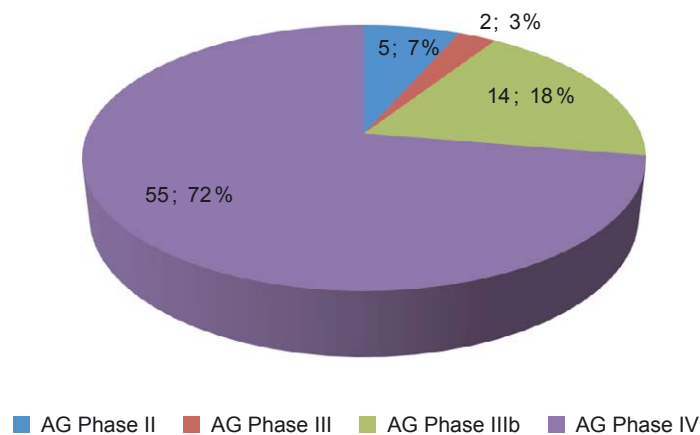


Diagramm 39 Verteilung der Teller

1.B.3.4.2 Teller

Die Teller aus den archaischen Siedlungsbefunden in Ephesos lassen sich nach form- und dekortypologischen Kriterien gruppieren. Formal können im Wesentlichen Teller auf hohen Füßen (>fruit stands<) von Tellern mit Standringen (>dishes<) unterschieden werden. Generell zeichnet sich für die Teller auf hohem Fuß ein flaches Tellerbecken mit glatt verjüngtem und schnabelförmig mehr oder weniger eingebogenem Rand ab, während die Teller mit Standring gemeinhin ein kantiger Flachrand auszeichnet. Zumindest für die im orientalisierenden Stil bemalten Teller scheint sich diese formale Unterscheidung als verbindlich zu erweisen. Neben den orientalisierenden Tellern sind in den archaischen Siedlungsbefunden Teller der bemalten und unbemalten Feinkeramik, der Grauen Ware sowie der Dunkelgrundigen Ware vertreten; hinzu kommen bemalte und unbemalte gebrauchskeramische Gefäße (Diagramm 38). Aufgrund des mitunter stark fragmentierten Erhaltungszustands erfolgt die Unterteilung der Teller wie bei den Krateren nach jenen Merkmalen, welche am aussagekräftigsten für die Einordnung eines Fragments sind.

Der allgemeine Überblick über die Verteilung der Teller in den einzelnen Siedlungsphasen (Diagramm 39) zeigt ein anderes Bild als jenes der Schüsseln (Diagramm 37). Es wird deutlich, dass die Teller wesentlich später an Popularität gewinnen und erst ab der AG Phase IIIb

in größerer Anzahl vertreten sind. Bei den frühesten Tellern der AG Phase II und III handelt es sich durchwegs um Teller auf hohem Fuß (**Kat. 81. Kat. 330. Kat. 373. Kat. 446. Kat. 687**), innerhalb derer die Gefäße mit dem rötlichen Fabrikat lokaler Gebrauchswaren überwiegen.

1.B.3.4.2a Teller mit glattem Rand

Hier werden alle Tellerfragmente der Gebrauchskeramik angeführt, deren Randfragmente eine glatt verjüngte und mehr oder weniger eingebogene Lippe aufweisen, wie sie im feinkeramischen Formenrepertoire mit hohen Standfüßen zu ergänzen sind. Ob dies auch für die Gefäße der größeren Warenqualität zutrifft, kann angesichts des stark fragmentierten Erhaltungszustands nicht beantwortet werden. Die große Anzahl unbemalter Fußfragmente von Tellern mit hohen Füßen (z. B. **Kat. 330. Kat. 446. Kat. 687. Kat. 788. Kat. 921. Kat. 940. Kat. 966. Kat. 1144. Kat. 1466. Kat. 1806. Kat. 1859**) macht diese Möglichkeit aber durchaus wahrscheinlich. Darüber hinaus sind Standringe denkbar (z. B. **Kat. 1040. Kat. 1722**).

Kat. 1442 ist einem kleinen, flachen Teller zugehörig, der eine kantig verdickte Lippe mit gerader Oberkante ausbildet. An der Randoberkante sind in unregelmäßigen Abständen unterschiedlich ausgerichtete Striche aufgemalt, schmale Reifen schmücken das Tellerbecken. **Kat. 1442** findet einen unmittelbaren Vergleich in einem Befund des späten 7. Jahrhunderts im Artemision von Ephesos⁴¹⁴, was mit der Befundsituation von **Kat. 1442** in der AG Phase IV gut übereinstimmt.

Kat. 786, Kat. 1135, Kat. 1360 und **Kat. 1857** sind einer Gruppe dickwandiger Teller mit einfachem Firnisdekor zugehörig, der flächig das innere Gefäßbecken schmücken kann, als Lippenband den Rand betont oder in Form von Reifen am Gefäßkörper aufgebracht ist.

Der dünnwandigere Teller **Kat. 920** zeichnet sich dagegen durch seine gut geglättete unbemalte Oberfläche aus, die in den ephesischen Siedlungsbefunden für Schüsseln des 7. Jahrhunderts bereits mehrfach nachgewiesen wurde (s. o. Kap. 1.B.3.4.1).

Mit **Kat. 1858** wird in der AG Phase IV ein weiterer Tellertyp erstmals nachweisbar, der sich durch kleinere Gefäßproportionen, eine dünnere Wandung und eine unbemalte Oberfläche auszeichnet. Das gehäufte Vorkommen kleiner, unbemalter Teller in den spätarchaischen Befunden am Panayırdağ macht die Gefäßform als Entwicklung des 6. Jahrhunderts mit einem Schwerpunkt erst nach der Jahrhundertmitte kenntlich⁴¹⁵.

1.B.3.4.2b Tiefe Teller

Die Randfragmente **Kat. 1137–Kat. 1139, Kat. 1141, Kat. 1142, Kat. 1148, Kat. 1299, Kat. 1464, Kat. 1465** und **Kat. 1856** finden eine gute formale Parallele in einer Gruppe tiefer Teller, die auf kantigen Standringen (z. B. **Kat. 1131. Kat. 1134**) stehen und meist mit wenigen Firnisreifen dekoriert sind. In den scharfkantig eingebogenen Rändern mit zugespitzter Lippe von **Kat. 1141, Kat. 1142, Kat. 1148, Kat. 1464** und **Kat. 1465** ist indes ein Formmerkmal gegeben, welches die Tiefen Teller in den Einflussbereich nordionischer und äolischer Produktionen rückt. **Kat. 1856** variiert die Randmorphologie durch eine leicht keilförmig verdickte Lippe.

In Befunden aus Ephesos und Milet sind vergleichbare Tiefe Teller seit dem letzten Drittel des 6. Jahrhunderts datiert und noch im 5. Jahrhundert nachgewiesen⁴¹⁶. In den archaischen Siedlungsbefunden tritt der Typ erstmals in den Horizonten auf, welche die Nutzungszeit und Aufgabe der AG Phase IV angeben.

⁴¹⁴ Vgl. Kerschner 1997a, 144 Nr. 68 Taf. 9 (Aufschüttung B). s. außerdem Schattner 2007, 375 f. Nr. TeB3 2 Abb. 104.

⁴¹⁵ Vgl. von Miller 2013, 351 Nr. 1933; 390 Nr. 2151–2154.

⁴¹⁶ Vgl. Langmann 1967, 109 Nr. 3 Abb. 41 und Kerschner 2006a, 82. 85 Nr. 18 Taf. 2 mit der Diskussion des Tellertyps. Vgl. außerdem Voigtländer 1982, 53 Abb. 17. 18.

1.B.3.4.2c Teller auf hohem Fuß

Als Teller auf hohem Fuß werden hier alle Gefäßfragmente angesprochen, die über das distinktive Merkmal eines hohen Tellerfußes verfügen. Es handelt sich dabei um Fußfragmente, die sich entweder von der Basis eines Tellerfußes (**Kat. 81. Kat. 330. Kat. 446. Kat. 687. Kat. 788. Kat. 921. Kat. 940. Kat. 966. Kat. 1144–Kat. 1146. Kat. 1264. Kat. 1466. Kat. 1530. Kat. 1807. Kat. 1859**) oder vom Stiel (**Kat. 373. Kat. 1147**) erhalten haben. Hohe Füße sind sowohl für Teller der bemalten Feinwaren als auch für die gröbere Gebrauchskeramik möglich.

Kat. 1264 trägt als eines der wenigen Fußfragmente einen flächigen, matt deckenden Überzug, wie er schon von den tiefen Schüsseln mit gerundeter Wandung und von den Lekanen her bekannt ist; die übrigen Tellerfragmente sind hingegen zu Gefäßen der unbemalten oder der reifenverzierten Alltagskeramik (**Kat. 1530. Kat. 1643**) zu ergänzen.

Kat. 1301 ist aufgrund der feinen, in Deckweiß über dem Gefäßüberzug aufgetragenen Reifen als Teller der Dunkelgrundigen Ware erkennbar und kann möglicherweise mit **Kat. 1300** zu einem Gefäß zusammengesetzt werden; das Fabrikat beider Fragmente birgt in diesem Zusammenhang zwar keine positiven Hinweise, doch können farbliche Unterschiede am Gefäßscherben durch die Zufälligkeiten des Brandvorgangs bedingt sein, und gerade in den Rand- und Fußbereichen kann die Matrix des Scherbens mitunter starken Variationen unterliegen. Falls die beiden Fragmente als zusammengehörig angesehen werden dürfen, wären sie ein schöner Beleg dafür, dass die Kombination von hohen Füßen mit glatt eingebogenen Rändern auch in der Produktion Dunkelgrundiger Waren für die Teller angewendet wurde⁴¹⁷. Das ungewöhnlich geformte Fußfragment **Kat. 787** mit weit konisch ausgestelltem Stiel und kantig nach oben gebogener Standbasis zeichnet sich ebenfalls durch den deckend aufgetragenen Überzug der Außenseite aus und ist damit eventuell ebenfalls zu einem Teller der Dunkelgrundigen Ware zu ergänzen.

Die mit einem hellen Malgrund versehenen Fragmente **Kat. 1145** und **Kat. 1147** sind orientalisierend bemalten Tellern (s. u. Kap. 1.B.3.4.2d–g) zugehörig, wobei aus dem schlichten Reifendekor der Füße keine Rückschlüsse auf den Dekor der Hauptdekorzone im Tellerbecken möglich sind. Reifen- und Bänderdekor in den sekundären Dekorzonen ist für alle Spielarten orientalisierender Teller auf hohem Fuß üblich⁴¹⁸.

Teller auf hohem Fuß sind in ostgriechischen Befunden zwischen dem mittleren 7. und dem mittleren 6. Jahrhundert nachgewiesen⁴¹⁹, in den ephesischen Siedlungsbefunden sind die Gefäße von der AG Phase II(b) an bis in die AG Phase IV belegt. Dabei finden sich nicht für alle formalen Ausprägungen der Tellerfüße aus den archaischen Siedlungsbefunden in Ephesos überzeugende Vergleiche. Vielmehr scheinen gerade die ungewöhnlichen, leicht konisch geformten Standbasen wie **Kat. 446, Kat. 788, Kat. 1466, Kat. 1807** und **Kat. 1859** sowie ausschwingende Standbasen wie **Kat. 921, Kat. 940** und **Kat. 966** zu Tellern zu gehören, deren Fabrikat für archaische Alltagswaren in Ephesos so häufig belegt ist, dass es mit größter Wahrscheinlichkeit als lokal angesprochen werden darf. Die beiden kantig umgebogenen Standbasen **Kat. 1145** und **Kat. 1146** finden ihren nächsten formalen Vergleich bei nordionischen Tierfriestellern aus Istros und Taucheira und bei frühen äolischen Tierfriestellern und können daher bereits in das letzte Viertel des 7. Jahrhunderts gesetzt werden⁴²⁰.

⁴¹⁷ Vgl. dazu bereits Kerschner 1997a, 127 Nr. 38 Taf. 5; 185 f. Abb. 21

⁴¹⁸ Dazu Walter-Karydi 1973, 15.

⁴¹⁹ Zu Chios vgl. Boardman 1967, 130 (Phase IV). Zu Taucheira s. Hayes 1966, 49 f. Nr. 614. 621. 627 Abb. 24 (>deposit I); zu Istros s. Alexandrescu 2005b, 334–336. Allgemein vgl. auch Walter-Karydi 1973, 10.

⁴²⁰ Vgl. dazu Hayes 1973, 26–28 Nr. 2053 Abb. 10 (>deposit I, chiotisch); Alexandrescu 2005b, 334 f. Nr. C24. C27 Abb. 40; İren 2003, 57–65. 179 f. Nr. 210–213 Beil. 21 Taf. 17 (aTs I).

1.B.3.4.2d Reifenteller

Die Reifenteller bilden die größte Gruppe feinkeramisch bemalter Teller aus den archaischen Siedlungsbefunden, wobei der helle Malgrund vieler Gefäße diese in die Tradition orientalisierender Gefäßproduktion stellt. Es können drei Typen unterschieden werden.

Mit den Tellerfragmenten **Kat. 845**, **Kat. 923**, **Kat. 924**, **Kat. 1249**, **Kat. 1302**, **Kat. 1534**, **Kat. 1860** und **Kat. 1861** begegnet in den archaischen Siedlungsbefunden von Ephesos ein in ostgriechischen Befunden weit verbreiteter, zahlenmäßig gut belegter und in Form und Dekor eng gefasster Typ orientalisierender Reifenteller. Es handelt sich um durchwegs weitmundige und tendenziell dickwandige Teller, deren kaum verjüngte Lippe zur Gefäßmündung hin leicht einzieht. Die weiten Teller ruhen auf hohem Fuß mit ausschwingender Basis (z. B. **Kat. 1147**). Die gesamte Gefäßoberfläche ist mit einem hellen Malgrund bedeckt, über dem im Bereich des Tellerbeckens in regelmäßigen Abständen breite Firnisbänder aufgemalt sind, an der Außenseite können die breiten Bänder auch durch Gruppen schmaler Reifen ersetzt werden (**Kat. 1302**, **Kat. 1860**, **Kat. 1861**).

Die orientalisierenden Reifenteller sind sowohl in süd- als auch nordionischen Befunden gut belegt und ebenso im weiteren Einzugsgebiet griechischer Präsenz im Schwarzmeerraum, an der Levante und in Ägypten verbreitet. Aus dem Verteilungsmuster allein lässt sich daher nicht herauslesen, welcher ionischen Produktion die Reifenteller ursprünglich angehörten. Formal stehen die Reifenteller jedoch den südionischen Tierfriestellern nahe⁴²¹ und ihr massives Vorkommen in Milet, einem der wichtigsten Zentren südionisch-orientalisierender Gefäßproduktion⁴²², und die dort nachgewiesene Produktion des Typs⁴²³ machen die Ansprache der orientalisierenden Reifenteller als originäre Schöpfung südionischer oder milesischer Werkstätten sehr plausibel. Umgekehrt ist eine impulsgebende Vorbildwirkung für Werkstätten anderer Regionen wie sie für andere Gefäßformen gesichert ist⁴²⁴, nicht auszuschließen. So hat H. Mommsen in Zusammenarbeit mit R. Posamentir und S. Solovyov zuletzt anhand eines Reifentellers aus Borysthenes eine äolische Produktion orientalisierender Reifenteller nachweisen können⁴²⁵. Bei den Stücken aus den archaischen Siedlungsbefunden unter der Tetragonos Agora könnte das von den archaischen Alltagswaren in Ephesos gut bekannte Fabrikat von **Kat. 923** auf eine lokale Produktion verweisen.

Auf Basis der Befundsituation bislang publizierter orientalisierender Reifenteller zeichnet sich eine Datierung derselben zwischen dem mittleren 7. und dem mittleren 6. Jahrhundert ab⁴²⁶. In den ephesischen Siedlungsbefunden tritt der Typ erstmals in den Befunden der AG Phase IIIb auf und bleibt in den Horizonten der AG Phase IV prominent vertreten.

Eine weniger populäre Variante der orientalisierenden Reifenteller begegnet in **Kat. 1412**, einem dünnwandigen Gefäß, dessen mit einem hellen Malgrund versehene Außenseite wie bei den orientalisierenden Reifentellern üblich durch allerdings ungewöhnlich schmale Reifen geschmückt ist. Der bekannte Dekor des inneren Tellerbeckens wird indes in sein Gegenteil verkehrt, indem über dem hellen Überzug breite Firniszonen aufgemalt werden, in dem wenige schmale Bänder ausgespart bleiben. Einem ähnlichen Teller ist wahrscheinlich auch der hohe Fuß **Kat. 1807** zugehörig, bei dem das vom flächigen Überzug ausgesparte Band am Stiel einen darunterliegenden hellen Überzug zeigt. Vergleichbare dunkelrundig-orientalisierende Reifen-

⁴²¹ Vgl. dazu etwa Hayes 1966, 49 Nr. 614 Abb. 24; Hayes 1973, 17 Nr. 1978 Abb. 7; Akurgal 2002, 111 Nr. 78 Abb. 47 Taf. 6.

⁴²² s. dazu Dupont 1983, 37–39; Dupont 1986; Kerschner 2002b, 37–47.

⁴²³ Vgl. Kerschner 2002b, 38; Kerschner 2002i, 113 Nr. 90 Abb. 59.

⁴²⁴ Zu der Produktion südionischer Knickrandschalen im nördlichen Ionien vgl. Dupont 2000a.

⁴²⁵ Dazu Posamentir 2006, 165 Abb. 14; Posamentir – Solovyov 2006, 110 Abb. 6.

⁴²⁶ Vgl. zur Datierung allgemein Walter-Karydi 1973, 10. 15; Maslov 2003, 233. Zu Samos s. außerdem Furtwängler – Kienast 1989, 119 Nr. 3 Abb. 22 (Phase Ib); 125 Nr. 4 Abb. 25 (Phase III); zu Milet vgl. von Graeve 1973/1974, 97 Nr. 61 Taf. 24 (bis 3. Viertel 7. Jh.); zu Assesos vgl. Kalaitzoglou 2008, 132. 141–145; zu Ephesos s. Kerschner 1997a, 143 Nr. 66 Taf. 9 (Aufschüttung B). s. außerdem Voigtländer 1986b, 664 Nr. 112 Abb. 32.

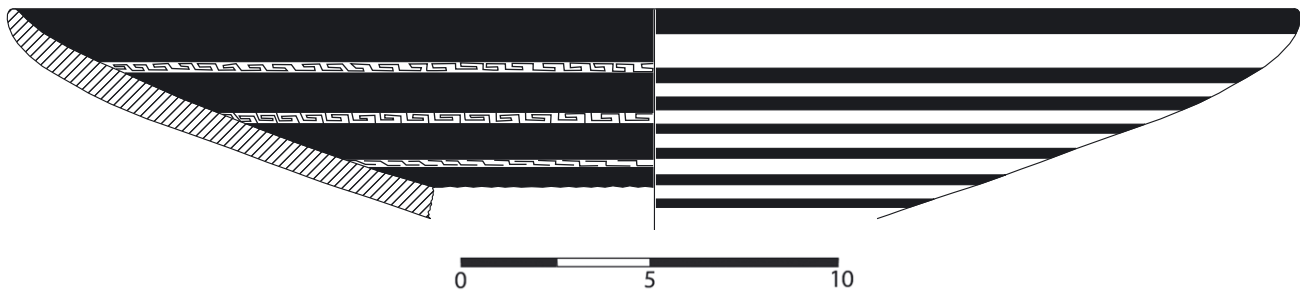


Abb. 10 Reifenteller AG 88/003.1

teller sind in Befunden in Istros, Samos, Didyma, Rhodos und im Vorderen Orient nachgewiesen und werden mit hohem Fuß ergänzt⁴²⁷, allerdings handelt es sich dabei in Analogie zu den oben besprochenen orientalisierenden Reifentellern durchwegs um dickwandige Gefäße, bei denen die ausgespart gebliebenen Reifen im inneren Tellerbecken meist zu Friesen mit linearem Dekor umgestaltet werden.

Aus den hellenistischen Planierniveaus unter der Tetragonos Agora ist mit **AG 88/003.1**⁴²⁸ ein solches Gefäß gegeben (Abb. 10). Die drei ausgesparten Bänder im Gefäßinneren sind mit unterschiedlichen geometrischen Motiven (linksläufiger Mäander, verschränktes Mäanderband, Z-förmige Haken) gefüllt. Die Befundsituation vergleichbarer Teller legt ihre Datierung im späteren 7. oder beginnenden 6. Jahrhundert fest⁴²⁹. Dieser leicht spätere Ansatz für die dunkelgrundige Variante orientalisierender Reifenteller kann auch für **Kat. 1412** übernommen werden.

Die Gefäße vom zweiten Typ der Reifenteller (**Kat. 525. Kat. 762. Kat. 1041. Kat. 1532. Kat. 1533. Kat. 1607**) weisen wie die orientalisierenden Reifenteller glatte, verjüngte und leicht einziehende Ränder auf, wie sie für die Teller auf hohem Fuß typisch sind. Es handelt sich jedoch um tendenziell dünnwandigere Gefäße unterschiedlicher Größenordnung und mit im Detail stärker variierender Formgebung und Bemalung. Ein weiterer wesentlicher Unterschied besteht im weitgehenden Verzicht auf den hellen Malgrund; die Firnisreifen werden direkt auf die Gefäßoberfläche aufgetragen, wobei die fein geglätteten Gefäßoberflächen auf die hohe Qualität der meisten Reifenteller dieses Typs verweisen. Der Reifen- oder Bänderdekor kann wie bei den orientalisierenden Reifentellern beide Seiten des Tellerbeckens schmücken (**Kat. 762**) oder auf das innere Tellerbecken als der eigentlichen Hauptdekorzone der Teller beschränkt bleiben (**Kat. 525**), wobei mitunter ein Lippenband auf die Außenseite übergreift (**Kat. 1041**). **Kat. 1533** und **Kat. 1607** kombinieren breite Bänder und schmale Reifenbündel an der Innen- und Außenseite. **Kat. 1532** gleicht sich im Dekorschema den dunkelgrundig-orientalisierenden Reifentellern (**Kat. 1412**) und den Reifentellern der Dunkelgrundigen Ware (s. u.) an: im gefirnissten Tellerbecken bleiben schmale Reifen tongrundig ausgespart, an der Außenseite laufen schmale Firnisreifen um.

Die Datierung der Gefäße entspricht jener der orientalisierenden Reifenteller. In den ephesischen Siedlungsbefunden drückt sich diese Parallelität mit dem Vorkommen des zweiten Typs ebenfalls in der AG Phase IIIb und der AG Phase IV aus.

Die variantenreichen Reifenteller der Dunkelgrundigen Ware werden ebenfalls diesem zweiten Typ zugeordnet. **Kat. 876** steht dabei in seiner Formgebung den orientalisierenden Reifen-

⁴²⁷ Zu Istros vgl. Alexandrescu 1978, 48 Nr. 109 Taf. 11. Zu Samos s. Walter-Karydi 1973, 123 Nr. 235 Taf. 28; Isler 1978b, 148 Nr. 513 Taf. 67. Zu Didyma vgl. Tuchelt 1971, 67 Nr. 86. 87 Taf. 7. Zu Vroulia vgl. Kinch 1914, 130 Nr. 5. 6 Abb. 2 Taf. 4; Abb. 1 Taf. 20; zu Ras el Bassit vgl. Courbin 1978, Abb. 7 Taf. 16. Zu Ashkelon s. Waldbaum 2011, 233 Nr. 258; 238 Nr. 267.

⁴²⁸ Erstmals vorgelegt von Benda 1991, 39 Nr. 4 Typus 13.

⁴²⁹ Vgl. Waldbaum 2011, 233 Nr. 258; 238 Nr. 267. s. außerdem Kinch 1914, 130 Nr. 5. 6 Abb. 2 Taf. 4; 130 Abb. 1 Taf. 20; Tuchelt 1971, 67 Nr. 86. 87 Taf. 7; Walter-Karydi 1973, 123 Nr. 235 Taf. 28; Alexandrescu 1978, 48 Nr. 109 Taf. 11; Courbin 1978, Abb. 7 Taf. 16; Isler 1978b, 148 Nr. 513 Taf. 67.

tellern sehr nahe, doch wird der Dekor des äußeren Tellerbeckens auf ein breites Lippenband reduziert und im flächig bemalten inneren Tellerbecken lockern nur zwei schmale, in Deckweiß aufgetragene Reifen den dunklen Gesamteindruck auf. **Kat. 1136** wiederholt das gleiche Dekorschema, fällt jedoch wesentlich dünnwandiger aus. Die dunkelgrundigen Teller sind mit dem nur durch schmale helle Reifen aufgelockerten dunklen Gefäßbecken demselben dekorativen Grundprinzip verpflichtet, welches schon der dunkelgrundigen Variante der orientalisierenden Reifenteller zugrunde liegt; in Analogie dazu wird ihre Datierung ebenfalls erst seit der mittleren zweiten Hälfte des 7. Jahrhunderts möglich.

Kat. 763, **Kat. 1531**, **Kat. 1608** und **Kat. 1900** präsentieren schließlich einen Typ von Reifentellern, für den es außerhalb von Ephesos bislang keine überzeugenden Belege gibt. Es handelt sich um sehr flache Teller, die einen außenseitig kantig abgesetzten, breiten und nach innen abgeschrägten Flachrand ausbilden, der sich zur Lippe hin leicht keilförmig verdickt⁴³⁰. Die Fragmente dieses Typs mit besser erhaltener Oberfläche weisen einen Bänderdekor auf, der entweder direkt an der Gefäßoberfläche (**Kat. 763**) oder über einem diese bedeckenden hellen Malgrund (**Kat. 1531**, **Kat. 1608**, **Kat. 1900**) aufgetragen sein kann. Die Form ist darüber hinaus jedoch auch für unbemalte Gefäße mit sorgfältig geglätteter Oberfläche belegt (**Kat. 922**, **Kat. 1805**).

Damit sind auch diese Teller im Umfeld orientalisierender Teller zu verorten und tatsächlich sind mit den Mäanderrandtellern des 6. Jahrhunderts Teller mit flachen Rändern für die orientalisierende Gefäßproduktion des nördlichen Ioniens und der Äolis hinreichend belegt (s. u. Kap. 1.B.3.4.2f). Abgesehen vom Flachrand haben die Reifenteller mit breitem Rand mit den Mäanderrandtellern jedoch wenig gemeinsam; sowohl die Gesamtproportionen der Gefäße als auch ihr Dekor sind deutlich von ihnen abzugrenzen. Einzig aus Istros ist eine Reihe kleiner Teller publiziert, bei denen die markante Formgebung der Teller mit breitem Rand in Kombination mit einem an der Randoberkante umlaufenden Hakenmäanderfries auftritt⁴³¹, wodurch ein möglicher Zusammenhang der beiden Tellertypen an Wahrscheinlichkeit gewinnt. Bezieht man weiters die Tatsache in die Überlegung mit ein, dass aus den bekannten südionischen Zentren Samos und Milet Reifenteller des ersten Typs in großer Anzahl vertreten sind, jene mit breitem Rand aber gar nicht vorkommen, und umgekehrt über die orientalisierende Keramikproduktion der nordionischen Zentren bis in die Stilstufe NiA Id wenige publizierte Daten vorliegen, so scheint es zumindest nicht völlig abwegig, in den Reifentellern mit breitem Rand eine nordionische Ausprägung orientalisierender Reifenteller zu vermuten, die bereits das für die späteren Mäanderrandteller so markante Formmerkmal des Flachrandes vorwegnehmen.

Ein anderer Zusammenhang könnte außerdem mit einer Gruppe sog. schüsselartiger Teller aus Borysthenes gegeben sein⁴³², die mit den Reifentellern mit breitem Rand eben den breiten Rand und die Reifenzier gemeinsam haben, allerdings wesentlich tiefere Gefäßbecken auszubilden scheinen. Die Gefäße sind außerhalb von Borysthenes bislang nicht belegt. Sie werden nach den Ergebnissen jüngster Fabrikatsanalysen am Hellespont verortet und einer Werkstatt zugeordnet, deren Produktion sich an südionischen, nordionischen und äolischen Vorbildern gleichermaßen orientiert zu haben scheint (Hellespont-Werkstätten)⁴³³.

Beide für die Interpretation der Teller mit breitem Rand diskutierten Modelle verweisen auf jeden Fall auf eine nördlich von Ephesos zu lokalisierenden Produktionsregion. Dieser Eindruck wird von einem mit noch geometrischem Dekor verzierten Teller mit fein geglätteter Oberfläche und breitem Rand aus Alt-Symrna untermauert, der innerhalb der mir bislang bekannten

⁴³⁰ İren 2003, 174 f. spricht ein formal vergleichbares und im äolischen Tierfries verziertes Gefäß als Deckel an, was von der Verwendung des Gefäßes in einem Pithosgrab bei Pitane herrührt.

⁴³¹ Vgl. dazu Hayes 1966, 52 Nr. 669–672 Abb. 29 Taf. 36, dort in der damaligen Lehrmeinung noch als rhodisch angesprochen.

⁴³² Vgl. dazu Čistov 2005, 55 Abb. 72; Posamentir 2006, 165 Abb. 17; Posamentir – Solovyov 2006, 115 f. Abb. 14. 15; Posamentir – Solovyov 2007, 196 Abb. 5. 18. 21.

⁴³³ s. dazu Posamentir – Solovyov 2006, 112–117; Mommsen u. a. 2006; Posamentir – Solovyov 2007, 197. Allgemein zu den Hellespont-Werkstätten vgl. auch Posamentir u. a. 2009 und zuletzt Ayaçlar – Kozanlı 2012.

Vergleichsgefäße das dekortypologisch älteste darstellt⁴³⁴. Mit **Kat. 763**, **Kat. 922**, **Kat. 1608**, **Kat. 1805** und **Kat. 1900** weist demgegenüber ein großer Anteil der Teller mit breitem Rand aus Ephesos jenes rötliche und mittelharte Fabrikat auf, das im Gefäßrepertoire ephesischer Alltagskeramik so prominent vertreten ist und damit die Produktion der Teller mit breitem Rand (auch) in einer lokalen Werkstatt nahelegt.

Aufgrund der Publikationslage aus anderen ionischen Befunden kann die chronologische Einordnung der Teller mit breitem Rand nur auf Basis der ephesischen Befunde selbst erfolgen. Dabei zeichnet sich ein Verbreitungsschwerpunkt in der AG Phase III und in den Bauhorizonten der AG Phase IV ab, womit eine Datierung in die zweite Hälfte des 7. Jahrhunderts gut argumentiert werden kann. In diesen Zeitraum sind auch die dickwandigen südionischen Reifenteller zu datieren, was dem chronologischen Ansatz zusätzliche Plausibilität verleiht. Das Produktionsende der (Reifen-)Teller mit breitem Rand scheint in etwa zeitgleich mit dem Produktionsbeginn der Mäanderrandteller im beginnenden 6. Jahrhundert zu erfolgen, welche die charakteristischen Formproportionen der Teller mit breitem Rand für die frühesten Mäanderrandteller im ausgehenden 7. Jahrhundert noch zu übernehmen scheinen⁴³⁵, in der standardisierten Produktion aber nur noch den Flachrand für die Teller des späten Tierfriesstils adaptieren.

1.B.3.4.2e Metopenteller

Das Tellerfragment **Kat. 1149** zeigt einen Ausschnitt aus der sekundären Dekorzone im inneren Beckenboden eines Metopentellers mit einem siebenteiligen Balkenbündel als Trennelement. Die Füllmotive in den schmalen Bildfeldern sind nicht zu identifizieren, doch ist hier mit einfachen Ornamenten zu rechnen. Die Bildfelder südionischer Metopenteller können zoomorphe, florale oder ornamentale Bildmotive enthalten⁴³⁶.

Ein Tellerfragment aus den hellenistischen Planierschichten unter der Tetragonos Agora zeigt beispielsweise eine von verschiedenen Füllornamenten begleitete Rotwildprotome (**AG 98/073.2** Abb. 11), die mit großer Wahrscheinlichkeit in der äußeren Hauptdekorzone im Tellerbecken zu verorten sein wird. Innerhalb des äußeren Metopenfrieses folgt im Regelfall entweder ein zweiter ornamental geschmückter Metopenfries wie bei **Kat. 1149**⁴³⁷ oder eine breite Bänderung mit einem Ornamentfries⁴³⁸. Den inneren Tellerboden ziert ein zentrales Mittelmotiv, wobei hier fast ausschließlich Rosetten aus radial angeordneten Zungen mit schmaler Basis und rund verdicktem Ende belegt sind⁴³⁹.

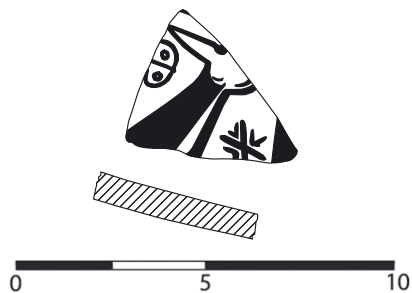


Abb. 11 Tellerfragment AG 98/073.2

⁴³⁴ Dazu der unpublizierte Teller Inv. SM.KG.OH.18 aus den Grabungen J. Keils der 1920er Jahre.

⁴³⁵ Vgl. Hayes 1966, 52 Nr. 671 Abb. 26 (deposit 1c).

⁴³⁶ Vgl. beispielsweise Hayes 1966, 49 Nr. 614 Taf. 33; Hayes 1973, 17 Nr. 1978 Taf. 10; Walter-Karydi 1973, 11 Nr. 194 Abb. 13; 134 Nr. 563–572 Taf. 73. 74; 136 Nr. 654–657 Taf. 80; von Graeve 1973/1974, 106 f. Nr. 112–115 Taf. 29; Alexandrescu 1978, 45 f. Nr. 88. 89 Taf. 9; Isler 1978b, 90 Nr. 113. 116 Taf. 46; Kleine 1979, 150 Nr. 55 Taf. 40; von Graeve 1987, 24–26 Nr. 54–66 Taf. 15. 16; Utili 1999, 183 Nr. 249. 250 Abb. 299; Akurgal 2002, 111 Nr. 78 Abb. 47 Taf. 6; Kerschner – Schlotzhauer 2005, Abb. 41. 42; Hoesch 2006, 142 Nr. 1 Abb. 2; Posamentir – Solovyov 2006, 114 Abb. 12; Kalaitzoglou 2008, 385–387 Nr. 334 Taf. 53; Nr. 335–337 Taf. 55. 56; Nr. 340 Taf. 58; Waldbaum 2011, 234–239 Nr. 259–261. 263. 264. 269.

⁴³⁷ Vgl. Hayes 1973, 17 Nr. 1978 Taf. 10; Walter-Karydi 1973, 134 Nr. 564 Taf. 73; 136 Nr. 657; Isler 1978b, 90 Nr. 116 Taf. 46; von Graeve 1987, 25 Nr. 58 Taf. 15; Kalaitzoglou 2008, 385 Nr. 334 Taf. 53.

⁴³⁸ Vgl. Hayes 1966, 49 Nr. 614 Taf. 33; Walter-Karydi 1973, 134 Nr. 568–572 Taf. 74; 136 Nr. 654; von Graeve 1973/1974, 107 Nr. 113 Taf. 29; Isler 1978b, 90 Nr. 113 Taf. 46; von Graeve 1987, 26 Nr. 65 Taf. 15; Hoesch 2006, 142 Nr. 1 Abb. 2; Kerschner – Schlotzhauer 2005, Abb. 41; Kalaitzoglou 2008, 386 Nr. 335. 336 Taf. 55. 56; Waldbaum 2011, 234 Nr. 259; 239 Nr. 269.

⁴³⁹ s. etwa Hayes 1966, 49 Nr. 614 Taf. 33; Walter-Karydi 1973, 134 Nr. 563–572 Taf. 74; Cook – Dupont 1998, 43 Abb. 8. 11; Kalaitzoglou 2008, 386 Nr. 335 Taf. 55.

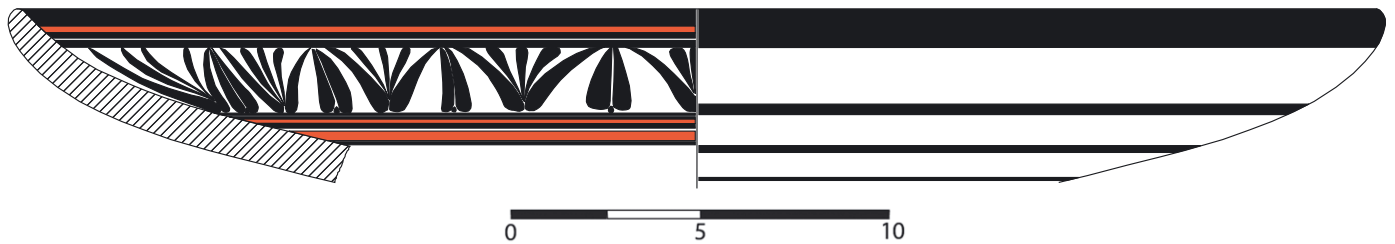


Abb. 12 Südionischer Reifenteller AG 88/003.2

Das Bodenfragment **Kat. 1468** ist wahrscheinlich einem ähnlichen Metopenteller zugehörig. Der nur leicht ausgestellte Standfuß ist bis auf ein breites ausgespartes Band über dem hellen Malgrund mit einem Überzug versehen; im inneren Tellerboden haben sich über dem hellen Überzug schwächste Reste eines floral geschmückten Mitteltondos erhalten. Es scheint, dass sich um einen gerahmten mittigen Punkt vier kreuzständige Blütenknospen mit verdickter Basis ausrichten. Ein vergleichbares Mittelmotiv ist bislang nur von einem Metopenteller bekannt, den E. Walter-Karydi als samisch anspricht⁴⁴⁰. Es handelt sich damit auch um einen der wenigen bekannten Metopenteller des Typs, der nicht das oben besprochene Rosettenmotiv zeigt und dessen Bildrepertoire mit Volutenpalmette und stilisierten Augen tendenziell jünger zu sein scheint⁴⁴¹, obwohl auch die Augenteller bereits im späteren 7. Jahrhundert vertreten sind, sofern die chronologische Einordnung der Aufschüttung B im Artemision von Ephesos richtig ist⁴⁴².

Kat. 1467 zeigt eine etwas andere Variante südionischer Metopenteller, bei der die Strahlen im Metopenfries umgedreht werden, sodass die spitzen Enden nach außen weisen⁴⁴³. Die Gefäße dieser Variante weisen nur zwei Dekorzonon auf, bestehend aus dem nun ausschließlich mit vegetabilen oder ornamentalen Motiven geschmückten Metopenfries und einem zentralen Tondo mit Rosetten oder Sternmotiv⁴⁴⁴. **Kat. 1467** zeigt mit einer gerahmten Lotusblüte ein ungewöhnlich komplexes Bildmotiv, tragen die Bildmetopen doch meist nur stilisierte Punktrosetten oder ornamentale Motive, die bei den oben besprochenen Metopentellern als Füllornamente fungieren. Auch die Gestaltung des äußeren Tellerbeckens mit einem Strahlenkranz am Beckenboden und einem engen Wellenband in der dunkel gefirnissten Randzone fällt im Vergleich zu den meist mit einfachen Reifen geschmückten Außenseiten orientalisierender Teller überraschend aufwendig aus und findet im Dekorschatz Vergleiche bei einer Steilwandschüssel der Stufe SiA Ic, wo das enge Wellenband den Fuß schmückt⁴⁴⁵. Das helle Fabrikat von **Kat. 1467** macht wie bei der Steilwandschüssel aus Zypern Milet als Produktionsort wahrscheinlich. Während Lotusblüten als Metopenbilder wie bei **Kat. 1467** ungewöhnlich sind, sind sie als namengebendes Motiv in der Hauptdekorzone der Blütenkranzteller prominent vertreten.

Diese sind auch als Variante der nordionischen und äolischen Mäanderrandteller bekannt (s. u. Kap. 1.B.3.4.2f); in der zeitgleichen südionischen Ausprägung, wie sie mit **AG 88/003.2** (Abb. 12) aus den hellenistischen Planierschichten unter der Tetragonos Agora vorliegt, erweitert der Blüten-Knospen-Fries das Dekorschema der Reifenteller. Das Fabrikat von **AG 88/003.2**

⁴⁴⁰ Dazu Walter-Karydi 1973, 13. 121 Nr. 191 Taf. 25. Vgl. auch Walter 1968, 71. 125 Nr. 584 Taf. 113.

⁴⁴¹ Walter 1968, 71 und Walter-Karydi 1973, 13 ziehen den Produktionsbeginn der Augenteller erst für die Wende vom 7. zum 6. Jh. in Betracht. Posamentir 2002, 18–19 folgt dieser Interpretation bei der zeitlichen Einordnung der mit Augenmetopen geschmückten Deckel (Deckel mit Gesichtsmasken).

⁴⁴² Dazu Kerschner 1997a, 143. 186 Nr. 65 Abb. 26 Taf. 9. s. auch Schattner 2007, 433 f. Nr. Tf.25–Tf.27 Abb. 125.

⁴⁴³ Vgl. dazu Walter-Karydi 1973, 122 Nr. 207–209 Taf. 27; 134 Nr. 566. 573 Taf. 74; von Graeve 1973/1974, 107 Nr. 116 Abb. 22 Taf. 29; Ersoy 1993, 72 Nr. 577 Taf. 51; 78 Nr. 574 Taf. 74; 392–396; Kalaitzoglou 2008, 386 f. Nr. 339. 340–343 Taf. 57–59.

⁴⁴⁴ Vgl. etwa von Graeve 1973/1974, 107 Nr. 116 Abb. 22 Taf. 29; Walter-Karydi 1973, 134 Nr. 573. 585 Taf. 74; Nr. 580 Taf. 75; Ersoy 1993, 72 Nr. 577 Taf. 51; 78 Nr. 574 Taf. 74; 392–396; Akurgal 2002, 110 Nr. 74 Abb. 41. 42 Taf. 7; Hoesch 2006, 144 Nr. 4 Abb. 4; Kerschner 2008a, 67 Nr. 43 Taf. 14. 30.

⁴⁴⁵ Dazu Villing 1999, 190 f. Abb. 1.

scheint mit milesischen Gefäßen vereinbar zu sein, die Ausführung der Lotusblüten kennzeichnet die Stilstufen SiA Ic/SiA Id und fällt damit in denselben Zeithorizont, der bereits durch ein aus Milet publiziertes Vergleichsstück angegeben ist⁴⁴⁶.

Kat. 1535 zeigt die für diese Variante geläufige Bodenform. Anders als bei **Kat. 1468** handelt es sich um hohe Tellerfüße mit Reifenzier, bei der sich schmale Bänder und Reifen um die mit einem hellen Malgrund versehene Gefäßoberfläche legen⁴⁴⁷, und welche insgesamt häufiger belegt ist. Die beiden Fragmente illustrieren bereits den Variationsspielraum, der sowohl in formaler als auch dekorativer Hinsicht gegeben ist. **Kat. 1535** weist in der Bodenmitte einen zentralen, durch einen Kreis gerahmten Punkt auf, an dem sich vertikale Elemente mit gerundeter Basis radial ausrichten. Dieses Motiv ist ebenso wie die geschwungene Kontur des Standfußes für die südionischen Metopenteller mit nach außen gekehrten Strahlen bekannt⁴⁴⁸; das Fabrikat des Fragments weist erneut nach Milet.

Metopenteller sind eine Variante südionischer Teller, welche zwischen dem fortgeschrittenen 7. und dem beginnenden 6. Jahrhundert (SiA Ic/SiA Id) produziert wurden⁴⁴⁹. **Kat. 1535** ist dabei als typologisch ältestes Gefäß aus den archaischen Siedlungsbefunden noch der älteren Phase SiA Ic zugehörig. Die nordionischen Pendants zeichnen sich durch breite Balken mit gerundeten Enden aus und datieren schwerpunktmäßig erst in die Phase NiA Id⁴⁵⁰.

In den archaischen Siedlungsbefunden von Ephesos verteilen sich die Metopenteller auf die Horizonte der AG Phase IV.

1.B.3.4.2f Mäanderrandteller

Die Mäanderrandteller bilden die zweite große Gruppe ostgriechisch-orientalisierender Teller. Die flache Randplatte dieser Teller ist verbindlich mit einem Hakenmäander versehen, die Bodenmitte schmückt ein radiales oder florales Dekorelement, wie es in **Kat. 1150** mit dem Ausschnitt eines typischen Rauten-Knospen-Sterns im Tellerboden vorliegt⁴⁵¹. Die Gefäßaußenseite wie auch die profilierte Randaußenkante und die Trennung der Dekorzonen sind durch einfache Bänderung gestaltet; ein heller Malgrund, wie er die Mäanderrandteller häufig kennzeichnet, konnte nicht verifiziert werden. Die Randplatten weisen häufig zwei senkrechte Durchbohrungen in geringem Abstand auf; sie dienten wahrscheinlich dazu, die Gefäße mittels einer Schnur aufzuhängen. Mäanderrandteller aus datierten Kontexten stammen aus der ersten Hälfte des 6. Jahrhunderts.

⁴⁴⁶ Vgl. von Graeve 1987, 26 Nr. 63 Abb. 4 Taf. 15. **AG 88/003.2** wurde erstmals von Benda 1991 vorgelegt.

⁴⁴⁷ Vgl. Dugas 1935, 61 f. Nr. 19–22 Taf. 43; Hayes 1966, 50 Nr. 615–627 Taf. 34; Condurachi 1966, 439 Nr. 84 Taf. 7; Walter-Karydi 1973, 121 Nr. 191 Taf. 25; Isler 1978b, 90 f. Nr. 118 Taf. 46; Utili 1999, 182 Nr. 245 Abb. 14.

⁴⁴⁸ Vgl. Kalaitzoglou 2008, 386 Nr. 339 Taf. 57.

⁴⁴⁹ Zu den südionischen Metopentellern vgl. zusammenfassend Walter-Karydi 1973, 12 f. 52. 60 f.; Cook – Dupont 1998, 42 f. s. weiters Kinch 1914, Taf. 4; Jacopi 1929, 83 f. Abb. 74 (Grab 49); Jacopi 1931, 51 f. Nr. 9 Abb. 22. 23 (Grab 4); 391 Nr. 15 Abb. 441; Hayes 1966, 49 Nr. 614 Abb. 24 Taf. 33 (>deposit I<); Isler 1978b, 57–59. 90 Nr. 113. 116 (Fundgruppe F); von Graeve 1987, 25 Nr. 58 (Befund 152) und 26 Nr. 65 (Befund 47); Hoesch 2006, 142 Nr. 1 Abb. 2; Kalaitzoglou 2008, 135–138. 142 f.; Waldbaum 2011, 234–239.

⁴⁵⁰ Zu dem nordionischen Typ und seiner Datierung s. zuletzt Pautasso 2009, 69–73. Vgl. auch Walter-Karydi 1973, 10 Nr. 193 Abb. 12; 147 Nr. 1001. 1002 Taf. 123; Alexandrescu 1978, 46 Nr. 90 Taf. 9; Akurgal 2002, 110 Nr. 75 Abb. 44 Taf. 6; Kerschner 2002e, 73; Paspalas 2006, 95 Abb. 6; 97 Abb. 7–9.

⁴⁵¹ Dugas 1928, 40 f. Nr. 68. 69 Taf. 13; Dugas 1935, 61 f. Nr. 19–22 Taf. 43; Lambrino 1938, 289 Abb. 276. 277; Hayes 1966, 50–52 Nr. 535–671 Abb. 26 Taf. 35. 36; Condurachi 1966, 438 Nr. 69–72 Taf. 6; 439 Nr. 91 Taf. 7; 440 Nr. 92–94. 96–98 Taf. 8; Walter-Karydi 1973, 123 Nr. 239 Taf. 31; Ploug 1973, 68 f. Nr. 301–303 Taf. 15; Alexandrescu 1978, 49 Nr. 121–123 Taf. 12; Calvet – Yon 1978, 45 Nr. 2 Taf. 20; Orlandini 1978, Nr. 3 Taf. 53; Schaus 1985, 65 Nr. 364 Abb. 7; Ersoy 1993, 59 Nr. 584 Taf. 39; 101 Nr. 579 Taf. 86; 104 Nr. 583 Taf. 90; 162 Nr. 548 Taf. 169; Cook – Dupont 1998, 53 Abb. 8, 18; Utili 1999, 168–173 Nr. 130–177 Abb. 8–10; Paspalas 2006, 97 Abb. 12; 98 Abb. 14; Posamentir – Solovyov 2006, 108 Abb. 5; 121 Abb. 22; Schattner 2007, 372 Nr. TeB1 4 Abb. 104. Zum Typ vgl. Ersoy 1993, 589–391 (Typ 3); und zuletzt Pautasso 2009, 68–73.

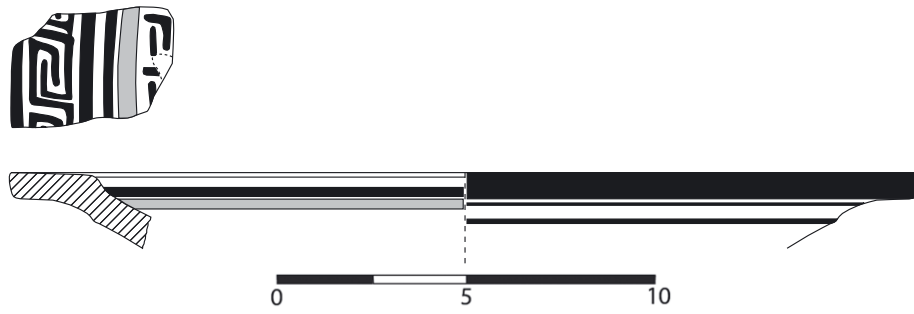


Abb. 13 Mäanderrandteller AG 95/140.2 + AG 96/148.2

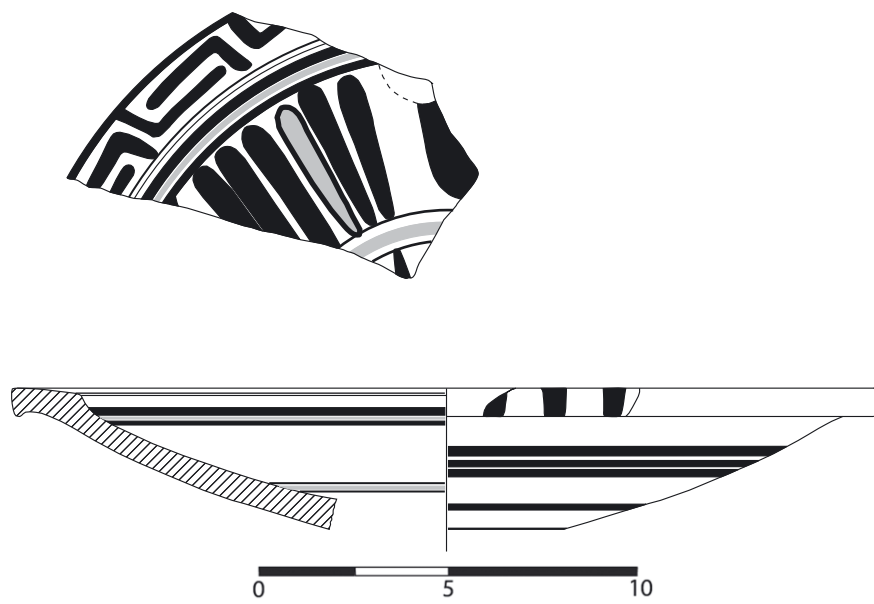


Abb. 14 Mäanderrandteller AG 87/139.11

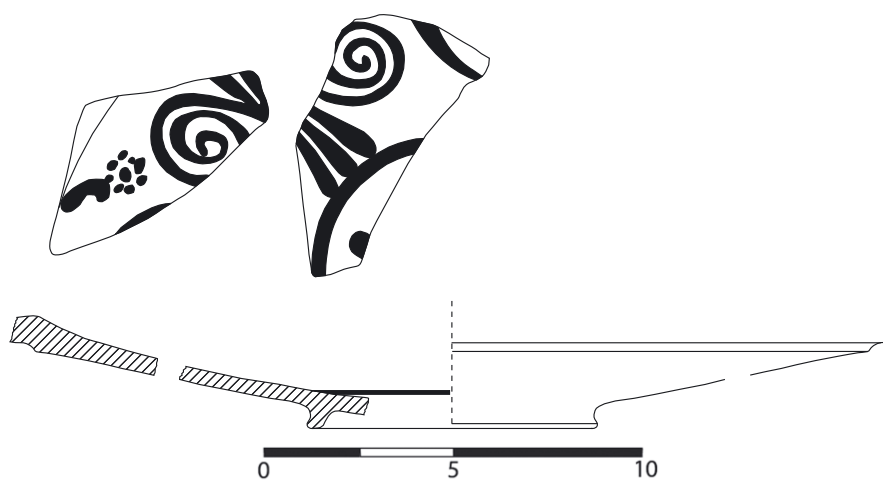


Abb. 15 Mäanderrandteller AG 87/140.9

Der beschriebene Typ mit mittigem Bildtondo und Bänderung zwischen den Dekorzonen gilt dabei als spätere Entwicklung der Jahre 580–560⁴⁵², während Mäanderrandteller mit anstelle der Bänderung eingeschobener, dritter ornamentaler Dekorzone (z. B. **AG 95/140.2+AG 96/148.2** Abb. 13) etwas früher datieren⁴⁵³.

Als dritte Variante innerhalb der Mäanderrandteller mit Flachrand sind schließlich Gefäße gegeben, welche die formalen und dekorativen Charakteristika der Mäanderrandteller mit Metopenfriesen kombinieren, wie sie von den südionischen Metopentellern bekannt sind (s. o. Kap. 1.B.3.4e). Die breiten, abgerundeten Trennbalken in den Metopenfriesen sind dabei wie bei **AG 87/139.11** (Abb. 14) ein typisches Merkmal nordionischer Vasenmalerei.

Als letzte Dekorvariante innerhalb der Mäanderrandteller mit Flachrand sind Teller zu nennen, bei denen wie bei den Metopentellern ein breiter Fries zwischen Mitteltondo und Rand eingeschrieben ist, dieser jedoch keine Metopengliederung, sondern einen umlaufenden Dekor aufweist. Prominent sind hier wie bei südionischen Tellern Lotusblüten-Knospen-Kränze (s. u. Kap. 1.B.3.4.2g) oder andere florale Motivabfolgen wie bei **AG 87/140.9** (Abb. 15) aus den hellenistischen Planierschichten unter der Tetragonos Agora⁴⁵⁴.

Mäanderrandteller gehören zu den charakteristischen Erzeugnissen nordionischer und äolischer Werkstätten⁴⁵⁵ und sind mit einem Standring zu ergänzen. **Kat. 1151** und **Kat. 1901** sind Mäanderrandtellern mit flachem Rand zugehörig. **Kat. 1151** zeigt eine Variante, bei der sich der mit einem Mäander geschmückte Flachrand zu einer deutlich abgesetzten und leicht profilierten Randplatte entwickelt hat, wie sie auch von Krateren bekannt ist (z. B. **Kat. 1978**). Auch das komplexere Mäandermuster rückt **Kat. 1151** stärker in die Nähe der Kratere, ist umgekehrt jedoch ebenfalls von zwei Tellern aus Milet und Klazomenai bekannt, während sich die Formmerkmale bei zwei Tellern aus Samos wiederfinden⁴⁵⁶. Während für den Teller aus Milet eine lokale Herstellung anzunehmen ist⁴⁵⁷, die sich auch im vom üblichen Schema abweichenden Dekor des Tellerbeckens ausdrückt, gehören die beiden Teller aus Samos der Grauen Ware an. In allen drei Fällen wird damit klar, dass die nächsten formalen Vergleiche zu **Kat. 1151** nicht den kanonischen Produktionsserien der Mäanderrandteller angehören – eine Interpretation, die für **Kat. 1151** mit seinem wahrscheinlich milesischen Fabrikat ebenso denkbar ist.

Kat. 1152 illustriert die zweite mögliche Formvariante der Mäanderrandteller nordionischer und äolischer Produktion mit schnabelförmiger Lippe. Dieses Randprofil ist für Mäanderrandteller auf hohem Fuß bezeichnend, die zeitlich parallel mit den Tellern auf Standringen einsetzen und vor allem in Klazomenai und in Kyme nachgewiesen sind⁴⁵⁸. Wie bei den Mäanderrandtellern mit Flachrand kann das innere Tellerbecken in zwei Dekorzonen gegliedert sein, von der die äußere am Rand einen Mäanderfries zeigt und durch eine breite und mitunter polychrome Bänderung vom Mitteltondo abgegrenzt ist, welches wie bei den Mäanderrandtellern mit flachem Rand meist eine Blüten-Knospen-Rosette zeigt (**Kat. 1150**). Bei einer zweiten Dekorvariante kann die Bänderung wie bei den Mäanderrandtellern mit Flachrand durch einen zweiten ornamentalen Fries ersetzt werden. Vom kleinen Teller **Kat. 1152** hat sich nicht genug erhalten, als dass eine Zuordnung zu einer der beiden Dekorvarianten erfolgen könnte; es ist jedoch allein

⁴⁵² Zur Datierung Ersoy 1993, 386; Boldrini 1994, 94; Utili 1999, 22–25; Kerschner 2007, 230; Pautasso 2009, 68–73.

⁴⁵³ Vgl. dazu Cook – Dupont 1998, 53 Abb. 8, 18; Kerschner 2006b, 144 Abb. 13 (ähnlich) und besonders Pautasso 2009, 67 Nr. 134 Abb. 10 Taf. 6 und Taf. B.

⁴⁵⁴ Zu dem Motiv vgl. Boehlau 1898, 80 f. Nr. 3 Abb. 34, 35; Hayes 1966, 47 Nr. 589 Taf. 30; Walter-Karydi 1973, 143 Nr. 922 Taf. 113; Alexandrescu 1978, 47 Nr. 102 Taf. 10.

⁴⁵⁵ Zur archäometrischen Grundlage einer solchen Ansprache vgl. zuletzt Kerschner – Mommsen 2009, 136–139 (Gruppe B, E und F); Pautasso 2009, 61. Zu den nordionischen Herkunftsgruppen s. weiters Kerschner 2002e, 72–92; Posamentir – Solovyov 2006, 119. Zur äolischen Produktion des Typs s. Kerschner 2002e, 90; İren 2003, 84; Posamentir – Solovyov 2006, 109.

⁴⁵⁶ Zu Samos s. Isler 1978b, 99 Nr. 165, 166 Beil. 4; zu Milet vgl. von Graeve 1987, 26 Nr. 64 Abb. 5 Taf. 16; zu Klazomenai vgl. Ersoy 1993, 99 Nr. 582 Taf. 82.

⁴⁵⁷ Dazu von Graeve 1987, 14.

⁴⁵⁸ Dazu Kerschner 2002e, 90 f. Zu Klazomenai s. Ersoy 1993, 58 Nr. 584 Taf. 39; 82 Nr. 572 Taf. 63; 90 Nr. 580 Taf. 72.

aufgrund des kleinen Randdurchmessers schwer vorstellbar, wie ein zweiter ornamentaler Fries im Tellerbecken Platz gefunden haben könnte.

Das Vorkommen der Mäanderrandteller in den Versturzhorizonten der AG Phase IV bestätigt die Datierung der Gefäßform in die erste Hälfte des 6. Jahrhunderts. Die Tatsache, dass sich in jenen Horizonten, welche die Bauphase und Nutzungsniveaus der AG Phase IV bezeichnen, noch keine Mäanderrandteller finden, legt darüber hinaus die Vermutung nahe, dass es sich bei den Mäanderrandtellern zumindest aus der Siedlung unter der Tetragonos Agora (**Kat. 1150–Kat. 1152. Kat. 1901**) tatsächlich um die spätere, in zwei Dekorzonen unterteilte Variante des zweiten Viertels des 6. Jahrhunderts handeln dürfte.

1.B.3.4.2g Andere orientalisierende Teller

Das orientalisierende Tellerfragment **Kat. 193** lässt sich keinem bestimmten Typ zuweisen. Das Fragment entstammt dem Bereich des Tellerbodens; im Inneren umfasst ein breites Firnisband das Mitteltondo, an der Außenseite zeichnet sich ein Strahlenkranz ab. Vom Dekor des zentralen Bildtondos im inneren Tellerboden hat sich der Ausschnitt eines vegetabilen Motivs erhalten, das sich aus schmalen, zungenförmigen Einzelgliedern bildet, deren runde Abschlüsse von einer Linie gerahmt werden, die die Zungen zu einem Motiv verbindet. In dieser Form werden in der orientalisierenden Gefäßmalerei Palmetten oder Rosetten dargestellt, die besonders auf den dori-schen Segmenttellern ihren Platz in der sekundären Bildzone finden⁴⁵⁹. Die radiale Anordnung des Dekors im Tellerbecken und die flach konvexe Gefäßkontur schließen eine Zugehörigkeit von **Kat. 193** zu einem Segmentteller jedoch aus. In der ionischen Tierfrieskeramik ist das Motiv indes als Füllmotiv in den Tierfriesen oder als prominentes Schmuckmotiv im Bereich der Henkelansätze oder als diesen gegenüberliegendes Zentralmotiv großer, geschlossener Gefäße zu finden⁴⁶⁰. Von Tellern gibt es kaum Belege; bei einem an Milet zugewiesenen Teller schmückt eine vergleichbare Palmette, jedoch ohne Rahmung, den äußeren Tellerfries⁴⁶¹. Tritt der Dekor als Tondoschmuck auf, muss hingegen davon ausgegangen werden, dass sich mehrere Elemente zu einem komplexen Rosettenmotiv oder wie bei einem Teller aus Samos zu einem Palmettenkranz zusammengeschlossen haben⁴⁶². Mit diesem einer nordionischen Werkstatt zugeschriebenen Teller hat **Kat. 193** auch den Strahlenkranz an der Außenseite gemeinsam. Zur Schwierigkeit der typologischen Einordnung kommt hinzu, dass **Kat. 193** in einem Befundzusammenhang vergesellschaftet ist, der die Zerstörung der AG Phase II angibt und damit aus dem stratigrafischen Zusammenhang wesentlich früher einzuordnen wäre, als die Chronologie orientalisierender Teller es vorsieht. Es ist in Betracht zu ziehen, dass **Kat. 193** im Zuge des Grabungsvorgangs oder der Fundbearbeitung irrtümlicherweise dem ansonst klaren Befund der ersten Hälfte des 7. Jahrhunderts beigegeben wurde.

Auch das dickwandige Fragment **Kat. 1536** vom Becken eines großen Tellers stellt ein Einzelstück dar. Die Bemalung ist unmittelbar auf die Gefäßoberfläche aufgetragen und zeigt nicht den für orientalisierende Teller typischen hellen Malgrund. Der Dekor ist jedoch direkt mit orientalisierenden Traditionen verbunden. Im inneren Tellerboden ist ein Mitteltondo ausgespart, von dessen Bildschmuck sich nur das schmale Ende eines Strahls erhalten hat, der zu einem Stern oder einer Rosette gehört haben kann. Das Tondo wird von einer Abfolge aus Firnisbändern und aufgesetzten Reifen in Deckrot eingefasst, an denen sich ein Fries gefüllter Zungen radial ausrichtet. Zungenbänder sind ab der Stufe SiA Ib in der südionischen Vasenmalerei präsent und zeichnen sich dort noch durch eine etwa gleichwertige Abfolge von gefüllten und leeren

⁴⁵⁹ Vgl. etwa Walter-Karydi 1973, 149 Nr. 1071 Taf. 132.

⁴⁶⁰ Vgl. Boardman 1967, 149 Nr. 621 Taf. 52; Walter-Karydi 1973, 48 Abb. 95; Kerschner – Schlotzhauer 2005, 29 Abb. 23.

⁴⁶¹ Walter-Karydi 1973, 136 Nr. 578 Abb. 68; Nr. 664 Taf. 80.

⁴⁶² s. Walter-Karydi 1973, 146 Nr. 984 Taf. 121.

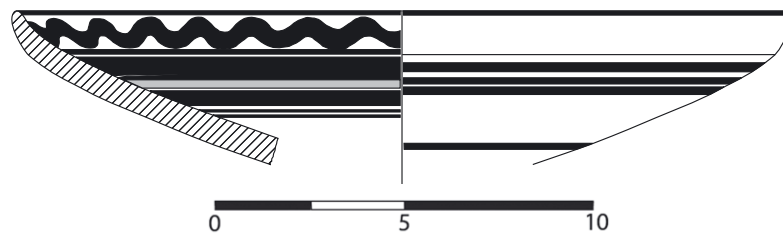


Abb. 16 Nordionischer Teller AG 87/145.1 + AG 89/208.11

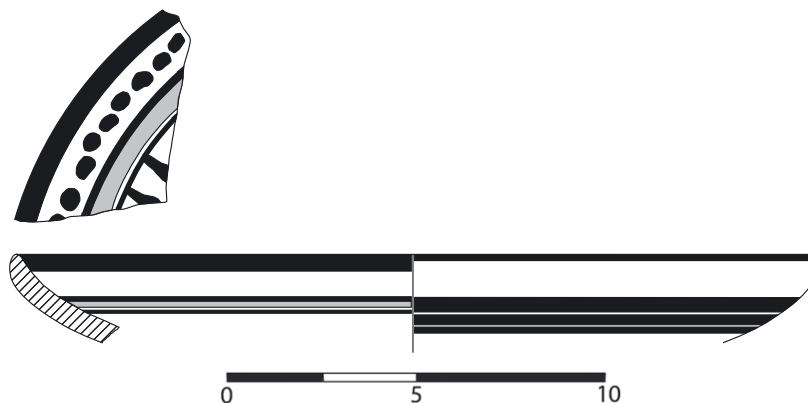


Abb. 17 Nordionischer Teller AG 87/150.5 + AG 89/184.12 + AG 89/235.1

Zungengruppen ab⁴⁶³. Ab der Stufe SiA Ic herrschen zunehmend die gefüllten Zungen vor⁴⁶⁴. Auf Tellern sind Zungen bislang nur von den dorischen Segmenttellern bekannt, wo sie das Halbrund unterhalb des gerade abgetrennten Hauptbildes schmücken⁴⁶⁵. Bei **Kat. 1536** ordnen sich die Zungen hingegen deutlich radial als umlaufender Bildfries um das Mitteltondo an und bilden damit ein bislang singuläres Dekorsystem aus. Vom Dekor der Gefäßaußenseite hat sich die schmale Knospe wahrscheinlich als Teil eines am Gefäß umlaufenden Frieses aus alternierenden Lotusblüten und Lotusknospen erhalten. Auch dieses Motiv wird mit der Stufe SiA Ib in die ostgriechische Malerei eingeführt und entwickelt sich mit der Stufe SiA Ic zu einem der beliebtesten Dekorelemente vor allem sekundärer Dekorzonen⁴⁶⁶; in seiner stilistischen Ausführung bleibt das Motiv jedoch wiederum singulär.

Aufgrund dieser motivtypologischen Charakteristika kann der dickwandige Teller **Kat. 1536** vergleichbar mit den oben besprochenen Metopentellern zwischen dem letzten Viertel des 7. Jahrhunderts und dem ersten Viertel des 6. Jahrhunderts eingeordnet werden. Die Verwendung von aufgesetztem Deckrot ist mit diesem chronologischen Ansatz gut vereinbar⁴⁶⁷. Eine regionale

⁴⁶³ Dazu Kerschner – Schlotzhauer 2005, 17–25; Kerschner – Schlotzhauer 2007, 303–307.

⁴⁶⁴ Dazu Kerschner – Schlotzhauer 2005, 25–45; Kerschner – Schlotzhauer 2007, 307–313.

⁴⁶⁵ Dazu Walter-Karydi 1973, 27. 89. 91 f. 149 Nr. 1068 Taf. 132; Nr. 1076 Taf. 134; Nr. 1067. 1098 Taf. 135; Nr. 1073 Taf. 137; Nr. 1099 Taf. 138; Nr. 1100. 1101 Taf. 139; Nr. 1084. 1090 Taf. 140; Cook – Dupont 1998, 61 f. Abb. 8, 24.

⁴⁶⁶ Dazu Cook – Dupont 1998, 36–46 Abb. 8, 6–8. 13; Kerschner – Schlotzhauer 2005, 17–45; Kerschner – Schlotzhauer 2007, 303–313.

⁴⁶⁷ Im Bereich der Trinkgefäße treten Reifen in Deckrot erstmals mit den späteren Kalotten- und den Knickrandschalen der Variante Typ 8.2 und der Variante Typ 10.1 auf, in der Tierfrieskeramik sind sie ab der Stufe SiA Ic belegt. Dazu Kerschner – Schlotzhauer 2005, 25–33; Kerschner – Schlotzhauer 2007, 307–309. Dunkelgrundige Waren mit aufgesetztem Rot erscheinen in südionischen Befunden erst im letzten Drittel des 7. Jhs. Dazu Furtwängler 1980, 210 Nr. 8. 16 Abb. 16. 17 (Phase II); 169 f. 175. 215 f. Nr. 19 Abb. 19; Nr. 34 Abb. 20 (Phase III); 185. 222 Nr. 23 Abb. 23 (Phase IV); Furtwängler – Kienast 1989, 114 Nr. 20. 23 Abb. 20; 115 Nr. 27 Abb. 21 (Phase

Einordnung gestaltet sich aufgrund des fehlenden Vergleichsmaterials hingegen schwierig; die Merkmale des Fabrikats könnten zwar nach Milet verweisen, doch macht der ungewöhnliche Dekor die Zuweisung des Gefäßes an einen Produktionsort, der gerade für seine gut etablierte und im standardisierten Rahmen für den Export produzierende Gefäßherstellung bekannt ist, problematisch.

Mit **AG 87/145.1+AG 89/208.11** sowie **AG 87/150.5+AG 89/184.12+AG 89/235.1** (Abb. 16. 17) liegen aus den hellenistischen Planierschichten oberhalb der archaischen Siedlung unter der Tetragonos Agora zwei weitere Varianten wahrscheinlich nordionischer Teller vor. Die Gefäße stehen in Form und Dekorsystem den Mäanderrandtellern mit schnabelförmiger Lippe nahe; anstelle des Mäanderdekors sind im mit einem hellen Überzug versehenen äußeren Fries ein Wellenband und eine Punktreihe eingefügt. Vergleichsbeispiele zeigen eine nordionische Herkunft dieser Teller an⁴⁶⁸.

1.B.3.4.3 Deckel

Deckel stehen in einem funktionalen Zusammenhang mit offenen Gefäßformen, wobei Schalen, Teller und Schüsseln, wie zahlreiche Grabbefunde belegen⁴⁶⁹, bei Bedarf auch selbst als Deckel verwendet werden konnten. Für die bereits bei ihrer Produktion als Deckel intentionierten Gefäße lassen sich zwei Grundformen nach dem Vorhandensein oder dem Fehlen eines Deckelfalzes unterscheiden. Während die Deckel mit Falz eindeutig als solche erkennbar sind, sind Deckel ohne Falz nach rein formalen Gesichtspunkten mitunter schwer von Schalen, Tellern und Schüsseln abzugrenzen. In diesen Fällen können die allgemeinen Gefäßproportionen sowie die Verteilung des Dekors am Gefäß wichtige Indikatoren darstellen. Letztlich kann die Entscheidung für manche Gefäße nicht getroffen werden, was in Anbetracht der bereits angesprochenen erwiesenen Doppelfunktionalität zwar für die angestrebte Eindeutigkeit in der Gliederung, Ansprache und Funktionszuweisung des Keramikspektrums von Nachteil sein mag, den Gegebenheiten des letztlich multifunktionalen Umgangs mit den fraglichen Gefäßen in der Antike jedoch durchaus gerecht wird.

1.B.3.4.3a Deckel mit Deckelfalz

Die nach der Befundlage ältesten Deckel aus den archaischen Siedlungshorizonten sind durch einen Deckelfalz gekennzeichnet, der mittels eines bisweilen leicht kantig abgestrichenen oder zapfenartig verdickten Vorsprungs von der Deckelkalotte abgesetzt ist. **Kat. 194**, **Kat. 374**, **Kat. 967** und **Kat. 1808** weisen gut geglättete bis polierte Oberflächen auf, die die Gefäße in einen Zusammenhang mit den in selber Art gestalteten Schüsseln und Teller des 7. Jahrhunderts setzen (s. o. Kap. 1.B.3.4.1+2). Eben diesen sind sie auch funktional zugeordnet. Bei **Kat. 375** sind die eben besprochenen Merkmale auf einen wesentlich größeren und dickwandigeren Deckel übertragen, der demzufolge einer entsprechend großen Schüssel zugeordnet werden muss, wie

I); 120 Nr. 2. 3 Abb. 23 (Phase II); 143 Nr. 1 Abb. 31 (Nordhalle); 149 Nr. 26 Abb. 33 Taf. 35 (Brunnen W 2). Kopcke 1968, 252 Anm. 2 geht von einer zeitlich knapp begrenzten Produktion dieser Waren in Samos selbst aus, wobei das Vorkommen auch der älteren, nur mit Deckweiß geschmückten Dunkelgrundigen Waren ausschließlich auf Samos, nicht aber in Milet, einem immerhin führenden Produktionszentrum schon früharchaischer Zeit, diese Interpretation untermauert.

⁴⁶⁸ Vgl. dazu Dugas 1928, 39 f. Nr. 62. 66 Taf. 13; Dugas 1935, 63 f. Nr. 32 Taf. 45; Lambrino 1938, 283 Nr. 61 Abb. 264; 287 Nr. 71 Abb. 273 Taf. 3 (Dekor); Hayes 1966, 50 Nr. 618 Taf. 34; Hayes 1973, 19 Nr. 1987 Taf. 10 (Dekor); Ploug 1973, 66 Nr. 288 Taf. 15; Walter-Karydi 1973, 123 Nr. 233 Taf. 28; Schaus 1985, 61 Nr. 338 Taf. 20; 65 f. Nr. 375. 378 Taf. 22 (Dekor); Benda 1991, 38 Nr. 28 Typus 10; Ersoy 1993, 100 Nr. 620 Taf. 83 (Dekor); Kerschner 1997a, 127 Nr. 38 Taf. 5; Utili 1999, 177 Nr. 205. 208 Abb. 12 (Dekor), İren 2003, 168 Nr. 59 Beil. 20; Kerschner 2008a, 67 f. Nr. 44 Taf. 14. 30; Yılmaz 2008, 258 Nr. 44 Abb. 47 (Dekor); Pautasso 2009, 75 Nr. 147. 149 Abb. 14. 15 Taf. 7. 8 und Taf. B (Wellenbanddekor); Coulié 2014, 168–169 Nr. 42 (Punktdekor).

⁴⁶⁹ Vgl. beispielsweise Utili 1999, 114; İren 2003, Taf. 1 (Grab M-47); Taf. 68 (Grab PN 1960 GIVi1).

sie beispielsweise mit dem Bodenfragment **Kat. 366** im selben Befund vorliegt. Die Fabrikate der beiden Gefäße machen freilich keinen zwingenden Produktionszusammenhang deutlich.

In Milet ist ein formal vergleichbares und ebenfalls unbemaltes Deckelfragment mit kantig abgestrichenem Vorsprung aus der subgeometrischen Aufschüttung vom Kalabaktepe publiziert⁴⁷⁰ und gibt damit auch für die entsprechenden Deckel aus den ephesischen Siedlungsbefunden eine Datierung noch in die erste Hälfte des 7. Jahrhunderts vor – ein Ansatz, der sich in der Vergesellschaftung der Gefäße noch in der AG Phase II bestätigt sieht. Die Präsenz der Form bis in die Zerstörungsbefunde der AG Phase IIIb und in die Bauhorizonte der AG Phase IV macht eine Produktion der unbemalten Deckel mit Deckelfalz bis in das ausgehende 7. Jahrhundert wahrscheinlich. Das Fabrikat von **Kat. 374**, **Kat. 967** und **Kat. 1808**, welches bei gebrauchskeramischen Gefäßen aus Ephesos zahlreich belegt ist, legt darüber hinaus eine lokale Produktion von Deckeln mit Deckelfalz nahe. Diese möglichen ephesischen Deckel zeichnen sich alle durch den zapfenförmigen Absatz zwischen Falz und Deckelkalotte aus, für den es außerhalb von Ephesos bislang keine publizierten Vergleichsstücke gibt. Es könnte sich also um eine speziell ephesische Ausprägung unbemalter Deckel des 7. Jahrhunderts handeln, während die Deckel mit kantig abgestrichenem Vorsprung eine milesische Variante darzustellen scheinen.

Mit **Kat. 1537** ist indes ein Deckel gegeben, der in seiner Formgebung den bekannten Tierfriesdeckeln der zweiten Hälfte des 7. Jahrhunderts mit breiter und kantig abgesetzter Deckelkrempe entspricht⁴⁷¹. Ein entsprechender Dekor ist bei **Kat. 1537** nicht verifizierbar, die formale Affinität zu den Tierfriesdeckeln erlaubt jedoch eine analoge Datierung, die sich in der Vergesellschaftung des Stücks in den Bauhorizonten der AG Phase IV durchaus bestätigt.

1.B.3.4.3b Deckel ohne Deckelfalz

Als zweite Variante gebrauchskeramischer Deckel sind in den archaischen Siedlungsbefunden unbemalte Deckel ohne Deckelfalz nachgewiesen, bei denen die Deckelkalotte ähnlich wie bei den Steilwandschüsseln kantig in den steilen Rand umbiegt. Dieser bildet entweder eine kantig nach innen abgeschrägte Lippe (**Kat. 282**, **Kat. 821**, **Kat. 927**, **Kat. 1609**, **Kat. 1610**) oder eine spitz verjüngte Lippe (**Kat. 928**, **Kat. 1644**, **Kat. 1862**) aus. Wie die unbemalten Deckel mit Deckelfalz zeichnen sich auch die Deckel mit kantig umgebogenem Rand durch sorgfältig geglättete oder polierte Gefäßoberflächen aus, was trotz der formtypologischen Abwandlung auf eine ungebrochene Herstellungstradition hindeutet. **Kat. 928**, **Kat. 1609**, **Kat. 1644** und **Kat. 1862** legen nahe, dass diese zumindest zum Teil auch in Ephesos selbst lokalisiert war⁴⁷². Vergleichbare Deckel sind aus Samos, aus Didyma und aus Ephesos publiziert⁴⁷³, wobei einer der beiden Deckel aus Ephesos im Artemision in einem Befund wahrscheinlich des ausgehenden 7. oder des beginnenden 6. Jahrhunderts vergesellschaftet war⁴⁷⁴. In den archaischen Siedlungsniveaus findet sich der Typus in der dickwandigen Variante von **Kat. 282** erstmals im Zerstörungshorizont der AG Phase II und bleibt bis in die AG Phase IV präsent.

Der Deckel **Kat. 1153** zeichnet sich durch eine sehr flache Deckelkalotte aus, von welcher der ausschwingende und verdickte, nach außen abgeschrägte und mit einem Lippenband geschmückte Rand durch eine kantige Stufe konkav abgesetzt ist. Das Gefäß steht damit in seiner Formgebung den Knickwandschüsseln nahe. Vergleichbare Deckel sind aus ostgriechischen Befunden bislang

⁴⁷⁰ Vgl. Kerschner 1999, 46 Nr. 69 Abb. 15.

⁴⁷¹ Vgl. Schaus 1985, 71 Nr. 439 Abb. 8 Taf. 26; Posamentir 2002, 11–18. 22 Nr. 2 Abb. 1; Kalaitzoglou 2008, 250–253. 427 Nr. 633 Taf. 146.

⁴⁷² Mit einem Gefäß aus dem Artemision hat sich dies bereits in der archäometrischen Untersuchung nachweisen lassen. Dazu Kerschner 2002h, 108 Nr. 67 Taf. 5.

⁴⁷³ Vgl. zu Samos Eilmann 1933, 117 Abb. 63 a; zu Didyma s. Schattner 2007, Nr. DeC3 2 Abb. 67; zu Ephesos s. Kerschner 1997a, 152 Nr. 89 Taf. 12; Kerschner 2002h, 108 Nr. 67 Taf. 5.

⁴⁷⁴ s. Kerschner 1997a, 152 Nr. 89 Taf. 12 (Aufschüttung B).

nur vereinzelt publiziert und finden in Didyma Vergleiche für das 7. Jahrhundert⁴⁷⁵. Das Fabrikat des Deckels **Kat. 1153** verweist nach Milet.

Die Deckelknäufe **Kat. 508**, **Kat. 925**, **Kat. 926** und **Kat. 1154** weisen auf eine gewisse Variationsbereitschaft in der Gestaltung dieses Gefäßdetails hin. Bei **Kat. 508** ist der niedrige, leicht konische Knauf mit geradem Abschluss als Hohlkörper ausgebildet und nur durch eine seichte Rille von der Deckelkalotte abgesetzt⁴⁷⁶, bei **Kat. 926** und **Kat. 1154** erfolgt durch eine tiefe, konkave Einziehung eine klare Abgrenzung von Deckelkalotte und Deckelknauf. **Kat. 925** ist durch eine tiefe Einziehung im Knauf gekennzeichnet; die Durchbohrung in der leicht konkav eingezogenen Wandung könnte der Befestigung des Deckels an einer Aufhängevorrichtung oder aber der besseren Handhabung mittels einer Schnur gedient haben. Die chronologische Einordnung der Deckelknäufe muss mangels überzeugender Vergleiche allein auf der Fundvergesellschaftung in den Horizonten der AG Phase III und der AG Phase IV basieren, wobei für **Kat. 925** und **Kat. 926** aufgrund des Fabrikats als auch der Fundsituation in den Horizonten der Töpferwerkstatt eine lokale Produktion wahrscheinlich ist.

1.B.3.4.3c Orientalisierende Deckel

Kat. 140 ist zu einem Deckel des frühen Tierfriesstils zu ergänzen. Zwar kann der Maldekor nicht mehr rekonstruiert werden; der glatte, helle Malgrund, der die gut geglättete Gefäßaußenseite bedeckt, weist **Kat. 140** aber dennoch klar als orientalisierenden Deckel aus. Die frühe Einordnung in der Reihe orientalisierender Deckel ergibt sich in diesem Fall aus der Befundsituation von **Kat. 140** in einem die Nutzung der AG Phase II definierenden Bodenniveau, womit ein Datum im zweiten Viertel des 7. Jahrhunderts festgelegt ist. Bei den bislang frühesten orientalisierenden Deckeln handelt es sich um Mäanderdeckel⁴⁷⁷, bei denen der namensgebende Mäanderfries die Deckelkalotte schmückt; als weitere Ornamentfriese sind Schlaufenbänder, Bänder mit geometrischen Segmenten (Quadratbänder/Dreiecksbänder) und Blattzungenkränze belegt. Diese Dekorelemente sind für die Stufe SiA Ib bezeichnend, wie auch die Gefäßform des Deckels erst ab der Mitte des 7. Jahrhunderts in das Repertoire orientalisierend bemalter Gefäße aufgenommen zu werden scheint⁴⁷⁸. Im Unterschied zu den bekannten Mäanderdeckeln weist **Kat. 140** jedoch ein weicher gezeichnetes Profil auf. Die Deckelkalotte bildet über dem hohen Falz⁴⁷⁹ keine abgesetzte Krempe, sondern einen zapfenartigen Vorsprung aus, der auch von den unbemalten Deckeln desselben Zeithorizonts mehrfach belegt ist (**Kat. 194**). Möglicherweise kommt hierin eine zu den Mäanderdeckeln etwas frühere Datierung von **Kat. 140** zum Ausdruck, die auch mit der Befundsituation in der AG Phase II besser vereinbar wäre. Und tatsächlich findet sich in Milet ein formal sehr gut vergleichbarer Deckel in einem subgeometrischen Befund noch vor der Mitte des 7. Jahrhunderts⁴⁸⁰. Damit liegt mit **Kat. 140** einer der frühesten bekannten Tierfriesdeckel überhaupt vor; umso bedauerlicher stellt sich der Verlust des ursprünglichen Maldekors dar.

Bei **Kat. 1303** handelt es sich um einen deutlich von der Deckelkalotte abgesetzten Deckelknauf, dessen gerade Oberseite eine tiefe mittige Einziehung aufweist, sodass ein ringförmiger Knauf gebildet wird. Die Oberkante des Rings ist mit einem hellen Überzug versehen, auf dem ein Flechtband umläuft. Flechtbänder werden ab der Stufe SiA Ic populär und weisen meist einen mittigen Punkt im ausgesparten Binnenkreis auf; die Variante mit gefülltem Binnenkreis,

⁴⁷⁵ Zu Didyma vgl. Schattner 2007, 227 f. Nr. DeC4 2 Abb. 67.

⁴⁷⁶ Hohle Deckelknäufe sind für Gefäße mit Tierfriesdekor in Assesos belegt, haben dort aber eine zwiebelartige Gestalt. s. dazu Kalaitzoglou 2008, 427 Nr. 633; 429 Nr. 644. 645 Taf. 146. In den Befunden in Didyma ist die Grundform für wesentlich höhere Knäufe im 6. Jh. belegt. Dazu Schattner 2007, 229 f. Abb. 67.

⁴⁷⁷ Dazu Posamentir 2002, 11 f. 22 Nr. 1–4 Abb. 1. s. außerdem von Graeve 1987, 15 Nr. 1 Abb. 2 Taf. 5; Kerschner – Schlotzhauer 2005, 22 Abb. 17.

⁴⁷⁸ Dazu Kerschner – Schlotzhauer 2005, 17–25; Kerschner – Schlotzhauer 2007, 303–307.

⁴⁷⁹ In Milet hat der Randfalz als verbindliches Charakteristikum der Tierfriesdeckel der 2. Hälfte des 7. Jhs. zu gelten. Dazu Posamentir 2002, 11.

⁴⁸⁰ Vgl. Kerschner 1999, 46 Nr. 69 Abb. 15.

wie sie bei **Kat. 1303** aufscheint, ist seltener⁴⁸¹. Das Motiv ist für Deckelknäufe und Deckel bereits belegt⁴⁸².

1.B.3.5 SCHANKGEFÄSSE

Als Schankgefäße werden hier alle geschlossenen Gefäße verstanden, deren Funktion im Schöpfen, Fassen und Gießen von Flüssigkeiten zu suchen ist. Die weitere Unterteilung in Kännchen und Kannen berücksichtigt im Wesentlichen die unterschiedlichen Größenverhältnisse der Schankgefäße, die auf verschiedene Funktionszusammenhänge hindeuten.

1.B.3.5.1 Kännchen

Die kleinformatigen Kännchen aus den archaischen Siedlungsbefunden von Ephesos (Diagramm 40. 41) lassen sich innerhalb der geschlossenen Gefäße als eigenständige Gruppe fassen, die einer von den Kannen weitgehend unabhängigen Formentwicklung unterliegen, sodass sie nicht per definitionem als Miniaturgefäße zu verstehen sind. Vielmehr scheinen die kleinen Dimensionen der Kännchen auf einen von jenem der Kannen klar abzugrenzenden Verwendungsbereich hinzudeuten, der nach der bislang bekannten Fundsituation kleiner Kännchen vor allem aus ostgriechischen Heiligtümern⁴⁸³ in einem funktionalen Zusammenhang mit rituellen Praktiken stand oder im Kultgeschehen eine nicht unwesentliche Rolle spielte. Umgekehrt verweisen die zahlreichen Kännchen aus den ephesischen Siedlungsbefunden darauf, dass deren funktionale Bestimmung nicht ausschließlich auf ein sakrales Umfeld zu beschränken ist, sondern dass diese auch im Siedlungsalltag archaischer Zeit ihren Platz hatten.

1.B.3.5.1a Subgeometrische Kännchen

Die Randfragmente **Kat. 53**, **Kat. 195**, **Kat. 376**, **Kat. 555**, **Kat. 661**, **Kat. 930**, **Kat. 931**, **Kat. 1007–Kat. 1009**, **Kat. 1042**, **Kat. 1155**, **Kat. 1361**, **Kat. 1413**, **Kat. 1538**, **Kat. 1689** und **Kat. 1809**, die Wandfragmente **Kat. 6**, **Kat. 17**, **Kat. 822**, **Kat. 1156**, **Kat. 1469**, **Kat. 1902** und die Bodenfragmente **Kat. 284–Kat. 287**, **Kat. 331**, **Kat. 377**, **Kat. 479**, **Kat. 726**, **Kat. 985**, **Kat. 986**, **Kat. 1043**, **Kat. 1250**, **Kat. 1362**, **Kat. 1539** und **Kat. 1723** spiegeln die in den Siedlungsbefunden auftretende älteste Variante kleiner archaischer Kännchen mit runder Mündung wider. Es handelt sich um schlanke, weich profilierte Gefäße mit rund-ovalen Körpern, welche aus einer geraden bis leicht aufgewölbten Bodenplatte hervorwachsen. **Kat. 823** zeigt hingegen eine für ein Kännchen seltene Variante mit abgesetzter, gerader Bodenplatte. Der Gefäßhals geht in einer ungebrochenen Kurve aus der Gefäßschulter hervor und schwingt zum glatten bis leicht verdickten Rand der runden Mündung etwas aus, der schmale oberrandständige Bandhenkel sitzt auf der Gefäßschulter knapp oberhalb des Bauch-Schulter-Umbruchs auf. Die weitgehend mit einem Überzug versehene Außenseite kann durch je eine tongrundig ausgesparte Zone, meist im Bereich des größten Durchmessers am Bauch bzw. oberhalb des Bodens, aufgelockert sein. Bei **Kat. 1863** bleibt auch am Hals ein rechteckiges Feld vom Überzug ausgespart.

Die Gefäßform wurzelt noch in geometrischen Traditionen und reicht bis etwa in das mittlere 7. Jahrhundert hinab⁴⁸⁴. Die Entwicklung von den noch geometrischen Kännchen mit deut-

⁴⁸¹ s. Kerschner – Schlotzhauer 2005, 25–33; Kerschner – Schlotzhauer 2007, 307–309.

⁴⁸² Vgl. Posamentir 2002, 14. 22 Nr. 6 Abb. 2; 24 Nr. 18 Abb. 3; Kerschner – Schlotzhauer 2005, 31 Abb. 29.

⁴⁸³ Zum Heraion von Samos s. beispielsweise Walter 1957; Walter – Vierneisel 1959; Furtwängler 1980. Zum Artemision von Ephesos vgl. etwa Brein 1978a, 119 Abb. 4. 5; 120 Abb. 6; Gasser 1992, 190 Abb. 2; Kerschner 2008b, 132 Abb. 80. Zum Apolloheiligtum in Didyma s. Schattner 2007, 261–268 Abb. 73 (Krug). Zum Athenaheiligtum in Assesos vgl. Kalaitzoglou 2008, 161 f. 396 Nr. 402–405 Taf. 77 (Miniaturkännchen); 178–184. 404–408 Nr. 467–508 Taf. 93–95 (kleine Olpen).

⁴⁸⁴ Zu den datierenden samischen Befunden s. Eilmann 1933, 131 f. Abb. 82; Walter 1957, 42 Beil. 56–58; 45 Beil. 63; Walter – Vierneisel 1959, 13 f. 18 f. Beil. 16. 17. 31; Isler 1978b, 98 Nr. 161 Taf. 50; Furtwängler 1980, 175 f.

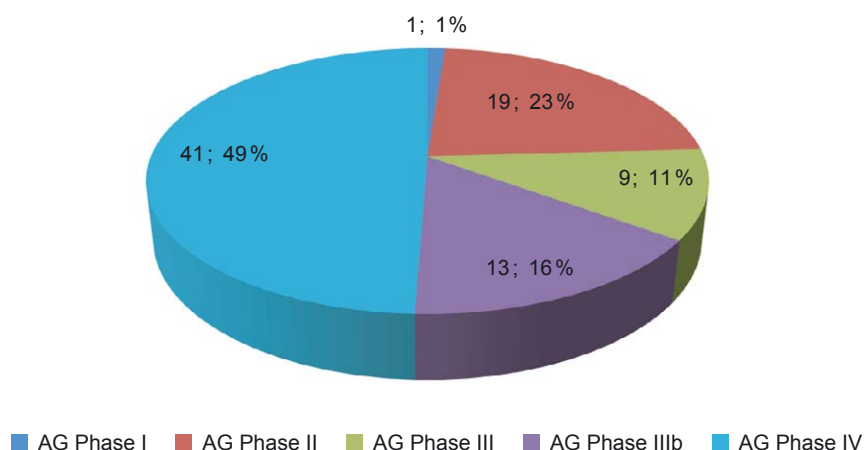


Diagramm 40 Verteilung der Kännchen

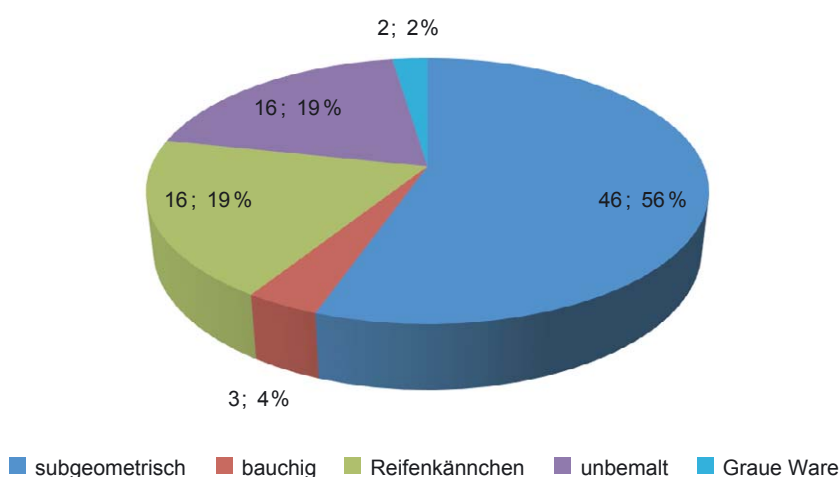


Diagramm 41 Übersicht der Kännchen

lich voneinander abgesetzten Gefäßpartien hin zu schlankeren Formen mit fließenden Konturen zeichnet sich in der relativen Abfolge der Verfüllungen der Brunnen F und G im Heraion von Samos bereits ab⁴⁸⁵ und findet in den archaischen Befunden am Südtemenos eine deutliche Bestätigung⁴⁸⁶. In Milet ist ein vergleichbares Kännchen in einem Befund des dritten Viertels des 7. Jahrhunderts vergesellschaftet⁴⁸⁷. Im Gegensatz zu den aus Samos bekannten geometrischen Kännchen scheinen viele der subgeometrischen Kännchen aus den archaischen Siedlungsbefunden in Ephesos, soweit erkennbar, schlanker oder tendenziell beutelförmig proportioniert und damit formtypologisch jünger zu sein, während der Dekor noch den subgeometrischen Traditionen verpflichtet bleibt. Dieses retardierende Element zeigt sich auch deutlich bei **Kat. 877**, wo der flächige Überzug auf ein Gefäß mit bereits spindelförmigem Körper angewandt wird.

In den archaischen Siedlungsbefunden unter der Tetragnon Agora sind die subgeometrischen Kännchen ab der AG Phase I und bis in die AG Phase IV vertreten. Dieses Verteilungsmuster kann einerseits mit der Vergesellschaftung von Altmaterial in den jüngeren Planierschichten erklärt werden, andererseits ist im Hinblick auf die Kombination der subgeometrischen Dekor-

Nr. 38a. 39 Abb. 14 Taf. 45. Vgl. außerdem Furtwängler – Kienast 1989, 90–92.

⁴⁸⁵ Vgl. dazu Walter – Vierneisel 1959, 13 f. (Brunnen F); 18 f. (Brunnen G).

⁴⁸⁶ Dazu Furtwängler 1980, 175 f. Nr. 38. 39 Abb. 14 (Phase I); Furtwängler – Kienast 1989, 90.

⁴⁸⁷ Dazu von Graeve 1973/1974, 93 Nr. 37 Taf. 21.

tradition mit typologisch entwickelteren Formmerkmalen (z. B. **Kat. 1250. Kat. 1539. Kat. 1723. Kat. 1903**) in Ephesos mit einem grundsätzlich längeren Festhalten an konservativen Elementen, wie es auch bei anderen Gefäßgattungen evident wurde, bis in das ausgehende 7. Jahrhundert zu rechnen. Dieses Erklärungsmodell wird nicht zuletzt durch das Verteilungsmuster der Zickzackmetopenkytlen in den ephesischen Siedlungsbefunden gestützt (Diagramm 6).

Das Kleeblattkännchen **Kat. 764** aus einem die Bauzeit des Gebäudes BZ in der AG Phase IIIb bezeichnenden Befund scheint in seinem Dekorschema, soweit erkennbar, den subgeometrischen Kännchen mit runder Mündung unmittelbar vergleichbar zu sein.

1.B.3.5.1b Bauchige Kännchen

Das Kännchen **Kat. 16** zeichnet sich gegenüber den eben besprochenen subgeometrischen Kännchen durch eine eng eingezogene Gefäßmündung aus, welche in einen sehr bauchigen Gefäßkörper übergeht, wie er auch mit **Kat. 283** vorliegt. **Kat. 305** illustriert anschaulich die zu erschließende Gefäßform aus bauchigem Gefäßkörper und davon deutlich abgesetztem, steil zylindrischem Hals, mit dem **Kat. 305** auch die gefirnisste Innenwandung des Halses gemeinsam hat⁴⁸⁸. Insgesamt stehen die bauchigen Kännchen sowohl in ihrer Formgebung als auch in ihrem Dekor den Knickrandtassen des 7. Jahrhunderts nahe, doch erlauben die deutlicher geschlossenen Gefäßproportionen eine klare Abgrenzung der beiden Gefäßformen.

Die Verortung der Gefäße **Kat. 16, Kat. 283** und **Kat. 305** in Befunden der AG Phase II macht die chronologische Einordnung der bauchigen Kännchen in der ersten Hälfte des 7. Jahrhunderts wahrscheinlich; das den subgeometrischen Kännchen vergleichbare Dekorprinzip sowie die formale Nähe zu den Knickrandtassen sind hiermit gut vereinbar.

1.B.3.5.1c Reifenkännchen/unbemalte Kännchen

Ähnlich wie bei den Tassen zeichnet sich auch in der Entwicklung der Kännchen im 7. Jahrhundert eine zunehmende Aufhellung der Gefäßoberfläche ab (s. o. Kap. 1.B.3.1.8c+e). Dass dieser Aufhellungsprozess durchaus eine tendenzielle chronologische Entwicklung widerspiegelt, haben die Materialvorlagen vor allem aus dem Heraion von Samos⁴⁸⁹ veranschaulicht. Die mit umlaufenden Reifen verzierten Fragmente (**Kat. 55. Kat. 196. Kat. 509. Kat. 662. Kat. 663. Kat. 789. Kat. 824. Kat. 1010. Kat. 1157. Kat. 1304. Kat. 1305. Kat. 1443. Kat. 1470. Kat. 1540. Kat. 1811. Kat. 1812. Kat. 1864. Kat. 1865**) und die unbemalten Fragmente (**Kat. 54. Kat. 197. Kat. 417. Kat. 579. Kat. 606. Kat. 933. Kat. 934. Kat. 1011. Kat. 1158–Kat. 1160. Kat. 1306. Kat. 1307. Kat. 1611. Kat. 1691. Kat. 1810**) werden hier gemeinsam besprochen, da der Erhaltungszustand vieler Stücke keine definitiven Rückschlüsse auf Dekor oder fehlenden Dekor des ursprünglichen Ganzgefäßes erlaubt.

Das beutelförmige Kännchen **Kat. 934** ist eines der wenigen unbemalten Fragmente, für welches mit einiger Sicherheit ein unbemaltes Ganzgefäß angenommen werden kann. Einerseits ist von **Kat. 934** genug erhalten, um eine Reifenzier am Körper auszuschließen, andererseits verfügt das Gefäß mit seiner sorgfältig geglätteten Oberfläche über ein Gestaltungsdetail, das unbemalte Vertreter anderer Gefäßformen des 7. Jahrhunderts, etwa der Schüsseln, besonders kennzeichnet (s. o. Kap. 1.B.3.4.1). Die aufgehellten Kännchen stehen, wie die Bodenfragmente **Kat. 54, Kat. 579, Kat. 1011** und **Kat. 1159** zeigen, zunächst in einer unmittelbaren Beziehung

⁴⁸⁸ Ein weiteres bauchiges Kännchen ist mit Inv. PAN 09/1203.55 aus den Befunden des Meterheiligtums am Panayırdağ bekannt. Vgl. dazu auch von Miller 2013, 179 Abb. 59, Nr. 285.

⁴⁸⁹ Zu den datierenden samischen Befunden s. Technau 1929, 29 Nr. 3 Abb. 23; Walter 1957; Walter – Vierneisel 1959, 23 Nr. 1–3 Taf. 59; Tuchelt 1971, 64 Nr. 48 Taf. 5; Isler 1978b, 98 Nr. 162 Taf. 50; Furtwängler 1980, 175 f. 215 f. Nr. 27. 28 Abb. 19; Furtwängler – Kienast 1989, 90–92 Abb. 15. Vgl. außerdem Dragendorff 1903, 21 Nr. 15a Abb. 30; Kinch 1914, 99. 154 Nr. 14. 18 Taf. 26; Condurachi 1966, 466 Taf. 34; Kalaitzoglou 2008, 405 Nr. 475–482 Taf. 93.

zu den weich profilierten, rund-ovalen Proportionen der dunklen subgeometrischen Kännchen. Die tendenzielle Formentwicklung geht nach der Mitte des 7. Jahrhunderts hin zu schlanken beutelförmigen, später spindelförmig aus den Bodenplatten hervorwachsenden Gefäßkörpern, die sich mit **Kat. 663**, **Kat. 789**, **Kat. 1160** und **Kat. 1306** gut veranschaulichen lassen. **Kat. 877** zeigt die seltene Kombination des spindelförmigen Kännchenkörpers mit einem flächigen dunklen Überzug. Parallel dazu zeichnet sich jedoch auch schon in der frühesten Produktion reifenverzierter Gefäße die formale Loslösung von den subgeometrischen Kännchen ab. So ist mit den Randfragmenten **Kat. 196** und **Kat. 509** bereits der Schritt hin zu gestreckten Proportionen mit hohen, schlanken Halsen getan, der auch mit **Kat. 1305** gut zu veranschaulichen ist, während der flache Boden von **Kat. 55** mittels einer Einziehung vom Gefäßkörper abgesetzt ist. Diese spezielle Bodenmorphologie ist außerhalb von Ephesos kaum publiziert⁴⁹⁰ und mag, wie **Kat. 332** und **Kat. 823** zeigen, schon auf spät- bis subgeometrische Formvorbilder zurückgehen. Die reifenverzierten Gefäße **Kat. 1304** und **Kat. 1470** verfügen mit dem bauchig gedrungenen Gefäßkörper und dem markanten Umbruch in eine konische Schulter über Formmerkmale, die auch von Hydriskoi des 7. Jahrhunderts aus Ephesos und Samos bekannt sind⁴⁹¹.

Reifenverzierte und unbemalte Kännchen sind in den ephesischen Siedlungsbefunden beide erstmals, wenn auch noch vereinzelt, in den Befunden der AG Phase II vertreten und bestätigen damit die bereits andernorts sich abzeichnende, relativ zu den dunklen Kännchen später einsetzende Produktion, die Letztere jedoch keineswegs ablöst, sondern nach der Fundevidenz in der AG Phase III zunächst noch parallel verläuft. Erst mit den Horizonten der AG Phase IV zeichnet sich eine Verlagerung des Schwerpunkts hin zu den aufgehellten Kännchen ab, der auf das Produktionsende der subgeometrischen Kännchen schließen lässt. Kännchen mit spindelförmigen Gefäßkörpern werden erstmals in den Zerstörungsbefunden der AG Phase III (**Kat. 663**) und in der AG Phase IIIb (**Kat. 789**, **Kat. 877**) evident⁴⁹² und kommen bis in die AG Phase IV gemeinsam mit den typologisch älteren, bauchigeren Gefäßen vor. Für den Produktionsbeginn spindelförmiger Kännchen ist besonders das Reifenkännchen **Kat. 1865** interessant, welches sich fast zur Gänze erhalten hat. Es findet unmittelbare Vergleiche in einem Schichtniveau, das in Milet ein Gebäude des dritten Viertels des 7. Jahrhunderts überlagerte⁴⁹³ und damit wohl im späten 7. Jahrhundert angesiedelt werden darf. **Kat. 1865** selbst stammt aus dem lockeren Schotterniveau, welches den Benützungshorizont der AG Phase IV angibt, und wird aufgrund seiner annähernd vollständigen Erhaltung bis zu der Aufgabe dieser Siedlungsphase in Benutzung gewesen sein.

1.B.3.5.1d Kännchen der sog. ostgriechischen Buccheroware

Die beiden Wandfragmente **Kat. 688** und **Kat. 1161** repräsentieren Kännchen der Grauen Ware. Es handelt sich in beiden Fällen um schlanke Gefäße mit weich profilierten, fließenden Konturen, die bei **Kat. 688** durch einen kleinen plastischen Wulst am Übergang vom Gefäßbauch in den Hals-Rand-Bereich unterbrochen werden. Im Unterschied zu **Kat. 1161** weist **Kat. 688** außerdem auch im Inneren einen Überzug auf, was darauf hindeutet, dass dieses Kännchen im Produktionsverlauf nicht mit dem Überzug bemalt, sondern in diesen eingetunkt wurde⁴⁹⁴. Sowohl das feine graue und hart gebrannte Fabrikat als auch die hohe Qualität des glänzenden Überzugs weisen beide Kännchen innerhalb der Grauen Ware der Gruppe der sog. ostgriechischen Buccherogefäße zu, die in Chios erstmals im zweiten Viertel des 7. Jahrhunderts nachweisbar werden und im letz-

⁴⁹⁰ Zu einem Kännchen aus Samos vgl. Furtwängler 1980, 210 Nr. 13 Abb. 17.

⁴⁹¹ Zu Samos s. Walter – Vierneisel 1959, Beil. 34, 2 (Brunnen G); Beil. 63, 2 (Bothros). Zu Ephesos vgl. Brein 1978a, 119 Abb. 4, 5.

⁴⁹² Eine analoge Datierung ist mit den zahlreichen spindelförmigen Kännchen aus den Zerstörungsbefunden von Assesos und Ashkelon gegeben. Dazu Kalaitzoglou 2008, 178–184. 404–407 Taf. 93, 94; Waldbaum 2011, 290 Nr. 431–435.

⁴⁹³ Dazu von Graeve 1973/1974, 73–76. 110 Nr. 133 Taf. 31.

⁴⁹⁴ Möglicherweise handelt es sich um einen Kantharos (?).

ten Viertel einen Verbreitungsschwerpunkt verzeichnen⁴⁹⁵. Mit **Kat. 688** aus einem bauzeitlichen Zusammenhang der AG Phase III wird dieser chronologische Ansatz auch für Ephesos bestätigt. **Kat. 1161** könnte hingegen auch in einem Zusammenhang mit den aus Kyrene bekannten Salbölgefäßen stehen, die G. Schaus vornehmlich in die erste Hälfte des 6. Jahrhunderts datiert⁴⁹⁶. Die dort charakteristischen, am Gefäßbauch umlaufenden Rillen fehlen bei **Kat. 1161** jedoch, was eine frühere Datierung schon um 600 wahrscheinlich macht. Das im Fabrikat etwas gröbere Kannenfragment **Kat. 58** noch aus dem Zerstörungsbefund der AG Phase II zeichnet sich durch einen leicht ausgestellten, hohen Rand aus, dessen ursprünglicher dunkler Überzug nur noch in schwachen Resten verifizierbar ist. Der sich abzeichnende Schulteransatz rückt **Kat. 58** formal in die Nähe der Buccherokännchen.

1.B.3.5.2 Kannen

1.B.3.5.2a Geometrische/subgeometrische Kannen

Innerhalb der Kannen geometrischer und subgeometrischer Tradition lassen sich mehrere Varianten unterscheiden.

1.B.3.5.2aa Kannen mit flüchigem Überzug

Mit der Kanne **Kat. 205** begegnet das typologisch älteste Gefäß in den archaischen Siedlungsbefunden von Ephesos. Es handelt sich um eine dickwandige Kleeblattkanne, bei der sich der Ansatz für einen doppelstabigen Vertikalhenkel erhalten hat, wie er in der ostgriechischen Keramik spätestens seit der spätgeometrischen Stilstufe belegt ist und etwa auch die nordionischen Vogelkannen kennzeichnet⁴⁹⁷. Vergleichbare Kleeblattkannen sind in ionischen Befunden schon seit protogeometrischer Zeit nachgewiesen und werden ohne nennenswerte typologische Entwicklung bis an das Ende der geometrischen Zeit produziert. Im Hinblick auf das bisher bekannte vorklassische Keramikspektrum aus den archaischen Befunden muss **Kat. 205** als spätgeometrischer Vertreter des Gefäßtypus verstanden werden. Das über Vergleichsbeispiele zu erschließende, ursprüngliche Ganzgefäß zeichnet sich durch einen niedrigen, kräftigen Standring, einen bauchig gestreckten Gefäßkörper und einen deutlich davon abgesetzten breiten Hals aus⁴⁹⁸. Die Gefäße sind schwer proportioniert und in geometrischer Tradition bis auf wenige ausgesparte Reifenbündel im unteren Bauchbereich, am Bauch-Schulter-Umbruch (**Kat. 142**, **Kat. 664**) und um den Hals (**Kat. 2495**) in der Regel großflächig gefirnisst; das schmale ausgesparte Feld unterhalb der Mündung kommt, wie **Kat. 205** zeigt, nicht immer vor. Die Wandfragmente **Kat. 83** und **Kat. 493** sowie die Bodenfragmente **Kat. 333**, **Kat. 935**, **Kat. 1252**, **Kat. 1614** und **Kat. 1615** werden vergleichbaren Ganzgefäßen zugehörig sein. Bei **Kat. 23** und **Kat. 882** wird dasselbe Gestaltungsprinzip geometrischer Gefäßoberflächen auf ein sehr großes Ganzgefäß übertragen, das eher mit einer Amphore oder Hydria denn einer Kanne in Einklang zu bringen ist.

Die große Kanne **Kat. 1015** wiederholt mit den im flüchigen Überzug der Gefäßaußenseite ausgesparten Reifenbündeln den typischen Dekor der geometrischen Kannen; die extrem flache Schulter mit dem markanten Umbruch in den Gefäßbauch sind hingegen eher als Reflex der bikonischen Vogelkannen (s. u. Kap. 1.B.3.5.2ad) oder der frühen Tierfrieskannen (s. u.

⁴⁹⁵ s. dazu Boardman 1967, 135 f. Vgl. außerdem Lamb 1931/1932, 51–56. Möglicherweise wird in diesen qualitativ hochwertigen ostgriechischen Gefäßen der Grauen Ware mit dunklem Überzug ein Reflex der schwarz glänzenden Ware phrygischer Produktion evident. Vgl. dazu Kerschner 2005a, 125; Kerschner 2005b, bes. 142–145.

⁴⁹⁶ s. Schaus 1985, 74 f. Taf. 27, 28.

⁴⁹⁷ Vgl. etwa Coldstream 1968, Taf. 61 b. 64 j; Walter 1968, 107 Nr. 271 Taf. 45; Kerschner 1997a, 171 Nr. 127 Taf. 16 Abb. 48; Käufler 2006, 30.

⁴⁹⁸ Vgl. Jacopi 1932/1933, 71 Abb. 76; Dugas 1935, 99 Nr. 10 Taf. 40 (MWG); Hommel 1959/1960, 57 Nr. 1 Taf. 58; Coldstream 1968, 267 Taf. 60 a; Walter 1968, 92 Nr. 19. 20 Taf. 3; Ploug 1973, 59 Nr. 171 Taf. 9; Voigtländer 1982, Nr. 56. 57 Abb. 9. 10; Özgünel 2003, 75. 76 Abb. 1 a. b Taf. 8.

Kap. 1.B.3.5.2f) zu verstehen, unter deren Eindruck die bauchige Form flächig überzogener Kannen wie **Kat. 142** und **Kat. 664** gestaucht wurde.

Die kleinen Kannen **Kat. 198** und **Kat. 1014** stehen mit ihrem kräftig gerundeten Gefäßkörper, der auf deutlich voneinander abgesetzte Körperpartien hindeutet, und dem auch schon von den Kännchen bekannten Dekorsystem bei **Kat. 198** ebenfalls in geometrischer Tradition. Zu ergänzen sind engere Standringe wie **Kat. 846**, **Kat. 1418** und **Kat. 1813** oder abgesetzte Bodenplatten wie **Kat. 1415**. Das Wandfragment **Kat. 493** und das Bodenfragment **Kat. 1012** stehen dagegen in ihrer schlankeren Formgebung den oben vorgestellten subgeometrischen Kännchen näher und übertragen deren Charakteristika auf je eine kleine Kanne, welche die zweite Formvariante geometrischer Kannen mit fließenden Körperkonturen darstellen⁴⁹⁹.

1.B.3.5.2ab Kannen mit Kreisdekor

Die Schulterfragmente **Kat. 558** und **Kat. 691** zeigen mit dem mehrteilig zirkelgezogenen Kreis in der Hauptdekorzone ein Motiv, welches für die spät- und subgeometrische Keramiktradition von Großgefäßen wie Krateren (**Kat. 5**, **Kat. 364**) und vor allem Hydrien (**Kat. 22**, **Kat. 24**, **Kat. 256**, **Kat. 292–Kat. 294**, **Kat. 512**, **Kat. 559**, **Kat. 692**, **Kat. 937**, **Kat. 1624**, **Kat. 1696**) her bekannt, aber auch für Kannen hinreichend belegt ist⁵⁰⁰. Beide Fragmente, **Kat. 558** und **Kat. 691**, scheinen anders als die vergleichbar dekorierten Kannen aus Samos und Chios Gefäßen mit eher steiler Schulter und demgemäß gestreckt-ovoiden Gefäßkörpern zugehörig gewesen zu sein. **Kat. 558** vertritt dabei die Variante, bei der die einzelnen Kreissegmente in regelmäßigen Abständen zueinander stehen. M. Kerschner hat diese Variante versuchsweise als typologisch älter als die zweite Spielart mit durch breitere Abstände gebildete Kreisgruppen innerhalb eines Mehrfachkreises (**Kat. 5**, **Kat. 22**, **Kat. 1696**) angesprochen⁵⁰¹. Anhand der Fundevidenz in den archaischen Siedlungsbefunden lässt sich diese Annahme nicht verifizieren. Die Verwendung des Kammzirkels wird jedoch grundsätzlich etwa zeitgleich mit dem Einsatz der Kammbürste spätestens ab dem letzten Drittel des 8. Jahrhunderts einzuordnen sein (s. o. Kap. 1.B.3.1.2ba). Umgekehrt liefert das Verteilungsmuster der Gefäße mit Kreisdekor in den archaischen Siedlungsbefunden gute Indizien dafür, dass in den Zirkelkreisen anders als mit dem Kammbürstendekor ein Motiv vorliegt, das nach dem mittleren 7. Jahrhundert kaum noch Bedeutung hatte und das schon in der AG Phase IIIb nicht mehr vorkommt (s. u. Kap. 1.B.3.6.3aa).

1.B.3.5.2ac Kannen mit Metopendekor

Die dritte Gruppe geometrischer Kannen zeichnet sich durch Metopendekor in der Schulterzone aus, kann ab etwa dem mittleren 8. Jahrhundert eingeordnet werden und setzt sich mit der subgeometrischen Keramiktradition bis in das 7. Jahrhundert hinein fort.

Von dem Metopendekor an der Schulter der dickwandigen Kanne **Kat. 1417** haben sich nur die radial vom gefirnissten Halsansatz abgehenden sechsteiligen Strichbündel in Ansätzen erhalten. Das steile Halsfragment **Kat. 1866** ist ebenfalls einer aufwendiger bemalten geometrischen Kanne zugehörig. Im hohen Bildfeld im Anschluss an das linke Henkelfeld gibt die horizontale Linie gemeinsam mit den drei vertikalen Balken die Rahmung eines in sich gegliederten Halsbildes vor. Das dünnwandige Kannenfragment **Kat. 378** zeigt den Ausschnitt eines breiten, mit eng gesetzten Schrägstrichen sorgfältig schraffierten Mäanders oder Mäanderhakens. Dieses Motiv gehört zu den populärsten in der spätgeometrischen Vasenmalerei; die geringe Wandstärke als

⁴⁹⁹ Vgl. dazu Walter 1957, 42 Beil. 56, 3; Walter – Vierneisel 1959, Beil. 16, 8, 9; Beil. 17, 2 (Brunnen F); Beil. 32, 1, 3 (Brunnen G).

⁵⁰⁰ Vgl. Walter – Vierneisel 1959, Beil. 52, 2 (Brunnen G).

⁵⁰¹ Kerschner 2008a, 52. Allgemein zur Problematik der chronologischen Implikationen dieses Dekors vgl. Schlottbauer 2010, 259 f. 271.

auch die akkurate Malweise lassen auf ein sehr qualitativvolles Produkt möglicherweise milesischer Herstellung schließen.

Das wesentlich besser erhaltene Gefäß **Kat. 527** gehört bereits einer späteren, subgeometrischen Entwicklung an. Der gestreckte, tiefe Gefäßkörper ist durch breite, tongrundig ausgesparte Bänder aufgehellt, an der in einer ungebrochenen Kontur aus dem Gefäßbauch hervorwachsenden Schulter zeichnet sich ein mit der Kammbürste aufgesetzter Dekor in Form großer Firnisflecke ab, die zu Strich- oder Punktmetopen ergänzt werden können. Der Ansatz in den Kannenhals wird mittels eines kleinen umlaufenden Wulstes betont.

1.B.3.5.2ad Vogelkannen

Innerhalb der Kannen mit geometrischem Metopendekor stellen die sog. Vogelkannen die populärste Variante spät- und subgeometrischer Keramikproduktion dar. Sie übertragen und erweitern gegebenenfalls das von den Vogelkotylen bekannte Bildrepertoire⁵⁰² (s. o. Kap. 1.B.3.1.2bc) mit stilisiertem Vogel, gerahmten Gitterrauten (**Kat. 255. Kat. 631. Kat. 1817**), Mäanderbäumen (**Kat. 202. Kat. 580. Kat. 1544. Kat. 1868**) und rein ornamentalen Bildmetopen (**Kat. 1545**) in die Schulterzone der Kannen. Den Übergang zu dem flächig gefirnissten Gefäßbauch markieren Reifenbündel (**Kat. 1546**) oder Schmetterlingsmetopenfriese (**Kat. 56. Kat. 201. Kat. 242. Kat. 447. Kat. 581. Kat. 665. Kat. 1044. Kat. 1814–Kat. 1816. Kat. 1868**). Ein kreuzschraffiertes Gitterband, wie es sich bei **Kat. 1545** abzeichnet, ist indes ungewöhnlich. Bei **Kat. 1867** ist im Anschluss an die Trennbalken des Sockelfrieses Dekor in aufgesetztem Rot aufgebracht, womit erstmals die Verwendung von Deckrot auf ostgriechischen Gefäßen schon im Zusammenhang mit spät- bis subgeometrischer Gefäßmalerei nachgewiesen sein dürfte⁵⁰³.

Formal können zwei Ausprägungen von Vogelkannen unterschieden werden. Die originär nordionischen Vogelkannen, die gemeinsam mit den Vogelkotylen in den sog. Vogelschalenwerkstätten hergestellt wurden⁵⁰⁴, zeichnen sich durch einen bikonischen Gefäßkörper mit markantem Schulter-Bauch-Umbruch aus. J. N. Coldstream wies diese Gefäßform einem fortgeschrittenen Entwicklungsstadium des ›Bird-kotyle-workshops‹ zu⁵⁰⁵. Andere Herstellungszentren wie etwa Samos scheinen den Dekor hingegen vor allem für bauchige Kannenformen zu adaptieren⁵⁰⁶, sodass die bikonische Form vielleicht weniger als (rein) chronologisches denn als (auch) lokal-typisches Element verstanden werden muss.

In den archaischen Siedlungsbefunden von Ephesos sind beide Formvarianten vertreten. Das Schulterfragment **Kat. 447** ist über seine flache Neigung einer bikonischen Vogelkanne zuordenbar; vom Dekor hat sich nur ein Ausschnitt des Schmetterlingsmetopenfrieses erhalten. Die Gefäßoberfläche und das Fabrikat erinnern an Gefäße der Vogelschalenwerkstatt, ohne dass sich diese Zuordnung im mikroskopischen Vergleich jedoch hätte verifizieren lassen. Die gut erhaltenen Fragmente **Kat. 1044, Kat. 1814** und **Kat. 1868** sind über ihr Fabrikat hingegen mit großer Sicherheit der Vogelschalenwerkstatt zuordenbar. Besonders von der Kanne **Kat. 1868**⁵⁰⁷ hat sich viel erhalten, sodass Rückschlüsse auf das individuell gestaltete Dekorsystem möglich

⁵⁰² Der Begriff der Vogelkanne wird per definitionem auf jene Gefäße angewendet, die in einem unmittelbaren Zusammenhang mit den Kotylen stehen. Daneben ist das Motiv des Wasservogels in anderer Anordnung auch von geometrischen Kannen bekannt, die diesem kanonischen Dekorschema nicht entsprechen. s. dazu etwa Coldstream 1968, Taf. 61 b. f.

⁵⁰³ Anderson 1958/1959, 141 f. Nr. 47 Taf. 22 bezeugt die Verwendung von Deckrot für korinthische Kotylen ebenfalls schon subgeometrischer Zeitstellung. In der äolischen Keramikproduktion wird roter Farbdekor ab geometrischer Zeit intentionell im Brennvorgang erzielt, aufgesetztes Deckrot ist hingegen nicht belegt. s. dazu İren 2003, 6. 7 mit weiterführender Lit.

⁵⁰⁴ Coldstream 1986, 277–279; Kerschner 2002d, 63–72, bes. 69; Käufler 2006, 30.

⁵⁰⁵ Coldstream 1968, 277 f.

⁵⁰⁶ Dazu Käufler 2006, 30–32. Vgl. auch Eilmann 1933, 133 f. Abb. 84. 85 Beil. 44. 45; Walter – Vierneisel 1959, 21 Beil. 50, 1; Walter 1968, 108 Nr. 301 Taf. 52.

⁵⁰⁷ Das Gefäß setzt sich aus mehreren, in unterschiedlichen Befunden im Bereich des Nutzungs- und Versturz-niveaus von HA Ost 2 zutage gekommenen Fragmenten zusammen. Aufgrund eines Lesefehlers der Inventarnummer

sind. Der Schmetterlingsmetopenfries der Sockelzone zeichnet sich durch sieben bis zehn, und damit ungewöhnlich viele Trennbalken aus. Oberhalb der rahmenden Reifen folgt ein schmaler Fries mit kleinen Schrägstrichen, über dem die Hauptdekorzone des Schulterbildes ansetzt. Hier hat sich neben einer doppelt gerahmten, schraffierten Gitterraute ein ebenfalls kreuzschraffiertes, stehendes Dreieck erhalten, zu dessen Rechten mindestens drei strahlenförmige Balken das Rautenbildfeld zur wahrscheinlichen Hauptmetope hin abgrenzen, von der sich leider nichts mehr erhalten hat; dabei unterbrechen sie den Fries mit den Schrägstrichen, der in diesem Bereich ohne Dekor verbleibt. Die schrägen Striche scheinen daher erst nach den vertikalen Balken des Hauptbildfeldes in den Fries eingefügt worden zu sein. Das dunkel gehaltene Henkelfeld geht hingegen ohne weitere Rahmung in die Bildzone über. Der schmale Fries aus Schrägstrichen und Punkten kann in Analogie zu den Vogelkotylen vom Typ 8, welche das gleiche Motiv in der Sockelzone aufweisen, als Argument für eine mögliche Datierung der Kanne **Kat. 1868** in das zweite Viertel des 7. Jahrhunderts geltend gemacht werden. Von der bikonischen Vogelkanne **Kat. 665** hat sich das Fragment rund um den Ansatz des doppelstabigen Henkels auf der flachen Gefäßschulter erhalten. Unterhalb des dunkel gehaltenen Henkelfeldes läuft der Sockelfries mit Schmetterlingsmetopen um, der tongrundige Vertikalhenkel ist mit horizontalen Streifen gestaltet. Die Vogelkanne **Kat. 665** konnte im mikroskopischen Abgleich der ProbenNr. Ephe 10 beige stellt werden, deren Lokalisierung bislang jedoch noch nicht geglückt ist.

Kat. 56, **Kat. 201** und **Kat. 202**, **Kat. 242**, **Kat. 255**, **Kat. 581**, **Kat. 1815** und **Kat. 1816** sind über die bauchige Grundform und das Fabrikat als Nachbildungen der nordionischen Vogelkannen anzusprechen. Die große Kanne **Kat. 1229** zeichnet sich durch einen Sockelfries aus unregelmäßig gezeichneten stehenden Sigmata aus, vom Dekor der Schulter hat sich nichts erhalten. Die breite Firniszone oberhalb der das Sockelfeld nach oben hin begrenzenden Reifen positioniert das erhaltene Fragment im Bereich des ursprünglichen Henkelfeldes. Sigmata in untergeordneten Dekorriesen sind in der südionischen Vasenmalerei bei offenen Gefäßformen wie Trinkgefäßen, Tellern und Krateren gut belegt und treten dort oft zu Bündeln gruppiert auf⁵⁰⁸.

Die Vogelkannen ruhen wie die meisten anderen Kannen geometrischer Zeit auf niedrigen Standringen (**Kat. 135**, **Kat. 633**, **Kat. 634**, **Kat. 1546**, **Kat. 1818**) und bilden hohe, trichterförmig ausschwingende Hälse mit leicht konkavem Schwung (**Kat. 254**) aus. Wie die Gefäßschulter können auch die Hälse einfachen geometrischen Dekor in Form schraffierter Rauten (**Kat. 1265**) oder Z-Reihen (**Kat. 200**) in meist zwei Paneelen tragen. Bei dem engen Kannenhals **Kat. 1228** reihen sich im mindestens dreifach gerahmten Halsbildfeld vertikale Striche in zwei horizontalen Linien aneinander. Das bei Weitem am häufigsten belegte Motiv ist das Zickzackband (**Kat. 199**, **Kat. 203**). Keines der in den archaischen Siedlungsbefunden zutage getretenen Fragmente von Vogelkannen zeigt das namensgebende Bildelement des stilisierten Wasservogels.

Indes ist aus einem nacharchaischen Befund von der Nordostterrasse des Panayırdağ das Schulterfragment einer bikonischen Vogelkanne der Vogelschalenwerkstatt erhalten, welches den Ausschnitt der Vogelmetope zeigt (**PAN 08/2006.38** Abb. 18). Das Fragment bildet unterhalb zweier den Halsansatz betonender Reifen zwei von vier schmalen Balken getrennte Bildmetopen ab, von denen die rechte die Bekrönung eines Mäanderbaumes mit kurvigen Ärmchen ähnlich **Kat. 1487** zeigt. Von der zur Linken anschließenden Vogelmetope hat sich der hohe, steile Hals

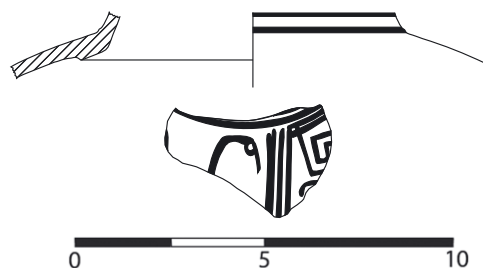


Abb. 18 Bikonische Vogelkanne Pan 08/2006.38

wurde eines der Fragmente bei Kerschner 2002h, 106 Nr. 58 Taf. 5 fälschlicherweise dem Zerstörungsniveau von HA 7 in HA West zugeordnet.

⁵⁰⁸ Vgl. für Samos Walter 1968, 102 Nr. 184 Taf. 35; 113 Nr. 382 Taf. 70; 118 Nr. 464 Taf. 83. Für Milet und Didyma vgl. Kleine 1979, 143 f. Nr. 15 Abb. 17, 2 Taf. 34; Wintermeyer 1980, 125 Nr. 9 Taf. 50.

des Wasservogels erhalten, der kantig in den Vogelkopf umbiegt. Dieser ist von einem großen, rund ausgesparten Auge dominiert, der lange Schnabel setzt die Kontur von Hals und Kopf ungebogen als steile, leicht eingebogene Linie fort. Die Ausführung des Vogelkopfes unterscheidet sich damit markant von den meisten bekannten Vogelbildern; eine unmittelbar vergleichbare Darstellung findet sich einzig bei einer aus Milet publizierten Vogelkotyle⁵⁰⁹, welche mit dem Kannenfragment vom Panayırdağ auch die nicht ganz so verbreitete Anzahl von vier Trennbalken gemeinsam hat. Auch wenn die beiden Gefäße, die Vogelkanne aus Ephesos und die Kotyle aus Milet, letztlich zu wenige Indikatoren liefern, so stellt sich angesichts dieser Stücke dennoch die Frage, ob der Versuch, innerhalb einer stark standardisierten Serienproduktion geometrischer Zeit nach individuellen Merkmalen einzelner Ausführender zu suchen, nicht vielleicht dennoch lohnend sein könnte, sofern eine ausreichende Materialbasis publiziert vorliegt.

1.B.3.5.2b Dunkelgrundige Kannen

Eine formal heterogene und zahlenmäßig gut vertretene Gruppe innerhalb der Kannen zeichnet sich wie die geometrischen Kannen durch eine flächig gefirnisste Gefäßoberfläche aus. Im Gegensatz zu den geometrischen Gefäßen wird der aufhellende Eindruck jedoch nicht durch mehrteilige tongrundige Reifenbündel herbeigeführt, sondern durch einzelne, am gefirnissten Gefäßkörper ausgesparte Bänder (**Kat. 448. Kat. 1230. Kat. 1446. Kat. 1551**) oder durch in Deckweiß aufgesetzte Reifen (**Kat. 141. Kat. 288. Kat. 382. Kat. 480. Kat. 1267. Kat. 1617**), wie sie auf Samos für spätgeometrische Formen erstmals belegt sind⁵¹⁰. In Ephesos sind beide Dekorformen in den Heiligtumsbefunden des Artemisions in einer Aufschüttung des 7. Jahrhunderts nachgewiesen⁵¹¹. Die zahlreichen schmalen Reifen bei **Kat. 57** finden auf geometrischen Kannen ebenfalls keine Parallele, während die Gefäßform mit der relativ flachen Schulter und dem tiefen, konischen Gefäßbauch den schlanken subgeometrischen Amphoren des frühen 7. Jahrhunderts nahe zu stehen scheint, die aus Milet bekannt sind⁵¹². Bei den beiden Kannen **Kat. 288** und **Kat. 382** sind die schmalen Reifen in Deckweiß aufgebracht, bei **Kat. 382** ist darüber hinaus an der Schulter der Rest eines kurvularen Dekors, eventuell eines Wellenbandes, erkennbar. Diese dunkelgrundigen Kannen zeichnen sich durch ihre weiten, kugeligen Gefäßkörper aus, die in der Tradition der subgeometrischen und frühen orientalisierenden Kannen stehen⁵¹³. Das Wandfragment **Kat. 448** ist einem besonders großen Ganzgefäß zugehörig und wird daher eher als Hydria anzusprechen sein, das Dekorsystem, wenn auch hier ohne Deckweiß, entspricht dagegen ebenso wie die kugelige Grundform den beiden eben besprochenen Kannen. Alle drei Gefäße sind in Befunden der AG Phase II vergesellschaftet. Bei der ebenfalls kugeligen Kanne **Kat. 1230** mit einfacher tongrundiger Bänderung zeichnet sich ein sehr enger Halsansatz ab, der im Verhältnis zu den Proportionen des Gefäßkörpers bereits an eine Lekythos erinnert. **Kat. 1551**, ebenfalls mit einfacher Bänderung, stellt dagegen schon einen entwickelteren Kannentypus mit konisch gestrecktem Gefäßkörper dar. Die Bodenfragmente **Kat. 1552** und **Kat. 1695** mit ihren kantig profilierten Standringen gehören ebenso bereits dieser späteren Entwicklung an, die mit der Vergesellschaftung der Stücke in den Befunden der AG Phase IV bestätigt wird.

Wahrscheinlich sind die zahlreichen, mehr oder weniger trichterförmig ausgestellten Randfragmente von Kannen mit runder Mündung und unterschiedlich stark verdickter Lippe vergleichbaren Ganzgefäßen zuzuordnen (**Kat. 18. Kat. 19. Kat. 141. Kat. 289. Kat. 380. Kat. 381. Kat. 582. Kat. 632. Kat. 666. Kat. 765. Kat. 1013. Kat. 1163. Kat. 1251. Kat. 1332. Kat. 1416. Kat. 1444. Kat. 1445. Kat. 1471. Kat. 1542. Kat. 1543. Kat. 1547. Kat. 1550.**

⁵⁰⁹ s. von Graeve 1973/1974, 96 Nr. 51 Taf. 23.

⁵¹⁰ Vgl. dazu Walter 1968, 111 Nr. 357 Taf. 60; 117 Nr. 445 Taf. 81.

⁵¹¹ Dazu Kerschner 1997a, 151. 201 Nr. 87 Taf. 12 Abb. 54; 171. 201 Nr. 129 Taf. 16 Abb. 55 (Aufschüttung A und B). Vgl. auch Paspalas 2009, 350 f.

⁵¹² Vgl. von Graeve 1975, 42 Nr. 1 Taf. 3; 45 Nr. 9 Taf. 4.

⁵¹³ Zur Form s. Käufler 2006, 31. Für konkrete Beispielgefäße vgl. Woolley 1937, Abb. 2 Taf. 8.

Kat. 1616–Kat. 1618. Kat. 1818. Kat. 1905). In ihrer Formgebung stehen sie in einem unmittelbaren Naheverhältnis zu den Hals- und Randfragmenten der Vogelkannen (s. o. Kap. 1.B.3.5.2ad) und frühen Tierfrieskannen (s. u. Kap. 1.B.3.5.2f), unterscheiden sich von diesen jedoch durch den flächigen Überzug, der die Hälse anstelle eines ausgesparten und in geometrischer und frühorientalisierender Manier verzierten Bildfeldes bedeckt. Umgekehrt ist aufgrund des Erhaltungszustands vieler Randfragmente nicht auszuschließen, dass manche Hälse dennoch entsprechenden Dekor getragen haben mögen. Dies gilt auch für das weit trichterförmig ausgestellte Randfragment **Kat. 19**, welches geometrischen Amphoren nahe steht, die aus Milet bekannt sind⁵¹⁴, weshalb hier auch eine Amphore oder Hydria als ursprüngliches Ganzgefäß möglich ist. **Kat. 379** verkehrt das dunkle Dekorprinzip mit den ausgesparten Bändern an der Randinnenseite und der unbemalten Halsaußenseite unterhalb des gefirnissten Randes in das aufgehellte Gegenteil und bedient damit bereits den Geschmack, welcher der Vorliebe für reifendekorierte Gefäße archaischer Zeit zugrunde liegt. Bei dem hohen Halsfragment **Kat. 480** sind über dem dunklen Überzug Linien in Deckweiß aufgesetzt, welche den Hals ähnlich den geometrischen Kannen in einzelne Felder unterteilen. An die das Henkelfeld begrenzende Senkrechte scheinen mindestens zwei rechteckige Bildfelder anzuschließen; ein möglicher Binnendekor ist nicht nachweisbar. Kennzeichnend für die meisten der Randfragmente ist des Weiteren mindestens ein inneres Lippenband, bei **Kat. 582** bleibt in der dunkel gefirnissten Halsinnenseite ein breites Band ausgespart, bei **Kat. 1547** sind es zwei Bänder. Bei einigen Kannen ist der Übergang vom Hals in den Rand durch einen kleinen Grat betont (**Kat. 380. Kat. 381. Kat. 480. Kat. 1550**).

Die Kannen **Kat. 511** und **Kat. 595** zeichnen sich jeweils durch einen schmalen, am Schulter-Bauch-Umbruch angebrachten ornamentalen Fries aus, in dem ein offenes Flechtband eingefügt ist. Offene Flechtbänder gehören seit der entwickelten spätgeometrischen Vasenmalerei zum Motivschatz ostgriechischer Keramikproduktion und lassen sich bis in die frühen Phasen der orientalisierenden Stufe (SiA Ia/SiA Ib) weiterverfolgen. **Kat. 595** weist mit dem hellen Malgrund unter dem dunklen Überzug bereits das fortschrittliche Element archaischer Feinkeramik auf.

Mit den dunkelgrundigen Kannen liegt in den archaischen Siedlungsbefunden von Ephesos eine Gattung vor, die nach formalen und dekorativen Gesichtspunkten zunächst deutlich der spätgeometrischen Keramiktradition verpflichtet ist. Der dunkle Gesamteindruck der Gefäße ist hierfür ebenso bezeichnend wie die meist kugeligen Kannenkörper im Verband mit den trichterförmigen Hälsen, die von den Vogelkannen her gut bekannt sind und in die frühe Phase der orientalisierenden Keramikproduktion tradiert werden. Auch die Verwendung von Deckweiß findet im südlichen Ionien bereits erstmals im Laufe der zweiten Hälfte des 8. Jahrhunderts Eingang in die spätgeometrische Gefäßmalerei. Mit ihren grundsätzlich leichteren Proportionen, der meist besseren Qualität des Überzugs und im Falle von **Kat. 57** mit dem tiefkonischen Gefäßkörper nehmen die dunkelgrundigen Kannen Elemente auf, die in ihrer Umsetzung jedoch mit der schweren Kleeblattkanne **Kat. 205** nicht mehr viel gemeinsam haben. Insofern stellen sich die dunkelgrundigen Kannen als ein Phänomen bereits subgeometrischer Keramiktradition mit einer dementsprechend starken Präsenz in der AG Phase II und III dar.

Das einzige dunkelgrundige Kannenfragment mit aufgesetztem Deckrot (**Kat. 790**) folgt auch formal einer anderen Tradition, die weniger mit südionischen Formen spätgeometrischer Zeit denn vielmehr mit korinthischen und äolischen Oinochoen verwandt ist⁵¹⁵. Auf dieses Gefäß wird daher die in der Literatur gemeinhin vertretene Meinung, die Dunkelgrundige Ware in das letzte Drittel des 7. Jahrhunderts zu datieren, ohne weiteres zutreffen⁵¹⁶. Die positiven Argumente

⁵¹⁴ s. Kleine 1979, 141 Nr. 7 Abb. 2 Taf. 33; Kerschner 1999, 45 Nr. 64 Abb. 14.

⁵¹⁵ Zu den äolischen Gefäßen vgl. etwa Boehlau – Schefold 1942, 91 f. Taf. 39; Posamentir 2006, 159 f. Abb. 1; Posamentir – Solovyov 2006, 107 Abb. 3; Posamentir – Solovyov 2007, 181; Waldbaum 2011, 282 f. Nr. 415. Vgl. auch Fantalkin 2001, 89. Zu vergleichbaren korinthischen Gefäßen s. etwa Weinberg 1943, 62 Nr. 228 Taf. 32; Amyx – Lawrence 1975, 120 f. Nr. An 113 Taf. 53; 125 Nr. An 137 Taf. 52; 139–141 Nr. An 207. An 208. An 214. An 215 Taf. 47.

⁵¹⁶ Allgemein zu der schwarzbunten Ware vgl. etwa Technau 1929, Nr. 5 Beil. 11; Eilmann 1933, 48 f. 55 f.; Lambrino 1938, 172 f.; Walter-Karydi 1973, 19 f.; Isler 1978b, 99; Furtwängler 1980, 175. 216 Nr. 34 Abb. 20 Taf. 53;

hierfür sind in der Datierung der korinthischen Vorbilder und in der stratigrafischen Fundlage von **Kat. 790** in der AG Phase IIIb gegeben. Die Verwendung von Deckrot allein kann dagegen nicht als hinreichendes chronologisches Indiz bewertet werden, nachdem diese bereits für die subgeometrische Vogelkanne **Kat. 1867** nachgewiesen ist (s. o. Kap. 1.B.3.5.2ad) und mit der Knickrandschale **Kat. 435** an einem Gefäß vorliegt, dessen stratigrafische Verortung in der AG Phase II auf eine Produktion noch vor dem mittleren 7. Jahrhundert hindeutet (s. o. Kap. 1.B.3.1.6d). Umgekehrt spricht in Anbetracht der bereits anhand der Zickzackmetopenkotylen und der subgeometrischen Kännchen diskutierten Evidenz langer Laufzeiten konservativer Elemente in Ephesos m. E. nichts gegen die Annahme, dass sich auch die Produktion der aus geometrischen Keramiktraditionen hervorgehenden dunkelgrundigen Kannen (z. B. **Kat. 83**) bis in die zweite Hälfte des 7. Jahrhunderts fortgesetzt haben könnte.

1.B.3.5.2c Kannen der reifenverzierten und unbemalten Alltagskeramik

Der großen Anzahl an Schankgefäßen, welche geometrischen bis subgeometrischen Traditionen verpflichtet sind und bleiben, steht eine Reihe von Kannen größerer Scherbenqualität gegenüber, die den einfachen Reifen-, Bänder- und Wellenbanddekor zeigt, der für die ostgriechische Alltagskeramik archaischer und frühklassischer Zeit als besonders typisch gilt. Die Kannen der Alltagskeramik variieren ein sehr breites Formenspektrum, was Mündung, Henkel, Standring und Gesamtproportion der Gefäßkörper betrifft. Am prominentesten sind Gefäße mit hohen, meist zylindrischen Hälsen (**Kat. 1165. Kat. 1906**) und runder Mündung mit rund bis kantig verdickten Rändern (**Kat. 556. Kat. 689. Kat. 825. Kat. 1164. Kat. 1548. Kat. 1645**), die auf Ganzgefäße mit deutlich voneinander abgesetzten Körperpartien hinweisen. Bei **Kat. 1166** wird der Umbruch von der Schulter in den Hals durch einen kleinen Wulst, wie er auch bei archaischen Amphoren und Hydrien bekannt ist, zusätzlich betont, weshalb hier möglicherweise eine kleinformatige Hydria vorliegt. Die Gestaltung der Schulter mit einem umlaufenden Wellenband ist für Kannen wie auch für Hydrien des 7. Jahrhunderts belegt⁵¹⁷.

Anhand der Randfragmente **Kat. 635, Kat. 690** und **Kat. 1820** lässt sich die Entwicklung dieser Kannen besonders anschaulich nachvollziehen⁵¹⁸. Die tendenziell flache Gefäßschulter ist über eine kleine Einziehung vom hohen und tendenziell breiten Hals abgesetzt, der bei **Kat. 690** leicht konisch einzieht, ehe er in den wulstig verdickten Rand übergeht. Bei **Kat. 635** ist der Hals stärker zylindrisch geformt und bildet einen schräg ausgestellten, leicht kantig verdickten Rand aus. Während die breiten Firnisbänder an Hals und Rand von **Kat. 690** gemeinsam mit dem breiten, hohen Wellenband einen noch dunklen Gesamteindruck des Gefäßes vermitteln, schmücken bei **Kat. 635** nur noch je ein schmaler Firnisreifen die Gefäßlippe, den Rand- und den Halsansatz; am Hals selbst läuft ein enges, schmales Wellenband um. Bei **Kat. 1820** ist der Wellenbanddekor am Hals schließlich zugunsten einer einfachen Bänderung aufgegeben; der Rand biegt wulstig über dem zylindrischen Hals aus.

Die Kanne **Kat. 21** steht mit ihren fließenden Übergängen vom bauchigen Gefäßkörper in den einziehenden Hals und weiter in den kaum verdickten Rand mit dem randständigen vertikalen Bandhenkel den archaischen Kochtöpfen nahe (s. u. Kap. 1.B.3.7.2d). Bis auf ein breites Firnisband am Schulter-Bauch-Umbruch bleibt **Kat. 21** unbemalt; das rotonige, schiefrige Fabrikat ist

Furtwängler – Kienast 1989, 114 Nr. 19. 20 Abb. 20 Taf. 22; 115 Nr. 27 Abb. 21 Taf. 23; 120 Nr. 2. 3 Abb. 23 Taf. 25; 143 Nr. 1 Abb. 31; Kerschner 1999, 18. s. außerdem Boehlau – Schefold 1942, 91–93 Taf. 39. 40. Zuletzt hat sich Panteleon 2013, 212–218 speziell mit den schwarzbunten (>dunkelgrundigen<) Krateren von Milet befasst. Zu datierten Befunden im Heraion von Samos vgl. Walter 1968, 87 f. 111 Nr. 357 Taf. 60; Furtwängler – Kienast 1989, 115 Nr. 27 Abb. 21; 143 Nr. 1 Abb. 31; 148 Nr. 25 Abb. 32. Zu der äolischen Produktion vgl. Posamentir – Solovyov 2006, 107 Abb. 3. Zu dem Dekor in Deckrot auf Trinkgefäßen vgl. Kerschner 1995, 19–32; Schlottzhauer 1995, 42 f.

⁵¹⁷ Vgl. Walter 1957, 46 Beil. 66, 4; Hayes 1966, 47 Nr. 594 Taf. 30; Tölle-Kastenbein 1974, Abb. 227 c; Schattner 2007, Nr. KIA 1 Abb. 74.

⁵¹⁸ Vgl. dazu außerdem Kalaitzoglou 2008, 175 Nr. 452–455 Taf. 90.

in Ephesos für zahlreiche Gefäße der Alltagskeramik belegt und kann mit einiger Sicherheit als Indiz für eine lokale Produktion verstanden werden. **Kat. 767** überträgt die gleichen formalen Merkmale in die kleinere Dimension. Diese Formvariante begegnet später vor allem auch bei den unbemalten Kannen.

Kat. 1045 und **Kat. 1268** weisen mit der steilkonisch einziehenden Schulter indes ein morphologisches Merkmal auf, welches den Kannen mit fließenden Körperkonturen, und hier vor allem auch den Kleeblattkannen, zu eigen ist. Bis auf ein schmales, breit gelagertes Wellenband bleiben beide Fragmente ohne Bemalung. Kannen mit Wellenbandzier im oberen Bauch- und Halsbereich sind in Samos seit der spätgeometrischen Zeit belegt⁵¹⁹ und bleiben bis an das Ende des 7. Jahrhunderts nachweisbar⁵²⁰; in den archaischen Siedlungsbefunden von Ephesos sind beide Exemplare erst in den Gehhorizonten der AG Phase IV vergesellschaftet.

Kat. 1554 ist schließlich eindeutig als Kleeblattkanne anzusprechen. Das dünnwandige Fragment mit der leicht einziehenden Halspartie und der davon durch eine Einschnürung markant abgesetzten Randzone ist mit einem Kannentyp identisch, der vor allem aus südionischen Befunden bekannt ist, bis in den levantinischen Raum Verbreitung fand⁵²¹ und auch im Repertoire der entwickelten orientalisierenden Gefäßproduktion vertreten ist (vgl. **Kat. 1560** aus demselben Fundzusammenhang).

Das Bodenfragment **Kat. 204** lässt sich zu einer Kanne mit oval-gerundetem Gefäßbauch ergänzen, der kleine, wulstige Standring ist typisch für Gefäße des 7. Jahrhunderts. Wahrscheinlich war der Gefäßkörper des ursprünglichen Ganzgefäßes wie bei der besser erhaltenen und auch formal vergleichbaren Kanne **Kat. 1047** mit einer Abfolge aus breiten Firnisbändern und tongrundig belassenen Zonen geschmückt. Bei **Kat. 1421** ruht der ovoide Gefäßkörper auf einem flachen, kantigen Standring. Der weite Wandansatz über dem Standring der kleinen Kannen **Kat. 1312** und **Kat. 1612** lässt indes auf einen tendenziell bauchigen Gefäßkörper schließen. **Kat. 667** ist einer Kanne mit flachem Gefäßboden zugehörig. Die kantigen Standringe von **Kat. 728** und **Kat. 768**, die ebenso wie der Wulststandring **Kat. 770** eher an Amphoren und Hydrien denn an Kannen denken lassen, gehen in ungewöhnlich schlanke Gefäßkörper über, wie sie in **Kat. 791** gut illustriert werden. Hier ruht der schlanke, ovoide Kannenkörper auf einem kleinen, wulstigen Standring; das Gefäß bleibt bis auf einen schmalen Firnisreifen im unteren Bauchbereich unbemalt. Sowohl die schlanken, gestreckten Proportionen als auch der helle Gesamteindruck machen eine den spindelförmigen Kännchen analoge Datierung von **Kat. 791** wahrscheinlich; die Vergesellschaftung des Gefäßes in einem Befund der AG Phase IIIb bestätigen diesen Ansatz, der auch durch vergleichbare Formen aus dem Zerstörungsbefund im Heiligtum von Assesos gestützt wird⁵²². Bei **Kat. 1553** und **Kat. 1870** geht der breite, kantige Standring hingegen in einen sich konisch nach unten stark verjüngenden Gefäßbauch über. Der Standring **Kat. 1016** zeichnet sich gegenüber den bislang besprochenen wulstigen Standringen durch seinen kantig akzentuierten Querschnitt aus, der eine Entwicklung tendenziell erst des 6. Jahrhunderts zu sein scheint⁵²³. Auch der ausschwingende Standring von **Kat. 1333** ist nach Ausweis datierter Fundkomplexe tendenziell erst ab dem ausgehenden 7. und vor allem im 6. Jahrhundert zu erwarten⁵²⁴. Die Vergesellschaftung in Befunden der AG Phase IV bestätigt diesen Ansatz.

Kat. 59, Kat. 108, Kat. 208, Kat. 1168, Kat. 1311, Kat. 1555 und **Kat. 1869** illustrieren die Variationsbreite möglicher Kannenhenkel von kräftigen Bandhenkeln über Rundstabhenkel bis

⁵¹⁹ Vgl. Walter – Vierneisel 1959, 14 Beil. 17, 5 (Brunnen F).

⁵²⁰ Vgl. Walter – Vierneisel 1959, 19 Beil. 37, 5; Beil. 39, 4 (Brunnen G); Furtwängler 1980, 210 Nr. 14 Abb. 17 Taf. 49 (Phase II).

⁵²¹ Vgl. dazu Furtwängler – Kienast 1989, 148 Nr. 21 Abb. 32 (ähnlich); Utili 1999, 192 Nr. 296 Abb. 20; Fantalkin 2001, 89 Nr. 2 Abb. 32 (formal); Schattner 2007, Nr. Kl 10.13 Abb. 75; Kalaitzoglou 2008, 400 Nr. 436. 439 Taf. 84. 85; Waldbaum 2011, 250 Nr. 294.

⁵²² Vgl. Kalaitzoglou 2008, 401 Nr. 442–444 Taf. 87.

⁵²³ Vgl. Furtwängler – Kienast 1989, 114 Nr. 25 Abb. 21 (Phase I).

⁵²⁴ Vgl. beispielweise Furtwängler – Kienast 1989, 125–127 Nr. 7 Abb. 25 (Phase III). s. außerdem Kerschner 2008a, 55. 73 Nr. 69 Taf. 17.

hin zu Henkeln mit mehreren Faszien sowie deren Dekorationsrepertoire mit vertikalen Bändern, sich überkreuzenden Bändern, horizontalen Streifen und schrägen Strichen und Punkten an den Henkelaußenseiten. Besonders für die breiten Bandhenkel **Kat. 108** und **Kat. 1311** ist dabei auch die Zugehörigkeit zu einer Hydria als ursprüngliches Ganzgefäß denkbar, während der Henkel mit drei Faszien **Kat. 1555** in Form und Dekor die Henkelform der entwickelten Tierfrieskannen zitiert (s. u. Kap. 1.B.3.5.2f).

Seltener als die Kannen der Reifenware begegnen in den archaischen Siedlungsbefunden unbemalte Kannen. Mit den kleinformatigen Kannen **Kat. 526** und **Kat. 557** mit runder Mündung treten unbemalte Kannen erstmals in der AG Phase III auf. **Kat. 557** mit dem deutlich abgesetzten und kantig verdickten Rand steht dabei ebenso wie **Kat. 1266** mit dem hohen Halsband formal den Amphoren und Hydrien nahe. Die ebenfalls unbemalten, kleinformatigen Kannen **Kat. 1309**, **Kat. 1419**, **Kat. 1619** und **Kat. 1821** zeichnen sich durch fließende Körperkonturen aus. **Kat. 1167** ist dem gegenüber einer wesentlich größeren Ganzform mit einem massiven randständigen Vertikalhenkel zugehörig. Das gut geplättete Kannenfragment **Kat. 1620** zitiert in seiner Randmorphologie die archaischen Amphoren und Hydrien mit Wulstrand (s. u. Kap. 1.B.3.6.3ab und Kap. 1.B.3.6.3b) und könnte möglicherweise einer kleinen Haushaltsamphore zugehörig sein. **Kat. 769**, **Kat. 879**, **Kat. 1170**, **Kat. 1231** und **Kat. 1420** zeigen die unbemalte Version von Kannen mit geradem Boden, die Kannen **Kat. 987** und **Kat. 1169** ruhen auf einer außen abgesetzten Standplatte.

Der meist stark fragmentierte Erhaltungszustand der gebrauchskeramischen Kannen aus den archaischen Siedlungsbefunden macht eine eindeutige Gliederung nach Kannentypen problematisch, da sich von den Gefäßen in den wenigsten Fällen genug erhalten hat, um sichere Rückschlüsse auf die jeweilige Ganzform zu wagen. Dennoch lassen sich aus den Gefäßfragmenten und ihrer Fundvergesellschaftung bestimmte Tendenzen ablesen, die in ein form- und dekortypologisches sowie chronologisches Verhältnis zueinander gesetzt werden können. Diese bereits anhand einzelner Beispiele andiskutierten Phänomene sollen nun noch einmal zusammenfassend thematisiert werden.

Grundsätzlich zeichnet sich in der Dekorentwicklung der Kannen eine zunehmende Aufhellung der Gefäßoberflächen ab, die bei den dunkel gehaltenen geometrischen Formen ihren Ausgang nimmt und sich über die mit Bändern, Reifen und Wellenbändern verzierten Gefäße in Richtung unbemalter Kannen bewegt. Die relative Nachzeitigkeit der unbemalten Kannen ist in den archaischen Siedlungsbefunden gut nachvollziehbar, wo die ersten Vertreter in der AG Phase III nachweisbar sind, aber erst seit der AG Phase IIIb ein gehäuftes Vorkommen neben den dunkel gehaltenen und reifenverzierten Exemplaren verzeichnen, die bis in die AG Phase IV prominent vertreten bleiben. Diese Entwicklung hin zu aufgehellten Oberflächen steht dabei im Widerspruch zur Entwicklungstendenz der Schüsseln, bei denen sich im 6. Jahrhundert zumindest in Teilen eine Rückkehr zu großflächig überzogenen Gefäßen abzeichnet. Inwiefern die zuletzt von G. Kalaitzoglou an milesischen Kannen konstatierte tendenzielle Abkehr vom Wellenbanddekor im 6. Jahrhundert⁵²⁵ auch für die ephesischen Befunde Relevanz hat, bleibt letztlich unklar, da für eine aussagekräftige Statistik insgesamt zu wenige Kannenfragmente mit Wellenbanddekor vorliegen. Interessanterweise finden sich diese jedoch erst in den Befunden der AG Phase III und IV, während Wellenbanddekor an anderen Gefäßformen schon seit der AG Phase II nachweisbar ist.

Was die Formentwicklung angeht, so stehen seit geometrischer Zeit Kleeblattkannen neben solchen mit runder Mündung, und Gefäße mit deutlich voneinander abgesetzten Körperpartien finden sich in allen archaischen Siedlungsphasen parallel zu jenen mit fließenden Konturen, wenngleich sich gerade bei den unbemalten und damit tendenziell jüngeren Kannen ein Überwiegen weich profilierter Gefäßkörper abzuzeichnen scheint. Stellt man die im Dekor der geometrischen Tradition verpflichteten Kannen den aufgehellten Kannen der Reifenware und den unbemalten Kannen gegenüber, so macht sich eine Veränderung in den Proportionen von flachen, wulstigen

⁵²⁵ Vgl. Kalaitzoglou 2008, 175.

Standringen und breit gelagerten Gefäßkörpern hin zu höheren und deutlich ausgestellten Standringen mit schlanker angelegten Kannen bemerkbar – eine Entwicklung, die damit parallel zu jener im Formrepertoire der orientalisierenden Kannen verläuft. Die zum Standring stark konisch einziehenden Kannen **Kat. 1553** und **Kat. 1870** sind im Zusammenhang mit dieser Entwicklung zu verstehen und kommen bezeichnenderweise erst seit der AG Phase IV vor. In AG Phase IIIb treten indes erstmals Kannen mit geraden Böden und solche mit abgesetzten Standplatten auf. Letztere sind in Ephesos ausschließlich für unbemalte Kannen belegt, doch ist die Gesamtzahl von nur zwei Gefäßen von nur geringem statistischem Aussagewert und vor allem im Hinblick auf aus anderen südionischen Befunden publizierte Kannen, welche die abgesetzte Bodenplatte mit Reifendekor kombinieren⁵²⁶, zu vernachlässigen. Die chronologische Einordnung abgesetzter Bodenplatten im späteren 7. Jahrhundert zeichnet sich hingegen auch in Samos ab, wo diese spezielle Fußgestaltung nicht auf Kannen beschränkt bleibt, sondern besonders auch die Tassen maßgeblich kennzeichnet⁵²⁷. Kannen mit geradem Boden sind indes mit **Kat. 667** erstmals für ein Gefäß der Reifenware ebenfalls erst am Ende der AG Phase III belegt.

Mit **Kat. 878** liegt eine sehr ungewöhnliche und überraschend dünnwandige Kanne vor, deren engste Formparallelen aus dem Athenaheiligtum von Chios und aus dem Heraion von Samos im 7. Jahrhundert eingeordnet werden⁵²⁸. Mit **Kat. 878** aus der AG Phase IIIb haben sie den weit trichterförmig ausgestellten Rand gemeinsam, der in den bauchigen Gefäßkörper übergeht, ohne einen Hals auszubilden. Anders als das als Amphoriskos angesprochene Gefäß aus dem samischen Heraion weisen **Kat. 878** und die Kanne aus Chios keinen malerischen Dekor auf.

1.B.3.5.2d Riefelkannen

Riefelkannen⁵²⁹ sind nach Ausweis bisher publizierter Fundkomplexe eine südionische Entwicklung bereits des früheren 7. Jahrhunderts⁵³⁰. Es handelt sich dabei um in der Regel unbemalte Kannen unterschiedlicher Größe mit leicht ausschwingenden, runden Gefäßmündungen, deren Oberfläche durch Bündel eingetiefter Rillen verziert ist. Diese finden sich meist an besonders markanten Stellen des Gefäßkörpers, so am Rand (**Kat. 418**, **Kat. 1171–Kat. 1173** und **Kat. 1541**), am Hals (**Kat. 1904**) oder am Halsansatz⁵³¹.

Wie bei den Schüsseln mit Riefelung (s. o. Kap. 1.B.3.4.1b) sind die unbemalten Gefäßoberflächen oft gut geglättet, womit sich auch für die Riefelkannen die Frage einer in Form und Dekor bewussten Angleichung einer keramischen Form an metallische Vorbilder stellt. Kannen der Grauen Ware mit Riefelung sind vor allem aus der Äolis publiziert⁵³²; in Form, Fabrikat und Dekor sind sie gut in der ostgriechischen Tradition der Grauen Waren zu verorten, die neben Kannen auch andere Formen wie Schüsseln und Deckel umfasst.

Bis auf **Kat. 418**, welches mit seiner Fundlage in den ältesten Horizonten der AG Phase II die Frühdatierung noch vor der Mitte des 7. Jahrhunderts bestätigt, entstammen die Riefelkannen aus Ephesos erst den Horizonten der AG Phase IV und bekräftigen damit eine spätarchaische Datierung der Riefelkannen mit sehr langen Laufzeiten bis in klassische Zeit⁵³³. Dies ent-

⁵²⁶ s. etwa Furtwängler 1980, 216 Nr. 30. 31a. Nr. 33 Abb. 19–21 Taf. 52 (Phase III); Furtwängler – Kienast 1989, 122 Nr. 13 Abb. 24 Taf. 27 (Phase II); 148 Nr. 21 Abb. 32 (Brunnen W 2).

⁵²⁷ Vgl. dazu Furtwängler 1980, 212–214 Nr. 1–6 Abb. 18. 21 Taf. 50 (Phase III); 218–220 Nr. 1. 2 Abb. 22 Taf. 57 (Phase IV); Furtwängler – Kienast 1989, 112 Nr. 8–10 Abb. 19 Taf. 21 (Phase I).

⁵²⁸ Vgl. dazu Boardman 1967, 145 Nr. 601 Abb. 94 (Phase I); Furtwängler 1980, 212 Nr. 20 Abb. 17 (Phase II).

⁵²⁹ Der Begriff der Riefelkanne wurde von G. Kalaitzoglou in die Forschungsliteratur eingeführt: Kalaitzoglou 2008, 175.

⁵³⁰ Walter – Vierneisel 1959, 28 Beil. 64, 7; von Graeve 1975, 40 Abb. 4; 46 Nr. 16 Abb. 14; Kerschner 1999, 54 Nr. 60 Abb. 13. s. außerdem Kalaitzoglou 2008, 175–177. 403 Taf. 91; Waldbaum 2011, 288 Nr. 427.

⁵³¹ Eine Kanne mit Riefelung am Halsansatz liegt mit Inv. PAN 08/2020.55 vom Panayırdağ vor.

⁵³² Bayne 2000, 148 Nr. 13 Abb. 36; 165 Nr. 1. 2 Abb. 41; 166 Nr. 1. 3 Abb. 42; Utili 1999, 84. 237 Nr. 581. 582 Abb. 34; 243 Nr. 634. 635 Abb. 36; 244 Nr. 641–643 Abb. 37.

⁵³³ Zu dem Weiterleben der Riefelkannen in ephesischen Befunden klassischer Zeit vgl. die Gefäße aus dem Brunnen S-AB unter der Tetragonos Agora bei Scherrer – Trinkl 2006, 93 f. Abb. 105; 119 Nr. 142–146 Taf. 23. 24; 120

spricht interessanterweise nicht dem Verteilungsbild der Schüsseln mit Riefelung, welche sich in den Befunden der AG Phase II und III konzentriert finden (s. o. Kap. 1.B.3.4.1b).

1.B.3.5.2e Olpen

Als Olpen werden hier kleinformatige Schankgefäße mit runder Mündung bezeichnet, deren glatte und kaum verdickte Ränder über der steilkonischen Schulter kräftig ausbiegen, ohne dass die Gefäße einen Hals ausbilden würden. In ihrer Formgebung stehen die kleinen Olpen damit den weich profilierten Kännchen und Kannen nahe. Von den Kännchen unterscheiden sie die größeren und tendenziell plumperen Proportionen; die mehr oder weniger deutlich ausgebogenen und verdickten Ränder heben sie von den Kannen ab, bei denen ein Hals zumindest ansatzweise vorhanden ist. Dennoch ist eine strikte Abgrenzung mitunter schwierig, wie die Gegenüberstellung der Olpe **Kat. 766** und der kleinen Kanne **Kat. 767** aus demselben Befund verdeutlichen mag.

Mit **Kat. 766** begegnet die Form der kleinen Olpe erstmals in einem Befundzusammenhang der AG Phase IIIb, in der AG Phase IV kommen mit **Kat. 1310**, **Kat. 1549**, **Kat. 1621** und **Kat. 1622** sowie **Kat. 1724** kleine Olpen sowohl der reifenverzierten als auch der unbemalten Alltagswaren vor.

1.B.3.5.2f Orientalisierende Kannen

Kannen gehören zu den bevorzugten Gefäßformen orientalisierender Keramikproduktion und zählen gemeinsam mit Krateren und Amphoren zu den Trägern schon der frühesten Ausprägungen orientalisierender Gefäßmalerei. Daher spielen die Kannen in ihrer form- und dekortypologischen Entwicklung eine zentrale Rolle in der stilistischen und chronologischen Einordnung (Diagramm 42) der Tierfrieskeramik⁵³⁴, die neben den Trinkgefäßen als wichtigste datierende Gattung innerhalb der ostgriechischen Keramik zu gelten hat.

Die frühesten orientalisierenden Kannen begegnen in der Agora-Siedlung mit den Wandfragmenten **Kat. 60**, **Kat. 107** und **Kat. 206** in Horizonten, welche die gewaltsame Zerstörung der AG Phase II bezeichnen und treten damit zeitgleich mit der orientalisierenden Tasse **Kat. 318** und dem Krater **Kat. 184** auf. **Kat. 60** und **Kat. 107** sind Ganzgefäßen mit steil konvexen

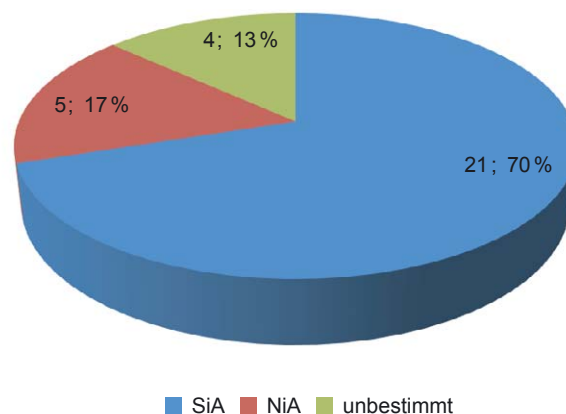


Diagramm 42 Übersicht der orientalisierenden Kannen

Nr. 149. 150 Taf. 25. Vgl. auch die Riefelkannen aus den spätarchaischen Befunden am Panayırdağ bei von Miller 2013, 400 Nr. 2214–2216. s. außerdem Alexandrescu 1978, 102 Nr. 665. 667 Abb. 22; Alexandrescu 2005b, 355 Nr. 142. 146 Abb. 46; Voigtländer 1982, 140 Nr. 198 Abb. 30. 31; Schattner 2007, 239 f. Nr. Kg A2 Abb. 69.

⁵³⁴ Die heute gängigen Typologiesysteme zur orientalisierenden Keramik sind bei Cook 1992 und Cook – Dupont 1998 sowie dem aktuellen Forschungsstand angepasst bei Kerschner – Schlotzhauer 2005 und Kerschner – Schlotzhauer 2007 nachzulesen.



Abb. 19 Kotyle AG 87/141.5 + AG 87/140

Schulter-Bauch-Umbrüchen zugehörig, die sich zu kugeligen Kannenkörpern ergänzen lassen, welche die orientalisierenden Kannen der frühen Stufen SiA Ia und SiA Ib mit einer Datierung zwischen etwa 670 und 630 kennzeichnen⁵³⁵. Bei dem milesischen Gefäß **Kat. 60** wäre auch eine tiefkonische Form ähnlich einem Gefäß aus der subgeometrischen Brandschicht in Milet denkbar, das V. von Graeve als Amphore anspricht⁵³⁶. Die bisher allein aus dem unmittelbaren Einzugsgebiet von Milet bekannten Beispiele weisen jedoch ein sehr kanonisches Dekorsystem mit einem verbindlichen Motivrepertoire auf, in dem das Schachbrettmuster von **Kat. 60** keine Rolle spielt. Der von mehrteiligen Reifenbündeln eingefasste Ornamentfries, der wie ein Gürtel um den Bereich des größten Durchmessers am Kannenkörper liegt und diesen zweiteilt, ist ein typisches Element im Dekorsystem frühorientalisierender Kannen⁵³⁷ in SiA Ia und am Beginn von SiA Ib und begegnet beispielsweise auch bei **Kat. 1822**. Das Schachbrettmuster gehört neben offenen Flecht- und Schlaufenbändern zu den beliebtesten Ornamenten und weist sehr häufig in die hellen Felder eingeschriebene Punkte auf, die bei **Kat. 60** aber fehlen.

In der Absenz des sonst für die orientalisierende Keramik verbindlichen hellen Gefäßüberzugs wird ein zweites retardierendes Element evident, welches **Kat. 60** sehr früh im orientalisierenden Stil mit einer noch deutlich geometrischen Prägung positioniert. **Kat. 107** weist hingegen zwar bereits den hellen Malgrund an der Gefäßoberfläche auf; die in sich gegliederte, gerahmte Raute an der Schulter ist dagegen als Motiv geometrischen Traditionen verpflichtet und findet sich in ähnlicher Form, allerdings mit kreuzschraffierten Binnengliedern, auf samischen Kannen⁵³⁸, die auch bereits den hellen Überzug tragen können. Eine mit Ausnahme der Punkttrahmung vergleichbare Rautendarstellung ist hingegen auf einer Tierfrieskanne aus Samos belegt, wo je eine Raute das zentrale Bildfeld mit einem äsenden Rotwild flankiert⁵³⁹. Das Detail der punktgefüllten Rahmung der Raute **Kat. 107** findet andererseits auf einem Krater aus Samos eine Entsprechung und ist dort ebenfalls bereits mit nachgeometrischen Dekorelementen kombiniert, während das spezielle Motiv beispielsweise aus Milet bislang nicht bekannt ist⁵⁴⁰. Der samische Krater verkörpert einen Typus, der in Milet nach der dankenswerten Auskunft von N. Panteleon nur als samischer Import vorkommt (s. o. Kap. 1.B.3.2.1a), womit ein weiteres Indiz dafür vorliegt, die Kanne **Kat. 107** mit Vorsicht als Erzeugnis im Einzugsbereich samischer Werkstätten am Übergang von der geometrischen zur orientalisierenden Produktion anzusprechen; ihr Fabrikat steht nach optischen Kriterien in keinem Widerspruch dazu. Umgekehrt verweist die der Herkunftsgruppe M zugehörige und damit potenziell ephesische Kotyle **AG 87/141.5+AG 87/140** (Abb. 19) aus den nacharchaischen Planierungen über der Agora-Siedlung darauf, dass das Motiv der binnengegliederten Raute auch außerhalb von Samos beheimatet gewesen sein könnte.

⁵³⁵ Dazu Kerschner – Schlotzhauer 2005, 15–18; Kerschner – Schlotzhauer 2007, 302–305. s. außerdem Cook – Dupont 1998, 33–39.

⁵³⁶ Vgl. von Graeve 1975, 42 Nr. 1 Taf. 3. 4. Die geringe Wandungsstärke und die erhaltenen Fragmente schließen aber auch eine große Kanne als Ganzform nicht mit Sicherheit aus. Vgl. auch Kleine 1979, 141 f. Nr. 9 Abb. 3. 4 Taf. 33; Wintermeyer 1980, 127 Nr. 22 Taf. 51; Kerschner 1999, 26 f. 45 Nr. 61–63 Abb. 14; Kalaitzoglou 2008, 224 f. 421 Nr. 595 Taf. 129.

⁵³⁷ Vgl. etwa Kerschner – Schlotzhauer 2005, 15 Abb. 9; 19 Abb. 11.

⁵³⁸ Eilmann 1933, 133 Abb. 84. 85 Beil. 44; Walter 1968, 108 Nr. 301. 304 Taf. 52; 109 Nr. 316 Taf. 54.

⁵³⁹ Vgl. Walter 1968, 110 Nr. 334 Taf. 57.

⁵⁴⁰ Zur Punkttrahmung s. Walter 1968, 114 Nr. 393 Taf. 72.

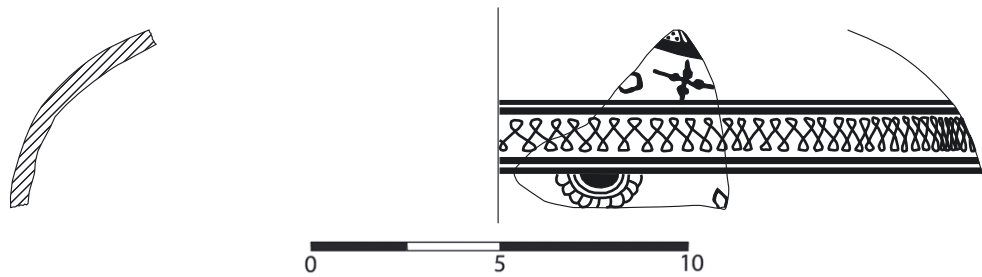


Abb. 20 Tierfrieskanne AG 89/149.8

In dem Schulterfragment **Kat. 1871** klingt die geometrische Tradition, Bildfelder in Metopen zu gliedern, nach. Der kleine Ausschnitt zeigt ein doppelt gerahmtes vertikales Trennband, in dem ein Flechtband verläuft. Flechtbänder gehören zum Standardrepertoire schon der frühesten orientalisierenden Gefäße⁵⁴¹. In den vertikalen Ornamentstreifen auf den Kannen der Stilstufe SiA Ia sind vor allem offene Flechtbänder beliebt⁵⁴². Von dem Hauptbildfeld hat sich auf **Kat. 1871** ein Stück des eingebogenen Horns eines Steinbocks mit den typischen knobbenartigen Wülsten erhalten. In Anlehnung an die Bochumer Kanne und eine weitere Kanne aus dem Louvre ist hier ein Steinbock mit zu einem Beutegreifer umgedrehten Kopf zu erwarten, wenn auch nicht in einer vergleichbaren antithetischen Komposition⁵⁴³, sondern zur Bildfeldbegrenzung hingewandt, wie auf einer Kanne aus einem skythischen Tumulusgrab bei Temir Gora, die aufgrund des Dekorsystems mit Mäander am hohen Hals und einem zweiten Tierfries am Gefäßbauch bereits der Stilstufe SiA Ib angehört⁵⁴⁴.

Mit **Kat. 206** ist der Schritt hin zum orientalisierenden Stil bereits endgültig vollzogen. Das flach konvexe Schulterfragment ist charakteristisch für die gestaucht bauchigen Kannenkörper der Stilstufen SiA Ia und SiA Ib; der über dem hellen Gefäßüberzug aufgebrachte Dekor in Form einer breiten, mit mehreren Punktreihen gefüllten Doppelvolute ist für geometrische Gefäße noch undenkbar. Trotz der Kleinteiligkeit des Fragments ist davon auszugehen, dass die Volute die Gefäßschulter wie bei aus Samos und Ephesos publizierten Stücken als Einzelmotiv schmückte⁵⁴⁵ oder Teil einer Volutenkette bildete, wie diese seit der Stilstufe SiA Ib vor allem für Teller und Dinoi belegt sind und seltener auch auf Kannenschultern vorkommen⁵⁴⁶. Hingegen sind Volutenpalmetten als Zentralmotiv im Schulterbildfeld dem Henkel gegenüber seit der Stilstufe SiA Ib sehr beliebt. Das Schulterfragment **Kat. 1557** zeigt das gleiche Motiv einer in mehreren Reihen punktierten Volutenpalmette, in deren Zwickel eine kleine Halbrossette eingebettet liegt. Das Motiv der Volutenpalmette bleibt bis in die Stilstufe SiA Ic bestehen, doch bilden sich die gepunkteten Voluten zugunsten der anderen Elemente zurück, werden schmaler und weisen nur noch eine Punktreihe auf.

Mit dem Wandfragment **AG 89/149.8** (Abb. 20) liegt in den hellenistischen Planierschichten ein schönes Beispiel einer Tierfrieskanne der Stufe SiA Ib vor. Der bauchige Gefäßkörper weist zwei durch ein doppelt gerahmtes Schlaufenband getrennte Dekorfriese auf; an der Schulter

⁵⁴¹ Vgl. etwa die Kratere bei Walter 1968, 112 Nr. 371 Taf. 65; 113 Nr. 377 Taf. 66–68 und bes. Boehlau – Schefold 1942, Taf. 23; Walter 1968, 112 Nr. 374 Taf. 65; 123 Nr. 559 Taf. 106; 124 Nr. 563 Taf. 108, 109; Schattner 2007, Nr. Or 34 Abb. 122; Panteleon 2013, Taf. 111–113.

⁵⁴² Vgl. Kerschner – Schlotzhauer 2005, 16 Abb. 1–3, 9; Kerschner – Schlotzhauer 2007, 302 f.

⁵⁴³ Vgl. Kerschner – Schlotzhauer 2005, 11 Abb. 1, 2; Denti 2008, 11 f. Abb. 8. s. außerdem Robertson 1948, 99 Nr. 594 Taf. 44.

⁵⁴⁴ Dazu Denti 2008, 8–11 Abb. 5–7.

⁵⁴⁵ Zu Ephesos s. Hogarth 1908, 220 Nr. 3 Abb. 48; zu Samos vgl. Walter 1968, 110 f. Nr. 328 Taf. 56; Nr. 335 Taf. 57; Nr. 342–348 Taf. 58. Vgl. auch die Ausführungen Kerschner 2003a, 56 zu demselben Stück. s. außerdem Jacopi 1931, 348 f. Nr. 2 Abb. 391 (Grab 202); Denti 2008, 8 f. Abb. 3, 4.

⁵⁴⁶ Allgemein zu den Volutenkettens vgl. Kerschner – Schlotzhauer 2005, 16; Kerschner – Schlotzhauer 2007, 303. Speziell zu Volutenkettens auf Kannen vgl. Lentini 2000.

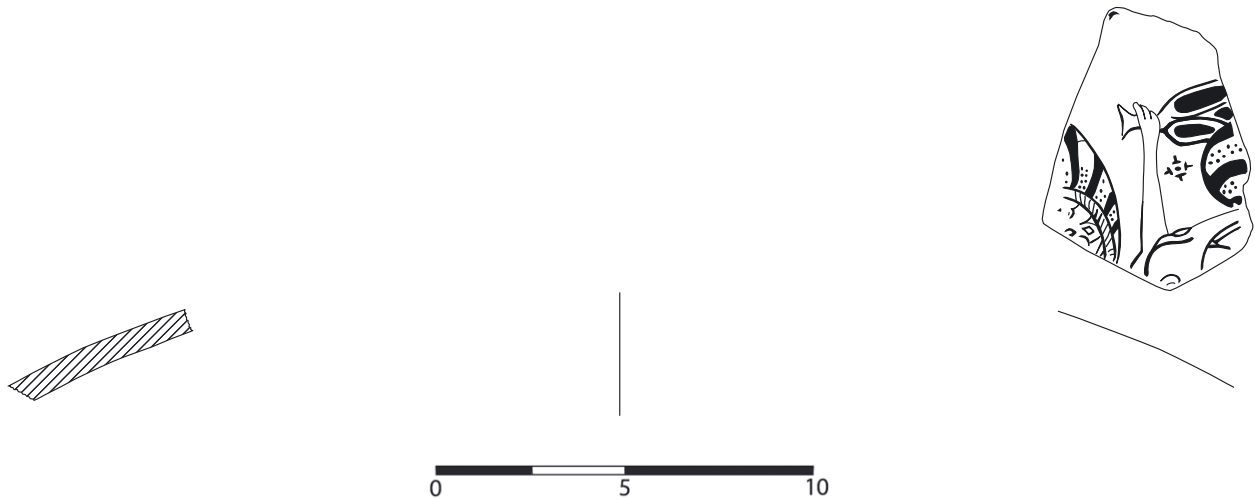


Abb. 21 Kanne AG 89/064.2

zeigt sich der Rest einer vielfach gepunkteten Volutenpalmette, am Bauchfries eine typische hängende Halbrossette und der im Umriss angegebene Rest eines Ohrs von wahrscheinlich einem schreitenden Rotwild.

Das Schulterfragment **AG 89/064.2** (Abb. 21) einer weiteren bauchigen Kanne der Stilstufe SiA Ib aus den hellenistischen Planierniveaus verdient besonderes Augenmerk. Hier ist das mit einer aufwendigen segmentierten Rahmung versehene Palmettenmotiv mit einer für die ostgriechische Tierfriemalerei singulären anthropomorphen Darstellung kombiniert, von der sich deutlich erkennbar der ausgestreckte Arm abzeichnet⁵⁴⁷. In ihrer Hand hält die Figur eine hängende Lotusblüte, wie sie seit der Stilstufe SiA Ib als Motiv in die orientalisierende Gefäßmalerei aufgenommen wird.

Kat. 1017 zeigt mit dem breiten, flachen Standring und dem weiten Ansatz in den bauchigen Gefäßkörper die typische Bodengestaltung der frühorientalisierenden Kannen. Die Gestaltung der Fußzone oberhalb des gefirnissten Standrings mit einem Kranz dichter, schmaler Strahlen gehört zu dem kanonischen Dekorrepertoire der Stilstufen SiA Ia und SiA Ib; als zweite Variante sind teils gefüllte Zungenbänder möglich (z. B. **Kat. 1513**) oder erstmals seit der Stilstufe SiA Ib auch Lotusblüten-Knospen-Kränze. Die meisten der Strahlenkränze sind wie bei **Kat. 1017** ausgemalt, nur selten finden sich in SiA Ib ausgesparte Konturstrahlenkränze⁵⁴⁸, die auch von den Kalottenschalen des letzten Drittels des 7. Jahrhunderts bekannt sind (s. o. Kap. 1.B.3.1.4a+b). **Kat. 1556** ist in seiner Formgebung unmittelbar mit **Kat. 1017** vergleichbar, vom Dekor der Fußzone haben sich hier oberhalb des gefirnissten Standrings jedoch nur zwei schmale umlaufende Reifen erhalten

Die frühorientalisierenden Kannen der Stilstufen SiA Ia und SiA Ib zeichnen sich durch hohe, trichterförmig ausgestellte Hälse mit kaum verdickten Rändern aus, die sich ebenso wie die bauchigen Gefäßkörper von den spät- und subgeometrischen Kannen herleiten lassen und die besonders in der Stilstufe SiA Ia wie bei **Kat. 668** ein in Paneelen unterteiltes Halsbildfeld aufweisen, das in seinem Dekorrepertoire noch geometrischen Traditionen verpflichtet bleibt. Besonders beliebt ist in der Stilstufe SiA Ia ein Schachbrettfeld zwischen zwei mit einem offenen Flechtband gefüllten Friesen, in der Stilstufe SiA Ib treten hohe schraffierte Mäander zwischen Schlaufenbändern hinzu. Die Gestaltung des Halsbildfeldes mit einer gegitterten Rechteckplatte, wie sie mit **Kat. 668** vorliegt, ist weniger populär, findet jedoch in der Stilstufe SiA Ib Paral-

⁵⁴⁷ Zu frühen Menschenbildern in der ostgriechischen Vasenmalerei des 7. Jhs. vgl. von Graeve 1971.

⁵⁴⁸ Vgl. etwa Kerschner – Schlotzhauer 2005, 19 Abb. 11.

lelen bei Kannen aus Milet⁵⁴⁹. Interessanterweise fehlt bei **Kat. 668** der helle Überzug an der Gefäßoberfläche. Die Formgebung der frühen Tierfrieskannen wird darüber hinaus auch für dunkelgrundige Kannen verwendet, deren Dekorsystem den geometrischen Kannen nahe steht (s. o. Kap. 1.B.3.5.2aa und Kap. 1.B.3.5.b).

Mit **Kat. 510** liegt das Fragment einer nur schwer einordenbaren orientalisierenden Kanne vor. Das Stück scheint einem dickwandigen, geschlossenen Gefäß mit gestreckteren Proportionen als **Kat. 60**, **Kat. 107** und **Kat. 206** und damit wohl erst der Stilstufe SiA Ic anzugehören, im Zuge derer die kugeligen Kannenkörper konisch nach unten verlängert werden⁵⁵⁰. Die doppelte Bänderung am oberen Fragmentrand von **Kat. 510** ist gut mit den horizontalen Ornamentfriesen zu verbinden, welche den Schulter-Bauch-Umbruch dieser Kannen betonen; die drei schrägen Striche im sonst leeren Bauchfries sind indes ungewöhnlich, sind hier doch bereits standardisierte Tierfriese und eine ebenso kanonische Füllornamentik zu erwarten. Eine rein ornamentale Gestaltung des mit der Stilstufe SiA Ib eingeführten zweiten Hauptfrieses am Bauch orientalisierender Kannen ist ausschließlich für eben diese noch bauchigen Kannen belegt und dort in Form von schraffierten Mäandern gegeben⁵⁵¹.

Dem gegenüber sind die Schulterfragmente **Kat. 771** und **Kat. 847** über Form und Dekor eindeutig als Kannen der entwickelten Stilstufen SiA Ic/SiA Id erkennbar. Die konvexe Gefäßschulter fällt steiler aus, als dies bei den bauchigen Kannen der Stufen SiA Ia und SiA Ib der Fall war, und ist mit einem tiefen, konisch zum Standring hin sich verjüngenden Gefäßunterkörper zu ergänzen, der sich im Zuge der Entwicklung tendenziell einer ovoiden Grundform annähert.

Die verbindliche Randform dieser Kannen ist eine Kleeblattmündung, von der ein überrandständiger Henkel mit drei Faszien bis zur Schulter geführt wird; der randständige Henkelansatz wird von zwei Rotellen begleitet⁵⁵². Der kurze Hals trägt in der Stilstufe SiA Ic meist ein Flechtband, in der Stilstufe SiA Id wird es vom Plattenmäander abgelöst. Den Übergang vom Hals in die Schulter betont zunächst ähnlich wie noch bei den SiA Ib-Kannen ein Zungenfries, auf dem binnengefüllte Zungen neben solchen ohne zentralen Strahl stehen. Im Fragmentausschnitt von **Kat. 1048** haben sich nur die gefüllte Zungen erhalten. Die figürliche Darstellung, die bei **Kat. 1559** unterhalb des Zungenbandes folgt, lässt sich nicht mehr genau identifizieren, doch scheint die Rückenkontur eines Tieres erkennbar. In der Phase SiA Id werden die Zungenbänder zugunsten einfacher Strichleisten aufgegeben.

Kat. 847 zeigt im erhaltenen Ausschnitt des Schulterbildfeldes oberhalb eines breiten Firnisbandes eine hängende fünfblättrige Lotusblüte und im Anschluss daran den Rest einer vierblättrigen Rosette. Beide Motive sind bereits in der Stilstufe SiA Ib vertreten, und während sich bei vierblättrigen Rosetten kaum eine stilistische Entwicklung fassen lässt⁵⁵³, hat R. M. Cook in der Ausführung der Lotusblüten eine chronotypologische Abfolge festgemacht⁵⁵⁴. Die breit angelegte Form der Lotusblüte ist ein Charakteristikum tendenziell früher Darstellungen schon in der Stilstufe SiA Ib, die Kombination mit der hohen Form der Kleeblattkanne als auch die einfache Bänderung als Trennelement der Friese ordnet **Kat. 847** aber bereits eindeutig in der Stilstufe SiA Ic ein, wo der figürliche Schulterfries häufig durch ein dem Henkel gegenüberliegendes zentrales Mittelmotiv unterbrochen wird, auf welches sich die Tiere von beiden Seiten antithetisch zubewegen. Volutenmotive haben sich seit der Phase SiA Ib als besonders beliebte Zentralmotive erwiesen, im Falle von **Kat. 847** scheint jedoch eine hängende Lotusblüte an

⁵⁴⁹ Vgl. Käuffer 2006, 57 Abb. 11 Taf. 63. s. auch Walter 1968, 127 Nr. 618. 620. 621 Taf. 126. 127. Das Motiv ist auch von einer milesischen Vogelkotyle aus der subgeometrischen Brandschicht belegt. Vgl. dazu von Graeve 1975, 53 Nr. 50 Abb. 24 Taf. 10.

⁵⁵⁰ Dazu Kerschner – Schlotzhauer 2005, 32; Kerschner – Schlotzhauer 2007, 308. s. auch Cook – Dupont 1998, 36–39.

⁵⁵¹ Vgl. Kerschner – Schlotzhauer 2005, 21 Abb. 14.

⁵⁵² Vgl. Kerschner – Schlotzhauer 2005, 32–36; Kerschner – Schlotzhauer 2007, 308–312.

⁵⁵³ In SiA Ib ist das Binnenelement der Rosetten mitunter mit einem zusätzlich eingefügten Punkt versehen. Vgl. dazu Käuffer 2006, Abb. 9 Taf. 63.

⁵⁵⁴ Vgl. Cook – Dupont 1998, 46 Abb. 8, 13.

diese Stelle zu treten. Dass die Lotusblüte nicht in einen umlaufenden Fries aus Lotusblüten und Lotusknospen eingebunden war, wie er die Fußzone und seltener auch die Schulterfrieze⁵⁵⁵ orientalisierender Kannen beginnend von SiA Ib an schmücken kann und vor allem für die Stilstufen SiA Ic und SiA Id bezeichnend wird, verdeutlicht die vierblättrige Rosette, sind Füllmotive doch für die figürlichen Frieze reserviert.

Schwieriger gestaltet sich die Einordnung von **Kat. 771**. Vom ursprünglichen Ganzgefäß hat sich zu wenig erhalten, um auf formtypologischer Grundlage eine Zuweisung an eine der beiden Stilstufen, SiA Ic oder SiA Id, vorzunehmen. Auch das Bildrepertoire, das sich in der Schulterzone erhalten hat, ist zunächst wenig indikativ, sind doch sowohl schreitende Gänse als auch das Füllmotiv der vierblättrigen Rosette für beide Stilstufen belegt⁵⁵⁶. Die Kombination der Gans in einer Reihe schreitender Gänse, wie sie erst mit der Stilstufe SiA Id aufkommt, kann für **Kat. 771** ebenfalls nicht postuliert werden, da der erhaltene Ausschnitt des Schulterfrieses zu klein ist. Die hinter der Gans erhaltene Kontur scheint jedenfalls nicht zu einer weiteren Gans zu gehören, weshalb im Falle einer Gänsereihe sich auf **Kat. 771** die letzte erhalten haben müsste. Die Ausführung der Gänsedarstellung bleibt in beiden Stilstufen, SiA Ic und SiA Id, grundsätzlich gleich. In den dunkel gehaltenen Körpern werden allein die Gesichtsdetails, das Flügelgefieder und die Füße innerhalb der Umrisskontur ausgespart. Die Flügelansätze, welche in der Stilstufe SiA Ib noch punktiert werden, sind nun durch eine ausgesparte Umrisslinie vom Vogelkörper abgesetzt, das Gefieder selbst wird mit dichten Streifen angegeben. Im Vergleich der Gänsedarstellung auf Kannen der Stilstufe SiA Ic⁵⁵⁷ mit jenen auf Kannen der Stilstufe SiA Id⁵⁵⁸ scheint sich allerdings eine tendenzielle Verkleinerung der Flügelansätze abzuzeichnen, die mitunter durch eine Verdoppelung der ausgesparten Konturlinie herbeigeführt wird. Sollte diese Abweichung tatsächlich Ausdruck einer chronologischen Abfolge sein, so wäre **Kat. 771** tendenziell später und damit möglicherweise erst in SiA Id einzuordnen. Mit **Kat. 1561** liegt eine zweite Kanne mit Gänsedarstellung vor; dieses Fragment ist anhand der hängenden Halbrosette, bei der die halbrunden Blütensegmente bereits zugunsten eines vereinfachten Strichbandes aufgegeben wurden, erst in der Stilstufe SiA Id anzusetzen. Als weitere Füllornamente kommen mit dem segmentierten stehenden Dreieck, der vierblättrigen Rosette und weiteren sekundären Motiven Elemente hinzu, die auch schon in SiA Ic geläufig sind. Das Gefieder ist bei **Kat. 1561** mit unterschiedlich ausgerichteten Strichgruppen differenzierter angegeben als bei **Kat. 771**, die Hals-Brust-Kontur fällt hingegen kürzer aus und wiederholt sich am linken Fragmentrand hinter dem Vogelkörper. Im Schulterbildfeld der Kanne **Kat. 1561** ist daher von mindestens zwei, möglicherweise von mehreren hintereinander schreitenden Gänsen auszugehen, eine Bildlösung, die erst in der Stilstufe SiA Id populär wird.

Ähnlich uneindeutig wie **Kat. 771** zeigt sich die Kanne **Kat. 880** wahrscheinlich milesischer Produktion, von der sich ein Bodenfragment und ein Fragment aus dem Bereich des gestreckten Kannenbauches erhalten haben. Der kantige, gefirniste Standring geht mit einer konkaven Einziehung in den Gefäßkörper über, dessen breite Form der frühen Entwicklung orientalisierender Kleeblattkannen entspricht. Auf der stark abgeriebenen Gefäßoberfläche zeichnet sich mit dem Strahlenkranz in der Fußzone wie bei **Kat. 1175** sowie bei der kleinen Kanne **Kat. 1823** ein Dekorsystem ab, das vor allem für die Gürtelbandkannen der Stufe SiA Id bezeichnend ist, bei **Kat. 880** jedoch mit einem figürlichen Bauchfries kombiniert wird, der in seinem Bildrepertoire wiederum auf die Stilstufe SiA Ic verweist. Das Mäanderkreuz als Füllornament ist für Kannen beider Stilstufen SiA Ic und SiA Id belegt, doch zeigen die figürlichen Bauchfrieze auf Kannen der Stufe SiA Id im Regelfall eine standardisierte Reihe äsenden Rotwilds mit vier Beinen und proportional überlängten Körpern. **Kat. 880** zeigt hingegen wahrscheinlich einen Hund, dessen

⁵⁵⁵ Zur Platzierung an der Schulter vgl. Walter 1968, 123 Nr. 551 Taf. 104; 126 Nr. 609 Taf. 123; Cook – Dupont 1998, 41 Abb. 8, 9; Hürmüzli 2004, 84 Abb. 15; Kerschner 1997a, 120 Nr. 26 Abb. 4; 215 f. Abb. 56; Kerschner – Schlotzhauer 2005, 21 Abb. 15. Vgl. auch Kerschner 2002e, 74.

⁵⁵⁶ Vgl. Akurgal 2002, 111 Nr. 81 Abb. 51 Taf. 8; Kerschner 2002b, 40.

⁵⁵⁷ s. Kerschner – Schlotzhauer 2005, 27–29 Abb. 20–24.

⁵⁵⁸ s. Kerschner – Schlotzhauer 2005, 37 Abb. 31; 39 Abb. 35; 40 Abb. 37.

nach vorn geworfener Vorderlauf die Laufbewegung wiedergibt, welche vor allem von Jagdfriesen auf Gefäßen noch der Stilstufe SiA Ib bekannt sind, während diese bewegten Szenerien im Laufe von SiA Ic zunehmend von den beruhigten Friesen schreitender und äsender Tiere abgelöst werden. Die einfachen Reifen, welche bei **Kat. 880** als Friesbegrenzung dienen, wären für ein Gefäß noch der Stufe SiA Ib jedoch ungewöhnlich, wie auch die Gefäßproportionen erst für die Kannen der späteren Stilstufen denkbar sind.

Das Wandfragment **Kat. 1558** scheint gegenüber **Kat. 880** einer Kanne mit gestrafften Proportionen zugehörig zu sein, wie sie für die Stilstufe SiA Id typisch werden. Auch das ohne Punktierung ausgesparte Bauchfell des dargestellten Steinbocks deutet bereits auf diese späte Entwicklung orientalisierender Gefäßproduktion hin, die **Kat. 1558** tendenziell am Beginn der Stilstufe SiA Id um 610 positionieren, während der Jagdfries als Bildinhalt eine Reminiszenz älterer SiA Ib- und SiA Ic-Traditionen darstellt.

Kat. 881 ist zu einer wahrscheinlich milesischen Gürtelbandkanne zu ergänzen⁵⁵⁹. Charakteristisch hierfür ist einerseits das Dekorsystem des Schulterfrieses, bei dem eine zentrale, meist figürliche Darstellung in Form eines Tieres oder einer Tierprotome von Strahlen gerahmt wird, die vom Halsansatz ausgehen. Nach unten hin wird der Schulterfries von breiten Bändern begrenzt, die manchmal einen ornamentalen Fries einschließen, durch aufgesetzte Reifen in Deckrot und/oder Deckweiß akzentuiert werden oder wie im Falle von **Kat. 881** ohne weiteren Dekor verbleiben können. Die Fußzone wird typischerweise mit Strahlenkränzen geschmückt, doch sind diese keinesfalls verbindlich. Auch in ihrer Formgebung weichen die Gürtelbandkannen von jener der mit figürlichen Friesen geschmückten Kannen ab, die in der Stilstufe SiA Id tendenziell ovoide Gefäßkörper ausbilden, während die Gürtelbandkannen den markanten Schulterknick beibehalten und insgesamt tendenziell kleiner ausfallen⁵⁶⁰. Die niedrigen Hälse der Gürtelbandkannen werden ähnlich wie bei **Kat. 1554** und **Kat. 1560** mit einfachen Reifen verziert und bilden gefirnisste Kleeblattmündungen aus. **Kat. 1560** variiert das bekannte Dekorschema durch die schmale Rahmenlinie um zumindest einen der Strahlen. Die Henkel der Gürtelbandkannen setzen sich im Unterschied zu den übrigen SiA Id-Kannen aus nur zwei rundstabigen Elementen zusammen (**Kat. 936. Kat. 1872. Kat. 1907**), die Henkelaußenseite ist häufig mit kleinen Streifen gestaltet. **Kat. 1422** weist mit ebenfalls zwei Strahlen in der Schulterzone ein vergleichbares Dekorsystem auf und gehört wohl zu einer kleinformatigen und etwas anders proportionierten Kanne mit stärker ovoidem Gefäßkörper desselben Zeithorizonts.

Kat. 1174 ist über die erkennbare Füllornamentik, einem segmentierten hängenden Dreieck, von dem sich ein kleiner Rest erhalten hat, und einer Kreis-Punkt-Rosette den Stilstufen SiA Ic/SiA Id beizuordnen. Beide Motive sind jedoch auch von nordionischen Gefäßen bekannt⁵⁶¹, wobei die nordionischen Maler die Punkte meist mit den Kreissegmenten der Rosette verbinden (z. B. **Kat. 2010** und **Kat. 2011**)⁵⁶². Ungewöhnlich ist indes die breite Bänderung, welche den Schulterfries nach oben hin begrenzt; im Zusammenhang mit dem nicht exakt ermittelbaren Gefäßdurchmesser muss eine andere Gefäßform, etwa ein Dinos, als ursprünglich zugehöriges Ganzgefäß ebenfalls in Betracht gezogen werden.

Mit **Kat. 727** begegnet in der AG Phase IIIb erstmals eine orientalisierende Kanne nordionischer Tradition. Das kleine Schulterfragment zeigt den tongrundigen Ansatz des Schulterbildfeldes im Anschluss an das dunkel gefirnisste linke Henkelfeld; vom ebenfalls mit Überzug versehenen Halsansatz ragen zwei kurze und schmale Zungen in das Bildfeld hinein. Vergleichbare Zungen, einzeln oder meist in Dreiergruppen angeordnet, gehören zu dem typischen Repertoire

⁵⁵⁹ Zu den Gürtelbandkannen vgl. Kerschner – Schlotzhauer 2005, 44 Abb. 35–39; Kerschner – Schlotzhauer 2007, 312.

⁵⁶⁰ Die englische Literatur spricht hier von den »squat oinochoai«. Speziell mit dieser Gefäßgruppe hat sich Aytacılar 2006 auseinandergesetzt.

⁵⁶¹ Vgl. beispielsweise Walter-Karydi 1973, 142 Nr. 877 Taf. 105.

⁵⁶² Vgl. dazu Ploug 1973, 59 Nr. 171. 172 Taf. 9. 10; Walter-Karydi 1973, 142 f. Nr. 879. 895. 899. 901 Taf. 108. 111; Gjerstad 1977b, 35 Nr. 161 Taf. 17; Thalmann 1977, 78 Nr. 129. 132 Taf. 13; Akurgal 2002, 109 Nr. 71 Abb. 38.

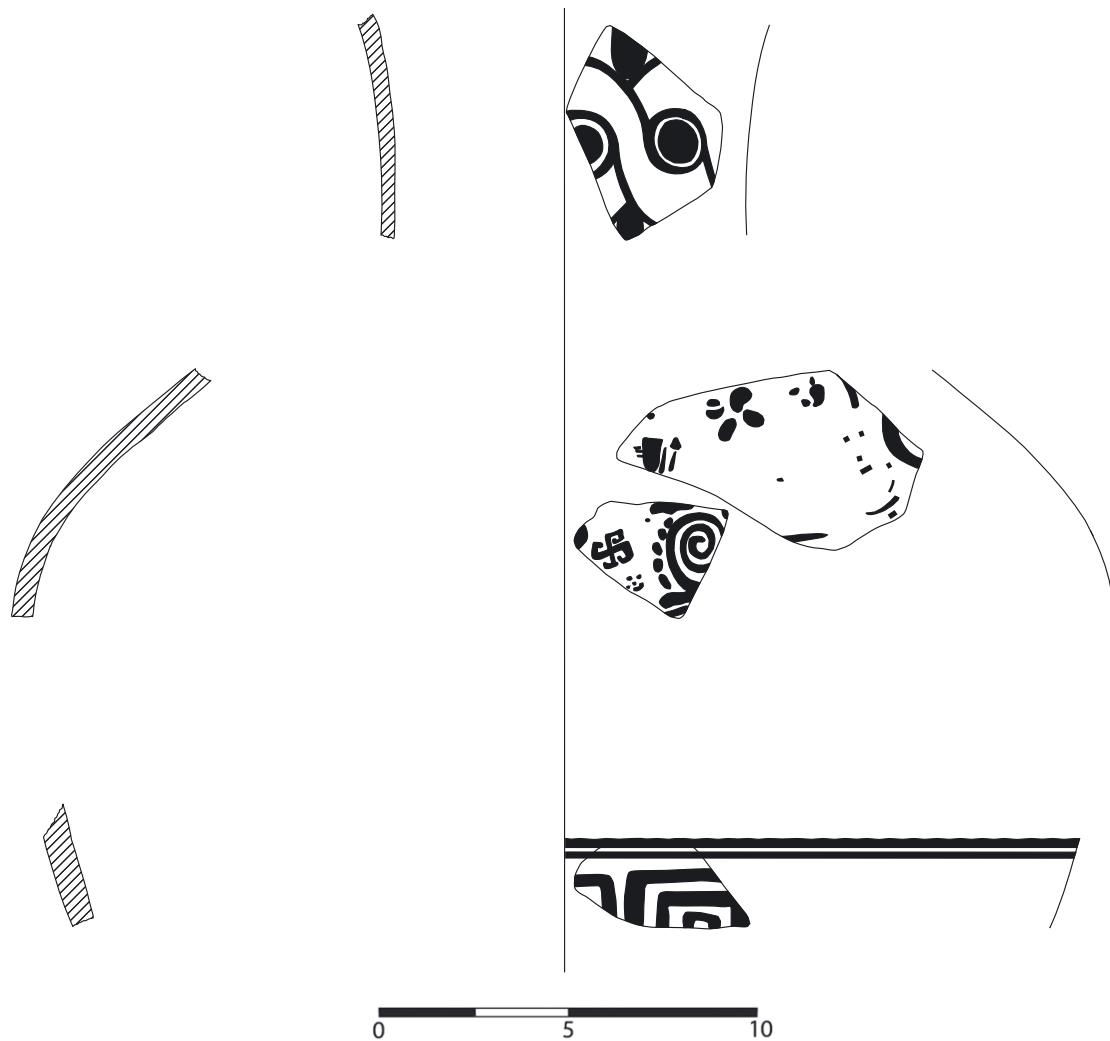


Abb. 22 Gürtelbandkanne AG 87/140.10

der Füllornamentik nordionischer Tierfrieskeramik⁵⁶³. Die nordionischen Tierfrieskannen sind alle bereits der Variante mit gestrecktem Gefäßkörper und Kleeblattmündung zugehörig und werden zwischen dem ausgehenden 7. und dem beginnenden 6. Jahrhundert eingeordnet (NiA Id). Bei **Kat. 727** scheint der Übergang vom Hals in die Schulter von einem einfachen Firnisband und nicht von einem Zungenfries begleitet zu sein. Beide Varianten sind sowohl für figürlich dekorierte als auch rein ornamentale Gürtelbandkannen belegt. Die Halszone der nordionischen Kannen ist ebenso wie jene der südionischen Gefäße häufig mit einem Flechtband versehen. Mit **AG 87/140.10** (Abb. 22) aus den hellenistischen Planierschichten ist diese Gestaltungsweise indessen auch für eine Gürtelbandkanne gegeben⁵⁶⁴.

AG 87/137.1 (Abb. 23) zeigt eine zweite weit verbreitete Variante nordionischer Kleeblattkannen⁵⁶⁵, bei denen oberhalb des mit einem offenen Flechtband geschmückten Halses eine dunkel

⁵⁶³ Vgl. etwa Lambrino 1938, 249 Nr. 8 Abb. 214; Walter-Karydi 1973, 142 Nr. 881. 882 Taf. 106; Nr. 889 Taf. 107; Alexandrescu 1978, 37 Nr. 3. 4 Taf. 1.

⁵⁶⁴ Vgl. dazu etwa Boehlau 1898, 80 Nr. 3 Abb. 34 (Mäanderband); Dugas 1928, 38 f. Nr. 59. 60 Taf. 12; Dugas 1935, 58 f. Nr. 5–11 Taf. 39; Walter-Karydi 1973, 143 Nr. 895 Taf. 111; Alexandrescu 1978, 38 Nr. 16 Taf. 2; Cook – Dupont 1998, 55 Abb. 8, 20; Posamentir – Solovyov 2006, 122 Abb. 25.

⁵⁶⁵ s. dazu Lambrino 1938, 249 Nr. 9 Abb. 215. 216; Hanfmann 1963, 310 Nr. 1472 Taf. 99; Walter-Karydi 1973, 142 Nr. 882 Taf. 106; Alexandrescu 1978, 40 f. Nr. 50 Taf. 5; Ersoy 1993, 78 f. Nr. 603 Taf. 59; Pautasso 2008, 89 Nr. 30.

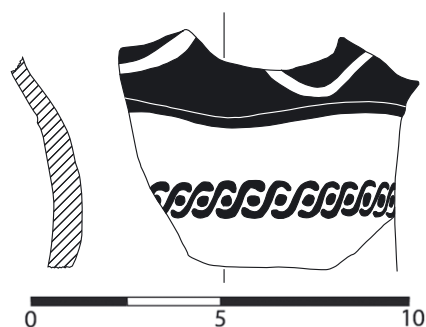


Abb. 23 Kleeblattkanne AG 87/137.1

gefirnisste Randzone folgt. Auf diese sind mit Deckweiß stilisierte Augen aufgemalt, sodass sich aus der Kombination der geschwungenen Mündung gemeinsam mit dem Augenmotiv der Eindruck eines Vogelgesichts ergibt. A. Pautasso hat zuletzt den engen Zusammenhang dieser nordionischen Kannen mit korinthischen Gefäßen betont⁵⁶⁶.

Die Kleeblattkanne **Kat. 1176** zeigt im erhaltenen Randbereich unterhalb des Lippenbandes ein vegetables Motiv, das seine engsten Parallelen in den Blattvoluten findet, welche auf nordionischen Tierfrieskannen vornehmlich im Nahbereich der Henkelansätze auftreten⁵⁶⁷

und damit möglicherweise auch **Kat. 1176** in der Nähe des nicht mehr erhaltenen Henkelansatzes positionieren.

Kat. 1177 zeigt eine weitere nordionische Kanne, deren untere Begrenzung des Schulterbildfeldes mit einem aufgesetzten Reifen in Deckrot akzentuiert wird. Das Füllmotiv der klecksigen Punktrossette ist in dieser Form für südionische und milesische Gefäße nicht belegt.

Kat. 1175 weist wie die südionische Kanne **Kat. 880** einen Strahlenkranz im unteren Dekorfeld auf. Die spezielle Morphologie des Bodenfragments mit dem kantig abgesetzten Standring mit annähernd quadratischem Querschnitt findet vor allem bei nordionischen Gefäßen eine gute Entsprechung⁵⁶⁸. Auch scheint die Praxis, die Strahlen direkt an der den Standring bedeckenden Firniszone anzusetzen, ohne Reifen dazwischenzuschieben (z. B. **Kat. 880. Kat. 1823**), eine – wenn auch nicht ausschließliche – Vorliebe vor allem der nordionischen Werkstätten zu sein⁵⁶⁹.

Kat. 1162 ist einer kleinen Olpe ebenfalls nordionischer Tierfriesproduktion zugehörig und in Analogie zu besser erhaltenen Beispielen wahrscheinlich mit einer Kleeblatmmündung zu ergänzen; die Gesamtproportionen entsprechen jenen korinthischer Olpen⁵⁷⁰. Es hat sich ein Ausschnitt des nach unten hin von drei umlaufenden Reifen begrenzten Schulterbildfeldes erhalten, welches mit dem typischen hellen Überzug grundiert ist. Der figürliche Fries zeigt ein nach links gewandtes Tier, wahrscheinlich einen Steinbock oder Damhirsch, mit ausgespartem Bauchfell, wie es in der südionischen Tierfrieskeramik in der Phase SiA Id üblich wird; die Tierdarstellung war wahrscheinlich als mittiges Bild gegenüber dem Henkel zwischen zwei rahmenden Strahlenornamenten eingebettet. Die durch den nach hinten geworfenen Hinterlauf angegebene Laufbewegung ist in der zeitgleichen südionischen Tradition bereits zugunsten ruhig schreitender Tierreihen aufgegeben. Als Füllornament kommt wie auf südionischen Gefäßen das Mäanderkreuz vor; die eingedrehte Doppelspirale unter dem Tierkörper ist indes ein für die nordionische Tierfriesmalerei typisches Ornament⁵⁷¹.

1.B.3.5.2g Nordionisch-schwarzfigurige Kannen

Die Kannen gehören mit zu den ersten Gefäßen, für welche am Ende des 7. Jahrhunderts die neue, aus Korinth übernommene, schwarzfigurige Gefäßmalerei verwendet wird. Bei den ersten

⁵⁶⁶ Vgl. Pautasso 2008, 89. Der Versuch, dem Kannenkörper selbst zoomorphe Züge zu verleihen, ist darüber hinaus auch von den milesischen Vogelkannen der Fikelluraware bekannt. Vgl. etwa Coulié 2014, 149–151 Nr. 33.

⁵⁶⁷ Dazu Walter-Karydi 1973, 85–87 Abb. 160. 161; 143 Nr. 891. 893 Taf. 107; Nr. 895 Taf. 111; Thalmann 1977, 77 Nr. 117 Taf. 13; 78 Nr. 136 Taf. 14; Kerschner 2002e, 74 Abb. 73.

⁵⁶⁸ Vgl. beispielsweise Thalmann 1977, 78 Nr. 135 Abb. 4 Taf. 12.

⁵⁶⁹ Der Überblick orientalisierender Kannen aus Milet zeigt demgegenüber meist ein bis zwei ausgesparte Bänder zwischen dem gefirnissten Fuß und dem Strahlenkranz. Vgl. dazu Käufler 2006, Taf. 44. 52–54.

⁵⁷⁰ Vgl. Walter-Karydi 1973, 78. 143 Nr. 914 Taf. 111. Zu den korinthischen Olpen vgl. etwa Weinberg 1943, 48 Nr. 167 Taf. 23; Amyx – Lawrence 1975, 142 Nr. 219 Taf. 57.

⁵⁷¹ Vgl. dazu schon Walter-Karydi 1973, 86. Vgl. außerdem Akurgal 2002, 109 Nr. 72 Abb. 39 Taf. 6; Kerschner 2002e, 74.

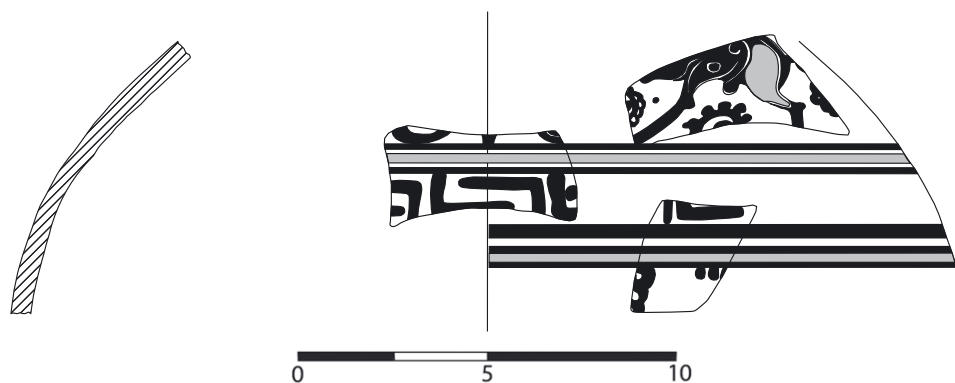


Abb. 24 Kanne AG 87/139.14

nordionischen Produkten wird die innovative Technologie zunächst noch mit der lokalen Dekortradition kombiniert. Die enge Anbindung an den nordionischen Tierfries der Stufe NiA Id/LWG (610–570 v. Chr.) drückt sich dabei nicht nur in der inhaltlichen und motivischen Nähe zu den Dekorsystemen der Tierfriese aus, sondern auch in dem Nebeneinander beider Techniken, der althergebrachten ostionischen Ausparungstechnik und der innovativen schwarzfigurigen Technik, auf Gefäßformen, die zu den bevorzugten in der nordionischen Tierfriesproduktion gehören wie etwa die Kalottenschalen (s. o. Kap. 1.B.3.1.4d), die Kratere (s. o. Kap. 1.B.3.2.4) oder die Kannen. Letztere gehören in der Entwicklung der ostionischen Malerei immer mit zu den frühesten Trägern einer neuen Ausprägung und übernehmen so als Bilinguen auch die schwarzfigurige Malerei, wobei der traditionelle Tierfries in die sekundäre Dekorzone am Gefäßbauch rückt, während der schwarzfigurige Fries mit seinen bevorzugten Bildelementen wie Greifen, Sphingen, Vögel und Raubkatzen die Hauptdekorzone an der Gefäßschulter einnimmt. Ein für diese Übergangsstufe exemplarisches Gefäß ist mit der Kanne **AG 87/139.14** (Abb. 24) aus den hellenistischen Niveaus unter der Tetragonos Agora gegeben⁵⁷².

Das Schulterfragment **Kat. 1180** einer großen Kanne gehört gemeinsam mit dem Krater **Kat. 1034** der frühesten Entwicklungsstufe nordionisch-schwarzfiguriger Malerei an, deren deutlichste Kennzeichen, die auch bei kleinen Gefäßfragmenten nachvollzogen werden können, in dem aus der ostgriechischen Tierfriesmalerei übernommenen, hellen Gefäßüberzug und in der deutlichen Anlehnung an korinthische Vorbilder gegeben sind. Die vierteilige Klecksrosette zitiert als Füllmotiv die korinthische Gefäßproduktion, unter deren Eindruck auch die Sirene als neues Bildmotiv den in der ostgriechischen Vasenmalerei verbreiteten Greifen als beliebtes Mischwesen zunehmend ablöst.

1.B.3.6 VORRATS- UND TRANSPORTGEFÄSSE

1.B.3.6.1 Amphoren der Feinkeramik

Wenige Gefäße aus den archaischen Siedlungsbefunden sind ihrer Form nach zwar den Transport- und Vorratsgefäßen beigeordnet, in ihrer malerischen Ausgestaltung stehen sie jedoch den repräsentativen feinkeramischen Kannen nahe, deren Wert über die rein praktische Funktionalität hinausgegangen sein dürfte. Die Amphoren der Feinkeramik sind aufgrund ihrer Dimensionen und ihres Dekors als Tafelamphoren anzusprechen.

⁵⁷² Das Gefäß wurde bereits bei Kerschner u. a. 2000, 49 Abb. 18 publiziert.

1.B.3.6.1a Borysthene-Amphoren

Die Wandfragmente **Kat. 1178** und **Kat. 1179** repräsentieren eine typische Variante nordionischer Tierfriesamphoren, für die M. Kerschner unlängst die Bezeichnung »Borysthene-Amphoren« vorgeschlagen hat⁵⁷³. Der ovoide Gefäßbauch der zu ergänzenden Ganzform ruht auf einem niedrigen Standring, der Schulter-Bauch-Umbruch wird von zwei breiten Firnisbändern betont, über denen ein schmaler Reifen die untere Begrenzung des Schulterbildfeldes darstellt. In diesem ist zwischen den beiden Henkelansätzen ein in einer ausfallenden Vorwärtsbewegung begriffener Steinbock mit rückwärts gewandtem Kopf (**Kat. 1178**) abgebildet. Der Dynamik der intentionierten Bewegung wird wie bei den südionischen Jagdszenen der SiA Ib- und SiA Ic-Kannen durch die Angabe von nur je einem Vorder- und Hinterlauf Rechnung getragen, die jedoch soweit abgelenkt werden, dass die Bauchkontur mit dem ausgesparten Bauchfell schräg nach unten geneigt ist (**Kat. 1179**). Mit den drei breiten Klecksen (**Kat. 1179**) und dem im Ansatz erkennbaren hakenförmigen Strahl (**Kat. 1178**), welche von den Friesbegrenzungen in das Bildfeld hineinreichen, haben sich typische Füllmotive der späten nordionischen Tierfriesmalerei erhalten. Zu ergänzen sind für beide Amphoren ein breiter, zylindrischer Hals mit Flechtband (z. B. **Kat. 2092**) und eine runde Mündung mit kantig abgesetzter Randplatte.

1.B.3.6.1b Fikellura-Amphoren

Der Vertikalhenkel **Kat. 1181** mit den drei Faszien und seiner dicken Strichzier an der Außenseite der einzelnen Stäbe ist indes sowohl für orientalisierende Amphoren der Stilstufe SiA Id/NiA Id als auch für Fikellura-Amphoren denkbar. Die grundsätzlich geringe Anzahl sicherer Fikelluragefäße in ephesischen Befunden macht eine Ansprache als Tierfriesamphore vielleicht insgesamt wahrscheinlicher, aber vereinzelte Fikellurafragmente sind aus nacharchaischen Befunden von der Tetragonos Agora dennoch gegeben.

Mit dem Halsfragment **AG 92/145.1** (Abb. 25), dem Schulterfragment **AG 93/071.1** (Abb. 26) und dem Bauchfragment **AG 90/065.9** (Abb. 27) sind in den hellenistischen Planierschichten unter der Tetragonos Agora drei Gruppen von Fikellura-Amphoren vertreten. Am Hals umlaufende, flüchtig gezeichnete Mäanderkreuzbänder (**AG 92/145.1** Abb. 25) sind typisch für die mit Volutenfriesen geschmückten Amphoren, die R. M. Cook in den Dekorgruppen O (»Volute Free Group«) und P (»Volute Zone Group«) zusammengefasst hat und die nach jüngsten Ergebnissen zwischen dem letzten Drittel des 6. und dem ersten Viertel des 5. Jahrhunderts eingeordnet werden dürften⁵⁷⁴. Daneben ist der Dekor auch für Amphoriskoi belegt⁵⁷⁵.

Die Gestaltung der Schulterzone mit hängenden Lotusknospen (**AG 93/071.1** Abb. 26) ist besonders für Amphoren nach R. M. Cooks Dekorgruppen C (»Group of B.M. B 117«), J (»Altenburg Group«) und N (»New York Group«) aus dem dritten Viertel des 6. Jahrhunderts denkbar⁵⁷⁶, wobei die stilistische Ausführung der schmalen Lotusknospen mit konkav einziehenden Konturen insbesondere bei Gefäßen der Dekorgruppe N Parallelen findet⁵⁷⁷.

Von Leiterbändern gerahmte Sichelfriese wie bei **AG 90/065.9** (Abb. 27) sind hingegen am Unterbauch von Amphoren besonders der Dekorgruppen B (»Group of B.M. B 119«), D (»Tar-

⁵⁷³ s. Kerschner 2006b, 137–139 Abb. 7. Als Beispiel für eine Ganzform vgl. Walter-Karydi 1973, 144 Nr. 929 Taf. 113; vgl. außerdem Posamentir – Solovyov 2006, 119 f. Abb. 21; Posamentir – Solovyov 2007, 184 f. Abb. 1 a. Zu dem Bildmotiv s. auch Akurgal 2002, 109 Nr. 72 Abb. 39 Taf. 6; Kerschner 2002e, 82. Vgl. auch Pautasso 2008, 103 Nr. 39.

⁵⁷⁴ Zu den Dekorgruppen vgl. Cook 1933/1934, 29–33. Zu der dort vorgeschlagenen Datierung äußerte sich kritisch Schaus 1986, 284–288. Zuletzt hat Waschek 2008, 51–58 die Chronologie der Fikellura-Amphoren auf Basis eines Gefäßdepots am Kalabaktepe in Milet diskutiert. Vgl. außerdem Walter-Karydi 1973, 133 Nr. 545–547 Taf. 70; Coulié 2014, 148–161 Nr. 37 und Nr. 38.

⁵⁷⁵ Zu einem entsprechenden Amphoriskos der Dekorgruppe Y vgl. Cook 1933/1934, 48 f. Nr. 13. 22 Taf. 15 b. s. auch Walter-Karydi 1973, Nr. 557 Taf. 71; Coulié 2014, 162 f. Nr. 39 und Nr. 40.

⁵⁷⁶ Vgl. Cook 1933/1934, 8 f. 15–18. 26–29. s. auch Schaus 1986, 287; Waschek 2008, 53 Abb. 6; 56.

⁵⁷⁷ s. Waschek 2008, 53 Abb. 6.

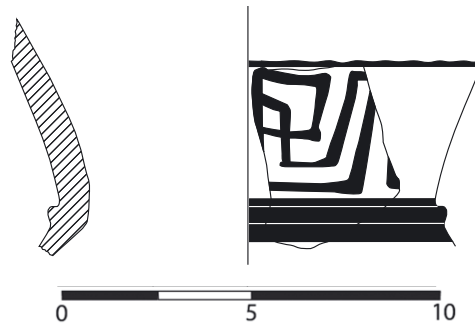


Abb. 25 Fikellura-Amphore AG 92/145.1

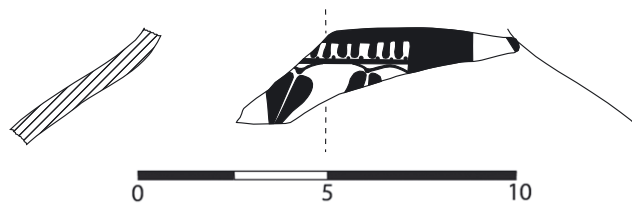


Abb. 26 Fikellura-Amphore AG 93/071.1

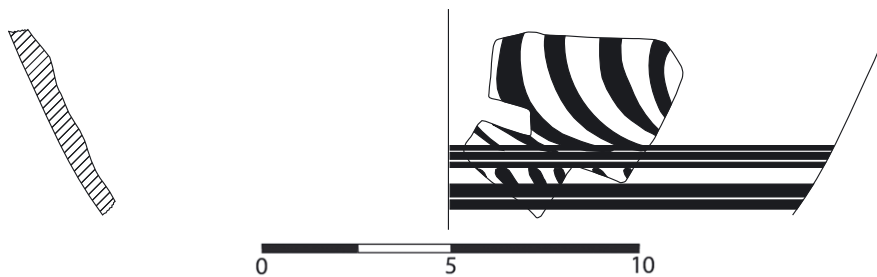


Abb. 27 Fikellura-Amphore AG 90/065.9

quinia Group<), J (>Altenburg Group<), M (>Würzburg Group<), P (>Volute Zone group<) und PP (>Berezan Volute Group<) seit dem mittleren 6. Jahrhundert zu erwarten⁵⁷⁸.

1.B.3.6.2 Schulterhenkelamphoren

Mit **Kat. 1562** liegt ein geschlossenes Gefäß vor, dessen Morphologie mit der hohen, konisch einziehenden Schulter und dem direkt daran ansetzenden keilförmigen Rand mit der geraden Oberkante an die aus dem Brunnen G im Heraion von Samos publizierte Schulterhenkelamphoren⁵⁷⁹ erinnert. Auch der Dekor aus am Gefäß umlaufenden Reifen und Wellenband findet bei diesen Gefäßen eine Parallele; indes ist das Wellenband bei **Kat. 1562** nach oben bis knapp unter den Rand gerutscht, wohingegen die samischen Schulterhenkelamphoren über eine breite

⁵⁷⁸ s. hierzu Cook 1933/1934, 5. 8–10. 15–18. 24–26. 30–35. Vgl. auch Schaus 1986, 264–267; Waschek 2008, 51–57 Abb. 3. 5. 8.

⁵⁷⁹ Vgl. Walter – Vierneisel 1959, 19 f. Beil. 42, 1. 2. s. außerdem Furtwängler – Kienast 1989, Nr. 22 Abb. 32 (Brunnen W 2). In Anlehnung daran spricht Kerschner 2008a, 70 f. Nr. 58 Taf. 16. 33 ein vergleichbares, wenn auch wesentlich schlanker proportioniertes Gefäß aus Ephesos ebenfalls als Schulterhenkelamphore an.

gefirnisste Zone unterhalb des Randes verfügen. Der grundsätzlich hellere Gesamteindruck von **Kat. 1562** ist mit einer späteren Datierung erst im fortgeschrittenen 7. Jahrhundert zu erklären, die auch über die Fundsituation in der AG Phase IV schlüssig argumentierbar ist. Die Zugehörigkeit zu einer Kanne ist dabei nicht vollständig ausgeschlossen, sind doch sowohl die beutelförmige Kontur als auch das Dekorrepertoire von **Kat. 1562** für Kannen gleichfalls hinlänglich nachgewiesen, und bleiben umgekehrt die eindeutigen Indikatoren der Schulterhenkelamphoren, nämlich die namensgebenden Schulterhenkel, aufgrund des Erhaltungszustands nicht verifizierbar. Die spezielle Randmorphologie ist aber ein starkes Argument für die Ansprache von **Kat. 1562** als Schulterhenkelamphore, die auch für das schlankere Gefäß **Kat. 1473** in Frage kommt. **Kat. 1269** zeigt einen weiterentwickelten Typ der Schulterhenkelamphoren mit nunmehr zylindrischem Hals und keilförmig verdicktem Rand, der über ein Vergleichsbeispiel aus dem Brunnen W 2 des samischen Heraions im beginnenden 6. Jahrhundert einzuordnen sein wird⁵⁸⁰.

1.B.3.6.3 Haushaltsamphoren/Hydrien

Mit den bemalten Amphoren und Hydrien begegnen in den archaischen Siedlungsbefunden in Ephesos zwei Gefäßgruppen, deren funktionale Verwandtschaft auch in ihrer Formgebung Ausdruck findet. Beide Gefäße dienten dem Transport und der Aufbewahrung von Lebensmitteln, aber auch von anderen Gütern, wobei die Hydrien in erster Linie als Behältnisse für Trinkwasser bestimmt waren⁵⁸¹, während Amphoren vielseitiger eingesetzt wurden⁵⁸². Die Hydrien entsprechen in ihrer Formgebung grundsätzlich den Amphoren und unterscheiden sich von diesen in erster Linie durch die Anzahl und die Form der Henkel. Während Amphoren über zwei vertikale Bandhenkel verfügen, welche vom Hals auf die Schulter geführt sind, zeichnen sich Hydrien durch nur einen vertikalen Bandhenkel aus, der von zwei antithetischen horizontalen Stabhenkeln am Oberbauch des Gefäßes begleitet wird⁵⁸³. Neben diesen formalen Merkmalen werden, sofern diese am Fragment nicht verifizierbar sind, dekorative Elemente der Gefäßbemalung zu Hilfe genommen, um Amphoren von Hydrien zu unterscheiden. Diese Herangehensweise birgt jedoch gerade im Falle mit einfachen Bändern und Reifen verzierter Rand-, Wand- und Bodenfragmente die Gefahr, diese zu Unrecht als Hydrien anzusprechen, konnte I. Bîrzescu doch kürzlich überzeugend darlegen, dass zumindest in Milet im 7. und 6. Jahrhundert auch Amphoren zusätzlich zu einem Überzug mit Bändern und Reifen am Hals mit einem flachem Wellenband versehen werden⁵⁸⁴, während kurvilinearere Dekor an Schulter und Bauch in Form von Kreisen und Halbkreisen, Wellenbändern und S-Schlaufen tatsächlich den Hydrien vorbehalten bleibt. Diese Dekorelemente werden daher zu einem positiven Kriterium für eine Ansprache als Hydria, während dort, wo eine eindeutige Unterscheidung von Hydria und Amphore nicht vorgenommen werden kann, der Bezeichnung Haushaltsamphore/Hydria der Vorzug gegeben sein soll⁵⁸⁵. Der von I. Bîrzescu für die bemalten milesischen Amphoren eingeführte Terminus der ›Reifenamphore‹⁵⁸⁶ wird deshalb nicht als Überbegriff übernommen, da sich in den archaischen Siedlungsbefunden in Ephesos auch kleinerformatige Amphoren finden, die in Form und

⁵⁸⁰ Vgl. Furtwängler – Kienast 1989, 73–80. 148 Nr. 22 Abb. 32.

⁵⁸¹ Eine differenzierte Diskussion der Hydrien und ihrer Verwendung und Funktion liegt bei Trinkl 2009 vor.

⁵⁸² Dazu zusammenfassend Kerschner – Mommsen 2005, 127–129 und Kalaitzoglou 2008, 215 f. mit weiterführender Lit.

⁵⁸³ Zu der Unterscheidung von Hydrien und Amphoren vgl. auch Kalaitzoglou 2008, 216–220.

⁵⁸⁴ s. Bîrzescu 2009; Bîrzescu 2012a, 141 f. Vgl. auch Naso 2005, 79–82 Nr. 3 Abb. 2; Nr. 7 Abb. 3; Kerschner – Mommsen 2005, 120. 122 Abb. 9. 11. Ähnlich stellt sich die Situation für die Amphoren und Hydrien samischen Typs dar. Dazu Isler 1978a, Abb. 44–50 Taf. 40–42; Isler 1978b, 162 Nr. 626–629 Beil. 22.

⁵⁸⁵ Die von Kalaitzoglou 2008, 218–220 herausgearbeiteten formalen Unterscheidungskriterien lassen sich kaum auf die Gefäßfragmente aus den archaischen Siedlungsbefunden in Ephesos anwenden, da deren Erhaltungszustand selten ausreichend ist, um definitive Aussagen zu den Gesamtproportionen zu treffen.

⁵⁸⁶ Bîrzescu 2009, 121. Diese werden bei Bîrzescu 2012a, 141 f. (Typus 5 und Typus 6) als bemalte Varianten der milesischen Transportamphoren, nicht als Tafelamphoren verstanden.

Dekor nicht den Reifenamphoren entsprechen, die aufgrund ihrer Dimensionen aber umgekehrt auch nicht den Transportamphoren zuzurechnen sind. Mit der Bezeichnung ›Haushaltsamphore‹ ist indes ein weiter greifender Terminus gegeben, unter dem auch tendenziell kleinformatige Amphoren⁵⁸⁷ mit unterschiedlichen Dekorsystemen, inklusive jenem der milesischen Reifenamphoren, zusammengefasst werden können, und der somit dem Keramikspektrum in Ephesos eher gerecht wird. Der Begriff ›Haushaltsamphore‹ impliziert in diesem Fall nicht zwingend die Verwendung der Gefäße als Tafelgeschirr, wie sie für die feinkeramischen Amphoren zu gelten hat (s. o. Kap. 1.B.3.6.1), sondern trägt dem nicht rein funktionalen, sondern auch dekorativen Anspruch Rechnung, den die Gefäße mit vielen archaischen Alltagswaren gemeinsam haben.

Daneben gibt es mit den klazomenischen und den chiotischen Amphoren zwei bedeutende Gruppen archaischer Handels- und Transportamphoren, deren Bemalung ein konstituierendes Typenmerkmal darstellt.

1.B.3.6.3a Hydrien

Die Fragmente, welche aufgrund ihres Dekors eindeutig als Hydrien anzusprechen sind, lassen sich zu Gefäßen mit unterschiedlichen Dekorsystemen ergänzen.

1.B.3.6.3aa Subgeometrische Hydrien

Die Hydrien mit mehrteiligen Kreisen oder Dreiviertelkreisen auf der Schulter gehören zu den typologisch ältesten Gefäßen aus den archaischen Siedlungsbefunden mit noch deutlichen Bezügen zu protogeometrischen und geometrischen Traditionen. Der mit einem Kammzirkel aufgebraute Dekor ist bezeichnend für die subgeometrische Keramikproduktion der Ostägäis und datiert die Hydrien zwischen dem späteren 8. und dem mittleren 7. Jahrhundert⁵⁸⁸.

Das dünnwandige Schulterfragment **Kat. 22** gehörte wahrscheinlich demselben Gefäß wie **Kat. 23** an. Der unregelmäßige Brand, welchem die Hydria ausgesetzt war, wirkte sich unterschiedlich auf Oberfläche und Scherben aus, weshalb auf rein optischer Basis die Zusammengehörigkeit der beiden Fragmente nicht eindeutig wird; Dekor, Wandstärke und innere Gefäßoberfläche untermauern hingegen die Annahme. Der Gefäßbauch der dünnwandigen Hydria ist mit einem flächigen Überzug versehen, in dem unterschiedlich breite, tongrundige Reifen ausgespart bleiben – ein Dekorsystem, das bereits von den geometrischen und den mit diesen verwandten dunkelgrundigen Kannen bekannt ist. Vom ebenfalls ausgesparten Schulterbildfeld haben sich auf **Kat. 22** die unteren Enden dreier konzentrischer Dreiviertelkreise erhalten, die in den gebänderten Schulter-Bauch-Umbruch übergreifen. Die geringe Anzahl der mit dem Kammzirkel gezogenen Dreiviertelkreise macht dabei eine Kombination aus mehreren Kreisbündeln wahrscheinlich, wie sie von einer weiteren Hydria aus Ephesos bereits publiziert und in ähnlicher Form auch aus Samos, Chios und Assesos bekannt ist⁵⁸⁹. Dieses Dekorsystem findet noch keine Vorbilder bei protogeometrischen Gefäßen und scheint daher eine Innovation spät- bis subgeometrischer Vasenmaler darzustellen⁵⁹⁰.

Kat. 1696 weist ein vergleichbares Dekorsystem auf, doch finden sich hier anstelle der Dreiviertelkreise konzentrisch geschlossene Kreise. Bei **Kat. 24** schließt an den mit drei vertikalen Streifen gestalteten Bandhenkel (vgl. auch **Kat. 2026**) ein mit dem Kammzirkel gezogener, achteiliger Halbkreis an. Mehrteilige Halbkreise gehören wiederum seit protogeometrischer Zeit zu dem bevorzugten Dekorrepertoire und finden sich etwa besonders prominent in hän-

⁵⁸⁷ Zu den Größenunterschieden s. Naso 2005, 75 f.; Bîrzescu 2009, 121.

⁵⁸⁸ Vgl. zur Chronologie auch die kritische Stellungnahme bei Schlotzhauer 2010, 259 f. 271.

⁵⁸⁹ Vgl. zu Ephesos Kerschner 2008a, 51 f. 70 Nr. 57 Taf. 16. 33. Zu Samos vgl. Technau 1929, Nr. 6. 7 Beil. 4; zu Chios s. Boardman 1967, 139 Nr. 500 Taf. 45 (Phase I); zu Assesos s. Kalaitzoglou 2008, 225 f. 421 Taf. 130.

⁵⁹⁰ Zu den entsprechend datierten Gefäßen auf Samos s. Walter – Vierneisel 1959, 21 Beil. 46, 1. 2 (Brunnen G); für Chios s. Boardman 1967, 138 Nr. 483 Taf. 43; 139 Nr. 500 Taf. 45 (Phase I).

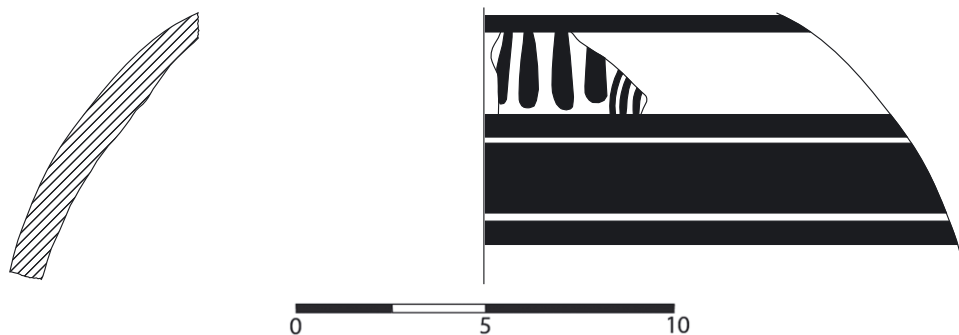


Abb. 28 Hydria AG 90/047.1

gender Form auf euböischen Trinkgefäßen⁵⁹¹. Von geschlossenen Gefäßen geometrischer Zeit ist das Motiv in stehender Form ebenfalls hinlänglich bekannt⁵⁹², wobei sich die nebeneinander gereihten Halbkreise ähnlich wie bei den protogeometrischen Skyphoi häufig überschneiden und direkt an die Begrenzungslinie der Dekorzone anstoßen. Aus einem nacharchaischen Befund von der Tetragonos Agora ist mit **AG 90/047.1** (Abb. 28) auch in Ephesos ein geschlossenes Gefäß möglicherweise milesischer Provenienz gegeben, bei dem die stehenden Halbkreise mit in das Bildfeld hängenden Zungen kombiniert sind; das Dekorsystem ist von spätgeometrischen Bauchhenkelamphoren bekannt⁵⁹³.

Frei im Bildfeld hängende Halbkreise wie bei **Kat. 24** sind indes ungewöhnlich. Bei den kleinen Fragmenten **Kat. 256**, **Kat. 292** und **Kat. 293**, **Kat. 512**, **Kat. 692**, **Kat. 937** und **Kat. 1624** zeichnen sich regelmäßig gezogene, mehrteilige konzentrische Kreise als Schulterdekor ab. Die etwas besser erhaltene Hydria **Kat. 294** zeigt drei am kantigen Schulter-Bauch-Umbruch umlaufende Firnisbänder und darüber einen mit dem Kammzirkel gezogenen, mehrteiligen Kreis, dessen innerstes Kreissegment im Verhältnis zu den äußeren vier stark verdickt ist. Bei **Kat. 559** ist der mehrteilige konzentrische Kreis an der Gefäßschulter durch zusätzlich mit Deckweiß auf den drei äußeren Kreissegmenten aufgetragene Punktreihen geschmückt und das breite Firnisband, welches die Schulterzone nach unten hin begrenzt, wird von einem unregelmäßig gezogenen Deckweißreifen akzentuiert. Die Kombination von Kreisen und in Deckweiß aufgesetzten Punktreihen ist bislang nur von einem Kraterfragment aus Samos belegt⁵⁹⁴, bei einem zweiten Krater aus Samos sind Punktreihen in einfachem Firnisauftrag zwischen die konzentrischen Kreise eingeschrieben⁵⁹⁵; die Kombination von gemeinsam vorkommenden konzentrischen Kreisen und Punkten ist anhand eines Stücks aus Chios auch für Hydrien bereits belegt⁵⁹⁶. Ein aus Sardeis publiziertes Großgefäß mit in Deckweiß aufgesetzten Punkten am Schulterdekor wird als lokales lydisches Produkt angesprochen⁵⁹⁷. Mit der dickwandigen Kotyle **Kat. 700** liegt aus den ephesischen Siedlungsbefunden indes ein zweites geometrisches Gefäß vor, in dessen Dekorsystem mit in Deckweiß aufgesetzte Punkte eine Rolle spielen, und dessen Fabrikat mit jenem von **Kat. 559** unmittelbar vergleichbar ist, sodass hier möglicherweise vom Typikum einer Werkstatt

⁵⁹¹ Eine umfassende Studie zu der Gefäßform liegt bei Kearsley 1989 vor. Vgl. auch Coldstream 1968, 153 Taf. 32 e. g. h.

⁵⁹² Vgl. Technau 1929, Nr. 6. 7 Beil. 4; Walter 1968, 91 Nr. 13 Taf. 2; Boardman 1967, 138 Nr. 481–484 Taf. 43; Johnston 2000, 201 Nr. 24 Abb. 6; 203 Nr. 38 Abb. 10. 11.

⁵⁹³ Dazu Technau 1929, Nr. 6. 7 Beil. 4; Jacopi 1932/1933, 111–120 Abb. 133. 134 (Grab 36); 127 Abb. 144. 145 (Grab 43); 204 f. Abb. 244. 245; Boardman 1967, 138 Nr. 482 Taf. 43; Coldstream 1968, Taf. 68 e. g; Walter 1968, 107 Nr. 292 Taf. 49; von Graeve 1973/1974, 89 Nr. 2 Taf. 17; Cook – Dupont 1998, 13 Abb. 4, 1; Kerschner 2003b, Nr. 1 Taf. 40.

⁵⁹⁴ Furtwängler 1980, 204 Nr. 33 Taf. 45 (Phase I).

⁵⁹⁵ Walter 1968, 108 Nr. 293 Taf. 49.

⁵⁹⁶ Dazu Boardman 1967, 139 Nr. 492 Taf. 43 (Phase IV).

⁵⁹⁷ Dazu Ratté 2011, 107 Nr. 11; 233 Abb. 197 h.

auszugehen ist, die, auch im Hinblick auf die für Samos nachgewiesene Keramikproduktion nach lydischem Vorbild (s. u. Kap. 2.B.2.11.1), auf Samos zu lokalisieren sein könnte.

Mit sechs Gefäßfragmenten findet sich annähernd die Hälfte der Hydrien mit Kreisdekor schon in den Befunden der AG Phase II, zwei davon (**Kat. 22** und **Kat. 24**) stammen aus dem Bodenniveau von AZ 10, dessen vergesellschaftetes Material noch die Bauzeit des Gebäudes angibt. Drei weitere Fragmente (**Kat. 512**, **Kat. 559** und **Kat. 692**) sind in jenen Befunden vergesellschaftet, welche die Bauzeit der AG Phase III bezeichnen und sich daher vor allem aus dem Material der Vorgängerphase zusammensetzen. Damit findet die in Chios und Samos sich abzeichnende Einordnung von Gefäßen mit Kreisdekor noch im ausgehenden 8. und früheren 7. Jahrhundert auch in den archaischen Siedlungsbefunden von Ephesos eine klare Bestätigung. Interessant ist darüber hinaus, dass sich die Hydrien mit Halb- und Dreiviertelkreisdekor, sofern an den Fragmenten abzulesen, mit **Kat. 22** und **Kat. 24** auf die Bauhorizonte der AG Phase II beschränken und es sich daher bei ihnen um Motive handeln könnte, die mit dem zweiten Viertel des 7. Jahrhunderts ihr Ende fanden. Denn mit Ausnahme des Kraterständers **Kat. 364** sind sie bereits in den Zerstörungshorizonten der AG Phase II, welche jenes Material umfassen, das während der Lebensdauer der Gebäude dieser Siedlungsphase in Benützung war, im Gegensatz zu den hinreichend belegten Hydrien mit konzentrischem Kreisdekor nicht mehr vertreten.

Ebenfalls im Bereich der subgeometrischen Gefäße ist das Wandfragment **Kat. 213** vom Oberbauch einer großen, geschlossenen Form einzuordnen. Knapp unterhalb des größten Gefäßdurchmessers verläuft ein Fries mit einem offenen Flechtband, das untypischerweise sehr hoch angelegt ist und auf die üblicherweise zwischen den S-Haken eingefügten Punkte verzichtet. Vergleichbarer Dekor findet sich im 7. Jahrhundert in Einzelfällen auf verschiedenen Gefäßformen südionischer Produktion⁵⁹⁸, die Rahmung aus mehrteiligen Bündeln schmaler Reifen ist indes ein von den subgeometrischen und frühorientalisierenden Kannen gut bekanntes Charakteristikum. Die Gefäßproportion von **Kat. 213** scheint für eine frühe Hydria dagegen erstaunlich schlank, während sich ein Vergleich mit den schlanken subgeometrischen Amphoren aus Milet anbietet⁵⁹⁹. Das offene Flechtband ist für besagte Amphoren gerade für jene Zone am Gefäßkörper typisch, wo es sich auch bei **Kat. 213** befindet, und die vielen umlaufenden Reifen gehören zu dem üblichen Dekorrepertoire. Die individuelle Auslegung des offenen Flechtbandes ist freilich verwunderlich angesichts des Umstands, dass sich die bislang bekannten Beispiele dieser schlanken Amphoren durch ein kanonisches Dekorsystem auszeichnen, von dem es mit Ausnahme eines Gefäßes aus Assesos kaum Abweichungen gibt. Gerade das assesische Stück zeigt jedoch an der gleichen Stelle, an der bei **Kat. 213** das hohe, offene Flechtband umläuft, ein hohes Wellenband⁶⁰⁰, welches in seiner optischen Wirkung den hohen S-Haken von **Kat. 213** näher steht als das kanonische offene Flechtband spät- und subgeometrischer Ausprägung. Unter diesem Aspekt scheint das hohe, offene Flechtband eine motivische Vermittlerrolle zwischen dem offenen Flechtband spät- und subgeometrischer Tradition und den hohen Wellenbändern früharchaischer Zeit einzunehmen. Die Befundlage von **Kat. 213** in den Zerstörungshorizonten der AG Phase II umfasst dabei genau jenen Zeitraum, in dem sich dieser Übergang im Gefäßrepertoire ostgriechischer Keramikproduktion abspielte.

1.B.3.6.3ab Archaische Hydrien

Die meisten Hydrien aus den archaischen Siedlungsbefunden in Ephesos vereinen in ihren Dekorsystemen unterschiedlich ausgeführte Wellenbänder und umlaufende Reifen.

⁵⁹⁸ Vgl. Walter – Vierendeel 1959, 28 Beil. 63, 3 (Bothros); Furtwängler 1980, 202 Nr. 32 Abb. 14 (Phase I); Käuffer 2006, 195 Nr. 144 Taf. 7 (SiA Ia); Kalaitzoglou 2008, 418 Nr. 565 Taf. 126. Der Dekor ist auch in der protokorinthischen Gefäßproduktion beheimatet. Vgl. dazu beispielsweise Dunbabin 1962, 101 Nr. 922 Taf. 39.

⁵⁹⁹ Vgl. von Graeve 1975, 42 Nr. 1 Taf. 3, 4; Kleine 1979, 141 f. Nr. 9 Abb. 3, 4 Taf. 33; Wintermeyer 1980, 127 Nr. 22 Taf. 51; Kerschner 1999, 26 f. 45 Nr. 61–63 Abb. 14; Kalaitzoglou 2008, 224 f. 421 Nr. 595 Taf. 129.

⁶⁰⁰ Vgl. Kalaitzoglou 2008, 224 f. 421 Nr. 595 Taf. 129.

Mehrere Fragmente sind den samischen Wellenbandhydrien unmittelbar verwandt. Diese Hydrien finden in Samos in Befunden schon des frühen 7. Jahrhunderts enge Parallelen (Brunnen G) und reichen möglicherweise bis in das beginnende 6. Jahrhundert hinab⁶⁰¹. Kennzeichnend für die samischen Wellenbandhydrien sind eine wulstige Rundstabilippe und ein hoher, leicht trichterförmig ausgestellter Hals. Die frühen Exemplare verfügen über eine kuppelförmig gerundete Schulterpartie und einen zum massiven Standring hin sich verjüngenden, gewölbten Gefäßkörper. Die hohen und eng gesetzten Wellenbänder am Hals von **Kat. 209–Kat. 212, Kat. 214, Kat. 291, Kat. 307, Kat. 384, Kat. 385, Kat. 848** und **Kat. 1623** sowie in der massiv gewölbten Bauchzone von **Kat. 386, Kat. 494, Kat. 1018** und **Kat. 1019** zeigen den namensgebenden Dekor dieser frühen Gefäße, der mit **Kat. 550, Kat. 756, Kat. 912, Kat. 1514, Kat. 1516** und **Kat. 1517** in den Horizonten der AG Phase III und den Bauhorizonten der AG Phase IV auch von Schüsseln bekannt ist⁶⁰². Parallel dazu treten jedoch schon erstmals weiter angelegte, flachere und weich gezeichnete Wellenbänder auf (**Kat. 84, Kat. 85, Kat. 109**), die sich zum Ansatz des horizontalen Henkels hin spiralförmig eindrehen (**Kat. 62, Kat. 481, Kat. 884, Kat. 1021, Kat. 1364**)⁶⁰³. **Kat. 110, Kat. 482, Kat. 717** und **Kat. 1825** weisen mit dem senkrecht vom Halsansatz über die Schulter hinab führenden Wellenband ein weiteres typisches Dekorelement auf, welches bei sehr frühen Vertretern der Gruppe an der Schulter eingefügte konzentrische Kreise rahmen kann⁶⁰⁴. Dies ist insofern interessant, als sowohl Hydrien mit konzentrischen Kreisen als auch solche mit Wellenbandzier bereits parallel in der AG Phase II vertreten sind. **Kat. 482, Kat. 717** und **Kat. 1825** geben mit ihrer steilen Schulterpartie dabei ein Entwicklungsstadium an, welches in Samos erstmals im Bothros und damit erst im letzten Viertel des 7. Jahrhunderts auftritt⁶⁰⁵. Die Gefäßkörper sind nun stärker ovoid denn bauchig ausgebildet und die eng gesetzten hohen Wellenbänder kommen nicht mehr vor. Die tendenzielle Nachzeitigkeit der flacheren Wellenbänder kommt in den archaischen Siedlungsbefunden durchaus zum Ausdruck, treten sie doch erst ab den Bauhorizonten der AG Phase IV in größerer Anzahl auf (**Kat. 1020, Kat. 1049, Kat. 1184, Kat. 1186, Kat. 1335, Kat. 1423, Kat. 1448, Kat. 1826**), während die hohen Wellenbänder schon in den Befunden der AG Phase II und vor allem der AG Phase III prominent vertreten sind.

Wie die aus Samos bekannten Wellenbandhydrien sind auch die meisten Randfragmente aus den archaischen Siedlungsbefunden durch einen wulstartig verdickten Rand gekennzeichnet (**Kat. 209–Kat. 212, Kat. 291, Kat. 307, Kat. 384, Kat. 450, Kat. 1563, Kat. 1623**).

Aufgrund ihrer stratigrafischen Lage im 6. Jahrhundert einzuordnen sind die Hydrien späten milesischen Typs (s. u. Kap. 1.B.3.6.4a) **Kat. 1182** und **Kat. 1363** mit einem ungewöhnlich breiten Wellenband am Hals. **Kat. 1313** zeichnet sich durch die flach abgestrichene Mündung aus, die ähnlich wie bei den offenen Gefäßen zum Träger von Balkendekor wird. Vergleichbare abgeflachte Ränder treten bei samischen Amphoren des 6. Jahrhunderts auf⁶⁰⁶, **Kat. 1313** scheint jedoch ein lokal produziertes Gefäß zu sein (s. u. Kap. 4.C). Die Hydria **Kat. 1564** bildet dagegen einen leicht umgeschlagenen Flachrand aus, dessen Oberkante ebenfalls mit Balkendekor

⁶⁰¹ Zu den samischen Befunden s. Technau 1929, 29 Nr. 6 Abb. 23; Eilmann 1933, 131 Abb. 80 e. f Beil. 44; Walter – Vierneisel 1959, 21 Beil. 46. 47 (Brunnen G); Kopcke 1968, 266–268 Nr. 46. 47 Abb. 17 Taf. 103. Vgl. außerdem Hayes 1966, 42. 47 Nr. 587 Taf. 29 (Amphora); 70 Nr. 843 Taf. 48; Condurachi 1966, 462 Nr. 569 Taf. 30. de La Genière – Jolivet 2003, 129 Nr. 3 Abb. 46 sprechen ein vergleichbares Stück aus dem Heiligtum in Klaros als klazomenisches Produkt der 1. Hälfte des 6. Jhs. an. In diesen Zeitraum datiert auch Schaus 1985, 52 Nr. 280 Abb. 5 Taf. 16 seine Parallele aus dem Demeterheiligtum von Kyrene.

⁶⁰² Seltener finden sich vergleichbare Wellenbänder auch auf offenen Gefäßen spät- bis subgeometrischer Zeit wie Tassen und Kantharoi. s. dazu Walter – Vierneisel 1959, Beil. 14, 4; Beil. 15, 4. 6.

⁶⁰³ Vgl. Walter – Vierneisel 1959, 21 Beil. 47, 2 (Brunnen G). Vgl. auch Kopcke 1968, 266 Nr. 46 Abb. 17 Taf. 103.

⁶⁰⁴ Vgl. Walter – Vierneisel 1959, 21 Beil. 46 (Brunnen G).

⁶⁰⁵ Dazu Walter – Vierneisel 1959, 28 Beil. 48, 2. In dem Brunnen W 2 des 6. Jhs. aus dem Heraion von Samos ist eine vergleichbare ovoide Gefäßform, wenn auch mit flacherer Schulter, bei einer zur Gänze erhaltenen Amphore gegeben. s. dazu Furtwängler – Kienast 1989, 92 Nr. 1 Abb. 16.

⁶⁰⁶ Vgl. Isler 1978b, 162 Nr. 627 Beil. 22 (ähnlich); Kalaitzoglou 2008, 423 Nr. 608 Taf. 137. s. auch Kinch 1914, Nr. 17 Taf. 26; Hanfmann 1963, 327 Nr. 1626 Taf. 108. Allgemein zur Datierung vgl. Furtwängler – Kienast 1989, 93 f.; Birzescu 2012a, 150–161 (Typus 1 und Typus 2).

verziert ist. Das formale Vorbild dieser geraden bis umgebogenen Flachränder mag weniger in den südionischen Produktionszentren Samos und Milet denn in den nordionischen Borysthene-Amphoren zu suchen sein (s. o. Kap. 1.B.3.6.1a) und findet sich mit **Kat. 1567** auf einer weiteren Hydria/Haushaltsamphore. Die Hydria **Kat. 1824** bleibt mit ihrem keilförmig über einem Wulst abgesetzten Rand und dem flachen Bandhenkel ohne Parallele.

Die wahrscheinlich zusammengehörigen Fragmente **Kat. 883** und **Kat. 884** aus dem Zerstörungsbefund des Töpferofens in der AG Phase III sowie **Kat. 1185** aus AG Phase IV zeigen mit einer liegenden Doppelspirale an der Gefäßschulter hingegen ein Motiv, welches G. Kalaitzoglou als charakteristisch für die milesischen Hydrien des späteren 7. Jahrhunderts herausgearbeitet hat⁶⁰⁷, was sich im Falle von **Kat. 883** auch in der typischen mandelförmigen Randmorphologie bestätigt. G. Kalaitzoglous Annahme, dass das Motiv umgekehrt für samische Gefäße nicht nachweisbar ist, bleibt angesichts einer Amphore (?) samischen Typs aus einem Befund des frühen 6. Jahrhunderts⁶⁰⁸ freilich wenig überzeugend. Auch die doppelt geführten, schmalen vertikalen Wellenbänder an der Schulter, die im späten 7. Jahrhundert ein Typikum milesischer Hydrien darstellen, finden sich auf einer Hydria samischen Typs im selben Befund des frühen 6. Jahrhunderts wieder⁶⁰⁹, weshalb bei beiden Motiven vielleicht eher ein chronologischer denn ein lokal-regionaler Aspekt im Vordergrund steht, zumal auch die Hydrien aus Assesos bereits die ovoide Gefäßform der entwickelten samischen Wellenbandhydrien mit steiler Schulter repräsentieren.

Dafür liegt mit **Kat. 968** im Zerstörungsbefund der AG Phase III erstmals eine Hydria wahrscheinlich milesischer Produktion vor, deren Hals mit zwei parallelen Wellenbändern geschmückt ist. In Milet sind Hydrien und Amphoren mit vergleichbaren doppelten Wellenbändern am sonst unbemalten Hals seit dem letzten Viertel des 7. Jahrhunderts möglich und verzeichnen eine Laufzeit bis in die ausgehende Archaik⁶¹⁰. Für das milesische Gefäß **Kat. 968** kann diese Datierung nicht zuletzt auch aufgrund seiner stratigrafischen Fundlage ohne weiteres übernommen werden.

Die Hydria **Kat. 334** zeichnet sich durch ihren ungewöhnlichen Schulterdekor aus. Der von zwei Reifen akzentuierte Halsansatz und das davon ausgehende vertikale Wellenband sind Dekorelemente, die zum üblichen Repertoire archaischer Hydrien des 7. Jahrhunderts zählen. Die beiden parallelen, liegenden S-Schlaufen sind hingegen wenig geläufig und finden ihren engsten Vergleich bei Kannen und Hydrien aus Samos, bei denen zwei entsprechende Schlaufen in antithetischer Anordnung ein zentrales Schultermotiv flankieren⁶¹¹.

Bei **Kat. 388** ist das Wellenband auf der Schulter in einer untypischen Weise mit Bändern und Reifenbündeln in einem recht schmalen Feld kombiniert, wie es in vergleichbarer Art bei aus Tarsus publizierten Hydrien anzutreffen ist, deren Herkunft von G. Hanfmann im nordionischen Bereich angenommen wird⁶¹². Aus Samos ist eine Hydria mit vergleichbarem aus Bändern und Reifen zusammengesetztem Schulterdekor publiziert, anstelle des Wellenbandes treten hier jedoch wieder die liegenden S-Schlaufen wie bei **Kat. 334** auf⁶¹³.

Bei **Kat. 86** und **Kat. 1379** hat sich vom charakteristischen Dekor der Hydrien nicht mehr viel erhalten, der Bauchhenkelansatz identifiziert die beiden Gefäße jedoch eindeutig als Hydrien.

Die Wandfragmente **Kat. 1334**, **Kat. 1565** und **Kat. 1875** lassen sich aufgrund ihres spezifischen Dekors zu einer Gruppe zusammenfassen. Gut erhalten hat sich dabei nur das Gefäß

⁶⁰⁷ s. dazu Kalaitzoglou 2008, 217–219 Abb. 9. Vgl. auch Waldbaum 2011, 326 Nr. 549.

⁶⁰⁸ Kalaitzoglou 2008, 218 mit einem Verweis auf Ploug 1973, 24 Anm. 152. Zu der Amphore (?) samischen Typs mit entsprechendem Dekor vgl. Furtwängler 1980, 216 Nr. 37 Abb. 20 Taf. 56 (Phase III).

⁶⁰⁹ s. Furtwängler 1980, 218 Nr. 41 Abb. 20 Taf. 56 (Phase III).

⁶¹⁰ Seifert 2004, 61 Nr. 54 Taf. 20; 62 Nr. 70 Taf. 27; Nr. 73–75 Taf. 28 (ähnlich); 63 Nr. 77 Taf. 29; 64 Nr. 94 Taf. 35. Die zeitgleichen Hydrien mit doppeltem Wellenband aus Assesos zeichnen sich dagegen durch schmale, in den Hals übergreifende Firniszonen aus. Vgl. dazu Kalaitzoglou 2008, 416 f. Nr. 554–561 Taf. 121–125. Vgl. auch von Graeve 1986, 47 Nr. 1 Taf. 13.

⁶¹¹ Vgl. Walter 1957, 41 Abb. 3; Nr. 1 Taf. 55; Walter – Vierneisel 1959, 20 Beil. 42, 2 (Brunnen G); Furtwängler 1980, 177–180 Abb. 1–3; 207 Nr. 57 Abb. 15 Taf. 48 (Phase I, Brunnen G).

⁶¹² Hanfmann 1963, 316 f. Nr. 1565. 1567 Taf. 105.

⁶¹³ Walter 1957, 41 Abb. 3; Nr. 1 Taf. 55. s. auch Besios u. a. 2012, 391 f. Nr. 43.

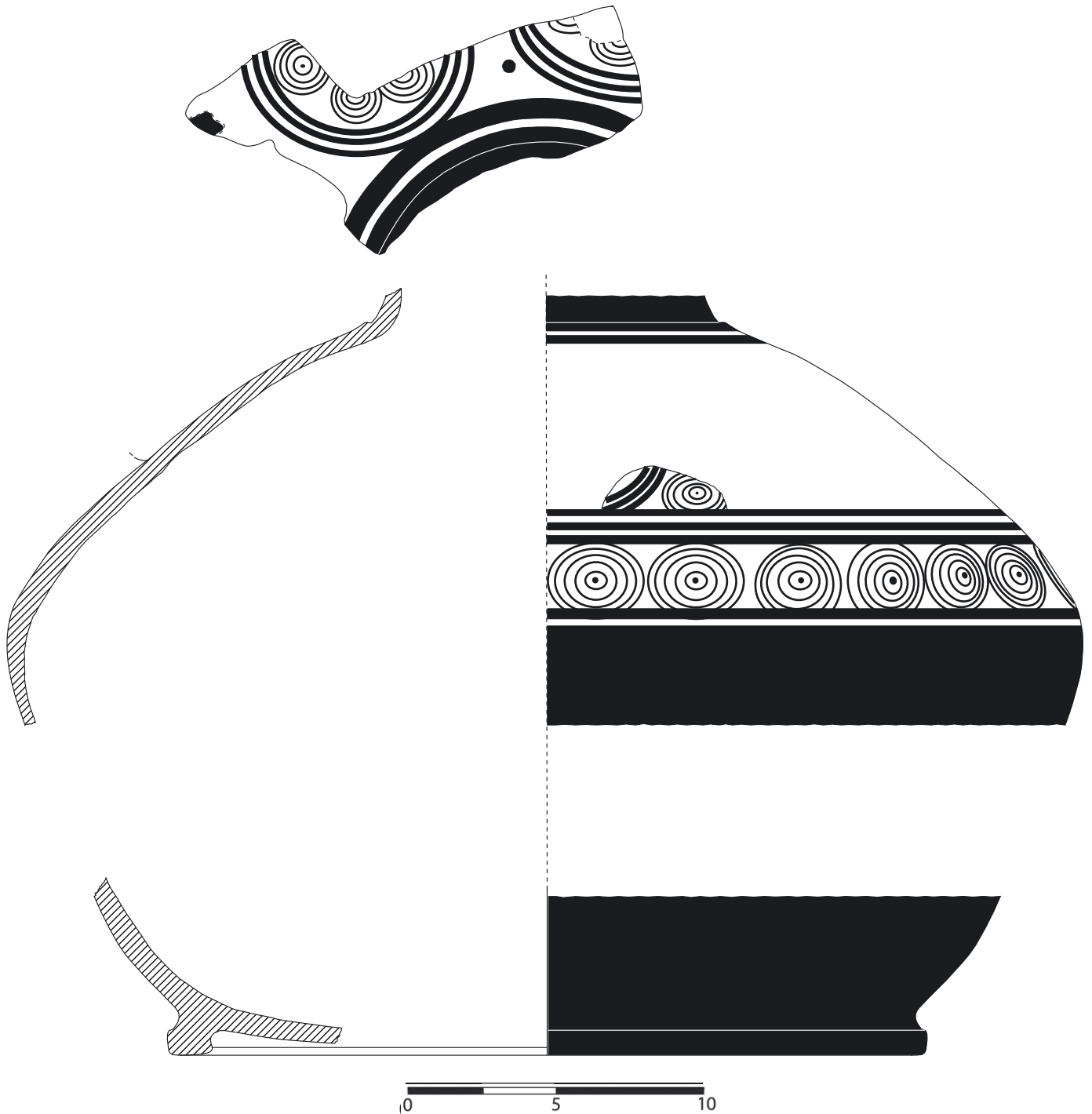


Abb. 29 Hydria AG 89/184.31 + AG 92/122.1 + AG 92/127

Kat. 1875, von dem sich große Teile der schrägen Schulter und des oberen Gefäßbauches rekonstruieren lassen. **Kat. 1334** und **Kat. 1565** scheinen damit gut vergleichbar. Vom Dekorsystem der Schulter hat sich mit **Kat. 1334** und **Kat. 1875** je eine Gruppe von wenigstens zwei bis mindestens vier kleinen konzentrischen Mehrfachkreisen erhalten, die im Falle von **Kat. 1334** durch ein mehrteiliges Bündel dünner Wellenlinien innerhalb des Schulterfeldes abgegrenzt werden. Die metopenartige Gliederung von mit Kreismotiven versehenen Schultern großer, geschlossener Gefäße durch Gruppen von Wellenlinien ist aus einem subgeometrischen Fundzusammenhang in Milet, aus dem Heraion von Samos sowie aus dem Athenaheiligtum von Assesos für das süd-

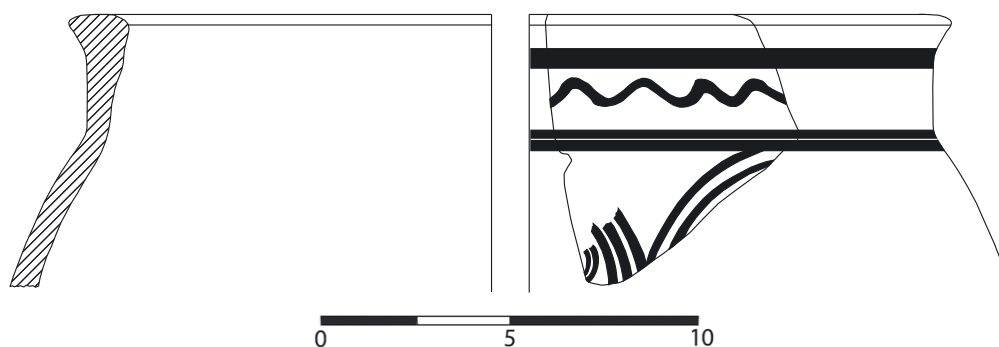


Abb. 30 Krater AG 89/080.7

liche Ionien belegt⁶¹⁴. Darüber hinaus ist die Motivkombination von chiotischen Amphoren und Hydrien der mittleren beiden Viertel des 7. Jahrhunderts bekannt⁶¹⁵. Die Kombination kleiner zirkelgezogener Kreise, auch im Verband mit großen Kreisen, in welche sie wie bei **Kat. 1565** und **Kat. 1875** eingeschrieben werden, ist hingegen weniger von ostgriechischen denn von zypriotischen und lydischen Gefäßen bekannt und dort auch für Großgefäße belegt⁶¹⁶.

Das Nebeneinander beider Dekorelemente, der vertikalen Wellenlinienbündel und der zirkelgezogenen Mehrfachkreisgruppen, findet sich außerdem auf boiotischen und äolischen Schulterhenkelamphoren⁶¹⁷, deren Formgebung durchaus auch mit den Gefäßfragmenten aus den archaischen Siedlungsniveaus in Ephesos vergleichbar ist. Darüber hinaus ist aus den hellenistischen Planierschichten über der archaischen Siedlung unter der Tetragnon Agora mit **AG 89/184.31** (Abb. 29) eine zweite Hydria gegeben, die den charakteristischen Kreisdekor von **Kat. 1565** und **Kat. 1875** aufweist. **AG 89/080.7** (Abb. 30) aus den hellenistischen Planierschichten belegt den Dekor indessen auch für Kratere mit dem rötlichen und mittelharten Fabrikat lokaler Gebrauchskeramik. K. İren hat die solcherart verzierten Gefäße unter dem Begriff der äolischen Punktstilkeramik zusammengefasst⁶¹⁸, die er wie die motivisch verwandten Gefäße zypriotischer und südionischer Herkunft einer subgeometrischen Keramikproduktion, allerdings erst des mittleren 7. bis mittleren 6. Jahrhunderts, zuordnet und diese tendenziell im Zusammenhang mit phrygischen und lydischen Gefäßtraditionen verstehen möchte⁶¹⁹.

Bei **Kat. 1565** haben sich die Reste eines hellen Gefäßüberzugs erhalten, der auch für die äolischen Gefäße typisch ist, umgekehrt jedoch auch im übrigen ostgriechischen Raum im 7. Jahrhundert weit verbreitet war. Woher die drei Gefäße nun tatsächlich stammen, könnte allein durch eine archäometrische Beprobung geklärt werden, Dekor und Form verweisen jedoch tendenziell in die Äolis, während umgekehrt eine ionische Produktion aufgrund mangelnder überzeugender Vergleiche unwahrscheinlich ist, auch wenn die Einzelemente des Dekors durchaus auf südionischen Hydrien vertreten sind. Umgekehrt kann durch die optische Interpretation der Fabrikate eine Herkunft der Gefäße zumindest aus Chios, Milet oder Ephesos tendenziell ausgeschlossen werden, auch wenn mit dem Krater **AG 89/080.7** (Abb. 30) eine lokale Übernahme des Dekor-

⁶¹⁴ Zu Samos vgl. Walter 1968, 107 Nr. 292 Taf. 49; zu Milet s. von Graeve 1973/1974, 92 Nr. 20 Taf. 19; zu Assesos vgl. Kalaitzoglou 2008, 421 Nr. 596 Taf. 130.

⁶¹⁵ Dazu Boardman 1967, 137. 139 Nr. 488 Taf. 43 (›phase II‹ und ›III‹).

⁶¹⁶ Zu dem zypriotischen Zusammenhang s. die grundsätzliche Dekortypologie bei Gjerstad 1948. Vgl. auch Kinch 1914, Nr. 3. 7 Taf. 20; Jacopi 1929, 87 f. Nr. 3 Abb. 78 (Grab 51); Hanfmann 1963, 197 Nr. 445. 446; 199 Nr. 465 Taf. 68; 214 Nr. 648 Taf. 74; Orlandini 1978, 98 Abb. 43 Taf. 58; Coldstream – Catling 1996, 265 Nr. 94 Abb. 146 (Grab 292); Uthmann 1999, 40 f. 199 f. Nr. 340 Abb. 23; Karageorghis 2005, Taf. 119 (Bothros 5/14); Nr. 4395 Taf. 135 (Bothros 21). Zum lydischen Vorbild vgl. Boehlau – Schefold 1942, 171 Abb. 16 Taf. 57.

⁶¹⁷ Vgl. Dragendorff 1903, 17 Abb. 12 (Grab 11); İren 2003, 164 Nr. 13; 187 Nr. 317 Beil. 6 Taf. 2. 67.

⁶¹⁸ Zu der äolischen Punktstilkeramik s. İren 2003, 9–56.

⁶¹⁹ Vgl. İren 2003, 43–50. s. auch Ratté 2011, 112 Nr. 2; 243 Abb. 212 b.

systems wahrscheinlich wird. Alle drei Gefäßfragmente stammen aus Horizonten, welche die Bauzeit der AG Phase IV angeben.

Das flache Schulterfragment **Kat. 1874** zeigt mit dem mehrteilig eingeritzten hängenden Spiralhaken ein Dekorelement, welches bislang vor allem in gemalter Form von ostgriechischen Salbölgefäßen aus subgeometrischen Grabkontexten auf Rhodos, Thera und Delos bekannt ist⁶²⁰. Das Motiv wird einerseits als Reflex zypriotischer oder levantinischer Einflüsse in der ostgriechischen Keramiktradition verstanden⁶²¹, andererseits war es auch in der phrygischen und lydischen Keramikproduktion präsent, womit ein möglicher inneranatolischer Impuls argumentierbar wird⁶²². Auf Großgefäßen ist der Dekor weniger populär und findet sich beispielsweise, wenn auch aufgemalt und nicht eingeritzt wie bei **Kat. 1874**, bei einer Amphore (oder Hydria [?]) aus dem Artemision⁶²³. Eingeritzte Spiralhakengruppen sind indes von einem Gefäß aus Kition publiziert⁶²⁴, was wiederum den zypriotischen Zusammenhang bekräftigt.

Das unbemalte Schulterfragment **Kat. 449** stellt eine Sonderform innerhalb der Hydrien dar. Es zeigt eine flachschräge Schulterpartie, die in einem scharfen Knick in den augenscheinlich nach unten hin sich konisch verjüngenden Gefäßbauch umbiegt. Diese Formgebung ist von samischen Lekythoi des 6. Jahrhunderts bekannt⁶²⁵; bezüglich seiner Maße findet das Fragment seine engste Parallele hingegen in einer bisher singulären, allerdings aufwendig figürlich bemalten Hydria aus dem Heraion von Samos, welche von A. Furtwängler in die zweite Hälfte des 7. oder an den Beginn des 6. Jahrhunderts datiert wurde⁶²⁶. Aus den spätarchaischen Befunden am Panayırdağ ist ein unmittelbar vergleichbares Gefäß bekannt⁶²⁷. Mit **Kat. 449** liegt aus den Zerstörungshorizonten der AG Phase II nun ein Exemplar vor, welches die Gefäßform schon um die Mitte des 7. Jahrhunderts belegt.

1.B.3.6.3b Hydrien/Haushaltsamphoren

Für die bemalten Ränder **Kat. 25**, **Kat. 87**, **Kat. 111–Kat. 114**, **Kat. 144**, **Kat. 215–Kat. 218**, **Kat. 244**, **Kat. 295–Kat. 298**, **Kat. 335**, **Kat. 389–Kat. 392**, **Kat. 419**, **Kat. 451**, **Kat. 483** und **Kat. 484**, **Kat. 495** und **Kat. 496**, **Kat. 513**, **Kat. 528**, **Kat. 561–Kat. 564**, **Kat. 583**, **Kat. 597**, **Kat. 636** und **Kat. 637**, **Kat. 704** und **Kat. 705**, **Kat. 729** und **Kat. 730**, **Kat. 773** und **Kat. 774**, **Kat. 826** und **Kat. 827**, **Kat. 885**, **Kat. 938**, **Kat. 969**, **Kat. 1050**, **Kat. 1187–Kat. 1190**, **Kat. 1232**, **Kat. 1270**, **Kat. 1315** und **Kat. 1316**, **Kat. 1366–Kat. 1368**, **Kat. 1380**, **Kat. 1425**, **Kat. 1449** und **Kat. 1450**, **Kat. 1474–Kat. 1476**, **Kat. 1568–Kat. 1572**, **Kat. 1625** und **Kat. 1627**, **Kat. 1697**, **Kat. 1827–Kat. 1829**, **Kat. 1876** und **Kat. 1908**, die Wandfragmente **Kat. 63**, **Kat. 638**, **Kat. 1336** und **Kat. 1365** sowie die Bodenfragmente **Kat. 115**, **Kat. 220** und **Kat. 221**, **Kat. 299**, **Kat. 308**, **Kat. 584**, **Kat. 596**, **Kat. 1022**, **Kat. 1191** und **Kat. 1192**,

⁶²⁰ Dragendorff 1903, 57 f. Abb. 195 (Grab 81); 179 f. Abb. 370 a. b; Kinch 1914, Nr. 17 a Taf. 41; Jacopi 1929, 65 Nr. 10 Abb. 55 (Grab 37); Jacopi 1932/1933, 35 f. Nr. 2; 46 Abb. 39. 40 (Grab 7 und Grab 8); 47 Abb. 43 Nr. 3 Abb. 45 (Grab 10). s. außerdem Hanfmann 1963, 244 f. Nr. 1042. 1059 Taf. 83; Cook – Dupont 1998, 21 Abb. 5, 7; Uthmann 1999, 38. 194 Nr. 305 Abb. 22; Boardman 2001, 257 Abb. 283; Coulié – Filimonos-Tsopotou 2014, 304 f. Nr. 173.

⁶²¹ Vgl. dazu etwa Hanfmann 1963, 53–55. 244 f. Nr. 1042. 1059 Taf. 83. Zusammenfassend s. Cook – Dupont 1998, 19–21. Zuletzt hat sich Bourogiannis 2012, 183–205 mit der auch terminologischen Problematik befasst.

⁶²² Vgl. dazu Brein 1978b, 726; Uthmann 1999, 38 mit Literaturhinweisen; Kerschner 2008d, 227. Zuletzt hat Gürtekin-Demir 2002, 121 f. Nr. 32 Abb. 10 entsprechend dekorierte Großgefäße aus Daskyleion publiziert (>Red Bichrome ware<) und um eine Auflistung bislang publizierter vergleichbarer Gefäße ergänzt.

⁶²³ Brein 1978b, 726 Abb. 17 Taf. 224.

⁶²⁴ Karageorghis 2005, Taf. 17 (Bothros 9A/17). Vgl. außerdem die zypriotische Dekortypologie bei Gjerstad 1948.

⁶²⁵ Vgl. Boehlau 1898, Taf. 7; Dunbabin 1962, 375 Nr. 4057 Taf. 156; Langmann 1967, 105 f. Nr. 1 Abb. 41; Cook – Dupont 1998, 134 Abb. 19, 1 c.

⁶²⁶ Dazu Furtwängler 1980, 188–197. 218 Abb. 8 Taf. 54. 55 (Phase III). s. zum selben Gefäß auch Lemos 1991, Taf. 241. 242.

⁶²⁷ Vgl. von Miller 2013, 353 Nr. 1946. Hinzu kommt mit Inv. PAN 08/2042.8 ein weiteres Vergleichsstück aus einem nacharchaischen Befundzusammenhang.

Kat. 1333, Kat. 1424, Kat. 1628, Kat. 1698 und Kat. 1699 sind entweder Hydrien oder Haushaltsamphoren als ursprüngliche Ganzgefäße denkbar.

Kat. 145, Kat. 1183 und Kat. 1447 zeichnen sich durch am Gefäßkörper umlaufende Bänder und Reifenbündel aus, die einerseits für die Hydrien belegt sind⁶²⁸, andererseits aber für Haushaltsamphoren in Frage kommen⁶²⁹. Die Kombination von zwei rahmenden Reifen mit einem breiten, mittigen Band wie bei **Kat. 1336** stellt dabei die typische Dekoration der Schulter-Bauch-Umbrüche südionischer Hydrien des späteren 7. Jahrhunderts dar⁶³⁰, doch findet sich die gleiche Abfolge auch bei den von I. Bîrzescu vorgestellten milesischen Reifenamphoren seines Oikos-Typs im fortgeschrittenen 6. Jahrhundert⁶³¹. In Hinblick auf die vielen Hydrienfragmente aus den archaischen Siedlungsbefunden wird man allerdings davon ausgehen können, dass ein nicht unbeträchtlicher Anteil der in ihrer Ansprache unsicheren Fragmente ebenfalls Hydrien zugehörig gewesen sein werden. Auch die angeführten Bodenfragmente mit tendenziell breiten, kantigen Standringen zeigen zumindest nicht die Formgebung der eher engeren Amphorenfüße, die etwa in Milet auch für die reifenverzierten Amphoren übernommen werden⁶³². Dieses Phänomen bezieht sich freilich auf die Amphoren des Oikos-Typus und somit auf die zweite Hälfte des 6. Jahrhunderts, wohingegen die fraglichen Gefäße aus den Agora-Grabungen früher anzusiedeln sind.

Was sich bereits bei den Randfragmenten gesicherter Hydrien abzeichnet, bestätigt sich auch bei jenen Rändern, deren Identifikation als Hydria oder Haushaltsamphore unklar bleibt. Bis auf wenige Ausnahmen, die den mandelförmigen Rand der Amphoren milesischen Typs (s. u. Kap. 1.B.3.6.4a) aufweisen (**Kat. 528. Kat. 562. Kat. 565. Kat. 730. Kat. 883. Kat. 1190. Kat. 1316. Kat. 1367, Kat. 1368. Kat. 1425. Kat. 1475. Kat. 1476. Kat. 1572. Kat. 1829. Kat. 1876**), sind die meisten Gefäße mit unterschiedlich rundstabil bis wulstig verdickten Rändern versehen (Diagramm 43), wie sie in archaischer Zeit in den Fundinventaren vieler ostgriechischer Zentren nachzuweisen sind⁶³³. Der Verdacht, dass auch Ephesos selbst einen Anteil an der Produktion dieser bemalten Amphoren mit Rundstabilippe oder Wulstrand haben könnte, wurde bereits von V. Gassner geäußert⁶³⁴, und hat in Gefäßen, welche in der unteritalischen Phokaierkolonie Elea beprobt wurden, auch eine erste Bekräftigung von naturwissenschaftlicher Seite erfahren⁶³⁵.

In den archaischen Siedlungsbefunden zeigt sich nun, dass die Haushaltsamphoren und Hydrien mit Rundstabilippe bereits in den Kontexten der AG Phase II populär sind, während etwa die Gefäße milesischen Typs erstmals in der AG Phase III nachweisbar werden und nicht vor der AG Phase IV einen größeren Anteil am Gesamtbestand der Haushaltsamphoren und Hydrien erreichen. Dies ist insofern interessant, als sich milesischer Import in der AG Phase II bei den Feinwaren (**Kat. 60. Kat. 77. Kat. 184**) sehr wohl abzeichnet und daher nicht grundsätzlich damit argumentiert werden könnte, dass der Austausch zwischen Ephesos und Milet erst später einsetzte. Auch Importe aus Samos sind spätestens für die AG Phase II im Repertoire der

⁶²⁸ Vgl. etwa Technau 1929, 32 Nr. 4 Abb. 24; Walter 1957, 42 Beil. 55, 2; Boardman 1967, 140 Nr. 608 Abb. 88; Ploug 1973, 27 Nr. 98 Taf. 4; Furtwängler 1980, 216 Nr. 37 Abb. 20 Taf. 56; Benda 1991, 24 Nr. 3 (Typus 1a); Niemeier 1999, 410 f. Nr. 10. 11 Abb. 27; Kalaitzoglou 2008, 402 Nr. 448 Taf. 88; 349 f. Nr. 38 Taf. 12.

⁶²⁹ s. dazu Bîrzescu 2009.

⁶³⁰ Vgl. Walter – Vierneisel 1959, 28 Beil. 48, 2 (Bothros); Kalaitzoglou 2008, 217–219 Abb. 9.

⁶³¹ Vgl. Bîrzescu 2009, 124 f. 128 Nr. 9 Abb. 4.

⁶³² s. Bîrzescu 2009, 128 f. Nr. 6. 7. 10. 11 Abb. 3–5; Nr. 5 Abb. 3 stellt eine Ausnahme mit breiterem Standring dar.

⁶³³ Zu Ephesos vgl. Gassner 1997, 32–36 Taf. 3; Kerschner 1997a, 120. 123 Nr. 27 Taf. 4; Kerschner – Mommsen 2005, 125 f.; Kerschner 2008a, 71 f. Nr. 60–66 Taf. 16. 17. Zu Milet s. Voigtländer 1982, Abb. 7; Seifert 2004, 57 Nr. 3–9 Taf. 2. 3. Zu Samos s. Technau 1929, Beil. 17; Eilmann 1933, Abb. 80; Kopcke 1968, 266–268 Nr. 48. 49 Abb. 18; Furtwängler 1980, 216–218, Nr. 38 Abb. 20. Furtwängler – Kienast 1989, 92–94 Abb. 16, 1; 122 Nr. 13 Abb. 24. Zu Klaros s. de La Genière – Jolivet 2003, 86 Nr. 7 Abb. 24; 129 Nr. 3 Abb. 46; Yılmaz 2008, 265 Abb. 29. Eine grundsätzliche Diskussion des Typs erfolgt bei Gassner 1997, 32 f.; Kerschner – Mommsen 2005, 125 f.

⁶³⁴ s. Gassner 1997, 32. Vgl. auch Kerschner – Mommsen 2005, 126.

⁶³⁵ Vgl. dazu Gassner 2003, 125. 326 Nr. IIa.242 Taf. 28. s. auch von Miller 2008, 240 f. 345 Nr. V 19 Taf. 77.

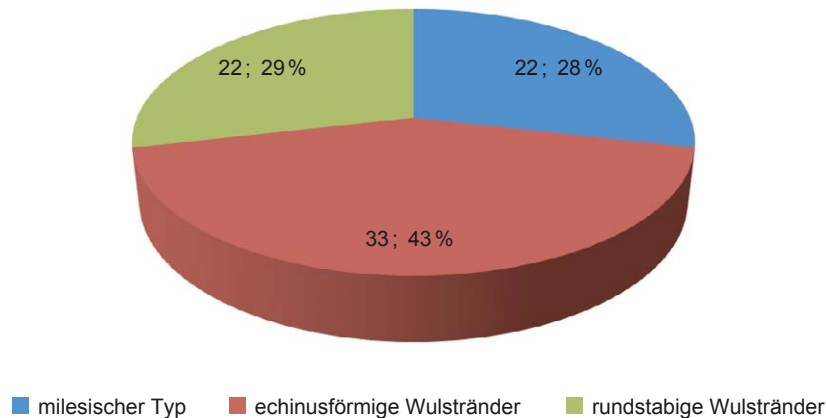


Diagramm 43 Übersicht der Randformen von Haushaltsamphoren/Hydrien

Trinkgefäße gesichert (**Kat. 4. Kat. 8. Kat. 9. Kat. 33. Kat. 40. Kat. 41. Kat. 129. Kat. 237. Kat. 259. Kat. 264. Kat. 266. Kat. 270. Kat. 272. Kat. 273. Kat. 312. Kat. 318. Kat. 421**) und für die Feinwaren wahrscheinlich (**Kat. 107. Kat. 239**). In diesem Zusammenhang wäre im Rahmen einer naturwissenschaftlichen Untersuchungsreihe zu überprüfen, inwieweit die Haushaltsamphoren und Hydrien mit Wulsträndern oder Rundstablippe in den archaischen Siedlungsbefunden aus samischen Werkstätten hervorgegangen sein könnten, für deren Amphorenproduktion massiv verdickte Wulstränder ein Typikum darstellen (s. u. Kap. 1.B.3.6.4b), oder ob mit einer frühen lokalen Produktion dieser Gefäße auch in Ephesos gerechnet werden muss.

Wie bei den Haushaltsamphoren milesischen Typs zeichnet sich auch bei jenen mit Rundstablippe/Wulstrand in den archaischen Siedlungsbefunden ein Nebeneinander verschiedener Varianten ab, welches jeden Versuch, Beobachtungen im Formenrepertoire so kleiner Ausschnitte wie des Randes zur alleinigen Grundlage chronologischer Überlegungen zu machen, als nicht zielführend entlarvt. Auch die Ansprache bestimmter Varianten als Vertreter bestimmter Produktionen bleibt jenseits der Schwierigkeit, diese Produktionen überhaupt erst nachweisen zu müssen, problematisch, gleicht doch kaum ein Randfragment dem anderen. Grundsätzlich sind eher echinusförmige Ränder (**Kat. 25. Kat. 112. Kat. 298. Kat. 335. Kat. 389. Kat. 390. Kat. 483. Kat. 561. Kat. 563. Kat. 583. Kat. 636. Kat. 729. Kat. 774. Kat. 826. Kat. 827. Kat. 885. Kat. 969. Kat. 1187. Kat. 1188. Kat. 1270. Kat. 1366. Kat. 1380. Kat. 1449. Kat. 1474. Kat. 1569. Kat. 1697. Kat. 1828 und Kat. 1830**) von tendenziell rundstabigen Rändern (**Kat. 111. Kat. 113. Kat. 114. Kat. 144. Kat. 216–Kat. 218. Kat. 295. Kat. 297. Kat. 637. Kat. 704. Kat. 938. Kat. 1050. Kat. 1232. Kat. 1570. Kat. 1625 und Kat. 1827**) zu scheiden. Beide Varianten treten erstmals in den Befunden der AG Phase II auf und bleiben bis in die AG Phase IV nachweisbar.

Im Vergleich mit den Typenreihen großer ostgriechischer Transportamphoren archaischer Zeit kann der Versuch unternommen werden, morphologische Merkmale mit bestimmten Produktionsregionen in Verbindung zu bringen. Die echinusförmigen Wulstränder sind ein Merkmal vor allem südionischer Amphorenproduktion in Milet und Samos⁶³⁶, während besonders die als echte Tori vom Hals deutlich abgesetzten Rundstablippen der Mündungsfragmente **Kat. 216, Kat. 217, Kat. 704, Kat. 1570** und auch die leichte Profilierung an der Randunterseite von **Kat. 217**⁶³⁷ an die klazomenischen Amphoren (s. u. Kap. 1.B.3.6.4d) des 6. Jahrhunderts erinnern⁶³⁸. In diesem Zusammenhang ist der über die Randaußenkante ausgreifende Überzug freilich ein Dekordetail,

⁶³⁶ Dazu Dupont 2007b, 41.

⁶³⁷ Dieses formale Detail ist bei Monachov 1999, 52 Nr. 8 Taf. 6 als Besonderheit klazomenischer Amphoren belegt.

⁶³⁸ s. dazu Ersoy 1993, 400–403.

das zumindest von den klazomenischen Transportamphoren nicht bekannt ist⁶³⁹. Umgekehrt ist gerade auch die Amphore samischen Typs **Kat. 515** aus den archaischen Siedlungsbefunden (s. u. Kap. 1.B.3.6.4b) neben den aus Samos publizierten Hydrien des 7. Jahrhunderts⁶⁴⁰ ein gutes Beispiel dafür, dass Rundstabilippen eben auch für Amphoren und Hydrien samischen Typs zu erwarten sind⁶⁴¹. **Kat. 773** zeichnet sich durch einen Wulstrand mit spitz schnabelförmig ausgezogener und leicht überhängender Randaußenkante aus, wie er für klazomenische Amphoren der zweiten Hälfte des 7. Jahrhunderts besonders bezeichnend ist⁶⁴², während **Kat. 451** auch bei geometrischen Amphoren milesischen Typs formale Vergleiche findet. **Kat. 144**, **Kat. 513**, **Kat. 1450** und **Kat. 1571** erinnern mit ihren kaum abgesetzten Rändern an chiotische Amphoren der fortgeschrittenen Entwicklung innerhalb der älteren Serie (s. u. Kap. 1.B.3.6.4e); **Kat. 1189** steht mit dem zylindrischen Hals und dem kantigen Rand den Amphoren ionischen Typs nahe (s. u. Kap. 1.B.3.6.4c).

Die von V. Gassner noch vorsichtig vorgeschlagene Datierung der Amphoren mit Rundstabilippe vom Südtor der Tetragonos Agora erst in das 6. Jahrhundert⁶⁴³ kann unter dem Eindruck der Agora-Befunde nun jedoch zumindest dahin gehend ergänzt werden, dass alle entsprechenden Randvarianten, ihrer möglichen Laufzeit bis in das 6. Jahrhundert und darüber hinaus unbenommen, schon im 7. Jahrhundert in Ephesos zu erwarten sind.

Die Haushaltsamphoren milesischen Typs treten hingegen erstmals vereinzelt in den Baubefunden der AG Phase III auf (**Kat. 562**, **Kat. 565**) und finden sich am Ende der AG Phase III, ebenso vereinzelt, in den zugehörigen Zerstörungsbefunden wieder (**Kat. 528**, **Kat. 730**). In der AG Phase IV sind sie mit **Kat. 1190**, **Kat. 1316**, **Kat. 1367** und **Kat. 1368**, **Kat. 1425**, **Kat. 1475** und **Kat. 1476**, **Kat. 1572**, **Kat. 1829** und **Kat. 1876** schließlich stärker vertreten.

Die Haushaltsamphoren milesischen Typs **Kat. 562** und **Kat. 565** zeichnen sich durch einen kaum verdickten, senkrecht stehenden Rand mit gerundeter Lippe und leichtem kantigen Absatz an der Außenkontur ab. Das Randprofil steht einigen Amphoren aus den Zerstörungsbefunden von Ashkelon aus dem späten 7. Jahrhundert nahe⁶⁴⁴ und findet eine annähernde Entsprechung auch in der Transportamphore **Kat. 887** aus einem Zerstörungsbefund der AG Phase IIIb. Die Vergesellschaftung der beiden Haushaltsamphoren **Kat. 562** und **Kat. 565** in einem Baubefund der AG Phase III weist die Form indes schon im mittleren 7. Jahrhundert nach und belegt darüber hinaus mit **Kat. 565** eine wahrscheinlich lokale Produktion.

Kat. 730 illustriert indes die Entwicklungsstufe milesischer Amphoren mit hohem Halsband unter dem noch tendenziell kurzen und dicken Rand (s. u. Kap. 1.B.3.6.4a). Die sehr feinen Reifen im ausgesparten unteren Randbereich und die extrem dünne Gefäßwandung zeigen an, dass es sich bei **Kat. 730** um eine sehr fein gearbeitete Haushaltsamphore gehandelt haben muss. Wie ihre Gegenstücke bei den unbemalten Transportamphoren entstammt auch **Kat. 730** einem Zerstörungsbefund der AG Phase IIIb.

Eine zweizonige Bemalung des Randes wie bei **Kat. 1425**, ein distinktives Merkmal der jüngst von I. Bîrzescu bearbeiteten milesischen Reifenamphoren der zweiten Hälfte des 6. Jahrhunderts⁶⁴⁵, ist auch bei den Haushaltsamphoren mit Rundstabilippe oder Wulstrand hinlänglich

⁶³⁹ Vgl. dazu beispielsweise Sezgin 2004, 170–177 Abb. 1–14; Bîrzescu 2012a, Taf. 40–48. s. auch Cook – Dupont 1998, 153 Abb. 23, 3 und bes. 152 (»one [band] around the rim [not overlapping into the neck]«).

⁶⁴⁰ s. etwa Walter – Vierneisel 1959, 21 Beil. 46–48; Kopcke 1968, 268 Nr. 48, 49 Abb. 18 Taf. 103.

⁶⁴¹ Auf die Schwierigkeit einer sicheren Ansprache anhand ausschnittthafter Fragmente hat zuletzt auch Dupont 2000b, 60 hingewiesen.

⁶⁴² Vgl. dazu Hayes 1973, 64 Nr. 2268 Abb. 25; Ersoy 1993, Nr. 329 Taf. 46; Gassner 1997, 35 Nr. 44 Taf. 3; Docter 2000, 74–76 Abb. 11 b; Sezgin 2004, 172 f. Abb. 6, 8; Kalaitzoglou 2008, 422 Nr. 603 Taf. 134. Zur Datierung s. vor allem Ersoy 1993, 397 f.; Bîrzescu 2012a, 96 f. (Typus 1). In Methone sind unlokalisierte Transportamphoren mit vergleichbarer Randmorphologie schon spätestens für das beginnende 7. Jh. bezeugt. Dazu Besios u. a. 2012, 358 f. Nr. 15; 478–482 Nr. 149–151.

⁶⁴³ Vgl. Gassner 1997, 32–35 Nr. 39–47 Taf. 3.

⁶⁴⁴ Vgl. Waldbaum 2011, 309 f. Nr. 497, 500.

⁶⁴⁵ Vgl. Bîrzescu 2009, 124 f. 128 f. Nr. 4–11 (Oikos-Typus).

belegt und scheint damit keine spezielle Produktion, sondern eine weiter gefasste Produktionsregion zu kennzeichnen. **Kat. 1367** stellt mit dem in Deckrot aufgesetzten Reifen am gefirmsten Rand eine bislang singuläre Dekorvariante innerhalb der milesischen Haushaltsamphoren dar. Die mehrfachen Grate im oberen Halsbereich sind nach Ausweis bislang publizierter milesischer Amphoren ein Gestaltungsmerkmal, mit dem seit dem mittleren 7. Jahrhundert zu rechnen ist⁶⁴⁶, die Fundvergesellschaftung in einem Bodenniveau der AG Phase IV stellt das Gefäß in einen chronologischen Zusammenhang mit den auch typologisch verwandten Amphoren mit Halsband.

Für das Amphorenfragment **Kat. 215** mit kantig verdickter Lippe fehlen überzeugende Vergleichsbeispiele für geschlossene Gefäße. Indes ist die Randmorphologie von Krateren aus stratigrafischen Zusammenhängen des 6. Jahrhunderts in Samos und Klazomenai bekannt⁶⁴⁷. Aus der Fundlage von **Kat. 215** in einem Zerstörungsbefund der AG Phase II geht hingegen klar hervor, dass die Randform für geschlossene Gefäße schon im 7. Jahrhundert nachweisbar ist.

Kat. 495 zeichnet sich durch einen kantig verdickten Rand mit gerader Oberkante, **Kat. 496** durch einen weit ausgestellten, mandelförmigen Rand mit spitzer Lippe und konkaver Innenkontur aus. Beide Randformen sind ungewöhnlich, die kleinen Dimensionen und die engen Raddurchmesser sind zu auffallend kleinformatigen Gefäßen zu ergänzen. Mit **Kat. 244**, **Kat. 297**, **Kat. 392**, **Kat. 419**, **Kat. 450**, **Kat. 484** und **Kat. 1627** ist tatsächlich eine Reihe kleinformatiger Amphoren gegeben, die man mit größter Sicherheit wohl schon allein aufgrund ihrer Dimensionen als Tafelamphoren wird ansprechen dürfen. Bis auf **Kat. 1627** weisen alle diese Gefäße einen wulstig bis rund verdickten Rand auf und sind in Befunden der AG Phase II, in Baubefunden der AG Phase III und spätestens im Zerstörungsbefund der AG Phase IIIa vergesellschaftet. Das einzige deutlich später datierende Gefäß aus einem Befund der AG Phase IV, **Kat. 1627**, weicht auch in seiner Randmorphologie vom bekannten Typenspektrum ab: der kantig verdickte Rand mit der leicht profilierten Außenkante ist mit einer konkaven Einziehung vom den oberen Halsbereich betonenden Grat abgesetzt. Vergleichbare Grate sind etwa von kleinen Amphoren des 5. Jahrhunderts in Klazomenai bekannt⁶⁴⁸, deren Formgebung insgesamt jedoch deutlich von **Kat. 1627** abweicht, weshalb in **Kat. 1627** vielleicht ein archaischer Vorläufer der klassischen Gefäße evident wird. Auch **Kat. 495** mit seinem kantigen und abgeflachten Rand findet ungefähre Formparallelen in spätarchaischen und frühklassischen Befunden in Klazomenai⁶⁴⁹, datiert mit seiner Vergesellschaftung in einem Baubefund der AG Phase III aber wiederum wesentlich früher, sodass ein tatsächlicher Zusammenhang nicht zuletzt aufgrund des singulären Vorkommens nur schwer zu argumentieren ist.

Das Randfragment **Kat. 1626** zeichnet sich durch seinen ungewöhnlich trichterförmig ausgestellten, kantigen Rand aus, der eine unmittelbare Parallele bei einer auch dort singulären Bauchhenkelamphore mit Bänderung aus einem Grabbefund in Larisa am Hermos findet, der um die Mitte des 6. Jahrhunderts datiert wird⁶⁵⁰.

1.B.3.6.4 Handels- und Transportamphoren

Unter Handels- und Transportamphoren werden hier die großen, meist unbemalten Amphoren zusammengefasst, deren Erscheinungsbild eine vornehmlich funktionale Zweckbestimmung nahelegt. Innerhalb der Handels- und Transportamphoren liegen mit den chiotischen und den klazomenischen Amphoren dabei freilich auch Amphoren vor, für die eine Bemalung typisch

⁶⁴⁶ Dazu Naso 2005, 75 f. 82 Nr. 5. 7 Abb. 2. 3. Vgl. auch Waldbaum 2011, 308 f. Nr. 496–498.

⁶⁴⁷ Zu Samos s. Isler 1978b, 157 Nr. 581 Beil. 18; zu Klazomenai vgl. Ersoy 1993, 260 Nr. 534 Taf. 298. Vgl. außerdem einen weiteren Krater mit ähnlichem Randprofil aus Ephesos bei Kerschner 2008a, 43. 65 Nr. 35 Taf. 12. 28.

⁶⁴⁸ s. Güngör 2004, 127 f. Abb. 16 c. Formale Bezüge bestehen auch zu den SOS-Amphoren spätgeometrischer Zeit. Vgl. dazu di Sandro 1986, 19 f. Nr. SG 11 Taf. 2; Lawall 2011, 296 f.

⁶⁴⁹ Dazu Güngör 2004, 127 f. Abb. 16 a.

⁶⁵⁰ Vgl. Boehlau – Schefold 1942, 157 f. Abb. 66 (Grab 52).

ist. Die korinthischen Amphoren haben als festländische Gruppe ihren Platz ebenfalls bei den Handels- und Transportamphoren.

Die Intention dieser Amphoren als Transportgefäße im Zusammenhang des Güterverkehrs über längere Strecken geht abgesehen von ihrem Auftreten in Gebieten jenseits des ostgriechischen Kernlands wie dem Schwarzmeerraum⁶⁵¹, in der südöstlichen Ägäis und der Levante⁶⁵², in Nordafrika⁶⁵³ und im westlichen Mittelmeerraum⁶⁵⁴ vor allem auch aus ihrer Vergesellschaftung in archaischen Schiffswrackfunden⁶⁵⁵ klar hervor. Dabei zeichnen sich im Amphorenspektrum durchaus bestimmte Vorlieben ab, welche einerseits Hinweise auf die handelswirtschaftliche Anbindung der ostgriechischen Zentren insgesamt bergen⁶⁵⁶. Andererseits sind die unter diesem Kapitel vorgestellten Handels- und Transportamphoren aus den Siedlungsbefunden konkrete und wichtige Indikatoren für die weiter reichenden Beziehungen, die das archaische Ephesos jenseits der im Artemision deutlich werdenden Kontakte⁶⁵⁷ pflegte, und verweisen darauf, wie auch Ephesos in dieses mediterrane Handelsnetz eingebunden war⁶⁵⁸. Die im Amphorenspektrum in den archaischen Siedlungsbefunden in Ephesos immanenten Indikatoren werden in dem abschließenden Abschnitt dieses Kapitels zusammenfassend herausgearbeitet (s. u. Kap. 1.B.3.6.4j).

1.B.3.6.4a Amphoren milesischen Typs

Die Amphoren milesischen Typs zeichnen sich vor allem durch ihren im Querschnitt schmal mandelförmigen, hohen Rand aus. V. Grace sprach diese Amphoren als Variante ihres samischen Typs an⁶⁵⁹; sowohl von archäologischer wie auch archäometrischer Seite wurde die Herkunft aus Milet mittlerweile hinreichend bestätigt⁶⁶⁰, wobei eine Produktion außerhalb von Milet freilich nicht ausgeschlossen ist⁶⁶¹. Die Entwicklung, welche möglicherweise im ausgehenden 8. Jahrhundert einsetzt⁶⁶², geht von breiten hin zu schlankeren Gefäßproportionen. Die Randmorphologie allein

⁶⁵¹ Vgl. dazu im Überblick Monachov 1999, 29–60. Speziell für Istros s. Lambrino 1938, 101–132; Bîrzsecu 2005; Dupont 2005a; Bîrzsecu 2012a. Zum Amphorenvorkommen in Borysthènes vgl. Čistov 2012, 130–134.

⁶⁵² Zu den levantinischen Funden vgl. für Mezad Hashavyahu Fantalkin 2001, 89–96; für Askalon s. Waldbaum 2011, 307–318. Eine zusammenfassende Diskussion der levantinischen Befunde findet sich bei Waldbaum – Magness 1997, 32 f. Für Zypern vgl. zu Salamis Calvet – Yon 1977, 17–20; Calvet – Yon 1978, 48–50. Zu Kition s. Karageorghis 1978, 62; Johnston 1981, 39–41. A. Vacek verdanke ich die freundliche Information, dass sich in Al Mina sowohl chiotische Amphoren und SOS-Amphoren gemeinsam mit ionischen (samischen und/oder milesischen [?]) Wellenbandhydrien bzw. Wellenbandamphoren finden. Vgl. dazu auch Vacek 2012, 275–277.

⁶⁵³ Zu Taucheira vgl. Hayes 1966, 137–139; Hayes 1973, 61–64. Zu den punischen Fundstellen Karthago und Toscanos s. Docter 1997; Docter 2000.

⁶⁵⁴ Vgl. zu Gravisca Slaska 1978, 225–230; zu Pithekoussai di Sandro 1986, 53–88; zu Elea Gassner 2003, 120–129; s. außerdem die Beiträge in Cabrera Bonet – Santos Retolaza 2000.

⁶⁵⁵ Zu dem Wrack Dattier/Cap de Cavalaire vgl. Long 1990, 50 Nr. 1 Abb. 21; zu dem Wrack Bon Porté 1 vgl. Long 1990, 51 Nr. 7–9 Abb. 23; zu dem Wrack 1A von Pointe Lequin vgl. Long u. a. 1992, 220–223.

⁶⁵⁶ Zu den wirtschaftsgeschichtlichen Fragestellungen der Amphorenforschung unter besonderer Berücksichtigung der klassischen Zeit s. Lawall 1995, 1–12. Vgl. auch Dupont 2007a.

⁶⁵⁷ Dem Artemision kommt als international frequentiertem Heiligtum hier eine gesonderte Rolle zu, die nicht zwingend mit der archaischen Siedlung in Ephesos gleichzusetzen ist. Zu dem Artemision und seinen Außenbeziehungen vgl. Hogarth 1908; Kerschner 2005b. Speziell zu der Keramik s. Kerschner 2005a; Kerschner 2007; Kerschner 2008b; Kerschner 2008c.

⁶⁵⁸ I. Bîrzsecu hat sich zuletzt der verdienstvollen Aufgabe gewidmet, die Verbreitung ostgriechischer Amphoren im Mittelmeerraum in überblicksmäßigen Verteilungskarten festzuhalten. Vgl. dazu Bîrzsecu 2012a, 207–222.

⁶⁵⁹ Vgl. Grace 1971, 74 Nr. 4 Taf. 15. Dazu auch Dupont 2000b, 57 f.; Dupont 2005a, 230–233; Dupont 2007.

⁶⁶⁰ Zu den archäometrischen Grundlagen s. Dupont 1982, 203–206; Dupont 1983, 27 f. 42; Dupont 1986, 60; Kerschner – Mommsen 2005; Dupont 2007b, 44. s. weiters Cook – Dupont 1998, 170–177; Monachov 1999, 50 Nr. 1–3 Taf. 4; Dupont 2000b, 57; Seifert 2004; Naso 2005.

⁶⁶¹ Darauf verweist besonders Dupont 1982, 206; Dupont 2000b, 58; Dupont 2007b, 44; Dupont 2007a, 621; Lawall 2011, 304–306. s. außerdem Kerschner – Mommsen 2005, 123–125. Vgl. dazu auch Johnston 1990, Anm. 19.

⁶⁶² Zu dieser Datierung s. Naso 2005, 75 anhand der Befunde vom Kalabaktepe in Milet. Im Schwarzmeerraum (Borysthènes, Istros) finden sie sich in den Straten der ersten Besiedlung des ausgehenden 7. Jhs. Vgl. dazu zuletzt die typologische Studie von Bîrzsecu 2012a, 127–143. Die jüngsten Funde milesischer Amphoren, etwa in Athen und Phanagoria, belegen eine Laufzeit bis mindestens in das fortgeschrittene 5. Jh. s. dazu Lawall 1995,

stellt grundsätzlich kein sicher datierendes Kriterium dar⁶⁶³, was die Zuordnung der Fragmente aus den archaischen Siedlungsbefunden an bestimmte Typenvarianten der milesischen Amphoren schwierig gestaltet. Die folgende Diskussion des Materials beschränkt sich daher im Bemühen um eine tendenzielle typologische Einordnung auf die verifizierbaren Formmerkmale an Rand, Hals und Amphorenknaufl.

Die Amphoren **Kat. 886**, **Kat. 888**, **Kat. 1194**, **Kat. 1195** und **Kat. 1700** zeichnen sich durch einen mehr oder weniger oval mandelförmig verdickten Rand und ein sich darunter befindliches Band unterschiedlicher Breite am steil trichterförmig ausgestellten Hals aus. Vergleichbare Bänder unterhalb des Randes, einzeln oder mehrere, gelten für die milesischen Amphoren als typisch, wobei breite Bänder wie bei **Kat. 886** und der Haushaltsamphore **Kat. 730** von A. Naso als eine typologisch ältere Ausprägung angesprochen werden, die in milesischen Befunden schon seit dem beginnenden 7. Jahrhundert nachgewiesen ist⁶⁶⁴. Die zu ergänzenden Ganzformen verfügen über einen durch eine Einziehung oder Einkerbung (2. Hälfte 7. Jh.)⁶⁶⁵ oder einen plastisch geformten senkrechten Wulst (2. Hälfte 6. Jh.)⁶⁶⁶ abgesetzten Hals, einen breit-ovalen Gefäßkörper und einen relativ breiten, niedrigen Standring⁶⁶⁷. Während entsprechende Amphoren mit oval mandelförmig verdicktem Rand und Halsband in Milet selbst bereits seit dem beginnenden 7. Jahrhundert nachgewiesen sind, wird die Variante in Ephesos mit **Kat. 886** und **Kat. 888** erstmals in jenen Befunden evident, welche das Ende der AG Phase IIIb anzeigen. Zeitlich parallel dazu tritt die Form in den Zerstörungsbefunden von Mezzad Hashavyahu und Ashkelon auf⁶⁶⁸ sowie in den ältesten Befunden in Istros⁶⁶⁹. Mit **Kat. 2102** aus der Kammer D3 im Theater von Ephesos ist eine Haushaltsamphore derselben Formvariante gegeben (s. u. Kap. 2.A.2.5.2).

Bei **Kat. 887** zeichnet sich kein Halsband ab und der Rand scheint sich mit seiner kantig abgesetzten Innenkontur den Amphoren mit konkaver Innenkontur anzunähern. Kantige Ränder mit konkaver Innenkontur gehören tendenziell in die zweite Hälfte des 6. Jahrhunderts und sind etwa auch charakteristisch für die Hydrien und Amphoren der Fikelluraware. Eine formverwandte Amphore aus den Zerstörungsbefunden von Mezzad Hashavyahu belegt die Form indes sicher für das ausgehende 7. Jahrhundert und auch im Schwarzmeergebiet verzeichnen V. V. Ruban und I. Bîrzescu verwandte Formen schon in der zweiten Hälfte des 7. Jahrhunderts⁶⁷⁰. **Kat. 887** ist in einem Zerstörungsbefund der AG Phase IIIb vergesellschaftet, und mit **Kat. 889** findet sich dort eine zweite Amphore, die mit dem Wulstgrat im unteren Halsbereich ein morphologisches Merkmal aufweist, das eher erst im 6. Jahrhundert verortet wird. Im Unterschied zu den Amphoren des 6. Jahrhunderts ist der Wulst bei **Kat. 889** jedoch nicht als stehender und unterschrittener Falz auf der Schulter gebildet, sondern wie ein Ring um den Halsansatz gelegt. Möglicherweise wird in diesem Formdetail ein bislang noch nicht erfasster Schritt in der typologischen Entwicklung von der älteren Einziehung hin zum jüngeren plasti-

176–195; Cook – Dupont 1998, 174–176; Monachov 1999, 40–50; Čistov 2012, 131. Vgl. außerdem Sezgin 2012, 137–173.

⁶⁶³ Auf diese Schwierigkeit wurde bereits bei Kerschner – Mommsen 2005, 122 f. hingewiesen.

⁶⁶⁴ s. Naso 2005, 75 f. 79 Nr. 3 Abb. 2. Das Merkmal bleibt bis in die 2. Hälfte des Jahrhunderts bezeichnend. Dazu Bîrzescu 2009, 122 f. (Byblos-Typus). s. auch Sezgin 2012, 169 f. Abb. Mil2.01.02.

⁶⁶⁵ Zur Datierung dieses Formdetails vgl. Cook – Dupont 1998, 174; Naso 2005, 75. 79. 82 Nr. 4. 5 Abb. 2; Bîrzescu 2009, 122–124 (Byblos-Typus); Sezgin 2012, 169 (Typ Mil1 bis Typ Mil3).

⁶⁶⁶ Zur Datierung dieses Formdetails vgl. Cook – Dupont 1998, 175; Naso 2005, 76 Nr. 9. 10; 82. 83 Abb. 3; Bîrzescu 2009, 124 f. (Oikos-Typus); Lawall 2011, 304–306; Sezgin 2012, 169 (Typ Mil4 und Typ Mil5).

⁶⁶⁷ Exemplarische Ganzformen bei Cook – Dupont 1998, 170–177 Abb. 23, 7. 9.

⁶⁶⁸ Dazu Fantalkin 2001, 92 f. Nr. MA.5 Abb. 33; Waldbaum 2011, 310 Nr. 500. 503.

⁶⁶⁹ Zu Istros s. Bîrzescu 2012a, 131 f. (Typus 1). V. V. Ruban, der seine typologische Serie der milesischen Amphoren mit dem mittleren 7. Jh. beginnen lässt, führt die Form noch nicht an. Vgl. dazu Ruban 1991, 190 Abb. 8.

⁶⁷⁰ Ruban 1991, 183 Nr. 12 Abb. 1; 190 Abb. 8; Fantalkin 2001, 92 f. Nr. MA.7 Abb. 33; Bîrzescu 2012a, 133–140 (Typus 2 und 4). s. auch Sezgin 2012, 170 f. Abb. Mil2.33.39.

schen Falz am unteren Halsansatz evident oder eine wenig verbreitete Sonderform, die in spätarchaischer Zeit für die Amphoren ionischen Typs (s. u. Kap. 1.B.3.6.4c) übernommen wird⁶⁷¹.

Kat. 1426 zeigt eine weitere Variante milesischer Amphoren mit nunmehr deutlich lang schmalen Rand, die auch unter den Haushaltsamphoren vertreten ist (**Kat. 528. Kat. 1475. Kat. 1476**). Wie die oben besprochene, oval mandelförmige Randform wird auch diese Formvariante mit der Haushaltsamphore **Kat. 528** erstmals am Ende der AG Phase III fassbar, tritt aber erst in der AG Phase IV öfter auf. Wiederum findet sich mit einem Exemplar aus den Zerstörungsbefunden von Mezad Hashavyahu ein festdatiertes Vergleichsexemplar im späten 7. Jahrhundert⁶⁷².

Einer dritten Randvariante von Amphoren milesischen Typs gehören **Kat. 1051** und **Kat. 1196** an. Hier ist das schmale Halsband, das sich bei **Kat. 1196** nicht erhalten hat, mit einem lang schmalen und kaum verdickten Rand mit gerundeter Lippe kombiniert, der sich durch seine konvexe Formgebung, der die konkav gebildete Innenkante entspricht, vom steilen Hals absetzt. Die gleiche Randmorphologie, allerdings ohne Halsband, findet sich mit **Kat. 1182** bei einer Hydria milesischen Typs; sie ist in den archaischen Siedlungsbefunden in Boden- und Zerstörungshorizonten der AG Phase IV vertreten und somit zeitlich mit der Bau- und Nutzungszeit dieser Siedlungsphase zu verbinden. Die publizierten Vergleichsbeispiele⁶⁷³ verweisen auf eine Datierung zwischen dem ausgehenden 7. Jahrhundert und dem 6. Jahrhundert.

Kat. 693 hebt sich durch seinen auffallend kurzen und dreieckig verdickten Rand von den übrigen Amphoren milesischen Typs ab, das Fabrikat ist grundsätzlich jedoch mit milesischen Amphoren vergleichbar. M. Seifert hat Amphoren und Hydrien mit ähnlichem Dreiecksrand in ihrer Gruppe 4a zusammengefasst, die sie in das zweite Viertel des 7. Jahrhunderts datiert⁶⁷⁴. Die Vergesellschaftung von **Kat. 693** in einem Bauhorizont der AG Phase III kommt diesem Datierungsansatz entgegen.

Die Amphorenfüße **Kat. 970**, **Kat. 1197** und **Kat. 1198** illustrieren das Erscheinungsbild der Böden milesischer Amphoren. Während **Kat. 970** noch als Standring ausgebildet ist, was als Merkmal tendenziell früher Amphoren noch des mittleren 7. Jahrhunderts gilt⁶⁷⁵, nähern sich **Kat. 1197** und **Kat. 1198** bereits der engeren und kantigen Knaufform spätarchaischer Amphoren an. Auch bei **Kat. 1197** ist der Ringfuß noch relativ breit gelagert, während die Ringfüße im Laufe des 6. Jahrhunderts zunehmend enger werden⁶⁷⁶, ehe sie im 5. Jahrhundert von den klar abgesetzten Amphorenknäufen ersetzt werden⁶⁷⁷. Die Unverbindlichkeit dieser formtypologischen Entwicklung ist im Nebeneinander des weiteren Fußes **Kat. 1197** und der engen Variante **Kat. 1198** in einem Zerstörungsbefund der AG Phase IV gut veranschaulicht. Umgekehrt ist die typologisch ältere Variante **Kat. 970** mit der Vergesellschaftung in einem Zerstörungsbefund der AG Phase IIIb auch stratigrafisch früher nachweisbar.

Bei den Transportamphoren milesischen Typs aus den archaischen Siedlungsbefunden scheint es sich angesichts der Besonderheiten des Fabrikats auch tatsächlich um Amphoren milesischer

⁶⁷¹ Eine Amphore mit vergleichbarem Ringwulst ist aus dem Schwarzmeerraum für die 2. Hälfte des 7. Jhs. publiziert. Vgl. dazu Ruban 1991, 183 Nr. 6 Abb. 1; 190 Abb. 8. In dieser Form tritt der Wulst auch noch bei Amphoren ionischen Typs im 6. Jh. auf. Vgl. dazu beispielsweise Ersoy 1993, 223 Nr. 75 Taf. 237; Čistov 2012, 168 Nr. 2 Taf. 11.

⁶⁷² Fantalkin 2001, 92 f. Nr. MA.5 Abb. 33. In der Typologie bei Ruban 1991, 183 Nr. 2 Abb. 1; 190 Abb. 8 für die 2. Hälfte des 7. Jhs. belegt. Dazu auch Bîrzescu 2012a, 133–140 (Typus 2 und Typus 4); Sezgin 2012, 169 (Typ Mil3 und Typ Mil4).

⁶⁷³ Condurachi 1966, 486 Nr. 523 Taf. 54; Kleiner u. a. 1967, 148 Abb. 83; Voigtländer 1986b, 659 Nr. 99 Abb. 30; von Graeve 1988, 268 Nr. 8. 9 Abb. 15; Gassner 1997, 36 Nr. 50 Taf. 3; Cook – Dupont 1998, 170 Abb. 23, 8 a; Monachov 1999, 50 Nr. 1. 5 Taf. 4; Fantalkin 2001, 92 f. Nr. MA.6 Abb. 33; Seifert 2004, 64 Nr. 101 Taf. 39; Schattner 2007, Nr. AmA2 7 Abb. 33; Nr. AmB4 21 Abb. 39; Tzochev 2011b, 79 Nr. 2 Abb. 4. Vgl. auch Ruban 1991, 183 Nr. 6 Abb. 1; 190 Abb. 8; Sezgin 2012, 169 (Typ Mil4).

⁶⁷⁴ Dazu Seifert 2004, 14. 56 f. Nr. 11–16 Taf. 4. 5.

⁶⁷⁵ Naso 2005, 75; Bîrzescu 2009, 122 (Byblos-Typus); Sezgin 2012, 169 (Typ Mil2 und Typ Mil3).

⁶⁷⁶ Dazu Bîrzescu 2009, 124 (Oikos-Typus); Sezgin 2012, 169 (Typ Mil4 und Typ Mil5). Cook – Dupont 1998, 174 f. geht indes von einer umgekehrten Entwicklung von engeren Amphorenfüßen hin zu weiteren Füßen aus.

⁶⁷⁷ Vgl. dazu Lawall 1995, 177; Cook – Dupont 1998, 175.

Produktion zu handeln; für die von M. Kerschner und H. Mommsen mittels der NAA-Methode beprobten Gefäße **Kat. 886**, **Kat. 888**, **Kat. 1051** und **Kat. 1194** ist dies mit ihrer Zugehörigkeit zur Herkunftsgruppe A (Kalabaktepe-Werkstatt) gesichert⁶⁷⁸.

1.B.3.6.4b Amphoren samischen Typs

Die Amphoren samischen Typs wurden erstmals von V. R. Grace einer umfassenden Studie unterzogen, wenngleich viele ihrer Ergebnisse, gerade was die Lokalisierung des Typs auf Samos angeht, mittlerweile revidiert werden müssen⁶⁷⁹. Die hier als Amphoren samischen Typs bezeichneten Gefäße stehen jenen Amphoren nahe, die V. R. Grace in ihrer frühen Serie zusammenfasst und zeitlich zwischen dem beginnenden 6. und dem beginnenden 5. Jahrhundert einordnet⁶⁸⁰. Es handelt sich hierbei um auf niedrigen Ringfüßen ruhende Amphoren mit bauchigen Gefäßkörpern und kurzen, leicht trichterförmig ausgestellten Hälsen, von denen ovalstabile Henkel auf die weiten, flachen Schultern hinabreichen. Die Ränder sind massiv wulstförmig verdickt. Die Lokalisierung des Typs auf Samos wurde von V. R. Grace auf Basis samischer Münzbilder und samischer Amphorenstempel argumentiert⁶⁸¹; archäometrische Analysen konnten die Zuweisung, wenn auch nicht vorbehaltlos und ausschließlich, bestätigen⁶⁸².

Zahlreiche Materialvorlagen der letzten 40 Jahre erlauben es, den Produktionsbeginn der Amphoren samischen Typs wesentlich früher anzusetzen, als ihn V. R. Grace mit der Wende zum 6. Jahrhundert festmachte. Sieht man in den samischen Wellenbandhydrien (s. o. Kap. 1.B.3.6.3ab) einen Reflex zeitgleicher Amphorenproduktion, so ist spätestens in spätgeometrischer Zeit mit einer solchen zu rechnen⁶⁸³. Dieser Datierungsansatz hat sich zuletzt mit Amphoren samischen Typs aus Befunden des dritten Viertels des 8. Jahrhunderts in Karthago, in Pithekoussai und in Methone bestätigt, womit nicht nur die Produktion des Typs, sondern auch seine Verbreitung nach Norden und Westen belegt ist⁶⁸⁴.

In den archaischen Siedlungsbefunden von Ephesos sind die insgesamt wenigen Amphoren samischen Typs ebenfalls bereits in Befunden des früheren 7. Jahrhunderts vertreten.

Mit **Kat. 64** begegnet schon in den Brandzerstörungshorizonten der AG Phase II ein Randfragment, dessen massiv wulstig verdickter Rand für die Amphoren samischen Typs kennzeichnend ist. Das leicht kantige Profil des Randes ist indes ungewöhnlich und findet eine annähernde Parallele in einem Gefäß aus den Zerstörungsbefunden von Mezad Hashavyahu, allerdings fällt dort der Rand insgesamt wuchtiger aus, während ein Gefäß aus Pithekoussai nicht nur die Randmorphologie, sondern auch die kleinen Dimensionen mit **Kat. 64** gemeinsam hat⁶⁸⁵.

Von den Amphoren **Kat. 514** und **Kat. 775** haben sich der annähernd rundstabile und kaum abgesetzte Rand sowie der trichterförmig ausgestellte, im Falle von **Kat. 514** leicht gebauchte Hals erhalten. Beide Merkmale finden ihre engste Parallele wiederum bei einem Gefäß aus Mezad Hashavyahu⁶⁸⁶, das hier einen auch für **Kat. 514** und **Kat. 775** aus dem Bauhorizont der

⁶⁷⁸ Vgl. Kerschner – Mommsen 2005, 120–122.

⁶⁷⁹ s. Grace 1971. Kritisch dazu äußern sich Whitbread 1995, 122–133; Cook – Dupont 1998, 164–169; Dupont 2005a, 234–237. Vgl. auch Bîrzescu 2012a, 145–148; Sezgin 2012, 176–199.

⁶⁸⁰ Grace 1971, 68–71 Nr. 1 Abb. 1; 71 Nr. 2 Abb. 2.

⁶⁸¹ Vgl. dazu Grace 1971, 55–68.

⁶⁸² Vgl. dazu Dupont 1982, 204–208; Dupont 1983, 42; Whitbread 1995, 125. 129–133. Kritisch äußert sich Dupont 2000b, 58 f.

⁶⁸³ Vgl. dazu Walter 1957, 42 Abb. 3 Beil. 55; Walter – Vierneisel 1959, 21 Beil. 46–48, 1 (Brunnen G).

⁶⁸⁴ Zu Karthago vgl. Docter 1997, 240 f.; Docter 2000, 69 f. Abb. 8 a; zu Pithekoussai vgl. di Sandro 1986, 69–76. Zu Methone vgl. Besios u. a. 2012, 360–366 Nr. 16–19; 457 f. Nr. 123; 459 f. Nr. 125. Vgl. auch Bîrzescu 2012a, 147.

⁶⁸⁵ Zu Pithekoussai vgl. di Sandro 1986, 72 Nr. SG 174 Taf. 14. Zu Mezad Hashavyahu s. Fantalkin 2001, 90 f. Nr. SA1.4 Abb. 32.

⁶⁸⁶ Fantalkin 2001, 90–93 Nr. SA1.1 Abb. 33. Vgl. außerdem Calvet – Yon 1977, 19 Nr. 116 Taf. 11; Voigtländer 1982, 70 Nr. 171 Abb. 28; Gassner 1997, 35 Nr. 42 Taf. 3; Cook – Dupont 1998, 167 Abb. 23, 6 c. d; Monachov 1999, 64 Nr. 412. 413 Taf. 10; Schattner 2007, Nr. AmB2 10 Abb. 36.

AG Phase IIIb sehr plausiblen Datierungsansatz am Ende des 7. Jahrhunderts bietet. Zwar ist **Kat. 514** in einem Horizont vergesellschaftet, der sich in der sorgfältigen Grabungsdokumentation von P. Scherrer als Bodenniveau der AG Phase III darstellt und demnach den Bau des zugehörigen Gebäudes NB datieren müsste. Das Nebeneinander mit der ausnehmend gut erhaltenen Amphore **Kat. 515** ebenfalls samischen Typs zeigt jedoch, dass im Zuge des Grabungsverlaufs das eigentliche Bodenniveau von dem auf ihm zerstörten Material, welches das Ende der Nutzung signalisiert, nicht stringent getrennt wurde. Bei **Kat. 515** haben sich große Teile der ursprünglichen Ganzform erhalten, sodass die gesamte obere Gefäßhälfte vom Rand bis auf mittlere Höhe wieder zusammengesetzt werden konnte⁶⁸⁷; einzig vom Unterteil ist wenig, vom zugehörigen Amphorenfuß nichts erhalten. Die Erhaltung von annähernden Ganzgefäßen, wie **Kat. 515** eines darstellt, ist im Siedlungszusammenhang nur im Falle eines *in situ*-Zerstörungsbefundes zu erwarten, weshalb zumindest mit der Amphore **Kat. 515** tatsächlich ein Gefäß vorliegt, das zu dem Zeitpunkt der Aufgabe des Gebäudes NB aus der AG Phase III in Benutzung war.

Kat. 515 ist durch eine weit ausladende, kuppelförmige Schulter gekennzeichnet, von welcher der sehr niedrige und trichterförmig ausgestellte Hals mit einer seichten Einschnürung abgesetzt ist. Das Fehlen eines den Halsansatz betonenden plastischen Wulstes zeichnet sich in samischen Befunden als ein Charakteristikum der Amphoren erst des 6. Jahrhunderts ab⁶⁸⁸. Von der Mitte des Halses reichen die beiden massiv ovalstabigen und für Amphoren erstaunlich englichtigen Henkel auf die Schultermitte hinab. Der Rand ist nicht, wie meist bei Amphoren samischen Typs belegt, wulstig verdickt und abgesetzt, sondern er geht direkt vom Hals ab und biegt weit und rundstabig verdickt aus. Eine vergleichbar rundstabig unterschrittene Randform ist bei einer Amphora aus Samos in einem Fundzusammenhang am Übergang vom 7. in das 6. Jahrhundert belegt⁶⁸⁹. Ein weiteres Gefäß aus einem nacharchaischen Fundzusammenhang von der Tetragonos Agora wurde von M. Kerschner und H. Mommsen beprobt und konnte der auf Samos lokalisierten Herkunftsgruppe J zugewiesen werden⁶⁹⁰.

Bei **Kat. 1573** ist der massiv wulstig verdickte Amphorenrand mit einem ungewöhnlich dünnwandigen und annähernd zylindrischen Gefäßhals kombiniert. Mit **Kat. 1427**, **Kat. 1574** und **Kat. 1877** hat **Kat. 1573** die leicht treppenförmig abgesetzte Randinnenkante und die Vergesellschaftung in einem Befund der AG Phase IV gemeinsam, wobei der Bauhorizont, aus dem das Stück stammt, auch chronologisch gut mit dem Vergleichsstück aus Mezad Hashvyahu vereinbar ist⁶⁹¹. Mit den Haushaltsamphoren und Hydrien **Kat. 1313** und **Kat. 1828**, die sich ebenfalls durch einen Wulstrand auszeichnen, bildet **Kat. 1573** eine petrografische Gruppe ab, die dem wahrscheinlich lokalen Fabrikat vieler gebrauchskeramischer Gefäße nahe steht und für die eine Lokalisierung in Ephesos angedacht werden kann (s. u. Kap. 4.C).

Die Randfragmente **Kat. 1427**, **Kat. 1574** und **Kat. 1877** zeichnen sich durch ihre schmale Randform aus, die konkave Abtreppung an der Randinnenkante findet eine gute Entsprechung bei einer Haushaltsamphore aus einem Befund der ersten Hälfte des 6. Jahrhunderts im Heraion von Samos⁶⁹². Mit der Haushaltsamphore **Kat. 25** findet sich eine vergleichbare Formgebung freilich schon in einem wesentlich früheren Befund der AG Phase II.

Kat. 1575 zeigt eine mit einem hellen Malgrund versehene Amphore mit zylindrischem Gefäßhals, der massiv verdickte Wulstrand ist an der Oberkante abgeflacht, wie es für eine

⁶⁸⁷ Für die freundliche Hilfsbereitschaft und das fachkundige Ausführen dieses Unterfangens geht mein herzlicher Dank an die Restauratorinnen S. Kalabis und M. Eser.

⁶⁸⁸ Vgl. dazu Furtwängler – Kienast 1989, 93 f.

⁶⁸⁹ s. Kopcke 1968, 268 Nr. 49 Abb. 18 Taf. 103. Ähnlich auch die Datierung der Form bei Sezgin 2012, 195 (Typ Sam1).

⁶⁹⁰ Kerschner – Mommsen 2005, 120–122 Abb. 13; 126 mit noch keiner genauen Zuordnung. Mittlerweile gilt die Lokalisierung der Herkunftsgruppe J auf Samos als im höchsten Maße wahrscheinlich.

⁶⁹¹ Vgl. Fantalkin 2001, 90–93 Nr. SA2.3 Abb. 33. s. außerdem für ähnliche Formen aus Ephesos Gassner 1997, 34 Nr. 39 Taf. 3 und Kerschner 2008a, 71 Nr. 60 Taf. 16. 33.

⁶⁹² Furtwängler – Kienast 1989, 122 Nr. 13 Abb. 24 Taf. 27.

zweite Variante samischer Amphoren der ersten Hälfte des 6. Jahrhunderts bezeichnend ist⁶⁹³. Das Phänomen der abgeflachten Randoberkante ist in Ephesos aber mit der Hydria **Kat. 109** aus dem Zerstörungsbefund der AG Phase II wiederum deutlich früher nachgewiesen⁶⁹⁴.

Die kleine Amphore **Kat. 776** zeichnet sich durch einen kleinen profilierten Absatz an der Unterkante des Wulstrand ab. Vergleichbare Gefäße sind aus einer Opfergrube nördlich des Schatzhauses D im Heraion von Samos und aus Didyma bekannt und können damit zum südionischen Amphorenspektrum des ausgehenden 6. Jahrhunderts gezählt werden; auch die reduzierten Dimensionen hebt A. Furtwängler als ein Charakteristikum spätarchaischer Gefäße hervor⁶⁹⁵. Für die Amphore **Kat. 776** zeichnet sich mit ihrer Vergesellschaftung in einem Bauhorizont der AG Phase IIIb eine frühere Datierung noch im fortgeschrittenen 7. Jahrhundert ab.

Die weit ausgestellte Gefäßmündung von **Kat. 1428** wird wahrscheinlich dadurch zu erklären sein, dass der erhaltene Gefäßausschnitt durch den nicht mehr erhaltenen Henkelansatz verdrückt wurde.

Bodenfragmente wie **Kat. 1701** lassen sich nur sehr allgemein der südionischen Produktionsregion zuweisen. Ein nahes Vergleichsbeispiel aus Karthago ist dort in einem Befund des dritten Viertels des 7. Jahrhunderts vergesellschaftet⁶⁹⁶.

Die zehn Amphoren samischen Typs aus den archaischen Siedlungsbefunden in Ephesos verteilen sich über die AG Phase II, III und IV, wobei sich ein Schwerpunkt in der AG Phase III und IV mit je vier Gefäßen abzeichnet. Die meisten Fragmente lassen sich aufgrund ihrer optisch fassbaren Merkmale ohne weiters als tatsächlich samische Erzeugnisse ansprechen⁶⁹⁷. Einzig die Gefäße **Kat. 1573** und **Kat. 1909** aus Befunden der AG Phase IV werfen die Frage nach einer lokalen ephesischen Produktion der Amphoren samischen Typs im 6. Jahrhundert auf, die sich zumindest für **Kat. 1573** in der petrografischen Dünnschliffanalyse weiter erhärten ließ (s. u. Kap. 4.C). Auch die kleine Amphore **Kat. 776** weist Ähnlichkeiten mit dem rottonigen Fabrikat vieler ephesischen Alltagswaren auf (s. o. Kap. 1.B.3.1.1), im Unterschied dazu ist sie jedoch härter gebrannt und zeigt im Bruch viele Kalkpseudomorphosen.

1.B.3.6.4c Amphoren ionischen Typs

Eine formal gut zu erfassende Gruppe ostgriechischer Transportamphoren hat der Amphorenforschung, welche geneigt ist, bestimmte Typen einem klar ausgemachten Produktionszentrum oder zumindest einer Produktionsregion zuzuweisen, aufgrund ihres weiten Verbreitungsradius und vor allem wegen der scherbentypologischen Diversität in ihrer Interpretation Schwierigkeiten bereitet. Im Unterschied zu der Vielfalt an fassbaren Fabrikaten stellt sich die Gruppe unter formtypologischen Gesichtspunkten sehr einheitlich dar⁶⁹⁸. Es handelt sich um tendenziell schlanke Amphoren mit engen Standringen oder Ringfüßen und ovoiden Gefäßkörpern, auf deren abgeschrägten Schultern die ovalstabigen Henkel, welche vom hohen, meist zylindrischen oder leicht ausgestellten Hals ausgehen, mittig aufsitzen. Den oberen Halsbereich schmückt zumeist eine tiefe Rille, eine weitere plastische Markierung kann den Halsansatz betonen. Die verdickten Ränder zeichnen sich durch ihre kantige Außenkontur mit der geraden bis leicht unterschnittenen Unterkante aus. Die Amphoren ionischen Typs beschränken sich bis auf wenige Ausnahmen

⁶⁹³ Vgl. dazu Isler 1978b, 162 Nr. 627 Beil. 22; Furtwängler – Kienast 1989, Nr. 1 Abb. 16. Zu der Datierung speziell Furtwängler – Kienast 1989, 92–94. s. auch Bîrzescu 2012a, 150–161 (Typus 1 und Typus 2).

⁶⁹⁴ Auch Sezgin 2012, 196 Abb. Sam1.21 belegt das morphologische Detail bereits ab dem späteren 7. Jh.

⁶⁹⁵ Zu Samos vgl. Sinn 1985, 154 Nr. 41 Abb. 7 g; zu Didyma s. Schattner 2007, 117 f. Nr. AmB11 3 Abb. 41 mit Verweisen auf Parallelstücke aus milesischen Befunden des 6. und 5. Jhs. s. auch Furtwängler – Kienast 1989, 94.

⁶⁹⁶ Dazu Docter 2000, 75–77 Abb. 11 d (Stratum IV 2b1). s. auch Waldbaum 2011, 313 Nr. 513.

⁶⁹⁷ Zu dem charakteristischen Erscheinungsbild des Fabrikats vgl. Whitbread 1995, 124. s. auch Docter 1997, 240.

⁶⁹⁸ Zu den Vergleichsstücken s. Voigtländer 1982, Nr. 40 Abb. 7; Nr. 173 Abb. 28; Monachov 1999, 52 Nr. 6 Taf. 6; de La Genière – Jolivet 2003, 156 Nr. 9 Abb. 53; Yılmaz 2008, 256 Nr. 25 Abb. 28. Vgl. außerdem Zeest 1960, 141 Nr. 15b Taf. 5; Dupont 2000b, 58; Dupont 2005a, 234 f.; Dupont 2007a, 621–623; Lawall 2011, 306 f.; Čistov 2012, 168 Taf. 11; 217 f. Taf. 61. 62; Bîrzescu 2012b, Taf. 50–54.

auf ostgriechische Fundorte entlang der türkischen Westküste, den ihr vorgelagerten Inseln und weisen besonders im Schwarzmeerraum⁶⁹⁹ eine hohe Funddichte auf. Nicht zuletzt deshalb hat I. Bîrzescu die Bezeichnung dieser von ihm erschöpfend diskutierten Amphoren als Amphoren ionischen Typs gewählt⁷⁰⁰.

Die Amphoren ionischen Typs wurden erstmals von I. B. Zeest unter dem Begriff samischer und protothasischer Amphoren zusammengefasst, in das spätere 6. und in das 5. Jahrhundert datiert und auf Samos sowie Thasos lokalisiert⁷⁰¹. Während zuletzt Milet, das nördliche Ionien und vor allem der nordägäische Raum mit Thasos und Abdera aufgrund der Fundevidenz als Hersteller dieser Typen plausibel diskutiert wurden, kann dieses Argument für die Insel Samos, wie von I. B. Zeest ursprünglich vorgeschlagen, nur noch bedingt in Betracht kommen⁷⁰². Grundsätzlich verweisen die Unterschiede in Fabrikat und Formdetail jedoch auf mehrere Herstellungszentren⁷⁰³, wobei die klassischen Methoden archäologischer Interpretation an ihre Grenzen stoßen.

Während Samos in der Diskussion um die Lokalisierung der Amphoren ionischen Typs keine große Rolle mehr spielt⁷⁰⁴, ist Milet als zweites südionisches Zentrum archaischer Keramikproduktion und trotz seines eigenen gut etablierten Amphorentyps (s. o. Kap. 1.B.3.6.4a) dagegen auch ein wahrscheinlicher Kandidat für die Produktion der Amphoren ionischen Typs. Im Fundspektrum spätarchaischer Befunde Milets sind die Amphoren ionischen Typs vertreten⁷⁰⁵, wenn sie auch deutlich hinter dem Anteil der Amphoren milesischen Typs zurückbleiben. Beide Typen zeigen jedoch eine Reihe von Gemeinsamkeiten in Form und Größe, die P. Dupont erstmals zu der Annahme eines Produktionszusammenhangs veranlassten. Umgekehrt argumentiert P. Dupont mit dem im Verhältnis zu den Amphoren milesischen Typs stark überwiegenden Anteil der Amphoren ionischen Typs im Schwarzmeerraum, woraus er für die zweite Hälfte des 6. Jahrhunderts eine am Markt orientierte, typologisch divergierende Amphorenproduktion in Milet andenkt, die unterschiedliche Inhalte widerspiegelt⁷⁰⁶. Demzufolge wären die Amphoren mile-

⁶⁹⁹ Dazu Dupont 2005a, 230. s. auch Ruban 1991, 187–190 Abb. 5–8; Monachov 2003, 247; Lejpuskaja u. a. 2010, 356–358 Taf. 290; Čistov 2012, 130–134; Bîrzescu 2012a, 124. 216 Abb. 85.

⁷⁰⁰ s. dazu Bîrzescu 2012a, 111–125. I. Bîrzescu unterscheidet zwei Typen, Ionien I und Ionien II, was teilweise die formale Unterscheidung der protothasischen und samischen Typen nach I. Zeest widerspiegelt. Ersoy 1993, 416–420 trägt diesem Umstand ebenfalls Rechnung, indem er die Gefäße des Typs aus Klazomenai als ostgriechische Amphoren zusammenfasst. Bei Lawall 1995, 177. 181–184 findet sich der Typ unter dem Kürzel S/2 und wird als samisch/milesisch verstanden. Vgl. dazu auch Lejpuskaja u. a. 2010, 356–358. Gassner 2003, 123–129 versteht den Typ als südionische und/oder mittelionische Produktion. Ruban 1991 reiht die Amphoren ionischen Typs in seiner Typologie der milesischen Amphoren ein. Dazu auch Monachov 2003; Bîrzescu 2012a, 122. s. außerdem Sezgin 2012, 257–281 (Ionia β).

⁷⁰¹ Zeest 1960, 16 Taf. 1. 3. Im Material von Ephesos ist eine solche Unterscheidung angesichts des Erhaltungszustands, der über die Ganzform wenig aussagt, nicht zielführend. Auch Ruban 1991, Monachov 2003 und zuletzt Bîrzescu 2012a, 111–125 haben verschiedene Typenvarianten unterschieden.

⁷⁰² Grace 1971, 73 Nr. 4 Abb. 2; Nr. 3 Taf. 15 zeigt spätarchaische Amphoren aus Samos, welche mit Zeests samischem Typ formal übereinstimmen. Dupont 2007b, 41–44 hat vehement eine nordägäische und nordionische (Gruppe 1, Gruppe 4) bzw. milesische (Gruppe 2) Produktion dieser Amphoren vertreten. s. auch Ruban 1991; Cook – Dupont 1998, 182; Dupont 2000b, 58. 60 f.; Gassner 2003, 129; Dupont 2005a, 234 f. und besonders Dupont 2007a. Bîrzescu 2012a, 111–114 hat zuletzt ebenfalls ein nordionisches Zentrum im Umfeld von Chios als Produktionsort vorgeschlagen.

⁷⁰³ Dazu zusammenfassend Cook – Dupont 1998, 182–185; Bîrzescu 2012a, 113. 121–123.

⁷⁰⁴ Ein möglicher Zusammenhang wurde auf archäometrischer Grundlage von Whitbread 1995, 126–128 zumindest nicht ausgeschlossen, während Dupont 1983, 34 und Bîrzescu 2012a, 113 einen solchen in Frage stellen. s. dazu auch besonders die Diskussion bei Lawall 1995, 187–191 zu seinem Typ S/2 sowie Gassner 2003, 126–128. Zu der archäologischen Evidenz für Samos vgl. umgekehrt Gassner 2003, 125; Dupont 2000b, 58; Dupont 2005a, 234.

⁷⁰⁵ Vgl. Voigtländer 1982, 69 f. Abb. 27. 28; Seifert 2004, 28 f. 74 Nr. 209–214 Taf. 83. 84 rechnet die in ihrer Gruppe 32 zusammengefassten Amphoren ionischen Typs erstaunlicherweise einer Produktion im Umfeld der korinthischen zu, ohne sie jedoch beprobt zu haben. Auch vom Kalabaktepe ist mit Inv. K07/40.31 eine ionische Amphore in Milet belegt. Für den freundlichen Hinweis danke ich M. Kerschner. Vgl. auch Cook – Dupont 1998, 183; Dupont 2007a; Bîrzescu 2012a, 114. 122.

⁷⁰⁶ Cook – Dupont 1998, 184 f.; Dupont 2000b, 58. 60; Dupont 2005a, 234; Dupont 2007a, 622. s. auch die Diskussion bei Bîrzescu 2012a, 114.

sischen Typs für den Transport von Öl, dem wichtigsten lokalen Produkt Milets, bestimmt, jene ionischen Typs in Anlehnung an die für ihren Wein berühmten Regionen der nördlichen Ägäis hingegen für den Weinhandel⁷⁰⁷. Aus dem Schiffswrack 1A von Pointe Lequin ist schließlich eine Amphore ionischen Typs publiziert, deren am Henkel angebrachter Stempel in Form zweier eingetiefter Kreise eine direkte Parallele bei einer bislang unpublizierten Amphore milesischen Typs in Istros findet⁷⁰⁸, wodurch die These einer Produktion beider Amphorentypen in denselben Werkstätten erneut bestärkt wird. Das wahrscheinlich milesische Halsfragment **Kat. 889**, welches sich mit den Amphoren ionischen Typs den am Hals umlaufenden Ringwulst teilt⁷⁰⁹, könnte innerhalb der archaischen Siedlungsbefunde von Ephesos ein weiteres Indiz für eine milesische Produktion des Typs liefern.

Als zweite Produktionsregion der Amphoren ionischen Typs kommt das nördliche Ionien in Frage⁷¹⁰. In diesem Zusammenhang ist vor allem das massive Auftreten des Amphorentyps in Koloniegründungen der nordionischen Mutterstädte Klazomenai (Abdera), Chios (Maroneia) und Teos (Phanagoria, Abdera) von besonderem Interesse. Bereits V. Gassner hat darauf hingewiesen, dass in den nordionischen Kolonien in der nördlichen Ägäis (Abdera und Maroneia) der Zusammenhang zwischen den Amphoren produzierenden Räumen Ionien und Nordägäis zu suchen sein könnte⁷¹¹. Während die gut bekannten Amphorenproduktionen der Mutterstädte Klazomenai (Abdera) und Chios (Maroneia) für die Frage nach den Amphoren ionischen Typs weniger ins Gewicht fallen, liegen mittlerweile auch aus Teos (Abdera, Phanagoria)⁷¹² Daten vor, die eine dortige Herstellung der Amphoren ionischen Typs bestätigen⁷¹³. Mit einer gestempelten Amphore des ionischen Typs in seiner frühklassischen Ausprägung aus dem Schiffswrack von Tektaş Burun ist außerdem Erythrai ein plausibler Produzent der Amphoren ionischen Typs⁷¹⁴. Schließlich sei an dieser Stelle auf das Randfragment **Kat. 2033** aus den Theaterbefunden verwiesen (s. u. Kap. 2.A.2.5.3), welches L. Betina einer petrografischen Gruppe des nordionischen Raumes zuweisen konnte (s. u. Kap. 4.C).

Mit der nördlichen Ägäis ist eine dritte wahrscheinliche Produktionsregion der Amphoren ionischen Typs gegeben⁷¹⁵. Vor allem in den thrakischen Küstenregionen um Abdera⁷¹⁶ und Maroneia sowie auf Thasos ist der Amphorentyp stark vertreten, umgekehrt weisen Amphoren ionischen Typs formale und mitunter scherbentypologische Ähnlichkeiten mit thasischen Amphoren des 4. Jahrhunderts auf⁷¹⁷. Zuletzt hat V. Gassner darauf hingewiesen, dass in der Phokaierkolonie Elea Amphoren ionischen Typs und Amphoren nordägäischen Typs vorliegen, die derselben Rohstoffgruppe angehören⁷¹⁸. Darüber hinaus sind auf Thasos gestempelte Exemplare belegt, die ihre Gegenstücke im Schwarzmeergebiet finden⁷¹⁹. Auf einen nordägäischen Zusammenhang

⁷⁰⁷ Zur Bedeutung des Olivenöls für Milet vgl. Dupont 1982, 206; Dupont 2013, 234. Die These der möglichen Verwendung der Gefäße für den Weintransport wird darüber hinaus durch die an vielen Amphoren ionischen Typs erhaltenen Harzreste erhärtet. Dazu Bîrzescu 2012a, 124.

⁷⁰⁸ s. dazu Long u. a. 1992, 220 Nr. 5 Abb. 43, bes. Anm. 39. Vgl. auch Dupont 2007a, 624.

⁷⁰⁹ Ersoy 1993, 223 Nr. 75 Taf. 237. Vgl. außerdem eine Amphore ionischen Typs mit dem gleichen Merkmal bei Čistov 2012, 168 Nr. 2 Taf. 11.

⁷¹⁰ Dazu bereits Ersoy 1993 und bes. Ersoy 2004, 56 Abb. 15 f; 65 Abb. 23 g–1 mit einer Betonung auf Klazomenai; Bîrzescu 2012a, 123.

⁷¹¹ Vgl. Gassner 2003, 129. Auch Dupont 2000b, 58–61 nimmt diese beiden Produktionsregionen an. Bîrzescu 2012a, 111–114 hebt indes das nordionische Element besonders hervor.

⁷¹² Vgl. dazu Dupont 2007a, 624. 629.

⁷¹³ Dazu die Analyse von M. Kerschner und H. Mommsen in Kadioğlu u. a. 2015, 350 Abb. 2.

⁷¹⁴ Vgl. dazu Bîrzescu 2012a, 123 mit Lit.

⁷¹⁵ s. Dupont 2007b, 41–44. Zusammenfassend Bîrzescu 2012a, 122.

⁷¹⁶ Speziell dazu vgl. Dupont 2000b, 58; Gassner 2003, 129; Monachov 2003, 247; Dupont 2007a, 622–624.

⁷¹⁷ Cook – Dupont 1998, 183–186 hebt hier vor allem die Fußform der Amphoren ionischen Typs hervor. s. auch Dupont 2000b, 60; Gassner 2003, 125. 129; Dupont 2007a, 622 f.; Bîrzescu 2012a, 113.

⁷¹⁸ Vgl. dazu Gassner 2003, 129. 325 Nr. II a. 229; 336 Nr. II b.88 Abb. 58.

⁷¹⁹ s. Cook – Dupont 1998, 185 f.; Dupont 2000b.

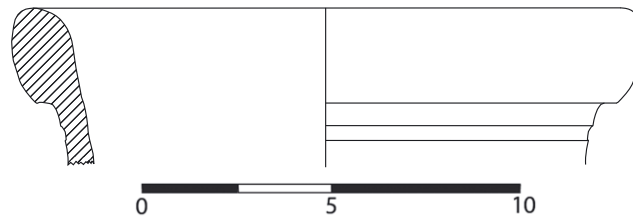


Abb. 31 Amphore ionischen Typs Pan 08/2048.16

verweisen auch die vielen aus Klazomenai belegten Amphoren ionischen Typs⁷²⁰, die sich durch die konisch einziehende Halsform auszeichnen und damit ein charakteristisches Merkmal der lesbischen Transportamphoren (s. u. Kap. 1.B.3.6.4f) aufweisen oder es vielleicht von diesen übernehmen.

Das unbemalte Randfragment **Kat. 1369** weist mit dem kantig verdickten Wulstrand mit der leicht überhängenden Randaußenkante das typische Randprofil der Amphoren ionischen Typs auf. Die eingetiefte Rille im oberen Halsbereich kann hingegen nicht nachgewiesen und aufgrund des Erhaltungszustands von **Kat. 1369** auch mit Sicherheit ausgeschlossen werden. Das Randfragment mit einem Mündungsdurchmesser von 11 cm gehört darüber hinaus einer ungewöhnlich kleinformatigen Amphore an, die ihre engsten Parallelen in Istros bei Gefäßen des von I. Bîrzescu definierten Typs Ionien I.2 findet; diese sind in der Variante A bereits vereinzelt in der ersten Hälfte des 6. Jahrhunderts nachgewiesen⁷²¹. Möglicherweise wurden die Amphoren ionischen Typs nicht nur an unterschiedlichen Orten hergestellt, sondern sie wurden auch in verschiedenen Größen produziert, wobei sich die kleine Serie, die abgesehen von **Kat. 1369** auch in **Kat. 2032** und **Kat. 2033** aus den Theaterbefunden (s. u. Kap. 2.A.2.5.3) deutlich wird, durch das Fehlen des Rillendekors ausgezeichnet haben mag. I. Bîrzescu hat auch im Fabrikat vergleichbare und entsprechend kleindimensionierte Amphoren des Typs unter Ionien I.3 zusammengefasst⁷²². Demgegenüber weisen die aus Ephesos in nacharchaischen Befunden vertretenen, großen Amphoren ionischen Typs die typische Rille unter dem Rand auf (z. B. **PAN 08/2048.16** Abb. 31). Die im optischen Eindruck unterschiedlichen Fabrikate der drei Randfragmente aus ephesischen Befunden geben dabei keinen Hinweis darauf, dass diese kleinen Gefäße aus nur einer Werkstatt kommen, sondern sie scheinen wie ihre größerformatigen Gegenstücke aus unterschiedlichen Tonrohstoffen hergestellt, verschieden aufgearbeitet oder unter voneinander abweichenden Brandbedingungen fertiggestellt worden zu sein, wenngleich sich zumindest **Kat. 1369** und **Kat. 2032** aus den Theaterbefunden derselben petrografischen, aber für eine Herkunftsbestimmung nur bedingt indikativen Gruppe zuordnen ließen (s. u. Kap. 4.C). Sollte es also eine kleine Serie innerhalb der Amphoren ionischen Typs geben, so ist mit deren Produktion ebenso wie für die großen Transportamphoren in mehreren Zentren zu rechnen. I. Bîrzescu hat hierbei eine tendenzielle zeitliche Abfolge von großen Transportamphoren ab dem mittleren 6. Jahrhundert hin zu kleineren Amphoren ab dem ausgehenden 6. Jahrhundert feststellen können⁷²³. **Kat. 1369** hätte mit ihrer Vergesellschaftung in einem Bodenniveau der AG Phase IV dabei als eine ungewöhnlich frühe Vertreterin der kleinformatigen Serie zu gelten.

⁷²⁰ Vgl. Ersoy 1993, Nr. 49 Taf. 112; Nr. 44 Taf. 213; Nr. 56 Taf. 214; Nr. 72 Taf. 231; Nr. 74 Taf. 232; Nr. 45 Taf. 240; Nr. 54 Taf. 252; Nr. 50 Taf. 262.

⁷²¹ Bîrzescu 2012a, 115–151. 316 Nr. 1024. 1026 Taf. 51; zur Datierung bes. 115 f. (Variante A).

⁷²² Bîrzescu 2012a, 121.

⁷²³ Vgl. Bîrzescu 2012a, 113. Zur Datierung s. auch Dupont 2000b, 58; Dupont 2005a, 219.

1.B.3.6.4d Klazomenische Amphoren

Die klazomenischen Amphoren wurden erstmals von M. Lambrino als eigenständige Gruppe unter der Bezeichnung Typ B erfasst⁷²⁴, die erste umfassendere Studie zu den klazomenischen Amphoren ist E. Doğer geschuldet⁷²⁵. In jüngerer Zeit haben sich Y. Ersoy und Y. Sezgin mit den klazomenischen Amphoren auseinandergesetzt⁷²⁶. Die Lokalisierung des Amphorentyps in Klazomenai ist in der archäologischen Evidenz von Grabungsbefunden nicht zuletzt aufgrund zahlreicher Fehlbrände gut argumentiert⁷²⁷ und konnte von P. Dupont auch in der naturwissenschaftlichen Analyse belegt werden⁷²⁸. Die jüngsten Evidenzen aus Klazomenai bestätigen einen Beginn der dortigen Amphorenproduktion im mittleren 7. Jahrhundert und damit etwas früher als noch von E. Doğer mit dem ausgehenden 7. Jahrhundert vorgeschlagen⁷²⁹.

Die charakteristischen formalen Merkmale der klazomenischen Amphoren archaischer Zeit sind in einem rundstabig verdickten Wulstrand über einem hohen, zylindrischen bis leicht ausgestellten Hals, von dem die flach bandförmigen Henkel auf die schräge Schulter reichen, einem ovoiden Gefäßkörper und einem hohen Hohlfuß mit ausschwingender Ringbasis gegeben. Die typologische Entwicklung tendiert zu zunehmend schlankeren und gestreckten Gefäßproportionen. Y. Ersoy hat anhand der Siedlungsbefunde in Klazomenai eine Typologie nur der Randformen vom mittleren 7. Jahrhundert bis in das spätere 6. Jahrhundert entworfen⁷³⁰.

Innerhalb der klazomenischen Amphoren können verschiedene Dekorvarianten unterschieden werden. Kennzeichnend ist einerseits die unterschiedliche Bänderung am Rand und am Gefäßkörper. Das vertikale Band, welches die Henkelaußenseite schmückt, kann sich über den Gefäßkörper bis auf das Band am Unterbauch hinziehen. Die Bänderung kann direkt auf die Gefäßoberfläche aufgetragen sein oder über einem diese bedeckenden hellen Gefäßüberzug, bei manchen frühen Gefäßen kommt eine liegende S-Schleufe auf der Schulter oder auch am Hals hinzu⁷³¹. Damit steht das Dekorsystem der klazomenischen Amphoren in einer engen Beziehung zu jenem der chiotischen Amphoren (s. u. Kap. 1.B.3.6.4e), mit denen die klazomenischen Amphoren, gerade wenn sie nur in kleinen Fragmenten erhalten sind, häufig verwechselt werden. Daneben gibt es auch völlig dekorlose Gefäße. Für weitere am Hals aufgemalte Dekorelemente oder Buchstaben dachte erstmals P. Dupont eine Kennzeichnung des transportierten Inhalts klazomenischer Amphoren an, war Klazomenai doch mit Wein, Öl und Fisch für mindestens drei Handelsprodukte bekannt⁷³². In diesem Zusammenhang könnte etwa das Blattmotiv am Hals einer klazomenischen Amphore aus Istros⁷³³ auf Olivenöl als Inhalt hinweisen.

Mit **Kat. 891** liegt in einem Befund, welcher die Aufgabe des Töpferofens in der AG Phase IIIb kennzeichnet, als einziges Exemplar das Henkelfragment einer klazomenischen Amphore vor. Der Henkel ist mit einem hellen Überzug bedeckt, der in Kombination mit dem flach bandförmigen Henkelquerschnitt nur für klazomenische Amphoren in Frage kommt. Ungewöhnlich ist indes die weitere Verzierung der Henkelaußenseite mit horizontalen Querstreifen, sind die Henkel klazomenischer Amphoren doch meist mit einem vertikalen Band geschmückt. Unmittelbare

⁷²⁴ Vgl. Lambrino 1938, 114–118. Allgemein zum Typ und seiner Entwicklung vgl. Johnston 1990, 42 f.; Ersoy 1993, 396–403; Cook – Dupont 1998, 151–156; Seifert 2004, 25 f.; Dupont 2005a, 223–226.

⁷²⁵ Vgl. Doğer 1986. Zur Forschungsgeschichte vgl. zusammenfassend Birzescu 2012a, 91–94 mit entsprechender Lit.

⁷²⁶ s. Ersoy 1993, 396–404; Sezgin 2004 und zuletzt Sezgin 2012, 21–82.

⁷²⁷ Vgl. Doğer 1986, 461; Sezgin 2004, 169; Sezgin 2012, 82. s. auch Cook – Dupont 1998, 152; Ersoy 1993, 397.

⁷²⁸ Vgl. Dupont 1982, 198–201; Dupont 1983, 25 f. 31. s. dazu auch Ersoy 1993, 396 f.; Sezgin 2004, 169.

⁷²⁹ s. dazu Sezgin 2004, 169; Sezgin 2012, 70. Zum späteren Ansatz vgl. Doğer 1986, 461 f. und Cook – Dupont 1998, 152.

⁷³⁰ Vgl. Ersoy 1993, 397–403. Zu klazomenischen Amphoren des späteren 6. Jhs. vgl. auch Long 1990, 50 Nr. 1 Abb. 21; 52 Nr. 7–9 Abb. 23.

⁷³¹ Doğer 1986, 460 f. führt diese Dekorvariante als früheste unter den klazomenischen Amphoren mit einer Datierung im ausgehenden 7. Jh. an. Vgl. auch Sezgin 2004; Sezgin 2012, 70 (Typ Kla1 und Typ Kla2).

⁷³² Dupont 2005a, 223. s. auch Birzescu 2012a, 107 f.

⁷³³ Lambrino 1938, Abb. 78. 79; Birzescu 2012a, 303 Nr. 865 Taf. 45.

Parallelstücke aus Istros und Toscanos⁷³⁴ zeigen an, dass **Kat. 891** mit seinem Dekor jedoch keinesfalls ein singuläres Stück ist; mit dem Henkelfragment aus Toscanos ist darüber hinaus ein mit **Kat. 891** vergleichbarer Datierungsansatz im letzten Viertel des 7. Jahrhunderts gegeben.

1.B.3.6.4e Chiotische Amphoren

In der chiotischen Amphorenproduktion archaischer Zeit lassen sich nach Form und Dekor zwei Serien unterscheiden⁷³⁵. Die Lokalisierung der chiotischen Amphoren wurde erstmals von V. R. Grace auf Basis von Münzbildern vorgenommen und kann aus archäologischer und naturwissenschaftlicher Sicht als gesichert gelten⁷³⁶. Die in Ephesos vorliegenden Amphoren lassen sich in ihrem optischen Erscheinungsbild gut in das Variationsspektrum chiotischer Fabrikate einordnen⁷³⁷.

Der Beginn der älteren Serie chiotischer Amphoren mit weißem Überzug wurde zunächst von J. K. Anderson ausgehend von ihrer Befundung im ausgehenden 7. Jahrhundert, von M. Lambrino bereits im dritten Viertel des 7. Jahrhunderts festgemacht⁷³⁸, als sich die ersten entsprechenden Importe in Istros und den griechischen Schwarzmeerkolonien abzeichneten. Damit ist freilich nicht zwingend der Produktionsbeginn gegeben, sondern es wird in erster Linie ein Datum für den beginnenden Import angezeigt, der direkt mit den Gründungsdaten eben dieser Kolonien zusammenhängt⁷³⁹. Nach der Befundsituation in phoinikischen Niederlassungen zeichnet sich der Produktionsbeginn chiotischer Amphoren spätestens im mittleren 7. Jahrhundert ab⁷⁴⁰, eine chiotische Amphore aus Pithekoussai wird noch als spätgeometrisch verstanden⁷⁴¹.

Die Gefäße zeichnen sich gemeinhin durch einen rund- bis ovalstabig abgesetzten Rand aus, der Hals geht in einer ungebrochenen Kontur in die Gefäßschulter über, der rund-ovale Amphorenkörper läuft in einem Standring aus⁷⁴². Vom oberen Hals reichen massive ovalstabige Vertikalhenkel auf die Schulter. Im Zuge der Weiterentwicklung der Serie bis in das mittlere 6. Jahrhundert werden die Gefäßproportionen schlanker und gelängt: die Ränder sind kaum noch von den nun sehr hohen Hälsen abgesetzt, und die Gefäßschulter wird steiler (z. B. **PAN 09/621.28** und **PAN 09/621.31** Abb. 32), der ovale Amphorenkörper nähert sich der Spindelform an und läuft

⁷³⁴ Vgl. zu Istros Alexandrescu 2005a, 353 Nr. C 131 Taf. 67. Zu Toscanos s. Docter 2000, 74–76 Abb. 11 a; zur Datierung vgl. Docter 2000, 67 Abb. 4 (s-layer Vd).

⁷³⁵ Allgemein zu den chiotischen Amphoren und ihrer Entwicklung vgl. Lambrino 1938, 100–113; Johnston 1990, 38–40; Cook – Dupont 1998, 146–151; Seifert 2004, 21–24; Dupont 2005a, 220–223, Nedev – Gyuzelev 2011 und zuletzt in ausführlicher Diskussion bei Bîrzescu 2012a, 49–89, der die drei Varianten Chios I, Chios II und Chios III unterscheidet. Vgl. außerdem Dragendorff 1903, 63 Abb. 218 (Grab 98); Condurachi 1966, 453 Nr. 349 Taf. 21; Calvet – Yon 1977, 18 Nr. 99–106 Taf. 10; Gjerstad 1977b, 37 Nr. 183–187 Taf. 21. 22; Dupont 1982, 195 Abb. 1 a; di Sandro 1986, 56 f. Nr. 129 Taf. 11; Monachov 1999, 34 f. Taf. 1, 2; 2; Tzochew 2011b, 75 f.; Sezgin 2012, 83–135.

⁷³⁶ Vgl. dazu Dupont 1982, 194–198; Dupont 1983, 24. 30 f.; Whitbread 1995, 135–144. Eine zusammenfassende Diskussion der Forschungsgeschichte liegt bei Bîrzescu 2012a, 49 f. vor.

⁷³⁷ Die makroskopischen Merkmale haben Johnston 1981, 40 und Whitbread 1995, 138 f. zusammenfassend beschrieben.

⁷³⁸ Zu Chios s. Anderson 1954, 169; zu Istros s. Lambrino 1938, 101; Bîrzescu 2012a, 50. Diesem früheren Datierungsansatz folgten zuletzt auch Cook – Dupont 1998, 146 in ihrem Überblick zu den ostgriechischen Amphoren. s. auch Solovyov 2007, 38 f. Zusammenfassend auch di Sandro 1986, 53 f.

⁷³⁹ Zur Problematik hat sich zuletzt Docter 2000 geäußert; s. auch Tzochew 2011b, 74. Speziell zu dem Beginn der Schwarzmeerkolonien vgl. Boardman 1998b; Solovyov 1999, 3. 4. 7. 28–97; Kerschner 2006d; Solovyov 2007.

⁷⁴⁰ Docter 2000, 72–74 Abb. 10. Zu diesem frühen Ansatz vgl. außerdem kritisch Bîrzescu 2012a, 51f.; Sezgin 2012, 128 (Typ Khi1).

⁷⁴¹ Dazu Buchner – Ridgway 1993, 429 Nr. 1 Taf. 211 (Grab 397). Leider fehlen weitere Gefäße, welche die Datierung absichern könnten.

⁷⁴² Zu der Frühform der älteren Serie s. die Ganzformen bei Cook 1958/1959, 16 Abb. 4; Calvet – Yon 1977, 18 Nr. 105. 106 Taf. 10; Cook – Dupont 1998, 146 Abb. 23, 1 a–d; Monachov 1999, 34 f. Taf. 1. 2; Waldbaum 2011, 314 Nr. 517; Bîrzescu 2012a, 52 Abb. 14; Sezgin 2012, 128 Typ Khi2.

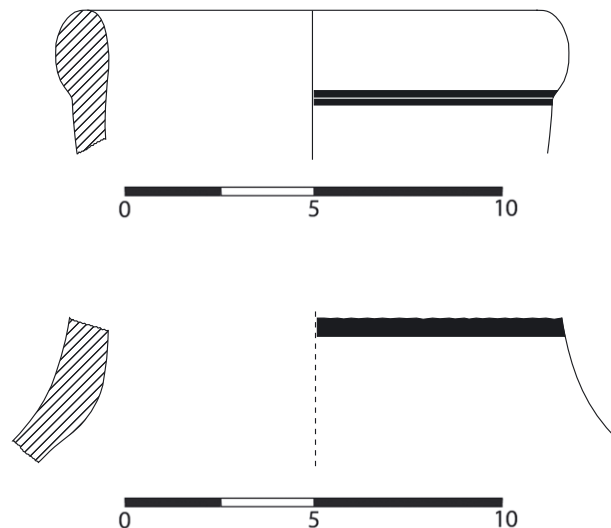


Abb. 32 Chiotische Amphore Pan 09/621.28 + PAN 09/621.31

in einem hohlen Fußknäuf mit eingebogener Ringbasis aus. Die parallel zu dem gestreckteren Hals höher werdenden Henkel fallen kräftiger aus⁷⁴³.

Alle chiotischen Amphoren der älteren Serie⁷⁴⁴ weisen den auch für die chiotische Feinkeramik typischen weißen Überzug an ihrer Oberfläche auf. Darauf ist in roter oder dunkler Farbe ein verbindlicher Dekor aufgebracht: der Rand ist überzogen, die Henkelansätze an Hals und Schulter werden durch Kreise gefasst, an der Henkelaußenseite läuft ein vertikales Band, der in der Formgebung kaum betonte Schulter-Hals-Umbruch ist durch eine umlaufende Bänderung hervorgehoben. Im Zuge der Entwicklung hin zu höheren Halsen wird das Halsband schmaler und rückt nach oben in die Halsmitte. Mindestens drei weitere Bänder schmücken den Gefäßkörper, zunächst unterhalb des Henkelansatzes, am Schulter-Bauch-Umbruch und am Gefäßunterkörper; in der späteren Entwicklung der schlankeren Körper wird auch das zweite Band deutlich unterhalb des Schulter-Bauch-Umbruchs auf den Unterkörper verschoben. Das Band auf der Schulter kann von einem Bänderpaar oder einem dreiteiligen Reifenbündel ersetzt werden, auf der Gefäßschulter ist eine liegende S-Schleufe aufgemalt.

Die Henkelfragmente **Kat. 777** und **Kat. 1199** lassen sich typologisch kaum näher eingrenzen. Der schmal-ovale Querschnitt der Henkel deutet jedoch tendenziell auf frühe Gefäße innerhalb der älteren Serie hin. Auch der nach oben ausgreifende Henkelansatz von **Kat. 1199** ist nur für die früheren Exemplare möglich, da der Henkelansatz später enger an den Rand rückt. Beide Fragmente weisen mit dem vertikalen Firnisband die typische Henkelbemalung chiotischer Amphoren auf. Das Wandfragment **Kat. 1702** weist mit dem weiten Schulterumfang ebenfalls auf ein frühes Gefäß innerhalb der älteren Serie hin.

Das Randfragment **Kat. 828**, das durch sein Fabrikat wie auch durch den hellen Gefäßüberzug unschwer als chiotisches Gefäß erkennbar ist, weicht mit seinem ohne Absatz tropfenförmig aus dem Hals verdickten, flächig gefirnissten Rand vom bekannten Erscheinungsbild chiotischer Amphoren der älteren Serie ab (Abb. 32), lässt sich aber auch nicht formal an das aus Pithekoussai publizierte Gefäß spätgeometrischer Zeit anschließen⁷⁴⁵. Die nächsten Parallelen finden

⁷⁴³ Zu der Spätform der älteren Serie vgl. die Ganzformen bei Lambrino 1938, 123 Abb. 90 b; Gjerstad 1977b, 37 Nr. 183–187 Taf. 21. 22; Karageorghis 1978, 62 Nr. 10 Taf. 2; Cook – Dupont 1998, 146 Abb. 23, 1 e–h; Nedev – Gyuzelev 2011, Nr. 1 Abb. 4; Nr. 1 Abb. 7; Sezgin 2012, 128 Typ Khi3.

⁷⁴⁴ Vgl. dazu Birzescu 2012a, 50–60 (Chios I).

⁷⁴⁵ Buchner – Ridgway 1993, 429 Nr. 1 Taf. 211 (Grab 397).

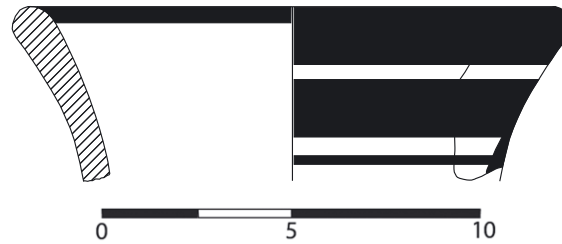


Abb. 33 Chiotische Amphore AG 89/058.7

sich in einer Gruppe von Amphoren und Hydrien aus dem Hafenheiligtum von Emporion⁷⁴⁶, die über ihr Verteilungsmuster schwerpunktmäßig in die Jahrzehnte um die Mitte des 7. Jahrhunderts datiert werden konnten⁷⁴⁷ und die typologisch noch vor den oben besprochenen Amphoren der älteren Serie einzuordnen sein dürften. Aus dieser relativen Frühdatierung erklärt sich wohl auch das Fehlen der Variante in den gängigen Typologien chiotischer Amphoren archaischer Zeit, die auf den Materialbestand in Fundkontexten erst des fortgeschrittenen 7. und 6. Jahrhunderts zurückgreifen⁷⁴⁸. Aus den hellenistischen Planierschichten über den archaischen Siedlungsbefunden unter der Tetragonos Agora liegt mit **AG 89/058.7** ein zweites Gefäß desselben Typs vor (Abb. 33) vor. **Kat. 828** stammt aus einem Baubefund der AG Phase IIIb und steht damit am unteren Ende des im chiotischen Hafenheiligtum vorgegebenen Zeitrahmens.

Die chiotischen Amphoren bilden mit nur vier Fragmenten aus den archaischen Siedlungsbefunden eine sehr kleine Gruppe. Mit **Kat. 777** und **Kat. 828** aus Baubefunden der AG Phase IIIb zeichnet sich bereits in der frühesten Phase nachgewiesener chiotischer Amphorenproduktion ein Export nach Ephesos ab, die Gefäßfragmente aus den Horizonten der AG Phase IV fallen indes in einen Zeitraum, in dem in Ephesos auch mit chiotischer Feinkeramik zu rechnen ist, die mit **Kat. 1101** auch in der Siedlung nachgewiesen werden konnte. Mit der Tasse **Kat. 657** und der Kanne **Kat. 772** sind zwei weitere chiotische Gefäße schon in Befunden des späteren 7. Jahrhunderts vertreten.

1.B.3.6.4f Lesbische Amphoren

Innerhalb der Amphorenproduktion von Lesbos werden wiederum zwei Hauptserien unterschieden, für deren Charakterisierung sich maßgeblich B. G. Clinkenbeard verdient gemacht hat⁷⁴⁹. Innerhalb dieser Hauptserien, die nach ihrer Brandqualität reduzierend oder oxidierend, Lesbos Grau und Lesbos Rot in der Terminologie nach I. Bîrzescu⁷⁵⁰, geschieden werden, zeichnen sich weitere formale Untergruppen ab.

Die graue Serie zeichnet sich durch ihr graues Fabrikat aus, das in der Tradition der ostägäischen Grauen Waren steht und nicht zuletzt deshalb auf der Insel Lesbos lokalisiert wurde⁷⁵¹.

⁷⁴⁶ Vgl. Boardman 1967, 139 f. Nr. 493, 496, 509 Abb. 86 Taf. 44. Entsprechende Gefäße sind mir darüber hinaus aus Grabungen in Smyrna bekannt, die von J. Keil in den 1920er Jahren durchgeführt wurden: Inv. SM.KG.St.40, SM.KG.St.41, SM.KG.257, SM.KG.258.

⁷⁴⁷ Dazu Boardman 1967, 137: ›HS period II‹ und ›HS period III‹.

⁷⁴⁸ Vgl. die Typenreihen bei Cook – Dupont 1998, 156–161 Abb. 23, 1, 2; Monachov 1999, 33–40 Taf. 1–3; Bîrzescu 2012a, 49–89; Sezgin 2012, 83–135.

⁷⁴⁹ s. Clinkenbeard 1982 und Clinkenbeard 1986. Vgl. auch Johnston 1990, 40–42; Lawall 1995, 196–217; Cook – Dupont 1998, 156–163; Seifert 2004, 26 f.; Dupont 2005a, 226–230; Fantalkin – Tal 2010; Dupont 2011; Lungu 2011; Waldbaum 2011, 316 f. Zuletzt hat sich Bîrzescu 2005 und Bîrzescu 2012a, 25–47 ausführlich mit den lesbischen Amphoren aus Istros beschäftigt. Vgl. außerdem Sezgin 2012, 201–243.

⁷⁵⁰ Vgl. Bîrzescu 2012a, 25–36 (Lesbos Grau) und 36–44 (Lesbos Rot). Vgl. außerdem Bîrzescu 2005 zu der Lesbos Rot Serie.

⁷⁵¹ s. Anderson 1954, 139 Nr. 52, 53 Abb. 8; Vgl. dazu die Diskussion bei Clinkenbeard 1982, 252–254 mit weiterer Lit. s. auch Dupont 1982, 201–204; Dupont 1983, 23 f. 30.

Archäometrische Analysen haben eine tatsächliche Produktion auf Lesbos mittlerweile bestätigt, wenn freilich auch weitere Produktionszentren im regionalen Umfeld der Äolis nicht ausgeschlossen sind⁷⁵² und der Fund eines Fehlbrandes die archaische Amphorenproduktion speziell für die grauen Amphoren des Weiteren für Mytilene zu bestätigen scheint⁷⁵³. Die großen lesbischen Transportamphoren der grauen Serie zeichnen sich durch einen mehr oder weniger hohen zylindrischen bis leicht konisch einziehenden Hals aus, an dem ein Wulstrand mit meist nach innen abgechrägter Oberkante aufsitzt, der kleine Profilierungen aufweisen kann. Der obere Halsbereich und der Übergang vom Hals in die Schulter sind von je einer Rille oder einem kleinen Wulst betont, massive rundstabige Henkel reichen vom oberen Halsbereich bis auf die weite Gefäßschulter und bilden dort typischerweise einen kleinen Fortsatz aus, der als ›rat-tail‹ in die Literatur eingegangen ist. Der Amphorenkörper verjüngt sich in einer ungebrochenen Kontur konisch von der flachen Schulter zur breiten Standbasis hin.

Kat. 1429 ist einer solchen lesbischen Amphore der grauen Serie zugehörig. Von dem ursprünglichen Ganzgefäß hat sich ein Stück der leicht schräg abfallenden Schulter mit dem massiven rundstabigen Henkelansatz erhalten, an dem sich der charakteristische ›rat-tail‹ abzeichnet. Aus dem Erhaltungszustand ergibt sich für **Kat. 1429** kein sicheres formtypologisches Datierungsindez⁷⁵⁴, die Vergesellschaftung in einem Zerstörungsbefund der AG Phase IV gibt einen *terminus ante quem* im mittleren 6. Jahrhundert vor. B. G. Clinkenbeard setzt den Produktionsbeginn der grauen Serie mit einem Stück von der Athener Agora im dritten Viertel des 7. Jahrhunderts an⁷⁵⁵; zuletzt konnten A. Fantalkin und O. Tal die Anfänge auf Basis der Befunde in Tell Quadadi in Israel bereits am Beginn des 7. Jahrhunderts feststellen⁷⁵⁶ und im kürzlich für Methone vorgelegten Material hat sich dieser frühe Datierungsansatz bestätigt⁷⁵⁷.

Die rotgebrannte Serie lesbischer Amphoren wurde von B. G. Clinkenbeard als ›fractional red‹ bezeichnet⁷⁵⁸ und aufgrund ihrer gegenüber der grauen Serie reduzierten Dimensionen als Tafelamphoren verstanden⁷⁵⁹.

Kat. 222 zeichnet sich durch einen durch eine profilierte Abtreppe vom Hals abgetrennten Wulstrand aus, der Gefäßhals scheint im oberen Bereich konisch einzuziehen. Beide Merkmale sind von lesbischen Amphoren des 7. und des 6. Jahrhunderts bekannt und besonders für die Gruppe I innerhalb der rot gebrannte Serie bezeichnend⁷⁶⁰, doch ist das Fabrikat weder an die graue Serie der lesbischen Transportamphoren noch an die rote Serie der kleinformatigeren Haushaltsamphoren eindeutig anzugliedern. Sowohl die oxidierende Brandqualität als auch die kleinen Dimensionen rücken **Kat. 222** jedoch näher an die Lesbos Rot Serie, wobei P. Dupont und Ch. Tzochev innerhalb der lesbischen Amphoren zuletzt auf eine Gruppe hingewiesen haben, welche die formalen Charakteristika der lesbischen Amphoren für ein mit **Kat. 222** vergleichba-

⁷⁵² Dazu Whitbread 1995, 154–164; Fantalkin – Tal 2010, 7–9. Vgl. auch Clinkenbeard 1982, 216–264; Dupont 2005a, 226 und zuletzt Dupont 2011.

⁷⁵³ s. dazu Dupont 2011; Lungu 2011, bes. 188 f. und die Diskussion bei Bîrzescu 2012a, 25 f. 36 mit weiterer Lit.

⁷⁵⁴ Für eine umfassende typo-chronologische Analyse s. Bîrzescu 2012a, 26–35. Vergleichsgefäße aus Borysthene datieren in das 6. Jh. Vgl. dazu Čistov 2012, 165 Nr. 1. 5 Taf. 8.

⁷⁵⁵ Dazu Clinkenbeard 1982, 249. Vgl. auch Cook – Dupont 1998, 159; Fantalkin – Tal 2010, 1; Bîrzescu 2012a, 26; Sezgin 2012, 238.

⁷⁵⁶ s. Fantalkin – Tal 2010 mit einer ausführlichen Diskussion der Chronologie; zu dem für die Frühdatierung relevanten Gefäß s. bes. 2–7. Ein solch früher Datierungsansatz wurde bereits erstmals von R. M. Cook auf Basis der Befunde in Smyrna vorgeschlagen, setzte sich in Folge jedoch nicht durch. s. dazu Cook 1953, 124 und Cook 1958/1959, 14. Lesbische Amphoren sind neben dem Schwarzmeergebiet und der Ostägäis vor allem an der Levante und in Ägypten verbreitet. Vgl. dazu Lungu 2011, 179.

⁷⁵⁷ Vgl. dazu Besios u. a. 2012, 345–347 Nr. 4; 465 f. Nr. 132 (Ende 8. Jh./Anfang 7. Jh.).

⁷⁵⁸ Vgl. Clinkenbeard 1982, 251; Clinkenbeard 1986, 354. Dazu auch Johnston 1990, 40–42; Lawall 1995, 204–212; Seifert 2004, 27; Bîrzescu 2005; Dupont 2005a, 229 f.; Lawall 2011, 312 f.; Tzochev 2011b, 79 f. und zuletzt Bîrzescu 2012a, 36–44.

⁷⁵⁹ Diese Vermutung hat sich in den Befunden von Istros falsifizieren lassen. s. dazu Bîrzescu 2005, 46.

⁷⁶⁰ s. dazu Bîrzescu 2005, 50–52, Abb. 1; Tzochev 2011b, 79 Abb. 5 bes. Nr. 5; Bîrzescu 2012a, 36 f. Im Überblick auch Monachov 1999, 51 Taf. 5; Sezgin 2012, 238 (Typ Gles2 und Typ Kles1). Vgl. auch das Stück bei Čistov 2012, 163 Nr. 18 Taf. 6.

res hellbräunliches Fabrikat übernehmen⁷⁶¹. Diese werden in Istros allerdings frühestens in das zweite Viertel des 6. Jahrhunderts datiert, während mit **Kat. 222** ein ähnliches Gefäß schon in einem Zerstörungsbefund der AG Phase II gegeben ist.

1.B.3.6.4g Nordägäische Amphoren

Das Randfragment **Kat. 1317** weist mit dem kleinen, vom Hals abgeschnürten Rand ein Formmerkmal nordägäischer Amphoren auf⁷⁶², allerdings sind die entsprechenden Amphoren meist mit einem kantig verdickten Rand versehen, während eine gerundete Form wie bei **Kat. 1317** nicht begegnet⁷⁶³. Bei diesen bekannten nordägäischen Amphoren mit kantigen Rändern handelt es sich erst um spätarchaische Produktionen frühestens des ausgehenden 6. und beginnenden 5. Jahrhunderts⁷⁶⁴. Mit diesem Datierungsansatz stimmen zwei annähernd vergleichbare Gefäße aus Befunden des ausgehenden 6. Jahrhunderts in Klazomenai und Istros überein⁷⁶⁵, allerdings ist der Rand in beiden Fällen weniger abgeschnürt denn vorspringend. I. Bîrzescu schlägt für das Gegenstück aus Istros ebenfalls eine nordägäische Herkunft vor. Der hohe, zur Mündung hin konisch einziehende Hals bei **Kat. 1317** erinnert darüber hinaus an die lesbischen Amphoren, die in einer an die nördliche Ägäis anschließenden geografischen Region zu verorten sind, deren Produktion umgekehrt aber bereits mit dem frühesten 7. Jahrhundert wahrscheinlich gemacht werden kann. Andererseits stammt **Kat. 1317** aus einem Zerstörungsbefund der AG Phase IV, in dem das lehmige Versturzmateriale des Gebäudes HA 8 möglicherweise bereits mit der Einplanung für die hellenistische Agora verunreinigt war, sodass die Möglichkeit eines gestörten Befundes in Betracht gezogen werden muss.

1.B.3.6.4h Korinthische Amphoren

Das Randfragment **Kat. 336** aus einem Zerstörungsbefund der AG Phase II und das dickwandige Halsfragment **Kat. 1200** aus einem Zerstörungsbefund der AG Phase IV lassen sich zu Amphoren des korinthischen Typs A ergänzen, dessen charakteristische Merkmale zuerst C. G. Koehler erarbeitet hat⁷⁶⁶. Die Amphoren vom Typ korinthisch A entwickeln sich im ausgehenden 8. und frühen 7. Jahrhundert aus großen korinthischen Vorratsgefäßen geometrischer Zeit⁷⁶⁷ und werden wie diese im frühen Stadium ihrer Entwicklung ohne Töpferscheibe mit der Hand aufgebaut⁷⁶⁸. Sie sind durch einen kantigen Flachrand sowie einen hohen, zylindrischen Hals gekennzeichnet, von dem die massiven ovalstabigen Henkel auf die flache Schulter hinab reichen. Der weite, bauchige Gefäßkörper leitet in einer kontinuierlichen Kontur in den hohlen Fuß mit recht breiter, ebener Standfläche über. Im Laufe der Entwicklung archaischer Zeit werden die Flachränder nach außen abgechrägt und der Fuß wird enger und deutlicher abgesetzt⁷⁶⁹. Charakteristisch für

⁷⁶¹ Dupont 2005a, 229 Nr. A XXXVII–A XXXIX Abb. 15 d–f; Tzochew 2011b, 81 f. Nr. 8 Abb. 5.

⁷⁶² Einen zusammenfassenden Überblick mit weiterführenden Literaturhinweisen bietet Gassner 2003, 120 f. Zuletzt ausführlich Lawall 2011, 307–312; Bîrzescu 2012a, 163–174.

⁷⁶³ Annähernd vergleichbar ist die spätarchaische Amphore von der Athener Agora bei Lawall 2011, 310 f. Nr. A23 Abb. I.15.

⁷⁶⁴ Vgl. Whitbread 1995, 165 (Thasos). Zu der Datierung s. außerdem Bîrzescu 2012a, 163–166.

⁷⁶⁵ Zu Klazomenai vgl. Ersoy 1993, 216 Nr. 494 Taf. 226. Zu Istros s. Bîrzescu 2012a, 327 Nr. 1169 Taf. 56. s. außerdem Ullin 2013, 90 Nr. 5 Abb. 1.

⁷⁶⁶ Vgl. Koehler 1978, 1–32; Koehler 1981, 451 f. s. auch Williams 1981, 150; Lawall 1995, 58; Whitbread 1995, 255–258. Zuletzt haben sich Sourrisseau 2006, bes. 134–142 in einer ausführlichen typologischen Studie für das 6. Jh. und Bîrzescu 2012a, 187–193 zu den korinthischen Amphoren vom Typ A geäußert. Für seine freundlichen Hinweise zu den korinthischen Amphoren vom Typ A geht mein besonderer Dank an M. Lawall.

⁷⁶⁷ s. dazu Pfaff 1988, 29–31. 65 Nr. 68–71 Abb. 22 Taf. 30. Vgl. auch Koehler 1978, 3. 10 f.; Koehler 1981, 451 Taf. 98 a; Whitbread 1995, 255.

⁷⁶⁸ Amyx – Lawrence 1975, 94; Whitbread 1995, 255 f. 284.

⁷⁶⁹ Zusammenfassend Bîrzescu 2012a, 187 f. Zu der Entwicklung der korinthisch A-Amphoren in klassischer Zeit vgl. Lawall 1995, 58–68; Whitbread 1995, 257.

die am häufigsten exportierten Gefäße ist auch und vor allem das grob gemagerte, orange- bis pinkfarbene Fabrikat der korinthischen Amphoren vom Typ A mit großen weißen, grauen und roten Einschlüssen⁷⁷⁰. Nicht zuletzt aufgrund der Besonderheiten des Fabrikats, welches jenem von Lampen und Lekythen gleicht, werden diese Amphoren als Behältnisse für Öl verstanden⁷⁷¹. I. K. Whitbread hat Amphoren vom Typ korinthisch A einer archäometrischen Analyse unterzogen⁷⁷²; dabei konnte einerseits der formtypologische und technologische Zusammenhang zwischen den geometrischen Vorratsbehältern und den archaischen Amphoren vom korinthischen Typ A von naturwissenschaftlicher Seite her untermauert, andererseits die Fabrikate im geologisch-petrografischen Profil von Korinth und seinem Umland eingehängt werden. Aus ostgriechischen Befunden sind bislang kaum korinthische Amphoren vom Typ A publiziert⁷⁷³.

Kat. 336 zeigt das Randfragment einer korinthisch A-Amphora mit schräg ausgebogenem Rand und leicht profilierter Außenkante. Die Randform ist ungewöhnlich, zeichnen sich die Amphoren des Typs doch meist durch gerade oder nach außen abgeschrägte Ränder aus, während der ausgebogene Rand bereits bei mittelgeometrischen Vorratsgefäßen aus Korinth belegt ist, wobei C. G. Koehler den Übergang zu den Gefäßen mit horizontalen Rändern spätestens mit dem beginnenden letzten Viertel des 8. Jahrhunderts festmacht⁷⁷⁴. Aus Pithekoussai sind Amphoren mit leicht einwärts geneigten Rändern ebenfalls schon aus spätgeometrischen Gräbern bekannt⁷⁷⁵. Damit scheint **Kat. 336** noch einer sehr frühen Ausprägung der Amphoren des korinthischen Typs A anzugehören, was angesichts der grundsätzlich geringen Verbreitung des Typs im östlichen Mittelmeerraum umso bemerkenswerter ist. Andererseits korrespondiert der formtypologische Datierungsansatz mit den protokorinthischen Feinwaren, welche für diesen Zeitraum in den archaischen Siedlungsbefunden ebenfalls nachgewiesen sind (s. u. Kap. 1.B.3.15) und gemeinsam mit **Kat. 336** vornehmlich in den Befunden aufscheinen, welche die AG Phase II bezeichnen.

Bei **Kat. 1200** hat sich nur der hohe Gefäßhals mit den massiven Henkelansätzen erhalten, das Fabrikat zeigt die von C. G. Koehler für den Typ korinthisch A als charakteristisch definierten Merkmale. Weitere typologische Anhaltspunkte für eine chronologische Einordnung, wie etwa die Ausrichtung des Flachrandes, sind nicht gegeben; die grobe Machart, die dicke Gefäßwandung und die fehlenden Drehspuren vor allem an der Halsinnenseite könnten **Kat. 1200** jedoch sehr gut noch jener frühen Variante der Amphoren zuordnen, die ohne die Töpferscheibe aufgebaut wurden. Umgekehrt macht die Vergesellschaftung von **Kat. 1200** in einem Befund, welcher die Aufgabe der AG Phase IV bezeichnet, eine wesentlich spätere Datierung nicht minder plausibel. Grundsätzlich werden die korinthischen Amphoren vom Typ A zwischen dem beginnenden 7. und dem 4. Jahrhundert verortet.

⁷⁷⁰ Koehler 1978, 2–4; Koehler 1981, 451; di Sandro 1986, 22 hebt hingegen hervor, dass die korinthisch A-Amphoren auch im feineren Fabrikat vorliegen, welches Koehler für die korinthisch B-Amphoren beschreibt. Zu dem typischen Fabrikat korinthischer Grobkeramik geometrischer Zeit vgl. auch Pfaff 1988, 29.

⁷⁷¹ Dazu Koehler 1978, 5 f.; Whitbread 1995, 257.

⁷⁷² s. Whitbread 1995, bes. 268–285. Vgl. dazu auch Lawall 1995, 61–63 und die kritische Diskussion bei Sourisseau 2006, 134.

⁷⁷³ Für Milet beschränkt sich der Import bislang auf einen Amphorenhenkel, erwähnt bei Naso 2005, 76 f. Abb. 1. Aus Didyma ist ein Randfragment bei Schattner 2007, 88 Nr. Am A6 Abb. 34 publiziert, welches zwar in der Form den korinthisch A-Amphoren entspricht, im Fabrikat jedoch den korinthisch B-Amphoren nahe steht. Für Istros vgl. Dupont 2005a, 238 f. Nr. A LXXI. A LXXII. A LXXIII Abb. 20 a–c aus einem Kontext des 3. Viertels des 6. Jhs. Auch hier verweist P. Dupont darauf, dass der Amphorentyp im Schwarzmeerraum kaum begegnet. Dazu auch Čistov 2012, 131. 169 Taf. 12; Birzescu 2012a, 188 f. 346 Nr. 1379–1382 Taf. 71. s. außerdem Hayes 1966, 139 Nr. 1422 Abb. 67 und Hayes 1973, 62 Nr. 2255. 2256 Abb. 25 zu Gefäßen aus Taucheira. Das Verbreitungsgebiet ist vor allem durch den westgriechischen Raum, insbesondere Sizilien und der Magna Graeca, definiert. Dazu Sourisseau 2006, 133 f. 145 mit Anm. 23.

⁷⁷⁴ Vgl. dazu Koehler 1978, 10. s. auch Williams 1981, 150 Nr. 64 Abb. 7. Profilierungen an den Rändern bleiben indes bis in das 6. Jh. nachweisbar. Vgl. dazu zuletzt Sourisseau 2006, 135–137 Abb. 2–4 (Typ 1 bis Typ 3). Zu korinthischen Vorratsgefäßen mit ausgebogenem Rand des späten 7. Jhs. vgl. Amyx – Lawrence 1975, 152 Nr. 271 Taf. 79; 155 f. Nr. 292. 298 Taf. 79.

⁷⁷⁵ Dazu di Sandro 1986, 24, bes. Nr. SG 48 Taf. 3.

1.B.3.6.4i Amphoren unbestimmter Zuordnung

Kat. 393 zeichnet sich durch die beiden tiefen Rillen aus, welche im oberen Bereich des steil trichterförmig ausgestellten Halses eingetieft sind, der wulstig verdickte Rand springt schnabelförmig vor. Die Gestaltung des Halses durch Rillen ist von den lesbischen Amphoren und von den (nord-)ionischen Amphoren bekannt, bei milesischen Amphoren kann eine vergleichbare optische Wirkung durch schmale Grate erzielt werden⁷⁷⁶. In keinem der genannten Fälle sind das Gesamterscheinungsbild und die Proportionen mit **Kat. 393** vergleichbar. Aus Milet ist indes eine annähernd vergleichbare Amphore mit tiefen Rillen am Hals mit einer Datierung im letzten Viertel des 7. Jahrhunderts publiziert und wird von M. Seifert als milesisch angesprochen, eine vergleichbare Amphore in Istros wird von I. Bîrzescu seiner Gruppe Ionien II.1 zugeordnet und stammt aus einem Befund ebenfalls erst des ausgehenden 7. Jahrhunderts⁷⁷⁷. In Klazomenai ist eine ähnliche Amphore indes erst in einem Bodenniveau des letzten Viertels des 6. Jahrhunderts vertreten⁷⁷⁸. Weitere Vergleichsbeispiele aus Chios und Methone sind dort in Befunden vertreten, die noch vor der Mitte des 7. Jahrhunderts angesiedelt werden⁷⁷⁹, was **Kat. 393** aus einem Zerstörungsbefund der AG Phase II entgegenkommt. Die Gestaltung geschlossener Gefäße durch eingetieft Rillen ist für diesen Zeithorizont mit der Riefelkanne **Kat. 418** bereits belegt.

Das Wandfragment **Kat. 639** ist am Schulter-Bauch-Umbruch einer Amphore zu positionieren. Eine Zuordnung zu einem der oben besprochenen Typen ist nur bedingt möglich, wenngleich die Zugehörigkeit zu einer klazomenischen, chiotischen oder lesbischen Amphore der grauen Serie aufgrund von Fabrikat und Oberflächengestaltung ausgeschlossen werden kann. Die Vergesellschaftung in einem Befund, der die Bauphase der AG Phase III angibt, schließt umgekehrt aufgrund chronologischer Überlegungen eine Amphore ionischen Typs oder eine nordägäische Amphore als ursprüngliche Ganzgefäße aus. Das Fragment **Kat. 639** zeichnet sich besonders durch die tief eingeritzte Doppelraute aus. Vergleichbare Doppelrauten sind auf spätgeometrischen Großgefäßen in Samos, Lefkandi und Methone belegt⁷⁸⁰, sind dort allerdings aufgemalt und nicht eingeritzt. Eingetieft Zeichen sind von archaischen Amphoren hingegen meist in Form von Kreisen bezeugt, unter anderem auch von Amphoren milesischen Typs⁷⁸¹. Diese scheinen gemeinsam mit Amphoren samischen Typs auch aufgrund des Fabrikats die wahrscheinlichsten Kandidaten als zugehörige Ganzform für **Kat. 639**.

Die Amphore **Kat. 1318** zeichnet sich durch einen relativ weit trichterförmig ausgestellten Hals aus, von dem ein kleiner, abgeflachter Wulstrand abbiegt. Im oberen Halsbereich zeigt sich ein ovalstabiger Henkelansatz. **Kat. 1318** ist keinem bekannten Amphorentyp zuzuordnen, die nächsten formalen Parallelen sind aus Ägina und aus Mezad Hashavyahu publiziert⁷⁸², womit für die Gefäßform, die hier aus einem Zerstörungsbefund der AG Phase IV stammt, ein *terminus ante/ad quem* im ausgehenden 7. Jahrhundert vorliegt. Die scherbentypologischen Merkmale des Fabrikats von **Kat. 1318** könnten nach Milet verweisen, die petrografische Analyse des Stücks konnte diesbezüglich jedoch keine eindeutige Klärung bringen (s. u. Kap. 4.C).

Bei **Kat. 890** ist ein kleiner, außen abgesetzter Dreiecksrand mit einem weit trichterförmig ausgestellten Hals kombiniert. Die Randmorphologie erinnert entfernt an die wahrscheinlich

⁷⁷⁶ Vgl. dazu eine Amphore milesischen Typs aus Mezad Hashavyahu bei Fantalkin 2003, Abb. 11 Taf. 47.

⁷⁷⁷ Zu Milet s. Seifert 2004, 59 Nr. 38 Taf. 14. Zu Istros vgl. Bîrzescu 2012a, 115. 315 Nr. 1010 Taf. 50. Das Gefäß weist im Unterschied zu **Kat. 393** nur eine Rille unter dem Hals auf. Vgl. außerdem Bîrzescu 2012b, 83. 86 Abb. 19 für eine annähernd vergleichbare Amphore aus Tariverde mit einer Datierung in den letzten drei Vierteln des 6. Jhs.

⁷⁷⁸ Ersoy 1993, 188 Nr. 493 Taf. 195.

⁷⁷⁹ Zu Chios s. Boardman 1967, 139 Nr. 503 Abb. 89 (›period II‹); zu Methone vgl. Besios u. a. 2012, 409 f. Nr. 72. Das Stück wird dort als lokale Amphore verstanden.

⁷⁸⁰ Technau 1929, Nr. 7 Beil. 11; Boardman – Price 1980, 59 Abb. 13. 15. 16 Taf. 37; Besios u. a. 2012, 86–88 Nr. 50A–52.

⁷⁸¹ Dazu Long u. a. 1992, 220 Nr. 5 Abb. 43, bes. Anm. 39. Vgl. auch Dupont 2007a, 624; Bîrzescu 2012a, 107.

⁷⁸² s. Johnston 1990, 54 Nr. 145 Abb. 13; Fantalkin 2001, 89 Nr. 3 Abb. 32.

milesische Amphore **Kat. 693**, die Gesamtproportionen und das Fabrikat sind jedoch nicht mit den bekannten Varianten von Amphoren milesischen Typs vereinbar.

Der hohe Amphorenhenkel **Kat. 989** mit ovalem Querschnitt ist an seiner Außenseite mit mindestens drei eingetieften Querrillen versehen, den Henkelansatz schmückt ein tiefer Dau-menabdruck. Beide Elemente sind bereits für Amphoren des ausgehenden 8. und des frühen 7. Jahrhunderts belegt⁷⁸³. Das unter dem Henkelansatz erhaltene Wandfragment verweist auf eine Amphore mit steiler Gefäßschulter, der Henkel scheint an ihrer äußeren Kante aufzusitzen. Das ungewöhnlich harte, rotonige und mit großen Partikeln gemagerte Fabrikat macht **Kat. 989** deutlich als Importprodukt erkennbar⁷⁸⁴, eine Typenzuordnung kann jedoch nicht vorgenommen werden. **Kat. 989** entstammt einem Bauhorizont der AG Phase IV.

1.B.3.6.4j Zusammenfassung

Aus den archaischen Siedlungsniveaus unter der Tetragonos Agora liegen 40 Transportamphoren vor. Angesichts der Zeitspanne von etwas über 100 Jahren, welche die Befunde abdecken, mag dies zunächst wenig erscheinen; rechnet man jedoch die als Haushaltsamphoren/Hydrien bezeichneten Gefäße hinzu, für die eine den Transportamphoren vergleichbare Verwendung angenommen werden kann⁷⁸⁵, so ist der Bestand an entsprechenden Gefäßen nicht mehr verwunderlich.

Die Handels- und Transportamphoren aus den archaischen Siedlungsbefunden verteilen sich mit Vertretern milesischen, samischen, ionischen, klazomenischen, chiotischen, lesbischen und nordägäischen Typs auf Gefäße, die das übliche Repertoire auch an anderen Fundstellen des ionischen oder ostgriechischen Kulturraumes bilden (Diagramm 44). Die Amphoren milesischen Typs haben dabei mit 35 % den größten Anteil und scheinen alle auch tatsächlich von Milet nach Ephesos importiert worden zu sein. Dies gilt ebenso für die Amphoren vom ionischen (2 %), klazomenischen (2 %), chiotischen (10 %), lesbischen (5 %) und nordägäischen Typ (3 %). Einzig für die Amphoren samischen Typs (25 %) ist mit **Kat. 1573** und **Kat. 1909** der Hinweis auf eine lokal ephesische Produktion von Transportamphoren gegeben. Die beiden Gefäße wiederholen mit dem echinusförmigen (**Kat. 1573**) und dem rundstabigen (**Kat. 1909**) Wulstrand jene Randmorphologien, die innerhalb der Haushaltsamphoren mit insgesamt 72 % das Gros der Randfragmente ausmachen (Diagramm 43) und unterstützen damit erneut die wiederholt angedachte Möglichkeit einer ephesischen Produktion von Amphoren, seien es nun unbemalte Transportamphoren oder bemalte Haushaltsamphoren, mit Wulsträndern. Die petrografische Dünnschliffanalyse konnte diese These mit den Gefäßen **Kat. 1313**, **Kat. 1573** und **Kat. 1828** erhärten (s. u. Kap. 4.C).

Während das ephesische Amphorenspektrum an sich gut mit Fundstellen des östlichen Mittelmeers übereinstimmt, auf die in den vorangehenden Kapiteln immer wieder Bezug genommen wurde, und wo vor allem ostgriechische Amphorentypen Verbreitung fanden, scheren die prozentualen Anteile der einzelnen Typen aus dem bislang bekannten Muster aus. So haben in Ephesos Milet und die Produzenten des samischen Typs den höchsten Anteil, während etwa im Schwarzmeerraum gerade diese beiden Typen unterrepräsentiert sind⁷⁸⁶; dort fällt der Hauptanteil auf die Amphoren ionischen, lesbischen, chiotischen und klazomenischen Typs, die sich in etwa die Waage halten⁷⁸⁷. Dies hat vor allem in Hinblick auf Milet als Mutterstadt vieler Schwarz-

⁷⁸³ Vgl. dazu Besios u. a. 2012, 485–487 Nr. 155. 157; 488 f. Nr. 160. 161; 504–506 Nr. 187. 188.

⁷⁸⁴ Scherbentypologisch vergleichbare Fabrikate scheinen für klazomenische Amphoren belegt. Vgl. dazu den Katalogteil bei Sezgin 2004, 178 f.

⁷⁸⁵ A. Vacek hat mich dankenswerterweise darauf aufmerksam gemacht, dass in den Befunden von Al Mina der Transport und Austausch auch von ionischen Hydrien nachweisbar ist: Vacek 2012, 277.

⁷⁸⁶ Vgl. dazu Dupont 2005a, 230; Dupont 2007a, 624; Tzocher 2011b, 76; Bîrzescu 2012a, 143. 161. 201 f.; Bîrzescu 2012b, Abb. 4. Bei Lambrino 1938 und Zeest 1960 werden diese beiden Typen für Istros, Olbia, Borysthenes und das nördliche Schwarzmeer gar nicht angeführt, während Ruban 1991 zumindest die milesischen Amphoren für das nördliche Schwarzmeergebiet in so großer Zahl belegen kann, um eine Typologie zu entwerfen.

⁷⁸⁷ Dupont 2005a, 227; Tzocher 2011b, 76; Bîrzescu 2012a, 108. 201. 123 f.; Bîrzescu 2012b, Abb. 4.

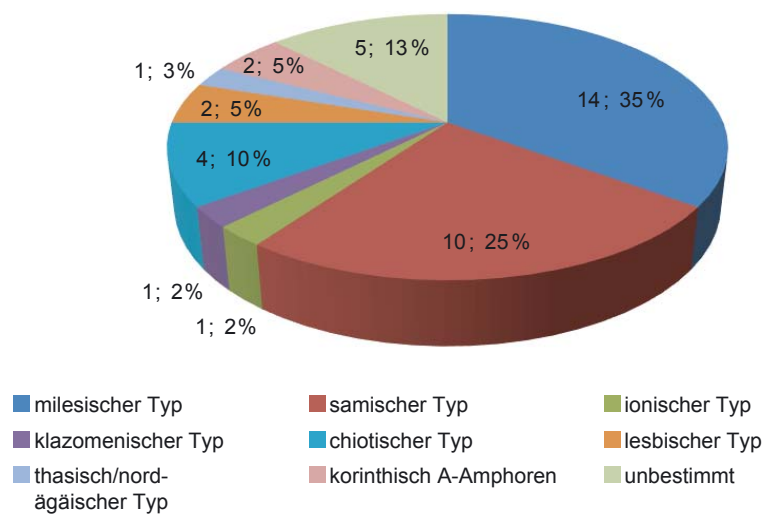


Diagramm 44 Übersicht der Transportamphoren

meerkolonien verwundert, und P. Dupont hat in diesem Zusammenhang das Erklärungsmodell vertreten, dass die milesischen Amphoren als Transportmittel für Öl weniger verbreitet gewesen seien, da Öl nur in geringeren Mengen konsumiert worden wäre⁷⁸⁸. Milesische Amphoren sind hingegen vor allem im näheren Umfeld der Stadt und in der Levante verbreitet. Der hohe Anteil der Gefäße in Ephesos mag ebenfalls mit der geografischen Nähe von Milet und Ephesos erklärbar sein, doch stellt sich dabei die Frage, wieso dann Amphoren aus dem ebenfalls nahe gelegenen Klazomenai nicht ihren Weg nach Ephesos fanden. Festlandgriechische Typen, die in Ephesos mit immerhin 5 % vertreten sind, sind sowohl aus dem Schwarzmeerraum als auch im Umfeld von Milet kaum belegt⁷⁸⁹ und stellen somit eine weitere Besonderheit der ephesischen Befunde dar.

Im westlichen Mittelmeerraum verhält es sich anders. In den westlichsten Verbreitungsregionen griechischer Amphoren sind bis auf frühe chiotische Typen mit weißem Überzug kaum ostgriechische Amphoren vertreten⁷⁹⁰, was P. Dupont dazu veranlasste, eine Verbreitung dieser Gefäße mit einem phoinikischen oder westgriechischen Zwischenhandel zu verbinden⁷⁹¹, der schließlich von eigenen Produktionen abgelöst worden wäre. Ein solcher Zwischenhandel wird plausibel, wenn man in Betracht zieht, dass sich im zentraleren Mittelmeer, etwa in der Nekropole von Rifriscolaro bei Camarina, die ostgriechischen Amphoren⁷⁹² chiotischer, lesbischer, klazomenischer, aber auch milesischer und samischer Produktion gleich verteilen, während die Amphoren vom ionischen Typ weit abgeschlagen sind⁷⁹³. Dominant sind dort indes eindeutig die korinthischen Amphoren vom Typ A, deren Verbreitungsschwerpunkt grundsätzlich im zentralen und westlichen Mittelmeer zu suchen ist⁷⁹⁴.

⁷⁸⁸ Dazu Dupont 2000b, 60; Dupont 2005a, 231; Dupont 2007a, 624 f.

⁷⁸⁹ Vgl. Dupont 2005a, 219; Bîrzescu 2012b, Abb. 4.

⁷⁹⁰ Vgl. dazu Docter 1997.

⁷⁹¹ Dupont 2000b, 61 f. Zur Verbreitung ostgriechischer Amphoren im Westen vgl. die Verbreitungskarten bei Bîrzescu 2012a, 207–222 Abb. 76–93. 98.

⁷⁹² Sourisseau 2006, 131–133 Abb. 1 spricht hier von 183 ostgriechischen Produkten bei einem Gesamtbestand von insgesamt 657 Amphoren.

⁷⁹³ Zu einem ähnlichen Ergebnis kommt Lawall 2011, 315–326 bei seiner differenzierten Analyse der Amphoren aus spätarchaischen Befunden in Athen.

⁷⁹⁴ Zuletzt wurde in Klug 2013 eine Analyse der Amphorenspektren im griechischen Einzugsgebiet des zentralen Mittelmeerraumes vorgelegt, die auch den dortigen Stellenwert der ostgriechischen Amphoren, die in diesem Rahmen als einheitliche Gruppe behandelt werden, aufzeigt.

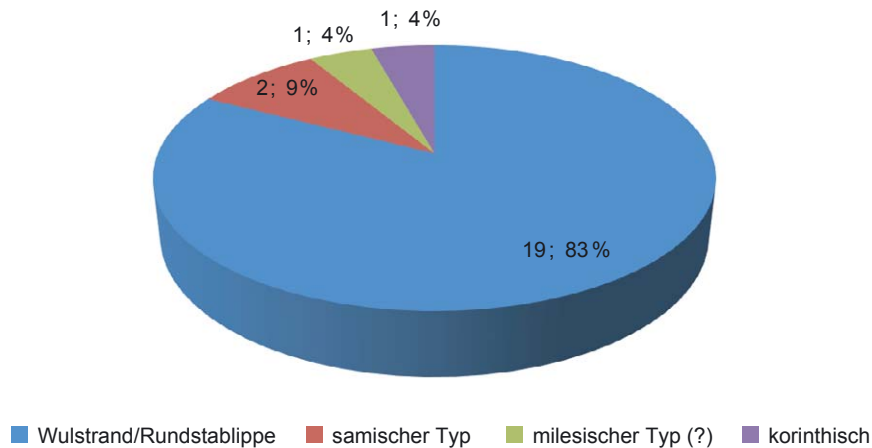


Diagramm 45 Amphorenbestand AG Phase II

Diese wenigen ausgewählten und aus der Literatur kurz referierten Beispiele sollen schlaglichtartig verdeutlichen, wie sich das in den archaischen Siedlungsbefunden von Ephesos vertretene Amphorenspektrum in das Bild amphorenführender Fundensembles vor allem des ostgriechischen Raumes einfügt und worin die grundsätzlichen Unterschiede liegen.

Die Aufschlüsselung der Transportamphoren in den archaischen Siedlungsbefunden (Diagramm 44) zeigte, dass es sich dabei um fest umrissene Typen handelt, von denen keiner a priori in Ephesos selbst lokalisiert ist. Gleichzeitig zeichnet sich in der Zusammenschau aller Amphoren, der unbemalten Handels- und Transportamphoren sowie der meist bemalten Haushaltsamphoren, ab, dass Ephesos Anteil an der Produktion der Amphoren samischen Typs haben könnte⁷⁹⁵, dass eben dieser samische Typ als bemalte Variante mit Rundstabilpe oder Wulstrand in den ephesischen Befunden noch vor dem Import anderer ostgriechischer Typen bereits in der AG Phase II auftritt und in allen Phasen der Agora-Siedlung mit Anteilen von 92 % (AG Phase II), 79 % (AG Phase III), 42 % (AG Phase IIIb) und 47 % (AG Phase IV) dominant bleibt (Diagramm 45–48).

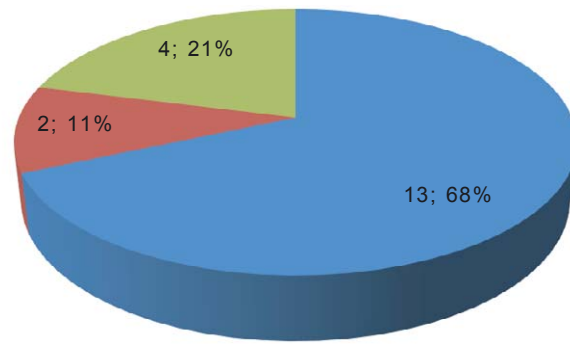
Die Häufigkeit, das frühe Auftreten, die scherbentypologischen und petrografischen Evidenzen der Amphoren/Hydrien mit Rundstabilpe oder Wulstrand sind meiner Ansicht nach starke Indizien für eine ephesische Amphorenproduktion, die sich formal am samischen Typ orientiert und eine Vorliebe für bemalte Ränder hat. Das archaische Ephesos entwickelte demnach keinen prägnanten eigenen Typus von Transportamphoren, der sich außerhalb von Ephesos leicht identifizieren ließe, sondern gehörte einer weiter gefassten Produktionsregion im mittleren Ionien an, in der Amphoren mit Wulsträndern hergestellt wurden⁷⁹⁶. Diese ephesischen Amphoren werden eher in Verbindung mit einem lokalen und regionalen Warenaustausch zu verorten sein und fanden weniger im Fernhandel Niederschlag, für den das archaische Ephesos im Gegensatz zu den für ihren Wein-, Öl- und Fischhandel⁷⁹⁷ berühmten Produzenten der ostgriechischen Transportamphoren ja auch weniger bekannt war⁷⁹⁸.

⁷⁹⁵ Den Gedanken, dass sich mehrere Zentren innerhalb einer Region einen Amphorentyp teilen, hat erstmals M. Lawall für südionische Amphoren (Samos-Miletos) formuliert, wobei mit den Typen S/1, S/2 und S/3 dabei aber die Amphoren milesischen oder ionischen Typs des 5. Jhs. angesprochen sind. Vgl. dazu Lawall 1995, 176. 193–195.

⁷⁹⁶ Das in der jüngeren Amphorenforschung vertretene Modell regionaler Amphorentypen im Gegensatz zu lokalspezifischen Produktionen wurde zuletzt von M. L. Lawall dargelegt und überzeugend argumentiert. Vgl. dazu Lawall 2010, bes. 50–52; Lawall 2013, 104–106; Lawall 2017; jeweils mit weiterführenden Literaturangaben.

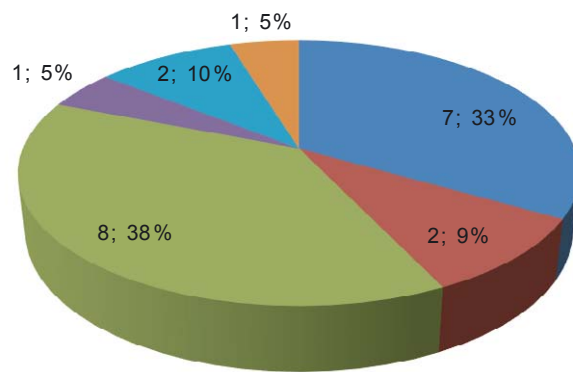
⁷⁹⁷ Für Milet wird die Produktion von Öl und Wein angenommen, Klazomenai war bekannt für Öl, Wein und Fisch, die nördliche Ägäis mit Thasos und Lesbos für ihre Weinproduktion.

⁷⁹⁸ Wenngleich Strab. 14, 1. 15 die ephesischen Weine seiner Zeit als gut bekömmlich lobt.



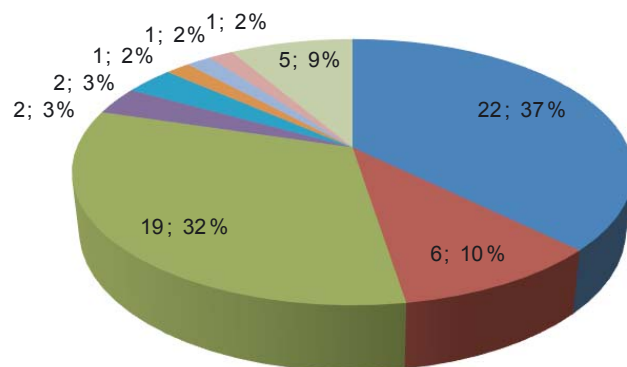
■ Wulstrand/Rundstabilippe ■ samischer Typ ■ milesischer Typ

Diagramm 46 Amphorenbestand AG Phase IIIa



■ Wulstrand/Rundstabilippe ■ samischer Typ ■ milesischer Typ
 ■ klazomenisch ■ chiotisch ■ anderes

Diagramm 47 Amphorenbestand AG Phase IIIb



■ Wulstrand/Rundstabilippe ■ samischer Typ ■ milesischer Typ
 ■ chiotisch ■ ionisch ■ lesbisch
 ■ nordägäisch ■ korinthisch ■ andere

Diagramm 48 Amphorenbestand AG Phase IV

1.B.3.6.5 Stamnoi

Neben den Amphoren dienten auch Stamnoi der Aufbewahrung von Nahrungsmitteln und möglicherweise auch anderen Gütern. In den archaischen Siedlungsbefunden beschränken sich Stamnoi auf meist unbemalte (**Kat. 300. Kat. 829. Kat. 1233. Kat. 1370. Kat. 1703**) und selten mit einfachen Reifen verzierte Gefäße (**Kat. 1430**), die in der Mehrzahl recht klein ausfallen.

Mit den Dinoi haben die Stamnoi die flach bis bauchig einziehende Gefäßschulter und den direkt daran angesetzten, unterschiedlich verdickten Rand gemeinsam, sie fallen jedoch zu klein aus, um eine den Dinoi vergleichbare Funktion als Mischgefäß erfüllen zu können oder ähnlich den Amphoren große Inhaltsmengen aufzunehmen. Möglicherweise dienten zumindest die kleinen Stamnoi (**Kat. 300. Kat. 1370. Kat. 1430**) daher eher der Lagerung solcher Güter, die in kleineren Mengen genutzt wurden, beispielsweise Gewürzen. **Kat. 829** ist etwas größer dimensioniert; das beutelförmige Gefäß mit dem flach ausgestellten Rand und den drei tiefen Rillen im oberen Wandbereich findet enge formale Parallelen bei Situlen der Grauen Ware des 7. Jahrhunderts⁷⁹⁹. Mit seiner Vergesellschaftung in einem Baubefund der AG Phase IIIb ist dieser Ansatz gut vereinbar. Der Stamnos **Kat. 1233** findet mit seinem schmalen, hohen Rand mit gerundeter Lippe indes gute Vergleiche bei Gefäßen erst des 6. Jahrhunderts⁸⁰⁰, was auch mit seiner Vergesellschaftung im Bauhorizont der AG Phase IV übereinstimmt. Ebenfalls über Formvergleiche und Fundvergesellschaftung in das 6. Jahrhundert zu datieren ist **Kat. 1370** mit einem kleinen, senkrecht auf der bauchig einziehenden Schulter aufsitzenden Rand⁸⁰¹, während **Kat. 1703** typologisch nicht näher eingegrenzt werden kann.

Mit **Kat. 300** tritt die Gefäßform des Stamnos erstmals in den Zerstörungsbefunden der AG Phase II auf, ein verstärktes Vorkommen zeichnet sich jedoch erst deutlich später für die AG Phase IIIb und die AG Phase IV ab. Sofern aufgrund der geringen Anzahl Aussagen überhaupt zulässig sind, scheint sich die Gefäßform des Stamnos damit erst ab dem fortgeschrittenen 7. Jahrhundert einer gewissen Verbreitung zu erfreuen, ohne in Ephesos jedoch jemals wirklich populär zu werden.

1.B.3.6.6 Eimer

Die Bodenfragmente **Kat. 892** und **Kat. 893, Kat. 1234, Kat. 1254** und **Kat. 1704** lassen sich zu einer Gefäßgruppe zusammenschließen, die hier als Eimer bezeichnet wird. Charakteristisch sind die direkt in einer geraden Linie aus der steilen Gefäßwandung hervorgehenden, kantigen Standringe, auf denen die Gefäße ruhen. Nur bei **Kat. 1234** geht die Wandung in eine flache Bodenplatte über. Besonders der Firnisüberzug im Inneren von **Kat. 1704** legt nahe, dass es sich um offene Gefäße handelt, deren Funktion nicht zuletzt aufgrund ihrer Größe und grundsätzlichen Schmucklosigkeit im Bereich der Vorratshaltung zu suchen sein wird. Über das Aussehen der ursprünglichen Ganzgefäße lässt sich aufgrund des Mangels an Vergleichsbeispielen wenig sagen, doch scheint es sich um große und tiefe Gefäße mit steilem Wandverlauf zu handeln.

Sucht man in den archaischen Siedlungsbefunden nach passenden Randfragmenten, so kommen nur die ebenfalls schwer einordenbaren, situlenartigen Tiefen Schüsseln in Frage (s. o. Kap. 1.B.3.3), die ebenso wie die meisten Eimerböden unbemalt bleiben, aber mitunter geglättet sind (**Kat. 1254**) oder der Grauen Ware angehören (**Kat. 892**). Auch die bei den Tiefen Schüsseln sich abzeichnende Gesamtproportion ist mit denen der Eimerböden grundsätzlich vereinbar. Eine tatsächliche Zusammengehörigkeit lässt sich in den archaischen Siedlungsbefunden nicht nachweisen. Weder aufgrund der Fundvergesellschaftung noch der scherbentypologischen Evidenzen können einzelne Eimerböden konkret dem Fragment einer Tiefen Schüssel zugeordnet

⁷⁹⁹ Vgl. Kinch 1914, 188 f. Abb. 71; Bayne 2000, 170 Nr. 1 Abb. 46.

⁸⁰⁰ s. Furtwängler 1980, 210 Nr. 11 Abb. 17; Ersoy 1993, 140 f. Nr. 449 Taf. 138; 222 f. Nr. 470 Taf. 236; de La Genière – Jolivet 2003, 44 Nr. 7 Abb. 9.

⁸⁰¹ s. Voigtländer 1982, 50 Nr. 69 Abb. 12; Schattner 2007, Nr. VtJ 2 Abb. 64.

werden, sodass deren potenzielle Zusammengehörigkeit vorerst eine Hypothese bleiben muss, zumal der oben diskutierte, mögliche Konnex der Tiefen Schüsseln mit ostgriechischen Situlen die Bodenform der Eimer tendenziell ausschließen würde. Aus Thera ist indessen ein Gefäß publiziert, das auch dort als Eimer angesprochen wird und beide diskutierten Formmerkmale, den absatzlosen Boden der Eimer und den profilierten Rand der Tiefen Schüsseln, in sich vereint und als lokales Produkt einer theräischen Werkstatt verstanden wird⁸⁰². Dieses theräische Gefäß ist ein starkes Argument für die Zusammengehörigkeit der fraglichen Ränder und Böden, selbst wenn sich aus der Befundsituation eine solche nicht mit Sicherheit erschließt.

Die Eimerböden werden mit **Kat. 892** und **Kat. 893** erstmals in einem Befund am Ende der AG Phase IIIb nachweisbar, während die Ränder Tiefer Schüsseln mit **Kat. 185** deutlich früher am Ende der AG Phase II auftreten. Die Eimer bleiben mit **Kat. 1234**, **Kat. 1254** und **Kat. 1704** nur bis in jene Horizonte vertreten, welche die Bauzeit der AG Phase IV angeben und füllen damit ein recht eng gefasstes Zeitfenster zwischen der Aufgabe einer Siedlungsphase und dem Bau der unmittelbar darauf folgenden. Der einzige publizierte Vergleich in grober Grauer Ware liegt aus Tarsus vor und wird dort im 7. Jahrhundert eingeordnet⁸⁰³.

Das Randfragment **Kat. 1647** verkörpert indessen einen anderen Eimertyp mit zylindrischer Grundform und dreifachem Riefeldekoration unterhalb des kaum verdickten und gerade abgestrichenen Randes.

1.B.3.7 KÜCHENWAREN

Als Küchenwaren werden hier alle Gefäße und Gerätschaften aufgefasst, die entweder das besondere Fabrikat der Kochgefäße aufweisen, oder aber solche Gefäße, die unabhängig von ihrem Fabrikat funktional im Bereich der Nahrungszubereitung zu verorten sind. Für das funktionale Verständnis der einzelnen Gefäßformen ist dabei das Wissen um die Zusammensetzung des griechischen Speiseplans bedeutend, der bei antiken Autoren überliefert ist⁸⁰⁴. Darüber hinaus liefern bildliche Darstellungen in Malerei⁸⁰⁵ und Kleinplastik⁸⁰⁶ wichtige Indizien hinsichtlich der Zweckbestimmung griechischer Küchenwaren.

1.B.3.7.1 Gefäße für die Nahrungszubereitung

1.B.3.7.1a Platten

Die Platte **Kat. 1477** ist durch einen flachen und weiten Gefäßboden charakterisiert, der schräg in einen niedrigen, keilförmig verdickten Rand mit gerader Oberkante umbiegt. Die Gefäßform ist ungewöhnlich und bleibt ohne überzeugende Vergleiche; grundsätzlich ist sie ähnlich den Schüsseln für das Servieren von festen Speisen geeignet. Im Unterschied zu den typischen archaischen Alltagswaren weist **Kat. 1477** weder einen malerischen Dekor noch eine geglättete Oberfläche auf und steht umgekehrt mit ihrem sandigen Fabrikat der Gruppe der Küchenwaren nahe (s. u. Kap. 1.B.3.7.2). Die leichten Spuren eines Abriebs am inneren Gefäßboden deuten weiters auf eine Verwendung hin, die funktional nicht auf das bloße Präsentieren eines Inhalts eingeschränkt werden kann, sondern die in Analogie zu den Reibschüsseln (s. u. Kap. 1.B.3.7.1b) im Zusammenhang mit der Essenzubereitung zu suchen sein mag⁸⁰⁷.

⁸⁰² Dragendorff 1903, 115 Abb. 306 a. 358. Im 3. Jh. finden sich die gleichen formalen Merkmale bei Bienenkörben angewandt. Vgl. dazu ein entsprechendes Gefäß im Museum von Isthmia.

⁸⁰³ Dazu Hanfmann 1963, 224 Nr. 785 Abb. 128; 270 Nr. 1263 (»probably not sixth century«).

⁸⁰⁴ Eine zusammenfassende Darstellung mit umfangreichen Literaturangaben ist bei Sparkes 1962 nachzulesen. Vgl. auch Matteucci 1986, 240–243; Villing 2009, 321 f.

⁸⁰⁵ Vgl. beispielsweise Sparkes 1962, Nr. 2 Taf. 7; Nr. 6 Taf. 8; Villing 2009, 323 Abb. 4; 326–328 Abb. 6–8; 330 Abb. 9.

⁸⁰⁶ Vgl. beispielsweise Sparkes 1962, Nr. 3. 4 Taf. 7; Nr. 1–5 Taf. 8; Villing 2009, 322 Abb. 3; 330 Abb. 10.

⁸⁰⁷ Vgl. dazu auch Aydemir 2005, 87.

1.B.3.7.1b Reibschüsseln

Als Reibschüsseln (gr. *θυγεία*)⁸⁰⁸ werden weitmundige, dickwandige Schüsseln bezeichnet, deren Funktion primär mit dem Zerstoßen und Zerreiben von Nahrungsbestandteilen verbunden ist. Dies erschließt sich einerseits aus der literarischen Überlieferung⁸⁰⁹, andererseits aus kleinplastischen Darstellungen⁸¹⁰ und bestätigt sich in den durch Sandbewurf aufgerauten Innenböden, die bei manchen Exemplaren nachgewiesen werden konnten, sowie den Abriebspuren im Gefäßbecken, die der Interpretation als Reibschüssel entgegenkommen⁸¹¹. Letztere sind auch im ephesischen Material hinlänglich nachgewiesen. Als wahrscheinliche Zutaten, die in diesem Zusammenhang eine Rolle spielten, werden neben diversen Getreidesorten vor allem Gewürze, Kräuter und Käse diskutiert⁸¹².

Die Reibschüsseln aus den archaischen Siedlungsbefunden in Ephesos lassen sich im Wesentlichen in drei Gruppen zusammenfassen, die sich neben ihrer Formgebung auch in ihrem Fabrikat als eigenständige Gruppen abzeichnen. Die petrografische Analyse der Gefäße wurde dankenswerterweise von L. Betina vorgenommen (s. u. Kap. 4.C)⁸¹³.

1.B.3.7.1ba Zypriotische Reibschüsseln

Eine erste Gruppe bilden jene Reibschüsseln, die im östlichen Mittelmeerraum des 7.–5. Jahrhunderts am häufigsten nachgewiesen werden konnten und die sich durch einen flachen Boden, ein konisch ausgestelltes Gefäßbecken mit durch seichte Dellen profilierter Außenkontur und einen dreieckig verdickten Rand auszeichnen. Das Fabrikat der Schüsseln ist hell und porös, und besonders die Gefäßoberfläche changiert zwischen gelblichen und hellbraunen Farbnuancen mit gelegentlichen Spuren eines weißlichen Überzugs. M. Spataro und A. Villing konnten kürzlich aufzeigen, dass das hauptsächliche Produktionszentrum dieses Typs mit seinem weiten Exportradius im gesamten östlichen Mittelmeerraum, weniger prägnant in Korinth oder im Einzugsgebiet der westgriechischen Kolonien, auf Zypern zu suchen ist⁸¹⁴. In den archaischen Siedlungsbefunden in Ephesos treten die zypriotischen Reibschüsseln mit den für den Typ besonders repräsentativen Gefäßen **Kat. 894** und **Kat. 1576** erstmals in Horizonten auf, welche die Aufgabe der AG Phase IIIb und den Bau der AG Phase IV kennzeichnen. Ein weiteres entsprechendes Gefäß ist aus dem Artemision in der Opferschicht F publiziert, welche von M. Kerschner in das beginnende letzte Viertel des 7. Jahrhunderts datiert wird⁸¹⁵. Weitere Vergleiche aus datierten Befunden im südlichen Ionien, von der Levante und aus Nordafrika bekräftigen diesen chronologischen Ansatz⁸¹⁶, der sich in den Siedlungsbefunden unter der Tetragonos Agora gleichfalls abzeichnet. Die ebenfalls zypriotischen Importe **Kat. 1052** und **Kat. 1479** weichen mit ihren besonders flachen Gefäßbecken von den üblichen Proportionen dieser Gefäße ab, bei **Kat. 1878** fehlen die typischen Dellen an der Beckenaußenseite. Alle drei Gefäße sind stratigrafisch später

⁸⁰⁸ Mit der Gefäßgattung, ihrer antiken Überlieferung, Produktion und Funktion haben sich ausführlich Sparkes 1962, 125. 134–136; Matteucci 1986; Villing 2006; Spataro – Villing 2009; Villing 2009 und zuletzt Villing – Pemberton 2010 beschäftigt. s. vor allem Villing – Pemberton 2010 für eine umfassende Bibliografie.

⁸⁰⁹ Zur literarischen Überlieferung vgl. Sparkes 1962, 125 Anm. 38; Matteucci 1986, 243–246; Villing – Pemberton 2010, 557 f. 612–620.

⁸¹⁰ Vgl. Villing 2006, 34 Abb. 14; Villing 2009, 330 Abb. 10; Villing – Pemberton 2010, 604–612.

⁸¹¹ Vgl. Sparkes 1962, 125; Villing 2006, 34; Villing – Pemberton 2010, 566. 602.

⁸¹² Vgl. Matteucci 1986, 240–246; Villing 2006, 34; Villing 2009, 321 f.

⁸¹³ Parallel dazu ist eine Analyse der Reibschüsseln aus den ephesischen Befunden auch mittels der NAA-Methode geplant; die Probenentnahme wurde von M. Kerschner bereits vorgenommen.

⁸¹⁴ s. dazu Spataro – Villing 2009. Vgl. auch Villing 2006, 31–33; Villing 2009, 321. Vgl. dazu auch Fantalkin 2001, 80; Stager u. a. 2011, 112 f. Durch die archäometrische Untersuchung konnte diese Lokalisierung letztthin bestätigt werden. Vgl. dazu Mommsen 2012, 439 und die tabellarische Übersicht 453–455.

⁸¹⁵ Kerschner 1997a, 119 Nr. 20 Taf. 4, zur Datierung des Fundzusammenhangs bes. 182.

⁸¹⁶ Zu Samos s. Walter – Vierendeel 1959, 28 Beil. 61, 2 (Bothros); Isler 1978b, 159 Nr. 597. 598 Beil. 19; zu Assesos vgl. Kalaitzoglou 2008, 275–279. 433 f. Taf. 153; zu Mehad Hashavyahu s. Fantalkin 2001, 79–82 Abb. 29; zu Ashkelon s. Stager u. a. 2011, 112 f.; zu Taucheira vgl. Hayes 1973, 69 Nr. 2317 Abb. 28 (>deposit I<)

als obengenannte in Nutzungs- und Versturz-niveaus der AG Phase IV zu verorten; ihre zyprische Herkunft ist durch die petrografischen Analysen von L. Betina gesichert (s. u. Kap. 4.C).

1.B.3.7.1bb Imitationen zyprischer Reibschüsseln

Die zyprischen Reibschüsseln wurden nicht nur in den östlichen Mittelmeerraum exportiert, sondern es ist darüber hinaus mit Imitationen lokaler Werkstätten zu rechnen, die M. Spataro und A. Villing etwa für Milet und für das Nildelta wahrscheinlich machen konnten⁸¹⁷. Die Gefäße ahmen nicht nur in ihrer Formgebung mit den konischen Gefäßbecken, den schmalen, unterschrittenen Dreiecksrändern und den abgesetzten, flachen Böden die zyprischen Importe nach, sondern gleichen sich mit dem an den meisten Gefäßen fassbaren hellen Überzug auch optisch ihren Vorbildern an. Diese zweite Gruppe ostgriechischer Imitationen zyprischer Reibschüsseln ist in den archaischen Siedlungsbefunden ebenfalls belegt und tritt mit **Kat. 1201**, **Kat. 1202** und **Kat. 1203** erstmals in den Versturzhorizonten der AG Phase IV auf. Damit ist diese Gruppe in ihrer stratigrafischen Vergesellschaftung klar später zu fassen als die zyprischen Vorbilder. Das Vorhandensein des Typs in den Zerstörungshorizonten von Ashkelon belegt indes seine Gleichzeitigkeit mit dem zyprischen Vorbild spätestens im ausgehenden 7. Jahrhundert⁸¹⁸. Mit der Reibschüssel **Kat. 895** liegt eine weitere Variante ostgriechischer Imitationen zyprischer Reibschüsseln vor. **Kat. 895** entstammt demselben Befund wie die zyprische Reibschüssel **Kat. 894** und ist dieser in ihren Proportionen unmittelbar vergleichbar. Der merkliche Unterschied ist einerseits in den seichten Profilierungen zu erkennen, welche die Randaußenkante zieren, sowie im gröber porösen und dunkleren Fabrikat von **Kat. 895**, welches mittels der petrografischen Analyse auf das nördliche Ionien eingegrenzt werden konnte (s. u. Kap. 4.C).

1.B.3.7.1bc Reibschüsseln der Küchenware

In einer dritten Gruppe werden die Reibschüsseln aus den archaischen Siedlungsbefunden zusammengefasst, die das Fabrikat der Kochgefäße aufweisen. Die Reibschüssel **Kat. 607** zeigt mit dem konischen Gefäßbecken und dem schnabelförmig dreieckig verdickten Rand jene Charakteristika, die A. Villing und E. G. Pemberton zuletzt als Formmerkmale archaischer Reibschüsseln aus Korinth herausgearbeitet haben⁸¹⁹; umgekehrt ist auch die Verwandtschaft mit den zyprischen Reibschüsseln klar ersichtlich. Im Unterschied zu den Schüsseln unserer zweiten Gruppe wird bei **Kat. 607** mit der Verwendung des Fabrikats der Kochgefäße auf eine bewusste Angleichung jedoch kein besonderer Wert gelegt. Mit seiner Vergesellschaftung in einem Nutzungshorizont der AG Phase IIIb ist **Kat. 607** stratigrafisch ein wenig früher anzusetzen als die ältesten nachweisbaren zyprischen Reibschüsseln. In Samos ist ein formal vergleichbares Gefäß mit schnabelförmigem Rand spätestens im dritten Viertel des 7. Jahrhunderts einzuordnen⁸²⁰. Die petrografische Analyse von **Kat. 607** legt eine Herkunft der Reibschüssel aus dem nördlichen Ionien nahe (s. u. Kap. 4.C).

Mit **Kat. 1204** und **Kat. 1431** begegnen in den Versturzhorizonten der AG Phase IV deutlich später zwei weitere Reibschüsseln im Fabrikat der Küchenware. Die Schüssel **Kat. 1204** zeigt mit dem schmalen, dreieckig verdickten und unterschrittenen Rand nun deutlich ihre Affinität zu den zyprischen Reibschüsseln, formal steht **Kat. 1204** in einem direkten Zusammenhang mit den ostgriechischen Imitationen **Kat. 1201** und **Kat. 1202** der zyprischen Schüsseln aus demselben Befund. Bei **Kat. 1431** fällt das Gefäßbecken hingegen flacher aus und der verdickte Rand steht in seiner runderen und breiteren Proportion den zyprischen Vorbildern näher als

⁸¹⁷ s. dazu Spataro – Villing 2009. Vgl. auch Villing 2009, 321.

⁸¹⁸ Dazu Waldbaum 2011, 306 Nr. 495.

⁸¹⁹ s. Villing – Pemberton 2010, 563 Abb. 3 (archaic form); 570 Nr. 3 Abb. 6. Diese archaische Form könnte auch in Korinth unter dem impulsgebenden Einfluss zyprischer Importe gestanden haben.

⁸²⁰ Dazu Furtwängler 1980, 204 Nr. 35 Abb. 14 Taf. 45 (Phase I).

deren ostgriechischen Imitationen. Die petrografische Dünnschliffanalyse konnte diesen aufgrund formtypologischer Kriterien gewonnenen Eindruck weiter bestätigen, denn tatsächlich findet sich **Kat. 1431** gemeinsam mit den zypriotischen Reibschüsseln **Kat. 1576** und **Kat. 1878** in derselben petrografischen Gruppe wieder, während für **Kat. 1204** mit größter Wahrscheinlichkeit von einer lokalen Herstellung ausgegangen werden darf (s. u. Kap. 4.C).

Die Reibschüsseln aus den archaischen Siedlungsbefunden scheinen in ihrer stratigrafischen Lage gut mit den etablierten Typochronologien übereinzustimmen. Die zypriotischen Importe am Ende der AG Phase IIIb koinzidieren mit dem ersten Auftreten dieses Standardtyps im östlichen Mittelmeerraum ab dem letzten Viertel des 7. Jahrhunderts, die davon abweichenden Gefäße (**Kat. 1052** und **Kat. 1479**) sind gemeinsam mit den ostgriechischen Imitationen des Typs bereits später in der AG Phase IV einzuordnen.

Überraschend, da in dieser Form bislang nicht nachgewiesen, sind hingegen die Reibschüsseln der Küchenware. Mit immerhin drei von insgesamt dreizehn Gefäßen ist ihr Anteil dabei zu groß, um als bloße Randerscheinung abgetan zu werden; darüber hinaus ist mit **Kat. 607** der typologisch wie stratigrafisch älteste Vertreter der Gefäßform dieser Gruppe zugehörig.

Reibschüsseln gehören zu den in der Archaik konstant auftretenden Gefäßformen, die wie in Ephesos selbst sowohl in Heiligtümern als auch in profanen Kontexten auftreten, wobei A. Villing vor allem für das archaische Milet eine hohe Funddichte festgestellt hat, die nicht weit hinter den tatsächlichen Kochtöpfen zurückbleibt und umgekehrt die multifunktionalen Lekanen sogar noch übertrifft⁸²¹. Für Ephesos zeichnet sich in den archaischen Befunden ein ähnliches Bild ab. Zwar reicht die Zahl der insgesamt dreizehn Reibschüsseln bei Weitem nicht an jene der Kochtöpfe heran, doch übertrifft sie deutlich die Anzahl der neun Lekanen. In diesem Zusammenhang ist einerseits für das östliche Griechenland nach einer anderen Bedeutung der Reibschüsseln als etwa in Attika zu fragen, wo der Anteil der Reibschüsseln innerhalb der Küchenwaren und insbesondere im Verhältnis zu den Lekanen wesentlich geringer ausfällt⁸²². Andererseits ist in Ionien eine Funktionsverschiebung von den Lekanen auf die Reibschüsseln zu erwägen, bei der Letztere für Arbeitsabläufe herangezogen werden, die in Attika mit der Lekane verbunden sind. Weiters wäre die Möglichkeit verschiedener Ernährungsgewohnheiten in Betracht zu ziehen, die unterschiedliche Ansprüche an das Repertoire der Küchenwaren stellten. Bemerkenswert bleibt, dass sowohl die Reibschüsseln als auch die Lekanen in den Agora-Befunden erstmals zeitgleich in der AG Phase IIIb auftreten.

1.B.3.7.2 Kochgefäße

Kochgefäße zeichnen sich abgesehen von ihrem Formenrepertoire in erster Linie durch den spezifisch aufgearbeiteten Ton aus, in dem sie gefertigt wurden. Dieser wird im Verhältnis zu anderen Waren sehr viel stärker mit auch größeren Magerungspartikeln versehen, wobei besonders Glimmer und Quarz eine große Rolle spielen. Die starke Anreicherung verleiht den Kochgefäßen die Fähigkeit, hohen Temperaturen standzuhalten und den direkten Feuerkontakt unbeschadet zu überstehen. Die meisten Kochgefäße aus den archaischen Siedlungsbefunden weisen ein vergleichsweise feines, aber stark glimmerhältiges Fabrikat auf, welches im Bruch durch eine schiefrige und an der Gefäßoberfläche durch eine sandpapierartige Konsistenz gekennzeichnet ist. An zusätzlichen Magerungspartikeln sind vor allem feine bis mittlere Quarze neben hellen, gelblichen und grauen bis dunklen Partikeln beigemengt. Die Farbgebung der Kochtöpfe changiert an unverbrannten Stellen zwischen hellbräunlichen bis orangerötlichen Nuancen.

In der petrografischen Dünnschliffanalyse konnte L. Betina für die Küchenwaren aus der Agora-Siedlung drei Gruppen unterscheiden, für die eine lokale oder regionale Produktion in

⁸²¹ Dazu Villing 2009, 320–231 mit einem Verweis auf ähnliche Verhältniszahlen in Apollonia-Arsuf (Anm. 6). Vgl. außerdem Villing – Pemberton 2010, 620–624.

⁸²² Dazu Villing 2009, 320, bes. Anm. 4 mit weiterer Lit.

Ephesos selbst oder in seinem unmittelbaren Umfeld wahrscheinlich gemacht werden kann (s. u. Kap. 4.C).

1.B.3.7.2a Gebrauchskeramische Formen

Jenseits des Formenrepertoirs des spezifischen Kochgeschirrs sind Gefäße der Küchenware selten anzutreffen.

Die kleine Schüssel **Kat. 1725** zitiert in ihrer Formgebung die Reibschüsseln, ist wegen ihrer kleinen Dimensionen jedoch nicht mit den großen Reibschüsseln gleichzusetzen; umgekehrt fällt **Kat. 1725** zu groß aus, um als Miniaturgefäß ohne konkrete Funktionalität gelten zu können. Möglicherweise steht die kleine Schüssel zwar in einem funktionalen Zusammenhang mit den großen Reibschüsseln, diente aber der Verarbeitung anderer Lebensmittel wie Gewürzen, die nur in geringen Mengen für die Nahrungszubereitung benötigt wurden.

Mit **Kat. 1879** begegnet ein großes Gefäß, welches mit der hohen, steilen Gefäßwand mit dem angedeuteten Wandknick, dem schnabelförmig verdickten und nach außen abgeschrägten Rand sowie den hohen, leistenförmigen Handhaben die formalen Merkmale der Steilwandschüsseln in die Küchenware überträgt. Die Schüssel weist keine Spuren einer Fertigung auf der Drehscheibe auf und war daher möglicherweise zu Hand aufgebaut worden; andererseits ist der durch den Ansatz der Handhabe verdrückte Abschnitt sicher nur bedingt geeignet, diesbezüglich konkrete Aussagen zu treffen. Das Fehlen jeglicher Brand- und Schmauchspuren verweist **Kat. 1879** eher in den Bereich der Nahrungszubereitung denn des eigentlichen Kochvorgangs; die Dimensionen eigneten sich in beiden Fällen für die Zubereitung großer Inhaltmengen. Die Fundlage in einem Bodenhorizont der AG Phase IV im Bereich der ehemaligen Töpferwerkstatt weist **Kat. 1879** funktional vielleicht eben dieser Werkstatt und weniger der Küche eines Privathaushaltes zu, worin möglicherweise die Erklärung für die Gefäßgröße zu suchen sein mag. Durch die petrografische Dünnschliffanalyse konnte **Kat. 1879** als lokal hergestelltes Gefäß identifiziert werden (s. u. Kap. 4.C).

1.B.3.7.2b Vorratsgefäße

Mit dem Stamnos **Kat. 7** liegt in den archaischen Siedlungsbefunden unter der Tetragnos Agora bereits in der AG Phase I das stratigrafisch älteste Vorratsgefäß der Küchenware vor, dessen petrografische Analyse eine Herkunft aus lokaler oder regionaler Produktion belegt (s. u. Kap. 4.C). Das Gefäß weist eine einfache, konisch einziehende Schulter auf und endet in einer gerade abgestrichenen Gefäßmündung. Schmauchspuren zeigen an, dass **Kat. 7** zwar nicht in den eigentlichen Kochvorgang involviert, wohl aber in Nähe eines (Koch-)Feuers aufgestellt war.

Die Randfragmente **Kat. 694** und **Kat. 1371** sind unbemalten Amphoren zugehörig, die das typische Fabrikat der Kochgefäße aufweisen.

Kat. 1371 zeigt mit dem wulstig verdickten Rand dabei ein morphologisches Merkmal, das in den archaischen Siedlungsbefunden unter den Haushalts- und Transportamphoren hinlänglich vertreten ist und das bereits von verschiedener Seite als potenzielles Merkmal einer auch lokalen Amphorenproduktion angedacht wurde⁸²³. Das konvex gewölbte Schulterfragment **Kat. 223** weist einen schräg aufgesetzten, rundstabigen Horizontalhenkel auf – wahrscheinlich handelt es sich hierbei um eine Schulterhenkelamphore (oder einen Stamnos).

Amphoren der Küchenware sind bislang mit Ausnahme von Sardeis von anderen Fundstellen nicht bekannt. In Ephesos ist neben den hier vorgestellten Gefäßen mindestens ein weiteres aus nacharchaischen Befunden am Panayırdağ belegt⁸²⁴, das ebenso wie **Kat. 1371** einen verdickten Wulstrand aufweist. Ob diese Amphoren aus einer konkreten funktionalen Zweckbestimmung heraus in der in ihren Eigenschaften so spezifischen Küchenware hergestellt wurden, kann vorerst

⁸²³ Vgl. Gassner 1997, 32; Kerschner – Mommsen 2005, 126.

⁸²⁴ Inv. PAN 08/2046.7.

nicht eindeutig beantwortet werden, da sich eine solche nicht klar erschließt. Grundsätzlich eignet sich das Fabrikat der Kochgefäße jedoch weniger zur Lagerung von Flüssigkeiten. Die primäre Bestimmung der Amphoren ist für **Kat. 223**, **Kat. 694** und **Kat. 1371** daher nicht anwendbar, zumindest nicht, wenn es um die Aufbewahrung von flüssigen Inhalten geht. Der *in situ*-Befund einer in Küchenware gefertigten Amphore aus Sardeis belegt für das mittlere 6. Jahrhundert indessen deren Verwendung zur Lagerung von Getreide⁸²⁵. Darüber hinaus werfen die formalen Charakteristika gemeinsam mit dem in ephesischen Fundstellen akkumulierten Vorkommen die Frage auf, ob es sich hierbei um eine lokale Besonderheit handeln könnte. In den archaischen Siedlungsbefunden unter der Tetragnon Agora verteilen sich die drei Gefäße auf Horizonte, welche die Zerstörung der AG Phase II sowie die Bauzeit der AG Phasen III und IV angeben.

1.B.3.7.2c Kessel

Das Randfragment **Kat. 1235** zeichnet sich durch einen breiten Hals mit kontinuierlich daraus sich verdickendem Rand mit gerundeter Lippe aus, was wiederum auf eine Grundform mit fließenden Übergängen zwischen den Gefäßpartien hindeutet, wie sie von den Kochtöpfen bekannt ist. Die formale Nähe von **Kat. 1235** zu den Küchenwaren kommt auch im Fabrikat zum Ausdruck. Ein vergleichbares Gefäß aus Assesos wird dort den Küchenwaren zugeordnet und als Kessel angesprochen⁸²⁶, obwohl sich wie bei **Kat. 1235** keinerlei Spuren einer Feuereinwirkung abzeichnen, weshalb G. Kalaitzoglou eine Verwendung zur Aufnahme erhitzter Inhalte in Betracht zieht. Die Fundlage von **Kat. 1235** in einem Baubefund der AG Phase IV stimmt auch chronologisch gut mit dem assesischen Kessel überein, die petrografische Analyse belegt die lokale oder regionale Herstellung des Kessels **Kat. 1235** (s. u. Kap. 4.C).

1.B.3.7.2d Kochtöpfe

Die in den archaischen Siedlungsbefunden am häufigsten nachgewiesenen Kochgefäße sind die Kochtöpfe (χύτρα)⁸²⁷. Es handelt sich um mehr oder weniger bauchige Töpfe mit ausgebogenen Rändern, einem randständigen Bandhenkel, der an den Gefäßbauch geführt wird und flachen oder gerundeten Böden. Im ephesischen Siedlungsmaterial sind die Kochtöpfe repräsentativ vertreten, und mit einigen zur Gänze oder zumindest im ganzen Profil erhaltenen Gefäßen⁸²⁸ ist auch für die vielen anderen Rand- und Bodenfragmente ein guter Anhaltspunkt gegeben, wie man sich die zugehörigen Ganzgefäße vorstellen dürfen.

Der im Ganzprofil erhaltene Kochtopf **Kat. 224** zeigt ein kleines Gefäß mit deutlich abgesetztem, geradem Boden, leicht bauchigem Gefäßkörper, annähernd zylindrischem Hals und nur leicht ausschwingendem, geradem Rand mit etwas verjüngter Lippe, von dem der vertikale Bandhenkel mit flach rechteckigem Querschnitt abgeht, der im Bereich des weitesten Durchmessers am Gefäßbauch aufsitzt. Die Randfragmente **Kat. 225** aus demselben Befund, **Kat. 117** und **Kat. 497** sind formal vergleichbar, doch biegen die Ränder mitunter etwas weiter aus. Vergleichbare flache Böden begegnen hingegen erneut mit dem kleinformatischen Topf **Kat. 26** sowie mit **Kat. 400**, während der dünnwandige Topf **Kat. 517** zwar ebenfalls über einen flachen Boden verfügt, dieser aber ungewöhnlich klar über eine leicht konkave Einziehung vom bauchigen Gefäßkörper abgesetzt ist.

Der in einem Boden- und in einem Randfragment vorliegende dünnwandige Kochtopf **Kat. 696** zeichnet sich ebenfalls durch einen flachen Gefäßboden und eine kleine, abgesetzte Rundstabilippe aus. Eine ähnliche Proportionierung ist bei dem etwas dickwandigeren Kochtopf **Kat. 1830** zu erwarten.

⁸²⁵ Vgl. Cahill 2010e, 484.

⁸²⁶ s. Kalaitzoglou 2008, 284. 438 Nr. 724 Taf. 157.

⁸²⁷ Zur Überlieferung s. Sparkes 1962, 130, Anm. 76. Vgl. auch Aydemir 2005, 87; Kalaitzoglou 2008, 279.

⁸²⁸ Für die fachkundige Unterstützung beim Zusammenfügen danke ich D. Taner, S. Kalabis und M. Eser.

Der Kochtopf **Kat. 301** ist bis auf Höhe des mittleren Gefäßbauches erhalten. Wiederum zeichnet sich eine nur mäßig gebauchte Körperkontur ab, der Rand, von dem der flache Bandhenkel abgeht, ist nun jedoch deutlicher vom stärker konisch eingezogenen Hals abgebogen und rundstabil verdickt. Die gleiche Randmorphologie findet sich mit **Kat. 146** bei einem ausnehmend dünnwandigen Topf sowie bei **Kat. 731** wieder.

Das fast zur Gänze erhaltene Gefäß **Kat. 1910** zeigt einen kleinen Kochtopf mit gerundetem Boden, bauchigem Körper und kleiner, klar abgesetzter Rundstabilippe, von welcher der breite, flach ovalstabile Bandhenkel an den Gefäßbauch führt.

Mit **Kat. 338**, **Kat. 339** und **Kat. 340** begegnen in ein und demselben Zerstörungsbefund drei annähernd zur Gänze erhaltene Gefäße, die anschaulich die Formvielfalt gleichzeitig in Verwendung stehender Kochtöpfe illustrieren. **Kat. 338** steht mit dem kaum ausgebogenen und wenig verdickten Rand sowie dem flachen Boden dem oben besprochenen kleinen Gefäß **Kat. 224** nahe, der Gefäßbauch ist hier jedoch kräftiger gerundet und nähert sich der Kugelform an, der vertikale Bandhenkel fällt leicht ovalstabil aus. Bei **Kat. 339** begegnen indessen die kaum gebauchte Körperform und der schmale, rechteckige Bandhenkel von **Kat. 224** wieder; der kurze, gerade Rand hingegen ist tropfenförmig verdickt und schließt in einer gerundeten Lippe ab. Bei aller gebotenen Vorsicht im Hinblick auf den Erhaltungszustand scheint sich mit **Kat. 339** außerdem erstmals ein gerundeter Boden anstelle der flachen Bodenplatte abzuzeichnen. Ähnliche Proportionsverhältnisse von Gefäßbauch und Rand, die ohne ausgeprägte Halspartie ineinander überleiten, scheinen auch bei **Kat. 116** gegeben, wenngleich der Rand hier wie bei **Kat. 224** unverdickt bleibt und schwach ausbiegt. Indes ist mit **Kat. 453** eine Ganzform gegeben, die als direktes Gegenstück von **Kat. 339** angesehen werden kann, und wo der gerundete Boden nun auch klar verifizierbar ist. Bei dem dritten Topf **Kat. 340** ist der Gefäßboden eindeutig leicht gewölbt und leitet in einen niedrigen und stark gebauchten Gefäßkörper über, der einen hohen, leicht konischen Hals ausbildet. Im Bereich des weitesten Durchmessers sitzt wiederum der flache vertikale Bandhenkel mit rechteckigem Querschnitt auf. Möglicherweise ist für **Kat. 340** ein ähnlich schnabelförmig abgesetzter Rand wie bei den kleinen Töpfen **Kat. 65** und **Kat. 529** zu erwarten, die in ihren Proportionen unmittelbar vergleichbar scheinen.

Bei **Kat. 395** ist der bauchige Gefäßkörper mit einem deutlich ausgebogenen, leicht rundstabil abgesetzten, kleinen Rand kombiniert, von dem der flache Bandhenkel mit rechteckigem Querschnitt abgeht. Mit **Kat. 398** ist im selben Befund ein weiterer Topf mit vergleichbarem Randprofil gegeben. **Kat. 399** vereint indessen den von **Kat. 65** und **Kat. 529** bekannten, leicht schnabelförmig abgesetzten Rand mit den kaum gebauchten Gefäßkörpern von **Kat. 224** und **Kat. 339**. Bei dem dünnwandigen Kochtopf **Kat. 1880** wird der schlanke Gefäßkörper mit einem kleinen, kantig abgesetzten Rand kombiniert, wie er in der subgeometrischen Aufschüttung vom Kalabaktepe bei Milet in vergleichbarer Form publiziert ist⁸²⁹. Durch die petrografische Analyse ist **Kat. 1880** als lokal ephesisches Produkt identifiziert (s. u. Kap. 4.C).

Kat. 1726 zeigt schließlich einen kontinuierlich aus der Gefäßwand sich kräftig tropfenförmig verdickenden und ausgebogenen Rand, von dem ein breiter, im Querschnitt flach ovaler Bandhenkel abgeht. Der Topf ist sackförmig gebildet mit einer hohen, konischen Halspartie und einem tiefen Schwerpunkt knapp oberhalb des wahrscheinlich leicht gerundeten Bodens. Die Kochtöpfe **Kat. 394**, **Kat. 396** und **Kat. 397** sowie **Kat. 516**, **Kat. 567**, **Kat. 778**, **Kat. 779**, **Kat. 849**, **Kat. 971–Kat. 973**, **Kat. 1205**, **Kat. 1271**, **Kat. 1319**, **Kat. 1320**, **Kat. 1433**, **Kat. 1577**, **Kat. 1578**, **Kat. 1629**, **Kat. 1630** und **Kat. 1704–Kat. 1708** zeigen weitere Randvarianten des Typs mit abgerundeten, kantigen bis schnabelförmig ausgebildeten Rändern, die unterschiedlich weit ausbiegen. **Kat. 1248** überträgt diese formalen Merkmale auf ein besonders kleines Gefäß. Diese in den archaischen Siedlungsbefunden am häufigsten belegte Variante der Kochtöpfe ist formal sehr gut mit jenen Gefäßen in Beziehung zu setzen, welche für das ausgehende 7. Jahr-

⁸²⁹ Kerschner 1999, 46 Nr. 72 Abb. 15.

hundert aus Milet⁸³⁰, Assesos⁸³¹, Taucheira⁸³² und aus levantinischen Befunden⁸³³ publiziert sind. Auch in Ephesos selbst sind in der analog datierenden Aufschüttung B und der Opferschicht G/F aus dem Artemision bereits drei entsprechende Kochtöpfe publiziert⁸³⁴. In den archaischen Siedlungsbefunden ist die Formvariante zwar erstmals in den Zerstörungsbefunden der AG Phase II belegt (**Kat. 394. Kat. 396. Kat. 397**), doch handelt es sich hierbei nicht um die relativ großen Standardtypen mit rund verdicktem und kantig akzentuiertem Rand, sondern um kleinformatigere Varianten mit eher schnabelförmig gebildeten Rändern. Mit **Kat. 778, Kat. 779, Kat. 849** sowie **Kat. 971–Kat. 973** tritt diese Standardform erstmals in den Befunden der AG Phase IIIb auf und hat besonders in der AG Phase IV einen hohen Anteil innerhalb der Kochtöpfe. Damit scheint sich die Datierung jener Variante, wie sie mit **Kat. 1726** als exemplarische Ganzform vorliegt, auch für die ephesischen Siedlungsbefunde zu bestätigen. Bereits A. Aydemir hat auf die Funddichte dieses Typs in Milet, auf Fundzusammenhänge in milesischen Ofenbefunden und nicht zuletzt auf archäometrische Daten hingewiesen, die eine Produktion der Gefäße in Milet wahrscheinlich machen⁸³⁵. Mit den Exemplaren **Kat. 516, Kat. 779, Kat. 1577, Kat. 1708** und **Kat. 1726** aus den archaischen Siedlungsbefunden unter der Tetragonos Agora ist mittlerweile die Produktion des Typs aufgrund petrografischer Analysen auch für Ephesos gesichert (s. u. Kap. 4.C). Unklar bleibt indes, inwieweit für Ephesos von einer exportorientierten Produktion ausgegangen werden muss, oder ob uns in den genannten Kochtöpfen die lokale Nachahmung eines Typs begegnet, der sich ausgehend von einem anderen Zentrum in der östlichen Ägäis und bis in die Levante verbreitete und der in die Produktion ionischer Zentren übernommen worden sein könnte. Zuletzt machte J. C. Waldbaum darauf aufmerksam, dass der archäometrische Abgleich der Gefäße zumindest aus den levantinischen Befunden auf nur ein Produktionszentrum hindeutet, von welchem aus diese Kochtopfvariante in die Levante exportiert wurde.

Eine dem oben beschriebenen Typ vergleichbare Randmorphologie mit hohem, nur schmal tropfenförmig verdicktem und kaum ausgestellttem Rand ist bei **Kat. 485** und **Kat. 697** gegeben. Hierfür ist wiederum ein gutes, wenn auch kleiner dimensioniertes Vergleichsbeispiel aus Milet anzuführen, das nun jedoch mit seiner Vergesellschaftung in der subgeometrischen Aufschüttung am Kalabaktepe⁸³⁶ deutlich früher datiert und damit auch den beiden Stücken aus Ephesos mit ihrer Zugehörigkeit zu Horizonten der AG Phase III(a) entgegenkommt.

Kat. 485 zeichnet sich gegenüber den anderen Kochtöpfen aus den archaischen Siedlungsbefunden durch seine aufwendige Oberflächengestaltung aus. Unterhalb des Randes sind deutliche Glättspuren erkennbar, die mit einem Spatel in vertikaler Richtung von der vorspringenden Lippe über den Hals zum Ansatz des Gefäßbauches führen. Im unteren Fragmentbereich zeigt sich außerdem eine horizontale Einkerbung, die aufgrund ihrer unregelmäßigen Linienführung und dem abrupten Abbruch aber nicht den Eindruck einer bewusst angebrachten Dekoration erweckt. Die vertikalen Spatelstriche sind indes durchaus als solche zu deuten. Mit **Kat. 485** vergleichbare, dünnwandige Kochtöpfe mit streifenpolierter Oberfläche sind in wenigen Exemplaren aus Istros und der nahen Siedlung Tariverde sowie aus Borysthenes bekannt⁸³⁷ und werfen für dieses Gefäß die Frage auf, ob es sich hierbei um ein Produkt desselben Herstellers handeln könnte. Bemerkenswert ist in diesem Zusammenhang, dass sich **Kat. 485** auch in seinem Fabrikat von den übrigen Kochtöpfen makroskopisch unterscheidet.

⁸³⁰ s. dazu Aydemir 2005, 87–89. 96–98 Nr. 1. 2 Abb. 2–5.

⁸³¹ s. Kalaitzoglou 2008, 279–282. 434–437 Taf. 154. 155.

⁸³² s. Hayes 1966, 135–137 Nr. 1412. 1413 Abb. 66 (›deposit I‹).

⁸³³ s. dazu Waldbaum – Magness 1997, 31–33 Abb. 8–10; Fantalkin 2001, 84–87 Nr. 1. 2 Abb. 31; Waldbaum 2011, 293–299 Nr. 441–471.

⁸³⁴ Vgl. Kerschner 1997a, 116 Nr. 18 Taf. 3; 155 Nr. 91. 92 Taf. 12; 181 f.

⁸³⁵ Dazu Aydemir 2005, 87–89; Kalaitzoglou 2008, 281. s. auch Waldbaum 2011, 293. Hayes 1966, 135–137 nimmt für die Stücke in Taucheira einen kykladischen Hintergrund an, Fantalkin 2001, 84 schlägt die ägäischen Inseln und das westliche und südliche Anatolien als wahrscheinliche Produktionsregionen vor.

⁸³⁶ Vgl. Kerschner 1999, 46 Nr. 71 Abb. 15.

⁸³⁷ Dazu Alexandrescu 2005b, 364 Nr. C 187 Abb. 50 Taf. 68; Čistov 2012, 232 Nr. 3 Taf. 76; Bîrzescu 2012b, 82. 87 Abb. 27.

Die Ränder **Kat. 1053**, **Kat. 1054** und **Kat. 1648** bilden rundstabig verdickte Ränder aus, die an leicht trichterförmig ausgestellten bis zylindrischen Hälsen aufsitzen, bei **Kat. 585** ist der dickwandige Rand trichterförmig ausgestellt und verjüngt sich zur Lippe hin, während der Rand von **Kat. 1831** mit einer abgerundeten Lippe, der Rand von **Kat. 27** in einer kantig akzentuierten Lippe abschließen.

Kat. 452 schert mit seinem ungewöhnlich großen Randdurchmesser aus dem sonst nachgewiesenen Variationsspielraum der Kochtöpfe aus. Der leicht verdickte und abgebogene Rand sowie der flache Henkelansatz stimmen hingegen mit den formalen Charakteristika archaischer Kochtöpfe gut überein, weshalb für **Kat. 452** einfach von einem größer dimensionierten Kochtopf auszugehen ist. Von dem Kochtopf **Kat. 422** hat sich bis auf den Henkel kaum etwas erhalten, der Henkel reicht jedoch aus, um dieses Gefäß von den anderen klar abzugrenzen. Mit **Kat. 422** liegt der einzige Kochtopf aus den archaischen Siedlungsbefunden vor, der einen rundstabigen und oberrandständigen Vertikalhenkel aufweist.

Die großformatigen Gefäße **Kat. 337** und **Kat. 1480** sowie die untypisch geformten Ränder **Kat. 66** und **Kat. 1055** sind wahrscheinlich eher als mobile Herde denn Kochtöpfe anzusprechen (s. u. Kap. 1.B.3.7.3a).

Das Repertoire der Kochtöpfe aus den archaischen Siedlungsbefunden von Ephesos lässt sich, jenseits der oben besprochenen Varianten, in zwei Hauptgruppen untergliedern; die Gefäßdimensionen der zugehörigen Kochtöpfe stellen dabei das gruppenkonstituierende Merkmal dar. In einer ersten Gruppe (**Kat. 26**, **Kat. 27**, **Kat. 65**, **Kat. 224**, **Kat. 225**, **Kat. 338–Kat. 340**, **Kat. 394–Kat. 396**, **Kat. 453**, **Kat. 497**, **Kat. 516**, **Kat. 529**, **Kat. 696**, **Kat. 1053**, **Kat. 1255**, **Kat. 1648**, **Kat. 1705**, **Kat. 1830**, **Kat. 1831**, **Kat. 1880** und **Kat. 1910**) werden die kleinformatigen Kochtöpfe zusammengefasst, die mit Randdurchmessern zwischen 9,8 und 14 cm sowie Bodendurchmessern zwischen 4 und 7 cm die kleinste Standardgröße archaischer Kochtöpfe andeuten, die in den im Ganzprofil erhaltenen Gefäßen **Kat. 224**, **Kat. 338** und **Kat. 1910** mit Höhen zwischen 10,9 und 16 cm eine Bestätigung findet. Das Verteilungsmuster der kleinformatigen Gruppe zeigt an, dass diese vor allem in jenen Horizonten der Agora-Siedlung vertreten ist, deren Material die AG Phase II und die Bauphase der AG Phase III definiert (Diagramm 49). In der zweiten Gruppe (**Kat. 116**, **Kat. 117**, **Kat. 146**, **Kat. 301**, **Kat. 397**, **Kat. 485**, **Kat. 567**, **Kat. 697**, **Kat. 731**, **Kat. 778**, **Kat. 779**, **Kat. 849**, **Kat. 971–Kat. 973**, **Kat. 1054**, **Kat. 1205**, **Kat. 1271**, **Kat. 1319**, **Kat. 1320**, **Kat. 1433**, **Kat. 1577**, **Kat. 1578**, **Kat. 1629**, **Kat. 1630**, **Kat. 1706–Kat. 1708** und **Kat. 1726**) sind Kochtöpfe mit Randdurchmessern zwischen 14 und 20,8 cm zusammengefasst, deren Gesamthöhe die maximalen 16 cm der Ganzgefäße der ersten Gruppe übertrifft (**Kat. 1726**). Sie treten zeitgleich mit den kleinen Gefäßen der ersten Gruppe erstmals vereinzelt in der AG Phase II auf, werden dann jedoch besonders für die AG Phase III und IV bezeichnend, als der Anteil der kleinformatigen Gruppe abnimmt (Diagramm 49. 50), und finden sich mit **Kat. 2036–Kat. 2038** auch noch im oberen Diazoma des Theaters von Ephesos wieder, während die kleinformatige Gruppe dort gar nicht mehr vertreten ist (s. u. Kap. 2.A.2.6). Die Formvariante mit tropfenförmig verdicktem Rand, die im gesamten östlichen Mittelmeerraum verbreitet ist, gehört dieser zweiten Gruppe an und macht innerhalb dieser einen beträchtlichen Anteil aus.

Zusammenfassend lässt sich festhalten, dass innerhalb der Kochtöpfe aus den archaischen Siedlungsniveaus eine tendenzielle Entwicklung von kleinformatigen Gefäßen hin zu einer Präferenz für größere und in ihrer Formgebung einheitlichere Gefäße abzulesen ist, die möglicherweise auch der impulsgebenden Wirkung von Importgefäßen geschuldet sein mag. Der Frage, wie hoch der tatsächliche Importanteil unter den Kochtöpfen der Agora-Siedlung liegt, konnte bisher nicht endgültig geklärt werden. Tatsächlich kann er aber nicht von großer Bedeutung gewesen sein, da sich die einer Dünnschliffanalyse unterzogenen Kochtöpfe beider Größenvarianten auf petrografische Gruppen verteilen, für welche L. Betina eine lokale oder regionale Lokalisierung in und um Ephesos wahrscheinlich machen konnte (s. u. Kap. 4.C). Die konstante Verbreitung der fraglichen petrografischen Gruppen beginnend mit den ältesten Horizonten der Agora-Siedlung bis in die AG Phase IV bekräftigt diese archäometrische Interpretation.

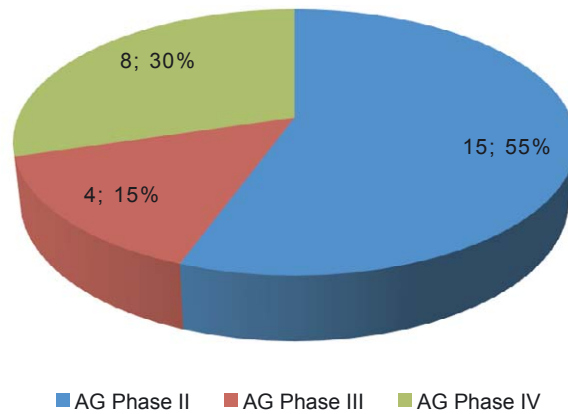


Diagramm 49 Verteilung kleiner Kochtöpfe

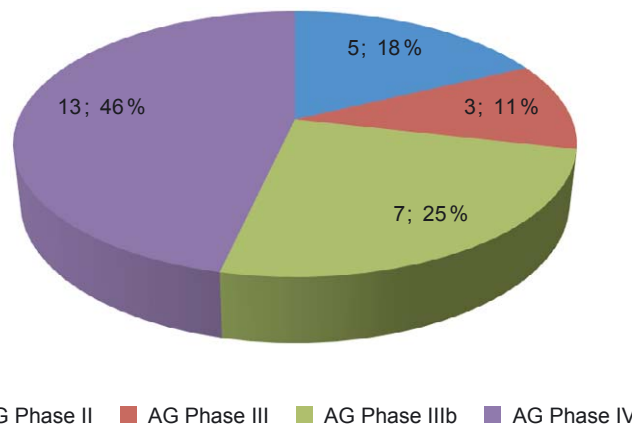


Diagramm 50 Verteilung großer Kochtöpfe

1.B.3.7.2e Kochschüsseln

Kat. 566 zeigt eine kleine, tiefe Schüssel der Küchenware, die, da sie keine Entsprechung unter den gebrauchskeramischen Formen findet, auch tatsächlich als spezifisches Kochgefäß verstanden wird. Da es sich um ein singuläres Stück handelt, gehört sie umgekehrt jedoch auch nicht zum gängigen Repertoire typischer archaischer Kochgefäße. Die Existenz offener Kochgefäße jenseits der vielen Kochtöpfe und Kochplatten ist freilich nicht wirklich überraschend. Im Gegensatz zu den Kochtöpfen wurde die Schüssel **Kat. 566** nicht mit der Drehscheibe aufgebaut und stellt damit eines der wenigen handgeformten Gefäße aus der archaischen Agora-Siedlung dar.

1.B.3.7.2f Kochplatten

Als Kochplatten werden hier weite, flache Becken der Küchenware angesprochen, die sich durch einen kurzen, hochgebogenen Rand auszeichnen. In der Bodengestaltung können zwei Varianten unterschieden werden.

Die erste Gruppe der Kochplatten zeichnet sich durch am Gefäßboden angebrachte breite, bandförmige Gefäßstützen aus; wahrscheinlich verfügten die Gefäße in Analogie zu ähnlichen Kochgefäßen mit integrierten Ständern über drei entsprechende Stützen⁸³⁸. Die Kochplatten auf

⁸³⁸ Dazu Solovyov 1991, 36. 37 Abb. 15 (>brazier<).

hohen Stützen treten mit **Kat. 896** erstmals am Ende der AG Phase IIIb auf und sind besonders in der AG Phase IV mit **Kat. 1257** und **Kat. 1579** vertreten. Die Gefäßständer **Kat. 226** und **Kat. 568** mit markantem Mittelgrat sind wahrscheinlich vergleichbaren Kochplatten zuzurechnen. Für die Randfragmente **Kat. 1206**, **Kat. 1256** und **Kat. 1709** ebenfalls aus der AG Phase IV sind zwar keine Ansätze zu den typenkonstituierenden Gefäßständern nachweisbar, die Gesamtproportion der Platten macht diese aber plausibel.

Bis auf eine Kochplatte aus einem spätarchaischen Grubenhüttenbefund in Borysthene⁸³⁹ sind bislang keine Kochplatten dieses Typs publiziert. Die Siedlungsbefunde unter der Tetragonos Agora legen ein Vorkommen der Form jedoch spätestens mit dem beginnenden 6. Jahrhundert fest.

In **Kat. 1432** begegnet in einem Zerstörungshorizont der AG Phase IV der zweite Typ einer Kochplatte mit senkrecht hochgebogenem Rand. Vergleichbare Platten mit geradem Boden und Handhaben hat B. A. Sparkes als mit Kohle gefüllte Unterlagen für Grille interpretiert, die in Athen erstmals in der spätesten Archaik nachweisbar werden⁸⁴⁰. **Kat. 1432** zeichnet sich durch den annähernd senkrechten und keilförmig verdickten Rand mit leicht nach innen abgeschrägter Oberkante aus.

Der neutrale Begriff der Kochplatte bezieht sich auf die in den Gefäßen in Fabrikat und oberflächlichen Schmauchspuren immanenten Hinweise ihrer Verwendung im Kochvorgang. Die Kochplatten mit Gefäßstützen wurden höchstwahrscheinlich auf diesen Stützen über das Kochfeuer gestellt, und es ist denkbar, dass die Speisen ähnlich einer Grillplatte direkt auf ihnen zubereitet wurden oder in einem weiteren Gefäß warmgehalten werden konnten. Umgekehrt ist für die Platten der zweiten Variante ohne Gefäßstützen eine Verwendung im Sinne eines mobilen Herdes oder einer Kohleplatte wie von B. A. Sparkes vorgeschlagen, in welcher weitere Kochgeräte zur Zubereitung positioniert wurden, nicht minder plausibel. Als Backplatte schienen beide Varianten geeignet.

1.B.3.7.2g Deckel

Kat. 695 ist zu einem Deckel mit geradem Rand zu ergänzen. Der Randedurchmesser ist mit 26 cm dabei zu groß für die Standardtypen der Kochtöpfe. Mit **Kat. 452** liegt jedoch ein Kochtopf vor, der in seinen Dimensionen mit **Kat. 695** vergleichbar ist und mit seiner Vergesellschaftung in einem Zerstörungsbefund der AG Phase II in denselben Zeithorizont fällt wie **Kat. 695** aus einem Baubefund der AG Phase III. Ansonsten kommt eine kleine Kochplatte oder ein Vorratsgefäß als zugehöriges Gefäß in Frage, doch sind Kochplatten in den archaischen Siedlungsbefunden erstmals mit dem Ende der AG Phase III (**Kat. 896**) nachgewiesen. Die Kochplatten **Kat. 1206** und **Kat. 1256** aus der AG Phase IV passen dabei in etwa in die Größenordnung des Deckels **Kat. 695**. Große, deckelförmige Gefäße sind außerdem in Form der Backdeckel⁸⁴¹ bekannt, doch zeichnen sich diese durch hohe Deckelkalotten aus, die mit dem flachen Wandverlauf von **Kat. 695** nicht vereinbar sind. Mit **Kat. 1321** liegt ein weiterer flacher und ungewöhnlich großer Deckel aus einem Zerstörungsbefund der AG Phase IV vor. **Kat. 1321** weist an der Außenseite Schmauchspuren auf, was die Verwendung im Bereich des Kochvorgangs bekräftigt. Umgekehrt sind die Schmauchspuren zu schwach, um auf einen direkten Feuerkontakt schließen zu lassen, wodurch auch die zweite Interpretation des Fragments als Basis eines großen Ständers an Glaubwürdigkeit verliert. Auch sind in diesem Zusammenhang keine vergleichbaren Ganzformen bekannt, weshalb an der Deutung als Deckel, möglicherweise wiederum als Abdeckung der Kochplatten und damit in der Funktion der oben angesprochenen Backdeckel, festgehalten wird.

Der dickwandige und kräftig kalottenförmig gewölbte Deckel **Kat. 1023** bildet einen Randfalz aus, dessen Randedurchmesser von etwas mehr als 20 cm auf einen großen Kochtopf oder eine

⁸³⁹ Dazu Solovyov 1991, 36. 37 Abb. 15 (>brazier<).

⁸⁴⁰ s. Sparkes 1962, 129 Abb. 5 Taf. 5; Sparkes – Talcott 1970, 234 f. 378 Nr. 2029 Taf. 98.

⁸⁴¹ Dazu Sparkes 1962, Abb. 2 Taf. 4.

Kasserolle (*λοπάς*) als zugehöriges Gefäß hindeutet. Lopades zeichnen sich im Gegensatz zu den tiefen, geschlossenen Kochtöpfen durch ihre tendenziell offene Form und einen zu **Kat. 1023** komplementären Randfalz aus⁸⁴².

1.B.3.7.3 Küchengerätschaften

Als Küchengerätschaften gelten alle Objekte, die in einem direkten Zusammenhang mit dem Kochvorgang stehen, ohne dass sie selbst als Kochgefäß dienten. In den archaischen Siedlungsbefunden handelt es sich dabei in erster Linie um Vorrichtungen, die der Positionierung der Kochgefäße über dem Feuer dienten. Durch den direkten Kontakt mit Feuer und Kohle waren die Ansprüche, welche an das Material dieser Küchengerätschaften gestellt wurden, identisch mit jenem für die Kochgefäße, wengleich der Ton mitunter gröber aufbereitet wurde als bei den Kochgefäßen. Dies ist vermutlich einfach damit zu erklären, dass der feinere Ton besser für den Aufbau geschlossener Gefäße auf der Drehscheibe geeignet war, wie es für alle Kochtöpfe aus der Agora-Siedlung zutrifft, als das etwas gröber gemagerte Fabrikat, das sich bei dickwandigeren Kochgefäßen und Kochgeräten wiederfindet.

1.B.3.7.3a Herde

Der Kochvorgang vollzog sich über einem Kochfeuer, für dessen Anbringung es schon in der Archaik nachweislich unterschiedliche Möglichkeiten gab.

Zum einen gab es offene Herd- und Feuerstellen, welche einen fixen Platz im häuslichen Bereich hatten und die, wie A. Aydemir am Beispiel Milets erarbeiten konnte, entweder in offenen Höfen oder in geschlossenen Räumen als lehmig gefasste, meist runde Bereiche im Zentrum oder in Nähe der Hauswände positioniert waren⁸⁴³. In den archaischen Siedlungsbefunden von Ephesos sind offene Feuerstellen in Form von in das Gehniveau eingebrachten Grubenherden erstmals in der AG Phase I belegt (Plantaf. 3. 18 Profil HA 8/7). In diesem Zusammenhang bleibt unklar, ob sich die Feuerstelle im Gebäudeinneren oder in einem Hofbereich befand. Grubenherde sind darüber hinaus auch in den Gebäuden MB 1 (Plantaf. 6. 7. 10 Profil HA 5/1) und KMB (Plantaf. 6. 7. 13 Profil HA 6/7) für die AG Phase III belegt und zeichnen sich dort durch die mit Lehm ausgekleidete Grubenwand aus. Zeitlich parallel dazu ist im Gebäude NB eine mit Steinplatten gesetzte rechteckige Herdstelle erfasst (Plantaf. 6. 7. 30 Profil NB 1), die ebenso wie die Grubenherde frei im Innenraum gelegen war. In der AG Phase IIIb ist im Gebäude KMB hingegen eine offene Herdstelle (Plantaf. 7. 14 Profil HA 6/9) nachgewiesen, die sich im Grabungsbefund als einfacher Aschebelag über dem Bodenniveau abzeichnete und ohne weitere Einfassung oder komplexere bauliche Maßnahme im Gebäudeinneren installiert worden zu sein scheint. Eine solche einfache, nur als Aschebelag am Boden fassbare Feuerstelle ist schon im Bereich der Mauer AZ 1 für die AG Phase IIb belegt (Plantaf. 5).

Abgesehen von diesen räumlich fixierten Herdstellen sind unterschiedliche Varianten mobiler Herde belegt, die einerseits eine bessere Kontrolle des Kochfeuers und damit des Kochvorgangs an sich ermöglicht haben und andererseits in ihrer flexibleren Einsetzbarkeit auch den unterschiedlichen Erfordernissen verschiedener und gleichzeitig zubereiteter Speisen entgegengekommen sein mögen. In den archaischen Siedlungsbefunden lassen sich mehrere Fragmente mit mobilen Herden in Verbindung bringen, ohne dass freilich die zu ergänzende Ganzform immer klar ersichtlich wäre. Es handelt sich um unterschiedlich geformte Objekte, die über dem Kochfeuer positioniert wurden und auf denen die Kochgefäße abgesetzt werden konnten. Diese Herde können entweder direkt an einer offenen Feuerstelle verwendet werden oder in Kombination mit einer Vorrichtung, etwa einer Kochplatte, in welche die Glut von der primären Feuerstelle ausgelagert wird.

⁸⁴² Vgl. Sparkes 1962, 130 Abb. 5 Taf. 6.

⁸⁴³ Dazu Aydemir 2005, 94. Zu der funktionalen Dimension von Herdstellen im häuslichen Siedlungszusammenhang vgl. grundsätzlich Lang 1996, 114 f. mit weiterer Lit.

Kat. 337 zeichnet sich durch seine bauchig einziehende Schulter und den kurzen, davon steil abgesetzten, keilförmigen Rand aus. Eine im weitesten Sinne vergleichbare Formgebung ist von einem mobilen Herd mit zylindrischer Grundform aus Milet publiziert und wird dort in die zweite Hälfte des 7. Jahrhunderts eingeordnet⁸⁴⁴. Das lokal produzierte Exemplar **Kat. 337** (s. u. Kap. 4) zeigt mit seiner Lage in einem Zerstörungsbefund der AG Phase IIb einen dazu etwas früheren Datierungsansatz schon vor der Jahrhundertmitte an. Mit **Kat. 1580** liegt aus einem Bauhorizont der AG Phase IV ein weiteres Randfragment eines zylindrischen Herdes vor. Es scheint sich um eine Ganzform mit konkav eingezogener Wandung gehandelt zu haben, an deren inneren Rand eine horizontale Leiste umläuft, welche als Auflager für das am Herd aufgesetzte Kochgefäß diente. Das Basisfragment **Kat. 1631** eines dritten zylindrischen Herdes ebenfalls aus einem Befund der AG Phase IV ist an seiner Außenseite mit eingeritzten umlaufenden Rillen und einem hohen und eng gesetzten Wellenband geschmückt. Die Verzierung zylindrischer Herde durch Ritzdekor ist bei dem oben angesprochenen mobilen Herd in Milet mit Rillendekor ebenfalls bereits belegt.

Mit **Kat. 401** liegt das verdickte und nach innen kantig vorspringende Fragment eines weiteren mobilen Herdes vor, an der verbrochenen Außenseite zeichnet sich möglicherweise der Ansatz einer Handhabe ab, wie sie grundsätzlich für mobile Herde belegt ist⁸⁴⁵. Die morphologischen Charakteristika sind in Milet besonders von den handgeformten, hufeisenförmigen Herden des 6. Jahrhunderts bekannt⁸⁴⁶; die Drehrillen im Inneren von **Kat. 401** verweisen für diesen jedoch auf ein mit der Drehscheibe gefertigtes Objekt und damit zunächst auf einen weiteren zylindrischen Herd. Mit **Kat. 712** liegt indessen ein Basisfragment eines mobilen Herdes mit kantig verdicktem Auflager vor, das wiederum die Spuren einer Fertigung auf der Drehscheibe trägt, umgekehrt mit seiner gerade abgeschnittenen und leicht verdickten Vorderseite jedoch eindeutig als hufeisenförmiger Herd ausgewiesen ist. Dies gibt einen Hinweis auf das mögliche Herstellungsverfahren hufeisenförmiger Herde, die zunächst als Zylinder aufgebaut und erst dann in einem zweiten Schritt halbiert und in ihre endgültige Form gedrückt wurden, wodurch sich die Drehspuren wie auch bei dem großformatigen Basisfragment **Kat. 897** verschieben. Die mit der Drehscheibe geformten hufeisenförmigen Herde sind mit diesen drei Fragmenten aus Horizonten, die die Zerstörung der AG Phase II und die AG Phase IIIb bezeichnen, für Ephesos bereits für spätestens die gesamte zweite Hälfte des 7. Jahrhunderts belegt und damit deutlich früher als in Milet nachweisbar.

Mit **Kat. 66**, **Kat. 118**, **Kat. 1055** und **Kat. 1480** liegen aus den Horizonten der AG Phasen II und IV Randfragmente vor, welche in ihrer Formgebung vom typischen Repertoire der ephesischen Kochtöpfe abweichen und möglicherweise ebenfalls mit solchen mobilen Herden zu verbinden sind. Der verbreiterte und teils nach innen abgeschrägte Rand eignete sich jedenfalls dafür, andere Kochtöpfe darauf abzustellen.

Möglicherweise ist auch das Fragment **Kat. 1478** vom Gefäßkörper einer großen, geschlossenen Form als Herd anzusprechen. Es zeichnet sich durch eine weite, kreisrunde Durchbrechung der Gefäßwand aus, die bereits im Zuge der Herstellung angebracht wurde und somit für die ursprüngliche Verwendung des Gefäßes vorgesehen war. Welcher Art diese Verwendung war, bleibt unklar. Für ein Siebgefäß scheinen sowohl die Gefäßgröße als auch die Größe der Durchbrechung sowie der Ort der Anbringung an der Schulter bzw. im oberen Bauchbereich untypisch, zeichnen sich Siebgefäße gemeinhin doch durch kleine Durchbrechungen im Bodenbereich aus⁸⁴⁷. Hingegen sind vergleichbare Proportionen für mobile Herde denkbar⁸⁴⁸, doch steht einer solchen Interpretation das Fabrikat von **Kat. 1478** entgegen, welches weniger den Küchenwaren als jenem der Gebrauchskeramik entspricht. Denkbar ist schließlich auch eine Verwendung als Vorratsgefäß für Inhalte, die einer Luftzufuhr bedürfen.

⁸⁴⁴ Vgl. dazu Aydemir 2005, 95. 99 Nr. 8 Abb. 17. 18.

⁸⁴⁵ s. Young 1939, 190 f. Nr. C 165 Abb. 141; Sparkes 1962, 130 Abb. 4 Taf. 5.

⁸⁴⁶ Vgl. Aydemir 2005, 97. 99. 100 Nr. 9–13 Abb. 19–23.

⁸⁴⁷ Vgl. etwa Sparkes – Talcott 1970, 366 Nr. 1850. 1852 Taf. 88; 376 Nr. 2009 Abb. 18 Taf. 96; Nr. 2010.

⁸⁴⁸ Zum Konzept vgl. Sparkes 1962, Abb. 4 Taf. 5; Abb. 4. 5 Taf. 6; Sparkes – Talcott 1970, 377 Nr. 216–220 Taf. 97.

1.B.3.8 SPEICHERGEFÄSSE

1.B.3.8.1 *Pithoi*

Pithoi sind große Vorratsgefäße, die aufgrund ihrer Größe, ihrer Funktion und ihrer oftmals fixen Verankerung im Boden anders als die übrigen Gefäße zum unbeweglichen Einrichtungsinventar zählen. Pithoi dienten vornehmlich der Lagerung größerer Vorratsmengen und vor allem große Exemplare wurden zum Zweck der besseren Zugänglichkeit meist bis zum Rand in den Boden eingetieft. Aus den archaischen Siedlungsbefunden unter der Tetragonos Agora liegt eine große Anzahl von insgesamt 141 Pithosfragmenten vor; nur in den wenigsten Fällen lassen sich die zahlreichen Wandfragmente mit einem Randfragment verbinden oder für die Gewinnung eines größeren Wandabschnitts zusammensetzen. In ihrem Fabrikat stehen die Pithoi aus der Agora-Siedlung den lokalen/regionalen Küchenwaren nahe (s. u. Kap. 4.C), sind meist jedoch wesentlich gröber gemagert, poröser und mitunter auch weicher gebrannt.

Die Pithoi **Kat. 245** und **Kat. 309** aus den Befunden der AG Phase II zeichnen sich durch einen mit den Kochtöpfen vergleichbaren beutelförmigen Gefäßkörper aus, der zur Mündung hin konisch einzieht, der leicht verdickte Rand biegt flach aus. **Kat. 669** ist wahrscheinlich zu einem formal vergleichbaren Pithos zu ergänzen. Mit dem bauchigeren Pithos **Kat. 309** der Küchenware vergleichbare Großgefäße sind für das 7. Jahrhundert aus südionischen Befunden bereits in Einzelfällen belegt⁸⁴⁹. Mit ihren Raddurchmessern zwischen 28 und 29 cm gehören **Kat. 245** und **Kat. 309** dabei nicht zu den großen Vertretern ihrer Art, weshalb sie wahrscheinlich nicht in den Boden eingetieft, sondern auf Ständer oder Stützen platziert waren⁸⁵⁰. Besonders bei **Kat. 245** ist dies zu erwarten, denn das Gefäß weist mehrere Durchbohrungen einer oder mehrerer Flickungen auf, die nicht hätten vorgenommen werden können, wäre der Pithos bis zu seinem Rand im Boden eingesenkt gewesen. Die innere Oberfläche von **Kat. 245** ist mit einem violetten Belag bedeckt, der als Ablagerung eines ehemaligen Inhalts oder als das Ergebnis einer chemischen Reaktion des Inhalts mit dem Gefäß gedeutet werden kann. Eine naturwissenschaftliche Untersuchung dieses Belags, die eventuell Aufschlüsse über die Art des Inhalts liefern könnte, hat sich bislang noch nicht verwirklichen lassen.

Mit **Kat. 941** begegnet in einem Befund der AG Phase IIIb ein weiterer Typ von Pithos, der sich markant durch einen hohen Hals von den beutelförmigen Pithoi unterscheidet und als exemplarische Ganzform vorliegt. Das Gefäß ruht auf einem deutlich abgesetzten, engen Fußknauf, der schlanke, ovoide Körper ist durch drei plastische Wülste vom hohen, zylindrischen Hals abgesetzt, der in einen dreieckig verdickten Flachrand übergeht. Ähnlich dimensionierte Pithoi mit abgesetztem Fußknauf sind in mehreren Exemplaren aus Assesos vorgelegt⁸⁵¹, die Gesamtproportion der assesischen Pithoi weicht mit dem bauchigeren Körper, dem breiten, konischen Hals und dem kantig ausgebogenen Flachrand jedoch klar von **Kat. 941** ab. Im Unterschied zu den beutelförmigen Pithoi **Kat. 245** und **Kat. 309** war der große Pithos **Kat. 941** in den Boden eingetieft und wurde bei den Ausgrabungen unter der Tetragonos Agora noch *in situ* angetroffen (Plantaf. 28, Profil HA 11/14a+b)⁸⁵². Aus der Grabungsstratigrafie geht dabei klar hervor, dass **Kat. 941** in der AG Phase IV nicht mehr in Betrieb war und umgekehrt erst installiert wurde, nachdem der Lehm Boden im Gebäude XB bereits existierte, da dieses Bodenniveau bei der Einbringung des Pithos durchbrochen worden war. Gemeinsam mit dem zweiten Halspithos **Kat. 780** ebenfalls aus einem Bauhorizont der AG Phase IIIb, dem Fehlen des Typus in der AG Phase II und den im weitesten Sinne vergleichbaren Gefäßen aus Assesos scheint eine Datierung der Halspithoi in der zweiten Hälfte des 7. Jahrhunderts sehr wahrscheinlich.

Mit der plastisch hervorgehobenen Zierleiste am Übergang vom Gefäßkörper zum Hals wird dabei deutlich, dass das Gefäß während seiner Nutzung nicht bis zum Rand, sondern nur bis zum

⁸⁴⁹ Kleiner u. a. 1967, 155 Abb. 90; Schattner 2007, Nr. TC 1 Abb. 29; Kalaitzoglou 2008, 437 Nr. 719 Taf. 156.

⁸⁵⁰ Vgl. dazu Kalaitzoglou 2008, 242.

⁸⁵¹ Vgl. Kalaitzoglou 2008, 425 f. Nr. 622. 623. 627 Taf. 141. 143.

⁸⁵² Zur Befundsituation vgl. Scherrer 1996, 11. 12 Abb. 5; Scherrer 1999, 386; Scherrer – Trinkl 2006, 63 Abb. 80.

Bauch im Boden steckte, da die dekorative Gestaltung wenig Sinn gemacht hätte, wäre sie nicht auch zu sehen gewesen. Aus der stratigrafischen Dokumentation geht dies auch deutlich hervor (s. u. Kap. 1.D.1.3.7; Plantaf. 7. 28 Profil HA 11/14a+b). Dass Dekoration am Gefäßkörper von Pithoi keine Seltenheit war, beweist das Wandfragment **Kat. 1727**, bei dem die Zierleiste mit einem plastisch aufgesetzten Wellenband geschmückt ist.

1.B.3.9 LAMPEN

Der in archaischer Zeit geläufigste Typ ostgriechischer Lampen sind die sog. Stocklampen, die R. H. Howland in seiner ersten grundlegenden Studie zu den griechischen Lampen als typisch ostgriechische Ausprägung erkannte und zuallererst mit Smyrna in Verbindung brachte⁸⁵³. Stocklampen sind durch einen niedrigen, meist S-förmig profilierten Lampenkörper gekennzeichnet, dessen eher breite Bodenpartie einen mittigen Tubus ausbildet; von der Vermutung, die Lampen seien mittels dieses Tubus an einem aufgerichteten Stock oder dergleichen befestigt worden, rührt die Typenbezeichnung her. Obwohl nur für wenige Lampenfragmente aus den archaischen Siedlungsbefunden in Ephesos das typenkonstituierende Merkmal des Tubus verifizierbar ist (**Kat. 1434**, **Kat. 1583**), kann aufgrund ihrer formalen Ausprägung davon ausgegangen werden, dass noch weitere Lampen dem Typus der Stocklampen angehören. In Analogie zu stratifizierten Befunden in Milet und auf Samos sind Stocklampen zwischen dem mittleren 7. und dem ausgehenden 6. Jahrhundert zu datieren⁸⁵⁴.

Kat. 1583 ist als einzige Lampe in ihrem gesamten Profil erhalten. Der ungebrochen konvex gerundete Lampenkörper mit der leicht einziehenden, verjüngten Lippe bleibt ohne Parallele, tendenziell bauchige Grundformen sind jedoch eher für das 7. Jahrhundert zu erwarten⁸⁵⁵. Die Fundlage von **Kat. 1583** in einem Bauhorizont der AG Phase IV steht einer solchen Einordnung nicht entgegen.

Das Randfragment **Kat. 640** zeichnet sich gegenüber den übrigen Lampenfragmenten aus den archaischen Siedlungsbefunden durch seine ungewöhnlich großen Dimensionen aus. Der konisch zulaufende Lampenkörper und der scharfkantig davon abgesetzte, dreieckig verdickte Rand finden eine annähernde Parallele bei einer auch in ihren Proportionen vergleichbaren Lampe aus einem Befund des ersten Viertels des 6. Jahrhunderts in Samos⁸⁵⁶. Im Unterschied dazu fällt der konische Körper bei **Kat. 640** steiler aus, die flache Randoberkante ist nach innen abgeschrägt und weist anders als bekannte samische Lampen, die in der Regel unbemalt bleiben, ein inneres Lippenband auf. In Ephesos und Taucheira werden formal vergleichbare, aber kleinere Lampen erst im 6. Jahrhundert angesetzt⁸⁵⁷; die Fundvergesellschaftung von **Kat. 640** in einem Bodenniveau der AG Phase III weist demgegenüber noch eindeutig in das 7. Jahrhundert. Möglicherweise kann die Größe der Lampe in diesem Zusammenhang als ein chronologischer Indikator gewertet werden. D. T. Tezgör und T. Sezer schlagen für die ephesischen Vergleichsstücke eine lokale ephesische Herstellung vor. Eine solche sollte mit naturwissenschaftlichen Methoden zu klären sein; das gehäufte Vorkommen der Typenvariante in Ephesos ist grundsätzlich ein positives Indiz. Umgekehrt schließen die form-, dekor- und scherbentypologischen Merkmale zumindest einen Import aus Samos oder auch Milet aus.

⁸⁵³ Vgl. Howland 1958, 20–22 (Typ 9).

⁸⁵⁴ Zu Samos vgl. Walter 1957, 50 f. Beil. 76; Kopcke 1968, 272–275 Abb. 22. 23 Taf. 105; Furtwängler 1980, 166–168; Furtwängler – Kienast 1989, 115 Nr. 33 Abb. 22 Taf. 24. Zu Milet vgl. Selesnow 1997. Eine zusammenfassende Diskussion des Typs bei Kalaitzoglou 2008, 289–291 Taf. 158. s. außerdem Bailey 1975, 89; Scheibler 1976, 90 f.; Ersoy 1993, 422 f.; Tezgör – Sezer 1995, 48. 50–63 Nr. 70–116; Fantalkin 2001, 96 f. Abb. 34; Schattner 2007, 423.

⁸⁵⁵ Vgl. Kalaitzoglou 2008, 291. In Korinth werden Lampen mit vergleichbarer Randmorphologie, aber ohne den mittigen Tubus seit der späten Archaik hergestellt. s. dazu Scheibler 1976, 91 Nr. 561 Taf. 82. 83.

⁸⁵⁶ Vgl. Kopcke 1968, 272 f. Nr. 68a Abb. 2 Beil. 105 und im Zusammenhang damit Brein 1978a, 118.

⁸⁵⁷ Zu Ephesos vgl. Tezgör – Sezer 1995, 52 Nr. 78. 79; zu Taucheira vgl. Hayes 1966, 140 Nr. 1432 Abb. 68 Anm. 5.

Die Lampen **Kat. 1208**, **Kat. 1381** und **Kat. 1581–Kat. 1583** fallen demgegenüber wesentlich kleiner aus.

Von der Lampe **Kat. 1381** hat sich der Übergang vom Lampenkörper in die Lampenschnauze erhalten. In diesem Abschnitt ist die für die Stocklampen bezeichnende S-förmige Wandkontur wenig ausgeprägt und auch der kleine, abgesetzte Wulstrand scheint wenig spezifisch. In Didyma werden vergleichbare Lampenprofile zwischen dem ausgehenden 7. und dem mittleren 6. Jahrhundert datiert⁸⁵⁸. Im Fabrikat steht **Kat. 1381** der bereits öfter angesprochenen, wahrscheinlich ephesischen Alltagsware nahe (s. o. Kap. 1.B.3.1.1), weshalb hier möglicherweise eine Lampe lokaler Herstellung gegeben ist⁸⁵⁹.

Die kleine, dünnwandige Lampe **Kat. 1208** weist die von den Stocklampen bekannte, S-förmig geschwungene Kontur auf, die Proportionen mit dem tief gelegenen Boden-Wand-Umbruch sind indessen ungewöhnlich und finden sich gemeinsam mit leicht ausgebogenem, glattem Rand bei aus Smyrna publizierten Lampen wieder, welche um 600 datiert werden⁸⁶⁰. Die formal unmittelbar vergleichbare Lampe **Kat. 1582** bildet einen kleinen und deutlich abgebogenen Wulstrand aus, bei **Kat. 1581** ist der gestauchte Rand gerade abgestrichen.

Auf die Schwierigkeit, formtypologische Merkmale der Stocklampen chronologisch auszuwerten, hat bereits A. Furtwängler hingewiesen⁸⁶¹; dies gilt insbesondere dann, wenn keine Ganzformen vorliegen. Für die Lampen in den archaischen Siedlungsbefunden lässt sich festhalten, dass unterschiedliche Varianten in den Horizonten der AG Phase IV vertreten sind, die sich jedoch selten eindeutig in die gut bekannte Serie südionischer oder samischer Lampen integrieren, sondern diese in der Art der Randgestaltung, des Dekors und der Gesamtproportion variieren. Die lokale Komponente kommt mit **Kat. 1381** und möglicherweise mit der bemalten Lampe **Kat. 640** zum Ausdruck, während die zierlichen Lampen **Kat. 1208**, **Kat. 1581** und **Kat. 1582** in das nördliche Ionien oder nach Smyrna zu verweisen scheinen⁸⁶². Bis auf **Kat. 640** stammen alle Lampen aus Horizonten der AG Phase IV. Dass die einzige Lampe aus einem deutlich früheren Bauhorizont der AG Phase III sich auch durch ihre ungewöhnliche Größe klar von den übrigen, wesentlich kleineren Lampen abhebt, wirft die Frage auf, ob von einer tendenziellen Entwicklung von größeren hin zu kleineren Formen ausgegangen werden kann. Mit den wenigen Lampen aus den archaischen Siedlungsbefunden ist zu diesem Thema jedoch keine hinreichende Argumentationsbasis gegeben.

Im Hinblick auf die geringe Anzahl der Lampen aus den archaischen Siedlungsbefunden drängt sich die Frage auf, ob neben den Lampen andere Beleuchtungskörper eine größere Rolle gespielt haben mögen. Keramische Lampen scheinen überhaupt erst beginnend mit der AG Phase IV zu dem Inventar ephesischer Haushalte gezählt zu haben. Die einzige ältere Lampe (**Kat. 640**) aus der AG Phase III findet sich interessanterweise in einem Bereich (Ovalbau, zweiräumiges Gebäude MB 1/2), der auch bautypologisch bereits seit der AG Phase II von den umliegenden Gebäuden hervorgehoben ist. Die Verwendung von Lampen ist unmittelbar an das ausreichende Vorhandensein von Olivenöl als Brennstoff gebunden und daher primär in jenen Regionen zu erwarten, die dieses Gut selbst produzierten oder leichten Zugriff darauf hatten⁸⁶³. Lampen sind im ostgriechischen Raum vor allem aus Heiligtümern zahlreich belegt⁸⁶⁴ und damit in einem

⁸⁵⁸ Dazu Schattner 2007, 422 f. Nr. LaB 8+9 Abb. 115.

⁸⁵⁹ Eine lokale Lampenproduktion in Ephesos wurde bereits von Bailey 1975, 88 und Tezgör – Sezer 1995, 50–53 für das ausgehende 7. und 6. Jh. angenommen.

⁸⁶⁰ Vgl. dazu Akurgal 1983, 144 Taf. D.2 und Taf. 123 sowie Dupont 2005a, 434. Bodenlastige Lampenkörper sind auch aus Samos belegt, doch fällt die Randgestaltung bei Kopcke 1968, 272 Nr. 68d Abb. 22 Beil. 105 anders aus.

⁸⁶¹ s. Furtwängler 1980, 166–168.

⁸⁶² Zu den sog. Smyrna-Lampen in Ephesos vgl. Brein 1978a, 118.

⁸⁶³ Vgl. dazu Radt 1986, 40.

⁸⁶⁴ Zum Heraion von Samos vgl. Walter 1957, 50 f. Beil. 76; Kopcke 1968, 222–225 Abb. 22. 23 Taf. 105; Furtwängler 1980, 166–168; zum Aphroditeheiligtum in Milet vgl. Selesnow 1997, 138–143; zum Athenaheiligtum in Assesos s. Kalaitzoglou 2008, 289–291 Taf. 158; zum Apollonheiligtum in Didyma vgl. Schattner 2007, 419–424 Abb. 114. 115; zum Athenaheiligtum in Istros s. Dupont 2005b; zum Artemision von Ephesos s. Bailey 1975,

Kontext vorhanden, der nicht unbedingt repräsentativ für das Alltagsleben in einer archaischen Siedlung ist⁸⁶⁵. Da Olivenöl in der Antike ein wertvolles Gut dargestellt haben muss⁸⁶⁶, wurde es im Siedlungszusammenhang vielleicht bevorzugt anderweitig eingesetzt als zum Zweck der Beleuchtung, wofür auch andere, weniger kostspielige Brennstoffe genutzt werden konnten. Umgekehrt bestand angesichts der Feuerstellen im klein strukturierten Siedlungszusammenhang möglicherweise ein geringer Bedarf an zusätzlichen mobilen Lichtquellen.

1.B.3.10 SALBGEFÄSSE

Bei den Salbgefäßen handelt es sich um formal sehr verschiedene, tendenziell kleinformatige und geschlossene Gefäße, deren enge Gefäßmündung den kontrollierten Zugriff auf den kostspieligen Inhalt ermöglichte. Salbgefäße sind primär aus Heiligtümern als Weihgaben und aus Gräbern als Grabbeigaben bekannt, wo ihnen eine ideell-repräsentative Funktion zukommt. In ihrer primären funktionalen Zweckbestimmung machen sie auch im Siedlungszusammenhang durchaus Sinn, da wertvolle Essenzen hier ebenfalls zum Einsatz gekommen sein dürften. Für die Askoi, Aryballoi, Lekythen, Amphoriskoi und Alabastra ist mit flüssigen Inhalten (Ölen) zu rechnen, während die Tiegel und Pyxiden auch für feste (Salben, Kosmetik) oder pulvrige (Räucherwerk, Gewürze) Essenzen in Frage kommen.

1.B.3.10.1 Ringaskoi

Die Ringaskoi sind vor allem in Ephesos aus Befunden im Artemision sehr gut bekannt⁸⁶⁷. Es handelt sich um ringförmige Gefäße, an deren Oberkante an einer Seite ein enger Hals aufsitzt, der einen flachen Mündungsteller mit konkav nach innen abgesenkter Oberkante ausbildet (**Kat. 830. Kat. 1323**), wie er auch von ostgriechischen Aryballoi bekannt ist. Vom Hals führt ein bandförmiger Bügelhenkel auf die gegenüberliegende Oberkante des Gefäßrings. Das fast vollständig erhaltene Gefäß **Kat. 402** vermittelt einen guten Eindruck vom Gesamterscheinungsbild und vom typischen Dekor der Ringaskoi⁸⁶⁸, die an ihrer Oberkante meistens mit stehenden, kreuzschraffierten Dreiecken bemalt sind. Die Seitenansichten sind wie bei **Kat. 1584** meist mit Firnisbändern oder Reifen geschmückt; die Wellenbandzier von **Kat. 402** ist hingegen ungewöhnlich.

Die Ringaskoi stehen in ihrem Dekor ganz klar in geometrischer Tradition und sind über ihre Laufzeit über das gesamte 7. Jahrhundert hinweg als subgeometrische Gefäße ausgewiesen. Die jüngsten datierten Gefäße stammen in Ephesos aus einer Steinlage bzw. aus der Opferschicht F im Artemision mit einer Datierung in das dritte Viertel des 7. Jahrhunderts und in Assesos aus den Zerstörungshorizonten des Athenaheiligtums im ausgehenden 7. Jahrhundert⁸⁶⁹. In den archaischen ephesischen Siedlungsbefunden sind die eindeutig als Ringaskoi anzusprechenden Gefäße in einem Zerstörungshorizont der AG Phase II (**Kat. 402**) und einem Bauhorizont der

88–96 Taf. 28. 29; Brein 1978a, 117 f. 124 f.; Radt 1986, 41 Abb. 3; Tezgör – Sezer 1995, 50–53 Nr. 70–79; zum Athenaheiligtum in Smyrna vgl. Akurgal 1983, 144 Taf. D.2 und Taf. 123.

⁸⁶⁵ Zu den Lampen aus den Siedlungsbefunden in Milet vgl. Selesnow 1997, 137 f.

⁸⁶⁶ Nicht umsonst wurde das Öl als Preisgabe etwa bei den panathenäischen Spielen an die Sieger verliehen. Vgl. außerdem Radt 1986, 42; Selesnow 1997, 138 f.; Kalaitzoglou 2008, 291.

⁸⁶⁷ s. Brein 1978a, 129 Nr. 23 Taf. 43; Brein 1978b, 725 Abb. 15. 16 Taf. 223; Gasser 1992, 191 Abb. 4; Kerschner 1997a, 108 Nr. 5 Taf. 1; 123 Nr. 30 Taf. 5; Kerschner 2006d, 230 Abb. 2; Kerschner 2007, 225 Abb. 4 Taf. 31; Kerschner 2008c, 342 Nr. 284. Vgl. auch Dugas 1928, 44 Nr. 83–85; 45 Nr. 91 Taf. 16; Dugas 1935, 66 Nr. 48 Taf. 48; Lambrino 1938, 208 Nr. 2 Abb. 161. 162; Villard – Vallet 1964, 79 Nr. 4 Taf. 64; Skarlatidou 2004, 253 Abb. 16; İren 2008, 625 Nr. 8 Abb. 45; Kalaitzoglou 2008, 429 Nr. 646 Taf. 149; Yılmaz 2008, 259 Nr. 50 Abb. 53.

⁸⁶⁸ Unbemalte Ringaskoi, wie bei Gasser 1992, 190 f. Abb. 1 aus dem Artemision publiziert, sind selten.

⁸⁶⁹ Vgl. Kerschner 1997a, 108 Nr. 5 Taf. 1; 123 Nr. 30 Taf. 5; 181 f. Bei den Fragmenten handelt es sich freilich um Mündungsfragmente, die auch für ostgriechische Aryballoi denkbar sind. Zu Assesos vgl. Kalaitzoglou 2008, 256 f. 429 Nr. 646. 647 Taf. 149. Zuletzt hat sich Kerschner 2007, 225 f. mit entsprechenden Literaturangaben zusammenfassend zur Datierung der Ringaskoi geäußert.

AG Phase IV (**Kat. 1584**) vertreten und spannen mit dem Randfragment **Kat. 830** aus dem Bauhorizont der AG Phase IIIb den Bogen über alle Siedlungsphasen des 7. Jahrhunderts.

1.B.3.10.2 *Lekythoi*

Um das enge Halsfragment **Kat. 671** ist ein kräftiger, rundstabiger Wulst gelegt. Lekythoi mit Halswulst sind seit mittelgeometrischer Zeit vor allem aus Gräbern auf Rhodos und Kos nachgewiesen und werden als ostgriechische Imitationen zypriotischer Vorbilder verstanden⁸⁷⁰. Die zu ergänzende Ganzform hat einen bauchigen Gefäßkörper, der auf einem kleinen Wulstständer ruht, einen hohen Hals und eine enge Mündung mit breitem Mündungsteller. Auf Höhe des Halswulstes setzt der vertikale Henkel an⁸⁷¹. Als zweite mögliche Ganzform kommt eine Pilgerflasche in Frage⁸⁷². Auch der Ursprung dieser Gefäßform ist auf Zypern zu suchen; Pilgerflaschen zeichnen sich in spätgeometrischer Zeit durch einen kugeligen Gefäßkörper aus, der in der weiteren Entwicklung zunehmend flacher und linsenförmig wird. Bei **Kat. 671** handelt es sich um für ein Salbölgefäß tendenziell großes Exemplar; das helle und ungewöhnlich poröse Fabrikat weist das Gefäß als Importstück aus, das nach seiner stratigrafischen Lage in einem Zerstörungsbefund der AG Phase III noch im 7. Jahrhundert in Benutzung gewesen sein dürfte.

Das Salbölgefäß **Kat. 1209** zeichnet sich durch den eng konisch einziehenden Hals und den davon weit trichterförmig ausgestellten Rand aus; dieser ist leicht verzogen, was entweder auf einen nahen Henkelansatz oder auf eine Kleeblattmündung hindeutet. Vergleichbare Kleinformen werden in Samos zwischen der ersten Hälfte bzw. dem mittleren 7. Jahrhundert und dem beginnenden 6. Jahrhundert verortet, in Didyma finden sich ähnliche Gefäße erst im 6. Jahrhundert⁸⁷³. **Kat. 1209** stammt aus einem Zerstörungsbefund der AG Phase IV.

Die beiden Randfragmente **Kat. 792** und **Kat. 831** zeigen die tiefen, schalenförmigen Mündungen relativ großer Lekythen mit wahrscheinlich ovoidem Gefäßkörper, wie sie in ostgriechischen Fundzusammenhängen archaischer Zeit vorkommen⁸⁷⁴. **Kat. 792** ist der Grauen Ware zugehörig, an seiner Innenseite gefirnisst und trägt an der Außenseite ein breites Lippenband, von dem aus im Bereich des Henkels ein gefirnisstes Henkelfeld in die darunterliegende unbelagte Randzone übergreift. **Kat. 831** ist nur an seiner Außenseite mit einem Überzug versehen. Die beiden Gefäße lassen sich am besten mit aus Didyma publizierten Stücken vergleichen, die zwischen der zweiten Hälfte des 7. und dem späteren 6. Jahrhundert eingeordnet werden⁸⁷⁵. In den archaischen Siedlungsbefunden sind beide Vertreter des Typs in Befunden der AG Phase IIIb vergesellschaftet, womit der frühe Datierungsansatz noch im 7. Jahrhundert gestützt wird.

1.B.3.2.3 *Amphoriskoi*

Bei **Kat. 698** handelt es sich um einen Amphoriskos, der über sein Fabrikat mit großer Wahrscheinlichkeit einer milesischen Werkstatt zugewiesen werden kann. Der hohe Hals ist leicht gebauht und geht in eine klar abgesetzte Rundstabilippe über. Damit lehnt sich **Kat. 698** nicht an die typische Formgebung milesischer Amphoren an. Die Vergesellschaftung des Amphoriskos in einem Baubefund der AG Phase III macht seine Datierung noch in der ersten Hälfte bzw. dem mittleren 7. Jahrhundert wahrscheinlich⁸⁷⁶.

⁸⁷⁰ Dazu Coldstream 1968, 268 f. 271; Cook – Dupont 1998, 15 f.

⁸⁷¹ Vgl. die exemplarischen Ganzformen bei Coldstream 1968, Taf. 59 b. c. h; Cook – Dupont 1998, 16 Abb. 5, 1.

⁸⁷² Vgl. dazu Coldstream 1968, 250.

⁸⁷³ Vgl. zu Samos Walter – Vierneisel 1959, 19 Beil. 35, 5. 6 (Brunnen G); Furtwängler 1980, 216 Nr. 33 Abb. 20 (Phase III); zu Didyma s. Schattner 2007, 251 Nr. KgB7 2 Abb. 71.

⁸⁷⁴ Vgl. Alexandrescu 1978, 104.

⁸⁷⁵ Vgl. dazu Schattner 2007, 248 f. Nr. KgB3 3 Abb. 70; 252 Nr. KgB9 1 Abb. 71.

⁸⁷⁶ Zu den Amphoriskoi klassischer Zeit aus ephesischen Grabbefunden vgl. Scherrer – Trinkl 2006, 158–161 Taf. 36.

1.B.3.10.4 Tiegel

Als Tiegel werden kleine Gefäße mit bauchigen bis bikonischen Gefäßkörpern mit geradem Boden und über der Schulter steil abgesetztem, verdicktem Rand mit breiter Lippe bezeichnet. Sie sind vornehmlich für die Gattung der Grauen Ware belegt⁸⁷⁷ und wurden in diesem Zusammenhang als Produkte samischer oder äolischer Werkstätten angesprochen⁸⁷⁸. Tiegel sind bislang aus ostgriechischen Grabbefunden⁸⁷⁹ und vor allem aus Heiligtümern publiziert und sind auch im Artemision von Ephesos prominent vertreten⁸⁸⁰. Sie scheinen in die zweite Hälfte und an das Ende des 7. Jahrhunderts zu datieren.

Dieser chronologische Ansatz ist auch auf den Tiegel **Kat. 1025** aus einem Bodenniveau der AG Phase IV anwendbar. Das Gefäß gehört der Grauen Ware an und zeichnet sich durch einen senkrecht auf der einziehenden Schulter aufsitzenden, keilförmig verdickten Rand mit nach innen abgeschrägter Oberkante aus. Die Vergesellschaftung in einem Siedlungszusammenhang ist nach bisherigem Kenntnisstand ungewöhnlich.

1.B.3.10.5 Pyxiden

Das Bodenfragment **Kat. 1728** war möglicherweise einer Pyxis zugehörig; überzeugende Vergleiche sind mir nicht bekannt. Das Stück stammt aus einem Zerstörungshorizont der AG Phase IV.

Pyxiden gehören gemeinsam mit den geschlossenen Salbölgefäßen zu jenen Gefäßgattungen, die vor allem mit Heiligtums- und Grabbefunden korreliert werden. Wie die Salbölgefäße dienten sie der Aufbewahrung kostbarer Inhalte; dies mögen Gegenstände wie Schmuck gewesen sein, genauso sind aber auch jene Inhalte denkbar, die in den Tiegeln aufbewahrt werden konnten.

1.B.3.11 FLASCHEN

Das kleine Ganzgefäß **Kat. 28** ist als Flasche anzusprechen. In seiner Formgebung ist das Stück nach bisherigem Publikationsstand singulär. Über dem geraden Boden erhebt sich in einem spitzen Winkel der leicht konkav eingezogene Flaschenkörper, die akzentuierte Schulter geht in den ebenfalls konkav eingezogenen, konischen Hals über, der in einem kaum verdickten Rand endet. Hals und Fußzone sind mit einem deckenden Überzug versehen, am Flaschenkörper sind senkrechte und schräg gestellte Leitermotive aufgemalt, wie sie von geometrischen Terrakotten aus Milet und Samos bekannt sind⁸⁸¹; ein gerahmtes Dreieck hängt vom Schulterumbruch in das Bildfeld. Es könnte die Mittelachse der Flasche angeben, deren gegenüberliegende Seite mit einem Leiterbaum als drittes Motiv geschmückt ist. Dieser findet eine annähernde Parallele bei einem aus Samos publizierten und als rhodisch angesprochenen Eimergefäß sowie bei einer unpublizierten nordionischen Tasse aus Milet⁸⁸². Der Motivschatz von **Kat. 28** ist grundsätzlich

⁸⁷⁷ Ein oxidierend gebranntes und bemaltes Exemplar ist aus dem Artemision von Ephesos aus der Opferschicht E publiziert. s. dazu Kerschner 1997a, 127 Nr. 37 Taf. 5.

⁸⁷⁸ Vgl. dazu beispielsweise Walter – Vierneisel 1959, 20 Beil. 44, 1 (Brunnen G); Villard – Vallet 1964, 91 Nr. 7 Taf. 80; Furtwängler 1980, 174 Anm. 126; 222 Nr. 22 Abb. 23 Taf. 57 (Phase IV). s. auch Kalaitzoglou 2008, 260.

⁸⁷⁹ s. Jacopi 1929, 64 Abb. 54 (Grab 37); Jacopi 1932/1933, 44 Abb. 46; 60 Nr. 4 Abb. 70 (Grab 14).

⁸⁸⁰ Vgl. dazu Brein 1978a, 129 Nr. 73/K103. 73/K53 Abb. 8; Nr. 20. 21 Taf. 43; Gasser 1992, 190 Abb. 1; Kerschner 1997a, 175 Nr. 134 Taf. 17. Gasser 1992, 189 f. schlägt in diesem Zusammenhang eine lokale Produktion vor. Allgemein zu der Form vgl. auch Kerschner 2007, 232.

⁸⁸¹ Zu diesem Dekor vgl. ein spätgeometrisches Statuettenfragment aus Milet bei Weickert 1959/1960, 65 f. Taf. 73 sowie die Terrakotten aus Samos bei Jarosch 1994, 98 Nr. 11. 12 Taf. 3. 4; 100 f. Nr. 37 Taf. 9; 103 f. Nr. 71. 73 Taf. 4. 5; 108 Nr. 139 Taf. 8. s. außerdem Higgins 1959, 13 Nr. 1605. 1606 Taf. 3. 4.

⁸⁸² Die Tasse Inv. K92/563.3 vom Kalabaktepe in Milet ist über archäometrische Analysen der Herkunftsgruppe B zugewiesen und zeigt einen in die Horizontale gedrehten und komplexer gestalteten Leiterbaum. Für die freundliche Information hierzu danke ich U. Schlotzhauer. Ein komplexeres Baummotiv findet sich außerdem auf einem als rhodisch angesprochenen Eimer aus Rhodos, für den ebenfalls eine nordionische Herkunft möglich ist. Vgl. dazu Walter 1968, 120 Nr. 495 Taf. 88.

noch stark geometrisch inspiriert und datiert die Flasche gemeinsam mit der stratigrafischen Lage in einem Horizont, welcher die Nutzung der AG Phase II angibt, noch vor die Mitte des 7. Jahrhunderts.

1.B.3.12 OMPHALOSSCHALEN

Omphalosschalen sind als Spendegefäße dem Repertoire der Kultkeramik zugehörig. Die wenigen Exemplare aus den archaischen Siedlungsbefunden unter der Tetragonos Agora treten vornehmlich in Horizonten auf, welche die Nutzung der AG Phase II (**Kat. 228**, **Kat. 498**, **Kat. 518**) und der AG Phase III (**Kat. 670**) bezeichnen. Es können zwei Typen von Omphalosschalen unterschieden werden.

Kat. 228 und **Kat. 498** repräsentieren einen unbemalten, aus dem Fabrikat der ostgriechischen Alltagsware gefertigten Typus, bei dem im Schalenboden ein nur sehr flacher und enger Omphalos eingetieft ist, der sich im inneren Schalenbecken nicht abzeichnet. Die Gesamtproportionen weisen, soweit nachvollziehbar, auf einen standardisierten Typus hin, der offenbar in Ephesos lokal gefertigt wurde (**Kat. 228**) und angesichts mangelnder Vergleiche von anderen ostgriechischen Fundstellen als lokaler Typus zu verstehen sein dürfte. Die Vergesellschaftung in einem Zerstörungshorizont der AG Phase II (**Kat. 228**) und in einem Bauhorizont der AG Phase III (**Kat. 498**) weisen den Typus noch der ersten Hälfte bzw. dem zweiten Viertel des 7. Jahrhunderts zu. Auffallend ist überdies die Konzentration in Horizonten, welche mit dem Gebäude OB zusammenhängen.

Von den mit Überzug versehenen Omphalosschalen **Kat. 670** und **Kat. 1322** hat sich jeweils der kräftig ausgebildete Omphalos erhalten, der sich auch im Schaleninneren als kuppelförmige Wölbung abzeichnet. Die Vergesellschaftung in Horizonten, welche die Nutzungszeit der AG Phase III (**Kat. 670**) und der AG Phase IV (**Kat. 1322**) anzeigen, entspricht dem Datierungsansatz des samischen Vergleichsstücks⁸⁸³. Zumindest für **Kat. 670** kann aufgrund scherbentypologischer Indikatoren wiederum eine lokal ephesische Produktion wahrscheinlich gemacht werden. Das Stück stammt aus demselben Areal der Agora-Siedlung wie **Kat. 228** und **Kat. 498**, ist nun allerdings mit dem auf das Gebäude OB nachfolgenden, zweiräumigen Gebäude MB korreliert. Wahrscheinlich ist auch **Kat. 518** aus einem Bodenhorizont der AG Phase III diesem zweiten Typus der Schalen mit kuppelförmig gewölbtem Omphalos zugehörig; dieser hat sich zwar selbst nicht erhalten, doch ist das halbkugelige Schalenprofil für keinen anderen archaischen Schalentypus denkbar, und da sich auch kein Ansatz zu einem Standring abzeichnet, bleibt abgesehen von einem leicht gerundeten Boden ein Omphalos die einzige plausible Option. Die Schale ist im Inneren vollständig mit Firnis überzogen, die Außenseite schmücken in regelmäßigen Abständen umlaufende Reifen, wie sie etwa auch bei Tiegeln im Heraion von Samos und im Artemision in Ephesos vorkommen⁸⁸⁴. Die Omphalosschalen mit kuppelförmigem Omphalos stehen in einer engen Beziehung zu den metallenen Omphalosschalen, wie sie auch aus dem Artemision von Ephesos mehrfach belegt sind⁸⁸⁵, sowie zu den diese imitierenden Omphalosschalen der schwarz glänzenden Ware phrygischer Produktion⁸⁸⁶.

Das chiotische Schalenfragment **Kat. 1101** (s. o. Kap. 1.B.3.1.10b) ist möglicherweise ebenfalls zu einer Omphalosschale zu ergänzen.

⁸⁸³ Vgl. Kopcke 1968, 269 Nr. 52 Abb. 19 Taf. 103.

⁸⁸⁴ s. Walter – Vierneisel 1959, Beil. 44, 1. Vgl. weiters das Dekorsystem eines Tiegels der ›Black-on-red‹-Ware aus dem Artemision von Ephesos bei Kerschner 2007, Abb. 3 Taf. 33.

⁸⁸⁵ Dazu Klebinder-Gauß 2007, 136–140. 267 f. Nr. 817–825 Taf. 63–65.

⁸⁸⁶ s. dazu Kerschner 2005b.

1.B.3.13 MINIATURGEFÄSSE

In den archaischen Siedlungsbefunden finden sich einige wenige Miniaturgefäße. Dabei handelt es sich per definitionem um formal an funktionalen Formen orientierte Gefäße, die einen rein ideellen, keinen funktionalen Wert mehr haben und als Substitute in sakralen Kontexten eine große Rolle als Gaben an Gottheiten oder Verstorbene spielen⁸⁸⁷. Ihr Vorhandensein in einem Siedlungszusammenhang ist am ehesten mit sakralen Handlungen im Kontext etwa eines häuslichen Kults zu erklären. Der Hydriskos **Kat. 1024**, der Krateriskos **Kat. 302** und die beiden Miniaturschüsseln **Kat. 598** und **Kat. 599** aus dem jüngeren Bodenhorizont des Gebäudes KMB sind dabei topografisch im selben westlichen Bereich der Siedlung verankert, aus dem auch schon die Omphalosschalen **Kat. 228**, **Kat. 498** und **Kat. 670** stammen.

1.B.3.13.1 *Hydriskoi*

Die Hydriskoi übertragen die formalen Charakteristika großer Hydrien (s. o. Kap. 1.B.3.6.3ab) in die Miniaturform. Sie zählen zu den prominentesten Gefäßen in den Artemisionbefunden⁸⁸⁸ und zeugen damit eindrucksvoll von ihrer funktionalen Einbindung in den sakralen Kontext.

Der Hydriskos **Kat. 1024** aus einem Bauhorizont der AG Phase IV steht in seiner Formgebung in einem direkten Zusammenhang mit den aus südionischen Kontexten bekannten Reifenkännchen des fortgeschrittenen 7. Jahrhunderts⁸⁸⁹. Von dem exemplarischen Ganzgefäß **Kat. 1865** unterscheidet sich **Kat. 1024** allein durch den Ansatz eines schräg nach oben geführten Bandhenkels, dessen Verlauf im Abdruck auf der Gefäßoberfläche noch nachvollziehbar ist und der einen Vertikalhenkel und damit die Verwechslung mit einem Kännchen ausschließt. Interessanterweise scheinen die Hydriskoi in Ephesos gemeinhin jedoch nicht der oben dargelegten Entwicklungstendenz der Kännchen hin zu spindelförmigen Gefäßen zu folgen, sondern sich tatsächlich an den Hydrien mit ihren gewölbten Körpern zu orientieren.

1.B.3.13.2 *Offene Formen*

Mehrere Fragmente lassen sich zu offenen Miniaturformen ergänzen.

Kat. 302 ist zu einem Krateriskos zu ergänzen, während das Bodenfragment **Kat. 599** zu unspezifisch ist, um einer bestimmten Ganzform zugeordnet werden zu können.

Kat. 598 illustriert die Übertragung einer Reibschüssel in die Miniaturform. Sie weist das typische helle und poröse Fabrikat der Reibschüsseln des zypriotischen Typs auf (s. o. Kap. 1.B.3.7.1ba), auch wenn der dreieckige Rand von der für diese Schüsseln typische Randmorphologie abweicht. Freilich ist für ein Miniaturgefäß nicht mit derselben formtypologischen Konsequenz zu rechnen, die bei seinem Vorbild zum Tragen kommt. Bemerkenswert ist vielmehr, dass in **Kat. 598** der Import von Miniaturgefäßen evident wird, und da es sich hierbei um eine sehr spezifische und wenig repräsentative Form handelt, stellt sich die Frage, ob neben den großen Reibschüsseln auch kleinere Versionen existierten, die für die Verwertung spezieller Rohstoffe vorgesehen waren, etwa zum Reiben bestimmter Gewürze, die in nur sehr kleinen Mengen Gebrauch fanden. Grundsätzlich ist das Gefäß **Kat. 598** groß genug, um einem solchen Verwendungszweck gedient haben zu können. Da mir kein entsprechender Beleg oder Vergleich bekannt ist, wird **Kat. 598** hier als Miniaturreibschüssel angeführt, auch wenn die inhaltlichen Implikationen des Begriffs in diesem Falle möglicherweise zu kurz greifen.

⁸⁸⁷ Vgl. Kerschner 2008b, 125 f.

⁸⁸⁸ Vgl. etwa Brein 1978a, 119 Abb. 4. 5. 9. 10 Taf. 40; Gasser 1992, 190 Abb. 2; Kerschner 2008b, 125. 132 Abb. 80.

⁸⁸⁹ Vgl. Technau 1929, 31 Nr. 2 Abb. 23; von Graeve 1973/1974, 110 Nr. 130–133 Taf. 31; Schattner 2007, Nr. KgD1 14 Abb. 73; Kalaitzoglou 2008, 404 Nr. 467–471 Taf. 93.

1.B.3.14 KERAMISCHE SONDERFORMEN

1.B.3.14.1 Stopfen/Spielsteine

Als Stopfen werden meist sekundär aus Gefäßen rund zurechtgeschlagene Keramikscheiben bezeichnet, die wahrscheinlich zum Verschließen geschlossener Gefäßformen dienten, indem die Keramikscheibe mit Wachs oder Ähnlichem in die Gefäßmündung eingesetzt wurde. Auch eine Verwendung als Spielsteine ist möglich⁸⁹⁰. In den archaischen Siedlungsbefunden sind insgesamt 62 Stopfen vertreten. Von diesen hebt sich **Kat. 1710** einerseits durch seinen geringen Durchmesser ab und andererseits durch die Tatsache, dass das Objekt von Anfang an als solches hergestellt wurde und nicht erst in sekundärer Verwendung eines außer Gebrauch gekommenen Gefäßes. Beides sind Indizien dafür, dass es sich zumindest bei **Kat. 1710** weniger um einen Stopfen denn um einen Spielstein gehandelt haben könnte.

1.B.3.14.2 Spinnwirtel

Die wenigen Spinnwirtel aus den archaischen Siedlungsbefunden in Ephesos lassen sich in drei Typen, einen doppelkonischen (**Kat. 641**), einen zylindrisch rund- bis scheibenförmigen (**Kat. 403. Kat. 1056. Kat. 1832**) und einen konischen (**Kat. 1236. Kat. 1435**), untergliedern. Gemeinsam ist allen Typen die mittige Durchbohrung. Die ältesten Spinnwirtel **Kat. 403** und **Kat. 641** treten in Horizonten auf, deren Material vor allem die Nutzungszeit der AG Phase II bezeichnet, die übrigen Stücke gehören bereits in die AG Phase IV, wobei die konischen Stücke **Kat. 1236** und **Kat. 1435** aus Befunden stammen, welche die Bauphase der AG Phase IV bezeichnen und damit gut mit dem chronologischen Ansatz vereinbar sind, den die konischen Spinnwirtel aus dem Artemision und aus dem Heiligtum von Assesos mit dem ausgehenden 7. Jahrhundert festmachen⁸⁹¹. Insgesamt handelt es sich bei den Spinnwirteln jedoch um sehr langlebige Typen, die auf rein formtypologischer Grundlage chronologisch nur sehr schwer zu fassen sind. Über die Stratigrafie ist eine Textilproduktion für die Siedlung unter der Tetragonos Agora anhand der Spinnwirtel grundsätzlich vom mittleren 7. bis in das mittlere 6. Jahrhundert belegt, wobei für die Nutzungszeit der AG Phase III der positive Nachweis fehlt. Die geringe Anzahl von nur sechs Exemplaren überrascht, wenn man annehmen möchte, dass die Textilproduktion zu den im Wohnbereich situierten häuslichen Aktivitäten zählte; Hinweise auf einen Webstuhl in Form von Webgewichten fehlen in den archaischen Siedlungsbefunden dagegen gänzlich. Dies ist ein interessanter Gegensatz zu den Heiligtumsbefunden des Artemision⁸⁹², wo die zahlreichen Spinnwirtel und Webgewichte tendenziell als Weihgaben und weniger als in ihrer primären Funktion verwendete Objekte verstanden werden.

1.B.3.14.3 Netzgewichte

Als Gewichte werden aus Gefäßen in sekundärer Verwendung rund zugehauene Keramikscheiben bezeichnet, deren mittige Durchbohrung darauf hinweist, dass sie an etwas befestigt wurden. Die Zweckbestimmung im Zusammenhang mit der Textilproduktion als Spinnwirtel oder Webgewicht ist dabei wenig plausibel, da Gewicht und Form der Objekte dafür nicht geeignet sind. Wahrscheinlich diente **Kat. 832** daher als Netzgewicht zum Beschweren von Fischernetzen.

⁸⁹⁰ s. dazu Schattner 2007, 424 f. Abb. 115 mit weiterer Lit.

⁸⁹¹ Zu dem Artemision vgl. Brein 1978a, 131 f. Abb. 30 Taf. 45; zu Assesos s. Kalaitzoglou 2008, 301 Nr. 790 Taf. 163.

⁸⁹² Im Zuge meiner Zeichentätigkeit für U. Muss hatte ich 2006 die Gelegenheit, einen Eindruck von den Spinnwirteln und Webgewichten zu gewinnen, die in Befunden des Artemisions auftreten.

1.B.3.15 KORINTHISCHE IMPORTKERAMIK

Der korinthischen Importkeramik kommt in ostgriechischen Befunden aufgrund ihrer chronologischen Implikationen eine besondere Bedeutung zu (s. o. Kap. 1.B.1.1.2). In den archaischen Siedlungsbefunden ist sie nicht zuletzt wegen der geringen Stückzahl zwar nicht ausschlaggebend für die Datierung der Befunde, wohl aber dienen die korinthischen Gefäße zur komplementären Absicherung der aus der ostgriechischen Keramikchronologie resultierenden Ergebnisse, wobei sich hierbei keine Unstimmigkeiten gezeigt haben. Korinthische Keramik ist in Ionien vornehmlich durch die feinkeramische Serienproduktion aus Grab- und Heiligtumsbefunden bekannt⁸⁹³, doch hängt dies in erster Linie damit zusammen, dass es vor allem Nekropolen und Heiligtümer sind, die bislang ergraben und vorgelegt wurden. Die Fundzusammensetzung in den archaischen Siedlungsbefunden in Ephesos bezeugt indessen, dass korinthische Importkeramik durchaus auch in einem Ambiente ohne explizit rituelle Konnotation ihren Platz gehabt hat (s. u. Kap. 1.D.2.1.1 und Kap. 1.D.2.2)⁸⁹⁴, und mit den beiden oben besprochenen korinthischen Amphoren **Kat. 336** und **Kat. 1200** ist darüber hinaus eine im östlichen Ägäisraum sonst selten bezugte Warengattung schon in den frühesten Phasen der Agora-Siedlung vertreten (s. o. Kap. 1.B.3.6.4h).

1.B.3.15.1 Trinkgefäße

1.B.3.15.1a Unbestimmte Trinkgefäße

Das Bodenfragment **Kat. 234** eines kleinen, offenen Gefäßes weist mit der außen abgesetzten, leicht aufgewölbten Bodenplatte und stärkeren Gefäßwandung Elemente auf, die von spätgeometrischen korinthischen Skyphoi und Kantharoi sowie den zuletzt von A. Gadolou als achaisch identifizierten sog. Thapsoschalen bekannt sind⁸⁹⁵. Zu ergänzen ist ein tiefes, bauchiges Gefäßbecken mit steil gewölbter Schulter, von der zwei schräg nach oben gerichtete, rundstabile Horizontalhenkel abgehen und über der sich ein leicht schräg ausgestellter oder konisch einziehender Rand mit verjüngter Lippe erhebt. Die Gefäße sind bis unter die Henkel mit einem flächigen Überzug versehen, den Bereich zwischen den Henkeln schmücken ornamental verzierte Bildfelder, die im Falle der ›Thapsoschalen‹ mit Reifendekor kombiniert sind. An den Randaußenkanten kehrt der Reifendekor wieder. Das Dekorfeld kann unterschiedliche ornamentale Motive enthalten⁸⁹⁶. Die aufgehellte Zone oberhalb der gefirnissten Bodenaußenkante von **Kat. 234** weicht indessen vom kanonischen Dekorsystem der geometrischen Trinkgefäße ab, die, wenn nicht flächig gefirnisst, so mit dichtem Reifendekor versehen sind. **Kat. 234** stammt aus einem Zerstörungshorizont der AG Phase II und damit aus jenem chronologischen Horizont der Siedlung unter der Tetragonos Agora, in dem die frühprotokorinthischen Importe, in dessen Umfeld wohl auch das Trinkgefäß **Kat. 234** verortet werden darf, vergesellschaftet sind.

⁸⁹³ Vgl. dazu beispielsweise die entsprechenden Kapitel bei Walter 1959; Gasser 1989; Schattner 2007; Kalaitzoglou 2008; Eine bedeutende Ausnahme bildet hier die Siedlung von Smyrna, deren korinthische Gefäßkeramik von Anderson 1958/1959, 138–142 vorgestellt wurde.

⁸⁹⁴ s. dazu auch Anderson 1958/1959; Neeft 1995, 367. Auf das grundsätzlich spärliche Vorkommen festländischer Importkeramik in Ephesos und anderen ionischen Fundstellen vor allem in geometrischer und subgeometrischer Zeit hat bereits Kerschner 2003a, 51 hingewiesen.

⁸⁹⁵ Als Vergleichsbasis s. zu den Thapsoschalen Robertson 1948, 10 Nr. 1–3 Taf. 1 Abb. 1; Coldstream 1968, 102–104 Taf. 20 c. d; Neeft 1982, 42; Pelagatti 1982, 119–121 Abb. 2. 3; 128–130. 143–145 Abb. 10 Taf. 17. 18. Zur Frage der Datierung, Lokalisierung und Verbreitung dieser Gruppe s. insbesondere die ausführliche Diskussion von Neeft 1981 sowie zuletzt die richtungweisende Arbeit von Gadolou 2011. s. auch den zusammenfassenden Überblick bei Coulié 2013, 54 f. Zu der Diskussion vgl. außerdem Roebuck 1972, 117; Morgan 1999, 272–277; Gadolou 2002, 165–204; Gadolou 2008, 313–322. 336; Coulié 2013, 54 f.; Neeft (in Druckvorbereitung), 37 Anm. 4.

⁸⁹⁶ Einen guten Überblick über die Motive der Thapsoschalen und ihre Datierung bieten Neeft 1981 und Gadolou 2011, 18–37.

1.B.3.15.1b Kotylen⁸⁹⁷

Den größten Anteil unter den korinthischen Importen machen mit 61 % die Kotylen aus (Diagramm 51). Die korinthischen Kotylen zeichnen sich gegenüber den ostgriechischen durch ihre sehr geringe Wandstärke, die meist kleineren Dimensionen und den glatten Rand aus. Die Dekorvariationen bewegen sich wie bei den ostgriechischen Kotylen in einem recht engen Rahmen. Gemeinsam mit den Aryballoi zählen die Kotylen zu den Leitformen der protokorinthischen Gefäßproduktion.

Die Kotylen **Kat. 29**, **Kat. 229**, **Kat. 230** und **Kat. 405** zeichnen sich durch ihren das gesamte Gefäß bedeckenden Überzug aus⁸⁹⁸. Bei **Kat. 29** und **Kat. 405** bleibt ein Lippenband tongrundig ausgespart, ein Detail, das C. W. Neeft als relativchronologisch älter in der Entwicklung dunkelgrundiger Kotylen versteht⁸⁹⁹. Bei **Kat. 230** umfasst unterhalb des Henkelansatzes ein in Deckweiß aufgetragener Reifen die Gefäßaußenseite. Im schmalen Henkelbildfeld ist mittig ein X-ähnliches Motiv aus zwei gegenständigen Bögen aufgemalt, das in unorthodoxer Weise die sonst von vergleichbaren Kotylen bekannten ausgesparten und von weißen Linien gerahmten oder in Deckweiß silhouettenhaft aufgemalten Schmetterlingsmotive zu interpretieren scheint⁹⁰⁰. Das gleiche Motiv findet sich bei einer wahrscheinlich lokal hergestellten Kotyle in Samos⁹⁰¹. Korinthische Originale sind mit nur einem publizierten Gefäß aus Korinth deutlich unterrepräsentiert⁹⁰², während die Dekorvariante unter den korinthisierend-dunkelgrundigen Kotylen in Eretria öfter belegt ist⁹⁰³. Dunkelgrundige Kotylen mit nur einem weißen Reifen unterhalb des Henkels und ohne Rahmung des Mittelmotivs werden am Ende der frühprotokorinthischen Stufe (EPC) eingeordnet⁹⁰⁴. Kotylen der dunklen Dekorvariante datieren in die zweite Hälfte des 8. und in das frühe 7. Jahrhundert⁹⁰⁵, wobei eine relativchronologische Reihung durch die formale Ausprägung möglich ist⁹⁰⁶. Demzufolge sind die beiden Kotylen **Kat. 229** und **Kat. 230** tendenziell früher anzusetzen als **Kat. 29** und **Kat. 405**; der deutlich konvexe Wandverlauf und der einziehende Rand erinnern noch an die kalottenförmigen Kotylen spätgeometrischer Zeit⁹⁰⁷, doch sind die Gefäße insgesamt bereits schlanker proportioniert und ziehen zum Standing hin steiler ein. Für **Kat. 29** und **Kat. 405** zeichnet sich ein steiler Wandverlauf ab, der Rand zieht kaum mehr ein. Beide Merkmale kennzeichnen die schlanken und respektive der spätgeometrischen Exemplare höheren Kotylen der Stufe EPC (†tall kotylai), deren Produktionsbeginn um 730 angesetzt wird⁹⁰⁸. Dunkelgrundige Kotylen sind aus Ephesos bislang nicht vorgelegt. In den

⁸⁹⁷ Ich danke C. W. Neeft für die großzügig gewährte Einsichtnahme in sein in Druckvorbereitung befindliches Manuskript zur korinthischen Keramik aus Bouthrotos/Butrint, Albanien (Neeft [in Druckvorbereitung]).

⁸⁹⁸ Mit einem flächig deckenden Überzug versehene Trinkgefäße beginnen in Korinth mit Skyphoi der Stufe EG. Dazu Neeft 1975, 105 f. Abb. 2 B; Neeft 1982, 41 Abb. 2 B Taf. 5; Neeft (in Druckvorbereitung), 38. Vgl. außerdem Weinberg 1943, 13 f. Nr. 40–42 Taf. 7.

⁸⁹⁹ Dazu Neeft (in Druckvorbereitung), 44.

⁹⁰⁰ Kerschner 2003a, 52 hat in diesem Zusammenhang die Möglichkeit einer ionischen Imitation angedacht; das helle, sehr feine und glimmerlose Fabrikat des Stücks scheint allerdings dagegen zu sprechen. Glimmerlose Fabrikate sind indes auch für euboische Gefäße bezeugt, und die Produktion korinthisierender Kotylen ist für Euboiia mittlerweile hinlänglich nachgewiesen worden. Dazu zuletzt Verdan u. a. 2008, 87–91; Vacek 2012, 258 f. (†Volume I); 15–17. 32 f. 40–43 (†Volume II) mit Bibliografie; Verdan 2013, 96. Zu euboischen Fabrikaten vgl. die diversen Beiträge in: Kerschner – Lemos 2014.

⁹⁰¹ Vgl. Walter – Vierneisel 1959, 19 Beil. 33, 2.

⁹⁰² Williams 1981, 142 Nr. 31 Abb. 3.

⁹⁰³ Vgl. Verdan u. a. 2008, 89 f. 129 Nr. 287 Taf. 60; 130 Nr. 323. 324 Taf. 66; Verdan 2013, 93 Nr. 353 Taf. 98. s. auch Besios u. a. 2012, 89 Nr. 55.

⁹⁰⁴ s. dazu Neeft (in Druckvorbereitung), 44.

⁹⁰⁵ Dazu Neeft 1982, 41; s. auch Dunbabin 1962, 70.

⁹⁰⁶ Vgl. dazu besonders die Form- und Dekortypologie bei Neeft 1975, bes. Abb. III.

⁹⁰⁷ Vgl. dazu Neeft 1975; Neeft 1982, 39–41. s. auch die formal noch geometrischen Kotylen bei Weinberg 1943, 37 Nr. 111. 112 Taf. 16 sowie 40 Nr. 26 Abb. 15 als unmittelbaren Vergleich zu **Kat. 229** und **Kat. 230** der Stufe EPC.

⁹⁰⁸ Vgl. dazu Neeft 1975, 110–117; Neeft 1982, 39.

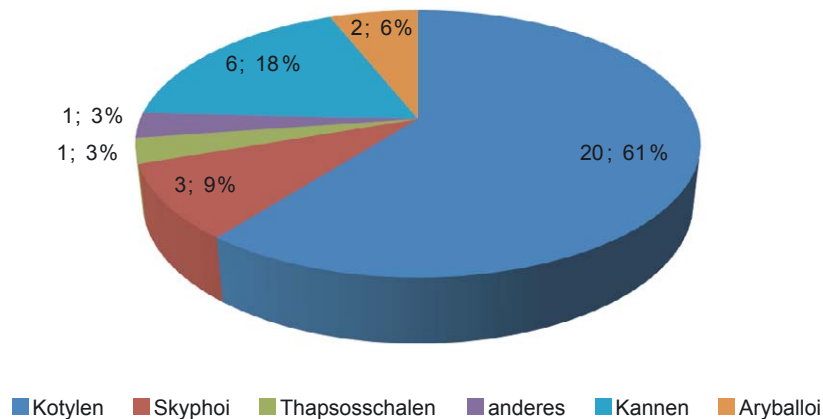


Diagramm 51 Übersicht der korinthischen Feinkeramik

archaischen Siedlungsbefunden bleiben sie auf Horizonte beschränkt, welche die Bauzeit und Nutzung sowie Zerstörung der AG Phase II angeben.

Parallel zu den dunkelgrundigen Kotylen treten solche einer zweiten Dekorvariante auf, welche sich durch einen von vielen schmalen Reifen gezierten Bereich unterhalb der Henkelzone auszeichnen, während zwischen den Henkeln ein schmales rechteckiges Paneel ausgespart bleibt. Dieses ist dreigeteilt und zeigt zwischen zwei breiten, mit vertikalen Balken gefüllten Abschnitten neben den Henkeln ein mittiges Bildfeld, welches in unterschiedlicher Manier mit ornamentalem (Winkelmotive, Zickzacklinien, Sigmata) oder stilisierend figürlichem Dekor (Kraniche, ›soldier birds‹, ›wire birds‹) und einer Kombination aus beidem (›bird-horizontal zigzag Group‹)⁹⁰⁹ versehen wird. Bei den Randfragmenten **Kat. 119**, **Kat. 232**, **Kat. 404**, **Kat. 699** und **Kat. 1833** hat sich leider nur der mit den vertikalen Balken gefüllte, das mittige Bildfeld rahmende Ausschnitt erhalten, sodass keine nähere Zuordnung zu einer der Dekorgruppen vorgenommen werden kann, der gerade Wandverlauf spricht jedoch für eine Einordnung am Ende der Stufe EPC bzw. im mittelkorinthischen Stil (MPC) I. Gleiches gilt für die reifenverzierten Wandfragmente **Kat. 406**, **Kat. 454** und **Kat. 1911**; der steile Wandverlauf macht jedes der Gefäße jedoch als Kotylen der Stufe EPC kenntlich, weshalb für die entsprechenden Ganzgefäße ein Bildfeld mit ›wire birds‹ oder Sigmata zu erwarten ist⁹¹⁰. Vom Kotylenfragment **Kat. 1881** hat sich der unterrandständige Horizontalhenkel erhalten, der waagrecht an der steil-geraden Wandung aufsitzt und an seiner Außenseite mit einer schmückenden Linie versehen ist. Dieser Henkeldekor zeichnet die ›tall kotylai‹ der Stufe EPC aus; zu ergänzen sind demgemäß auch für **Kat. 1881** mit großer Wahrscheinlichkeit Sigmata oder ›wire birds‹ im Hauptbildfeld⁹¹¹. **Kat. 231** ist durch seinen Reifendekor gekennzeichnet, der normalerweise nur bis unter die Henkelansätze reicht, hier jedoch auch die Randzone einzunehmen scheint. Für diesen untypischen Dekor ist mir bislang kein weiteres Vergleichsbeispiel bekannt.

Die gleiche formtypologische Einordnung gilt auch für das steilgerade Randfragment **Kat. 942**. Hier ist der kleine Ausschnitt des zentralen Bildpaneels mit einer Winkelreihe erhalten. Dieses Motiv lässt sich noch aus mittelgeometrischen Dekortraditionen herleiten und findet sich auf den Kotylen der Stufe EPC meist in Form von Sigmata⁹¹². Im Falle von **Kat. 942** ist es freilich

⁹⁰⁹ s. die Form- und Dekortypologie bei Neeft 1975, bes. Abb. III; Neeft 1982, 39–41. Vgl. auch Dunbabin 1962, 67–69 Nr. 492–555 Taf. 25; Coldstream 1968, 99–102. 104–108.

⁹¹⁰ s. dazu die Ausführungen bei Neeft 1975, 110–116 und zusammenfassend Neeft 1982, 40 f. Abb. 3 Taf. 5. Vgl. auch Villard – Vallet 1964, 30 Nr. 7 Taf. 9. 10; Pelagatti 1982, 133. 134 Abb. 1 Taf. 36.

⁹¹¹ Vgl. Weinberg 1943, 39 f. Nr. 123 Taf. 17; Kübler 1954, 71 f. Grab 98 und Grab 99 Taf. 132; Anderson 1958/1959, 140 f. Nr. 16. 20. 31. 32 Taf. 21; Villard – Vallet 1964, 30 Nr. 7 Taf. 9; 38 f. Nr. 6 Taf. 20; Nr. 1. 6 Taf. 21; Coldstream 1968, 104–111 Taf. 21 e. f; Payne 1974, Nr. 4 Taf. 10; Neeft 1975, 108–110 Nr. 7. 8d Abb. 3.

⁹¹² Vgl. Neeft 1975, 107–110 Nr. 1. 2a.b. 8d Abb. III; Neeft 1982, 41 Abb. 3 Taf. 5.

schwer vorstellbar, wie sich das Winkelmotiv im engen Bildfeld zu einem Sigma erweitern ließe. Einfache Winkelreihen sind indes für die spätesten Ausläufer dieses Dekortyps im ›Transitional Style‹ und in der frühkorinthischen Produktion des ausgehenden 7. Jahrhunderts belegt, bei denen die Bodenzone von einem Strahlenkranz eingenommen wird⁹¹³. In diesem Zusammenhang ist **Kat. 942** aus einem Befund, welcher die Einbringung des Pithos definiert, auch von größerer Tragweite für die Datierung des Pithos in der AG Phase IIIb.

Im Gegensatz zu den dunkelgrundigen Kotylen sind die aufgehellten Varianten der korinthischen Reifenkotylen in Ephesos bereits im Artemision belegt⁹¹⁴. In den archaischen Siedlungsbefunden treten sie etwas später als die dunkelgrundige Variante erst in den Zerstörungsniveaus der AG Phase II auf und kommen vereinzelt bis in Horizonte vor, welche die Nutzung der AG Phase III und der AG Phase IV bezeichnen. Der Schwerpunkt der Verbreitung liegt freilich wie schon bei den dunkelgrundigen Kotylen in der AG Phase II, wobei **Kat. 942** ein Weiterleben der Form bis an das Ende des 7. Jahrhunderts veranschaulicht.

Die beidseitig vollständig gefirnissten Bodenfragmente **Kat. 233**, **Kat. 246**, **Kat. 407**, **Kat. 408** und **Kat. 1834** sind für beide Dekorvarianten der ›tall kotylai‹, der dunkelgrundigen wie der aufgehellten, denkbar.

1.B.3.15.1c Knickrandschalen/-skyphoi

Das Randfragment **Kat. 569** zeichnet sich durch einen tiefen, bauchigen Gefäßkörper und einen davon steil abgknickten Rand mit zugespitzter Lippe aus. An seiner Außenseite ist das Fragment mit einem flächigen Überzug versehen; im Inneren weist nur die Randzone Bemalung auf, während das Gefäßbecken tongrundig bleibt. Die Formgebung von **Kat. 569** erinnert an die ostgriechischen Knickrandschalen und ist auch für die korinthischen Skyphoi bekannt, die seit geometrischer Zeit zum Repertoire korinthischer Trinkgefäße zählen und bereits in dieser frühesten Phase in der dunkelgrundigen Variante, allerdings mit einem ausgesparten Reifen am Rand und einem vollständig gefirnissten Schalenbecken, belegt sind⁹¹⁵. Der den Gesamteindruck dominierende dunkle Überzug bleibt für Knickrandskyphoi und -schalen bis in die spätprotokorinthische Stufe (LPC) bestehen⁹¹⁶. Einem solchen Gefäß wird **Kat. 569** zugehörig sein und ist demzufolge mit einem Strahlenkranz in der ausgesparten Bodenzone, ähnlich wie bei **Kat. 781**, zu ergänzen. Die Fundlage der beiden Stücke in Bauhorizonten der AG Phase III sowie der AG Phase IIIb kommt dieser Interpretation entgegen.

Bei **Kat. 1372** folgt auf den die Bodenzone schmückenden Strahlenkranz eine breite Firnisbänderung, welche den aufgehellten oberen Gefäßbereich abtrennt. Die Kombination von Strahlenkränzen und breiten, gerahmten Firnisbändern ist für frühkorinthische Kotylen belegt⁹¹⁷, die flache Bodenzone mit dem Umbruch in eine steile Gefäßwandung weist **Kat. 1372** aber ebenfalls einer Schale oder einem Skyphos zu, für die vergleichbare Dekorsysteme in Kombination mit schwarzfigurigen Tierfriesen in der Hauptdekorzone gesichert sind⁹¹⁸. **Kat. 1372** stammt aus einem Bodenniveau der AG Phase IV.

1.B.3.15.2 Schankgefäße

Die zweite größere Gruppe korinthischer Importkeramik neben den Kotylen ist in den Kannen mit einem Anteil von 18 % gegeben (Diagramm 51).

⁹¹³ Vgl. Weinberg 1943, 64 f. Nr. 245. 246 Taf. 33; Villard – Vallet 1964, 38 Nr. 6 Taf. 21; Schaeffer u. a. 1997, 33 Nr. Cor 52 Taf. 10.

⁹¹⁴ Vgl. Gasser 1989, 64 Nr. K259 Taf. 3. 31; Kerschner 1997a, 139 Nr. 58 Taf. 9.

⁹¹⁵ Vgl. allgemein Neeft 1975, 104–107; Neeft 1982, 41; Neeft (in Druckvorbereitung), 41 f. s. auch Weinberg 1943, 13 f. Nr. 40–42 Taf. 7.

⁹¹⁶ s. Weinberg 1943, 42 f. Nr. 138 Taf. 18.

⁹¹⁷ Vgl. etwa Weinberg 1943, 65 f. Nr. 251–256 Taf. 34. 35.

⁹¹⁸ s. Weinberg 1943, 68 Nr. 282 Taf. 36.

Kat. 30 zeigt mit dem engen, zylindrischen Hals, der in eine Kleeblattmündung ausbiegt, typische Formmerkmale der konischen Kannen und Lekythen, die zu den populärsten Gefäßformen der Stufe EPC zählen und im ganzen 7. Jahrhundert bis in die frühkorinthische Stufe (EC) hergestellt wurden⁹¹⁹. Der flächige Überzug am Hals von **Kat. 30** ist dabei eher ungewöhnlich; typischerweise finden sich an dieser Stelle feine, um den Hals gelegte Reifen. Die konischen Kannen und Lekythen sind bislang vor allem aus Heiligtümern bekannt⁹²⁰. Aus Ephesos sind bislang keine Gefäße des Typs vorgelegt.

Das Wandfragment **Kat. 31** gehört hingegen zu einer kleinen Kanne mit bauchigem oder ovoidem Gefäßkörper und weist mit den feinen umlaufenden Reifen und dem auf der Schulter angebrachten Dekorries mit eingeschriebenen Sigmata das charakteristische Dekorsystem der Kannen der Stufe EPC auf⁹²¹. Bei dem Kannenfragment **Kat. 732** hat sich ein Teil des reifenverzierten Gefäßbauchs erhalten.

Der mit feinen Vertikalstreifen gezierte Bandhenkel **Kat. 672** ist für beide Kannentypen, den konischen und den ovoiden, möglich.

Die korinthische Kanne **Kat. 1210** weist eine kuppelförmig gewölbte Schulter auf, in deren breitem Bildfeld sich ein figürlicher Fries befindet, von dem sich neben der linken Begrenzung des dunklen Henkelfeldes das Füllmotiv der achteiligen, geritzten Rosette mit Spuren von Deckrot erhalten hat. Die Kannenform mit der kräftig gewölbten Schulter ist bezeichnend für korinthische Kannen des Übergangsstils (›Transitional Style‹), die sich weiters durch einen zylindrischen Hals, eine Kleeblattmündung mit einem hohen, oberrandständigen Vertikalhenkel und einen konisch zum Standring einziehenden Gefäßkörper auszeichnen⁹²². Der Dekor zeigt mit der geritzten Rosette hingegen schon ein stilistisches Element der Stufe EC, innerhalb derer **Kat. 1210** aus einem Zerstörungshorizont der AG Phase IV aufgrund ihrer formtypologischen Merkmale früh einzuordnen sein wird, während das Detail der Rosette bei frühkorinthischen und mittelkorinthischen Alabastra die besten stilistischen Vergleiche findet⁹²³.

Die kleinen Kannen mit Kleeblattmündung **Kat. 1835** und **Kat. 1882** aus Horizonten, welche die Bauzeit der AG Phase IV angeben, lassen sich stilistisch und formtypologisch nicht näher eingrenzen. Kleinformatige Kannen mit Kleeblattmündung gehören seit geometrischer Zeit zu dem Formrepertoire korinthischer Werkstätten⁹²⁴.

Das Schulterfragment **Kat. 1373** zeigt mit der weiten, flachen Schulter ein Merkmal der mittelkorinthischen Kannen⁹²⁵, für die auch die dichte Klecksfüllung der Bildfriese zusätzlich zu den Rosetten mit Binnenritzung charakteristisch ist⁹²⁶. Von dem Tierfries haben sich die Vorderbeine einer Raubkatze erhalten⁹²⁷; unter und vor ihr sind sechsteilige Rosetten eingefüllt.

⁹¹⁹ Vgl. dazu Weinberg 1943, 41 Nr. 133 Taf. 18; 58 Nr. 200 Taf. 28; Robertson 1948, 43 Nr. 166 Taf. 10; Dunbabin 1962, 36–42 Nr. 206–242 Taf. 9. 10; Villard – Vallet 1964, 32 Nr. 4. 5 Taf. 12; 46–48 Taf. 28. 29; 63 Nr. 1–4 Taf. 48; Coldstream 1968, 100 f. 107; Pelagatti 1982, 134 f. Taf. 37.

⁹²⁰ Pelagatti 1982, 134 f. sieht hierin ein mögliches Indiz dafür, den Kult der Ortygia in Syrakus schon früher anzusetzen, als er im architektonischen Befund evident wird.

⁹²¹ Vgl. Weinberg 1943, 42 Nr. 136 Taf. 18; 43 Nr. 141 Taf. 19 (Dekor); 46 Nr. 156 Taf. 22; Villard – Vallet 1964, 26 Taf. 5; 34 Nr. 5 Taf. 13; Coldstream 1968, Taf. 21 b; Pelagatti 1982, 132 Nr. 6 Taf. 34; Buchner – Ridgway 1993, 171–173 Nr. 1 Taf. 51 (Grab 140); Nr. 1 Taf. 51 (Grab 141); Nr. 1 Taf. 52 (Grab 142); Morgan 1999, 132 f. Nr. 406 Abb. 1.52 Taf. 53. s. auch Dunbabin 1962, 27 Nr. 117 Taf. 4.

⁹²² Vgl. dazu Payne 1931, 33 Abb. 10 c.

⁹²³ Vgl. die vergleichbaren Kannen bei Weinberg 1943, 58 f. Nr. 204. 205 Taf. 28. 29. Für die Alabastra s. Anderson 1958/1959, 150 Nr. 145 Taf. 25; Amyx 1988, 86 Nr. 2 Taf. 36.

⁹²⁴ s. Weinberg 1943, 10 f. Nr. 26–30 Taf. 3. 4; 12 Nr. 34 Taf. 6; Amyx – Lawrence 1975, 145 Nr. An 231. An 235 Taf. 62.

⁹²⁵ Vgl. Payne 1931, 33 Abb. 10 e.

⁹²⁶ Jacopi 1931, 54–56 Nr. 1 Abb. 27 (Grab 5); Payne 1931, Nr. 9 Taf. 28; Weinberg 1943, 77 Nr. 331 Taf. 41; 78 Nr. 335. 336 Taf. 42 (Dekor); Villard – Vallet 1964, 59 Nr. 1 Taf. 43; Amyx – Lawrence 1975, 24 Nr. 48 Taf. 7 (stilistisch); 110. 111 Nr. 63 Taf. 11; Pemberton 1989, 113 Nr. 214 Taf. 22; Schattner 2007, Nr. Kor 21 Abb. 126 (Dekor). s. auch Payne 1931, 63.

⁹²⁷ Zu den Fußdetails vgl. Anderson 1958/1959, 149 Nr. 133 Taf. 28; Amyx 1988, 195 Nr. 1. 2 Taf. 78 (›the painter of Bruxelles A2182‹).

Die in Deckrot angegebene, gekrümmte Zunge hängt ungewöhnlicherweise bis auf die Brust des dargestellten Tieres hinab⁹²⁸. Unterhalb der breiten, polychromen Bänderung, welche den Schulter-Bauch-Umbruch betont, ist mit einem weiteren Tierfries zu rechnen. **Kat. 1373** ist chronologisch am Übergang in die mittelkorinthische Gefäßproduktion einzuordnen⁹²⁹, was gut mit der Vergesellschaftung des Stücks in einem Bodenniveau der AG Phase IV übereinstimmt, welches die Bauzeit dieser Phase datiert.

1.B.3.15.3 *Aryballoi*

Der Aryballos **Kat. 235** zeichnet sich durch seine runde Form und die feine Reifenzier aus. Beides charakterisiert die frühprotokorinthischen Aryballoi, deren bauchige Gefäßkörper auf einem breiten, niedrigen Standring ruhen und im Verhältnis zu dem engen Hals mit dem kleinen Mündungsteller recht massiv wirken (»globuar aryballoi«); die Gefäßschulter trägt ornamentalen Dekor⁹³⁰. Leider hat sich vom Aryballos **Kat. 235** zu wenig erhalten, um eine genaue Einordnung in der von C. W. Neeft erarbeiteten Typologie zu ermöglichen; wahrscheinlich gehört das Stück bereits einer Entwicklungsstufe an, bei der sich schon eine Tendenz hin zur konischen Form bemerkbar macht⁹³¹. Den frühest möglichen Beginn der frühprotokorinthischen Aryballoi setzt C. W. Neeft auf Basis eines Grabfundes in Pithekoussai mit 715 v. Chr. an⁹³².

Das Randfragment **Kat. 1211** ist zu einem Aryballos zu ergänzen, der sich durch einen kugeligen Gefäßkörper auszeichnet. Die Oberkante des Mündungstellers, der in dieser Entwicklungsstufe nur noch wenig kleiner ausfällt als der maximale Durchmesser am Bauch, weist einen einfachen Reifendekor auf. Eine Punktreihe schmückt die profilierte Außenkante, von der ein vertikaler Bandhenkel auf die Schulter hinabreicht. Form und Dekor sind typisch für die frühkorinthischen Kugelaryballoi des letzten Viertels des 7. Jahrhunderts, welche im Gegensatz zu den protokorinthischen Formen keinen Standring mehr ausbilden⁹³³.

1.B.3.15.4 *Anderes*

Das Randfragment **Kat. 465** zeichnet sich durch einen hohen, trichterförmig ausschwingenden Rand mit verjüngter Lippe aus. Der dichte Reifendekor an Außen- und Innenseite machen das Gefäß als offene Form kenntlich, die ihre nächste formale Parallele bei einem ebenfalls mit Reifendekor verziertem Kessel der Dunkelgrundigen Ware aus einem Fundzusammenhang des ausgehenden 7. Jahrhunderts im Heraion von Samos findet und dort als Reflex orientalischer Impulse in der lokalen samischen Produktion verstanden wird⁹³⁴. Ein aus dem Artemision publizierter Kessel legt nahe, dass es sich dabei um die Adaption von Bronzegefäßen handelt⁹³⁵. In Analogie dazu wäre die wesentlich kleinere korinthische Miniaturform **Kat. 465** mit einem gestauchtbauchigen Gefäßkörper von etwa der Höhe des Randes und einem leicht gewölbten Boden zu

⁹²⁸ Dieses Gestaltungsdetail findet in der korinthischen Gefäßmalerei keine Entsprechung; einer Interpretation als bloße, bei der Bemalung verronnene Farbe scheint der hakenförmig gekrümmte Abschluss entgegenzustehen.

⁹²⁹ Ich danke C. W. Neeft für die bereitwillige und hilfreiche Diskussion dieser Kanne.

⁹³⁰ s. Neeft 1987, 37–85. Vgl. außerdem Friis Johansen 1923, Nr. 1–6. 9 Taf. 4; Nr. 8. 9 Taf. 14; Robertson 1948, 49–51 Nr. 226–230 Taf. 12; Dunbabin 1962, 12 Nr. 7. 8 Taf. 2; Villard – Vallet 1964, 32 Nr. 2. 3 Taf. 12; Coldstream 1968, 106 f. Taf. 21 j. h; Pelagatti 1982, 135 Nr. 14–18 Taf. 39; Buchner – Ridgway 1993, 190 Nr. 12 Taf. 59 (Grab 152); 222 f. Nr. 24 Taf. 74 (Grab 168); 267 f. Nr. 14 Taf. 91 (Grab 208); 425 Nr. 3 Taf. 133 (Grab 390); 476 Nr. 5 Taf. 140 (Grab 472); 505 Nr. 1 Taf. 150 (Grab 505); 530 Nr. 13 Taf. 107 (Grab 272); 644 f. Nr. 8 Taf. 186 (Grab 186). Ein guter Überblick findet sich zudem bei Coulié 2013, 111 f.

⁹³¹ Zur Form und ihrer Entwicklung vgl. Neeft 1987, 29. 33–35 Nr. 1 Abb. 4. 5.

⁹³² s. Neeft 1987, 378.

⁹³³ Vgl. Dugas 1928, 84 f. Nr. 159–166 Taf. 22; Gjerstad 1977b, 41 Nr. 361 Taf. 27; Stillwell – Benson 1984, 93. 95 Nr. 422. 423. 437 Taf. 23; Amyx 1988, Nr. 3. 4 Taf. 45; Nr. 5 Taf. 46; Utili 1999, 202 Nr. 351 Abb. 24; 204 f. Nr. 362 Abb. 25; 206 Nr. 368 Abb. 25; Kalaitzoglou 2008, 432 Nr. 671 Taf. 152.

⁹³⁴ Kopcke 1968, 252 Anm. 2; 262 f. Nr. 36 Abb. 12 Taf. 100.

⁹³⁵ Vgl. Klebinder-Gauß 2007, 143 f. 269 Nr. 841 Taf. 68.

ergänzen. Die Vergesellschaftung in einem Baubefund der AG Phase IIIa datiert das Stück in das mittlere 7. Jahrhundert; die vielfache Reifenzier, welche ein charakteristisches Merkmal vor allem früher protokorinthischer Gefäßdekoration darstellt, kann diese Einordnung untermauern. J. N. Coldstream hat in diesem Zusammenhang erstmals darüber nachgedacht, ob in der Feinheit der Gefäße der Stufe EPC und ihres Dekors zum ersten Mal ein orientalisierender Einfluss in der korinthischen Gefäßproduktion evident wird, ohne dass eine offensichtliche Abkehr vom geometrischen Dekor stattfand⁹³⁶. Eine solche zunächst wenig offensichtliche Hinwendung zu orientalisierenden Elementen könnte auch in der Übernahme der Kesselform zum Ausdruck kommen. Aus Korinth selbst sind indessen nur wenige vergleichbare Gefäße bekannt. Ein Krater mit annähernd vergleichbarer Randmorphologie, tiefem Gefäßbecken und an der Schulter aufsitzenden Henkeln wird dort in das ausgehende 8. Jahrhundert datiert⁹³⁷. Die trichterförmig ausgestellte Wandkontur ist außerdem von korinthischen Kalathoi bekannt, doch zeichnen sich diese anders als **Kat. 465** durch einen geraderen Wandverlauf und einen kantigen Rand aus⁹³⁸.

1.B.3.16 ATTISCHE IMPORTKERAMIK UND ATTISIERENDE GEFÄSSE

Die attische Importkeramik beschränkt sich in den archaischen Siedlungsbefunden unter der Tetragnon Agora auf einige wenige Gefäße aus Kontexten, welche das Ende der AG Phase IV angeben.

1.B.3.16.1 Schalen

Die dünnwandige Glanztonschale **Kat. 1374** zeichnet sich durch ihren steilen, konkav eingezogenen Rand mit unverdickter Lippe aus, der mit einem Knick in das flache Schalenbecken umbricht⁹³⁹. Konkav abgesetzte Ränder sind für attische Schalen unterschiedlicher Typen denkbar, die sich primär durch ihre Fußgestaltung unterscheiden⁹⁴⁰. Schalen mit konkav eingezogenen Rändern treten erstmals in der späten Archaik im fortgeschrittenen 6. Jahrhundert auf. Die attische Schale **Kat. 1374**, die sich wohl zu einer Schale des Typs C ergänzen lassen wird, ist in einem Befund vergesellschaftet, der sich in der Grabungsdokumentation einem möglicherweise älteren Bodenniveau innerhalb der AG Phase IV zuordnen lässt; da die Trennung zwischen den tatsächlichen Bodenhorizonten und dem darüber anfallenden Material jedoch nicht immer mit der nötigen Konsequenz erfolgen konnte, ist der Befund hier möglicherweise gestört.

1.B.3.16.2 Geschlossene Gefäße

Das Mündungsfragment **Kat. 1649** ist einer ungewöhnlich kleinen Olpe der Glanztonware zugehörig. Kleine Olpen mit rund ausschwingenden Rändern sind in Attika seit dem beginnenden 6. Jahrhundert belegt. Die Olpe **Kat. 1649** könnte angesichts ihres Fabrikats als eine ostgriechische Imitation attischer Glanztonwaren zu verstehen sein und stammt aus einem Befund, welcher die Aufgabe der Besiedlung unter der Tetragnon Agora am Ende der AG Phase IV bezeichnet.

⁹³⁶ Dazu Coldstream 1968, 105.

⁹³⁷ Dazu Weinberg 1943, 38 Nr. 119 Abb. 13 Taf. 16.

⁹³⁸ Vgl. dazu beispielsweise Friis Johansen 1923, 67 Abb. 43; Payne 1940, 61 Nr. 5 Taf. 14; Weinberg 1943, 6 Nr. 9 Taf. 1; Stillwell – Benson 1983, 17 f. Nr. 17 Taf. 2; Morgan 1999, 122 f. Nr. 366 Abb. I.49 Taf. 48.

⁹³⁹ Dieses Detail schließt die Zugehörigkeit zu einem Schalenskyphos aus. Zur Diskussion vgl. Kowalleck 2008, 83.

⁹⁴⁰ Eine grundlegende Studie der Schalenformen findet sich bei Sparkes – Talcott 1970, 91–94. 99 f. mit weiterer Lit. Vgl. speziell für Ephesos Scherrer – Trinkl 2006, 183 f.; Kowalleck 2008, 83.

1.B.4 Zusammenfassende Diskussion des Gefäßensembles

Die archaischen Befunde der Siedlung unter der Tetragonos Agora zeigen ein breites Spektrum an Trink-, Misch-, Servier-, Schank-, Vorrats- und Speichergefäßen, Küchenwaren, Lampen, Salbgefäßen, Miniaturen und keramischen Sonderformen, welches die Vielfalt ostgriechischer Keramiktraditionen widerspiegelt. Die quantitative Aufschlüsselung der im diagnostischen Material vertretenen Gefäßformen (Diagramm 52) gewährt einen repräsentativen Einblick, wie sich das Gefäßrepertoire einer archaischen Siedlung zusammensetzt. Die Trinkgefäße machen dabei mit 41 % den größten Anteil aus, gefolgt von Schüsseln und Vorratsgefäßen (beide 13 %), Kannen (10 %), Mischgefäßen (6 %) und Küchenwaren (5 %). Bis auf die Mischgefäße sind dies alles Formen, die in einem Siedlungszusammenhang nicht weiter überraschen, da sie im alltäglichen Ablauf der Nahrungsaufbewahrung und -zubereitung sowie als Unterlage der Speisen und Getränke ihren festen Platz haben. Die gegenüber den Schüsseln untergeordnete Rolle der Teller mit nur 4 % ist bemerkenswert (s. u. in diesem Kap.).

Jene Gefäßformen, die tendenziell in einen Zusammenhang mit rituellen Vorgängen gestellt werden (Salbgefäße, Miniaturen, Omphalosschalen), machen nicht mehr als jeweils 1 % am Gesamtanteil aus und bestätigen damit grundsätzlich, dass es sich hierbei zwar nicht um typische Siedlungskeramik handelt, dass diese Formen aber umgekehrt auch im Siedlungszusammenhang zu erwarten sind⁹⁴¹. Dies gilt insbesondere auch für die Kännchen mit immerhin 4 %, die damit einen den Tellern vergleichbaren Anteil erreichen und in einem wahrscheinlich sehr spezifischen funktionalen Rahmen zu verorten sind, der in Siedlungen und Heiligtümern, wo Kännchen ebenfalls gehäuft auftreten, gleichermaßen begegnet.

Die wenigen Importe von außerhalb des ostgriechischen Raumes beschränken sich in den Agora-Befunden auf korinthische Feinkeramik und Amphoren, vereinzelte attische Glanztonwaren sowie zypriotische Reibschüsseln; sie zeugen damit von einem sehr gezielten Importverhalten. Bis auf die korinthischen Amphoren entfalteten alle diese Gefäße eine Vorbildwirkung für die Produktion in ostgriechischen Werkstätten, die weniger um unmittelbare Imitate (z. B. **Kat. 147. Kat. 1201. Kat. 1202. Kat. 1649**) bemüht waren als um die Übernahme technologischer und motivischer Impulse in die eigene Keramiktradition, wie dies im Zusammenhang der nordionisch-schwarzfigurigen Gefäße evident wird. Besonders deutlich ist das Phänomen in den archaischen Siedlungsbefunden unter der Tetragonos Agora anhand der korinthisierenden Kotylen schon in der AG Phase II nachzuvollziehen⁹⁴².

Die Herkunftsgruppe I hat den dominierenden Anteil an den lokalen Trinkgefäßen, und mit den korinthisierenden Kotylen (Diagramm 3), den Zickzackmetopenkotylen (Diagramm 5) und den Vogelkotylen vom Typ 6 (Diagramm 7) ist ab dem letzten Viertel des 8. Jahrhunderts mit ihr zu rechnen. Die Herkunftsgruppe I zeichnet sich in der Produktion der Vogelkotylen durch das eingeschriebene Kreuz als Füllmotiv und in der Produktion der Vogelschalen durch die Aufnahme orientalisierender Elemente (**Kat. 1384**) aus, deren Kenntnis mit einem orientalisierenden Dinos bereits gesichert ist⁹⁴³.

Es zeigte sich, dass besonders die lokal produzierten Zickzackmetopenkotylen in Ephesos mit 15 % (Herkunftsgruppe I und H) bis 23 % (Herkunftsgruppe M) (Diagramm 5) bis an das Ende der AG Phase IIIb (Diagramm 6) stark vertreten sind, weshalb man hier von einer echten lokalen oder regionalen Tradition wird ausgehen dürfen, deren konservativer Charakter in der Übernahme des subgeometrischen Dekors noch auf die archaische Schalenform (**Kat. 947**) zum Ausdruck kommt.

Ein weiteres bemerkenswertes Merkmal der Randfalzkotylen mit Kammbürstendekor ist ihr tendenziell großes Format, das sie bereits in die Nähe der Vogelschüsseln rückt, deren lokale

⁹⁴¹ Vgl. dazu auch die Evidenz von der Nordostterrasse am Panayırdağ bei von Miller 2013; von Miller 2015. Lynch 2011, 161–165 weist in diesem Zusammenhang auf das Phänomen des »household ritual« hin.

⁹⁴² Dazu von Miller 2016.

⁹⁴³ Dazu Kerschner 1997b; Kerschner – Mommsen 2002, 199–204.

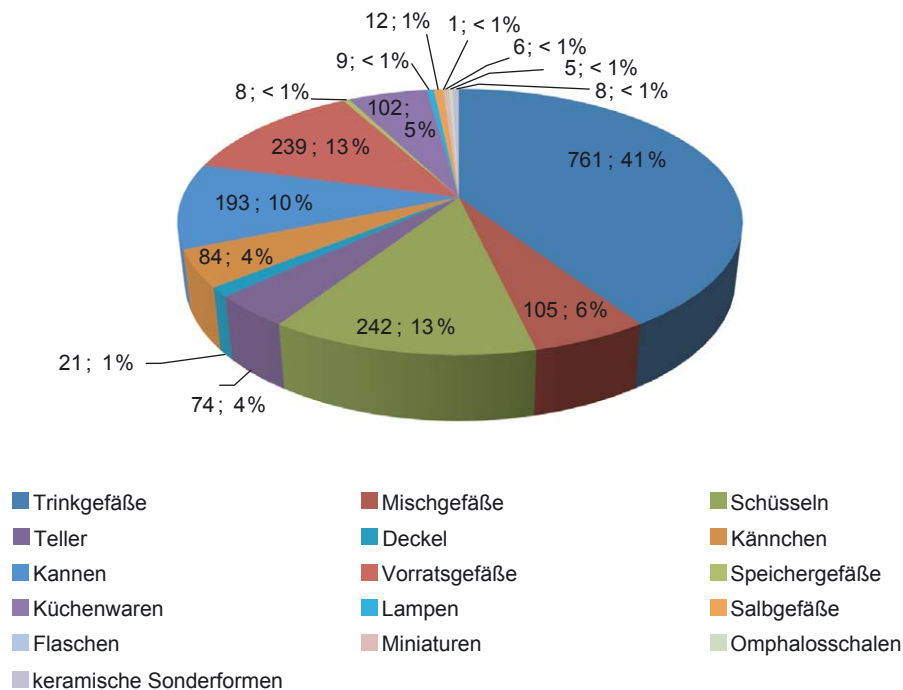


Diagramm 52 Übersicht des Formenrepertoires der Tetragonos Agora

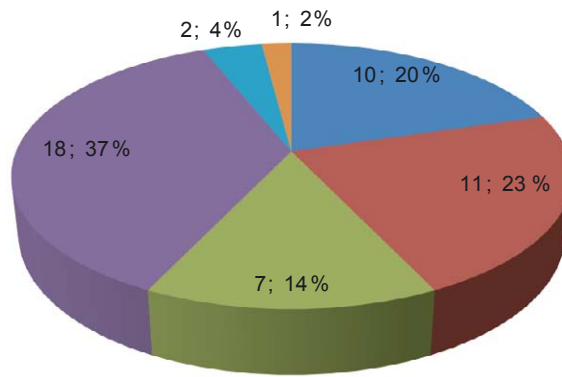
Produktion mit **Kat. 159** gesichert ist und das umgekehrt einen klaren Gegensatz zu den tendenziell kleinformatigeren Vogelkotylen bildet. Interessant ist in diesem Zusammenhang, dass auch die lokalen Knickrandschalen des späteren 7. Jahrhunderts sich mitunter durch auffallend kleine Proportionen auszeichnen, was die Frage aufwirft, ob sich die beiden Gefäßtypen nicht nur formal unterscheiden, sondern in Teilen auch bevorzugt in verschiedenen Funktionszusammenhängen zum Einsatz kamen. So dienten gerade die großformatigen Kotylen vielleicht weniger als Trinkgefäße als zur Aufnahme flüssiger, halbflüssiger und breiiger Speisen⁹⁴⁴. Sie wären damit als Teil eines differenzierteren Geschirrservices anzusprechen⁹⁴⁵, in dem dieselbe Gefäßform je nach Größe entweder als Trink- oder als Essgeschirr Verwendung fand. Ein solch breiter gefasster Einsatzbereich der Kotylenform käme auch dem innerhalb der Trinkgefäße hohen Anteil der großen Exemplare in den Siedlungsbefunden besonders der ersten Hälfte des 7. Jahrhunderts entgegen (Diagramm 53–56).

Die extrem proportionierten Knickrandschalen **Kat. 864** und **Kat. 866** lokaler Produktion könnten umgekehrt die Absicht anzeigen, die Funktion der großen Kotylen im ausgehenden 7. Jahrhundert zunächst auch für die modernere Form der Knickrandschalen zu übernehmen; ein Bestreben, das sich offenbar nicht in das 6. Jahrhundert hinein fortsetzte (s. u. Kap. 1.E.2). Denkbar sind außerdem verschiedene lokale Werkstätten oder Töpfermeister, die zwar dieselbe Rohstoffquelle nutzten, aber Gefäße unterschiedlichen Formats produzierten. Nach Ausweis der Knickrandschalen in den Töpfereibefunden der AG Phase IIIb hätten diese Hersteller denselben Brennofen benutzt.

⁹⁴⁴ Vgl. dazu auch die Ausführungen bei Lazzarini 1973/1974, 341–375 bes. 354 f. Anm. 54 mit einem Verweis auf das Aristophanes-Fragment F 498 und 358–360.

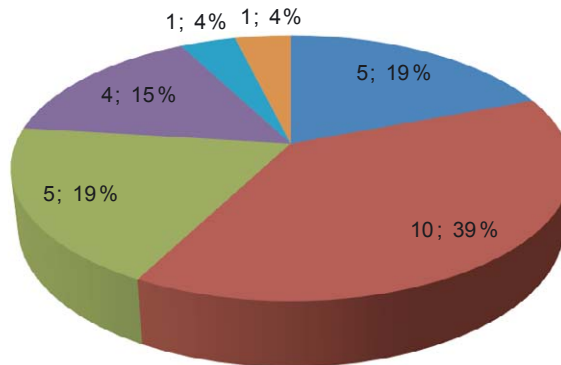
⁹⁴⁵ Auf diese grundsätzliche Verwendungsmöglichkeit für Trinkgefäße haben bereits Pelagatti 1982, 167–172 im Hinblick auf die sog. Thapsoschalen und Kerschner 2003b, 248 f. Anm. 18, Kerschner 2011, 24 und Kerschner 2017c, 22 im Zusammenhang frühheisenzeitlicher Skyphoi aus dem Artemision hingewiesen. s. auch Morgan 1999, 322 f.; Boardman 2001, 256; Villing 2013, 85. Speziell zur Agora-Siedlung vgl. von Miller 2018, 191.

1.B Die Keramik



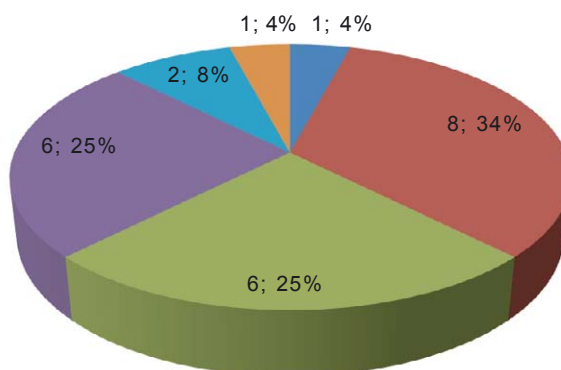
- korinthische Kotylen
- kleine Kotylen
- große Kotylen/Vogelschüsseln
- Tassen
- Knickrandskyphoi
- Kalottenschalen

Diagramm 53 Trinkgefäße in Ovalbau OB



- korinthische Kotylen
- kleine Kotylen
- große Kotylen/Vogelschüsseln
- Tassen
- Knickrandskyphoi
- Knickrandschalen

Diagramm 54 Trinkgefäße in Gebäude UB



- korinthische Kotylen
- kleine Kotylen
- große Kotylen/Vogelschüsseln
- Tassen
- Knickrandskyphoi
- Kalottenschalen

Diagramm 55 Trinkgefäße in Gebäude VG

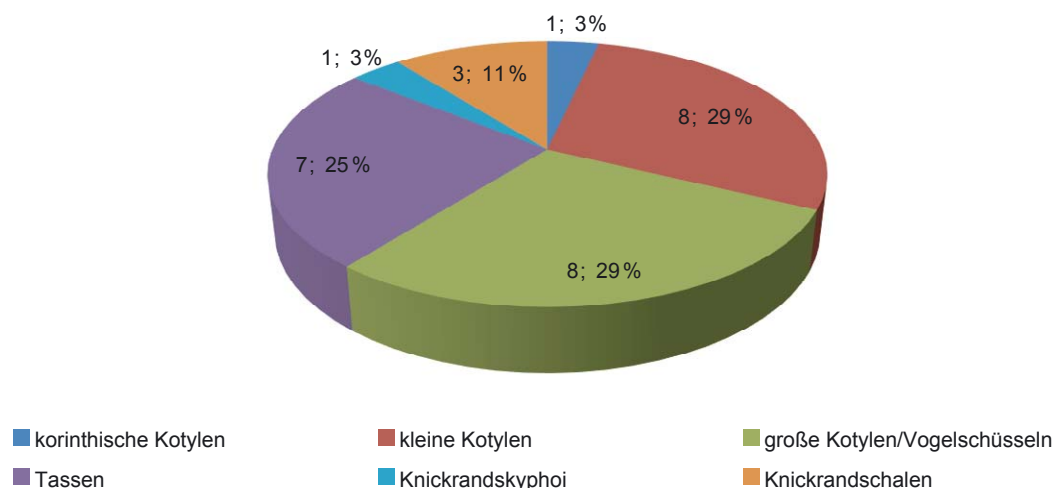


Diagramm 56 Trinkgefäße in Gebäude XB

Neben den Zickzackmetopenkotylen ist der lokale Anteil besonders bei den Tassen, mit Ausnahme der Tassen mit geschwungener Wandung, sehr hoch (Diagramm 24. 26. 28. 30. 32), wobei hier erstmals die Herkunftsgruppe H neben der Herkunftsgruppe I eine tragende Rolle spielt. Damit wird man in den Tassen eine zweite originär und typisch ephesische Trinkgefäßform des 7. Jahrhunderts erkennen dürfen, die sich gut in die ionische Produktionsregion einfügt. Demgegenüber sind mit den dunkelgrundigen Knickrandskyphoi **Kat. 164**, **Kat. 238** und **Kat. 1262** Gefäße gegeben, die speziell für das archaische Ephesos bezeichnend zu sein scheinen, und es nicht an ionische, sondern – wenn überhaupt – an dorische Traditionen anbinden.

Die große Anzahl der Trinkgefäße bildet die Grundlage für einige Überlegungen auch bezüglich der bislang nicht lokalisierten Herkunftsgruppen.

Für die versuchsweise im Umfeld von Ephesos lokalisierte Herkunftsgruppe M hat sich einerseits gezeigt, dass diese bei den Trinkschalen immer gemeinsam mit der Herkunftsgruppe I und dominanter als die Herkunftsgruppe H auftritt. Sie ist besonders unter den Randfalzkotylen mit Kammbürstendekor vertreten und verzeichnet dort neben der lokalen Herkunftsgruppe I den höchsten Anteil (Diagramm 5). Bei den Tassen als zweite Gefäßform mit starken lokalen Traditionen liegt der Anteil der Herkunftsgruppe M etwa gleich mit jenen der sicher ephesischen Herkunftsgruppen I und H (Diagramm 24. 26. 28. 30. 32). Mit dem dunkelgrundigen Skyphos **Kat. 164** ist die Herkunftsgruppe M darüber hinaus für eine Gefäßform belegt, die innerhalb Ioniens nach bisherigem Kenntnisstand als lokale Spezialität von Ephesos angesehen werden muss. Auch innerhalb der Knickrandschalen vom Typ 10 zeigt die Herkunftsgruppe M einen mit der Herkunftsgruppe I vergleichbar prominenten Anteil (Diagramm 20). Schließlich ist die Herkunftsgruppe M gemeinsam mit den Herkunftsgruppen I und H in der Verfüllung des Töpferofens nachweisbar (**Kat. 850**, **Kat. 853**), wo etwa die eindeutig außerephesischen Herkunftsgruppen B und J nicht vertreten sind. Beides, das prominente Vorkommen besonders bei Gefäßformen mit stark lokaler Prägung und der Fundzusammenhang im Töpferofen, unterstreicht aus archäologischer Sicht erneut die lokale Verortung der Herkunftsgruppe M.

Neben den Herkunftsgruppen I, H und M ist mit den bislang nichtlokalisierten singles eine dritte Gruppe in der Töpferofenverfüllung vertreten. Für Ephesos ist innerhalb der singles besonders die beprobte Knickrandschale vom Typ 8 [ProbenNr. Ephe 297 Inv. ART 94/268.2] relevant, mit der die Knickrandschale vom Typ 5.2 (**Kat. 858**) und die Knickrandschale vom Typ 8.2 (**Kat. 867**) aus der Ofenverfüllung ihr Fabrikat gemeinsam haben. Dasselbe Fabrikat ist auch für die kleinformatige Knickrandschale **Kat. 1092** nachgewiesen, die zwar den Dekor der Schalen vom Typ 9 aufweist, formal jedoch den kleinen Knickrandschalen der Typen 5 und 6 entspricht,

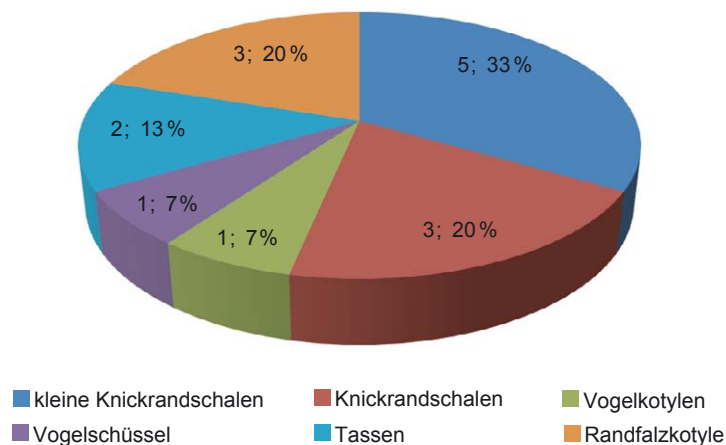


Diagramm 57 Verteilungsübersicht Epehe 10

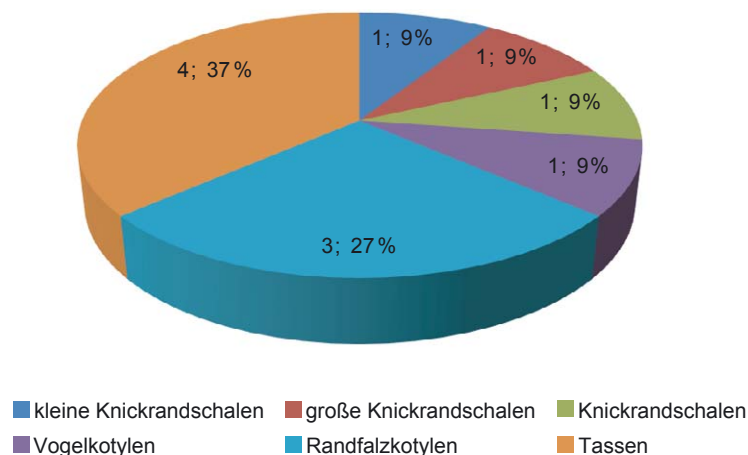


Diagramm 58 Verteilungsübersicht Epehe 77

die eine lokale Besonderheit zu sein scheinen. Auf Basis archäologischer Argumente kann damit auch für das Fabrikat des archäometrischen singles der ProbenNr. Epehe 297 eine Lokalisierung in Ephesos in Betracht gezogen werden.

Die Gefäße, welche den Fabrikaten der ProbenNr. Epehe 10 [Inv. ART 95/254.1] und Epehe 77 [Inv. ART 93/729.1] entsprechen, liefern schließlich auch für diese Indizien einer möglichen Lokalisierung in Ephesos (Diagramm 57. 58). Beide Fabrikate sind für die kleinformatischen Knickrandschalen der Typen 5 und 6 nachgewiesen, mit **Kat. 1285** übernimmt ein Gefäß des Fabrikats der ProbenNr. Epehe 10 wie bei **Kat. 1092** die gleichen formalen Merkmale für eine Knickrandschale vom Typ 9. Beide Fabrikate sind darüber hinaus mit den Zickzackmetopenkotylen (Diagramm 5) und den Tassen (Diagramm 24. 26. 28. 30. 32) bei jenen Gefäßgruppen vertreten, welche die ephesische Keramikproduktion charakterisieren, wobei das Fabrikat der ProbenNr. Epehe 10 unter den Zickzackmetopenkotylen mit hakenförmigen Zickzacklinien vertreten ist, die sonst speziell für die lokal ephesische Herkunftsgruppe I nachgewiesen wurden. Das Fabrikat der ProbenNr. Epehe 77 findet sich mit **Kat. 358** auch unter den überdimensionalen Knickrandschalen, deren lokale Herstellung mit **Kat. 864** und **Kat. 866** der Herkunftsgruppe I bereits gesichert ist.

Für die bislang nur für Knickrandschalen belegte Herkunftsgruppe SAK 3 hat sich in den Befunden unter der Tetragnos Agora erstmals der Nachweis für die zumindest vereinzelte Produktion von Randfalzkotylen (**Kat. 1238**, **Kat. 1452**) und Tassen mit konkaver Wandung (**Kat. 1219**) eingestellt. Die Herkunftsgruppe SAK 3 ist damit spätestens mit dem zweiten Viertel

des 7. Jahrhunderts zu erwarten, was gut mit dem Produktionsbeginn der archaischen Knickrand-schalen übereinstimmt, die den größten Anteil an dieser Herkunftsgruppe haben (Diagramm 13. 15. 16. 18. 20).

Die Gefäße des Fabrikats Ulo 01 verteilen sich mit Zickzackmetopenkotylen, Knickrand-schalen vom Typ 9 und Tassen mit konkaver Wandung auf Formen, für die aus archäologischer Sicht eine Produktion im Umfeld von Ephesos oder Samos angenommen werden kann. Das Fabrikat Ulo 04 ist in den Agora-Befunden für frühe Varianten der Knickrand-schalen vom Typ 9 nachgewiesen (**Kat. 1084. Kat. 1399. Kat. 1774**).

Das vielleicht überraschendste Ergebnis aus der mikroskopischen Fabrikatsanalyse zeigt sich in Form einer Knickrandschale des 7. Jahrhunderts (**Kat. 1392**), die mit einiger Wahrscheinlichkeit in den Vogelschalenwerkstätten der nordionischen Herkunftsgruppe B hergestellt worden sein dürfte⁹⁴⁶. So wird zukünftig verstärkt zu berücksichtigen sein, dass nicht nur die Randfalz-kotylen in das Formenrepertoire südionischer Zentren Eingang fanden, sondern umgekehrt auch die traditionell südionische Form der Knickrandschale zumindest punktuell in den etablierten nordionischen Werkstätten übernommen wurde⁹⁴⁷. Für die Knickrandschale **Kat. 2176** aus den Keil'schen Grabungen am Nordwestabhang des Panayırdağ konnte die geochemische Analyse ebenfalls eine nordionische Herkunft bestätigen (s. u. Kap. 2.B.2.1.5 und Kap. 4.D.3). Mit den Knickrand-schalen des fortgeschrittenen 7. Jahrhunderts und des 6. Jahrhunderts ist dabei ein Zeitrahmen vorgegeben, in dem die Vogelschalenwerkstätten allmählich ihre exportorientierte Vorrangstellung zu verlieren begannen⁹⁴⁸ und ihr Interesse daran, das althergebrachte Produkti-onsrepertoire zu erweitern, nachvollziehbar wäre.

Wie bei den Trinkgefäßen zeichnen sich auch im Bereich der gebrauchskeramischen Formen Besonderheiten ab, die für das archaische Gefäßspektrum in Ephesos typisch zu sein scheinen. Bei den Mischgefäßen hat sich gezeigt, dass die vollständig gefirnissten Randzonen geometrischer und mastoider Kratere ein Dekorelement sind, das ephesische Kratere mit den samischen gemeinsam haben, während die milesischen Kratere hier einer Reifenzier den Vorzug geben.

Mit den Tiefen Schüsseln und den Eimern ist in Ephesos hingegen eine Gefäßform vertreten, die mir aus ionischen Fundkontexten bislang nur in Milet bekannt ist⁹⁴⁹. Die demgegenüber relative Funddichte in den archaischen Siedlungsbefunden zeigt die Tiefen Schüsseln und Eimer als regulären Bestandteil des keramischen Repertoires in Ephesos an. An den Tiefen Schüsseln wird mit den polierten Gefäßoberflächen darüber hinaus ein Phänomen evident, welches auch andere Schüsselformen des 7. Jahrhunderts – nicht nur in Ephesos – maßgeblich kennzeichnet, und für diese eine Herleitung von metallischen Gefäßformen glaubhaft machen kann⁹⁵⁰; für diese liegen überzeugende Vergleichsbeispiele aus den Befunden im Artemision vor. Eine Adaption metallischer Vorbilder ist auch mit den Riefelkannen gegeben und findet sich bei den Grauen Waren mit dem gleichen Repertoire wieder. Ein an Metallvorbilder orientierter ästhetischer Grundgedanke ist schließlich auch für die Gefäße der Dunkelgrundigen Ware anzudenken⁹⁵¹, die gemeinsam mit der großzügigen Anwendung von Deckrot in der nordionischen Tierfrieskeramik vornehmlich seit dem letzten Drittel des 7. Jahrhunderts eingeordnet wurde. Tatsächlich bestätigt sich in den

⁹⁴⁶ Leider hat sich diese Zuweisung in der petrografischen Analyse aufgrund der Feinheit des Fabrikats nicht verifizieren lassen. Dasselbe Ergebnis zeigte sich jedoch auch für zwei Knickrand-schalen vom Typ 9 von der Nordost-terrasse des Panayırdağ. Vgl. dazu von Miller 2013, 333 Abb. 96. 97. Vgl. zuletzt auch Schlotzhauer 2014, 398.

⁹⁴⁷ Zu diesem Thema s. auch Dupont 2000a, 451 f.; Kerschner 2017a, 107.

⁹⁴⁸ Vgl. dazu Kerschner 2002d, 72.

⁹⁴⁹ Dankenswerte Information von A. Villing und M. Kerschner.

⁹⁵⁰ Eine eingehende Untersuchung der Zusammenhänge zwischen keramischen und metallischen Gefäßen liegt für den phrygischen Kulturraum des 8. und 7. Jhs. mit Knudsen 1961 vor. Vgl. dazu zuletzt auch Kerschner 2005b, bes. 130–132 mit weiterer Lit. Mit demselben Phänomen im griechischen Kulturraum vom späten 5. bis zum mittleren 3. Jh. hat sich Zimmermann 1998 auseinandergesetzt. Speziell für die korinthische Keramikproduktion in spätarchaischer bis klassischer Zeit vgl. Pemberton 1981, 101–111. Für das archaische Ionien steht eine entsprechende Untersuchung bisher aus.

⁹⁵¹ Zu dem vergleichbaren Phänomen der schwarz glänzenden Ware phrygischer Herstellung vgl. Kerschner 2005b.

Horizonten der Agora-Siedlung mit **Kat. 435**, **Kat. 608** und **Kat. 1867** jedoch die in Ansätzen schon andernorts angedachte Datierung dieses Dekorelements spätestens im mittleren 7. Jahrhundert. Der in Deckrot aufgebrachte Dekor ist in der hier vertretenen Definition jedoch kein notwendiges Element Dunkelgrundiger Waren; Vertreter der Gattung können nur mit Deckweiß dekoriert sein (**Kat. 141**, **Kat. 150**, **Kat. 288**, **Kat. 382**, **Kat. 467**, **Kat. 480**, **Kat. 876**) oder vollkommen von aufgesetzter Deckfarbe absehen (**Kat. 57**, **Kat. 448**) und sind in dieser Form bereits seit dem frühen 7. Jahrhundert zu erwarten.

Eine Dekorvariante erst des späten 7. und besonders des 6. Jahrhunderts ist hingegen der flächig deckende und mattrote Gefäßüberzug, der insbesondere von Schüsseln, Lekanen und Tellern belegt ist. Die Teller treten gegenüber den Schüsseln verspätet auf, einzig die Teller auf hohem Fuß (**Kat. 81**, **Kat. 330**, **Kat. 373**, **Kat. 446**) sind bereits in den frühesten Siedlungsbefunden auch aus lokaler Herstellung vertreten und scheinen gemeinsam mit den Steilwandschüsseln (**Kat. 187–Kat. 189**, **Kat. 253**, **Kat. 277**, **Kat. 279**, **Kat. 326**, **Kat. 369** und **Kat. 370**) bereits früher als bislang angenommen schon vor der Mitte des 7. Jahrhunderts zu datieren. In den Tellern ist darüber hinaus die einzige gebrauchskeramische Gefäßform aus den archaischen Befunden gegeben, innerhalb derer feinkeramische Varianten (Dunkelgrundige Ware, orientalisierende Ware) überwiegen (Diagramm 38). Dies ist auch im Zusammenhang mit dem bereits angesprochenen Mengenverhältnis von Schüsseln und Tellern, die beide als Serviergefäße dienen, interessant, beschränken sich die Schüsseln doch mit den wenigen Ausnahmen, die der Gattung der Grauen Ware und der Dunkelgrundigen Ware angehören, auf unbemalte, wenn auch teils feingeläutete Gefäße oder solche der Reifen- und Firnisware (Diagramm 35). Es liegt daher nahe, für die Teller ein etwas anders geartetes Funktionsambiente anzunehmen als für die Schüsseln. In den Tellern mit breitem Rand begegnet in Ephesos überdies erneut eine Gefäßform, die aus ionischen Befunden bislang nicht bekannt ist und deren relative Häufigkeit sowie lokale Herstellung sie als regulären Bestandteil des ephesischen Gefäßrepertoires wahrscheinlich in Anlehnung an nordionische oder pontische Formvorbilder bestätigt.

Neben den Tellern gehören Misch- und Schankgefäße zu den bevorzugten Trägern orientalisierenden Maldekors (Diagramm 33, 42). Die Übersicht zu den bemalten Feinwaren aus den archaischen Befunden von der Agora-Siedlung (Diagramm 59) zeigt allerdings insgesamt eine klare Dominanz geometrisch sowie subgeometrisch bemalter Gefäße (44 %), die mit einem langen Festhalten an eben diesen Dekortraditionen und an entsprechend bemalten Gefäßen bis an das Ende der AG Phase III zu erklären sein wird sowie mit einem reichen Bestand an feinkeramischen Großgefäßen schon in den frühesten Siedlungsphasen unter der Tetragonos Agora.

Innerhalb der orientalisierenden Keramik dominiert der südionische Tierfriesstil mit einem 36 %-igen Anteil an der Feinkeramik vor dem nordionischen Tierfriesstil mit nur 14 %. Hierbei ist wiederum zu berücksichtigen, dass die ersten SiA-Gefäße bereits seit der AG Phase II vertreten sind, während die NiA-Importe erstmals mit der AG Phase IIIb aufkommen und die südionischen Werkstätten damit einen längeren Zeitraum abdecken als die nordionischen. Der große Dinos **Kat. 1108** ist dabei als eines der frühesten Gefäße der NiA-Tradition anzusehen, die in Ephesos bislang bekannt sind. Die Gefäße des nordionisch-schwarzfigurigen Stils und der Fikelluraware bleiben angesichts der Tatsache, dass die archaische Siedlung unter der Tetragonos Agora bereits im mittleren 6. Jahrhundert ihr Ende fand, mit zwischen 2 % und 1 % naturgemäß deutlich unterrepräsentiert.

Im Zusammenhang mit den Vorrats- und Transportgefäßen zeichnen sich die Amphoren mit Wulsträndern und Rundstabilippen als jener regionale Typ ab, an dem auch Ephesos mit seiner Produktion Anteil hatte. Innerhalb der Küchenwaren stellen sich besonders die kleinformatigen, bauchigen Kochtöpfe als ein originär lokaler Typus dar, dem erst ab der AG Phase IIIb verstärkt andere Küchenwaren zur Seite gestellt wurden. Darüber hinaus scheint die Übernahme gebrauchskeramischer Formen in die Küchenware (z. B. **Kat. 7**, **Kat. 223**, **Kat. 694**, **Kat. 1371**, **Kat. 1725**, **Kat. 1879**) ein außerhalb von Ephesos wenig bekanntes oder zumindest nicht thematisiertes Phänomen zu sein. Dass es sich dabei tatsächlich um ein spezifisches Merkmal ephesischer

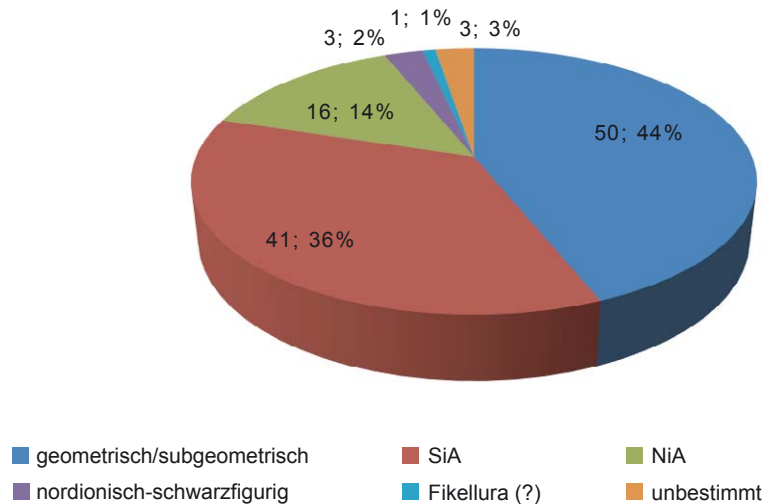


Diagramm 59 Übersicht der bemalten Feinkeramik

Keramikproduktion handeln könnte, belegen die bisherigen Ergebnisse der petrografischen Analysen, die für den Stamnos **Kat. 7** und die Steilwandschüssel **Kat. 1879** eine lokale Herstellung wahrscheinlich gemacht haben.

1.B.5 Baukeramik

Neben der Fülle an Gefäßkeramik konnten aus den archaischen Siedlungsbefunden unter der Tetragnon Agora auch einige Ziegelfragmente geborgen werden, die an dieser Stelle der vollständigen Darstellung der archaischen Siedlungsbefunde halber kurz vorgestellt werden sollen.

Die fünf Ziegelfragmente **Kat. 1258** und **Kat. 1324** stammen aus Befunden im westlichen Bereich der Siedlung (KMB/HA 6). Sie sind aus dem porösen, stark gemagerten und glimmerhältigen Fabrikat gefertigt, welches auch für viele Pithoi vor allem aus den frühen Siedlungsbefunden bezeichnend ist und das den Küchenwaren nahe steht (s. o. Kap. 1.B.3.8 und u. Kap. 4.C). Von dem Ziegeldach **Kat. 1258** haben sich zwei Fragmente von Flachziegeln mit hochgebogenen Kanten, von denen einer mattrote Farbspuren aufweist, eine Verkleidungsplatte mit dreieckiger Randleiste und ein Kalypter mit gerader Oberkante erhalten, an dessen Innenkante sich die Spuren einer (Holz-)Schalung, möglicherweise eines Modells, abzeichnen, über welchem der Ziegel geformt wurde. Vergleichbare Abdrücke sind auch am Flachziegel **Kat. 1324** zu erkennen, der wiederum eine kantig hochgewölbte Randleiste aufweist.

Während die Ziegel **Kat. 1258** nach Ausweis der Grabungsdokumentation in einem Baubefund vergesellschaftet waren, in dem der Schotterboden des Raumes HA 6 der AG Phase IV mit Material des Vorgängerbaus KMB vermischt ist, stammt **Kat. 1324** aus einem Zerstörungshorizont direkt oberhalb dieses Schotterbodens. **Kat. 1324** ist demnach eindeutig mit der AG Phase IV verbunden, während für **Kat. 1258** aufgrund der Stratigrafie zunächst eine Zugehörigkeit zu dem HA 6 in der AG Phase III vorangehenden Gebäude KMB wahrscheinlich ist. Da sich in der stratigrafischen Auswertung aber des Öfteren gezeigt hat, dass Bodenbefunde und das auf ihnen gelegene Material in der Siedlung unter der Tetragnon Agora nicht immer stringent getrennt werden konnten (z. B. **Kat. 515**), neige ich auch im Hinblick auf die Gemeinsamkeiten, die **Kat. 1258** und **Kat. 1324** in Fabrikat und Herstellung zeigen, zu der Annahme eines einzigen Ziegeldaches, welches in der AG Phase IV den Raum HA 6 abdeckte und dem die Strotere und Kalyptere (**Kat. 1258** und **Kat. 1324**) angehört haben. Da zwischen dem Kalkmergelbau KMB der AG Phase III und dem Raum HA 6 der AG Phase IV jedoch eine enge architektonische Kontinuität besteht, kann umgekehrt auch nicht ausgeschlossen werden, dass ein älteres Zie-

geldach nach dem Umbau in der AG Phase IV weiterverwendet oder restauriert und in Teilen ersetzt wurde.

Ziegeldächer sind im ostgriechischen Raum in archaischer Zeit vornehmlich von Monumentalbauten bekannt⁹⁵². Im Siedlungszusammenhang scheinen sie bislang nur für einige Wohnbauten des 6. Jahrhunderts am Kalabaktepe bei Milet belegt zu sein⁹⁵³. Der Nachweis für die archaische Siedlung unter der Tetragonos Agora ist mit **Kat. 1258** und **Kat. 1324** auf nur eine Raumeinheit der (AG Phase III und) AG Phase IV beschränkt und zeigt an, dass Ziegeldächer als Dachkonstruktion eine Ausnahme dargestellt haben müssen.

Das Ziegeldach aus der Agora-Siedlung lässt sich typologisch nicht eindeutig zuordnen⁹⁵⁴. Die Flachziegel entsprechen mit ihren kantig hochgebogenen Randleisten dem korinthischen Typus, der in Ionien bereits für die Heiligtumsanlagen von Didyma, Samos, Istros und Assesos nachgewiesen ist⁹⁵⁵, während die kantige Gestaltung der Kalyptere mit flacher Oberkante bislang nicht belegt ist. Die Verkleidungsplatte **Kat. 1258** mit überhängendem Dreiecksrand findet indessen Parallelen bei einem Ziegeldach im Artemision, welches auch in Fabrikat und Herstellungstechnik mit den Ziegelfragmenten von der Agora-Siedlung vergleichbar scheint⁹⁵⁶. Für das Ziegeldach im Artemision konnte eine lokale Produktion in Ephesos nachgewiesen werden⁹⁵⁷. Die petrografische Dünnschliffanalyse legt eine ebensolche auch für **Kat. 1258** nahe (s. u. Kap. 4.C). Für das Dach im Artemision wurde von U. Schädler und P. Schneider vorsichtig eine Datierung frühestens seit dem zweiten Viertel des 7. Jahrhunderts vorgeschlagen⁹⁵⁸. Für das Ziegeldach aus der archaischen Siedlung scheint dieser Ansatz für **Kat. 1324** aus einem Zerstörungsbefund der AG Phase IV eindeutig zu früh, während bei den in ihrer stratigrafischen Lage problematischeren Ziegeln **Kat. 1258** eine Zugehörigkeit zu dem Kalkmergelbau in der AG Phase III möglich bleibt und damit auch eine Einordnung ab dem mittleren 7. Jahrhundert denkbar ist.

⁹⁵² Vgl. dazu Winter 1990; Winter 1993, 233–272; Schädler – Schneider 2004; Zimmermann 2005, 463–485; Zimmermann 2007, 631–636; Schädler – Schneider 2008; Ohnesorg 2011. Vgl. außerdem Lang 1996, 111–113; Lang 2005, 30 f.; Lang 2007, 190.

⁹⁵³ Vgl. dazu Senff 2000, 35; Senff 2007, 321 f.; Kalaitzoglou 2008, 315 Anm. 1609.

⁹⁵⁴ Zu den Dach- und Ziegelformen vgl. die grundlegende Studie Winter 1993.

⁹⁵⁵ Vgl. Ohnesorg 1990, 188–192; Schneider 1990, 211–222; Zimmermann 1990, 223–233, bes. 226; Zimmermann 2005, 262–265 Abb. 66; Kalaitzoglou 2008, 310. 444 Nr. 792g Taf. 165; Ohnesorg 2011, 64–122.

⁹⁵⁶ Schädler – Schneider 2004, 16 f. 54 f. Nr. 18. 19 Abb. 22. 23 Taf. 12 zur Verkleidungsplatte; 21–26 zu Fabrikat (Gruppe A) und Herstellungstechnik.

⁹⁵⁷ Vgl. dazu Sauer 2004; Schädler – Schneider 2008, 256.

⁹⁵⁸ Schädler – Schneider 2004, 35–39; Schädler – Schneider 2008, 257. Kritisch zum stratigrafischen Zusammenhang dieses Tondachs vgl. außerdem Kerschner 2005b, 141 f.

1.C DIE KLEINFUNDE

Neben der Fülle an keramischem Material waren in den archaischen Siedlungsniveaus unter der Tetragonos Agora auch einige wenige Kleinfunde aus Metall und Elfenbein vergesellschaftet. Sie verteilen sich auf die Siedlungsphasen AG Phase II bis AG Phase IV.

1.C.1 Metallfunde

1.C.1.1 BRONZE

1.C.1.1.1 *Trachtbestandteile*

1.C.1.1.1a Fibeln

Fibeln aus Bronze gehören mit zu den am häufigsten aufgefundenen Trachtbestandteilen in archaischen Kontexten im westlichen Kleinasien. Besonders prominent sind dabei die Fibeln phrygischen Typs vertreten⁹⁵⁹, denen auch **Kat. 1836** angehört.

Die kleine Fibel **Kat. 1836** zeichnet sich durch fünf am rundstabigen Bügel aufgeschobene Kugelsegmente aus. Nur bei einem der seitlichen Segmente zeichnen sich die Spuren von einer das Kugelsegment möglicherweise rahmenden Scheibe ab, doch könnte dieser Eindruck auch der Korrosion geschuldet sein, was umso mehr wahrscheinlich ist, als nur eines der Kugelsegmente betroffen ist. Der Nadelhalter ist verbrochen, die Nadel fehlt.

Der Verbreitungsschwerpunkt der phrygischen Fibeln dieser Variante des Typs XII.14 nach C. Blinkenberg⁹⁶⁰ liegt mit Gordion, Hattuša, Alişar, Karalar und Pazarlı im anatolischen Kerngebiet des Phrygerreiches⁹⁶¹, während das ephesische Artemision als bislang einziger Fundort im Westen Anatoliens gilt⁹⁶². Von der Westseite des sog. Kroisostempels stammt außerdem eine annähernd vergleichbare Fibel aus Gold⁹⁶³. Mit **Kat. 1836** ist die Variante in Ephesos nun erstmals auch außerhalb des Artemisheiligtums nachgewiesen. Die engsten Vergleichsbeispiele zu **Kat. 1836** aus Gordion, Hattuša, Lindos und Ephesos werden zwischen dem ausgehenden 8. Jahrhundert und dem beginnenden 6. Jahrhundert datiert⁹⁶⁴; **Kat. 1836** ist über seine Vergesellschaftung in einem Bauhorizont der AG Phase IV spätestens am unteren Ende dieses Zeitrahmens einzuordnen.

1.C.1.1.1b Nadeln

Neben den Fibeln stellen Nadeln einen wichtigen, den Fibeln in ihrer Funktion verwandten Trachtbestandteil dar. Bei der Nadel **Kat. 833** aus den archaischen Siedlungsbefunden scheint es sich um ein bislang singuläres Stück zu handeln, das sich keinem kleinasiatischen oder festlandgriechischen Typus mit Bestimmtheit zuordnen lässt, dafür aber seinen nächsten Verwandten im

⁹⁵⁹ Zu den Fibeln phrygischen Typs s. Muscarella 1967; Boehmer 1972, 46–66; Caner 1983, 50–175; Klebinder-Gauß 2007, 37–41; Vassileva 2012, 111–122. Speziell zu der Chronologie phrygischer Fibeln vgl. auch Sams 2011, 63 f. Zu Fibeln phrygischen Typs in ionischen Kontexten vgl. beispielsweise Hogarth 1908, 148 Nr. 1–11 Taf. 17; Lamb 1934/1935, 151 f. Nr. 1–30 Taf. 31; Boardman 1967, 205 f. 210 f. Nr. 206–225 Abb. 138.

⁹⁶⁰ Blinkenberg 1926, 223–225.

⁹⁶¹ Vgl. dazu Muscarella 1967, 24 f.; Boehmer 1972, 62 f.; Caner 1983, 150–154.

⁹⁶² Vgl. Caner 1983, 153 Nr. 1067 Taf. 60; Klebinder-Gauß 2007, 62 f. 236 Nr. 203 Taf. 15.

⁹⁶³ Diese wurde erstmals von Bammer 1984, Abb. 101 bekannt gemacht. Vgl. auch Bammer 1988, 4 Abb. 4. Eine ausführliche Diskussion erfolgt bei Pülz 2009, 67. 228 f. Nr. 50 Taf. 12 Farbtaf. 8. Zum Einwirken phrygischen Metallhandwerks auf die lydische Goldschmiedekunst vgl. außerdem zusammenfassend Kerschner 2003a, 132.

⁹⁶⁴ Blinkenberg 1931, 88 Nr. 110 Taf. 8; Muscarella 1967, Nr. 74 Taf. 13 (Typ XII.14); Boehmer 1972, 64 Nr. 150 Taf. 8 (Typ XII.14); Sapouna-Sakellarakis 1978, 128 f. Nr. 1679 Taf. 53 (Typ XII Ak); Caner 1983, 150 f. Nr. 1045. 1047 Taf. 60 (Typ K I.1); 152 f. Nr. 1059–1070 Taf. 60 (Typ K I.2); Klebinder-Gauß 2007, 62 f. 236 Nr. 203 Taf. 15.

Artemision von Ephesos findet⁹⁶⁵. In seinen Einzelementen ist das Stück insgesamt durchaus gut einzuordnen.

Die Nadel **Kat. 833** weist mit dem flachen Scheibenkopf und dem unverzierten, rundstabigen Nadelstift typische Merkmale griechischer Nadeln archaischer Zeit auf. Die Kombination der Endscheibe mit einer quadratischen, gelochten Platte am Übergang vom Nadelstift in den Nadelkopf ist indes ungewöhnlich, finden sich an dieser Stelle doch meist ein oder mehrere Kugelsegmente⁹⁶⁶, während das genannte Vergleichsstück aus dem Artemision gerade dieses Element mit **Kat. 833** gemeinsam hat. Quadratische Platten sind darüber hinaus bei festlandgriechischen Nadeln mit Granatapfelkopf belegt⁹⁶⁷. Die Gestaltung des flachen Nadelkopfes durch ein radiales Ritzmuster steht ebenfalls einerseits den festlandgriechischen Pilzkopfnadeln spätgeometrischer bis früharchaischer Zeit nahe⁹⁶⁸, andererseits weist auch das Vergleichsstück aus dem Artemision an der Oberseite des hier kegelförmigen Nadelkopfes einen Ritzdekor auf, der mit jenem von **Kat. 833** unmittelbar übereinzustimmen scheint.

Die Nadel **Kat. 833** vereint Merkmale sowohl spätgeometrischer als auch archaischer Nadeln und dürfte daher nach formtypologischen Evidenzen problemlos in das 7. Jahrhundert zu datieren sein, wobei die Fundsituation im Bauhorizont des Töpfereibetriebs der AG Phase IIIb in die ersten beiden Drittel des 7. Jahrhunderts verweist. Im westlichen Kleinasien ist für diesen Zeithorizont mit den Gürteln phrygischen Typs⁹⁶⁹ darüber hinaus eine weitere Fundgruppe innerhalb der Bronzefunde Ioniens und insbesondere von Ephesos gegeben, für deren Griffbügel in einer Variante mit dem Nadelkopf **Kat. 833** vergleichbarer radialer Dekor bezeichnend ist⁹⁷⁰, und für die zuletzt G. Klebinder-Gauß eine lokale ephesische Produktion angedacht hat⁹⁷¹. Diese Annahme scheint durch die bislang ausschließlich in Ephesos sicher belegten Nadeln mit ritzverziertem Nadelkopf und durchlochter Scheibe nun zusätzlich an Wahrscheinlichkeit zu gewinnen. Zumindest für die Nadeln ist angesichts ihrer Fundkonzentration in Ephesos eine lokale Herstellung nicht unwahrscheinlich, wengleich mit nur zwei Exemplaren die Argumentationsbasis reichlich begrenzt ausfällt.

1.C.1.1.2 Schmuck

1.C.1.1.2a Ohrringe

Kat. 718 ist als Teil eines Bronzeohrings erkennbar. Es handelt sich um das bogenförmige Verschlussstück eines halbmondförmigen Ohrrings; der rundstabige Bogen des Steckers läuft am Übergang zu dem nicht mehr erhaltenen Zierteil flach aus.

Halbmondförmige Ohrringe gehören innerhalb der Bronzefunde aus dem Artemision zu den häufigsten Objekten. In der Klassifikation nach G. Klebinder-Gauß kann **Kat. 718** zwei unterschiedlichen Typenvarianten zugehörig gewesen sein⁹⁷², denen ein halbmondförmig gebogener, angeschwollener Zierteil und ein davon abgesetzter Stecker gemein ist. Vor allem die Variante mit plastischem Dekor und/oder Ritzdekor am Zierteil scheint dabei eine für Ephesos typische Spielart zu sein, die von anderen Fundplätzen nicht bekannt ist, weshalb G. Klebinder-Gauß

⁹⁶⁵ Vgl. Klebinder-Gauß 2007, 73. 240 Nr. 295 Taf. 21 mit einem Verweis (Anm. 496) auf ein weiteres, mündlich verbürgtes Vergleichsbeispiel aus Milet.

⁹⁶⁶ Dazu Kilian-Dirlmeier 1984, 208–262 (Typen A, B und C).

⁹⁶⁷ Vgl. Kilian-Dirlmeier 1984, 273. 277 (Typ F IIc).

⁹⁶⁸ Dazu Kilian-Dirlmeier 1984, 203–206.

⁹⁶⁹ Vgl. dazu Boardman 1961/1962; Boardman 1967, 214–221; Jantzen 1972, 49–53; Young 1981, 17–20. 147–153. 207 f. 236–239; Caner 1983, 198 f.; Kohler 1995, 207–210; Klebinder 2001; Klebinder-Gauß 2008, 150 Abb. 200. 201; Vassileva 2012, 122–124.

⁹⁷⁰ Vgl. beispielsweise Hogarth 1908, 151 f. Nr. 1 Taf. 19; Lamb 1934/1935, 149 Nr. 33 Taf. 31; Boardman 1961/1962, 181 Abb. 2; Boardman 1967, 217–219 Nr. 276–288 Abb. 142; Caner 1983, 197 Nr. G 12 Taf. 78; Nr. G 17–G 20 Taf. 79; Klebinder 2001, 113 Abb. 2. 3; Klebinder-Gauß 2007, 97. 262 Nr. 718–726 Taf. 48.

⁹⁷¹ Klebinder 2001, 118; Klebinder-Gauß 2007, 98.

⁹⁷² Klebinder-Gauß 2007, 84 f. 254–256 Nr. 588–603 Taf. 39 (Typ V.1.3 und Typ V.1.4).

eine lokale Produktion andenkt. Das Auftreten des Typs in der archaischen Siedlung scheint diese Annahme weiter zu erhärten und ihn mit **Kat. 718** aus einem Fundzusammenhang der AG Phase IIIb in die zweite Hälfte oder in das letzte Viertel des 7. Jahrhunderts zu datieren.

1.C.1.1.3 Waffen

1.C.1.1.3a Pfeilspitzen

Aus den Siedlungsbefunden unter der Tetragonos Agora wurden drei Pfeilspitzen geborgen, die sich zwei unterschiedlichen Typen zuordnen lassen. Gemeinsam ist beiden tendenziell kleinformatigen Typen die Schäftung mittels einer Tülle und die Tatsache, dass sie bislang nur aus Bronze gegossen belegt sind⁹⁷³.

Kat. 1212 repräsentiert den Typ zweiflügeliger, lanzettförmiger Tüllenpfeilspitzen ohne Seitendorn, die A. Snodgrass in seiner grundlegenden Studie zur griechischen Bewaffnung als Typ 3A1 klassifizierte⁹⁷⁴. Das Stück weist ein Loch in der gerundeten Mittelrippe auf, das entweder als Stiftloch zur besseren Befestigung der Pfeilspitze am Schaft diente oder aber als Gussfehler zu deuten ist. In Ephesos ist der Typ der lanzettförmigen Tüllenpfeilspitze ohne Seitendorn bislang nur aus einem spätarchaischen Grab vom oberen ›Staatsmarkt‹ belegt⁹⁷⁵; die entsprechenden Pfeilspitzen aus dem Artemision weisen einen Seitendorn auf⁹⁷⁶.

Kat. 1436 gehört dagegen dem Typ dreiflügeliger Tüllenpfeilspitzen ohne Seitendorn an, die bei A. Snodgrass unter Typ 3B1 zusammengefasst werden⁹⁷⁷. In Ephesos ist der Typ der dreiflügeligen Tüllenpfeilspitze bislang nur mit Seitendorn belegt⁹⁷⁸.

Von der dritten Pfeilspitze **Kat. 946** aus den archaischen Siedlungsbefunden hat sich nur der vorderste Teil der Spitze erhalten; eine Zuordnung zu einer der beiden Typen ist nicht möglich. **Kat. 946** stammt aus der untersten Pithosverfüllung und gibt wahrscheinlich noch die Nutzungszeit des Pithos an⁹⁷⁹.

Der Ursprung beider Typen, der lanzettförmigen wie auch der dreiflügeligen Tüllenpfeilspitzen, wird bei östlichen Reitervölkern angenommen⁹⁸⁰, durch deren Kontakt mit ihren westlichen Nachbarn die Verwendung von Pfeil und Bogen auch vermehrt in deren Kriegsführung Eingang gefunden haben dürfte. In Anatolien und Ionien scheinen beide Typen im 7. und 6. Jahrhundert und darüber hinaus etwa zeitgleich Verwendung gefunden zu haben, da sie im archäologischen Befund häufig gemeinsam auftreten⁹⁸¹. Die langen Tüllen der beiden ephesischen Exemplare **Kat. 1212** und **Kat. 1436** gelten dabei als typisches Merkmal noch der archaischen Pfeilspitzen, während der fehlende Seitendorn beide Stücke tendenziell schon in der fortgeschrittenen Archaik verortet⁹⁸². Dies ist mit der Vergesellschaftung unserer beiden Pfeilspitzen in Horizonten, welche das Ende der Agora-Siedlung AG Phase IV anzeigen, gut vereinbar, und steht im Einklang mit der bisher bekannten Fundevidenz aus Ephesos, wo die entsprechenden Pfeilspitzen in den Heiligtumsbefunden des 7. Jahrhunderts ausschließlich mit Seitendorn dokumentiert sind, während

⁹⁷³ s. Snodgrass 1964, 154.

⁹⁷⁴ Snodgrass 1964, 148–152 Abb. 10.

⁹⁷⁵ Vgl. Langmann 1967, 115 Nr. 6 Abb. 41 (Sarkophag 7).

⁹⁷⁶ Klebinder-Gauß 2007, 172–174. 271 Nr. 892–894 Taf. 86.

⁹⁷⁷ Snodgrass 1964, 148–152 Abb. 10.

⁹⁷⁸ Klebinder-Gauß 2007, 174. 272 Nr. 895 Taf. 86.

⁹⁷⁹ Damit wäre **Kat. 946** der einzige und sehr schwache Hinweis auf eine kriegerische Auseinandersetzung, wie sie P. Scherrer als Ursache der Brandzerstörung der Siedlung am Ende der AG Phase II angedacht hat. Vgl. dazu Scherrer – Trinkl 2006, 62.

⁹⁸⁰ Vgl. dazu Nicholls 1958/1959, 129–131; Boehmer 1972, 111–115; Klebinder-Gauß 2007, 172.

⁹⁸¹ Einen guten Überblick über die Datierung der Tüllenpfeilspitzen liefert Boehmer 1972, 109–115 mit Verweisen auf die ältere Lit. Wichtige und materialreiche Fundkontexte für Pfeilspitzen in Ionien und im westlichen Anatolien liegen mit den Zerstörungsbefunden von Smyrna und Sardeis vor. Vgl. dazu Nicholls 1958/1959, 128–134 für Smyrna und Cahill 2010a, 339–361 für Sardeis. Vgl. auch Klebinder-Gauß 2007, 172–174.

⁹⁸² Dazu Boehmer 1972, 114.

die spätarchaische Nekropole am ›Staatsmarkt‹ das bislang einzige Exemplar ohne Seitendorn erbrachte.

Während die chronologische Einordnung der Pfeilspitzen **Kat. 1212** und **Kat. 1436** damit gesichert ist, eröffnet sich die in der Forschung schon öfters thematisierte und weitaus weniger eindeutige Diskussion darüber, ob sich hinter den unterschiedlichen Typen von Pfeilspitzen auch unterschiedliche kulturelle und/oder ethnische Zugehörigkeiten ihrer Besitzer verbergen. Mit dieser Frage hat sich anlässlich der bezeichnenden Fundsituation in Smyrna erstmals R. V. Nicholls beschäftigt⁹⁸³. Seiner Interpretation einer tendenziell ›ethnischen‹ Zuordnung lanzettförmiger Pfeilspitzen an ein griechisch-ionisches und dreiflügeliger Pfeilspitzen an ein lydisches Milieu haben sich später andere Bearbeiter, wenn auch nicht vorbehaltlos, angeschlossen⁹⁸⁴. Der Versuch, materielle Hinterlassenschaften mit Ethnien zu verbinden, ist aus forschungsgeschichtlicher wie methodischer Sicht grundsätzlich problematisch⁹⁸⁵ und gerade in der Erforschung Kleinasien, wo in archaischer Zeit unterschiedliche Kulturen interagieren, gezwungenermaßen schon öfters an seine Grenzen gestoßen⁹⁸⁶.

Die ephesischen Siedlungsbefunde führen in dieser Frage daher verständlicherweise nicht weiter. Die beiden Pfeilspitzen **Kat. 1212** und **Kat. 1436** stehen in keinem erkennbaren Zusammenhang mit einer gewaltsamen Auseinandersetzung und obwohl sie aus jenen Niveaus stammen, welche das Ende der Agora-Siedlung angeben, gibt es keine Anzeichen dafür, dass diese Aufgabe die Folge einer kriegerischen Aktion gewesen wäre⁹⁸⁷. Vielmehr gehörten die beiden Pfeilspitzen sehr wahrscheinlich zu den zurückgelassenen Besitztümern der in der Siedlung Ansässigen, die offenkundig sowohl lanzettförmige als auch dreiflügelige Pfeilspitzen verwendeten. Dies ist in Anbetracht der heterogenen Zusammensetzung auch des keramischen Inventars, welches die Öffnung der archaischen Siedlung gegenüber ihren Nachbarregionen belegt, und der entsprechenden Reichweite der Funde im nahen Artemisheiligtum, nicht weiter überraschend. Keineswegs aber kann es, selbst vor dem Hintergrund der smyrnäischen Befunde, als hinreichendes Argument dafür angesehen werden, dass in der Siedlung unter der Tetragonos Agora in der ersten Hälfte des 6. Jahrhunderts Lyder ansässig gewesen wären. Gewiss ist die Präsenz von Lydern in Ephesos angesichts der literarisch überlieferten dynastischen Verstrickung der lydischen Mermnaden mit den ephesischen Machthabern im 7. Jahrhundert⁹⁸⁸ sowie des intensiven Bemühens der Lyderkönige und besonders des Kroisos um das ephesische Artemision⁹⁸⁹ durchaus denkbar und wird durch die zahlreichen lydischen und lydisierenden Weihungen im Artemision als Ausdruck enger Kontakte im Bereich von Handwerk und Kunsthandwerk auch von archäologischer Seite her argumentierbar⁹⁹⁰. Aber selbst wenn man vor diesem speziellen ephesischen Hintergrund mit R. V. Nicholls die dreiflügelige Pfeilspitze **Kat. 1436** als typisch lydische Variante der Tüllenpfeilspitzen anerkennen möchte, erschließt sich daraus nicht zwangsläufig die ethnische Zugehörigkeit ihres einstigen Besitzers oder der Nachweis von lydischen Bewohnern in der archaischen Siedlung unter der Tetragonos Agora (s. auch u. die Diskussion Kap. 2.B.3).

Neben dem kriegerischen Aspekt hatten Pfeilspitzen in manchen Regionen, etwa dem Schwarzmeerraum, darüber hinaus auch eine prämonetäre Dimension. Besonders für die miletische Kolonie Istros und ihre umliegenden Siedlungen wurde für das 6. Jahrhundert, und damit

⁹⁸³ Vgl. Nicholls 1958/1959, 128–134. s. auch Cook – Nicholls 1998, 136 f. Kritisch äußert sich Mac Sweeney 2013, 25 f.

⁹⁸⁴ Vgl. etwa Kleiner u. a. 1967, 135–138; Boehmer 1972, 114 f. s. außerdem dazu Greenewalt 1997, 6–8; Klebinder-Gauß 2007, 173 Anm. 1204; Cahill 2010a, 352. 570.

⁹⁸⁵ Vgl. den kompakten Überblick bei Gassner 2003, 235–239 mit weiterer Lit.

⁹⁸⁶ Zuletzt hat Kerschner 2003a, 127 f. und bes. 141 die Situation treffend zusammengefasst.

⁹⁸⁷ Vgl. im Gegensatz dazu Cahill 2010e, 483. 486 zu der Befundsituation von Häusern in Sardeis, die im mittleren 6. Jh. eine gewaltsame Zerstörung erfuhr.

⁹⁸⁸ Der ephesische Tyrann Meleas war ein Schwiegersohn des Lyderkönigs Alyattes. Vgl. Karwiese 1995, 30; Knibbe 1998, 81.

⁹⁸⁹ Hdt. 1, 92; Paus. 7, 2. 7. Vgl. auch Kerschner 2010a, 258–261; Kerschner 2017c, 52–56. 58–60.

⁹⁹⁰ Zusammenfassend hat sich dazu zuletzt Kerschner 2005a, 129–141; Kerschner 2008d; Kerschner 2010a geäußert.

etwa zeitgleich zu den ephesischen Stücken, ein solch prämonetärer Charakter von Pfeilspitzen postuliert⁹⁹¹.

1.C.1.1.4 Objekte unbestimmter Funktion

Bei **Kat. 706** handelt es sich um ein annähernd halbkreisförmiges Objekt; die Unterseite ist geplättet, an der Oberseite zeigen sich unregelmäßige, teils knobbenartige Profilierungen, die aber nicht sinnvoll zu einem konkreten Bildinhalt ergänzt werden können. Möglicherweise handelt es sich bei **Kat. 706** um eine Verschlussplombe. Die zweite Möglichkeit eines Siegels ist für **Kat. 706** hingegen eher auszuschließen; Siegel sind regelmäßiger gearbeitet, lassen an der Bildseite meist einen konkreten Dekor erkennen und weisen anders als **Kat. 706** an der Rückseite eine Gestaltung auf, welche die funktionale Handhabung erleichtert.

Ein zweites nicht näher bestimmtes Objekt liegt mit **Kat. 707** ebenfalls aus einem Bodenniveau der AG Phase III vor. Es scheint sich um das Endstück eines an einer Seite abgeflachten Gegenstandes zu handeln, der in einen oval verdickten Wulst ausläuft und sich auch zur Bruchstelle hin wiederum verdickt.

Bei **Kat. 1325** handelt es sich um ein stark korrodiertes Objekt mit länglicher Grundform und einer mittigen Durchbohrung. Von der ursprünglichen Oberfläche hat sich nichts erhalten, doch scheint das Artefakt länger gewesen zu sein, als es breit war und lässt sich damit mit den aus dem Artemision bekannten doppelkonischen Perlen in Verbindung bringen⁹⁹². Ungewöhnlich für eine Perle ist jedoch die nicht runde, sondern quadratische Durchbohrung, die eher an einen Aufsatz denken lässt, der an einem Stift aufgebracht werden konnte. Das Stück stammt aus einem Zerstörungsbefund der AG Phase IV und datiert damit in die erste Hälfte des 6. Jahrhunderts.

Kat. 1711 lässt sich ebenfalls nicht mit Sicherheit bestimmen. Es handelt sich um ein annähernd dreieckig geformtes Bronzeplättchen mit leicht konvex gewölbter Unterkante und leicht konkav einziehenden Seiten. An einem Ende verdickt sich das sonst platte Objekt zu einem rundstabigen Querschnitt, der an einen Griffdorn erinnert. Die Funktion von **Kat. 1711** bleibt unklar und das ursprüngliche Objekt lässt sich nicht erschließen. Möglicherweise ist **Kat. 1711** als Teil eines Anhängers zu verstehen. So sind etwa ähnlich geformte Objekte als Kopfbekrönung von Vogelanhängern bekannt⁹⁹³. Das Stück stammt aus einem Horizont, der den Bau und die Nutzung der AG Phase IV angibt.

1.C.1.2 EISEN

1.C.1.2.1 Waffen/Nutzgerät

Die beiden Artefakte aus Eisen befanden sich in einem stark korrodierten Zustand, der auch nach der Restaurierung durch M. Eser eine genaue Ansprache nur in einem Fall erlaubte.

1.C.1.2.1a Messer

Messer gehören neben Speerspitzen, Schwertklingen und diversen Gerätebestandteilen zu dem üblichen Eiseninventar archaischer Fundkontexte im westlichen Kleinasien⁹⁹⁴. In ihrer möglichen Verwendung als Haushaltsgerät, landwirtschaftliches Nutzwerkzeug und Waffe sind Messer multifunktional einsetzbar und lassen sich im archäologischen Befund schwer auf nur einen bestimmten Zweck festlegen.

⁹⁹¹ Vgl. dazu Preda – Nubar 1973, 17–19 Taf. 1; Bîrzescu 2012b, 84 Abb. 14. Vgl. außerdem Čistov 2005, 119 Nr. 209, 210.

⁹⁹² Vgl. Hogarth 1908, 151 Nr. 44, 45 Taf. 18; Klebinder-Gauß 2007, 109–111, 264 f. Nr. 761–772 Taf. 54, 55, s. auch Blinkenberg 1931, 97 Nr. 171 Taf. 10.

⁹⁹³ Vgl. Klebinder-Gauß 2007, 127–129, 266, 267 Nr. 804, 811 Taf. 60, 61; Klebinder-Gauß 2008, 150 Abb. 125.

⁹⁹⁴ Vgl. Boardman 1967, 229–232; Goldman 1963, 359–367; Waldbaum 1983.

Bei **Kat. 257** aus dem jüngeren Bodenhorizont im Gebäude VG der AG Phase II handelt es sich um eine im Querschnitt annähernd dreieckige Messerklinge mit geradem, kantigem Rücken und bogenförmiger Schneide, die ohne Absatz in die Griffhalterung übergeht. Der Übergang von der Klinge in den Messergriff scheint allerdings durch eine Biegung akzentuiert zu sein, jedoch ist dies aufgrund des schlechten Erhaltungszustands nicht mit Sicherheit zu behaupten. Ebenso wenig lässt sich bestimmen, ob der Messergriff als Griffdorn, als Griffzunge oder als Griffplatte angelegt war. Das Vorkommen jeder dieser drei Varianten ist für das archaische Ionien bereits erwiesen⁹⁹⁵.

Vergleichbare Messerklingen sind in Chios für das 7. Jahrhundert belegt und bereits in Kontexten der ersten Jahrhunderthälfte nachgewiesen⁹⁹⁶, was mit der Fundsituation von **Kat. 257** in der AG Phase IIb in einem Befund des fortgeschrittenen zweiten Viertels des 7. Jahrhunderts gut übereinstimmt.

1.C.1.2.2 Anderes

Mit **Kat. 258** liegt neben dem Messer **Kat. 257** ein zweites Eisenobjekt im selben Befund vor; eine genaue Ansprache ist aufgrund des schlechten Erhaltungszustands nicht möglich. Es handelt sich bei **Kat. 258** um ein massives, längliches Objekt mit rechteckigem Querschnitt, möglicherweise der Bestandteil vom Griff eines nicht näher definierbaren Geräts⁹⁹⁷, wobei auch ein Messergriff in Frage kommt.

Von den Eisenobjekten **Kat. 247**, **Kat. 976** und **Kat. 1712** haben sich nur noch stark korrodierte Klumpen erhalten, die sich nicht mehr einordnen lassen und die einen guten Eindruck davon vermitteln können, wie auch **Kat. 257** und **Kat. 285** vor der Restaurierung ausgesehen haben. Sie liegen im Benützungshorizont der AG Phase IIa, im Zerstörungshorizont der AG Phase IIIb und im Bauhorizont der AG Phase IV vor und bezeugen damit das Vorkommen eiserner Gegenstände in allen Phasen und Bereichen (VG, Töpfereibetrieb, HA 10) der Agora-Siedlung.

1.C.2 Andere Kleinfunde

Die nichtmetallischen Kleinfunde aus den archaischen Siedlungsbefunden unter der Tetragonos Agora beschränken sich auf zwei Artefakte aus Elfenbein.

1.C.2.1 ELFENBEIN

Aus Elfenbein gearbeitete Gegenstände gehörten aufgrund ihres exotischen Materials in der Antike mit zu den kostbarsten Luxusgütern. In Ephesos zählen Elfenbeine neben den Objekten aus Edelmetallen, allen voran jenen aus Gold, den Elektronmünzen und den Bernsteinen zu jenen Fundgattungen, die das archaische Artemision besonders auszeichnen. In der archaischen Siedlung unter der Tetragonos Agora fanden sich zwei Fragmente von aus Elfenbein gefertigten Gegenständen.

1.C.2.1.1 Trachtbestandteile

1.C.2.1.1a Nadeln

Kat. 974 lässt sich zu einer Elfenbeinnadel mit im oberen Bereich des Nadelstifts halbkreisförmigem Querschnitt ergänzen. Elfenbeinnadeln finden sich im gesamten ionischen Raum und weit dar-

⁹⁹⁵ Vgl. Boardman 1967, 227; de La Genière – Jolivet 2003, 106 Nr. 5. 7 Abb. 36 (Bronze).

⁹⁹⁶ Vgl. Boardman 1967, 231 Nr. 457. 459 Abb. 151.

⁹⁹⁷ Zu Gerätegriffen mit rechteckigem oder quadratischem Querschnitt vgl. Boardman 1967, 231 Nr. 455. 476 Abb. 151. 152.

über hinaus verbreitet; in Form der Gewandnadel erzielte das wertvolle Elfenbein seine wohl größte Reichweite auch über die unmittelbaren Gesellschaftsspitzen hinaus. In Ephesos ist eine Vielzahl an Gewandnadeln aus Elfenbein aus dem Artemision belegt, wobei sich in der Gestaltung der Nadelköpfe eine große Bandbreite an Typen und Varianten abzeichnet⁹⁹⁸. Für **Kat. 974** kann aufgrund der Erhaltung nur des unteren Teils des Nadelstifts keine typologische Eingrenzung vorgenommen werden; der Fundzusammenhang am Ende der AG Phase IIIb datiert das Stück in das 7. Jahrhundert.

1.C.2.1.2 Anderes

Mit **Kat. 341** liegt das zweite Elfenbeinfragment aus der archaischen Siedlung vor. Es handelt sich um das kleine Eckfragment eines rechtwinkligen Objekts mit gerade abgearbeiteten Seitenflächen und einer ebenso geraden Oberseite; die Unterseite ist komplett verbrochen, weshalb keine weiteren Maßangaben zur Höhe des ursprünglichen Objekts möglich sind. Die erhaltenen Oberflächen, die Spuren einer Brandeinwirkung zeigen, sind poliert und weisen keinen Dekor auf. Wahrscheinlich ist **Kat. 341** zu einer rechteckigen oder quadratischen Elfenbeinplakette zu ergänzen, wie sie als Zierbeschläge, etwa für Möbel, aus Ionien und Anatolien vielfach dokumentiert sind. Auch im Artemision von Ephesos gehören Elfenbeinplaketten, häufig mit eingeritztem und seltener mit plastischem Dekor, zum bekannten Inventar des 7. Jahrhunderts⁹⁹⁹. **Kat. 341** ist über seine Vergesellschaftung in einem Zerstörungsbefund der AG Phase II noch in das zweite Viertel bzw. in die Mitte des 7. Jahrhunderts zu datieren.

⁹⁹⁸ Vgl. Hogarth 1908, 187 f. Taf. 33. 34; Seipel 2008, 248 Nr. 152–156.

⁹⁹⁹ Vgl. Hogarth 1908, 195 f. Nr. 4. 10. 14. 17 Taf. 30; Nr. 1–3. 17. 20 Taf. 31; Nr. 1–4. 13 Taf. 39; Nr. 22–26 Taf. 40; Bammer 1988, 10 Abb. 14; Muss 2008c, 109 Abb. 55; Seipel 2008, 242–244 Nr. 133–138.

1.D DIE KONTEXTE

1.D.1 Absolute Chronologie der Bauphasen: Stratigrafie und Keramik

Die archaischen Siedlungsobjekte unter der Tetragonos Agora lassen sich insgesamt vier archaischen Phasen und sechs Subphasen zuordnen, deren chronologische Einordnung sich aus der Stratigrafie gemeinsam mit dem keramischen Inventar erschließt. Im Folgenden wird die chronologische Einordnung der einzelnen Befunde, die eingangs in den Kapiteln 1.A.2–1.A.4 im Überblick dargestellt wurde, erneut thematisiert, wobei das Hauptaugenmerk nunmehr auf der ausführlichen Darlegung der Beziehung zwischen den beiden maßgebenden Datierungsindikatoren, der Befundstratigrafie und der vergesellschafteten Fundkeramik, wie sie im Kapitel 1.B diskutiert wurde, liegt.

1.D.1.1 AG PHASE I

1.D.1.1.1 Holzpfostenbau VZ

Die Überreste der ältesten Siedlungsphase unter der Tetragonos Agora (Plantaf. 3. 18. 20) schließen direkt an den natürlich anstehenden Boden an und befinden sich stratigrafisch unter dem Nutzungsniveau des Gebäudes VG, welches der ersten Steinbauphase angehört. Von dieser ältesten Besiedlung haben sich ein über dem gewachsenen Boden liegendes Lehmniveau mit Kulturresten, Pfostenlöcher und eine in den Boden eingetiefte Feuerstelle erhalten. In dem kleinen Ausschnitt, in dem diese älteste Besiedlung angetroffen wurde, fanden sich weder für das Gehniveau noch für die aufgehenden Wände Hinweise auf eine zugehörige Steinarchitektur. Umgekehrt verweisen die angetroffenen Pfostenlöcher auf eine Holzarchitektur, wie sie auch noch für die nachfolgende erste Steinbauphase AG Phase II, wahrscheinlich für die Dachkonstruktion zu den Gebäuden AZ 10 und VG, nachgewiesen ist. Eine funktionale Zuordnung der Pfostenlöcher zu Dach oder Wand lässt sich für VZ nicht vornehmen, da sich ihre Position in der ursprünglichen Struktur, deren Gestalt und Ausdehnung völlig ungeklärt bleiben, nicht erschließt.

Die wenigen aussagekräftigen Keramikfragmente aus den Befunden des Holzpfostenbaus VZ lassen sich zwischen der spätgeometrischen und der früharchaischen Zeit eingrenzen. Die korinthisierende Kotyle **Kat. 1** sowie die beiden Kotylen **Kat. 2** und **Kat. 3** datieren gemeinsam mit der steilwandigen Tasse **Kat. 4** ab der mittleren zweiten Hälfte des 8. Jahrhunderts, verzeichnen jedoch ebenso wie das Kännchen **Kat. 6** Laufzeiten bis in das mittlere 7. Jahrhundert. Auch das Kraterfragment **Kat. 5** mit seinem bereits subgeometrischen Dekor verweist auf eine Nutzung erst in der ersten Hälfte des 7. Jahrhunderts.

1.D.1.2 AG PHASE II

1.D.1.2.1 Mauersockel AZ 10

Im Nordwesten des ergrabenen Areals unter der Tetragonos Agora wurde unterhalb des späteren Baus NB ein älterer, von Osten nach Westen laufender Mauersockel AZ 10 angetroffen (Plantaf. 4. 5). Dieser Mauer ist ein Feinschotterniveau mit Pfostenlöchern zugeordnet, das bis auf den anstehenden Boden reicht (Plantaf. 30). Das keramische Material aus diesem Bodenniveau ist deutlicher als in den anderen Strukturen noch in geometrischen Traditionen verwurzelt, die jüngsten Gefäße wie die Kanne **Kat. 21** gehören jedoch schon in das 7. Jahrhundert. Das Material aus den asche- und holzkohlehältigen Zerstörungsniveaus zur Mauer AZ 10 zeigt mit der Knickrandschale **Kat. 41**, mit der Tasse mit konkaver Wandung **Kat. 45** sowie mit der orientalisierenden Kanne **Kat. 60** schließlich deutlich das zweite Viertel des 7. Jahrhunderts als Benützungszeit bzw. Zerstörungszeitpunkt des Gebäudes zu AZ 10 auf.

1.D.1.2.2 Mauersockel AZ 9 (Gebäude PB)

Östlich von AZ 10 wurde im Grundwasser unter dem späteren Gebäudeteil MB 2 ein weiterer, von Osten nach Westen verlaufender Mauersockel AZ 9 angetroffen (Plantaf. 4. 5). Im Verhältnis zu AZ 10 ist dieser leicht nach Norden versetzt. Auch der Mauer AZ 9 ist ein Schotterboden zugeordnet, der sich niveaugleich im Osten bis unter den Hof HA 1 erstreckt (Plantaf. 9. 10. 12). Die Ausdehnung des Gebäudes PB, dem die Mauer AZ 9 angehört, lässt sich nicht bestimmen, weshalb letztlich ungeklärt bleiben muss, ob die östlichen Ausläufer des Schotterniveaus dem Innenraum des Gebäudes PB angehörten oder das zugehörige Außenniveau bildeten, wie es in den nachfolgenden Bauphasen für diesen Bereich der Siedlung belegt ist. Südlich der Mauer AZ 9 zeigte das Schotterniveau jedoch einen gelben Lehmbeschlag. Die stratigrafische Trennung der beiden Niveaus, Schotter und Lehm, konnte aufgrund der Grabungsumstände im Grundwasser nicht immer mit der nötigen Konsequenz erfolgen, weshalb auch im keramischen Befund eine eindeutige chronologische Abfolge nicht fassbar wird. Wahrscheinlich wurde die Schotterschicht als ausgleichender Unterbau für den gelben Lehmbeschlag im Inneren des Gebäudes PB eingebracht. Im gelben Lehm Boden zeichneten sich während der Grabung außerdem Abdrücke von Holzplanken ab; damit verfügte das Gebäude PB über einen dreiteiligen Fußbodenaufbau, bei dem über einer ausgleichenden Schotterschicht ein Lehmbeschlag aufgetragen war, der seinerseits als Bettung für einen Holzplankenboden fungierte. Man wird mit größter Wahrscheinlichkeit annehmen dürfen, dass dieser Holzboden im Gebäudeinneren zu lokalisieren ist, das demnach südlich der Mauer gelegen haben dürfte.

Die Gefäßkeramik aus dem Brandzerstörungsschutt und dem Stein- bzw. Lehmziegelversturz der Mauer AZ 9 oberhalb des die Nutzungszeit definierenden Schotter- und Lehmnieaus bestätigt mit der Vogelschale **Kat. 98** und den Tassen **Kat. 99–Kat. 101** die Nutzung und Zerstörung von PB im zweiten Viertel des 7. Jahrhunderts.

1.D.1.2.3 Ovalbau OB

Südlich der Mauer AZ 9 erstreckt sich der Ovalbau OB (Plantaf. 4. 5). Im Osten und Westen wurden die Grundmauern im Zuge der Nachfolgebebauung teilweise zerstört und sind in ihrem Verlauf nur noch im Negativbefund der Ausrissgruben fassbar. Der Innenboden des Ovalbaus wurde bei den Grabungen im Grundwasser nicht mehr angetroffen, doch können auf dem anstehenden Boden anschließende lehmige Außenniveaus nördlich und östlich von OB mit der Nutzung des Ovalbaus in Verbindung gebracht werden (Plantaf. 9–12. 21. 25). Angesichts der grundrisstypologischen Besonderheiten (s. u. Kap. 1.D.2.2) und dem Nachweis einer der AG Phase II vorangehenden Siedlungsphase unter dem westlich benachbarten Gebäude VG (s. o. Kap. 1.D.1.1.1) wird man für das Gebäude OB über eine möglicherweise weiter in geometrische Zeit zurückreichende Datierung nachdenken müssen. Die angetroffene Stratigrafie und das keramische Fundspektrum können eine solche aber nicht verifizieren. Die jüngsten datierenden Gefäße, die Tassen **Kat. 130** und **Kat. 131** sowie die Kratere **Kat. 134** und **Kat. 135**, verweisen für die Errichtung des Ovalbaus OB ebenso wie für die umliegenden Gebäude der AG Phase II auf den Zeitraum zwischen dem zweiten Viertel und der Mitte des 7. Jahrhunderts.

Das Material aus den Zerstörungsbefunden und Stein- wie Lehmziegelverstürzen der Wände von OB innerhalb und außerhalb des Gebäudes bekräftigen mit den Vogelschalen **Kat. 161** und **Kat. 162**, den Tassen **Kat. 170–Kat. 175** und der Tierfrieskanne **Kat. 206** denselben Datierungsansatz für die Nutzung des Ovalbaus, der sich schon in den zugehörigen Außenniveaus abzeichnete¹⁰⁰⁰.

¹⁰⁰⁰ Das orientalisierende Tellerfragment **Kat. 193** ist in diesem Zusammenhang als das Ergebnis einer nicht gänzlich geglückten stratigrafischen Trennung zu verstehen, mit der bei komplexen Stratigrafien und kleinräumigen Ausgrabungen unterhalb des Grundwasserspiegels wie im Falle der Agora-Siedlung mitunter zu rechnen ist.

1.D.1.2.4 Holzpfostenbau VG

Südwestlich des Ovalbaus OB überlagert der einräumige Rechteckbau VG die Befunde des Holzpfostenbaus VZ aus AG Phase I (Plantaf. 4. 5). Die Sockelmauern haben sich bis auf die im Zuge der Nachfolgebebauung teilweise ausgerissene Nordmauer an allen vier Seiten erhalten. Im Gebäudeinneren liegt ein massives Schotterniveau, welches die Befunde der Vorgängerbebauung VZ überdeckt (Plantaf. 18–20). Östlich davon schließt ein lehmiges Außenniveau höhen- gleich an den Schotterboden an. Der dunkelgrundige Skyphos **Kat. 238** und der Krater **Kat. 239** datieren dieses Außenniveau von VG zwischen das mittlere 8. und das mittlere 7. Jahrhundert. In den Schotterboden im Gebäudeinneren sind drei runde Pfostengruben annähernd desselben Durchmessers eingetieft, welche den Raum in seiner Längsachse mittig teilen; die beiden westlichen Pfostengruben liegen in einer Flucht, während die östliche Grube nach Süden versetzt ist. Schon der Ausgräber P. Scherrer hat in dieser Konstruktion die Zeugnisse eines Firstdaches erkannt¹⁰⁰¹.

In einem zweiten Schritt wurde über dem Schotterniveau ein gelbes Lehmniveau aufgebracht, welches auch die drei Pfostengruben verfüllt, die damit außer Funktion gekommen zu sein scheinen. Damit stellt sich freilich die Frage, welche Dachkonstruktion für die gelbe Lehmbo- denphase denkbar ist. Der keramische Befund belegt durch die Vogelschale **Kat. 251** auch für die zweite Periode des Gebäudes VG eine Nutzung im zweiten Viertel des 7. Jahrhunderts, die orientalisierende Vogelschüssel **Kat. 250** stellt darüber hinaus das einzige Gefäß dieser Stil- entwicklung in einem Nutzungshorizont der AG Phase II dar und verdeutlicht gemeinsam mit der Steilwandschüssel **Kat. 253** die relative Nachzeitigkeit dieses jüngeren Bodenniveaus. Die Abfolge, die sich im Fall von VG also in der Stratigrafie deutlich abzeichnet und mit den aufge- gebenen Pfostenstellungen sogar auf einen strukturellen Wandel in der Architektur des Gebäudes hinweist, findet damit auch im keramischen Befund einen chronologischen Niederschlag.

Dieser Umstand bleibt weniger verwunderlich, wenn man die Gefäßkeramik aus der Brand- zerstörungsschicht und dem Mauerversturz berücksichtigt, deren datierende Vertreter **Kat. 270** und **Kat. 271** das Ende des Gebäudes VG ebenfalls in das zweite Viertel bis spätestens in das mittlere 7. Jahrhundert setzen. Beide Bauperioden in VG sind demnach auf das zweite Viertel des 7. Jahrhunderts einzugrenzen. Eine chronologisch feinere Aufschlüsselung als in Jahrhun- dertvierteln ist für die ostgriechische Feinkeramik bisher kaum möglich und bei der geringen Anzahl datierender Keramik aus den vorliegenden Befunden auch nicht zu erwarten. Dass die Trennung des Brandzerstörungshorizonts zu VG von der Kulturschicht zum Holzpfostenbau VZ der Vorgängerphase dabei nicht immer möglich ist, kann insofern verschmerzt werden, als sich zumindest im Gebäudeinneren mit dem Schotterboden beide Bauphasen stratigrafisch deutlich voneinander abgrenzen lassen, während sich in der Gegenüberstellung der chronologischen Indi- katoren im keramischen Befund keine deutliche Abfolge ablesen lässt. Beide Gebäude, VZ und VG, scheinen mithin in einem sehr eng gefassten Zeitraum aufeinander gefolgt zu sein.

1.D.1.2.5 Mauern AZ 1 und AZ 2

Südwestlich von VG wurden die kurzen Abschnitte zweier von Osten nach Westen verlaufender Mauern angetroffen (Plantaf. 5), deren Verhältnis zueinander im Detail genauso unklar bleibt wie Gestalt und Ausdehnung der Architektur, der sie angehörten. Im Bereich der beiden Mauerzüge zeichnet sich je ein gelber Lehmbo- den ab, der jenem der zweiten Bauperiode in VG vergleichbar scheint. Nördlich von AZ 1 lag im gelben Lehmbo- den eine Feuerstelle aufgebracht, womit AZ 1 als Teil einer südlichen Außenmauer eines Gebäudes angesprochen werden kann (Plantaf. 15. 16). Demzufolge dürfte AZ 2 einem zweiten Gebäude zugehörig gewesen sein. Die datierende Tasse **Kat. 304** aus dem Umfeld der Feuerstelle zeigt für AZ 1 eine mit dem Bau VG zeitglei- che Nutzung im zweiten Viertel des 7. Jahrhunderts an. Die Zerstörungshorizonte über dem

¹⁰⁰¹ Scherrer – Trinkl 2006, 62 Faltpfan 1.

teils verbrannten Lehm Boden enthalten neben spät- und subgeometrischen Trinkgefäßen mit der Vogelschale **Kat. 317** und der orientalisierenden Tasse **Kat. 318** zwei Gefäße, welche die Aufgabe der Strukturen in das mittlere 7. Jahrhundert datieren, ein Ansatz, der durch die Steilwandschüssel **Kat. 326** sowie den Teller auf hohem Fuß **Kat. 330** bekräftigt wird. Diese jüngsten Gefäße verteilen sich in den Befunden beider Mauersockel, wodurch die Gleichzeitigkeit der beiden Strukturen auch über ihr keramisches Inventar gesichert zu sein scheint.

1.D.1.2.6 Gebäude UB

Südöstlich von VG liegt mit UB ein weiteres einräumiges Gebäude, welches die Nord-Süd-Fluchten des im Norden den Ovalbau überlagernden Gebäudes MB der Nachfolgephase vorwegnimmt (Plantaf. 4. 5). Abgesehen von den Mauersockeln (Plantaf. 21–25) haben sich keine Befunde aus der Benützungszeit des Bauwerks erhalten. Die chronologische Einordnung beruht auf der Gefäßkeramik, die in den Zerstörungsbefunden unterhalb der Nachfolgebebauung HA 9 vergesellschaftet war (Plantaf. 20–25). Neben der großen Anzahl spät- und subgeometrischer Trinkgefäße finden sich mit der Tasse **Kat. 361**, dem Krater **Kat. 363** und dem Teller auf hohem Fuß **Kat. 373** Gefäße, die tendenziell seit dem mittleren 7. Jahrhundert eingeordnet werden. Im Bereich nördlich und westlich von UB bleibt mitunter unklar, ob die Zerstörungsbefunde tatsächlich diesem Bau UB zugeordnet werden müssen oder ob eine Vermischung mit dem Zerstörungsbefund des Ovalbaus OB und mit jenem des Gebäudes VG vorliegt, wie es die Anpassungen im Gefäßrepertoire aufzeigen (**Kat. 407**). Da die datierenden Gefäße jedoch aus Kontexten im Gebäudeinneren stammen, kann ihre Gültigkeit für die Aufgabe von UB als gesichert angesehen werden. Nachdem diese außerdem zeitgleich mit der Aufgabe von OB und von VG erfolgte, ergibt sich zumindest für die chronologische Auswertung kein gravierendes Problem, während für die kontextuelle Analyse (s. u. Kap. 1.D.2) die unklare Abgrenzung von UB vor allem zu OB zu thematisieren sein wird.

1.D.1.2.7 Gebäude XB

Ganz im Osten der ergrabenen Siedlungsfläche unter der Tetragonos Agora liegt das wahrscheinlich ebenfalls einräumige Gebäude XB mit wiederum rechteckigem Grundriss, dessen östliche Begrenzung außerhalb der Grabungsgrenze liegt (Plantaf. 4. 5). Die Sockelmauern zu XB setzen direkt am anstehenden Boden auf (Plantaf. 26, Profil HA 11/7). Die wenigen Gefäßfragmente über dem gewachsenen Boden und im Schotterhorizont darüber datieren den Bau und die älteste Nutzung des Gebäudes mit **Kat. 413** in das zweite Viertel des 7. Jahrhunderts.

Über dem Schotterhorizont wurde in einem zweiten Schritt ein roter Lehm Boden aufgebracht, der sich im Gebäudeinneren nur sehr ausschnitthaft an wenigen Stellen fassen lässt, etwa nördlich der später eingebauten Nordmauer von HA 11b (Plantaf. 27, Profil HA 11/9) oder als nördlich dem Gebäude XB vorgelagertes, deutlich erkennbares Außenniveau, das in diesem Bereich ohne Schotterunterbau direkt auf dem gewachsenen Boden aufliegt (Plantaf. 27, Profil HA 11/10a+b). Das jüngste der drei Gefäßfragmente aus dem roten Lehm Boden, die Tasse **Kat. 421**, datiert dieses Nutzungsniveau ebenfalls in das zweite Viertel des 7. Jahrhunderts. Aus dem keramischen Befund geht daher nicht hervor, ob die stratigrafische Zweiphasigkeit in XB zwei Nutzungsperioden widerspiegelt wie in Gebäude VG oder ob hier in dem Schotterboden ein ausgleichender Unterboden zu dem roten Lehm Boden als eigentliches Nutzungsniveau gegeben ist, wie es auch für das Gebäude PB bei der Mauer AZ 9 glaubhaft gemacht werden kann. Der fehlende Schotterunterbau im Norden könnte ein Argument für die zweite Möglichkeit sein.

Die Zerstörungshorizonte mit Stein- und Lehmziegelverstürzen sind wie in den bereits oben besprochenen Siedlungsobjekten stark mit Asche und Holzkohle versetzt. Die jüngsten Gefäße darin, die Knickrandschalen **Kat. 433** und **Kat. 434** sowie die Tassen **Kat. 437–Kat. 439** bestätigen die Nutzung des Gebäudes im zweiten Viertel des 7. Jahrhunderts. Der Befund liefert mit **Kat. 435** außerdem ein weiteres positives Argument für den kürzlich von U. Schlotzhauer

vorgeschlagenen frühen Datierungsansatz für die Knickrandschalen vom Typ 8 noch vor oder spätestens um die Mitte des 7. Jahrhunderts¹⁰⁰².

1.D.1.3 AG PHASE III

1.D.1.3.1 Mauern AZ 6/AZ 11/AZ 12 (Gebäude YB)

Die von Norden nach Süden verlaufende Mauer AZ 6 (Plantaf. 6) zum Gebäude YB befindet sich östlich von UB und nimmt die Ausrichtung des weiter im Osten gelegenen älteren Gebäudes XB auf. Der Ausgräber P. Scherrer ordnete diesen Mauerzug zunächst vorläufig der auf AG Phase II nachfolgenden Bauphase zu¹⁰⁰³. Die Tatsache, dass die Mauer AZ 6 nicht direkt am gewachsenen Kalkrotlehm aufsetzt, scheint diese Annahme zu bestätigen (Plantaf. 26, Profil HA 11/1; 28, Profil HA 11/16; 29, Profil HA 11/21). Im Gesamtplan der Mauerzüge¹⁰⁰⁴ zeigt sich umgekehrt, dass AZ 6 nicht in das Ensemble der Hofhäuser der AG Phase IV eingebunden ist, also älter sein muss als diese. Gleichzeitig ist es schwer vorstellbar, wie sich YB in AG Phase II als eigenständiges Gebäude zwischen den Gebäuden UB und XB eingefügt haben könnte. Als einzige Möglichkeit bleibt, wie bereits von P. Scherrer angedacht und von der über dem geologischen Boden erhöhten Position der Mauerunterkante unterstrichen, dass AZ 6 gemeinsam mit der Nordmauer AZ 12 (Plantaf. 6) als rechteckiges Gebäude YB in der AG Phase III über XB lag. Die Mauer AZ 12 schließt mit ihrer Unterkante direkt am Zerstörungsniveau von XB an (Plantaf. 27, Profil HA 11/8) und überlagert gleichzeitig die nördliche Außenmauer von XB, ist damit also sicher jünger als das Gebäude XB (Plantaf. 27, Profil HA 11/10a+b). In der AG Phase III befand sich hier jedoch auch ein Handwerksareal mit Töpferofen und Pithos und der Ofen durchschlägt die Mauer AZ 12 (Plantaf. 27, Profil HA 11/8). Folglich muss das Gebäude YB einerseits über dem älteren Gebäude XB errichtet worden sein, andererseits der Anlage des Töpferofens vorangehen. Hierauf deutet auch eine dünne Schotterschicht, die P. Scherrer im Grabungstagebuch erwähnt und deren Lage er mit über der Südmauer von XB, aber unterhalb der Südmauer von HA 12 aus der AG Phase IV angibt. Möglicherweise bildete dieses im Süden angetroffene Schotterniveau den Boden des Gebäudes YB. Auch die Ostmauer von HA 10a+b (Plantaf. 8) der Nachfolgephase könnte ursprünglich mit dem Gebäude YB in Verbindung gestanden haben, da seine Mauerunterkante tiefer liegt als die Mauerzüge der nachfolgenden AG Phase IV, in deren Baukomplex HA-Ost 2 sie aber weiter eingebunden bleibt¹⁰⁰⁵.

Die dem Gebäude YB zugehörigen Kulturschichten konzentrieren sich im Umfeld von AZ 6 über dem anstehenden Kalkrotlehm. In ihnen sind neben spät- bis subgeometrischen Trinkgefäßen mit der Vogelkotyle **Kat. 459**, dem Knickrandskyphos **Kat. 460** und der Tasse **Kat. 461** Gefäßformen des zweiten Viertels des 7. Jahrhunderts vergesellschaftet. Auch das Material aus den der Mauer AZ 6 zugeordneten Zerstörungsbefunden ist mit dem Knickrandskyphos **Kat. 471** und der Tasse **Kat. 473** als jüngste datierbare Gefäße nicht jünger als das zweite Viertel des 7. Jahrhunderts, während die Steilwandschüssel **Kat. 474** und **Kat. 484** bereits in die Jahrhundertmitte gehören. Die Fundzusammensetzung und ihre chronologische Einordnung entspricht also jener der Siedlungsobjekte der AG Phase II und die Verwendung gelber Lehmziegel stimmt ebenfalls mit den aus dieser Phase bekannten Baumaterialien überein. Die starke Vermengung der dem Gebäude YB zugeordneten Zerstörungsbefunde mit Asche und Holzkohle verweist entweder auf eben jene Brandzerstörung, die für die Gebäude der AG Phase II das Ende bedeutete, oder aber auf ein zweites, lokal begrenztes Schadensfeuer, welches in der AG Phase III nur den östlichsten Teil der Siedlung berührte, und im Zuge dessen das Gebäude YB bereits kurz nach seiner Errichtung unmittelbar über den Zerstörungsniveaus von XB außer Betrieb kam.

¹⁰⁰² Vgl. Schlotzhauer 2014, 327.

¹⁰⁰³ Vgl. Scherrer – Trinkl 2006, 63 Plan 6.

¹⁰⁰⁴ Vgl. Scherrer – Trinkl 2006, Faltplan 1.

¹⁰⁰⁵ Vgl. dazu den Steinplan bei Scherrer – Trinkl 2006, Faltplan 1.

Die saubere stratigrafische Trennung der Brandhorizonte beider Gebäude XB und YB mag im Grabungsverlauf schwierig gewesen sein.

Der keramische Befund spricht, anders als die Stratigrafie, zugunsten einer Einordnung des Gebäudes YB noch in AG Phase II. Selbst wenn im Zwischenbereich der Mauern AZ 6 und XB die Möglichkeit besteht, dass die Befunde der beiden Gebäude nicht klar getrennt werden konnten, bleibt dennoch die Tatsache, dass in den der Mauer AZ 6 zugeordneten Befunden keine Gefäßformen nachgewiesen werden konnten, die jünger datieren als das mittlere 7. Jahrhundert. Wie sich das Gebäude YB im Gesamtplan der Siedlung einfügte, geht aus der Grabungsdokumentation nicht mehr klar hervor und war möglicherweise auch im Befund nicht mehr abzulesen, ist dieser doch gerade in diesem östlichsten Bereich der Siedlung im Detail schwer zu interpretieren.

Niveaugleich mit AZ 12 sitzt über dem Zerstörungshorizont von XB ohne Baugrube der Mauersockel AZ 11 auf, der an die Nordmauer von XB angebaut ist und in diese eingreift¹⁰⁰⁶. Der Zerstörungshorizont liefert als *terminus post quem* den einzigen Datierungshinweis für den Mauersockel AZ 11, der ansonsten ohne klar zugeordnete Befunde verbleibt, aber später von jenem Schotterniveau, welches das Hofniveau des Töpferareals der Nachfolgephase bildet, überlagert wird (Plantaf. 27, Profil HA 11/10a+b). Relativchronologisch ist AZ 11 damit in einem Zusammenhang mit dem Gebäude YB (AZ 6 und AZ 12) zu verstehen.

1.D.1.3.2 Rechteckiger Bau NB

Im Nordwesten des Siedlungsareals unter der Tetragonos Agora entstand über der einplanierten Zerstörung der Vorgängerstruktur AZ 10 ein rechteckiger Bau, der nicht zur Gänze ausgegraben wurde, da er über die westliche Grabungsgrenze hinausreichte (Plantaf. 6. 7). Über den vermischten Lehmschichten der Einplanierung, deren Material mit der Tasse **Kat. 489** und dem orientalisierenden Krater **Kat. 491** nicht jünger datiert als die Zerstörung der Vorgängerphase im zweiten Viertel des 7. Jahrhunderts, ist im Gebäudeinneren ein roter Lehm Boden zu fassen, der ein erstes Nutzungsniveau anzeigt. Darüber konnte partiell eine Lage aus Grünschiefersplitt und sandigem Schotter nachgewiesen werden, die entweder einer zweiten Nutzungsperiode des Gebäudes NB angehört oder aber einen mehrteiligen Bodenaufbau anzeigt (Plantaf. 30). In diesem Bodenniveau lag eine aus Kalkmergelplatten gefügte Herdstelle (Plantaf. 30, Profil NB/1). Beide Baumaterialien, Grünschiefer und Kalkmergel, fanden auch in den vorgeschichtlichen Anlagen des 7. Jahrhunderts im Artemision Verwendung¹⁰⁰⁷ und konzentrieren sich in der Siedlung unter der Tetragonos Agora im westlichen Bereich der ergrabenen Fläche.

Der keramische Befund der beiden stratigrafisch erfassten Nutzungsniveaus wurde im Grabungsvorgang zusammengefasst und kann nicht mehr auf die beiden Niveaus aufgeteilt werden. Die datierende Keramik, die Knickrandschalen **Kat. 501** und **Kat. 502** sowie die orientalisierende Kanne **Kat. 510**, verweisen auf das mittlere 7. Jahrhundert. Im östlich dem Gebäude NB vorgelagerten Außenbereich wurde über der lehmigen Planierung bzw. Lehmbettung niveaugleich zu dem inneren Boden ein Kleinsteinhorizont angelegt, der bis an das dort gelegene Nachbargebäude MB heranreicht. Die Funde zu diesem Hofniveau datieren wie jene im Gebäudeinneren von NB zwischen dem zweiten Viertel und der Mitte des 7. Jahrhunderts. Daraus geht sehr deutlich hervor, dass die Errichtung und Nutzung der Gebäude AG Phase III auch in diesem Bereich unmittelbar auf die Zerstörung der Vorgängerphase folgte.

Die Aufgabe des Gebäudes NB ist als Stein- und Lehmziegelversturzt über dem jüngeren Schotterbodenniveau in NB und über dem Hofniveau deutlich fassbar (Plantaf. 30, Profil NB/2; 31, Profil NB 9). Die wenigen Keramikfragmente darin verweisen mit den Knickrandschalen **Kat. 519–Kat. 521**, der Lekane **Kat. 524** und der Amphore **Kat. 528** bereits auf die Wende zum 6. Jahrhundert; die typologisch ältesten Gefäße sind umgekehrt nicht älter als das mittlere 7. Jahrhundert.

¹⁰⁰⁶ Vgl. dazu den Steinplan bei Scherrer – Trinkl 2006, Faltplan 1.

¹⁰⁰⁷ Vgl. dazu zuletzt Kerschner – Prochaska 2011, 77–91; Kerschner 2017c, 34. 44–46.

Aus den Rahmendaten, die sich aus den Funden im Bodenniveau und aus den Zerstörungshorizonten ergeben, erschließt sich die Lebensdauer des Gebäudes NB vom mittleren 7. Jahrhundert bis in das ausgehende 7. bzw. beginnende 6. Jahrhundert.

1.D.1.3.3 Kalkmergelbau KMB

Südlich von NB entstand nördlich des einplanierten Vorgängerbaus VG das rechteckige Gebäude KMB (Plantaf. 6. 7. 13–17. 19), das sich durch seine aus Kalkmergelplatten gefügten Mauersockel von den anderen Gebäuden der Siedlung abhebt¹⁰⁰⁸. Im Gebäudeinneren wurde über den einplanierten Zerstörungsniveau von VG ein partielles Schotterniveau als Ausgleichsschicht eingebracht. Darüber liegt ein älterer roter Lehm Boden, welcher die erste Nutzungsphase des Kalkmergelbaus definiert. Die datierenden Gefäße aus den Niveaus der Bauzeit und ersten Nutzung, die Tassen **Kat. 541** und **Kat. 542**, die Kanne **Kat. 556**, der korinthische Knickrandskypchos **Kat. 569** und das Kännchen **Kat. 579**, grenzen diese auf das mittlere 7. Jahrhundert ein; die Steil- und Knickwandschüsseln **Kat. 549–Kat. 552** sowie **Kat. 576** und **Kat. 578** und die Amphoren **Kat. 562** und **Kat. 565** runden dieses Bild überzeugend ab.

Über dem ersten roten Lehm Boden wurde in einem zweiten Schritt ein zweiter roter Lehm Boden aufgebracht, in dem sich eine Feuerstelle abzeichnet. Diese bestand anders als in NB nicht aus einer gemauerten Struktur, sondern war als Grube im Boden gelegen (Plantaf. 13, Profil HA 6/7). Das nördliche Außenniveau zu KMB schließt etwa niveaugleich mit dem jüngeren Bodenniveau im Gebäudeinneren ab und ist damit wohl spätestens dieser zweiten Nutzungsperiode zuzuordnen, auch wenn es bis auf den gewachsenen Boden reicht. Das jüngste datierende Gefäß, der Dinos **Kat. 592** aus diesem zweiten Bodenniveau, ist nicht vor dem mittleren 7. Jahrhundert denkbar.

Über dem zweiten Lehmhorizont ist im Bereich der Feuerstelle ein dritter roter Lehm Boden nachgewiesen, der sich nicht nur in der Stratigrafie, sondern auch im keramischen Befund deutlich von den beiden älteren Bodenniveaus abgrenzt, und in dem sich mit einer Aschenlage eine zweite Feuerstelle abzeichnet (Plantaf. 14). Das jüngste festdatierte Gefäß aus diesem dritten Boden, die Knickrandschale **Kat. 602**, datiert bereits an die Wende zum 6. Jahrhundert; das Kännchen **Kat. 606** und die Lekane **Kat. 605** repräsentieren gleichermaßen Gefäße des ausgehenden 7. Jahrhunderts.

1.D.1.3.4 Zweiräumiger Bau MB

Östlich der Gebäude NB und KMB liegt in AG Phase III über den einplanierten Vorgängerbauten OB und PB das Haus MB. Es handelt sich um das einzige Siedlungsobjekt, welches in dieser Phase nachweislich über zwei Räume, den südlich gelegenen, langrechteckigen Hauptraum MB 1 und den wesentlich kleineren, nördlich vorgelagerten Raum MB 2, verfügt (Plantaf. 6. 7). Dieser dürfte erst in einem zweiten Schritt zu dem östlich anschließenden Areal hin zugemauert worden sein (Plantaf. 7. 12, Profil HA 5/3).

In beiden Räumen MB 1 und MB 2 ist je ein Stampflehm Boden nachgewiesen, der sich aus mehreren übereinanderliegenden dünnen Lehmniveaus ergibt, die sich ihrerseits über der einplanierten Vorgängerbebauung erstrecken (Plantaf. 10, Profil HA 5/1). So überlagert der Lehm Boden in MB 1 im Norden direkt die Nordmauer des Ovalbaus OB. Im Zentrum des Hauptraumes MB 1 liegt in den Boden eingetieft ein Grubenherd, der im Nordosten und im Südwesten von je einem Pfostenloch begleitet wird (Plantaf. 6. 7. 10, Profil HA 5/1). Die Füllung der Herdstelle besteht aus einem Gemisch aus lehmigem Material mit Kalk, Asche und sandigem Schotter. Das aus dem Lehm Boden und aus der Feuerstelle gewonnene keramische Material ist für eine Datierung

¹⁰⁰⁸ Kalkmergel als Baumaterial ist bezeichnend für die vorkroisoszeitlichen Kultanlagen im Artemision und wurde aus einem Steinbruch nahe Pamučak gewonnen. Vgl. dazu Scherrer 1999, 385 f.; Scherrer – Trinkl 2006, 62 Anm. 39 und zuletzt Kerschner – Prochaska 2011, 77–91.

nur unzureichend geeignet; die Gefäßfragmente können nur sehr allgemein in das 7. Jahrhundert gesetzt werden, wobei die datierenden Trinkgefäße in die erste Hälfte des 7. Jahrhunderts (**Kat. 700**) und in dessen zweites Viertel verweisen (**Kat. 701**). Die unter dem Bodenniveau liegenden Schichten liefern dagegen eine größere Anzahl an gut datierbaren Gefäßen und mit dem Teller **Kat. 687** einen *terminus post quem* für MB nach der Mitte des 7. Jahrhunderts. Das Material aus dem Stampflehmboden im Vorraum MB 2 wurde bei der Grabung nicht konsequent von jenem aus den darunterliegenden Schutt- und Planierschichten getrennt. Das wahrscheinlich jüngste Gefäßfragment, die Kanne **Kat. 635** aus dem Innenraum von MB 2, datiert jedoch in das fortgeschrittene 7. Jahrhundert und zeigt gemeinsam mit der Steilwandschüssel **Kat. 628** und der Lampe **Kat. 640** die zweite Hälfte des 7. Jahrhunderts als Bauzeit des Gebäudes MB an.

Die Zerstörungsniveaus über dem Stampflehmboden in MB 2 und über dem nördlichen Außenniveau datieren mit der chiotischen Tasse **Kat. 657** in das letzte Viertel des 7. Jahrhunderts, was auch von Seiten einiger gebrauchskeramischer Formen wie etwa der Reifenkännchen **Kat. 662** und **Kat. 663** untermauert wird.

1.D.1.3.5 Rechteckiges Gebäude KB

In der nordöstlichen Ecke des Grabungsareals wurde nördlich des Gebäudes YB die südwestliche Ecke eines rechteckigen Gebäudes erfasst (Plantaf. 7). Dieses ist eindeutig jünger als das Gebäude XB, denn sein Bodenniveau liegt teilweise auf dem einplanierten Zerstörungsversturz der Vorgängerbebauung XB auf und die Baugrube der Südmauer von KB greift in das nördliche Außenniveau von XB der AG Phase II ein und teilt sich mit dem südlich gelegenen Töpferviertel der AG Phase IIIb dasselbe Schotterbodenniveau, welches die Nordmauer von XB und die dem Gebäude YB vorgelagerte Mauer AZ 11 überlagert (Plantaf. 27, Profil HA 11/10a+b). Folglich muss das Gebäude KB jünger sein als YB und zeitgleich mit der Töpferwerkstatt bestanden haben. Die Gefäßkeramik aus dem Schotterboden innerhalb und westlich des Gebäudes KB datiert mit der Vogelschale **Kat. 714** und den Tassen **Kat. 715** und **Kat. 716** in das zweite Viertel des 7. Jahrhunderts, die Zerstörungsniveaus darüber belegen mit der Tierfrieskanne **Kat. 727** und der Haushaltsamphore **Kat. 730** eine Benutzung des Gebäudes KB bis ins ausgehende 7. Jahrhundert.

1.D.1.3.6 Rechteckiges Gebäude BZ

In der AG Phase III wird unter der Tetragonos Agora eine Erweiterung der Siedlung nach Süden hin in die Richtung des Bülbüldağ greifbar (Plantaf. 7)¹⁰⁰⁹. Die archaische Bebauung in diesem Bereich ist durch spätere Aktivitäten klassischer Zeit stark gestört¹⁰¹⁰. Aus den wenigen Bauresten lässt sich jedoch ein rechteckiges Gebäude BZ rekonstruieren, dem ein rotes Lehmniveau als Bodenniveau zugeordnet werden konnte, da es konsequent dem Höhenniveau der Mauerunterkante folgt. Die zu diesem Bodenniveau gehörige Gefäßkeramik (**Kat. 789–Kat. 792**) zeugt von einer Errichtung des Gebäudes im fortgeschrittenen 7. Jahrhundert. Diesen Ansatz bestätigt auch eine Reihe gebrauchskeramischer Formen aus den dem Bau vorangehenden Planierschichten unter der Mauer und dem Boden von BZ, während die Tierfrieskanne **Kat. 771**, die chiotische Amphore **Kat. 777** und die korinthische Schale **Kat. 781** die Errichtung von BZ deutlich in das letzte Viertel des 7. Jahrhunderts datieren. Damit ist für BZ eine gegenüber den anderen Siedlungsobjekten der AG Phase III deutlich spätere Errichtung belegt, die sich auch im Verhältnis der spät- und subgeometrischen sowie archaischen Trinkgefäße ausdrückt, das hier erstmals zugunsten der archaischen Knickrandschalen ausfällt. Es ist denkbar, sogar wahrscheinlich, dass die Erweiterung der archaischen Siedlung in die südliche Hanglage parallel zu den Umbauphasen in den weiter nördlich gelegenen Gebäuden KMB und MB 2 stattfand und sich zeitgleich mit

¹⁰⁰⁹ Vgl. auch Scherrer – Trinkl 2006, 70–72. 354 Plan 20; 358 Profil 1; 359 Profil 4.

¹⁰¹⁰ Vgl. dazu die Ausführungen bei Scherrer – Trinkl 2006, 69–72.

der funktionalen Umwidmung in ein handwerklich genutztes Areal im östlichen Bereich vollzog. Die mit sekundären Brandspuren gezeichneten Gefäßfragmente aus dem Bauhorizont von BZ (**Kat. 733. Kat. 742. Kat. 759. Kat. 767**) sind indessen ein Indiz dafür, dass die Brandzerstörung, welche das Ende der AG Phase II bedeutete, auch auf die Hänge des Bülbüldağ ausgegriffen und dort befindliche Strukturen, die bislang nicht angeschnitten wurden, betroffen haben könnte. Jedenfalls darf angenommen werden, dass das keramische Material aus den Bauhorizonten von BZ von weiter oben am Hügel stammt und nicht von der tiefer gelegenen, bekannten Siedlung nach oben verlagert wurde.

1.D.1.3.7 Töpfereibetrieb

Der Töpferwerkstatt im Osten der archaischen Siedlung unter der Tetragonos Agora (Plantaf. 7) werden neben dem Brennofen drei begleitende Gruben und ein Pithos zugeordnet. Bei dem Bau des Töpferofens wurde die zu diesem Zeitpunkt bereits bestehende Mauer AZ 12 auf Höhe der Nordwestecke des darunterliegenden älteren Gebäudes XB durchbrochen (Plantaf. 27, Profil HA 11/8). Der Ofen wurde über einer Schotterbank errichtet; dieses Schotterniveau entspricht dem Schotterhorizont, der auch die älteren Mauern von XB und AZ 11 überlagert, und es scheint mit dem südlichen und westlichen Außenniveau des Gebäudes KB übereinzustimmen (Plantaf. 27, Profil HA 11/10a+b). Das Gefäßrepertoire aus dem benützungzeitlichen Horizont und den Planierschichten darunter zeigt die Anlage der Töpferei mit der Knickrandschale **Kat. 808** im letzten Viertel des 7. Jahrhunderts an. Das Material aus Ofenwand und Ofenboden, welches gemeinsam mit den Fragmenten in der Ofenbefeuerungsgrube die Bauzeit und Nutzung des Ofens datiert, grenzt diese mit der Kanne **Kat. 847** ebenfalls auf die Jahre um 630/620 ein, während im Verfüllmaterial des Ofenversturzes und des Schürkanals die Knickrandschale **Kat. 868**, die orientalisierende Tasse **Kat. 869**, die Kanne **Kat. 881** und die milesischen Amphoren **Kat. 887–Kat. 889** einen Betrieb des Lehmofens bis mindestens in das letzte Jahrzehnt des 7. Jahrhunderts deutlich belegen. Dieser Zeitrahmen gilt auch für die den Ofen begleitenden Gruben, deren Verfüllungen mit der Kalottenschale **Kat. 905** und der orientalisierenden Kanne **Kat. 936** ebenfalls in das ausgehende 7. Jahrhundert datieren. Die Vogelschale **Kat. 950** aus den lehmigen Zerstörungsschichten im unmittelbaren Umfeld des Töpferofens und des Pithos deutet in dieselbe Richtung.

Der Pithos scheint zeitgleich mit dem Ofen und den Gruben in Verwendung gewesen zu sein. Sicher ist, dass der Pithos zu einem Zeitpunkt eingebracht wurde, als in XB bereits das zweite rote Lehm Bodenniveau bestand, denn die Setzgrube durchbricht beide Böden. Aus der fotografischen und zeichnerischen Grabungsdokumentation geht außerdem hervor, dass ein Schotterbodenhorizont, welcher mit dem Benützungsniveau zu Ofen und Pithos zu verbinden ist, genau an die plastische Schmuckleiste des Pithos anläuft, sodass dieses dekorative Element sichtbar blieb (Plantaf. 28, Profil HA 11/14a+b). Als weiteres Indiz für die zeitliche Einordnung kann der abgeschlagene Pithosrand dienen, der bei der Grabung noch im Gefäßinneren gefunden und daher wohl erst bei der Außerbetriebnahme des Speichergefäßes entfernt wurde, als die Planierung des Areals für die Nachfolgebebauung stattfand. Nicht umsonst liegt die entstandene Bruchkante knapp unterhalb des Bodenniveaus für das neue Hofhaus der Nachfolgebebauung in AG Phase IV. Die Gefäßkeramik aus der Setzgrube ist mit der frühkorinthischen Kotyle **Kat. 942** im letzten Viertel des 7. Jahrhunderts anzusiedeln, die drei Knickrandschalen aus der Pithosverfüllung (**Kat. 943–Kat. 945**) gehören Typen der zweiten Hälfte des 7. Jahrhunderts mit einer Laufzeit bis in das beginnende 6. Jahrhundert an.

1.D.1.4 AG PHASE IV

1.D.1.4.1 Haushofkomplex HA-West

An der Westflanke des Siedlungsareals entstand über den Gebäuden NB und KMB der AG Phase III das Ensemble eines Hofhauses, bestehend aus den drei rechteckigen Raumeinhei-

ten HA 6, HA 7 und HA 8 sowie dem nördlich gelegenen Hof HA 4 (Plantaf. 8). Über der einplanierten Vorgängerbebauung, die wie die darunterliegenden Zerstörungsschichten in NB mit den Knickrandschalen **Kat. 981** und **Kat. 982** an die Wende zum 6. Jahrhundert verweisen, ist in allen vier Raumeinheiten ein Schotterbodenniveau nachgewiesen (Plantaf. 13, Profil HA 6/6; 14, Profil HA 6/3; 15, Profil HA 7/1; 18, Profil HA 8/6). In HA 4 folgt auf diese Planierung teilweise eine Lehmbettung als Ausgleichsniveau in HA 4b, wo auch schon in der Vorgängerphase ein offener Hof lag (Plantaf. 31, Profil NB 6; NB 7). Die Planierschichten in HA 6, HA 7 und HA 8 liefern mit der Vogelschale **Kat. 1215** einen *terminus post quem* für diesen südlichen Bereich der Gebäudeeinheit HA-West, korrespondierend mit der Zerstörung der AG Phase III noch im letzten Viertel des 7. Jahrhunderts.

Die Schotter- und Steinböden liegen in etwa niveaugleich, wobei nach Süden hin infolge der stärker zum Tragen kommenden Hangneigung ein leichter Anstieg zu verzeichnen ist. Als zeitlicher Rahmen zeichnen sich in den geschlossenen Räumen HA 6, HA 7 und HA 8 mit dem Krater **Kat. 1245** und der Hydria **Kat. 1253** das ausgehende 7. Jahrhundert sowie mit den Knickrandschalen **Kat. 1028–Kat. 1030** und dem schwarzfigurigen Gefäß **Kat. 1034** im offenen Hof HA 4 das erste Viertel des 6. Jahrhunderts als Benützungszeit ab. In HA 6 liegen entlang der Mittelachse der Längsseite drei Pfostengruben in den Schotterboden eingetieft (Plantaf. 13, Profil HA 6/6), welche für diesen Raum eine Satteldachkonstruktion wahrscheinlich machen. Diese dürfte nach Ausweis der Ziegelfragmente **Kat. 1258** und **Kat. 1324** als Ziegeldach zu rekonstruieren sein. Der Raum HA 6 nutzt die Sockelmauern des älteren Kalkmergelbaus KMB im Norden, Osten und Süden als Fundamente weiter (Plantaf. 13, Profil HA 6/6; 14, Profil HA 6/9; 18, Profil HA 8/3), die Westmauer des Vorgängerbaus wird in den Schotterboden integriert (Plantaf. 15, Profil HA 6/11; 13, Profil HA 6/6 und HA 6/1). Der Westabschluss von HA 6 liegt hinter der Grabungsgrenze (Plantaf. 8). In HA 7 folgt auf eine erste Schotterbodenphase, welche direkt über der Mauer AZ 1 verläuft bzw. diese in den Bodenhorizont einschließt, ein zweiter Schotterboden (Plantaf. 15, Profil HA 7/1). Dieser stratigrafisch eindeutig jüngere Boden spiegelt sich im keramischen Befund nicht klar wider; die unbemalte Kanne **Kat. 1266** und die kleine Schulterhenkelamphora **Kat. 1269** verweisen tendenziell in das 6. Jahrhundert.

Die Zerstörungsniveaus und Steinverstürze über dem Schotterboden in HA 4 belegen mit der chiotischen Schale **Kat. 1101** und den jüngeren Knickrandschalen **Kat. 1090** und **Kat. 1091** eine Aufgabe des Hofes um die Mitte des 6. Jahrhunderts. Die Schalen mit ausgebogenem Rand **Kat. 1096** und **Kat. 1097** sowie die ovoide Kotyle **Kat. 1102** unterstreichen gemeinsam mit der großen Anzahl gebrauchskeramischer Gefäße sowie den Mäanderrandtellern **Kat. 1150–Kat. 1152** und der schwarzfigurigen Kanne **Kat. 1180** eine Benützung des Areals in der ersten Hälfte des 6. Jahrhunderts.

Die Schichten, welche die Aufgabe der Räume HA 6, HA 7 und HA 8 definieren, sind in ihrem Gefäßrepertoire für die Chronologie weit weniger aussagekräftig. Die jüngsten Gefäße stellen die Knickrandschale **Kat. 1285** und der Tiefe Teller **Kat. 1299** dar, die wahrscheinlich nordägäische Amphore **Kat. 1317** ist hingegen nicht vor dem mittleren 6. Jahrhundert denkbar.

1.D.1.4.2 Gebäudeflucht HA-Ost 1

Im Osten von HA-West und von diesem durch eine schmale Gasse (Plantaf. 15, Profil HA 6/10) getrennt, liegt über dem Gebäude MB der Vorgängerphase die zum östlichen Hofhaus gehörige Gebäudeflucht HA-Ost 1, welche sich aus den Räumen HA 3, HA 2, HA 5 und HA 9 sowie dem Hof HA 1 zusammensetzt (Plantaf. 8). Der Hauptraum HA 5 übernimmt dabei die Ausdehnung des älteren Hauptraumes MB 1 (Plantaf. 11, 12, Profil HA 5/3), der ältere Vorraum MB 2 verteilt sich nun auf zwei kleinere Räume HA 3 und HA 2 (Plantaf. 9, 10), deren Nord-Süd-Fluchten leicht von jenen der Vorgängerbebauung und damit auch von jenen des Hauptraumes HA 5 abweichen. Im Süden schließt der Raum HA 9 das Gebäude UB der AG Phase II mit ein und überlagert es (Plantaf. 21–25).

Die Bauzeit von HA-Ost 1 lässt sich im gesamten Bereich in der einplanierten Zerstörung der Vorgängerbebauung fassen und mit der Vogelschale **Kat. 1326**, der Tasse **Kat. 1506** und den Kannen **Kat. 1560** und **Kat. 1561** auf das letzte Viertel des 7. Jahrhunderts eingrenzen. Dies ist als *terminus post quem* umso entscheidender, als die chronologische Aussagekraft der Keramik in den eigentlichen Bodenniveaus wenig eindeutig ist. Während nämlich die Schotterböden in den Vorräumen HA 2 und HA 3 (Plantaf. 9, 10) sowie die Lehm Böden in den nördlichen Außenniveaus die Benützung von HA-Ost 1 mit der Schale **Kat. 1353** und der Amphore **Kat. 1369** bis in die Mitte des 6. Jahrhunderts belegen, reichen die datierenden Gefäßfragmente aus den Bodenniveaus der Räume HA 5 und HA 9 nicht in derselben Eindeutigkeit über das 7. und beginnende 6. Jahrhundert hinaus. In HA 5 wurde der Schotterboden nur in einem kleinen Bereich angetroffen, der auf eine niveaugleiche Entsprechung in HA 3 und HA 1 (Plantaf. 10, Profil HA 3/4; 9, Profil HA 1/1) trifft, die dort jedoch einem baustratigrafisch jüngeren Schotterhorizont anzugehören scheint. Diese in der Stratigrafie und in den Höhenniveaus deutliche Abfolge zeichnet sich in der Keramikchronologie allerdings nicht ab. Beide Böden, jener in HA 5 als auch die beiden jüngeren in HA 3 und HA 1, enthalten Gefäße, die nicht jünger sein müssen als das mittlere 7. Jahrhundert. Die attische Schale **Kat. 1374** datiert erst in das letzte Viertel des 6. Jahrhunderts; sie ist gemeinsam mit **Kat. 1317** aus HA-West eines der wenigen Indizien, dass die Aktivitäten der Nachnutzung in diesem Bereich zumindest sporadisch bis in das ausgehende 6. Jahrhundert andauerten. Ihre Vergesellschaftung im älteren Bodenhorizont von HA 3 deutet auf einen gestörten Befund hin.

Im Raum HA 9 wurde ein teilweise rot verbrannter Lehmhorizont eingezogen, über dem eine Schotterlage aufgebracht ist. (Plantaf. 21). Dieser zweiteilige Boden überlagert die ältere Nordmauer von UB. Der Ausgräber P. Scherrer glaubt, dass diese erst in einem zweiten Schritt aufgegeben wurde, während HA 9 in seiner ursprünglichen Gestalt über zwei Räume verfügt haben könnte¹⁰¹¹. In diesem Fall wäre der Lehmhorizont mit Schotterbeschlag als Boden der zweiten Nutzungsperiode anzusprechen und der darunterliegende Kleinsteinhorizont in HA 9a als älteres Bodenniveau¹⁰¹². Im keramischen Befund ist diese stratigrafische Abfolge aber nicht nachzuvollziehen, da eine entsprechende Trennung des Materials nicht vorgenommen wurde. Die Keramik aus dem Lehm Boden und dem südlich vorgelagerten Außenniveau lässt sich in großen Teilen zwischen dem späteren 7. und dem 6. Jahrhundert einordnen. Es bleibt daher genauso ein wie in der Siedlung mehrfach anzutreffender, einmalig angelegter, zweiteiliger Bodenaufbau denkbar und aufgrund der starken Hangneigung auch wahrscheinlich, bei dem eine ausgleichende Steinpackung bis auf Höhe der erhaltenen Nordmauer von UB eingebracht wurde, und sich in den Horizonten darüber das einzige Bodenniveau in HA 9 zeigt.

Spätestens die Verstürzschichten, welche die Aufgabe von HA-Ost 1 anzeigen, belegen eine Benutzung des gesamten Gebäudeensembles in der ersten Hälfte und bis in die Mitte des 6. Jahrhunderts (**Kat. 1426. Kat. 1427. Kat. 1464. Kat. 1476. Kat. 1638**).

1.D.1.4.3 Raumkonstellation HA-Ost 2

Die ganz im Osten des Grabungsbereichs über der aufgegebenen Töpferwerkstatt entstandene dritte Raumkonstellation HA-Ost 2 mit den Einheiten HA 10a+b, HA 11b und HA 12 (Plantaf. 8) ist ebenfalls dem Hofhaus HA-Ost zugehörig. Nördlich davon lag über der ehemaligen Töpferwerkstatt ein niveaugleiches Hofareal (HA 11a+13), das an den Hof HA 1 anschloss und diesem zugehörig ist. Der Anlage von HA-Ost 2 ging eine Planierung voraus, die vor allem den verstürzten Töpferofen und den Pithos der AG Phase IIIb sowie die ältere Mauer AZ 12 der AG Phase IIIa überlagert (Plantaf. 27, Profil HA 11/10a+b; 28, Profil HA 11/14a+b; 29, Profil HA 11/19). Im Zuge dieser Planierung wurde auch der Pithosrand abgeschlagen. Die jüngsten Gefäß-

¹⁰¹¹ Scherrer – Trinkl 2006, 64.

¹⁰¹² Vgl. den Steinplan bei Scherrer – Trinkl 2006, Faltplan 1.

fragmente aus der Planierung liefern einen *terminus post quem* für HA-Ost 2 im ausgehenden 7. und beginnenden 6. Jahrhundert (**Kat. 1666. Kat. 1756. Kat. 1766. Kat. 1790**).

Als Nutzungsniveau zeichnet sich in allen genannten Raumeinheiten ein etwa niveaugleicher, teilweise stark gestörter Schotterboden ab, der das 6. Jahrhundert als Benützungszeit zumindest für die Räume HA 11b und HA 12 und für den Hof wahrscheinlich machen kann (Plantaf. 28, Profil HA 11/11; HA 11/14a+b). In HA 10a+b wurde der Bodenhorizont (Plantaf. 25, Profil HA 10/1; HA 10/2; 26, Profil HA 10/4a+b) nicht immer konsequent von den darunterliegenden Schichten getrennt, weshalb Bau- und Nutzungszeit zeitlich nicht eindeutig voneinander abzugrenzen sind.

Schließlich enthalten auch die Zerstörungsniveaus im Gebäudeensemble HA-Ost 2 mehrere gut datierbare Gefäße, die bis mindestens in das mittlere 6. Jahrhundert hinabreichen (**Kat. 1718. Kat. 1722. Kat. 1901**) und die damit die untere zeitliche Begrenzung der letzten Siedlungsphase AG Phase IV mitbestimmen.

1.D.1.5 ZUSAMMENFASSUNG

Die stratigrafischen Grabungen in den archaischen Siedlungsniveaus unter der späteren Tetragonos Agora und ihre trotz schwieriger topografisch bestimmter Bedingungen hervorragende Dokumentation bieten die für das archaische Ephesos bislang einzigartige Gelegenheit, die Entwicklung einer Siedlung über einen längeren Zeitraum hinweg nachzuzeichnen und chronologisch einzuordnen. Die zunächst unabhängig vom keramischen Inventar anhand der Baustratigrafie dargelegte Gliederung in Phasen und Subphasen (s. o. Kap. 1.A) hat sich auch in der Zusammenschau mit der analysierten Fundkeramik (s. o. Kap. 1.B) für das gesamte ergrabene Areal als in sich stimmig erwiesen, und obwohl die mitunter geringe Fundmenge für manchen Einzelbefund keine sicheren Aussagen zulässt, erlaubt die Einbindung in die Gesamtstratigrafie des Siedlungsplatzes in fast allen Fällen eine tragfähige Interpretation und Datierung der relativen Bauabfolge. Die absoluten Datierungsangaben beruhen auf der Auswertung der Fundkeramik und sind als Näherungswerte zu verstehen, welche es ermöglichen, die Agora-Siedlung über ein verbindliches archäologisches Gerüst besser im historischen Gesamtbild des archaischen Ephesos und der östlichen Ägäis einzuordnen.

1.D.2 Die Keramik im Kontext: Annäherung an eine funktionale Analyse

Die archaischen Befunde unter der Tetragonos Agora werden als Siedlungsbefunde verstanden; der architektonische Befund im ergrabenen Areal ist in seiner dichten Phasenabfolge, der kleinteiligen Strukturierung und den bautypologischen Indikatoren diesbezüglich eindeutig¹⁰¹³. Auf Basis der aus stratigrafischem und keramischem Befund erarbeiteten Fundensembles soll nun der Versuch unternommen werden, innerhalb dieser Siedlung einzelne funktionale Bereiche herauszuarbeiten und diese näher zu charakterisieren. Funktionale Einheiten können eng umfasste Horizonte sein oder gesamte Siedlungsobjekte betreffen. Je nach Ausgangslage geht es entweder darum, die Möglichkeit einer jenseits des alltäglichen Wohnens erweiterten Funktion und unterschiedlicher funktioneller Aspekte von Strukturen im Siedlungszusammenhang skizzenhaft zu analysieren oder diese, sofern sie wie im Falle des Töpfereibetriebs durch den spezifischen Befund bereits gesichert sind, auf den diesbezüglichen Aussagewert der Keramik hin zu untersuchen.

Es ist hervorzuheben, dass es sich aufgrund der prekären Publikationslage zu dem Materialbestand archaischer Siedlungen in Ionien sehr schwierig gestaltet, die Befunde der Agora-Siedlung mit anderen Siedlungsbefunden direkt zu vergleichen¹⁰¹⁴. Zwar liegen aus ostgriechischen Fund-

¹⁰¹³ Zu den möglichen Bebauungsschemata archaischer Siedlungen s. Lang 1996, 58–63, zu den üblichen Hausgrundrissen s. Lang 1996, 78–103. s. weiters Lang 2005; Lang 2007, 187–189.

¹⁰¹⁴ Darauf hat schon Lang 1996, 11; Lang 2005, 13 hingewiesen. Für die westanatolische Region vgl. die Analyse der im mittleren 6. Jh. zerstörten Häuser in Sardeis bei Cahill 2005, 60–65; Cahill 2010e, bes. 483–487. Eine bei-

orten Informationen zu der Bebauungsstruktur und architektonischen Bandbreite archaischer Siedlungen vor¹⁰¹⁵; eine alle Warengattungen umfassende kontextuelle Fundvorlage nach den hier zur Anwendung gekommenen Maßstäben ist jedoch kaum gegeben¹⁰¹⁶, weshalb sich die anschließenden Überlegungen in erster Linie auf die bearbeiteten Funde und Befunde selbst stützen müssen und eine Gegenkontrolle durch bereits publizierte Siedlungskontexte anderer synchroner Fundstellen nur bedingt möglich ist. Ein zweites Problem ist grundsätzlich in der Gegenüberstellung von gesamten Gebäuden mit nur in einzelnen Mauerzügen erfassten Strukturen gegeben. Hier gilt es außerdem zu bedenken, dass auch die in ihrem Grundriss vollständig erfassten Gebäude aus der Agora-Siedlung aufgrund der dichten nacharchaischen Überbauung nicht flächig, sondern nur in unterschiedlich großen Ausschnitten freigelegt werden konnten (s. o. Kap. 1.A); das vermittelte Bild ist daher in jedem Fall ein mehr oder weniger ausschnitthaftes. Ein dritter Unsicherheitsfaktor liegt in der Auswahl der klassifizierbaren Fragmente begründet, die im Bereich der Wandfragmente tendenziell bemalten Gefäßen den Vorzug vor unbemalten Gefäßen gibt (s. o. Kap. 1.B.2.1). Dies hat zur Folge, dass in der Gesamtverteilung der diagnostischen Gefäßfragmente mit einer leichten Verzerrung der prozentualen Anteile zugunsten der Gattung der durchwegs bemalten Trinkgefäße zu rechnen ist. Für die Aussagekraft des quantitativen Vergleichs innerhalb der einzelnen Siedlungsobjekte und Siedlungsphasen spielt dies aber keine allzu große Rolle, da die Auswahlkriterien auf alle Befunde der Agora-Siedlung gleichermaßen angewandt wurden und die Verhältnisse somit in sich stimmig sein sollten. Speziell für die AG Phasen III und IV ergibt sich schließlich das Problem, dass hier anders als in der AG Phase II, deren Befunde mit ihrer gewaltsamen Brandzerstörung eine repräsentative Momentaufnahme darstellen, eine planmäßige Aufgabe der Strukturen zu erwarten ist. Damit ist die Möglichkeit einer teilweisen Räumung der Gefäßinventare zum Zwecke ihrer weiteren Verwendung gegeben und sogar wahrscheinlich.

Nur der Materialbestand aus jenen Niveaus, welche die tatsächliche Nutzung der Strukturen unmittelbar widerspiegeln, fließt in den Vergleich ein¹⁰¹⁷. Dies sind einerseits die Bodenniveaus mit dem darin eingedrückten Scherbenmaterial, sofern diese von den darunterliegenden Planier- und Bauniveaus zu trennen sind, sowie vor allem die unmittelbaren Zerstörungshorizonte einer Struktur (s. o. Kap. 1.A.4).

1.D.2.1 DIE FUNDENSEMBLES DER AGORA-SIEDLUNG: REGELFALL UND SONDERPHÄNOMENE

Innerhalb der Siedlung unter der späteren Tetragnon Agora zeichnen sich einige Siedlungsobjekte aufgrund ihrer bautypologischen Besonderheiten vor den synchron umliegenden Gebäuden aus¹⁰¹⁸. Es ist dies in der AG Phase II der Ovalbau OB als einziges Bauwerk mit ovalem Grund-

spielgebende kontextuelle Analyse archaischer Siedlungsbefunde gelang zuletzt in Azoria auf Kreta; dazu Haggis u. a. 2004; Haggis u. a. 2007; Haggis u. a. 2011 und im zusammenfassenden Überblick Haggis 2015, 231–256. Für eine exemplarische Gegenüberstellung von Siedlungs- und Heiligtumsbefunden geometrischer Zeit in Eretria s. Kenzelmann Pfyffer – Verdan 2011, 891–903. Allgemein zu der Methode, wenn auch auf Heiligtumsbefunde bezogen, vgl. außerdem die Studie von Morgan 1999, 315–340. Die ausführliche Analyse eines spätarchaischen Hausinventars in Attika liegt bei Lynch 2011 vor.

¹⁰¹⁵ Vgl. dazu die Siedlungsbefunde aus Milet bei von Graeve 1973/1974; von Graeve 1975; Kleine 1979; von Graeve 1987; Senff 1995; Senff 2000; Senff 2007; vom Kale Tepe bei Kleiner u. a. 1967, 116–123; aus Klazomenai bei Ersoy 1993; Aytaçlar 2004; Ersoy 2004; Ersoy 2007; aus Smyrna bei Akurgal 1983, 11–58; Akurgal 2007, 133 f.; aus Emporion auf Chios Boardman 1967, 31–51. Ein allgemeiner Überblick zu archaischen Siedlungsbefunden in Ionien findet sich außerdem bei Lang 1996, 195–222 und zuletzt bei Kerschner 2017b.

¹⁰¹⁶ In der durchaus vorbildlichen kontextuellen Studie von Ersoy 1993 zu den archaischen Siedlungsbefunden aus Klazomenai sind etwa die gebrauchskeramischen Gefäße im Vergleich zu den Trinkgefäßen, den Amphoren und den feinkeramisch bemalten Gefäßen überraschend unterrepräsentiert.

¹⁰¹⁷ Dazu auch Cahill 2010e, 477–479.

¹⁰¹⁸ Mazarakis Ainian 1997, 271–272 definiert dieses Phänomen als eines der zentralen Kriterien zur Identifikation der ›rulers' dwellings‹ in der frühen Eisenzeit. Zu den verschiedenen Interpretationsebenen archaischer Siedlungsstrukturen vgl. Lang 2005.

riss neben bis zu sechs rechteckigen Gebäuden (Plantaf. 4. 5). In der AG Phase III erhebt sich als Nachfolgebau im selben Bereich der Siedlung das Gebäude MB als einziges nachweislich zweiräumiges Bauwerk (Plantaf. 6. 7)¹⁰¹⁹. Westlich davon liegt mit dem Kalkmergelbau KMB ein Gebäude, das sich durch seinen aus Kalkmergelplatten gefügten Mauersockel von allen anderen Siedlungsobjekten der Agora-Siedlung abhebt¹⁰²⁰. Beide Bauphasen, AG Phase II und AG Phase III, spiegeln damit den Siedlungstypus der Einzelhaussiedlung wider, der sich durch das lose Nebeneinander meist einräumiger Gebäude mit unterschiedlichen Grundrissen ohne regelhafte Anlage auszeichnet¹⁰²¹. Über KMB setzt schließlich in der AG Phase IV der in das westliche Hofhaus eingebundene Raum HA 6 auf, für den das wahrscheinlich einzige Ziegeldach innerhalb der Agora-Siedlung glaubhaft gemacht werden kann (s. o. Kap. 1.B.5). Es gilt zu überprüfen, ob und inwiefern die im Kontext der umliegenden Siedlung architektonischen Besonderheiten der vier Gebäude und Räume OB, MB, KMB und HA 6 in HA-West auch in den ihnen zugeordneten keramischen Fundensembles Ausdruck finden¹⁰²². Dabei wird einerseits der Vergleich der prozentualen Gefäßverteilung mit jenem der Agora-Siedlung insgesamt (Diagramm 52) angestrebt, zum anderen der Vergleich mit dem Fundspektrum der jeweils zeitlich parallel bestehenden Gebäude einer Siedlungsphase.

1.D.2.1.1 Der Ovalbau OB und die Siedlung der AG Phase II

Die Übersicht über das Gefäßrepertoire aus den Befunden des Ovalbaus OB (Diagramm 60) zeigt mit einem 41 %-igen Anteil an Trinkgefäßen, einem 3 %-igen Anteil an Kannchen, einem 11 %-igen Anteil an Kannen, einem 15 %-igen Anteil an Vorrats- und Transportgefäßen sowie einem 4 %-igen Anteil an Küchenwaren ein Verteilungsmuster, wie es bereits in der Gesamtübersicht zur Agora-Siedlung deutlich wird (Diagramm 52). Die auffälligste Abweichung begegnet in den Mischgefäßen (Kratere, Dinoi, Tiefe Schüsseln), die 11 % des Gefäßbestands ausmachen.

Auch im Vergleich zu den Fundensembles in AZ 10, AZ 9, VG, UB und XB (Diagramm 61–66) ist der Anteil der Mischgefäße in OB überproportional hoch, hält dieser dort doch in Übereinstimmung mit dem Gesamtverteilungsmuster (Diagramm 52) einen konstanten Anteil zwischen 5 % und 6 %. Der 14 %-Anteil im Bereich der Mauerzüge AZ 1 und AZ 2 (Diagramm 64) wird in seiner Bedeutung relativiert, wenn man bedenkt, dass hier zwei getrennte Gebäude vorliegen und sich die Mischgefäße in ihrer Zugehörigkeit auf beide Mauersockel verteilen.

Die Trinkgefäße sind in den mit OB benachbarten Gebäuden AZ 10, VG, UB und AZ 1/AZ 2 mit Anteilen zwischen 32 % und 34 % einheitlich zurückgenommen, während der 47 %-ige Anteil von AZ 9 sich davon klar abhebt und von den Trinkgefäßen in XB mit 57 % noch deutlich übertroffen wird. Abweichende Verhältniszahlen zeigen sich in AZ 9 auch bei den Kannen mit 4 %, während sich dieser Anteil in den übrigen Siedlungsobjekten zwischen 9 % und 15 % vergleichbar mit jenem der Schüsseln zwischen 9 % und 16 % bewegt. Die Kannchen verteilen sich in AZ 9 mit 2 % hingegen analog zu OB (3 %), UB (3 %) und XB (2 %), während sie in AZ 10, VG und AZ 1/AZ 2 einen konstanten Anteil von 8 % verzeichnen. Der Anteil der Transport- und Vorratsgefäße ist in AZ 9 mit 22 % und in VG mit 20 % besonders hoch und in XB mit 7 % besonders gering angesichts der 11–15 % in AZ 10, AZ 1/AZ 2, OB und UB. Die Küchenwaren sind in AZ 1/AZ 2 mit 11 % und in UB mit 12 % besonders prominent vertreten,

¹⁰¹⁹ Lang 2005, 14–17 erkennt im Überbauen kurvilinearere Gebäude durch rechteckige Nachfolgebauten ein typisches Muster in der Entwicklung griechischer Siedlungen spätgeometrischer bis früharchaischer Zeit.

¹⁰²⁰ Die Verwendung von Kalkmergelplatten, die aus einer Lagerstätte im Bereich des heutigen Pamučak stammen, ist in Ephesos bislang für die vorkroisoszeitlichen Anlagen im Artemision belegt. Vgl. dazu Scherrer – Trinkl 2006, 62; Kerschner – Prochaska 2011, 77. Zu der Übernahme architektonischer Errungenschaften archaischer Tempelarchitektur auf andere Gebäude vgl. Lang 2005, 30 f.

¹⁰²¹ Zur Einzelhaussiedlung vgl. Lang 1996, 58 f.; Lang 2005, 14–17; Lang 2007, 187 f.

¹⁰²² Das Augenmerk liegt ausdrücklich auf der keramischen Evidenz jener Benützungs- und Zerstörungshorizonte, die sich direkt auf die Nutzung der Siedlungsobjekte beziehen lassen. Das Material aus den Bauplanierungen findet indessen keinen Eingang in die Analyse.

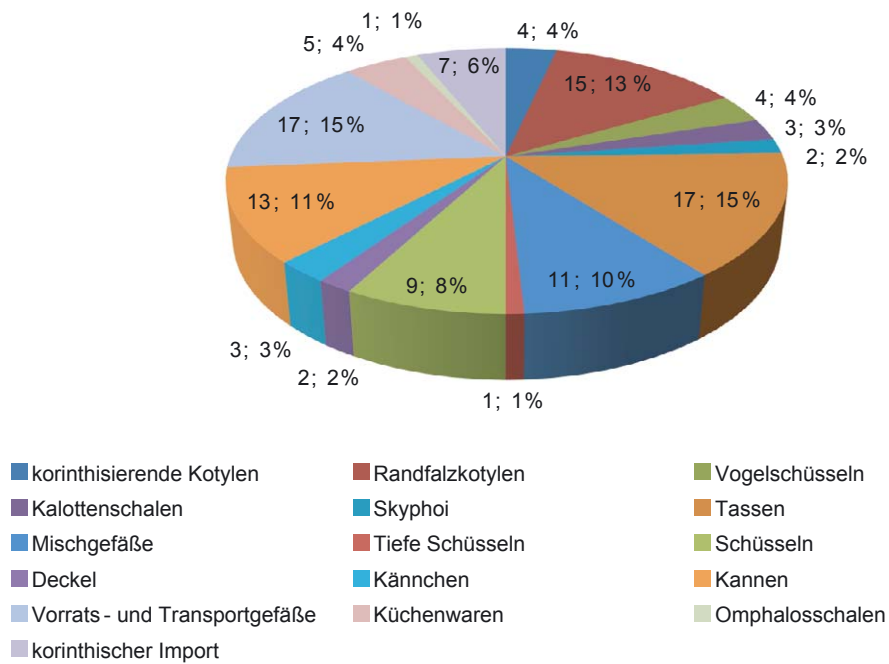


Diagramm 60 Formenspektrum aus Ovalbau OB

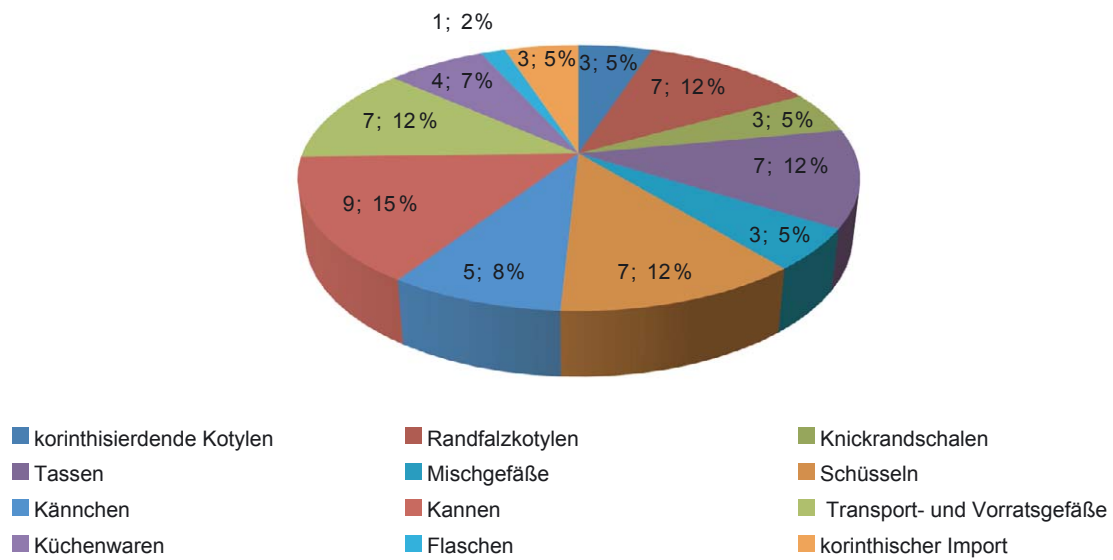


Diagramm 61 Formenspektrum aus Gebäude AZ 10

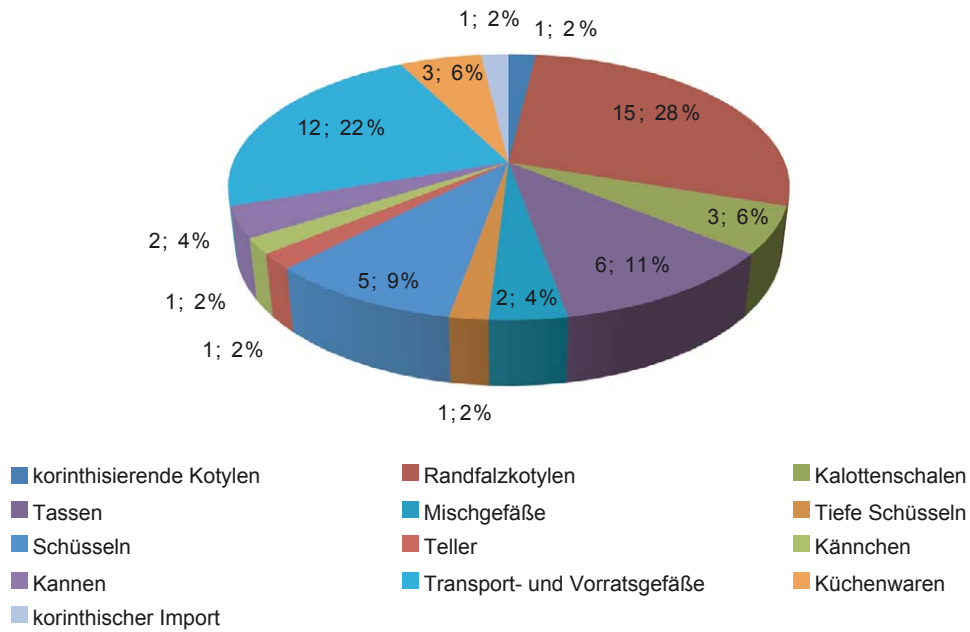


Diagramm 62 Formenspektrum aus Gebäude AZ 9

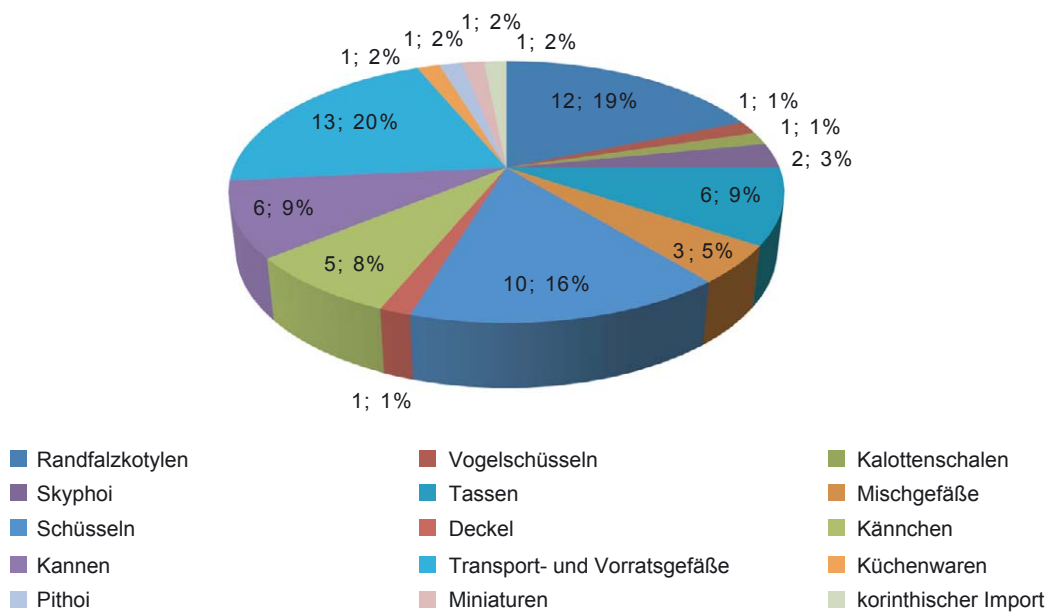


Diagramm 63 Formenspektrum aus Holzpfostenbau VG

1.D Die Kontexte

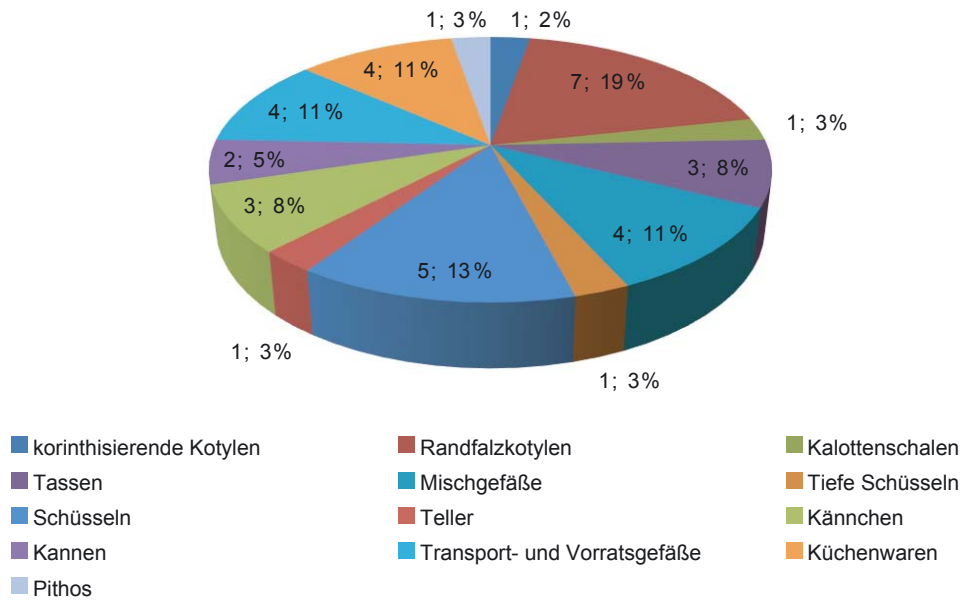


Diagramm 64 Formenspektrum aus Gebäude AZ 1/AZ 2

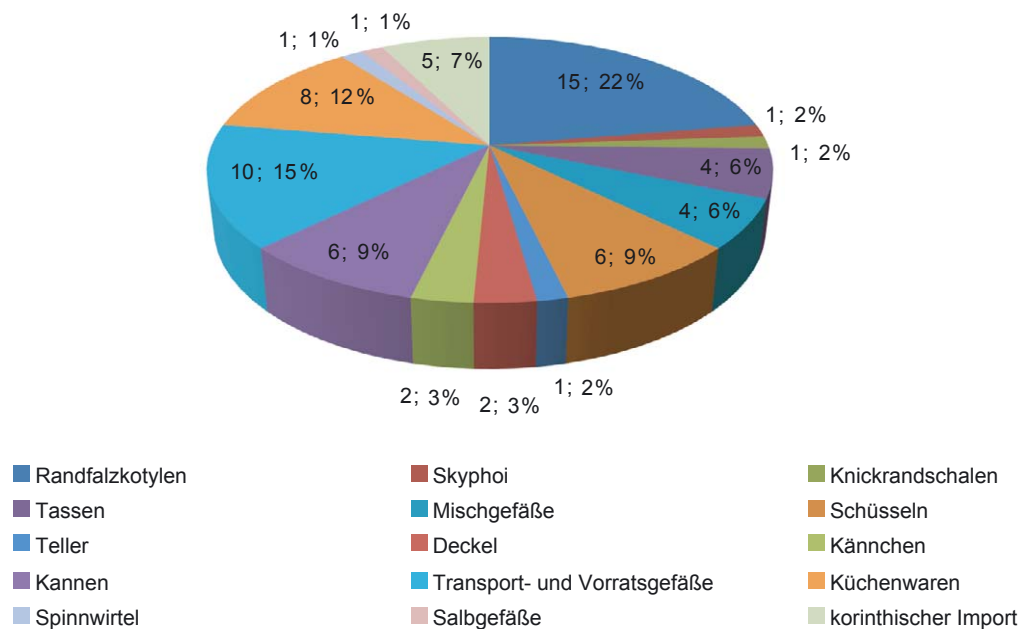


Diagramm 65 Formenspektrum aus Gebäude UB

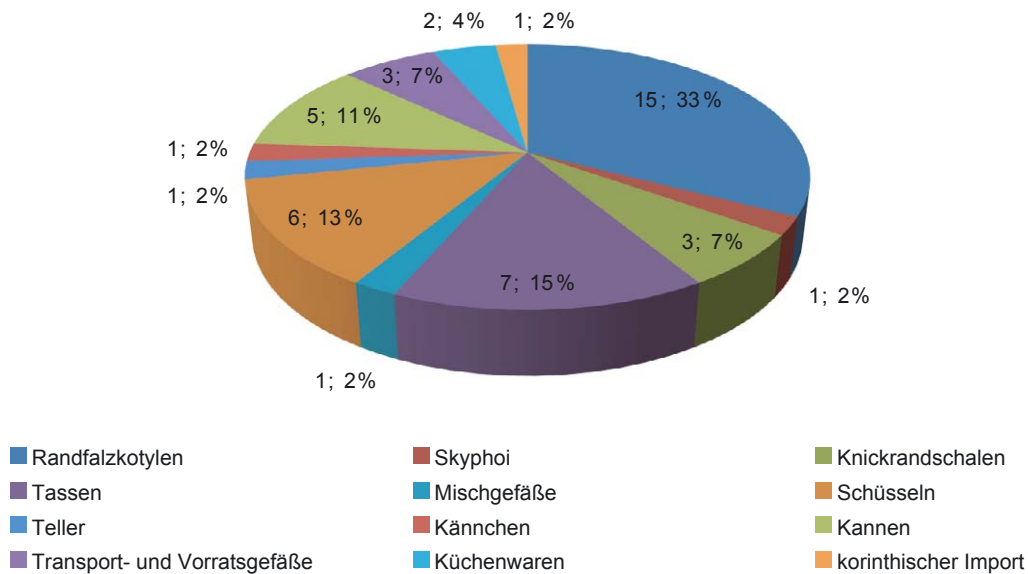


Diagramm 66 Formenspektrum aus Gebäude XB

in VG mit nur 2 % hingegen unterrepräsentiert. In AZ 10, AZ 9 und XB zeigen sich die Anteile der Küchenwaren mit zwischen 4 % und 7 % wie bei OB im Einklang mit dem Gesamtverteilungsmuster der Agora-Siedlung (Diagramm 52). Der Fundzusammenhang des Herdes **Kat. 337** und der Kochtöpfe **Kat. 338–Kat. 340** ist dabei allerdings nicht eindeutig durch die Feuerstelle nördlich der Mauer AZ 1 bestimmt (s. o. Kap. 1.A.4), auch wenn es verlockend ist, hier von einer Kochstelle auszugehen, deren Zusammenhang mit den Kochgefäßen durch das Schadensfeuer am Ende der AG Phase II und die anschließenden Tätigkeiten im Zuge des Wiederaufbaus der Siedlung verfremdet worden sein könnte.

Gefäße mit im weitesten Sinne ritueller Konnotation (Omphalosschalen, Salbgefäße, Miniaturen) bleiben auf die Gebäude OB, VG und UB mit Anteilen zwischen 1 % und 2 % beschränkt. Anders verhält es sich mit der korinthischen Importkeramik, die bis auf die Befunde von AZ 1/AZ 2 in jedem Gebäude belegt und mit einem Anteil zwischen 2 % (AZ 9, VG, XB) und 5–7 % (OB, AZ 10, UB) vertreten ist. Dabei besteht zumindest für die beiden Kotylen **Kat. 405** und **Kat. 408** aufgrund ihrer Fundlage (s. o. Kap. 1.A.4) die Möglichkeit ihrer Zugehörigkeit weniger zu UB denn zu dem Ovalbau OB. Nimmt man die korinthisierenden Kotylen ostgriechischer Produktion hinzu, so verzeichnen die Gebäude OB und AZ 10 mit je 10 % den höchsten Bestand an korinthischen Importen und Gefäßen ostgriechischer Produktion, die in ihrer bewussten Angleichung an diese im selben funktionalen Ambiente zu verorten sind.

Zusammenfassend lässt sich für die AG Phase II festhalten, dass jene Gefäßformen, die schon im Gesamtüberblick (Diagramm 52) als die für eine Siedlung typischen ausgewiesen sind (Trinkgefäße, Schüsseln, Kannen, Vorrats- und Transportgefäße, Küchenwaren), bereits in den ältesten Siedlungsobjekten besonders prominent vertreten sind, dass aber die einzelnen Anteile starken Schwankungen unterworfen sind, weshalb sich kein einheitliches Bild ergibt und für den Ovalbau OB im Materialbestand keine eindeutige Abgrenzung zur umliegenden Siedlung möglich ist. Den gegenüber den meisten Gebäuden hervorgehobenen Anteil an Trinkgefäßen teilt sich der Ovalbau OB mit dem nördlichen anschließenden Gebäude PB (AZ 9), das in mehrerlei Hinsicht in seiner Fundzusammensetzung auszuscheren scheint. Hier könnten die hangabwärts zu OB liegenden Befunde von AZ 9 mit den Zerstörungsniveaus von OB vermischt worden sein. Gefäße mit ritueller Konnotation sind neben OB auch für VG und UB belegt, den hohen Anteil an korinthischer sowie korinthisierender Keramik teilt sich OB hingegen mit AZ 10 und UB.

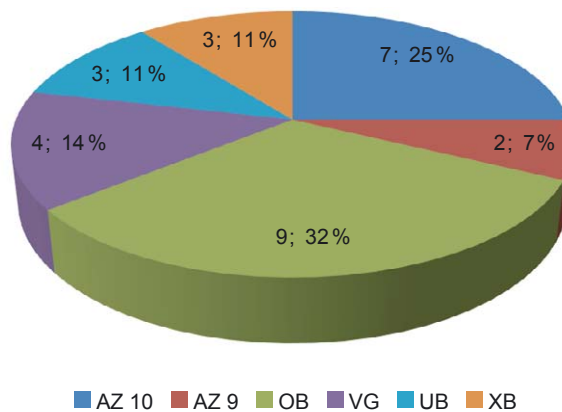


Diagramm 67 Verteilung bemalter Feinkeramik AG Phase II

Für die den Gebäuden UB, VG und PB zugeordneten Befunde besteht für einzelne Horizonte die Möglichkeit ihrer Vermengung mit den Befunden des Ovalbaus OB (s. o. Kap. 1.A.4), was aufgrund der Gleichzeitigkeit der Gebäude in der AG Phase II in chronologischer Hinsicht nicht weiter problematisch ist, für eine funktionale Analyse der Fundensembles aber Schwierigkeiten aufwirft. Eindeutig ist hingegen die Konzentration der in einer Siedlung zunächst auffälligen Formen (korinthischer Import, rituell/kultisch konnotierte Formen) im westlichen Bereich des ergrabenen Areals, wo der Ovalbau OB als einziges Gebäude zusätzlich durch einen großen Bestand an Mischgefäßen hervorsticht¹⁰²³. Bezieht man das Verteilungsmuster der geometrisch und orientalisierend bemalten Feinkeramik in den Befunden der AG Phase II (Diagramm 67) in die Überlegungen ein, so zeigt sich erneut der Hauptanteil auch dieser indikativen Keramikgattungen im Bereich des Ovalbaus OB. Dieser ist also nicht nur durch seine Architektur, sondern auch durch seinen Bestand an Trinkgefäßen, Mischgefäßen, bemalter Feinkeramik und korinthischer sowie korinthisierender Keramik von den umliegenden Gebäuden der AG Phase II hervorgehoben. Einzelne dieser charakterisierenden Elemente des Keramikspektrums finden sich zwar auch bei den umliegenden Gebäuden, es ist aber ihre Akkumulation, die den Ovalbau OB vor den anderen auszeichnet.

1.D.2.1.2 Das zweiräumige Gebäude MB, der Kalkmergelbau KMB und die Siedlung der AG Phase III

Die Analyse der Siedlungsobjekte der AG Phase III (Plantaf. 6. 7) stützt sich auf das Material aus den Horizonten, welche die Nutzung und Zerstörung der Gebäude angeben; das Material aus den Bauhorizonten findet keinen Eingang, da es sich hierbei um die einplanierten Niveaus der AG Phase II handelt. Aufgrund der problematischen Befundlage im Gebäude YB (s. o. Kap. 1.D.1.3.1) und der geringen Materialmenge in den nur sehr partiell ausgegrabenen Gebäuden KB und BZ können diese drei Siedlungsobjekte nicht zielführend in die Analyse einbezogen werden. Insgesamt fällt die Materialmenge in den Befunden der AG Phase III geringer aus, was darauf zurückzuführen sein könnte, dass die Gebäude nicht wie jene der AG Phase II einem unerwarteten Zerstörungsbrand zum Opfer fielen, sondern wahrscheinlich bewusst geräumt wurden, wobei auch das Gefäßinventar zumindest teilweise für eine weitere Nutzung bewahrt blieb.

¹⁰²³ In Azoria auf Kreta stellen Kratere und Kraterständer eines der wesentlichen Indizien dar, welche die Ansprache des Raumes A800 als Veranstaltungsort gemeinschaftlicher Festmähler begründen. Vgl. dazu Haggis u. a. 2004, 379–382. 387–390. s. auch Haggis u. a. 2007, 253–265; Haggis 2011, 4–16.

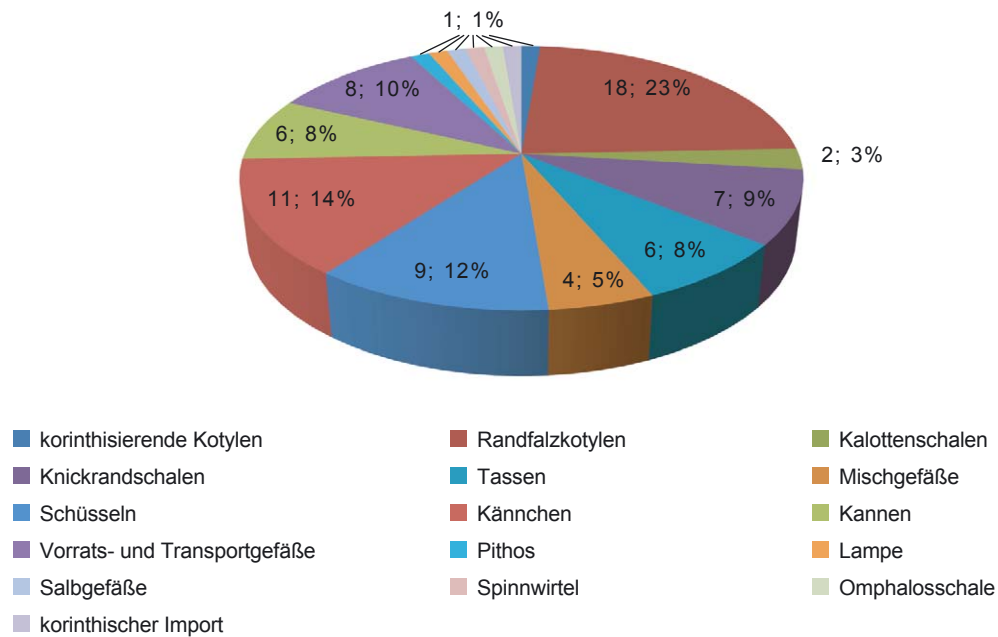


Diagramm 68 Formenspektrum aus Gebäude MB

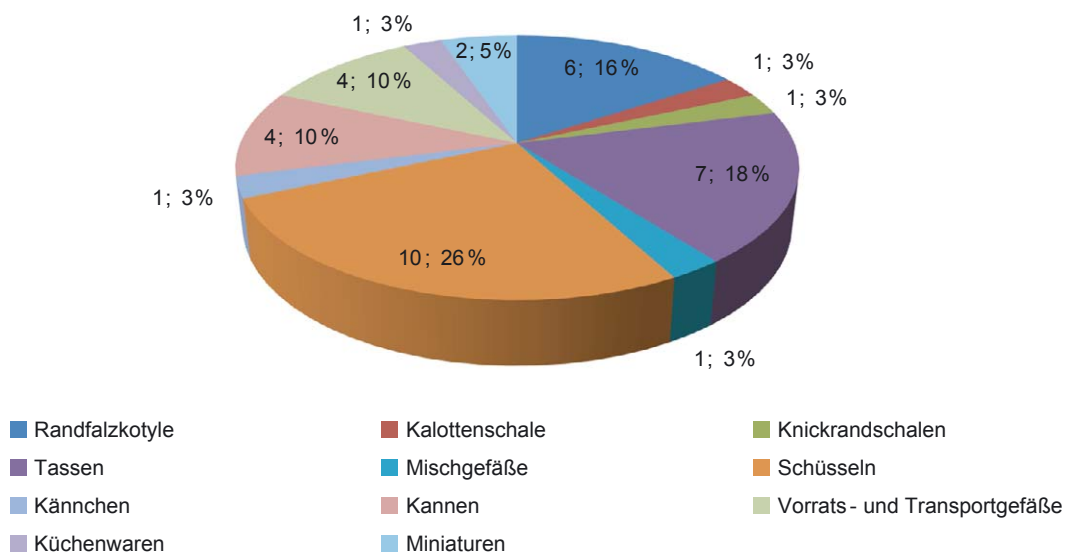


Diagramm 69 Formenspektrum aus Kalkmergelbau KMB

Die beiden Raumeinheiten von MB werden gemeinsam betrachtet, da sich gerade aus dem Hauptraum MB 1, der sich über dem Ovalbau OB erstreckt, kaum Material erhalten hat. Die Aufschlüsselung des Formenspektrums in MB (Diagramm 68) zeigt sich mit den Anteilen der Trinkgefäße (44 %), der Mischgefäße (5 %), der Schüsseln (12 %), der Kannen (8 %) und der Vorrats- und Transportgefäße (10 %) wiederum grundsätzlich im Einklang mit den allgemeinen Verhältnisangaben aus der Agora-Siedlung (Diagramm 52). Auffallend ist dagegen das völlige Fehlen von Küchenwaren, und dies umso mehr, als in MB 1 mit dem Grubenherd eine Feuerstelle nachgewiesen ist, für welche man eine Nutzung als Kochstelle annehmen könnte. Der Anteil der Kännchen fällt mit 14 % ungewöhnlich hoch aus, wie auch jene keramischen

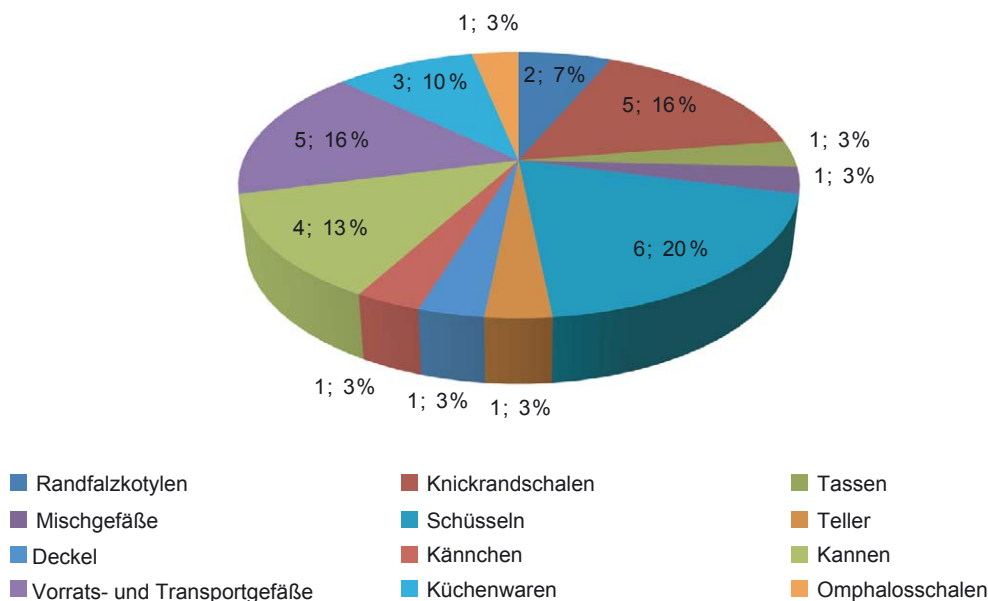


Diagramm 70 Formenspektrum aus dem rechteckigen Bau NB

Formen (Lampen, Salbgefäße, Spinnwirtel, Omphalosschalen, korinthische Importgefäße), die nicht unbedingt zu den für eine Siedlung charakteristischen zählen, mit insgesamt 5 % recht prominent vertreten sind.

Im Gefäßrepertoire des Kalkmergelbaus KMB zeichnen sich demgegenüber wenige Auffälligkeiten ab (Diagramm 69). Der prozentuale Anteil der für eine Siedlung indikativen Trinkgefäße (40 %), Mischgefäße (2 %), Kännchen (3 %), Kannen (10 %), Vorrats- und Transportgefäße (10 %) und Küchenwaren (3 %) bewegt sich im bekannten Rahmen, während die Schüsseln mit 26 % diesen zwar sprengen, aber im Gebäude NB mit einem Schüsselanteil von 20 % in der AG Phase III ein zweites Siedlungsobjekt vorliegt, das den üblichen Anteil der Schüsseln zwischen 9–16 % übertrifft. Wie in MB begegnen in NB mit den Miniaturgefäßen Sonderformen mit einem 5 %-igen Anteil.

Im Vergleich der beiden Gebäude MB und KMB mit dem Gebäude NB (Diagramm 70) wird im Zusammenhang mit den Trinkgefäßen mit nur 26 % ein Phänomen evident, das schon die AG Phase II kennzeichnete, wo den Befunden mit einem über 40 %-igen Anteil an Trinkgefäßen solche mit einem knapp über 30 %-igen Anteil gegenüberstanden. Leider ist diese Divergenz für die AG Phase III nicht anhand weiterer repräsentativer Befunde überprüfbar. Die Verhältniszahlen der Mischgefäße (3 %), der Teller (3 %), der Kännchen (3 %), der Kannen (13 %) und der Vorrats- und Transportgefäße (16 %) aus dem Gebäude NB sind mit KMB und MB vergleichbar. Der erhöhte Anteil der Schüsseln in NB (20 %) stellt sich jenem in KMB zur Seite, der mit 10 % erhöhte Anteil der Küchenwaren bleibt in der AG Phase III singulär, findet jedoch in der AG Phase II Parallelen in den Gebäuden XB und AZ 1/AZ 2. Wie in KMB und AZ 1/AZ 2 ist auch für die Kochgefäße in NB kein direkter Zusammenhang mit der hier befindlichen Feuerstelle gegeben (s. o. Kap. 1.A.4), der diese im funktionalen Ambiente eines Küchenbereichs verorten würde.

Für keines der beiden fraglichen Gebäude, MB und KMB, birgt das Gefäßrepertoire unmittelbare Hinweise auf eine funktionale Sonderstellung, wie sie der architektonische Befund zumindest als Frage aufwirft. Bei MB könnte das Fehlen der Küchenwaren allerdings dahingehend zu deuten sein, dass das Gebäude Aktivitäten vorbehalten war, die nicht mit jenen in normalen Haushalten übereinstimmten, wo auch das Zubereiten von Mahlzeiten ein fixer Bestandteil des Tagesablaufs war. Dagegen scheinen jene Handlungen, die in den Kännchen ihren materiellen

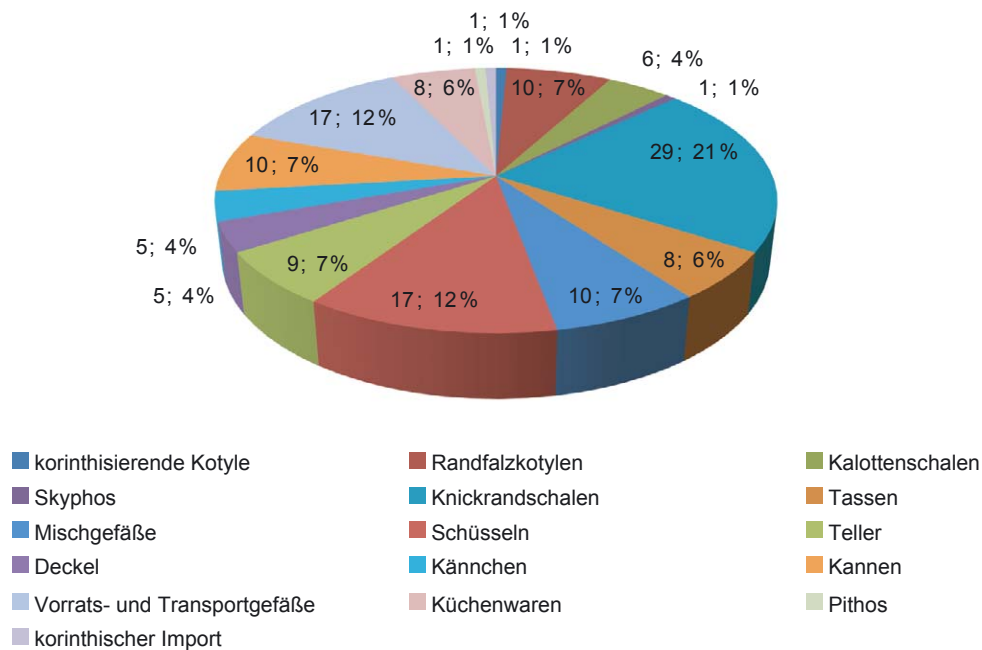


Diagramm 71 Formenspektrum aus dem Töpfereibetrieb

Ausdruck finden, und die nach Ausweis der Befunde in allen Siedlungsobjekten durchgeführt wurden, in MB mit seinem erhöhten Anteil der Kännchen von 14 % einen größeren Stellenwert innegehabt zu haben.

Bei KMB ist zu berücksichtigen, dass hier keine echten Zerstörungsniveaus mit Material aus der Nutzung vorliegen, sondern dass der in seinem Niveau erhöhte Nachfolgebau HA 6 direkt über den KMB-Mauern aufsetzt. Es ist also weniger das Gefäßrepertoire, welches positive Argumente für eine funktionale Sonderstellung bietet, sondern die Negativevidenz, die durch das Fehlen aussagekräftiger Befunde auf einen auffallend sorgfältigen Umgang mit dem (Gefäß-)Inventar hinweist und gemeinsam mit der architektonischen Kontinuität des Kalkmergelbaus KMB zu Raum HA 6 in der AG Phase IV eine Besonderheit innerhalb der Agora-Siedlung darstellt, die sonst nur noch vom Gebäude MB und seinem Nachfolgebau mit den Räumen HA 2, HA 3 und HA 5 gegeben ist. Ein damit einhergehender, möglicher funktional bestimmter Charakter wird aber im Gefäßinventar von KMB nicht greifbar.

1.D.2.1.3 Der Töpfereibetrieb und die Siedlung der AG Phase III

Mit dem Töpferofen ist in der AG Phase IIIb (Plantaf. 7) das östliche Siedlungsareal a priori als Bereich mit einer klar abgrenzbaren gewerblichen Bestimmung ausgewiesen.

In diesem Zusammenhang stellt sich die Frage, inwieweit sich dieser Umstand in den keramischen Fundensembles (Diagramm 71) im Vergleich zu den übrigen Siedlungsobjekten niederschlägt. Der Bestand an Trinkgefäßen aus den die Nutzung der Töpferwerkstatt definierenden Horizonten entspricht mit 39 % dem Bild, das einerseits die Agora-Siedlung als Ganzes kennzeichnet (Diagramm 52) und andererseits in den Gebäuden OB aus der AG Phase II sowie KMB und MB aus der AG Phase III begegnet, also bei Gebäuden, für welche die Frage nach einer anderen Funktion als die eines bloßen Wohngebäudes im Raum steht. Bei den Trinkgefäßen aus der Ofenverfüllung handelt es sich dabei weniger um genutztes Geschirr, sondern mit größter Wahrscheinlichkeit um lokal hergestellte Gefäße, die vor Ort gebrannt wurden (s. o. Kap. 1.B.4). Rechnet man diese weg, bleibt mit 30 % ein den Fundzusammenhängen in AZ 10, VG, UB, AZ 1/AZ 2 und NB vergleichbarer Anteil an Trinkgefäßen auch in der Töpferwerkstatt übrig. Der Anteil der Mischgefäße ist mit 7 % leicht erhöht, die übrigen Formen spiegeln in etwa die

allgemeinen Verteilungsmuster wider. Darüber hinaus gibt es keine Gefäße oder Objekte, die in einem speziellen Zusammenhang mit der Herstellung, der Bemalung oder dem Brand von Gefäßkeramik stehen. Einzig mit den beiden Eimern **Kat. 892** und **Kat. 893** kommt erstmalig eine Gefäßform vor, die in der AG Phase III auf die Töpfereibefunde beschränkt bleibt, doch scheint dies angesichts weiterer Eimer in der AG Phase IV eher eine chronologische als eine funktionale Selektion abzubilden. Gleichwohl ist das Vorhandensein großer Gefäße für die Lagerung von Inhalten im Werkstattbetrieb sicher ebenfalls zu erwarten. Insgesamt stellt sich das Fundensemble im Bereich der Töpferwerkstatt vergleichbar zu jenem der anderen Siedlungsobjekte dar, weshalb davon auszugehen ist, dass abgesehen vom spezifischen Brandvorgang in diesem gewerblich genutzten Bereich mit jenen Aktivitäten zu rechnen ist, die auch im übrigen Bereich der Siedlung stattfanden. Daher ist weniger von einem klar abgegrenzten Wirtschaftsbereich im Sinne eines echten Handwerkerviertels auszugehen als vielmehr von einem im Siedlungszusammenhang installierten Brennofen relativ kurzer Lebensdauer, für den möglicherweise eine Verbindung zu dem nördlich anschließenden Gebäude KB bestand, mit dem dieser sich den Schotterhorizont als Bodenniveau teilte (Plantaf.27, Profil HA 11/10a+b)¹⁰²⁴.

1.D.2.1.4 Der ziegelgedeckte Raum HA 6 und der Haushofkomplex HA-West

Für die AG Phase IV werden die Befunde einzelner Raumeinheiten des Haushofkomplexes HA-West (Plantaf. 8) einander gegenübergestellt. Zum einen ist die Stratigrafie hier besonders klar und auch im Grabungsverlauf besonders sauber getrennt worden, zum zweiten vereint HA-West mit dem offenen Hof HA 4 und den geschlossenen Räumen HA 6, HA 7 und HA 8 zwei grundsätzlich verschiedene Bereiche innerhalb eines Gebäudes, für die eine unterschiedliche Nutzung erwartet werden darf¹⁰²⁵. Mit HA 6 ist darüber hinaus der einzige Raum in der Siedlung unter der Tetragonos Agora gegeben, für den ein Ziegeldach nachweisbar ist (s. o. Kap. 1.B.5) und der sich in seiner Anlage außerdem als direkter Nachfolgebau zu dem Kalkmergelbau KMB aus der AG Phase III verstehen lässt.

Das keramische Ensemble aus Raum HA 6 ist mit 25 Gefäßen nicht sehr umfangreich. Dennoch fallen in der Verteilungsübersicht (Diagramm 72) vier Besonderheiten ins Auge. Die Trinkgefäße haben mit 32 % jenen Anteil, der in den Befunden der AG Phase II die Gebäude AZ 10, VG, UB und AZ 1/AZ 2 kennzeichnet (Diagramm 61. 63–65), während der 12 %-ige Anteil der Mischgefäße und der 20 %-ige Anteil der Kannchen weit über dem Durchschnitt liegen und sich damit für HA 6 Gemeinsamkeiten mit dem Ovalbau OB (Diagramm 60) aus der AG Phase II und dem zweiräumigen Gebäude MB (Diagramm 68) aus der AG Phase III ergeben. Auch der Anteil der Teller mit 8 % scheint erhöht im Vergleich zu dem allgemeinen Verteilungsmuster (Diagramm 52) und dem Bestand im Kalkmergelbau KMB (Diagramm 69), während die Teller in den Töpfereibefunden mit 7 % gleich stark vertreten sind. Für die lokal ephesischen Teller **Kat. 920–Kat. 922** besteht dabei die Möglichkeit, dass sie nicht vor Ort genutzt, sondern hergestellt wurden. Der Vergleich mit den Räumen HA 7 und HA 8 sowie dem Hof HA 4 zeigt indessen einen vergleichbaren Anteil der Teller mit zwischen 7 % und 10 %. Die Anteile der Schüsseln, der Vorrats- und Transportgefäße sowie der Küchenwaren bewegen sich im üblichen Rahmen.

Die Räume HA 7 und HA 8 (Diagramm 73) zeigen mit 33 % den annähernd selben Anteil an Trinkgefäßen wie HA 6, der Bestand der übrigen Gefäßformen spiegelt mit Ausnahme der

¹⁰²⁴ Zum Phänomen der sog. household industry vgl. Cahill 2005, bes. 59. s. außerdem die zusammenfassende Darstellung bei Lang 1996, 129–131; Lang 2005, 27 f. Ob der Töpferofen sich bereits im Randbereich der Siedlung befand bleibt ungewiss, da die Ausdehnung der Bebauung östlich der Grabungsgrenze ungeklärt ist. Ein vergleichbarer Befund liegt am Kalabaktepe in Milet vor, wo im Zusammenhang des Wohnviertels am Südhang drei Töpferöfen aus der 2. Hälfte des 7. Jhs. nachgewiesen sind. Vgl. dazu Senff 1995, 210–212 Abb. 12. 13; Senff 2000, 34 f. 37; Senff 2007, 321. 323 f. Zu Klazomenai vgl. Ersoy 2007, 170 f. Anm. 40. Auch in Korinth ist für das 7. Jh. die enge räumliche Nachbarschaft von Wohnraum und Handwerksarealen verbürgt. Vgl. dazu Roebuck 1972, 122. 125. Vgl. auch Crielaard 1999, 54. 58 mit weiterer Lit.

¹⁰²⁵ Vgl. Lang 2005, bes. 19–30.

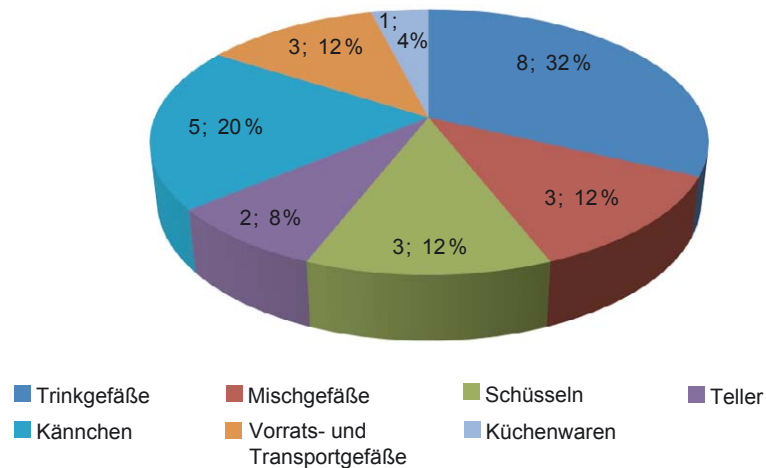


Diagramm 72 Formenspektrum aus Raum HA 6

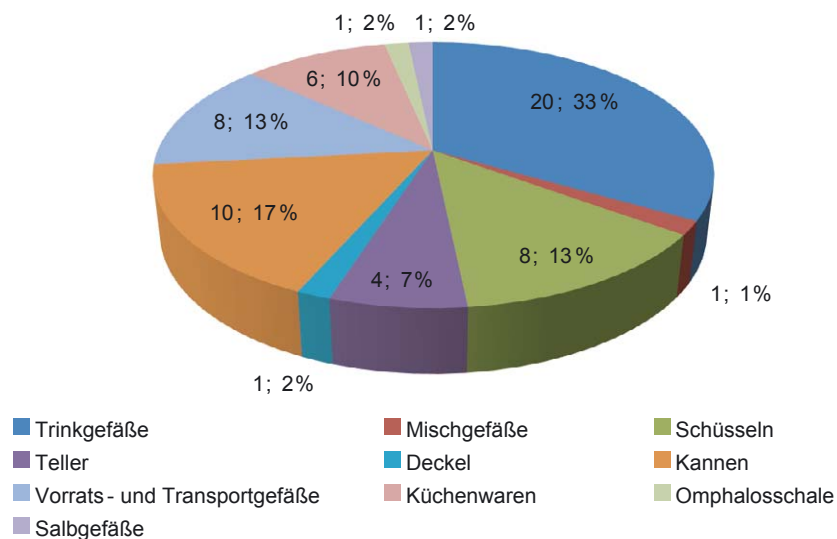


Diagramm 73 Formenspektrum aus Raum HA 7/HA 8

Teller (7 %) und der Küchenwaren (10 %) das allgemeine Verteilungsmuster (Diagramm 52) wider. Das Mengenverhältnis der Teller steht dabei im Einklang mit HA 4 und HA 6, jenes der Küchenwaren begegnet in der AG Phase III in NB und in der AG Phase II in UB und AZ 1/AZ 2. Anders als in HA 6 sind in den Räumen HA 7 und HA 8 mit der Omphalosschale **Kat. 1322** und dem Salbölgefäß **Kat. 1323** auch Formen mit potenziell ritueller Funktion mit einem Anteil von 4 % gegeben.

Der offene Hof HA 4 weist innerhalb des Haushofkomplexes HA-West mit 186 Gefäßen das dichteste Fundaufkommen auf. Die Gefäßverteilung (Diagramm 74) fügt sich bis auf den 10 %-igen Anteil der Teller und den mit nur 27 % unterrepräsentierten Trinkgefäßen nahtlos in das allgemeine Verteilungsmuster ein (Diagramm 52). Der Anteil der Trinkgefäße entspricht indessen jenem im Gebäude NB, welches in der vorangehenden AG Phase III das Areal von HA 4 besetzte und dem nach Osten zum Gebäude MB hin ein unbebautes Gelände vorgelagert war. In diesen Hofsituationen der AG Phase III und IV ist mit hoher Wahrscheinlichkeit die Begründung für den reduzierten Anteil der Trinkgefäße zu suchen. In HA 4 findet sich mit Lampen, Salb-

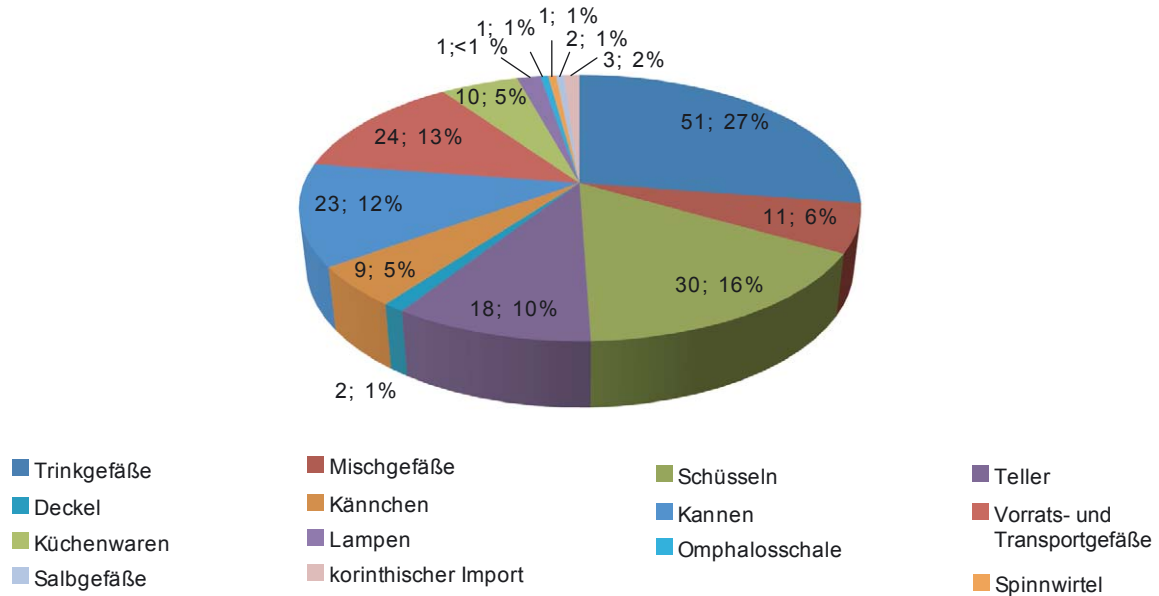


Diagramm 74 Formenspektrum aus Raum HA 4

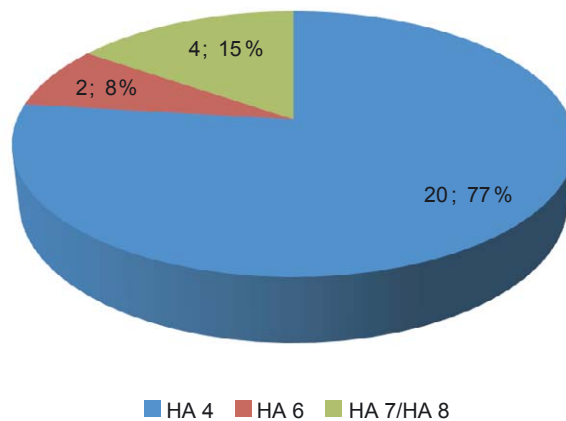


Diagramm 75 Verteilung bemalter Feinwaren aus dem Haushofkomplex HA West

gefäßen, Omphalosschalen, Spinnwirteln und korinthischem Import außerdem das in HA-West breiteste Spektrum an Gefäßen nicht zwingend alltäglicher Konnotation mit etwas über 5 %.

Die Gegenüberstellung des ziegelgedeckten Raumes HA 6 mit den Räumen HA 7 und HA 8 sowie dem Hof HA 4 ist aufgrund des reduzierten Fundaufkommens nicht unproblematisch. Wie bereits bei dem Kalkmergelbau KMB in der AG Phase III ist jedoch gerade die geringere Materialmenge möglicherweise als Indiz einer von den umliegenden Räumen abweichenden Prägung zu verstehen. Dass mit den Mischgefäßen und den Kännchen gerade jene Gefäßformen überrepräsentiert scheinen, die in der AG Phase II den Ovalbau OB (Diagramm 60) und in der AG Phase III das zweiräumige Gebäude MB (Diagramm 68) auszeichnen, ist immerhin bemerkenswert.

Umgekehrt fehlen in HA 6 alle jene Formen, die in besonders auffälliger Weise auf eine andere Nutzung als die eines Wohngebäudes hinweisen würden, während diese in den Horizonten der Räume HA 7 und HA 8 sowie des Hofes HA 4 sehr wohl vertreten sind. Auch das Verteilungsmuster der bemalten Feinkeramik in HA-West (Diagramm 75) dient keinesfalls dazu, die Bedeutung des Raumes HA 6 innerhalb dieses Haushofkomplexes zu unterstreichen. Der

hohe Anteil der Teller in HA-West mit zwischen 7 % und 10 % fällt angesichts des geringen Durchschnittswerts von 4 % (Diagramm 52), der sich vergleichbar auch in den Gebäuden AZ 9, UB, XB und AZ 1/AZ 2 der AG Phase II und in NB der AG Phase III wiederfindet, auf. Das zu den übrigen Formen verspätete Auftreten der Teller vornehmlich ab der AG Phase IIIb (Diagramm 39) bietet für dieses Phänomen aber eine plausible Erklärung chronologischer Natur und tatsächlich zeigt sich ein erhöhter Telleranteil erstmals in den Töpfereibefunden (Diagramm 71).

1.D.2.2 DISKUSSION

Die Aufschlüsselung der Befunde der AG Phase II, der AG Phase III sowie von HA-West der AG Phase IV diente der Überprüfung einer möglichen funktional bestimmten Verschiedenartigkeit der zugehörigen Fundkeramik in den architektonisch aus ihrem Umfeld ausscherrenden Gebäuden OB, MB, KMB und HA 6. Dabei hat sich zunächst gezeigt, dass die für die archaische Siedlung unter der Tetragonos Agora insgesamt evidenten Verhältniswerte der Gefäßformen (Diagramm 52) mit einer solchen Konstanz in den einzelnen Befunden wiederkehren, dass sie für archaische Siedlungsbefunde in Ephesos bei aller Vorsicht als repräsentativ angesehen werden dürften¹⁰²⁶.

Den größten Schwankungen unterliegen die Trinkgefäße, wo sich neben den in der Gesamtverteilung (Diagramm 52) notierten 41 % in den Einzelbefunden mit zwischen 32 % und 34 % bzw. zwischen 26 % und 27 % weitere Werte abzeichnen. Diese Schwankungen sind ein erstes, wichtiges Indiz in der Beurteilung der Agora-Befunde. Der tiefste Wert mit 26 % bzw. 27 % findet sich in den Hofbereichen bei NB und in HA 4. Der mittlere Wert zwischen 32 % und 34 % charakterisiert nicht nur die Mehrzahl der Siedlungsobjekte der AG Phase II (AZ 10, VG, UB, AZ 1/AZ 2), sondern in der AG Phase IV auch den Raum HA 6. Der höchste Wert knapp über 40 % ist mit OB, MB und KMB gerade für jene Gebäude repräsentativ, die auch in ihrer Architektur von der umliegenden Siedlung hervorgehoben sind¹⁰²⁷. Weitere Abweichungen liegen in der AG Phase II für die Kännchen (Diagramm 61. 63. 64) und in der AG Phase IV für die Teller (Diagramm 72–74) vor, die aber wiederum so regelhaft auftreten, dass man von Phänomenen wird ausgehen dürfen, die die jeweilige Siedlungsphase auszeichnen.

Neben dem Anteil der Trinkgefäße ist es vor allem jener der Mischgefäße und/oder der Kännchen, der die zu untersuchenden Gebäude OB, MB, KMB und HA 6 auszeichnet, während jene Formen, die gemeinhin als offenkundigste Indikatoren eines nicht häuslichen Ambientes gelten, nämlich Salbgefäße, Omphalosschalen, Miniaturen, bemalte Feinkeramik und korinthischer Import, weniger Aussagekraft haben. Korinthische und korinthisierende Keramik ist tatsächlich nur für den Ovalbau OB von maßgebender Bedeutung und dies auch nur aufgrund des gehäuften Vorkommens. Grundsätzlich finden sich vereinzelt korinthische und korinthisierende Gefäße in fast jedem Siedlungsobjekt und scheinen damit in Ephesos zum Standardrepertoire archaischer Hausinventare, besonders in der AG Phase II, zu gehören. Auch die bemalte Feinkeramik bietet nur in der AG Phase II (Diagramm 67) für den Ovalbau OB eine positive Argumentationsgrundlage für eine tatsächliche Sonderstellung dieses architektonisch hervorgehobenen Gebäudes. Salbgefäße, Omphalosschalen und Lampen spielen für das zweiräumige Gebäude MB eine Rolle, doch was dieses Gebäude wirklich entscheidend vom restlichen Siedlungsareal der AG Phase III abgrenzt, ist das völlige Fehlen der Küchenwaren. Für KMB fehlen abgesehen vom erhöhten Anteil der Trinkgefäße klare Indizien für eine funktionale Sonderstellung, in HA 6 könnte eine

¹⁰²⁶ Eine in einem anderen Rahmen durchgeführte Analyse konnte zeigen, dass die Gesamtverteilung des keramischen Spektrums aus der Agora-Siedlung, wie sie aus Diagramm 52 hervorgeht, in frappierend ähnlicher Weise auch in einem materialreichen Befund an der Nordostterrasse des Panayırdağ gegeben ist, die ebenfalls als Siedlungsareal interpretiert wird. Im Gegensatz dazu verzeichnen die Heiligtumsbefunde im Artemision deutliche Abweichungen. Vgl. hierzu von Miller 2013; von Miller 2015, 189 f.

¹⁰²⁷ Damit nähert sich der Anteil in diesen Gebäuden jenem von 46 %–51 %, den Lynch 2011, 68–73 Abb. 16 in Athen für ein spätarchaisches Gebäude konstatierte, für welches gute Argumente vorliegen, die dafür sprechen, dass es für die Abhaltung von Symposia genutzt wurde.

solche nur durch den erhöhten Anteil an Kännchen und Mischgefäßen argumentiert werden, der in Hinblick auf den Ovalbau OB und auf den zweiräumigen Bau MB aber von nicht unwesentlicher Bedeutung ist.

Angesichts der Herdstellen in AZ 1, NB, KMB und MB (Plantaf. 5–7) schien es lohnend, diese hinsichtlich einer Küchenfunktion zu untersuchen¹⁰²⁸. In AZ 1/AZ 2 und NB konnte auch tatsächlich ein überproportionales Vorkommen an Küchenwaren festgestellt werden (Diagramm 64. 70), doch stehen diese in keinem direkt stratigrafischen und damit zwingenden Zusammenhang zu den entsprechenden Herdstellen. Für den in UB fassbaren hohen Anteil an Küchenwaren (Diagramm 65) ist keine Feuer- oder Herdstelle belegt; in KMB stehen den insgesamt drei Feuerstellen die Küchenwaren sogar etwas unterrepräsentiert gegenüber (Diagramm 69). Ein tatsächlicher Kochbereich hat sich in keinem der Siedlungsobjekte unter der Tetragonos Agora konkret nachweisen lassen, das gemeinsame Vorkommen von teils sehr gut erhaltenen Küchenwaren und Feuerstellen in einem Siedlungsobjekt (z. B. AZ 1/AZ 2) macht eine Nutzung dieser Feuerstellen als Kochfeuer aber sehr plausibel.

Besonders auffällig ist indes das bereits angesprochene gänzliche Fehlen von Küchenwaren in den Befunden des zweiräumigen Gebäudes MB, das sich durch einen prominenten Grubenherd in der Raummitte des Hauptraumes MB 1 auszeichnet (Plantaf. 6. 7. 10, Profil HA 5/1). Mit den beiden Pfostenlöchern, welche den Grubenherd im Nordosten und im Südwesten flankieren, sind dabei Elemente gegeben, die gemeinsam mit dem vorgelagerten Raum MB 2 an die sog. Megara erinnern¹⁰²⁹, für die eine zentrale und von vier Pfosten gerahmte Herdstelle besonders charakterisierend ist¹⁰³⁰. Deren Funktion ist dabei nicht primär als Herdstelle im Sinne eines Kochfeuers zu verstehen, sondern sie stellt vielmehr ein integratives Element in einem offiziellen Rahmen mit ritualisierter Dimension dar¹⁰³¹. Gleichwohl weicht das Gebäude MB insgesamt deutlich vom Bautypus des Megarons ab, für den bei aller Vielfalt in der Detaildefinition ein frontal geöffneter Vorraum mit Antensituation als mehr oder weniger verbindlich angesehen wird¹⁰³². Bei dem Gebäude MB ist eine Öffnung des Vorraumes nur für die AG Phase IIIa belegt, und nicht frontal, sondern zum östlich vorgelagerten Hof hin ausgerichtet. Die Schließung von MB 2 in der AG Phase IIIb steht möglicherweise in einem direkten kausalen Zusammenhang mit der Einrichtung des Töpferofens im östlichen Randbereich desselben Hofes. Wenn damit das zweiräumige Gebäude MB, anders als zeitgleiche Gebäude aus Emporio, Smyrna und Melie¹⁰³³, auch nicht als Antenhaus anzusprechen ist, sondern den archaischen Einraumoikoi mit Vorbau (AG Phase IIIa) oder den Zweiraoikoikoi (AG Phase IIIb) zugehörig ist¹⁰³⁴, so besteht dennoch die Möglichkeit, dass die genannten Einzelelemente, die sich der Bau MB mit dem Gebäudetypus des Megarons/Antenhauses oder mit den sog. Herdhäusern in der Definition H. Drerups teilt¹⁰³⁵, Ausdruck einer analogen, zumindest in Teilen auch öffentlichen Funktion des Gebäudes MB sein könnten, wie sie M. Akurgal etwa für die als Megara angesprochenen Gebäude in Smyrna vorschlägt¹⁰³⁶. Eine solche ist für das zweiräumige Gebäude MB aufgrund des oben dargelegten

¹⁰²⁸ Zu dem Herd als Ausstattungselement archaischer Häuser vgl. Lang 1996, 114–116.

¹⁰²⁹ Ähnliches konnte schon von Graeve 1973/1974, 71–73. 81 für die subgeometrischen Gebäude C und D in Milet feststellen.

¹⁰³⁰ Vgl. dazu grundlegend Höcker 1999; Hrouda 1993–1997. Mit Forschungsgeschichte, Definition, Verwendung des Begriffs und quellenkundlicher Grundlage hat sich zuletzt ausführlich Jung 2000 kritisch auseinandergesetzt.

¹⁰³¹ Eine solche ist allgemein für Herdstellen zu erwarten. Vgl. dazu Lang 1996, 114 f.; Lynch 2011, 161.

¹⁰³² Zu Bautypologie und Begriff in archaischer Zeit s. Boardman 1967, 35 f.; Lang 1996, 90–92.

¹⁰³³ Vgl. dazu Boardman 1967, 31–51; Kleiner u. a. 1967, 122 f.; Akurgal 1983, 36–39. 44 f. Abb. 19. 20; Schattner 1990, 110–113; Akurgal 2007, 133 f. Vorsichtiger formuliert hier Lang 1996, 91.

¹⁰³⁴ s. dazu Schattner 1990, 100–105; Lang 1996, 87–90; Lang 2005, 14–17.

¹⁰³⁵ Zu dem Typus des Herdhauses vgl. Drerup 1969, 123–128. s. auch Mallwitz 1981, 631.

¹⁰³⁶ Vgl. Akurgal 1983, 36–40; Akurgal 2007, 133 f., wo diese Interpretation allein aufgrund bautypologischer Evidenzen erfolgt. Mazarakis Ainian 1997, 263–265 kann den Bautypus in der frühen Eisenzeit für sakrale wie auch profane Gebäude nachweisen. Lang 1996, 91 f. zieht eine über die reine Wohnfunktion hinausreichende Bedeutung etwa der Antenhäuser im archaischen Siedlungszusammenhang in Betracht. Lang 2005, 18 hebt indessen

keramischen Ensembles grundsätzlich denkbar und steht daher vielleicht auch schon für den direkten Vorgängerbau OB in der AG Phase II hypothetisch zur Diskussion¹⁰³⁷.

Bauwerke mit kurvilinearem Grundriss, seien es nun Ovalbauten wie das Gebäude OB oder apsidiale Bauten, sind in Ionien seit der frühen Eisenzeit bekannt¹⁰³⁸ und kommen in früharchaischen Siedlungsbefunden, ähnlich wie in der Siedlung unter der Tetragonos Agora, mehrfach gemeinsam mit rechteckigen Gebäudegrundrissen vor¹⁰³⁹. Die meisten Evidenzen finden sich dabei für das 7. Jahrhundert¹⁰⁴⁰. Nur aus Klazomenai konnten bislang kurvilineare Bauten noch spätarchaischer Zeit nachgewiesen werden¹⁰⁴¹, deren Gesamtgrundriss aber bislang ungeklärt blieb. Gesicherte Ovalbauten wie das Gebäude OB aus der AG Phase II sind indessen fast ausschließlich für das 8. und frühe 7. Jahrhundert bezeugt¹⁰⁴² und unterstreichen damit ihre berechnete Deutung als Exponenten geometrischer und früharchaischer Architektur¹⁰⁴³. Für die Ovalbauten in Milet hat V. von Graeve vorsichtig über eine öffentliche Dimension im Sinne des von H. Drerup definierten Typus des Herdhauses nachgedacht, dem die »Beherbergung einer Kult- oder Speisegemeinschaft« implizit ist¹⁰⁴⁴. Für den Ovalbau OB in der archaischen Siedlung unter der Tetragonos Agora konnte freilich kein entsprechender typuskonstituierender Herd nachgewiesen werden; dieser ist erst für den zweiräumigen Nachfolgebau MB gesichert¹⁰⁴⁵. Es ist jedoch zu betonen, dass sich die Anlage der Agora-Siedlung in der AG Phase II mit einem Ovalbau inmitten rechteckiger Einraumbauten nahtlos in ein Bebauungsschema einfügt, das F. Lang als typisch für griechische Siedlungen des 7. Jahrhunderts erkannt hat¹⁰⁴⁶, innerhalb derer es keine hinreichenden Anzeichen dafür gibt, dass für Ovalbauten a priori eine andere als profane Nutzung im Sinne eines Wohngebäudes angenommen werden müsste¹⁰⁴⁷, wenngleich eine solche in der archaischen Zeit besser belegt ist als noch für geometrische Ovalbauten¹⁰⁴⁸.

Zusammenfassend bleibt festzuhalten, dass aufgrund der architektonischen Besonderheiten in Grundriss und Ausstattung, der Platzkontinuität zwischen OB und MB, der architektonischen Kontinuität zwischen KMB und HA 6 und der Zusammensetzung der Gefäßensembles eine über die eines bloßen Wohnhauses hinausreichende Funktion dieser vier Siedlungsobjekte innerhalb

die zunehmende räumliche und strukturelle Trennung funktionaler Einheiten als ein Charakteristikum archaischer Siedlungsentwicklung hervor.

¹⁰³⁷ Kleiner u. a. 1967, 122 stellt für die Befunde am Kale Tepe eine vergleichbare Überlegung an.

¹⁰³⁸ Vgl. Kleiner u. a. 1967, 116–123; Akurgal 1983, 16–18; Aytacılar 2004, 17–25; Ersoy 2007, 152 Abb. 2 Taf. 18. Für das protogeometrische Gebäude aus Klazomenai konnte nicht geklärt werden, ob es sich nun um einen Ovalbau oder einen apsidialen Bau handelt, da der östliche Abschluss nicht freigelegt werden konnte. Allgemein zu Ovalbauten in der griechischen Architektur vgl. Mallwitz 1981, 604–606; Schattner 1990, 119–123. 209 f. s. außerdem den ausführlichen Katalog kurvilinearere Bauwerke der frühen griechischen Eisenzeit von Mazarakis Ainian 1997, 43–113. Zur funktionalen Interpretation vgl. außerdem Mazarakis Ainian 1988.

¹⁰³⁹ Vgl. für Klazomenai Ersoy 2004, 49–60 Abb. 7. 18. 21; Ersoy 2007, 153–170. Zu Milet s. von Graeve 1973/1974, 69–78; von Graeve 1975, 38–40; Kleine 1979, 115–127. 137 f. Zum Kale Tepe vgl. Kleiner u. a. 1967, 116–123. Zu Smyrna s. Akurgal 1983, 29–32. Zu dem Typus der Einzelhaussiedlung, für den diese Kombination verschiedener Hausgrundrisse bezeichnend ist, s. Lang 1996, 58 f.

¹⁰⁴⁰ Zu archaischen Ovalbauten vgl. Lang 1996, 59. 78–86.

¹⁰⁴¹ Vgl. dazu die Diskussion dieses Phänomens bei Ersoy 2004, 59 f. s. außerdem Ersoy 2007, 167–170.

¹⁰⁴² Vgl. dazu die Ovalbauten in Smyrna bei Akurgal 1983, 29–32, am Kale Tepe bei Kleiner u. a. 1967, 116–122 und den spätgeometrisch bis früharchaisch datierten Ovalbau B in Milet bei von Graeve 1973/1974, 69–72. Dazu auch Kleiner 1969, 76. 78; Kleine 1979, 115–118. s. weiters Schattner 1990, 119–122.

¹⁰⁴³ Vgl. dazu zusammenfassend von Graeve 1973/1974, 78–80; Ersoy 2007, 168–170. s. auch Senff 2000, 33.

¹⁰⁴⁴ Der bei von Graeve 1973/1974, 83 geäußerte Verdacht einer Nutzung im Kultzusammenhang wurde von Kleine 1979, 136 f. nicht zuletzt durch den Fund zweier Terrakottapferdchen als bestätigt angesehen. Vgl. auch Kleiner 1969, 76. Ähnlich äußert sich Kleiner u. a. 1967, 122. Kritisch dazu Lang 1996, 83 f. Zu dem Typus des Herdhauses vgl. Drerup 1969, 123–128. s. zur selben Frage nach der Funktion außerdem Aytacılar 2004, 19 in Bezug auf das früheisenzeitliche Gebäude aus Klazomenai und die grundlegende Studie von Mazarakis Ainian 1997.

¹⁰⁴⁵ Dies im Gegensatz auch zu der Befundsituation in Klazomenai, wo Herde auf die Gebäude mit kurvilinearem Grundriss beschränkt zu sein scheinen. Dazu Ersoy 2007, 167 f.

¹⁰⁴⁶ Vgl. Lang 1996, 80; Lang 2007, 187.

¹⁰⁴⁷ Dazu Mallwitz 1981, 605 f.; Schattner 1990, 211 f. s. auch Mazarakis Ainian 1997, 277.

¹⁰⁴⁸ Dazu Lang 1996, 82–84. 86.

der Siedlung im Bereich des Möglichen, aber keineswegs hinreichend argumentierbar ist. Weder die Gebäudegrundrisse noch die Ausstattung mit Herden und Ziegeln können mit Sicherheit auf eine spezielle Funktion jenseits der eines Wohngebäudes festgelegt werden. Was die Fundkeramik angeht, so drückt sich die von den umliegenden Gebäuden der Siedlung abweichende Prägung nicht etwa im Vorhandensein keramischer Sonderformen und von indikativen Spezialgefäßen aus, sondern allein im Mengenverhältnis von Gefäßen (Trinkgefäße, Mischgefäße, Kannchen, bemalte Feinkeramik, korinthischer Import, Küchenwaren), die grundsätzlich in allen Siedlungsobjekten nachgewiesen werden konnten und die somit zum regulären Gefäßbestand archaischer Siedlungsbefunde in Ephesos gehören. Andere indikative Fundgruppen oder Binnenstrukturen, die in eine funktionale Überlegung einbezogen werden könnten, liegen aus den Siedlungsbefunden unter der Tetragonos Agora anders als etwa in der archaischen Siedlung von Azoria auf Kreta¹⁰⁴⁹ nicht vor, wobei auch diese Negativevidenz zumindest für die Zerstörungsbefunde der AG Phase II bezeichnend ist. Vielleicht darf man für die fraglichen Gebäude OB, MB, KMB und HA 6 in Anlehnung an Y. Ersoy vorsichtig eine »primarily domestic multi-functional usage«¹⁰⁵⁰ in Betracht ziehen, eine Nutzung also, die, obwohl vornehmlich vom alltäglichen Wohnen geprägt, auch ritualisierte öffentliche und gemeinschaftskonstituierende Handlungen miteingeschlossen haben könnte. Im Brunnenbefund J 2:4 von der Athener Agora hat sich dieses Interpretationsmodell für die späte Archaik bereits bestätigt gefunden¹⁰⁵¹. Eine positive Beantwortung der Frage kann aus der archäologischen Evidenz der Siedlung unter der Tetragonos Agora für das archaische Ephesos jedoch nicht mit Sicherheit erfolgen. Die Ambiguität der Herde als funktional profane wiewohl auch rituell konnotierte Einrichtungen innerhalb von Gebäuden¹⁰⁵² zeigt an, dass eine diesbezügliche Entscheidung auch nicht immer eindeutig zu treffen sein dürfte, und dass innerhalb eines privaten Wohnambientes auch darüber hinaus reichende Handlungen mit möglicherweise rituell-kultischer Konnotation selbstverständlich Platz finden können.

Die Analyse des keramischen Spektrums aus den Befunden der Töpferwerkstatt, die als einzige Struktur innerhalb der Agora-Siedlung a priori mit einer speziellen Funktion verbunden ist, unterscheidet sich indessen in keinem wesentlichen Punkt von den anderen Siedlungsobjekten. Der gewerbliche Charakter des Areals kommt allein durch den aufgefundenen Töpferofen deutlich zum Ausdruck; der erhöhte Anteil der Trinkgefäße bezeichnet wahrscheinlich deren Produktion vor Ort¹⁰⁵³. Die beiden Eimerböden **Kat. 892** und **Kat. 893** stellen zwar die einzige Gefäßform dar, die in der AG Phase III erstmals und ausschließlich in den Töpfereibefunden belegt ist. Das Vorhandensein der Eimer in der Nachfolgephase vor allem auch im westlichen Bereich der Siedlung macht aber eine spezifisch funktionale Verankerung speziell im Werkstattbetrieb zumindest zweifelhaft.

Abschließend sei noch einmal festgehalten, dass die aufgezeigten Abweichungen im Gefäßensemble der Gebäude OB, MB, KMB und HA 6 gegenüber dem Materialbestand der umliegenden Siedlung, die in der quantitativen Aufschlüsselung ersichtlich wurden, für eine hinreichende funktionale Interpretation nicht genügen. Hierfür wäre eine breiter angelegte, vergleichende Studie unter Einbeziehung aller Indikatoren notwendig¹⁰⁵⁴, die angesichts der bisherigen Publikationslage zu ostgriechischen Siedlungen geometrischer und archaischer Zeit an dieser Stelle nicht

¹⁰⁴⁹ Zusammenfassend dazu Haggis 2015.

¹⁰⁵⁰ Ersoy 2007, 167. Ein vergleichbares Konzept wurde auch schon für ähnliche früheisenzeitliche Gebäudebefunde auf dem griechischen Festland vorgeschlagen, wobei sich dort die Fundevidenz allerdings aussagekräftiger darstellt. Vgl. dazu Mazarakis Ainian 1988; Mallen 2011, 385 f. Dazu auch Haggis u. a. 2004, 388.

¹⁰⁵¹ Dazu Lynch 2011.

¹⁰⁵² Dazu Lang 1996, 114 f. mit weiterer Lit.; Lynch 2011, 161 f. Vgl. für die frühe Eisenzeit auch Mazarakis Ainian 1988; Mazarakis Ainian 1997, 290–292. s. auch die typologisch miteinander vergleichbaren Herdstellen an funktional unterschiedlich determinierten Standorten (Wirtschaftsraum, Küche, Herdschrein) in der archaischen Siedlung von Azoria auf Kreta bei Haggis u. a. 2004, 352 f. 357 f. Abb. 6; 365. 367 Abb. 7; 368. 383 Abb. 21; Haggis u. a. 2007, 247. 249 Abb. 2; 275. 281. 288 Abb. 23. 28; Haggis u. a. 2011, 47. 54 Abb. 28.

¹⁰⁵³ Vgl. Cahill 2005, 55.

¹⁰⁵⁴ Vgl. dazu die bei Lang 2005 ausgearbeiteten Interpretationsebenen.

zielführend umzusetzen und auch nicht angestrebt ist. Der Fokus wurde vielmehr bewusst auf die befundimmanente Evidenzkraft des keramischen Quellenmaterials gelegt. Damit stellt die vorgenommene Analyse der ephesischen Siedlungsbefunde unter der Tetragonos Agora vonseiten der Materialauswertung die grundlegenden Indizien bereit, die im Falle einer weiterführenden Studie als wertvolle Argumentationsgrundlage und für andere Siedlungsgrabungen als Vergleichsbasis dienen können. Die Prüfung des Gefäßspektrums hinsichtlich seiner Aussagekraft für die nähere Funktion einzelner Gebäude und Strukturen rundet somit die kontextuelle Analyse der Befunde jenseits ihrer rein chronologischen Dimension sinnvoll ab.

1.D.3 Die Siedlungsbefunde unter der Tetragonos Agora: Zusammenfassende Darstellung

Mit den archaischen Siedlungsbefunden unter der Tetragonos Agora konnte erstmals ein direkter und auf archäologischen Evidenzen basierender Zugang zu der Frage der ephesischen Besiedlung des 7. und 6. Jahrhunderts v. Chr. gewonnen werden. Anders als in den wenigen spätarchaischen Gräbern am sog. Staatsmarkt¹⁰⁵⁵ sowie im östlichen Bereich unter der Tetragonos Agora¹⁰⁵⁶ oder auch im Artemision, welchem als überregionalem Heiligtum eine gesonderte Rolle zukommt, erschließen die dichten Siedlungsbefunde unter dem Westflügel der Tetragonos Agora den bislang vielleicht besten, da umfassendsten und durch die Qualität als Siedlungsbefunde auch sehr repräsentativen Einblick in das archaische Ephesos. Wenn auch die gewonnenen Erkenntnisse aus dem mit 370 m² doch räumlich stark begrenzten Grabungsareal nicht undifferenziert für das gesamte ephesische Siedlungsgebiet übernommen werden dürfen¹⁰⁵⁷ (s. u. Kap. 2.B), so werden nun doch erstmals verbindliche Aussagen über die Struktur, die Bautypologie, die chronologische Abfolge und die materielle Kultur einer ephesischen Ansiedlung archaischer Zeit möglich.

Die großen Entwicklungsphasen, welche die Siedlung durchläuft, sind über die den gesamten Siedlungsplatz berührenden Erscheinungen, wie sie die Brandzerstörung der AG Phase II sowie die Planiermaßnahmen am Beginn der AG Phase III und der AG Phase IV darstellen, gut nachvollziehbar. Einzig die stratigrafisch ebenfalls gut abgegrenzten Evidenzen der AG Phase I beschränken sich auf einen eng umfassten Raum innerhalb des ergrabenen Siedlungsplatzes. Die bislang bekannten Siedlungsbefunde setzen mit den früharchaischen Kontexten unter der späteren Tetragonos Agora (AG Phase I und II) im zweiten Viertel des 7. Jahrhunderts deutlich später ein als die ältesten, noch spätbronze- bis früheisenzeitlichen Befunde im Heiligtum der Artemis¹⁰⁵⁸. Die große Anzahl geometrischer Gefäßfragmente verweist gleichzeitig jedoch auf eine wahrscheinliche, wenn auch nicht hinreichend nachweisbare (Siedlungs-)Aktivität schon seit spätgeometrischer Zeit, und im Ovalbau OB begegnet in der AG Phase II ein Gebäude, das in seinem Bautypus noch aus geometrischen Traditionen heraus zu erklären ist (s. o. Kap. 1.D.2.2), selbst wenn entsprechende Befunde aus dieser Zeit nicht angetroffen wurden. Wie die umliegenden Gebäude der AG Phase II setzt auch der Ovalbau OB direkt am natürlich gewachsenen Kalkrotlehm auf. Die in seinem Gefäßensemble auffällige Prägung des Ovalbaus OB im Zentrum des ergrabenen Siedlungsareals unter der Tetragonos Agora setzt sich zumindest bis in die nachfolgende Siedlungsphase AG Phase III mit dem zweiräumigen Gebäude MB fort¹⁰⁵⁹. Die sonst im Typus einer Einzelhaussiedlung organisierten, einräumigen Rechteckbauten des 7. Jahrhunderts werden im 6. Jahrhundert durch mehrräumige, an einer gemeinsamen Nordmauer

¹⁰⁵⁵ Dazu Langmann 1967.

¹⁰⁵⁶ Dazu Scherrer 2000, 47; Kerschner 2006g, 151.

¹⁰⁵⁷ Dazu auch Kerschner 2017b, 487 f.

¹⁰⁵⁸ Zu einem protogeometrischen Fundkomplex vgl. etwa Kerschner 2003b; zu einem frühgeometrischen Befund s. Kerschner 2003a, 44–50. 58. Vgl. auch Kerschner 2017b, 493; Kerschner 2017c, 9 f. 12–15. 17–27.

¹⁰⁵⁹ Es sei ausdrücklich darauf verwiesen, dass die Lagebeschreibung »im Zentrum des ergrabenen Areals« keine qualitative Wertung impliziert: die Position der Gebäude im gesamten Siedlungszusammenhang bleibt unklar, da die ursprüngliche Ausdehnung der Bebauung nicht gesichert ist.

ausgerichtete Hofhäuser abgelöst¹⁰⁶⁰. Die Bauweise bleibt für jene Phasen, aus denen Baustrukturen erhalten geblieben sind, mit ihren auf Mauersockeln aus lokalem Konglomeratgestein errichteten Lehmwänden über alle Siedlungsphasen hinweg grundsätzlich die gleiche, wobei die Strukturen der jeweiligen Vorgängerarchitektur teilweise weiter Verwendung fanden oder zumindest in der Ausrichtung der Neuanlage berücksichtigt wurden. Einzig das Gebäude KMB zeichnet sich durch die Verwendung von Kalkmergelplatten in der Sockelzone aus. Hinweise auf mögliche Dachkonstruktionen liefern die zentralen Pfostengrubenreihen in den Gebäuden VG der AG Phase IIa und HA 6 der AG Phase IV, in dessen Kontext wenige Ziegelfragmente ein Ziegeldach wahrscheinlich machen (s. o. Kap. 1.B.5). Die Gelniveaus setzen sich aus Lehm- und Schotterhorizonten zusammen, wobei diese vor allem in der AG Phase II auch in Kombination miteinander auftreten. Für den Innenraum des Gebäudes PB (AZ 9) gibt es sogar Hinweise auf einen Holzplankenboden. Grubenherde (VZ, MB, KMB), aschige Feuerstellen (AZ 1, KMB) und gemauerte Herde (NB) stellen abgesehen vom mobilen Fundinventar die einzigen erhaltenen Einrichtungselemente innerhalb der Gebäude dar, was zumindest für die Siedlungsphasen AG Phase III und IV auch mit ihrer planmäßigen Aufgabe zusammenhängen dürfte. Was die Ausdehnung der Siedlung unter der Tetragonos Agora betrifft, so lässt sich in der AG Phase IIIb mit der Erweiterung der Bebauung hangaufwärts (BZ) und des im Osten eingebrachten Töpfereibetriebs eine Veränderung konstatieren. Die funktionale Umwidmung des östlichsten Bereichs in ein handwerklich genutztes Areal wurde allerdings bereits in der AG Phase IV wieder rückgängig gemacht. Ob das südliche Gebäude BZ anders als die tiefer gelegenen Gebäude der AG Phase IIIb auch noch in der AG Phase IV weiter Bestand hatte, lässt sich aufgrund der schwierigen Befundsituation nicht klären, bleibt aber zumindest im Bereich des Möglichen. Im mittleren 6. Jahrhundert wurden die Gebäudeensembles der letzten Siedlungsphase aufgegeben und waren während der weiteren wirtschaftlichen Nutzung des Areals in klassischer Zeit¹⁰⁶¹ einem allmählichen Verfall preisgegeben, ehe sie bei der Anlage der hellenistischen Agora einplaniert wurden.

¹⁰⁶⁰ Lang 1996, 58 f. Zu den sozio-politischen und kulturellen Implikationen dieser architektonischen Neuerung vgl. insbesondere Lang 2005; Lang 2007.

¹⁰⁶¹ Vgl. dazu Scherrer 1999, 47; Scherrer – Trinkl 2006, 61–164.

1.E TYPOCHRONOLOGIE

1.E.1 Eine chronologische Gefäßtypologie für das archaische Ephesos

Nach erfolgter Auswertung der Stratigrafie (Kap. 1.A), der Keramik (Kap. 1.B) und der Darstellung der Gesamtbefunde (Kap. 1.D) sollen die Ergebnisse nun konkret in der Erstellung einer chronologischen Keramiktypologie angewandt werden¹⁰⁶². Dabei wird das für jede der datierten Siedlungsphasen charakterisierende Keramikspektrum herausgearbeitet, woraus sich Anhaltspunkte für die Laufzeiten bestimmter Gefäßformen und Gefäßtypen speziell in Ephesos näher erschließen.

1.E.1.1 DIE KERAMIK DER AG PHASE I: 730/700–675/670 v. CHR.

Obwohl in den materialarmen Befunden der AG Phase I (Keramiktaf. 1) die statistisch aussagekräftige Fundbreite fehlt, gewähren sie dennoch einen Einblick in das am Beginn des zweiten Viertels des 7. Jahrhunderts in Ephesos zu erwartende Formenrepertoire (Typentaf. 1). Dieses stimmt mit korinthisierender Kotyle, Vogelkotyle, (Randfalz-)Kotyle, steilwandiger Tasse, Krater mit Zirkeldecor und dunklem Kännchen mit dem Bestand bekannter geometrischer und subgeometrischer Kontexte überein. Mit der Kotyle **Kat. 3** ist spätestens am Beginn des zweiten Viertels des 7. Jahrhunderts die lokale Keramikproduktion gesichert sowie mit der steilwandigen Tasse **Kat. 4** der Import von Trinkgefäßen aus Samos.

1.E.1.2 DIE KERAMIK DER AG PHASE II^{A+B}: 675/670–660/650 v. CHR.

Für die AG Phase II (Keramiktaf. 1–43) ist eine reiche Vielfalt an Formen und Typen (Typentaf. 2–3) allein schon für die Trinkgefäße belegt (Diagramm 76).

Deutlich zeichnet sich das Primat der schon in der AG Phase I vertretenen Randfalzkytlen (27 %) und Vogelkytlen (24 %) noch vor den Tassen mit konkaver Wandung als drittgrößter Gruppe (15 %) ab, die in der Vorgängerphase noch nicht vorkommen. Neu in der AG Phase II sind auch die Knickrandtassen (5 %), die Skyphoi (4 %), die glockenförmigen Tassen (2 %) und die Tassen mit geschwungener Wandung (1 %). Die wenigen Knickrandschalen **Kat. 41**, **Kat. 358** und **Kat. 433–Kat. 435** (3 %) finden sich erst in den Zerstörungshorizonten der AG Phase II.

Die feinkeramisch bemalten Kratere (**Kat. 13**, **Kat. 14**, **Kat. 78**, **Kat. 364** und **Kat. 441**) sind noch geometrischen Dekortraditionen verpflichtet, auch wenn sich mit **Kat. 180** und **Kat. 184** der orientalisierende Stil bereits ankündigt, der schließlich mit den Kannen **Kat. 60** und **Kat. 206**, der Vogelschüssel **Kat. 250** und der Tasse **Kat. 318** voll ausgeprägt in den Zerstörungsniveaus bzw. im jüngeren Bodenniveau von VG auftritt. Damit werden die orientalisierenden Gefäße gemeinsam mit den Knickrandschalen zum distinktiven Element, das die beiden Subphasen AG Phase II^a und AG Phase II^b keramisch voneinander unterscheidbar macht. Der orientalisierende Deckel **Kat. 140** ist zwar über seine Fundvergesellschaftung einem Bodenniveau zugeordnet, hat aber wahrscheinlich direkt auf und nicht in diesem Bodenniveau gelegen, weshalb er ebenfalls nicht der Bauzeit des Ovalbaus OB, sondern seiner Nutzung zuzurechnen sein dürfte.

Zu den die AG Phase II charakterisierenden Alltagswaren (Diagramm 77–80) zählen neben den dominierenden geometrischen Krateren (58 %) erstmals Halskratere (4 %) und mastoide Kratere (12 %), Dinoi mit hoher einziehender Halspartie (13 %) und Dinoi mit Wulstrand (13 %). Die Tiefen Schüsseln **Kat. 103** und **Kat. 324** sind in Zerstörungshorizonten der AG Phase II nachgewiesen und zeigen damit ihre mögliche Verankerung erst in der AG Phase II^b an. Die unbemalte und sorgfältig geglättete Gefäßoberfläche von **Kat. 324** ist dabei ein Merkmal auch gerade der bauchigen Schüsseln, die innerhalb der Serviergefäße mit einem 27 %-igen Anteil dominieren. Die Schüsseln mit gerundeter Wandung (12 %) und die kleinen Schüsseln (10 %)

¹⁰⁶² Dazu auch von Miller 2018.

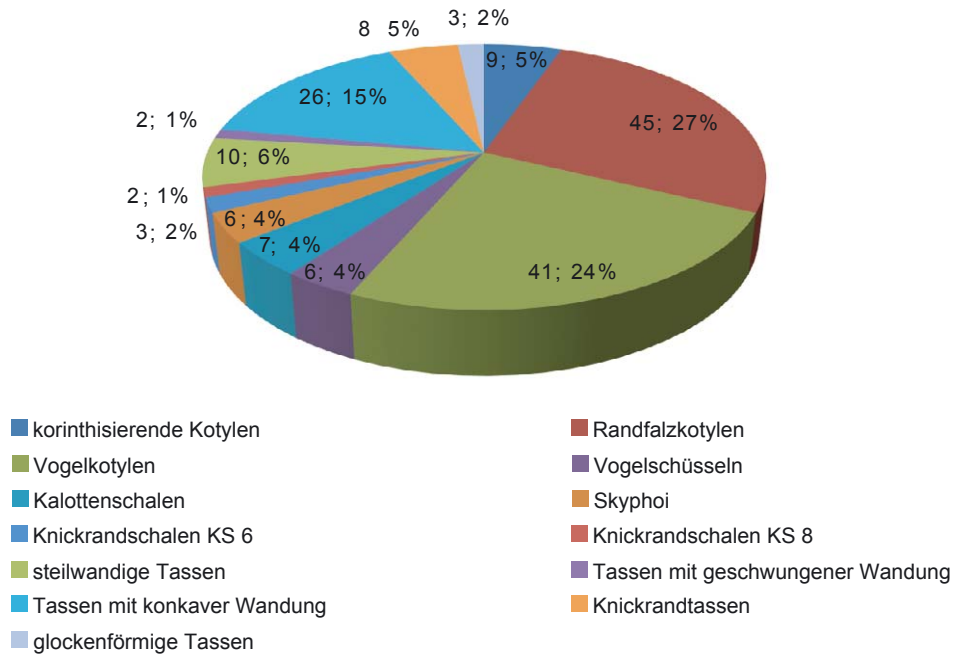


Diagramm 76 Übersicht der Trinkgefäße AG Phase II

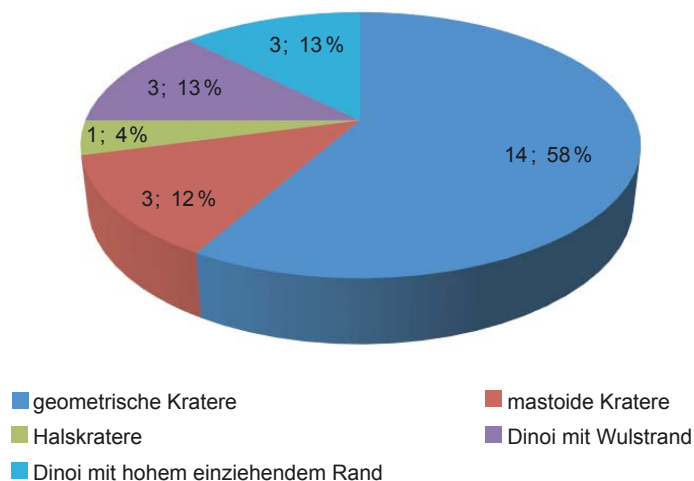


Diagramm 77 Übersicht der Mischgefäße AG Phase II

bleiben ebenfalls mehrheitlich unbemalt, während sich die desgleichen prominent vertretenen Henkelschalen (16 %) fast ausschließlich durch einen Bänderdekor auszeichnen, der unter den Steilwandschüsseln (19 %) ebenso verbreitet ist. Die Steilwandschüsseln finden sich gemeinsam mit den Knickrandschalen und den orientalisierenden Gefäßen erst im jüngeren Bodenniveau von VG bzw. in den Zerstörungsniveaus, was ihre relative Nachzeitigkeit zu den übrigen Schüsselformen erst in der AG Phase IIb verdeutlicht. Dabei fällt auf, dass die stratigrafisch älteste Steilwandschüssel **Kat. 253** aus dem jüngeren Bodenhorizont von VG ebenfalls noch die typische Oberflächengestaltung der AG Phase II-Schüsseln aufweist. Die Teller auf hohem Fuß (8 %) verteilen sich wie die Tiefen Schüsseln auf die unbemalte Alltagsware und die Graue Ware. Sie sind als einzige Tellerform bereits vor dem mittleren 7. Jahrhundert einzuordnen.

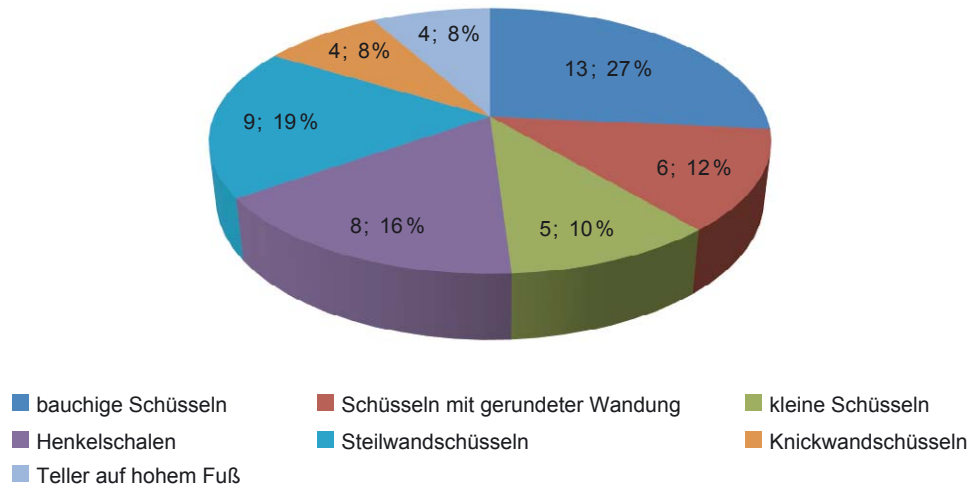


Diagramm 78 Übersicht der Serviergefäße AG Phase II

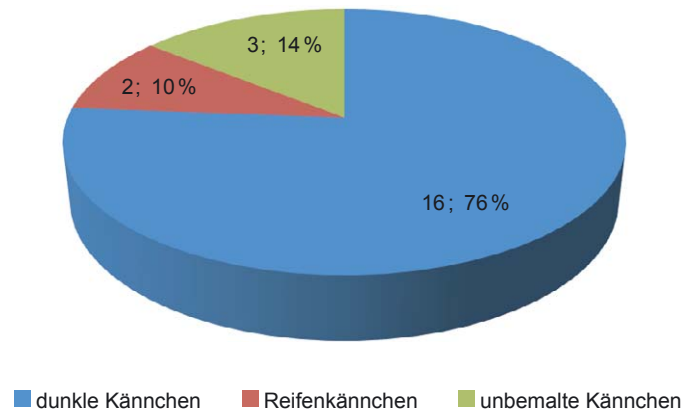


Diagramm 79 Übersicht der Kännchen AG Phase II

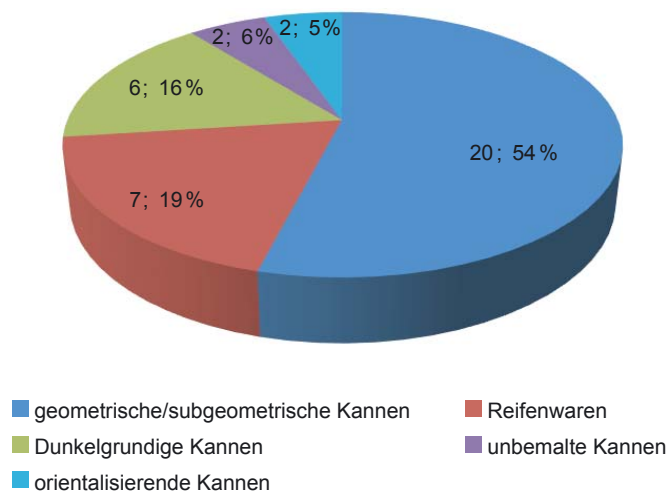


Diagramm 80 Übersicht der Kannen AG Phase II

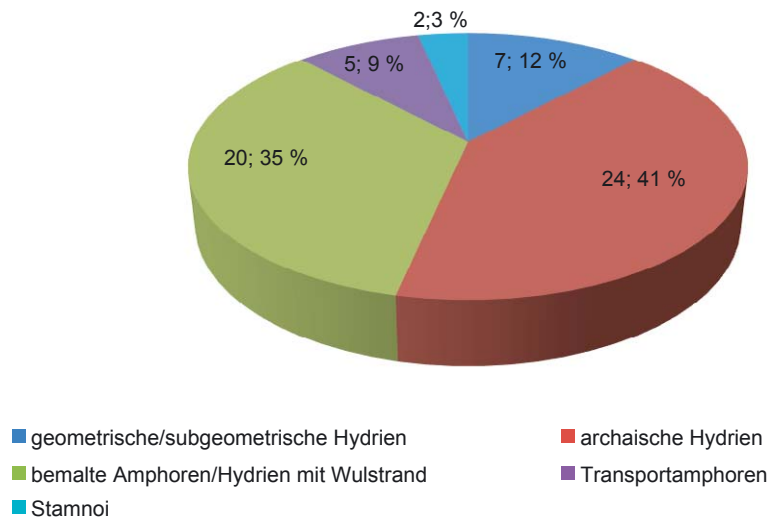


Diagramm 81 Übersicht der Vorrats- und Transportgefäße AG Phase II

Bei den wenigen Deckeln aus der AG Phase II stehen die Deckel **Kat. 140**, **Kat. 194**, **Kat. 374** und **Kat. 375** mit Deckelfalz dem Deckel **Kat. 282** als einzigem ohne Falz gegenüber. Bis auf den orientalisierend bemalten Deckel **Kat. 140** ist allen die glatt polierte und unbemalte Gefäßoberfläche gemeinsam, die schon das Gros der Schüsseln auszeichnet.

Die Kännchen stehen in der AG Phase II noch ganz klar in der geometrischen Dekortradition (76 %); die aufgehellten Kännchen (24 %) treten mit Ausnahme von **Kat. 417** erst in den Zerstörungshorizonten auf.

Die stark geometrische und subgeometrische Prägung bleibt auch für die Kannen mit einem 54 %-igen Anteil verbindlich, gefolgt von reifenverzierten Kannen (19 %) und dunkelgrundigen Kannen (16 %). Die wenigen unbemalten Kannen (6 %) verteilen sich auf ein Gefäß der Grauen Ware (**Kat. 58**) und eine Riefelkanne (**Kat. 418**) mit wiederum sorgfältig geglätteter Oberfläche und somit auf zwei Warengruppen, die schon unter den Schüsseln präsent sind.

Innerhalb der Vorrats- und Transportgefäße (Diagramm 81) stellen sich die Wellenbandhydrien und Amphoren mit Wulstrand als charakteristische Form dar (76 %); die Hydrien mit geometrischem Zirkeldecor bleiben auf wenige Exemplare beschränkt (12 %). Von den Stamnoi (3 %) ist **Kat. 223** wie schon in der AG Phase I der Stamnos **Kat. 7** nicht der Alltagsware, sondern der Küchenware zugehörig. Die Transportamphoren (9 %) verteilen sich auf Gefäße samischen (**Kat. 64**, **Kat. 296**), lesbischen (**Kat. 222**) und möglicherweise milesischen Typs (**Kat. 393**). Mit der korinthischen A-Amphore **Kat. 336** zeichnet sich für das zweite Viertel des 7. Jahrhunderts auch im Güterverkehr jene Anbindung von Ephesos an Korinth ab, die hauptsächlich mit dem Import von Feinwaren (Kotylen und Kannen, Aryballoi) evident wird, wobei die protokorinthischen Kotylen eine daran angelehnte ionische Produktion anregen.

Bei den Küchenwaren (Diagramm 82) stehen die offenbar für diese Siedlungsphase typischen variantenreichen, kleinformatischen Kochtöpfe (78 %) den beiden extrem proportionierten Kochtöpfen (7 %) **Kat. 337** und **Kat. 452** gegenüber. Interessanterweise bleibt das Repertoire an Kochgefäßen damit auf die Kochtöpfe beschränkt. Mit den mobilen Herden (11 %) ist deren Nutzung erstmals in der AG Phase II nachweisbar.

Die Pithoi **Kat. 245** und **Kat. 309** zeichnen sich beide durch einen beutelförmigen Gefäßkörper und einen ausgebogenen Rand aus; im Verhältnis zu den Pithoi der Nachfolgephasen weisen jene der AG Phase II kleinere Proportionen auf.

Aus der Aufschlüsselung des Gefäßspektrums der AG Phase II lassen sich Randfalzkotylen, Vogelkotylen, Tassen mit konkaver Wandung, korinthische und korinthisierende Kotylen, geometrische und subgeometrische Misch- und Schankgefäße, bauchige Schüsseln, weitere Varianten

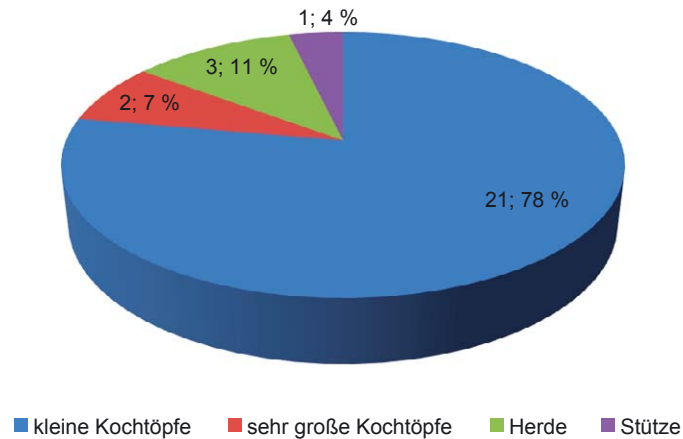


Diagramm 82 Übersicht der Küchenwaren AG Phase II

von Schüsseln mit konvexer Wandung der Polierten Ware und der Grauen Ware sowie reifenverzierte Henkelschalen, Wellenbandhydrien und Amphoren mit Wulstrand sowie kleine Kochtöpfe als die im zweiten Viertel des 7. Jahrhunderts charakteristischen Gefäßformen in Ephesos erkennen. In der fortgeschrittenen AG Phase II (AG Phase IIb) erweitert sich das Repertoire der Trinkgefäße um die Knickrandschalen der Typen 6 und 8 und orientalisierende Exemplare, das Repertoire der Serviergefäße um die Steilwandschüsseln und das Repertoire der Schankgefäße um orientalisierende Kannen.

Für mehrere Gefäßformen (Knickrandschalen vom Typ 8, mastoide Kratere, Henkelschalen, Knickwandschüsseln, Steilwandschüsseln, Teller auf hohem Fuß, dunkelgrundige Kannen) sind in den Befunden der AG Phase II gute Argumente gegeben, diese zukünftig früher als bislang angenommen schon im zweiten Viertel des 7. Jahrhunderts einzuordnen. Mit der Flasche **Kat. 28**, den glockenförmigen Tassen **Kat. 76** und **Kat. 102**, den korinthisierenden Kotylen **Kat. 32** und **Kat. 33**, **Kat. 67**, **Kat. 147–Kat. 150**, den dunklen Skyphoi **Kat. 164**, **Kat. 165** und **Kat. 238**, den bauchigen Kännchen **Kat. 16** und **Kat. 305** sowie den Tiefen Schüsseln **Kat. 103** und **Kat. 324** begegnen in den Siedlungsbefunden der AG Phase II darüber hinaus Gefäße, die in dieser Form bislang nicht oder kaum aus ionischen Fundplätzen publiziert sind.

Abseits des Formenspektrums lassen sich mehrere Dekorvarianten als typisch erkennen. Innerhalb der bemalten Waren dominieren einerseits geometrische und subgeometrische Dekormalerei auf Kotylen, Kalottenschalen und feinkeramischen Großgefäßen, andererseits dunkelgrundige Oberflächen auf Tassen, Knickrandschalen, Skyphoi, Kännchen und Großgefäßen, die durch ausgesparte Reifen oder aufgesetztes Deckweiß aufgelockert werden können. Innerhalb der Mischgefäße und der Kannen haben auch die Reifenwaren einen hohen Anteil (Diagramm 77. 79) und bei den Vorrats- und Transportgefäßen dominieren sie das Bild (Diagramm 81). Unbemalte Gefäße scheinen sich abseits der Tiefen Schüsseln, der Serviergefäße und der Deckel keiner großen Beliebtheit erfreut zu haben, dort haben sie jedoch als Vertreter der Polierten Ware und der Grauen Ware den höchsten Anteil. Nur die Henkelschalen sind fast ausschließlich mit Reifendekor belegt, wobei auch dieser über mehrheitlich feinpolierten Oberflächen aufgetragen ist.

Das Repertoire der keramischen Sonderformen setzt sich in der AG Phase II aus der Flasche **Kat. 28**, der Omphalosschale **Kat. 228** mit flachem Omphalos, dem Krateriskos **Kat. 302**, dem Ringaskos **Kat. 402** und dem Spinnwirtel **Kat. 403** zusammen.

1.E.1.3 DIE KERAMIK DER AG PHASE IIIA+B: 650–600 v. CHR.

Das keramische Inventar in den Befunden der AG Phase III (Keramiktaf. 44–87) weist viele Gemeinsamkeiten mit jenem der AG Phase II auf. Innerhalb der bekannten Formen und Typen kommt der klare Unterschied der Siedlungsphasen vor allem in den Verhältnisanteilen an einer Gefäßgruppe zum Ausdruck, die sich auch durch das Aufkommen neuer Formen und Varianten gegenüber der AG Phase II verändern (Typentaf. 4–6).

Wie in der AG Phase II haben die Randfalzkotylen mit 25 % den höchsten Anteil an den Trinkgefäßen (Diagramm 83), gefolgt von den Vogelkotylen und den Tassen mit konkaver Wandung. Bei diesen beiden hat in der AG Phase III aber eine Verlagerung der Verhältnisse zugunsten der Tassen mit 18 % vor den Vogelkotylen mit nur noch 15 % stattgefunden. Die übrigen Tassenformen haben gemeinsam einen nur mehr 9 %-igen Anteil und beschränken sich auf die Horizonte der AG Phase IIIa sowie die Bau- und älteren Bodenhorizonte der AG Phase III; Gleiches gilt für die Skyphoi (**Kat. 460. Kat. 471**) und die korinthisierenden Kotylen (**Kat. 608**) mit jeweils 1 %. Auch der korinthische Import von Feinkeramik fällt in der AG Phase III geringer aus und beschränkt sich auf den kleinen protokorinthischen Kessel **Kat. 465** in der AG Phase IIIa, auf den Knickrandskyphos **Kat. 569**, die Kanne **Kat. 672** und die Kotyle **Kat. 699** in der AG Phase III sowie die Kanne **Kat. 732**, die Knickrandschale **Kat. 781** und die Kotyle **Kat. 942** in der AG Phase IIIb. Mit **Kat. 869** ist ähnlich wie schon in der AG Phase II eine Tasse mit orientalisierendem Dekor vorhanden, die hier die späte Einordnung des Befundes in der AG Phase IIIb mitbegründet. Die Knickrandschalen verzeichnen demgegenüber mit nunmehr 25 % einen rapiden Anstieg in der AG Phase III, wobei die Knickrandschalen der Typen 9 und 10 erst mit der AG Phase IIIb evident werden. Die ebenfalls neue Variante der Knickrandschale Typ 5 tritt mit **Kat. 619, Kat. 678** und **Kat. 679** zwar schon zu Beginn der Siedlungsphase auf, eine rasante Zunahme zeichnet sich jedoch erst in der AG Phase IIIb ab und hier gerade in den Töpfereibefunden, wo eine lokale Herstellung der Gefäße zu vermuten ist. Die chiotische Tasse **Kat. 657** gehört gemeinsam mit den Knickrandschalen vom Typ 9 und vom Typ 10 und der orientalisierenden Tasse zu den ausschließlich die AG Phase IIIb charakterisierenden Trinkgefäßen, wobei die Knickrandschalen vom Typ 9, obwohl im lokalen Fabrikat vertreten, in den Töpfereibefunden nicht vorkommen, wohl aber in den Gebäuden NB (**Kat. 519–Kat. 521**) und KMB (**Kat. 602**) im westlichen Bereich des ergrabenen Areals. Diese Evidenz könnte den schon von P. Scherrer auf Grundlage des Baubefundes angedachten zeitverzögerten Ausbau der AG Phase IV im westlichen Bereich (HA-West) gegenüber dem östlichen Bereich der Siedlung (HA-Ost)¹⁰⁶³ vonseiten des keramischen Fundmaterials unterstreichen.

Bei den Mischgefäßen (Diagramm 84) haben die geometrischen und subgeometrischen Kratere nach wie vor den höchsten Anteil inne (38 %). Daneben kommen wie in der vorangehenden AG Phase II Halskratere und mastoide Kratere gemeinsam mit Dinoi mit Wulsträndern und Dinoi mit einziehendem Rand vor, wobei sich nun aber eine Verlagerung der Verhältnisse zugunsten der Dinoi mit Wulstrand (19 %) gegenüber jenen mit einziehendem Rand (5 %) abzeichnet. In der AG Phase IIIb kommt mit den Dinoi mit senkrechtem Rand (10 %) darüber hinaus eine neue Form auf.

Die Tiefen Schüsseln **Kat. 625, Kat. 753** und **Kat. 873** zeichnen sich auch in der AG Phase III durch ihre unbemalten und polierten Gefäßoberflächen aus, welche auch unter den Serviergefäßen (Diagramm 85) bei den bauchigen Schüsseln (16 %), den variantenreichen Schüsseln mit konvexer Wandung (15 %) und den kleinen Schüsseln (8 %), aber mit **Kat. 920** und **Kat. 922** auch bei den Tellern mit geradem Rand und bei jenen mit breitem Flachrand vertreten sind. Diese beiden Tellerformen treten ab der AG Phase IIIb neben die Teller auf hohem Fuß (5 %) und können auch Reifendekor (**Kat. 525. Kat. 762. Kat. 763. Kat. 845. Kat. 923. Kat. 924**) oder flächige Bemalung (**Kat. 786. Kat. 876**) aufweisen. Die dominierenden bauchigen Schüsseln und Henkelschalen der AG Phase II verlieren ihre Dominanz, wobei vor allem die Henkelscha-

¹⁰⁶³ Vgl. dazu Scherrer – Trinkl 2006, 63 f.

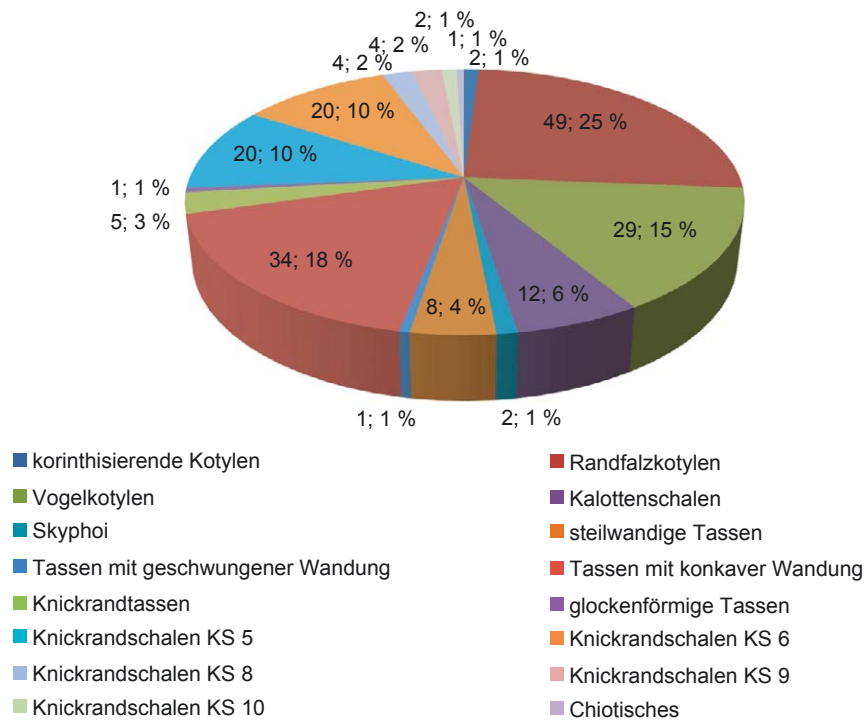


Diagramm 83 Übersicht der Trinkgefäße AG Phase III

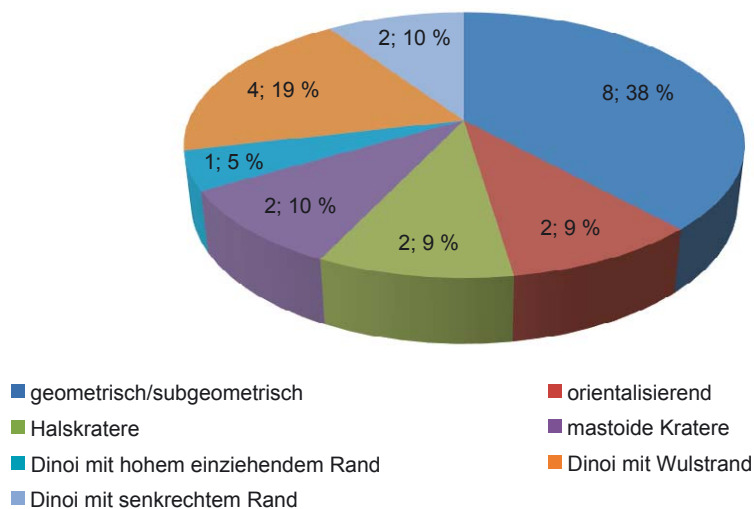


Diagramm 84 Übersicht der Mischgefäße AG Phase III

len mit nur noch 5 % stark zurückgehen und ihren Platz hinter den bauchigen Schüsseln an die variantenreichen Schüsseln mit konvexer Wandung abtreten. Zu den Steilwandschüsseln (12 %) treten nun auch verstärkt die Knickwandschüsseln (12 %) sowie die bislang nicht bekannten Riefelrandschüsseln (9 %) und seit der AG Phase IIIb die Lekanen (3 %). Diese beiden letzten Formen sind auch die einzigen, die verbindlich auf jede Bemalung verzichten, während mit **Kat. 912** erstmals die bauchigen Schüsseln in bemalter Form vertreten sind.

Mit den Deckeln verhält es sich in der AG Phase III genau umgekehrt zur AG Phase II: nur **Kat. 967** weist einen Deckelfalz auf, während **Kat. 821**, **Kat. 927** und **Kat. 928** einen geraden Rand ausbilden. Mit **Kat. 508**, **Kat. 925** und **Kat. 926** liegen außerdem erstmals unterschied-

1.E Typochronologie

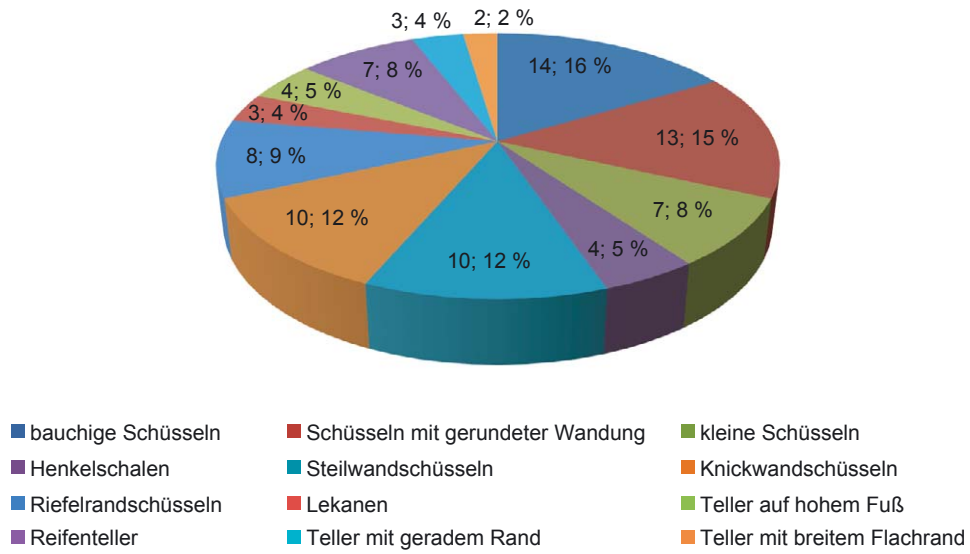


Diagramm 85 Übersicht der Serviergefäße AG Phase III

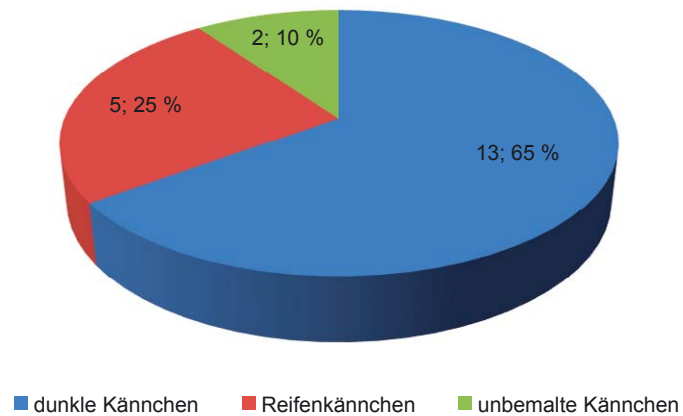


Diagramm 86 Übersicht der Kännchen AG Phase III

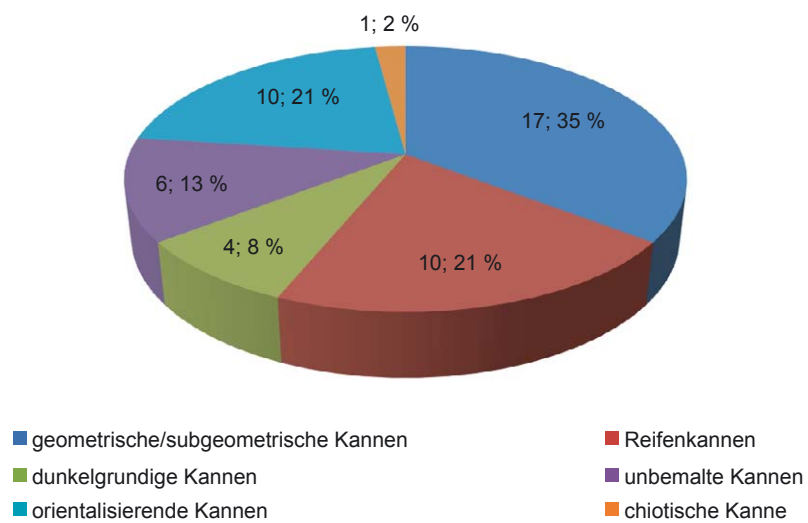


Diagramm 87 Übersicht der Kannen AG Phase III

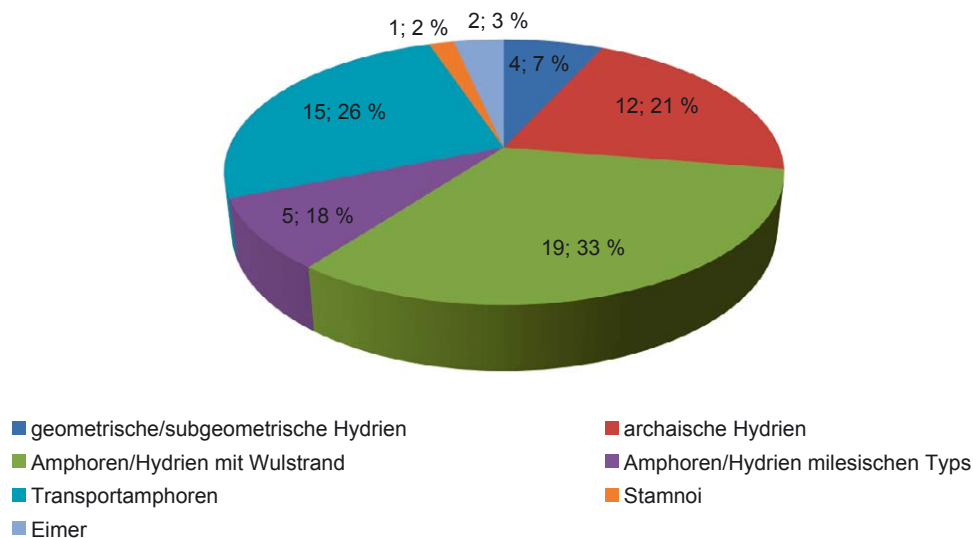


Diagramm 88 Vorrats- und Transportgefäße der AG Phase III

liche Varianten von Deckelknäufen vor. Alle Deckelfragmente sind wie in der Vorgängerphase unbemalt.

Bei den Kännchen (Diagramm 86) bleibt die schon aus der AG Phase II bekannte geometrische Prägung mit dem 65 %-igen Anteil der dunklen Kännchen bestehen, doch haben die Reifenkännchen mit einem nunmehr 25 %-igen Anteil an Bedeutung gewonnen.

Auch bei den Kannen (Diagramm 87) bleibt der Anteil der den geometrischen und subgeometrischen Dekortraditionen verpflichteten Gefäße mit 35 % in der AG Phase III dominierend. Zu den Reifenkannen als zweitgrößte Gruppe (21 %) hat sich nun aber gleichwertig die Gruppe der orientalisierenden Kannen mit ebenfalls 21 % gesellt, während die dunkelgrundigen Kannen (8 %) an Bedeutung eingebüßt haben. Dies unterstreicht einmal mehr die schon frühe Einordnung der Dunkelgrundigen Ware. Mit der Kanne **Kat. 772** stellt sich in der AG Phase IIIb ein zweiter chiotischer Import der Tasse **Kat. 657** zur Seite.

Das Verteilungsmuster der Vorrats- und Transportgefäße (Diagramm 88) stellt sich in der AG Phase III komplexer dar. Die bemalten Hydrien und Amphoren mit Wulstrand halten nach wie vor einen Anteil von 33 %; parallel dazu verzeichnen die Transportamphoren mit 26 % einen sprunghaften Anstieg im Vergleich zur AG Phase II, während die Hydrien insgesamt mit 79 % an Bedeutung gegenüber der AG Phase II verlieren. Innerhalb der Transportamphoren treten neben jene samischen Typs (**Kat. 514. Kat. 515. Kat. 775. Kat. 776**) besonders in der AG Phase IIIb prominent jene milesischen Typs (**Kat. 693. Kat. 886–Kat. 888. Kat. 889** [?]. **Kat. 970**), die auch erstmals bei den bemalten Transportgefäßen mit 11 % vertreten sind. Ebenfalls in der AG Phase IIIb sind mit **Kat. 777** und **Kat. 828** weitere chiotische Gefäße und mit **Kat. 891** eine klazomenische Amphore vertreten. Neben den Stamnoi (2 %) sind nun erstmals in der AG Phase IIIb Eimer (**Kat. 892. Kat. 893**) (3 %) nachgewiesen. Anders als bei den Amphoren, Hydrien und Stamnoi boten die Eimer mit einer weiten Öffnung leichteren Zugang zu den Inhalten, umgekehrt aber weniger Schutz für die eingelagerten Güter. Es ist daher vielleicht kein Zufall, dass die Gefäßform des Eimers erstmals in den Werkstattbefunden im Osten der Siedlung evident wird.

Auch das Repertoire der Küchenwaren stellt sich nun wesentlich heterogener als in AG Phase II dar (Diagramm 89). Die kleinen Kochtöpfe haben mit 20 % nach wie vor einen bemerkenswerten Anteil an den Küchenwaren, doch scheinen die großen Kochtöpfe in der AG Phase III bereits beliebter zu sein (40 %). Die Schüssel **Kat. 566**, der Deckel **Kat. 695** und die Amphore **Kat. 694** bleiben in den Baubefunden der AG Phase III singulär. Die Reibschüsseln (12 %) kommen in der AG Phase IIIb neu hinzu und verteilen sich auf zypriotische Importprodukte

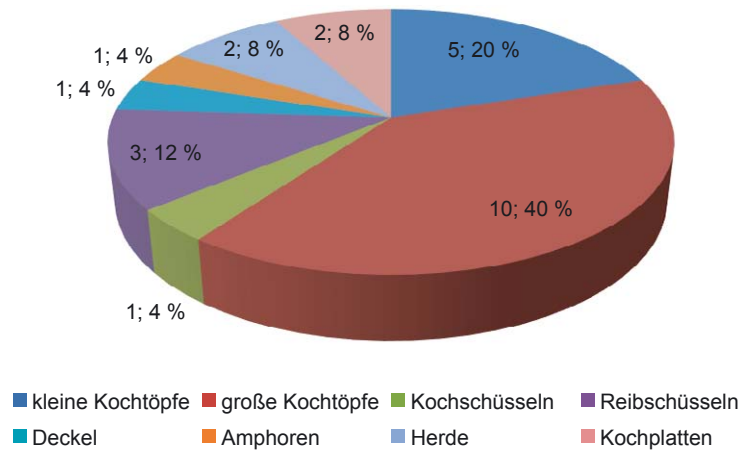


Diagramm 89 Übersicht der Küchenwaren AG Phase III

(**Kat. 894**) und wahrscheinlich nordionische Adaptionen derselben (**Kat. 607. Kat. 895**). Parallel dazu ist mit **Kat. 896** erstmals eine Kochplatte gesichert. Damit zeichnet sich vor allem in der AG Phase IIIb eine differenziertere Kochpraxis als noch in AG Phase II ab.

Der Pithos **Kat. 669** ist wahrscheinlich dem gleichen Typus wie die Pithoi der AG Phase II zugehörig, während mit **Kat. 941** eine größere Ganzform mit deutlich voneinander abgesetzten Körperpartien begegnet. **Kat. 941** gehörte zu dem unbeweglichen Inventar der Töpferwerkstatt, in deren Gehniveau er bis zur Zierleiste am Hals eingetieft war. Diesem zweiten Typus, der somit ein Spezifikum der AG Phase IIIb zu sein scheint, ist auch **Kat. 780** zugehörig.

In der Aufschlüsselung des Gefäßrepertoires der AG Phase III stellen sich Randfalzkotylen, Vogelkotylen, Tassen mit konkaver Wandung, Knickrandschalen der Typen 5 und 6, geometrische und subgeometrische Kratere, Dinoi mit Wulsträndern, bauchige Schüsseln, Schüsseln mit anderweitig konvex gerundeter Wandung, Steilwandschüsseln und Knickwandschüsseln, dunkle Kännchen, geometrische sowie subgeometrische und orientalisierende Kannen sowie Reifenkannen, bemalte Hydrien und Transportamphoren mit Wulsträndern sowie große Kochtöpfe als die typischen Formen der AG Phase III dar. Damit wiederholen sich teilweise Phänomene der AG Phase II; mit den weniger prägnant vertretenen orientalisierenden Krateren, Riefelrandschüsseln, Kochschüsseln und Amphoren der Küchenware sind indes auch Formen verzeichnet, die in der AG Phase II noch nicht vorkommen. Umgekehrt verlieren mit den Skyphoi, den korinthisierenden Kotylen, den Henkelschalen und den dunkelgrundigen Kannen gerade jene Gefäßformen massiv an Bedeutung, die für die AG Phase II besonders bezeichnend waren.

Innerhalb der AG Phase III ist die keramische Abgrenzung der jüngeren Subphase AG Phase IIIb anhand der Knickrandschalen der Typen 9 und 10, der Dinoi mit senkrechtem Rand, der Lekanen, der Reifenteller und der Teller mit breitem Flachrand, der Transportamphoren milesischen Typs und der Eimer, der Reibschüsseln und Kochplatten sowie der chiotischen Importkeramik möglich.

In diesem Zusammenhang fällt auf, dass die relativ jüngsten Trinkgefäße, nämlich die Knickrandschalen vom Typ 9, in der AG Phase IIIb auf Siedlungsobjekte im westlichen Bereich der Agora-Siedlung (NB, KMB) beschränkt bleiben und damit auf jenen Bereich, von dem bereits P. Scherrer aufgrund der architektonischen Anlage der Hofhäuser in der Nachfolgephase AG Phase IV angenommen hat, dass er relativ später verbaut wurde als der östlich Abschnitt¹⁰⁶⁴. Damit liefert nun das Keramikspektrum ein zweites Indiz dafür, dass die Gebäude NB und KMB im Westen vielleicht länger bestanden als die Siedlungsobjekte der AG Phase III im Osten, und

¹⁰⁶⁴ Vgl. Scherrer – Trinkl 2006, 63 f.

demzufolge auch die Nachfolgebebauung der AG Phase IV zunächst im Osten mit HA-Ost 1+2 begann und HA-West etwas zeitverzögert angelegt wurde. Im Umkehrschluss würde sich daraus für die Chronologie der Knickrandschalen ein relativ späterer Produktionsbeginn der Knickrandschalen vom Typ 9 im Verhältnis zu jenen vom Typ 10 ergeben, die im Töpfereibetrieb der AG Phase IIIb im Osten des Siedlungsareals unter der Tetragonos Agora mit ihren typologisch frühesten Exponenten **Kat. 808** und **Kat. 868** bereits vertreten sind.

In den Tellern mit breitem Flachrand treten in der AG Phase IIIb erneut Gefäße auf, die bislang nicht oder kaum bekannt gemacht wurden. Das gehäufte Auftreten der Lekanen ebenfalls in der AG Phase IIIb verdeutlicht deren chronologische Einordnung im späteren 7. Jahrhundert.

Wie in der AG Phase II leben geometrische und subgeometrische Dekortraditionen auch in der AG Phase III weiter, wobei geometrische Dekormalerei vor allem für die Randfalzkotylen und Kalottenschalen, die Kratere und die Kannen greift, während in den Tassen mit konkaver Wandung und den Knickrandschalen, den Kännchen und den Kannen bevorzugt das Phänomen der dunklen Gefäßoberflächen tradiert wird. Daneben kommen innerhalb der Kannen und der Teller auch erstmals orientalisierende Dekorsysteme stärker zum Tragen. Bei den Schüsseln, wo sich in der AG Phase II klare Tendenzen für unterschiedliche Formen abgezeichnet haben, werden diese in der AG Phase III variabler. Fast alle Schüsseln mit Ausnahme der Tiefen Schüsseln sind in unbemalter Form ebenso wie mit Reifen- und Wellenbanddekor vertreten; vereinzelt kommen auch bereits flächig überzogene Schüsseln vor (**Kat. 475. Kat. 505. Kat. 628**). Bei den unbemalten Schüsseln zeichnet sich eine Änderung im Produktionsverfahren ab. Neben die Gefäße mit feinbearbeiteter Oberfläche, welche die Polierte Ware kennzeichnet, treten verstärkt weicher gebrannte Schüsseln wahrscheinlich lokaler Produktion mit weniger sorgfältig bearbeiteter Oberfläche, die von der Bodenlagerung stärker angegriffen wurden.

Das Repertoire der keramischen Sonderformen setzt sich in der AG Phase III aus der Lampe **Kat. 640**, den Omphalosschalen mit flachem (**Kat. 498**) und kuppelförmigem Omphalos (**Kat. 670**), den Miniaturschüsseln **Kat. 598** und **Kat. 599**, dem doppelkonischen Spinnwirtel **Kat. 641**, dem Askos/Aryballos **Kat. 830**, den Lekythen **Kat. 671, Kat. 792** und **Kat. 831**, dem Amphoriskos **Kat. 698** und dem Netzgewicht **Kat. 832** zusammen.

Insgesamt betrachtet zeigt sich das Keramikspektrum aus den Siedlungsniveaus der AG Phase III(b) in einer guten Übereinstimmung mit jenem der Befunde des letzten Drittels des 7. Jahrhunderts, die aus dem Artemision publiziert sind¹⁰⁶⁵. Abgesehen von den kleinen Schüsseln der Grauen Ware und den Gefäßen der lydischen ›Black-on-red‹-Ware sowie der sog. Ephesischen Ware aus den Opferschichten C, G und/oder F sowie aus der Aufschüttung A im Artemision¹⁰⁶⁶ finden fast alle Form- und Dekorvarianten ihre Entsprechungen auch in den zeitgleichen Siedlungsniveaus. Die Artemisionbefunde bringen außerhalb der Agora-Befunde außerdem den Nachweis der vielen kleinformatigen Knickrandschalen der Typen 5 und 6, womit diese Formausprägung erneut als spezifisch ephesische Spielart dieser südionischen Schalen bestätigt wird. Mit den Knickrandschalen der Typen 9 und 10 begegnen in der AG Phase IIIb dagegen Typen, die in den Heiligtumsbefunden noch nicht vertreten sind. Die AG Phase III dürfte daher eine etwas längere Laufzeit gegen die Wende zum 6. Jahrhundert hin verzeichnen als die publizierten Befunde aus dem Artemision.

1.E.1.4 DIE KERAMIK DER AG PHASE IV: 600–550/530 v. CHR.

Die Horizonte der AG Phase IV sind die materialreichsten der archaischen Siedlung unter der Tetragonos Agora (Keramiktaf. 88–158) und sind vor allem in ihren Planierniveaus stark geprägt vom Gefäßrepertoire der Vorgängerphasen (Typentaf. 7. 8).

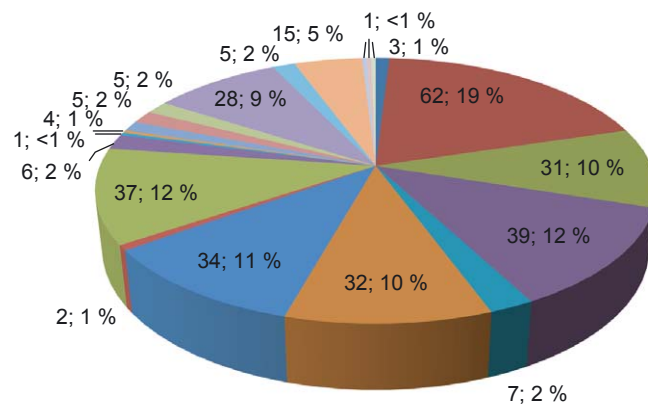
¹⁰⁶⁵ s. dazu Kerschner 1997a.

¹⁰⁶⁶ Vgl. Kerschner 1997a, 111–114 Nr. 8. 9 Taf. 2; 119–122 Nr. 21 Taf. 4; 132–134 Nr. 48 Taf. 7; 173–175 Nr. 133 Taf. 17.

Schon in der Übersicht der Trinkgefäße (Diagramm 90) wird dieses Phänomen deutlich, da die Randfalkotylen (19 %) nach wie vor das Bild dominieren; bei den Vogelkotylen und Kalottenschalen hat sich das Verhältnis hingegen zugunsten der Kalottenschalen (12 %) verschoben. Gleichauf mit den Kalottenschalen zeigen sich die Anteile der Knickrandschalen vom Typ 5 (10 %), vom Typ 6 (11 %) und vom Typ 9 (12 %), während die anderen Varianten der Typen 8, 10, 11 und die Wellenbandschalen als auch die Schalen mit ausgebogenem Rand mit einem Anteil zwischen 2 % und weniger als 1 % kaum ins Gewicht fallen. Die drei Letztgenannten stellen freilich Typen dar, die vor der AG Phase IV noch nicht nachgewiesen sind, und die Schalen mit ausgebogenem Rand (**Kat. 1096. Kat. 1097. Kat. 1353. Kat. 1718**) sind in den Planierungen noch nicht vertreten, sondern mehrheitlich erst in den Versturzniveaus der Agora-Siedlung. Bei den Tassen haben neben jenen mit konkaver Wandung (9 %) die Knickrandtassen einen 5 %-igen Anteil wie schon in der AG Phase II. Bei den Tassen mit geschwungener Wandung (2 %) handelt es sich mehrheitlich um die jüngeren, aufgehellten Varianten des späten 7. und 6. Jahrhunderts. Erstmals ist mit **Kat. 1102** in den Versturzniveaus auch eine ovoide Kotyle nachgewiesen. Die orientalisierenden Trinkgefäße verteilen sich in der AG Phase IV auf die Kalottenschale **Kat. 1068**, die Knickrandschale **Kat. 1260** und die Vogelkotyle **Kat. 1487** mit orientalisierenden Dekorelementen. Unter den Tassen, die in den Vorgängerphasen orientalisierenden Dekor trugen, sind in den Befunden der AG Phase IV keine orientalisierenden Exemplare mehr vertreten, mit **Kat. 1503** begegnet aber eine Tasse mit geometrischem und subgeometrischem Maldekor. Der Kantharos der Grauen Ware **Kat. 1846** aus dem Bodenniveau der AG Phase IV stellt den einzigen Vertreter dieser Gefäßform dar.

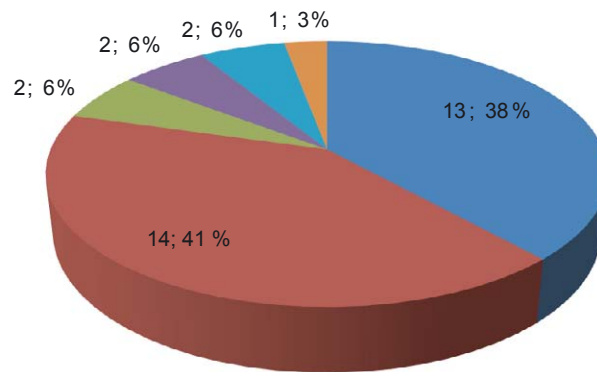
Bei den Mischgefäßen (Diagramm 91) haben die Dinoi mit nur noch 6 % deutlich an Bedeutung verloren, machten sie doch in den Vorgängerphasen zwischen einem Drittel und einem Viertel des Bestands aus. Ihr Repertoire ist nun auf die Dinoi mit Wulstrand beschränkt. Bei den Krateren werden die Gefäße geometrischer und subgeometrischer Tradition (38 %) erstmals von den Halskrateren mit einem 41 %-igen Anteil übertroffen, während die mastoiden Kratere (6 %) sich gleichauf mit den Dinoi und den orientalisierenden Mischgefäßen (6 %) befinden. Mit **Kat. 1108** ist einer der frühesten Vertreter nordionischer Tierfriesmalerei in einem Versturzniveau, mit **Kat. 1034** ist das erste nordionisch-schwarzfigurige Mischgefäß in einem Bodenhorizont der AG Phase IV nachgewiesen.

Die Tiefen Schüsseln bleiben auch in der AG Phase IV in bekannter Form vertreten, bei den Serviergefäßen (Diagramm 92) zeichnen sich dagegen erneut Verschiebungen in den Mengenverhältnissen ab. Was sich in der AG Phase III bereits angekündigt hat, tritt in der AG Phase IV nun deutlich hervor: Die bauchigen Schüsseln haben mit nur noch 8 % ihr Dominat gegenüber den Knickwandschüsseln (24 %) eingebüßt, die damit sogar die Steilwandschüsseln (14 %) und die variantenreichen Schüsseln mit gerundeter Wandung (15 %) übertreffen. Innerhalb der Steilwandschüsseln begegnet in **Kat. 1515–Kat. 1517** und **Kat. 1682** eine bislang unbekannte, großformatige Variante mit besonders hohem und leicht konisch einziehendem Rand, für die ein Wellenbanddekor verbindlich zu sein scheint. Die Henkelschalen sind mit nur noch 1 % nicht mehr von Bedeutung. Reifenverzierte, flächig gefirnisste und unbemalte Schüsseln stehen sich annähernd gleichwertig gegenüber. Ein Vorherrschen der unbemalten Exemplare ist nur innerhalb der Knickwandschüsseln, der flachen Schüsseln mit gerundeter Wandung und der Lekanen absehbar, doch handelt es sich nur noch in den wenigsten Fällen um Gefäße der Polierten Ware (z. B. **Kat. 1039. Kat. 1128. Kat. 1248. Kat. 1355. Kat. 1803. Kat. 1847**). Als neues Element in der Oberflächengestaltung tritt bei den flächig gefirnissten Schüsseln hingegen ein matt deckender, rötlicher bis rötlich brauner Gefäßüberzug auf (**Kat. 1036. Kat. 1038. Kat. 1114. Kat. 1127. Kat. 1227. Kat. 1409. Kat. 1410. Kat. 1527. Kat. 1602. Kat. 1603**) der auch unter den Tellern vertreten ist (**Kat. 1137. Kat. 1360. Kat. 1857**). Die Teller auf hohem Fuß halten mit 8 % auch in der AG Phase IV erneut die Mehrheit am Bestand der Teller, wobei die feinkeramischen Teller der orientalisierenden und Dunkelgrundigen Ware mit insgesamt 22 % jene der Alltagswaren (9 %) übertreffen. Innerhalb dieser sind die Tiefen Teller angesichts ihres erstmaligen Vorkommens in den Versturzniveaus der AG Phase IV mit 6 % besonders prominent vertreten.



- korinthisierende Kotylen
- Randfalzkotylen
- Vogelkotylen
- Kalottenschalen
- Skyphoi
- Knickrandschalen 5
- Knickrandschalen 6
- Knickrandschalen 8
- Knickrandschalen 9
- Knickrandschalen 10
- Knickrandschalen 11
- Wellenbandschale
- Schalen mit ausgebogenem Rand
- steilwandige Tassen
- Tassen mit geschwungener Wandung
- Tassen mit konkaver Wandung
- glockenförmige Tassen
- Knickrandtassen
- Chiotisches
- ovoide Kotylen
- Kantharoi

Diagramm 90 Übersicht der Trinkgefäße AG Phase IV



- geometrisch/subgeometrische Kratere
- Halskratere
- mastoide Kratere
- Dinos mit Wulstrand
- orientalisierende Gefäße
- schwarzfigurige Gefäße

Diagramm 91 Übersicht der Mischgefäße AG Phase IV

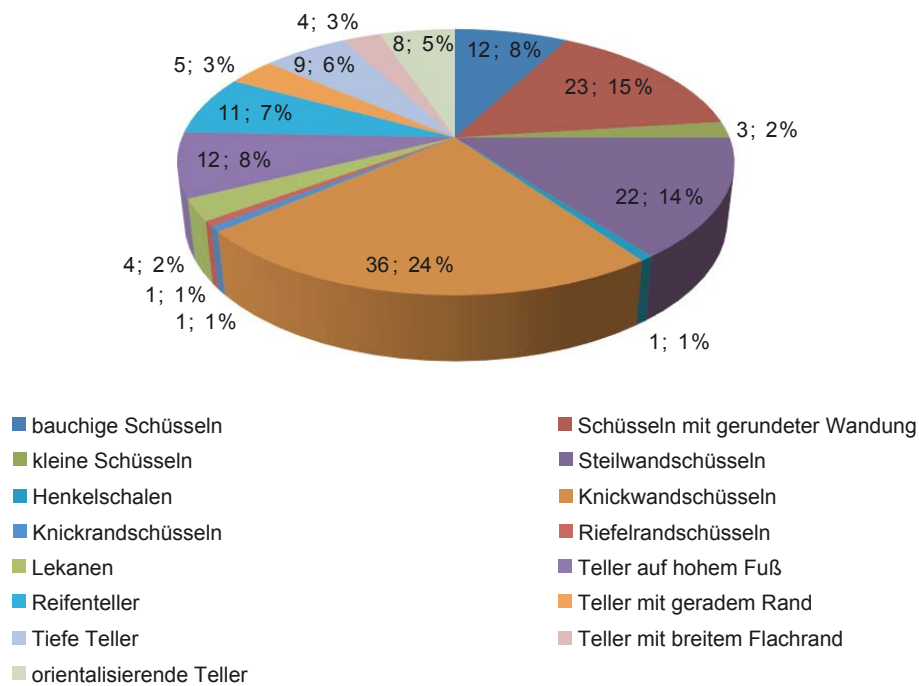


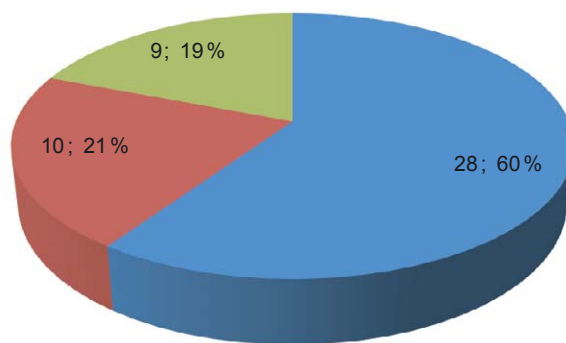
Diagramm 92 Übersicht der Serviergefäße AG Phase IV

Bei den Deckeln bestätigt sich mit **Kat. 1609**, **Kat. 1610**, **Kat. 1644** und **Kat. 1862** das Vorherrschen der Deckel mit senkrechtem, geradem Rand vor jenen mit Deckelfalz (**Kat. 1808**), wie es sich schon in der Vorgängerphase abgezeichnet hat. Mit **Kat. 1153** und **Kat. 1537** kommen neue Deckelformen hinzu, mit **Kat. 1303** wird die orientalisierende Dekortradition auch für Deckel evident.

Die Produktion der Kännchen bleibt auch in der AG Phase IV den althergebrachten Traditionen verpflichtet (Diagramm 93); nach wie vor dominieren die dunklen Kännchen (60 %) vor den aufgehellten Gefäßen mit Reifenzier (21 %) oder unbemalten Oberflächen (19 %). Aber auch vor den dunklen Kännchen macht die Entwicklung der Keramikproduktion nicht halt. So zeigen **Kat. 1008**, **Kat. 1361**, **Kat. 1362**, **Kat. 1723** und **Kat. 1902** einen rötlichen Überzug gleicher Qualität, wie er bereits von den Schüsseln und Tellern bekannt ist.

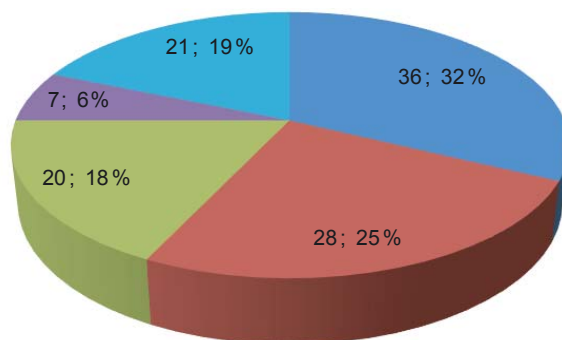
Das Verteilungsmuster der Kannen (Diagramm 94) präsentiert sich für die AG Phase IV ähnlich jener der AG Phase III mit einem Primat der geometrischen und subgeometrischen Kannen (32 %) vor den Reifenkannen (25 %), den orientalisierenden Kannen (19 %) und den unbemalten Kannen (18 %). Innerhalb der unbemalten Kannen haben die Riefelkannen mit **Kat. 1171–Kat. 1173**, **Kat. 1541** und **Kat. 1904** einen wesentlichen Anteil.

Innerhalb der Vorrats- und Transportgefäße (Diagramm 95) dominieren zum wiederholten Male die archaischen Hydrien und Haushaltsamphoren (62 %), wobei der Anteil der Gefäße milesischen Typs (12 %) im Verhältnis zu jenem mit Wulstrand (19 %) im Vergleich zur AG Phase III deutlich angestiegen ist. Die Transportamphoren (25%) verteilen sich ebenfalls mehrheitlich auf solche milesischen Typs (**Kat. 1051**, **Kat. 1194–Kat. 1198**, **Kat. 1426**, **Kat. 1700**, **Kat. 1701**) und samischen Typs (**Kat. 1193**, **Kat. 1427**, **Kat. 1428**, **Kat. 1573–Kat. 1575**, **Kat. 1877**, **Kat. 1909**). Daneben sind chiotische (**Kat. 1199**, **Kat. 1702**), korinthische (**Kat. 1200**), lesbische (**Kat. 1429**) und erstmals ionische (**Kat. 1369**) und nordägäische Amphoren (**Kat. 1317**) vertreten. Die Stamnoi (4 %) und Eimer (3 %) halten sich annähernd die Waage, die neuauftretenden Schulterhenkelamphoren erreichen mit 3 % einen mit diesen vergleichbaren Anteil am Bestand der Vorrats- und Transportgefäße. Die Stamnoi und Bauchhenkelamphoren sind dabei



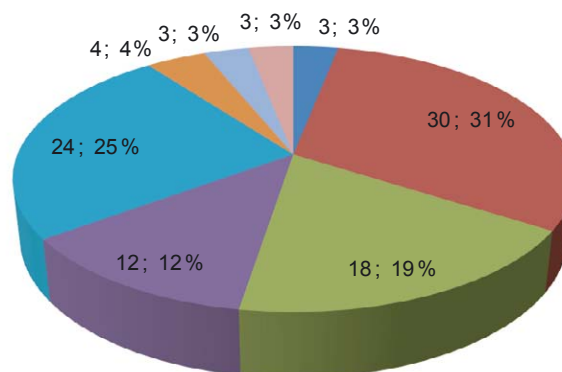
■ dunkle Kannchen ■ Reifenkännchen ■ unbemale Kannchen

Diagramm 93 Übersicht der Kännchen AG Phase IV



■ geometrische/subgeometrische Kannen ■ Reifenkannen
 ■ unbemale Kannen ■ dunkelgrundige Kannen
 ■ orientalisierende Kannen

Diagramm 94 Übersicht der Kannen AG Phase IV



■ geometrische Hydrien ■ archaische Hydrien ■ Hydrien/Amphoren mit Wulstrand
 ■ Hydrien/Amphoren milesischen Typs ■ Transportamphoren ■ Stamnoi
 ■ Eimer ■ Bauchhenkelamphoren

Diagramm 95 Übersicht der Vorrats- und Transportgefäße AG Phase IV

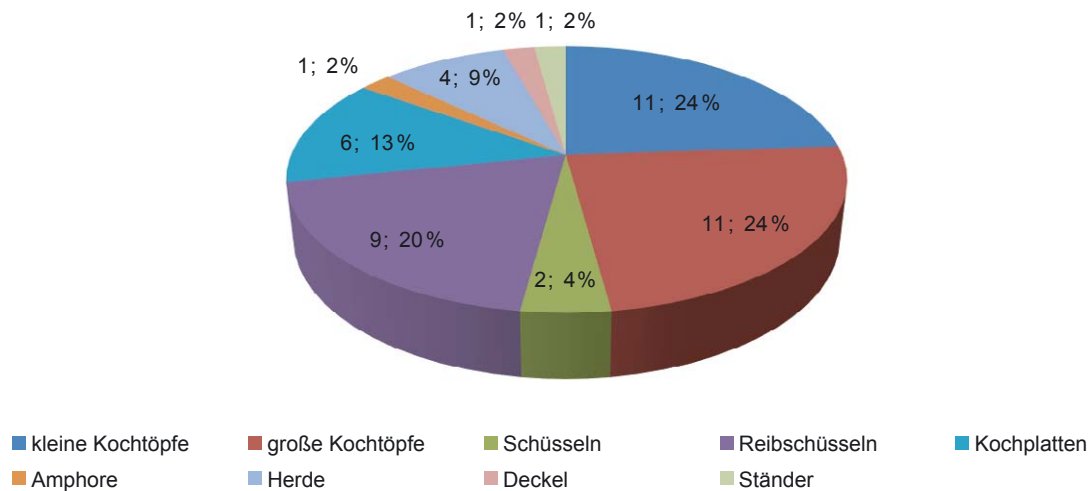


Diagramm 96 Übersicht der Küchenwaren AG Phase IV

wesentlich kleiner dimensioniert als die großen Eimer, weshalb die Anzahl der individuellen Stückzahl, was den tatsächlichen Stellenwert der Formen für die Vorratshaltung angeht, nur von bedingtem Aussagewert ist.

Anders als in der AG Phase III verzeichnen die beiden Varianten der Kochtöpfe (Diagramm 96) mit je einem 24 %-igen Anteil an den Küchenwaren ein ausgewogenes Verhältnis zueinander. Die Reibschüsseln und Kochplatten, die in der AG Phase IIIb erstmals aufkamen, haben sich in der AG Phase IV etabliert, und vor allem das vermehrte Vorkommen der Kochplatten (13 %) deutet ein gegenüber der AG Phase II gewandeltes Verhalten in der Zubereitung der Nahrung und damit zusammenhängend vielleicht auch eine Änderung oder Erweiterung des Speiseplans an. Neben den aus Zypern importierten Reibschüsseln (**Kat. 1052. Kat. 1479. Kat. 1576. Kat. 1878**) sind ostgriechische Imitationen derselben (**Kat. 1201–Kat. 1203**) und solche der Küchenware (**Kat. 1204. Kat. 1431**) vertreten.

Aus den Befunden der AG Phase IV ist mit dem Kessel **Kat. 1235** erneut ein Vertreter der Großgefäße mit beutelförmiger Gefäßproportion gegeben, die in der Agora-Siedlung seit der AG Phase II mit den Pithoi bekannt sind. Der zweite Pithos-Typ der AG Phase IIIb wiederholt sich mit **Kat. 1727** in der AG Phase IV.

Die Aufschlüsselung des Keramikspektrums zeigt als die am häufigsten vertretenen Formen der AG Phase IV Randfälschkotylen, Kalottenschalen, Knickrandschalen der Typen 5, 6 und 9, Tassen mit konkaver Wandung und Knickrandtassen, Halskratere sowie Kratere in der Formgebung geometrischer Kratere, Knickwandschüsseln, Steilwandschüsseln und Schüsseln mit gerundeter Wandung, feinkeramische Teller, dunkle und aufgehellte Kännchen, Kannen geometrischer und orientalisierender Tradition sowie Reifenkannen und unbemalte Kannen, archaische Hydrien und Haushaltsamphoren samischen und milesischen Typs, große und kleine Kochtöpfe, Reibschüsseln und Kochplatten. Der Unterschied zu der vorangehenden Phase ist in der deutlich stärkeren Präsenz der archaischen Kalotten- und Knickrandschalen, dem Vorrang der Knickwandschüsseln und dem Bedeutungsverlust der Dinoi sowie der bauchigen Schüsseln gegeben. Als neue Formen der AG Phase IV treten die Knickrandschalen vom Typ 11, die Wellenbandschalen, schwarzfigurige Gefäße nordionischer Herstellung und zusätzlich zu den Reifentellern weitere orientalisierende Teller mit Metopendekor und Mäanderfriesen sowie die Bauchhenkelamphoren auf. Die Schalen mit ausgebogenem Rand, die ovoiden Kotylen, die Tiefen Teller, die feinkeramische Amphore **Kat. 1181** als vielleicht singulärer Vertreter der Fikelluragattung sowie die nordägäischen und ionischen Amphoren sind erstmals in den Zerstörungsniveaus vertreten und bilden damit jene Gruppe, welche die AG Phase IV am deutlichsten von den Vorgängerphasen abgrenzt.

Innerhalb der Dekortraditionen kommen zu den bislang bekannten geometrischen und subgeometrischen, dunkelgrundigen, reifenverzierten und orientalisierenden Dekoren die schwarzfigurige Malerei (**Kat. 1034. Kat. 1180**) und vielleicht die Fikelluramalerei (**Kat. 1181**) hinzu. Innerhalb der unbemalten Gefäße büßt die Polierte Ware endgültig ihren einstmals hohen Stellenwert bei den Serviergefäßen ein. Bei den flächig gefirnissten Vertretern aus dieser Gruppe etabliert sich mit dem mattroten Überzug ein neues Dekorelement, das auch bei den dunklen Kännchen zum Tragen kommt. Bei den Kochgefäßen zeigt das Formenrepertoire eine sehr heterogene Zusammensetzung, was auf eine stärkere Differenzierung deutet als es noch bei den Vorgängerphasen der Fall war.

Das Repertoire der keramischen Sonderformen der AG Phase IV ist mit dem Hydriskos **Kat. 1024**, dem Tiegel **Kat. 1025**, der Omphalosschale **Kat. 1322** mit kuppelförmigem Omphalos, den Askoi **Kat. 1323** und **Kat. 1584**, dem Spielstein **Kat. 1710**, den scheibenförmigen Spinnwirteln **Kat. 1056** und **Kat. 1832** sowie den konischen Spinnwirteln **Kat. 1236** und **Kat. 1435** beschrieben. Neu ist in den Befunden der AG Phase IV das gehäufte Vorkommen kleiner Lampen (**Kat. 1207. Kat. 1208. Kat. 1381. Kat. 1434. Kat. 1581–Kat. 1583**) und das erstmalige Auftreten attischer und/oder attisierender Glanztonwaren (**Kat. 1374. Kat. 1649**). Das Repertoire der korinthischen Importwaren umfasst neben protokorinthischen Gefäßen (**Kat. 1881. Kat. 1882. Kat. 1911**) auch solche frühkorinthischer Tradition (**Kat. 1210. Kat. 1211. Kat. 1372. Kat. 1373**).

1.E.2 Zusammenfassung

In der diachronen Analyse zeichnen sich einige grundlegende chronologische Entwicklungstendenzen im archaischen Gefäßspektrum ab.

Bis auf die Vorrats- und Transportgefäße kommen in allen Gefäßgruppen geometrische und subgeometrische Form- und Dekortraditionen maßgebend zum Tragen, die sich bei den Trink-, Misch- und Schankgefäßen besonders lange bis an das Ende des 7. Jahrhunderts und darüber hinaus halten. Parallel dazu erweitern die archaischen Knickrandschalen seit dem mittleren 7. Jahrhundert das Repertoire der Trinkgefäße, und die orientalisierenden Dekortraditionen finden bis in das mittlere 6. Jahrhundert besonders bei den Mischgefäßen und Kannen einen prominenten Niederschlag, der seit dem letzten Viertel des 7. Jahrhunderts durch schwarzfigurige Gefäße ergänzt wird. Ab dem beginnenden 6. Jahrhundert lösen die archaischen Knickrandschalen die bis dahin dominierenden Kotylen mit jenen Varianten ab, die sich erstmals an der Wende zum 6. Jahrhundert ankündigen. Die Typenvielfalt der Dinoi des 7. Jahrhunderts erlebt in der ersten Hälfte des 6. Jahrhunderts ihre letzten Ausläufer mit den Dinoi mit Wulstrand. Die Tiefen Schüsseln sind vom mittleren 7. Jahrhundert bis in das mittlere 6. Jahrhundert nachgewiesen. Bei den Serviergefäßen ist vor allem das zweite Viertel des 7. Jahrhunderts geprägt von den bauchigen Schüsseln der Polierten Ware und den bemalten Henkelschalen; gegen Mitte des 7. Jahrhunderts treten die bemalten Steilwandschüsseln als dritte bedeutende Form hinzu. Als einzige Tellerform sind in diesem Zeithorizont die Teller auf hohem Fuß vertreten. In der zweiten Hälfte des 7. Jahrhunderts steht eine Vielzahl an Schüsselformen und Dekorvarianten nebeneinander; die augenfälligsten Veränderungen ergeben sich mit dem erhöhten Anteil der Knickwandschüsseln und der variantenreichen Schüsseln mit gerundeter Wandung gegenüber den bauchigen Schüsseln und vor allem den Henkelschalen. Seit dem ausgehenden 7. Jahrhundert kommt mit den Lekanen eine neue Schüsselform auf. In diesem Zeitraum erreichen auch erstmals die Teller einen höheren Stellenwert, die im Unterschied zu den Schüsseln häufig orientalisierenden Dekor tragen; die Tiefen Teller sind erst seit dem mittleren 6. Jahrhundert nachgewiesen. Die Küchenwaren bleiben im zweiten Viertel des 7. Jahrhunderts auf kleine Kochtöpfe und Stamnoi begrenzt, ein breiteres Formenspektrum wird vornehmlich ab dem letzten Viertel des 7. Jahrhunderts evident. Eine ähnliche Entwicklung zeichnet sich bei den Pithoi ab.

Das Gefäßrepertoire des 7. Jahrhunderts zeigt neben seiner Vorliebe für geometrische und subgeometrische Dekortraditionen eine starke Präsenz der Dunkelgrundigen Waren vor allem bei

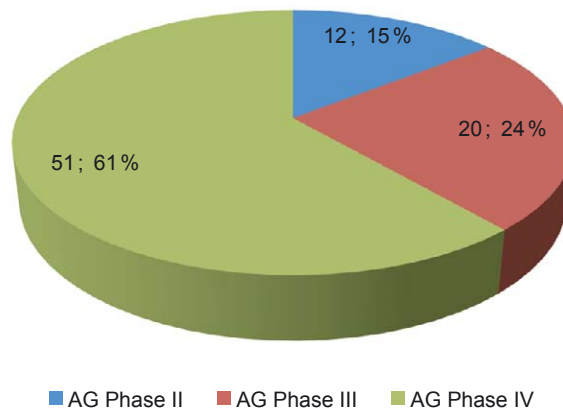


Diagramm 97 Verteilung ephesischer Alltagswaren

den Trinkgefäßen, den Kannen und den Tellern sowie der Polierten Waren neben den unbemalten Schüsseln auch bei Tellern und Kannen. Beide Gattungen scheinen dabei vor allem im früheren 7. Jahrhundert beliebt zu sein und besonders die mit den Schüsseln verbundene Polierte Ware büßt im Laufe der zweiten Hälfte des 7. Jahrhunderts markant an Bedeutung ein.

Der parallel dazu stattfindende sprunghafte Anstieg jener Gefäße, welche sich durch das Fabrikat ephesischer Alltagswaren auszeichnen (Diagramm 97), führt dabei zu der Überlegung, ob im Rückgang der Polierten Ware weniger eine chronologische Entwicklung zum Ausdruck kommt als vielmehr eine Verlagerung des Hauptanteils dieser Schüsseln von Importprodukten zu solchen lokaler Herstellung deutlich wird; oder anders formuliert, ob die Gefäße der Polierten Ware eine in Ephesos nicht heimische Technologie repräsentieren, die mit dem Erstarren der eigenen Produktion vor Ort und des damit einhergehenden geringeren Importanteils kaum noch Niederschlag in den ephesischen Befunden findet. Hier wäre eine weiterführende archäometrische Untersuchung zielführend, wobei angesichts der vergleichbaren Formen vom Kalabaktepe vor allem Milet ein plausibler Kandidat für die Produktion der Polierten Ware ist. Der erhöhte Stellenwert der lokalen Gefäßproduktion im letzten Viertel des 7. Jahrhunderts findet in der Töpferwerkstatt der AG Phase IIIb fraglos einen klaren Niederschlag im archäologischen Befund.

Bei den Küchenwaren kommen vornehmlich seit der AG Phase IIIb neue und möglicherweise von außen inspirierte Elemente im Formenspektrum (Reibschüsseln, große Kochtöpfe, Kochplatten) auf. Neben Zypern als impulsgebender Region gibt es gute Gründe, Milet und auch das nördliche Ionien (s. Kap. 1.B.3.7.1b und Kap. 4.C) als weitere Produktionszentren der ostgriechischen Reibschüsseln anzudenken. Diese Phänomene innerhalb der Küchenwaren koinzidieren in auffallender Weise mit der verstärkten Präsenz auch der milesischen Transportamphoren in Ephesos.

Grundsätzlich ist festzuhalten, dass die in der Baustratigrafie deutliche Phasenabfolge mit den Entwicklungen in der Gefäßkeramik nicht streng kohärent geht. Der im Grabungsbefund mit der Brandzerstörungsschicht mehr als deutliche Übergang von der AG Phase II in die AG Phase IIIa findet in der Keramik kaum Niederschlag; die Entwicklungen der AG Phase III kündigen sich im Gefäßbestand der AG Phase II bereits an. Ein deutlicher Bruch in den Keramiktraditionen zeichnet sich hingegen mit der AG Phase IIIb im späteren 7. Jahrhundert ab, wo neue Formen, Dekortraditionen und Importanteile verstärkt zum Tragen kommen. Dabei stellt sich die Frage, inwiefern die Entwicklungen im Gefäßrepertoire als konkreter Ausdruck einer sich verändernden Alltagskultur zu verstehen sind und als solche sichtbar gemacht werden können. Auf zwei bereits angesprochene Phänomene sei in diesem Zusammenhang noch einmal besonders hingewiesen.

Für die Siedlungsphasen des frühen 7. Jahrhunderts konnten mit dem Nebeneinander von Tassen und nordionischen Vogelkotylen einerseits und den Vogelschüsseln und Kotylen lokaler Produktion andererseits tendenziell zwei in ihren Dimensionen voneinander abgrenzbare Grup-

pen innerhalb der Trinkgefäße erfasst werden¹⁰⁶⁷. Als Erklärungsmodell wurde eine differenzierte Verwendung dieser Typen, entsprechend ihrer Größe als tatsächliches Trinkgefäß (kleinformatige Kotylen, Tassen) und als Speise- oder Serviergeschirr (großformatige Kotylen, Vogelschüsseln) angedacht (s. o. Kap. 1.B.4)¹⁰⁶⁸. Im Befund des Töpferofens zeigen die extremen Proportionen von **Kat. 853**, **Kat. 856**, **Kat. 857** und **Kat. 862–Kat. 863** im Gegensatz zu **Kat. 864** und **Kat. 866**, dass dieser Unterscheidungsfaktor zunächst noch in die lokale Produktion auch der Knickrandschalen übertragen wurde. Mit der endgültigen Verlagerung der Produktion von den Kotylen hin zu den Knickrandschalen spielt der Größenfaktor im 6. Jahrhundert hingegen keine Rolle mehr. Es bestand offenbar kein Bedarf an den großformatigen Ausprägungen der Trinkgefäße, weil deren Funktion entweder auf andere Gefäßgattungen übertragen worden war, was angesichts der morphologischen Charakteristika der Knickrandschalen nicht unwahrscheinlich ist, oder weil die Bedarfsgrundlage an Bedeutung eingebüßt hatte, oder aber es war beides der Fall.

Die zweite große Umwälzung im Keramikspektrum der AG Phase IIIb betrifft das erweiterte Repertoire der Küchenwaren. Dieses bleibt in den Befunden der AG Phasen II und IIIa im Wesentlichen auf kleinformatige Kochtöpfe beschränkt; erst mit den im späten 7. Jahrhundert neu hinzukommenden Reibschüsseln, den Kochplatten und dem Bedeutungsgewinn der großen Kochtöpfe erschließen sich indirekt auch neue Methoden der Nahrungszubereitung und damit ein erweiterter und differenzierter Speiseplan (s. o. Kap. 1.B.4). Neue Speisen, für deren Zubereitung es eine breitere Palette an Küchenwaren braucht, machen eine Anpassung auch des Essgeschirrs wahrscheinlich.

Die großen Kotylen des 7. Jahrhunderts eigneten sich hervorragend zur Aufnahme flüssiger, halbflüssiger und breiiger Speisen. Gleiches gilt für die bauchigen Schüsseln, die interessanterweise vor allem die AG Phasen II und III(a) dominieren, dann aber schlagartig verschwinden. Wohingegen die übrigen Schüsseltypen zum 6. Jahrhundert hin tendenziell zunehmend flachere Proportionen ausbilden und mit den Tellern in der AG Phase IIIb ein Gefäßtyp relevant wird, der zuvor kaum eine Rolle spielte. Daraus ließe sich seit dem späten 7. Jahrhundert auf einen größeren Stellenwert von Gerichten mit vorwiegend festen Bestandteilen schließen, die gut mit den Kochplatten zu verbinden sind. Das plötzliche Auftreten der neuen Küchenwaren in AG Phase IIIb, das auf veränderte Essgewohnheiten hindeutet, koinzidiert also in auffälliger Weise mit Entwicklungstendenzen, die sich nicht nur bei den Trinkgefäßen, sondern auch innerhalb der Serviergefäße abzeichnen¹⁰⁶⁹. Dass diese Veränderungen nachhaltiger Natur waren, ist beispielsweise mit der Übernahme der Reibschüsseln in das ionische Gefäßrepertoire gut belegt.

Im Laufe des 6. Jahrhunderts vollzieht sich ein weiterer Bruch, doch ist dieser innerhalb der Agora-Befunde weniger klar nachzuzeichnen; er kommt erst in der Gegenüberstellung mit den spätarchaischen Befunden von der Nordostterrasse des Panayırdağ deutlich zum Ausdruck¹⁰⁷⁰. Die wesentlichen Merkmale im keramischen Spektrum dieser spätarchaischen Panayırdağ-Befunde des ausgehenden 6. Jahrhunderts (Vorherrschen der Knickrandschalen, Knickwandschüsseln mit markanten Umbrüchen, Tiefe Teller, spindelförmige Kännchen, aufgehellte Kannen, ionische und nordägäische Amphoren) kündigen sich in den Zerstörungsbefunden der AG Phase IV im mittleren 6. Jahrhundert erstmals an und kennzeichnen darüber hinaus auch das keramische Repertoire aus den Theatergrabungen (s. u. Kap. 2.A.2).

¹⁰⁶⁷ Als Referenz für die unterschiedlichen Größenordnungen dienen die ermittelten Randedurchmesser der Gefäße; von einer Kalkulation der Volumenskapazität der Trinkgefäße wird aufgrund des fragmentarischen Erhaltungszustands abgesehen. Vgl. dazu Engels u. a. 2009, 129–133 mit Bibliografie.

¹⁰⁶⁸ s. dazu auch von Miller 2018, 191. s. außerdem das vergleichbare Interpretationsmodell für Thapsoschalen bei Pelagatti 1982, 167–172 und für früheisenzeitliche Trinkgefäße aus dem Artemision bei Kerschner 2003b, 248 f. Anm. 18; Kerschner 2011, 24; Kerschner 2017c, 22. Auch Schlotzhauer 2014, 118–121 denkt eine abweichende Funktion der großformatigen Knickrandschalen seiner Typen 11 und 12 an. Vgl. außerdem Morgan 1999, 322 f.; Boardman 2001, 256; Villing 2013, 85 in Bezug auf eine Vogelschüssel aus Naukratis.

¹⁰⁶⁹ s. dazu auch von Miller 2018, 191.

¹⁰⁷⁰ Vgl. dazu von Miller 2013 sowie von Miller 2015.

2 GEOMETRISCHE UND ARCHAISCHE KERAMIKFUNDE AUS DEM THEATER UND AUS DEN GRABUNGEN DER 1920ER JAHRE AM NORDWESTLICHEN AUSLÄUFER DES PANAYIRDAĞ

Neben den archaischen Siedlungsbefunden unter der Tetragonos Agora sind in Ephesos drei weitere Grabungsareale gegeben, deren keramisches Fundmaterial bis in die geometrische und archaische Zeit zurückreicht und denen daher für die Beurteilung der vorklassischen Topografie von Ephesos eine besondere Bedeutung zukommt.

Die nach Ausweis der Fundkeramik wahrscheinlich spätarchaischen Befunde von der Nordostterrasse am Panayırdağ, auf die im Zusammenhang mit der Auswertung der Keramik aus der Agora-Siedlung bereits mehrmals verwiesen wurde, sollen demnächst in einer abschließenden Publikation zu den Grabungen, die in den Jahren 2008 und 2009 unter der Leitung von M. Kerschner am Panayırdağ stattfanden, vorgelegt werden¹⁰⁷¹.

Das Material aus zwei weiteren Grabungsarealen, den nordwestlichen Ausläufern des Panayırdağ (s. u. Kap. 2.B) und aus dem Theater von Ephesos (s. u. Kap. 2.A), ist hingegen der vorliegenden Publikation der archaischen Siedlung unter der Tetragonos Agora ergänzend beigefügt¹⁰⁷². Dies geschieht aus mehreren Gründen. Das spätgeometrische und archaische Fundmaterial aus den Theatergrabungen und aus den Altgrabungen J. Keils am Stadionhügel zu Füßen des Panayırdağ ist aufgrund seiner Fülle und des chronologischen Rahmens, den es abdeckt, in hervorragender Weise dazu geeignet, das in den Siedlungsbefunden unter der Tetragonos Agora gewonnene Bild zu dem ephesischen Keramikspektrum vorklassischer Zeit abzusichern und zu ergänzen. In der Gegenüberstellung der Agora-Befunde mit dem Material aus dem Theater und aus dem Bereich des späteren Vediusgymnasiums kann es darüber hinaus gelingen, sich auch jenen chronologischen Horizonten des mittleren 8. und des späten 6. Jahrhunderts anzunähern, die in den Befunden der Agora-Siedlung aufgrund ihrer Lebensdauer nicht hinreichend abgedeckt werden. Umgekehrt gewinnt das in seiner kontextuellen Befundsituation weniger ergiebige Material aus dem Theater und den Keil'schen Altgrabungen der 1920er Jahre gerade im Kontext der stratigrafisch gut erfassten Agora-Siedlung an Aussagekraft. Gemeinsam bieten die drei Fundkomplexe Agora-Siedlung, Theater und Panayırdağ-Nordwestabhang einen überaus repräsentativen, weil umfassenden Einblick in das Gefäßspektrum vorklassischer Zeit und damit einhergehend bislang nicht dagewesene Erkenntnismöglichkeiten zum archaischen Ephesos. Dazu gehören einerseits Ergebnisse, die sich aus Fragen an das Fundmaterial selbst ergeben; andererseits gewinnt die Diskussion um die ephesische (Siedlungs-)Topografie archaischer Zeit durch die Verortung auch der beiden anderen Fundplätze vorklassischer Keramik im ephesischen Stadtgebiet an positiven und aussagekräftigen Argumenten. Dies ist umso wichtiger, als sich eben diese Diskussion bislang vor allem auf der Basis historischer Quellen aus der literarischen Überlieferung speiste¹⁰⁷³. In jüngerer Zeit wurden vermehrt auch geoarchäologische Daten in die Überlegungen einbezogen¹⁰⁷⁴. Die Evidenzkraft der archäologischen Quellen blieb aufgrund der bisherigen Publikationslage indessen eine weitgehend unbekannte Größe, die nun erstmals an Profil gewinnt.

¹⁰⁷¹ Speziell zur vorklassischen Keramik vgl. von Miller 2013 sowie von Miller 2015. Allgemein zusammenfassend zum Grabungsbefund am Panayırdağ vgl. auch Kerschner 2016.

¹⁰⁷² Die Präsentation des Materials bezieht sich dabei unmittelbar auf die bereits für die Agora-Befunde erfolgte Diskussion, auf die wiederholt verwiesen wird. In ausführlicher Breite werden hingegen jene Stücke diskutiert, die in den Agora-Befunden keine Parallelen finden.

¹⁰⁷³ Vgl. dazu im Überblick Steskal 2008a und speziell zur literarischen Überlieferung Mohr 2007 und Fischer 2013.

¹⁰⁷⁴ Vgl. Brückner 1997; Kraft u. a. 2000; Kraft u. a. 2005; Scherrer 2007; Stock u. a. 2014.

2.A GEOMETRISCHE UND ARCHAISCHE KERAMIK AUS DEM THEATER VON EPHEOS

2.A.1 Grabung und Kontext

Die geometrischen und archaischen Gefäßfragmente aus dem Theater¹⁰⁷⁵ stammen aus den Grabungsschnitten im oberen Diazoma sowie aus den Kammern D3 und D8 des hellenistischen Bühnengebäudes¹⁰⁷⁶. Es handelt sich dabei nicht um archaisch datierende Fundkontexte, sondern das Material fand sich in Form umgelagerter Residualfunde in nacharchaischen Schichtniveaus vergesellschaftet¹⁰⁷⁷.

Die Grabungen in der Kammer D3 fanden im Jahr 2002 unter der Leitung von M. Hofbauer statt¹⁰⁷⁸. Die geometrischen und archaischen Gefäßfragmente verteilen sich auf die stratigrafischen Einheiten B003 und B005–B012 aus dem Fundamentbereich des hellenistischen Bühnengebäudes¹⁰⁷⁹; eine klar erkennbare chronologische Differenzierung der vorklassischen Keramik in den unterschiedlichen stratigrafischen Einheiten zeichnet sich nicht ab (Tab. 7).

Tabelle 7: Befundübersicht Kammer D3

| Schicht | Befund | Anzahl der vorklassischen Diagnostics | Chronologischer Rahmen |
|-------------|------------|---------------------------------------|------------------------|
| B003 | ETH 02/024 | 1 | 610–570 |
| B005 | ETH 02/025 | 1 | 7. Jh./6. Jh. |
| B006 | ETH 02/031 | 2 | 750–spätarchaisch |
| | ETH 02/032 | 1 | 600–570 |
| | ETH 02/050 | 1 | 6. Jh. |
| B007 | ETH 02/028 | 3 | 730–670 |
| | ETH 02/029 | 1 | 6. Jh. |
| | ETH 02/030 | 3 | 630–6. Jh. |
| | ETH 02/036 | 1 | 7. Jh./6. Jh. |
| | ETH 02/037 | 1 | 7. Jh. |
| | ETH 02/051 | 7 | 730–6. Jh. |
| | ETH 02/053 | 2 | 650–6. Jh. |
| B008 | ETH 02/034 | 2 | 650–550 |
| | ETH 02/035 | 4 | 730–6. Jh. |
| | ETH 02/052 | 3 | 750–6. Jh. |
| | ETH 02/054 | 1 | 550–5. Jh. |
| B009 | ETH 02/033 | 2 | 610–2. Hälfte 6. Jh. |

¹⁰⁷⁵ Ich danke A. Waldner (ÖAI Wien) für die Übergabe des vorklassischen Fundmaterials zur Bearbeitung und der bereits bestehenden Funddokumentation zur Keramik (die Zeichnungen wurden von M. Gessl angefertigt) aus den Kammern D3 und D8. Besonders bin ich ihr für die stets bereitwillige Diskussion allfälliger Fragen verpflichtet. Darüber hinaus haben A. Waldner und M. Hofbauer durch die vorab freundlich gewährte Einsichtnahme in das die Keramik und die Befundsituation betreffende Manuskript und in den entsprechenden Abbildungsteil der sich damals noch in Druckvorbereitung befindlichen Theaterpublikation (FiE 2, 1) meine Auswertung maßgeblich erleichtert. Dafür sei ihnen beiden ausdrücklich gedankt.

¹⁰⁷⁶ Zur Befundübersicht vgl. Hofbauer 2017, 23–131, Sondagenplan Plan 2 und Nomenklatur Bühnengebäude Taf. 3.

¹⁰⁷⁷ Die nacharchaische Fundkeramik ist bei Waldner 2017, 133–227 vorgelegt.

¹⁰⁷⁸ Vgl. dazu Sondage S 2/2002 (Kammer D3), Hofbauer 2017, 26 f. s. außerdem den Vorbericht über die Arbeiten, Jahresbericht 2002, 308 f.

¹⁰⁷⁹ s. dazu Sondage S 2/2002 (Kammer D3) Hofbauer 2017, 26 f. bes. Tab. 1, Taf. 30–32. Zur vergesellschafteten Keramik nacharchaischer Zeit vgl. Kammer D3, Waldner 2017, 134–137.

| | | | |
|-------------|------------|---|-------------------|
| B010 | ETH 02/039 | 3 | 7. Jh./6. Jh. |
| | ETH 02/044 | 2 | 750–570 |
| | ETH 02/056 | 3 | 650–6. Jh. |
| B011 | ETH 02/038 | 3 | 7. Jh./6. Jh. |
| | ETH 02/045 | 3 | 750–spätarchaisch |
| | ETH 02/047 | 1 | 610–570 |
| B012 | ETH 02/058 | 5 | 7. Jh./6. Jh. |

Die Grabungen in der Kammer D8 fanden im Jahr 2005 ebenfalls unter der Leitung von M. Hofbauer statt¹⁰⁸⁰. Hier konnten in den Schichtbefunden B14–B18 aus dem Fundamentbereich des hellenistischen Bühnengebäudes¹⁰⁸¹ nur einige wenige diagnostische Gefäßfragmente vorklassischer Zeit geborgen werden. Das geometrische/subgeometrische Repertoire bleibt mit **Kat. 2107** auf nur ein einziges Stück beschränkt (Tab. 8).

Tabelle 8: Befundübersicht Kammer D8

| Schicht | Befund | Anzahl der vorklassischen Diagnostics | Chronologischer Rahmen |
|------------|------------|--|------------------------|
| B14 | ETH 05/010 | 2 | 650–550 |
| B15 | ETH 05/019 | 1 | 6. Jh. |
| B16 | ETH 05/021 | 1 | 750–650 |
| B17 | ETH 05/069 | 1 | 6. Jh. |
| | ETH 05/074 | 5 | 650–spätarchaisch |
| B18 | ETH 05/076 | 2 | 650–6. Jh. |

Die unteren Niveaus in den Grabungsschnitten im oberen Diazoma, wo im Jahr 2008 erneut unter der Leitung von M. Hofbauer Grabungen stattfanden¹⁰⁸², waren für die Gewinnung geometrischen und archaischen Fundmaterials am ergiebigsten. Hier steht die beträchtliche Anzahl diagnostischer Gefäßfragmente vorklassischer Zeit¹⁰⁸³ aus den stratigrafischen Einheiten SE 107, SE 111 und SE 113 aus der Sondage 6/2008 sowie SE 119 aus der Sondage 8/2008¹⁰⁸⁴ nur einigen wenigen klassischen bis hellenistischen Glanztonformen¹⁰⁸⁵, hellenistischen Reliefbechern¹⁰⁸⁶ und Lagynoswaren¹⁰⁸⁷ gegenüber¹⁰⁸⁸. Die vorklassischen Gefäße aller Schichtniveaus decken die Zeitspanne vom mittleren 8. Jahrhundert bis in das ausgehende 6. oder beginnende 5. Jahrhundert ab (Tab. 9) und repräsentieren damit die spätgeometrische und gesamte archaische Epoche.

¹⁰⁸⁰ Vgl. dazu Sondage S 2/2005 (Kammer D8), Hofbauer 2017, 27–29 s. außerdem auch den Arbeitsbericht, Jahresbericht 2005, 330.

¹⁰⁸¹ Dazu Sondage S 2/2005 (Kammer D8), Hofbauer 2017, 27–29 bes. Tab. 2, Taf. 33–35. Zur nacharchaischen Keramik vgl. Kammer D8, Waldner 2017, 137–139.

¹⁰⁸² Vgl. dazu die Befundauswertung von Hofbauer 2017, 75 f. (oberes Diazoma).

¹⁰⁸³ Zu den vorgelegten 136 diagnostischen Gefäßfragmenten kommen 42 weitere archaische Scherben hinzu, die aufgrund ihres schlechten Erhaltungszustands aber nicht Eingang in den Katalog fanden.

¹⁰⁸⁴ Dazu bes. Hofbauer 2017, 75 f., bes. Tab. 31. 32 Taf. 241–248 (Sondage S 6/2008 und Sondage S 8/2008).

¹⁰⁸⁵ Inv. ETH 08/26.4. ETH 08/26.6. ETH 08/26.40. ETH 08/26.116. ETH 08/26.120. ETH 08/28.23. ETH 08/32.4. ETH 08/32.5. ETH 08/32.6. ETH 08/32.7. ETH 08/32.9. ETH 08/32.10. Alle Stücke unpubliziert.

¹⁰⁸⁶ Inv. ETH 08/26.117. ETH 08/26.118. ETH 08/28.25. ETH 08/31.29. Alle Stücke unpubliziert.

¹⁰⁸⁷ Inv. ETH 08/26.124, unpubliziert.

¹⁰⁸⁸ Vgl. oberes Diazoma, Waldner 2017, 162 f.

Tabelle 9: Befundübersicht oberes Diazoma

| Schicht | Befund | Anzahl der vorklassischen Diagnostics | Chronologischer Rahmen |
|---------|-----------------------|--|------------------------|
| SE 107 | SO 6/2008, ETH 08/026 | 62 | 750–spätarchaisch |
| SE 111 | SO 6/2008, ETH 08/028 | 19 | 750/730–spätarchaisch |
| SE 113 | SO 6/2008, ETH 08/030 | 14 | 750–spätarchaisch |
| SE 119 | SO 8/2008, ETH 08/031 | 19 | 730–spätarchaisch |
| SE 119 | SO 8/2008, ETH 08/032 | 15 | 730–spätarchaisch |

2.A.2 Die Keramik

2.A.2.1 TRINKGEFÄSSE

Das Repertoire der archaischen Trinkgefäße aus den nacharchaischen Befunden im Theater umfasst mit Randfalzkotylen, Kalottenschalen, Knickrandschalen, Schalen mit ausgeboogenem Rand und Tassen in etwa das gleiche Typenspektrum, das bereits aus der Agora-Siedlung bekannt ist.

2.A.2.1.1 Ostgriechische Kotylen

Innerhalb der Kotylen aus den Theaterbefunden lassen sich nur die Vogelkotylen eindeutig erkennen; korinthisierende Kotylen sind nachweislich keine vertreten. Die Kotylenfragmente **Kat. 1912–Kat. 1915** aus dem oberen Diazoma und **Kat. 2049** aus der Kammer D3 lassen sich aufgrund ihres fragmentarischen Zustands keinem Typ ostgriechischer Randfalzkotylen mit Sicherheit zuordnen, eine Ansprache als Kotylen mit Kammbürstendekor oder auch als Reifenkotylen (**Kat. 1912–Kat. 1914. Kat. 2049**) bleibt hier im Bereich des Möglichen. Bei der lokal hergestellten Kotyle **Kat. 1915** (Herkunftsgruppe H) kann es sich entweder um eine Kotyle mit Kammbürstendekor oder um eine Vogelkotyle gehandelt haben.

Die Wandfragmente **Kat. 1919** und **Kat. 1920** aus dem oberen Diazoma zeichnen sich durch einen Schmetterlingsmetopenfries in der Sockelzone aus, wie er die Vogelkotylen der Typen 3 bis 5 kennzeichnet, während sich bei **Kat. 1921** aus dem oberen Diazoma mit der gerahmten Gitterraute ein Dekorelement zeigt, das für die Vogelkotylen der Typen 2 bis 8 zu erwarten ist. Vertikale Balken unter dem Rand wie bei **Kat. 2107** aus der Kammer D8 bezeichnen alle Typen von Vogelkotylen vom mittleren 8. bis in das mittlere 7. Jahrhundert, wobei der Verzicht auf einen klar erkennbaren Randfalz ebenso wie das schmale Lippenband im Gefäßinneren aus dem üblichen Rahmen fallen. Die horizontalen Zickzacklinien im eng gefassten Metopenfeld neben einer gerahmten Gitterraute weisen **Kat. 1917** aus dem oberen Diazoma als Vogelkotyle vom Typ 6b aus und machen es möglich, dieses Gefäß näher zwischen dem letzten Viertel des 8. Jahrhunderts und dem mittleren 7. Jahrhundert einzugrenzen. Das Wandfragment **Kat. 1918** ist demgegenüber als Vogelkotyle der Variante Typ 6a zu erkennen, die sich durch umlaufende Reifen in der Sockelzone auszeichnet. Bei **Kat. 1916** aus dem oberen Diazoma, einem Produkt der Vogelschalenwerkstatt, liegt mit dem annähernd rechtwinkligen und ausgesparten Dreieck, welches gegen die linke Metopenbegrenzung gerückt ist, ein bislang nicht belegtes Füllmotiv einer Vogelmetope oder aber ein individuell gestalteter Mäanderbaum vor.

2.A.2.1.2 Kalottenschalen

Die dünnwandige und ungewöhnlich tiefe Rosettenschale **Kat. 2051** aus der Kammer D3 gehört dem Typ 4 an¹⁰⁸⁹; bei ihr hat sich der mittige Teil mit der siebenteiligen Punktrosette im Haupt-

¹⁰⁸⁹ Vgl. Kerschner 1995, 26 Abb. 88–90.

fries oberhalb der doppelten Bänderung erhalten. Im Nahbereich des Henkels sind für diesen Typ vertikale Balken zu ergänzen. Rosettenschalen vom Typ 4 sind seit dem ausgehenden 7. Jahrhundert denkbar; die ungewöhnlichen Proportionen von **Kat. 2051** verweisen tendenziell auf einen späten Vertreter erst des fortgeschrittenen 6. Jahrhunderts. Bei der Kalottenschale **Kat. 1925** aus dem oberen Diazoma findet sich die breite, doppelte Bänderung auf einem dickwandigeren und flachen Gefäß der Vogelschalenwerkstatt, für das sowohl eine Rosettenschale vom Typ 4 oder eine Reifenschale vom Typ 3 als ursprüngliches Ganzgefäß in Frage kommen¹⁰⁹⁰. Proportion und Fabrikat verweisen in diesem Fall auf eine relativ frühere Datierung seit dem ausgehenden 7. Jahrhundert.

Das dünnwandige Schalenfragment **Kat. 1923** aus dem oberen Diazoma ist trotz seines geringen Ausmaßes und dank des charakteristischen Dekors in Form eines die äußere Bodenzzone schmückenden Strahlenkranzes gut einzugrenzen, wenn auch nicht eindeutig zuzuordnen. Konturstrahlenkränze stellen ein distinktives Merkmal im Dekorschema der späteren nordionischen Kalottenschalen dar¹⁰⁹¹. Die Dünnwandigkeit des flachen Beckenbodens verweist tendenziell auf eine Kalottenschale erst des 6. Jahrhunderts¹⁰⁹², weshalb für **Kat. 1923** als ursprüngliches Ganzgefäß eine Rosettenschale der Typen 4, 5 und 7, eine Mäanderrandschale, eine Augenschale oder eine Reifenschale vom Typ 5 wahrscheinlich gemacht werden kann.

Flache, kantige Standringe wie **Kat. 1924** und **Kat. 2052** sind für die späteren Kalottenschalen wie etwa Rosettenschalen Typ 4 und Typ 5 sowie für die Reifenschalen Typ 3 und Typ 5 des 6. Jahrhunderts bezeichnend¹⁰⁹³. In den archaischen Siedlungsbefunden unter der Tetragonos Agora sind sie noch nicht vertreten, was die relative Nachzeitigkeit der Theaterbefunde gut zum Ausdruck bringt¹⁰⁹⁴.

Mit **Kat. 1926** und **Kat. 1927** begegnet in den Befunden des oberen Diazoma eine Variante von Kalottenschalen, deren Dekor sich auf ein gefirnisstes Gefäßinneres und ein einfaches Lippenband an der Außenseite beschränkt. Wahrscheinlich ist das stark verriebene Randfragment **Kat. 1922** zu einem ebensolchen Ganzgefäß gehörig. Vergleichbare Schalen finden sich im 6. Jahrhundert vereinzelt in südionischen, levantinischen und zypriotischen Fundstellen¹⁰⁹⁵; die Qualität des matten, rot fleckigen Überzugs stützt diesen Datierungsansatz. Aus den Siedlungsbefunden unter der Tetragonos Agora ist diese Ausprägung der Kalottenschalen nicht belegt, was ihre Einordnung möglicherweise erst nach dem mittleren 6. Jahrhundert plausibel macht.

Mit **Kat. 2053** begegnet in der Kammer D3 das Paradebeispiel einer nordionischen Kalottenschale der schwarzfigurigen Tradition. Vom tiefen und dickwandigen Gefäß hat sich nur der steile Rand erhalten, an dessen Innenseite ein in Deckrot aufgesetztes Band umläuft. An der Außenseite zeigt sich unterhalb des schmalen Lippenbandes mit der Rosette ein typisches Füllmotiv nordionischer Tierfriese. Das Bild der schreitenden Raubkatze mit kurvig hochgeschwungenem Schwanz, von dem sich nur ein Ausschnitt erhalten hat, gehört zu dem kanonischen Bildrepertoire der Tierfriesschalen. Die Binnenritzung, welche die Details des Tierkörpers angibt, hat sich in Ansätzen erhalten, Negativspuren des Abriebs zeigen eine zusätzliche Betonung einzelner Körperpartien durch aufgesetztes Deckrot an. Archäometrische Untersuchungen an schwarzfigurigen Tierfriesschalen konnten ihre Produktion bislang für die Herkunftsgruppe B nachweisen¹⁰⁹⁶, der

¹⁰⁹⁰ Vgl. Kerschner 1995, 26 Abb. 88–90; 29 Abb. 98.

¹⁰⁹¹ Kerschner 1995, 19–23, Abb. 52–56. 58. 60. 62. 65. 123; 25–28 Abb. 82. 83. 92–94; 30–32 Abb. 100. 101.

¹⁰⁹² Kerschner 1995, 26–28 (Rosettenschale Typ 4 und Typ 5); 29 (Reifenschale Typ 3 und Typ 4); 30–32 (Augenschale, Lotusschale, Reifenschale Typ 5).

¹⁰⁹³ Vgl. dazu Hayes 1966, 55 Nr. 746 Abb. 28; Boardman 1967, 170 Nr. 855 Abb. 118; Hayes 1973, 24 Nr. 2038 Abb. 9; Thalmann 1977, Nr. 34 Taf. 2; Kerschner 1995, 26 f. Abb. 88. 90; 29 Abb. 98; 30–32 Abb. 105; Ersoy 1993, 103 Nr. 323 Taf. 89; de La Genière – Jolivet 2003, 61 Nr. 2 Abb. 16; Kalaitzoglou 2008, 356 Nr. 81 Taf. 17.

¹⁰⁹⁴ In den spätarchaischen Befunden vom Panayırdağ sind vergleichbare Standringe ebenfalls belegt. Vgl. dazu von Miller 2013, 362 f. Nr. 1982. 1983.

¹⁰⁹⁵ Tuchelt 1971, 62 Nr. 28 Abb. 6; Ploug 1973, 40 Nr. 136. 137 Abb. c; Gjerstad 1977b, 31 Nr. 114 Taf. 13; Karageorghis 1978, 62 Nr. 7 Taf. 2; Furtwängler 1980, 220–222 Nr. 16 Abb. 22; Kerschner 2006a, 84 Nr. 10 Taf. 2.

¹⁰⁹⁶ Vgl. dazu Posamentir – Solovyov 2006, 119. 121. 123 Abb. 22. 29; Kerschner – Mommsen 2009, 136.

Kat. 2053 aber nicht angehört. Die tiefe und dickwandige Gesamtform ist von den späten Vogel-schalen und den frühen Rosetten- und Reifenschalen bekannt, die zeitlich parallel im späten 7. und beginnenden 6. Jahrhundert eingeordnet werden.

2.A.2.1.3 Knickrandschalen

Innerhalb der Knickrandschalen sind in den Theaterbefunden die Typen 5 und 6 des 7. Jahrhunderts mit wenigen Exemplaren vertreten; den weitaus größten Anteil haben die Knickrandschalen vom Typ 9.

Die Randfragmente **Kat. 1928** und **Kat. 2055** zeichnen sich durch einen konvex gebogenen Rand mit konkaver Innenkontur aus, während **Kat. 2054** einen polsterförmigen Rand mit beidseitig konvex gewölbter Kontur ausbildet. Die feine Reifenzier an der Randaußenkante weist die drei Fragmente den Knickrandschalen vom Typ 5.2 zu. Wandfragmente wie **Kat. 1930–Kat. 1934** aus dem oberen Diazoma sind in Form und Dekor sowohl für Knickrandschalen vom Typ 5 als auch für die Variante Typ 9.1 denkbar.

Kat. 1936 und **Kat. 1938** aus dem oberen Diazoma zeigen Fragmente jener kleinformatigen Knickrandschalen vom Typ 6, die sich bereits in den archaischen Siedlungsbefunden unter der Tetragonos Agora als in Ephesos beliebte Spielart des Typs erkennen ließ. Das Randfragment **Kat. 1935** und das Schulterfragment **Kat. 1937** sind demgegenüber größer proportioniert.

Für die Knickrandschalen vom Typ 9 halten die Theaterbefunde eine große Variationspalette bereit, die das von den Agora-Befunden bekannte Repertoire um wesentliche Typenvarianten erweitert. Das Randfragment **Kat. 2059** einer Knickrandschale vom Typ 9 aus der Kammer D3 steht wie **Kat. 1774** aus den Agora-Befunden in seiner extremen Dünnwandigkeit den Knickrandschalen vom Typ 8 nahe, die in den Theaterbefunden nicht vertreten sind. Randfragmente wie **Kat. 1943**, **Kat. 1944** und **Kat. 2108** und Schalenfüße wie **Kat. 1952**, **Kat. 1953** und **Kat. 1956** aus dem oberen Diazoma lassen sich nur allgemein den frühen Varianten Typ 9.1 bis Typ 9.3 zuordnen, während der Erhaltungszustand von **Kat. 1939–Kat. 1942**, **Kat. 2057** und **Kat. 2058** eine sichere Ansprache als Knickrandschalen der Variante Typ 9.1 erlaubt. Das aufgehellte, aber tiefe Schalenbecken von **Kat. 1945**, **Kat. 1946**, **Kat. 2060**, **Kat. 2061** und **Kat. 2109** weist diese Gefäße als Knickrandschalen der Varianten Typ 9.2 oder Typ 9.3 aus. **Kat. 1947**, **Kat. 1948**, **Kat. 1950**, **Kat. 2062** und **Kat. 2110** entsprechen mit dem aufgehellten, flachen Gefäßbecken und dem weit ausgeknickten Rand den Varianten Typ 9.4 und Typ 9.5. Das Wandfragment **Kat. 1949** zeigt mit dem ausgesparten Band am unteren Gefäßbecken ein weiteres distinktives Merkmal der Knickrandschalen der Variante Typ 9.5, die Variante Typ 9.6 ist durch einen stufenartigen Absatz zum Randknick hin gekennzeichnet (**Kat. 1950**), bei Variante Typ 9.7 setzt der hohe Rand den Verlauf der Beckenkontur beinahe ungebrochen fort (**Kat. 1951**).

Das Randfragment **Kat. 1957** aus dem oberen Diazoma kombiniert mit dem flachen, im Inneren von breiten Bändern aufgehellten Gefäßbecken und dem kurzen, gefirnissten Rand Merkmale der späteren Knickrandschalen vom Typ 9 und der Knickrandschalen vom Typ 10; auch **Kat. 1954** und **Kat. 1955** scheinen beiden Typen verpflichtet zu sein. Interessanterweise können von diesen drei Schalen zwei mit der Herkunftsgruppe I und dem Fabrikat ephesischer Alltagswaren einer lokalen Produktion zugewiesen werden (**Kat. 1954** und **Kat. 1957**). Das Wandfragment **Kat. 1958** dürfte ebenfalls zu einer Knickrandschale vom Typ 10 gehören. Das enge Bodenfragment **Kat. 2064** ist für keine archaische Schalenform Ioniens typisch, der aufgehellte Schalenkörper verweist jedoch tendenziell auf ein spätarchaisches Gefäß, weshalb mit **Kat. 2064** möglicherweise bereits ein von attischen Importen inspiriertes Trinkgefäß vorliegt. Diese Interpretation trifft eindeutig auf das Bodenfragment **Kat. 2112** (s. u. Kap. 2.A.2.11) zu.

2.A.2.1.4 Schalen mit ausgebogenem Rand

Die zahlreichen Schalen mit ausgebogenem Rand in den Theaterbefunden (**Kat. 1959–Kat. 1963**, **Kat. 2063**, **Kat. 2111**) unterstreichen ihre bereits im Zusammenhang mit den archaischen Sied-

lungsbefunden unter der Tetragonos Agora thematisierte tendenziell späte Datierung seit dem mittleren 6. Jahrhundert mit Laufzeiten bis in klassische Zeit¹⁰⁹⁷. In ihrem Dekorsystem stehen die Schalen mit ausgebogenem Rand den Knickrandschalen der Variante Typ 10.4 nahe, von denen sie sich wesentlich durch den nicht klar abgeknickten, sondern abgebogenen Rand unterscheiden. Die mitunter flachen Schalenbecken (**Kat. 1960. Kat. 1961**) erinnern indessen an die jüngeren Varianten der Knickrandschalen vom Typ 9. Innerhalb der mikroskopisch einer Herkunftsgruppe zugeordneten Schalen zeichnet sich auch in den Theaterbefunden mit der Herkunftsgruppe M (**Kat. 2063**) und dem Fabrikat der ProbenNr. Ephe 10 (**Kat. 1961. Kat. 1962**) erneut eine möglicherweise lokale Produktion dieser Schalen ab (s. o. Kap. 1.B.3.1.7 und Kap. 1.B.4), die in **Kat. 1963** mit seinem auch bei den ephesischen Alltagswaren vielfach belegten Fabrikat eine Bestätigung erfährt.

2.A.2.1.5 Tassen

Das Repertoire der Tassen beschränkt sich in den Theaterbefunden anders als in den Agora-Befunden auf steilwandige Tassen und Tassen mit konkaver Wandung.

Die Randfragmente **Kat. 1965–Kat. 1968** aus dem oberen Diazoma lassen sich zu steilwandigen Tassen ergänzen, wobei die großformatige Tasse **Kat. 1968** mit dem aufgehellten Feld unter dem Rand bereits das Dekorschema der Tassen mit konkaver Wandung vorwegnimmt. Auch mit **Kat. 1969** zeigt sich die Kombination der schweren Proportionen geometrischer Tassen mit einer aufgehellten Gefäßoberfläche, wie sie in Einzelfällen aus Samos belegt ist¹⁰⁹⁸. Im Gefäßinneren läuft ein breites Firnisband um, an der Außenseite grenzen zwei breite, vertikale Balken den Henkelansatz ab und zitieren damit das von geometrischen und subgeometrischen Gefäßen bekannte Metopendekorsystem.

Die einzige Tasse mit konkaver Wandung **Kat. 1964** weicht durch den ungewöhnlich weit ausschwingenden Rand und das schlichte ausgesparte Feld unter dem breiten Lippenband vom üblichen Erscheinungsbild der Tassen mit konkaver Wandung des 7. Jahrhunderts ab. Das Fragment zeigt möglicherweise die weitere Entwicklung der Tassenform hin zu den konischen Tassen des fortgeschrittenen 6. Jahrhunderts an, wie sie vor allem aus spätarchaischen Befundkontexten in Didyma gut bekannt sind¹⁰⁹⁹.

In den nacharchaischen Theaterbefunden findet sich mit **Kat. 1970** aus dem oberen Diazoma eine Tasse der Fikelluraware. Mit den Fikelluratassen aus milesischen Befunden des 6. Jahrhunderts hat sich zuletzt U. Schlotzhauer eingehend befasst¹¹⁰⁰. Aus Ephesos sind bislang keine Exemplare vorgelegt, wie auch die Fikelluratassen insgesamt keinen großen Verbreitungsradius außerhalb des unmittelbaren Umfeldes von Milet verzeichnen¹¹⁰¹. **Kat. 1970** weist mit dem hellen Gefäßüberzug an Innen- und Außenseite und mit dem darüber aufgetragenen Maldekor in Form eines von einem schmalen Leiterband nach oben begrenzten Flechtbandes typische Dekorelemente der Fikellurakeramik auf, die für die milesischen Tassen, denen **Kat. 1970** anzugehören scheint, bereits belegt sind¹¹⁰². Der steilkonische Wandverlauf ist für Standfuß-tassen mit Wandungsstanding oder für Bodentassen denkbar¹¹⁰³, während das nur teilweise gefirnisste Gefäßinnere bei den bislang vorgelegten milesischen Fikelluratassen keine unmittelbare Entsprechung findet.

¹⁰⁹⁷ Vgl. dazu etwa Scherrer – Trinkl 2006, 96. 122 Nr. 169–172 Taf. 28.

¹⁰⁹⁸ Vgl. dazu Walter 1957, 40 Beil. 51, 2; Walter – Vierneisel 1959, 13 Beil. 14, 6. 7.

¹⁰⁹⁹ s. Bumke 2013, 339 Abb. 6. Die entsprechenden Tassen aus den Grabungen am Taxiarchis-Hügel in Didyma werden aktuell von der Verf. für die abschließende Publikation vorbereitet.

¹¹⁰⁰ Vgl. dazu Schlotzhauer 1999a. s. auch Schlotzhauer 2006a, 138–141.

¹¹⁰¹ Aus dem Schwarzmeerraum ist bislang eine Kleeblatttasse bekannt, deren Echtheit von Cook – Dupont 1998, 201 Anm. 13 aufgrund fehlender Referenzen noch angezweifelt wurde. s. dazu auch Schlotzhauer 1999a, 223 f. 239; Schlotzhauer 2006a, 138–141. Dazu auch Lölhöffel 2018.

¹¹⁰² Vgl. etwa Schlotzhauer 1999a, 227 f. Nr. 7 Abb. 10.

¹¹⁰³ Dazu Schlotzhauer 1999a, 227–232.

2.A.2.1.6 Chiotische Trinkgefäße

Geht man nach der Fundevidenz, so stellten Kelche das beliebteste Exportprodukt chiotischer Keramikwerkstätten in der Ägäis dar. Sie wurden nicht nur importiert, sondern fanden mitunter auch lokale Nachahmung¹¹⁰⁴. Bislang sind chiotische Kelche in Ephesos aus der Nekropole am ›Staatsmarkt‹ bekannt¹¹⁰⁵, womit die Fundevidenz in Ephesos im Einklang steht mit der übrigen Ägäis, wo sich chiotische Kelche vorwiegend in Heiligtums-¹¹⁰⁶ und weniger in Grabbefunden¹¹⁰⁷ finden, was für die chiotischen Kelche den Ruf typischer Heiligtumskeramik begründete.

Auf dem Kelchfragment **Kat. 2065** aus der Kammer D3 im Theater von Ephesos ist in Umrissmalerei das nach vorn abgewinkelte Bein eines Tänzers nach rechts zu erkennen¹¹⁰⁸. Der weit trichterförmig ausgestellte Wandverlauf des hohen Randes ist seit dem frühen 6. Jahrhundert typisch für Gefäße des ›Chalice Style‹, mit dem auch erstmals anthropomorphe Darstellungen, wie sie für den ›Grand Style‹ des zweiten Viertels des 6. Jahrhunderts typisch sind, als singuläre Figuren die Dekorzone schmücken können¹¹⁰⁹. Tanzende Komasten in paarweiser Anordnung sind hingegen für in schwarzfiguriger Technik bemalte Kelche belegt¹¹¹⁰. Aus dem Erhaltungszustand von **Kat. 2065** geht nicht hervor, ob die Darstellung insgesamt bereits in schwarzfiguriger Technik ausgeführt war.

Das zweite chiotische Randfragment **Kat. 1971** aus dem oberen Diazoma ist hingegen zu einer Schale zu ergänzen, wobei die Dimensionen für eine Omphalosschale, wie sie mit **Kat. 1101** aus den Agora-Befunden vorliegt, ungewöhnlich klein scheinen.

2.A.2.2 MISCHGEFÄSSE

Die Kratere aus den Theaterbefunden spiegeln die gesamte Bandbreite ionisch-archaischer Dekor- und Warengruppen wider.

Vom großen Krater **Kat. 2066** hat sich mit dem Schulterfragment ein Teil der in Metopen gegliederten Hauptdekorzone eines geometrischen Gefäßes erhalten. Der Krater **Kat. 1972** weist mit dem keilförmig verdickten und beidseitig bemalten Rand typische Merkmale subgeometrischer Kratere auf und findet gute Parallelen in den archaischen Siedlungsbefunden unter der Tetragonos Agora, wo die Ränder mitunter zusätzlich durch eingeritzte Wellenbänder dekoriert sind. Die kleinen Dimensionen von **Kat. 1972** sind indes ungewöhnlich, und der aufgehellte Gefäßkörper stellt das Gefäß an das Ende der subgeometrischen Strömung im späten 7. Jahrhundert. Das Randfragment **Kat. 1974** eines großen Kraters weist mit seinem niedrigen Rand ebenfalls formale Gemeinsamkeiten mit geometrischen und subgeometrischen Krateren auf, die Qualität des matten Überzugs verortet aber auch dieses Gefäß schon im 6. Jahrhundert¹¹¹¹. Ebenso wie keilförmige Ränder gelten hohe Gefäßständer oder Standfüße gemeinhin als ein Merkmal geometrischer und subgeometrischer Mischgefäße; die Standfußbasis **Kat. 2070** aus

¹¹⁰⁴ Kelchproduktionen nach chiotischem Vorbild wurden für Naukratis, Erythrai und Thasos angenommen. s. dazu Williams 1983, 181 f. mit entsprechenden Literaturangaben. Zuletzt hat Williams 2006 eine mögliche Produktion chiotischer Keramik in Naukratis zurückgewiesen. Für Klazomenai scheint eine solche mittlerweile gesichert. Vgl. dazu Hürmüzli 2008.

¹¹⁰⁵ Zu der Nekropole am ›Staatsmarkt‹ s. Langmann 1967, 105–107 Abb. 42, 1 (Sarkophag 1).

¹¹⁰⁶ Vgl. etwa Dugas 1928, 56 f. Nr. 121. 123 Taf. 19. 20; Hayes 1966, 57–63; Hayes 1973, 24–28; Walter-Karydi 1973, 139–141 Taf. 92. 94; Schattner 2007, 436.

¹¹⁰⁷ Vgl. Kinch 1914, Nr. 4 Taf. 48; Utili 1999, 19–21.

¹¹⁰⁸ Das Motiv des Tänzers und seine Bedeutung in der chiotischen Vasenmalerei wurde von Williams 1983, 161–163 ausführlich diskutiert.

¹¹⁰⁹ Vgl. beispielsweise Lemos 1991, 126–128 Abb. 20 Nr. 964 Taf. 130; Cook – Dupont 1998, 49. Zu dem ›Grand Style‹ vgl. zusammenfassend Cook – Dupont 1998, 71–73.

¹¹¹⁰ Vgl. dazu etwa Hayes 1966, 59 f. Nr. 787–791 Taf. 44; Boardman 1967, 158 Nr. 449. 754–760 Taf. 59. 60; Hayes 1973, 26 Nr. 807 Taf. 14; Lemos 1991, 169–173 Taf. 196–203.

¹¹¹¹ Vgl. ein entsprechendes Gefäß aus Milet bei Voigtländer 1982, Nr. 72 Abb. 12.

der Kammer D3 belegt indessen das Weiterleben hoher Standfüße im Zusammenhang mit Dunkelgrundiger Ware.

Das Wandfragment **Kat. 1976** eines dünnwandigen und großen Kraters der Grauen Ware steht den mastoiden Kratern nahe. Die Gefäßoberfläche weist eine feine Glättung auf, die Horizontalhenkel auf der Schulter, von denen sich am Fragment ein Ansatz erhalten hat, sind zu englichtigen Bandhenkeln zu ergänzen. Damit kommt bei **Kat. 1976** sowohl in der Formgebung als auch in der Oberflächengestaltung das Vorbild von Metallgefäßen zum Tragen, die das Gefäß im 7. Jahrhundert verorten. Standringe wie **Kat. 1975**, **Kat. 2067** und **Kat. 2068** sind sowohl im 7. und 6. Jahrhundert für Halskratere als auch für mastoide Kratere denkbar; die kantige Ausführung besonders von **Kat. 2068** verweist dabei schon eher auf das 6. Jahrhundert. Das weite Beckenfragment **Kat. 1980** ist eher für einen Halskrater denn für einen mastoiden Krater zu erwarten. Das Randfragment **Kat. 1973** überträgt die Randmorphologie der Halskratere auf eine ungewöhnlich kleine Dimension; anders als bei **Kat. 2043** ist in diesem Fall aber nicht von einem Miniaturgefäß auszugehen, da eine tatsächliche Verwendung in der Funktion eines Kraters im Bereich des Möglichen bleibt.

Kat. 2069 entstammt dem Schulter-Bauch-Umbruch eines Kraters mit Gürtelbanddekor. Gefäße mit vergleichbarem Hakenmäanderfries im Gürtelband sind in Milet seit dem späten 7. Jahrhundert (SiA Id) zahlreich belegt¹¹¹²; mit **Kat. 2069** begegnet in der Kammer D3 möglicherweise ein solches milesisches Gefäß. Darüber hinaus ist der Dekor besonders für orientalisierende Gefäße nordionischer Tradition der Stilstufe NiA Id (**Kat. 1979**) bezeichnend und wird auch in die Dekorsysteme früher schwarzfiguriger Kratere übernommen.

Das Wandfragment **Kat. 1977** eines orientalisierenden Kraters aus dem oberen Diazoma weist in der Bodenzone einen stark verriebenen Lotusfries auf, wie er seit dem mittleren 7. Jahrhundert in den Dekorschatz der orientalisierende Keramikproduktion Eingang findet; der Krater **Kat. 1977** ist hingegen ein später Träger, wahrscheinlich wiederum nordionischer Produktion, dieses Motivs.

Mit Hakenmäanderfriesen versehene Flachränder wie **Kat. 1978** sind typisch für orientalisierende Halskratere des späteren 7. und frühen 6. Jahrhunderts, wobei die Entwicklung grundsätzlich hin zu kleineren Gefäßproportionen geht. Das Randfragment **AG 90/045.10** (Abb. 34) eines vergleichbaren Halskraters aus den nacharchaischen Horizonten der Tetragonos Agora kann dies veranschaulichen¹¹¹³. Im nordionischen Produktionsgebiet werden entsprechende Halskratere seit dem ausgehenden 7. Jahrhundert auch gerne mit schwarzfigurigen Bildfriesen in der Hauptdekorzone an der Schulter bemalt¹¹¹⁴. Die beiden Wandfragmente **Kat. 2071** und **Kat. 2072** aus der Kammer D3 repräsentieren schließlich dieselbe Entwicklungsstufe nordionisch-schwarzfiguriger Malerei. In beiden Fällen handelt es sich um mit hellem Malgrund überzogene Schulterfragmente wahrscheinlich von Halskratern, ähnlich dem Randfragment **Kat. 1978**, deren Halsansatz von je einem Zungenband betont ist, wie es auch für die orientalisierenden Gefäße der Stilstufe NiA Id geläufig ist. Die sechsteilige Klecksrosette von **Kat. 2072** ist indes eindeutig korinthisch inspiriert, und mit der Sphinx begegnet bei **Kat. 2071** ein innovativer Bildinhalt der späten Tierfriesmalerei.

¹¹¹² Vgl. Panteleon 2013, 207 Nr. 871 Taf. 181; 212 Nr. 890 Taf. 29. 183; 230–235 Nr. 970–989 Taf. 192. 193; 244 f. Nr. 1028 Taf. 52.

¹¹¹³ Vgl. dazu Villard – Vallet 1964, 79 Nr. 1. 2 Taf. 65; Cook 1965, 120 f. Nr. 34 Abb. 5 Taf. 27; Hayes 1966, 49 Nr. 605 Taf. 31; Condurachi 1966, 437 Nr. 59. 62 Taf. 5; Metzger 1972, 28 Nr. 16 Taf. 3; Ploug 1973, 65 Nr. 266. 267 Taf. 14 d; Walter-Karydi 1973, 144 Nr. 938. 939. 941 Taf. 114. 115; 145 Nr. 970 Taf. 118; Calvet – Yon 1977, 14 Nr. 54 Taf. 6; Thalmann 1977, 78 Nr. 124. 125 Taf. 12; Alexandrescu 1978, 41 Nr. 56 Taf. 6; Schaus 1985, 70 Nr. 428 Taf. 26; Kerschner 2008a, 66 Nr. 36 Taf. 12.

¹¹¹⁴ Vgl. etwa Cook 1965, 120 f. Nr. 34 Abb. 5 Taf. 27 (ohne Überzug); Ploug 1973, 65 Nr. 266. 267 Taf. 14 d; Walter-Karydi 1973, 144 Nr. 939 Taf. 115; Thalmann 1977, 78 Nr. 123–126 Taf. 12; Schaus 1985, 70 Nr. 428 Taf. 26; Kerschner 2008a, 66 Nr. 36 Taf. 12.



Abb. 34 Halskrater AG 90/045.10

Kat. 2073 aus der Kammer D3 ist mit seinem weit ausschwingenden Rand als Kelchkrater anzusprechen¹¹¹⁵. Die prominente Verwendung von Deckrot ist bezeichnend sowohl für die orientalisierenden Gefäße der Stilstufe NiA Id als auch besonders für die klazomenisch-schwarzfigurigen Gefäße. Der Friesdekor aus zwischen vertikalen Strichen aneinandergereihten Quadraten zitiert Dekorsysteme der entwickelten Tierfriesstile und der Fikelluraware.

2.A.2.3 SERVIERGEFÄSSE

Das Repertoire der archaischen Serviergefäße aus den Theaterbefunden zeigt einen ähnlichen Variantenreichtum und ein vergleichbares Typenspektrum wie die archaischen Siedlungsbefunde unter der Tetragonos Agora.

2.A.2.3.1 Schüsseln

Innerhalb der bauchigen Schüsseln bildet das unbemalte Gefäß **Kat. 1984** aus dem oberen Diazoma einen kaum verdickten Rand mit nach innen abgeschrägter Oberkante aus, während die flach verdickten Ränder der mit Bändern, Wellenbändern und Randstrichen bemalten Schüsseln **Kat. 2077**, **Kat. 2078** und **Kat. 2113** leistenartig vorspringen. Bei **Kat. 1982** zeichnet sich ein aufwendiger Metopendekor ab, wie er von Trinkschalen und Krateren bekannt ist.

Kat. 1981 stellt die einzige Steilwandschüssel aus den Theaterbefunden dar. Das Gefäß weist mit dem umseitig flächig aufgetragenen Überzug eine Dekorvariante auf, die besonders im 6. Jahrhundert beliebt ist (s. o. Kap. 1.B.3.4.1c).

Die Knickwandschüsseln **Kat. 1986**, **Kat. 2074** und **Kat. 2114** kombinieren ein flaches und unbemaltes Schüsselbecken mit einer bemalten Randzone, wobei besonders die scharfgratigen Profilierungen im Randbereich von **Kat. 1986** und **Kat. 2074** auf eine Einordnung bereits im 6. Jahrhundert deuten (s. o. Kap. 1.B.3.4.1d).

Kat. 1983, **Kat. 1988**, **Kat. 2075** und **Kat. 2076** gehören in die variantenreiche Gruppe der Schüsseln mit konvexer Wandung. Die kleinformatischen Schüsseln **Kat. 1983** und **Kat. 2076** stehen mit ihren unbemalten und teils fein geglätteten Gefäßoberflächen sowie in ihrer Randmorphologie den bauchigen Schüsseln des 7. Jahrhunderts nahe, während **Kat. 1988** und **Kat. 2067** mit den verdickten Rändern und großflächig aufgetragenen Überzügen bereits in das 6. Jahrhundert zu datieren sind. Besonders auch der schwalbenschwanzförmige Rand von **Kat. 1988**, der diese Schüssel als ein Deckelgefäß kenntlich macht, findet seine nächsten formalen Parallelen erst in Kontexten des 6. Jahrhunderts¹¹¹⁶.

Das Wandfragment **Kat. 1989** aus dem oberen Diazoma kann das Aussehen der auch in den Agora-Befunden vertretenen Henkelschalen oder ihrer Nachfolgeerscheinung im 6. Jahrhundert,

¹¹¹⁵ Ich danke I. Kowallek und N. Panteleon für Diskussion und hilfreiche Hinweise.

¹¹¹⁶ Vgl. dazu Hayes 1973, 30 Nr. 2057 Abb. 14 Taf. 17; Voigtländer 1982, Nr. 111 Abb. 19.

der henkellosen Schalen, weiter verdeutlichen. Der innen flächig aufgetragene Überzug gilt bei den henkellosen Schalen als ein Phänomen des früheren 6. Jahrhunderts, das später zugunsten unbemalter Gefäße aufgegeben wird¹¹¹⁷.

An kleinen Schüsseln begegnen in den Theaterbefunden zwei Varianten. **Kat. 1993** aus dem oberen Diazoma steht den kleinen Schüsseln **Kat. 463**, **Kat. 630** und **Kat. 818** aus den archaischen Siedlungsbefunden nahe, mit dem Unterschied, dass der leicht verdickte Rand nach außen abgeschrägt wird und die Randoberkante keinen Strichdekor aufweist. Die Randfragmente **Kat. 1990** und **Kat. 1991** lassen sich zu flachen, unbemalten Schüsseln mit Flachrändern ergänzen. Kleine Schüsseln mit ausgebogenen Flachrändern werden in ostgriechischen Befunden vom ausgehenden 7. bis in das dritte Viertel des 6. Jahrhunderts datiert¹¹¹⁸. Das völlige Fehlen dieser Gefäße in den archaischen Siedlungsbefunden unter der Tetragonos Agora und ihr gleichzeitiges Vorkommen in den spätarchaischen Niveaus am Panayırdağ¹¹¹⁹ macht für Ephesos eine Datierung erst nach dem mittleren 6. Jahrhundert wahrscheinlich. Möglicherweise ist auch das Bodenfragment **Kat. 1994** mit abgesetzter Bodenplatte einem solchen Gefäß zugehörig. Bei der kleinen Schüssel **Kat. 1985** wiederum mit abgesetzter Bodenplatte zeichnen sich an der verriebenen Oberfläche indessen Spuren eines roten Überzugs ab.

Die Lekanen **Kat. 1992** und **Kat. 2079** repräsentieren zwei unterschiedliche Varianten, von denen die flache Lekane **Kat. 2079** mit den parallelen Balken an der Randoberkante ein Dekorelement aufweist, das sich noch aus dem 7. Jahrhundert herleiten lässt, wohingegen die seichten Dellen an der Randoberkante bereits in das 6. Jahrhundert gehören und mit **Kat. 1463** aus einem Zerstörungshorizont der AG Phase IV spätestens für das mittlere 6. Jahrhundert bezeugt sind. Die tiefe Lekane **Kat. 1992** verfügt über die gleichen Dellen an der Oberkante des massiven, matt gefirnissten Randes, der mittels einer Profilierung vom Gefäßbecken abgesetzt ist. **Kat. 1992** ist nicht zuletzt aufgrund des Dekors als das relativ jüngere Gefäß zu verstehen; die Dellenzier der Randoberkante setzt sich außerdem über das 6. Jahrhundert hinaus noch bei Lekanen klassischer Zeit fort¹¹²⁰.

2.A.2.3.2 Teller

In den Theaterbefunden lassen sich wie in den archaischen Siedlungsbefunden unter der Tetragonos Agora mit den Tellern der Alltagsware und den Tellern der bemalten Feinkeramik zwei wesentliche Gruppen fassen.

Kat. 1996 aus dem oberen Diazoma gehört der bereits aus den archaischen Siedlungsbefunden bekannten Gruppe dickwandiger Teller mit flächigem Überzug im inneren Tellerbecken an. Die flachen Teller **Kat. 1997**, **Kat. 1998** und **Kat. 2084** haben mit **Kat. 1996** den flächigen Überzug gemeinsam und zeigen dabei mit dem kantig eingebogenen Rand ein Formmerkmal, das sich von den nordionischen und äolischen Tellern des 6. Jahrhunderts ableiten lässt¹¹²¹ und auch unter den Tiefen Tellern der zweiten Hälfte des 6. Jahrhunderts verbreitet ist. Innerhalb der Tiefen Teller aus den Theaterbefunden weist allerdings nur **Kat. 2083** dieses morphologische Merkmal auf, während **Kat. 2081** und **Kat. 2082** leicht keilförmig verdickte Ränder mit nach außen abgeschrägter Oberkante ausbilden. Die Gefäßbecken aller drei Tiefen Teller tragen im Inneren einen Reifendekor und bleiben an der Außenseite bis auf ein Lippenband (**Kat. 2081**, **Kat. 2083**) unbemalt.

¹¹¹⁷ Vgl. dazu die Evidenz aus Samos bei Furtwängler – Kienast 1989, 98–100.

¹¹¹⁸ Vgl. etwa Schaus 1985, 68 Nr. 409 Abb. 8; Furtwängler – Kienast 1989, 120 Nr. 4 Abb. 23; 125 Nr. 3 Abb. 25 Taf. 28; Gassner 1997, 31 Nr. 28 Taf. 1; Schattner 2007, Nr. TeB4 7 Abb. 105; Yılmaz 2008, 255 Nr. 20 Abb. 23.

¹¹¹⁹ Vgl. dazu von Miller 2013, 387 f. Nr. 2130. 2132. 2134; 388 Nr. 2136.

¹¹²⁰ Vgl. die Parallelbeispiele bei Voigtländer 1982, 43. 53 Nr. 89–91 Abb. 16.

¹¹²¹ Vgl. zu Nordionien beispielsweise Ersoy 1993, Nr. 572 Taf. 63; Nr. 580 Taf. 72; Nr. 563 Taf. 113; Nr. 557 Taf. 170; Nr. 566 Taf. 193; Nr. 546 Taf. 203; Nr. 538 Taf. 231. Zur Äolis s. Akurgal 2002, 111 Nr. 79 Abb. 48 Taf. 6; İren 2003, 181–186 Nr. 238. 242. 262. 303. 306. 307 Beil. 24–26.

Mit **Kat. 2085** begegnet in der Kammer D3 der einzige orientalisierende Teller aus den Theaterbefunden. Es handelt sich um ein Fragment vom inneren Tellerbecken wahrscheinlich eines Mäanderrandtellers mit einem Knospen-Rauten-Stern im mittigen Bildtondo.

2.A.2.3.3 Deckel

Die Deckelfragmente **Kat. 1999** und **Kat. 2086** aus den nacharchaischen Theaterbefunden gehören zu einer Gruppe mit leicht schnabelförmig abgesetztem Rand, die formal den Tellern der zweiten Hälfte des 6. Jahrhunderts nahe stehen.

2.A.2.4 SCHANKGEFÄSSE

2.A.2.4.1 Kännchen

Die Theaterbefunde enthielten nur zwei archaische Kännchen. Trotz dieser geringen Anzahl und der damit verbundenen Schwierigkeit repräsentativer Aussagen ist es zumindest bemerkenswert, dass gerade die typischen subgeometrischen Kännchen und die bauchigen Kännchen, die für die archaische Siedlung unter der Tetragonos Agora bis an ihr Ende im mittleren 6. Jahrhundert besonders bezeichnend sind, nicht auftreten. Die Kännchen **Kat. 2001** und **Kat. 2002** gehören der Reifenware an. **Kat. 2002** findet eine unmittelbare Parallele in **Kat. 1305** aus einem Zerstörungsbefund der AG Phase IV, wohingegen das Bodenfragment **Kat. 2001** mit seinem Standring ein Formelement aufweist, das in den Agora-Befunden nicht belegt ist. Kleine Kännchen mit Standringen lassen sich im Gegensatz zu solchen mit flachem Boden wahrscheinlich zu Gefäßen mit deutlich voneinander abgesetzten Körperpartien und Kleeblattmündung ergänzen; sie sind in Samos und in Milet in Befunden des ausgehenden 8. und des 7. Jahrhunderts belegt¹¹²². In Ephesos kommen sie hingegen erst in den spätarchaischen Befunden vom Panayırdağ vor¹¹²³, was angesichts ihres Fehlens in den Agora-Befunden eine analoge spätarchaische Datierung auch von **Kat. 2001** sehr wahrscheinlich macht.

2.A.2.4.2 Kannen

Anders als bei den Kännchen reicht die typologische Bandbreite der Kannen aus den Theaterbefunden bis in die geometrische/subgeometrische Zeit zurück.

Die kleine Kanne mit Kleeblattmündung und dunklem Überzug **Kat. 2004** aus dem oberen Diazoma findet ihre Vorläufer bereits in protogeometrischer Zeit und wird wie **Kat. 205** aus einem Zerstörungsniveau der AG Phase II einem spät- bis subgeometrischen Gefäß des späten 8. oder 7. Jahrhunderts angehört haben. Die Kannen dieser Zeitstufe zeichnen sich wie die subgeometrischen Kännchen durch flächig aufgetragene Überzüge aus (**Kat. 2004. Kat. 2005**), die mitunter von Bündeln tongrundig ausgesparter Bänder aufgehellert werden (**Kat. 2003. Kat. 2090**). Kannen mit mehrfachen, in unterschiedlichen Abständen aufgebrauchten Zirkelkreisen an der Schulter wie **Kat. 2018** gehören vornehmlich der subgeometrischen Keramikproduktion an.

Innerhalb der geometrischen und subgeometrischen Kannen lassen sich die Vogelkannen aufgrund ihres charakteristischen Dekors besonders gut erkennen. Die Fragmente **Kat. 2087–Kat. 2089** aus der Kammer D3 zeigen für die Vogelkannen typische Dekorelemente, und das gut erhaltene Halsfragment **Kat. 2087** vermittelt einen guten Eindruck vom Dekorsystem der Vogelkannen. Hier ist die Zickzackreihe im oberen Halspaneel durch drei umlaufende Reifen vom unteren Paneel abgetrennt, in dem sich stehende schraffierte Dreiecke aneinanderreihen. Die Metopengliederung der Schulterzone zeichnet sich in den Ansätzen der Trennbalken

¹¹²² Vgl. Walter – Vierneisel 1959, 13 Beil. 17, 1; 19 Beil. 37, 3; 39, 2; Hommel 1959/1960, 54 Nr. 2 Taf. 54; Furtwängler 1980, 175 Nr. 40 Abb. 14 Taf. 45.

¹¹²³ Vgl. dazu von Miller 2013, 409 Nr. 2268.

unterhalb des den Schulter-Hals-Umbruch markierenden Reifenbündels ab. **Kat. 2088** illustriert indes mit dem schmalen Zickzackfeld unterhalb des Halsansatzes, dass die Metopengliederung der Schulterzone mit horizontalen Paneelen versehen sein kann, wie es auch von den frühen Vogelkotylen der Typen 1 und 2 bekannt ist¹¹²⁴. Damit gehört **Kat. 2088** möglicherweise mit zu den typologisch ältesten Vogelkannen aus ephesischen Befunden. Für **Kat. 2089** kann aufgrund des Fabrikats eine Produktion in den nordionischen Vogelschalenwerkstätten wahrscheinlich gemacht werden; der Schmetterlingsmetopenfries am Schulter-Bauch-Umbruch zeigt die kanonische Sockelzone, die bei den Vogelkotylen der zweiten Hälfte des 8. Jahrhunderts und des frühen 7. Jahrhunderts ebenfalls verbindlich ist.

Das Bodenfragment **Kat. 2009** aus dem oberen Diazoma gehört den archaischen Alltagswaren an. Der zum Standring stark einziehende Gefäßunterbauch der schlanken Kanne **Kat. 2009** ist ein Merkmal von Reifekannen des späten 7. und 6. Jahrhunderts (s. o. Kap. 1.B.3.5.2c).

Das Randfragment **Kat. 2008** aus dem oberen Diazoma zeigt eine Olpe mit kantig verdicktem Rand und Henkelansatz. Vergleichbare kleine Olpen finden sich in den Agora-Befunden erstmals im späten 7. Jahrhundert und scheinen vor allem mit der AG Phase IV in der ersten Hälfte des 6. Jahrhunderts beliebt zu werden (s. o. Kap. 1.B.3.5.2e).

Neben geometrischen/subgeometrischen Kannen und Kannen der Alltagskeramik sind in den Theaterbefunden auch orientalisierende Kannen vertreten. Das Schulterfragment **Kat. 2091** aus der Kammer D3 zeigt wahrscheinlich eine Kanne des fortgeschrittenen 7. Jahrhunderts mit einem reduzierten Volutenmotiv im Schulterfries (s. o. Kap. 1.B.3.5.2f). Die Schulterfragmente **Kat. 2010** und **Kat. 2011** aus dem oberen Diazoma zeigen im Anschluss an das dunkle Henkelfeld mit der aus Kreisen und großen Punkten gebildeten Rosette eines der charakteristischen Füllornamente nordionischer Tierfriesmalerei des letzten Drittels des 7. und des ersten Drittels des 6. Jahrhunderts¹¹²⁵. In denselben Zeithorizont fällt **Kat. 2092** aus der Kammer D3. Die großen Punktelemente, die in die Zwickel des den Gefäßhals schmückenden Flechtbandes eingefügt werden, sind als Besonderheit nordionischer Werkstatttraditionen zu verstehen¹¹²⁶ und stellen beispielsweise auch den verbindlichen Dekor auf den Halsen der sog. Borysthenes-Amphoren dar (s. o. Kap. 1.B.3.6.1a). Mit **Kat. 2012** ist aus dem oberen Diazoma ein weiteres kleinformatiges, geschlossenes Gefäß wahrscheinlich nordionischer Herstellung gegeben. In der Schulterzone zeichnet sich hier ein vom gefirnissten Halsansatz herabhängendes Motiv ab, das in Analogie zu bekannten Gefäßen¹¹²⁷ als zentrales Mittelmotiv des Schulterbildfeldes anzusprechen sein könnte.

2.A.2.5 VORRATS- UND TRANSPORTGEFÄSSE

2.A.2.5.1 Amphoren der Feinkeramik

Anders als **Kat. 1181** aus den Agora-Befunden ist **Kat. 2031** aus dem oberen Diazoma mit Sicherheit als Amphore der Fikelluraware anzusprechen. Der kantig ab- und hochgebogene, lang-schmale Rand mit der gerade abgestrichenen Mündung ist dafür ebenso bezeichnend wie der helle Überzug der Gefäßoberfläche und die dekorative Gestaltung des Randes mit einem breiten inneren Lippenband und vertikalen Balken an der Randaußenkante. Das zu ergänzende Ganzgefäß verfügt über einen breiten, annähernd zylindrischen Hals, der mit einem stehenden Falz in die

¹¹²⁴ Vgl. dazu Kerschner 1995, 12 Abb. 14–16. Beide Kotylentypen sind in den archaischen Siedlungsbefunden unter der Tetragonos Agora nicht belegt.

¹¹²⁵ Vgl. dazu Ploug 1973, 59 Nr. 171. 172 Taf. 9. 10; Walter-Karydi 1973, 142 f. Nr. 879. 895. 899. 901 Taf. 108. 111; Gjerstad 1977b, 35 Nr. 161 Taf. 17; Thalmann 1977, 78 Nr. 129. 132 Taf. 13; Akurgal 2002, 109 Nr. 71 Abb. 38.

¹¹²⁶ Vgl. etwa Dugas 1935, 58–60 Nr. 5–11. 14 Taf. 39–41; Walter-Karydi 1973, 142 f. Nr. 889. 891–893 Taf. 107; Thalmann 1977, 78 f. Nr. 129–131 Taf. 13; Nr. 140. 141 Taf. 14; Alexandrescu 2005b, 338 Nr. C47 Taf. 58. In der südionischen Tierfriesproduktion kommt Zwickeldekor bei Flechtbändern kaum vor und spielt eine in der Gesamtkomposition sehr zurückgenommene Rolle. Vgl. dazu etwa Utili 1999, 199 Nr. 334 Abb. 308; Panteleon 2013, 159 Nr. 674 Taf. 56. 156 (Krater).

¹¹²⁷ Vgl. etwa Walter-Karydi 1973, 142 Nr. 889 Taf. 107.

flach ausladende Schulter übergeht; diese biegt mit einem markanten Knick in den tiefen, breiten Gefäßbauch um, der auf einem kräftigen, kantigen Standring ruht. Vom Hals reichen zwei an den Seiten gefasste und an der Schauseite mit Strichen verzierte Vertikalhenkel mit drei Faszien (z. B. **Kat. 1181**) auf die Gefäßschulter¹¹²⁸. Aufgrund des Erhaltungszustands können keine verbindlichen Aussagen zu dem ursprünglichen Dekorsystem der Amphore **Kat. 2031** getroffen werden, die Randgestaltung mit vertikalen anstelle schräger Balken ist jedoch für Amphoren der Dekorgruppen B, C, G, J, L, N und P nach R. M. Cook belegt, wobei die Variante der über die gesamte Kantenlänge reichenden Balken für die Gruppen L (›Running Man Group‹) und P (›Volute Zone Group‹) nachgewiesen ist¹¹²⁹. In Analogie dazu wäre für **Kat. 2031** mit einem Halsbildfeld mit Mäanderkreuzband, Lotusfries oder doppeltem Flechtband zu rechnen, am Gefäßkörper mit großen Voluten oder einem zentralen figürlichen Bildmotiv. Beide Dekorgruppen gehören zu den im Gefäßdepot am Kalabaktepe am besten belegten und wurden von F. Waschek zuletzt in das letzte Drittel des 6. Jahrhunderts datiert¹¹³⁰; ihre Herkunft aus milesischen Werkstätten scheint gesichert¹¹³¹. In ihrer Randmorphologie zeigt **Kat. 2031** jene Charakteristika, die F. Waschek für die Gruppe 6 und die Gruppe 7 der Fikelluratöpfer vom Kalabaktepe herausgearbeitet hat, wobei als bisher einzige Übereinstimmung die Töpfergruppe 6 für die Dekorgruppe L gesichert ist¹¹³². Damit ist ein – wenn auch nicht hinreichendes – Indiz dafür gegeben, dass es sich auch bei **Kat. 2031** um eine Amphore der ›Running Man Group‹ gehandelt haben könnte.

2.A.2.5.2 Haushaltsamphoren/Hydrien

Mit der subgeometrischen Hydria **Kat. 2016** ist in den Theaterbefunden neben der Kanne **Kat. 2018** die zweite Gefäßform subgeometrischer Tradition vertreten, deren Schulterzone mit dem Kammzirkel gezogenen Kreisdekor trägt. Die unterschiedlich breit gezogenen Kreissegmente von **Kat. 2016** sind ebenso wie die unterschiedlichen Abstände der Kreissegmente auf **Kat. 2018** ein Merkmal tendenziell erst subgeometrischer Gefäßproduktion¹¹³³. Am häufigsten finden sich auch in den Theaterbefunden die Wellenbandhydrien, deren namensgebender Wellenbanddekor den Hals (**Kat. 2022–Kat. 2024**), die Schulter (**Kat. 2019**) oder den Gefäßbauch (**Kat. 2021. Kat. 2096**) schmücken kann. Bei **Kat. 2097** aus der Kammer D3 schmückt das hohe Wellenband sogar den vertikalen Bandhenkel einer Hydria. Hervorzuheben sind die beiden Wellenbänder am Hals von **Kat. 2022**, die in ähnlicher Form möglicherweise auch für **Kat. 2093** aus Kammer D3 zu erwarten sind, wo das erhaltene Wellenband so hoch sitzt, dass ein zweites, darunter folgendes plausibler erscheint als ein völlig dekorloser Halsunterteil. Ein Halsdekor, der sich wie bei **Kat. 2094** aus Kammer D3 aus einem am dunkel überzogenen Hals mit in einem schmalen ausgesparten Halsfeld eingeschriebenen Wellenbändern zusammensetzt, ist in Milet in subgeometrischen Befunden nachgewiesen¹¹³⁴ und mit den Dekorprinzipien, die für die subgeo-

¹¹²⁸ Zu entsprechenden Ganzgefäßen und ihrem Dekorsystem vgl. beispielsweise Cook 1933/1934, 27 Abb. 3 Taf. 2. 4–7. 15; Walter-Karydi 1973, 118 Nr. 107 Taf. 11; 133 Nr. 539–547 Taf. 68–70; 135 Nr. 606. 607 Taf. 81; Nr. 624. 626 Taf. 85. 86; 137 Nr. 683 Taf. 89; Cook – Dupont 1998, 80 Abb. 10, 3; Waschek 2008, 52–54 Abb. 5. 6. 8; 59 Abb. 14.

¹¹²⁹ Vgl. dazu Cook 1933/1934, zu der Dekorgruppe L bes. 20–24; zu der Dekorgruppe P bes. 30–33. Vgl. auch Waschek 2008, 54 Abb. 8.

¹¹³⁰ Dazu Waschek 2008, 51. 56; vgl. außerdem Cook 1933/1934, 24. 33. Allgemein zu der Datierung der Fikellura-Amphoren und deren Diskussion s. Schaus 1986, 284–292; Cook 1992, 262 f.; Cook – Dupont 1998, 89.

¹¹³¹ Zur archäometrischen Grundlage s. Dupont 1983, 37–39; Dupont 1986; Kerschner 2002b, 37–47. Die archäologische Evidenz hat zuletzt Waschek 2008, bes. 67–69 überzeugend dargelegt.

¹¹³² Dazu Waschek 2008, 66 f. Abb. 22.

¹¹³³ Im Artemision von Ephesos ist dieses Detail jedoch schon wesentlich früher im 9. Jh. anzutreffen. Vgl. dazu Kerschner 2003a, 49 Nr. 4 Abb. 5.

¹¹³⁴ Dazu von Graeve 1975, 43 Nr. 1 Abb. 7 Taf. 3. Seifert 2004, 58 Nr. 21–24 Taf. 7. 8 ordnet vergleichbare Gefäße aufgrund formaler Charakteristika erst in der 2. Hälfte des 7. Jhs. ein. Eine ähnlich späte Datierung ergibt sich für die Hydrien aus Assesos bei Kalaitzoglou 2008, 416 f. Nr. 554–561 Taf. 121–125, doch fällt die tongrundige Zone hier bereits wesentlich breiter aus.

metrische Keramikproduktion anhand anderer Gefäßformen bereits mehrfach dargelegt wurden, gut vereinbar. **Kat. 2017** weist mit dem senkrecht vom Halsansatz über die Schulter hinab führenden Wellenband ein weiteres typisches Dekorelement archaischer Hydrien auf. Für die bemalten Randfragmente **Kat. 2027–Kat. 2030**, **Kat. 2098–Kat. 2102** und **Kat. 2115**, die Wandfragmente **Kat. 2025** und **Kat. 2103** sowie die Bodenfragmente **Kat. 2014**, **Kat. 2015** und **Kat. 2116** sind entweder Hydrien oder Haushaltsamphoren als ursprüngliche Ganzgefäße zu ergänzen. Ähnlich wie in den Agorabefunden stehen dabei Gefäße milesischen Typs (**Kat. 2030**, **Kat. 2101**, **Kat. 2102**) neben solchen mit wulstig bis rundstabilig verdicktem Rand (**Kat. 2027–Kat. 2029**, **Kat. 2098**, **Kat. 2099**).

2.A.2.5.3 Transportamphoren

Die beiden Transportamphoren **Kat. 2032** und **Kat. 2033** aus dem oberen Diazoma gehören dem ionischen Typ an. Ebenso wie **Kat. 1369** aus der archaischen Siedlung unter der Tetragonos Agora fehlt beiden Gefäßen mit der Rille am Hals ein sonst charakteristisches Gestaltungsmerkmal dieses Amphorentyps. Als weitere Gemeinsamkeit der drei Amphoren ionischen Typs aus ephesischen Befunden sind ihre kleinen Dimensionen hervorzuheben. Die beiden Amphorenfragmente illustrieren darüber hinaus die Vielfalt der möglichen Produzenten dieses Amphorentyps (s. u. Kap. 4). Während sich **Kat. 2033** in der Analyse von L. Betina einer auf das nördliche Ionien eingrenzenden petrografischen Gruppe anschließen lässt, welche die bereits thematisierte nordionische Produktion der Amphoren ionischen Typs unterstreicht, ist **Kat. 2032** derselben petrografischen Gruppe wie **Kat. 1369** zugehörig, die sich leider nicht eindeutig zuordnen lässt (s. o. Kap. 1.B.3.6.4c). Das Bodenfragment **Kat. 2034** ist für Amphoren milesischen Typs oder solche ionischen Typs denkbar. Das Randfragment **Kat. 2100** aus Kammer D3 ist möglicherweise zu einer klazomenischen Amphore mit einer leichten Abtreppung unterhalb des rundstabilig verdickten Randes zu ergänzen. Vergleichbare Randmorphologien hat S. J. Monachov für Varianten klazomenischer Amphoren im Schwarzmeerraum nachweisen können¹¹³⁵; diese lässt sich in der Typologie von Y. Ersoy mit den Typen II und III des 6. Jahrhunderts gleichsetzen¹¹³⁶. Der helle Gefäßüberzug, der die klazomenischen Amphoren vielfach kennzeichnet, konnte für **Kat. 2100** allerdings nicht nachgewiesen werden, weshalb die Ansprache mit Vorbehalt erfolgen muss.

2.A.2.5.4 Stamnoi

Das Randfragment **Kat. 2035** gehört zu einem kleinen Stamnos der Reifenware; enge Vergleichsbeispiele datieren das Stück in das 6. Jahrhundert¹¹³⁷.

2.A.2.6 KÜCHENWAREN

An archaischen Küchenwaren sind in den Theaterbefunden nur Kochtöpfe vertreten.

Kat. 2036–Kat. 2038 aus dem oberen Diazoma stehen dem schon aus den archaischen Siedlungsbefunden unter der Tetragonos Agora bekannten Typus großer Kochtöpfe mit beutelförmigem Körper und hoher konischer Halspartie mit ausgebogenem Rand nahe, die in der Agora-Siedlung seit dem fortgeschrittenen 7. Jahrhundert auftreten. Im Unterschied zu den Exemplaren aus der Agora-Siedlung zeichnen sich die Kochtöpfe aus dem Theater aber durch höhere und weiter ausgebogene Ränder aus, die ihre nächsten Parallelen im Schwarzmeerraum finden¹¹³⁸. Der kleine Kochtopf **Kat. 2039** weist unterhalb des flach ausgestellten Randes eine kleine Profilierung

¹¹³⁵ s. Monachov 1999, 52 Nr. 8 Taf. 6.

¹¹³⁶ s. Ersoy 1993, 398–403.

¹¹³⁷ Furtwängler 1980, 210 Nr. 11 Abb. 17; Ersoy 1993, 142 Nr. 449 Taf. 138; 175 Nr. 451 Taf. 184; Nr. 532 Taf. 283; Kerschner 2006b, 153 Abb. 26.

¹¹³⁸ Vgl. etwa Čistov 2012, 232 Nr. 2. 3 Taf. 76.

auf, die diesen vom konischen Halsansatz absetzt. Die kleinformatige Variante der Kochtöpfe, die in der Agora-Siedlung die Befunde vor allem der AG Phase II dominiert (Diagramm 49. 50), fehlt in den Theaterbefunden.

2.A.2.7 LAMPEN

Die Lampen sind in den Theaterbefunden mit zwei Typen vertreten. Das Bodenfragment **Kat. 2040** aus dem oberen Diazoma weist mit dem mittigen Tubus das typenkonstituierende Merkmal der archaischen Stocklampen auf, die sich in ostgriechischen Befunden vom mittleren 7. Jahrhundert bis in das ausgehende 6. Jahrhundert finden¹¹³⁹. Die beiden Randfragmente **Kat. 2041** aus dem oberen Diazoma und **Kat. 2104** aus Kammer D3 sind wahrscheinlich ebenfalls zu Stocklampen zu ergänzen und zeigen eine dem Gefäß **Kat. 2327** ähnliche Variante, die sich durch einen steilgeraden Lampenkörper auszeichnet, der in einem scharfen Winkel in den nach innen vorkragenden Flachrand umbiegt. Beide Lampen tragen Reifendekor im Gefäßinneren. In Didyma und Taucheira sind vergleichbare Lampen erst seit dem mittleren 6. Jahrhundert zu fassen¹¹⁴⁰, womit die Lampen **Kat. 2041** und **Kat. 2104** einmal mehr den im Vergleich zu den Agora-Befunden relativ weiter reichenden Zeitrahmen der Theaterbefunde bis in die späte Archaik betonen.

2.A.2.8 SALBGEFÄSSE

2.A.2.8.1 *Ringaskoi*

Das etwas verzogene Wandfragment **Kat. 2105** aus Kammer D3 gehört wahrscheinlich zu einem Askos. Anders als die Askoi aus den Agora-Befunden **Kat. 402** und **Kat. 1584** handelt es sich aber nicht mehr um ein Gefäß, das geometrische Dekortraditionen erkennen lässt, sondern um eine Variante mit orientalisierendem Dekor. Die Gefäßoberfläche ist mit einem hellen Überzug bedeckt, darüber sind an der Seitenfläche zwei umlaufende Bänder aufgemalt. Die Oberkante schmücken nicht die schon bekannten schraffierten Dreiecke, sondern nach außen hängende Lanzettblätter. Dieses Motiv ist schon von einem orientalisierenden Ringaskos aus Delos belegt¹¹⁴¹. Mit **Kat. 2105** wird die Adaption der subgeometrischen Form des Ringaskos in die orientalisierende Keramikproduktion nun auch für Ephesos belegt.

2.A.2.8.2 *Aryballoi*

Das Schulterfragment **Kat. 2044** gehört zu einer ostgriechischen Variante von Aryballoi, welche sich durch eine scharf vom bauchigen Gefäßkörper abgesetzte, flache Schulterpartie und einen akzentuierten Umbruch in den hier konisch ansetzenden, hohen Hals auszeichnen. Vergleichbare Aryballoi sind aus Heiligtumsbefunden auf Samos sowie aus Gräbern auf Rhodos bekannt¹¹⁴². In Ephesos ist bereits ein entsprechender Aryballos aus der spätarchaischen Nekropole vom ›Staatsmarkt‹ publiziert¹¹⁴³ und weitere Gefäße finden sich in den spätarchaischen Befunden am

¹¹³⁹ Zu Samos vgl. Walter 1957, 50 f. Beil. 76; Kopcke 1968, 272–275 Abb. 22. 23 Taf. 105; Furtwängler 1980, 166–168; Furtwängler – Kienast 1989, 115 Nr. 33 Abb. 22 Taf. 24. Zu Milet vgl. Selesnow 1997. Eine zusammenfassende Diskussion des Typs bei Kalaitzoglou 2008, 289–291 Taf. 158. s. außerdem Bailey 1975, 89; Scheibler 1976, 90 f.; Ersoy 1993, 422 f.; Tezgör – Sezer 1995, 48. 50–63 Nr. 70–116; Fantalkin 2001, 96 f. Abb. 34; Schattner 2007, 423.

¹¹⁴⁰ Zu Didyma s. Schattner 2007, 421 Nr. LaA3 Abb. 115; zu Taucheira vgl. Hayes 1973, 64 f. Nr. 2269 Abb. 26. s. außerdem Boehlau – Schefold 1942, 56 Abb. 16 b; Howland 1958, 39–41 Taf. 5. 33; Scheibler 1976, 91 Nr. 563 Taf. 82. 83.

¹¹⁴¹ s. dazu Dugas 1928, 46 Nr. 97 Taf. 7. Auf das historische Naheverhältnis zwischen Ephesos und Delos hat in Bezug auf die Ringaskoi auch bereits Kerschner 2007, 225 f. hingewiesen.

¹¹⁴² Vgl. Jacopi 1929, 64 (Grab 37) Abb. 54; Jacopi 1932/1933, 79 (Grab 24) Abb. 85; Furtwängler 1980, 175. 204 Nr. 42 Abb. 14 Taf. 46.

¹¹⁴³ Vgl. Langmann 1967, 109 Nr. 4 Taf. 41.

Panayırdağ¹¹⁴⁴. **Kat. 2044** zeichnet sich gegenüber den meist unbemalten Aryballoi mit oft fein geglätteter Oberfläche durch seine zonale Bemalung aus.

2.A.2.8.3 *Lekythoi*

Kat. 2118 aus der Kammer D8 im Theater von Ephesos kennzeichnet der schmale Halsansatz, der in einer fließenden Kontur in den bauchigen Gefäßkörper übergeht. Das Gefäß ist durch umlaufende Reifen und Bänder geschmückt. In Form und Dekor unmittelbar vergleichbare Salbölgefäße sind aus der Nekropole von Akanthos in Grabbefunden aus der zweiten Hälfte des 7. Jahrhunderts vergesellschaftet und werden dort als aryballoide Lekythen angesprochen¹¹⁴⁵.

2.A.2.8.4 *Pyxiden*

Der kleine, dickwandige Deckel **Kat. 2117** aus Kammer D8 war einer Pyxis zugehörig. Es hat sich der mittige Teil der flachen Deckelkalotte erhalten, an dem ein kleiner Deckelknopf auf sitzt. Dieser ist von zwei antithetischen und plastisch gestalteten Ansätzen gerahmt, die sich entweder zu Appliken oder zu einem Bügelhenkel ergänzen lassen. Der an der Deckeloberseite aufgebraachte Maldekor erinnert an die von archaischen und frühklassischen Hydrien bekannten Schlaufenmuster (s. o. Kap. 1.B.3.6.3ab). Auch der kleine Deckel **Kat. 2000** der Grauen Ware wird aufgrund seiner Dimensionen am wahrscheinlichsten zu einer Pyxis gehört haben.

2.A.2.9 MINIATURGEFÄSSE

Das Randfragment **Kat. 2042** aus dem oberen Diazoma ist als Miniaturschüssel anzusprechen, **Kat. 2043** ist hingegen zu einem Kratersikos oder zu einem Lydion zu ergänzen.

2.A.2.10 KORINTHISCHE IMPORTKERAMIK

Mit **Kat. 2106** liegt in Kammer D3 die Henkelplatte eines mittel- bis spätkorinthischen Kolonettenkraters vor. Typisch hierfür ist die Bemalung der Henkelplatte mit einem den Kopf nach hinten wendenden Vogel. Zwar hat sich bei **Kat. 2106** nicht die komplette Darstellung erhalten, der Bildtypus ist jedoch nur für dieses Motiv und für Sirenen belegt¹¹⁴⁶. Kolonettenkratere treten mit der beginnenden frühkorinthischen Keramikproduktion prominent auf¹¹⁴⁷ und entfalten im 6. Jahrhundert eine Vorbildwirkung sowohl für attische als auch für nordionische Werkstätten.

2.A.2.11 ATTISCHE IMPORTKERAMIK UND ATTISIERENDE GEFÄSSE

2.A.2.11.1 *Schalen*

Das Randfragment **Kat. 2046** einer Glanztonschale aus dem oberen Diazoma weist eine konkave Außenkontur auf, die als charakteristisches Formelement der Schalen vom Typ ›Droop cup‹, für Typ C-Schalen, für Schalen der Typen ›Vicup‹ und ›Acrocup‹ sowie für Schalen der ›Class of Agora P10359‹ denkbar ist. Mit **Kat. 1374** ist in einem Bodenniveau der AG Phase IV eine attische Schale mit konkav abgesetztem Rand auch in den archaischen Siedlungsbefunden unter der Tetragonos Agora belegt (s. o. Kap. 1.B.3.16).

¹¹⁴⁴ Vgl. dazu von Miller 2013, 413 f. Nr. 2292–2295.

¹¹⁴⁵ Vgl. Kaltsas 1998, 132 f. 148. 223 f. Nr. 1092. 1138 Abb. 7 Taf. 149 (Grab 1686 und Grab 1637). Vgl. auch die formal vergleichbaren Gefäße aus Samos bei Kopcke 1968, 279 Nr. 77 Taf. 108; Furtwängler 1980, 210 Nr. 13 Abb. 17 (Phase II); 222 Nr. 21 Abb. 23 (Phase IV).

¹¹⁴⁶ Vgl. Weinberg 1943, 75 f. Nr. 315. 317. 319 Taf. 40; Villard – Vallet 1964, 64 Nr. 1 Taf. 48; Nr. 2 Taf. 50; Amyx – Lawrence 1975, 55 Nr. 196–198 Taf. 37.

¹¹⁴⁷ s. die Diskussion bei Payne 1931, 300–302; Weinberg 1943, 55 f. Nr. 188 Taf. 26.

Die Bodenfragmente **Kat. 2045** und **Kat. 2047** wahrscheinlich ostgriechischer Produktion aus demselben Befund wie **Kat. 2046** illustrieren indes mögliche Fußformen für Glanztonschalen. Der enge Stiel und die schmale Basis mit gewölbter Außenkante von **Kat. 2045** sind für Typ C-Schalen mit konkav abgesetztem Rand oder auch für jene mit geradem Rand bezeichnend¹¹⁴⁸, während die leicht konkav abgeschrägte Außenkante von **Kat. 2047** typisch für die ›Vicups‹¹¹⁴⁹ oder attisch-schwarzfigurige Schalentypen auf hohem Fuß ist. **Kat. 2112** aus der Kammer D8 gleicht sich formal zwar der Fußgestaltung von **Kat. 2045** an, im Gegensatz zu den attischen Vorbildern bleibt dieses ostgriechische Produkt aber bis auf das teilweise gefirniste Schaleninnere unbemalt. Das ebenfalls ungewöhnliche Schalenfragment **Kat. 2064** steht **Kat. 2112** in seiner Oberflächengestaltung nahe.

2.A.2.11.2 Geschlossene Gefäße

Das Wandfragment **Kat. 2048** aus dem oberen Diazoma lässt sich zu einem geschlossenen Gefäß attischer Produktion mit schwarzfigurigem Dekor ergänzen. Von diesem hat sich ein Lotusknospenfries mit dazwischen eingeschriebenen Punkten über einer mit Deckrot akzentuierten Firniszone erhalten. Das Motiv der Lotusknospenkette findet sich seit dem mittleren 6. Jahrhundert auf schwarzfigurigen Gefäßen¹¹⁵⁰, die Kombination mit dazwischen eingeschriebenen Punkten ist bei Tafelamphoren des späteren 6. und beginnenden 5. Jahrhunderts nachgewiesen sowie bei attischen ›Droop-Schalen‹¹¹⁵¹.

2.A.3 Diskussion

Die archaische Keramik aus den Theaterbefunden weist viele Gemeinsamkeiten mit dem aus der archaischen Siedlung unter der Tetragonos Agora bekannten Repertoire auf. Gleichwohl sind mit den korinthisierenden Kotylen, den Tassen mit geschwungener Wandung, den Knickrandtassen und den glockenförmigen Tassen, den Knickrandskyphoi, den Dinoi, den Tiefen Schüsseln, den Tellern auf hohem Fuß und den Reifentellern, den Deckeln mit hohem Steilrand oder mit Deckelfalz, den subgeometrischen Kännchen, den dunkelgrundigen Kannen, den Transportamphoren samischen und chiotischen Typs, den kleinformatigen Kochtöpfen und den korinthischen Importgefäßen einige Formen und Gattungen, die in der Agora-Siedlung besonders das 7. Jahrhundert kennzeichnen, in den Theaterbefunden nicht vertreten. Umgekehrt kommen mit den Kalottenschalen **Kat. 1926** und **Kat. 1927**, mit dem chiotischen Kelch **Kat. 2065**, mit den Gefäßen der Fikelluraware **Kat. 1970** und **Kat. 2031**, mit dem Kelchkrater **Kat. 2073**, mit den unbemalten Tellerchen mit Flachrand **Kat. 1990** und **Kat. 1991**, mit dem Kännchen mit Standing **Kat. 2001**, mit dem Kochtopf **Kat. 2039** sowie mit der attisierenden Schale **Kat. 2112** Gefäßtypen und Waren vor, die in der Agora-Siedlung fehlen. Diese Phänomene sind gemeinsam mit jenen Gefäßformen, die in der Agora-Siedlung vermehrt erst gegen Ende ihres Bestehens auftreten (Schalen mit ausgebogenem Rand, Glanztonschalen, nordionisch-schwarzfigurige Gefäße, Lekanen, Tiefe Teller, Olpen, unbemalte Kannen, Amphoren ionischen Typs) vor allem im Hinblick auf die Frage nach dem chronologischen Verhältnis der beiden Fundplätze von Relevanz. Dies gilt insbesondere für den Bereich des Theaters, wo das archaische Fundmaterial in erst nacharchaischen Kontexten vergesellschaftet ist¹¹⁵².

¹¹⁴⁸ Vgl. Sparkes – Talcott 1970, 91 f. 268 Nr. 398 Abb. 4; Alexandrescu 2005b, 348 Nr. C 112 Abb. 43 Taf. 66; Scherrer – Trinkl 2006, 225 Nr. 304 Taf. 43; Kowalleck 2008, 85–87. 104 f. Nr. 121 Taf. 2.

¹¹⁴⁹ Vgl. Sparkes – Talcott 1970, 92 f. 265 Nr. 437 Abb. 5; Scherrer – Trinkl 2006, 184. 226 Nr. 410. 411 Taf. 44.

¹¹⁵⁰ Vgl. beispielsweise Langmann 1967, 117 Nr. 8 Abb. 41 (Sarkophag 9); Moore – Philippides 1986, 129 f. Nr. 215 Taf. 25; Kaltsas 1998, Nr. E172 Taf. 198; Scherrer – Trinkl 2006, 171 Nr. 282 Taf. 37.

¹¹⁵¹ s. Moore – Philippides 1986, 128 f. Nr. 201 und bes. Nr. 209 Taf. 24 zu Tafelamphoren von der Athener Agora. Zu ›Droop cups‹ aus Smyrna vgl. Boardman 1958/1959, 166 Nr. 54. 55 Taf. 36.

¹¹⁵² Vgl. dazu Krinzingler – Ruggendorfer 2017, bes. die Beiträge Waldner 2017, 134–139. 162.

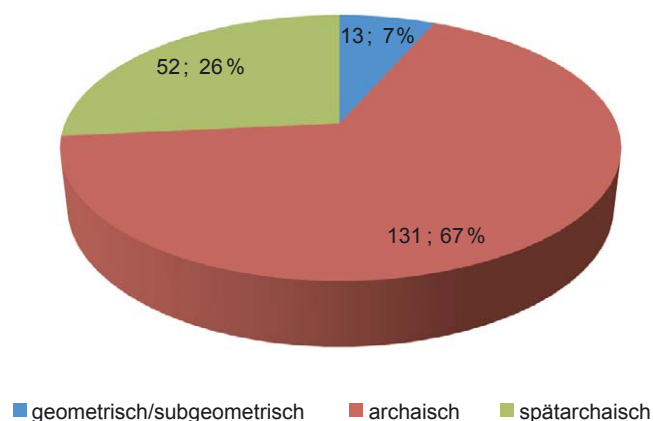


Diagramm 98 Chronologische Übersicht der Theaterfunde

Die chronologische Aufschlüsselung des archaischen Fundmaterials aus den Theatergrabungen (Diagramm 98) unterstreicht deutliche Unterschiede zu den Agora-Befunden und zeigt auf, dass abgesehen von den wenigen noch geometrischen und subgeometrischen Traditionen verhafteten Gefäßen (7 %) der Schwerpunkt eindeutig bei den archaischen Formen des 7. und 6. Jahrhunderts (93 %) liegt, innerhalb derer auch das Repertoire der spätarchaischen zweiten Hälfte des 6. Jahrhunderts (26 %) prominent vertreten ist. In der archaischen Siedlung unter der Tetragonos Agora fehlen diese Formen teilweise völlig oder sind mit wenigen Exemplaren erstmals in jenen Befunden nachweisbar, welche das Ende der AG Phase IV im mittleren 6. Jahrhundert bezeichnen. In der Agora-Siedlung spielen dagegen subgeometrische Gefäßtraditionen in allen Siedlungsphasen eine große Rolle. Erst in der AG Phase IV zeichnet sich mit eben jenen Typen- und Dekorvarianten, welche die Theaterbefunde besonders von den Agora-Befunden unterscheiden, auch erstmals eine deutlichere Abkehr von dem schon für das 7. Jahrhundert verbürgten Gefäßbestand ab.

Die gefäßtypologische Entwicklung, die sich in den Zerstörungsbefunden der AG Phase IV erst vorsichtig ankündigt, ist also im archaischen Material aus den Theatergrabungen bereits vollzogen. Darüber hinaus stimmt das archaische Fundmaterial aus dem Theater sehr gut mit dem Keramikrepertoire aus den spätarchaischen Befunden auf der Nordostterrasse des Panayırdağ überein¹¹⁵³, die wie die Theaterbefunde zwar ebenfalls noch mit wenigen Stücken in das späte 8. und frühe 7. Jahrhundert zurückgreifen, die andererseits aber den Bogen bis mindestens an das Ende des 6. Jahrhunderts spannen. Damit zeugt die archaische Gefäßkeramik aus dem oberen Diazoma und aus den Kammern D3 und D8 im Theater von Ephesos von einer im Gegensatz zu der im mittleren 6. Jahrhundert aufgegebenen Siedlung unter der Tetragonos Agora länger andauernden Aktivität an der Westseite des Panayırdağ bis in die ausgehende Archaik. Etwa zeitgleich dazu scheinen sich nach ersten Indizien auch die Aktivitäten an der Nordostterrasse des Panayırdağ abgespielt zu haben¹¹⁵⁴. Nun handelt es sich bei den vorklassischen Fundstücken aus dem Theater um klein zerscherbtes und mehrfach umgelagertes Material in hellenistischen Niveaus; rein archaische Befunde wurden im Zuge der Theatergrabungen hingegen weder unterhalb des Bühnengebäudes noch unterhalb des oberen Diazomas angetroffen. Die im Material zum Ausdruck kommende Aktivität archaischer Zeit dürfte daher mit einiger Wahrscheinlichkeit nicht im Bereich der unmittelbaren Fundstellen, sondern oberhalb davon an der Hauptterrasse des Panayırdağ zu lokalisieren sein, von wo aus das Material der Hangneigung folgend nach unten verlagert wurde¹¹⁵⁵.

¹¹⁵³ Dazu von Miller 2013; von Miller 2015.

¹¹⁵⁴ Speziell zur Keramikevidenz s. von Miller 2013; von Miller 2015.

¹¹⁵⁵ Vgl. dazu auch Waldner 2017, 139. Der freundlichen Mitteilung von C. Baier verdanke ich die Information, dass die jüngst durchgeführten Untersuchungen des Areals oberhalb des Theaters mit Ausnahme einiger weniger Kera-

Jenseits der im Vergleich mit der Agora-Siedlung deutlich gewordenen chronologischen Aspekte, welche die Funde aus den Theatergrabungen den spätarchaischen Befunden an der Panayırdağ-Nordostterrasse zur Seite stellen, zeichnet sich im archaischen Materialbestand aus dem Theater innerhalb der Feinkeramik ein ähnliches Muster wie in den Agora-Befunden des 6. Jahrhunderts (AG Phase IV) ab. Als überwiegende Trinkgefäßform stehen die Knickrand-schalen südionischer Keramiktradition den die bemalte Feinkeramik dominierenden Gefäßen des nordionischen Tierfriesstils NiA Id und der nordionisch-schwarzfigurigen Malerei gegenüber, wenngleich auch die südionische Tradition von immerhin zwei Gefäßen der Fikelluraware (**Kat. 1970. Kat. 2031**) vertreten wird. Dies ist angesichts der insgesamt wenigen aus Ephesos bekannten Fikelluragefäße bemerkenswert und zwar umso mehr, als die Tasse **Kat. 1970** eine Gefäßform repräsentiert, die außerhalb Milets und der Milesia bislang kaum nachgewiesen werden konnte¹¹⁵⁶.

mikfragmente keine stichhaltigen Hinweise auf eine tatsächliche archaische Nutzung in diesem Bereich erbringen konnten. Dabei gilt es jedoch zu bedenken, dass bei diesen Untersuchungen der gewachsene Boden nicht erreicht wurde. Vgl. dazu auch Baier 2013, 23–68.

¹¹⁵⁶ Dazu Schlotzhauer 1999a, 223 f. 239; Schlotzhauer 2006a, 138–141; Bumke 2013, 340 Abb. 7. 8; Lölhöfel 2018.

2.B GEOMETRISCHE UND ARCHAISCHE KERAMIK VOM NORDWESTLICHEN AUSLÄUFER DES PANAYIRDAĞ

mit Beiträgen von M. Kerschner

2.B.1 Grabung und Kontext

Die geometrischen und archaischen Gefäßfragmente von den nordwestlichen Ausläufern des Panayırdağ entstammen den Grabungen, die von J. Keil und F. Miltner in den 1920er Jahren durchgeführt wurden¹¹⁵⁷. Dabei wurden mehrere Grabungsschnitte angelegt, aus denen eine große Anzahl geometrischer bis hellenistischer Keramik geborgen werden konnte, wobei der Hauptanteil (87 %) der noch von den Ausgräbern nach Wien verbrachten Fundkeramik¹¹⁵⁸ den vorklassisch datierenden Gefäßen zuzurechnen ist (Diagramm 99), deren diagnostische Vertreter mit Ausnahme der attischen Gefäße nachfolgend vorgestellt werden.

Zwei Aspekte beeinträchtigen die Analyse des vorklassischen Materials aus den Keil'schen Altgrabungen.

2.B.1.1 DOKUMENTATIONSLAGE

Nur etwa die Hälfte der Gefäße lässt sich zum jetzigen Zeitpunkt noch konkret einem der Grabungsschnitte zuordnen. Zu den Fragmenten **Kat. 2119–Kat. 2330** fehlen alle über den Fundort Ephesos hinausreichenden Angaben. Der Umstand, dass zwei attische Kleinmeisterschalen, die sich in dem Vorbericht von J. Keil erstmals publiziert finden¹¹⁵⁹, zuletzt gemeinsam mit dem ebenfalls nach Wien verbrachten Material der Keil-Grabungen aus Smyrna verpackt waren, wirft sogar die Frage auf, ob in den letzten 90 Jahren eine über diese beiden Stücke hinausgehende Vermengung von Fundmaterial aus Ephesos und Smyrna stattgefunden haben könnte¹¹⁶⁰. Der Abgleich mit der guten fotografischen Dokumentation F. Miltners, die zur Gefäßkeramik aus Smyrna vorliegt¹¹⁶¹, konnte diese Befürchtung aber weitgehend ausräumen. Für die nachfolgend vorgelegten Gefäßfragmente gibt es daher keinen stichhaltigen Grund, ihren Fundort anderswo als in Ephesos anzunehmen, wie dies auch aus der Beschriftung der Fundkisten hervorgeht.

Die Fragmente **Kat. 2331–Kat. 2521** verteilen sich auf die Suchgräben 7/I+II, II/III, IV, V, VI, VII und VIII und sind somit grundsätzlich im ephesischen Stadtgebiet verortet¹¹⁶². Aus den für das Jahr 1926 erwähnten Suchgräben IX–XIII liegt kein Material mehr vor. Für den Grabungsschnitt IV bleibt unklar, ob das Material dem Suchgraben des Jahres 1926 oder jenem des Jahres 1927 entstammt; dieselbe Frage stellt sich für das Material aus dem Grabungsschnitt V, das von den Kampagnen 1927 und 1929 stammen könnte. Für die Suchgräben V–VII des Jahres 1926 erwähnt J. Keil allerdings, dass diese kein nennenswertes archaisches Material erbrachten¹¹⁶³, weshalb das Material aus den Suchgräben V und VI der Kampagnen 1927 und/oder 1929 kommen dürfte. Ein Problem ergibt sich allerdings für das Material aus dem Suchgraben VII, denn abgesehen von der Kampagne 1926 ist kein Grabungsschnitt mit dieser Nummer bezeugt. Die Beschriftung 7/I+II lässt sich ebenfalls nirgends einordnen. Da die Nummerierung der Suchgräben bei der Beschriftung des Fundmaterials aber immer in lateinischen Ziffern erfolgte, könnte sich das Material aus 7/I+II möglicherweise auf die Suchgräben I und II des Jahres 1926 aus dem Bereich westlich des Stadions eingrenzen lassen; die Bedeutung der 7 bleibt dabei freilich unklar. Eine andere Möglichkeit wäre es, hierin zwei Abhübe innerhalb des Grabens VII des

¹¹⁵⁷ Zu diesen Grabungen vgl. den Vorbericht Keil 1926, 253–256 Abb. 44–47, mit einer engen Auswahl an Keramik.

¹¹⁵⁸ Die zeitnahe Überstellung des Materials an das Efes Müzesi Selçuk ist vorgesehen.

¹¹⁵⁹ Vgl. Keil 1926, 255 f. Abb. 47. s. dazu auch die Diskussion bei Kowalleck 2008, 76 f. Abb. 1. 2 Taf. 42.

¹¹⁶⁰ Vgl. zu diesen Grabungen den Vorbericht von Miltner – Miltner 1932.

¹¹⁶¹ Miltner – Miltner 1932, 171–182. 186 Abb. 85–92.

¹¹⁶² Vgl. die Planskizze bei Keil 1926, 251 f. Abb. 43 sowie die von C. Kurtze neu erstellte Planübersicht bei Kerschner u. a. 2008, Taf. 39.

¹¹⁶³ Vgl. Keil 1926, 251.

Jahres 1926 zu fassen. Die geringe Materialmenge käme dieser Deutung entgegen, doch ist dem Grabungstagebuch kein Hinweis auf entsprechende getrennte Abhübe zu entnehmen. Die Frage muss somit ungeklärt bleiben. Unter der Beschriftung II/III ist wohl Material aus den Suchgräben II und III zusammengefasst, wobei J. Keil im Tagebuch für den Suchgraben III nur wenig Scherbenmaterial erwähnt. Weiterführende stratigrafische Angaben liegen abgesehen von allgemein formulierten Angaben in den Tagebüchern und dem Vorbericht nicht vor¹¹⁶⁴, und diese können nicht unmittelbar mit dem Fundmaterial in Beziehung gesetzt werden, sodass es a priori unmöglich bleibt zurückzuverfolgen, ob die Gefäße aus chronologisch gemischten oder reinen Befunden stammen. Für die Knickrandschalen **Kat. 2164** und **Kat. 2169**, die Tasse **Kat. 2184**, die Myrina-Amphore **Kat. 2426** und die Kannen **Kat. 2283** und **Kat. 2408** kann aufgrund des außergewöhnlich guten Erhaltungszustands aber wahrscheinlich gemacht werden, dass sie aus einem *in situ*-Befund stammen oder zumindest eine andere Deponierungsgeschichte durchlaufen haben als die Mehrheit der vielen, klein zerscherbten Gefäßfragmente¹¹⁶⁵. Zumindest **Kat. 2408** und **Kat. 2426** können dabei konkret dem Suchgraben IV zugeordnet werden. Für die unteren Niveaus im Suchgraben IV des Jahres 1926 werden im Grabungstagebuch »zahlreiche archaische und attische Scherben« erwähnt. Diese Angabe ist mit dem erhaltenen Fundmaterial aus dem Suchgraben IV des Jahres 1926 insofern schwer vereinbar, als anders als im Befundzusammenhang der Suchgräben II/III keine beträchtliche Menge attischer oder attisierender Waren vorliegt. Möglicherweise geht das Fundmaterial aus dem Suchgraben IV also tatsächlich auf die Kampagne des Jahres 1927 zurück. J. Keil erwähnt aber besonders für die Suchgräben II, IV und VIII der Kampagne 1926 im erhöhten Bereich westlich des Stadions (›Akropolishügel‹) ein besonders intensives Vorkommen geometrischen bis archaischen Materials in annähernd unvermischten Schichten¹¹⁶⁶. Die Anlage der Suchgräben IV und V im Jahre 1927 sowie der Suchgräben V und VI im Jahre 1929 ebenfalls im Bereich des Stadions geht wohl auch auf das Bestreben der Ausgräber zurück, die gesuchten Niveaus der ›altionischen Stadt‹ besser greifbar zu machen, die man im Vorjahr 1926 schon beinahe angetroffen zu haben glaubte¹¹⁶⁷.

Eingedenk der kurz geschilderten problematischen Dokumentationslage zu den Funden aus den Keil'schen Altgrabungen der 1920er Jahre bleibt vorerst nur der dem Materialbestand immanente Informationsgehalt für die archäologische Analyse konkret nutzbar.

2.B.1.2 FUNDAUSWAHL

Ein zweites Problem ergibt sich durch die in den 1920er Jahren getroffene Fundauswahl. Insgesamt muss das Fehlen bestimmter Formen mit Vorsicht beurteilt werden, da abgesehen von einigen wenigen Küchenwaren und Vertretern der Grauen Ware überhaupt keine unbemalten Gefäßfragmente aufbewahrt wurden. Es ist daher nicht davon auszugehen, dass das heute zur Verfügung stehende Material aus den Keil'schen Altgrabungen einen repräsentativen Querschnitt durch alle Waren und Formen im Grabungsareal darstellt, wie er für die Siedlung unter der Tetragonos Agora vorliegt, sondern im Wesentlichen eben nur auf die bemalte Keramik beschränkt geblieben ist. Diese Auswahl der bemalten Stücke erfolgte freilich in sehr penibler Weise und berücksichtigte auch noch kleinste Fragmente. Die selektive Auswahl könnte mit ein Grund sein, weshalb einige für die Agora-Siedlung gut bezeugte Formvarianten kaum oder gar nicht vorkommen. Derselbe Umstand mag darüber hinaus das ungleiche Verhältnis der vorklassischen zu den nacharchaischen Formen begründet haben (Diagramm 99), ist in archaischer Zeit doch auch das Repertoire der gröberen Alltagswaren häufig bemalt, während dies für die klassische und hellenistische Zeit nicht mehr im selben Ausmaß zu gelten hat. Somit ist auch im Repertoire dieser chronologischen Horizonte, die im Rahmen dieser Arbeit nicht weiter berücksichtigt

¹¹⁶⁴ Vgl. dazu die zusammenfassende Diskussion bei Kerschner 2008a, 109–114.

¹¹⁶⁵ Dazu bereits Kerschner 2008a, 112 f.

¹¹⁶⁶ s. Keil 1926, 251 f.; vgl. dazu auch Kerschner 2008a, 110–112.

¹¹⁶⁷ Vgl. Keil 1929a, 45–48.

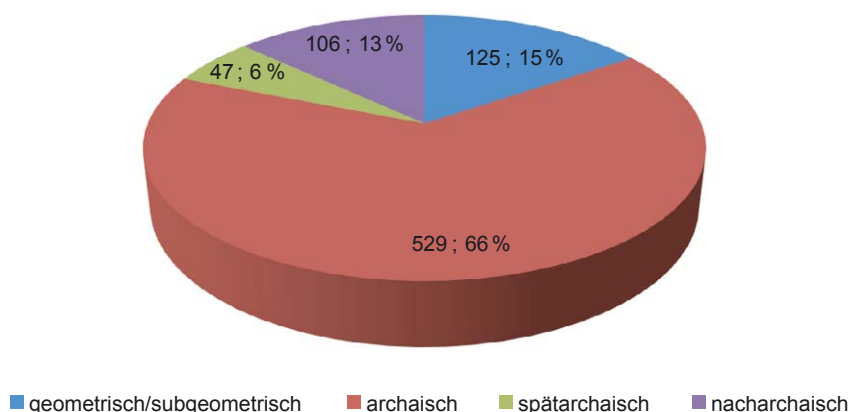


Diagramm 99 Gesamtübersicht der erhaltenen Funde aus der Grabung Keil

werden, mit einer Diskrepanz zwischen dem ursprünglich tatsächlich vorhandenen Material und der letztlich erhalten gebliebenen Auswahl zu rechnen.

2.B.2 Die Keramik

2.B.2.1 TRINKGEFÄSSE

Das Repertoire der ostgriechischen Trinkgefäße am nordwestlichen Ausläufer des Panayırdağ setzt sich aus Kotylen, Kalottenschalen, Knickrandskyphoi, Knickrandschalen und Tassen zusammen.

2.B.2.1.1 Ostgriechische Kotylen

Nur ein Randfragment **Kat. 2119** gehört der Gruppe der korinthisierenden Kotylen an. Bezeichnend hierfür sind sowohl der glatt einziehende Rand sowie der aus vertikalen Balken oder Strichen bestehende Dekor in der Henkelzone und an der Außenkante des rundstabigen Horizontalhenkels. **Kat. 2119** reflektiert jedoch nicht die aus den Befunden der Agora-Siedlung bekannten zierlichen protokorinthischen Kotylen des späten 8. und frühen 7. Jahrhunderts (s. o. Kap. 1.B.3.15.1b.), sondern das Gefäß steht den noch spätgeometrischen ›hemispherical kotylai‹ nahe, bei denen im schmalrechteckigen Bildfeld der Henkelzone unterschiedliche Motive zu erwarten sind¹¹⁶⁸. Der Strichdekor der Henkelaußenseite verweist dabei auf die dekortypologisch früheste Variante der Reihe (›chevron kotylai‹ oder Typ Aetos 666), bei welcher das Bildpaneel zwischen den breiten Balkenbündeln mit horizontalen Streifen und darüber eingefügten Hakenmotiven gefüllt ist, während das Gefäß unterhalb der Henkelzone mit einem flächigen Überzug bedeckt ist¹¹⁶⁹. Die Imitation dieses spätgeometrischen Gefäßtypus in ostgriechischen Werkstätten ist mit einem als rhodisch (d. h. nach aktuellem Kenntnisstand nordionisch/Vogelschalenwerkstatt) angesprochenen Gefäß aus Syracus bereits gesichert¹¹⁷⁰.

Die Kotylen **Kat. 2120** und **Kat. 2123–Kat. 2128** sind nicht eindeutig einem Typus zuzuordnen. Vollständig gefirnisste Randfalze wie bei **Kat. 2120**, **Kat. 2123** und **Kat. 2124** sind

¹¹⁶⁸ Vgl. dazu Neeft 1975, 104–117.

¹¹⁶⁹ Vgl. dazu Neeft 1975, 108 f. Typ 1 Abb. 3 (›chevron kotylai‹); Neeft 1982. Vgl. auch Payne 1940, 59 Nr. 21 Taf. 13; Robertson 1948, 12 Nr. 20 Taf. 2; Benton 1953, Nr. 666 Taf. 42; Anderson 1958/1959, 139 Nr. 9. 12 Taf. 21; Villard – Vallet 1964, 144 Nr. 3 Taf. 127; Coldstream 1968, 101 Taf. 19 j; Williams 1981, 139 Nr. 2 Abb. 1; Pelagatti 1982, 140 Abb. 7; Abb. 2 Taf. 44; Morgan 1999, 115–117 Nr. 340–346 Abb. I.47 Taf. 45; Besios u. a. 2012, 384 f. Nr. 34.

¹¹⁷⁰ Vgl. dazu Pelagatti 1982, 140 Abb. 7, 2. Taf. 44.

für Vogelkotylen weniger belegt, während sie vor allem die Kotylen mit ornamental verzierten Bildmetopen kennzeichnen. Dazu passt auch die lokal ephesische Verortung der Kotylen **Kat. 2120** und **Kat. 2124** in der Herkunftsgruppe I. Eine Metopengliederung ist zumindest für **Kat. 2123** mit dem Ansatz eines vertikalen Balkens neben dem Henkelansatz gesichert, während für **Kat. 2124** auch eine Reifenkotyle als ursprüngliches Ganzgefäß in Frage kommt. Die Wandfragmente **Kat. 2125–Kat. 2128** zeichnen sich durch mehrfache Reifen in der Sockelzone aus. Zwar ist dieses Gestaltungsdetail innerhalb der mit Kammbürstendekor versehenen Randfalzkotylen sehr populär; die kleinen Proportionen der Gefäße verweisen gemeinsam mit ihrer Zugehörigkeit zu der Vogelschalenwerkstatt aber darauf, dass hier eher mit Vogelkotylen vom Typ 6a zu rechnen ist. Bei **Kat. 2126**, wo sich der Ansatz des dunkel gefirnissten Henkelfeldes erhalten hat, vermögen die beiden erkennbaren Sockellinien außerdem nicht auszuschließen, dass darüber ursprünglich ein ornamentaler Sockelfries angebracht gewesen sein könnte.

Das Wandfragment **Kat. 2144** gehört einer Variante ohne Metopengliederung in der Dekorzone an. Stattdessen schmückt das Gefäß ein mehrteilig geführtes, hohes Zickzackband über umlaufenden Reifen in der Sockelzone¹¹⁷¹. In Ephesos sind bislang noch keine Zickzackbandkotylen nachgewiesen worden, während Vertreter des Typs aus Milet, Klazomenai und Smyrna bekannt sind¹¹⁷². **Kat. 2144** unterscheidet sich von diesen durch die ineinander verschränkte Linienführung des dreiteiligen Zickzackbandes.

Das Wandfragment **Kat. 2477** mit Zickzackfries oberhalb mehrerer umlaufender Reifen war möglicherweise einer Ornamentbahnenkotyle zugehörig¹¹⁷³. Zwar kennzeichnen vergleichbare Zickzackfriese auch die Vogelkotylen der Typen 6 und 7, doch beschränkt sich die Friesrahmung dort üblicherweise auf maximal zwei rahmende Linien. Das Randfragment **Kat. 2378** gehört ebenfalls zu einer Ornamentbahnenkotyle. Das Gefäß findet in dem schräg schraffierten Mäanderhaken und der gerahmten Gitterraute Gemeinsamkeiten mit den Vogelkotylen vom Typ 3; die im Verhältnis zu dem Mäanderhaken verkleinerte Raute ist hingegen für die Ornamentbahnenkotylen bezeugt, unter denen **Kat. 2378** auch in seiner bauchigen Form eine unmittelbare Parallele in Klazomenai findet¹¹⁷⁴. Wie die Zickzackbandkotylen sind auch die Ornamentbahnenkotylen in Ephesos anders als in Milet und Klazomenai bislang unbekannt¹¹⁷⁵. Beide Kotylen, **Kat. 2477** und **Kat. 2378**, lassen sich keiner der in Ephesos bekannten Herkunftsgruppen zuordnen.

Die Kotylen mit Kammbürstendekor vom Nordwestabhang des Panayırdağ erweitern das Variationsspektrum, das aus den archaischen Siedlungsbefunden unter der Tetrakonchos Agora bekannt ist. Mit **Kat. 2346** begegnet erstmals eine Kotyle mit Winkelmotiven in den Bildmetopen ähnlich dem Krater **Kat. 2352**, wobei die lokal hergestellte Kotyle **Kat. 2346** eine einfache Winkelreihe mit einer Reihe Sigmata in einem Bildfeld kombiniert. Die nächsten Vergleichsbeispiele hierzu finden sich in Samos und Smyrna¹¹⁷⁶. Ähnlich verhält es sich mit den Wellenmetopenkotylen¹¹⁷⁷ **Kat. 2145**, **Kat. 2146** und **Kat. 2478**, die zwar aus ephesischen Befunden bislang nicht bekannt sind, dafür aber in Smyrna in beiden hier vertretenen Varianten Typ A mit mehrteiligem Wellenbündel (**Kat. 2145**, **Kat. 2478**) und Typ B mit nur einem breiten Wellenband (**Kat. 2146**) gut belegt sind. C. Özgünel geht in diesem Zusammenhang von einer lokalen Produktion der

¹¹⁷¹ Vgl. zum Typus Kerschner 1995, 9 Abb. 5–7.

¹¹⁷² Zu Milet s. Kleiner 1959/1960, 94 Nr. 7a–c Abb. 2 Taf. 79; zu Klazomenai Ersoy 2004, 47 Abb. 4 d. 5 d; 50 Abb. 6 d; zu Smyrna s. Özgünel 1978, 23 Abb. 26 Taf. 3; Abb. 27–29 Taf. 4; Özgünel 2003, 85 Abb. 5 Taf. 12; Abb. 16. 17 Taf. 17; Abb. 1–7 Taf. 18. Hinzu kommen die Gefäße Inv. SM.KG.11. SM.KG.112. SM.KG.Taf.6.9. SM.KG.Taf.12.9. SM.KG.Taf.12.1 aus den Grabungen J. Keils in Smyrna.

¹¹⁷³ Vgl. dazu Kerschner 1995, 8 f. Abb. 3. 4. 106.

¹¹⁷⁴ Vgl. dazu Ersoy 2004, 50 Abb. 6 a; Kerschner 1995, Abb. 4.

¹¹⁷⁵ Zu Milet vgl. Kerschner 1995, Abb. 106; zu Klazomenai s. Ersoy 2004, 50 Abb. 6 a. e.

¹¹⁷⁶ Vgl. zu Samos Walter 1968, 105 Nr. 239 Taf. 42; zu Smyrna s. Inv. SM.KG.Taf.4.1 aus den Grabungen J. Keils in Smyrna.

¹¹⁷⁷ Dazu Kerschner 1995, 9 f. Abb. 8–10.

Wellenmetopenkotylen in Smyrna aus¹¹⁷⁸. Mit der petrografischen und geochemischen Analyse von **Kat. 2145** ist diese These zumindest für die Variante A der Wellenmetopenkotylen wenn auch nicht endgültig bestätigt, so doch gut vereinbar (s. u. Kap. 4.C und Kap. 4.D.3). Zu dem Dekor in den Bildfeldern von **Kat. 2121** lassen sich keine Aussagen machen, da sich nur das mehrteilige Balkenbündel erhalten hat. In **Kat. 2132** begegnet möglicherweise die einzige Zickzackmetopenkotyle, wobei auch eine Ansprache als Vogelkotyle vom Typ 1 oder vom Typ 2 mit Zickzackfries oder aber der Typen 4 bis 6 mit zickzackgefüllten Metopen in Frage kommt.

Die Vogelkotylen aus den Suchgräben der 1920er Jahre im Bereich des späteren Stadionhügels decken die gesamte Bandbreite dieses Gefäßtyps ab. Randfragmente mit am gefirnisten Henkelfeld anschließenden Balken unter dem gefassten Randfals wie **Kat. 2475** und **Kat. 2476** und Wandfragmente mit vertikalen Balken neben dem gefirnisten Henkelfeld oberhalb der dunklen Bodenzone wie **Kat. 2474** sind für alle Typen von Vogelkotylen denkbar, gerahmte Gitterrauten wie **Kat. 2134** und **Kat. 2135** gehören zu dem verbindlichen Dekorsystem der Typen 3 bis 8. Das Bodenfragment **Kat. 2142** kann über seine Zugehörigkeit zum Standardfabrikat ebenfalls eindeutig zu einer Vogelkotyle ergänzt werden. Auch das Bodenfragment **Kat. 2193** ist im mikroskopischen Abgleich als Erzeugnis der Vogelschalenwerkstatt ausgewiesen; formal steht dieses Gefäß mit seinem engen Beckenboden und dem recht hohen, schmal konischen Standring den ovoiden Kotylen nahe (s. u. Kap. 2.B.2.11.1a), findet jedoch auch Formparallelen unter den Vogelkotylen¹¹⁷⁹. Die Randfragmente **Kat. 2129–Kat. 2131** und möglicherweise auch **Kat. 2132** zeigen mit dem gerahmten Zickzackfries unterhalb des von Reifen gefassten Randfalzes ein Merkmal der Vogelkotylen vom Typ 1 und Typ 2¹¹⁸⁰. Bei **Kat. 2131** hat sich die Balkenbegrenzung der Dekorzone erhalten, **Kat. 2129** zeigt zudem den Ausschnitt eines mit Sigmata gefüllten, zweiten Ornamentfrieses unterhalb des Zickzackbandes. In keinem Fall ist jener Ausschnitt von der Friesbegrenzung auf Höhe des zweiten Ornamentfrieses erhalten, in dem das Vorhandensein oder Fehlen einer gerahmten Gitterraute über die Zugehörigkeit zu Typ 1 oder 2 entscheiden könnte. Das Wandfragment **Kat. 2133** zeigt mit dem schräg schraffierten Mäanderhaken oberhalb dreier Sockellinien den charakteristischen Dekor für die Vogelkotylen vom Typ 3b, dem schon **Kat. 1745** aus den Agora-Befunden angehört. Die beiden Wandfragmente **Kat. 2136** und **Kat. 2137** sind zu einer eher seltenen Variante der Vogelkotylen vom Typ 4 mit schraffiertem Gitterrautenband in der Sockelzone zu ergänzen; beide Gefäße zeichnen sich durch ihre Zugehörigkeit zur Vogelschalenwerkstatt aus. Von dem Hauptdekorfeld hat sich bei **Kat. 2136** der hintere Ausschnitt der Vogelmetope mit dem kanonisch schraffierten Dreieck als Füllmotiv oberhalb des Vogelkörpers neben der gerahmten Gitterraute erhalten. Bei **Kat. 2137** wendet sich der nach rechts gewandte Vogel einer schmalen Metope mit eng gesetzten vertikalen Zickzacklinien zu, im Zwickel der Vogelmetope ist als Füllmotiv ein Epsilon eingeschrieben. Das Randfragment **Kat. 2138** zeigt den Ausschnitt zweier Bildfelder, von denen das eine mit drei horizontalen Zickzacklinien und das zweite mit einem Mäanderbaum versehen ist. Diese Kombination ist für die Vogelkotylen der Typen 5 und 6 denkbar; die Sockelzone, deren Dekor über die Zugehörigkeit zu einem der beiden Typen entscheiden könnte, hat sich nicht erhalten. Das Gefäß weist eine Flickung auf. Der Zickzackdekor in der Sockelzone von **Kat. 2140** weist dieses Gefäß als Vogelkotyle vom Typ 6 oder Typ 7 aus; in der Hauptdekorzone haben sich nur die beiden seitlichen Rautenmetopen erhalten, die für beide Typen verbindlich sind. **Kat. 2141** illustriert das kanonische Dekorschema der Vogelkotylen vom Typ 7¹¹⁸¹, bei dem zwischen den rahmenden Gitterrauten nur eine dritte, zentrale Vogelmetope oberhalb der zickzackgefüllten

¹¹⁷⁸ Vgl. Özgünel 1978, 24 f. Abb. 31–36 Taf. 4; Özgünel 2003, 86 f. Taf. 19. Weitere Beispiele vom Typ A Inv. SM.KG.10. SM.KG.13. SM.KG.114. SM.KG.Taf.1.1. SM.KG.Taf.6.1. SM.KG.Taf.6.2. SM.KG.Taf.6.4. SM.KG.Taf.9.4. SM.KG.Taf.9.5. SM.KG.Taf.12.7 sowie vom Typ B Inv. SM.KG.12. SM.KG.Taf.6.6. SM.KG.Taf.6.8. SM.KG.Taf.9.3. SM.KG.Taf.9.14. SM.KG.Taf.12.1 stammen aus den Altgrabungen J. Keils in Smyrna.

¹¹⁷⁹ Vgl. Butler 1914, 433 Abb. 5 (formal); Price 1924, 207 Abb. 36; Cook 1958/1959, Taf. 4 a; Gürtekin-Demir 2002, 127 Nr. 56 Abb. 11.

¹¹⁸⁰ Vgl. dazu Kerschner 1995, 12 Abb. 14–16. 108.

¹¹⁸¹ Dazu Kerschner 1995, 15 Abb. 33.

Sockelzone eingefügt wird. Mit Andreaskreuzen gefüllte Sockelzonen wie bei **Kat. 2139** sind bislang hingegen nur von Vogelkotylen des Typs 6 bekannt¹¹⁸².

Das Randfragment **Kat. 2122** ist über sein Fabrikat als Erzeugnis der Vogelschalenwerkstatt ausgewiesen, Formgebung und Dekor scheren jedoch aus dem bekannten Repertoire der nord-ionischen Vogelkotylen aus. Die Formgebung lässt sich durch den rundstabigen Henkelansatz erklären, sind Gefäße im Henkelbereich doch öfters leicht verdrückt; die Gestaltung der Sockelzone durch einfache Linien ist für Vogelkotylen vom Typ 3b oder vom Typ 6a bekannt. Die schrägen Hasten im Anschluss an die das Bildfeld zum Henkelfeld hin begrenzenden Balken sind allerdings völlig untypisch in diesem Bereich, der gemeinhin verbindlich von einer gerahmten Gitterraute eingenommen wird. Möglicherweise darf man im Fall von **Kat. 2122** ähnlich wie bei **Kat. 1746** aus den archaischen Siedlungsbefunden unter der Tetragonos Agora von einer Rautenmetope ausgehen, in der kleine Schrägstriche die gerahmte Gitterraute begleiten.

Die beiden Wandfragmente **Kat. 2500** und **Kat. 2501** sind großformatigen Kotylen zugehörig, an deren steiler Schulter je ein rundstabiger Horizontalhenkel aufsitzt; das ausgesparte Feld zwischen den Henkelansätzen schmücken je zwei horizontale Linien¹¹⁸³. Bemerkenswert ist in beiden Fällen, dass die Henkel deutlich schräg nach oben gebogen sind und somit weniger horizontale bis leicht schräge Henkel vorliegen, wie sie im vorgestellten Material häufig vorkommen, sondern dass es sich hier um deutlich bogenförmige Henkel handelt, wie sie in der geometrischen Keramiktradition üblich sind¹¹⁸⁴. Bei **Kat. 2500** und **Kat. 2501** scheint es sich daher um die formtypologisch ältesten Kotylen zu handeln, die in Ephesos bislang bekannt gemacht wurden. Während für das stark überfeuerte Fragment **Kat. 2500** im mikroskopischen Abgleich keine Zuordnung zu einer Herkunftsgruppe möglich war, ist **Kat. 2501** als Produkt der Vogelschalenwerkstatt ausgewiesen. Dagegen findet sich **Kat. 2500** gemeinsam mit der ebenfalls überfeuerten Tasse **Kat. 2183** in derselben petrografischen Gruppe wieder (s. u. Kap. 4.C). Das lokale Bodenfragment **Kat. 2502** stammt aus demselben Fundzusammenhang im Suchgraben VIII.

Mit **Kat. 2450** wurde die Form der ostgriechischen Randfalzkotyle in die Graue Ware übernommen; das Gefäß zeichnet sich durch seine fein geglättete Oberfläche aus, welche nicht nur die unbemalten Grauen Waren vor allem im 7. Jahrhundert kennzeichnet.

2.B.2.1.2 Vogelschüsseln

Das Fragment **Kat. 2143** stammt vom Unterkörper einer lokal hergestellten Vogelschüssel vom Typ A ohne hellen Malgrund an der Außenseite. Die äußere Bodenzone schmückt ein Strahlenkranz, der nach oben von drei umlaufenden Reifen begrenzt ist. Im Gefäßinneren ist über dem flächigen Überzug eine unregelmäßig aufgetragene polychrome Bänderung erkennbar. Alle diese Dekorelemente, Strahlenkranz, Bänderung der Sockelzone und polychromer Reifendekor, sind von den Kalottenschalen des späten 7. und beginnenden 6. Jahrhunderts bekannt, was eine analoge Datierung für **Kat. 2143** plausibel macht.

2.B.2.1.3 Kalottenschalen

Von den 35 Kalottenschalen aus dem Bereich der Keil'schen Altgrabungen können nur das Bodenfragment **Kat. 2148**, das Randfragment **Kat. 2379** und das Wandfragment **Kat. 2384** mit einiger Wahrscheinlichkeit als Vogelschalen identifiziert werden. Das früheste Fragment ist dabei mit **Kat. 2384** gegeben, das über die Kombination von flachem, gefirnisstem Beckenboden und

¹¹⁸² Kerschner 1995, 14.

¹¹⁸³ Dieses Dekorsystem ist von den nordionischen Vogelkotylen bislang nicht bekannt. Vgl. dazu Kerschner 1995, Schema 17. Bei Walter 1968, 106 Nr. 267 Taf. 44 ist es hingegen für eine Kotyle wahrscheinlich lokal samischer Produktion belegt.

¹¹⁸⁴ Vergleichbare Henkelformen sind beispielweise auch für die geometrischen Knickrandskyphoi bezeichnend. Vgl. dazu Schlotzhauer 2014, 9.

im Inneren ausgespartem Mittelrund als Vogelschale vom Typ 2 oder Typ 3 ausgewiesen ist und zwischen dem zweiten Viertel und dem ausgehenden 7. Jahrhundert eingeordnet werden kann. Für **Kat. 2148** verweist die Kombination des wulstförmigen Standrings mit dem Konturstrahlenkranz in der Bodenzone auf eine Vogelschale vom Typ 4, wobei es für Schalen dieses Typs eher ungewöhnlich ist, dass der Standring unbemalt belassen bleibt¹¹⁸⁵. **Kat. 2379** weist mit dem tiefen und dickwandigen Gefäßbecken, dem glatten Rand und der polychromen Bänderung am inneren Gefäßüberzug Merkmale der Kalottenschalen des letzten Drittels des 7. und des beginnenden 6. Jahrhunderts auf, die mit den Vogelschalen vom Typ 4 erstmals auftreten. Der in Resten fassbare Schrägstrich in der äußeren Dekorzone unterhalb des schmalen Lippenbandes ist zu einer schlanken, gerahmten Gitterraute zu ergänzen, weshalb von einer Vogelschale der Typen 4, 5 oder 6 auszugehen ist. Allerdings fehlen bei **Kat. 2379** die vertikalen Strichbalken (Typ 4/Typ 5) oder die hängenden Strahlen (Typ 6), welche die Gitterraute gemeinhin vom Hauptbildfeld mit der Vogeldarstellung abgrenzen.

Die Schalenfragmente **Kat. 2149**, **Kat. 2161**, **Kat. 2429**, **Kat. 2430** und **Kat. 2453** sind innerhalb der entwickelten Kalottenschalen des späten 7. und beginnenden 6. Jahrhunderts nicht näher einzugrenzen. Konturstrahlenkränze (**Kat. 2429**, **Kat. 2430**, **Kat. 2453**) sind für Vogel-, Rosetten- und Reifenschalen dieses Zeithorizonts gleichermaßen belegt, breite unbemalte Zonen am unteren Gefäßbecken (**Kat. 2161**) sind für Rosetten-, Reifen-, Lotus- und Augenschalen denkbar. Das Beckenfragment **Kat. 2429** zeichnet sich durch den hellen Malgrund aus, der die Gefäßoberfläche bedeckt und die Schale in die Nähe der Vogelschüsseln vom Typ B und der orientalisierenden Vogelschalen vom Typ 8 rückt. Helle Gefäßüberzüge sind außerdem für die in Ephesos hergestellten Kotylen (z. B. **Kat. 352**) belegt, und tatsächlich handelt es sich auch bei **Kat. 2429** um ein solch lokales Erzeugnis.

Die Randfragmente **Kat. 2149** und **Kat. 2150** sind aufgrund der in der Dekorzone aufgemalten siebenteiligen Punktrosetten als Rosettenschalen erkennbar. **Kat. 2149** zeigt mit der tiefen, halbkugeligen Schalenform ein Charakteristikum der mit den späten Vogelschalen zeitgleichen Rosettenschalen der Typen 1 und 2, während **Kat. 2150** mit der zwischen zwei breiten Reifen eingeschriebenen Rosette die zierlichen Proportionen der Rosettenschalen der Typen 4 und 5 aufweist, die bereits in das 6. Jahrhundert datieren. Zu einer vergleichbar späten Rosettenschale kann auch das von einem Konturstrahlenkranz geschmückte Beckenfragment **Kat. 2157** einer zierlichen Schale mit kleinem Standring ergänzt werden. Der enge Scheibenfuß **Kat. 2151** mit Konturstrahlenkranz und polychromer Bänderung ist hingegen einer frühen Rosettenschale vom Typ 1 angehörig. Scheibenfüße sind darüber hinaus für die zeitgleich mit den frühen Rosettenschalen und den späten Vogelschalen datierenden Reifenschalen der Typen 1 und 2 belegt. Von den Scheibenfüßen der Rosettenschalen unterscheiden sich jene der Reifenschalen durch ihren in den Beckenansatz übergreifenden Firnisüberzug (**Kat. 2154**). Eine weitere Dekorvariante, die sich die frühen Rosettenschalen vom Typ 2 mit den frühen Reifenschalen vom Typ 1 teilen, ist die mehrfache Bänderung unterhalb des Hauptdekorfeldes (**Kat. 2152**, **Kat. 2153**, **Kat. 2451**, **Kat. 2452**), das bei den Rosettenschalen mit einer bis drei Punktrosetten gefüllt ist, während es bei den Reifenschalen ohne weiteren Dekor verbleibt. Aus Naukratis ist ein bislang singuläres Stück publiziert, an dem sich die mit **Kat. 2451** vergleichbaren breiten Reifen in Kombination mit einer Vogeldarstellung und einer Rosette finden¹¹⁸⁶, wie sie sonst für die Vogelschalen vom Typ 5 bekannt ist, dort aber mit einem Konturstrahlenkranz kombiniert wird¹¹⁸⁷. Kantige Standringe wie **Kat. 2383** teilen sich hingegen die Rosettenschalen der Typen 4 und 5 mit den Reifenschalen vom Typ 4 und 5 sowie mit den Lotusschalen; alle diese Varianten gehören bereits in das 6. Jahrhundert und zeichnen sich wie die Bodenfragmente **Kat. 2160** und **Kat. 2431** üblicherweise durch eine gefirnisste Standringaußenkante und einen ebensolchen Beckenansatz aus.

¹¹⁸⁵ Vgl. Kerschner 1995, 19 f.

¹¹⁸⁶ Vgl. Schlotzhauer 2012, 75 Nr. Nau 4 Taf. 3 g.

¹¹⁸⁷ s. dazu Kerschner 1995, 21 Abb. 60.

Die Randfragmente **Kat. 2155**, **Kat. 2156** und **Kat. 2380** haben die polychrome Bänderung im Gefäßinneren und die breiten vertikalen Balken unter dem glatten Rand in Anschluss an den Henkelansatz gemeinsam. Dieses Dekorelement ist den Vogelschalen vom Typ 7, den Rosettenschalen vom Typ 4, den Augenschalen und den Lotusschalen zu eigen¹¹⁸⁸. Im Fall der Vogel- und der Rosettenschalen handelt es sich dabei meist um schmalere Ausführungen wie bei **Kat. 2381** und **Kat. 2382**, weshalb für **Kat. 2155**, **Kat. 2156** und **Kat. 2380** Augen- oder Lotusschalen als ursprüngliche Ganzgefäße wahrscheinlicher sind. Keine dieser späten Kalottenschalen gehört den Vogelschalenwerkstätten an.

In den Randfragmenten **Kat. 2331**, **Kat. 2332** und **Kat. 2347–Kat. 2349** liegt eine Reihe von Reifenschalen des späten 6. Jahrhunderts vor. Die engmundige Schale **Kat. 2347** zeigt Form und Dekor der Reifenschalen vom Typ 4, doch ist der erhaltene Fragmentausschnitt zu klein, um die ebenfalls mögliche Zugehörigkeit zu einer Rosettenschale vom Typ 5 mit Sicherheit auszuschließen. **Kat. 2349** ist einer ungewöhnlich tiefen und engmundigen Reifenschale vom Typ 2 angehörig. Das Randfragment **Kat. 2348** stimmt mit dem schmalen Reifendekor am Rand und unterhalb des Henkels ebenfalls mit dem Dekorschema der Reifenschalen vom Typ 2 überein, die Gefäßproportion und die randständigen, weitlichtigen Horizontalhenkel stehen allerdings den formtypologisch jüngeren Schalen des fortgeschrittenen 6. und beginnenden 5. Jahrhunderts näher, denen auch die Reifenschalen vom Typ 4 (**Kat. 2331**) und vom Typ 5 (**Kat. 2332**) angehören, deren wesentliches Unterscheidungskriterium die horizontale (Typ 4) und schräg hochgebogene (Typ 5) Position der Henkel darstellt¹¹⁸⁹. Bei keiner dieser späten Reifenschalen handelt es sich um ein Produkt der Vogelschalenwerkstatt; vielmehr ist mit der Herkunftsgruppe M (**Kat. 2331**) eine Produktion im wahrscheinlichen Umfeld von Ephesos vertreten und mit dem Fabrikat der ProbenNr. Ephe 85 (**Kat. 2332**) eine Produktion, die in den ephesischen Befunden mit Ausnahme einer korinthisierenden Kotyle (**Kat. 148**) und einer späten Knickrandschale (**Kat. 1951**) auf vornehmlich späte Kalottenschalen (**Kat. 1060**, **Kat. 1065**, **Kat. 2155**, **Kat. 2383**, **Kat. 2384**) beschränkt bleibt.

Die Bodenfragmente **Kat. 2158**, **Kat. 2159** und **Kat. 2162** mit wulstigem Standring sind hingegen für Kalottenschalen des 6. Jahrhunderts ebenso wie für Knickrandschalen vom Typ 10 denkbar. Die Zugehörigkeit von **Kat. 2162** zur Vogelschalenwerkstatt ist dabei für dieses Gefäß ein starkes Indiz, es als Kalottenschale zu ergänzen. Die im inneren Schalenbecken aufgesetzte Bänderung ausschließlich in Deckrot bei **Kat. 2158** und **Kat. 2159** ist wiederum ein Indiz für die Datierung dieser Gefäße tendenziell erst in das fortgeschrittene 6. Jahrhundert, als mit den späten Rosetten- und Reifenschalen die von den entwickelten Kalottenschalen des späteren 7. und beginnenden 6. Jahrhunderts bekannte polychrome Reifenzier zunehmend von allein roter Bänderung abgelöst wird.

Mit **AG 88/012.1** (Abb. 35) ist in den nacharchaischen Niveaus von der Tetragonos Agora eine weitere Bodenvariante später Kalottenschalen des 6. Jahrhunderts mit in Rot aufgesetzter Bänderung im inneren Schalenbecken vertreten. Mit den späten Reifenschalen hat dieses Gefäß seine dünne Gefäßwandung gemeinsam, der Strahlenkranz in der äußeren Bodenzone als auch die spezielle Formgebung des Standrings weisen es als eine Variante der Band- oder Rosettenschalen aus¹¹⁹⁰.

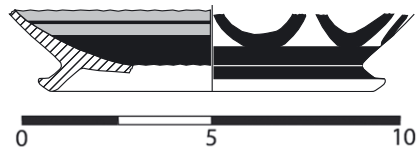


Abb. 35 Kalottenschale AG 88/012.1

Zusammenfassend lässt sich festhalten, dass sich das Repertoire der Kalottenschalen an den nordwestlichen Ausläufern des Panayırdağ anders als in den archaischen Siedlungsbefunden unter der Tetragonos Agora nicht auf

¹¹⁸⁸ Vgl. Kerschner 1995, 22 f. Abb. 65; 26 f. Abb. 88–90; 30 f. Abb. 102–104.

¹¹⁸⁹ Vgl. Kerschner 1995, 29. 32 Abb. 98. 105. Zu den späten Reifenschalen vgl. Ersoy 1993, 137 Nr. 147–149 Taf. 135; 142 Nr. 145 Taf. 138; 215 Nr. 131 Taf. 225; Ersoy 2004, 58 Abb. 17 f. g; Güngör 2004, 127 Abb. 15 c. d; Koparal – İplikçi 2004, 224 Abb. 6 d.

¹¹⁹⁰ Vgl. dazu Ersoy 1993, Nr. 136 Taf. 113; Nr. 137 Taf. 196; Nr. 138 Taf. 110; Nr. 139 Taf. 133; Nr. 151 Taf. 293; Nr. 497 Taf. 160; Kerschner 1995, 27 f. Abb. 92–94.

Vogel-, Rosetten- und Reifenschalen beschränkt, sondern dass mit **Kat. 2155**, **Kat. 2156** und **Kat. 2380** auch Lotusschalen und/oder Augenschalen vorliegen. Das Typenspektrum der Rosetten- und Reifenschalen reicht mit den Typen 4 und 5 weiter in das 6. Jahrhundert hinab als das aus den Agora-Befunden bekannte Repertoire und zeugt gleichzeitig von einem Bedeutungsverlust der Vogelschalenwerkstätten, die unter diesen späten Kalottenschalen des fortgeschrittenen 6. Jahrhunderts kaum mehr vertreten sind.

2.B.2.1.4 *Knickrandskyphoi*

Der einzige Knickrandskyphos **Kat. 2163** aus den Keil'schen Altgrabungen zeichnet sich durch ein bikonisches Gefäßbecken mit markantem Wandungsknick und einen durch eine Einziehung abgetreppten Randansatz aus. In dieser formalen Gestaltung bleibt **Kat. 2163** ein Einzelstück. Das Dekorsystem aus Reifendekor am Rand und am unteren Schalenbecken sowie Metopenfries an der Schulter stimmt hingegen gut mit jenem südionischer Knickrandskyphoi überein, wengleich mit den einzelnen horizontalen Wellenlinien in den Bildfeldern ein Metopenschmuck vorliegt, der wiederum ohne Vergleich bleibt. Die beiden Charakteristika, die das Gefäß auszeichnen, nämlich der markante Wandungsknick und das horizontale Wellenband, finden mit den bikonischen Vogelkannen und den Wellenmetopenkotylen vom Typ B verwandte Elemente in der nordionischen Feinkeramik des späten 8. und frühen 7. Jahrhunderts, weshalb für **Kat. 2163** möglicherweise eine Produktion in einer nordionischen Werkstatt in Betracht gezogen werden muss, welche sich in der Adaption der südionischen Form des Knickrandskyphos versucht haben könnte. Die Zugehörigkeit zu dem single-Fabrikat der ProbenNr. Ephe 289 [Inv. ART 71/078.4] ist dieser Vermutung durchaus zuträglich, verteilt sich dieses Fabrikat in den ephesischen Befunden doch auf Tassen (**Kat. 168**, **Kat. 1775**, **Kat. 2190**), Kotylen (**Kat. 346**, **Kat. 537**, **Kat. 2130**), Kalottenschalen (**Kat. 1343**), Knickrandschalen (**Kat. 1259**, **Kat. 1770**) und den nordionisch-schwarzfigurigen Krater **Kat. 2355**.

2.B.2.1.5 *Knickrandschalen*

Mit Ausnahme der Knickrandschalen vom Typ 6 und vom Typ 8 begegnen die aus der Agora-Siedlung bekannten Knickrandschalen im Materialbestand der Keil-Grabungen wieder.

Die Randfragmente **Kat. 2164** und **Kat. 2165** sowie das Wandfragment **Kat. 2166** sind zu Knickrandschalen vom Typ 3 zu ergänzen, die auch in den archaischen Siedlungsbefunden unter der Tetragnos Agora mit einem Fragment (**Kat. 9**) vertreten sind. **Kat. 2166** zeigt wie **Kat. 9** einen Ausschnitt aus dem Metopenfries der Schulterzone mit einer in das Bildfeld eingeschriebenen Zickzacklinie; den Übergang vom dunklen Unterkörper in die Dekorzone schmücken umlaufende Reifen. **Kat. 2165** verfügt mit dem Wellenband am Rand über ein Gestaltungsdetail, das auch von den Knickrandschalen des Typs 5.1 bekannt ist. Das proportionale Verhältnis von bauchig einziehender Gefäßschulter und steilem Knickrand scheint aber noch den spätgeometrischen Skyphoi näher zu stehen als den archaischen Schalen, wengleich eine letztlich sichere Zuweisung für dieses Gefäß nicht erfolgen kann. Beide Gefäße, **Kat. 2165** und **Kat. 2166**, können einer samischen Produktion zugewiesen werden. Bei **Kat. 2164** handelt es sich schließlich um ein wahrscheinlich milesisches Importgefäß mit Reifenzier am Rand und am Gefäßunterbauch. In der Hauptdekorzone rahmt je eine breite Abfolge vertikaler Balken ein mittiges Bildfeld, in welches zwei horizontale Zickzacklinien eingefügt sind. Der Balkendekor setzt sich in Form vertikaler Striche an den Henkelaußenseiten fort.

Die Knickrandschalen vom Typ 5 sind mit den Randfragmenten **Kat. 2167** und **Kat. 2168** vertreten. Es handelt sich um Knickrandschalen der Variante Typ 5.2 mit am Rand umlaufenden Reifen. **Kat. 2168** gehört der extrem dünnwandigen Variante mit weit ausgestellttem Rand an, die formal den Knickrandschalen vom Typ 8 nahe steht; die Herkunftsgruppe M verortet das Gefäß wahrscheinlich im Umfeld von Ephesos (s. o. Kap. 1.B.4).

Bei den Knickrandschalen vom Typ 9 handelt es sich ausnahmslos um Varianten mit innen oder außen aufgehellten Schalenbecken. Das gut erhaltene Gefäß **Kat. 2169** stellt den typologisch ältesten Vertreter mit konischem Fuß und steilem Knickrand dar. Die tongrundig aufgehellten Bänder im inneren Schalenbecken begegnen erneut bei den Schalen der Varianten Typ 9.2 bis Typ 9.6 (**Kat. 2170–Kat. 2174**); **Kat. 2178–Kat. 2180** zeichnen sich durch die aufgehellte Außenseite und ein in der Firniszone ausgespartes Band aus, das vor allem die Schalen der Variante Typ 9.5 kennzeichnet. Die Randfragmente **Kat. 2175** und **Kat. 2176** sind zu einer Knickrandschale der Variante Typ 9.7 mit flachem Schalenbecken und treppenartig abgesetztem, hohem Rand in Verlängerung der Beckenkontur zu ergänzen¹¹⁹¹. Das kleine Randfragment **Kat. 2177** mit feiner Reifenzier an der Randinnenkante gehört zu einer Knickrandschale der Variante Typ 9.8¹¹⁹².

Kat. 2181 und **Kat. 2385** stammen von der kleinformatigen Variante der Knickrandschalen vom Typ 10, die in Ephesos in den spätarchaischen Befunden am Panayırdağ mehrmals vertreten ist¹¹⁹³, und dürften demzufolge erst in die späte Archaik datiert werden. Während **Kat. 2385** mit seiner Zugehörigkeit zur Herkunftsgruppe I damit den Fortbestand der ephesischen Tradition kleinformatiger Knickrandschalen (s. o. Kap. 1.B.4) bis in die späte Archaik belegt, konnte der scherbentypologische Abgleich für **Kat. 2181** eine Herkunft von der Insel Samos wahrscheinlich machen.

Die großformatige Knickrandschale **Kat. 2432** vereint in sich formale Merkmale der Knickrandschalen vom Typ 5 und dekorative Merkmale der Knickrandschalen vom Typ 9.

Im Vergleich mit der Agora-Siedlung zeigen sich für das Repertoire der Knickrandschalen hier zwei wesentliche Auffälligkeiten, auf die an dieser Stelle verwiesen sein soll: Als erstes ist die zurückgenommene Bedeutung der Knickrandschalen des 7. Jahrhunderts zu nennen, die sich auf zwei (**Kat. 2167. Kat. 2168**), vielleicht drei (**Kat. 2167**) Knickrandschalen vom Typ 5 beschränkt, während die Knickrandschalen der Typen 6, 8 und der ältesten Variante Typ 9.1 erst gar nicht vertreten sind. Dies ist auch deshalb bemerkenswert, weil es in den Agora-Befunden gute Argumente gab, gerade die kleinformatigen Knickrandschalen vom Typ 5.2 und vom Typ 6 als typische Vertreter einer lokalen Gefäßproduktion der zweiten Hälfte des 7. Jahrhunderts anzusprechen (s. o. Kap. 1.B.4). Da das 7. Jahrhundert im Material der Keil-Grabung insgesamt sehr wohl vertreten ist, muss dieser Diskrepanz im Materialbestand eine andere als eine chronologische Erklärung zugrunde liegen. Umgekehrt scheinen mit den späten Knickrandschalen der Variante Typ 9.7 und Typ 9.8 sowie mit den kleinformatigen Knickrandschalen vom Typ 10 Gefäße auf, die in den Agora-Befunden bis zu deren Aufgabe im mittleren 6. Jahrhundert noch nicht nachgewiesen wurden.

2.B.2.1.6 Tassen

Im Material der Keil'schen Altgrabungen fanden sich steilwandige Tassen, Tassen mit konkaver Wandung und Knickrandtassen.

Das Bodenfragment **Kat. 2503** mit flachem Boden und konvexem Wandansatz, an dem der vertikale Bandhenkel aufsitzt, ist zu einer steilwandigen Tasse zu ergänzen, wie sie auch aus den archaischen Siedlungsbefunden unter der Tetragonos Agora zahlreich belegt sind. Das Randfragment **Kat. 2182** gehört ebenfalls zu einer steilwandigen Tasse mit aufgehelltem Gefäßkörper und Bänderung an der leicht ausschwingenden Lippe. In beiden Fällen handelt es sich um ungewöhnlich große Exemplare wahrscheinlich milesischer Produktion; das aufgehellte Dekorsystem von **Kat. 2182** verweist bereits an das Ende der Laufzeit steilwandiger Tassen im mittleren 7. Jahrhundert.

¹¹⁹¹ Vgl. dazu Schlotzhauer 1995, 46 f. Abb. 93; Schlotzhauer 2012, 108 f. Nr. Nau 63 Taf. 13; Nr. Nau 66 Taf. 14.

¹¹⁹² Vgl. Schlotzhauer 1995, 45 f. Beil. 40; Schlotzhauer 2012, 106–108 Nr. Nau 62 Taf. 13.

¹¹⁹³ Vgl. von Miller 2013, 373 f. Nr. 2053–2056. 2058.

Innerhalb der Tassen mit konkaver Wandung ist mit **Kat. 2184** eine exemplarische Ganzform gegeben, die auch für das Randfragment **Kat. 2185** und das Wandfragment **Kat. 2186** zu erwarten ist. Alle drei Tassen sind einer ephesischen Werkstatt zugeordnet. Bei **Kat. 2183** ist die Form der Tasse mit konkaver Wandung hingegen nicht voll ausgeprägt. Formal steht **Kat. 2183** noch den steilwandigen Tassen nahe, wenngleich mit dem leicht ausschwingenden Rand die Formgebung der Tassen mit konkaver Wandung schon angedeutet wird. Auch das am Rand ausgesparte Feld mit horizontaler Streifenzier nimmt bereits den verbindlichen Dekor der Tassen mit konkaver Wandung vorweg. Die überfeuerte Qualität von **Kat. 2183** zeigt für diese Tasse ähnlich wie für die Kotyle **Kat. 2500** einen nicht gänzlich geglückten Produktionsvorgang an, der als Argument für eine lokale Herstellung dienen könnte; die petrografische Analyse konnte diese Frage aber nicht eindeutig klären (s. u. Kap. 4.C).

Die Wandfragmente **Kat. 2187** und **Kat. 2188** zeigen mit dem bauchigen Tassenkörper und dem davon abgesetzten Rand typische Merkmale der archaischen Knickrandtassen, die sich im Dekorsystem bekräftigen. In beiden Fällen bleibt das innere Tassenbecken tongrundig ausgespart, während die Randinnenkante ebenso wie der äußere Tassenkörper einen Firnisüberzug trägt. Die Randaußenseite bleibt bis auf die Henkelzone tongrundig; hier laufen Bänder um. **Kat. 2187** und **Kat. 2188** gehören innerhalb der Knickrandtassen beide jener Variante an, deren Proportionen auf geschlossene Gefäße weisen und die schon aus den Befunden der Agora-Siedlung bekannt sind. Bemerkenswert ist die wahrscheinlich milesische Provenienz von **Kat. 2188**, blieb die Form der Knickrandtassen in Milet bislang doch unterrepräsentiert (s. o. Kap. 1.B.3.1.8d). Über die nähere Lokalisierung der Produktionsregion von **Kat. 2187** konnte weder die petrografische noch die geochemische Analyse sichere Auskunft geben (s. u. Kap. 4.C und Kap. 4.D.3). Das dickwandige Fragment **Kat. 2189** zeigt mit dem engen Flachboden und dem weitkonvexen Ansatz in den bauchigen Tassenkörper die zu diesen Knickrandtassen gehörige Bodenform.

Das Bodenfragment **Kat. 2350** ist ebenfalls zu einer Tasse zu ergänzen. Es zeichnet sich durch einen aufgewölbten Boden und einen steilkonischen Ansatz in den schlanken Gefäßkörper aus, der entweder für Knickrandtassen oder Tassen mit geschwungener Wandung denkbar ist. Die nächsten formalen Vergleiche zu dem Stück stammen aus Ephesos selbst und sind in den späarchaischen Kontexten an der Nordostterrasse des Panayırdağ verortet¹¹⁹⁴; **Kat. 2350** ist als lokales Produkt ausgewiesen.

Mit der Tasse **Kat. 2190** begegnet ein Trinkgefäß, das im Umfeld nordionischer, möglicherweise chiotischer Gefäßproduktion entstanden sein dürfte, obwohl bislang keine unmittelbaren Parallelen bekannt sind. Es handelt sich um eine steilwandige Tasse mit leicht konisch zum Rand hin einziehendem Gefäßkörper, der sich über einem kleinen Wulststandring erhebt; im unteren Wanddrittel setzt der vertikale Bandhenkel an. Das Gefäßinnere ist gefirnisst, die Außenseite ist mit einem hellen Malgrund versehen, darüber sind am Tassenkörper umlaufende Reifen und ein von zwei Punktfriesen gerahmter Schachbrettfries und an der Bodenunterseite konzentrische Kreise aufgebracht. Standringtassen sind innerhalb der ostgriechischen Keramik nur für die chiotische Produktion typisch, die sich darin von anderen nord- und südionischen Produktionszentren unterscheidet¹¹⁹⁵. Das Dekorsystem zitiert mit dem von zwei Punktreihen gefassten Schachbrettband ein für die lakonische Gefäßproduktion typisches Ornament¹¹⁹⁶. Auf die mögliche

¹¹⁹⁴ von Miller 2013, 379 Nr. 2084.

¹¹⁹⁵ Vgl. Boardman 1967, 123–126 Nr. 284–320 Abb. 75 (type A: ›tall cups‹). Daneben gibt es innerhalb der milesischen Fikellurattassen im fortgeschrittenen 6. Jh. Varianten mit Standring, deren Verbreitung aber im Wesentlichen auf die milesische Chora beschränkt bleibt. s. dazu Schlotzhauer 1999a, 225–227 Nr. 4. 5 Abb. 3. 7 und Schlotzhauer 2006a, 139 Abb. 8 zu einer Tasse aus Naukratis.

¹¹⁹⁶ Zur lakonischen Keramik vgl. den grundlegenden Aufsatz von Lane 1933/1934. Zur lakonischen Feinkeramik des 6. Jhs. vgl. Stibbe 1972 und Stibbe 2004 mit weiterer Lit. Das entsprechende Schmuckband findet Parallelen im Motivrepertoire des Jagd-Malers (Stibbe 1972, 128 Abb. 19), des Reitermalers (Stibbe 1972, 158 Abb. 15) und des Malers der Fische von Tarent (Stibbe 1972, 179 Abb. 1) sowie im Werk des Hopliten-Malers (Stibbe 2004, 106 Abb. 6). Vgl. außerdem Stibbe 1989, 94 f. Nr. C6–C13 Abb. 16–21 Taf. 5, 1, wo bei einer Gruppe von Krateren des frühen 6. Jhs. ein ähnliches Dekorband erstmals belegt ist. s. des Weiteren Jacopi 1932/1933, 17 Nr.

Vorbildwirkung, die lakonische Gefäße für die ostgriechische und insbesondere für die chiotische Keramikproduktion gehabt haben könnte, hat erstmals E. A. Lane hingewiesen. A. A. Lemos hat dieses Phänomen zuletzt auch im Hinblick auf das Fehlen lakonischer Importgefäße in Chios ausführlicher diskutiert¹¹⁹⁷. Vor allem innerhalb der chiotischen Kelche des 6. Jahrhunderts sind mit **Kat. 2190** vergleichbare Ornamentbänder vertreten¹¹⁹⁸, ansonsten sind annähernde Parallelen außerdem für die südionischen Fikellurawaren (z. B. **Kat. 1970**)¹¹⁹⁹, die lydische sog. Ephesische Ware¹²⁰⁰ sowie für eine Gruppe von Gefäßen bekannt, für die C. H. Greenewalt die Bezeichnung »Early Fikellura« geprägt und für deren Produktion er die Jahrzehnte um 600 im westlichen Lyderreich vorgeschlagen hat¹²⁰¹. Aus den chiotischen Formparallelen und dem Dekorsystem erschließt sich für die Tasse **Kat. 2190** damit eine wahrscheinliche Datierung in die erste Hälfte und in das mittlere 6. Jahrhundert. Über den Produktionsort lassen sich wenige konkrete Aussagen machen, doch ist **Kat. 2190** nicht direkt mit den chiotischen Feinwaren zu vergleichen¹²⁰², innerhalb derer sich die nächsten formalen Parallelen finden. Umgekehrt ist die Vorbildwirkung chiotischer Gefäßproduktion in den nordionischen Zentren Klazomenai und Erythrai¹²⁰³ mittlerweile überzeugend nachgewiesen. Das singuläre Fabrikat der ProbenNr. Ephe 289 [Inv. ART 71/078.4], dem **Kat. 2190** im scherbentypologischen Abgleich beigelegt werden konnte, verteilt sich in den ephesischen Befunden auf Tassen (**Kat. 168. Kat. 1775**), Kotylen (**Kat. 346. Kat. 537. Kat. 2130**), Kalottenschalen (**Kat. 1343**), Knickrandschalen (**Kat. 1259. Kat. 1770. Kat. 2163**) und den nordionisch-schwarzfigurigen Krater **Kat. 2355**. Es ist daher durchaus denkbar, dass die Tasse **Kat. 2190** im Einzugsgebiet dieser nordionischen Zentren entstanden sein könnte. Die Ergebnisse der petrografischen Analyse des Gefäßes stehen dieser archäologischen Interpretation nicht entgegen, wenngleich auch hier keine genaue Identifikation des Produktionsorts gelang (s. u. Kap. 4.C). Die geochemische Analyse schließt **Kat. 2190** indes eng an eine Gruppe von Gefäßen lydischen Typs an (s. u. Kap. 2.B.2.11.1e, Kap. 2.B.2.11.2a, Kap. 2.B.2.11.3 und Kap. 4.D.3), allerdings fehlen in lydischen Fundkontexten überzeugende Vergleiche zu unserem Stück¹²⁰⁴.

2.B.2.1.7 Kantharoi (M. Kerschner)

Kat. 2504 ist das Fragment eines Trinkgefäßes, dessen Rand sich leicht nach innen neigt. Das ist auch bei den ovoiden Kotylen (s. u. Kap. 2.B.2.11.1) der Fall, aber im Unterschied zu diesen wölbt sich das Profil nicht, sondern setzt sich in gerader Linie nach unten hin fort. Es könnte sich um eine Tasse handeln oder aber um einen Kantharos. Spät- und subgeometrische Kantharoi, wie

3 Abb. 5. 10 Taf. 2 (Grab 2); Hayes 1966, 89. 91 f. Nr. 988 Abb. 44 Taf. 67; Hayes 1973, 40 f. Nr. 2115 Abb. 17 Taf. 21; Schaus 1985, 17 Nr. 46. 50 Taf. 4.

¹¹⁹⁷ Vgl. dazu Lane 1933/1934, 185 f.; Lemos 1991, 159–162.

¹¹⁹⁸ Vgl. beispielsweise Lemos 1991, 44 Nr. 1 Abb. 24; 109 Nr. 3. 7 Abb. 60; 129 Nr. 1 Abb. 71; 144 Nr. 4. 5 Abb. 79; s. weiters Lemos 1991, Nr. 792. 796 Taf. 104; Nr. 910 Taf. 121; Nr. 925 Taf. 123; Nr. 952 Taf. 127; Nr. 964 Taf. 130; Nr. 966. 967 Taf. 131; Nr. 973 Taf. 134; Nr. 985 Taf. 137; Nr. 1030 Taf. 139; Nr. 162. 163 Taf. 144. 145; Nr. 1075 Taf. 148; Nr. 1221 Taf. 159; Nr. 1293 Taf. 167; Nr. 1552. 1553 Taf. 198.

¹¹⁹⁹ Vgl. etwa Cook 1933/1934, 71 Nr. 5–10 Abb. 10; Schaus 1986, 265 Nr. 1–7 Abb. 2; 279 Nr. 1–3 Abb. 8; Käuffer 2006, Abb. 10 Taf. 71; Abb. 8–10 Taf. 72; Schlotzhauer 2012, 134 f. Nr. Nau 100 Taf. 22 c; 140 f. Nr. Nau 107 Taf. 23 f. g; 143–145 Nr. Nau 111 Taf. 24 c. d; 145 f. Nr. Nau 112 Taf. 24 e. f.

¹²⁰⁰ Vgl. etwa Greenewalt 1970, 60 f. Nr. 9 Taf. 7; 72 f. Nr. 18 Taf. 17; Greenewalt 1973, 110 Abb. 2 Taf. 1. 2–8; Schaus 1992, 164–166 Nr. 35 Abb. 3 (Schachbrettfries); Nr. 37 Abb. 3 (Punktefries). Vgl. auch die Dekorsysteme der Schüsseln bei Gürtekin-Demir 2002, 116–119 Nr. 3–17 Abb. 5. 6 (»ephesianising ware«).

¹²⁰¹ Vgl. zur Ephesischen Ware Greenewalt 1973; zur »Early Fikellura«-Ware s. Greenewalt 1971. Vgl. auch Greenewalt 2010a. Die mögliche Imitation lakonischer Keramik in lydischen Werkstätten wurde erstmals von Dohan 1932, 61–63 thematisiert.

¹²⁰² Vgl. dazu Lemos 1991, 1–3.

¹²⁰³ Zu Klazomenai vgl. Hürmüzü 2008. Zu Erythrai vgl. Bayburtluoğlu 1978, 30; Dupont 1983, 24 f. 41; Williams 1983, 181 f. und zuletzt zusammenfassend Kerschner – Mommsen 2009, 135 f.

¹²⁰⁴ N. Cahill und G. Gürtekin-Demir verdanken wir die Mitteilung, dass weder aus Sardeis noch aus anderen lokalen Produktionen lydischer Keramik bisher ein Vergleichsbeispiel bekannt ist.

sie besonders auf Rhodos häufig vorkommen, haben – im Vergleich zu **Kat. 2504** – allerdings meist einen steileren, manchmal sogar vertikalen Rand mit leicht ausschwingender Lippe¹²⁰⁵. Der hohe Rand dieser Kantharoi ist mit einem Knick von der gewölbten Schulter abgesetzt; von einem solchen gibt es bei **Kat. 2504** keine Spur, doch könnte er etwas tiefer gelegen haben. Da die Henkel fehlen, lässt sich die Frage nach der Gefäßform nicht endgültig entscheiden.

In der Dekoration vergleichbar sind zwei spätgeometrische Kantharoi aus der Nekropole von Exochi auf Rhodos¹²⁰⁶. Als Randdekor tragen sie ein doppeltes Zickzackband, allerdings verbunden durch Schraffurlinien. Beliebte ist das doppelte Zickzackband, das manchmal auch aus drei oder vier parallelen Linien bestehen kann, in Nordionien. In Smyrna und Klazomenai findet es sich als Hauptmotiv in der Henkelzone nordionischer Skyphoi und Kotylen vom mittleren 8. bis zur ersten Hälfte des 7. Jahrhunderts v. Chr.¹²⁰⁷; in diesen Zeitraum ist auch **Kat. 2504** zu datieren.

Michael Kerschner

2.B.2.2 MISCHGEFÄSSE

Die Mischgefäße sind in den Suchgräben der 1920er Jahre im Bereich des späteren Vediusgymnasiums sehr zahlreich und in einer großen Variationsbreite vertreten.

2.B.2.2.1 Geometrische/subgeometrische Mischgefäße

Eine Reihe von Krateren lässt sich anhand ihres spezifischen Dekors zu einer eindeutig geometrischen Gruppe zusammenfassen. Das Randfragment **Kat. 2194** zeigt mit dem ähnlich den Randfalzkotylen abgesetzten, kleinen Rand nicht nur ein typisches Formmerkmal geometrischer Kratere¹²⁰⁸, sondern auch der an der Schulter im Ansatz erkennbare zonale Dekor mit einem schmalen, stehenden Winkelfries und einem Mäanderelement entspricht den Dekorschemata geometrisch bemalter Gefäße. Den Rand schmücken einfache Bänder, die Gefäßinnenseite ist mit einem flächigen Überzug bedeckt. Dieser flächige Überzug des inneren Gefäßbeckens zeichnet auch die Wandfragmente **Kat. 2195–Kat. 2197** aus. Die beiden Kratere **Kat. 2195** und **Kat. 2196** gehören dem Standardfabrikat nordionischer Vogelkotylen an und diese Zugehörigkeit spiegelt sich auch im erhaltenen Dekorrepertoire wider. **Kat. 2195** schmückt ein horizontaler Zickzackfries, wie er von den Vogelkotylen der Typen 1 und 2 bekannt ist (s. o. Kap. 2.B.2.1.1), bei **Kat. 2196** zeichnen sich zwei Friese ab, welche sich mit Schmetterlingsmetopen in der Sockelzone und Mäanderbaum und gerahmter Gitterraute in den Bildmetopen darüber aus dem Motivrepertoire der Vogelkotylen der Typen 4 bis 6 bedienen. Das Beckenfragment **Kat. 2436**, von dem sich der unbemalte Ausschnitt im Zwickel zwischen der dunklen Bodenzone und dem Henkelfeld erhalten hat, scheint ebenfalls einem dem Dekorschema der Vogelkotylen entsprechenden Krater zugehörig gewesen zu sein. Den Gefäßbauch von **Kat. 2197** schmücken hingegen horizontale, von je drei Strichen getrennte Bildfriese, die seitlich an eine ebenfalls mehrteilige Balkenbegrenzung anlaufen. Die Friese sind ornamental gefüllt, wobei neben dem bereits bekannten Zickzackband auch punktierte Rauten zu dem üblichen Motivschatz geometrischer Keramik zählen¹²⁰⁹.

¹²⁰⁵ Vgl. Jacopi 1929, 37 f. Abb. 22 (rechts; Ialysos); Friis Johansen 1957, 115–120 Abb. 8–12. 37–40. 102 (Exochi auf Rhodos); Walter 1968, 100 Nr. 150 Abb. 17 e Taf. 28 (Heraion von Samos); Coldstream 2008, 280–283 Nr. 7 Taf. 61 h (Siana auf Rhodos); 290 f. Taf. 64 (Heraion von Samos).

¹²⁰⁶ Friis Johansen 1957, 15 Nr. A 6; 25 Nr. B 3; 115. 126 Abb. 12. 40; Coldstream 2008, 275. 282. 285 Taf. 62 c.

¹²⁰⁷ Smyrna: Özgünel 1978, 23 Taf. 3, 26; 4, 27–29; Özgünel 2003, 77. 84 Taf. 11, 8; 12, 5; 13, 4–7; 17, 15–17; 18, 1–7. Klazomenai: Ersoy 2004, 48 Abb. 3 h. 4 d. 5 d (Klazomenai). Ephesos, mittelgeometrischer Fundkomplex vom Ayasuluk-Hügel (Inv. AYA 236): unpubliziert, vgl. Ersoy 2004, 70 Anm. 20. Samos: Walter 1968, 93 Nr. 46 Taf. 9. Milet: Kleiner 1959/1960, 88. 94 Taf. 79, 2.

¹²⁰⁸ Vgl. beispielsweise Eilmann 1933, 73 Abb. 23 a; Walter 1968, 97 Nr. 109. 110 Taf. 19.

¹²⁰⁹ Vgl. Eilmann 1933, Abb. 12 Beil. 40; Walter 1968, 27. 94 Nr. 59 Abb. 12 Taf. 11; 98 Nr. 130 Taf. 22; 100 Nr. 150 Taf. 28; 102 Nr. 191 Taf. 37; 105 Nr. 238 Taf. 41.

Das Schulterfragment **Kat. 2199** weist mit dem zwischen vierteiligen Balkengruppen eingebetteten, breiten Wellenband das Dekorschema der Wellenmetopenkotylen vom Typ B auf (s. o. Kap. 2.B.2.1.1). Das auch in seinem Fabrikat vergleichbare Schulterfragment **Kat. 2198** ist wahrscheinlich ebenfalls einem Krater mit Wellenmetopen- oder mit Kammbürstendekor zugehörig, wie er für **Kat. 2352** in Form aneinandergereihter Winkelhaken und für den ebenfalls mit Winkelmetopen geschmückten Dinos **Kat. 2480** nachgewiesen ist. Der Dinos **Kat. 2480** ist an seiner Randoberkante mit Gruppen von S-förmigen Winkelhaken versehen, während der formtypologisch und in seinem flächig dunklen Überzug ebenfalls noch geometrischen Traditionen verpflichtete Dinos **Kat. 2481** mit den breiten Strichen an der Randoberkante bereits ein typisches Dekorelement archaischer Gebrauchskeramik des 7. Jahrhunderts vorwegnimmt. Der wahrscheinlich lokal produzierte (s. u. Kap. 4.C) Krater **Kat. 2201**, der mit dem von einer konkaven Einziehung abgesetzten Rand eine zweite Randform geometrischer und subgeometrischer Kratere repräsentiert, die auch schon aus den archaischen Siedlungsbefunden unter der Tetragonos Agora bekannt ist (**Kat. 814**), kombiniert die gleichen breiten Striche an der Randoberkante nun mit einem an beiden Seiten deutlich aufgehellten Gefäßkörper. **Kat. 2199**, **Kat. 2352** und **Kat. 2480** zeichnen sich ebenfalls durch ein aufgehelltes Gefäßinneres aus, was ebenso wie der Kammbürstendekor auf eine zur ersten Gruppe geometrischer Kratere relative Nachzeitigkeit hindeutet. Gemeinsam mit der Kammbürste wird der Kammzirkel als technologische Neuerung erst in der spätgeometrischen Keramikproduktion eingeführt und bleibt bis in das 7. Jahrhundert ein beliebtes Dekorinstrument.

Die Schulterfragmente **Kat. 2505** und **Kat. 2506** zeigen mit den Ausschnitten mehrteiliger Halbkreise einen charakteristischen Dekor, der mit dem Aufkommen des Kammzirkels verstärkt in den Motivschatz spätgeometrischer Keramik einfließt. Am großen Kessel **Kat. 2202** reihen sich indessen komplett ausgeführte, mehrteilige Kreise aneinander. Das schmale Ornamentband oberhalb des Kreisfrieses ist mit zwei Wellenbändern geschmückt, die gemeinsam mit dem aufgehellten Gefäßinneren für den Kessel **Kat. 2202** bereits tendenziell auf die subgeometrische Keramikproduktion verweisen¹²¹⁰; in Friesen aneinandergereihte Mehrfachkreise sind außerdem in der lydischen Keramikproduktion belegt und dort mit hellen Gefäßüberzügen kombiniert¹²¹¹. Die im dunklen Überzug des Gefäßunterkörpers ausgesparten Reifengruppen (**Kat. 2200**) sind für geometrische und subgeometrische Kratere gleichermaßen zu erwarten.

Das Wandfragment **Kat. 2479** zeigt in der hohen Dekorzone oberhalb des gebänderten Gefäßunterkörpers einen bislang beispiellosen Dekor, der sich zwischen den hohen Zickzackbändern spätgeometrischer Zickzackbandkotylen und den hohen Wellenbändern der Wellenbandhydrien des 7. Jahrhunderts einzufinden scheint; die Formgebung des Gefäßbeckens steht den mastoiden Krateren des 7. Jahrhunderts nahe.

Mit dem Bügelhenkel **Kat. 2203** liegt die typische Henkelform geometrischer und subgeometrischer Kratere vor. Das zweigliedrige Henkelfragment setzt sich aus einem rundstabigen Bügelhenkel und einem daran ansetzenden, breit vertikalen Bandhenkel zusammen, der den Bügelhenkel über einen scharfen Umknick mit dem Gefäßrand verbindet; die Henkelaußenseite ist flächig überzogen. Möglicherweise kann auch der rundstabige Henkelansatz eines hochgebogenen Horizontalhenkels am Gefäßbauch von **Kat. 2454** zu einem Bügelhenkel ergänzt werden; der Henkelansatz ist von Bändern gefasst, an der Henkelaußenseite verläuft ein mit Strichgruppen gefülltes Schmuckband.

Mit dem Fragment **Kat. 2455** eines hohen Kraterständers, dem niedrigen, konischen Kraterfuß **Kat. 2208**, dem weit ausgestellten, flachen Fuß **Kat. 2392** und dem beidseitig gefirnissten Bodenfragment **Kat. 2507** mit kantigem Standring sind die möglichen Bodenvarianten geometrischer und subgeometrischer Mischgefäße vorgestellt. An der flächig überzogenen Außenseite des hohen Ständers **Kat. 2455** bleiben tongrundige Reifenbündel ausgespart, wie sie auch von

¹²¹⁰ Eine entsprechende Kombination der Motive Kreisdekor und Wellenband findet sich in Naukratis bei einer Amphore, die Schlotzhauer 2012, 166 Nr. Nau 137 Taf. 29 i als karisch anspricht.

¹²¹¹ Vgl. Greenewalt – Waldbaum 1975, Abb. 302.

geometrischen Kannen und Amphoren bekannt sind; die Oberkante von **Kat. 2392** schmücken zwei in Deckweiß aufgesetzte Reifen.

2.B.2.2.2 Archaische Mischgefäße

Anhand des fragmentarischen Erhaltungszustands vieler Wandfragmente ist die Entscheidung, um welche Ganzform es sich gehandelt haben muss, vielfach nicht zu treffen. Beckenfragmente mit Bänderdekor (**Kat. 2205–Kat. 2207. Kat. 2209–Kat. 2211. Kat. 2456. Kat. 2457. Kat. 2482. Kat. 2483**) sind für beide Hauptvarianten archaischer Kratere des 7. und 6. Jahrhunderts, Halskratere und mastoide Kratere, denkbar. Das Wandfragment **Kat. 2333** gehört zu einem Krater chiotischer Produktion; der steil ausgestellte Wandverlauf ist entweder für den Hals eines Halskraters oder für ein steilkonisches Gefäßbecken ähnlich den mastoiden Krateren denkbar. Die mit dem charakteristischen hellen Malgrund überzogene Gefäßaußenseite weist Bänderdekor auf.

Ein Randfragment und einige Schulterfragmente lassen sich mit einiger Sicherheit als Halskratere ansprechen. Der Krater **Kat. 2204** gehört noch in das 7. Jahrhundert. Der Halsansatz ist mit einem Firnisband versehen, an der einziehenden Schulter ist der Rest eines parallel geführten antithetischen Schlaufenmotivs erkennbar, das von Gefäßen schon des frühen 7. Jahrhunderts bekannt ist¹²¹². Das gleiche Motiv begegnet mit **Kat. 2484** am unteren Gefäßbecken eines Kraters. Das bauchig eingezogene Schulterfragment **Kat. 2219** ist ebenfalls nur für einen Krater denkbar, bei dem die einzelnen Gefäßpartien deutlich voneinander abgesetzt sind, wie es für die Halskratere des 6. Jahrhunderts üblich ist; am Umbruch der tongrundigen Schulter in das Gefäßbecken sind an einer breiten Firnisbänderung Reifen in aufgesetztem Weiß aufgebracht. Halskratere dieses Typs gehören zu den bevorzugten Trägern schwarzfiguriger Malerei. Das Randfragment des Kraters **Kat. 2393** steht mit dem hohen, steil trichterförmig ausgestellten Hals und einem deutlich abgesetzten rechteckigen Flachrand am Ende der Entwicklungsreihe archaischer Halskratere frühestens im ausgehenden 7. Jahrhundert¹²¹³. Die Gesamtproportionen von **Kat. 2393** erinnern an die kleinen Kratere der klazomenisch-schwarzfigurigen Produktion (s. u. Kap. 2.B.2.2.4), woraus sich auch für dieses Gefäß eine Datierung wahrscheinlich erst im fortgeschrittenen 6. Jahrhundert ableiten lässt. Ebenfalls zu einem Halskrater gehört das Schulterfragment **Kat. 2394**, dessen spezifischer, girlandenartig gestalteter Wellenbanddekor auf ein Ganzgefäß nordionischer Produktion des späten 6. Jahrhunderts verweist¹²¹⁴.

Kat. 2353 kann als einziges Kraterfragment als mastoide Krater angesprochen werden. Der Randansatz ist beidseitig mit einem Überzug versehen, an der tongrundigen Schulter zeichnen sich die Reste eines mit dem Kammzirkel gezogenen mehrteiligen Kreises ab, der **Kat. 2353** in noch subgeometrische Tradition stellt.

Das umseitig gefirnisste Henkelfragment **Kat. 2334** ist einem Kolonettenkrater zugehörig. Der runde Vertikalhenkelstab schließt direkt an die breite Henkelplatte an. Im ionischen Raum sind Kolonettenkratere seit dem ausgehenden 7. Jahrhundert besonders in der nordionischen Vasenproduktion präsent und dort häufig in Kombination mit schwarzfigurigem Dekor anzutreffen¹²¹⁵, was für die nordionischen Kolonettenkratere auf eine impulsgebende Wirkung korinthischer Vorbilder hinweist. Ein solch schwarzfiguriger Dekor lässt sich aus dem Henkelfragment **Kat. 2334** freilich nicht erschließen.

¹²¹² Vgl. etwa Eilmann 1933, Beil. 44, 4; Lambrino 1938, 151 Nr. 7 Abb. 104; Walter 1957, Beil. 55, 2; Kopcke 1968, 266–268 Nr. 46. 47 Abb. 17 Taf. 103; Adamestanu 1978, Abb. 8 Taf. 143; Isler 1978a, Abb. 44 Taf. 40; Abb. 49. 50 Taf. 42; Furtwängler 1980, 178. 207 Nr. 57 Abb. 15; 218 Nr. 41 Abb. 20; Benda 1991, 35 Nr. 4; 37 Nr. 22 (Typus 10); Kalaitzoglou 2008, 416 f. Nr. 554–556. 559. 560 Taf. 121–123. 125.

¹²¹³ Vgl. dazu Ersoy 1993, 240 Nr. 414 Taf. 261 (formal); Kerschner 2006a, 83 Nr. 6 Taf. 1; Posamentir 2006, 166 Abb. 20 (formal); Schattner 2007, Nr. KrB3 12 Abb. 80; Panteleon 2013, 88 Nr. 377 Taf. 8 (formal).

¹²¹⁴ Als Vergleiche s. Cook 1958/1959, Taf. 4 b (Dekor); Condurachi 1966, Nr. 569 Taf. 30 (Dekor); Ersoy 1993, 159 Nr. 475 Taf. 163; 217 Nr. 474 Taf. 227; 222 Nr. 473 Taf. 235; 260 Nr. 534 Taf. 281; Ersoy 2004, 59 Abb. 19 e; Güngör 2004, 127 Abb. 12.

¹²¹⁵ Vgl. etwa Cook 1965, 122–126.

Die beiden Wandfragmente **Kat. 2212** können zu einem Kelchkrater ergänzt werden. Es handelt sich um ein tiefes und schlankes Gefäß mit breiten Firniszonen am Gefäßbecken. Die knappe Schulterzone und der von einem kleinen Wulst abgesetzte Randansatz bleiben unbemalt, den oberen, ausschwingenden Randbereich schmückt wiederum eine breite Firniszone. Das formal unmittelbar vergleichbare Gefäß **Kat. 2073** aus den Theaterbefunden mit der anhand seines Dekors gut argumentierbaren Datierung in das 6. Jahrhundert sichert auch die chronologische Einordnung von **Kat. 2212** ab.

Der Dinos **Kat. 2508** zeichnet sich durch eine steil einziehende Schulter und einen davon abgesetzten, leicht kantigen Flachrand aus und steht damit den aus den Agora-Befunden der AG Phase II bekannten Dinos mit konisch eingezogenem Hals nahe. Das Gefäß gehört der Grauen Ware an und weist mit der sorgfältig geglätteten Oberfläche ein Gestaltungsdetail auf, das die Grauen Waren besonders des 7. Jahrhunderts kennzeichnet.

2.B.2.2.3 *Orientalisierende Mischgefäße*

Innerhalb der orientalisierenden Mischgefäße aus den Suchgräben der 1920er Jahre begegnet mit **Kat. 2213** ein Krater, der stilistisch direkt an der Schnittstelle zwischen geometrischen und orientalisierenden Dekortraditionen steht¹²¹⁶. Das Schulterfragment des bauchigen Kraters ist an seiner Außenseite mit jenem hellen Malgrund versehen, der in der ionischen Vasenmalerei erstmals mit Gefäßen spät- bis subgeometrischer Entwicklung evident wird und sich in weiterer Folge zum verbindlichen Charakteristikum orientalisierender Keramik des 7. Jahrhunderts entwickelt. Der Schulterfries ist figürlich bemalt. Erkennbar sind zwei an der begrenzenden Bänderung nach rechts schreitende Pferde, ein Motiv, das im festländischen Griechenland, auf der Peloponnes und auf Euböia¹²¹⁷ zu den prominentesten innerhalb der figürlichen Malerei geometrischer Zeit zählt¹²¹⁸, in der ostgriechischen Keramik jedoch gegenüber den Vogelbildern eine nur untergeordnete Rolle spielt¹²¹⁹ und dabei mit einer Ausnahme aus Milet¹²²⁰ auf die Gefäßform des Kantharos beschränkt bleibt, der seinerseits nicht zum typischen Repertoire ostgriechischer Gefäßkeramik zählt (s. o. Kap. 1.B.3.1.9). In der Tierfrieskeramik kommt dem Pferd als Bildmotiv ebenfalls keine große Bedeutung zu; nur in wenigen Fällen hat es im Zusammenhang mit Reiterdarstellungen seinen Platz auf Gefäßen, die anders als **Kat. 2213** bereits eindeutig in orientalisierender Gefäßtradition stehen¹²²¹. Dennoch kombiniert auch **Kat. 2213** die geometrischen Elemente bereits mit Merkmalen des orientalisierenden Stils. Die silhouettenhafte Abbildung der Pferdekörper leitet sich von den geometrischen Tierbildern her und verzichtet wie diese auf durch Aussparung angegebene Binnendetails, obwohl die Darstellung insgesamt schon viel voluminöser und damit körperlicher ausfällt als die stark reduzierten, geometrischen Figurenbilder. Der in Umrissmalerei angegebene Pferdekopf mit den Binnendetails im Bereich des Mauls und dem gegen den Kopfumriss gerückten runden Auge mit punktierter Pupille ist in

¹²¹⁶ Für die hilfreiche Diskussion dieses Stücks sei M. Kerschner gedankt.

¹²¹⁷ Ein Kontakt zu allen drei Regionen konnte auf Basis archäometrischer Analysen schon für das früheisenzeitliche Ephesos nachgewiesen werden. Vgl. dazu beispielsweise Kerschner 2003a, 46 f.; Kerschner 2006e, 370; Kerschner 2014a, bes. 121.

¹²¹⁸ Vgl. beispielsweise die Darstellungen bei Coldstream 1968, Taf. 1 k; 4 e. g; 5 d; 7 a; 8 a. b. d. f; 11 a–c. g; 12 b; 13 d–f; 14 c. e; 26; 28 a. c–e; 29 b–f; 30 c–e; 31 a. j; 35. 36 a; 39 a. b. j; 44 c. g. j; 45 a; 46 j. o; Boardman – Price 1980, 69 Nr. 259 Taf. 54; Coulié 2013, 44 f. Abb. 10. 11; 51 Abb. 18; 62 Abb. 29; 67 Abb. 37 Taf. 1; Verdán 2013, 98–100 Nr. 46 Taf. 63; Nr. 69 Taf. 67; Nr. 159. 204 Taf. 100; Nr. 162 Taf. 77; Nr. 196 Taf. 81; Nr. 204 Taf. 82; Nr. 210/211 Taf. 83; Nr. 240 Taf. 87; Nr. 257 Taf. 89; Nr. 334 Taf. 95; Nr. 1459 Taf. 76.

¹²¹⁹ Zu einigen aus Samos bekannten Pferdedarstellungen vgl. Eilmann 1933, 96–100 Abb. 5–7. 40. 41 Beil. 28–30; Taf. 1; Coldstream 1968, Taf. 64 k; Walter 1968, 37 f.

¹²²⁰ Auf dem geschlossenen milesischen Gefäß des 7. Jhs. ist ein Pferdegespann abgebildet. Dazu von Graeve 1971.

¹²²¹ Zu den wenigen bekannten Darstellungen gehören der Dinos bei Walter-Karydi 1973, 148 Nr. 1038 Taf. 126; das Gefäß bei Cook – Dupont 1998, 29–31 Abb. 7, 3; der Deckel bei Akurgal 2002, 111 f. Nr. 82 Abb. 52 und der bereits schwarzfigurige Teller bei Schlotzhauer – Villing 2006, 57 Abb. 4 und Schlotzhauer 2012, 87 f. Nr. Nau 28 Taf. 7 a. b.

der geometrischen Gefäßmalerei noch unbekannt, wo die Kopfpforten ebenso wie die Körper in der Silhouettenteknik wiedergegeben werden. Die deutlich ausgeführte Fortbewegung mit den die Schrittbewegung angehenden Vorder- und Hinterläufen bleibt bei geometrischen Tierbildern ebenfalls ohne überzeugende Parallele. In diesem Zusammenhang hat schon M. Kerschner zu Recht auf die stilistische Nähe der Pferde von **Kat. 2213** zu den Wildziegen am Hals einer milesischen Amphora der Stufe SiA Ia hingewiesen, doch zeigen sich eben diese Wildziegen mit den ausgesparten Binnendetails im Brustbereich ebenso wie die Gespannpferde auf der milesischen Sagendarstellung bereits fortschrittlicher¹²²². Die Angabe des Pferdeschweifs als schräg schraffiertes Band¹²²³ und der mit dem Kammzirkel gezogene Halbkreis am Pferderücken des Kraters bedienen sich dagegen noch des spät- bis subgeometrischen Motivschatzes.

Möglicherweise ist, wie schon M. Kerschner erkannte, der Halbkreis am Pferderücken weniger als ein reines Füllornament denn als der Schild eines Reiters zu begreifen, auf den auch die schrägen Linien im Halsbereich des Pferdekopfes hinweisen würden, wenn man diese mit guten Gründen als die Zügelführung eines Reiters identifizieren möchte¹²²⁴. Gemeinsam mit den Pferden sind in der Darstellung bewaffneter Männer die frühesten Menschenbilder der Gefäßmalerei nachmykenischer Zeit am griechischen Festland gegeben¹²²⁵. Die oben angesprochenen orientalisierenden Pferdebilder ostgriechischer Produktion sind ebenfalls mit Reitern kombiniert, während die bewaffneten Krieger auf geometrischen und protoattischen Vasen selten als Reiter, sondern, sofern in Kombination mit Pferden, bevorzugt als Wagenlenker abgebildet sind, wie sie sich auch auf der von V. von Graeve als Sagenbild angesprochenen Darstellung finden¹²²⁶. Reiterbilder sind indessen von protokorinthischen Gefäßen bekannt¹²²⁷. Die Wiedergabe des Schildes als Mehrfachkreis ist eine Bildlösung, die für die festlandgriechischen Kriegerbilder nicht bekannt ist¹²²⁸, wohl aber für ostgriechische Schilddarstellungen¹²²⁹.

Neben den fortschrittlichen Einzelementen der Darstellung ist bei **Kat. 2213** auch das Bildkonzept insgesamt revolutionär, wenn man bedenkt, dass für die ostgriechische Malerei geometrischer Zeit, abgesehen von den Vogelbildern auf den Gefäßen der nordionischen Vogelschalenwerkstatt und ihrer lokalen Nachahmungen, figürliche Darstellungen bislang kaum nachgewiesen sind und sich auf plakative und zumindest optisch in Metopen isolierte Einzelbilder beschränken¹²³⁰. Bei **Kat. 2213** wird ein zoomorphes Bildmotiv hingegen aus der Metopenrahmung befreit und in den größeren Zusammenhang eines Frieses gesetzt, wie er für die orientalisierende Tierfrieskeramik typisch wird. Bemerkenswert ist darüber hinaus, dass es sich bei dem gewählten Bildmotiv des Pferdes im Gegensatz zu jenem der Vögel nicht um ein Thema handelt, das in der lokalen Tradition ionisch-geometrischer Gefäßmalerei gebräuchlich wäre, wohingegen Pferdedarstellungen in narrativen Friesen etwa aus der zentralgriechisch-spätgeometrischen Vasenmalerei mehrfach belegt sind.

¹²²² Vgl. Kerschner 2008a, 42; zu den Vergleichsstücken s. von Graeve 1971; Cook – Dupont 1998, 29 f. Abb. 7, 2.

¹²²³ Die gleiche Darstellungsweise findet sich auf einem frühprotokorinthischen Aryballos für die Wiedergabe der Mähne eines berittenen Pferdes. Vgl. dazu Amyx 1988, 17 Abb. 6 a. b Taf. 1 (♣The Evelyn Painter♣); Coulié 2013, 112 Abb. 86.

¹²²⁴ Kerschner 2008a, 41 f. geht hier sicher von einem Reiterfries aus.

¹²²⁵ s. etwa Coldstream 1968, Taf. 7 a; 8 a. b; 11 a–c. g; 12 b; 13 e. f; 44 g. j; Coulié 2013, 46 Abb. 12; 67 Abb. 37; 89 Abb. 60. 61 Taf. 1. Zu Menschenbildern in der geometrischen Vasenmalerei Euboias vgl. zuletzt Verdán 2013, 100–102 Nr. 204 Taf. 82; Nr. 301 Taf. 93. Zu anthropomorphen Darstellungen in Ionien vgl. zu Samos Technau 1929, 15 f. Abb. 7. 8 mit einem von konzentrischen Kreisen angegebenen Schild; Eilmann 1933, Abb. 1 Beil. 37. s. außerdem Coldstream 1968, Taf. 63 d.

¹²²⁶ von Graeve 1971.

¹²²⁷ Vgl. beispielsweise Coulié 2013, 112 Abb. 86; 116 Abb. 95.

¹²²⁸ Die attischen Maler bevorzugen in der spätgeometrischen Zeit zunächst den Dipylon-Schild. Vgl. dazu die Übersicht bei Coulié 2013, 72 Abb. 43; 74–78 Abb. 44–48; 82 Abb. 54. Der Rundschild gewinnt erst in den Darstellungen des ausgehenden 8. und 7. Jhs. an Bedeutung. Dazu Coulié 2013, 100 f. Abb. 77. 78; 112 Abb. 68. 69; 189 Abb. 183; 194 Abb. 188; 207 Abb. 201.

¹²²⁹ s. Technau 1929, 15 f. Abb. 7. 8.

¹²³⁰ Eine Ausnahme stellte der Bildfries im Randbereich des samischen Kantharos bei Eilmann 1933, 98 f. Abb. 40. 41 Beil. 28 Taf. 1 dar, der eine Reihe äsender Pferde zeigt.

Es sind also stilistische, technologische, konzeptuelle und inhaltliche Aspekte, die den Krater **Kat. 2213** an den Übergang von der geometrischen zur orientalisierenden Maltradition stellen, ihn besonders auszeichnen und die einerseits die Frage nach dem Produktionsort des Kraters¹²³¹ und andererseits jene nach möglichen impulsgebenden Vorbildern besonders dringlich erscheinen lassen. Das Motiv des Pferdes bringt in Bezug auf Letzteres auf jeden Fall die festlandgriechische Gefäßproduktion ins Spiel, während das glimmerreiche Fabrikat des Gefäßes gut nach Ionien passt. Die Überlegung, dass in **Kat. 2213** ein Reiterfries gegeben sein könnte, bleibt angesichts des fragmentarischen Erhaltungszustands des Kraters wenn auch nicht unbegründet, so doch ungesichert. Die stilistische und chronologische Einordnung des Kraters **Kat. 2213** am Übergang von der geometrischen in die früheste orientalisierende Gefäßmalerei dürfte indessen außer Zweifel stehen.

Das Wandfragment **Kat. 2214** stammt vom Gefäßbauch eines großen Kraters mit Tierfriesdekor. Das Mäanderband unterhalb der Hauptdekorzone am Bauch ist eine Spezialität vor allem der nordionischen Tierfrieskeramik der Stufe NiA Id und findet sich neben Krateren besonders häufig bei den Gürtelbandkannen des späten 7. und frühen 6. Jahrhunderts¹²³². Das Wandfragment **Kat. 2216** ist am Gefäßboden eines dickwandigen Dinos zu verorten und zeigt mit einem gerahmten Zungenfries oberhalb der dunklen Bodenzone einen Dekor, der in der südionisch-orientalisierenden Keramik für Gefäße der Stufen SiA Ia+Ib verbreitet und mit **Kat. 1513** in den archaischen Siedlungsbefunden unter der Tetragonos Agora bereits für ein Mischgefäß nachgewiesen ist. Der Zungenfries auf **Kat. 2216** ist demgegenüber großzügiger und weit weniger akkurat angelegt und erinnert an die von äolischen Gefäßen bekannten Beispiele¹²³³. Den Halskrater **Kat. 2215** weist die breite, polychrome Bänderung an der mit einem hellen Malgrund versehenen Schulter hingegen der spätorientalisierenden Stilstufe NiA Id zu.

Mit dem Schulterfragment **Kat. 2395** begegnet im Suchgraben IV ein groß proportionierter Halskrater, dessen gröberes Fabrikat den Küchenwaren und Pithoi nahe steht. Das Gefäß weist orientalisierenden Maldekor auf, der sich an der mit einem hellen Malgrund versehenen Schulter oberhalb der breiten Bänderung am Umbruch in das Gefäßbecken in Form eines schildartigen Motivs erhalten hat, das von wenigen Gefäßen aus Chios und Smyrna bereits bekannt ist¹²³⁴. Das Schulterfragment **Kat. 2458** ist zu einem vergleichbaren, wenn auch kleiner proportionierten Halskrater gehörig; von dem Schildmotiv an der Schulter hat sich hier die äußere Rahmung mit Strichfüllung erhalten.

Das Schulterfragment **Kat. 2437** ist zu einem großen Mischgefäß wiederum der orientalisierenden Ware zu ergänzen. Der gerahmte Zungenfries im erhaltenen Bildausschnitt ist typisch für die nordionische und äolische Tierfrieskeramik des ausgehenden 7. und des frühen 6. Jahrhunderts. Die mit kleinen Punkten gefüllte Zunge ist dabei ein Gestaltungsdetail, das zu den Charakteristika besonders der äolischen Tierfrieskeramik zählt, in der flächiger Punktdekor einen hohen Stellenwert innehat¹²³⁵ und diese auch an die lydisch-orientalisierende Keramik anbindet¹²³⁶, während sich nordionische Werkstätten eher auf die Anordnung großer Punkte in Punktfriesen und Punktrossetten beschränken (s. o. Kap. 1.B.3.4.2e+f).

¹²³¹ Das Gefäß wurde von M. Kerschner bereits für die NAA beprobt. Die Ergebnisse dieser Analyse werden in einem anderen Rahmen vorgelegt werden.

¹²³² Vgl. beispielsweise Dugas 1935, 58 f. Nr. 5–7 Taf. 39; Ploug 1973, 63 Nr. 238 Taf. 12; Walter-Karydi 1973, 143 Nr. 892 Taf. 107; Thalmann 1977, 77 Nr. 110 Taf. 5; Ersoy 1993, Nr. 610 Taf. 322; Utili 1999, 197 Nr. 320 Abb. 23; Akurgal u. a. 2002, 177 Abb. 74; Alexandrescu 2005b, 330 Nr. C6 Taf. 53.

¹²³³ Vgl. etwa Walter-Karydi 1973, 141 Nr. 856 Taf. 102 (Dekor); Gjerstad 1977b, 34 f. Abb. 1 Taf. 18; Thalmann 1977, 77 Nr. 112 Abb. 2. 3 Taf. 17; Kerschner 2006c, 112. 122 Abb. 2. 6; Posamentir – Solovyov 2007, 192 Nr. 11. 12 Abb. 3; Coulié 2013, Taf. 14.

¹²³⁴ Vgl. zu Chios Boardman 1967, 164 Nr. 798 Abb. 112 und zu Smyrna Akurgal 1983, Abb. 90.

¹²³⁵ Zur äolischen Punktstilkkeramik vgl. İren 2003, 9–56, zu Gefäßen mit punktgefüllten Flächen vgl. İren 2003, 165 Nr. 18 Taf. 4; 168 Nr. 61. 63 Taf. 9.

¹²³⁶ Allgemein zum sog. Sardis Style vgl. Greenewalt 1970. Gerne wird der Dekor zur Angabe von Tierfell verwendet. Vgl. dazu Greenewalt 1970, 60 f. 63 f. Nr. 15 Taf. 9. 18; Greenewalt 1978a, Abb. 7 Taf. 16; Greenewalt 2010a, 476 Nr. 90.

2.B.2.2.4 Nordionisch-schwarzfigurige Mischgefäße

Auf einige der grundlegenden Entwicklungsschritte in der nordionisch-schwarzfigurigen Keramikproduktion wurde bereits im Zusammenhang mit **Kat. 1034** und **Kat. 1180** aus den archaischen Siedlungsbefunden unter der Tetragonos Agora hingewiesen. Mit dem Repertoire der schwarzfigurigen Mischgefäße aus den Suchgräben der 1920er Jahre vom Nordwestabhang des Panayırdağ bietet sich nun die gute Gelegenheit, den aktuellen Kenntnisstand zu den Phasen der nordionisch-schwarzfigurigen Keramikproduktion zusammenfassend darzustellen und anhand aussagekräftiger Beispiele näher zu veranschaulichen¹²³⁷. Leider ist die Grabungsdokumentation nicht dafür geeignet, eine befundbasierte Chronologie der Stücke zu erarbeiten. Vorausgeschickt sei, dass zwar für keines der zu besprechenden Stücke bisher die Ergebnisse einer naturwissenschaftlichen Analyse vorliegen, dass der mikroskopische Abgleich des Scherbens eine Zuweisung an korinthische und attische Werkstätten aber mit Sicherheit auszuschließen vermag und umgekehrt eine deutliche Affinität zu den für die nordionischen Kotylen und Kalottenschalen bekannten Fabrikate gegeben ist, weshalb die Gefäße mit größter Wahrscheinlichkeit im Einzugsgebiet nordionischer Produktionen hergestellt worden sein dürften.

Das Randfragment **Kat. 2354** mit breitem Flachrand gehört zu einem nordionischen Halskrater des späten 7. und beginnenden 6. Jahrhunderts. An der mit einem hellen Malgrund versehenen Außenkante des verbrochenen Randes läuft ein Dekorband aus eng gesetzten, hängenden Dreiecken um. In den Dekorzonen an Hals, Schulter und Gefäßbauch ist orientalisierender Dekor oder aber eine Kombination aus schwarzfigurigem Dekor an Hals und Schulter mit orientalisierenden Bildfriese am Gefäßbauch zu erwarten. Eine solche Kombination beider Techniken, die am Beginn der schwarzfigurigen Keramiktradition in Nordionien steht, ist mit dem Halskrater **Kat. 2335** eindeutig nachgewiesen. An der mit einem hellen Malgrund versehenen Hauptdekorzone an der Schulter zeigt sich hier ein von der korinthischen Keramik inspirierter Tierfries mit Details in aufgesetztem Rot und Binnenritzung. Erkennbar ist eine nach links laufenden Raubkatze und dahinter eine sitzende Figur, bei der es sich um einen Greifen oder eine Sphinx handeln könnte, die in dieser frühen Entwicklungsstufe gemeinsam mit Raubkatzen und Vögeln zu den bevorzugten Bildelementen schwarzfiguriger Friese gehören. Die großen Klecksrosetten mit Binnenritzung sind als ein unmittelbarer Reflex korinthischer Vorbilder zu verstehen. Der Tierfries am Gefäßbauch ist vom schwarzfigurigen Schulterfries mit einer polychromen Bänderung abgesetzt. In dieser sekundären Dekorzone wird, wie es für die Gefäße, die den Übergang von der orientalisierenden zu der schwarzfigurigen Produktion bezeichnen, typisch ist, am traditionell ostgriechischen Tierfries festgehalten. Die unterhalb der polychromen Bänderung anschließende hängende Rosette aus Halbkreissegmenten und Punkten ist ein für nordionische Tierfriese typisches Füllornament. Die petrografische und geochemische Analyse hat für **Kat. 2335** eine nordionische Herkunft¹²³⁸ bestätigt (s. u. Kap. 4.C und Kap. 4.D.3).

Formtypologisch ist der Halskrater **Kat. 2218** mit breitem Flachrand mit dem spätorientalisierenden Krater **Kat. 2354** gleichzusetzen. Hier schmücken Gruppen dreieckiger Strahlen die tongrundige Randoberkante, der Gefäßhals ist deckend gefirnisst, der innere Randansatz und die Randaußenkante weisen je einen breiten, in Deckrot aufgesetzten Reifen auf, wobei der Reifen an der Randaußenkante einen darunterliegenden Punktefries überdeckt. Mit Punkten gefüllte Schmuckbänder zählen ebenso wie der großzügige Einsatz von Deckrot zu den Merkmalen der spätorientalisierenden Keramik nordionischer Herstellung als auch der nordionisch-schwarzfigurigen Keramiktradition. Der helle Malgrund, der für die orientalisierenden Gefäße der Tierfrieskeramik und der frühesten Stufe schwarzfiguriger Keramik des ausgehenden 7. und beginnenden 6. Jahrhunderts noch verbindlich ist, fehlt hier bereits, weshalb **Kat. 2218** dekortypologisch schon einer weiter fortgeschritteneren Entwicklung des zweiten Viertels des

¹²³⁷ Als Standardliteratur gelten nach wie vor die Aufsätze Cook 1952 und Cook 1965. Zuletzt hat Özer 2004 den aktuellen Kenntnisstand zusammengefasst und ergänzt.

¹²³⁸ Vgl. dazu den Überblick zu den Herkunftstypen E und F in Kap. 1.B.3.1.1 Tab. 6 mit weiterer Lit.

6. Jahrhunderts entspricht. In denselben Zeithorizont gehört das Kraterfragment **Kat. 2217**. Die Bodenzone des großen Kraters **Kat. 2217** ist mit einem Strahlenkranz versehen, wie er noch von den frühesten Gefäßen orientalisierender Keramik seit dem zweiten Viertel des 7. Jahrhunderts bekannt ist. Bei **Kat. 2217** handelt es sich hingegen bereits um einen späten Träger dieses Dekors, der hier unmittelbar an der tongrundigen Gefäßaußenseite aufgebracht wurde. Nach oben hin ist die Bodenzone von einem umlaufenden Band in aufgesetztem Weiß begrenzt, darüber folgt eine breite Firniszone. Der fehlende helle Malgrund wie auch die für orientalisierende Gefäße untypische Begrenzung der Dekorzone machen für **Kat. 2217** ein mit schwarzfigurigem Dekor versehenes Ganzgefäß des zweiten Viertels oder mittleren 6. Jahrhunderts wahrscheinlich.

In dieser eher experimentellen Phase des frühen 6. Jahrhunderts ist der Beginn der echten schwarzfigurigen Gefäßproduktion Nordioniens zu suchen (>early black figure periode<)¹²³⁹. Der Übergang zur orientalisierenden Tierfrieskeramik ist dabei sicher nicht klar abzugrenzen, da sowohl die bevorzugten Gefäßformen als auch Motive der Stufe NiA Id weiter bestehen bleiben. Anders als noch in der orientalisierenden und auch in der zeitgleichen korinthisch-schwarzfigurigen Keramik wird aber zunehmend auf die dichte Füllornamentik verzichtet, und das Repertoire der dargestellten Tier- und Fabelwelt erweitert sich erneut, wobei hier vor allem das Motiv der Sirene an Beliebtheit gewinnt. Die Kratere **Kat. 2220** und **Kat. 2336**, welche beide dieses Bildmotiv aufweisen, zeichnen in anschaulicher Weise die Weiterentwicklung von der im Tierfries und in der korinthischen Keramik verhafteten Anfangsphase der nordionisch-schwarzfigurigen Malerei zu dem schwarzfigurigen Stil des zweiten Viertels des 6. Jahrhunderts nach.

Das Schulterfragment **Kat. 2336** wahrscheinlich eines großen Kolonettenkraters mit hellem Malgrund ist noch in deutlicher Abhängigkeit frühkorinthischer Kolonettenkratere entstanden¹²⁴⁰. Davon zeugen die durch summarische Ritzung und aufgesetztes Deckrot angegebenen Binnendetails des Flügels und der oberhalb des figürlichen Frieses angebrachte Zungenfries. Mit der in die Front gedrehten Sirene, die sich in dem an die linke Bildbegrenzung anschließenden Ausschnitt des Schulterbildfeldes erhalten hat, ist allerdings ein Motiv gegeben, das in den ostgriechischen Tierfriesen der orientalisierenden Tradition kaum bekannt ist¹²⁴¹. Der Krater **Kat. 2220**, der wahrscheinlich in der Umgebung von Smyrna zu lokalisieren ist (s. u. Kap. 4.C), setzt das innovative Bildmotiv schließlich für ein Gefäß der entwickelten nordionisch-schwarzfigurigen Malerei um. Der erhaltene Fragmentausschnitt zeigt den unteren Abschnitt der abgespreizten Flügelschwinge wiederum einer in die Front gedrehten Sirene in einem nun tongrundigen Schulterbildfeld. Die Binnengliederung des Flügels ist durch vertikale Ritzungen angegeben und zusätzlich mit aufgesetztem Deckweiß unterstrichen, wie es in stilistisch sehr ähnlicher Weise bei einer Palmette auf einer aus Kyrene publizierten Amphore begegnet¹²⁴². Das Flügelmotiv mit geradem Abschluss findet seine nächsten Parallelen hingegen noch auf korinthischen Gefäßen des späten 7. Jahrhunderts¹²⁴³.

Mit dem Kraterfragment **Kat. 2337** begegnet schließlich ein Gefäß des voll ausgebildeten klazomenisch-schwarzfigurigen Stils. Unterhalb des gefirnissten Randansatzes läuft an der knappen Schulter ein gerahmter Zungenfries um, der mit einem Reifen zur Hauptdekorzone hin abgegrenzt ist, in deren erhaltenem Ausschnitt sich leider keine Bemalung erhalten hat. Dennoch ist **Kat. 2337** allein aufgrund des Zungenfrieses gut einzuordnen. Jede vierte der gerahmten Zungen ist mit aufgesetztem Weiß akzentuiert, und in den Zwickeln der Zungenrahmungen sind kleine Punkte ebenfalls in Deckweiß eingefügt. Dieser Dekor ist von Gefäßen der klazomenisch-

¹²³⁹ s. dazu bes. Özer 2004, 201 f.

¹²⁴⁰ s. dazu beispielsweise Amyx – Lawrence 1975, 29 f. Nr. 73. 74 Taf. 12. Zu vergleichbaren Gefäßen nordionischer Produktion s. Čistov 2005, 39 Nr. 33. 34; 40 Nr. 37.

¹²⁴¹ Auf einem Krater aus Amathonte/Zypern ist eine Sirene mit gespreizten Schwingen noch mit einem späten Tierfries kombiniert. Vgl. dazu Thalmann 1977, Nr. 119 Taf. 11.

¹²⁴² s. dazu Schaus 1985, 92 Nr. 565 Taf. 33.

¹²⁴³ Vgl. dazu Amyx – Lawrence 1975, 130 f. Nr. 167. 169 Taf. 30; Stillwell – Benson 1984, 74 Nr. 330 Taf. 17 (>Transitional Style<).

schwarzfigurigen Keramik mehrfach belegt¹²⁴⁴ und kann innerhalb dieser der sog. Tübingen Group zugewiesen werden, die im mittleren 6. Jahrhundert und im dritten Viertel des 6. Jahrhunderts eingeordnet wird¹²⁴⁵. Mit den Gefäßen der ›Tübingen Group‹ beginnt nach bisherigem Forschungsstand um die Mitte des 6. Jahrhunderts jene Phase nordionisch-schwarzfiguriger Malerei, für die sich erstmals kanonische Gruppen bilden lassen¹²⁴⁶.

Neben den aus der Tier- und Fabelwelt inspirierten Bildinhalten wird erstmals auch narrativen Szenen mit anthropomorphen Figuren Platz gegeben; mit dem Kraterfragment **Kat. 2355** ist auch hierfür ein Beispiel aus Ephesos erhalten¹²⁴⁷. Die Dekorzone am Gefäßbauch ist von einem in Deckrot aufgesetzten Reifen oberhalb einer breiten Firniszone begrenzt, von dem Figurenbild am Bauch hat sich nur der Ausschnitt eines menschlichen Fußes erhalten, dessen Proportionen auf eine groß angelegte Darstellung schließen lassen. Der Bildinhalt ist trotz des kleinen Fragmentausschnitts gut zu bestimmen. Die Haltung des Fußes ist von tanzenden Komasten bekannt, die für das mittlere und die zweite Hälfte des 6. Jahrhunderts nicht nur von nordionisch-schwarzfigurigen Gefäßen¹²⁴⁸, sondern auch in der chiotischen Malerei und in der Fikelluraware mehrfach belegt sind¹²⁴⁹. Die Detailgestaltung des Fußes auf **Kat. 2355** mit deutlich rund abgesetzter Ferse findet ihre nächste stilistische Parallele bei einem kleinformatigen Krater aus Smyrna¹²⁵⁰, der einer Gruppe von Kolonnenkratern mit engen Verbindungen zur klazomenisch-schwarzfigurigen ›Urla Group‹ angehört¹²⁵¹. Innerhalb dieser sog. Gruppe of ›Lydian Class‹ ist auch die Begrenzung der Dekorzone durch ein in Deckrot aufgesetztes Band belegt¹²⁵². In Analogie dazu wird **Kat. 2355** um 640/630 zu datieren sein.

Zusammenfassend lässt sich festhalten, dass die nordionisch-schwarzfigurigen Mischgefäße aus dem Bereich des späteren Vediusgymnasiums trotz ihrer geringen Anzahl und ihres insgesamt schlechten und kleinteiligen Erhaltungszustands einen repräsentativen Bogen über den Entwicklungszeitraum nordionisch-schwarzfiguriger Vasenmalerei vom ausgehenden 7. Jahrhundert bis in das spätere 6. Jahrhundert spannen. Von Beginn an stehen im ausgehenden 7. und beginnenden 6. Jahrhundert Kratere, welche die typischen Merkmale der Tierfriesmalerei (heller Malgrund, Zungenbänder in den Nebendekorzon, polychrome Bänderung zur Friestrennung, Füllmotiv, Tierfrieze in den sekundären figürlichen Friesen) aufweisen und unter dem Eindruck korinthischer Importkeramik mit in schwarzfiguriger Technik ausgeführten Friesen die Hauptdekorzonen ergänzen (**Kat. 2335. Kat. 2336**). In einer experimentellen Phase erfolgt ab etwa dem zweiten Viertel des 6. Jahrhunderts die zunehmende Loslösung von der lokalen Tierfriestradition ebenso wie vom korinthischen Vorbild, deren typische Motive und Inhalte zwar tradiert, aber zunehmend innovativ umgesetzt werden. Der helle Malgrund der Gefäßoberfläche und die polychrome Bänderung fallen weg, die Füllornamentik wird stark reduziert, neue Tiere und Mischwesen werden in die Figurenfrieze aufgenommen, und zu den im Profil dargestellten Figuren treten in die Frontansicht gedrehte hinzu (**Kat. 2220. Kat. 2336**). Parallel dazu erscheint auch erstmals das

¹²⁴⁴ Vgl. Cook 1965, 123 Nr. 45 Abb. 6 Taf. 30. 31; 129 Nr. 64 Taf. 34; 132 Nr. 86 Taf. 37; Akurgal 1983, Abb. 2 Taf. L und Taf. 47 a (Dekor); Ersoy 1993, Taf. 323; Özer 2004, 203 Abb. 4.

¹²⁴⁵ Zur ›Tübingen Group‹ vgl. Cook 1952, 124–128; Cook – Dupont 1998, 95–98. s. zuletzt Özer 2004, 202 f.

¹²⁴⁶ Neben der ›Tübingen Group‹ zählen dazu die ›Petrie Group‹, die ›Urla Group‹, die ›Knipovitch Class‹, die ›Enmann Class‹, die ›Sphinx and Siren Group‹. Vgl. dazu Cook 1952; Cook 1965; Cook – Dupont 1998, 95–107; Özer 2004.

¹²⁴⁷ Ein weiteres nordionisch-schwarzfiguriges Gefäß mit anthropomorpher Darstellung ist in den spätarchaischen Befunden am Panayırdağ vergesellschaftet. Vgl. dazu von Miller 2013, Nr. 2112.

¹²⁴⁸ Vgl. dazu Walter-Karydi 1973, 145 Nr. 955 Taf. 128; Weber 2012, 330 Nr. TD 108 Taf. 46 b.

¹²⁴⁹ Vgl. zur chiotischen Keramik Hayes 1966, 63 Nr. 787. 788 Taf. 44; Hayes 1973, 26 Nr. 2046. 2049 Taf. 15; Walter-Karydi 1973, 139 f. Nr. 759 Taf. 95; Lemos 1986, 248 Abb. 19; Lemos 1991, Nr. 986 Taf. 137; zur Fikelluraware s. etwa Walter-Karydi 1973, 118 Nr. 108 Taf. 13; 135 Nr. 613 Taf. 84; Nr. 626. 627 Taf. 86; Heinz 1990, 60 Nr. 32 Taf. 15.

¹²⁵⁰ Akurgal 2002, 112 Nr. 87 Abb. 58 a; Kerschner 2002e, 77.

¹²⁵¹ Zur ›Urla Group‹ vgl. dazu Cook 1952, 130–134; Cook – Dupont 1998, 100 f.; Özer 2004, 203 f. Zur Gruppe der ›column kraters of Lydian Class‹ s. Cook 1965, 126–128 bes. Nr. 59. 60 Taf. 33; Cook – Dupont 1998, 101.

¹²⁵² Vgl. dazu den Deckel bei Cook 1965, 128 Nr. 63 Taf. 33.

anthropomorphe Element, das schließlich für die dritte und am besten erfasste Phase nordionisch-schwarzfiguriger Malerei, der sog. klazomenischen des mittleren und des dritten Viertels des 6. Jahrhunderts, besonders charakteristisch ist (**Kat. 2337. Kat. 2355**). Spätestens seit diesem Zeitpunkt wird in der nordionisch-schwarzfigurigen Keramikproduktion eine Hinwendung zu attischen Vorbildern bemerkbar.

2.B.2.3 TIEFE SCHÜSSELN

Die Randfragmente **Kat. 2221** und **Kat. 2485** sind als Tiefe Schüsseln anzusprechen. **Kat. 2485** weist mit dem wulstig verdickten Rand ein typisches Merkmal dieser Gefäßform auf, wenngleich sich die kantige Profilierung am oberen Halsbereich nicht erhalten hat. Anders als die aus den archaischen Siedlungsbefunden unter der Tetragnonos Agora bekannten Vertreter des Typs ist **Kat. 2485** bemalt und über diesen Maldekor, bestehend aus breiten Firnisbändern und einem Punktefries an der Randaußenkante, wie das aus Milet publizierte Exemplar¹²⁵³ der geometrischen oder subgeometrischen Keramik anzugliedern. Der relativ geringe Raddurchmesser macht für **Kat. 2485** außerdem die Zugehörigkeit zu einer Amphore als ursprünglichem Ganzgefäß denkbar, wie es von A. Vacek für ein in Form und Dekor vergleichbares Gefäß aus Al Mina vorgeschlagen wurde¹²⁵⁴.

Die Tiefe Schüssel **Kat. 2221** gehört dagegen der Grauen Ware an und zeigt mit der gut geglätteten Oberfläche ein Merkmal, das nicht nur bei den Grauen Waren des 7. Jahrhunderts häufig ist, sondern gerade auch die oxidierend gebrannten Tiefen Schüsseln aus der Agora-Siedlung kennzeichnet (z. B. **Kat. 625**). Anders als die ebenfalls der Grauen Ware zugehörige Tiefe Schüssel **Kat. 103** aus einem Zerstörungsbefund der AG Phase II weicht **Kat. 2221** von der üblichen Formgebung Tiefer Schüsseln ab und ersetzt den über eine Profilierung abgesetzten, hohen und tropfenförmig bis wulstig verdickten Rand durch eine breite, geriefelte Leiste, die in einen kantig verdickten Flachrand mit nach innen abgeschrägter Oberkante übergeht. Trotz dieser Variation schließt sich **Kat. 2221** damit problemlos den an anderer Stelle diskutierten Grundelementen an, welche die Tiefen Schüsseln insgesamt als für die Keramikproduktion nach dem Vorbild metallener Gefäße adaptierte Form wahrscheinlich machen (s. o. Kap. 1.B.3.3). Rillendekor ist darüber hinaus besonders für Gefäße der Grauen Ware ein beliebtes Schmuckelement.

2.B.2.4 SERVIERGEFÄSSE

2.B.2.4.1 Schüsseln

Die vier bauchigen Schüsseln **Kat. 2222**, **Kat. 2223**, **Kat. 2396** und **Kat. 2459** gehören der Reifenware an. **Kat. 2222** und **Kat. 2396** schließen sich an jene Variante der bauchigen Schüsseln mit mehr oder weniger keilförmig verdickten und nach innen abgeschrägten Rändern an, die sich in der archaischen Siedlung unter der Tetragnonos Agora besonders häufig auch als unbenmalte Gefäße in Befunden seit der AG Phase II finden. Diesen Datierungsansatz unterstreicht bei **Kat. 2222** der im Ansatz erhaltene bandförmige Schlaufenhenkel. Bei **Kat. 2459** ist der nach innen abgeschrägte Rand hingegen an der Außenseite deutlich abgesetzt. Das Dekorsystem aus breiten Firniszonen im oberen Wandbereich und schmalen Reifen am unteren Gefäßbecken ist vor allem von den Steilwandschüsseln bekannt. Die große Schüssel **Kat. 2223** nähert sich in ihren Gesamtproportionen bereits den Lekanen des späten 7. und 6. Jahrhunderts an, von denen sie sich maßgeblich nur durch den rundstabigen Wulstrand unterscheidet. Mit dem mittelharten, wahrscheinlich lokalen Fabrikat und dem mattroten Überzug weist das Gefäß technologische Details auf, die in der Agora-Siedlung besonders seit der AG Phase IIIb greifbar werden.

¹²⁵³ Vgl. dazu von Graeve 1975, 57 Nr. 71 Abb. 38 Taf. 12.

¹²⁵⁴ Vgl. dazu Vacek 2012, Nr. 298 Taf. 30.

Die beiden Steilwandschüsseln **Kat. 2224** und **Kat. 2225** repräsentieren die in den Agora-Befunden am häufigsten auftretende Variante dieses Gefäßtyps mit unbemaltem, flachem Beckenboden, deutlich abgeknickter und leicht schräg ausgestellter hoher Wandung mit Bemalung und schnabelförmig verdicktem Rand. **Kat. 2461** variiert diese Grundform dahingehend, als die hohe Wandung mit konkav einziehender Kontur in einen glatten Rand mit gerundeter Lippe übergeht und sich der Bänderdekor auf die Gefäßinnenseite beschränkt. Die Steilwandschüsseln **Kat. 2356** und **Kat. 2460** weisen Gemeinsamkeiten mit Tellern des 6. Jahrhunderts auf. Bei **Kat. 2356** ist das von den Steilwandschüsseln bekannte proportionale Verhältnis von Schüsselbecken und -wandung zugunsten des tiefen Beckens verschoben, das unmittelbar an die Tiefen Teller des fortgeschrittenen 6. Jahrhunderts erinnert. Von diesen unterscheidet sich das Gefäß nur durch den abgeknickten Steilrand mit konkav eingezogener Kontur und dem nach außen gebogenen, rundstabig verdickten Rand. **Kat. 2460** zeichnet sich durch den oberhalb eines scharfen Wandknicks schnabelförmig einziehenden Rand aus, wie er auch von den Tellern nordionischer und äolischer Produktion bekannt ist, wobei die Ränder dort wesentlich niedriger ausfallen.

Die beiden Knickwandschüsseln **Kat. 2226** und **Kat. 2438** stehen dagegen den orientalisierenden Reifentellern des fortgeschrittenen 7. Jahrhunderts nahe, von deren kanonischen Vertretern sie sich jedoch durch das Fehlen des hellen Malgrundes und durch den kantig abgesetzten und schräg ausgestellten Rand unterscheiden. Das Wandfragment **Kat. 2399** mit unbemaltem Außenseite und Bänderdekor im Gefäßinneren dürfte einer vergleichbaren Ganzform zugehörig gewesen sein.

Innerhalb der Schüsseln mit konvexer Wandung stellt das kleinformatige Gefäß **Kat. 2462** mit glattem Rand das typologisch älteste Stück dar. Die unbemalte und polierte Oberfläche ist besonders für Schüsseln des 7. Jahrhunderts bezeichnend und findet sich häufig gemeinsam mit in die Keramik übertragenen formalen Charakteristika von Metallgefäßen. Ein solcher Zusammenhang ist auch für die Schüssel **Kat. 2462** denkbar, die in ihrer Formgebung den Omphalosschalen nahe steht. Mit **Kat. 228** und **Kat. 498** ist in den archaischen Siedlungsbefunden unter der Tetragonos Agora die Existenz kleiner, unbemalter Omphalosschalen für das frühe 7. Jahrhundert bereits nachgewiesen.

Die flache Schüssel **Kat. 2398** mit scharfkantig abgesetztem Flachrand steht einer Gruppe von Knickwandschüsseln mit unbemaltem Gefäßkörper und gefirnisstem Rand nahe, die in den archaischen Siedlungsbefunden unter der Tetragonos Agora in allen ihren Phasen vertreten ist, wobei der ausgeprägte Flachrand bereits tendenziell in das 6. Jahrhundert verweist. **Kat. 2227** und **Kat. 2397** gehören innerhalb der Schüsseln mit konvexer Wandung in die variantenreiche Gruppe mit unterschiedlich verdickten Rändern und flächig matt roten Gefäßüberzügen des 6. Jahrhunderts; vor allem das kleinformatige Exemplar **Kat. 2227** findet seine nächsten Verwandten in den späarchaischen Befunden an der Nordostterrasse des Panayırdağ¹²⁵⁵. Die großformatige und sehr flache Schüssel **Kat. 2232** mit umgebogenem Flachrand steht dagegen den Lekanen des 6. Jahrhunderts nahe (s. u. in diesem Kap.).

Die Schüssel **Kat. 2231** weist mit den kleinen Gesamtproportionen und der gerundeten Wandung, die direkt in den abgeschrägten Rand übergeht, typische Merkmale der archaischen Henkelschalen auf. Wie **Kat. 80** aus der AG Phase II in der Agora-Siedlung zeichnet sich **Kat. 2231** besonders durch den ovalstabigen Vertikalhenkel aus. Üblicher sind indessen Henkelschalen mit rundstabigem Horizontalhenkel ähnlich wie **Kat. 2358**. Das Gefäß zitiert mit dem ungewöhnlich kantigen Wandverlauf und dem nach innen abgeschrägten Rand die Formgebung einer Gruppe von Knickwandschüsseln, denen auch **Kat. 1006** aus einem Baubefund der AG Phase IV angehört. Zu ergänzen ist für beide Henkelschalen **Kat. 2231** und **Kat. 2358** ein flacher Boden, wie ihn **Kat. 2230** und **Kat. 2357** illustrieren. Wahrscheinlich gehörten auch die Wandfragmente **Kat. 2228** und **Kat. 2229** mit Bänderdekor zu Henkelschalen.

¹²⁵⁵ Vgl. dazu von Miller 2013, 351 Nr. 1931; 387 Nr. 2131. 2133.

Die Bodenfragmente **Kat. 2439** und **Kat. 2486** zeichnen sich demgegenüber beide durch einen Standring aus, der im Falle von **Kat. 2439** keilförmig verdickt ist, während jener von **Kat. 2486** einen schmalrechteckigen Querschnitt aufweist. Rückschlüsse auf die Formgebung der ursprünglichen Ganzgefäße sind kaum möglich, aber sowohl der Dekor von **Kat. 2439** als auch die fein polierte Oberfläche der Schüssel **Kat. 2486** der Grauen Ware legen eine Datierung in das 7. Jahrhundert nahe.

Die Lekanen sind in einer recht großen Bandbreite vertreten. Die tiefe Lekane der Dunkelgrundigen Ware **Kat. 2359** mit ausgestellttem Flachrand stellt das typologisch älteste Stück dar, während die flache Lekane **Kat. 2233** mit abgesetztem Rand ebenso wie **Kat. 2234** mit umgebogenem Flachrand und mattrottem Überzug bereits Entwicklungen des fortgeschrittenen 6. Jahrhunderts widerspiegeln. Am oberen Wandabschnitt umlaufende Leisten wie bei **Kat. 2235** und **Kat. 2236** sind frühestens für spätarchaische Lekanen denkbar¹²⁵⁶ und finden folgerichtig in den archaischen Siedlungsbefunden unter der Tetragonos Agora noch keinen Niederschlag. Diese Gefäße sind mit Deckeln zu ergänzen. In der bemalten Feinkeramik gehören große Lekaniden mit Deckeln zu den bevorzugten Dekorträgern klazomenisch-schwarzfiguriger Produktionen¹²⁵⁷, womit die für das spätere 6. Jahrhundert vorgeschlagene Datierung des Vorkommens großer Lekanen mit Deckelauflage auch im Bereich der Alltagswaren wie **Kat. 2235** und **Kat. 2236** weiter an Plausibilität gewinnt.

2.B.2.4.2 Teller

Anders als bei den Schüsseln sind im Repertoire der Teller Alltagswaren und orientalisierend bemalte Feinwaren gleichermaßen vertreten.

Das Fragment **Kat. 2239** vom Beckenboden eines Tellers auf hohem Fuß ist dem für lokale Alltagswaren bekannten Fabrikat zugehörig und könnte daher bereits im mittleren 7. Jahrhundert anzusiedeln sein (s. o. Kap. 1.B.3.1.1 und Kap. 1.B.4); das Dekorsystem mit in einem ausgesparten Mittelrund eingeschriebenen linearen Motiv ist damit ohne Weiteres vereinbar.

Die dickwandigen Teller **Kat. 2440** und **Kat. 2441** sowie der Teller der Grauen Ware **Kat. 2237** sind im gesamten Fragmentbereich mit einem deckenden Überzug versehen. Vergleichbare Teller werden zwischen dem mittleren 7. und dem mittleren 6. Jahrhundert eingeordnet, dunkel gefirnisste Gefäße der Grauen Ware wie **Kat. 2237** sind vor dem 6. Jahrhundert kaum vertreten¹²⁵⁸. In den Befunden der Agora-Siedlung zeichnet sich eine Verbreitung vergleichbarer flächig bemalter Teller in der AG Phase IIIb (**Kat. 786**) und der AG Phase IV (**Kat. 1360. Kat. 1857**) ab, Vertreter des Typs in der Grauen Ware sind in Ephesos erstmals in den spätarchaischen Befunden vom Panayırdağ belegt¹²⁵⁹. Mit **Kat. 2338** ist ein zweiter Teller der Grauen Ware gegeben, dessen nächste Vergleichsstücke mit innen abgesetztem, wulstig verdicktem Rand aber schon deutlich früher, seit der zweiten Hälfte des 7. Jahrhunderts verortet werden¹²⁶⁰. Wie der Teller mit glattem Rand **Kat. 2361** ist auch **Kat. 2338** nur an der Gefäßinnenseite gefirnisst, die Außenseite bleibt bis auf ein breites Lippenband unbemalt.

Die größte Gruppe innerhalb der Teller der Alltagswaren bilden die Tiefen Teller, denen neben dem mit Bänderdekor versehenen Beckenfragment **Kat. 2403** eine Reihe von Randfragmenten angehört, die das aus der Agora-Siedlung bekannte Repertoire um weitere formale Varianten ergänzt. **Kat. 2402** weist mit seinem scharfkantig eingebogenen, schnabelförmigen Rand die bereits bekannte Randmorphologie Tiefer Teller auf, die umseitig flächig gefirnisste Gefäßober-

¹²⁵⁶ Vgl. Voigtländer 1982, 53 Nr. 107–109 Abb. 19; Yılmaz 2008, 256 Nr. 27 Abb. 30.

¹²⁵⁷ Große Deckelgefäße gehören zum Formenrepertoire der ›Tübingen Group‹ (560/540) sowie der ›Urla Group‹ (530/520). Dazu Cook – Dupont 1998, 95. 100. s. außerdem Ersoy 1993, 132 Nr. 440 Taf. 127; 159 Nr. 479 Taf. 164; 274 Nr. 482 Taf. 302; Özer 2004, 209 f. Abb. 16. 17.

¹²⁵⁸ Zur Datierung der Gattung (jonischer Bucchero) vgl. Isler 1978b, 99 Nr. 165–167 Beil 4.

¹²⁵⁹ Vgl. dazu von Miller 2013, 390 Nr. 2155.

¹²⁶⁰ s. Lambrino 1938, 191 Nr. 4 Abb. 159; Bayne 2000, 167 Nr. 4 Abb. 43.

fläche hat innerhalb der Tiefen Teller aber als Ausnahmeerscheinung zu gelten. Üblicherweise sind die Gefäßbecken mit Bändern geschmückt (**Kat. 2403**), breite Firniszonen bleiben meist auf den Randbereich beschränkt (**Kat. 2339**, **Kat. 2362**). Mit **Kat. 2339**, **Kat. 2362** und **Kat. 2363** begegnet neben den Tiefen Tellern mit kantig eingezogenem Rand eine zweite Variante Tiefer Teller mit in einer ungebrochenen Kontur eingebogenen, glatten Rändern mit gerundeter Lippe, deren nächste Parallelen aus Milet im späten 6. und frühen 5. Jahrhundert fassbar werden¹²⁶¹. Das Fehlen dieser Variante in der Agora-Siedlung könnte auf eine zu der Variante mit kantig eingebogenem Rand relativ spätere Datierung deuten. Die Teller **Kat. 2400** und **Kat. 2401** mit dünnwandigem, konkav eingezogenem Tellerbecken und kantig verdicktem, hohem Rand mit gerundeter Lippe sind über formverwandte Gefäße aus südionischen Befunden bereits seit dem späten 7. Jahrhundert einzuordnen¹²⁶².

Der dekortypologisch älteste Teller der Feinkeramik **Kat. 2360** weist mit dem glatten, einziehenden Rand und der Bänderung am äußeren Tellerbecken jene Merkmale auf, welche die archaischen Teller seit der zweiten Hälfte des 7. Jahrhunderts kennzeichnen. Ungewöhnlich ist indessen der Ornamentfries am inneren Tellerbecken. Hier reihen sich mit vertikalen Balken, gerahmter Raute und stehendem Wellenband Motive in einer metopengleichen Anordnung aneinander, die von geometrischen Gefäßen vor allem nordionischer Prägung bekannt sind. Die fein geglättete Oberfläche anstelle eines hellen Malgrundes ist ein weiterer Anhaltspunkt dafür, **Kat. 2360** als frühen Vertreter der Teller in der beginnenden zweiten Hälfte des 7. Jahrhunderts anzusiedeln. Bei **Kat. 2238**, **Kat. 2242**, **Kat. 2404** und **Kat. 2405** ist der Bänderdekor der Innen- und Außenseite ebenfalls unmittelbar auf die fein geglättete Gefäßoberfläche aufgetragen. Die im Gefäßinneren in Deckrot und Deckweiß aufgesetzten Reifen rücken **Kat. 2242**, **Kat. 2404** und **Kat. 2405** in die Nähe der dunkelgrundigen Reifenteller (s. o. Kap. 1.B.3.4.2d), wobei im Falle von **Kat. 2242** und **Kat. 2405** interessanterweise die Verwendung von Deckrot, wie sie auch für die späten Kalottenschalen des 6. Jahrhunderts besonders bezeichnend ist (s. o. Kap. 2.B.2.1.3), mit dem für die nordionischen Teller typischen kantig eingebogenen Rand zusammentrifft¹²⁶³. Der Reifenteller **Kat. 2238** ist dagegen zu einem Teller mit Flachrand zu ergänzen, der sich im Ansatz des inneren Umbruchs erhalten hat.

Die Randfragmente des großen und dickwandigen Tellers **Kat. 2463** sowie des kleinen Tellers **Kat. 2442** sind aufgrund des hellen Malgrundes, über dem die charakteristische Bänderung aufgemalt ist, als kanonische Vertreter der orientalisierenden Reifenteller anzusprechen (s. o. Kap. 1.B.3.4.2d). Das Randfragment **Kat. 2243** gehört einer dunkelgrundigen Variante innerhalb der orientalisierenden Reifenteller an, bei welcher der von schmalen Reifen geschmückten Außenseite ein von ornamentalen Schmuckbändern aufgehelltes, dunkelgrundiges Gefäßinneres gegenübersteht (s. o. Kap. 1.B.3.4.2d; Abb. 10). Bei **Kat. 2243** laufen ein Zinnenmäander und ein Zickzackband im Tellerbecken um. Reifenteller sind mit hohen Füßen zu ergänzen; darüber hinaus sind hohe Tellerfüße auch für ornamental verzierte Teller belegt, die nicht zwingend den hellen Gefäßüberzug orientalisierender Gefäße aufweisen müssen. Im Falle von **Kat. 2241** schmückt beispielsweise ein Punktefries den inneren Tellerboden – ein Dekor, der vor allem bei Tellern des 6. Jahrhunderts beliebt ist¹²⁶⁴.

Als zweite Variante ornamental verzierter Teller kommen in der ersten Hälfte des 6. Jahrhunderts Teller mit Standring auf, und wiederum ist mit dem Bodenfragment **Kat. 2240** mit kleinem Standring und radialem Dekor im inneren Bildtondo ein Exemplar ohne den hellen Gefäßüberzug orientalisierender Gefäße gegeben. Wesentlich bekannter sind freilich die orientalisierenden Teller auf Standringen ähnlich **Kat. 2406**, die sich zu Tellern mit einem flachen Rand ergänzen

¹²⁶¹ Vgl. dazu Voigtländer 1982, 59 Nr. 101 Abb. 18.

¹²⁶² Vgl. dazu Voigtländer 1982, 58 Nr. 93 Abb. 17; Kalaitzoglou 2008, 395 Nr. 395 Taf. 75.

¹²⁶³ Vgl. dazu Ersoy 1993, Nr. 529 Taf. 271; Nr. 546 Taf. 203; Boldrini 1994, 99 Nr. 173 Taf. 2.

¹²⁶⁴ Vgl. beispielsweise Jacopi 1932/1933, Taf. 3; Dugas 1935, 62 Nr. 22 Taf. 43; Walter-Karydi 1973, 123 Nr. 234 Taf. 28; Schaus 1985, 65 Nr. 371 Taf. 22; 66 Nr. 385 Taf. 23; Ersoy 1993, 100 Nr. 620 Taf. 83; Utili 1999, 180 Nr. 228 Abb. 13; Paspalas 2006, 94 Abb. 3; 98 Abb. 16.

lassen, der in der nordionischen Produktion in der Regel mit einem umlaufenden Hakenmäander geschmückt ist (s. o. Kap. 1.B.3.4.2f). Die zierlichen Proportionen des dünnwandigen Bodenfragments mit dem kleinen Standring und der Profilierung an der Bodenunterseite sind von nordionischen Mäanderrandtellern allerdings nicht bekannt, und der in einem kleinen Ausschnitt erhaltene Metopendekor im inneren Bildfries weist **Kat. 2406** schließlich einem südionischen Metopenteller zu, dessen typisches strahlenförmiges Trennelement mit spitz verjüngter Basis im Ansatz noch erkennbar ist. Metopendekor ist indessen auch für die im Tellerbecken angebrachten Bildfriese nordionischer Mäanderrandteller belegt, und das Wandfragment **Kat. 2245** mit einer aus Kreislinien und Punkten gebildeten, großen Rosette in der Bildmetope wird einem solchen Mäanderrandteller zugehörig gewesen sein¹²⁶⁵.

Das dickwandige Wandfragment **Kat. 2244** ist zu einem großen südionischen Tierfriesteller zu ergänzen¹²⁶⁶. Der erhaltene Fragmentausschnitt zeigt zwei von einem einfachen Kreisband getrennte Bildfriese, in denen sich Reste kleinteiliger Füllornamentik abzeichnen. Von dem figurlichen Dekor hat sich nur der fein gezeichnete Hinterlauf eines nach rechts schreitenden Huftieres erhalten. Sowohl die einfache Bänderung zur Trennung mehrerer Friese als auch die vorhandenen Füllmotive lassen sich auf die orientalisierende Keramik der Stufe SiA Ic eingrenzen.

2.B.2.4.3 Deckel

Der kleine Deckel **Kat. 2246** mit schwach profiliertem Deckelfalz ist wahrscheinlich einer Pyxis zugeordnet. Der in zwei Friesen angeordnete Dekor der Deckelkalotte bedient sich mit einem hohen Zickzackband und einem Hakenmäanderfries aus dem Motivschatz der geometrischen und subgeometrischen Malerei Ioniens. Die petrografische wie auch die geochemische Untersuchung von **Kat. 2246** verweisen auf eine nordionische Herkunft des Deckelchens (s. u. Kap. 4.C und Kap. 4.D.3), wo das Motiv des hohen Zickzackbandes auch unter den Trinkgefäßen (z. B. **Kat. 2144**) weit verbreitet ist. Die beiden Randfragmente **Kat. 2247** und **Kat. 2248** weisen die glatten, steilwandigen Ränder und flachen Deckelkalotten der in den Befunden der AG Phase II bis AG Phase IV vertretenen Deckel ohne Randfalz auf. Anders als die Deckel aus den Agora-Befunden sind **Kat. 2247** und **Kat. 2248** aber mit umlaufenden Bändern verziert. Das ebenfalls mit Reifen geschmückte Fragment **Kat. 2249** vom Umbruch einer Deckelkalotte in den Knauf dürfte einer vergleichbaren Ganzform zugehörig gewesen sein.

Kat. 2464 ist dagegen zu einem orientalisierenden Deckel mit breiter Krempe über dem Rand zu ergänzen. Von dem Dekor der kantig abgesetzten Deckelkalotte haben sich die unteren Enden zweier vertikaler Hasten am hellen Gefäßüberzug erhalten. Die Oberseite der Randkrempe schmückt ein Hakenmäanderfries, wie er abgesehen von einigen wenigen Deckeln¹²⁶⁷ vornehmlich von den nordionischen Mäanderrandtellern der ersten Hälfte des 6. Jahrhunderts bekannt ist. Mit den südionischen Mäanderdeckeln des mittleren 7. Jahrhunderts (s. o. Kap. 1.B.3.4.3c) hat **Kat. 2464** hingegen nichts gemein.

2.B.2.5 SCHANKGEFÄSSE

2.B.2.5.1 Kännchen

Das einzige noch subgeometrische Kännchen **Kat. 2251** mit flächigem Überzug steht in seiner schlanken Formgebung bereits den schmalen Reifenkännchen der zweiten Hälfte des 7. Jahr-

¹²⁶⁵ s. etwa Jacopi 1932/1933, 99 Nr. 1 Abb. 106 (Grab 28); Walter-Karydi 1982, 12 Nr. 52 Taf. 3; Akurgal 1983, Abb. 92 (Motiv); Schaus 1985, 61 Nr. 332 Taf. 20; Čistov 2005, 50 Nr. 61 (ähnlich); Kerschner – Schlotzhauer 2005, 43 Abb. 42; Posamentir 2006, 160 Abb. 4; Posamentir – Solovyov 2007, 204 Nr. 7 Abb. 8; Posamentir u. a. 2009, 39 Nr. 7 Abb. 1.

¹²⁶⁶ Vgl. dazu Walter-Karydi 1973, 134 Nr. 562 Taf. 66. Zu der Füllornamentik vgl. außerdem Kerschner – Schlotzhauer 2005, 31 Abb. 27; Käuffer 2006, Abb. 2 Taf. 65.

¹²⁶⁷ Vgl. Ersoy 1993, 83 Nr. 619 Taf. 64; McMullen Fisher 2000, 171 Nr. 76 Abb. 19.

hundreds nahe, die mit **Kat. 2252** ebenfalls vertreten sind. Die Wandfragmente **Kat. 2250** und **Kat. 2487** zeigen demgegenüber eine zweite Variante von Reifenkännchen mit bauchigem Gefäßkörper und deutlich voneinander abgesetzten Körperpartien, der sich auch der vertikale Bandhenkel **Kat. 2488** zuordnen lässt. In den archaischen Siedlungsbefunden unter der Tetragonos Agora sind vergleichbare bauchige Kännchen mit **Kat. 1304** und **Kat. 1470** erst für die AG Phase IV belegt. **Kat. 2364** wiederholt die gleiche bauchige Grundform für eine kleine Hydria mit im Ansatz erhaltenen horizontalen Bandhenkeln am Gefäßbauch.

2.B.2.5.2 Kannen

Innerhalb des Repertoires der geometrischen bis subgeometrischen Kannen aus den Suchgräben der 1920er Jahre stehen wie in der archaischen Siedlung unter der Tetragonos Agora großflächig gefirnisste Gefäße mit tongrundig ausgesparten Reifen und Reifengruppen (**Kat. 2253. Kat. 2443. Kat. 2444. Kat. 2489. Kat. 2509–Kat. 2511**) neben ornamental verzierten Kannen mit bauchigem und bikonischem Gefäßkörper (**Kat. 2257–Kat. 2260. Kat. 2263. Kat. 2490**). Die Kanne **Kat. 2408** kombiniert den von subgeometrischen Vogelkannen bekannten kreuzschraffierten Sockelfries (**Kat. 1545. Kat. 2260**) mit dem hellen Malgrund orientalisierender Gefäße. Der aufgehellte Gefäßunterkörper, an dem wie bei **Kat. 2365** und **Kat. 2366** mehrere Bänder umlaufen, ist ebenfalls bereits dem Geschmack archaischer Zeit verpflichtet.

Das an Größen und Formen sehr vielfältige Repertoire der archaischen Kannen der Alltagswaren hat im Wesentlichen den Bänder- und Reifendekor gemeinsam (**Kat. 2254–Kat. 2256. Kat. 2261. Kat. 2262. Kat. 2264–Kat. 2266. Kat. 2407. Kat. 2414**), der in wenigen Fällen von Wellenbändern in der Schulterzone (**Kat. 2264. Kat. 2410. Kat. 2465**) oder am Hals (**Kat. 2262. Kat. 2267**) ergänzt wird. Die großen Kannen **Kat. 2367, Kat. 2411** und **Kat. 2412** mit dunklem Gefäßbauch und von Reifen abgesetzter, tongrundiger Schulter sowie die bauchigen Kannen **Kat. 2269, Kat. 2445** und **Kat. 2466** mit einem einzelnen Band am Schulter-Bauch-Umbruch lassen sich zu je einer Gruppe zusammenfassen. Der enge und kantige Standring **Kat. 2270** könnte auch zu einer schlanken Hydria oder Haushaltsamphore zu ergänzen sein. Die einzige Kanne der Dunkelgrundigen Ware **Kat. 2409** mit an der Schulter in Deckweiß aufgesetzten Reifen ist der Grauen Ware zugehörig. Mit dem Randfragment einer Kanne mit breiter, runder Mündung begegnet in **Kat. 2413** hingegen das einzige erhaltene Fragment einer unbemalten Kanne.

Das Schulterfragment **Kat. 2271** ist einer frühorientalisierenden Kanne der Stufe SiA Ia/SiA Ib zugehörig. Bezeichnend hierfür ist die kugelige Grundform des Gefäßkörpers ebenso wie der mit einem offenen Flechtband gefüllte, ornamentale Fries, der die Schulter vom Gefäßbauch absetzt¹²⁶⁸. Die beiden spitzwinklig zusammenlaufenden Linien in der Schulterzone lassen sich am plausibelsten zu einem Rautenmotiv ergänzen, wie es als Reflex geometrischer Dekortraditionen auf den Kannen der Stufe SiA Ia weiter tradiert wird.

Abgesehen von der südionischen Kanne **Kat. 2271** sind die Kannen mit orientalisierendem Dekor aus den Suchgräben der 1920er Jahre als Vertreter der späten Entwicklungsstufen ostgriechischer Tierfrieskeramik anzusprechen. Die kleine Kanne **Kat. 2274** zeigt im erhaltenen Bildausschnitt des Schulterfrieses ein großes Rosettenornament, das sich aus einem großen Punkt, gerahmt von feinen Kreislinien und einem äußeren Blattkranz, zusammensetzt. Vergleichbare Rosettenornamente finden ihre nächsten Parallelen in der milesischen Tierfrieskeramik der Stilstufe SiA Ic¹²⁶⁹. Die kleine Kanne **Kat. 2273** ist zeitlich parallel einzuordnen; von dem Dekor hat sich das von einem Reifen gefasste Zungenband am Halsansatz erhalten, der Schulterdekor ist stark verriepen. Das Motiv am rechten Fragmentrand kann möglicherweise zu einer Volutenpalmette mit punktierten Binnenfeldern ergänzt werden, wie sie auf Kannen der Stufe SiA Ic als zentrale Mittelmotive in den Schulterbildfeldern vorkommen (s. o. Kap. 1.B.3.5.2f). Strah-

¹²⁶⁸ Vgl. Kerschner – Schlotzhauer 2005, 16; Käufler 2006, 176 Nr. 11 Taf. 1; 178 Nr. 20 Taf. 2; 195 Nr. 143 Taf. 7; Abb. 25 Taf. 62.

¹²⁶⁹ Vgl. zur Ornamentik Kerschner – Schlotzhauer 2005, 28 Abb. 22; Käufler 2006, Abb. 23 Taf. 66.

lenkränze in der Bodenzone wie bei der großen Kanne **Kat. 2272** zählen im letzten Drittel des 7. Jahrhunderts zu den verbindlichen Dekorelementen orientalisierender Kannen; die stark zu dem Standring hin einziehende, konische Kontur des Gefäßbauches bestätigt diese Einordnung. Die mehrfache Bänderung zwischen Standring und Strahlenkranz ist dabei ein Gestaltungsdetail, das vor allem, aber nicht ausschließlich, von südionischen Kannen bekannt ist. Die Kannen **Kat. 2275**, **Kat. 2276**, **Kat. 2446** und **Kat. 2467** zeichnen sich durch einen vom Hals über die Schulter herabgeführten Konturstrahl aus. Der Strahl, der bei **Kat. 2279** an die Bänderung des Schulter-Bauch-Umbruchs anläuft, wird zu einem vergleichbaren Konturstrahl gehört haben. Bei dem Schulterfragment **Kat. 2368** fehlt der helle Malgrund orientalisierender Kannen und die beiden Konturstrahlen sind unter dem gefirnissten Randansatz direkt auf die tongrundige Schulter aufgemalt. Strahlendekor in der Schulterzone ist für Gürtelbandkannen und kleinformatige Kannen der Stufe SiA Ic+Id/NiA Id belegt und dort in der Regel mit einer Tierdarstellung, einer Tierprotome oder einzelnen vegetabilen Ornamenten, ähnlich der hängenden Lotusblüte am Schulterbildfeld der Kanne **Kat. 2277**, kombiniert; Konturstrahlenkränze sind hingegen in nur wenigen Beispielen bekannt¹²⁷⁰. Bei der großen Kanne **Kat. 2491** folgt im Anschluss an den Konturstrahl die vertikale Begrenzung eines Bildfeldes mit einem schuppenartigen Zwickelmotiv, in welches der Ausschnitt einer weiteren Darstellung (Horn eines Steinbocks [?]) übergreift. Die Gürtelbandkanne **Kat. 2416** weist oberhalb der mit polychromer Bänderung versehenen Firniszone am Gefäßbauch einen hohen Fries mit ineinander verschränkten Hakenmäandern auf. Dieses Dekorsystem ist typisch für Kannen und feinkeramische Amphoren der Stilstufe NiA Id und wird häufig auch bereits mit schwarzfigurigem Friesdekor kombiniert¹²⁷¹. Das Bauchfragment **Kat. 2278** zeigt die Variante einer Gürtelbandkanne, bei der anstelle des Mäanderbandes eine breite Firniszone mit aufgesetzter polychromer Bänderung den Gefäßbauch ziert. Vom Schulterfries der ebenfalls nordionischen Kanne **Kat. 2415** sind im erhaltenen Bildausschnitt der untere Rest eines Zungenbandes, ein kreuzförmiges Füllmotiv und die Schlinge eines vegetabilen Rankenornaments im Bereich des Henkelansatzes neben einer großen, aus Kreisen und Punkten zusammengesetzten Rosette mit in Deckrot aufgesetzten Details erhalten. Das Dekorrepertoire ist wiederum typisch für die Kannen der Stufe NiA Id¹²⁷².

An der Kannenschulter **Kat. 2417** hat sich der Rest einer nach rechts gewandten, in schwarzfiguriger Technik gemalten Flügelfigur, Sirene oder Sphinx, erhalten, wie sie als Motiv schon in der frühesten Phase NiA Id der schwarzfigurigen Malerei belegt ist¹²⁷³; stilistisch ist das Gefäß von dieser Anfangsphase aber schon weit entfernt. Deutlich erkennbar sind an der tongrundigen Schulter ein Teil des von einer Ritzlinie gerahmten Hinterleibes der nach rechts gewandten Figur und das in feinen Bögen gezeichnete Gefieder der Flügelschwinge mit Binnenritzung. Die engsten Vergleiche zu **Kat. 2417** datieren bereits in die fortgeschrittene zweite Hälfte des 6. Jahrhunderts¹²⁷⁴. Die petrografische Analyse der Kanne konnte innerhalb Nordioniens besonders die Umgebung von Smyrna als wahrscheinliche Produktionsregion von **Kat. 2417** glaubhaft machen (s. u. Kap. 4.C).

¹²⁷⁰ Vgl. Condurachi 1966, Nr. 313–315 Taf. 19; Nr. 332 Taf. 20; Walter-Karydi 1982, 12 Nr. 50 Taf. 3.

¹²⁷¹ Vgl. etwa Dugas 1935, 58 f. Nr. 5–7 Taf. 39 (Borysthenes-Amphoren); Condurachi 1966, Nr. 52 Taf. 4; Ersoy 1993, Nr. 610 Taf. 322; Kerschner 2006a, 83 Nr. 3 Taf. 1; Kerschner 2007, 229 Abb. 2 Taf. 32.

¹²⁷² Vgl. Thalmann 1977, Nr. 136 Abb. 2 Taf. 14; Kerschner 2001, Abb. 5 Taf. 9 (Rosette).

¹²⁷³ Vgl. die frühen Beispiele bei Walter-Karydi 1973, 144 Nr. 946 Taf. 114; 145 Nr. 951 Taf. 117; 146 Nr. 975 Taf. 119; Thalmann 1977, 75 f. Abb. 3 Taf. 9; 79 Abb. 3 Taf. 13.

¹²⁷⁴ Vgl. dazu Cook 1965, Nr. 12 Taf. 25 (Flügel); Condurachi 1966, Nr. 767 Taf. 38 (ähnlich); Walter-Karydi 1973, 137 f. Nr. 687 Taf. 98 (ähnlich); Ersoy 1993, Nr. 622 Taf. 317.

2.B.2.6 VORRATS- UND TRANSPORTGEFÄSSE

2.B.2.6.1 Amphoren der Feinkeramik

Wie in den Agora-Befunden finden sich auch im Material der Altgrabung im Bereich des späteren Vediusgymnasiums einige wenige Vorrats- und Transportgefäße der Feinkeramik.

Das Schulterfragment **Kat. 2418** und das Bodenfragment **Kat. 2283** gehören zu Borysthene-Amphoren (s. o. Kap. 1.B.3.6.1a). Typisch hierfür ist der nach rechts schreitende Steinbock mit rückwärts gewandtem Kopf, dessen Maul und Rückenkontur bei **Kat. 2418** unter der den Halsansatz umfassenden Bänderung erkennbar sind. **Kat. 2283** zeigt mit dem breiten Reifenbündel am oberen Gefäßbauch und dem daran anstoßenden Strahlenkranz in der Bodenzone über dem wulstigen Standring weitere für die Borysthene-Amphoren charakteristische Elemente. Möglicherweise war auch das großformatige Wandfragment **Kat. 2284** einer vergleichbaren Amphore zugehörig. Hier folgt am Gefäßbauch unterhalb einer breiten Firniszone ein vielteiliges Bündel feiner Reifen, in welches die Spitze eines die Bodenzone schmückenden Strahlenkranzes übergreift.

Das Schulterfragment **Kat. 2280** zeigt mit der beinahe flach vom Gefäßbauch abbiegenden Schulter und dem kleinen Wulst am Halsansatz morphologische Merkmale, die für Amphoren des klazomenisch-schwarzfigurigen Stils der zweiten Hälfte des 6. Jahrhunderts belegt sind¹²⁷⁵. Vom Dekor hat sich bis auf die an der breiten Firniszone am Schulter-Bauch-Umbruch aufgesetzten Bänder in Deckweiß nichts erhalten.

Aus den archaischen Siedlungsbefunden unter der Tetragonos Agora liegt kein einziges Fragment vor, welches sich eindeutig als Vertreter der Fikelluraware bezeichnen ließe; die wenigen Fikelluragefäße stammen dort aus den hellenistischen Planierhorizonten (s. o. Kap. 1.B.3.6.1b). Dies entspricht durchaus dem bisher aus Ephesos bekannten Bild, in dem der Fikellurakeramik nur eine untergeordnete Rolle zuzukommen scheint¹²⁷⁶. Während die bisherige Befundlage mit Kontexten vornehmlich aus der frühen und mittleren Archaik¹²⁷⁷ dem Nachweis von Fikelluragefäßen in Ephesos auch gar nicht dienlich war, liegen mit den Fundzusammenhängen der AG Phase IV von der Agora-Siedlung hingegen Kontexte vor, in denen mit entsprechenden Gefäßen sehr wohl zu rechnen wäre¹²⁷⁸. Mit **Kat. 2281** liegt nun vom Nordwestabhang des Panayırdağ das Halsfragment einer Amphore der Fikelluraware vor, welches mit dem hellen Malgrund und dem darüber aufgetragenen, mehrfachen Flechtband den typischen Halsdekor dieser Gefäße aufweist¹²⁷⁹, die zwischen dem mittleren und dem ausgehenden 6. Jahrhundert eingeordnet werden¹²⁸⁰. Eine eindeutige Zuordnung von **Kat. 2281** an einen bestimmten Maler oder eine Dekorgruppe ist nur bedingt möglich; die Ausführung des Flechtbandes findet seine besten Parallelen bei Amphoren und Hydrien, welche von R. M. Cook der ›Group of B.M. B117‹ oder der ›Altenburg Group‹ zugewiesen wurden¹²⁸¹. Das Fragment **Kat. 2282** wurde von R. M. Cook als Fragment aus dem unmittelbaren Nahbereich des Standrings einer Amphore oder Kanne angesprochen

¹²⁷⁵ Vgl. Ersoy 1993, 144 Nr. 441 Taf. 140. 141; 160 Nr. 424 Taf. 165. 166; Boldrini 2000, 104 f. Nr. 14 Abb. 2; Ersoy 2004, 58 Abb. 17 a; Özer 2004, 207 Abb. 11.

¹²⁷⁶ Dazu schon Kerschner 2002 b, 43 f.; Kerschner 2007, 233.

¹²⁷⁷ Vgl. Kerschner 1997a; Kerschner 2003a. Von der spätarchaischen Nekropole am ›Staatsmarkt‹ ist indes eine Fikellura-Amphore publiziert: Langmann 1967, 118. 122 Abb. 8 Taf. 8.

¹²⁷⁸ Auch in den spätarchaischen Befunden an der Nordostterrasse des Panayırdağ fehlt bislang ein entsprechender Nachweis, auch wenn mit Inv. PAN 08/2051.5 zumindest ein gesichertes Fikelluragefäß in den nacharchaischen Befunden vergesellschaftet ist.

¹²⁷⁹ Vgl. beispielsweise Cook 1933/1934, Taf. 2 a; 5; 6; 13; Langmann 1967, 118. 122 Abb. 8 Taf. 8; Walter-Karydi 1973, 118 Nr. 116 Taf. 15; Alexandrescu 1978, 53 Nr. 155 Taf. 14; Schaus 1986, 265 Nr. 1 Abb. 3 Taf. 14 f (Altenburgmaler).

¹²⁸⁰ Zur Fikelluraware und ihrer Chronologie vgl. Cook 1933/1934; Schaus 1986; Cook – Dupont 1998, 77–79; Schlotzhauer 1999a; Schlotzhauer 2001, 119–122; Schlotzhauer 2006a, 135–144; Schlotzhauer 2007; Waschek 2008; Schlotzhauer 2012, 44 f.

¹²⁸¹ s. dazu Cook 1933/1934, 8 f. Taf. 4 c; 15–18 Taf. 5. 6. Zum Altenburgmaler vgl. außerdem Schaus 1986, 252–270.

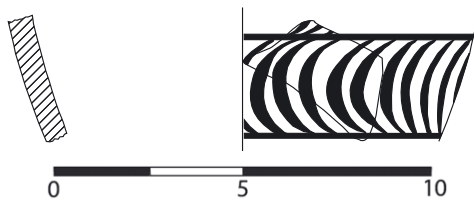


Abb. 36 Fikellura-Amphoriskos AG 92/091.18

und der Dekorgruppe G (›Mykonos Group‹) zugeordnet¹²⁸². Die in der Zeichnung ersichtliche Ausrichtung und Proportion machen **Kat. 2282** allerdings als Schulterfragment eines kleiner dimensionierten und schlanken, geschlossenen Gefäßes erkenntlich, für das am ehesten ein Amphoriskos ähnlich jener bauchigen Fikellura-Amphoriskoi denkbar scheint, die R. M. Cook unter Ya und Yb zusammengefasst und in das mittlere dritte Viertel des 6. Jahrhunderts

datiert hat¹²⁸³. Innerhalb dieser Gruppe sind auch Lotuskränze als Schulterdecor, wie er sich bei **Kat. 2282** unter einem Schachbrettband abzeichnet, belegt¹²⁸⁴.

Fikellura-Amphoriskoi sind mit einem Amphoriskos aus Grab 7 im Tumulus III aus der spätarchaischen Nekropole bei der Tetragonos Agora und einem weiteren Amphoriskos von der Nekropole vom ›Staatsmarkt‹ für Ephesos bereits belegt¹²⁸⁵ und finden sich schließlich auch in einem von einem Sichelfries geschmückten Bauchfragment in den hellenistischen Planierschichten (**AG 92/091.18** Abb. 36) über der archaischen Agora-Siedlung wieder.

2.B.2.6.2 Haushaltsamphoren/Hydrien

Ähnlich wie bei den Kannen reicht auch das Repertoire der Haushaltsamphoren und Hydrien mit den großflächig gefirnissten und fallweise von tongrundig ausgesparten Reifen aufgehellten Gefäßfragmenten **Kat. 2421**, **Kat. 2493**, **Kat. 2494** und **Kat. 2512–Kat. 2514** weiter in die geometrische Zeit zurück als etwa die Amphoren aus den archaischen Siedlungsbefunden unter der Tetragonos Agora. Das Amphorenfragment **Kat. 2422** zeichnet sich dagegen durch ornamentalen Dekor in Form eines schräg schraffierten Hakenmänders in der Schulterzone aus. Mit dem Schulterfragment **Kat. 2468**, an dem sich der Ansatz zu einem rundstabigen Horizontalhenkel erhalten hat, ist innerhalb dieser Gruppe darüber hinaus der Nachweis einer Hydria erbracht, in deren ausgespartem Schulterbildfeld vier Horizontalstreifen entlanglaufen, deren unregelmäßige Ausführung von einer chronologischen Einbindung noch vor der Einführung der Kammbürste im späten 8. Jahrhundert zeugt. Die petrografische Analyse hat **Kat. 2468** als eindeutiges Importprodukt ausgewiesen, wobei als wahrscheinliche Herkunftsregion das nördliche Ionien angenommen werden darf (s. u. Kap. 4.C). Die Bauchhenkelamphore **Kat. 2324** ist wahrscheinlich als eine Vertreterin der typologisch ältesten Gefäße spätgeometrischer Zeit anzusehen, an denen der Kammzirkel zum Einsatz kam. Die Bauchhenkelamphore **Kat. 2518** mit zirkelgezogenem Mehrfachhalbkreis an der Schulter scheint demgegenüber bereits weiter fortgeschritten zu sein. Neben den Halbkreisen sind für Amphoren und Hydrien spät- und subgeometrischer Zeit auch komplett ausgeführte Zirkelkreise bekannt (**Kat. 2307**, **Kat. 2340**). Das Schulterfragment **Kat. 2308** zeigt mit dem vertikalen Balkenbündel ein Dekorelement, welches auf in Metopen gegliederte Schulterfriese spät- bis subgeometrischer Amphoren und Hydrien verweist.

Das vielleicht wichtigste Dekorelement archaischer Hydrien ist das Wellenband, das den verbindlichen Halsdecor darstellt (**Kat. 2286–Kat. 2291**) und bei den Wellenbandhydrien mit weiteren Wellenbändern an der Schulter (**Kat. 2292–Kat. 2295**, **Kat. 2300**, **Kat. 2341**, **Kat. 2342**, **Kat. 2344**, **Kat. 2369**, **Kat. 2370**, **Kat. 2420**, **Kat. 2469**) und am Gefäßbauch (**Kat. 2296**, **Kat. 2298**, **Kat. 2304**) kombiniert wird. Seichte Wellenbänder mit zueinander versetzten statt

¹²⁸² Vgl. Cook 1933/1934, 13 mit der Herkunftsbezeichnung ›Old Smyrna‹, die in CVA London, British Museum (8), 1 korrigiert wird. Kerschner 2008a, 53 f. schließt sich dieser Ansprache an, Walter-Karydi 1973, 137 Nr. 682 spricht das Fragment als Kanne an. Eine entsprechende Kanne wurde von Schlotzhauer 2012, 146 Nr. Nau 113 Taf. 25 a kürzlich vorsichtig der Dekorgruppe U (›miscellaneous oinochoae‹) zugeordnet.

¹²⁸³ s. Cook 1933/1934, 46–51, bes. 48 Nr. 13 Taf. 15. Vgl. auch Jacopi 1929, 270 f. Nr. 3 Abb. 266 (Grab 245); Cook – Dupont 1998, 86 f. Abb. 10, 9; Waschek 2008, 57 f. Abb. 10.

¹²⁸⁴ Vgl. Cook 1933/1934, 46 Nr. 1; 49 Nr. 17 (›shape a‹).

¹²⁸⁵ Dazu Kerschner 2006a, 151. Vgl. auch Langmann 1967, 115 Abb. 46, 1 (Sarkophag 7).

parallel verlaufenden Bogenkonturen, wie **Kat. 2291** und **Kat. 2292** es zeigen, sind tendenziell erst im 6. Jahrhundert greifbar. Das Halsfragment einer recht kleinen Hydria **Kat. 2290** zeichnet sich durch eine unterhalb des Wellenbandes angebrachte Ritzinschrift aus, die sich mit zwei Buchstaben erhalten hat, von denen einer als Lambda zu lesen ist.

Ein weiteres beliebtes Motiv vor allem für Hydrien des 7. Jahrhunderts sind große, liegende S-Schlaufen (**Kat. 2297. Kat. 2300. Kat. 2301. Kat. 2471**), die an der Schulter häufig von vertikalen Balken (**Kat. 2470**) oder vertikalen Wellenbändern gerahmt sind (**Kat. 2299. Kat. 2492**). Die Motive in der Bauchzone werden dagegen von den die Henkelansätze rahmenden Bändern begrenzt (**Kat. 2303. Kat. 2304**), wobei entsprechende Bänder auch die Henkelansätze bemalter Haushaltsamphoren (**Kat. 2496. Kat. 2497**) schmücken können. Mit **Kat. 2302, Kat. 2303** und **Kat. 2305** ist eine doppelte Bänderung der Henkelansätze gesichert. Die parallel geführten Bänder an der Schulter von **Kat. 2298** lassen sich zu einem antithetischen Schlingenmotiv ergänzen, wie es ebenfalls von Großgefäßen (z. B. **Kat. 2204**) vor allem des 7. Jahrhunderts bekannt ist¹²⁸⁶. Der Halbkreisdekor am unteren Gefäßbauch des mit einem hellen Malgrund versehenen Gefäßes **Kat. 2343** bleibt indessen ohne Parallele, ist dieser Dekor doch gemeinhin in der Schulterzone anzutreffen. Mit Strichdekor versehene, rundstabige Horizontalhenkel (**Kat. 2306**) kennzeichnen Hydrien des 7. Jahrhunderts; vertikale Bandhenkel mit sich kreuzender Bänderung (**Kat. 2322**) sind sowohl für Amphoren als auch für Hydrien denkbar. Gleiches gilt für die vielen Wandfragmente mit Reifen- und Bänderdekor (**Kat. 2312–Kat. 2321. Kat. 2371–Kat. 2373. Kat. 2423. Kat. 2424. Kat. 2472. Kat. 2495. Kat. 2516**), wobei zumindest das von zwei schmalen Reifen gerahmte Schulterband von **Kat. 2318** im späteren 7. Jahrhundert für Hydrien milesischer Produktion charakteristisch ist (s. o. Kap. 1.B.3.6.3ab und Kap. 1.B.3.6.3b).

Das große Gefäß **Kat. 2515** zeichnet sich durch die sorgfältig geglättete Gefäßoberfläche aus, die vom gebrauchskeramischen Gefäßrepertoire des 7. Jahrhunderts bereits gut bekannt ist. Auch für das Bodenfragment **Kat. 2323** mit kantigem Standring und weitem Bauchansatz kann die Entscheidung, ob eine Amphore oder Hydria vorliegt, nicht getroffen werden. Von den drei erhaltenen Randfragmenten sind **Kat. 2285** mit keilförmig verdicktem Rand und **Kat. 2419** aufgrund des Wellenbanddekors am Hals als Hydrien anzusprechen. Keilförmig verdickte Ränder sind bereits aus der archaischen Siedlung unter der Tetragonos Agora mit einer Hydria (**Kat. 1824**) für die AG Phase IV belegt¹²⁸⁷. Bei **Kat. 2419** scheint es sich um ein milesisches Fabrikat zu handeln, was insofern bemerkenswert ist, als der schräg ausgestellte, kantige Rand sich deutlich von den üblichen mandelförmig verdickten Rändern milesischer Amphoren und Hydrien unterscheidet. Die nächste formale Parallele findet **Kat. 2419** in einem aus der milesischen Gründung Istros publizierten Gefäß¹²⁸⁸. Ein typisch milesisches Randfragment ist hingegen mit **Kat. 2517** gegeben; in seiner Formgebung steht es der Transportamphore **Kat. 2519** aus demselben Suchgraben VIII nahe.

2.B.2.6.3 Transportamphoren

Eindeutig als Transportamphoren zu identifizierende Gefäße sind aus den Suchgräben der 1920er Jahre kaum belegt.

Bei dem Randfragment **Kat. 2519** handelt es sich um eine eher zierlich proportionierte Amphore milesischen Typs (s. o. Kap. 1.B.3.6.4a) mit über dem zylindrischen Hals weit ausgestelltem, schmal mandelförmigem Rand ohne begleitendes Halsband. Die nächsten Parallel-

¹²⁸⁶ Vgl. dazu Eilmann 1933, Beil. 44, 4; Walter – Vierneisel 1959, 21 Beil. 46–48; Kopcke 1968, 266–268 Nr. 46. 47 Abb. 17 Taf. 103; Isler 1978a, Abb. 44 Taf. 40; Abb. 49. 50 Taf. 42; Furtwängler 1980, 178. 207 Nr. 57 Abb. 15 (Dekorschema); 218 Nr. 41 Abb. 20; Benda 1991, 35 Nr. 4; 37 Nr. 22 (Typus 10); Kalaitzoglou 2008, 416 f. Nr. 554–556. 559 f. Taf. 121–123. 125.

¹²⁸⁷ Ein weiteres Exemplar ist bei Kerschner 2008a, 65 Nr. 35 Taf. 12. 28 aus dem Vediusgymnasium publiziert.

¹²⁸⁸ Vgl. Lambrino 1938, 176 Nr. 27 Abb. 122. 123.

beispiele sind zwischen dem 6. und dem beginnenden 5. Jahrhundert angesiedelt¹²⁸⁹; das Fehlen der Variante in den Agora-Befunden ist ein Umstand, der **Kat. 2519** tendenziell an das Ende des angegebenen Zeitrahmens rückt. Das Randfragment **Kat. 2473** ist indessen als lesbische Amphore der Grauen Serie anzusprechen. Mit dem grauen Fabrikat und dem kräftigen Wulstrand oberhalb einer kleinen Abtreppe weist das Fragment die charakteristischen Merkmale dieser Gefäßgattung auf (s. o. Kap. 1.B.3.6.4f). Die nächsten Parallelbeispiele, von denen jedoch keines unmittelbar formgleich zu **Kat. 2473** ausfällt, können eine Datierung des Gefäßes in das 6. Jahrhundert wahrscheinlich machen¹²⁹⁰. Das Bodenfragment **Kat. 2326** eines hohen und leicht konisch ausgestellten Standrings mit schmal rechteckigem Querschnitt, der in einer fließenden Kontur in den Amphorenkörper überleitet, kann zu einer klazomenischen Amphore (s. o. Kap. 1.B.3.6.4d) ergänzt werden; das Schulterfragment **Kat. 2498** repräsentiert eine zweite klazomenische Amphore mit hellem Gefäßüberzug und breiter Bänderung an der Schulter. Der fragmentarische Erhaltungszustand der Stücke erlaubt keine nähere Klassifizierung, aber die beiden Fragmente **Kat. 2326** und **Kat. 2498** stellen die beiden primären Dekorvarianten klazomenischer Amphoren mit und ohne hellem Überzug vor. **Kat. 2447** ist als Wandfragment vom oberen Gefäßbauch einer chiotischen Amphore der älteren Serie mit hellem Gefäßüberzug (s. o. Kap. 1.B.3.6.4e) anzusprechen. Vom charakteristischen roten Maldekor haben sich ein am Gefäßbauch umlaufendes Band sowie die vertikale Haste des den Henkelansatz rahmenden Bandes erhalten.

Das Randfragment **Kat. 2325** zeichnet sich durch einen kräftig verdickten Wulstrand aus, an dem zwei breite Firnisbänder umlaufen. Den Hals schmückt ein vertikales Wellenband. Es ist dieses Detail, welches die Amphore **Kat. 2325** in die Nähe der sog. SOS-Amphoren rückt. Als SOS-Amphoren¹²⁹¹ wird eine Gruppe Amphoren mit einer Laufzeit vom letzten Viertel des 8. Jahrhunderts bis in das mittlere 6. Jahrhundert zusammengefasst, deren namensgebender Dekor am Hals sich aus zwei stehenden Wellen- und Zickzacklinien zusammensetzt, die ein mittiges Kreismotiv flankieren. Weniger häufig sind andere geometrische Dekorelemente, wie sie auch bei einem Halsfragment aus den hellenistischen Planierschichten über der archaischen Siedlung unter der Tetragonos Agora gegeben sind (**AG 89/184.33** Abb. 37).

Der Gefäßbauch der SOS-Amphoren ist bis auf eine aufgehellte Zone am Schulter-Bauch-Umbruch gemeinhin mit einem flächigen Überzug versehen. Das aufgehellte Schulterband besteht meist aus einem dreiteiligen Bündel ausgesparter Reifen, die auch für die geometrischen Kannen charakteristisch sind. R. Jones konnte auf archäometrischer Basis Athen als ein führendes Produktionszentrum dieser Amphoren nachweisen¹²⁹², weitere Produktionen werden auf Euboia, Chalkis und Ischia lokalisiert¹²⁹³. Formtypologisch lässt sich **Kat. 2325** schwer in das Repertoire bekannter SOS-Amphoren einordnen. A. Johnston konnte für die spät- bis subgeometrischen Vertreter des Typs nämlich hohe, tropfenförmig verdickte Ränder als Spezifikum glaubhaft machen, die in Attika mit einem kräftigen Wulst vom Gefäßhals abgesetzt sind, während die Profilierung in der Produktion von Chalkis von einer markanten Rille ersetzt wird¹²⁹⁴. Im Laufe der Entwicklung verschwindet die Profilierung spätestens gegen Ende des 7. Jahrhun-

¹²⁸⁹ Vgl. Lawall 1995, 184 f. Abb. 76; Schattner 1996, 176 Nr. 28 Abb. 108; de La Genière – Jolivet 2003, 47 Nr. 11 Abb. 10; Seifert 2004, 66 Nr. 116 Taf. 48; Sezgin 2012, 156–159. 167. 169. 173 Nr. Mil5.10.

¹²⁹⁰ Vgl. Boehlau – Schefold 1942, 124 Abb. 49 c (ähnlich); Johnston 1990, 41 Nr. 42 Abb. 3 (formal); Lawall 1995, 198–200 Abb. 80 (ähnlich); Cook – Dupont 1998, 156 f. Abb. 23.4 d. e; Monachov 1999, 51 Abb. 2 Taf. 5; Sezgin 2012, 217–219. 238. 241 Typ Gles5.

¹²⁹¹ Zu den SOS-Amphoren s. Dragendorff 1903, 64. 189 Abb. 221. 381 (Grab 100); Young 1939, 29. 210 f.; Brann 1962, 32–34; Karageorghis 1970, 18 Nr. 15. 27 Taf. 66 (Grab 10); Strøm 1971, 112 f.; Johnston – Jones 1978; di Sandro 1986, 15–22; Docter 1997, 235–239; Gassner 1997, 33; Lawall 2011, 296 f.; Birzescu 2012a, 174–180; Weber 2012, 374 Nr. TD 292. TD 293 Taf. 52 f. Das Motiv ist außerdem von parischen Amphoren bekannt. Vgl. dazu Coldstream 1968, Taf. 37 b. c.

¹²⁹² Johnston – Jones 1978, 103. 122 f.

¹²⁹³ s. Johnston – Jones 1978, 123–128; di Sandro 1986, 15.

¹²⁹⁴ Johnston – Jones 1978, 132 f. Folgerichtig weisen die frühesten exportierten publizierten Amphoren alle dieses Merkmal auf. Vgl. dazu Pelagatti 1982, Taf. 42. 43; di Sandro 1986, 16–22 Nr. SG 1–SG 12 Taf. 1. 2.

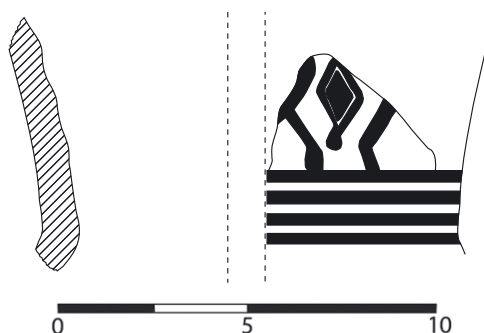


Abb. 37 Amphore AG 89/184.33

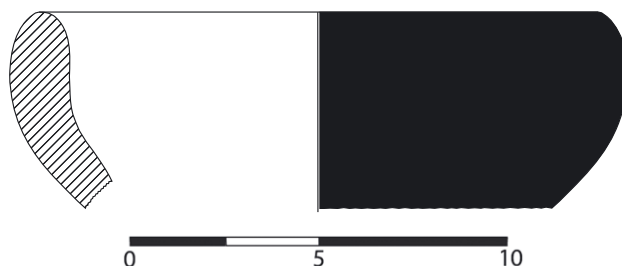


Abb. 38 Amphore Pan 08/2036.45

derts und die Mündung nimmt eine zunehmend schalenförmige Kontur an, wie sie auch von den sog. a la brosse-Amphoren¹²⁹⁵ und von attischen Lekythen des 6. Jahrhunderts bekannt ist und die Funktion der SOS-Amphoren als Ölbehälter bekräftigt¹²⁹⁶. Eine solche schalenförmige Mündung wird beispielsweise mit einer Amphore aus den nacharchaischen Befunden vom Panayırdağ illustriert (**PAN 08/2036.45** Abb. 38), welche über Formparallelen von SOS-Amphoren und »a la brosse«-Amphoren frühestens in das ausgehende 7. Jahrhundert zu datieren sein dürfte¹²⁹⁷. Mit seinen weißen Einschlüssen und dem glimmerlosen Fabrikat weist **PAN 08/2036.45** (Abb. 38) darüber hinaus typische Merkmale des Fabrikats attischer SOS-Amphoren auf, die bei dem zweiten exportierenden Produktionszentrum auf Chalkis nicht nachzuweisen sind, während die übrigen gesicherten Produktionen auf Euboia und Ischia scheinbar gar nicht exportierten¹²⁹⁸. Da **Kat. 2325** nicht dem attischen Fabrikat zu entsprechen scheint, stellt sich hier die Frage nach einem weiteren Produktionszentrum, vielleicht an der kleinasiatischen Küste selbst, welches sich von dem Vorbild attischer SOS-Amphoren inspirieren ließ. Mit dem massiven Wulstrand ist in jedem Fall ein typisches Merkmal ionisch-archaischer Amphorenproduktion gegeben.

2.B.2.7 KÜCHENWAREN

Die diagnostischen Küchenwaren aus den Suchgräben der 1920er Jahre beschränken sich auf nur drei Gefäße. Dies dürfte dabei weniger den tatsächlichen Verhältnissen geschuldet sein als der selektiven Auswahl der Ausgräber J. Keil und F. Miltner, die vornehmlich bemalte Gefäßfragmente für die weitere Aufbewahrung bestimmten.

Der große Kochtopf **Kat. 2448** hat sich mit einem Randfragment erhalten, das sich mit der kräftig einziehenden Schulter und dem hohen und ausgestellten Rand mit keilförmigem Querschnitt deutlich von den Kochtöpfen unterscheidet, die aus der archaischen Siedlung unter der Tetragonos Agora bekannt sind. Formal verwandte Gefäße begegnen indessen in unbemalten

¹²⁹⁵ Die Bezeichnung wurde von M. Lambrino in die Fachliteratur eingeführt. Vgl. dazu Lambrino 1938, 132–141. Zu den »a la brosse«-Amphoren und ihrer Verwandtschaft mit den SOS-Amphoren vgl. Johnston – Jones 1978, 121 f.; Seifert 2004, 27 f.; Dupont 2005a, 237 f. Nr. A LXIX. A LXX Abb. 19 a. b; Kalaitzoglou 2008, 232–234; Lawall 2011, 297 f.; Bîrzescu 2012a, 180; Weber 2012, 373 f. Nr. TD 291 Taf. 52 e.

¹²⁹⁶ Dazu Young 1939, 210; Johnston – Jones 1978, 133–135. 140 f. Demgegenüber argumentiert Strøm 1971, 112 zugunsten einer Verwendung der SOS-Amphoren als Weinamphore. Brann 1962, 32 zieht beide Verwendungsmöglichkeiten in Betracht.

¹²⁹⁷ Vgl. Dugas – Rhomaios 1934, 93 Nr. 18 Taf. 45; Brann 1962, 33 f. Nr. 28 Taf. 2. 42; Hayes 1966, 107 Nr. 1116 Taf. 84; CVA Rennes, Musée des beaux-arts et d'archéologie, 13 Nr. 4 Taf. 6 (formal); Karageorghis 1960, 279 Nr. 3 Abb. 57; Gjerstad 1977b, 53 Nr. 508 Taf. 61; Johnston – Jones 1978, 113 Taf. 18 b. Ein vergleichbares Gefäß aus Istros entstammt einem Kontext des 3. Viertels des 6. Jhs. s. dazu Dupont 2005a, 237 f. Nr. A LXIX Abb. 19 a; Bîrzescu 2012a, 176 f. 344 Nr. 1360 Taf. 69.

¹²⁹⁸ Dazu Johnston – Jones 1978, 128.

Krügen des späten 6. und frühen 5. Jahrhunderts¹²⁹⁹. Das Wandfragment **Kat. 2520** ist ebenfalls einem ungewöhnlich großen Kochtopf mit tiefem Gefäßbauch zugehörig, der sich ähnlich einer Kanne zum Boden hin verjüngt. Als zweites herausragendes Merkmal kommt für **Kat. 2520** die fein geglättete Gefäßoberfläche hinzu, die sonst von den Alltagswaren und Grauen Waren des 7. Jahrhunderts bekannt ist. Im Zusammenhang mit der form- und dekortypologischen Negativvidenz beider hier vertretenen Gefäßtypen in den Agora-Befunden ergeben sich für **Kat. 2448** und **Kat. 2520** zwei Erklärungsmodelle, die durchaus auch parallel zueinander gelten können. Einerseits ist die Möglichkeit einer zu der Agora-Siedlung früheren Datierung der beiden Kochtöpfe noch vor dem zweiten Viertel des 7. Jahrhunderts in Betracht zu ziehen. Die Fundumstände zumindest von **Kat. 2520** im Suchgraben VIII, in dem eine Reihe noch deutlich spätgeometrischer Gefäße vergesellschaftet war, kann als zusätzliches Indiz für eine Datierung noch in geometrische Zeit dienen. Ein zweites Erklärungsmodell, das aufgrund der petrografischen Daten als gesichert gelten kann, besteht darin, die beiden Kochtöpfe als Importgefäße aus dem nördlichen Ionien anzusprechen. Die stark mit vulkanischen Partikeln versetzten Fabrikate beider Kochtöpfe **Kat. 2448** und **Kat. 2520** sind in der petrografischen Analyse jedenfalls deutlich von den vornehmlich lokal hergestellten Küchenwaren abzugrenzen, welche das Repertoire der Agora-Siedlung prägen (s. o. Kap. 1.B.3.7.2d und u. Kap. 4.C).

Das Randfragment **Kat. 2521** gehört zu einer Kochplatte (s. o. Kap. 1.B.3.7.2f). Die durch seichte Rillen betonte Einziehung unter dem breiten Rand ist ein Detail, das von den verwandten Kochplatten aus den Horizonten der AG Phase IIIb und der AG Phase IV allerdings nicht bekannt ist, und auch das Fabrikat von **Kat. 2521** unterscheidet sich mit seinen vulkanischen Einschlüssen wiederum deutlich von den Küchenwaren aus der archaischen Siedlung unter der Tetragonos Agora (s. u. Kap. 4.C).

Damit ergibt sich für die Küchenwaren aus dem Bereich des Nordwestabhangs des Panayırdağ ein auffällig von der archaischen Agora-Siedlung abweichendes Muster (s. u. Kap. 2.B.3), wengleich die drei diagnostischen Fragmente **Kat. 2448**, **Kat. 2520** und **Kat. 2521** als nur bedingt repräsentativ gelten können. Um den gewonnenen Eindruck abzusichern, wurden drei weitere, beliebig gewählte Wandfragmente aus unterschiedlichen Suchschnitten¹³⁰⁰, für die keine Zusammengehörigkeit zu erwarten war, in die petrografische Analyse miteinbezogen. Dabei zeigte sich, dass diese drei Kochgefäße ebenfalls derselben von vulkanischen Einschlüssen geprägten, petrografischen Gruppe wie **Kat. 2448** angehören (s. u. Kap. 4.C).

2.B.2.8 SPEICHERGEFÄSSE

Bei dem dickwandigen Schulterfragment **Kat. 2425** handelt es sich um einen großen und bemalten Pithos. Die mit einem hellen Malgrund versehene Schulter ist von einem breiten Firnisband begrenzt, die Dekorzone schmückt ein hoher Zungenfries. Die Bemalung stellt den Pithos **Kat. 2425** in die orientalisierende Dekortradition und belegt deren Anwendung auch auf Gefäßformen jenseits des feinkeramischen Tafelrepertoires. Die Pithoi gehören als große Speichergefäße zu dem typischen Inventar archaischer Haushalte, für die ein dekoratives Gestaltungswollen bereits mit den beiden Pithoi **Kat. 941** und **Kat. 1727** aus der archaischen Siedlung unter der Tetragonos Agora belegt ist, die dort allerdings mit plastischen Zierleisten versehen sind. Im Falle von **Kat. 2425** wurde zur gefälligeren Gestaltung auf die zeitgenössische Bemalung zurückgegriffen. Die petrografischen Analysen machen für **Kat. 2425** eine Herkunft aus dem nördlichen Ionien wahrscheinlich (s. u. Kap. 4.C).

¹²⁹⁹ Vgl. Sparkes – Talcott 1970, 354 Nr. 1688; Donati 2013, 31 Nr. 22 Abb. 6 e.

¹³⁰⁰ Inv. EΦ.KG.26.II/III.65. EΦ.KG.26.VI.38. EΦ.KG.26.VII.22.

2.B.2.9 LAMPEN

Die beiden Lampen aus den Suchgräben der 1920er Jahre stellen zwei unterschiedliche Typen vor.

Die kleine, unbemalte Ganzform **Kat. 2345** weist mit dem über dem flachen Boden konisch einziehenden Lampenkörper und dem rund verjüngten Rand die charakteristischen Merkmale jener Lampen auf, die im späten 7. und im 6. Jahrhundert vor allem aus nordionischen Fundorten bekannt sind¹³⁰¹; im südlichen Ionien ist der Typ bislang nur in Didyma nachgewiesen¹³⁰². In den archaischen Siedlungsbefunden unter der Tetragonos Agora sind mit **Kat. 1208** und **Kat. 1581** Vertreter des Typs in Horizonten der AG Phase IV vergesellschaftet.

Das Randfragment **Kat. 2327** lässt sich zu einer Knickschulterlampe mit steilgeradem Lampenkörper und nach innen umgebogenem Flachrand ergänzen; als zugehörige Ganzform sind sowohl Stocklampen als auch Lampen mit geradem Boden möglich. Mit **Kat. 2327** vergleichbare Lampen werden ab dem fortgeschrittenen 6. Jahrhundert eingeordnet¹³⁰³ und sind daher in der Agora-Siedlung noch nicht anzutreffen. Die beiden verwandten Lampen aus den Befunden im Theater, **Kat. 2041** und **Kat. 2104**, zeichnen sich anders als **Kat. 2327** durch einen kantigeren Randumbruch aus.

2.B.2.10 KERAMISCHE SONDERFORMEN

Die keramischen Sonderformen beschränken sich auf die beiden Spinnwirtel **Kat. 2374** und **Kat. 2375**. Bei **Kat. 2374** handelt es sich um den Typus des konischen Spinnwirtels, der in den archaischen Siedlungsbefunden mit **Kat. 1236** sowie mit **Kat. 1435** erstmals in den Horizonten der AG Phase IV nachweisbar ist und außerdem eine unmittelbare Entsprechung in einem aus dem Artemision publizierten Stück findet¹³⁰⁴. Der kleine, zylindrische Spinnwirtel **Kat. 2375** findet seine nächste formtypologische Parallele in einem Exemplar aus Tell Sukas, das über seine Inschrift in das 6. Jahrhundert datiert wird¹³⁰⁵.

2.B.2.11 KERAMIK LYDISCHEN TYPUS AUS DEN GRABUNGEN VON JOSEF KEIL¹³⁰⁶ (*M. Kerschner*)

In diesem Abschnitt werden Gattungen behandelt, die in Lydien beheimatet sind, darüber hinaus aber auch in Teilen der Aiolis und Ioniens vorkommen und dort an manchen Orten ebenfalls produziert werden (Abb. 39. 41). Eine pauschale Zuordnung entweder zur lydischen oder zur ostgriechischen Keramikproduktion ist bei diesen Gattungen nicht möglich. Die Herkunft einzelner Stücke ist meist mit typologischen und stilistischen Kriterien allein nicht zu bestimmen. Archäometrische Untersuchungen zeigen, dass bestimmte Gefäßtypen sowohl in Sardeis als auch in einigen ostgriechischen Poleis hergestellt wurden (Abb. 41). Wir haben es also mit keramischen Gattungen zu tun, die für das Keramikspektrum des lydischen Kernlandes in archaischer Zeit typisch sind, aber ebenso Facetten der materiellen Kultur der Aiolis und Ioniens darstellen¹³⁰⁷.

¹³⁰¹ Dazu Kinch 1914, Nr. 5. 10 Taf. 27; Howland 1958, 10 f. Nr. 8–19 Taf. 1; Akurgal 1983, Taf. D; Koparal – İplikçi 2004, 224 Abb. 6 b; Dupont 2005b, Nr. 11. 12 Abb. 65. Vgl. zu Gravisca auch Galli 2004, 69 Nr. 120 Taf. 8.

¹³⁰² s. dazu Schattner 2007, Nr. LaA1 1 Abb. 114.

¹³⁰³ Howland 1958, 43 Nr. 147 Taf. 5; 50 Nr. 180 Taf. 6; Scheibler 1976, Nr. 21 Taf. 8 (ähnlich); Long u. a. 1992, 217 Nr. 2 Abb. 36; Galli 2004, 53 Nr. 74. 76 Taf. 5; Jantzen 2004, 16 Nr. 19 Taf. 2; Čistov 2005, 102 Nr. 173. 174; Kerschner 2008a, 73 f. Nr. 72 Taf. 18; Lejpunskaja u. a. 2010, 425 f. Nr. O3 Taf. 318.

¹³⁰⁴ Vgl. Brein 1978a, 131 Abb. 30 Taf. 45.

¹³⁰⁵ Vgl. dazu Ploug 1973, 90 Nr. 424 Taf. 19 f.

¹³⁰⁶ Für wichtige Hinweise und weiterführende Diskussionen danke ich N. Cahill (Madison, Wisconsin), G. Gürtekin-Demir (Izmir) und U. Schlotzhauer (Berlin). A. von Miller verdanke ich zahlreiche Informationen, kritische Kommentare und praktische Hilfe. Die Grundlagen zur Erforschung der lydischen Keramik legte C. H. Greenewald, Jr. (†). Den Gesprächen mit ihm, der stets offen war, sein immenses Wissen zu teilen, verdankt dieser Beitrag mehr, als im Einzelnen dargelegt werden kann.

¹³⁰⁷ Vgl. zur Problematik: Kerschner 2005a, 131–141; Paspalas 2009; Kerschner 2010a, 252–257.

2.B.2.11.1 Ovoides Kotylen

2.B.2.11.1a Name und Form

Unter den Keramikfunden lydischen Typs aus den Grabungen in archaischen Siedlungskontexten in Ephesos überwiegen ovoide Kotylen, deren Form und Dekortyp unter den Keramikfunden aus Sardeis enge Parallelen finden. Die ovoide Kotyle ist dort in der archaischen Epoche das beliebteste Trinkgefäß¹³⁰⁸. Weit verbreitet ist sie auch in der Aiolis (Pitane, Larisa), während sie in manchen ionischen Poleis (Smyrna, Ephesos, Samos) zwar vorkommt, jedoch quantitativ hinter anderen Trinkgefäßen zurücksteht¹³⁰⁹. Da die Form in ihrer Verbreitung ethnische und sprachliche Grenzen überschreitet und sowohl in Lydien als auch in der Aiolis und in Ionien auftritt, kann sie weder als rein ostgriechische noch als rein lydische Form bezeichnet werden¹³¹⁰. Das gilt unabhängig davon, in welcher der beiden Regionen sie zuerst auftrat, da sie in beiden in das Gefäßrepertoire aufgenommen wurde und lokale Ausprägungen hervorbrachte. Aus diesem Grund ist eine neutrale Bezeichnung vorzuziehen, die sich auf formale Kriterien bezieht.

In der Forschung wird die lydische Variante der Kotyle meist als Skyphos bezeichnet¹³¹¹. Da der Terminus Skyphos jedoch nur unscharf definiert ist und in der Praxis als Sammelname für unterschiedliche Formen von Trinkschalen verwendet wird¹³¹², folge ich hier J. M. Cook, der diesen Gefäßtyp als »East Greek or Lydian kotyle of ballon form« bezeichnet, und nenne ihn »ovoide Kotyle«¹³¹³. Bestimmende Formmerkmale einer Kotyle sind ein tiefer Gefäßkörper, eine steile Wandung, ein gerader Rand mit spitz zulaufender Lippe sowie zwei direkt am Rand ansetzende horizontale Stabhenkel¹³¹⁴. Diese grundlegenden Merkmale teilt die hier behandelte Gattung in der zweiten Hälfte des 7. Jahrhunderts mit den gleichzeitigen Kotylen aus korinthischer Produktion, in ihrer entwickelten Form des 6. Jahrhunderts v. Chr. weicht sie von diesen jedoch in drei signifikanten Punkten ab:

1. der Fuß ist höher ausgebildet, entweder als hoher, konischer Standring (**Kat. 2193. Kat. 2435** und **ART 82/059.1** Abb. 40)¹³¹⁵ oder als Kegelfuß¹³¹⁶
2. die Wandung ist stärker gewölbt
3. der Rand neigt sich etwas nach innen (**Kat. 2351. Kat. 2434**).

Daraus ergibt sich eine ovoide Grundform, die als signifikantes Attribut in den Namen aufgenommen wurde¹³¹⁷.

¹³⁰⁸ Greenewalt 2010a, 108; Greenewalt 2010c, 128.

¹³⁰⁹ Kotylen mit einschwingendem wie auch mit geradem Rand fanden sich auch in Didyma: Schattner 2007, 413–415 Abb. 113. 114 (als »Näpfe« bezeichnet). Keines der kontextuell in das 7.–6. Jh. v. Chr. datierten Stücke (Nr. NaE1. NaE2. NaE4. NaE5) stimmt jedoch in der Kombination von Profil und Dekor mit den ephesischen Funden überein.

¹³¹⁰ Vgl. bereits Cook 1985, 28 (»East Greek or Lydian kotyle of ballon form«). Anders noch: Kerschner 2007, 234 f. Abb. 1. 2 Taf. 33 (Lydisierende Kotylen).

¹³¹¹ z. B. Butler 1914, 433; Boehlau – Schefold 1942, 172 f.; Young 1953, 164; Greenewalt 1971, 156 f.; Greenewalt 1978b, 15 f.; Stähler 1984, 370 f.; Schaus 1992, 170–172. 175; Gürtekin-Demir 2007, 52. 54. 71; Cahill 2010e, 485; Greenewalt 2010a, 109; Ratté 2011, 73. 76 f. 80 f. 90. 98. 125. Hingegen: Cook 1958/1959, 29 (»Lydian cup«); Hanfmann 1983b, 79 (»cup«); Paspalas 2009, 348–351 Abb. 1. 2. 5 (»Lydian cup or skyphos«).

¹³¹² Vgl. u. a. Richter 1935, 26–28; Sparkes – Talcott 1970, 81–87; Sparkes 1991, 82. 86; Schlotzhauer 2014, 9. Grundsätzlich zur Problematik der Gefäßbenennungen: Sparkes – Talcott 1970, 3–9; Boardman 1998a, 11 (»we have to learn to accept that archaeologists call a shape a kotyle when it first appears, and a skyphos two centuries later; and a skyphos a cup or kylix two centuries later.«).

¹³¹³ Cook 1985, 28; ebenso Furtwängler 1980, 161 (»kotylai«). Vgl. Boardman 2002, 10 Abb. 2: »The commonest Lydian cup type is generally called a skyphos and superficially resembles the Corinthian skyphos (which started life in archaeological parlance as a kotyle).«

¹³¹⁴ Richter 1935, 26–28; Pemberton 1989, 25–28; Sparkes 1991, 82; Boardman 1998a, 49.

¹³¹⁵ z. B. Greenewalt 2010a, 109. 113 Abb. 6 (oben rechts); 441 Nr. 40.

¹³¹⁶ z. B. Paspalas 2009, 349 Abb. 1. 2; Greenewalt 2010a, 109. 113 Abb. 6 (untere Reihe); 468–470 Nr. 77–80.

¹³¹⁷ Vgl. Cook 1985, 28 (»ballon form«).

2.B. 2.11.1b Die Entwicklung der ovoïden Kotylen anhand datierter Fundkontexte

Die Entwicklung und Variationsbreite der ovoïden Kotylen während des 6. Jahrhunderts v. Chr. ist durch zahlreiche Grab- und Schichtkontexte aus Sardeis gut belegt. Die Anfänge dieser Gefäßform im 7. Jahrhundert v. Chr. sind hingegen schwerer zu fassen¹³¹⁸. N. Cahill verdanke ich die Mitteilung, dass im ›Lydian level II‹ des Wohnquartiers ›House of Bronzes‹ zahlreiche Kotylen gefunden wurden¹³¹⁹. Nach dem heutigen Stand der Forschung wird diese Siedlungsphase in die zweite Hälfte des 7. Jahrhunderts v. Chr. datiert¹³²⁰.

Diesen Datierungsansatz bestätigt die stilistische Analyse einiger Einzelstücke. Ein zur Hälfte erhaltenes Exemplar aus dem Grabungsabschnitt ›Pactolus Cliff‹¹³²¹ hält sich in Form und Bemalung so eng an protokorinthische Vorbilder, dass es als Imitation bezeichnet werden kann¹³²². Solche Imitationen protokorinthischer Kotylen, aber auch freiere Übernahmen einzelner Form- und Dekorelemente finden sich ebenso an mehreren Orten in Ionien¹³²³.

Die spätprotokorinthische Kotylenform wird von einem vollständig erhaltenen Stück aufgenommen, einem besonders qualitätvollen Vertreter der Ephesischen Ware¹³²⁴. Wie bei den spätprotokorinthischen Beispielen ist der Standring niedrig und kantig profiliert, die Wandung steil; der Rand ist gerade, jedoch – abweichend von der korinthischen Form – deutlich nach innen gebogen. Vom Protokorinthischen inspiriert ist auch der Strahlenkranz, allerdings reichen die Strahlen hier höher hinauf und sind als Kontur gemalt, ohne Füllung. Rein lydisch sind die Maltechnik mit zwei Farben – Rotbraun und ein mattes Dunkelbraun – auf weißem Überzug¹³²⁵ sowie die präzise ausgeführten Quadratbänder, deren Motive aus dem bekannten Repertoire der Ephesischen Ware schöpfen¹³²⁶. Diese Kotyle stammt aus dem reich ausgestatteten Grab 23a am Osthang des ›Necropolis Hill‹, das vermutlich nur eine einzige Bestattung enthielt, der insgesamt 53 Gefäße beigegeben worden waren, die einen Entstehungszeitraum von 40–75 Jahren umfassen¹³²⁷. Die jüngsten davon stammen aus der Mitte des 6. Jahrhunderts v. Chr. Die Kotyle der Ephesischen Ware zählt zu den stilistisch ältesten Stücken. C. H. Greenewalt schlägt eine Datierung »about the end of the 7th century« vor¹³²⁸. Angesichts der großen Nähe zu spätprotokorinthischen Kotylen ist auch eine höhere Datierung – in das dritte Viertel des 7. Jahrhunderts

¹³¹⁸ Vgl. Paspalas 2009, 347. 348. Zu einem wichtigen geschlossenen Kontext des 7. Jhs. v. Chr. vom Grabungsabschnitt ›Byzantine Fortress‹: Greenewalt 1993, 25 Abb. 7; Cahill 2010b, 82 f. Abb. 17–19. Schalen mit gerundetem Profil und geradem Rand sind bereits im früheisenzeitlichen Keramikspektrum von Sardeis vertreten – z. B. Ramage 1994a, 164. 171 Taf. 14, 5.4, vielleicht auch Taf. 14, 4.2 (beide Stücke ohne Profilzeichnung) –, doch fehlt bislang eine diachrone Sequenz und daher muss offenbleiben, ob diese lokale Tradition möglicherweise eine der Wurzeln der späteren ovoïden Kotylen darstellt.

¹³¹⁹ E-Mail von N. Cahill (18.8.2015). Vgl. Greenewalt 2010a, 113 Abb. 6 (›Local skyphoi with streaky-glaze decoration, from Sardis, seventh-sixth century BC‹).

¹³²⁰ Hanfmann – Ramage 1978, 3 (›Lydian level II, later seventh century‹) Abb. 4; A. Ramage in: Hanfmann 1983a, 26 Tab. 2 (›Lydian II 650–600 BC‹) 29–31. Architektur, Stratigrafie und Keramikfunde des Grabungsareals ›House of Bronzes‹ (HoB) werden derzeit zur Publikation vorbereitet.

¹³²¹ Ramage 1994b, 174. 182 Taf. 15, 5.4.

¹³²² Vgl. Weinberg 1943, 43 Nr. 139 Taf. 18 (2.–3. Viertel 7. Jh. v. Chr.); Dumbabin 1962, 51–53 Nr. 374. 378–380 Taf. 19, 378; Stillwell – Benson 1984, 261 Nr. 1442 Taf. 60.

¹³²³ z. B. Anderson 1958/1959, 142 Nr. 54–57 Taf. 22 (Smyrna); Walter – Vierneisel 1959, 19 Abb. 2 Beil. 33 (Samos); von Graeve 1973/1974, 110 f. Nr. 136–138 Taf. 3 (Milet). Vgl. o. Kap. 1.B.3.1.2a sowie zusammenfassend: von Miller 2016.

¹³²⁴ New York, The Metropolitan Museum of Art Inv. 16.75.14: Richter 1980, 314. 316 Abb. 433; Greenewalt 1973, 113; Greenewalt 1984–1997, 196. 218 Abb. 4 links unten; Greenewalt 2010a, 122 Anm. 5 (›A near-complete skyphos from Sardis [grave no. 23a], now Metropolitan Museum of Art, New York, probably should be classed as Ephesian Ware [not dissociated from it, as indicated in Greenewalt 1973, 113]‹).

¹³²⁵ Vgl. Greenewalt 1973, 108 f. 111; Greenewalt 1978a, 39 f.

¹³²⁶ Greenewalt 1973, 110 Taf. 1, 2.

¹³²⁷ Zu dem Grabkontext: Greenewalt 1984–1997, 195–197. 218 Abb. 4; zu der Datierung bes. 196. Die Art der Deponierung spricht für eine einmalige Bestattung. Zu den Beigaben zählte auch ein in lydischem Tierfriesstil bemaltes Gefäß in Bootsform: Greenewalt 2010a, 108 f. Abb. 2.

¹³²⁸ Greenewalt 1984–1997, 196.

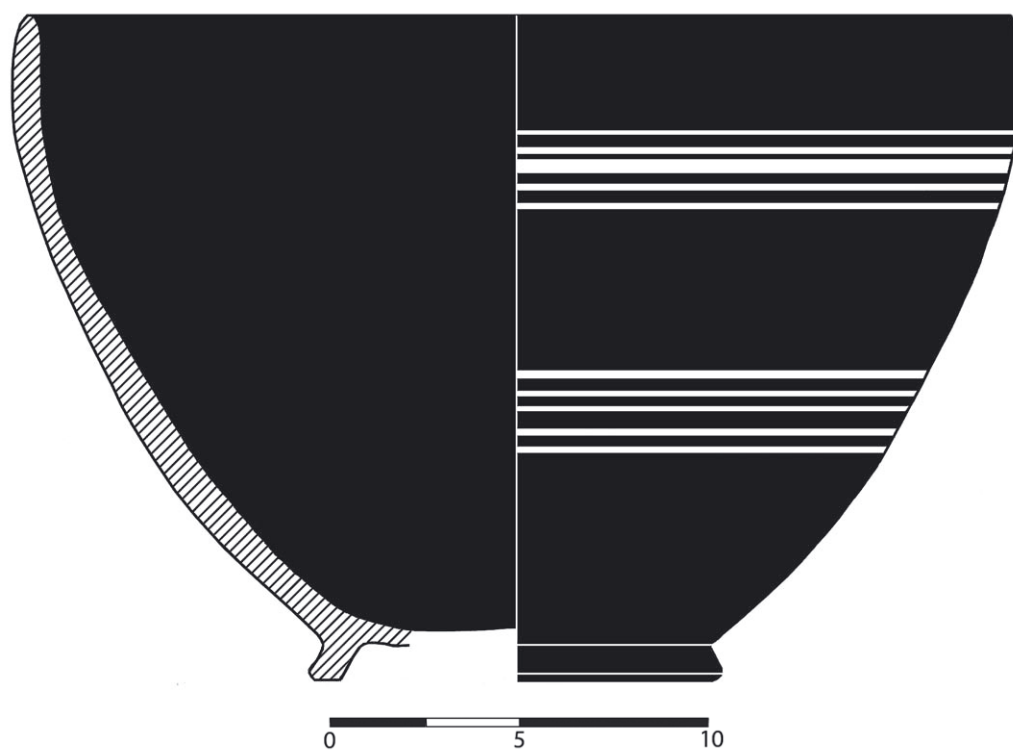


Abb. 39 Kotyle aus dem Artemision von Ephesos ART 93/449.1



Abb. 40 Ovoides Kotyle aus dem Artemision von Ephesos ART 82/059.1

v. Chr. – denkbar. Dieser Zeitraum wird auch durch eine weitere Grabbeigabe, eine Knickrand-schale des Typs 8.1, erschlossen¹³²⁹.

Eine weitere Kotyle aus den Grabungen von H. C. Butler in den Nekropolen von Sardeis lässt sowohl in der Form als auch im Dekorsystem ebenfalls deutliche Anklänge an protokorinthische Vorbilder erkennen¹³³⁰. An den Dekor der protokorinthischen Kotylen erinnern – so wie auf dem oben besprochenen Exemplar der Ephesischen Ware – nicht nur der Strahlenkranz, sondern auch die vielen eng gesetzten, feinen Reifen in der Gefäßmitte. Die einzelnen Strahlen sind in spezifisch lydischer Weise ausgeführt, nämlich sehr breit im Ansatz und mit ausgesparter Mittellinie¹³³¹. Eine eigenständige Schöpfung ist die Kombination des korinthischen Dekorschemas des unteren Gefäßteils mit einem Tierfries ionischer Art in der Henkelzone. Die weidenden Wildziegen sind ihrem Stil nach deutlich vor der Spätstufe des lydischen Tierfriesstils, dem sog. Sardis Style¹³³², anzusetzen; sie entstammen sicher noch der zweiten Hälfte des 7. Jahrhunderts v. Chr. Dafür sprechen technische Merkmale wie das Fehlen eines Überzugs und von Deckrot, aber auch stilistische wie die weitgehende Beschränkung der Füllornamente auf zarte Punktmuster und die mit der Kammbürste gesetzte Punktreihe über der linken Wildziege. Das hängende Fülldreieck, das die beiden Wildziegen trennt, taucht im südionischen Tierfriesstil am Ende der Periode SiA Ib auf¹³³³, woraus sich für die Tierfrieskotyle aus Sardeis ein *terminus post quem* von ca. 640/630 v. Chr. ableiten lässt. Formal steht dieses Gefäß den ovoiden Kotylen des 6. Jahrhunderts näher als das oben besprochene Exemplar der Ephesischen Ware: es ist breiter proportioniert, die Wandung ist stärker gewölbt und der Standring höher. Allerdings ist der Rand steiler.

In Profil und Proportionen eng verwandt, mit etwas niedrigerem Standring, ist eine Kotyle (**ART 93/449.1** Abb. 39) aus dem Artemision von Ephesos¹³³⁴. Das zur Hälfte erhaltene Exemplar stammt aus einem Fundkontext, der mehrere Knickrand-schalen der Typen 5/6 und 8 enthielt und daher in die Mitte/zweite Hälfte des 7. Jahrhunderts v. Chr. datiert werden kann¹³³⁵. Die archäo-metrische Analyse mittels Neutronenaktivierung durch H. Mommsen in Bonn ergab, dass es sich um ein Erzeugnis aus Samos handelt¹³³⁶. Das Stück zählt damit zu den späten ostgriechischen Imitationen korinthischer Kotylen, denen ihre Form genau folgt (s. o. Kap. 1.B.3.1.2a). Im Dekor, der den intendiert streifigen Firnisauftrag mit weißen Reifen kombiniert (s. u. Dekortyp [b1]), weist sie jedoch nach Sardeis, wo die ›White banded Streaky ware‹ eine charakteristische Gattung der archaischen Keramikproduktion ist. Die Technik der Malerei in Deckweiß auf dunklen Firnisgrund ist zwar auf Samos sowie auch in anderen ionischen Töpferzentren (Milet, Chios, Ephesos) im 7. Jahrhundert v. Chr. geläufig¹³³⁷, die spezifische Verbindung mit der ›Streaky ware‹ ist in Ionien hingegen selten und entwickelt hier keine eigene Tradition, weshalb darin eine Inspiration durch lydische Vorbilder angenommen werden kann.

Charakteristisch für die wenigen bisher aus Lydien bekannten Kotylen des 7. Jahrhunderts v. Chr. sind ein tiefer Gefäßkörper mit straffem Profil, ein gerader oder nur leicht einschwin-gender Rand sowie ein niedriger Standring, wie sie für protokorinthische Kotylen bezeichnend sind. Aufgrund der großen formalen Ähnlichkeit ist es sehr wahrscheinlich, dass sich

¹³²⁹ Greenewalt 1984–1997, 203 Anm. 14. Zu den Knickrand-schalen des Typs 8.1: s. o. Kap. 1.B.3.1.6d. Zur Datie-rung: Schlotzhauer 2014, 317–328 (Laufzeit ca. 660/650–ca. 600/590 v. Chr.).

¹³³⁰ New York, The Metropolitan Museum of Art Inv. 16.75.12.

¹³³¹ Vgl. Greenewalt 1971.

¹³³² Grundlegend: Greenewalt 1970; vgl. Greenewalt 2010a, 114 Abb. 16. 17.

¹³³³ Vgl. Kerschner – Schlotzhauer 2005, 24.

¹³³⁴ Kerschner 2007, 235 Abb. 1 Taf. 33.

¹³³⁵ Zur Datierung der Knickrand-schalen Typ 5, 6 und 8: Schlotzhauer 2014, 295–327.

¹³³⁶ **ART 93/449.1** = ProbenNr. Ephe 218, Abb. 39. Ebenfalls samischer Herkunft ist eine zweite Kotyle der ›Streaky ware‹, die im Artemision gefunden wurde (Inv. ART 93/443.4 = ProbenNr. Ephe 217). Zur Lokalisierung der Herkunftsgruppe J: Kerschner – Mommsen 2004–2006, 84 f. Abb. 1. 3; vgl. Schlotzhauer 2012.

¹³³⁷ Zur ›White-on-black‹-Technik in Ionien: Kerschner 1999, 18 (mit Beispielen aus Milet, Samos, Chios und Ephe-sos.). Weitere Beispiele aus Samos: Eilmann 1933, 126 Abb. 71 Beil. 35, 14; Walter 1968, 52. 57 Taf. 60, 357; 81, 445; Furtwängler 1980, 170. 202 Nr. I/29 Abb. 13 Taf. 45.

die lydischen Töpfer an protokorinthischen Modellen inspirierten, die nach Sardeis importiert worden waren¹³³⁸.

Die nächst jüngeren aus Sardeis bekannten Beispiele zeigen dann jene Merkmale, die für die umfangreiche Produktion des 6. Jahrhunderts v. Chr. charakteristisch sind: der Gefäßkörper ist nun tiefer, der Standring entweder hoch und konisch (**Kat. 2193. Kat. 2435**) oder durch einen Kegelfuß ersetzt. In der Bemalung ist nun ein breites Spektrum an Dekortypen vertreten¹³³⁹:

- a) beidseitig gefirnisst mit einem tongrundigen Henkelband an der Außenseite (**Kat. 2191. Kat. 2351. Kat. 2387. Kat. 2388 und Kat. 2434**)¹³⁴⁰
- b) beidseitig durchgehend gefirnisst, in der Regel in streifigem Auftrag (›Streaky ware‹), darauf beidseitig Reifen in Deckweiß (**Kat. 2390. Kat. 2391 und ART 93/449.1** Abb. 39)¹³⁴¹. Zumeist ist die Außenseite vollständig gefirnisst (b1), doch kann, wie bei (a), außen ein Henkelband ausgespart sein (b2)¹³⁴².
- c) außen marmoriert, innen marmoriert (c1) oder gefirnisst (c2)¹³⁴³
- d) innen gefirnisst, außen hellgrundig, darauf Firnisreifen in unterschiedlicher Anordnung. Die häufigste Variante (d1) trägt außen einen weißen Überzug (**Kat. 2433 und ART 82/059.1** Abb. 40). Daneben gibt es die tongrundige Variante (d2). Variante (d3) bezeichnet die Kombination der weiß überzogenen Außenseite von (d1) mit der marmorierten Innenseite von (c)¹³⁴⁴.
- e) innen gefirnisst, außen im späten lydischen Tierfriesstil – ›Sardis Style‹ und im nachfolgenden ›Early Fikellura‹ (auch ›HoB Ware‹) – bemalt¹³⁴⁵.

Trotz dieser Neuerungen in Form und Dekor spricht vieles dafür, dass die jüngeren Kotylen sich unmittelbar von Kotylen der zweiten Hälfte des 7. Jahrhunderts v. Chr. ableiten, die sich noch stärker an protokorinthischen Vorbildern orientierten. Denn erstens ist davon auszugehen, dass die vollentwickelten Typen des 6. Jahrhunderts v. Chr. Vorstufen besaßen. Zweitens ist der entscheidende Unterschied, in dem das Profil des Stücks der Ephesischen Ware vom protokorinthischen Muster abweicht, eben genau der einschwingende Rand, der im 6. Jahrhundert charakteristisch für die lydische Kotylenform wird. Damit ist die spätere Formentwicklung bereits vorgezeichnet. Und drittens gibt es auch Verbindungen in der Bemalung. Die häufigste Dekorvariante (a) – beidseitig gefirnisst mit einem ausgesparten Henkelband – ist auch unter spätprotokorinthischen und frühkorinthischen Kotylen der zweiten Hälfte des 7. Jahrhunderts v. Chr. belegt¹³⁴⁶. Die auf Samos hergestellten korinthisierenden Kotylen übernehmen diesen

¹³³⁸ Schaeffer u. a. 1997, 7–15.

¹³³⁹ Kotylen verwandter Form, allerdings mit abweichender Dekoration, finden sich in Gordion: Schaus 1992, 170–172 Nr. 45–55 Abb. 4 Taf. 37. 38 (›West Anatolian lined ware‹). Diese Gattung ist jedoch weder im lydischen Kernland noch in Ionien oder der Aiolis vertreten (diese Auskunft verdanke ich G. Gürtekin-Demir, Izmir).

¹³⁴⁰ z. B. Greenewalt 2010b, 113 Abb. 6 rechts oben; 441 Nr. 40.

¹³⁴¹ z. B. Greenewalt 2010b, 113 Abb. 6 (untere Reihe). Zur Technik: Boehlau 1898, 145; Butler 1914, 433 f.; Greenewalt 2009, 195. 203 Abb. 12; Paspalas 1999; Greenewalt 2010b, 112 Abb. 5. 6.

¹³⁴² Greenewalt 2010a, 113 Abb. 6 (untere Reihe Mitte); Cahill 2010d, 468 Nr. 77; 469 Nr. 78.

¹³⁴³ z. B. Ramage 1994b, 174. 183 Taf. 15.6.3; Greenewalt u. a. 1996, 17 Abb. 15; Kerschner 2005a, 136 f. Taf. 10, 6; Paspalas 2009, 348 f. Abb. 1; Greenewalt 2010a, 112. 115 Abb. 11. Zur Technik der Marmorierung: Boehlau 1898, 145; Körte – Körte 1904, 188 f. Abb. 61–64; Butler 1914, 435 Abb. 8; Rumpf 1920, 163; Chase 1921, 114 f. Abb. 2; Boehlau – Schefold 1942, 172 f. Taf. 58, 12. Grundlegend zur ›Marbled ware‹: Greenewalt 1966, 120–183.

¹³⁴⁴ z. B. McLaughlin 1985, 222–225 Abb. 38 (obere Reihe, 2. von links); Paspalas 2009, 349 Abb. 2 (innen marmoriert).

¹³⁴⁵ Greenewalt 1971, 156 f. Taf. 1, 1; 5–12; Greenewalt 1972, 118–120. 128–130 Nr. 4. 5 Taf. 4. 5; Schaus 1992, 174–177 Nr. 66–70 Abb. 5 Taf. 40; Greenewalt 2010c, 128. 133 Abb. 9; Greenewalt 2010e, 477 Nr. 91; Greenewalt 2010f, 516 Nr. 147; 517 Nr. 148. Zu den Stilen und ihrer Datierung: Greenewalt 1970; Greenewalt 1971; Schaus 1992, 174.

¹³⁴⁶ Pemberton 1989, 25 f. 80 Nr. 7. 8 Abb. 6 Taf. 4. Breiter proportioniert, doch mit gleichem Dekortyp: Stillwell – Benson 1984, 272 Nr. 1489 Taf. 62 (frühkorinthisch).

Dekortyp ebenfalls (s. o. Kap. 1.B.3.1.2a)¹³⁴⁷. Unter den ovoïden Kotylen des Dekortyps (d) gibt es solche, die sich an der Bemalung protokorinthischer Stücke orientieren (**Kat. 2433**)¹³⁴⁸: sie übernehmen das Dekorsystem – zuunterst ein Strahlenkranz, in der Mitte eine Vielzahl von Reifen und zuoberst, in der Henkelzone, lineare Motive zwischen rahmenden Gruppen mit Vertikalstrichen. Die lydischen Vasenmaler verändern jedoch die Proportionen und erzielen damit eine neue, eigene ästhetische Wirkung: der Strahlenkranz wird niedriger; die Reifen sind breiter und mit größeren Abständen platziert; in der Henkelzone wird der Dekor auf die rahmenden Strichgruppen reduziert, während das Mittelmotiv entfällt.

Diese Gründe legen die Annahme nahe, dass am Anfang der lydischen ovoïden Kotylen eine Inspiration durch protokorinthische Modelle steht, wie R. S. Young, C. H. Greenewalt und andere vorschlugen¹³⁴⁹. Dagegen wertete J. Boardman die Ähnlichkeit nur als »oberflächlich« und betonte stattdessen den Hauptunterschied im Profil, nämlich den einwärts schwingenden Rand¹³⁵⁰. Das trifft zu, wenn man die Entwicklung im frühen 6. Jahrhundert v. Chr. einsetzen lässt, als sich die Profile der lydischen und der korinthischen Kotylen bereits deutlich auseinander entwickelt hatten. In der zweiten Hälfte des 7. Jahrhunderts lagen die beiden Entwicklungsstränge jedoch noch näher beieinander. J. Boardman kann seinen Vorschlag, in der lydischen Kotyle »simply a version of the eastern hemispherical [cup], given handles and foot in the western manner« zu sehen¹³⁵¹, nicht durch unmittelbare, enge Vorbilder unter assyrischen oder anderen vorderorientalischen Schalen erhärten, die in gleicher Weise tief proportioniert wären. Denkbar ist jedoch, dass orientalische Metallschalen den Anstoß dazu gaben, dass lydische Töpfer das Profil ihrer Kotylen stärker wölbten und den Rand einwärts neigten.

Die oben besprochenen lydischen Kotylen aus der zweiten Hälfte des 7. Jahrhunderts v. Chr. können aufgrund ihres straffen Profils und geraden Randes, der sich noch stark an protokorinthischen Vorbildern orientiert, noch nicht als ovoïde Kotylen bezeichnet werden, wohl aber als deren Vorläufer. Erst durch die Veränderungen des ursprünglichen protokorinthischen Vorbildes entstand die neue und eigenständige Form der ovoïden Kotyle, die sich deutlich von der in Ionien entwickelten und vorherrschenden Variante der Kotyle unterscheidet, wie sie die nordionischen Vogelkotylen oder die samischen und ephesischen Zickzackmetopenkotylen vertreten (s. o. Kap. 1.B.3.1.2b). Diese ostgriechische Kotylenform, für die eine dicke Wandung und ein außen abgetreppter Randfalz charakteristisch sind, wird von sardischen Töpfern bemerkenswerterweise nicht aufgenommen, obgleich ionische und aiolische Elemente in der archaischen Keramik des lydischen Kernlandes durchaus bedeutend sind.

Ab dem Beginn des 6. Jahrhunderts v. Chr. setzt nun ein dichte Reihe geschlossener Kontexte mit ovoïden Kotylen aus Sardeis ein, die es erlauben, die weitere Entwicklung des Gefäßtyps und seiner Varianten detaillierter zu verfolgen.

Den frühesten kontextuellen Anhaltspunkt liefert der sog. Tumulus des Alyattes in der Nekropole von Bin Tepe nördlich von Sardeis, der im frühen 6. Jahrhundert v. Chr. entstand¹³⁵². In

¹³⁴⁷ Dazu Walter 1957, 41 Beil. 54, 2; Furtwängler 1980, 161. 200 Nr. 9 Abb. 12; 207 f. Nr. 1 Abb. 15. s. zusammenfassend auch von Miller 2016.

¹³⁴⁸ Weiterhin: Inv. P1287 = MMA 14.30.6a. McLauchlin 1985, 222–225 Abb. 38 (obere Reihe, 2. von links); Paspalas 2009, 349 Abb. 2 (Dekortyp [d3]). Vgl. Weinberg 1943, 43 Nr. 139 Taf. 18 (2.–3. Viertel 7. Jh. v. Chr.); Dunbabin 1962, 51–53 Nr. 374. 378–380 Taf. 19; Stillwell – Benson 1984, 261 Nr. 1442 Taf. 60.

¹³⁴⁹ Young 1953, 164; Greenewalt 1966, 131 f. 143; Greenewalt 1972, 128 mit Anm. 13; Greenewalt 1978b, 16; Ramage 1994b, 174; Greenewalt 2010a, 109 Abb. 6. Kritisch dazu: Paspalas 2009, 348, der vor allem die abweichenden Proportionen als Gegenargument anführt.

¹³⁵⁰ Boardman 2002, 10 Abb. 2 (»It is roughly the same shape, with ring base and loop handles, but much more rounded in profile, often closing perceptibly towards the lip. This is not the characteristic of Greek skyphoi/kotylai of the period, where a degree of narrowing at the lip only starts in the 5th century, and on slimmer shapes«); vgl. Paspalas 2009, 348 (»proportions can differ substantially«).

¹³⁵¹ Boardman 2002, 10; vgl. Paspalas 2009, 348.

¹³⁵² Zur Datierung des Tumulus: Ratté 2011, 48 f. 74 (»610–560«). Diese Datierung beruht auf der Identifizierung des Tumulus als Grabstätte des Alyattes (vgl. Hdt. 1, 93, 2), dessen Regierungszeit wiederum anhand der Angaben bei Herodot (1, 25, 1) in Kombination mit den Angaben zur Regentschaft seines Sohnes und Nachfolgers Kroisos (Hdt. 1, 86, 1) berechnet werden kann. Eine Unsicherheit ergibt sich allerdings dadurch, dass die Eroberung von

seiner Aufschüttung fanden sich einige Fragmente ovoider Kotylen¹³⁵³. Deren schlanke Gefäßform mit kräftig einschwingendem Rand und hohem Kegelfuß hat sich bereits deutlich von dem protokorinthischen Vorbild entfernt. Zwei Dekorarten lassen sich fassen: dunkler Firnisgrund mit Reifen in Deckweiß (b) und in Umkehrung weißer Überzug mit dunklen Firnisreifen (d1).

Fünf Fragmente ovoider Kotylen stammen aus der Aufschüttung des Karnıyarık Tepe in der Bin Tepe-Nekropole, der nach der Steinmetztechnik seiner Krepismauer und dem Keramikbefund von C. Ratté in die erste Hälfte des 6. Jahrhunderts v. Chr. datiert wurde¹³⁵⁴. Hier lässt sich erstmals der schlichte Dekortyp (a) nachweisen, bei dem aus der beidseitig gefirnissten Oberfläche außen ein breites Band ausgespart bleibt. Auf allen Kotylen vom Karnıyarık Tepe wurde der Glanzton intendiert streifig (›Streaky‹) aufgetragen. Kotylen vom Dekortyp (b) sind unter den Funden zwar nicht belegt, wohl aber die Technik von Deckweiß auf dunklem Firnisgrund, die auf einem geschlossenen Gefäß mit Spiralhaken für eine Punktreihe angewandt wurde¹³⁵⁵.

Einen wichtigen chronologischen Anhaltspunkt für die Entwicklung der lydischen, aber auch der ostägäischen Keramik liefern die Zerstörungsschichten, die mit der Eroberung von Sardeis durch den achaimenidischen König Kyros II. verbunden werden können. Die siegreichen persischen Truppen brandschatzten die Stadt, und die daraus resultierende massive Zerstörungsschicht konnte an verschiedenen Stellen im archäologischen Befund festgestellt werden¹³⁵⁶. Auch wenn sich der Sturz des letzten Mermandenherrschers Kroisos durch Kyros II. und die persische Eroberung der Hauptstadt des Lyderreiches nicht auf das Jahr genau datieren lassen, wie man lange Zeit glaubte, so lassen sich diese Ereignisse dennoch anhand der erhaltenen Quellen mit großer Wahrscheinlichkeit auf die Jahre zwischen 550 und 539 v. Chr. eingrenzen¹³⁵⁷. Damit stellt die Einnahme von Sardeis einen der wenigen historisch datierbaren archäologischen Befunde archaischer Zeit in der Ostägäis und Westanatolien dar (s. o. Kap. 1.B.1.1.2).

In den relevanten Kontexten fand sich eine große Anzahl ovoider Kotylen¹³⁵⁸. Die Kotylen der Dekortypen (b1) und (b2) sind breit proportioniert, mit deutlich einwärts schwingendem Rand und Kegelfuß¹³⁵⁹. Die horizontalen Stabhenkel können leicht schräg über den Rand hinaus weisen. Auch die ovoiden Kotylen der ›Marbled ware‹ (c)¹³⁶⁰ sowie manche des schlichten Dekortyps (a) ruhen auf einem Kegelfuß¹³⁶¹.

Sardeis durch Kyros II. und damit das Ende der Herrschaft des Kroisos nur ungefähr eingegrenzt werden kann (s. u. Anm. 1357). Kalaitzoglou 2008, 63. 65 schlägt als Regierungszeit des Alyattes, für die Herodot (1, 25, 1) 57 Jahren angibt, die Jahre 612–555 v. Chr. vor. Wallace 2016, 168–176 plädiert dagegen aufgrund der von Herodot angegebenen Synchronismen für einen früheren Regierungsantritt des Kroisos – der zugleich den vorausgegangen Tod des Alyattes bedingt – um 580 v. Chr. Zusammenfassend lässt sich feststellen, dass eine Entstehung des Tumulus in der 1. Hälfte des 6. Jhs. v. Chr. sehr wahrscheinlich, ein Baubeginn noch am Ende des 7. Jhs. v. Chr. möglich ist.

¹³⁵³ von Olfers 1858, Taf. 5, 1. 3. 4. 6; Ratté 2011, 73 Nr. 1–4. 6. 17 Abb. 34, 1. 3–4. 6; 38 a; 39 a.

¹³⁵⁴ Zu den Kotylen: Ratté 2011, 76 Nr. 4 Abb. 61 c; 62 c; 76 Nr. 14 Abb. 65 d; 66 d; 77 Nr. 22 Abb. 71 d; 72 d; 77 Nr. 23 Abb. 73 a; 74 a. Zur Datierung des Tumulus: Ratté 2011, 7. 50.

¹³⁵⁵ Ratté 2011, 77 Nr. 18 Abb. 69 b; 70 b.

¹³⁵⁶ Zusammenfassend: Cahill 2010c (mit Lit.). Weiterhin: Greenewalt 1995a, 394 f. 399–403 Abb. 3–8; Greenewalt 1996, 411. 417 Abb. 9; Greenewalt u. a. 1996, 11–21 Abb. 13–23; Greenewalt 2009, 194 f. Abb. 12–14; Cahill 2010b, 86–99; Cahill 2010e, 483–487; Greenewalt 2010c, 5 Abb. 5.

¹³⁵⁷ Cahill – Kroll 2005, 605–608; Cahill 2010c, 341–344 (jeweils mit ausführlicher Diskussion). Die Festlegung auf das Jahr 547/546 v. Chr., die in der Forschung lange Zeit als gesichert galt, wird nach einer revidierten Lesung der entscheidenden Quelle – der Tontafel mit der Chronik des babylonischen Königs Nabonid – durch Cargill 1977 zumeist bezweifelt, u. a. Kalaitzoglou 2008, 46–48; Rollinger 2008, 56; Stronach 2008, 151–153; Kerschner – Prochaska 2011, 107. Haider 2004, 86 f.; Rollinger 2008, 56 Anm. 23 halten – anders als Cahill – Kroll 2005, 605; Cahill 2010c, 344 – auch ein Datum nach der Eroberung Babylons durch Kyros 539 v. Chr. für möglich und sehen dessen Tod 530 v. Chr. als einzig sicheren *terminus ante quem* an. Nach einer Neulesung der Tontafel plädierte jedoch van der Spek 2014, 256 mit Anm. 184 wieder für eine Datierung der Eroberung von Sardeis im Jahr 547/546 v. Chr. Ihm folgt Wallace 2016, 178.

¹³⁵⁸ Cahill 2010e, 485 Abb. 12 (unterste Reihe); Greenewalt 2010c, 5 Abb. 5.

¹³⁵⁹ Greenewalt 2009, 195. 203 Abb. 12; Greenewalt 2010a, 113 Abb. 6; Cahill 2010d, 468–470 Nr. 77–80.

¹³⁶⁰ Greenewalt u. a. 1996, 17 Abb. 15; Greenewalt 2009, 195. 203 Abb. 12.

¹³⁶¹ Greenewalt 2010c, 5 Abb. 5 (mittlere Reihe).

Dass die ovoïden Kotylen der Dekortypen (a) und (b) im 6. Jahrhundert v. Chr. parallel weiterlaufen, belegt ein 1911 freigelegtes Grab in der Westnekropole¹³⁶². Die Kotylen des Dekortyps (a) sind deutlich kleiner und haben einen Ringfuß, der sich aber in seiner Höhe und konischen Form dem Kegelfuß des Dekortyps (b) annähert.

Das Kistengrab 61.2 am Indere in der Westnekropole enthielt zwei ovoïde Kotylen des späten lydischen Tierfriesstils mit antithetischen Fischen und einem Zug stilisierter Wasservögel über einem zweistöckigen Strahlenkranz¹³⁶³ sowie drei ovoïde Kotylen vom Dekortyp (a) mit streifig aufgetragenem Firnis¹³⁶⁴. Die Tierfrieskotylen verfügten ursprünglich über einen Kegelfuß¹³⁶⁵, während die gefirnissten Kotylen (a) auf einem hohen, konischen Standring ruhen. Die Formvarianten laufen also parallel und sind an die Art der Bemalung gebunden. Die Gesamtheit der Grabbeigaben – darunter eine Rosettenschale und eine tiefe Schale mit ausschwingendem Rand vermutlich ionischer Produktion – legt eine Datierung der Bestattung gegen 550 v. Chr.¹³⁶⁶ nahe.

Aus dem reich ausgestatteten Grab 720 (CC 9) in der ›Western Necropolis‹, das insgesamt »fifty or more« Gefäße enthielt¹³⁶⁷, stammen zwei ovoïde Kotylen auf hohem Kegelfuß, eine im Dekortyp (b)¹³⁶⁸, die andere im Dekortyp (d3)¹³⁶⁹, die sich demnach zeitlich überlappen. Der Kegelfuß der Kotyle mit weißem Überzug und Reifen (d3) ist zum Ansatz des Gefäßkörpers hingeschwungen. Anhand der attischen und lakonischen Importe kann das Grab in die Mitte des 6. Jahrhunderts v. Chr. datiert werden¹³⁷⁰.

In das zweite und dritte Viertel des 6. Jahrhunderts v. Chr. fällt eine Reihe von 26 gleichartigen Fundkomplexen aus den archaischen Wohn- und Gewerbevierteln in den Grabungsabschnitten ›Pactolus North‹ und ›House of Bronzes‹, die sich jeweils aus dem gleichen Set von Tongefäßen, einem Eisenmesser und dem Skelett eines jungen Hundes zusammensetzen¹³⁷¹. C. H. Greenewalt interpretierte diese standardisierten Sets als die intentionell deponierten Überreste ritueller Mahlzeiten zu Ehren des lydischen Gottes Kandaules, vielleicht auch der Hekate¹³⁷². Das Standardset besteht aus einer Kleeblattkanne, einer ovoïden Kotyle, einem Teller (mit Standring oder auf hohem Fuß) und einem Kochtopf oder Henkelkrug. Die Keramik ist anspruchslos, entweder undekoriert, teilweise gefirnisst oder in ›Black-on-red‹-Technik bemalt. Dem entspricht, dass fast alle ovoïde Kotylen dem schlichten Dekortyp (a) angehören, nur eine dem Dekortyp (b2)¹³⁷³. Die Proportionen variieren erheblich und reichen von einer schlanken, tiefen Form, wie sie bei gleichzeitigen Gefäßen des Dekortyps (b) bevorzugt wird, bis hin zu einer breiten mit weitem

¹³⁶² Butler 1922, 79 f. Abb. 75; Paspalas 2009, 350 f. Abb. 5.

¹³⁶³ Greenewalt 1972, 118–120 Nr. 4. 5 Taf. 4. 5; Baughan 2010, 299 Abb. 37 oben; Greenewalt 2010f, 516 Nr.147; 517 Nr. 148.

¹³⁶⁴ Greenewalt 1972, 120 f. Nr. 6–8 Taf. 6, 1.

¹³⁶⁵ Vgl. die Rekonstruktion: Greenewalt 2010f, 516 f.

¹³⁶⁶ Greenewalt 1972, 141–145 (›A reasonable period for the deposit, therefore, would seem to be ca. 575–540 B.C.«); Greenewalt 2010f, 516 (›The date of deposit is probably not much earlier than ca. 550 BC«). Zum Grabkontext: Greenewalt 1972, 116. 118–145 Taf. 1. 2. 4–10; Baughan 2010, 299 Abb. 37; Greenewalt 2010f, 516–521. Zu den nordionischen Rosettenschalen vgl. o. Kap. 1.B.3.1.4b sowie Boehlau 1898, 42 Nr. 8. 150 Taf. 8, 22; Kinch 1914, 146 f. Taf. 7, 2; Kerschner u. a. 2008, 36–38. 64 Nr. GrK 29 Taf. 11. 27. 43, 8; Schlotzhauer 2014, 18 Anm. 96.

¹³⁶⁷ Butler 1922, 118–121 Abb. 125. 126 (Gefäßauswahl); McLauchlin 1985, 222–225 Abb. 38 (Gefäßauswahl).

¹³⁶⁸ Butler 1922, 119 Abb. 125 (links).

¹³⁶⁹ Inv. P1287 = MMA 14.30.6a. McLauchlin 1985, 222–225 Abb. 38 (obere Reihe, 2. von links); Paspalas 2009, 349 Abb. 2.

¹³⁷⁰ McLauchlin 1985, 225. Schaeffer u. a. 1997, 122 Taf. 58 Nr. Att App. 5: attisch-schwarzfigurige Olpe, »ca. 560–540«; 124 Nr. Att App. 15 Taf. 59: attisch-schwarzfiguriger ›Skyphos of Klitomenes‹, »ca. 550«; 140 Nr. Lak App. 1 Taf. 66: lakonisch-schwarzfigurige Schale, Reiter-Maler, »ca. 565–525 v. Chr.«.

¹³⁷¹ Greenewalt 1978b, zur Datierung bes. 27–31; Greenewalt 2010b, 239–242 Abb. 17–19; Greenewalt 2010c, 125. 129 Abb. 4; Greenewalt 2010g, 441–445.

¹³⁷² Greenewalt 1978b, 31–55; Greenewalt 2010b, 238–240.

¹³⁷³ Greenewalt 1978b, 15 f. Taf. 17–28. 31; Dekortyp (b2): 70 Nr. cd20.3 Taf. 23, 3; 31 (links oben); Greenewalt 2010b, 241 f. Abb. 17–19; Greenewalt 2010g, 441–445.

Mündungsdurchmesser. Der Gesamtproportionierung folgt die Höhe des Standrings, die bei schlanken Kotylen mitunter fast an die Höhe eines Kegelfußes heranreichen kann¹³⁷⁴.

Mehrere ovoide Kotylen wurden in der *in situ* angetroffenen Zerstörungsschicht (›Burnt Deposit‹, auch ›Pithos Room Deposit‹) eines als Lager oder Laden genutzten Raumes südlich des Athenatempels in Smyrna freigelegt¹³⁷⁵. Die Datierung des Stratum in die Mitte des 6. Jahrhunderts v. Chr. beruht auf der Gesamtheit der Funde, zu denen nordionisch-schwarzfigurige¹³⁷⁶, attische¹³⁷⁷ und orientalisierende Gefäße zählen¹³⁷⁸. Dieser geschlossene Kontext einer *in situ*-Zerstörung ist für die Chronologie der spätarchaischen Keramik Nordioniens von großer Bedeutung. E. Akurgal, J. M. Cook und R. V. Nicholls schlugen vor, ihn mit der Eroberung der ionischen Poleis durch die persische Armee »c. 545 BC« zu verbinden¹³⁷⁹. Diese Hypothese leitet sich jedoch allein aus der Keramikdatierung ab, eindeutige Hinweise auf Kampfhandlungen oder gar auf eine Involvierung der persischen Armee gibt es nicht¹³⁸⁰. Ein Zusammenhang des ›Burnt Deposit‹ mit einem historischen Ereignis ist demnach nicht nachzuweisen. Die veröffentlichte Kotyle des Dekortyps (a) aus dem ›Burnt Deposit‹ hat einen breit proportionierten Gefäßkörper, der zum Rand hin kräftig einschwingt, und ruht auf einem hohen, konischen Standring¹³⁸¹.

Aus einem Wohnhauskontext der zweiten Hälfte des 6. Jahrhunderts v. Chr. in Smyrna stammt eine schlank proportionierte Kotyle des Dekortyps (b2) mit steilem Rand¹³⁸².

Ein Fragment einer ovoiden Kotyle des Dekortyps (a) mit kräftig einschwingendem Rand und schmalem, dunklem Lippenband stammt aus den Schichten unterhalb der Anschüttung des Dromos zum Kammergrab 77.1 in der Şeytan Deresi-Nekropole, das vermutlich in der zweiten Hälfte des 6. Jahrhunderts angelegt wurde¹³⁸³. Die Bauzeit stellt einen *terminus ante quem* für die Kotyle dar.

Eine ganz erhaltene ovoide Kotyle des Dekortyps (a) mit streifig aufgetragenem (›Streaky‹) Firnis aus dem Tumulus BT 63.2 der Bintepe Nekropole, der anhand der fünf beigegebenen Gefäße in die Mitte oder in die zweite Hälfte des 6. Jahrhunderts v. Chr. datiert wurde, weist einen breiten Gefäßkörper mit deutlich einziehendem Rand auf¹³⁸⁴.

Manche der im frühen 6. Jahrhundert v. Chr. nachgewiesenen Form- und Dekormerkmale lassen sich zumindest bis an das Jahrhundertende verfolgen. Der Rand einer Kotyle des Dekortyps (b2) aus dem Tumulus BT 62.4 in der Bintepe Nekropole, den C. Ratté anhand von Bautech-

¹³⁷⁴ Greenewalt 1978b, 70 Nr. cd 19.3 Taf. 23, 2; 31.

¹³⁷⁵ Publiziert wurde eines dieser Trinkgefäße: Cook 1958/1959, 29 Taf. 4 a rechts; Cook 1985, 28 Nr. f (›one of several found in the ›Pithos Room‹ deposit«). Da zumindest diese Kotyle nahezu vollständig erhalten ist, ist sie der letzten Nutzung unmittelbar vor dem Brand zuzurechnen. Ausführlich zum Fundkontext und seiner Datierung: Cook 1985, 26–28 (›Pithos Room Deposit‹); Cook – Nicholls 1998, 29 f. 165–170, bes. 169 f. Abb. 28. 34 Taf. 24 (›Burnt Deposit‹).

¹³⁷⁶ Cook 1965, 117. 120 Nr. 15. 32 Taf. 25. 26; Cook 1985, 27 Nr. b. c.

¹³⁷⁷ Boardman 1958/1959, 165 Nr. 29 Taf. 35 (Siana-Schale des Heidelberg-Malers, »about 550«); Cook 1985, 28 Nr. e. Die stratigrafische Zuordnung dieses für die Datierung wichtigen Fragments ist allerdings nicht eindeutig. Während Cook dieses Fragment unmittelbar zu dem ›Pithos Room Deposit‹ zählt, gibt Boardman die Fundlage mit »above burnt layer« an.

¹³⁷⁸ Cook 1958/1959, 29 Taf. 6 b; Cook 1985, 26–28 (Nr. a. d).

¹³⁷⁹ Falls das oben erwähnte Schalenfragment des Heidelberg-Malers nicht zum ›Burnt Deposit‹ gehören sollte, wie Cook 1985, 26. 28 angibt, sondern zur Schicht darüber, wie Boardman 1958/1959, 1965 Nr. 29 feststellt, ergäbe dieses einen *terminus ante quem* um 550 v. Chr. für das ›Burnt Deposit‹, was einen Zusammenhang mit der persischen Eroberung ausschliesse.

¹³⁸⁰ Akurgal 1983, 74 f. 123; Cook – Nicholls 1998, 170. Da in der Siedlung keine gleichzeitige Zerstörung festzustellen ist (Cook – Nicholls 1998, 170: »For, although several structures were affected in the temenos, no corresponding damage was observed at this date among the houses of the town.«), könnte es sich auch um ein lokal begrenztes Schadfeuer gehandelt haben. Zur Problematik der Datierung der persischen Eroberung von Sardeis und Ionien s. o. Anm. 1357.

¹³⁸¹ Cook 1958/1959, 29 Taf. 4 a rechts.

¹³⁸² Cook 1958/1959, 29 Taf. 4 a links.

¹³⁸³ Ratté 2011, 90 Nr. 10 Abb. 136 b; 137 b.

¹³⁸⁴ Ratté 2011, 81 Nr. 5 Abb. 93. Zur Datierung des Tumulus: Ratté 2011, 81.

nik und Keramikbefund in das späte 6./frühe 5. Jahrhundert v. Chr. datiert¹³⁸⁵, schwingt deutlich ein. Auf die gefirnisste Innenseite sind in Deckweiß Reifen in dichter Folge gemalt.

In der Auffüllung der Grabkammer des Tumulus BT 66.6, der vermutlich im späten 6. Jahrhundert v. Chr. entstand, fand sich ein Kotylenfragment des Dekortyps (b2), dessen Rand ebenfalls stark einschwingt¹³⁸⁶.

In dem sog. Stelen-Grab 813 (CC 6) fanden sich ebenfalls je eine ovoide Kotyle des Dekortyps (b) und (d1)¹³⁸⁷. Das Kammergrab enthielt drei Sarkophage aus Kalkstein und wies damit mindestens ebenso viele Bestattungen auf. Trotz mehrfacher Belegung ergibt sich anhand des Stelenanthemions, einer attisch-schwarzfigurigen Kleeblattkanne, fünf Terrakotten und eines achaimenidischen Zylindersiegels aus Onyx eine einheitliche Datierung am Beginn des 5. Jahrhunderts v. Chr.¹³⁸⁸. Dieser Kontext belegt, dass die Dekortypen (b) und (d) über ein Jahrhundert – vom frühen 6. bis zum frühen 5. Jahrhundert v. Chr. – als unterschiedliche Gestaltungsmöglichkeiten parallel existieren. Auffallend ist, dass das Kotylenbecken des Dekortyps (b) hier niedrig und breit gelagert ist.

Die ovoiden Kotylen waren noch am Beginn der achaimenidischen Herrschaft in der zweiten Hälfte des 6. Jahrhunderts v. Chr. die vorherrschende Trinkgefäßform in Sardeis. Seit dem frühen 5. Jahrhundert verlieren sie jedoch gegenüber der keramischen Version der achaimenidischen Schalen (»Achaemenid bowls«) zusehends an Beliebtheit¹³⁸⁹. Dennoch machen sie in einem umfangreichen Kontext des 4. Jahrhunderts v. Chr. noch fast die Hälfte der Trinkschalen aus¹³⁹⁰. Ovoide Kotylen lassen sich bis in den Hellenismus nachweisen¹³⁹¹.

Zusammenfassend lässt sich anhand der hier besprochenen Funde und ihrer Kontexte aus Sardeis und Smyrna feststellen, dass die ovoide Kotyle in ihrer voll entwickelten Form mit gewölbter Wandung, einschwingendem Rand und hohem, konischem Standring oder Kegelfuß spätestens seit dem Beginn des 6. Jahrhunderts v. Chr. auftritt. Sie entwickelt sich aus Vorstufen der zweiten Hälfte des 7. Jahrhunderts v. Chr., die sich stark an protokorinthischen Vorbildern orientieren, soweit das die schmale Materialbasis heute schon erkennen lässt. Die Form variiert in der Tiefe, in der Mündungsweite und in der Randneigung, ohne dass während des 6. Jahrhunderts v. Chr. eine stringente Entwicklung erkennbar wäre. Eine Änderung hin zu einer breiteren und niedrigeren Kotylenform am Beginn des 5. Jahrhunderts könnte ein Exemplar des Dekortyps (b) aus Grab 813 anzeigen.

Die ovoiden Kotylen des 6. Jahrhunderts v. Chr. lassen sich in fünf Dekortypen einteilen. Die Dekortypen (c) der »Marbled ware« und (e) des späten lydischen Tierfriesstils zählen zum feinen Tafelgeschirr und sind dementsprechend selten. Etwas häufiger sind gebänderte Kotylen mit weißem Überzug, die an der Innenseite marmoriert sein können und somit ein Bindeglied zum repräsentativen Tafelgeschirr darstellen. Die Kotylen des Dekortyps (b) mit weißen Reifen auf Firnisgrund, der zumeist streifig aufgetragen ist, sind deutlich zahlreicher. Der schlichteste Dekortyp (a) ist am häufigsten; er ist handwerklich weniger qualitativ ausgeführt und bei geringerer Temperatur gebrannt. Diese Kotylen sind in der Regel auch kleiner und haben meist einen

¹³⁸⁵ Ratté 2011, 80 Nr. 2 Abb. 86 b; 87 b. Zur Datierung des Tumulus: Ratté 2011, 80.

¹³⁸⁶ Ratté 2011, 86 Abb. 116 d; 117 d. Zur Datierung des Tumulus: Ratté 2011, 86.

¹³⁸⁷ Eine dritte Kotyle ist erwähnt, jedoch nicht abgebildet. Zu dem Grab: Butler 1922, 118. 159–162 Abb. 122. 124. 177–179; McLauchlin 1985, 216–218 Nr. CC 6; Baughan 2010, 283 Abb. 18. 19. Zu den Funden: Hanfmann – Ramage 1978, 75.

¹³⁸⁸ Schaeffer u. a. 1997, 121 f. Nr. Att App. 3 Taf. 57: Oinochoe, »Class of Vatican G 49, ca. 500–480«; 122: achaimenidisches Zylindersiegel, »late in the reign of Darius I«.

¹³⁸⁹ Dusinberre 1999, 93–100; Dusinberre 2003, 190–193. Aus Ephesos ist bisher ein einziges Exemplar bekannt, es wurde in einem spätarchaischen Kontext auf der Nordostterrasse des Panayırdağ gefunden: von Miller 2013, 105 f. Nr. 2094 Taf. 158.

¹³⁹⁰ Dusinberre 1999, 84–87. 93 Abb. 7; Dusinberre 2003, 181. 190 Tab. 1 Abb. 66.

¹³⁹¹ Dusinberre 1999, 88 f. 93 Abb. 10; Dusinberre 2003, 183 f. 190 Tab. 1 Abb. 69.

mehr oder minder hohen, konischen Standring anstelle eines Kegelfußes, der jedoch ebenfalls vorkommt¹³⁹².

Die Dekortypen (a) und (b) lassen sich unter den bisher aus Sardeis bekannten Funden seit dem Beginn des 6. Jahrhunderts v. Chr. belegen. Doch wird die detaillierte Vorlage der stratifizierten Funde aus den archaischen Häusern des Grabungsareals ›House of Bronzes‹ zeigen, welche Dekortypen bereits in der zweiten Hälfte des 7. Jahrhunderts v. Chr. ihren Anfang nehmen¹³⁹³. Dekortyp (d) ist seit dem Beginn des 6. Jahrhunderts nachweisbar. Diese drei Typen laufen während des 6. Jahrhunderts parallel. Die Dekortypen (b) und (d) können bis zum ersten Viertel des 5. Jahrhunderts v. Chr. nachgewiesen werden.

2.B.2.11.1c Chronotypologische Einordnung der ephesischen Funde

In Ephesos treten ovoide Kotylen an den einzelnen Fundstellen in unterschiedlicher Häufigkeit auf. Aus dem Artemision gibt es eine Reihe von Beispielen aus dem 6. Jahrhundert v. Chr.¹³⁹⁴. Darunter finden sich Beispiele der Dekortypen (a), (b) und (d). Die Kotyle **ART 82/059.1** (Abb. 40) des Dekortyps (d1) mit ihrer gewölbten Wandung, dem kräftig einwärts schwingenden Rand und dem hohen, konischen Standring entspricht ganz der in Sardeis besonders beim Dekortyp (a) verbreiteten Form¹³⁹⁵.

In den ausgegrabenen Bereichen der Agora-Siedlung wurde nur ein einziges Fragment, **Kat. 1102**, einer ovoiden Kotyle gefunden, und zwar in einem Horizont, welcher die Aufgabe der AG Phase IV im mittleren 6. Jahrhundert definiert (s. o. Kap. 1.B.3.1.11a).

Zwei weitere Fragmente ovoider Kotylen wurden auf der Nordostterrasse des Panayırdağ gefunden, ein Areal, das vom frühen 7. bis zum Beginn des 5. Jahrhunderts v. Chr. genutzt wurde, vermutlich als Siedlung¹³⁹⁶. Sie stammen aus einem Stratum, das im letzten Viertel des 6. Jahrhunderts deponiert wurde, allerdings auch älteres Material enthielt, das bis in die spätgeometrische Epoche zurückreicht. Eine der beiden Kotylen von der Nordostterrasse des Panayırdağ gehört dem Dekortyp (d2) mit tongründiger Außenseite an¹³⁹⁷. Dieses Fragment bildet somit ein unmittelbares Gegenstück zu **Kat. 1102** aus der Agora-Siedlung. Die zweite Kotyle, deren Profil kaum einschwingt, steht mit ihrem deckenden Überzug der Dekorvariante (b1) nahe, allerdings ist nicht genug erhalten, um zu entscheiden, ob im unteren Teil des Gefäßes weiße Reifen aufgetragen waren oder nicht¹³⁹⁸.

Die meisten ovoiden Kotylen aus den Grabungen J. Keils am Nordwestausläufer des Panayırdağ gehören dem schlichten Dekortyp (a) an: beide Seiten des Gefäßes sind gefirnisst¹³⁹⁹. Ausgespart bleibt nur ein breites Band außen in Höhe der Henkel. Das Firnisband außen an der Lippe ist zumeist breit (**Kat. 2191**, **Kat. 2351**, **Kat. 2387**, **Kat. 2434**), kann aber auch schmal (**Kat. 2388**) ausfallen. Die Innenseite aller Stücke ist durchgehend gefirnisst. Die beiden Bodenfragmente mit hohem, konischem Standring **Kat. 2193** und **Kat. 2435** gehören vermutlich ebenfalls zum Dekortyp (a). Die großen Firnisflächen sind häufig durch den intendiert streifigen Auftrag belebt, so bei **Kat. 2193**, **Kat. 2351**, **Kat. 2386**, **Kat. 2387**, **Kat. 2388**, **Kat. 2434** und **Kat. 2435**. Diese

¹³⁹² z. B. Greenewalt 2010c, 130 Abb. 5.

¹³⁹³ Architektur, Stratigrafie und Keramikfunde des Grabungsareals ›House of Bronzes‹ (HoB) werden zurzeit zur Publikation vorbereitet. N. Cahill verdanke ich die Mitteilung, dass im ›Lydian Level II‹, der in die 2. Hälfte des 7. Jhs. v. Chr. datiert wird, ovoide Kotylen in großer Zahl vorkommen.

¹³⁹⁴ Gasser 1992, 192 Abb. 6. 7; Kerschner 2007, Abb. 1. 2 Taf. 33.

¹³⁹⁵ Gasser 1992, 192 Abb. 7; Kerschner 2007, 235 Abb. 2 Taf. 33.

¹³⁹⁶ von Miller 2013, 103 f. Kat. 2091. 2092 Taf. 158. Zu der Siedlung auf der Nordostterrasse des Panayırdağ: Stock u. a. 2014, 54 f. (›settlement 1‹). 61 Abb. 8; Kerschner 2016, 338–341 Abb. 1–6; Kerschner 2017b, 493 f. Abb. 4. 5; zur Datierung des Nutzungsbeginns: von Miller 2013, 384.

¹³⁹⁷ von Miller 2013, 104 Kat. 2092 Taf. 158.

¹³⁹⁸ von Miller 2013, 104 Kat. 2091 Taf. 158.

¹³⁹⁹ Der Begriff ›Firniss‹ wird hier und im Folgenden im fachsprachlichen Sinn synonym mit ›Glanztön‹ verwendet.

sog. Streaky (auch: streaked) technique¹⁴⁰⁰ ist in der lydischen Keramik des 7. und 6. Jahrhunderts v. Chr. sehr beliebt, wird aber noch bis in das 4. Jahrhundert v. Chr. angewendet¹⁴⁰¹. Der streifige Effekt entsteht durch die ungleichmäßig starke Tränkung des Pinsels mit Glanzton, der auf diese Weise in unterschiedlicher Stärke aufgetragen wird, was wiederum beim Brand zu einer Abstufung der Farbtöne führt. So entsteht eine in sich changierende Oberfläche, deren Lebendigkeit durch die bewusst wechselnde Richtung der Pinselstriche noch gesteigert wird.

Die Mehrheit der ephesischen Beispiele des Dekortyps (a) haben steile, gerade (**Kat. 2191**, **Kat. 2387**, **Kat. 2388**) oder nur leicht einwärts geneigte Ränder (**Kat. 2351**). Diese Stücke weisen damit nicht die typisch ovoide Form der Kotylen lydischen Typs aus dem 6. Jahrhundert v. Chr. auf. Sie wurden hier dennoch in diesen Abschnitt aufgenommen, weil sie mit den ovoiden Kotylen einige Merkmale teilen, während sie sich von den ionischen Kotylen (inklusive der ionischen Imitationen korinthischer Kotylen) deutlich unterscheiden. Dies betrifft erstens das Profil der Wandung, das bei **Kat. 2191** und **Kat. 2389** kräftig gewölbt ist, während der Rand von **Kat. 2351** leicht einwärts geneigt ist, und zweitens die Bemalung, die dem Dekortyp (a) der ovoiden Kotylen genau entspricht. Möglicherweise sind diese Fragmente noch in die zweite Hälfte des 7. Jahrhunderts v. Chr. zu datieren, eine Zeit, in der die bisher aus Sardeis bekannten Kotylen steilere Profile und Ränder aufweisen (s. o.). Eine andere mögliche Erklärung für die Abweichung von der ovoiden Form wäre ein Produktionsort außerhalb von Sardeis, vielleicht in Smyrna oder der Aiolis. Das allerdings sind Hypothesen, und so ist die Zuordnung von **Kat. 2191**, **Kat. 2351**, **Kat. 2387** und **Kat. 2388** zu den ovoiden Kotylen als Versuch anzusehen, der auf einer lockeren Verbindung beruht, die uns beim aktuellen Forschungsstand als die wahrscheinlichste erscheint¹⁴⁰².

Die charakteristisch ovoide Gefäßform zeigt hingegen die ovoide Kotyle **Kat. 2434**, deren Rand in Fortsetzung der gewölbten Wandung deutlich nach innen schwingt, wie dies auch bei den Beispielen aus Sardeis der Fall ist, die aus datierten Kontexten des 6. Jahrhunderts v. Chr. stammen.

Nur zwei Fragmente – **Kat. 2390** und **Kat. 2391** – zählen zu dem Dekortyp (b), dessen streifig gefirniste Oberfläche durch weiße Reifen belebt wird. Sie sind sorgfältig bemalt und sehr hart gebrannt, sodass sich der Eindruck eines metallischen Glanzes ergibt. Die vollständig erhaltenen Exemplare des Dekortyps (b) aus Sardeis und Smyrna verfügen alle über hohe Kegelfüße, und solche sind daher auch für die ephesischen Beispiele vorauszusetzen. Das legt auch die untere Bruchkante von **Kat. 2390** nahe, die so tief liegt, dass nur ein Kegelfuß oder vielleicht ein enger Ringfuß folgen können. Der Dekortyp (b) lässt sich, wie oben gezeigt, durch eine Kotyle aus dem Artemision (**ART 93/449.1** Abb. 39) ab dem späteren 7. Jahrhundert v. Chr. nachweisen. Diese weist jedoch ein steileres Profil auf als die beiden kräftig gewölbten Wandungsfragmente **Kat. 2390** und **Kat. 2391** und auch einen weiten Standring, der bei **Kat. 2390** ausgeschlossen werden kann. In Sardeis ist der Dekortyp (b) durch das gesamte 6. Jahrhundert bis an den Anfang des 5. Jahrhunderts v. Chr. gut belegt. Das ist auch der Zeitrahmen für **Kat. 2390** und **Kat. 2391**.

Zwei Fragmente aus den Grabungen von J. Keil vertreten den Dekortyp (d). Die ovoide Kotyle **Kat. 2433** hat einen deutlich einschwingenden Rand. Ihre Wandung ist relativ dick, die Lippe abgerundet. Sie zählt zur Variante (d1) und ihre Bemalung variiert protokorinthische Vorbilder. Von diesen sind die Reifen auf dem Gefäßkörper inspiriert sowie die rahmenden Vertikallinien der Henkelzone, doch fehlt das auf protokorinthischen Beispielen übliche Mittelmotiv. Ein chronologischer Anhaltspunkt ergibt sich durch ein Vergleichsstück aus Sardeis, das sowohl in

¹⁴⁰⁰ Erstmals beschrieben von Boehlau 1898, 145: »die auffällige, oft absichtlich gegen die Horizontale gerichtete streifige Zeichnung«. Benannt von Butler 1914, 433 f. (referiert den Vorbericht von G. H. Chase): »The commonest is what we came to call ›streaked technique‹, the application of a lustrous varnish in such a way that, although the whole surface to be decorated is covered, the effect is streaked and uneven, and as a result of firing the color ranges all the way from black to brown and red ... The streaked technique is the most prominent characteristic of the Lydian ware.«

¹⁴⁰¹ Zu Definition und Datierung: Gürtekin-Demir 2002, 122 f.

¹⁴⁰² Ich danke A. von Miller für die ausführliche Diskussion dieser Problematik.

der Randform als auch in der Bemalung übereinstimmt; es fand sich unter den Beigaben von Grab 720 der Westnekropole von Sardeis, das in die Mitte des 6. Jahrhunderts v. Chr. datiert werden kann (s. o. Kap. 2.B.2.11.1b)¹⁴⁰³. Ein weiteres, weitgehend erhaltenes Beispiel des Dekortyps (d1) wurde im Artemision gefunden (**ART 82/059.1** Abb. 40)¹⁴⁰⁴. Die Bemalung ist hier auf ein breites Band um die Gefäßmitte beschränkt, das von zwei schmalen Reifen eingefasst wird. Gefasst sind der Fuß und die Lippe. Die Tatsache, dass hier kein Bezug mehr zu protokorinthischen Modellen besteht, könnte chronologisch zu deuten sein und für eine späte Datierung in der zweiten Hälfte des 6. Jahrhunderts v. Chr. sprechen. Die Variante (d2) desselben Dekortyps vertritt **Kat. 2192**. Die Fundkontexte aus Sardeis belegen eine Laufzeit dieses Dekortypus (d) vom frühen 6. Jahrhundert bis zum Beginn des 5. Jahrhunderts v. Chr.

Kat. 2386 zeigt mit seinem einwärts gebogenen Rand und der spitz zulaufenden Lippe charakteristische Merkmale der ovoiden Kotylen. Die dunklen Reifen auf weißem Überzug entsprechen dem Dekortyp (d1), von dem sich das Stück jedoch durch das Ornamentband in der Henkelzone, gefüllt mit einer Kreuzschraffur, unterscheidet. Unter den Funden aus Sardeis sind solche Ornamentbänder bisher nicht belegt, wohl aber aus der Aiolis¹⁴⁰⁵. Dort finden sich in der Henkelzone häufig Tropfen, ein Gitterband ist aus dem veröffentlichten Denkmälerbestand nicht bekannt. An der Innenseite von **Kat. 2386** bleibt ein schmales Lippenband ausgespart, wie das bei korinthischen oder ostgriechischen, nicht jedoch bei lydischen Kotylen die Regel ist.

2.B.2.11.1d Zur Verbreitung der ovoiden Kotylen

Ovoide Kotylen sind, wie oben ausgeführt, die beliebtesten Trinkgefäße in Sardeis während der archaischen Epoche¹⁴⁰⁶. Außerhalb der Metropole sind sie sowohl im lydischen Kerngebiet als auch in peripheren Orten des Mermnadenreiches wie Daskyleion und Gordion verbreitet¹⁴⁰⁷. Die Form tritt auch unter den spätarchaischen Silbergefäßen Lydiens auf¹⁴⁰⁸.

Darüber hinaus findet sich die ovoide Kotyle in einigen der ostgriechischen Poleis. Der von Ioniern, Aiolern und Ostdorern besiedelte mittlere Abschnitt der Westküste Anatoliens kam erst spät, unter Kroisos, unter unmittelbare lydische Herrschaft¹⁴⁰⁹. Der wirtschaftliche und kulturelle Austausch zwischen Sardeis und den ostgriechischen Küstenstädten war jedoch von jeher rege und intensiviert sich unter der Regentschaft der Mermnadendynastie¹⁴¹⁰. Der Kontakt zu jenen Poleis, deren Chora unmittelbar an das lydische Kernland grenzte, Ephesos, Kolophon, Smyrna, Larisa am Hermos und vielleicht auch Kyme, war aufgrund der geografischen Nähe besonders eng¹⁴¹¹.

Es ist gewiss kein Zufall, dass unter ihnen auch die Fundorte ovoider Kotylen in der ostgriechischen Küstenregion zu finden sind: Ephesos, Smyrna, Larisa und Kyme, hinzu kommt das etwas weiter entfernte Pitane¹⁴¹². In der Aiolis war der Austausch mit Lydien und die Rezeption

¹⁴⁰³ Inv. P1287 = MMA 14.30.6a. McLauchlin 1985, 222–225 Abb. 38 (obere Reihe, 2. von links); Paspalas 2009, 349 Abb. 2.

¹⁴⁰⁴ Gasser 1992, 192 Abb. 7; Kerschner 2007, 235 Abb. 2 Taf. 33.

¹⁴⁰⁵ Boehlau – Schefold 1942, 155 Abb. 10–12 Taf. 53; İren 2003. Ohne Herkunftsangabe: Stähler 1984, 370 f. Nr. 5 Taf. 22, 3.

¹⁴⁰⁶ Greenewalt 2010a, 108; Greenewalt 2010c, 128.

¹⁴⁰⁷ z. B. Young 1953, 164 Abb. 8 (unten); DeVries 1997, 20. 52 Abb. 27 (Gordion); Gürtekin-Demir 2002; Gürtekin-Demir 2007, 52. 54 Nr. 8; 71 Abb. 3; 75 (Daskyleion).

¹⁴⁰⁸ Özgen – Öztürk 1996, 13 Abb. 4: Silberkotyle mit ornamentalen und figürlichen Friesen in Ritztechnik. Der Fundort des Stücks, das sich heute im Metropolitan Museum of Art in New York befindet, ist unbekannt. Es wird jedoch von Özgen – Öztürk 13 »from its style and iconography ... in the same sphere as the Lydian hoard« gestellt.

¹⁴⁰⁹ Hdt. 1, 6. Vgl. Ehrhardt 2005, 103 (mit Lit.).

¹⁴¹⁰ Ehrhardt 2005, 102–111; Kerschner 2005a, 129–141; Kerschner 2010a (jeweils mit Lit.).

¹⁴¹¹ Kerschner 2005a, 140 f.

¹⁴¹² Kerschner 2005a, 139 Abb. 3. Smyrna: Cook 1958/1959, 29 Taf. 4 a; Cook 1985, 28; Kerschner 2006c, 112. 116 Abb. 20. Larisa am Hermos: Boehlau – Schefold 1942, 154–157 Taf. 52. 53; İren 2003, 190 Nr. 351; Kerschner

lydischer Formen und Dekorweisen besonders intensiv. Beispiele dafür sind die ovoide Kotyle, aber auch die Schulterhenkelamphora vom Myrina-Typ¹⁴¹³, die beide sowohl von lydischen als auch von aiolischen Töpfern hergestellt wurden. Im Einzelnen lässt sich kaum entscheiden, welcher Impuls von lydischen und welcher von aiolischen Töpfern ausging¹⁴¹⁴. Die Vielzahl der verbindenden Elemente lässt vermuten, dass die Anregungen in beide Richtungen liefen. Um das aber genau zu beurteilen, wäre eine detaillierte Feinchronologie Voraussetzung, die für die Keramik des 7. Jahrhunderts v. Chr. momentan weder für die Aiolis noch für Lydien greifbar ist. Das derzeitige chronologische Gerüst beruht weitgehend auf der Einschätzung der stilistischen Entwicklung, kann sich aber erst auf wenige geschlossene Fundkontexte stützen. Im 6. Jahrhundert gibt es hingegen sowohl aus Sardeis als auch aus dem aiolischen Pitane eine Reihe von Grabbefunden und Schichtkontexten, die die Grundzüge der Keramikentwicklung nachvollziehbar machen¹⁴¹⁵.

Während die dominierende Stellung der ovoiden Kotyle unter den Trinkgefäßen von Sardeis durch eine Reihe umfangreicher Siedlungskontexte des 6. Jahrhunderts v. Chr. hervorragend belegt ist, fehlen entsprechende Evidenzen aus aiolischen Poleis. Bisher lässt sich nur in Larisa am Hermos ein Überblick über das Gesamtspektrum der in einer Siedlung verwendeten Keramikfunde gewinnen¹⁴¹⁶. Aus der Nekropole von Pitane sind nur wenige Kotylen bekannt, was aber in der Auswahl der Grabbeigaben bei den archaischen Bestattungen begründet liegt, die generell nur wenige Trinkgefäße umfassen¹⁴¹⁷. Über das Verhältnis von Kotylen zu anderen Schalenformen im Alltagsleben der Siedlung lassen sich aus dem Nekropolenbefund keine repräsentativen Rückschlüsse ziehen.

In Larisa kommen ovoide Kotylen sowohl in Grauer Ware als auch mit Bemalung auf weißem Überzug vor, mit Reifen oder orientalisierendem Dekor¹⁴¹⁸. Letztere sind jedoch in Larisa und, soweit sich das beim heutigen Forschungsstand beurteilen lässt, auch andernorts in der Aiolis selten¹⁴¹⁹. Einfach dekorierte Exemplare mit stilisierten pflanzlichen Ornamenten, mit Rosetten oder noch schlichter mit Reifen und Wellenlinien waren in Larisa – und wahrscheinlich auch in anderen aiolischen Städten – im 6. Jahrhundert v. Chr. als Trinkgefäß sehr beliebt¹⁴²⁰.

In der großformatigen Version wird die Kotylenform zusammen mit dem Dinos zum wichtigsten Bildträger der orientalisierenden Gefäßmalerei, insbesondere des aiolischen Tierfriesstils¹⁴²¹. Derartige »Skyphos-Kratere« erreichen Durchmesser von zumeist 35–50 cm und übernahmen damit nicht nur die Dimension von Mischgefäßen, sondern sicherlich auch deren Funktion.

Aufgrund der Beliebtheit der ovoiden Kotyle in der Aiolis vermutete C. H. Greenewalt, dass diese Landschaft eine entscheidende Rolle bei der Adaption der korinthischen Kotylenform

2006c, 112. 116 Abb. 24. Kyme: Kerschner 2006c, 112. 116 Abb. 25. Pitane: Bayburtluoğlu 1978, 27 Taf. 5, 1; Freyer-Schauenburg 1973, Taf. 13 b; İren 2003, 190 Nr. 352 Taf. 69. Lydische Keramik aus Kolophon: Holland 1944, 140; Gürtekin-Demir 2007, 47.

¹⁴¹³ Beispiele aus Sardeis: Greenewalt 1975, 122 Abb. 307; 123 Abb. 316; Greenewalt u. a. 1996, 16; Cahill 2010e, 487. 494 Abb. 12; Greenewalt 2010b, 108 Abb. 3. Unbekannter Herkunft, aus Lydien: İren 2002b. Aus Aiolis: İren 2003 (Pitane); Coulié 2013, 26 Taf. 15; 147. 182. 190 (Myrina).

¹⁴¹⁴ Zur Frage des Verhältnisses zwischen lydischer oder ostgriechischer Keramik: vgl. Greenewalt 1970; Greenewalt 1973, 119–121; Gürtekin-Demir 2001; Ersoy 2003; İren 2003; Kerschner 2005a, 137–139; Paspalas 2009; Greenewalt 2010a, 108–115.

¹⁴¹⁵ Zu Sardeis: s. o. Kap. 2.B.2.11.1b. Zu Pitane: İren 2003.

¹⁴¹⁶ Grundlegend: Boehlau – Schefold 1942.

¹⁴¹⁷ Bayburtluoğlu 1978, 27 Taf. 5, 1; Freyer-Schauenburg 1973, Taf. 13 b; İren 2003, 190 Nr. 352 Taf. 69.

¹⁴¹⁸ Boehlau – Schefold 1942, 120 f. Abb. 45 a; 154–157 Taf. 53 (Larisa). Vgl. İren 2003, 190 Nr. 352 Taf. 69 (Pitane).

¹⁴¹⁹ Boehlau – Schefold 1942, 72; İren 2003, 67. Eine orientalisierende Kotyle aiolischer Produktion (NAA-Herkunftsgruppe G – Kyme/Larisa [?]), gefunden in Smyrna: Kerschner 2006c, 112. 116 Abb. 20.

¹⁴²⁰ Larisa: Boehlau – Schefold 1942, 154–157 Taf. 52. 53; Kerschner 2006c, 112. 116 Abb. 24. Kyme: Kerschner 2006c, 112. 116 Abb. 25.

¹⁴²¹ Boehlau – Schefold 1942, 72–79 Taf. 24–31 (»Skyphos-Kratere«); Kerschner 2006c, 112. 116 Abb. 16–18; vgl. İren 2003, 67.

in Lydien gespielt hätte¹⁴²². Es ist allerdings genauso denkbar, dass es korinthische Importe in Sardeis waren, die die lydischen Töpfer zu ihrer modifizierten Nachahmung inspirierten (s. o. Kap. 2.B.2.11.1b), und dass diese neue, in Sardeis kreierte Variante dann ihrerseits ihren Weg in die Aiolis fand. Auch eine dritte Variante ist theoretisch möglich: lydische und aiolische Töpfer könnten die Form parallel entwickelt haben. Dies ist allerdings unwahrscheinlich, weil die lydischen und aiolischen Kotylen einander sehr ähnlich sind, während dieser charakteristische Gefäßtyp außerhalb des oben beschriebenen Verbreitungsgebiets Lydien – Aiolis – nordöstliches Ionien nicht Fuß fassen konnte.

Um diese Fragen beantworten und die Diffusionswege exakt verfolgen zu können, fehlen zurzeit einerseits gut datierte geschlossene Fundkomplexe, andererseits archäometrische Herkunftsanalysen, die es erlauben, spezifische Varianten einem bestimmten Produktionsort zuzuweisen.

2.B.2.11.1e Ergebnisse der archäometrischen Herkunftsbestimmung der ovoiden Kotylen

Wie sich in Kapitel 2.B.2.11.1c zeigte, lässt sich allein mit den Mitteln der Typologie nicht entscheiden, ob es sich bei den oben besprochenen ovoiden Kotylen aus den Grabungen J. Keils um Importe aus dem in Kapitel 2.B.2.11.1d umrissenen Verbreitungsgebiet oder um lokale Erzeugnisse handelt. Um diese Frage zu klären, wurden sowohl eine systematische Bestimmung des Scherbentyps unter dem Mikroskop (s. o. Kap. 1.B.2.2) als auch petrografische und chemische Analysen an ausgewählten Stücken durchgeführt (s. u. Kap. 4.C).

Dass in Ephesos ovoide Kotylen aus lokalem Ton hergestellt wurden, beweisen archäometrische Analysen mittels Neutronenaktivierung (NAA), die von H. Mommsen am Helmholtz-Institut für Strahlen- und Kernphysik der Universität Bonn durchgeführt wurden. Eine ovoide Kotyle des Dekortyps (a) mit streifigem Firnisaufrag (Inv. ART 93/386.6, ProbenNr. Ephe 219) aus dem Artemision fällt in die Herkunftsgruppe H, die dank eines eindeutigen Referenzstücks – dem Fehlbrand eines Pithos aus der Agora-Siedlung – mit Sicherheit in Ephesos lokalisiert werden kann¹⁴²³. Weitere Produktionen ovoider Kotylen der ›Streaky ware‹ konnten anhand von Funden aus Ephesos für Samos und für Sardeis nachgewiesen werden¹⁴²⁴.

Vier der ovoiden Kotylen – **Kat. 2192**, **Kat. 2387**, **Kat. 2434** und **Kat. 2435** – stimmen in ihrem Scherbentyp mit Fragmenten überein, deren NAA die Herkunftsgruppe M ergab. Zu dieser chemischen Herkunftsgruppe gibt es zwar bisher noch kein sicheres Referenzstück (wie etwa einen Fehlbrand oder ein Gefäß aus einer *in situ* angetroffenen Brennofenfüllung, wie sie den ephesischen Herkunftsgruppen H und I vorliegen¹⁴²⁵), aber das diachrone Verbreitungsmuster der Gruppenmitglieder spricht für eine Lokalisierung entweder in Ephesos oder in seiner näheren Region (s. o. Kap. 1.B.4)¹⁴²⁶. Die Herkunftsgruppe M, die bisher 14 Mitglieder umfasst, ist bisher

¹⁴²² Greenewalt 1966, 143: »The popularity of the Protocorinthian skyphos-type is surprising, since most Greek shapes seem to have been introduced to Lydia in an Eastern Greek form, and the Protocorinthian skyphos was an unpopular type in Ionia. The type may have been introduced from Aeolis.« Vgl. hingegen: Greenewalt 2010a, 109 (»skyphoi ... belong to Greek tradition, specifically to Corinth«).

¹⁴²³ Pithos Inv. AG 89/109.21, vgl. Akurgal u. a. 2002, Kat. 100 Abb. 65. 66 sowie o. Kap. 1.B.3.1.1. Akurgal u. a. 2002, 47–50; Kerschner – Mommsen 2004–2006, 86. 92 Abb. 1.

¹⁴²⁴ Samos (Herkunftsgruppe J): Inv. ART 93/443.4 (ProbenNr. Ephe 217) aus dem Artemision. Die oben ausführlich besprochene Kotyle **ART 93/449.1** (ProbenNr. Ephe 218, Abb. 39) ist nach ihrer Form den ostgriechischen Imitationen korinthischer Kotylen zuzurechnen (s. o. Kap. 1.B.3.1.2a), während ihr Dekor dem der lydischen ›White banded Streaky ware‹ entspricht. Zur Lokalisierung der Herkunftsgruppe J: Kerschner – Mommsen 2004–2006, 84 f. Abb. 1. 3; vgl. Schlotzhauer 2012. Sardeis, Herkunftsgruppe Q: Inv. AYA 043 (ProbenNr. Ephe 229), gefunden in den Grabungen von M. Büyükkolancı auf dem Ayasuluk-Hügel. Zur Lokalisierung der Herkunftsgruppe Q: Kerschner 2005a, 135 f. Abb. 4; Kerschner – Mommsen 2004–2006, 92 Abb. 1. Die Lokalisierung der Herkunftsgruppe Q in Sardeis beruht auf dem Fehlbrand eines hellenistischen Reliefbeckers (Inv. P 98.094:10916 = ProbenNr. Sard 57), vgl. Rotroff – Oliver 2003, 113 f. Nr. 461 Taf. 79.

¹⁴²⁵ Herkunftsgruppe I: Kerschner u. a. 2002, 190 f. 199–205; Kerschner – Mommsen 2004–2006, 86 Abb. 1.

¹⁴²⁶ Herkunftsgruppe M: Kerschner u. a. 2002, 193. 199 Abb. 1; Trinkl u. a. 2006, 247–249; Kerschner – Mommsen 2004–2006, 91 Abb. 1.

fast ausschließlich in Ephesos aufgetreten mit Ausnahme zweier Transportamphoren, die in Iasos gefunden wurden¹⁴²⁷. Dies deutet auf eine oder mehrere Töpferwerkstätten, die ein bestimmtes Tonlager nutzten und nur für den lokalen Bedarf produzierten, nicht jedoch für den Export. In chronologischer Hinsicht umfasst die Herkunftsgruppe M Stücke von der späten Bronzezeit bis in das 4. Jahrhundert v. Chr., also einen sehr langen Zeitraum mit unterschiedlichen politischen und ökonomischen Rahmenbedingungen. Wenn die Töpfer, die diese Rohstoffquelle nutzten, Ephesos über einen so langen Zeitraum versorgten, dann liegt es nahe, dass sie entweder am Ort selbst arbeiteten oder im näheren Umkreis, mit dem aufgrund der räumlichen Nähe zu allen Zeiten ein natürlicher Handelsaustausch bestand.

Wir können daher die vier ovoïden Kotylen **Kat. 2192**, **Kat. 2387**, **Kat. 2434** und **Kat. 2435** mit großer Wahrscheinlichkeit als Erzeugnisse von Werkstätten in Ephesos selbst oder in seiner Nachbarschaft ansprechen. Der Dekor von **Kat. 2192**, der zwar keinen Reifen an der Lippe, wohl aber einen darunter, in der Henkelzone, aufweist, findet keine direkte Parallele unter den bisher aus Sardeis bekannten Beispielen. Es könnte sich hierbei also um das Merkmal einer Produktion (aus dem Umkreis) von Ephesos handeln. **Kat. 2435** belegt, dass in eben diesem Töpferzentrum die Technik des intendiert streifigen (>streaky<) Firnisauftrags eingesetzt wurde.

Die Mehrheit der ephesischen Funde ovoïder und mit diesen verwandter Kotylen zeigt das Petrofabric EPH-Metamorphic_04: **Kat. 2191**, **Kat. 2193**, **Kat. 2386**, **Kat. 2387**, **Kat. 2389**, **Kat. 2390**, **Kat. 2391**, **Kat. 2434** (s. u. Kap. 4.C). Dessen Lokalisierung anhand der Geologie erweist sich als sehr schwierig, da es sehr fein ist und keine aussagekräftigen Gesteinsfragmente enthält. An Magerungsbestandteilen finden sich hauptsächlich Quarz und Muskovit, die generell in den ostägäisch-westanatolischen Raum weisen, aber keine nähere Eingrenzung der Herkunftsregion zulassen. Um eine Präzisierung zu erreichen, wurde eine WD-XRF-Analyse durchgeführt, die zeigte, dass sich das unscharf definierte Petrofabric EPH-Metamorphic_04 in zwei geochemische Elementmuster (s. u. Kap. 4.D.3) unterteilt. **Kat. 2193** und **Kat. 2389** fallen in die geochemische Gruppe 2, der auch **Kat. 2328**, eine Schulterhenkelamphora der Bichromen Ware (s. u. Kap. 2.B.2.11.2a) angehört, die petrografisch als EPH-Metamorphic/Carb_01 klassifiziert wurde. Dieses Elementmuster unterscheidet sich eindeutig von der geochemischen Gruppe 1, die auch Material aus der Verfüllung des Töpferofens in der Agora-Siedlung enthält (s. u. Kap. 4.D.2) und vermutlich in Ephesos lokalisiert werden kann. Die Kotylen **Kat. 2193** und **Kat. 2389** sind damit als Importe ausgewiesen (zur Diskussion der Lokalisierung der geochemischen Gruppe 2 s. u. Kap. 2.B.2.11.2a).

2.B.2.11.2 Schulterhenkelamphoren des Myrina-Typs

Zwei Amphoren aus den Grabungen von J. Keil am Nordwestausläufer des Panayırdağ – **Kat. 2328** und **Kat. 2426** – vertreten einen spezifischen Typ der Schulterhenkelamphora, der erstmals an einem orientalisierenden Exemplar aus der Nekropole von Myrina beschrieben wurde, nach dem er seitdem zumeist benannt wird¹⁴²⁸. Charakteristisch für den Myrina-Typ ist ein im oberen Teil kräftig gewölbter Gefäßkörper, der nach unten konisch auf den schmalen Fuß zuläuft. Auf der schrägen Schulter setzen zwei schlaufenförmig hochgezogene, horizontale Henkel an. Es kommen sowohl Stab- als auch Bandhenkel vor¹⁴²⁹. Die Schulter knickt scharf zum breiten Hals um, der sich leicht konisch nach oben erweitert. Der rechteckige Rand springt gesimsartig vor. Hauptdekorzone ist die Schulter, doch treten figürliche oder ornamentale Friese gelegentlich auch

¹⁴²⁷ ProbenNr. Iaso 04 und Iaso 05. Diese NAA-Serie wird gemeinsam mit F. Berti und H. Mommsen zur Publikation vorbereitet.

¹⁴²⁸ Pottier – Reinach 1887, 499–505 Abb. 55. 56 Taf. 51; Coulié 2013, 26 Taf. 15; 147. 182. 190.

¹⁴²⁹ Stabhenkel: z. B. Greenewalt 1996, 411. 417 Abb. 9; Cahill 2010e, 487. 494. Bandhenkel: z. B. Greenewalt 2010a, 110. 112 Abb. 3 (Oberseite konkave einschwingend).

am Gefäßbauch auf¹⁴³⁰. Häufig ist der untere Teil des Gefäßkörpers mit einfachen Reifengruppen bemalt (**Kat. 2426**)¹⁴³¹. Der Hals ist in der Regel mit Ornamenten geschmückt.

Amphoren des Myrina-Typs gehören nicht zum Standardrepertoire ephesischer Töpfer. **Kat. 2328** und **Kat. 2426** sind die einzigen bisher aus dem archaischen Ephesos bekannten Beispiele. Bei lydischen und aiolischen Töpfern war diese Gefäßform hingegen im späten 7. und im 6. Jahrhundert v. Chr. sehr beliebt¹⁴³²; sie kommt aber auch im nordionischen Smyrna vor¹⁴³³.

2.B.2.11.2a Amphore der Bichromen Ware

Das Mündungsfragment **Kat. 2328** stammt von einer Amphora, wie anhand der dicken Wandung (1 cm) und des großen Durchmessers (22 cm) zu erkennen ist. Der breit proportionierte Hals, der sich zum Ansatz der Schulter hin verjüngt, und der gesimsartig vorspringende Rand entsprechen dem Myrina-Typ. Der vertikale, leicht nach innen geneigte Falz auf der Oberseite des Randes diente der Auflage eines Deckels¹⁴³⁴.

Außen ist die Amphora mit dichtem, rotem Firnis überzogen, aus dem in der Mitte des Halses ein Ornamentband ausgespart ist. Dieses wird von Doppelstrichen in Metopen unterteilt, von denen jede zweite mit ineinander geschachtelten Quadraten gefüllt ist. Dazwischen liegt jeweils ein leeres Feld. Die Friesränder sind von Punktreihen gerahmt. Das Ornamentband ist in der Maltechnik der Bichromen Ware ausgeführt¹⁴³⁵, die zum Zeichnen von Ornamenten zwei Farben gleichwertig einsetzt: ein kräftiges Rotbraun und ein mattes, ins Violette changierende Dunkelgrau¹⁴³⁶. Als dritte Farbe kommt das milchige Weiß des Überzugs hinzu, das als Malgrund in Erscheinung tritt. Je nach der vorherrschenden Farbe unterscheidet G. Gürtekin-Demir zwei Untergattungen: ›White Bichrome‹ und ›Red Bichrome‹¹⁴³⁷. Die Amphora **Kat. 2328** ist Letzterer zuzurechnen. Bichrome Keramik wurde vom 8. bis in die zweite Hälfte des 6. Jahrhunderts v. Chr. hergestellt¹⁴³⁸. Die Verwendung rein geometrischer Ornamente und ihre Anordnung in einem Metopenfries sprechen für eine Entstehung in der Mitte oder der zweiten Hälfte des 7. Jahrhunderts v. Chr. Allerdings zeigt eine Amphora des Myrina-Typs aus der ersten Hälfte des 6. Jahrhunderts v. Chr. aus Sardeis, dass eine konservative Dekoration mit Metopenfriesen am Hals mit einem fortgeschrittenen orientalisierenden Fries auf der Schulter kombiniert werden konnte¹⁴³⁹. Somit lässt sich **Kat. 2328** nicht näher eingrenzen als auf den Zeitraum von der Mitte des 7. bis zur Mitte des 6. Jahrhunderts v. Chr.

¹⁴³⁰ z. B. Hanfmann 1983b, 79 Abb. 185; Greenewalt 2010a, 110. 112 Abb. 3.

¹⁴³¹ z. B. Greenewalt 1996, 411. 417 Abb. 9.

¹⁴³² Zu Sardeis und Lydien im Allgemeinen: Hanfmann 1959, 33 Abb. 15; Greenewalt 1975, 123 Abb. 316; Hanfmann 1983b, 79 Abb. 185; Greenewalt 1996, 411. 417 Abb. 9; Greenewalt u. a. 1996, 16; İren 2002b; Meriç 2009, 145 Nr. K 122 Taf. 14; Cahill 2010e, 487. 494; Greenewalt 2010a, 110. 112 Abb. 3. Zur Aiolis: İren 2003, 9–11. 16. 58 f. 66 f. 97 Taf. A. 1–5.

¹⁴³³ Cook 1985, 28 Taf. 5.

¹⁴³⁴ Einen vergleichbaren Deckelfalz weist eine Halsamphora des späten nordionischen Tierfriesstils aus Tell Defenneh auf: Schlotzhauer – Villing 2006, 58 Abb. 8 = Weber 2012, 233. 327 Nr. TD 98; 440 f. Taf. 45 f. g.

¹⁴³⁵ Zu der ›Bichrome ware‹: Hanfmann 1959, 33 Abb. 15; Brein 1978b, 726 Abb. 17; Hanfmann 1983b, 79; Greenewalt 1993, 25 Abb. 7; Ramage 1994a, 164 Taf. 14.5.2; Ramage 1994b, 174 Taf. 15.4.5–7; Kerschner 1997a, 123 Kat. 28; 209 Taf. 5, 28; Gürtekin-Demir 2002, 119–122 Abb. 8–10; Cahill 2010b, 82 f. Abb. 18. 19; Greenewalt 2010a, 110–112 Abb. 3. 10; Ratté 2011, 77 Nr. 18 Abb. 69 b; 70 b; 80 Abb. 86 d; 87 d.

¹⁴³⁶ Rot kommt zwar auch im ostgriechischen Tierfriesstil zum Einsatz, wird dort aber in der Regel nicht unmittelbar auf den Malgrund, sondern als Deckfarbe auf die Firnismalerei aufgetragen. Seine Funktion besteht darin, bestimmte Körper- oder Ornamente hervorzuheben. Es wird jedoch nicht für ganze Ornamente und Figuren verwendet. Vgl. Kerschner – Schlotzhauer 2005, 33. 45. 52.

¹⁴³⁷ Gürtekin-Demir 2002, 119–122 Abb. 8–10.

¹⁴³⁸ Vgl. zur Datierung: Hanfmann 1961, 21; Brein 1978b, 726; Kerschner 1997a, 123 Nr. 28; 209; Gürtekin-Demir 2002, 120; Cahill 2010b, 82 f. Abb. 18. 19; Greenewalt 2010a, 110.

¹⁴³⁹ Hanfmann 1959, 33 Abb. 15; Greenewalt 2010a, 110. 112 Abb. 3.

Funde der Bichromen Ware sind in Ephesos sehr selten¹⁴⁴⁰, sodass es sich bei **Kat. 2328** mit großer Wahrscheinlichkeit um einen Import handelt. Ein möglicher Herkunftsort ist Sardeis, wo die Bichrome Ware im 7. Jahrhundert und in der ersten Hälfte des 6. Jahrhunderts v. Chr. zu den häufigsten Gattungen bemalter Keramik zählt¹⁴⁴¹. Allerdings gibt es in dem reichen Fundspektrum von Sardeis keine exakten Parallelen zu **Kat. 2328**¹⁴⁴². Metopenfriese kommen dort zwar vor, aber mit abweichender Rahmung¹⁴⁴³. Ähnlich verhält es sich mit dem Quadrat, das sardische Vasenmaler vorzugsweise mit einem Gitter ausfüllen¹⁴⁴⁴. Es scheint daher wahrscheinlich, dass **Kat. 2328** aus einer lydischen oder anderen westanatolischen Produktion stammt, allerdings nicht aus der Hauptstadt Sardeis.

Petrografisch ließ sich **Kat. 2328** dem Petrofabric EPH-Metamorphic/Carb_01 zuordnen, das dem oben besprochenen Petrofabric EPH-Metamorphic_04 sehr ähnlich ist (s. o. Kap. 2.B.2.11.1e sowie u. Kap. 4.C). Wie bei diesem wird die geologische Lokalisierung durch seine Feinheit und seinen Mangel an charakteristischen Gesteinspartikeln erschwert.

Die WD-XRF-Analyse ergab das Elementmuster der Gruppe 2 (s. o. Kap. 2.B.2.11.1e, Kap. 2.B.2.11.3 sowie u. Kap. 4.D.3), das großteils Keramik lydischen Typs umfasst¹⁴⁴⁵: neben **Kat. 2328** auch die ovoïden Kotylen **Kat. 2193** und **Kat. 2389** und den Teller der ›Marbled ware‹ **Kat. 2376**. Einzige Ausnahme ist die Tasse **Kat. 2190**, deren typologische Merkmale nach Nordionien weisen (s. o. Kap. 2.B.2.1.6)¹⁴⁴⁶.

Somit liegen zwei mögliche Lokalisierungen der chemischen Gruppe 2 nahe. Entweder handelt es sich um ein Produktionszentrum in Lydien, das auch Keramik in nordionischer Tradition (**Kat. 2190**) herstellte, vielleicht Sardeis selbst; oder dieses Töpferzentrum befand sich in der an Lydien grenzenden Region des nördlichen Ionien und der Aiolis, in deren Keramikproduktion lydische Elemente fassbar sind. Im zweiten Fall kommt nach heutigem Wissensstand vor allem Smyrna in Frage. Dort sind mehrere Keramikgattungen lydischen Typs unter den archaischen Funden vertreten¹⁴⁴⁷. Manches davon wurde auch lokal erzeugt, wie die NAA eines geschlossenen Gefäßes der ›Marbled ware‹ aus Smyrna durch H. Mommsen zeigte: es fällt in die Herkunftsgruppe F, die mit großer Wahrscheinlichkeit in Smyrna beheimatet war¹⁴⁴⁸. Um diese Hypothese

¹⁴⁴⁰ Gefäße der bichromen Ware aus dem Artemision: Brein 1978b, 726 Taf. 224, 17; Kerschner 1997a, 123 Nr. 28 Taf. 5, 28; 209.

¹⁴⁴¹ Greenewalt 2010a, 110.

¹⁴⁴² Diese Auskunft verdanke ich N. Cahill und G. Gürtekin-Demir.

¹⁴⁴³ z. B. Greenewalt 2010a, 110–112 Abb. 3.

¹⁴⁴⁴ z. B. Hanfmann 1983b, 79 Abb. 37; Greenewalt 1993, 25 Abb. 7.

¹⁴⁴⁵ Die chemische Gruppe 2 umfasst bisher erst fünf Mitglieder, was die Aussagekraft einschränkt. Daher kann die Möglichkeit nicht ausgeschlossen werden, dass sich bei Anwachsen der Probenzahl zwei (oder mehrere) Cluster innerhalb dieser Gruppe bilden könnten, die zwei (oder mehrere) chemisch verwandte, aber räumlich getrennte Töpferzentren repräsentieren.

¹⁴⁴⁶ N. Cahill und G. Gürtekin-Demir verdanke ich die Mitteilung, dass weder aus Sardeis noch aus anderen lokalen Produktionen lydischer Keramik bisher ein Vergleichsbeispiel bekannt ist.

¹⁴⁴⁷ Keramik lydischen Typs aus Smyrna: ›Bichrome ware‹: Akurgal 1950, 84 Abb. 2. ›Black-on-red‹: Mellaart 1955, 119. ›Streaky ware‹: Akurgal 1961, 151. ›Marbled ware‹: Akurgal 1950, 85; Akurgal 1961, 151. 155 f. Abb. 106; Cook 1958/1959, 31 mit Anm. 87; Kerschner 2005a, 136–139 Abb. 3 Taf. 10, 5. Lydia: Akurgal 1950, 85; Cook 1958/1959, 31 mit Anm. 87; Kroll 2010, 152 f. Abb. 13. Ovoïde Kotylen: Cook 1958/1959, 29 Taf. 4 a; Cook 1985, 28. Allerdings ist es beim derzeitigen Publikationsstand noch nicht möglich zu beurteilen, wie groß der Anteil der Keramik lydischen Typs am Gesamtspektrum der Keramikfunde Smyrnas im späten 7. und 6. Jh. v. Chr. war.

¹⁴⁴⁸ Kerschner 2005a, 137 Taf. 10, 5. Zur Herkunftsgruppe F und ihrer Lokalisierung: Akurgal u. a. 2002, 80–84; Kerschner – Mommsen 2004–2006, 88 Abb. 1. Hingegen wurde die ursprünglich der aiolischen Herkunftsgruppe G (Kyme/Larisa [?]) zugewiesene ProbenNr. Smyr 57 – Kerschner 2005a, 137 Taf. 10, 6 – bei einer Neuberechnung der Daten auf der Basis einer deutlich vermehrten Probenanzahl nun einer neu gebildeten Herkunftsgruppe Z zugewiesen, deren drei Mitglieder alle lydischen Typs sind (zwei Gefäße der ›Marbled ware‹, eine orientalisierende Amphora des Myrina-Typs). Das vierte Mitglied von Z ist ein Dachziegel der modernen Rekonstruktion eines lydischen Tondaches im Grabungshaus von Sardeis (vgl. Hostetter 1994; Ateşlier 2010, 226 Abb. 1), für die Rohton aus Urganlı 20 km westlich von Sardeis verwendet wurde, wo noch heute Keramik erzeugt wird, vgl. Yegül 1986, 40 f. Anm. 1. Bei der Herkunftsgruppe Z handelt es sich demnach um eine Produktion des lydischen

zu überprüfen, bedarf es aber noch der Analyse gesicherten Referenzmaterials, aus Smyrna und von anderen Orten im Einzugsbereich des unteren Hermos.

2.B.2.11.2b Orientalisierende Amphora

Kat. 2426 ist eine weitere Amphora des Myrina-Typs, bemalt in rotem Firnis auf gelblich-weißem Überzug. Von ihr sind so viele Fragmente erhalten, dass sich das gesamte Dekorsystem rekonstruieren lässt. Der untere Teil ist vom Fuß bis in Höhe des größten Gefäßdurchmessers mit breiten Reifen verziert. Die Hauptdekorzone auf der Schulter trägt einen Ornamentfries, in dem sich hängende Konturstrahlen mit hängenden Palmetten abwechseln, die aus 5–7 lang gezogenen, tropfenförmigen Blättern bestehen. Um den Hals läuft ein großes Flechtband, dessen Kerne aus Gruppen von je drei konzentrischen Kreisen gebildet werden; in den Zwickeln stecken Dreiecke mit Punktfüllung. Der Pinselduktus verrät einen versierten Maler, dem der Gesamteindruck wichtiger war als die präzise Ausführung im Detail.

Eine in Form und Dekor eng verwandte Amphora wurde in Sardeis gefunden, in der Zerstörungsschicht der lydischen Häuser des Grabungsabschnitts MMS, die mit der persischen Eroberung kurz nach der Mitte des 6. Jahrhunderts v. Chr. verbunden werden kann¹⁴⁴⁹. Das Dekorsystem und die Auswahl der Ornamente sind identisch, Abweichungen gibt es nur in einigen Details, etwa fehlen auf dem Exemplar aus Sardeis die hängenden Palmetten, und die Kerne des Flechtbandes am Hals sind ausgemalt Scheiben, gerahmt von einem Kreis. Die Verwandtschaft zwischen beiden Stücken ist so groß, dass man von Erzeugnissen derselben Werkstatt ausgehen darf. Auch zeitlich werden sie nicht weit voneinander entstanden sein. Die lang gestreckte spitze Form der Palmetten könnte darauf hindeuten, dass **Kat. 2426** möglicherweise etwas jünger ist. Der Entstehungszeitraum lässt sich somit auf das zweite bis dritte Viertel des 6. Jahrhunderts v. Chr. eingrenzen.

Trotz dieses unmittelbaren Parallelstücks aus dem Perserzerstörungsbefund von Sardeis gilt es bei der geografischen Einordnung von **Kat. 2426** zu bedenken, dass es sowohl für die Form der Myrina-Amphora als auch für den Dekor Vergleichsbeispiele aus Smyrna gibt¹⁴⁵⁰. Zu Letzteren zählt ein Dinos¹⁴⁵¹, auf dem sich zwei charakteristische Motive der Bemalung von **Kat. 2426** wiederfinden: einerseits die aus länglichen Tropfen gebildeten Palmetten, andererseits die kleinen, konzentrischen Zirkelkreise, die bei **Kat. 2426** die Kerne des Flechtbandes am Hals bilden, während sie bei dem Dinos aus Smyrna zwischen den gegenständigen Palmetten aneinander gereiht sind. Solche konzentrischen Kreise, meist klein und in geringer Zahl, sind ein Hauptornament der bemalten früheisenzeitlichen Keramik von Sardeis¹⁴⁵². Danach bleiben sie, zusammen mit den verwandten Spiralhaken, ein zentrales Dekorelement der subgeometrischen Stilströmung, die in der lydischen Keramik des 7. Jahrhunderts v. Chr. dominiert¹⁴⁵³. Auch in dem der lydischen Keramik verwandten Punktstil der Aiolis kommen solche Gruppen von kleinen und wenigen konzentrischen Kreisen auf Gefäßen des späten 7. und frühen 6. Jahrhunderts v. Chr. vor, meist in untergeordneten Bildstreifen am Hals und am Bauch, während der prominentere Platz auf der

Kernlandes. Die frühere Vermutung, die Herkunftsgruppe Z könnte in der Aiolis zu lokalisieren sein – Kerschner – Mommsen 2004–2006, 91 f. Abb. 1 – beruhte auf einer stilistischen Einordnung der damals bekannten Gruppenmitglieder und wurde durch die NAA des Ziegels aus Urganlı widerlegt.

¹⁴⁴⁹ Greenewalt 1996, 411. 417 Abb. 9. Vgl. zum Kontext: Greenewalt 1995a, 395; Cahill 2010c, 348 Abb. 5; Cahill 2010b, 90–92 Abb. 23. 24. 27–29.

¹⁴⁵⁰ Amphora vom Myrina-Typ aus Smyrna: Cook 1985, 28 Taf. 5 (»Hermus Valley« jar«).

¹⁴⁵¹ Cook 1958/1959, 29 Taf. 6 b.

¹⁴⁵² z. B. Ramage u. a. 1983, 26. 41 Abb. 28. 65; Ramage 1994a, 166. 169–172 Abb. 14,1.2; 14,3.1; 14,4.2; 14,5.3; 14,6.2; Kerschner 2010a, 248 Abb. 1.

¹⁴⁵³ z. B. Ramage u. a. 1983, 28 f. Abb. 36. 37; Ramage 1994b, 174. 182 Taf. 15.5.2; İren 2002b, 296. 302; İren 2003, 187 Nr. 317 Beil. 6 Taf. 67; Cahill 2010b, 82 f. Abb. 19. Konzentrische Halbkreise als Teil von Spiralhaken: Ramage 1994b, 174 Taf. 15.4.5–7. Die Entwicklung der lydischen Keramik im 7. Jh. v. Chr. ist noch wenig erforscht, vgl. Paspalas 2009, 347.

Schulter orientalisierenden Ornamenten und Tierfriesen vorbehalten ist¹⁴⁵⁴. Konzentrische Kreise sind auch in der spät- und subgeometrischen Keramik ionischer Produktionsstätten beliebt, so in Milet, auf Samos und auf Chios¹⁴⁵⁵. Ungewöhnlich ist die Kombination der konzentrischen Kreise mit einem Figurenbild auf dem Krater **Kat. 2213** aus dem zweiten Viertel des 7. Jahrhunderts v. Chr., wo sie gegenständlich gedeutet werden, vermutlich als Schild eines Reiters (s. o. Kap. 2.B.2.2.3)¹⁴⁵⁶.

Ob der oben erwähnte Dinos aus Lydien nach Smyrna importiert oder ob er dort erzeugt wurde, wobei lydische Elemente in die lokale Keramikproduktion einfließen, lässt sich ohne nähere Untersuchung des Fabrikats nicht entscheiden. Smyrna stand in der Mermnadenezeit in besonders engem Kontakt zu Sardeis und dem lydischen Kernland und weist eine Reihe lydischer Keramikimporte auf¹⁴⁵⁷. Aufschlussreich für die chronologische Einordnung ist der Fundkontext des Dinos, eine Brandschicht des mittleren 6. Jahrhunderts v. Chr. im Aufgang zum Athenatempel (sog. Temple Pylon), aus der auch zwei ovoide Kotylen (s. o. Kap. 2.B.2.11.1b) stammen¹⁴⁵⁸. Dieser Kontext bestätigt die für **Kat. 2426** vorgeschlagene Datierung zwischen ca. 575–525 v. Chr.

Petrografisch ließ sich **Kat. 2426** dem Petrofabric EPH-Metamorphic/Volc_01 zuordnen, das mit dem bereits diskutierten Petrofabric EPH-Metamorphic_04 weitgehend übereinstimmt, mit Ausnahme des gelegentlichen Vorkommens vulkanischer Gesteins- oder Glaspartikel, das aber durch den zufälligen Ausschnitt des Präparats bestimmt sein kann (s. u. Kap. 4.C). L. Betina sieht es daher als wahrscheinlich an, dass manche Stücke des Petrofabric EPH-Metamorphic_04 eigentlich dem Petrofabric EPH-Metamorphic/Volc_01 zuzurechnen sind. Aus typologischer Sicht kann diese Annahme für die hier besprochenen Stücke unterstützt werden. Als Herkunftsgebiet des Petrofabric EPH-Metamorphic/Volc_01 kommen geologisch das nordöstliche Ionien (Smyrna, Phokaia) und die angrenzende Aiolis in Frage, während die Hermosebene und Sardeis ausgeschlossen werden können. Innerhalb dieser Region weisen die zurzeit bekannten stilistischen Parallelen am ehesten nach Smyrna, doch ist diese Einschätzung angesichts des lückenhaften Forschungsstands zur Aiolis und zu Phokaia als vorläufig zu betrachten.

2.B.2.11.3 Teller der ›Marbled ware‹

Das Randfragment **Kat. 2376** stammt von einem hochfüßigen Teller der ›Marbled ware‹. Teller auf hohem Fuß sind in der lydischen Keramik der zweiten Hälfte des 7. Jahrhunderts und des 6. Jahrhunderts v. Chr. weit verbreitet¹⁴⁵⁹. Die Vorliebe für diese Gefäßform teilen die Lyder mit den ostägäischen Griechen (s. o. Kap. 1.B.3.4.2c), während die Form in den übrigen griechischen Regionen wesentlich seltener vorkommt. Von wo die Form ihren Ausgang nahm – ob von einer

¹⁴⁵⁴ İren 2003, 41. 164–166. 168 f. Nr. 9. 14. 16. 17. 29. 30. 58. 59. 67 Abb. 17 h Beil. 6. 7 Taf. 3–5. 8. 10–12. Zur Datierung: İren 2003, 51–56.

¹⁴⁵⁵ s. o. **Kat. 1334**, **Kat. 1565**, **Kat. 1875** und **Kat. 2202** sowie Kap. 1.B.3.6.3. Weiterhin zu subgeometrischen Strömungen mit konzentrischen Kreisen in ostgriechischen Töpferproduktionen: von Graeve 1978, 35 f. Taf. 12, 1; von Graeve 1975, 41; Kerschner 1999, 19 Abb. 9, 21. 22, Kerschner u. a. 2008, 41 Taf. 42, 6 (mit Lit.).

¹⁴⁵⁶ Keil 1926, 253 Abb. 45 unten; Kerschner u. a. 2008, 41 f. Taf. 42, 8.

¹⁴⁵⁷ Zu lydischen Elementen in der materiellen Kultur von Smyrna: Akurgal 1950, 85; Mellaart 1955, 119; Cook 1958/1959, 29. 31 mit Anm. 87; Akurgal 1961, 151. 155 f. Abb. 106; Jeffery 1964, 40 Nr. 2 Abb. 1 Taf. 5 a; 43 f. Nr. 39 Abb. 1; 44 Nr. 40 Abb. 2; 47 f.; Cook 1965, 126–128 Abb. 10 Taf. 33; Gusmani 1975; Akurgal 1983, 97–100; Cook 1985, 28; Gusmani 1995, 9. 16; Högemann 2003, 21; Ehrhardt 2005, 108; Kerschner 2005a, 136–139 Abb. 3 Taf. 10, 5. 6; Kerschner 2010a, 261; Kroll 2010, 152 f. Abb. 13.

¹⁴⁵⁸ Cook 1958/1959, 29 Taf. 4 a; vgl. Cook – Nicholls 1998, 165–170, bes. 169 f. Abb. 34 (›Burnt Deposit‹).

¹⁴⁵⁹ z. B. Butler 1914, 433 f. Abb. 7 (›tall stands without handles‹); Schiering 1968, 5 Abb. 5; Kunisch 1971, 26 Taf. 165, 7. 8; Greenewalt 1978b, 16 f. 64 Nr. 13.4; 66 Nr. 15.4; 67 Nr. 16.7. 8; 68 Nr. 17.4; 71 Nr. 21.4; 73 Nr. 23.3; 75 Nr. 25.4; 77 Nr. B4 Taf. 21, 1. 3; 22, 1. 2; 24, 1. 3; 26, 1; 28, 1; 32; DeVries 1990, 392 Abb. 27; Gürtekin-Demir 2002, 138 f.; Gürtekin-Demir 2007, 54 f. Nr. 9. 10; 64. 65. 74. 77 Nr. 48–50 Abb. 3. 6; Cahill 2010b, 82 Abb. 18. 19; 92. 99 Abb. 30; Cahill 2010e, 487. 494; Greenewalt 2010a, 114 Abb. 4. 9.

der ostgriechischen Poleis oder von Sardeis –, ist nicht geklärt¹⁴⁶⁰. Dafür bedarf es noch eingehender Untersuchungen gut datierbarer geschlossener Fundkontexte aus beiden Regionen¹⁴⁶¹.

Die ›Marbled ware‹ (›marmorierte Ware‹) stellt eine Weiterentwicklung der oben besprochenen ›Streaky ware‹ dar. Wie bei Letzterer wird der Firnis streifig aufgetragen, dabei wird der Pinsel allerdings wellen- oder kreisförmig geführt, sodass der Eindruck einer marmorartigen Oberflächenstruktur entsteht¹⁴⁶². **Kat. 2376** zeigt, dass die beiden verwandten Bemalungstechniken am selben Gefäß eingesetzt werden konnten: die Innenseite ist marmoriert, die Außenseite streifig gefirnisst. Die unregelmäßig breiten Wellenlinien verlaufen im erhaltenen Abschnitt parallel zum Rand. Da sie keinerlei Krümmung aufweisen, sondern gerade gezogen sind, war vermutlich die gesamte Innenfläche mit parallelen Wellenbahnen bedeckt, wie auf einem besser erhaltenen Beispiel aus Gordion¹⁴⁶³. Möglich ist auch eine Variante, die eine flache Schüssel mit Spulenattaschen aus Sardeis belegt: dabei werden die Parallelstreifen von einem Band, das in rechtem Winkel durch die Mitte läuft, gekreuzt¹⁴⁶⁴. Eine Variante mit mehreren parallelen, sich kreuzenden Wellenbahnen findet sich bei mehreren lydischen Omphalosschalen der ›Marbled ware‹, die in das Aphroditeheiligtum von Oikous bei Milet geweiht wurden¹⁴⁶⁵.

Die meisten der lydischen Teller auf hohem Fuß sind mit Reifen und Firnisbändern verziert, manchmal in Verbindung mit einfachen radialen Mustern im Zentrum der Innenseite und außen oberhalb des Fußansatzes¹⁴⁶⁶. Daneben aber wird diese Gefäßform in der ›Black-on-red‹-Ware und noch stärker in der Ephesischen Ware zu einem bevorzugten Träger ornamentaler, manchmal sogar figurlicher Malerei¹⁴⁶⁷. In der ›Marbled ware‹ spielen Teller auf hohem Fuß eine geringere Rolle¹⁴⁶⁸.

Kat. 2376 ist das erste bisher bekannte Beispiel der ›Marbled ware‹ in Ephesos. Es liegt daher nahe, dass es sich um einen Import handelt. Die archäometrischen Untersuchungen dieses

¹⁴⁶⁰ Greenewalt 1978b, 17 vermutet die Übernahme einer ursprünglich ostgriechischen Gefäßform durch die Lyder. Vgl. dagegen Greenewalt 2010a, 109: »perhaps stemmed dishes belonged to Anatolian tradition«.

¹⁴⁶¹ Zu den vermutlich ältesten Tellern aus Ephesos (2. Viertel 7. Jh. v. Chr.) s. o. Kap. 1.B.3.4.2c: **Kat. 81. Kat. 330. Kat. 373** und **Kat. 446**.

¹⁴⁶² Grundlegend: Greenewalt 1966, 120–183; Greenewalt 2010a, 112 Abb. 11. 12; vgl. Gürtekin-Demir 2002, 128. Erstmals beschrieben von Perrot – Chipiez 1890, 905 Abb. 537 (›Celui-ci est formé de traits noirs qui s'enlèvent sur le fond rouge de la terre et où l'on sent l'intention bien marquée d'imiter l'aspect de ces verres à chevrons que produisaient l'Égypte et la Phénicie.«); dann: Boehlau 1898, 145: »... diese Gefäße oft phönikischer Glaswaare nachgebildet sind, deren Musterung ihre eigentümliche zackige und wellige Zeichnung wiedergibt.« Benennung erstmals bei Körte – Körte 1904, 188 f. Abb. 61–64 (›Marmorierte Ware‹). Weiterhin: Butler 1914, 435 Abb. 8 (››marbling‹ with the ordinary varnish ..., in a way which suggests an imitation of work in glass«); Rumpf 1920, 163 (››mit ... ›marmorierendem‹ Firnißüberzug«); Chase 1921, 114 f. Abb. 2: »... decorated in the technique conveniently called ›marbling‹, i.e., the application, over a white slip, of black to brown varnish in a manner which produces irregular waves or zigzags, suggesting an imitation of work in glass.«) u. a. m.

¹⁴⁶³ Greenewalt 1966, 162 Nr. 57 Taf. IV.B.

¹⁴⁶⁴ Das Stück stammt aus dem o. in Kap. 2.B.2.11.1b besprochenen Grab Indere 61.2. Die Form geht auf phrygische Metallvorbilder zurück, der Dekor ist lydisch: Knudsen 1964; Greenewalt 1972, 122 f. Taf. 8, 2. 3; Greenewalt 2010f, 518 Nr. 149; Gürtekin-Demir 2014, 227–231 Abb. 5–10.

¹⁴⁶⁵ Kerschner 2010b, 492 f. Nr. 113. 114. Ähnlich, doch mit radialer Anordnung der Wellenbahnen im Inneren, ist eine lydische Omphalosschale aus Gordion: Greenewalt 1975, 123 Abb. 317; Greenewalt 2010e, 489 Nr. 108.

¹⁴⁶⁶ z. B. Butler 1914, 433 f. Abb. 7; Greenewalt 1978b, 16 f. 64 Nr. 13.4; 66 Nr. 15.4; 67 Nr. 16.7. 8; 68 Nr. 17.4; 71 Nr. 21.4; 73 Nr. 23.3; 75 Nr. 25.4; 77 Nr. B4 Taf. 21, 1. 3; 22, 1. 2; 24, 1. 3; 26, 1; 28, 1; 32; Cahill 2010d, 478 Nr. 92. Mit einer Rosette im Inneren und radial angeordnete Strahlen auf der Außenseite: DeVries 1990, 392 Abb. 27; Gürtekin-Demir 2007, 64. 77 Nr. 48.

¹⁴⁶⁷ ›Black-on-red‹: Schaus 1992, 154. 161–164 Nr. 19–33 Abb. 2. 3 Taf. 34–36; Kerschner 1997a, 111–114. 186. 209 Nr. 9 Abb. 27 Taf. 2; Kerschner 2008c, 235 Nr. 289; Ratté 2011, 77 Nr. 26 Abb. 75. 76; Cahill 2010b, 92. 96 Abb. 30; Cahill 2010d, 471 Nr. 83; Greenewalt 2010a, 108 f. Abb. 4. Ephesische Ware: Greenewalt 1973, 92–94. 96–105. 109 Nr. 1–6. 10–22 Taf. 1, 1; 2–13; Kerschner 1997a, 132–135 Nr. 48; 219–223 Abb. 22–25 Taf. 7; Kerschner 2008c, 234 Nr. 288; Gürtekin-Demir 2002, 115–119 138 f. Nr. 3–15 Abb. 5–7; Greenewalt 2010a, 114 Abb. 15; Kerschner 2010b, 494 Nr. 115.

¹⁴⁶⁸ z. B. Greenewalt 1966, 125. 138 f. 142. 162 Nr. 57–60 Taf. 4 b. 5 d. e; Schiering 1968, 5 Abb. 5; Kunisch 1971, 26 Taf. 165, 7. 8; Gürtekin-Demir 2002, 138 f.

Stücks führten zu dem gleichen Ergebnis wie bei den ovoïden Kotylen **Kat. 2193** und **Kat. 2389**: petrografisch fällt **Kat. 2376** in das bereits diskutierte Petrofabric EPH-Metamorphic_04, das keine sichere Aussage über die Herkunft zulässt. Die WD-XRF-Analyse von **Kat. 2376** ergab das Elementmuster der geochemischen Gruppe 2 (s. o. Kap. 2.B.2.11.1e und Kap. 2.B.2.11.2a sowie u. Kap. 4.D.3), deren Lokalisierung bereits (s. o. Kap. 2.B.2.11.2a) diskutiert wurde. Für die Hypothese einer Verbindung mit Smyrna spricht im Fall der ›Marbled ware‹, dass mittels NAA bereits ein in Smyrna gefundenes Fragment dieser Ware der Herkunftsgruppe F zugewiesen werden konnte, die mit großer Wahrscheinlichkeit in Smyrna zu lokalisieren ist¹⁴⁶⁹.

2.B.2.11.4 Lydische Keramik oder Keramik lydischen Typs: Zur Frage der Terminologie

2.B.2.11.4a Methodische Fragen

Die Diskussion in den Abschnitten Kapitel 1.B.2.11.1–3 zeigte, dass diese Gruppe von Keramikfunden in der zweiten Hälfte des 7. Jahrhunderts und im 6. Jahrhundert v. Chr. typologisch und stilistisch Parallelen im lydischen Kernland findet (Abb. 41), insbesondere in der Hauptstadt Sardeis. Diese sind aber nicht auf Lydien beschränkt. Vergleichsstücke gibt es auch im nordionischen Smyrna und im aiolischen Larisa. Zwar ist im Einzelfall oft nicht geklärt, ob diese Stücke lokal produziert oder dorthin importiert wurden¹⁴⁷⁰, doch treten die Gattungen und stilistischen Phänomene, die sich mit der Keramikproduktion von Sardeis verbinden lassen, sowohl in Smyrna als auch in Larisa so häufig auf, dass sie als charakteristisch für das jeweilige Keramikspektrum an diesen Orten angesehen werden können. In Smyrna konnte darüber hinaus eine lokale Produktion von ›Marbled ware‹ durch archäometrische Analysen sehr wahrscheinlich gemacht werden¹⁴⁷¹.

Die ovoïden Kotylen und Amphoren des Myrina-Typs sind an allen drei Fundstätten beliebte Gefäßformen. Maltechniken wie der intendiert streifige Firnisaufrag (›Streaky ware‹), manchmal in Verbindung mit linearem Dekor in Deckweiß (›White banded‹), sind ebenso an allen drei Orten nachweisbar wie bestimmte stilistische Phänomene, etwa eine rein ornamentale Variante des späten orientalisierenden Stils (**Kat. 2426**) und der noch schlichtere sog. Tropfenstil (›Drop Style‹)¹⁴⁷². Die genannten Gemeinsamkeiten sind hauptsächlich für das frühe und mittlere 6. Jahrhundert v. Chr. belegt.

Angesichts dieser mehrere Regionen übergreifenden Züge in der Töpferproduktion stellt sich die grundsätzliche Frage, inwieweit die traditionelle Klassifizierung nach ›Kunstlandschaften‹¹⁴⁷³, die die archaische Keramik der Ostägäis und Westanatoliens nach ethnischen, linguistischen und kulturellen Kriterien¹⁴⁷⁴ in ostgriechisch (ionisch, aiolisch, ostdorisch), lydisch und karisch unterteilt, der archäologischen Evidenz in diesem Fall überhaupt gerecht wird¹⁴⁷⁵. Denn Keramik-

¹⁴⁶⁹ Kerschner 2005a, 137 Taf. 10, 5. Zur Herkunftsgruppe F und ihrer Lokalisierung: Akurgal u. a. 2002, 80–84; Kerschner – Mommsen 2004–2006, 88 Abb. 1.

¹⁴⁷⁰ Zu archäometrischen Analysen von Keramikfunden aus Smyrna: Akurgal u. a. 2002, 109–113. 168–174; aus Larisa: Kerschner 2006c, 111–116.

¹⁴⁷¹ Kerschner 2005a, 137 Taf. 10, 5.

¹⁴⁷² Zu ›White banded‹ bzw. ›Light-on-dark‹: Butler 1914, 434; Paspalas 1999; Hanfmann 1983b, 79 Abb. 127; Greenewalt 2009, 195. 203 Abb. 12; Greenewalt 2010b, 110. 112 Abb. 5. 6; Greenewalt 2010c, 130 Abb. 5 (Sardeis); Boehlau – Schefold 1942; Kerschner 2006c, 116 Abb. 23 (Larisa); Paspalas 2009, 350 Abb. 3. 4 (Smyrna). Zum ›Tropfenstil‹: Cahill 2010d, 470 Nr. 81; Greenewalt 2010c, 130 Abb. 5 (Sardeis); Boehlau – Schefold 1942, 157 Taf. 52, 6; Kerschner 2006c, 112. 116 Abb. 24. 25 (Larisa und Kyme). Die gleiche Form der Tropfen, jedoch in einem komplexeren Dekorsystem, zeigt der Dinos: Cook 1958/1959, 29 Taf. 6 b (Smyrna).

¹⁴⁷³ Eine kritische Analyse des Begriffs bei Raeder 1993 (mit Lit.). Vgl. Morgan 1999, 214 f.; Morgan 2003, 165–167; Reger 2007; Reger 2013, 128; Kerschner 2017a, 102 f.

¹⁴⁷⁴ Grundsätzlich: Barth 1969, 14 (›It is important to recognize that although ethnic categories take cultural differences into account, we can assume no simple one-to-one relationship between ethnic units and cultural similarities and differences.‹). Zur Problematik der Differenzierung ethnischer und kultureller Identität in der ägäischen Früheisenzeit: Morgan 2009, 12.

¹⁴⁷⁵ z. B. Walter-Karydi 1973; Cook – Dupont 1998, 32–66; Kerschner – Schlotzhauer 2005, 4. 5. Grundlegend zu Fragen der Ethnizität in der Ägäis während der 1. Hälfte des 1. Jtsd. v. Chr.: Hall 1997; Crielaard 2009; Morgan

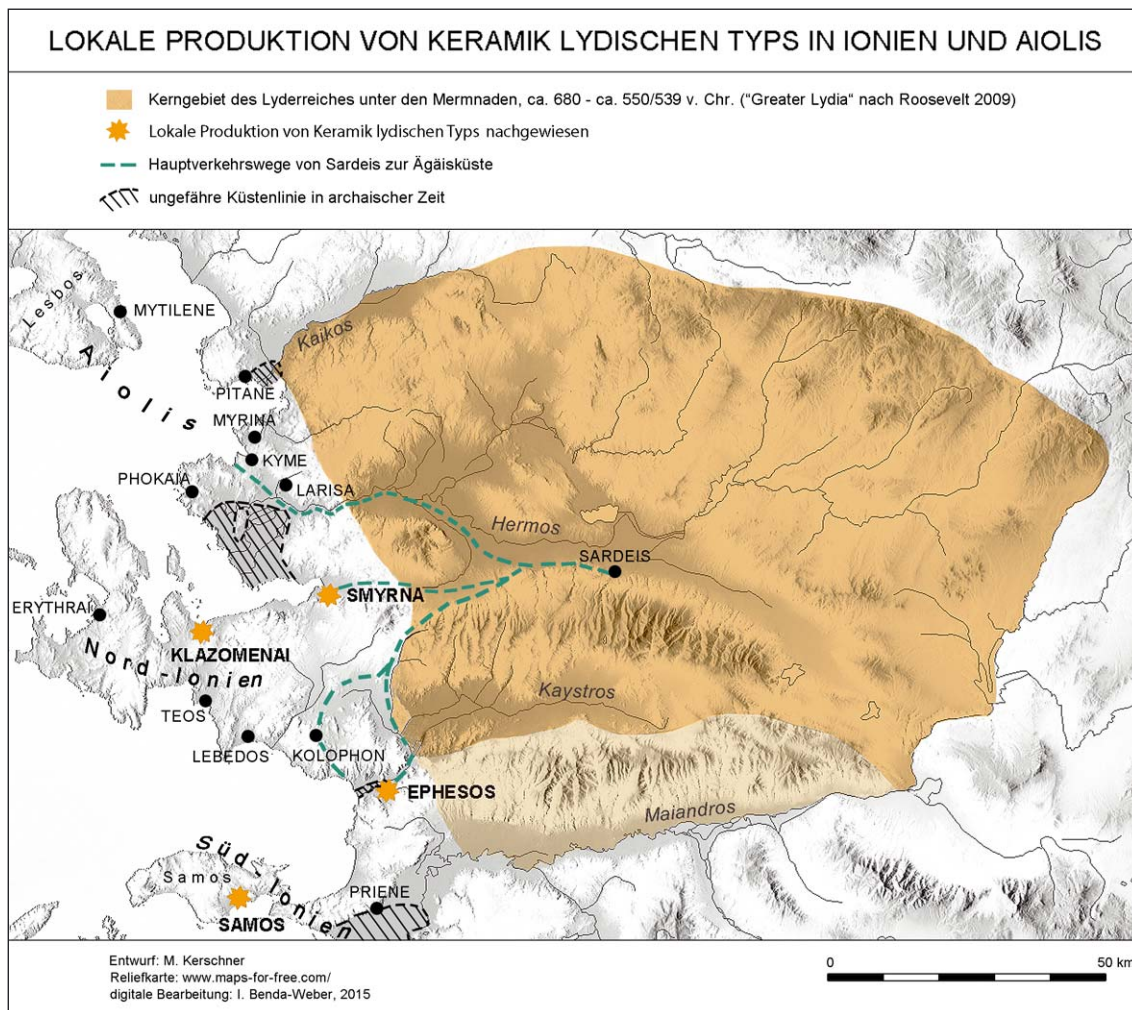


Abb. 41 Ionien, Aiolis und das Kerngebiet des Lyderreiches unter den Mermnaden. Kartierung der archäometrisch nachgewiesenen Produktion von Keramik lydischen Typs in ostgriechischen Poleis

stile sind zwar wichtige kulturelle Marker – und in der geometrischen und archaischen Epoche diejenigen, die wir am zahlreichsten fassen können –, aber sie können nicht mit einer ethnischen oder politischen Gruppe gleichgesetzt werden¹⁴⁷⁶. Die Verbreitung der archäologischen Funde einer bestimmten Gattung spiegeln vielmehr »areas of consumption« wider, die ihrerseits nur zum Teil mit den »areas of production« übereinstimmen¹⁴⁷⁷.

Die gebräuchliche Aufteilung der ostägäischen und westanatolischen Keramik der archaischen Epoche orientiert sich im Wesentlichen an den Grenzen von Sprachgebieten und politischen Organisationseinheiten (ionische und aiolische Dodekapolis, dorische Hexapolis, Lyderreich). Diese sind aber nicht kongruent mit der Gliederung der materiellen Kultur. Auch sind solche Grenzen nicht konstant, sie entwickeln sich vielmehr dynamisch im Laufe der Zeit. Hinzu kommt, dass Sprachgrenzen keine scharfen Trennlinien darstellen. Vielmehr bilden sich an den Übergängen Kontaktzonen aus, in denen die benachbarten Sprachen gegenseitige Beeinflussungen

2009; Luraghi 2014 (mit Lit.).

¹⁴⁷⁶ Barth 1969, s. o. Anm. 1474; Morgan 2003, 167: »If archaeological cultures cannot serve as indicators of political territory, predictive assessments based on site location are hardly self-explanatory, and taken out of historical context can be deeply misleading«. Vgl. Luraghi 2008, 6–14; Reger 2014, 112 f.

¹⁴⁷⁷ Reger 2007, bes. 170 f.

zeigen¹⁴⁷⁸. Das ist auch in dem an das lydische Kerngebiet grenzenden Teil Ioniens (Smyrna, Ephesos, Kolophon [?]) zu beobachten¹⁴⁷⁹. Deutlich zu greifen ist dieser Austausch mit dem Lydischen bei dem spätarchaischen ephesischen Dichter Hipponax, der mehrfach lydische Wörter verwendet, die vermutlich in der Alltagssprache seiner Landsleute gebräuchlich waren¹⁴⁸⁰.

Aber auch die Grenzen von Herrschaftsbereichen waren in der archaischen Epoche nicht scharf gezogen. Von den Mermnadenkönigen sind bei Herodot verschiedene Arten der Ausübung von Herrschaft und politischem Einfluss überliefert¹⁴⁸¹. Sie reichen von militärischer Unterwerfung über Tributeinhebung, Verträgen und Heiratsallianzen bis hin zur indirekten Manipulation durch Bestechung. Die politische Abhängigkeit der ostgriechischen Poleis von den Lydern kannte also vielerlei Schattierungen, die sich rasch wandeln konnten. Ebenso vielfältig und wechselhaft wie die politischen Beziehungen zwischen den ostägäischen Griechen und ihren lydischen Nachbarn muss man sich die wirtschaftlichen und ökonomischen Verflechtungen vorstellen.

Eine starre, vereinfachende Einteilung wird der antiken Realität also nicht gerecht. Eine differenzierte Darstellung ist allerdings schwer in Landkarten und typologische Klassifizierungen umzusetzen. Nun sind Landkarten ein wichtiges Medium der Veranschaulichung, und Typologien haben sich zur Strukturierung großer Materialmengen bewährt; sie ermöglichen erst die Vergleichbarkeit unterschiedlicher Fundkomplexe und -orte. Ich halte es daher für falsch, auf eine der beiden zu verzichten, so lange sie nicht durch ein geeigneteres Medium ersetzt werden können¹⁴⁸². Gleiches gilt für das Konzept einer ›archäologischen Kultur‹, bei dem es sich um ein wissenschaftliches Konstrukt handelt und nicht um eine objektive Tatsache¹⁴⁸³. Entscheidend ist, dass man sich bei der Anwendung darüber im Klaren ist, dass zwischen einem modernen Hilfsmittel der Darstellung oder Gliederung auf der einen Seite und der Komplexität der antiken Realität auf der anderen eine Diskrepanz besteht. Es ist ein grundlegendes Merkmal von Landkarten und Typologien, dass sie vereinfachen, um bestimmte Phänomene klarer erfassen zu können.

In dieser Weise ist auch die Landkarte Abbildung 41 zu verstehen. Ihr Zweck ist es, die räumlichen Verhältnisse im mittleren Abschnitt des ostägäisch-westanatolischen Raumes während der archaischen Epoche zu veranschaulichen. Da Lydien im 7./6. Jahrhundert v. Chr. eine äußerst dynamische Entwicklung durchlief, verschoben sich oftmals seine Grenzen und Einflussphären¹⁴⁸⁴. Das – auf der Karte dunkel wiedergegebene – lydische Kernland lag in der fruchtbaren Flussebene am Mittellauf des Hermos und an den nördlichen Abhängen des Tmolosgebirges mit Sardeis als urbanem Zentrum¹⁴⁸⁵. Vom Umland ihrer Residenzstadt ausgehend, dehnten die lydischen Könige ihr Herrschaftsgebiet im 7. Jahrhundert v. Chr. unter der Dynastie der Mermnaden auf ein größeres Gebiet im mittleren Abschnitt Westanatoliens aus¹⁴⁸⁶. Diese Region, die C. H. Roosevelt als »Greater Lydia« definierte, grenzte im Westen unmittelbar an die ionischen und aiolischen Poleis und umfasste mit dem mittleren und oberen Tal des Kaystros und dem

¹⁴⁷⁸ Zu Grenzen als Kontaktzonen: Barth 1969, 9–37, bes. 24–26; Roosevelt 2009, 36; Reger 2014 (mit Lit.). Zur Hybridisierung in der Sprache: Sanchez-Stockhammer 2012. Zur Hybridität in der archäologischen Evidenz: Maran 2012; Stockhammer 2012 (jeweils mit Lit.). Zu einer lydisch-ionisch-aiolischen Kontaktzone: Kerschner 2005a, 137. 140 f.; Kerschner 2010a, 254. 261.

¹⁴⁷⁹ Kearns 1992, 368–374; Ehrhardt 2005, 108–110.

¹⁴⁸⁰ Masson 1962, 16. 31. 32 (»Les mots étrangers qui apparaissent chez lui devaient pour la plupart être déjà incorporés dans la langue de ses contemporains d'Éphèse.«); Farina 1963, 26–28; Adiego 2001, 768–772; Melchert 2010, 272; Mac Sweeney 2013, 151.

¹⁴⁸¹ Hdt. 1, 6–94. Vgl. Greenewalt 1995b; Ehrhardt 2005, 103 f.

¹⁴⁸² Vgl. Stockhammer 2013, 12 f.

¹⁴⁸³ Stockhammer 2013, 13: »Most archaeologists are nowadays aware that our archaeologically defined cultures are nothing but – more or less – arbitrarily created entities that are more the result of our discipline's history of research than an adequate representation of past realities.«

¹⁴⁸⁴ Zusammenfassend: Roosevelt 2009, 13–26 Abb. 2.4 (mit Lit.). Schriftquellen zusammengestellt bei Pedley 1972.

¹⁴⁸⁵ Roosevelt 2009, 34 f. Abb. 3.1; 3.7 (»heartland of the Mermnad kingdom«, »Central Lydia«); Greenewalt 2010d, 7–10.

¹⁴⁸⁶ Weitgehend im Dunkeln liegt die Geschichte Lydiens in der frühen Eisenzeit, zu der es nur legendäre Überlieferungen gibt (Herakleiden-Dynastie): Roosevelt 2009, 13–22; Roosevelt 2010, 56–60.

Mesogisgebirge auch das Hinterland von Ephesos¹⁴⁸⁷. Alyattes und seinem Sohn Kroisos, den beiden letzten Königen der Mermnadendynastie, gelang es im späten 7. Jahrhundert und in der ersten Hälfte des 6. Jahrhunderts v. Chr. durch Eroberungskriege den lydischen Herrschaftsbe- reich im Westen an die Ägäisküste und im Osten bis an den Halysbogen auszudehnen, sodass er nahezu die gesamte Westhälfte der kleinasiatischen Halbinsel umfasste¹⁴⁸⁸.

In dieser Expansionsphase des Mermnadenreiches geraten die an das lydische Kernland angrenzenden Gebiete nicht nur unter den politischen und ökonomischen Einfluss Lydiens¹⁴⁸⁹. Es tauchen dort in der zweiten Hälfte des 7. Jahrhunderts und im 6. Jahrhundert v. Chr. auch verstärkt Elemente der lydischen Kultur auf. Das gilt nicht nur für den vornehmlich griechisch besiedelten Westen – Ionien und Aiolis –, sondern auch für die Regionen im Norden, Osten und Süden des lydischen Kernlandes¹⁴⁹⁰.

Inwieweit das lydische Kernland in der archaischen Epoche als kulturell homogener Raum betrachtet werden kann, ist noch unklar. Unsere Kenntnis der lydischen Kultur ist stark auf die gut erforschte Hauptstadt Sardeis konzentriert, obwohl in den letzten Jahren Surveys und Grabungen in der Hermosebene und den angrenzenden Bergregionen ebenso wie Untersuchungen zu Keramikfunden wichtige neue Ergebnisse erbrachten¹⁴⁹¹. Bisher zeichnet sich noch kein deutliches kulturelles Profil des lydischen Kernlandes außerhalb der Metropole Sardeis ab, das demjenigen von Ionien und der Aiolis gegenübergestellt werden könnte. Daher lässt sich zurzeit noch nicht sagen, wie weit bestimmte kulturelle Marker verbreitet und für welchen Raum sie charakteristisch sind. Bei dem jetzigen Wissensstand lässt sich nur Sardeis mit den besser erforschten Poleis Ioniens und der Aiolis vergleichen.

2.B.2.11.4b Der ›Hermostal-Stil‹: Eine landschaftsübergreifende Koiné der späarchaischen Keramik

Wie oben ausgeführt, charakterisiert ein bestimmtes Set keramischer Marker (Formen: ovoide Kotylen, Amphoren des Myrina-Typs; Dekorstile: ›Streaky ware‹, ›White banded‹, ornamentale Variante des späten orientalisierenden Stils [Kat. 2426], sog. Tropfenstil [›Drop Style‹]) das Keramikspektrum der lydischen Hauptstadt Sardeis, der nordionischen Polis Smyrna und der aiolischen Polis Larisa¹⁴⁹². Das Verbreitungsgebiet überschreitet damit nicht nur ethnische, poli- tische und sprachlich dialektale Grenzen, sondern auch diejenigen der traditionellen archäologi- schen ›Kunstlandschaften‹, indem es Teile von Lydien, Nordionien und Aiolis zusammenschließt, jedoch keine der drei Regionen in ihrer Gesamtheit umfasst.

Geografisch lässt sich das Verbreitungsgebiet am besten mit dem Mittel- und Unterlauf des Hermos beschreiben, wobei damit nicht nur das Flusstal selbst gemeint ist, sondern ein breiten-

¹⁴⁸⁷ Roosevelt 2009, 36–40 Abb. 3.3; 3.7 (›Greater Lydia‹).

¹⁴⁸⁸ Roosevelt 2009, 22–26 Abb. 2.4; Kerschner 2010a, 249–252 Abb. 2 (jeweils mit Lit.).

¹⁴⁸⁹ Folgt man dem Modell von Barth 1969, 19 f. zum Kontakt zwischen ethnischen Gruppen, so kann man darin den Wechsel von Adaptionsform »(1) They may occupy clearly distinct niches in the natural environment and be in minimal competition for resources.« (Lyder und Ostgriechen in der Früheisenzeit) zu »(3) They may provide important goods and services for each other, i.e. occupy reciprocal and therefore different niches but in close interdependence.« (Lyder und Ostgriechen im 7./6. Jh. v. Chr.) sehen.

¹⁴⁹⁰ Daskyleion: Gürtekin-Demir 2002. Midas-Stadt: Haspels 1951, 32–34 Taf. 8. 10. Gordion: Schaus 1992; Gürtekin-Demir 2007; Uylupınar: Gürtekin-Demir 2007, 47; Çokay-Kepçe 2009, 35 f.

¹⁴⁹¹ Vgl. u. a. Prayon – Wittke 1994, 91; Gürtekin-Demir 2001; Gürtekin-Demir 2007; Meriç 2009, 97. 103. 112 f. 129. 147 Taf. 17; Roosevelt 2009; Gürtekin-Demir 2010; Bengisu 2013; Hasdağlı 2014.

¹⁴⁹² Zu ›White banded‹ bzw. ›Light-on-dark‹: Butler 1914, 434; Paspalas 1999; Hanfmann 1983b, 79 Abb. 127; Greenewalt 2009, 195. 203 Abb. 12; Greenewalt 2010b, 110. 112 Abb. 5. 6; Greenewalt 2010c, 130 Abb. 5 (Sardeis); Boehlau – Schefold 1942; Kerschner 2006c, 116 Abb. 23 (Larisa); Paspalas 2009, 350 Abb. 3. 4 (Smyrna). Zum ›Tropfenstil‹: Cahill 2010d, 470 Nr. 81; Greenewalt 2010c, 130 Abb. 5 (Sardeis); Boehlau – Schefold 1942, 157 Taf. 52, 6; Kerschner 2006c, 112. 116 Abb. 24. 25 (Larisa und Kyme). Die gleiche Form der Tropfen, jedoch in einem komplexeren Dekorsystem, zeigt der Dinos: Cook 1958/1959, 29 Taf. 6 b (Smyrna).

rer Streifen, der im Norden große Teile der Aiolis einschließt¹⁴⁹³ und im Süden zumindest bis Smyrna reicht. Weiter südlich, in Ephesos, findet sich nicht mehr das ganze Set in repräsentativer Anzahl, sondern nur manche der Marker: die ovoiden Kotylen, die ›Streaky ware‹ und die ›White banded ware‹¹⁴⁹⁴.

J. M. Cook nannte die Schulterhenkelamphoren des Myrina-Typs mit spätorientalisierendem Dekor (**Kat. 2426**) »Hermus Valley jar«¹⁴⁹⁵. Diesen Namen möchte ich aufgreifen und erweitern zu »Hermostal-Stil«, um das oben definierte Set von keramischen Markern zu bezeichnen.

Im Hinblick auf einige der hier als keramische Marker angesprochenen Gattungen, die sowohl in Sardeis als auch in Smyrna vorkommen, sprach S. Paspalas von einem »East Greek-Lyidian continuum«: »it is equally clear that in many cultural undertakings we would not be too wrong if we envisaged a common milieu or trajectory in which it will be difficult to distinguish, at least in the sixth century, between East Greek and Lyidian«¹⁴⁹⁶.

Der Hermostal-Stil kann als »hybrid« bezeichnet werden¹⁴⁹⁷, wenn man darunter alle jene Objekte versteht, die zwischen die definierten archäologischen Kategorien fallen – in unserem Fall die als »lydisch«, als »nordionisch« und als »aiolisch« bekannten Keramikgattungen –, da dieser Mischstil Elemente von allen dreien enthält¹⁴⁹⁸. Will man den Prozess, der zur Entstehung dieses »hybriden« Stils führte, betonen, so ist der von P. Stockhammer geprägte Begriff »material entanglement«¹⁴⁹⁹ präziser: er bezeichnet die Entstehung eines neuen Stils oder Typus, der Elemente aus zwei oder mehreren bekannten archäologischen Kulturen aufnimmt und dabei etwas Neues und Eigenständiges hervorbringt. Dieser kreative Prozess wird durch die Begegnung unterschiedlicher kultureller Traditionen stimuliert¹⁵⁰⁰.

2.B.2.11.4c Die weitere Hermostal-Region: ›Middle ground‹ oder hochfrequentierte Zone?

Das Hermostal entwickelte sich gemeinsam mit (Teilen) der nördlich angrenzenden Aiolis und den südlich anschließenden Polis-Territorien von Smyrna, Kolophon und Ephesos in der zweiten Hälfte des 7. Jahrhunderts und im 6. Jahrhundert v. Chr. zu solch einer Kontaktzone, in der durch

¹⁴⁹³ Bestimmte Elemente des keramischen Sets – etwa die Amphoren des Myrina-Typs oder der ›Tropfenstil‹ – sind auch in Pitane zu finden: İren 2003.

¹⁴⁹⁴ Möglicherweise zählt auch Kolophon dazu, doch ist die archaische Keramik dieses Fundorts noch weitgehend unbekannt. s. vorläufig Bruns-Özgan u. a. 2011, 234–237 Abb. 42–44. Zum Verschwimmen lydischer und ionischer Charakteristika bei den Bestattungssitten in Kolophon: Grammer 2017.

¹⁴⁹⁵ Cook 1985, 27 (allerdings ohne nähere Erklärung des Begriffs).

¹⁴⁹⁶ Paspalas 2009, 348. Vgl. Boardman 2002, 10 (»In Archaic Lydia there was a close cultural symbiosis with neighbouring Ionia from the late 7th century on. Both behaviour and art seem shared in a common Lydo-Ionian style which mingles some eastern pattern-formality with Greek novelty.«); Miller 2007, 49 (»Yet, while ceramics provide ample evidence for both trade and cultural exchange with Greek-speaking peoples, the distinction between ›East Greek‹ and ›Lydian‹ cultural expression is best conceived as shading rather than line.«). Grundsätzlich zur Offenheit Lydiens für kulturelle Einflüsse östlicher und westlicher Nachbarn (›intercultural‹): Miller 2007, 48–50.

¹⁴⁹⁷ Das Konzept der Hybridität (›hybridity‹) geht auf Bhabha 1994, bes. 114 f. zurück und beschrieb ursprünglich eine Strategie der Kolonisierten als Antwort auf die Kolonisation. Zur vielfältigen Anwendung in der Archäologie: Antonaccio 2003; Stockhammer 2013, 43 (mit Lit.).

¹⁴⁹⁸ Stockhammer 2013, 14 f.: »From an epistemological point of view, the hybrid is what falls between the analytical categories defined by us ... Something always remains outside. In archaeology, this ›something‹ most often comprises unique objects with singular features or uncommon combinations of features.«

¹⁴⁹⁹ Stockhammer 2012b, 43. 49–51; Stockhammer 2013, 17: »material entanglement ... signifies the creation of something new that is more than just the sum of its parts and combines the familiar with the previously foreign. This object is more than just a sum of the entities from which it originated and clearly not the result of local continuities. It can be taken as a representative of a new taxonomic entity, what I would call the ›Geflecht‹ and others would call the hybrid. We can still identify such an object as an entangled artefact in the archaeological evidence from an etic perspective, even if it has lost its context over time.« Zu dem Begriff »entanglement« in der Archäologie: Dietler 1998; Hodder 2011.

¹⁵⁰⁰ Stockhammer 2013, 16: »I will use the term entanglement instead of hybridity to describe phenomena that are the result of the creative processes triggered by intercultural encounters.«

den intensivierten Austausch die Kulturen der beteiligten ostägäischen Griechen und Lyder in manchen Aspekten miteinander verschmolzen, sodass hybride Formen entstanden.

Ein Modell zur Charakterisierung solcher Interaktionsräume im Grenzbereich zweier ethnischer oder kultureller Gruppen ist der ›Middle ground‹. Es wurde von R. White entwickelt und war ursprünglich auf eine konkrete historische und geografische Situation bezogen, nämlich auf das Aufeinandertreffen der indigenen Indianerstämme mit den französischen Kolonisten in der Region der Großen Seen in Nordamerika zwischen 1650–1815¹⁵⁰¹. Rasch wurde dieses Konzept von anderen Forschern aufgegriffen und in unterschiedlichen Regionen, Kulturen und Zeiträumen angewandt, adaptiert und weiterentwickelt¹⁵⁰². Daraus entwickelte sich ein universell anwendbares Modell, das G. Reger definiert als »a contact zone between different societies where none is dominant, and so a culture of interaction develops that borrows from and reconfigures practices from both«¹⁵⁰³. I. Malkin wandte das Konzept auf die spätgeometrische und archaische Epoche an und übertrug es als »colonial middle grounds« auf die Situation im zentralen und westlichen Mittelmeer, wo phoinikische und griechische Händler und Kolonisten auf einheimische Ethnien trafen¹⁵⁰⁴.

Von den Kriterien, nach denen R. White seinen Terminus ›Middle ground‹ definierte, treffen nur einige auf die Hermostal-Region zu¹⁵⁰⁵:

- »a mutual need or a desire for what the other possesses« war zweifellos gegeben. Das lässt sich aus dem archäologischen Befund, aber auch aus den zeitgenössischen griechischen Quellen ablesen¹⁵⁰⁶.
- »a rough balance of power« hielt rund ein Jahrhundert lang an, bis es Kroisos im zweiten Viertel des 6. Jahrhunderts v. Chr. gelang, die ionischen Poleis auch militärisch zu unterwerfen und politisch seinem Reich anzugliedern. Dennoch konnten diese eine gewisse Eigenständigkeit in der inneren Verwaltung wahren¹⁵⁰⁷. Der Möglichkeit einer schrittweisen Verwandlung des ausbalancierten ›Middle ground‹ hin zu einer Machtkonzentration trug I. Malkin durch Einführung eines zeitlichen Aspekts Rechnung¹⁵⁰⁸,
- sodass man von »an inability of one side to commandeer enough force to compel the other to do what it desired« sprechen kann. Die zahlreichen Feldzüge der Mermnadenkönige von Gyges bis Alyattes gegen einzelne ionische Städte belegen diese über Jahrzehnte währende Unfähigkeit des Lyderreiches, die ostgriechischen Poleis direkt zu beherrschen.
- »Force and violence are hardly foreign to the process of creating and maintaining a middle ground, but the critical element is mediation.« Auch dieses Kriterium trifft auf das Verhältnis zwischen Lydern und ostägäischen Griechen zu, denn trotz der wiederholten

¹⁵⁰¹ White 1991.

¹⁵⁰² s. u. a. Woolf 2009, 207–217; Malkin 2011, 45–48. 137. 143; Ulf 2014, 524–527. Vgl dazu White 2011, S. XII–XVII

¹⁵⁰³ Reger 2014, 114.

¹⁵⁰⁴ Malkin 2002. Vgl. Malkin 2011; Antonaccio 2013.

¹⁵⁰⁵ White 2011, S. XII: »I think I was fairly specific about the elements that were necessary for the construction of such a space: a confrontation between imperial or state regimes and non-state forms of social organization, a rough balance of power, a mutual need or a desire for what the other possesses, and an inability of one side to commandeer enough force to compel the other to do what it desired. Force and violence are hardly foreign to the process of creating and maintaining a middle ground, but the critical element is mediation.«

¹⁵⁰⁶ Ehrhardt 2005; Kistler 2012.

¹⁵⁰⁷ Ehrhardt 2005 mit Lit.

¹⁵⁰⁸ Malkin 2011, 158: »Colonial middle grounds appear first as rich and variable, extending geographically and spatially for long periods with an apparent equilibrium consisting of the activities of individuals, small groups, locals, Greeks, Phoenicians, and Etruscans. No single power assumes control. Then, gradually, on a regional level, Massalia takes over some emporia and founds new subcolonies, thereby turning southern France into a Massaliote area. ... With this interpretative approach, introducing a temporal dimension to the development of networks, a transition over two or three centuries from free, many-to-many connectivity to connection via hubs, we are no longer forced to choose between colonization on a centralized model and a chaotic free-for-all.«

Kriegszüge der Mermnaden gegen einzelne Poleis, kam es immer wieder zu versöhnlichen Gesten (z. B. Tempelbau des Alyattes in Assesos), zu Einigungen in Verträgen und Heiratsallianzen. Der kulturelle Austausch wurde durch die zeitlich und räumlich begrenzten militärischen Konflikte vielleicht punktuell eingeschränkt, jedoch nicht generell behindert.

Zwei entscheidende Kriterien von R. Whites Modell des ›Middle ground‹ treffen jedoch auf die Situation in der Region in und um das Hermostal nicht zu:

- Es kam nicht zu »a confrontation between imperial or state regimes and non-state forms of social organization«, denn wir haben es mit Akteuren zu tun, die sich kulturell auf gleichem Entwicklungsstand befanden und alle politisch hoch organisiert waren.
- Es konnte daher auch nicht zu dem »process of mutual and creative misunderstanding« kommen, der für R. White die Kontakte im ›Middle ground‹ kennzeichnet¹⁵⁰⁹. Lyder, Ionier und Aioler kannten einander durch ständige Kontakte während ihrer jahrhundertelangen Nachbarschaft. Daher waren Sitten und Sprache des einen dem anderen nicht fremd. Die Gemeinsamkeiten betreffen nicht nur die materielle Kultur, sondern finden sich auch in der Religion, selbst wenn es in der Früheisenzeit weit weniger verbindende Elemente gab als in der Archaik, soweit wir das heute beurteilen können.

In der Region um das Hermostal waren die Ursachen für die Ausbildung einer Kontaktzone andere als in der Situation des klassischen ›Middle ground‹, bei der einer der Akteure von auswärts kommt und sich die Beteiligten zuvor noch nicht kannten. Lyder und ostägäische Griechen waren einander nie fremd gewesen, doch blieben ihre Kontakte während der Früheisenzeit auf niedrigem Niveau. Diese Situation änderte sich schlagartig im mittleren 7. Jahrhundert v. Chr., als Lydien unter der neuen Dynastie der Mermnaden einen fulminanten politischen und ökonomischen Aufstieg erlebte¹⁵¹⁰. Sardeis wächst rasch zu einer Metropole heran, deren aufstrebende Wirtschaft nun guter Verbindungen bedarf, um ein Handelsnetzwerk aufzubauen. In dieser Situation gewinnen die Verkehrswege an Bedeutung, die Sardeis mit der Küste verbanden: das Hermostal, der Weg über den Belkahve-Pass nach Smyrna und der Weg über den Karabelpass nach Kolophon (mit seinem Hafen beim Heiligtum von Klaros) oder weiter durch das untere Kaystrostal nach Ephesos. Diese Straßen folgten geografischen Gegebenheiten wie Flussläufen und leicht zu überwindenden Pässen, die schon jahrhundertlang genutzt worden waren. Nun aber, als die lydische Wirtschaft seit dem mittleren 7. Jahrhundert v. Chr. expandiert, kommt diesen Überlandstraßen eine neue Rolle zu.

Die Verbindungswege zur Ägäisküste, die im Westen jeweils in einer griechischen Hafenstadt enden, werden nun wesentlich intensiver begangen und befahren. Durch die erhöhte Frequenz verstärkt sich der interkulturelle Kontakt entlang dieser Routen, und dieser wirkt wiederum als Katalysator einer kulturellen Verschmelzung. Man könnte also in diesem Fall von einer »hochfrequentierten Zone« (»highly frequented zone«) sprechen, die zu der Ausbildung einer »hybriden« Kultur führt.

In dieser Kontaktzone finden wir nicht nur ein verstärktes »relational entanglement«¹⁵¹¹ durch die Verwendung einer relativ großen Zahl lydischer Importe im lokalen Kontext. Ein wesentlich gewichtigeres Indiz für eine Intensivierung interkultureller Kontakte in der hochfrequentierten Zone ist das »material entanglement«¹⁵¹² – fassbar in stilistischen und typologischen Mischfor-

¹⁵⁰⁹ White 2011, S. XII: »Such actors sought out cultural ›congruencies, either perceived or actual.‹ These ›often seemed – and, indeed, were results of misunderstandings or accidents.‹ Such interpretations could be ludicrous, but it did not matter. ›Any congruence, no matter how tenuous, can be put to work and take on a life of its own if it is accepted by both sides.‹ This was and is a process of mutual and creative misunderstanding.« Vgl. Ulf 2014, 545 f.

¹⁵¹⁰ Ehrhardt 2005, 102–105; Kerschner 2005a, 130 f.; Roosevelt 2009; Greenewalt 2010d, 10–18 (jeweils mit Lit.).

¹⁵¹¹ Zu den Begriffen: Stockhammer 2012b, 43. 49–51; Stockhammer 2013, 16 f.

¹⁵¹² Stockhammer 2012b, 43. 49–51; Stockhammer 2013, 17. Vgl. Ulf 2014, 538–546.

men –, das sich in den oben beschriebenen Keramikgattungen aufzeigen lässt. Es ist ein viel stärkeres Zeichen für das Entstehen eines gemeinsamen Kulturraumes, der Elemente von beiden Seiten aufnimmt und daher im Vergleich mit den Ausgangskulturen als gemischt (>hybrid<) angesehen werden kann.

Diese Mischkultur, die wir bisher vor allem in der Sprache, in der Keramikproduktion und im Kunsthandwerk fassen können¹⁵¹³, ist an die Verbindungsstrecken gebunden und findet sich daher auch nicht in ganz Ionien, sondern ist auf die Knotenpunkte (>hubs<)¹⁵¹⁴ entlang der Hauptverkehrswege und auf deren Endpunkte beschränkt: Smyrna, vielleicht Kolophon und Ephesos¹⁵¹⁵. In Ephesos sind die lydischen Elemente im Heiligtum der Artemis wesentlich stärker vertreten als in den bekannten Siedlungsbereichen. Meist handelt es sich um »relational entanglement«, seltener um »material entanglement«.

Michael Kerschner

2.B.2.12 KORINTHISCHE IMPORTKERAMIK

Nur vier Gefäßfragmente aus den Suchgräben der 1920er Jahre sind korinthischer Herstellung. Es handelt sich mit den Krateren **Kat. 2330**, **Kat. 2377** und **Kat. 2427** sowie dem Alabastron **Kat. 2428** um Gefäßtypen, die aus der archaischen Siedlung unter der Tetragonos Agora nicht bekannt sind und die ausnahmslos am unteren Ende des Zeitrahmens anzusiedeln sind, den die korinthische Importkeramik in den Agora-Befunden mit ihrem mehrheitlich noch protokorinthisch datierenden Repertoire abdeckt.

Das Schulterfragment des großen Kraters **Kat. 2377** weist einen schwarzfigurig bemalten Fries auf, von dem sich der Ausschnitt vom Hinterlauf eines nach rechts gewandten Tieres mit Binnenritzung im Gelenkbereich erhalten hat. Für eine exakte stilistische Einordnung des Gefäßes ist der Erhaltungszustand des Bildausschnitts zu fragmentarisch. Gleichwohl verweist die akkurate Ausführung der Malerei auf einen frühen Vertreter der Tierfriesmalerei innerhalb des korinthischen Stils, und vor allem die recht große Freifläche, die hinter der Tierdarstellung ohne Füllornamentik verbleibt, deutet auf eine Zugehörigkeit von **Kat. 2377** noch zum spätprotokorinthischen Stil oder zum >Transitional Style< am Übergang vom protokorinthischen in den korinthischen Stil hin¹⁵¹⁶. Kratere mit am dunklen Gefäßbecken umlaufenden Reifenbündeln in aufgesetztem Weiß (**Kat. 2427**) und/oder Rot (**Kat. 2330**) sind hingegen für den gesamten Zeitraum korinthischer Gefäßproduktion denkbar¹⁵¹⁷.

Das Alabastron **Kat. 2428** zeichnet sich durch ein von Reifen gerahmtes und in vier Reihen punktiertes Ornamentfeld an der spitzkonischen Schulter aus. Dieser Dekor ist für frühkorinthische Alabastra üblich¹⁵¹⁸.

¹⁵¹³ Zum Metallhandwerk: Kerschner 2005a, 131–133 (mit Lit.); Kerschner 2008d. Zu den architektonischen Terrakotten: Ateşlier 2010, 228. Zur lydischen Mode in Kleidung und Sitten: Kistler 2012.

¹⁵¹⁴ Vgl. Knappett 2011; Malkin 2011, 215 (jeweils mit Lit.).

¹⁵¹⁵ Vgl. Paspalas 2009, 348: »... it is important to note that in the ceramic sphere the relationship with Lydia is not uniform throughout Ionia. It is now clear that while the archaic ceramic repertoire of Ephesos and Old Smyrna shared many features with Sardis, this was not the case at Klazomenai and Miletos where features commonly met of vessels from Sardis are relatively rare.«

¹⁵¹⁶ Vgl. etwa Weinberg 1943, 51. 54 Nr. 186 Taf. 25; Amyx – Lawrence 1975, 114 Nr. An 81 Taf. 70; Stillwell – Benson 1984, 71 Nr. 313 Taf. 16; 74 Nr. 334 Taf. 17. Allgemein zum spätprotokorinthischen Stil und zum >Transitional Style< s. außerdem Payne 1931, 16–42. 267–280.

¹⁵¹⁷ Vgl. etwa Weinberg 1943, 55 f. Nr. 188 Taf. 26; Blegen u. a. 1964, 172 Nr. 3 Taf. 18. 89 (Grab 135); Amyx – Lawrence 1975, 29 f. Nr. 73. 74 Taf. 12; 106 Nr. An 35 Taf. 71; 114 f. Nr. An 81. An 83 Taf. 70.

¹⁵¹⁸ Vgl. Dugas 1928, 122 Nr. 382 Taf. 28; Jacopi 1932/1933, Abb. 76 (Grab 16); Dugas 1935, 96 Nr. 41 Taf. 55; Anderson 1958/1959, 145 Nr. 91 Taf. 24; Dunbabin 1962, 145 Nr. 1549 Taf. 87. Aus dem Artemision von Ephesos sind bei Gasser 1989, 19 Nr. 14. 15 Taf. 7. 8 bereits zwei Gefäße des Typs publiziert.

2.B.2.13 ZYPRIOTISCHE IMPORTKERAMIK

Wie schon in den archaischen Siedlungsbefunden unter der Tetragonos Agora findet sich auch in den Suchgräben der 1920er Jahre zypriotische Keramik, allerdings nicht in Form der Reibschüsseln, sondern mit einem Gefäß der Feinkeramik. Das Schüsselfragment **Kat. 2329** zeichnet sich durch ein bauchiges Schüsselbecken mit leicht einziehender Schulter und einem rund ausgebogenen Rand mit verjüngter Lippe aus. Den Randbereich schmückt ein Firnisband, an der tongrundigen Schulter zeichnen sich ein hängender Spiralhaken und daneben ein zweiter, stehender Spiralhaken ab. Sowohl die Gefäßform als auch das Dekorsystem bleiben innerhalb der ostgriechischen Keramik ohne unmittelbare Parallele. Das feine, helle und glimmerhältige Fabrikat sowie den stark verriebenen, hellen Überzug hat **Kat. 2329** mit zypriotischen Gefäßen¹⁵¹⁹ der ›White painted ware‹ gemeinsam, und der Dekor findet seine nächste Anbindung in den konzentrischen Kreisen und Haken sowie Spiralhakenmotiven ebenfalls auf zypriotischen Gefäßen¹⁵²⁰. L. Betina konnte mit der petrografischen Analyse der Schüssel **Kat. 2329** ihre zypriotische Herkunft bestätigen (s. u. Kap. 4.C). Damit liegt im Bereich des späteren Vediusgymnasiums bereits das zweite Gefäß zypriotischer Feinkeramik vor; ein Krug der Stufe Cypro-Archaisch I/II wurde bereits von M. Kerschner vorgelegt¹⁵²¹.

2.B.3 Diskussion¹⁵²²

Im Vergleich mit dem Keramikspektrum aus den archaischen Siedlungsbefunden unter der Tetragonos Agora zeigen sich einige signifikante Unterschiede im Repertoire der Suchgräben am nordwestlichen Ausläufer des Panayırdağ. Zum einen sind innerhalb der Kotylen mit den Ornamentbahnenkotylen, den Zickzackbandkotylen, den Wellenmetopenkotylen, den Winkelmetopenkotylen und den Vogelkotylen der frühesten Typen 1 und 2 spätgeometrische Varianten ostgriechischer Randfalkotylen vertreten, die in der Agora-Siedlung nicht nachgewiesen werden konnten. Das Gleiche gilt für die großen Kotylen mit bogenförmig hochgebogenen Henkeln, **Kat. 2500** und **Kat. 2501**, für die von korinthischen Kotylen spätgeometrischer Zeit inspirierte Kotyle **Kat. 2119** sowie für die noch deutlich geometrisch geprägten Kratere, Kannen und Amphoren oder Hydrien. Dieser Befund verweist im Bereich des späteren Vediusgymnasiums auf einen Zeithorizont, der in der archaischen Agora-Siedlung fehlt, obwohl auch dort der Anteil spät- bis subgeometrischer Gefäße nicht gering ist. Der stilistische Vergleich mit dem Material aus den Suchgräben der 1920er Jahre legt jedoch nahe, dass es sich bei den spät- bis subgeometrischen Gefäßen aus der Agora-Siedlung tatsächlich mehrheitlich um Exponenten einer subgeometrischen Strömung archaischer Zeit und nicht mehr um echt geometrische Gefäße handelt. Die Datierung der Agora-Siedlung ab dem zweiten Viertel des 7. Jahrhunderts stimmt mit dieser Überlegung problemlos überein. Für die chronologische Einordnung der oben genannten Kotylen könnte dies im Umkehrschluss bedeuten, dass diese sich zumindest mehrheitlich noch auf das 8. Jahrhundert eingrenzen ließen. Besonders für die Zickzackbandkotylen (**Kat. 2144**) ist dies angesichts ihres Vorkommens in noch mittelgeometrischen Befunden aus Klazomenai wahrscheinlich¹⁵²³.

¹⁵¹⁹ Vgl. dazu den grundlegenden Typenkatalog zypriotischer Keramik bei Gjerstad 1948. Die nächste formale Parallele begegnet in den kleinen bauchigen Schüsseln mit rund ausgebogenen Rand der ›Bichrome V ware‹ (Cypro-Archaisch I/II) bei Gjerstad 1948, Nr. 1b Abb. 47.

¹⁵²⁰ Zur ›White painted ware‹ s. Gjerstad 1948, 48–59; Stager 2011c, 103–106. Zum Dekor vgl. beispielsweise auch die geschlossenen Gefäße bei Karageorghis 1970, 21 Nr. 104 Taf. 64 (Grab 10); 31 Nr. 10 Taf. 77 (Grab 14); 50 f. Nr. 40 Taf. 102 (Grab 23); 60 Nr. 11 Taf. 112 (Grab 30); 125 Nr. 17 Taf. 159 (Grab 83); Karageorghis 1978, 4 f. Nr. 2. 10 Taf. 1 (Grab 44); 13 Nr. 1 Taf. 7 (Grab 91); Nys – Åström 2001. Mit der tiefen Schüssel bei Karageorghis 1970, 125 f. Nr. 18. 24 Taf. 160. 245 (Grab 83) ist der Dekor auch für offene Gefäße belegt.

¹⁵²¹ s. dazu Kerschner 2008a, 57. 74 Nr. 74 Taf. 18. 36.

¹⁵²² Für kritische Anmerkungen und wertvolle Hinweise danke ich M. Kerschner.

¹⁵²³ Vgl. dazu Ersoy 2004, 44–49 Abb. 3–5. Die gleiche Evidenz liegt in Klazomenai für die Vogelkotylen vom Typ 3 vor.

Überraschend ist indessen das völlige Fehlen der Zickzackmetopenkotylen, die in den Agora-Befunden zu den prominentesten Trinkgefäßen des 7. Jahrhunderts zählen. Eine rein chronologische Erklärung dieses Umstands dahingehend, dass die Produktion der Zickzackmetopenkotylen erst im 7. Jahrhundert eingesetzt habe und damit einem späteren Zeithorizont angehöre, als er am Nordwestabhang des Panayırdağ nachzuweisen ist, kann angesichts der Tatsache, dass auch im Fundspektrum aus den Grabungen unter dem späteren Vediumnasium das 7. Jahrhundert grundsätzlich vertreten ist, nicht genügen. Darüber hinaus sind die Zickzackmetopenkotylen nicht die einzigen für die Agora-Siedlung als typisch erachteten Gefäße, die im Materialbestand der Keil'schen Altgrabungen weitgehend oder ganz fehlen. Den korinthisierenden Kotylen nach dem Vorbild der protokorinthischen Gefäße, den dunkelgrundigen Skyphoi, den kleinformatigen Knickrandschalen der Typen 5 und 6, den frühen Knickrandschalen vom Typ 9, den Schalen mit ausgebogenem Rand, den glockenförmigen Tassen, den frühorientalisierenden Gefäßen und den subgeometrischen Kännchen kommt im keramischen Spektrum der Keil'schen Altgrabungen ebenfalls keine Bedeutung zu. Bemerkenswert ist dabei, dass es sich wiederum durchgehend um Gefäße des 7. Jahrhunderts handelt. Umgekehrt bleibt die breite Vielfalt vor allem an späten Kalottenschalen und an nordionisch-orientalisierenden sowie nordionisch-schwarzfigurigen Gefäßen ebenso wie der Anteil an Keramik lydischen Typs in der Agora-Siedlung ohne Parallele, obwohl auch dort zumindest die erste Hälfte des 6. Jahrhunderts abgedeckt sein müsste. Das Spektrum der Transportamphoren und der Küchenwaren lässt sich hingegen nicht hinreichend vergleichen, da diese grobkeramischen und unbemalten Gefäße bei den Grabungen der 1920er Jahre nicht aufbewahrt wurden, sofern es sich nicht um Randfragmente handelte oder wie im Fall des sorgfältig geglätteten Kochtopfes **Kat. 2520** um ein Gefäß mit spezieller Oberflächenbehandlung. Das vertretene Typenrepertoire weicht aber ebenfalls erkennbar von jenem aus der Agora-Siedlung ab. Es ist nicht anzunehmen, dass die Divergenzen zwischen dem keramischen Materialbestand aus den archaischen Siedlungshorizonten unter der Tetragonos Agora und aus den Suchgräben der 1920er Jahre allein chronologisch zu erklären sind.

Sicher scheint aufgrund der repräsentativen Materialmenge nur, dass das Gefäßrepertoire am nordwestlichen Ausläufer des Panayırdağ weiter in das 8. Jahrhundert zurückreicht als jenes aus der Agora-Siedlung. Umgekehrt reicht das Fundmaterial der Keil'schen Altgrabung mit den spätesten Kalotten- und Knickrandschalen, den Krateren und Lekanen sowie den schwarzfigurigen Gefäßen des fortgeschrittenen 6. Jahrhunderts anders als die Siedlungsbefunde unter der Tetragonos Agora bis mindestens in die ausgehende Archaik hinab. Die Nutzung der nordwestlichen Ausläufer des Panayırdağ scheint demzufolge früher eingesetzt und länger angedauert zu haben als jene der Siedlung unter der Tetragonos Agora, zumindest soweit es den dort ausgegrabenen Bereich betrifft.

Für die übrigen thematisierten Unterschiede im Keramikspektrum der beiden Fundplätze muss nach einem anderen als dem chronologischen Erklärungsmodell gesucht werden. Hier wird erneut das Spektrum der Trinkgefäße interessant, das sich im 7. Jahrhundert mehrheitlich aus Vogelkotylen, Kalottenschalen, Tassen und wenigen Knickrandskyphoi sowie Knickrandschalen vom Typ 5 zusammensetzt. Den größten Anteil haben mit den Kotylen und Kalottenschalen dabei eindeutig die nordionischen Typen, wobei die Dominanz des nordionischen Elements vonseiten der bemalten Feinkeramik im weitgehenden Fehlen frühorientalisierender Gefäße südionischer Produktion, wie sie etwa aus der Agora-Siedlung bekannt sind, unterstrichen wird. Dasselbe Phänomen setzt sich im 6. Jahrhundert mit den entwickelten Kalottenschalen und der nordionischen Feinkeramik orientalisierender und schwarzfiguriger Tradition fort. Während also in der archaischen Agora-Siedlung ein mehr oder weniger ausgewogenes, wenn auch nach Waren und Formen diachron sich veränderndes Verhältnis nordionischer und südionischer Strömungen nicht nur im Importverhalten, sondern auch in der lokalen Produktion gegeben war, ist die Gewichtung im Materialbestand am Nordwestabhang des Panayırdağ insgesamt zugunsten nordionischer Werkstatttraditionen verschoben. Die Ursache hierfür kann nicht in der selektiven Fundauswahl der 1920er Jahre liegen, da dort zwar nicht die unbemalten, wohl aber die bemalten Gefäßfragmente offenbar nahezu vollständig aufbewahrt worden waren, wie sich anhand der hier vorgelegten

Fragmente erkennen lässt. Entscheidend für die Fundauswahl war für die Ausgräber J. Keil und F. Miltner offenbar die Dekoration der Fragmente, und dieses Kriterium trifft für südionische, nordionische, lydische und lokale Keramik gleichermaßen zu. Der entstandene Gesamteindruck dürfte daher, zumindest was das quantitative Verhältnis der bemalten Gattungen untereinander angeht, in Grundzügen als repräsentativ angesehen werden.

Damit eröffnet sich auch für einige der in den Agora-Befunden nicht nachgewiesenen Kotylentypen eine zweite, nicht mehr allein chronologisch basierte Interpretationsmöglichkeit. Denn wenn am Nordwestabhang des Panayırdağ die in der Agora-Siedlung bekannten und auch lokal hergestellten Trinkgefäße des 7. Jahrhunderts fehlen (Zickzackmetopenkotylen, kleinformatige Knickrandschalen der Typen 5 und 6), wurde diese Lücke möglicherweise von Trinkgefäßtypen geschlossen, die in Analogie zu dem gewonnenen Gesamteindruck in nordionischer Tradition stehen und die umgekehrt in der Agora-Siedlung fehlen (Ornamentbahnen-, Zickzackband-, Wellenmetopen- und Winkelmetopenkotylen). Für die Wellenmetopenkotylen und die Winkelmetopenkotylen konnte dabei im scherbentypologischen Abgleich mit der Herkunftsgruppe I eine lokale Produktion auch dieser Typen wahrscheinlich gemacht werden. Die Übersicht der im Repertoire der Trinkgefäße mikroskopisch ermittelten Herkunftsgruppen (Diagramm 100) zeichnet insgesamt freilich ein anderes Bild als das in der archaischen Siedlung unter der Tetragonos Agora gewonnene (Diagramm 3–32). Der größte Anteil bleibt mit 28 % hier erneut den nicht lokalisierten Gefäßen vorbehalten, wobei hierin auch die vermutlich milesischen Knickrandschalen und Tassen (**Kat. 2164. Kat. 2182. Kat. 2188. Kat. 2503**) sowie jene Kotylen der Vogelschalenwerkstatt eingeschlossen sind, deren Zugehörigkeit zur Herkunftsgruppe B sich im mikroskopischen Abgleich nicht einwandfrei bestätigen lässt (**Kat. 2129. Kat. 2141. Kat. 2142**). Innerhalb der lokalisierten Gruppen hat die lokale Produktion mit 13 % bis 24 % (Herkunftsgruppe I, H und M) nur einen geringen Vorsprung vor den nordionischen Vogelschalenwerkstätten (Herkunftsgruppe B) mit 19 %, während auf die samischen Importeure (Herkunftsgruppe J) anders als in den Agora-Befunden mit nur 5 % ein erstaunlich geringer Anteil entfällt. Auffallend ist auch die zurückgenommene Bedeutung der lokalen Herkunftsgruppe H (1 %) im Verhältnis zu den Herkunftsgruppen I (12 %) und M (11 %).

Auch abseits der Trinkgefäße zeugt das Fundspektrum vom Nordwestabhang des Panayırdağ von einer engen Anbindung an das nördliche Ionien. Dies betrifft zunächst das Repertoire der feinkeramischen Misch-, Servier- und Schankgefäße, die im vertretenen Formen- und Dekorrepertoire wiederum deutlicher die nordionische als die südionische Nachbarregion widerspiegeln. Darüber hinaus stellt sich auch für eine große Anzahl der reifenverzierten Alltagswaren allgemein die Frage nach ihrer Provenienz, ist doch das in der Agora-Siedlung typische lokale mittelharte Fabrikat der ephesischen Alltagskeramik (s. o. Kap. 1.B.3.1.1) im Material vom nordwestlichen Ausläufer des Panayırdağ bis auf wenige Ausnahmen kaum vertreten (**Kat. 2223. Kat. 2239. Kat. 2441**).

Als besonders aufschlussreich hat sich die Untersuchung der Küchenwaren erwiesen (s. o. Kap. 2.B.2.7). Hier hat es zumindest nach der momentanen Befundlage den Anschein, als ob die Küchenwaren vom Westabhang des Panayırdağ geschlossen von einer anderen Rohstoffquelle herrühren als jene in der Siedlung unter der Tetragonos Agora. Ob sich hierin ein ausgeprägtes Importverhalten niederschlägt oder ein chronologisches Phänomen deutlich wird, kann aufgrund der geringen Probenmenge vorerst nicht mit letzter Sicherheit beantwortet werden. Wie für die Pithoi der Agora-Siedlung zeichnet sich auch für **Kat. 2425** im Fabrikat eine deutliche Affinität zu den im Umfeld geborgenen Küchenwaren ab, mit denen der bemalte Pithos die mit vulkanischen Einschlüssen angereicherte Tonpaste gemeinsam hat.

Die im Vergleich zu der Agora-Siedlung deutlich andere Zusammensetzung des Gefäßbestandes im Bereich der Keil'schen Altgrabung wird schließlich auch durch den vergleichsweise auffallend hohen Anteil an Keramik lydischen Typs (s. o. Kap. 2.B.2.11) hervorgehoben. Diese sind in der Agora-Siedlung mit nur einer ovoiden Kotyle **Kat. 1102** wahrscheinlich samischer Herstellung vertreten. Im Bereich des späteren Stadionhügels wird gerade für die ovoiden Kotylen anhand der fabrikatstypologisch einer NAA-Herkunftsgruppe zugeordneten Fragmente **Kat. 2192, Kat. 2387, Kat. 2434** und **Kat. 2435** (Herkunftsgruppe M) sowie für das Bodenfrag-

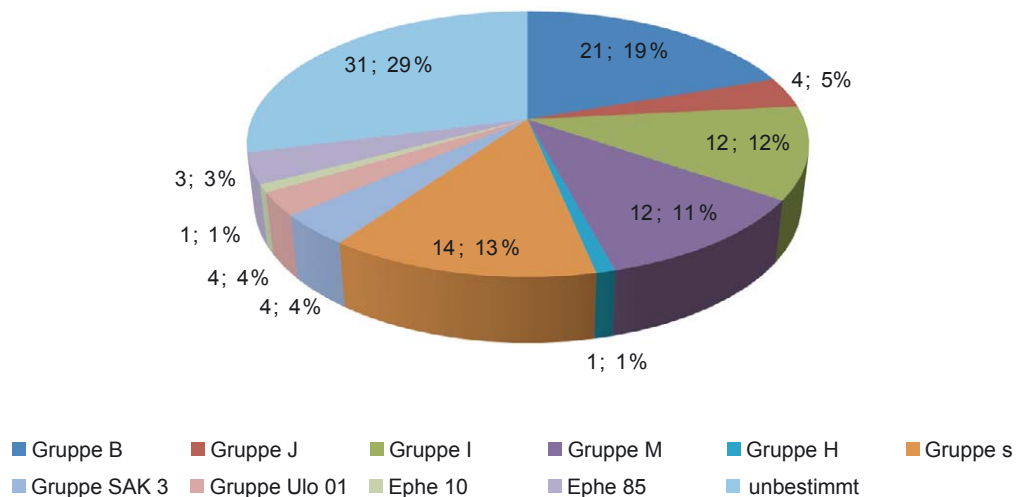


Diagramm 100 Herkunft der Trinkgefäße aus der ›Keil-Grabung‹

ment **Kat. 2193** (Herkunftsgruppe B) dabei deutlich, dass es sich teilweise um regionale ionische Adaptionen der lydischen Formvorbilder handeln dürfte. In der Produktion von Klazomenai ist die Adaption lydischer Vorbilder bereits hinreichend gesichert¹⁵²⁴. Die ovoiden Kotylen der Herkunftsgruppe M bringen auch die Region um Ephesos nicht nur als einen der wichtigsten Fundplätze lydischer Keramik in Ionien, sondern auch als Produzenten lydisierender Gefäßtypen ins Spiel (s. o. Kap. 2.B.2.11.1e), wie dies bereits von P. Dupont auf Basis einiger Fragmente der ›Streaky ware‹ aus Borysthenees erstmals angedacht wurde¹⁵²⁵.

Eine wesentliche Frage stellt sich nach dem allgemeinen Kontext der Altfunde vom Westabhang des Panayırdağ. Schon dem Ausgräber der 1920er Jahre war es aufgrund fehlender architektonischer Strukturen nicht möglich, diesen Kontext zu spezifizieren, wenngleich J. Keil im Bereich des Vediumgymnasiums gezielt nach der frühen Besiedlung gesucht hat und in der geometrischen und archaischen Fundkeramik die Evidenz dieser »altionischen Stadt« zu erkennen glaubte¹⁵²⁶. Wie sicher ist eine Ansprache der Funde als Siedlungsmaterial aber tatsächlich¹⁵²⁷? Auf die Gemeinsamkeiten und Unterschiede zu dem Gefäßspektrum der Agora-Siedlung ist bereits eingegangen worden; von einer quantitativen Aufschlüsselung wird an dieser Stelle bewusst abgesehen, da durch die unterschiedliche Grabungsmethode und Fundselektion in den Grabungen der 1920er Jahren keine unmittelbare Vergleichbarkeit mit den Funden von der Tetragonos Agora besteht. Nicht zuletzt dadurch, dass mit den unbemalten Fragmenten ein großer Anteil des Gefäßspektrums aus den Keil'schen Grabungen nicht greifbar wird, ist ein quantitativer Vergleich des Materialbestands der beiden Fundplätze unzulässig. Auf statistischem Wege ist es daher im konkreten Vergleich nicht möglich, sich einer Bestätigung des Bereichs als Siedlungsareal anzunähern.

Was aber wären die Alternativen? Neben einem Siedlungskontext käme eine Nekropole oder ein Heiligtum in Frage. Die Bandbreite, die chronologische Reichweite und der mit wenigen Ausnahmen schlechte Erhaltungszustand des Materials machen eine Ansprache als keramisches

¹⁵²⁴ s. dazu Ersoy 2003, 254–257; vgl. auch Kerschner 2005a, 134–141; Kerschner 2006f, 273 f.; Kerschner 2008d, bes. 227 f.; Coulié 2013, 171 f.

¹⁵²⁵ Vgl. Dupont 2013, 236.

¹⁵²⁶ s. dazu Keil 1922–1924; Keil 1926; Keil 1929a, 45–48; Keil 1929b, 34. Vgl. außerdem Kerschner u. a. 2008 zu den jüngeren Grabungen im Bereich des Vediumgymnasiums, bes. die Ausführungen von Steskal 2008b, 21–23 zum Grabungsbefund.

¹⁵²⁷ Vgl. dazu auch die Ausführungen zum geometrischen und archaischen Material aus den jüngsten Grabungen im Vediumgymnasium bei Kerschner 2008a, 109–118.

Grabinventar wenig wahrscheinlich. Selbst bei gestörten Bestattungen wäre wohl mit einzelnen zur Gänze erhaltenen Stücken, insbesondere mit kleinen Salbgefäßen, zu rechnen. Gerade diese an sich auch für Ephesos typischen Grabgefäße sind im Fundspektrum der Altgrabung mit nur einem einzigen Vertreter (**Kat. 2428**) deutlich unterrepräsentiert, während etwa die vielen Großgefäße im Zusammenhang einer Nekropole nicht in dieser Menge zu erwarten sind¹⁵²⁸. Darüber hinaus hätte eine Nekropole, allein um die Menge an Gefäßen von geometrischer bis hellenistischer Zeit zu erbringen (und dabei fehlen die unbemalten Gefäßfragmente), über einen langen Zeitraum hinweg sehr dicht belegt sein müssen, und es ist schwer vorstellbar, dass sich keinerlei Spuren von Sarkophagen oder anderen Grabanlagen erhalten hätten oder diese, sofern vorhanden, den Ausgräbern J. Keil und F. Miltner völlig entgangen wären.

Ein Heiligtum scheint unter Berücksichtigung der bislang vorgelegten Befunde aus dem Artemision¹⁵²⁹ ebenfalls wenig wahrscheinlich. Sicher ist gerade in den Gefäßen lydischen Typs eine Gruppe zu greifen, die für die einwandfrei als solche anzusprechende Siedlung unter der Tetragonos Agora weitgehend fehlt, jedoch umso mehr für das ephesische Artemision bezeichnend ist. Drei weitere das Artemisheiligtum besonders bezeichnende Gattungen oder Gefäßformen scheinen im Material aus den Keil'schen Grabungen hingegen nicht prägnant auf¹⁵³⁰. So fehlt gerade für die korinthischen Importe, für die Grauen Waren und für die Kännchen oder Hydriskoi wie allgemein für die Miniaturgefäße als für das Heiligtum indikativen Gefäße eine nennenswerte Anzahl unter den Funden der Keil'schen Altgrabung. Einige grobkeramische Wandfragmente verweisen außerdem für die Grauen Waren darauf, dass es sich hierbei um die einzige unbemalte Gattung handelt, die bei den Grabungen der 1920er Jahre gemeinsam mit den bemalten Fragmenten sorgfältig geborgen worden sein dürfte, und ihre geringe Anzahl daher nicht allein der schon thematisierten selektiven Fundauswahl geschuldet sein kann. Gerade die korinthischen Importe, insbesondere Aryballoi, Alabastra und Kotylen, sowie die Miniaturgefäße zählen darüber hinaus zu den auch in anderen ostgriechischen Heiligtümern typischen Gefäßformen¹⁵³¹, während umgekehrt der lydische Import ein Spezifikum des Artemisions darstellt, das aufgrund der besonderen Affinität der Lyder mit der ephesischen Artemis¹⁵³² für andere sakrale Einrichtungen nicht in gleicher Weise erwartet werden darf. Dies bedeutet wiederum, dass die Präsenz von Keramik lydischen Typs am Nordwestabhang des Panayırdağ weder ein notwendiger noch ein hinreichender Grund für die Annahme eines Heiligtums ist. Darüber hinaus stellt die Fundkeramik als einzige zur Verfügung stehende archäologische Evidenz aber auch keine anderen überzeugenden Argumente für einen sakralen Kontext bereit.

Möglicherweise muss man davon ausgehen, dass sich im Material aus den Keil'schen Altgrabungen unterschiedliche Befundarten repräsentiert finden. Dabei kommen letztlich vor allem Siedlungs- und Heiligtumsbefunde in Frage. Für die Siedlung im Bereich des koressischen Hafens, deren Lokalisierung wiederholt an der Nordseite des Panayırdağ einschließlich seines Westabhangs angenommen wurde¹⁵³³, sind in der Tradition des Kreophylos bei Athenaios zwei Heiligtümer, ein der Artemis geweihtes am Marktplatz der Siedlung und ein dem delphischen

¹⁵²⁸ Vgl. zu ephesischen Nekropolen archaischer Zeit Langmann 1967; Scherrer – Trinkl 2006, 149–151; Weiters Hürmüzlü 2004 zu Klazomenai und Boehlau 1898 zur Westnekropole auf Samos. s. dazu schon Kerschner 2008a, 115.

¹⁵²⁹ Zu den vorgelegten Befunden s. Kerschner 1997a. Zu demselben Schluss kommt schon Kerschner 2008a, 115 f.

¹⁵³⁰ s. dazu von Miller 2015, 189 f.

¹⁵³¹ Auffällig ist schließlich auch das Fehlen von Kleinfunden unterschiedlicher Materialien (Schmuck, Trachtbestandteile etc.), die in den Artemisionbefunden sehr prominent vertreten sind. Vgl. dazu beispielsweise Hogarth 1908; Bammer 1988; Klebinder-Gauß 2007; Pülz 2009.

¹⁵³² Vgl. dazu Ehrhardt 2005, 109; Kerschner 2005a, 130–141; Kerschner 2006f, 262 f.; Kerschner 2008d; Muss 2008b, 48; Fischer 2013, 21 f. 52 f.

¹⁵³³ Zur Überlieferung vgl. Athen. 8, 62 in der Tradition des Kreophylos; Paus. 7, 2. 8–9. Dazu haben sich Keil 1922–1924; Karwiese 1995, 19–23; Scherrer 1999, 381 f.; Scherrer – Trinkl 2006, 59 f.; Mohr 2007, 304; Scherrer 2007, 327–329 und in einer forschungsgeschichtlichen und quellenkundlichen Diskussion Steskal 2008a, bes. 16–18 sowie Stock u. a. 2014, 37 f. 51. 55. 57 und zuletzt Kerschner 2016 geäußert. s. speziell zur schriftlichen Überlieferung auch Fischer 2013, bes. 22 f.

Apollon geweihtes Hafenheiligtum, bezeugt¹⁵³⁴. In einem speziell dieser Koressos-Siedlung zugeordneten Artemisheiligtum wäre möglicherweise eine zusätzliche Anbindung an das Artemision gegeben, die im Materialbestand beider Fundplätze evident werden könnte. Wie sich aber die geometrisch-archaischen Funde am Nordwestabhang des Panayırdağ zu der literarisch erst um 400 bezeugten Siedlung Koressos verhalten, muss nicht zuletzt aufgrund der prekären archäologischen Befundsituation der geometrisch-archaischen Epoche offenbleiben. Daher bleiben schließlich alle Überlegungen zu dem Material der Keil'schen Altgrabungen jenseits der chronologischen Interpretation höchst spekulativ.

Dessen ungeachtet ist aus der Gegenüberstellung der beiden Fundplätze doch zumindest die bemerkenswerte Erkenntnis zu gewinnen, dass, obwohl in topografischer Nähe zueinander gelegen, die aus der Analyse des Agora-Materials gewonnenen Ergebnisse nicht ohne weiteres auf andere Fundplätze auf dem ephesischen Stadtgebiet übertragen werden können. Die Ergebnisse zu der archaischen Siedlung unter der Tetragonos Agora charakterisieren in erster Linie eben diese Siedlung. Während die Bewohner der Agora-Siedlung ihren Gefäßbedarf aus dem nördlichen und dem südlichen Ionien gleichermaßen deckten und in Anlehnung an beide Produktionsregionen auch selbst herstellten, scheinen am nordwestlichen Ausläufer des Panayırdağ die nordionischen Zentren deutlicher impulsgebend gewesen zu sein. Hierin spiegeln sich möglicherweise anders gelagerte Vorlieben oder auch Möglichkeiten unterschiedlicher sozialer Gruppierungen wider, die in verschiedenen Bereichen der Polis lebten und in unterschiedlicher Weise in überregionale Waren- und Kommunikationskreisläufe eingebunden waren.

Ein möglicher Schlüssel zum besseren Verständnis dieser gegensätzlichen Situation in Ephesos liegt in den antiken, wenn auch nicht zeitgenössisch archaischen Schriftquellen, wo von mehreren Siedlungen mit unterschiedlichen Gründungslegenden und Toponymen berichtet wird¹⁵³⁵. Das für Ephesos überlieferte Toponym Smyrna wurde für die Agora-Siedlung vorgeschlagen¹⁵³⁶, während der nordwestliche Abhang des Panayırdağ mit dem Toponym Koressos identifiziert wurde¹⁵³⁷. Mit Namen und Gründungslegenden ist immer auch Identität verbunden in dem Sinne, dass diese identitätsstiftend wirken¹⁵³⁸. Der Begriff Identität wird hier in Anlehnung an D. Asheri zuallererst als »convinzione dell'individuo di appartenere a una determinata entità sociale – una comunità geografica, linguistica, religiosa, culturale, politica: convinzione al contempo individuale e collettiva«¹⁵³⁹ verstanden und nach dieser Definition explizit nicht als rein ethnisches Konzept aufgefasst. Vielmehr zielt er auf das Selbstverständnis von Personen und Personengruppen ab, das sich aus unterschiedlichen und parallel zueinander bestehenden Aspekten konstituieren kann und äußeren Veränderungen unterworfen ist¹⁵⁴⁰. Dieses Selbstverständnis über die materielle Kultur greifbar zu machen, ist ein heikles Unterfangen, das in der archäologischen

¹⁵³⁴ Kreophylos bei Athen. 8, 62. Vgl. dazu Scherrer 1999, 382 f. mit weiterführender Lit. und kritisch dazu zuletzt Kerschner 2014b, 37.

¹⁵³⁵ Zur literarischen Überlieferung bei Athenaios, Strabon und Pausanias vgl. die zusammenfassende Diskussion bei Steskal 2008a, 11–15 und den Beitrag von Kerschner – Steskal 2008, 123 f. s. außerdem Mohr 2007 und den Kommentar bei Fischer 2013, 57 f.

¹⁵³⁶ Vgl. dazu Langmann 1993; Karwiese 1995, 16 f.; Scherrer 1999, 385; Scherrer – Trinkl 2006, 60 f.; Scherrer 2007, 331. Vgl. zur Lokalisierung von Smyrna außerdem Keil 1929b, 38; Mohr 2007, 312–315; Steskal 2008a, 14 f. und zuletzt Fischer 2013, 24 f. Kritisch zu dieser Interpretation äußert sich Kerschner 2006f, 367 Anm. 28. Zu der literarischen Überlieferung s. Strab. 14, 1. 4. in der Tradition des Hipponax. s. auch Mac Sweeney 2013, 190.

¹⁵³⁷ Zur Überlieferung vgl. Athen. 8, 62 in der Tradition des Kreophylos; Strab. 14, 632. 633. 640. Paus. 7, 2. 8–9. Dazu haben sich Keil 1922–1924; Karwiese 1995, 19–23; Scherrer 1999, 381 f.; Scherrer – Trinkl 2006, 59 f.; Mohr 2007, bes. 315–319; Scherrer 2007, 327–329; Steskal 2008a, bes. 16–18 und Fischer 2013, bes. 22 f. geäußert.

¹⁵³⁸ Zur Bedeutung von überlieferten Mythen für die Konzeption vor allem ethnischer Identität vgl. beispielsweise Hall 1997, 25–33 mit weiterer Lit. Speziell für Ionien vgl. Crielaard 2009, 38 f. 46–54. 72; Mac Sweeney 2013, bes. 7 f. 14. 198, und speziell zu Ephesos und seinen Mythen S. 137–146. 190. 193.

¹⁵³⁹ Asheri 1997, 5.

¹⁵⁴⁰ Speziell zur ionischen Identität in Kleinasien vgl. zuletzt die ausführliche Diskussion bei Crielaard 2009 mit weiterer Lit. Speziell zu Ephesos vgl. bes. Kerschner 2006e.

Interpretation gemeinhin durch die Verknüpfung der materiellen Hinterlassenschaften mit der literarischen Überlieferung erfolgt¹⁵⁴¹. J. P. Crielaard hat in diesem Zusammenhang betont, dass die Bedeutung materieller Hinterlassenschaften dabei nicht nur in der Sichtbarmachung identitärer Konstrukte und ihres Wandels, wie sie in der Literatur überliefert sind, liegt. Vielmehr weist er der materiellen Kultur auch eine Rolle in deren Konstituierung zu¹⁵⁴².

M. Kerschner hat für das archaische Ephesos zuletzt mit guten Gründen eine Streusiedlung, bestehend aus mehreren Siedlungskernen in Hafennähe, argumentiert¹⁵⁴³. Während die vorgelegte Keramik glaubhaft machen kann, dass die Besiedlung am Nordwestabhang des Panayırdağ seit dem mittleren 8. Jahrhundert etwas früher eingesetzt hat als jene unter der späteren Tetragonos Agora seit dem frühen 7. Jahrhundert, muss vorerst ungeklärt bleiben, nach welchen äußeren Kriterien sich die einzelnen Siedlungsgemeinschaften zusammenfanden. Unabhängig davon, ob die Zuweisung der Toponyme »Smyrna« und »Koressos« an die beiden hier zur Diskussion stehenden Fundplätze unter der Tetragonos Agora und am Nordwestabhang des Panayırdağ nun die historische Realität in archaischer Zeit trifft, hat die Materialanalyse deutlich gemacht, dass diese beiden zumindest teilweise parallel im ephesischen Stadtgebiet bestehenden Siedlungsbereiche archaischer Zeit¹⁵⁴⁴ in ihrer materiellen Kultur unterschiedlich geprägt waren, und es ist vorstellbar, dass die unterschiedliche Anbindung beider Bereiche an regionale und überregionale Kreisläufe aus einem differenzierten sozialen, ökonomischen und/oder kulturellen Selbstverständnis ihrer jeweiligen Bewohner resultierte.

Die räumliche Anbindung an das Artemision mag in diesem Zusammenhang nicht unbedeutend gewesen sein, und da sich die beiden einander gegenüberliegenden Fundplätze Artemision und Panayırdağ-Nordwestseite die Gemeinsamkeit eines Keramikaufkommens lydischen Typs teilen, kann man zumindest darüber nachdenken, ob hierin für den Bereich des späteren Vedio-gymnasiums ein für Ephesos schon des Öfteren vermuteter lydischer Bevölkerungsanteil¹⁵⁴⁵ erstmals außerhalb des unmittelbaren Zusammenhangs mit dem Artemision archäologisch greifbar wird¹⁵⁴⁶. Die Forschungsliteratur verweist dabei auf mehrere Modelle, wie dieser lydische Bevölkerungsanteil denkbar ist, die einander keineswegs ausschließen.

Zum einen berichtet Pausanias für die Gründungszeit des griechischen Ephesos von einer autochthonen Bevölkerung, die er als aus Karern, Lelegern und Lydern bestehend klassifiziert¹⁵⁴⁷. Wie sich aber einerseits der Lyderbegriff von Pausanias zur früheisenzeitlichen Demografie

¹⁵⁴¹ Mit dieser Methode hat sich jüngst Morgan 2009 vor allem auch im Hinblick auf die Kategorien ethnische Identität einerseits und soziale und kulturelle Identität andererseits am Beispiel Griechenlands und der westgriechischen Kolonien kritisch auseinandergesetzt. Vgl. auch Crielaard 2009, 38–40.

¹⁵⁴² Dazu Crielaard 2009, 39 f.

¹⁵⁴³ Dazu Kerschner 2016; Kerschner 2017b.

¹⁵⁴⁴ Zur frühen Siedlungsgeschichte, -entwicklung und -topografie von Ephesos vgl. bes. die jüngere Diskussion bei Kerschner 2006e; Scherrer 2007; Kerschner u. a. 2008, bes. den Beitrag von Kerschner 2008e, 109–118 und den Beitrag von Kerschner – Steskal 2008, 120–123; Stock u. a. 2014, 51–56; Kerschner 2016; Kerschner 2017b. Die ältesten Siedlungsspuren auf ephesischem Stadtgebiet sind schon für die frühe Eisenzeit am Ayasuluk nachgewiesen. Dazu Büyükkolancı 2007, 21–26. Die Keramikfunde an der Nordostterrasse und an den Hängen des Panayırdağ sowie unter der Tetragonos Agora setzen mit dem späteren 8. Jh. ein, architektonische Überreste sind bislang nur für die Agorasiedlung zwischen dem frühen 7. und dem mittleren 6. Jh. mit Sicherheit nachweisbar. Eine weitere Ausdehnung der Besiedlung wird nach der Überlieferung bei Strab. 14, 1, 21 seit dem mittleren 6. Jh. für die Ebene um das Artemision angenommen. Vgl. dazu auch Özyiğit 1988, 83–96.

¹⁵⁴⁵ Vgl. Karwiese 1995, 28–31; Scherrer 1999, 382; Ehrhardt 2005, 109–111, Anm. 146; Kerschner 2005a, 141, Anm. 172; Kerschner 2006f, 279 f.; Kerschner 2007, 233–235; Kerschner 2010a, 261. s. auch Crielaard 2009, 67. Für Smyrna ist ein Nebeneinander griechischer, karischer und lydischer Bevölkerungsanteile anhand inschriftlicher Zeugnisse glaubhaft gemacht worden. Dazu Crielaard 2009, 46. Vgl. zusammenfassend auch Mac Sweeney 2013, 26.

¹⁵⁴⁶ Die Warnung, die Papadopoulos 1997, 191–219 in seinem inspirierenden Aufsatz gegen die unreflektierte Gleichsetzung von archäologischen Quellen mit ethnischen Konzepten (»pots and people«) in der frühen Eisenzeit ausspricht, bleibt auch für die griechische Archaik und damit für das archaische Ephesos grundsätzlich gültig. Vgl. dazu auch Fantalkin 2006, 205.

¹⁵⁴⁷ Paus. 7, 2. 8. Vgl. dazu die Diskussion bei Scherrer 1999, 381 und zuletzt Fischer 2013, 21 f.

verhält, und inwiefern andererseits eine lydische Urbevölkerung der frühesten Eisenzeit für die materiellen Phänomene des 6. Jahrhunderts noch bedeutsam gewesen sein kann, bleibt freilich zu hinterfragen¹⁵⁴⁸.

Zum zweiten wurde aufgrund inschriftlicher Denkmäler¹⁵⁴⁹ und archäologischer Quellen sowie Indizien¹⁵⁵⁰ in den Artemisionbefunden wiederholt über die mögliche Anwesenheit lydischer Handwerker und Kulteilnehmer in Ephesos nachgedacht¹⁵⁵¹.

Schließlich bietet die literarische Überlieferung zu diplomatischen Beziehungen und dynastischen Verbindungen zwischen der lydischen und der ephesischen Aristokratie¹⁵⁵² gute Gründe davon auszugehen, dass sich auch Teile der lydischen Oberschicht zumindest zeitweise in Ephesos aufhielten. Folgt man umgekehrt der schlüssigen Argumentation von N. Ehrhardt und E. Kistler, so ist außerdem anzunehmen, dass gerade die lydische Oberschicht die ionischen Griechen mit ihrem Luxus nachhaltig beeindruckte und einen Nachahmungseffekt erzielte¹⁵⁵³, der sich möglicherweise bis auf den Gefäßbestand griechischer Haushalte erstreckte und eine an dieser Nachfrage orientierte, gezielte Gefäßproduktion in ansässigen Werkstätten forcierte. J. P. Crielaard betont in diesem Zusammenhang den Stellenwert einer materiell zum Ausdruck gebrachten Internationalität im Repräsentationsverhalten ionischer Eliten¹⁵⁵⁴. Für die Interpretation des Materialbestands aus den Keil-Grabungen könnte dies bedeuten, dass das innerhalb der Trinkgefäße und bemalten Feinwaren zugunsten der nordionischen Importe verschobene Verhältnis als Reflex einer insgesamt kaufkräftigeren und einem anderen Prestigeverständnis verpflichteten Bevölkerung, als sie in der Agora-Siedlung begegnet, zu verstehen ist, die ihren Gefäßbedarf, aus welchen Gründen auch immer, bevorzugt aus der nördlichen und nordöstlichen Nachbarregion deckte und innerhalb der lokalen Erzeugnisse den an diesen Vorbildern angelehnten Gefäßen den Vorzug gab.

Die oben angesprochene ethnische Identitätsfrage lässt sich daher nicht beantworten und sie ist, wie schon M. Kerschner in seinem Beitrag ausführt (s. o. Kap. 2.B.2.11.4), schlicht die falsche Frage an das Material, um der historischen Realität im archaischen Ephesos gerecht zu werden¹⁵⁵⁵. Wenn überhaupt, so erschließt sich im Fundmaterial der Keil-Grabungen eine differenzierte soziale Gesellschaftsschicht, aber keinesfalls eine ethnische Identität der Bewohner in der angenommenen Siedlung am Nordwestausläufer des Panayırdağ, die sich von jener in der Agora-Siedlung unterscheidet.

Eine weitere Überlegung hängt sowohl mit der sozialen Identität der im Bereich des nordwestlichen Panayırdağ agierenden Personen und Personengruppen zusammen als auch mit der Frage nach dem bislang nicht eindeutig zu klärenden funktionalen Kontext der in diesem Areal verorteten Fundkeramik. Es wurde bereits auf die grundsätzlich bestehende Möglichkeit einer Vermengung von Heiligtumskeramik und Siedlungskeramik hingewiesen. Der Siedlungsbegriff beschränkt sich dabei allerdings nicht allein auf das alltägliche Wohnen, sondern kann, wie schon in der Siedlung unter der Tetragonos Agora auch potenzielle Wirtschaftsbereiche miteinschließen. Im Hinblick auf die topografische Lage in unmittelbarer Nähe eines prominenten Hafens¹⁵⁵⁶

¹⁵⁴⁸ Zu den archäologisch fassbaren Zeugnissen dieser vorgriechischen Bevölkerung im Artemision s. Kerschner 2006e, 369–373. Speziell zur Keramik vgl. außerdem Kerschner 2003b, bes. 249.

¹⁵⁴⁹ Dazu Ehrhardt 2005, 108 f.; Fischer 2013, 57–62.

¹⁵⁵⁰ Vgl. dazu etwa Kerschner 2005a, 132 f. Anm. 125; 136 f.; Klebinder-Gauß 2007, 202; Forstenpointner u. a. 2008a, 37; Kerschner 2008d, 229; Pülz 2009, 23–25. 30; Kerschner 2010a.

¹⁵⁵¹ Dazu Ehrhardt 2005, 109; Kerschner 2005a, 133. 141; Kerschner 2006f, 258 f. 264. 279 f.; Klebinder-Gauß 2007, 202. 205; Kerschner 2008d, 225–229; Kerschner 2010a; Kerschner – Prochaska 2011, 129–131; Ratté 2011, 56–63, bes. 62. Zur Problematik allgemein Kerschner 2006f, 266–280; Mac Sweeney 2013, 148 f.

¹⁵⁵² Der ephesische Tyrann Meleas war ein Schwiegersohn des Lyderkönig Alyattes. Vgl. Karwiese 1995, 30; Knibbe 1998, 81; Kerschner 2006d, 263; Fischer 2009, 2 f.; Fischer 2013, 52 f.; Mac Sweeney 2013, 151 f.

¹⁵⁵³ Vgl. dazu Ehrhardt 2005, 104–106; Kerschner 2006f, 267 und zuletzt Kistler 2012 mit weiterer Lit. s. auch Mac Sweeney 2013, 125–129.

¹⁵⁵⁴ Crielaard 2009, 60–63.

¹⁵⁵⁵ s. dazu auch Mac Sweeney 2013, 199–202.

¹⁵⁵⁶ Zur Bedeutung der Häfen vgl. zuletzt Stock u. a. 2014, bes. 54–56.

wären neben Werkstätten beispielsweise auch Warenlager denkbar, die das akkumulative Auftreten bestimmter Gefäßtypen, die im restlichen Ephesos bislang nicht oder kaum nachgewiesen sind, erklären könnten¹⁵⁵⁷. Damit ginge die Präsenz einer Händlerschaft einher, deren Aktionsgebiet nach Ausweis der Fundkeramik vor allem das nördliche Ionien umfasste und bis in die Äolis und nach Lydien ausgriff. Mit den Handelstreibenden ist außerdem eine Personengruppe angesprochen, für die A. Vacek am Beispiel von Al Mina jüngst ein besonderes soziales Prestige plausibel gemacht hat, das von ihrer Mobilität und überregionalen Interaktion herrührt¹⁵⁵⁸; gemeinsam mit der Aristokratie würden die mobilen Händler, die enge Beziehungen mit lokalen Eliten unterhalten, demnach die soziale Oberschicht archaischer Gesellschaften bilden. Dass die Vertreter dieser handelstreibenden Oberschicht in Ephesos ihre Niederlassungen am Fuß des Nordwestabhanges des Panayırdağ, und damit in prominenter Lage über einer bedeutenden Hafengebucht in der Blickachse des Artemisions und in räumlicher Nachbarschaft zu einer kaufkräftigen Kundschaft, installierten, ist zwar nicht nachweisbar, aber plausibel.

Aufgrund der Dokumentationslage im Bereich der Keil'schen Altgrabungen muss jedes dieser angedachten und parallel möglichen Interpretationsmodelle vorerst zwangsläufig hypothetisch bleiben. Eine tiefer gehende Diskussion der archaischen Siedlungstopografie und der möglicherweise damit in Zusammenhang stehenden demografischen und sozio-ökonomischen Phänomene liegt darüber hinaus außerhalb der Zielsetzungen der vorliegenden Studie. Gleichwohl ist die Fundgattung der Keramik innerhalb der materiellen Hinterlassenschaften eines Fundplatzes aufgrund ihrer repräsentativen Quantität besonders dazu geeignet, sich der sozialen und/oder kulturellen Prägung der damit verbundenen Akteure anzunähern sowie auch jenseits der chronologischen Dimension bestehende Differenzen zwischen mehreren Fundstellen und damit zu assoziierenden Gemeinschaften zumindest sichtbar zu machen. Mit der Gegenüberstellung des Materialbestands vom Nordwestausläufer des Panayırdağ mit der archaischen Siedlung unter der Tetragonos Agora ist dies am Beispiel des archaischen Ephesos erstmals für den ionischen Kulturraum innerhalb einer Polis archaischer Zeit in Ansätzen gelungen¹⁵⁵⁹. Darüber hinaus hat die vergleichende Materialanalyse deutlich vor Augen geführt, welche Vorsicht im Umgang mit der problematischen Methode, von einzelnen, ausschnitthaften Fundplätzen summarische Ergebnisse für eine gesamte Polis abzuleiten, angeraten werden muss.

¹⁵⁵⁷ Vgl. dazu eine vergleichbar interpretierte Situation in Borysthene, wo im späten 7. Jh. ionische Feinkeramik gehäuft auftritt, ohne dass jedoch zeitgleiche Siedlungshorizonte nachweisbar wären. Diese Evidenz wurde als Indiz eines in Borysthene befindlichen zentralen Warenumserschlagplatzes für das nördliche Schwarzmeergebiet, noch vor Beginn der eigentlichen griechischen Besiedlung, interpretiert. Im 6. Jh. setzt sich das Phänomen gezielten Importverhaltens mit der überproportionalen Präsenz von Amphoren (70–90 % des griechischen Keramikimports) und im frühen 5. Jh. mit dem konzentrierten Auftreten attischer Feinkeramik fort. s. dazu Solovyov 1999, 3 f. 52. 54. 88; Kerschner 2006d, 242; Posamentir 2006.

¹⁵⁵⁸ Vgl. dazu Vacek 2012, 26–29 mit weiterer Lit.

¹⁵⁵⁹ Ein vergleichbarer Ansatz findet sich etwa auch bei Cahill 2010e, 487 in Bezug auf archaische Hausbefunde im lydischen Sardeis. In Hinblick auf spätarchaisch-attische Befunde klingt dies auch in der Studie von Lynch 2011 an.

3 DAS ARCHAISCHE EPHEOS IM SPIEGEL IONIENS

Im Folgenden sollen die in den Kapiteln 1.B, 1.E, 2.A und 2.B gewonnenen Erkenntnisse zu dem ephesischen Gefäßrepertoire archaischer Zeit in einen weiter gefassten Kontext eingebunden werden. Dabei werden unterschiedliche Schwerpunkte gelegt. Die Gegenüberstellung der anhand der Agora-Befunde gewonnenen Chronotypologie mit parallel datierenden, geschlossenen Fundkontexten in Ionien zielt einerseits auf die chronologische Verankerung der ephesischen Ensembles im ionischen Kontext ab; andererseits soll sie die bereits mehrfach angesprochene Diskussion um die kulturelle Positionierung von Ephesos innerhalb Ioniens argumentativ untermauern. In einem zweiten Schritt wird das vorgestellte Gefäßspektrum aller thematisierten Fundplätze in seiner Gesamtheit mit dem erweiterten ionischen Kulturraum auch außerhalb der kleinasiatischen Küstenregion in Beziehung gesetzt. Abschließend werden die in den material- und befundimmanenten Analysen diskutierten und im weiteren ionischen Kontext beleuchteten Phänomene im Gefäßbestand des archaischen Ephesos zusammenfassend erörtert.

3.A DAS CHRONOLOGISCHE TYPENSPEKTRUM IM KONTEXTUELLEN VERGLEICH MIT IONISCHEN FUNDPLÄTZEN

Nachdem im Kapitel 1.E die für jede archaische Siedlungsphase indikativen Keramikformen und Waren herausgearbeitet wurden und deren grundsätzliche Laufzeiten mittels ihres prozentualen Anteils in den einzelnen Phasen näher eingegrenzt werden konnten, soll in einem nächsten Schritt der Versuch unternommen werden, die für Ephesos in der Agora-Siedlung sich abzeichnende Typochronologie mit einer Auswahl kontextuell hinreichend publizierter und parallel datierender Befunde anderer ionischer Fundplätze zu vergleichen. Dies ist als Annäherung an diese sehr komplexe Fragestellung zu verstehen, welche dazu dient, eine der zentralen Fragen der vorliegenden Arbeit, nämlich die der ephesischen Keramikchronologie und Keramiktypologie in archaischer Zeit, abzurunden und in einen weiteren, gesamtionischen Kontext zu stellen¹⁵⁶⁰. Dabei kann es gelingen, nicht nur die Gemeinsamkeiten parallel datierender Keramikspektren festzustellen, sondern auch ansatzweise jene Phänomene herauszuarbeiten, die Ephesos gerade gegenüber den Fundplätzen im angrenzenden nördlichen und südlichen Ionien auszeichnen. Dies ist vor allem in Hinblick auf die Frage nach der kulturellen Zugehörigkeit des archaischen Ephesos innerhalb des ionischen Kerngebiets an der kleinasiatischen Küste von zentralem Interesse¹⁵⁶¹.

3.A.1 Milet

Aus Milet sind zwei Brandschichten spätgeometrischer¹⁵⁶² und subgeometrischer Zeit¹⁵⁶³ aus der archaischen Wohnstadt sowie zwei Aufschüttungen subgeometrischer und frühorientalisierender Zeit vom Artemisheiligtum am Kalabaktepe¹⁵⁶⁴ umfassend publiziert. Ihr Keramikspektrum bildet

¹⁵⁶⁰ Ein Anspruch auf Vollständigkeit im Sinne einer umfassenden Studie wird keinesfalls erhoben. Die Ausführungen beziehen sich auf die zu den einzelnen Vergleichsfundorten angeführten Publikationen.

¹⁵⁶¹ Nach Hdt. 1, 142 bildet Ephesos gemeinsam mit den nordionischen Zentren Kolophon, Lebedos, Teos, Klazomenai und Phokaia eine linguistisch einheitliche Gruppe, wohingegen Ephesos konventionellerweise mit Samos und Milet dem südlichen Ionien angegliedert wird. Die materiellen Hinterlassenschaften scheinen indessen keine eindeutige Zuordnung zuzulassen. Dazu Coulié 2013, 142. 149. 169 f. mit Lit.

¹⁵⁶² Dazu von Graeve 1973/1974.

¹⁵⁶³ Dazu von Graeve 1973/1974; von Graeve 1975.

¹⁵⁶⁴ Dazu Kerschner 1999.

eine gute Vergleichsbasis für die ephesischen Siedlungsbefunde der ersten Hälfte des 7. Jahrhunderts (AG Phase I, AG Phase IIa+b; Keramiktaf. 1–43; Typentaf. 1–3).

Das Repertoire an Trinkgefäßen setzt sich für diesen Zeitraum in Ephesos wie in Milet aus korinthisierenden Kotylen, Randfalzkotylen, frühen Vogelschalen, Skyphoi, Knickrandskyphoi, Knickrandschalen und Tassen zusammen, doch bereits im Typenrepertoire unterscheiden sich die beiden Fundplätze. So scheinen Randfalzkotylen mit Kammbürstendekor, die in Ephesos über die AG Phase II hinaus die dominierende Kotylenform darstellen, in Milet nur vereinzelt auf; die dominierenden Varianten sind dort die Vogel- und Reifenkotylen. Vogelschalen bleiben an beiden Fundorten noch selten, was ihren späteren Datierungsansatz verdeutlicht. Die Skyphoi scheinen in Milet einen ungleich höheren Stellenwert eingenommen zu haben als in Ephesos. Die in Milet zahlreich belegten südionischen Knickrandskyphoi bleiben unterrepräsentiert, während die dunkelgrundigen Skyphoi mit ausgebogenen oder abgeknickten Rändern umgekehrt in Milet eine singuläre Ausnahmeerscheinung darstellen¹⁵⁶⁵. Innerhalb der Knickrandschalen überwiegen in Milet für diesen Zeitraum die Schalen vom Typ 5, die in Ephesos erstmals mit der AG Phase III auftreten, vor den Schalen vom Typ 6. Schalen vom Typ 8, die in Ephesos erstmals in der AG Phase IIb vertreten sind (**Kat. 165. Kat. 435**), fehlen in den genannten Vergleichsbefunden aus Milet noch völlig. Bei den Tassen teilen sich Ephesos und Milet in der ersten Hälfte des 7. Jahrhunderts die steilwandigen Tassen und jene mit konkaver Wandung. Knickrandtassen, glockenförmige Tassen und Tassen mit geschwungener Wandung fehlen hingegen in den milesischen Befunden.

Die großen Mischgefäße der ersten Hälfte des 7. Jahrhunderts sind gut mit dem milesischen Repertoire vereinbar, die Tiefen Schüsseln finden in Milet ein formales Gegenstück in einem geometrisch bemalten Gefäß¹⁵⁶⁶. Innerhalb der Serviergefäße liegen mit den in Ephesos prominenten bauchigen Schüsseln und Henkelschalen sowie den Tellern auf hohem Fuß Formen vor, die in den milesischen Vergleichsbefunden für diese Zeit noch nicht belegt sind, während Steilwandschüsseln, Schüsseln mit gerundeter Wandung, Knickwandschüsseln und Deckel mit Deckelfalz vertreten sind. Die mit den milesischen Riefelrandschüsseln vergleichbaren Gefäße kommen in Ephesos erst mit der AG Phase III auf; die glatt polierten Oberflächen unbemalter Gebrauchswaren sind beider Orts belegt. Die in Milet gut nachgewiesenen geometrisch bemalten Teller mit flachen Böden kommen in Ephesos gar nicht vor.

Bei den Schankgefäßen der ersten Hälfte des 7. Jahrhunderts stehen sowohl in Ephesos als auch in Milet die geometrisch geprägten Dekorsysteme neben Reifen- und Wellenbanddekor, der vor allem auch für die Vorrats- und Transportgefäße dieser Zeit bezeichnend ist, wobei die aus Milet bekannten Exemplare hier anders als die ephesischen noch großflächig gefirnisst ausfallen. Daneben stehen die wenigen, noch stark an geometrischen Form- und Dekortraditionen orientierten frühorientalisierenden Gefäße und Riefelkannen.

Innerhalb der Küchenwaren scheint Milet sehr ähnlich wie Ephesos noch kleinformatige Kochtöpfe zu bevorzugen, deren Randmorphologie anders als in Ephesos allerdings bereits verbindlich die langschmale Tropfenform der späteren großen Töpfe vorwegnimmt¹⁵⁶⁷.

Das Gefäßrepertoire von Ephesos ist in der ersten Hälfte des 7. Jahrhunderts grundsätzlich recht gut mit dem aus Milet publizierten vergleichbar. Die dennoch deutlichen Unterschiede im Typenspektrum sind einerseits auf lokale Spezifika und Vorlieben (dunkelgrundige Skyphoi, Zickzackmetopenkotylen, Reifenkotylen, kleinformatige Knickrandschalen, Knickrandtassen, glockenförmige Tassen, bauchige Schüsseln, Henkelschalen, Teller auf hohem Fuß) zurückzuführen. Andererseits können die früharchaischen ephesischen Befunde der AG Phase I und II mit ihrer Datierung vom Beginn des zweiten Viertels bis in das mittlere 7. Jahrhundert trotz ihres noch stark geometrisch geprägten Formenrepertoires mit den spät- und subgeometrischen

¹⁵⁶⁵ Vgl. Schlotzhauer 1999b, 22 Nr. 35 Abb. 11; Schlotzhauer 2014, 489 Nr. 42. 43 Taf. 8.

¹⁵⁶⁶ Vgl. von Graeve 1975, 57 Nr. 71 Abb. 38.

¹⁵⁶⁷ Vgl. Kerschner 1999, 46 Nr. 71 Abb. 15.

Befunden aus Milet nicht direkt gleichgesetzt werden. Selbst wenn der chronologische Rahmen der Fundkeramik derselbe ist, zeigt sich doch, dass einige frühe milesische Typen (tiefe Skyphoi, Knickrandskyphoi, geometrische Teller, Haushaltsamphoren) auf das Typenspektrum in Ephesos nicht mehr oder nur schwach einwirken, während tendenziell jüngere Entwicklungen in Form von Importen einen Niederschlag finden (orientalisierende Gefäße) oder an beiden Orten vertreten sind (Knickrandschalen, Tassen mit konkaver Wandung). Die typologisch jüngsten Gefäße (Knickrandschale Typ 8, Teller auf hohem Fuß, orientalisierende Gefäße der Stilstufe SiA Ib) machen darüber hinaus deutlich, dass die Befunde der AG Phase II(b) der Jahrhundertmitte bereits sehr nahe sind und damit um ein wenig jünger zumindest als die publizierten Befunde vom Artemisheiligtum am Kalabaktepe sein dürften, während die orientalisierenden Gefäße der Stilstufe SiA Ib in der subgeometrischen Brandschicht der milesischen Wohnstadt ebenfalls schon vorkommen.

3.A.2 Assesos

Die vorgelegte Keramik aus Assesos bei Milet entstammt einem Befund, der vom Bearbeiter mit der Zerstörung des Heiligtums der Athena Assesia durch den Lyderkönig Alyattes identifiziert und um 608 angesetzt wurde¹⁵⁶⁸. Der Befund hat damit, ungeachtet der nach wie vor nicht abgeschlossenen Diskussion um den tatsächlichen Zeitpunkt dieses literarisch überlieferten historischen Ereignisses (s. o. Kap. 1.B.1.1.2), Relevanz als Vergleich für die ephesischen Siedlungsphasen der zweiten Hälfte und insbesondere des letzten Viertels des 7. Jahrhunderts (AG Phase IIIa+b; Keramiktaf. 44–87; Typentaf. 4–6).

Das Repertoire der Trinkgefäße umfasst in der AG Phase III mit Kotylen, Kalottenschalen, Skyphoi, Knickrandschalen und Tassen die gleichen Formen wie in der AG Phase II, erweitert diese jedoch in der AG Phase IIIb um Reifenschalen/Rosettenschalen, Knickrandschalen der Typen 5, 9 und 10, hellgrundige und chiotische Tassen. Dies steht in einem auffallenden Gegensatz zu den Trinkgefäßen aus dem Brandschutt bei Assesos, wo sich das Repertoire auf Knickrandschalen der Typen 8, 10 und 11, Wellenbandschalen, orientalisierende Knickrandschalen und hellgrundige Tassen beschränkt. Die Trinkgefäße in Assesos sind damit recht einheitlich im letzten Drittel des 7. Jahrhunderts zu verorten, den einzigen Ausreißer stellt ein Knickrandskyphos mit Metopendekor an der Schulter dar. Die Knickrandschalen vom Typ 10 repräsentieren dabei dickwandige und schwer proportionierte Varianten, während die beiden zierlichen Exemplare der AG Phase IIIb (**Kat. 808. Kat. 868**) den Knickrandschalen vom Typ 8 nahestehen. Die großen Proportionen der assesischen Schalen vom Typ 11 und der Wellenbandschalen, die in Ephesos für diese Zeit gar nicht vertreten sind, finden sich bei drei Knickrandschalen vom Typ 6 in der AG Phase IIIb (**Kat. 864–Kat. 866**) wieder. Orientalisierende Knickrandschalen sind in Ephesos für diese Zeit nicht vertreten, wohl aber wie bereits in der AG Phase IIb eine orientalisierend bemalte Tasse (**Kat. 869**).

An Mischgefäßen kommen in der AG Phase III neben den mastoiden Krateren und den Halskrateren und Dinoi auch noch die aus geometrischer Zeit tradierten Gefäße vor, die aus Assesos nicht belegt sind. Auch zeigen in Ephesos nur 9 % der Mischgefäße orientalisierenden Maldekor (Diagramm 33), der in Assesos zumindest die Halskratere und die Dinoi maßgeblich kennzeichnet, während dort bei den mastoiden Krateren wie auch in Ephesos einfachem Reifen- und Wellenbanddekor der Vorzug gegeben wird. Die Dinoi mit senkrechtem Rand, die in Ephesos auf die AG Phase III beschränkt bleiben, finden ihre nächsten Verwandten in dem assesischen Befund. Tiefe Schüsseln und Dinoi mit hohem, einziehendem Hals sind anders als in der AG Phase III aus Assesos nicht publiziert.

Das Repertoire der Serviergefäße setzt sich in Assesos hauptsächlich aus unbemalten und vielfach gut geglätteten Knickwandschüsseln und Tellern auf hohem Fuß sowie orientalisierend

¹⁵⁶⁸ Dazu Kalaitzoglou 2008. Kritisch dazu Schlotzhauer 2014, 324.

bemalten Tellern zusammen. Die große Vielfalt an Formgebungen und Dekoren, welche den Variantenreichtum der Schüsseln und Teller in Ephesos begründen, wird in Assesos nicht erreicht. Darüber hinaus fehlen mit den bauchigen Schüsseln, den Steilwand- und den Riefelrandschüsseln gerade jene Formen, die in Ephesos für die AG Phase III besonders bezeichnend sind, während die Lekanen als neue Errungenschaft der AG Phase IIIb auch in Assesos reichlich vertreten sind. Bei den orientalisierenden Tellern überwiegen Reifenteller mit geradem bis kantigem Rand und Metopenteller auf hohem Fuß; sie nehmen insgesamt einen höheren Stellenwert ein als die Teller in den ephesischen Befunden (Diagramm 85). Die Deckel beschränken sich in der AG Phase III auf unbemalte Exemplare mit Randfalz oder kantig abgesetztem, geradem Rand und flachkonischen Knäufen, während die mehrheitlich orientalisierend bemalten Deckel aus Assesos kuppelförmige Knäufe und mitunter flachkantige Ränder ausbilden.

Das Gros der Kannen ist in Assesos anders als in der ephesischen AG Phase III (Diagramm 87) orientalisierend bemalt; daneben stehen wie in Ephesos Kannen der Reifenware und der unbemalten Ware. Die ebenfalls prominenten Riefelkannen fehlen in der AG Phase III, dafür sind in Assesos keine dunkelgrundigen und spät- bis subgeometrischen Kannen nachgewiesen. Die Kännchen beschränken sich, als in Ephesos noch die dunkelgrundigen Formen dominieren, in Assesos auf spindelförmige Reifenkännchen.

Der Formenvielfalt der ostgriechischen Amphoren und Hydrien der AG Phase III stehen in Assesos Wellenbandhydrien und Transportamphoren ausschließlich milesischen Typs gegenüber. Die zypriotischen Reibschüsseln und die großen Kochtöpfe mit tropfenförmig verdicktem Rand finden sich spätestens seit dem letzten Viertel des 7. Jahrhunderts an beiden Orten, während Kochplatten und große Eimer in Assesos nicht nachgewiesen sind.

Der Zerstörungsbefund von Assesos bietet einen Einblick in das milesische Keramikspektrum der zweiten Hälfte des 7. Jahrhunderts und damit in einen Zeitraum, der für Milet selbst noch nicht hinreichend publiziert ist. Einige Auffälligkeiten sind in der Gegenüberstellung der AG Phase III mit dem Befund von Assesos besonders deutlich geworden. Einerseits ist dies der eng gefasste chronologische Rahmen zwischen dem fortgeschrittenen dritte Viertel und dem letzten Jahrzehnt des 7. Jahrhunderts, den der Zerstörungsbefund von Assesos im Wesentlichen abdeckt; ältere Gefäßtypen sind anders als in den Befunden der Agora-Siedlung, wo sie bis in die AG Phase IV reichlich vertreten sind, kaum zugegen. Dieses chronologische Korsett mag auch das eingeschränkte, sich vielfach wiederholende Formen- und Dekorrepertoire mitbedingen, das mit dem Variantenreichtum der ephesischen Befunde wenig gemeinsam hat. Die funktionale Zweckbestimmung der Gefäße in einem Heiligtumskontext als auch die Anbindung an ein einziges wesentliches Produktionszentrum, nämlich Milet, ist einer typologischen Vielfalt, wie sie in der AG Phase III auch mit ersten chiotischen Importen (**Kat. 657**) evident wird, ebenso wenig förderlich. Bei mehreren Gefäßtypen entlarvt der Vergleich mit Assesos die Bewohner von Ephesos als auffällig retardierend in ihrem Geschmack, wenn man die in Assesos vorliegenden Gefäße als die in der fraglichen Zeit tatsächlich aktuellen ansieht, und das wird unumgänglich sein angesichts der Tatsache, dass subgeometrische und früharchaische Gefäße bei allen Gefäßformen so gut wie nicht vertreten sind. Als in Ephesos in der AG Phase III erstmals die relativ neuen Knickrandschalen vom Typ 5 auftreten und lokal produziert werden, kommen diese in Assesos ebenso wenig wie die Knickrandschalen vom Typ 6 schon gar nicht mehr vor und jene Typen, die in Assesos in bereits standardisierter Ausformung begegnen (Knickrandschalen Typ 10, Typ 11, Wellenbandschalen), zeigen mit **Kat. 808** und **Kat. 868** erst einen zögerlich beginnenden Niederschlag auch in Ephesos. All jene Trinkgefäße, die schon in der AG Phase II und bis in die AG Phase III das Bild in Ephesos dominieren (Kotylen, Kalottenschalen, Tassen), sind in Assesos ohnehin nicht anzutreffen. Gleiches gilt für die Schank- und Mischgefäße, bei denen Ephesos stark den althergebrachten Form- und Dekortraditionen verpflichtet bleibt. Die geringere Bedeutung orientalisierender Gefäße in AG Phase III mag diesem Phänomen ebenso geschuldet sein wie der Tatsache, dass orientalisierende Gefäße im Umfeld einer Siedlung eine geringere Funddichte aufweisen als in Heiligtümern. Der gegenüber den archaischen Siedlungs-

befunden hohe Anteil der Teller in Assesos (>25 %) ¹⁵⁶⁹ ist ein weiteres Faktum, das möglicherweise gerade den Heiligtumscharakter des Befundes unterstreicht (s. o. Kap. 1.B.4).

Angesichts dieser kurz anhand einiger Beispiele skizzierten retardierenden Merkmale des ephesischen Repertoires ist es umso erstaunlicher, dass mit den Knickrandschalen vom Typ 9 (**Kat. 519–Kat. 521. Kat. 602**) in der AG Phase IIIb erstmals eine Gefäßform vertreten ist, die in Assesos, wo sich das keramische Ensemble sonst als sehr zeitgemäß präsentiert, nicht vorkommt. Zwei einleuchtende Erklärungsmodelle, die freilich der Absicherung durch weitere Studien und der Klärung der oben bereits angesprochenen Probleme in Datierung und Interpretation des assesischen Befundes bedürften, wären einerseits die Annahme, dass die Knickrandschalen vom Typ 9 zum Zeitpunkt der Zerstörung des Heiligtums entweder noch nicht entwickelt worden waren oder aber, dass das impulsgebende Zentrum hierfür nicht in Milet, woher Assesos seinen Gefäßbedarf abdeckte, sondern an einem anderen südionischen Ort, etwa auf Samos, zu suchen sein könnte ¹⁵⁷⁰, wohin Ephesos einen direkteren Zugang gehabt hätte, der sich im Import zahlreicher Trinkgefäße manifestiert. Das erste, chronologisch begründete Erklärungsmodell impliziert, dass die AG Phase III länger Bestand hatte als das assesische Heiligtum und die AG Phase IIIb zumindest im westlichen Bereich des ergrabenen Siedlungsareals tatsächlich frühestens um die Wende zum 6. Jahrhundert ihr Ende fand. Doch auch das zweite Erklärungsmodell hat seine Berechtigung, konnte U. Schlotzhauer jüngst in seiner detaillierten Studie zu den Knickrandschalen doch aufzeigen, dass die Knickrandschalen vom Typ 9 in Milet weit hinter dem Anteil anderer Typenvarianten des 6. Jahrhunderts zurückbleiben ¹⁵⁷¹, während sie in Ephesos die weitaus populärste Schalenform in diesem Zeithorizont darstellen (Diagramm 11).

3.A.3 Samos

Die langjährigen Grabungen im Heraion von Samos haben geschlossene Befunde aufgedeckt, die vom 8. Jahrhundert bis in das späte 6. Jahrhundert reichen und sich damit gut für einen Vergleich mit den ephesischen Siedlungsbefunden fast aller Phasen eignen.

Für die Siedlungsbefunde des frühen und mittleren 7. Jahrhunderts (AG Phase I, AG Phase IIa+b, AG Phase IIIa; Keramiktaf. 1–46; Typentaf. 1–6) sind die Verfüllungen der Brunnen F und G, das Material aus der geometrisch bis früharchaischen Schwemmschicht und die Befunde der Phase I im Bereich des Südtemenos von Relevanz ¹⁵⁷².

Bei den Trinkgefäßen zeigt sich mit den verschiedenen Varianten von Tassen (steilwandige Tassen, Tassen mit geschwungener Wandung, Tassen mit konkaver Wandung, Knickrandtassen), den südionischen Knickrandskyphoi, den Knickrandschalen vom Typ 6, ostgriechischen Imitationen korinthischer Kotylen und Zickzackmetopenkotylen eine geradezu verblüffende Übereinstimmung der beiden Fundplätze. Für die korinthisierende Kotyle aus dem Brunnen G ¹⁵⁷³ findet sich mit der wahrscheinlich korinthischen Kotyle **Kat. 230** im Zerstörungshorizont des Ovalbaus OB sogar ein direktes motivisches Vorbild. Einzig die glockenförmigen Tassen, die dunkelgrundigen Knickrandskyphoi und die Knickrandschalen vom Typ 8, die in Ephesos mit der AG Phase IIb erstmals auftreten, sind in Samos für den fraglichen Zeitraum nicht belegt, während umgekehrt in der Agora-Siedlung die Kantharoi bis auf ein spätes Stück der Grauen Ware (**Kat. 1846**) fehlen. Auffallend ist außerdem das Fehlen der beiden nordionischen Exportschlager Vogelkotyle und Vogelschale, die angesichts der chronologischen Reichweite der samischen Befunde bis in das dritte Viertel des 7. Jahrhunderts zu erwarten wären. Ein zeitlich versetzter Beginn der Knickrandschalen der Typen 5 und 6, wie er sich im Vergleich von Ephesos mit Milet

¹⁵⁶⁹ Vgl. Kalaitzoglou 2008, 338.

¹⁵⁷⁰ Dafür gibt es bislang allerdings keine überzeugenden archäometrischen Argumente. Vgl. dazu zuletzt Schlotzhauer 2012, 56 f.; Schlotzhauer 2014, 397 f.

¹⁵⁷¹ Dazu Schlotzhauer 2014, 105 f. Abb. 20; 131 Abb. 26; 133 Abb. 28.

¹⁵⁷² Walter 1957; Walter – Vierneisel 1959; Furtwängler 1980.

¹⁵⁷³ Walter – Vierneisel 1959, 19 Beil. 33, 2.

abzeichnet, wird in der samischen Befundsituation nicht deutlich. Dort sind die Knickrandschalen ähnlich wie die frühesten Exemplare vom Typ 6 in der AG Phase II (**Kat. 40. Kat. 41. Kat. 433**) auch ausnahmslos größer dimensioniert. Das zeitverzögerte Einsetzen der Tassen mit konkavem Rand (AG Phase II) gegenüber den steilwandigen Tassen (AG Phase I) lässt sich dagegen auch in den Brunnenverfüllungen F und G gut nachvollziehen. Die Tassen mit geschwungener Wandung und die Knickrandtassen, die in Samos ebenfalls schon im Brunnen F vorkommen, werden in Ephesos indessen erst mit der AG Phase II nachweisbar, und während die Knickrandtassen sich in Ephesos von da an großer Beliebtheit erfreuen, bleiben die Tassen mit geschwungener Wandung anders als in Samos eine seltene Form.

Für das Repertoire der gebrauchskeramischen Formen findet sich in Samos vor allem eine Vielzahl an Kannen und Kännchen zum Vergleich, wobei hier neben den in Ephesos überwiegenden dunkelgrundigen Gefäßen in Samos die aufgehellten Kannen schon in der Brunnenverfüllung F und noch mehr im Brunnen G einen beträchtlichen Anteil verzeichnen. In Ephesos werden diese dagegen erst in der AG Phase IIb merklich nachweisbar. Die für die AG Phase II ebenfalls bezeichnenden Vogelkannen und frühorientalisierenden Kannen fehlen in den samischen Vergleichsbefunden, doch ist eine den bikonischen Vogelkannen vergleichbare Kanne mit Metopendekor aus dem Bereich des Südtemenos publiziert¹⁵⁷⁴. Kleine Hydrien lassen sich in den ephesischen Siedlungsbefunden des frühen und mittleren 7. Jahrhunderts noch nicht fassen. Die großen Wellenbandhydrien, die bereits in den Bauhorizonten der AG Phase II vertreten sind, werden in Samos erstmals in der Brunnenverfüllung G greifbar; die Wulstränder der ephesischen Exemplare stehen den samischen Hydrien auch in ihrer formalen Ausprägung nahe.

Bezüglich anderer Alltagswaren bergen die samischen Vergleichsbefunde wenige Informationen. Aus dem Bereich des Südtemenos sind zwei Kratere mit einziehendem Rand belegt¹⁵⁷⁵, wobei der deutlich abgesetzte Rand in Ephesos erst nach der Jahrhundertmitte vorkommt (**Kat. 814**), über die der samische Vergleichsbefund ebenfalls hinausreicht. Auch Steilwandschüsseln, eine Henkelschale und orientalisierende Gefäße der Stilstufe SiA Ib kommen in der Phase I beim Südtemenos und im Brunnen G vor, wobei gerade mit Letzteren jedoch der gegenüber der AG Phase II nach unten versetzte Zeitrahmen dieser Kontexte deutlich wird¹⁵⁷⁶. Die für die AG Phase II typischen gebrauchskeramischen Formen wie Kratere, Tiefe Schüsseln, bauchige Schüsseln, Knickwandschüsseln, Dinoi mit Wulstrand und vor allem Teller auf hohem Fuß sind ebenso wie Kochtöpfe in den samischen Vergleichsbefunden jedenfalls (noch) nicht nachgewiesen, obwohl diese sogar über das mittlere 7. Jahrhundert hinausreichen.

Die AG Phase III (Keramiktaf. 44–87; Typentaf. 4–6) steht in einem chronologisch vergleichbaren Rahmen mit den Befunden der Phasen II und III am Südtemenos und mit der Verfüllung des Bothros¹⁵⁷⁷.

Bei den Trinkgefäßen sind für die zweite Hälfte und das letzte Viertel des 7. Jahrhunderts wiederum an beiden Fundplätzen Tassen und Knickrandschalen belegt, Kotylen sind für diesen Zeithorizont in Samos nicht mehr bekannt, und die Kalottenschalen fehlen nach wie vor. Zeitlich versetzt zu den samischen Verhältnissen kommen in der AG Phase III erstmals die Knickrandschalen vom Typ 5 auf, welche ebenso wie jene vom Typ 6 häufig sehr kleine Dimensionen aufweisen, die aus Samos unbekannt sind. Umgekehrt werden die Knickrandschalen vom Typ 8 erstmals auch im Bothros nachweisbar. Das Repertoire der Tassen, das in Ephesos in der zweiten Hälfte des 7. Jahrhunderts von den Tassen mit konkaver Wandung bestimmt ist, beschränkt sich in Samos fast ausschließlich auf Knickrandtassen und vor allem auf die Tassen mit geschwungener Wandung und außenseitig nur zur Hälfte gefirnisster Oberfläche. Damit ist in Samos ein Gefäßtyp vertreten, der in Ephesos gar nicht vorkommt und dessen vollständig gefirnisste Variante zwar

¹⁵⁷⁴ Vgl. Furtwängler 1980, 206 Nr. 52 Abb. 14 Taf. 47.

¹⁵⁷⁵ Vgl. Furtwängler 1980, 202 Nr. 29. 32 Abb. 13. 14 Taf. 45.

¹⁵⁷⁶ Zur Datierung des Brunnens G zuletzt Schlotzhauer 2014, 297.

¹⁵⁷⁷ Dazu Walter – Vierneisel 1959; Furtwängler 1980.

belegt ist, aber keinen breiten Niederschlag findet und anteilmäßig hinter den anderen Tassenformen weit zurückbleibt (Diagramm 83). In den halbgefirnissten Tassen begegnet außerdem das für Samos spätestens nach der Jahrhundertmitte vorherrschende aufgehellte Dekorsystem, das sich bei den gebrauchskeramischen Formen der ersten Jahrhunderthälfte schon ankündigt, während es sich in Ephesos gerade bei den Trinkgefäßen, Kannen und Kännchen nicht so eindeutig durchzusetzen vermag. In der Phase III vom Südtemenos werden wie in der AG Phase IIIb erstmals Knickrandschalen der Typen 9 und 10 nachweisbar, wodurch die zum Bothros relativ längere Zeitspanne dieser samischen Heiligtumsphase zum Ausdruck kommt, in der die fraglichen Schalen noch nicht auftreten. Der Beginn der Phase III, der um 610 angesetzt wird, unterstützt die auch für die ephesischen Knickrandschalen vom Typ 9 geführte Argumentation bezüglich ihrer Datierung noch im spätesten 7. Jahrhundert (s. o. Kap. 1.B.3.1.6e, Kap. 1.B.4, Kap. 1.E.1.3).

Die Bandbreite publizierter Alltagskeramik hat sich spätestens im letzten Viertel des 7. Jahrhunderts mit den letzten Ausläufern geometrischer Kratere, mit den mastoiden Krateren, bauchigen Schüsseln, kleinen Schüsseln, flachen Knickwandschüsseln, Lekanen und Tellern mit glattem Rand erweitert. Reifen, Bänder und Wellenbänder stellen den typischen Dekor dar. Auch ein Großgefäß, welches die typische Randmorphologie der Tiefen Schüsseln aufweist, ist hier nun erstmals für Samos belegt¹⁵⁷⁸. Die großen Wellenbandhydrien samischen Typs setzten sich an beiden Fundplätzen fort; andere Amphorentypen, die seit der AG Phase III in Ephesos fassbar werden, sind in Samos indes nicht vorgelegt.

Die ephesischen Siedlungsbefunde der ersten Hälfte des 6. Jahrhunderts (AG Phase IV; Keramiktaf. 88–158; Typentaf. 7. 8) finden auf Samos mit der sog. Vorrhoikischen Schwemmschicht, den Befunden am archaischen Nordtor und mit den Befunden der Phasen I bis III vom Nordbau im Heraion ihre chronologische Entsprechung¹⁵⁷⁹.

Innerhalb der Trinkgefäße stehen in der ersten Hälfte des 6. Jahrhunderts in Samos die auch in Ephesos belegten Varianten von Knickrandschalen der Typen KS 5, KS 6, KS 8, KS 9 und KS 10 neben den spezifisch samischen Kulttassen mit geschwungener Wandung und zur Hälfte gefirnisster Außenseite als nunmehr einzige belegte Tassenform. Bei den Knickrandschalen sind es vor allem jene der Variante Typ 9.8, die einen im Vergleich zu der AG Phase IV länger in das 6. Jahrhundert hinabreichenden Zeitrahmen der samischen Befunde am Nordbau und am Nordtor verdeutlichen, kommen diese Trinkgefäße in der Agora-Siedlung doch noch nicht vor¹⁵⁸⁰. Die grob gearbeiteten unbemalten Knickrandschalen sind in Ephesos unbekannt, und auch Schalen der Fikelluraware finden in ephesischen Siedlungsbefunden keine Entsprechung.

In Samos sind in der ersten Hälfte des 6. Jahrhunderts wie auch in der AG Phase IV Halskratere und mastoide Kratere belegt; weitere Gemeinsamkeiten des Formenrepertoires zeigen sich in den Steilwandschüsseln, den Schüsseln mit gerundeter Wandung, den bauchigen Schüsseln, den Knickwandschüsseln und den Lekanen. Die großen Tiefen Schüsseln mit konkav abgesetzter Randzone finden ebenso wie die unbemalten Tiefen Schüsseln mit glattem Rand und Bodenplatte in Ephesos keine Entsprechung.

Bei den Kännchen stehen an beiden Fundplätzen dunkelgrundige Exemplare neben den dominierenden aufgehellten Varianten mit Reifenzier, die jedoch die Formgebung ihrer dekortypologischen Vorläufer im Wesentlichen bewahren, und den spindelförmigen Kännchen mit nochmals reduziertem Reifendekor. Anders als in Samos liegt der Hauptanteil in der AG Phase IV jedoch noch bei den dunkelgrundigen Varianten. Ansonsten zeigt die Gebrauchskeramik der AG Phase IV ähnlich jener von Samos eine Vorliebe für mit Reifen, Bändern und Wellenbändern verzierte Gefäße, während die mattbraunen flächigen Überzüge ephesischer Funde in Samos nicht greifbar werden.

¹⁵⁷⁸ Vgl. Furtwängler 1980, 215 Nr. 22 Abb. 19.

¹⁵⁷⁹ Dazu Kopcke 1968; Isler 1978b; Furtwängler – Kienast 1989.

¹⁵⁸⁰ In Ephesos kommen Knickrandschalen der Variante Typ 9.8 erstmals in den spätarchaischen Befunden von der Nordostterrasse am Panayırdağ vor. Vgl. dazu von Miller 2013, 371 f. Nr. 2043–2047.

Neben den gebrauchskeramischen Formen der Alltagsware stehen nicht wenige orientalisierende Gefäße (Teller auf hohem Fuß, Kratere), die in Samos deutlich der südionischen Tradition verpflichtet sind, und auch Formen der Fikelluraware. Die in der AG Phase IV verstärkt bemerkbaren Einflüsse nordionischer Feinkeramik (NiA Id, schwarzfiguriger Stil) haben sich in Samos kaum niedergeschlagen. Dass die archaische Gefäßproduktion Nordioniens dennoch nicht ganz spurlos an Samos vorbeigegangen ist, beweisen erstmals in den bisher besprochenen Befunden ein als Altstück beim Nordbau vergesellschaftetes Randfragment einer Vogelkotyle sowie ein geschlossenes nordionisches Gefäß mit Tierfries und schwarzfiguriger Bemalung¹⁵⁸¹.

Die für die samischen Amphoren in der ersten Hälfte des 6. Jahrhunderts bezeugten abgeflachten Wulstränder treten in den ephesischen Befunden schon in den Vorgängerphasen vereinzelt auf (s. o. Kap. 1.B.3.6.4b). Anders als in Samos sind in Ephesos für diese Zeit auch andere Amphoren produzierende Zentren, allen voran Milet, im Amphorenspektrum zugegen.

An Küchenwaren sind bis auf zypriotische Reibschüsseln keine Stücke aus Samos publiziert. Den wenigen Lampen der AG Phase IV (**Kat. 1208. Kat. 1381. Kat. 1581–Kat. 1583**) fehlt die für die vielen samischen Lampen der ersten Hälfte des 6. Jahrhunderts typische tiefe Einkerbung am Rand.

Zusammenfassend lässt sich festhalten, dass die archaischen Siedlungsbefunde von Ephesos abgesehen von den für das samische Heraion spezifischen Gefäßformen (halb- bis gar nicht gefirniste Kulttassen, Kantharoi, unbemalte Schüsseln mit glattem Rand und ebensolche Knickrandschalen) sehr viele Gemeinsamkeiten mit dem samischen Gefäßspektrum aufweisen. Dies gilt besonders für die frühen Phasen des 7. Jahrhunderts. In dieser Zeit wird auch bereits der vielleicht markanteste Unterschied zwischen den beiden Fundplätzen deutlich, nämlich das fast vollständige Fehlen nordionischer Gefäße, die etwa in Milet trotz seiner starken eigenständigen Produktion besonders im früheren 7. Jahrhundert sehr wohl vertreten sind. Etwas überraschend kommt auch die geringe Stückzahl von Zickzackmetopenkotylen in den gewählten Vergleichsbefunden, gibt es doch Grund dafür, eine lokale samische Produktion dieser Gefäße mit Sicherheit anzunehmen¹⁵⁸², wengleich sich angesichts der Befundlage in Samos nun die Frage stellt, ob die ephesische Produktion in diesem Zusammenhang als richtungsweisend für Samos anzusehen sein könnte und nicht umgekehrt. Ein weiterer Unterschied zu dem ephesischen Keramikspektrum zeigt sich in Samos mit der frühen Hinwendung zu aufgehellten Gefäßen, während sich in Ephesos die Vorliebe für den dunklen Gesamteindruck gemeinsam mit einem generell längeren Fortbestehen geometrisch geprägter Elemente (Zickzackmetopenkotylen) länger zu bewahren scheint und vor allem für die Tassen, Kannen und Kännchen bis in das mittlere 6. Jahrhundert prägend bleibt. Mit den Gefäßen der Fikelluraware weist Samos dagegen eine Gattung auf, die für die ephesischen Siedlungsbefunde keine Rolle spielt. Insgesamt ist das Formen- und Dekorrepertoire in Ephesos wesentlich breiter gefächert als in samischen Vergleichsbefunden. Dies mag einerseits damit zusammenhängen, dass Ephesos sich auch nordionischen und westanatolischen Impulsen öffnete, andererseits spiegelt sich im in allen seinen Phasen limitierten Formenrepertoire auf Samos eine durch die Kulthandlungen im Heiligtum bedingte Keramikauswahl wider. Eindeutig chronologische Diskrepanzen gibt es abgesehen von den in Ephesos später einsetzenden Knickrandschalen vom Typ 5 und den in Samos erst im späteren 7. Jahrhundert fassbaren Tellern auf hohem Fuß nicht.

3.A.4 Smyrna

Die Grabungen in Bayraklı erbrachten ähnlich wie jene in der Agora-Siedlung eine dichte Reihe von Siedlungsbefunden¹⁵⁸³. Die spätgeometrischen und archaischen Siedlungsschichten, die sich

¹⁵⁸¹ Vgl. Isler 1978b, 89 Nr. 106 Taf. 45; 146 Nr. 498 Taf. 66.

¹⁵⁸² Kerschner – Mommsen 2004–2006, 85.

¹⁵⁸³ Dazu Cook 1958/1959; Cook 1965; Özgünel 1978; Akurgal 1983; Özgünel 2003.

auch im Athenatempel nachvollziehen lassen, werden zu einem Vergleich mit den archaischen Siedlungsbefunden in Ephesos herangezogen, wobei hier aufgrund der Publikationslage zur Keramik nur ausgewählte Gattungen in Frage kommen. Die spät- bis subgeometrische Siedlung von Bayraklı sollte in etwa den chronologischen Rahmen der in den AG Phasen I und II (Keramiktaf. 1–43; Typentaf. 1–3) vergesellschafteten Keramik abdecken.

Publiziert sind für diesen Zeitraum vor allem unterschiedliche Typen von Randfalzkotylen, von denen sich jedoch nur die Vogelkotylen der Typen 4 bis 8 prominent in den archaischen Siedlungsbefunden von Ephesos wiederfinden; zwei Kotylen vom Typ 3 (**Kat. 1657. Kat. 1745**) sind dagegen als Altstücke in den Bauplanierungen der AG Phase IV vertreten. Die für Ephesos so typischen Zickzackmetopenkotylen fehlen in Smyrna, dafür sind mit Zickzackband-, Kreisband- und Wellenmetopenkotylen Typen vertreten, die in der Siedlung unter der Tetragnon Agora keinen Niederschlag fanden, wobei dieses Fehlen aufgrund der Befundlage in Bayraklı nicht zwingend allein chronologisch erklärt werden kann. Ein mit Kreisen gefüllter Dekorfrisch liegt jedoch bei einem Krater (**Kat. 5**) der AG Phase I vor. Die beiden Krater **Kat. 13** und **Kat. 14** aus der AG Phase II sind dagegen möglicherweise je einem mit vielen unterschiedlichen Ornamentfrischen geschmückten Krater zugehörig, die in Smyrna in noch spätgeometrischen Schichtbefunden des ausgehenden 8. Jahrhunderts belegt sind. Der Krater **Kat. 78**, ebenfalls aus einem Bauhorizont der AG Phase II, erinnert dagegen eher an das Dekorsystem der Vogelkotylen mit Schmetterlingsmetopenfrisch. Auch Vogelkannen sind für beide Fundplätze nachgewiesen, und wie in Ephesos werden die Vogelschalen mit dem zweiten Viertel des 7. Jahrhunderts evident. Orientalisierende Gefäße sind in der ersten Hälfte des 7. Jahrhunderts in Smyrna noch nicht zu erwarten, wenngleich ein geometrischer Krater bereits den die Gefäßoberfläche bedeckenden, hellen Malgrund aufweist¹⁵⁸⁴.

Die orientalisierenden Siedlungsniveaus von Bayraklı umfassen mit der zweiten Hälfte des 7. Jahrhunderts die Zeitspanne der AG Phase IIIa+b (Keramiktaf. 44–87; Typentaf. 4–6).

Für diesen Zeitraum ist in Smyrna von subgeometrischen und orientalisierenden Gefäßen die Rede und die wenigen abgebildeten orientalisierenden Gefäße scheinen für die Siedlung von Bayraklı ähnlich wie für die AG Phase III eine stratigrafische Zweiteilung in eine ältere Subphase des dritten Viertels und eine jüngere im späten 7. Jahrhundert zu belegen¹⁵⁸⁵. Das Aufkommen der späteren Kalottenschalen in den orientalisierenden Siedlungsniveaus kommt umgekehrt mit **Kat. 906** in der AG Phase IIIb nur sehr verhalten zum Ausdruck. Rosettenschalen treten erst in der AG Phase IV vermehrt auf, während die für Smyrna belegten Mäanderschalen in den ephesischen Siedlungsbefunden gar nicht belegt sind und umgekehrt die Reifenschalen (**Kat. 905**) für die orientalisierenden Befunde von Bayraklı keine Erwähnung finden. Beide Fundplätze verzeichnen im späteren 7. Jahrhundert frühkorinthische Importe (**Kat. 781. Kat. 942**).

Die archaische Siedlung von Smyrna folgt auf eine gewaltsame Zerstörung der orientalisierenden an der Wende zum 6. Jahrhundert. Sie deckt die erste Hälfte des 6. Jahrhunderts bis zu einer erneuten gewaltsamen Zerstörung um 545 ab. In Ephesos ist dieser Zeitraum mit der AG Phase IV (Keramiktaf. 88–158; Typentaf. 7. 8) gegeben.

Wie in den ephesischen Befunden scheinen sich auch in Bayraklı die schon im 7. Jahrhundert entwickelten Stile und Formen (Gefäße der Stilstufe NiA Id, Mäanderrandteller) bis in die erste Hälfte des 6. Jahrhunderts abzuzeichnen. Der großen Anzahl nordionisch-schwarzfiguriger Bilinguen im Athenatempel von Smyrna stehen in der AG Phase IV nur zwei schwarzfigurige Gefäße (**Kat. 1034. Kat. 1180**) gegenüber. Daneben kommen mit den vom korinthischen Vorbild losgelösten nordionisch-schwarzfigurigen Kratern und den chiotischen Kelchen Gefäße auf, die in ephesischen Siedlungsbefunden erst in den spätarchaischen Horizonten am Panayırdağ präsent

¹⁵⁸⁴ Vgl. Özgünel 2003, 87 Abb. 2 Taf. 20.

¹⁵⁸⁵ Vgl. Akurgal 1983, 40.

sind¹⁵⁸⁶. Bei den Lampen sind im Athenatempel neben den aus südionischen Befunden bekannten Stocklampen auch jene Formen mit konisch einziehender Wandpartie und ausgebogenem Rand belegt, die in Ephesos in der AG Phase IV mehrfach vorkommen (**Kat. 1208. Kat. 1581. Kat. 1582**). Das Fehlen der Fikelluraware hat Smyrna indessen mit der Agora-Siedlung gemeinsam¹⁵⁸⁷.

Das bislang nur eingeschränkt vorgelegte Gefäßrepertoire aus Bayraklı zeigt für das archaische Smyrna im Bereich der Feinkeramik sowohl klare Gemeinsamkeiten als auch Unterschiede mit Ephesos auf. Mit den Randfalzkotylen und Kalottenschalen ist eine Gruppe von Trinkgefäßen gegeben, die auch in der Agora-Siedlung einen hohen Stellenwert verzeichnet, wobei jedoch die Dekorvarianten in Smyrna breiter gestreut sind. In der Agora-Siedlung sind nur die entwickelten Varianten der Vogelkotylen belegt, während die frühesten Typen nordionischer Vogelkotylen ebenso wie die verschiedenen Ornamentfrieskotylen fehlen. Die Variante der Ornamentmetopenkotylen findet in den Zickzackmetopenkotylen in Ephesos einen sehr prominenten Niederschlag mit einer Ausprägung, die umgekehrt für Smyrna nicht genannt wird. Anders als in Smyrna scheinen die Vogelschalen in Ephesos länger beliebt zu sein und nur zögerlich Platz zu machen für die späteren Kalottenschalen. Mit den Knickrandschalen und Tassen fehlen in Smyrna darüber hinaus zwei für das archaische Ephesos wesentliche Trinkgefäße. Eine weitere Gemeinsamkeit zwischen den beiden archaischen Siedlungen ist in den Gefäßen des nordionischen Tierfriesstils und den schwarzfigurigen Gefäßen gegeben. Mit den Gefäßen des frühen südionischen Tierfriesstils fehlt dagegen in Bayraklı wiederum eine Gattung, die für das früharchaische Ephesos belegt ist.

3.A.5 Klazomenai

Für Klazomenai sind Siedlungsbefunde des späteren 7. und des 6. Jahrhunderts publiziert¹⁵⁸⁸, womit sich für die ephesischen Siedlungsphasen AG Phase IIIb und IV ein Vergleich mit einem nordionischen Zentrum anbietet.

Für die wenigen Befunde des späteren 7. Jahrhunderts führt Y. Ersoy eine Vogelkotyle, mehrere Vogel- und Rosettenschalen, je eine Knickrandschale der Typen KS 9 und KS 10.1, nordionisch-orientalisierende Gefäße, chiotische Amphoren des älteren Typs, lokale Lampen mit einziehendem Rand und geradem Boden sowie pyramidale Webgewichte als diagnostische Keramikfunde an. Im Vergleich mit den Befunden der AG Phase IIIb (Keramiktaf. 46–87; Typentaf. 4–6) fällt zum einen das mit Ausnahme der einen Vogelkotyle weitgehende Fehlen geometrischer und früharchaischer Gefäße auf sowie der Schwerpunkt auf nordionischen Gefäßen (Kalottenschalen, Gefäße der Stilstufe NiA Id, chiotische Amphoren), während die südionische Keramiktradition mit nur zwei Knickrandschalen deutlich unterrepräsentiert ist. Diese sind dabei auffallenderweise keine älteren Varianten, sondern mit den Typen KS 9 und KS 10 handelt es sich im späten 7. Jahrhundert um die aktuellsten Knickrandschalen, die beide bereits in der AG Phase IIIb vorkommen. Dies macht gemeinsam mit den übrigen Funden eine zum Ende der AG Phase IIIb gleichzeitige bis leicht jüngere Datierung der klazomenischen Befunde wahrscheinlich. Die klazomenischen Lampen und die pyramidalen Webgewichte sind in Ephesos weder für die AG Phase IIIb noch für eine der anderen Siedlungsphasen nachgewiesen. Angaben zu den gebrauchskeramischen Alltagswaren liegen aus Klazomenai nicht vor.

Die Befunde des frühen 6. Jahrhunderts in Klazomenai können gut mit der AG Phase IV (Keramiktaf. 88–158; Typentaf. 7. 8) verglichen werden.

Als diagnostische Keramikfunde werden für diesen Zeitraum mit zahlreichen Kalottenschalen (späte Vogel-, Rosetten-, Reifen-, Lotus- und Tierfriesschalen), orientalisierenden Gefäßen der

¹⁵⁸⁶ Vgl. bei von Miller 2013, die chiotischen Kelche 347 Nr. 1911; 379 f. Nr. 2086–2089 sowie den schwarzfigurigen Krater 384 Nr. 2112.

¹⁵⁸⁷ Vgl. Cook 1965, 114.

¹⁵⁸⁸ Dazu Ersoy 1993; Ersoy 2004.

Stilstufe NiA Id, chiotischen Amphoren des älteren Typs und lokalen Amphoren wiederum vor allem Gefäße der nordionischen Keramiktradition und Herstellung angeführt. Die südionischen Formen bleiben auf vier Amphoren milesischen Typs, je eine Knickrandschale der Typen KS 5 und KS 10 sowie zwei Knickrandschalen vom Typ 9 beschränkt. Von Letzteren ist eine bereits als jüngere Variante erkennbar¹⁵⁸⁹. Innerhalb der Kalottenschalen dominieren in Klazomenai deutlich die Rosetten- und Reifenschalen, während in der AG Phase IV noch die Vogelschalen überwiegen. Bei den Lampen zeigt sich in Klazomenai neben dem schon im späten 7. Jahrhundert vertretenen Typ mit eingezogenem Rand nun auch eine Stocklampe mit der für Samos typischen Lippenkerbung, ein Formdetail, das für die wenigen Stocklampen in den Befunden der AG Phase IV (**Kat. 1381. Kat. 1434. Kat. 1583**) nicht nachweisbar ist.

Bei den orientalisierenden Gefäßen haben in Klazomenai die Mänderrandteller einen hohen Anteil; hier stehen neben den auch in der AG Phase IV belegten Varianten mit Flachrand solche mit scharfkantig eingebogener Lippe – ein Formdetail, das in Ephesos am Ende der AG Phase IV erstmals evident wird und hier vor allem die Tiefen Teller der Alltagskeramik betrifft (**Kat. 1141. Kat. 1148. Kat. 1464. Kat. 1465**). Angaben zu gebrauchskeramischen Alltagswaren beschränken sich auch für die klazomenischen Befunde des frühen 6. Jahrhunderts auf einige kleine und recht tiefe Schüsseln mit gerundeter Wandung, schnabelförmig vorgezogenem Rand und Bänderdekor im Randbereich, die als Einhenkelschalen angesprochen werden. Diese Dekorweise findet sich in der AG Phase IV bei vielen Knickwandschüsseln wieder.

Wie in der Vorgängerphase zeichnet sich damit im Klazomenai des früheren 6. Jahrhunderts bei allen vorgestellten Warengruppen ein deutlicher Schwerpunkt auf der nordionischen Produktionsregion ab. In Ephesos ist dies in der AG Phase IV wesentlich differenzierter. Zwar ist auch hier im Bereich der bemalten Feinwaren eine stärkere Hinwendung zu Gefäßen der Stilstufe NiA Id und erstmals der noch korinthisch beeinflussten nordionisch-schwarzfigurigen Produktion bemerkbar (**Kat. 1034. Kat. 1180**), die für die klazomenischen Befunde dieser Zeit interessanterweise noch nicht erwähnt werden. Dies könnte vielleicht ein Indiz dafür sein, dass die schwarzfigurige Maltechnik anfänglich nicht in Klazomenai übernommen worden war, wo sie in der zweiten Hälfte des 6. Jahrhunderts zu einer Blüte gelangte, sondern in einem anderen nordionischen Zentrum, von dem Ephesos in der AG Phase IV seine Importe bezog¹⁵⁹⁰. Im Repertoire der Trinkgefäße und Amphoren bleibt Ephesos aber im Wesentlichen weiterhin südionischen Traditionen verpflichtet, und innerhalb der Trinkgefäße wird diese Hinwendung mit der allmählichen Ablöse der lokal interpretierten Randfalzkotylen durch die Knickrandschalen als nun vorherrschende Form umso prägnanter. Archaische Kalottenschalen sind in der AG Phase IV anders als in Klazomenai unterrepräsentiert (Diagramm 90), wenn auch stärker vertreten als etwa noch in der AG Phase III (Diagramm 83).

3.A.6 Chios

Die Funde der Perioden I–IV aus dem Hafengebiet von Emporion auf Chios¹⁵⁹¹ decken das 7. Jahrhundert ab und bilden damit die Vergleichsbasis für die entsprechenden Phasen von der Agora-Siedlung (AG Phase I, AG Phase II und AG Phase III; Keramiktaf. 1–87; Typentaf. 1–6). Die chiotische Keramik des 7. Jahrhunderts hebt sich in Form und Dekor in vielerlei Hinsicht von anderen ionischen Produktionszentren ab.

Neben Importen aus dem übrigen Ionien ist das Repertoire der chiotischen Trinkgefäße im 7. Jahrhundert geprägt von den lokal produzierten Knickrandschalen und Tassen, beides Formen, die sonst vor allem im südlichen Ionien vertreten sind. Die chiotischen Knickrandschalen

¹⁵⁸⁹ Vgl. Ersoy 1993, 99 Nr. 518 Taf. 81.

¹⁵⁹⁰ Vgl. dazu auch Akurgal 2002, 110 Nr. 75 Abb. 43. 44 Taf. 6; 112 f. Nr. 87. 88 Abb. 57. 58 Taf. 8; Kerschner 2002e, 73–78.

¹⁵⁹¹ Dazu Boardman 1967, 101–153.

entwickeln sich beginnend ab dem mittleren 7. Jahrhundert hin zu den für das 6. Jahrhundert so typischen Kelchen, die nachweislich auch nach Ephesos importiert wurden¹⁵⁹². Bei den Tassen begegnet in Chios die auch in Ephesos seit der AG Phase II bekannte und prominent vertretene Form mit konkaver Wandung, die in Chios allerdings erst für das letzte Drittel des 7. Jahrhunderts typisch zu sein scheint. Knickrandtassen finden sich in Chios selten und verteilen sich wie in Ephesos vom zweiten Viertel bis an das Ende des 7. Jahrhunderts. Sie zeichnen sich durch ein weites, offenes Gefäßbecken, einen kurzen, flach abgeknickten Knickrand und eine aufgehellte Oberfläche aus und haben damit, abgesehen vom Knickrand, wenig mit den ephesischen Knickrandtassen gemeinsam. Auch die Tassen mit konkaver Wandung sind anders als die dunkelgrundigen aus südionischen Befunden generell aufgehellte, was zu ihrer späten Datierung passt. Hier besteht eine Gemeinsamkeit mit den hellgrundigen Tassen aus Assesos (s. o. Kap. 3.A.2). In Chios finden sich hingegen erstmals ab dem zweiten Viertel des 7. Jahrhunderts auch Tassen, die mit den glockenförmigen Tassen aus Ephesos Gemeinsamkeiten aufweisen¹⁵⁹³; andere Gefäße dieser Gruppe stehen den Tassen mit S-förmig geschwungener Wandung näher. Die hohen Tassen mit Standring, die in der Agora-Siedlung überhaupt nicht belegt sind, scheinen eine für das gesamte 7. Jahrhundert spezifische chiotische Formausprägung zu sein. Auch die vor allem in der ersten Hälfte des 7. Jahrhunderts in Emporion vertretenen Kantharoi bleiben in den Befunden der Agora-Siedlung im 7. Jahrhundert ohne Parallele.

Bei den Mischgefäßen haben Ephesos und Chios im 7. Jahrhundert abgesehen von den Krateren geometrischer Tradition die *Dinoi* mit abgesetztem Wulstrand und die Kratere mit einziehendem Rand gemeinsam, die auch auf Chios bereits im zweiten Viertel des 7. Jahrhunderts ihren Anfang nehmen. Bei den Schüsseln zeichnet sich auf Chios eine ähnliche Vielfalt in Form und Dekor wie in der Agora-Siedlung ab, wobei die im späteren 7. und beginnenden 6. Jahrhundert besonders prominenten Schüsseln mit Spulenattaschen in den zeitgleichen ephesischen Siedlungsbefunden nicht auftreten. Die Teller auf hohem Fuß setzen in Chios deutlich später als in Ephesos erst im letzten Drittel des 7. Jahrhunderts mit orientalisierend bemalten Gefäßen ein. Daneben gibt es in Ephesos unbekannte Teller mit kantig verdickten Rändern.

Bei den Schankgefäßen finden sich auf Chios geometrisch bis subgeometrisch dekorierte Kannen, die sich mit ihren fließenden Formen aber deutlich von den klar strukturierten Kannen in Ephesos unterscheiden. Kännchen treten in Emporion erstmals im ausgehenden 7. Jahrhundert in der aufgehellten Dekorversion auf, deren Formgebung aber den spät- und subgeometrischen Kännchen aus Ephesos näher stehen als den reifenverzierten und unbemalten Kännchen der zweiten Hälfte des 7. Jahrhunderts, die dort viel schlanker bis spindelförmig ausfallen.

Zusammenfassend ist festzuhalten, dass sich Chios mit Ephesos bestimmte Grundformen und eine generelle chronologische Entwicklung im Gefäßrepertoire teilt, die auch auf das restliche Ionien zutrifft. Darüber hinaus geht Chios in archaischer Zeit jedoch eigene Wege, die sich in der ephesischen Siedlungskeramik abgesehen von den wenigen Importen nur in den seltensten Fällen, etwa bei den glockenförmigen Tassen oder den Krateren mit einziehendem Rand, widerspiegeln. Mit **Kat. 828** begegnet in einem Baubefund der AG Phase IIIb allerdings eine frühe Formvariante chiotischer Amphoren, die bislang nur aus Chios selbst publiziert ist.

3.A.7 Zusammenfassung

In der Gegenüberstellung der Siedlungsbefunde unter der Tetragonos Agora mit zeitgleich datierenden Siedlungs- und Heiligtumsbefunden Ioniens zeigte sich, dass die in der Keramik offenkundigen chronologischen Entwicklungen auch in Ephesos nachzuvollziehen sind, mit dem Unterschied, dass hier typologisch älteren Elementen eine größere Bedeutung zukommt. Dies ist einerseits der Befundlage (Bauplanierungen) geschuldet, andererseits hat sich das längere Fest-

¹⁵⁹² Vgl. von Miller 2013, 349 Nr. 1924; 379 f. Nr. 2086–2089.

¹⁵⁹³ Vgl. Boardman 1967, 128 Nr. 358 Abb. 77 (type C).

halten an traditionellen Typen (Zickzackmetopenkotylen, Tassen, Kannen) als ein Merkmal der ephesischen Keramikproduktion erwiesen. Konkrete chronologische Implikationen ergeben sich aus dem Vergleich nur in Einzelfällen. So wird im Vergleich mit Assesos in den Knickrandschalen vom Typ 9 einmal mehr das Ende der AG Phase IIIb im fortgeschrittenen letzten Jahrzehnt des 7. Jahrhunderts glaubhaft. Die Knickrandschalen der Variante Typ 9.8 (z. B. **Kat. 2177**) in jenen samischen Vergleichsbefunden, die über die Mitte des 6. Jahrhunderts hinausreichen, bekräftigen für Ephesos, wo der Nachweis dieser Gefäße für die AG Phase IV noch aussteht, ein lokales Aufkommen der Formvariante wahrscheinlich erst nach dem mittleren 6. Jahrhundert und umgekehrt das Ende dieser Phase um 550 (s. o. Kap. 1.E.1.4).

Als sehr aufschlussreich hat sich der Vergleich für die Frage nach dem spezifisch Ephesischen im Siedlungsmaterial erwiesen. Während nämlich für fast alle der angeführten Fundplätze ein recht eng umgrenztes Form- und Typenspektrum publiziert ist, in dem sich die zeittypischen Merkmale der beiden Produktionsregionen Nordionien und Südionien sehr gut widerspiegeln, zeigt die keramische Bandbreite in Ephesos nicht nur die bereits angesprochene, chronologisch weitere Reichweite der Siedlungsbefunde an, sondern eine Kombination aus südionischen und nordionischen Form- und Dekortraditionen, die außerhalb von Ephesos in dieser Deutlichkeit primär auf Fundorte mit einem kolonialen Hintergrund beschränkt bleibt (s. u. Kap. 3.B). In Ephesos dürfte das vielfältige Keramikrepertoire indessen vornehmlich seiner zentralen Lage zwischen dem nördlichen und südlichen Ionien und den jeweiligen impulsgebenden Zentren geschuldet sein, deren Repertoire importiert sowie in der lokal ephesischen Produktion imitiert und adaptiert wurde. Damit ist für das archaische Ephesos ein wesentliches spezifisches Merkmal der Gefäßkeramik in eben diesem gemeinsamen Auftreten beider Traditionen, der nordionischen und der südionischen, in allen Siedlungsphasen und für alle Warengattungen gegeben. Dies steht, wie zuletzt schon B. Hürmüzlü betont hat, im deutlichen Gegensatz zur Fundevidenz anderer Zentren in Ionien¹⁵⁹⁴. Andererseits gelingt über jene Phänomene, die weder in nord- noch in südionischen Befunden prägend sind, einmal mehr eine Annäherung an jene Elemente, die Ephesos vor den anderen ionischen Fundplätzen auszeichnet. Dazu gehören bestimmte Formvarianten (z. B. große Zickzackmetopenkotylen, dunkelgrundige Skyphoi, kleinformatige Knickrandschalen, Schalen mit ausgebogenem Rand, glockenförmige Tassen, Tiefe Schüsseln, Teller mit breitem Flachrand) ebenso wie Dekormerkmale (z. B. matte braunrote Gefäßüberzüge).

¹⁵⁹⁴ Vgl. dazu Hürmüzlü 2008, 560.

3.B DAS ARCHAISCHE EPHEOS UND DIE KERAMISCHE KULTUR IONISCH GEPRÄGTER ZENTREN AM SCHWARZEN MEER UND IN ÄGYPTEN

Neben den benachbarten Zentren im ionischen Kerngebiet der westkleinasiatischen Küstenregion ist in archaischen Fundplätzen mit kolonialem Hintergrund¹⁵⁹⁵ ein zweiter wichtiger Vergleichshorizont für das archaische Ephesos gegeben. Dabei sind vor allem die ostgriechischen Gründungen im Schwarzmeerraum und das im Nildelta gelegene Naukratis, nicht zuletzt aufgrund ihrer forschungsgeschichtlichen Dimension, für das Verständnis der archaisch ostgriechischen Keramik besonders hervorzuheben.

3.B.1 Istros und die ionischen Niederlassungen im Schwarzmeerraum

Innerhalb der ionischen Schwarzmeerkolonien stellt die milesische Gründung von Istros den in seinem Materialbestand am umfassendsten publizierten Fundplatz dar¹⁵⁹⁶. Die archaische Fundkeramik reicht typologisch vom ausgehenden 7. bis in das beginnende 5. Jahrhundert hinab und greift damit über den Zeitraum, den die archaischen Siedlungsbefunde unter der Tetragonos Agora abdecken, bis in die späte Archaik aus. In Ephesos wird dieser spätarchaische Horizont erst im Materialbestand des Theaters und der Keil-Grabungen deutlich (s. o. Kap. 2)¹⁵⁹⁷.

Das Repertoire der ostgriechischen Trinkgefäße ist in Istros anders als in Ephesos auf zwei wesentliche Formen, Kalottenschalen und Knickrandschalen, beschränkt. Innerhalb der dominierenden Kalottenschalen herrschen die entwickelten und späten Kalottenschalen (Rosetten-, Reifen-, Augen- und Lotusschalen) vor, während die durchwegs späten Vogelschalen weniger häufig belegt sind. Dies stimmt in Ephesos vor allem mit der Fundevidenz der Keil-Grabungen überein, wo die Kalottenschalen wie in Istros stärker vertreten sind als die Knickrandschalen des 6. Jahrhunderts, während sich das Verhältnis im Materialbestand aus dem Theater umgekehrt darstellt. Für beide Fundplätze, Istros und Ephesos, prägen innerhalb der Knickrandschalen die Gefäße vom Typ 9 und 10 das Repertoire, und besonders die zahlreichen Vertreter der jüngeren Varianten vom Typ 9, allen voran die Varianten Typ 9.7 (**Kat. 1951. Kat. 2175. Kat. 2176**) und Typ 9.8 (**Kat. 2177**), bestätigen die chronologische Reichweite im Theater und an den nordwestlichen Ausläufern des Panayırdağ über das mittlere 6. Jahrhundert hinaus. Die vielen Altstücke geometrischer, subgeometrischer und früharchaischer Tradition (Randfalzkotylen, Knickrandschalen der Typen 5 und 6, Tassen), die noch in der AG Phase IV der ersten Hälfte des 6. Jahrhunderts für die ephesischen Befunde bezeichnend sind, fallen in Istros kaum ins Gewicht. Als weitere Fundgruppe hat Istros mit Ephesos die chiotischen Kelche (**Kat. 2065**) gemeinsam, während das am nordwestlichen Ausläufer des Panayırdağ prominente lydische Element in den istrischen Befunden fehlt.

Die gebrauchskeramischen Alltagswaren zeigen in Istros eine Vorliebe für einerseits mit Reifen und Wellenbändern verzierte Oberflächen, andererseits ist die Gattung der Grauen Ware, die sich in den ephesischen Befunden abseits des Artemisions auf nur wenige Gefäße beschränkt, im Aphroditeheiligtum von Istros stärker vertreten¹⁵⁹⁸. Gerade die Riefelkannen, die in Ephesos der unbemalten Ware angehören (**Kat. 1171–Kat. 1173**), zählen in Istros zu den typischen Vertretern der Grauen Ware. Der für das 6. Jahrhundert vor allem für die Serviergefäße so bezeichnende

¹⁵⁹⁵ Der Koloniebegriff wird hier sehr weit gefasst und ist allgemein im Sinne einer von außen initiierten Niederlassung und ungeachtet seiner näheren funktionalen Spezifikation, wie er in den Begriffen Emporion, Apoikia etc. zum Ausdruck kommt, zu verstehen. Eine kritische Auseinandersetzung mit dem Koloniebegriff erfolgte zuletzt bei Donnellan 2016, bes. 109–111 mit Lit.

¹⁵⁹⁶ s. dazu Lambrino 1938; Condurachi 1966; Alexandrescu 1978; Alexandrescu 2005b; Dupont 2005a; Dupont 2005b; Birzescu 2012a.

¹⁵⁹⁷ In den Befunden an der Nordostterrasse des Panayırdağ ist dieser Zeithorizont auch stratigrafisch nachgewiesen. Speziell zur vorklassischen Keramik vgl. von Miller 2013 sowie von Miller 2015.

¹⁵⁹⁸ Vgl. Alexandrescu 2005b, 353–355 Nr. C.135. C.136 Abb. 45. 46; 354 f. Nr. C.140. C.142. C.145. C.146 Abb. 46; 357 f. Nr. C.158. C.159 Abb. 47.

mattbraunrote und großflächige Überzug bleibt hingegen in Istros auf einige wenige Gefäße aus dem Aphroditeheiligtum beschränkt, die in direkter Abhängigkeit attischer Formvorbilder zu verstehen sind¹⁵⁹⁹. Das in Istros vorgelegte gebrauchskeramische Formenrepertoire überschneidet sich mit Halskrateren, Steil- und Knickwandschüsseln, Reifentellern und Tiefen Tellern, Riefelkannen, Reifenkannen und Reifenkännchen mit jenem, das für das 6. Jahrhundert auch aus Ephesos bekannt ist. Auffallend ist dagegen das Fehlen gerade für das spätarchaische Ephesos typischer Formen wie den flachen Knickwandschüsseln (**Kat. 1986. Kat. 1987. Kat. 2076**), den kleinformatigen, unbemalten Tellern (**Kat. 1990. Kat. 1991**) und den kleinformatigen Deckeln mit schnabelförmigem Rand (**Kat. 1999**).

Innerhalb der feinkeramischen Gefäße sind in Istros fast ausschließlich solche der Stilstufe NiA Id und des nordionisch-schwarzfigurigen Stils vertreten, die auch in den ephesischen Befunden des 6. Jahrhunderts einen hohen Anteil an den feinkeramischen Formen verzeichnen. Die mit den Amphoren in Istros ebenfalls gut belegte Gattung der Fikelluraware tritt in Ephesos hingegen nur vereinzelt und nicht vor dem mittleren 6. Jahrhundert in Erscheinung (**Kat. 1970. Kat. 2031. Kat. 2281. Kat. 2282**). Die feinkeramischen, bemalten chiotischen Großgefäße aus dem Aphroditeheiligtum in Istros¹⁶⁰⁰ finden im archaischen Ephesos überhaupt keine Entsprechung.

Das Amphorenspektrum von Istros und Ephesos umfasst im 6. Jahrhundert mit chiotischen, lesbischen, milesischen, samischen und ionischen Typen in etwa denselben geografischen Raum, wenngleich die Verhältniszahlen vollkommen anders ausfallen. Während nämlich in Ephesos im 6. Jahrhundert die südionischen Typen (milesisch, samisch) den höchsten Anteil verzeichnen (Diagramm 48), fallen diese in Istros hinter den nordionischen (chiotisch, klazomenisch) und nordägäischen Typen (lesbisch) zurück. Die in ihrer Herkunft noch ungesicherten ionischen Amphoren sind in Istros ebenso wie die klazomenischen und lesbischen Amphoren insgesamt wesentlich stärker vertreten als in Ephesos. Die chiotischen Amphoren mit geschwollenem Hals vom Typ C¹⁶⁰¹ kommen in Ephesos überhaupt nicht vor.

Bei den Küchenwaren finden die aus den Theaterbefunden bekannten Kochtöpfe mit ihren ungewöhnlich weit ausgestellten Rändern (**Kat. 2036–Kat. 2038**) in Istros ein gutes Vergleichsstück¹⁶⁰², das dort ähnlich wie **Kat. 485** aus einem Befund der AG Phase IIIa mit einem vertikalen Glättmuster verziert ist. Die wenigen Lampen aus Ephesos finden in den Stocklampen aus dem Aphroditeheiligtum in Istros teilweise gute Entsprechungen¹⁶⁰³.

Das keramische Typenspektrum in Ephesos und in Istros weist viele Gemeinsamkeiten auf, die eine parallele Datierung im 6. Jahrhundert bestätigen. Einzig mit den chiotischen Amphoren vom Typ C mit geschwollenem Hals ist in Istros ein chronologisch indikatives Element vertreten, das für Ephesos nicht nachweisbar ist. Umgekehrt decken die Agora-Befunde des 6. Jahrhunderts mit vergesellschafteten Gefäßen der früheren archaischen Zeit einen weiter zurückreichenden chronologischen Rahmen ab als jene in Istros. Bemerkenswert ist besonders auch im Hinblick auf die Ausführungen im vorangehenden Kapitel 3.A, dass sich in Istros ebenso wie in Ephesos ein deutliches Nebeneinander südionischer (Knickrandschalen, Teller auf hohem Fuß, Fikelluraware, milesische Amphoren, Stocklampen) und nordionischer (Kalottenschalen, nordionischer Tierfriesstil, nordionisch-schwarzfiguriger Stil, chiotische und klazomenische Amphoren) Elemente abzeichnet. Dieses heterogene Bild, das in der an Istros angebundenen Siedlung Tariverde ebenfalls greifbar wird¹⁶⁰⁴, zeigt einerseits die geografisch bedingte Ausrichtung der Siedlungen

¹⁵⁹⁹ Vgl. Alexandrescu 2005b, 356 Nr. C.151 Abb. 47.

¹⁶⁰⁰ Vgl. Alexandrescu 2005b, 331 Nr. C.9 Taf. 53; 332 Nr. C.12 Taf. 55.

¹⁶⁰¹ Vgl. dazu Lambrino 1938, 112 Abb. 75; Knigge 1976, 23 f.; Lawall 1995, 88–115; Cook – Dupont 1998, 149 Abb. 23, 2 d; Monachov 1999, 59 Taf. 9; Niemeier 1999, 411 Nr. 17 Abb. 17. 28; Seifert 2004, 71 Nr. 175 Taf. 68; Nr. 181. 182 Taf. 71 und zuletzt Bîrzescu 2012a, 69–85 und Szegin 2012, 128 Typ Khi6.

¹⁶⁰² Vgl. Alexandrescu 2005a, 364 Nr. C 187 Abb. 50 Taf. 68. Vgl. dazu auch den Kochtopf aus Borysthene bei Čistov 2012, 232 Nr. 3 Taf. 76.

¹⁶⁰³ Dupont 2005b, Abb. 65.

¹⁶⁰⁴ Vgl. dazu im Überblick Bîrzescu 2012b.

in die nördliche Ägäis an, andererseits findet hier die historische Bindung der milesischen Kolonie Istros an ihre südionische Mutterstadt ihren materiellen Ausdruck. Jedenfalls fällt auf, dass sich die südionischen Elemente im Keramikrepertoire fast ausschließlich in Formen zeigen, die originär mit (auch) milesischen Produktionen zu verbinden sind.

Eine solche heterogene, aus der nordionischen und südionischen, aber auch aus der äolischen Produktionsregion gleichermaßen genährte Zusammensetzung des Fundmaterials zeichnet sich auch im Materialbestand anderer Schwarzmeerkolonien, etwa der ebenfalls milesischen Gründung Borysthenes¹⁶⁰⁵, ab. Anders als in Istros erstreckt sich das ausgewogene Nebeneinander hier bis auf das Amphorenspektrum, das im 6. Jahrhundert südionische (milesischer und samischer Typ) und nordionische Typen (chiotischer und klazomenischer Typ) zu etwa gleichen Teilen neben dem gegenüber von Ephesos deutlich erhöhten Anteil an lesbischen Amphoren und Amphoren ionischen Typs aufweist¹⁶⁰⁶. Hinweise auf eine Anbindung an die Äolis sind für Ephesos nur mit wenigen Gefäßen gegeben (z. B. **Kat. 1565. Kat. 1875. Kat. 2216. Kat. 2437**). Anhand des Materials aus Borysthenes gelang erstmals der Nachweis einer Werkstatt, die sich ähnlich wie Ephesos durch eine Gefäßproduktion nach sowohl südionischen als auch nordionischen Vorbildern auszeichnet¹⁶⁰⁷. Diese nach ihrer Verortung in der nördlichen Troas benannte Hellespont-Werkstatt (s. o. Kap. 1.B.3.1.1) ist mit ihren Produkten vor allem im Schwarzmeerraum nachgewiesen. Sie bediente offensichtlich den dort vorherrschenden, von unterschiedlichen Traditionen ostgriechischer Keramikproduktion geprägten Geschmack, der auch das ephesische Keramikspektrum besonders auszeichnet. Jenseits dieser sehr allgemeinen Parallelen weisen die archaischen Siedlungsbefunde unter der Tetragonos Agora mit den feinkeramischen Tellern mit breitem Rand (**Kat. 763. Kat. 1531. Kat. 1608. Kat. 1900**) eine spezifische Gefäßform auf, die ihre nächsten Verwandten in Borysthenes bei schüsselartigen Tellern eben dieser Hellespont-Werkstatt findet (s. o. Kap. 1.B.3.4.2d).

Das aus Olbia publizierte spätarchaische Gefäßspektrum¹⁶⁰⁸ weist hingegen nur sehr allgemeine Gemeinsamkeiten mit dem ephesischen Materialbestand auf. Innerhalb der Trinkgefäße liegt in Olbia wie in den Horizonten der AG Phase IV und im Theater der Hauptanteil bei den Knickrandschalen, wobei sich in Olbia ganz ähnlich wie in Ephesos ein Variationsspielraum jenseits der in Milet und Samos typischen Varianten abzeichnet. Bei der bemalten Feinkeramik stehen wie schon in Istros und Borysthenes milesische Importe neben solchen aus nordionischen Produktionszentren (Klazomenai und Chios). Der in Olbia mit 14,6 % hohe Anteil korinthischer Importwaren des 6. Jahrhunderts¹⁶⁰⁹, der auf die enge Anbindung Olbias an das festländische Griechenland verweist, bleibt in Ephesos indessen ohne Parallele. Mit den diversen Kannen, Schüsseln und Tellern der Reifenware zeigt Olbia hingegen das typisch ostgriechische Gefäßspektrum des 6. Jahrhundert, wobei besonders die matt deckenden Überzüge bei Tellern und Schüsseln auch von den ephesischen Alltagswaren des 6. Jahrhunderts bekannt sind. Das aus Olbia publizierte Amphorenspektrum spätarchaischer Zeit¹⁶¹⁰ weist die Merkmale auf, die schon für Istros herausgearbeitet wurden, und bestätigt für die Handelsbeziehungen der Schwarzmeerkolonien, soweit diese sich im Amphorenrepertoire fassen lassen, eine in ihrem Schwerpunkt anders gelagerte Orientierung als im archaischen Ephesos.

Mit den ohne die Töpferscheibe handgemachten Gefäßen begegnet in allen hier angesprochenen Schwarzmeersiedlungen mit kolonialem Hintergrund eine Gattung, die im archaischen Ephesos bis auf die Kochschüssel **Kat. 556** aus der archaischen Siedlung unter der Tetragonos

¹⁶⁰⁵ Vgl. dazu Solovyov 1999, 28–97; Čistov 2005; Čistov 2012.

¹⁶⁰⁶ Vgl. dazu die quantitative Aufschlüsselung bei Čistov 2012, 130–134.

¹⁶⁰⁷ s. dazu Kerschner 2006b, 148–151; Mommsen u. a. 2006, 165. 167; Posamentir – Solovyov 2006, 114–117; Posamentir – Solovyov 2007, 182 f. 197–201; Posamentir u. a. 2009.

¹⁶⁰⁸ Vgl. Lejpunskaja u. a. 2010.

¹⁶⁰⁹ s. Lejpunskaja u. a. 2010, 133 Tab. 1.

¹⁶¹⁰ Vgl. Lejpunskaja u. a. 2010, 356–362 Taf. 290. 291.

Agora völlig fehlt und auch aus anderen süd- und nordionischen Zentren weitgehend unbekannt ist. Deshalb galten handgemachte Waren nicht nur als geografische Besonderheit des Schwarzmeerraumes, sondern vielfach als Ausdruck eines indigenen, nichtgriechischen Kulturhorizonts – eine These, die zuletzt mehrfach hinterfragt und relativiert wurde¹⁶¹¹.

3.B.2 Naukratis

Der Fundort Naukratis unterscheidet sich nicht nur aufgrund seiner geografischen Lage im ägyptischen Nildelta von den ostgriechischen Kolonien im Schwarzmeerraum. Die funktionale Bestimmung von Naukratis als Handelsplatz wie auch die Beteiligung mehrerer ostgriechischer Zentren an seiner Gründung stehen im Gegensatz zu den von einzelnen ionischen Städten gegründeten Niederlassungen in den Küstenregionen des Schwarzen Meeres. Der chronologische Zeitrahmen entspricht indessen jenem, den auch die Schwarzmeerkolonien abdecken¹⁶¹². Die zuletzt von U. Schlotzhauer vorgelegte Studie zur ostgriechischen Keramik aus Naukratis¹⁶¹³ veranschaulicht in augenfälliger Weise, wie sich die Vielzahl der eingebundenen Städte indirekt in der aus den lokalen Heiligtümern bekannten Zusammensetzung des Gefäßbestands niederschlägt und darüber hinaus auf die lokale Produktion vor Ort auswirkt.

Innerhalb der bemalten Feinkeramik und der Trinkgefäße stehen in Naukratis äolische, nordionische und südionische Gefäße nebeneinander, wobei die typologische Reichweite aufgrund der Gründung von Naukratis im fortgeschrittenen 7. Jahrhundert enger gefasst ist als der Gefäßbestand aus Ephesos, der bis in die spätgeometrische Zeit zurückreicht. In diesem chronologischen Verhältnis muss auch die Verteilungsstatistik der in Naukratis insgesamt die Trinkgefäße dominierenden südionischen Knickrandschalen verstanden werden, die eine deutliche Vorherrschaft der Knickrandschalen vom Typ 9 belegt¹⁶¹⁴. Dasselbe Phänomen ist in Ephesos für die AG Phase IV und für den archaischen Materialbestand der Theaterbefunde bemerkbar, während im Bereich der Keil-Grabungen am Stadionhügel die nordionischen Kalottenschalen des 6. Jahrhunderts prominenter vertreten sind als die zeitgleichen Knickrandschalen. Eine eindeutige Diskrepanz im Fundspektrum der beiden Fundplätze Naukratis und Ephesos zeigt sich im Bestand der chiotischen Feinkeramik, die sich in den archaischen Siedlungsbefunden unter der Tetragonos Agora mit <1 % auf die Trinkgefäße beschränkt (Diagramm 1), während sie in Naukratis sogar die große Anzahl an Knickrandschalen weit übertrifft¹⁶¹⁵. Ostdorische Importe sind im vorgelegten Gefäßbestand aus Ephesos indes nicht nachgewiesen, wenngleich ein zumindest indirekter Kontakt in diese Region möglicherweise in Form der dunkelgrundigen Knickrandskyphoi (**Kat. 164. Kat. 238. Kat. 357. Kat. 852. Kat. 1261. Kat. 1262. Kat. 1345**) zum Ausdruck kommt.

Die spätestens seit dem zweiten Viertel des 6. Jahrhunderts lokal in Naukratis hergestellte Gefäßkeramik¹⁶¹⁶ reflektiert die heterogene Zusammensetzung der ostgriechischen Importkeramik und kombiniert deren Charakteristika in adaptiver Form, woraus lokale Varianten entstehen. Dieses Phänomen findet in der deutlich früher im beginnenden 7. Jahrhundert nachgewiesenen ephesischen Gefäßproduktion engste Parallelen, etwa in den Zickzackmetopenkytylen (s. o. Kap. 1.B.3.1.2ba).

3.B.3 Zusammenfassung

Der unter Kapitel 3.A angestellte Vergleich des ephesischen Typenspektrums hat die Unterschiede und Gemeinsamkeiten der Agora-Siedlung mit Fundorten und Produktionszentren in

¹⁶¹¹ Vgl. dazu die kritische Diskussion bei Lejpunskaja u. a. 2010, 335 f. 347–349; Birzescu 2012b, 82.

¹⁶¹² Vgl. dazu die chronologische Diskussion bei Schlotzhauer 2012, 25–35.

¹⁶¹³ Vgl. Schlotzhauer 2012. Vgl. auch Schlotzhauer 2006b und die Ausführungen von Villing 2013.

¹⁶¹⁴ Vgl. Schlotzhauer 2012, 55 Abb. 3.

¹⁶¹⁵ Vgl. Schlotzhauer 2012, 55 Abb. 4.

¹⁶¹⁶ Dazu Schlotzhauer 2012, 62–65. s. auch Villing 2013, bes. 87.

den angrenzenden Regionen aufgezeigt und konnte dabei den heterogenen Charakter der ephesischen Gefäßensembles als besonderes Charakteristikum hervorheben. In der Gegenüberstellung mit ausgewählten Fundorten mit kolonialem Hintergrund hat sich nun gezeigt, dass diese sich dasselbe Merkmal, sowohl im Importverhalten als auch in der lokalen Produktion, mit Ephesos teilen, wenngleich sich das Phänomen nicht zuletzt aufgrund der divergierenden chronologischen Einordnung im Detail unterschiedlich äußert. Betrachtete man nur das Gefäßspektrum, müsste man für das archaische Ephesos in Analogie dazu einen kolonialen Hintergrund vermuten, der nach allem, was wir wissen, freilich auszuschließen ist. Für die vorgestellten Schwarzmeerkolonien erschließt sich das Phänomen, sei es nun im Import als in der lokalen Gefäßproduktion, schlüssig aus der geografischen Anbindung an die nördliche Ägäis einerseits und die historisch-kulturelle Anbindung an die milesische Mutterstadt andererseits. Im griechischen Handelsemporion Naukratis ist das im Gefäßbestand deutliche Einwirken der daran beteiligten Zentren ebenfalls nicht sehr überraschend. Der Grund für die heterogene und unterschiedliche Traditionen berücksichtigende Zusammensetzung des ephesischen Gefäßspektrums wird hingegen in der geografischen Lage von Ephesos am Schnittpunkt zwischen der südionischen und der nordionischen Produktionsregion mit ihren teils stark exportorientierten Zentren zu suchen sein.

3.C DIE SIEDLUNGSKERAMIK ALS REFLEX DER KULTURELLEN UND WIRTSCHAFTSGESCHICHTLICHEN PRÄGUNG DES ARCHAISCHEN EPHEOS: ZUSAMMENFASSENDE DARSTELLUNG UND AUSBLICK

Die Diskussion der archaischen Siedlungskeramik nach ihren typologischen und chronologischen Indikatoren bildet eine wichtige Grundlage für die Frage der Anbindung der Agora-Siedlung und allgemein des archaischen Ephesos an das restliche Ionien und an den weiteren Ägäisraum.

Betrachten wir zunächst die archaischen Siedlungsbefunde unter der Tetragonos Agora, so zeigen diese in ihrem keramischen Repertoire die feste Verankerung von Ephesos im ionischen Kulturraum. In der ausgewogenen, wenn auch nach Waren und Gattungen diachron unterschiedlich gelagerten Rezeption sowohl nordionischer als auch südionischer Traditionen ist ein für das ephesische Keramikinventar archaischer Zeit sehr spezifisches Merkmal gegeben, das anderen ionischen Fundplätzen in dieser Ausprägung nicht zu eigen ist. Einzig bei Fundorten mit kolonialem Hintergrund kommt neben der geografisch bestimmten Außenorientierung ein diesen Rahmen sprengendes kulturhistorisches Element im Gefäßrepertoire stärker zum Tragen, woraus sich eine mit Ephesos vergleichbare heterogene Zusammensetzung der Fundensembles ergibt.

In den ephesischen Siedlungsbefunden stehen seit dem frühen 7. Jahrhundert typisch nordionische neben typisch südionischen Gefäßtypen. Mit den Herkunftsgruppen B und J sind dabei prominente und offenbar exportorientierte Produktionszentren (Vogelschalenwerkstatt, Samos) mit ihren Erzeugnissen in Ephesos gut vertreten. Daneben zeugen die Trinkgefäße der Herkunftsgruppen I, H und möglicherweise auch M von einer regen lokalen oder regionalen ephesischen Keramikproduktion, die einerseits die Form der nordionischen Randfalzkotylen aufgreift und sich andererseits mit einer etablierten Produktion von Tassen und Knickrandschalen dem südionischen Formenkanon anschließt. Außerdem gehört Ephesos gemeinsam mit Samos zu den bislang maßgeblichsten Herstellern der Zickzackmetopenkotylen, die in dieser adaptiven Kombination von Form- und Dekormerkmalen zum vielleicht repräsentativsten Exponenten für den heterogenen Charakter des ephesischen Keramikensembles werden. Mit keiner anderen Gefäßform wird der Reflex nordionischer und südionischer Traditionen als ephesisches Lokalspezifikum deutlicher.

In diesem Nebeneinander wird seit dem ausgehenden 7. Jahrhundert im Warenspektrum eine Differenzierung der Präferenzen bemerkbar. Während in den AG Phasen I, II und III für die Fragestellung der regionalen Anbindung von Ephesos primär die Trinkgefäße eine Rolle spielen und sich hier ein ausgewogenes Verhältnis abzeichnet (Diagramm 76. 83), wird beginnend mit der AG Phase IIIb die bemalte Feinkeramik mit orientalisierendem Dekor zum zweiten Indikator. Erst in den Siedlungsbefunden des 6. Jahrhunderts etabliert sich innerhalb der Trinkgefäße eine Vorrangstellung der südionischen Knickrandschalen (Diagramm 90). Die synchron datierte bemalte Feinkeramik zeichnet mit einer deutlichen Hinwendung zu der nordionischen Produktionsregion hingegen ein anderes Bild¹⁶¹⁷, das sich im Bereich des nordwestlichen Ausläufers des Panayırdağ auch im Repertoire der Trinkgefäße bestätigt findet. Bemerkenswert ist außerdem das weitgehende Fehlen der Fikelluraware, das als ein allgemeines Merkmal des ephesischen Warenrepertoires zu gelten hat, während nordionisch-schwarzfigurige Gefäße besser vertreten sind.

Damit zeigt sich das archaische Ephesos im Bereich der Feinkeramik einmal mehr an einer Schnittstelle zwischen südionischen und nordionischen Keramiktraditionen, ohne dass eine eindeutige Hinwendung zu einer der beiden Produktionsregionen evident würde; vielmehr zeichnen sich bei verschiedenen Gefäß- und Warengruppen unterschiedliche Vorlieben ab, die auch innerhalb der untersuchten Fundstellen voneinander abweichen. Inwiefern im archaischen Materialbestand insgesamt Ephesos selbst als Produktionszentrum in Erscheinung tritt, ob dabei ebenfalls eine schwerpunktmäßige Hinwendung zu nord- oder zu südionischen Traditionen abzulesen sein wird, wie sie im Form- und Dekorspektrum sichtbar werden, und ob sich in diesem Zusammenhang erneut chronologische und topografische Unterschiede ergeben, sollten weiterführende

¹⁶¹⁷ Vgl. dazu die ähnliche Situation am ostgriechischen Anteil in der materiellen Kultur auch auf Sizilien, die bei Kerschner 2000, bes. 487 zusammenfassend dargelegt ist.

Untersuchungen zeigen können. Zunächst ist bemerkenswert, dass bei den Trinkgefäßen, für die eine lokale Produktion gesichert ist, erst im 6. Jahrhundert das südionische Element dominiert, während im Bereich der importierten Feinkeramik die zeitgleiche nordionische Produktionsregion eindeutig die größeren Anteile verzeichnet.

In diesem Zusammenhang wird die Frage relevant, welches der südionischen Produktionszentren, Milet oder Samos, für die archaische Agora-Siedlung von maßgebender Relevanz war. In den archaischen Siedlungskontexten scheint mit den zahlreichen samischen Importen bei den Trinkgefäßen, mit den Zickzackmetopenkotylen als gemeinsame Ausprägung der Randfalzkotylen sowie mit den Amphoren/Hydrien mit Wulstrand als mutmaßlich gemeinsame Variante der Transport- und Vorratsgefäße Samos dem archaischen Ephesos insgesamt näher zu stehen als Milet, das nur mit wenigen feinkeramischen Importen in den ältesten Siedlungsbefunden und seit der AG Phase III mit den Amphoren milesischen Typs vertreten ist. Die Gemeinsamkeiten mit Samos auch im Bereich der Alltagswaren, besonders in den Kontexten der Agora-Siedlung, und die zu vernachlässigende Präsenz der spezifisch milesischen Fikelluraware in ephesischen Fundkontexten scheinen in ihrer negativen Evidenz ebenfalls eher für Samos denn für Milet als das für die ephesische Keramikproduktion bedeutende südionische Zentrum zu sprechen. Die direkte territoriale Nachbarschaft und literarisch verbürgte Interaktion von Ephesos und Samos¹⁶¹⁸ sowie die Lage der Siedlung unter der Tetragonos Agora an einer nach Südwesten ausgerichteten Hafengebucht kommen diesem Erklärungsmodell durchaus entgegen. Unter Einbeziehung auch der Alltagswaren und ihrer Fabrikate, für die bislang insgesamt zu wenige archäometrische Daten vorliegen, sollte die nähere Klärung dieser Frage und ihrer weiter reichenden kulturhistorischen Implikationen für das archaische Ephesos zukünftig möglich sein.

Abseits des in den ionischen Typenkanon eingebundenen Gefäßspektrums begegnen in Ephesos darüber hinaus einige wenige Formen, die zumindest aufgrund der bisherigen Publikationslage entweder als Ausdruck einer originär lokalen Tradition zu verstehen oder die von außerhalb Ioniens beeinflusst sind. Gerade in den dunkelgrundigen Skyphoi wird dabei eine aus geometrischen Traditionen ableitbare Dekorvariante evident, die in Ephesos auch bei anderen Gefäßformen prominent vertreten ist und die sich in der archaischen Agora-Siedlung länger zu halten scheint als anderswo. In der Vorliebe für flächig gefirnisste Gefäßoberflächen ist damit möglicherweise eine für Ephesos spezifische Besonderheit gegeben. Die gegenüber anderen Fundplätzen retardierenden Merkmale im ephesischen Keramikrepertoire liegen zudem in dem offenbar weniger innovativen als rezeptiven und auf Imitation und Adaption ausgelegten Wesen der lokalen Gefäßproduktion mitbegründet.

Die zypriotischen Reibschüsseln und die großformatigen Kochtöpfe binden das archaische Ephesos spätestens seit dem späteren 7. Jahrhundert in ein den engeren ionischen Raum sprengendes und auf spezifische funktionale Formen spezialisiertes Handelsnetz ein, welches das gesamte östliche Mittelmeer umfasst. Inwiefern Ephesos selbst aktiv an diesem Handel beteiligt war, ist den Kontexten nicht zu entnehmen; sowohl die küstennahe Lage der Siedlung unter der Tetragonos Agora als auch der Fundstellen am Fuße des Panayırdağ¹⁶¹⁹ erlaubte jedenfalls problemlos einen direkten Zugang zum primären Verkehrsweg, entlang dessen sich dieser Handel vollzog.

Der antike Güterverkehr ist im archäologischen Befund vornehmlich über die Amphoren als Verpackungsmaterial der verhandelten Waren fassbar. Für Ephesos steht ein als solcher erkennbarer, spezifisch lokaler Typ archaischer Transportamphoren bislang aus, und aufgrund des in jeder Hinsicht breit gefächerten Fundspektrums in den Siedlungsbefunden wird man mit guten Gründen davon ausgehen dürfen, dass ein selbiger tatsächlich auch nicht existierte. Vielmehr scheint Ephesos an der Produktion der Amphoren samischen Typs beteiligt gewesen zu sein,

¹⁶¹⁸ Vgl. dazu Strab. 14, 1. 20; Paus. 7, 2. 8; Athenaios in der Tradition des Malakos (FGrHist 552 F1). s. dazu auch Fischer 2013, 25; Mac Sweeney 2013, 94. 171. 193.

¹⁶¹⁹ Zu den geoarchäologischen Evidenzen vgl. Brückner 1997; Kraft u. a. 2000; Kraft u. a. 2005 und zuletzt Stock u. a. 2014.

die besonders in der bemalten Variante der Amphoren mit Wulstrand oder Rundstabilippe ihren Niederschlag fand. Die Abgrenzung dieser ephesischen Amphoren ist bislang nicht erfolgt und rein formtypologisch auch aufgrund des Erhaltungszustands kaum möglich, weshalb in den Amphoren bisher auch keine Anhaltspunkte für einen möglichen ephesischen Fernhandel vorliegen. Von einem zumindest regionalen Warenverkehr ist aber auszugehen, und auf Basis der bemalten Amphoren mit Rundstabilippe oder Wulstrand erlauben zukünftige Untersuchungen vielleicht eine klarere Identifizierung ephesischer Amphoren und ihres Verbreitungsradius.

Die nach Ephesos importierten Transportamphoren weisen Samos bzw. die Produzenten der Amphoren samischen Typs sowie ab dem fortgeschrittenen 7. Jahrhundert vor allem Milet als prominente Handelspartner aus. Die nordionischen, nordägäischen und festlandgriechischen Produzenten bleiben in den Siedlungsbefunden unterrepräsentiert, was im Hinblick auf das nordionische Keramikrepertoire besonders auch im Bereich der nordwestlichen Ausläufer des Panayırdağ bemerkenswert ist. Zumindest der Import landwirtschaftlicher Güter und Nahrungsmittel scheint sich in Ephesos demnach vor allem aus dem Süden konzentriert zu haben. Von den nördlich gelegenen Zentren gelang es nur Chios mit 10 % am Amphorenbestand in den Agorabefunden (Diagramm 44) nachhaltig Fuß zu fassen.

Die Interaktion der archaischen Besiedlung von Ephesos spielt sich demnach auf mehreren Ebenen ab. In den Amphoren als indirektem Beleg eines landwirtschaftlichen Güterverkehrs ist die regionale und nach Süden ausgerichtete Anbindung sehr deutlich. In der lokalen Keramikproduktion zeigt sich indessen eine gesamtionische Einbettung, die das nach Süden und Norden orientierte Importverhalten reflektiert und auch außerionische Impulse aufnimmt. Dabei hat es den Anschein, dass das nordionische Element besonders bei den Feinwaren zum Tragen kommt, während die aus der Agora-Siedlung bekannten Alltags- und Küchenwaren zumindest nach dem bisherigen Publikationsstand eher an Südionien angebunden werden können.

Wie im Rahmen dieses Kapitels zusammenfassend dargelegt wurde, sind es keine statischen Phänomene, welche die grundsätzlich gesamtionische Verankerung des archaischen Ephesos und seine besondere Affinität zu Samos einerseits (Agora-Siedlung) und ins nördliche Ionien andererseits (Nordwestabhang des Panayırdağ), sichtbar machen. Besonders die diachrone Analyse der typochronologischen Entwicklung des Gefäßbestands in der Siedlung unter der Tetragonos Agora zeichnet darüber hinaus eine sich innerhalb der Waren und Formen verlagernde Evidenzlage nach. Die Akkumulation solcher Veränderungen in den Befunden der AG Phase IIIb macht für das fortgeschrittene 7. Jahrhundert eine tief greifende Zäsur sichtbar, die mit den Speisegewohnheiten die privateste Alltagskultur der Bewohner berührt (s. o. Kap. 1.E.1.3 und Kap. 1.E.2). Diese ist interessanterweise mit historischen Phänomenen koinzidiert, die nachhaltig das archaische Ionien prägen. Dazu zählen etwa das verstärkt militärisch-politische Ausgreifen des Lyderreiches nach Westen (s. o. Kap. 1.B.1.1.2) oder die von ostgriechischen Städten intensivierten Kontakte¹⁶²⁰ besonders zum Schwarzmeerraum¹⁶²¹. Dabei ist freilich festzuhalten, dass Ephesos und insbesondere das Artemision zwar in der Expansionspolitik Lydiens ihren Platz einnahmen, hingegen für die ionische Kolonisation im Schwarzmeerraum keine aktive Rolle spielten. Der am Ende der AG Phase IIIb nachvollziehbare siedlungsstrukturelle Wechsel von der Einzelhaussiedlung hin zu den komplexeren Hofhäusern der AG Phase IV könnte als ein weiterer materieller Ausdruck derselben sich wandelnden sozio-kulturellen Strukturen angesehen werden, die auch im keramischen Befund ihren Niederschlag fanden¹⁶²².

¹⁶²⁰ Beide Phänomene werden in der Forschungsliteratur dabei durchaus auch in einem kausalen Zusammenhang miteinander diskutiert. Vgl. dazu etwa Graham 1990, 121 f.; Tsetskhladze 1994, 123–126. Kritisch dazu Cook 1982, 199. 211–215.

¹⁶²¹ s. dazu die allgemeine und vor allem in Bezug auf die chronologische Einordnung teils kontrovers geführte Diskussion bei Boardman 1980, 238–256; Cook 1982; Graham 1990, 118–130; Tsetskhladze 1994; Solovyov 2007. Speziell zu der archäologischen Fundevidenz vgl. beispielsweise Boardman 1998b; Solovyov 1999, bes. 28–97; Kerschner 2006d. s. außerdem Tsetskhladze 1998 bzw. die Rezension dazu von Bujskich 2001, 623–629. Vgl. außerdem die Beiträge unter der Rubrik 4. Ionien am Pontos, in: Cobet u. a. 2007, 465–636.

¹⁶²² Vgl. dazu Lang 2005; Lang 2007, bes. 190–193.

Vor diesem gesamtionischen Hintergrund, dessen unterschiedliche Einzelaspekte im Detail auszuführen den inhaltlichen Rahmen der vorliegenden Materialstudie weit sprengen würde und daher nicht beabsichtigt ist, liegt im keramischen Repertoire aus den archaischen Siedlungsbefunden unter der Tetragonos Agora einer der wichtigsten Schlüssel zum Verständnis des archaischen Ephesos. In diesem Sinne sind auch die verschiedenen, im Rahmen der Materialauswertung aufgezeigten Interpretationsansätze keinesfalls als erschöpfende Analyse zu den weiterführenden und nur schlaglichtartig angesprochenen Fragestellungen (z. B. Typisierung und Definition früher Siedlungsarchitektur und Siedlungsstrukturen, funktionale Interpretation einzelner Siedlungsobjekte in ihrem Gesamtkontext, Verhältnis von Siedlungs- und Handwerksarealen, Baukeramik im frühen Siedlungskontext, lokale Siedlungstopografie, Diskussion des Verhältnisses von Siedlungs- und Heiligtumskeramik und seine Implikationen, vergleichende chronologische und funktionale Analyse mit synchronen Fundplätzen der östlichen Ägäis, historische und wirtschaftsgeschichtliche Aspekte, Verhältnis Ephesos und Samos) zu verstehen. Angestrebt wurde vielmehr, die spezifischen Ergebnisse der befundimmanenten Materialauswertung im größer gefassten Rahmen archäologischer Forschung zu verorten und ihre Relevanz für aktuelle und über die unmittelbare keramische Kernstudie hinausreichende Forschungsthemen aufzuzeigen, zu deren weiterer Diskussion sie Substanzielles beizutragen vermögen. Auch die erschöpfende Behandlung einer Reihe weiterer Aspekte, die im Rahmen der materialimmanenten Keramikanalyse aufgeworfen wurden (z. B. Zusammenhang von Keramikformen und Metallgefäßen im archaischen Ionien, Stellenwert der lokalen Küchenware für Gefäßformen der alltäglichen Gebrauchskeramik) bleiben ein Desiderat für systematische Studien, die im Rahmen zukünftiger Forschungsvorhaben verwirklicht werden sollen.

Nicht zuletzt aufgrund der Fundmenge und der Voraussetzungen, welche die Zusammensetzung des Materials bedingen, erschließen sich im keramischen Spektrum einer Siedlung deutlicher, da unmittelbarer als in anderen Befund- und Fundgattungen, der Hintergrund einer Gesellschaft und die kulturhistorischen wie auch ökonomischen Faktoren, denen diese in ihrer chronologischen Entwicklung unterliegt. Die Gegenüberstellung der Agora-Siedlung mit den Fundevidenzen aus dem Theater und vom Nordwestabhang des Panayırdağ macht darüber hinaus zumindest in Ansätzen die komplexen Phänomene sichtbar, denen jede charakterisierende Beurteilung des archaischen Ephesos zukünftig Rechnung tragen muss. Der kontrovers geführten Diskussion um die frühe Siedlungsgeschichte, Siedlungsentwicklung und Siedlungstopografie als einem der zentralen Themen in der Forschung zu dem vorhellenistischen Ephesos steht nun außerdem erstmals eine repräsentative Quellenbasis als verbindliche archäologische Referenz zur Verfügung. Auch das Verhältnis des archaischen Artemisheiligtums zu der zeitgleichen ephesischen Besiedlung ist vor dem Hintergrund des neugewonnenen keramischen Quellenbestands ein vielversprechendes Thema für zukünftige Forschungsvorhaben. Für Ephesos insgesamt kann die Keramikauswertung zunächst glaubhaft machen, dass es in archaischer Zeit eine tatsächlich vermittelnde Position zwischen dem nördlichen und dem südlichen Ionien und deren Einzugsgebieten einnahm. Diese Interaktion findet in den heterogenen und die unterschiedlichen keramischen Traditionen berührenden Gefäßensembles auch außerhalb der Agora-Siedlung ihren materiellen Ausdruck. Ephesos liegt damit in archaischer Zeit nicht nur in geografischer Hinsicht im Zentrum Ioniens.

4 PETROGRAPHIC EVALUATION OF SELECTED GEOMETRIC AND ARCHAIC VESSELS: IDENTIFYING IMPORTS AND DEFINING EPHESIAN REFERENCE GROUPS

Lisa Betina

4.A INTRODUCTION

As a complementary approach to support, refine or correct hypotheses gained through the typochronological classification of the Geometric and Archaic ceramic assemblages discussed in this volume, thin-section petrography and targeted geochemical investigations on selected ceramics have been performed. A representative number of 119 ceramics originating from the excavations on the Tetragonos Agora, the so-called Keil-Grabung, and chronologically comparative finds retrieved from Hellenistic contexts of the theatre of Ephesos, have been sampled¹⁶²³. The sampling strategy was based on specific relevant archaeological issues rather than aiming to integrate all testified macroscopic groups in the scientific analysis. However, a broad spectrum of ceramic classes has been covered, including dining wares and utilitarian pottery. The petrographic evaluation and characterisation is of particular significance, as ceramics from the Geometric and Archaic periods in Western Asia Minor have been so far primarily investigated by applying the Neutron Activation Analysis (NAA)¹⁶²⁴ as a natural-scientific method, while petrographic data is scarce¹⁶²⁵. The preliminary petrographic results¹⁶²⁶ to be presented in the following report will allow the differentiation of ceramic products of presumably local/regional provenance from potentially imported wares, on the basis of their aplastic clay paste constituents. Yet, there is a certain limitation of the interpretative value of the thin-section data. Due to the considerable amount of analysed samples being defined by fine grain sizes often lacking any diagnostic rock inclusions, it is particularly problematic to reconstruct their provenance with absolute certainty. Ephesian products can be identified much more securely on the basis of detailed petrographic reference data available from already-analysed samples of various epochs. Most importantly, ceramic vessels recovered from the Archaic kiln site¹⁶²⁷ on the Tetragonos Agora have been included in this study, representing the range of clay pastes possibly fired in or being associated with this specific pottery workshop. The data of ceramics recovered from the kiln context might allow the formation of reference groups for local ceramic production in Ephesos in the 7th century B.C. and, as such, be used as a tool for facilitating micro-scale provenancing in future investigations.

¹⁶²³ I am very grateful to S. Ladstätter for the opportunity to analyse the ceramic material presented and, in particular, A. von Miller for the selection of the samples and scientific discussion of the results. For the preparation of the studied thin-sections, I would like to thank J. Erci, C. Grauszer and R. Puzio. Many thanks to R. Sauer for helpful comments on the petrographic data and to M. Kerschner for scientific feedback on this contribution.

¹⁶²⁴ Most relevant for the period under discussion: Akurgal et al. 2002.

¹⁶²⁵ The only integrated and published petrographic study of Archaic pottery to date had been conducted by Riederer 2007 on ceramic material from Didyma. Sauer 2004 investigated an assemblage of roof tiles from the Archaic Artemision in Ephesos.

¹⁶²⁶ This is the first petrographic data presented for Geometric and Archaic pottery from Ephesos and, as such, is a pioneering study. More comprehensive geochemical analyses are needed in future research in order to confirm the petrographic groups generated. Additionally, petrographic reference data from identified production centres in the region would be of enormous importance, to determine a more secure provenance for the presumed imports detected in the ceramic assemblages excavated in Ephesos. A short summary of the results of this study had been provided by Peloschek 2016, 256–257.

¹⁶²⁷ Cf. chap. 4.D.2.

4.B AIMS OF THE ANALYTICAL PROGRAMME

The selection of the specimens studied with archaeometric methods was based on the morphological and macroscopic characteristics of the ceramic repertoire presented in this volume. In more detail, it was aimed to include a wide range of vessel shapes in the petrographic study as well as ceramic material from the Archaic kiln, possibly allowing the reconstruction of a compositional fingerprint for local productions. For few of the analysed samples, prior to thin-section analyses their fabrics had been compared under low magnification to samples of known provenance, as determined by NAA analyses¹⁶²⁸, by A. von Miller. It needs to be stressed that deliberately a considerable quantity of coarse wares had been incorporated in the petrographic study, as these – due to the coarseness of their mineral and rock constituents – best reflect the nature of the geological environment they originate from. Following, the statistical data presented (cf. e.g. diagram 101) does not represent all ceramics discussed in this volume, but accounts exclusively for the thin-sectioned samples. Nonetheless, the gained data can be considered as a representative ›cross-section‹ for the overall ceramic assemblage.

All ceramic thin-sections were studied with a Zeiss AxioLab A1 polarising light microscope at the Austrian Archaeological Institute in Vienna and subsequently arranged in petrographic groups referring to their mineral and rock constituents, considering the natural and technological variation of their composition. The focus of archaeometric analyses was to contribute to several major archaeological questions being connected to aspects of ceramic provenance and vessel functionality, as follows:

- Can ceramics, which typologically have been linked to Ephesian potteries, indeed be identified as local products? Which shape repertoire has been manufactured locally and what kind of clay recipes have been employed in their production process? Is it possible to correlate specific vessel shapes with the utilisation of particular clay pastes, possibly being related to the functional aspects of the pots?
- How distinctive are the presumed local ceramics by compositional means, particularly regarding the fine wares?
- How reliable are the vessels recovered from the Archaic kiln for generating reference groups? Can the petrographic evidence aid in the reconstruction of the organisation of production in the Geometric and Archaic periods?
- Which vessels can definitely be classified as imported wares? Is it, for example, possible to differentiate Lydianising or orientalising shapes on the basis of their petrographic fingerprint? To which extent is heterogeneity observable for the mortaria? Do the petrographic results support their typological assignation as »Cypriot«, »Corinthian« and »East Greek reproductions of Cypriot prototypes«?
- Can diachronic developments in Ephesian ceramic production be noticed and how do these observations contribute to socio-cultural interpretation? Is the employment of particular clay pastes influenced by the availability of raw materials, the technological choices of the craftsmen or societal/functional needs?

On the basis of the character of inclusions respective of their grain sizes and abundance, 22 petrographic fabric groups (henceforth petrofabrics) have been noticed, a considerable amount of them being compositionally highly distinctive. Several of the defined petrofabrics can be geologically related to each other, pointing towards their origin from a similar geological and thus, often identical, geographical region. Methodologically, the petrofabrics have been attributed to proposed locations of origin by comparison with published petrographic studies from Western Asia Minor and beyond, also incorporating data of prehistoric and Hellenistic-Roman ceramics linked to production in this region. Geological literature on relevant rock formations and bedrock,

¹⁶²⁸ Most significantly, Akurgal et al. 2002. For a comprehensive discussion of the determined NAA groups and their provenance indications see chap. 2.B.3.1.1.

as well as geological maps, provided additional hints for the reconstruction of landscapes that might be correlated with the identified petrofabrics.

The diagram below (diagram 101) illustrates the percentage of representation of the individual compositional groups differentiated, highlighting the predominance of two petrofabrics (EPH-METAMORPHIC_01 and EPH-METAMORPHIC_04). Nine petrofabrics, in contrast, comprise only a single sample each, possible as an effect of the sampling strategy chosen.

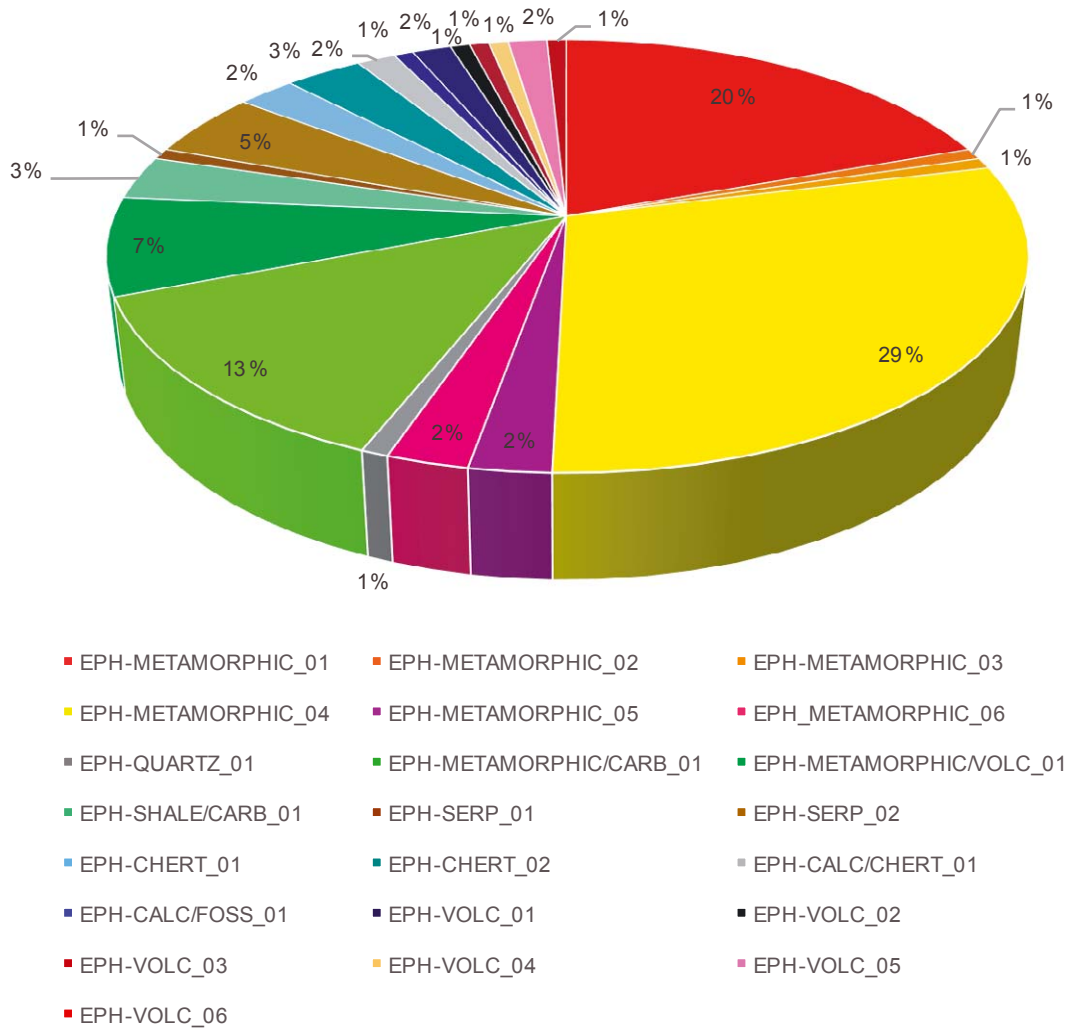


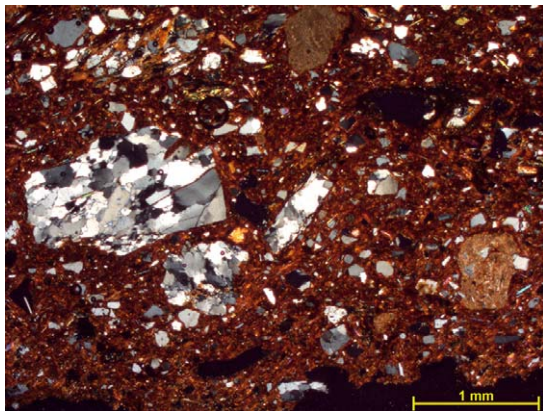
Diagram 101 Percental representation of individual petrofabrics identified

4.C PETROGRAPHIC DESCRIPTIONS AND INTERPRETATION

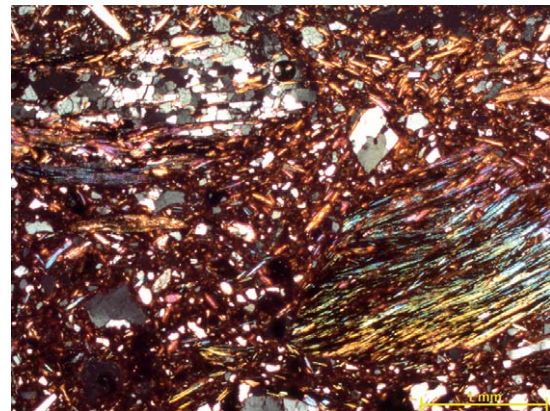
A short descriptive system has been applied for classifying the petrographic data, stating the properties of the clay matrices, the percentage of voids, the shape and arrangement of inclusions as well as their character and abundance. Common abbreviations used in the descriptions that need to be explained, comprise: PPL (plain polarised light) and XPL (crossed polarised light) for the description of the light source used for investigation; va. (very angular), a. (angular), sa. (sub-angular), sr. (sub-rounded), r. (rounded) by means of the shape of the individual inclusions; tef is the acronym for the textural concentration features that can be understood as clay pellets embedded in the clay matrices of the samples.

The descriptions are mostly arranged in a logical order; the petrofabrics geologically relate to each other, allowing the opposition of samples deriving from similar geological environments easily and the comparison of them directly in the interpretation section that follows each description. In the interpretation section most importantly, a provenance – whenever possible – has been suggested for each petrofabric, but will be discussed more comprehensively in chapter 4.D. The provenance determination of local petrofabrics can be rated as secure due to the existence of sufficient reference data, while for some of the presumed imports no assignment to individual production centres has been achieved but rather a very general area of possible origin has been proposed.

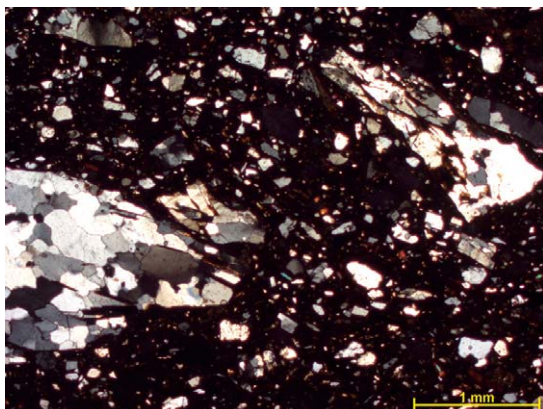
The nomenclature chosen for the individual petrofabrics is a combination of the find spot of the ceramics without implying any provenance (EPH = Ephesos), one or two words referring either to the geological environment the petrofabric can be associated with (e.g. METAMORPHIC = environment dominated by metamorphic rocks; VOLC = volcanic geological environment) or stating the major or most distinctive species of aplastic clay paste constituents identified (e.g. QUARTZ, SHALE, CHERT or FOSS = microfossils). Provided that more than one



a



b



c

Fig. 42 Characteristic rock fragments of petrofabric EPH-METAMORPHIC_01, constituted mainly by quartz-mica schists and mica schists. a) Sample **Kat. 399** with additional micrite at the right edge of the image; b) Sample **Kat. 1579**; c) Sample **Kat. 116** with only a minor amount of micas. All images taken under crossed polars magnified $\times 25$

petrofabric is defined by a similar range of inclusions or originating from the same geological landscape, they are differentiated from each other by additional numbers arranged in numerical order (e.g. CHERT_01, CHERT_02, etc.).

1) EPH-METAMORPHIC_01

Definition: Coarse metamorphic fabric (fig. 42)

| Petrofabric EPH-METAMORPHIC_01 | | |
|--------------------------------|-----------------|--------------------------------|
| Kat. | Inv./Sample No. | Shape/Ware |
| 65 | AG 93/143.9 | Cooking pot |
| 116 | AG 89/116.2 | Cooking pot |
| 118 | AG 90/093.3 | Portable cooking device/hearth |
| 224 | AG 89/156.1 | Cooking pot |
| 245 | AG 91/178.4 | Pithos |
| 309 | AG 91/131.2 | Pithos |
| 337 | AG 91/148.5 | Cooking pot/hearth |
| 338 | AG 91/150.10 | Cooking pot |
| 339 | AG 91/150.11 | Cooking pot |
| 340 | AG 91/150.12 | Cooking pot |
| 399 | AG 91/174.8 | Cooking pot |
| 453 | AG 93/112.19 | Cooking pot |
| 516 | AG 89/246.3 | Cooking pot |
| 779 | AG 89/050.5 | Cooking pot |
| 1258 | AG 91/116.4 | Roof tile |
| 1433 | AG 89/114.1 | Cooking pot |
| 1577 | AG 89/199.1 | Cooking pot |
| 1579 | AG 89/197.40 | Cooking plate |
| 1708 | AG 92/183.7 | Cooking pot |
| 1726 | AG 92/180.4 | Cooking pot |
| 1879 | AG 96/144.6 | Bowl (Kitchen ware) |
| 1880 | AG 96/207.2 | Cooking pot |

Clay Matrix: highly micaceous and iron-rich, tannish-brown in PPL, dark reddish-brown in XPL. Optically slightly active to inactive.

Voids: 7–11 %

Inclusions: 13–18 %, sa.–sr., <3.06 mm, mode 0.72 mm, slightly bimodal grain size distribution, moderately sorted.

Types of inclusions: Dominant: quartz-mica schist (including both biotite and muscovite) in elongated shape; monocrystalline quartz and quartzite with undulose extinction. Frequent: mica schists (biotite and muscovite, often both). Common: micritic limestone, mostly fine-grained, sometimes containing silt-sized quartz and muscovite inclusions; tcf's, reddish-brown in XPL with diffuse boundaries and neutral to high optical density. Few: alkalifeldspar/albite (sometimes altered or infilled with clinozoisite); opaques. Very few: fine plagioclase laths. Rare: schists composed of quartz + biotite + epidote + alkalifeldspar (infilled); fine epidote; clinopyroxene/augite; aggregates of epidote-biotite composition; serpentinite (oxidised). Very rare: sparite; dolomite (?); amphibole; hornblende; orthopyroxene. Almost absent: fragment of marble (in sample **Kat. 1433**); isotropic inclusion, possibly volcanic glass (?) (in sample **Kat. 1579**).

Interpretation: The range of aplastic constituents of the metamorphic character reflects the local geology of the region around Ephesos. In particular, the presence of alkalifeldspar/albite being infilled with clinozoisite is a distinctive feature of local-regional clay sediments. Additionally,

similar clay pastes are well known from the nearby tell-settlement Çukuriçi Höyük from the Late Neolithic period onwards¹⁶²⁹, where it had been predominantly used for pottery manufacture, but had been noted also in the production of domestic ware in the Roman and Late Antique periods¹⁶³⁰. R. Sauer identified a compositionally similar petrofabric in the course of his investigations of Archaic roof tiles from the Artemision¹⁶³¹, which were classified as local products. This is a petrofabric of local provenance with a strong tradition of its use for coarse ware pottery production.

2) EPH-METAMORPHIC_02

Definition: Coarse metamorphic with increased epidote content (fig. 43)

| Petrofabric EPH-METAMORPHIC_02 | | |
|--------------------------------|-----------------|--------------------------|
| Kat. | Inv./Sample No. | Shape/Ware |
| 1204 | AG 89/226.23 | Mortarium (Kitchen ware) |

Clay matrix: micaceous and iron-rich, tannish brown in PPL and dark reddish-brown in XPL. Optically slightly active clay matrix.

Voids: 4 %

Inclusions: 8 %, sa.–sr., <1.64 mm, mode 0.70 mm, weak bimodal grain size distribution, moderately sorted.

Types of inclusions: Dominant: quartz; K-feldspars; albite infilled with clinozoisite. Frequent: quartz-mica schists (mostly biotite); mica schists (biotite dominating). Common: quartzite; fine epidote; quartz-alkalifeldspar-epidote-biotite schists. Few: muscovite. Rare: micrite.

Interpretation: This petrofabric relates directly to EPH-METAMORPHIC_01 as containing coarse-grained metamorphic rock fragments and the characteristic infilled alkalifeldspars/albite, but as being defined by an increased number of fine epidote grains. This is definitely a very characteristic local petrofabric, as epidote-rich clays are well known in the region¹⁶³². The clay seems to have been extracted from a slightly different clay mining site compared to EPH-METAMORPHIC_01. Sherds of a matching composition have been identified in the prehistoric ceramic material from Çukuriçi Höyük, for which a local provenance is certain¹⁶³³.

3) EPH-METAMORPHIC_03

Definition: Coarse metamorphic with increased clinozoisite/epidote-infilled albite (fig. 44)

| Petrofabric EPH-METAMORPHIC_03 | | |
|--------------------------------|-----------------|-------------|
| Kat. | Inv./Sample No. | Shape/Ware |
| 395 | AG 91/173.22 | Cooking pot |

Clay matrix: slightly micaceous, dark tannish brown in PPL and XPL. Slightly optically active clay matrix.

Voids: 5 %

Inclusions: 11 %, sa.–r., <1.44 mm, mode 0.58 mm, unimodal grain size distribution, moderately sorted.

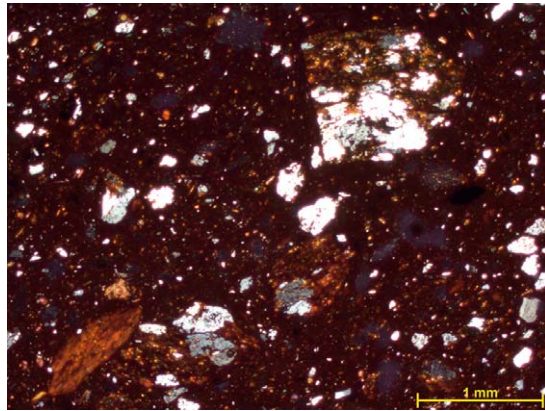
¹⁶²⁹ First presentation of this petrographic main fabric and its brief compositional description in Jahresbericht 2013, 44 f. (Petrographisches Hauptfabrikat der Frühbronzezeit). A more detailed description of the petrofabric and its diachronic use at Çukuriçi Höyük has been given by Peloschek 2017, 129 f.

¹⁶³⁰ This petrofabric shows, for instance, close analogies to »Petrographischer Scherbentyp H« as defined by Sauer – Ladstätter 2008, 178 f. for coarse wares of the 6th c. A.D. from the Vediusgymnasium.

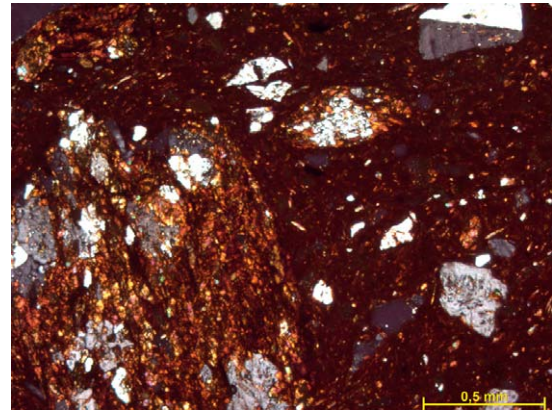
¹⁶³¹ »Ziegeltyp A« following Sauer 2004, 63 f. The mineral and rock repertoire mentioned correlates to the petrofabric EPH-METAMORPHIC_01, even though not being enriched with organics compared to the roof tile fragments.

¹⁶³² See Sauer 1995, 86.

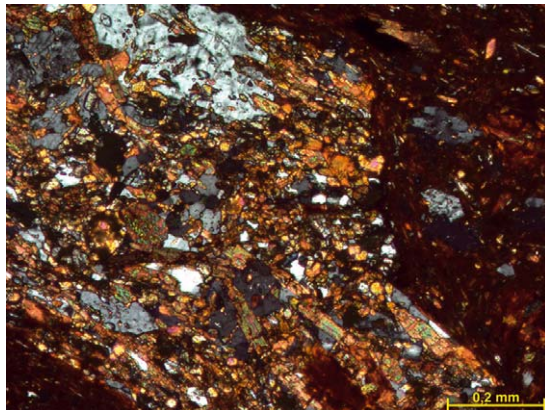
¹⁶³³ Peloschek 2017, 130.



a



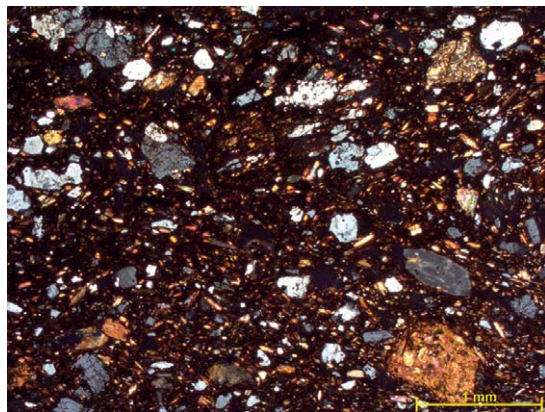
b



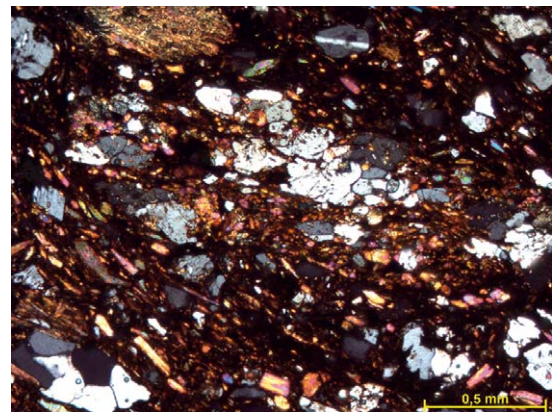
c

Fig. 43 Typical spectrum of aplastic inclusions of petrofabric EPH-METAMORPHIC_02.

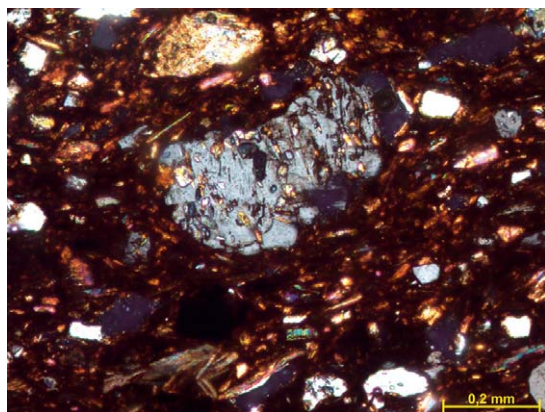
a) Schists and aggregates of quartz and epidote in sample 1204, magnification $\times 25$; b) Alkali-feldspar in the right corner of the image in sample 1204, magnified $\times 50$; c) Detail of an epidote-aggregate, including also particles of infilled albite, sample **Kat. 1204**, magnified $\times 100$. All images taken under crossed polars



a



b



c

Fig. 44 Rock constituents of petrofabric EPH-METAMORPHIC_03.

a) Overview of sample **Kat. 395**, magnification $\times 25$; b) Detail of an epidote-aggregate in sample **Kat. 395**, magnified $\times 50$; c) Albite infilled with fine epidote grains in sample **Kat. 395**, magnified $\times 100$. All images taken under crossed polarizing light

Types of inclusions: Dominant: alkalifeldspar/albite (?) infilled with epidote, muscovite and bluish (XPL) clinozoisite; alkalifeldspars can also be arranged in aggregates. Common: quartz; fine muscovite laths. Few: red oxidised serpentinite (partially altering to talc); biotite; small fragments of talc; fine epidote. Very few: clinopyroxene; quartzite (quartz-mica schist); perthite; schists of alkalifeldspar (infilled) + epidote + biotite composition; actinolite-schist. Almost absent: weathered sparite.

Interpretation: This a diagnostic petrofabric originating from a highly metamorphic environment, the actinolite fragments pointing towards greenschist-facies metamorphic rocks. Its repertoire of rock inclusions and geological associations are in concordance with the local/regional geology of the Kaystros valley around Ephesos. Apart from the increased amount of infilled alkalifeldspar/albite, there can be recognised certain distinctive analogies to the petrofabric EPH-METAMORPHIC_01. Ceramics of a similar composition are already known from the prehistoric periods at Çukuriçi Höyük¹⁶³⁴. Geological field studies highlighted that actinolite-schists¹⁶³⁵ but particularly serpentinite altering to talc, occur a short distance southeast of the modern city of Selçuk. A local or regional provenance of this petrofabric is as such evident.

4) EPH-METAMOPRHIC_04

Definition: Fine quartz and muscovite (fig. 45)

| Petrofabric EPH-METAMORPHIC_04 | | |
|--------------------------------|-------------------|---------------------------------|
| Kat. | Inv./Sample No. | Shape/Ware |
| 702 | AG 89/120.4 | Bowl |
| 862 | AG 96/179.11 | Cup with everted rim |
| 874 | AG 95/271.9 | Bowl (Grey ware) |
| 876 | AG 96/179.5 | Plate |
| 877 | AG 96/179.3 | Juglet |
| 880 | AG 96/196.5+6 | Orientalising jug |
| 890 | AG 96/196.12 | Amphora |
| 892 | AG 96/196.19 | Deep storage vessel (Grey ware) |
| 893 | AG 96/196.20 | Deep storage vessel |
| 1202 | AG 89/227.18 | Mortarium |
| 1203 | AG 89/222.9 | Mortarium |
| 1392 | AG 89/114.5 | Cup with everted rim |
| 1847 | AG 95/271.8 | Bowl with steep wall |
| 2181 | EΦ.KG.277 | Cup with everted rim |
| 2190 | EΦ.KG.342 | Mug |
| 2191 | EΦ.KG.96 | Ovoid kotyle |
| 2193 | EΦ.KG.115 | Ovoid kotyle |
| 2199 | EΦ.KG.120 | Geometric krater |
| 2216 | EΦ.KG.128 | Orientalising krater |
| 2218 | EΦ.KG.299 | N-Ionian krater |
| 2234 | EΦ.KG.302 | Lekane |
| 2272 | EΦ.KG.173 | Orientalising jug |
| 2337 | EΦ.KG/26.7/I+II.7 | Klazomenian krater |

¹⁶³⁴ Personal observation L. Betina (unpublished).

¹⁶³⁵ Sauer – Ladstätter 2008, 184 identified actinolite-schist in their »Scherbentyp K« of the Vediusgymnasium and also proposed a local or regional provenance, though they noticed actinolite formations also northeast of the ancient city of Ephesos.

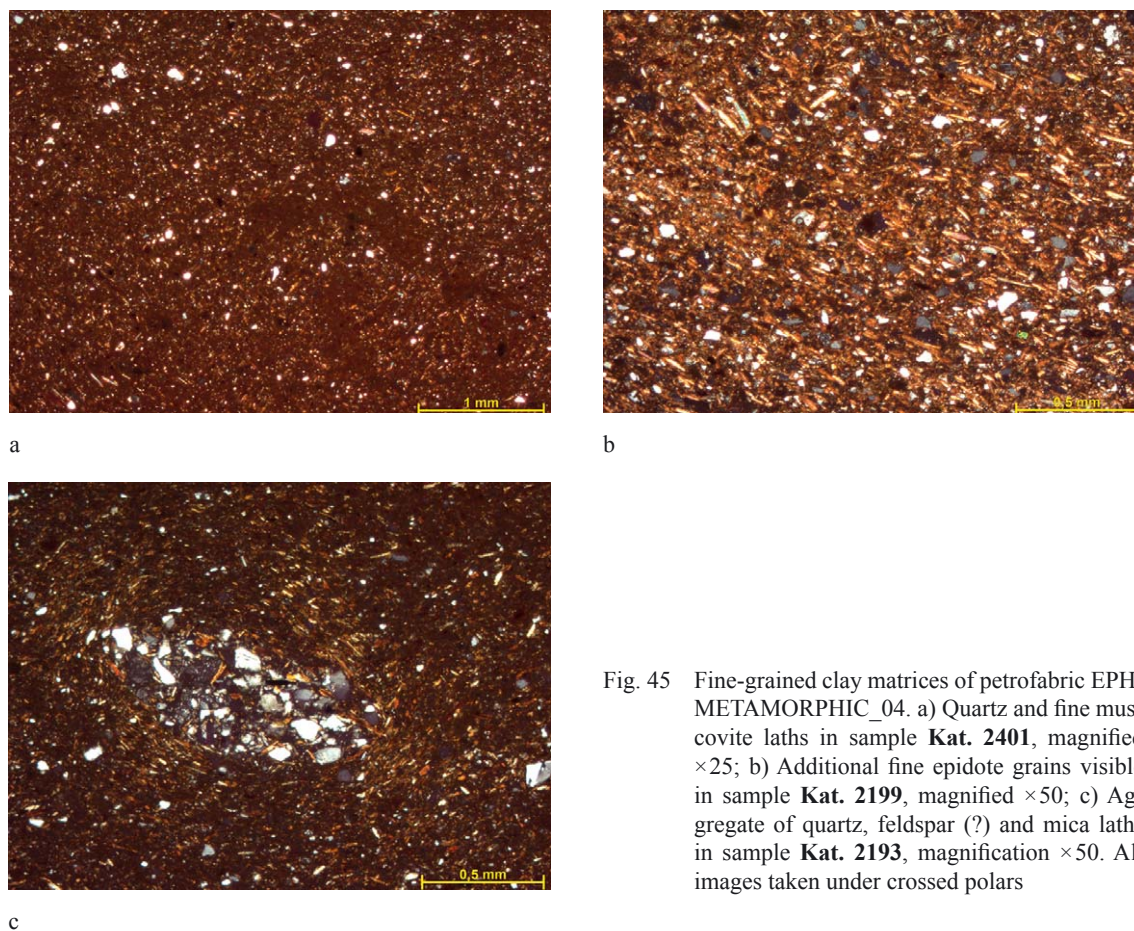


Fig. 45 Fine-grained clay matrices of petrofabric EPH-METAMORPHIC_04. a) Quartz and fine muscovite laths in sample **Kat. 2401**, magnified $\times 25$; b) Additional fine epidote grains visible in sample **Kat. 2199**, magnified $\times 50$; c) Aggregate of quartz, feldspar (?) and mica laths in sample **Kat. 2193**, magnification $\times 50$. All images taken under crossed polars

| | | |
|------|------------------|--------------------------|
| 2376 | EΦ.KG/26.IV.9 | Fruit stand marbled ware |
| 2386 | EΦ.KG/26.IV.3 | Ovoid kotyle |
| 2387 | EΦ.KG/26.IV.2 | Ovoid kotyle |
| 2389 | EΦ.KG/26.IV.11 | Ovoid kotyle |
| 2390 | EΦ.KG/26.IV.12 | Ovoid kotyle |
| 2391 | EΦ.KG/26.IV.13 | Ovoid kotyle |
| 2400 | EΦ.KG/26.IV.42 | Plate |
| 2401 | EΦ.KG/26.IV.43 | Plate |
| 2419 | EΦ.KG/26.IV.62 | Hydria |
| 2434 | EΦ.KG/26.V.1 | Ovoid kotyle |
| 2504 | EΦ.KG/26.VIII.5 | Ovoid kotyle |
| 2513 | EΦ.KG/26.VIII.27 | Geometric amphora |
| 2519 | EΦ.KG/26.VIII.25 | Milesian-type amphora |

Clay matrix: micaceous with a certain iron oxide-content, tannish brown in PPL, dark reddish-brown in XPL. Optically slightly active to rarely inactive vitrified. Rarely very active (sample **Kat. 2191**).

Voids: 3–7 %

Inclusions: 2–5 %, sa.–sr., <1.04 mm (tcf's), <0.40 mm (quartz), mode 0.14 mm, unimodal grain size distribution, well sorted.

Types of inclusions: Dominant: monocrystalline quartz. Common: muscovite mica. Frequent: opaques; biotite. Rare: fine amphibole/hornblende; carbonates; biotite-alkalifeldspar/albite-epidote schist (sample **Kat. 1203**); quartzite (sample **Kat. 2519**). Very rare: tcf's in a dark reddish-brown colour, moderate optical density and with mostly diffuse boundaries.

Interpretation: Minerals and rock inclusions seem to originate from a metamorphic environment. This petrofabric might be a finer version of EPH-METAMORPHIC_01, still containing a few fragments of schists being diagnostic for the local geological landscape around Ephesos (in particular, the biotite-alkalifeldspar/albite-epidote schist is characteristic). Tcf's are common features of coeval roof tiles in the Artemision¹⁶³⁶ and, as such, are in concordance with local ceramic traditions at that time. Based on the observed clay paste constituents, a local provenance would be plausible.

However, due to the relative fineness of the clay paste in several samples, characteristic rock fragments are missing with only muscovite schists and quartz being visible in thin-sections. This composition would match the geology of most parts of Western Asia Minor¹⁶³⁷, hindering a secure provenance determination. The typological classification of the vessels (above) petrographically falling within this petrofabric illustrates that Lydian, Ionian and possibly local ceramic products¹⁶³⁸ are all well represented in this group. Several samples corresponding to this petrofabric originate from excavations of the Archaic kiln on the Tetragonos Agora, emphasising indeed the occasional local provenance for at least some of the vessels studied. As such, this fabric can be classified as being of a ›mixed‹ character, as it comprises samples of different places of origin, but all pointing to an Aegean, or possibly more precisely, a Western Anatolian source¹⁶³⁹. Geochemical analyses are needed to complement thin-section data for allowing a differentiation of the individual samples to a variety of geographical regions (see chap. 4.D.3). The macroscopic comparison of fabrics of the ceramics discussed here with samples of known provenance as inferred by NAA analysis implies also a possible variable origin of ceramic fragments subsumed in petrofabric EPH-METAMORPHIC_04¹⁶⁴⁰.

5) EPH-METAMORPHIC_05

Definition: Very fine quartz and muscovite (fig. 46)

| Petrofabric EPH-METAMORPHIC_05 | | |
|--------------------------------|-------------------|-------------------------|
| Kat. | Inv./Sample No. | Shape/Ware |
| 2119 | EΦ.KG.23 | Corinthian-style kotyle |
| 2176 | EΦ.KG.280 | Cup with everted rim |
| 2336 | EΦ.KG.26.7/I+II.8 | N-Ionian krater |

Clay matrix: micaceous and iron-rich, dark tannish-brown in PPL and strong reddish-brown in XPL. Optically slightly active to inactive.

Voids: 2–3 %

Inclusions: 1–3 %, sa.–sr., <0.12 mm, entirely fine fraction, strong unimodal grain size distribution, very well sorted.

Types of inclusions: Dominant: mica (mostly biotite, fine laths). Frequent: monocrystalline quartz; muscovite; fine iron-rich particles. Rare: hornblende.

Interpretation: This is a very fine version of the petrofabric EPH-METAMORPHIC_04 with no obvious rock inclusions being present. The mineral constituents, however, are closely related

¹⁶³⁶ They have been sporadically recognised in »Ziegeltyp C« and »Ziegeltyp D« in the spectrum of Archaic roof tiles in Ephesos (Sauer 2004, 65 f.).

¹⁶³⁷ For example, Miletos (Stager 2011b, 59–61) but also the adjacent Aegean island of Samos (Whitbread 1995, 127–129; recently: Menelaou et al. 2016, 485). Moreover, in Northern Ionia and Lydia fine wares of mica and quartz-composition are native.

¹⁶³⁸ Sample **Kat. 1203** gives best evidence for tracing this petrofabric amongst others to the geological landscape of Ephesos, as it contains characteristic biotite-alkalifeldspar/albite-epidote schists native to the region.

¹⁶³⁹ Cf. chap. 4.D.2 discussing the similarity of the clay matrices of petrofabrics EPH-METAMORPHIC_01 and EPH-METAMORPHIC/VOLC_01.

¹⁶⁴⁰ The samples had been correlated with NAA-groups B (**Kat. 1392**, **Kat. 2193**), J (**Kat. 2181**), single (**Kat. 2190**), Ulo 01 (**Kat. 2191**) and M (**Kat. 2387**); cf. catalogue for details.

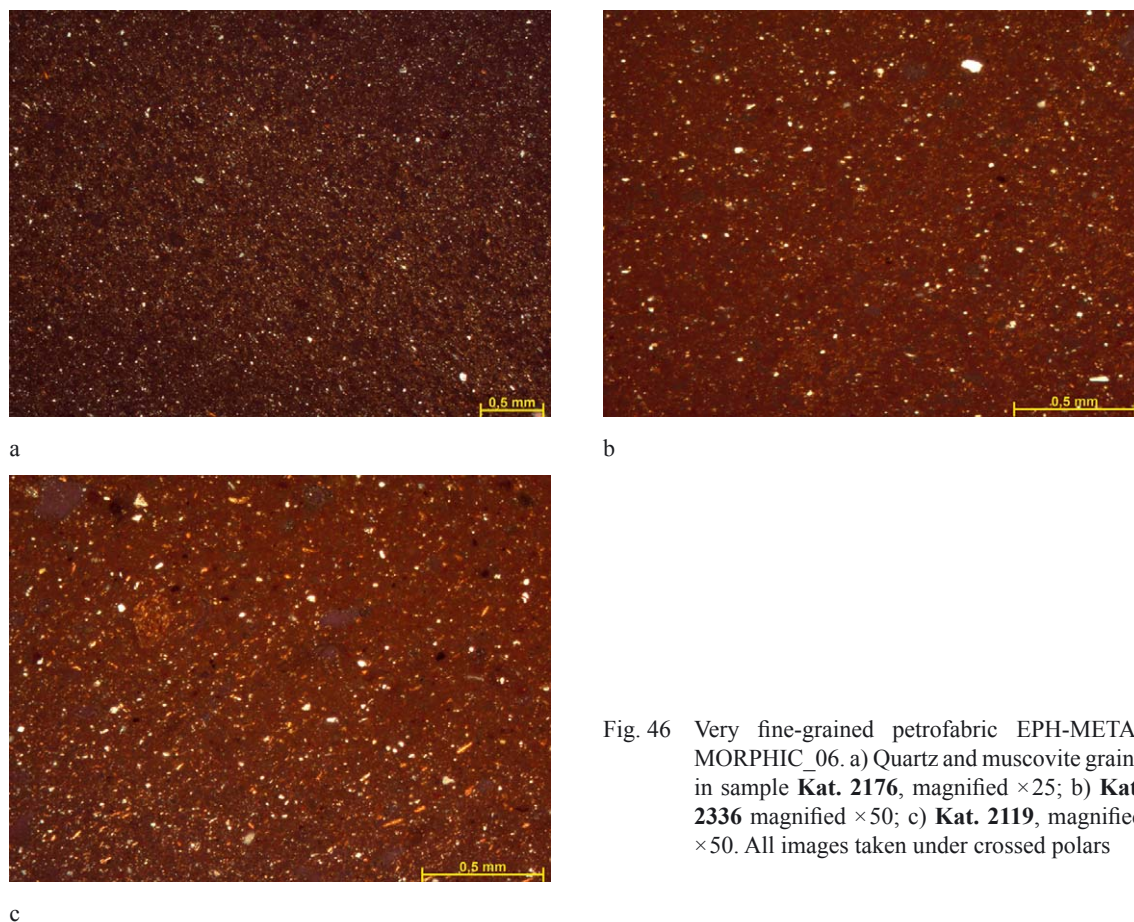


Fig. 46 Very fine-grained petrofabric EPH-METAMORPHIC_06. a) Quartz and muscovite grains in sample **Kat. 2176**, magnified $\times 25$; b) **Kat. 2336** magnified $\times 50$; c) **Kat. 2119**, magnified $\times 50$. All images taken under crossed polars

to metamorphic rocks such as those native to the region around Ephesos, respectively central Western Asia Minor. One particularly symptomatic feature is the frequent occurrence of fine opaques. An origin from the Ephesos area would be possible from a geological perspective, but due to the fineness of the petrofabric, this cannot be determined with certainty. Similar clay pastes have been testified for fine wares of particularly the Early Imperial Age¹⁶⁴¹, but also from prehistoric periods likely to originate from local clay outcrops, even though those never contain biotite in such high quantities. From a typological perspective, a provenance from Northern Ionia is likely as testified through **Kat. 2336**. The co-occurrence of samples **Kat. 2336** and **Kat. 2176** in this particular petrofabric is surprising, as cups with everted rims, as represented by the latter sample, generally would rather imply a cultural relationship to Southern Ionia.

6) EPH-METAMORPHIC_06

Definition: Quartz, mica, reddish or yellowish tcf's and grog (fig. 47)

| Petrofabric EPH-METAMORPHIC_06 | | |
|--------------------------------|-----------------|------------------------------------|
| Kat. | Inv./Sample No. | Shape/Ware |
| 1313 | AG 91/100.1 | Ephesian amphora (?) (Samian type) |
| 1573 | AG 89/198.26 | Ephesian amphora (?) (Samian type) |
| 1828 | AG 96/181.5 | Ephesian amphora (?) (Samian type) |

Clay matrix: micaceous, reddish-brown in PPL and XPL. Optically moderately active.

¹⁶⁴¹ Cf. e.g. the petrographic data of thymiateria from Ephesos (Ladstätter 2013, 319).

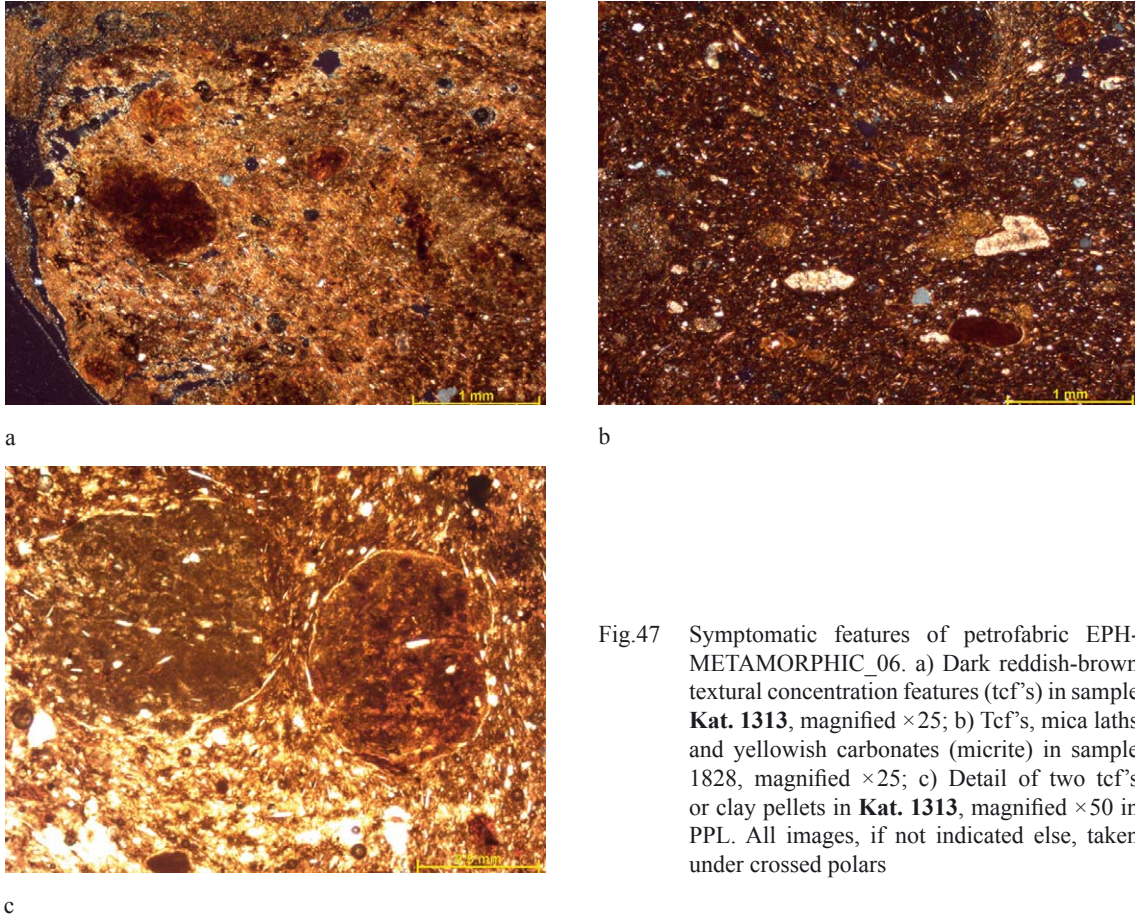


Fig.47 Symptomatic features of petrofabric EPH-METAMORPHIC_06. a) Dark reddish-brown textural concentration features (tcf's) in sample **Kat. 1313**, magnified $\times 25$; b) Tcf's, mica laths and yellowish carbonates (micrite) in sample 1828, magnified $\times 25$; c) Detail of two tcf's or clay pellets in **Kat. 1313**, magnified $\times 50$ in PPL. All images, if not indicated else, taken under crossed polars

Voids: 3–4 %

Inclusions: 3–5 %, sa.–r., <2.72 mm, mode 0.46 mm, weak unimodal grain size distribution, moderately sorted.

Types of inclusions: Dominant: monocrystalline quartz; muscovite; tcf's (ranging in XPL in colour from light yellowish to reddish-orange to reddish-brown; always containing silt-sized quartz and muscovite) with moderate optical density and clear boundaries, pores often emerging around tcf's; fine opaques. Very few: micrite (?) being optically active. Almost absent: grog (in sample **Kat. 1828**) being defined by a glassy greyish colour in XPL with fine inclusions of chert, quartz and micas.

Interpretation: The mineral assemblage most likely can be associated with metamorphic rocks. A distinguishing feature of this particular petrofabric is the occurrence of a variety of textural concentration features, which have been testified for Ephesian pottery, and one fragment of grog (sub-rounded in shape, not fresh). This petrofabric might be of probably local provenance, or generally from Western Asia Minor, even though a Samian provenance cannot be fully excluded. The typology of the analysed vessels points to a connection to Samos.

7) EPH-SERP_01

Definition: Serpentinite-rich (fig. 48)

| Petrofabric EPH-SERP_01 | | |
|-------------------------|-----------------|---------------------|
| Kat. | Inv./Sample No. | Shape/Ware |
| 2201 | ΕΦ.ΚΓ.301 | Subgeometric krater |

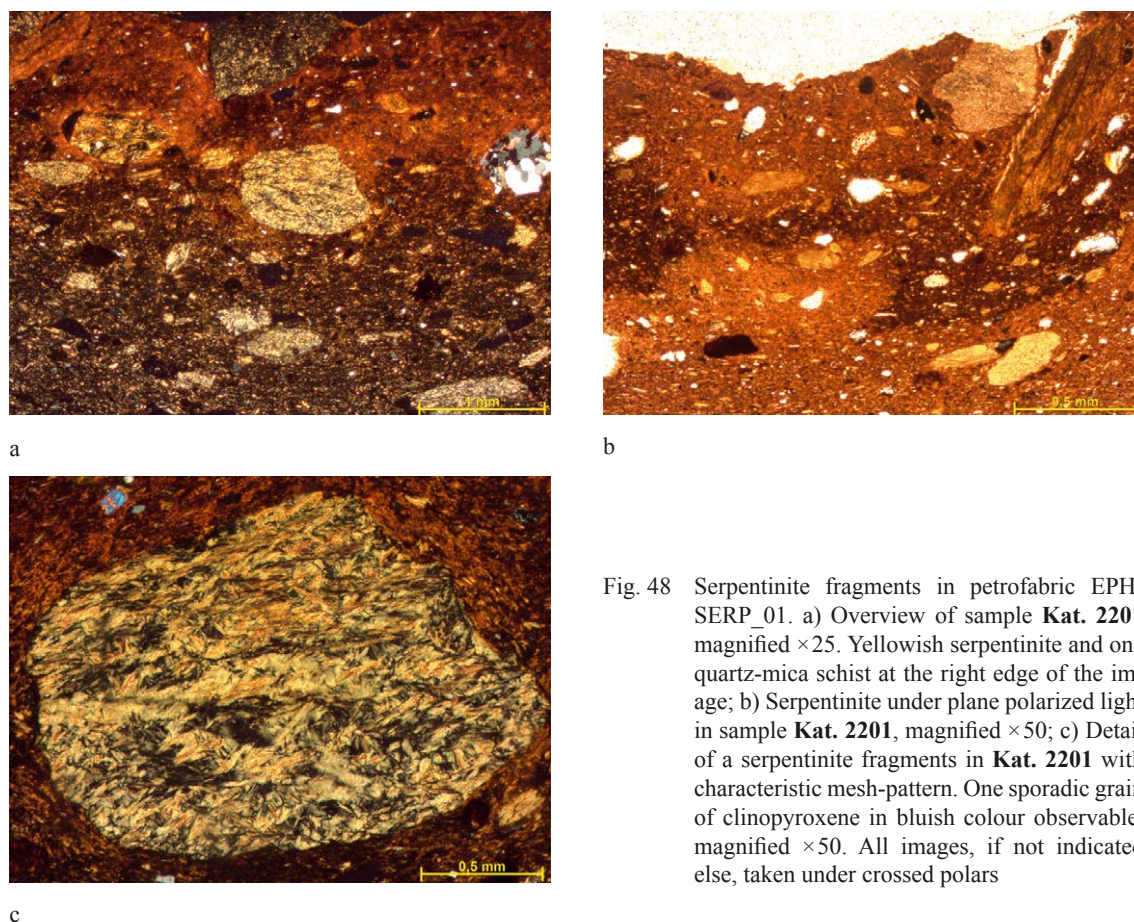


Fig. 48 Serpentinite fragments in petrofabric EPH-SERP_01. a) Overview of sample **Kat. 2201** magnified $\times 25$. Yellowish serpentinite and one quartz-mica schist at the right edge of the image; b) Serpentinite under plane polarized light in sample **Kat. 2201**, magnified $\times 50$; c) Detail of a serpentinite fragments in **Kat. 2201** with characteristic mesh-pattern. One sporadic grain of clinopyroxene in bluish colour observable, magnified $\times 50$. All images, if not indicated else, taken under crossed polars

Clay matrix: highly micaceous, light reddish-brown in PPL, yellowish-beige to light reddish-brown in XPL. Optically active clay matrix.

Voids: 3 %

Inclusions: 6 %, sr., <1.22 mm, mode 0.38 mm, weak bimodal grain size distribution, poorly sorted.

Types of inclusions: Frequent: serpentinite in different stages of oxidation appearing in thin-section in light yellowish to orange colour and in a characteristic mesh-structure. Common: fine monocrystalline quartz. Few: tcf's (dark brown with silt-sized muscovite and quartz, clear boundaries); alkalifeldspars/albite infilled with clinozoisite. Very rare: clinopyroxene/augite; quartz-mica schist.

Interpretation: Serpentinite is a rock abundantly represented in the geological landscape of Ephesos, particularly often appearing in an oxidised state. Moreover, alkalifeldspars/albite being infilled with clinozoisite is a specific feature that can be used to argue for a local origin of this clay paste (cf. the petrofabric EPH-METAMORPHIC_01). In fact, prehistoric ceramics from nearby Çukuriçi Höyük have been produced by utilising a very similar clay paste, evidently testifying to a local or regional provenance of this petrofabric. Rock formations matching this composition have been identified southeast of the modern town of Selçuk¹⁶⁴².

¹⁶⁴² Peloschek 2017, 128–130.

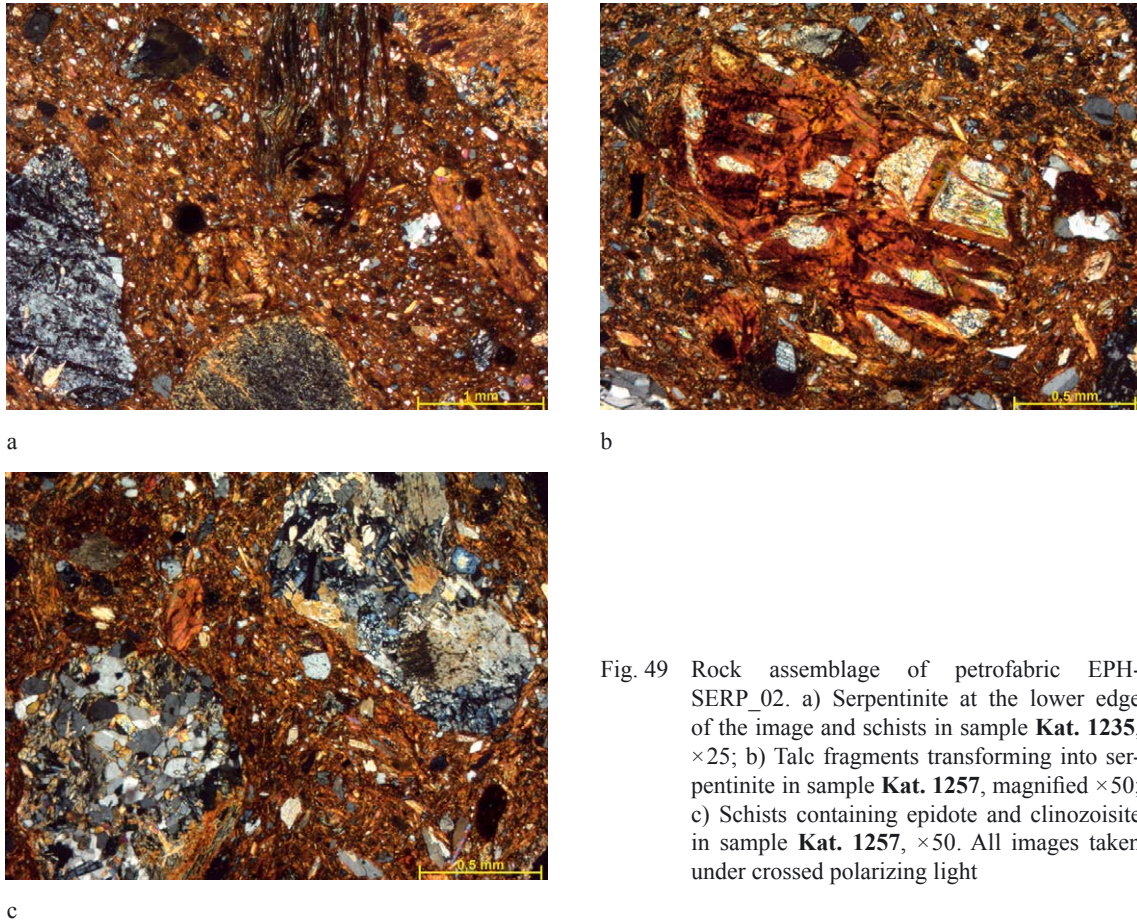


Fig. 49 Rock assemblage of petrofabric EPH-SERP_02. a) Serpentinite at the lower edge of the image and schists in sample **Kat. 1235**, $\times 25$; b) Talc fragments transforming into serpentinite in sample **Kat. 1257**, magnified $\times 50$; c) Schists containing epidote and clinozoisite in sample **Kat. 1257**, $\times 50$. All images taken under crossed polarizing light

8) EPH-SERP_02

Definition: Serpentinite and talc (fig. 49)

| Petrofabric EPH-SERP_02 | | |
|-------------------------|-----------------|--------------------------------|
| Kat. | Inv./Sample No. | Shape/Ware |
| 7 | AG 91/180.1 | Stamnos (Kitchen ware) |
| 669 | AG 89/111.16 | Pithos |
| 941 | AG 96/187.1 | Pithos |
| 1235 | AG 89/212.1 | Kitchen ware |
| 1257 | AG 93/102.2 | Cooking plate |
| 1480 | AG 91/141.3 | Cooking pot or portable hearth |

Clay matrix: micaceous, light reddish-brown in both PPL and XPL, clay matrices optically active.

Voids: 4–8 %

Inclusions: 12–16 %, sa.-r., <2.92 mm, mode 1.24 mm, weak bimodal grain size distribution, moderately to poorly sorted.

Types of inclusions: Frequent: serpentinite (with characteristic mesh-structure and being reddish oxidised; sometimes greenish or greyish colour, often alteration to talc); schist composed of quartz + alkalifeldspar/albite + epidote + biotite; schist composed of alkalifeldspar + mica (biotite) + clinozoisite \pm pyroxene/augite with the clinozoisite showing anomalous bluish interference colours. Very rare: pyroxenes altering to serpentinite (e.g. **Kat. 1257**). Common: talc (often with relics or veins of serpentinite); quartz-mica schists; muscovite; monocrystalline quartz. Rare: alkalifeldspar; opaques/dark brown tcf's; actinolite or amphibole being pale yellow in PPL. Very rare: epidote-actinolite aggregates (?); actinolite-biotite schist; green minerals; eclogite/omphacite (?).

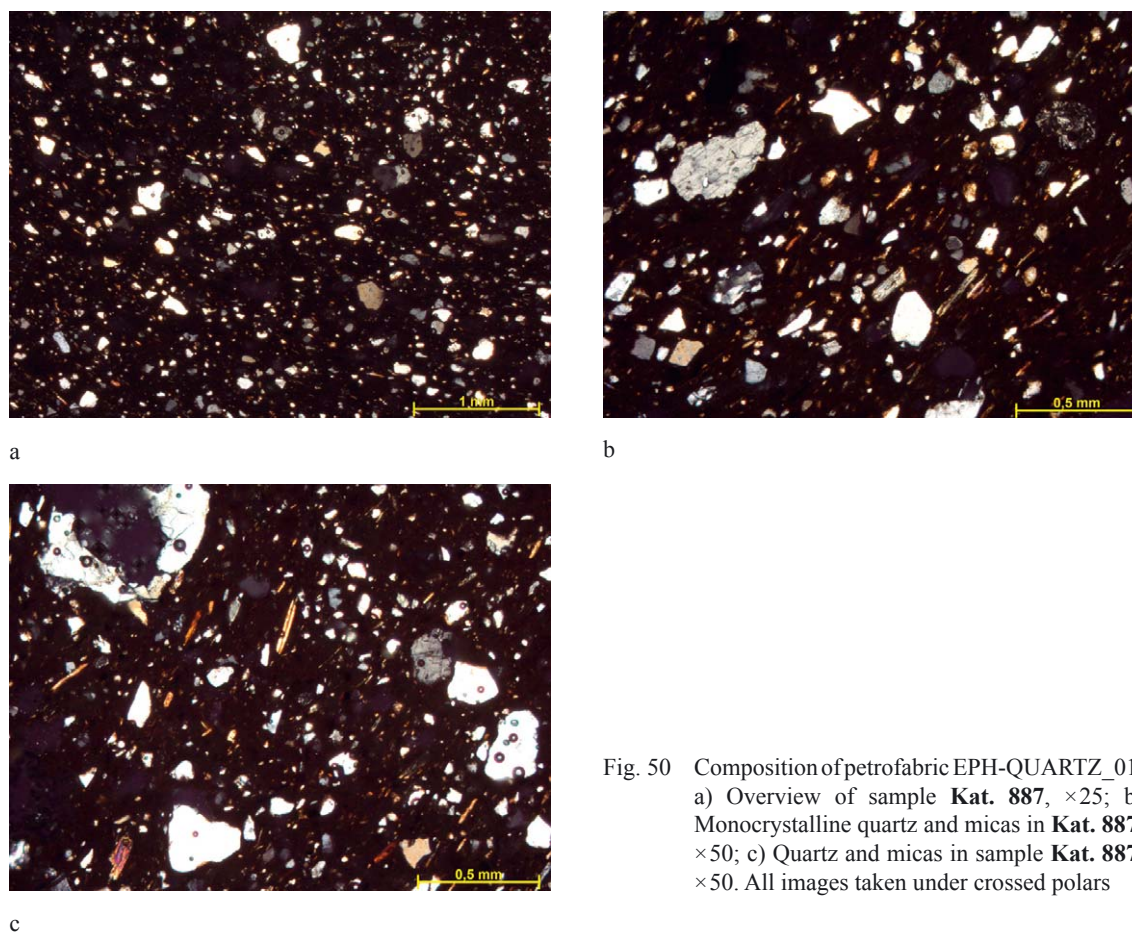


Fig. 50 Composition of petrofabric EPH-QUARTZ_01. a) Overview of sample **Kat. 887**, $\times 25$; b) Monocrystalline quartz and micas in **Kat. 887**, $\times 50$; c) Quartz and micas in sample **Kat. 887**, $\times 50$. All images taken under crossed polars

Interpretation: A very distinctive petrofabric containing a considerable variety of rock and mineral inclusions. Actinolite is geologically associated to epidote in metamorphic rocks, relating to rocks of an ultrabasic composition. Serpentinite and talc are known to be from the region around Ephesos, the former being related to the weathering of pyroxenes. There are different stages of alteration from serpentinite to talc observable in the preserved rock fragments. Eclogite occurs in the broader area around Selçuk, or in more detail, east of it close to Şirince¹⁶⁴³. Recent field surveys have proven the existence of eclogite, serpentinite and talc at the location mentioned above. An exact equivalent of this petrofabric is known from the prehistoric ceramic assemblage at Çukuriçi Höyük, emphasising its regional provenance¹⁶⁴⁴.

9) EPH-QUARTZ_01

Definition: High amount of fine quartz (fig. 50)

| Petrofabric EPH-QUARTZ_01 | | |
|---------------------------|-----------------|-------------------------|
| Kat. | Inv./Sample No. | Shape/Ware |
| 887 | AG 96/196.10 | Amphora (Milesian type) |

Clay matrix: slightly micaceous, dark tannish brown in PPL, dark brown in XPL. Optically inactive clay matrix.

Voids: 4 %

Inclusions: 10 %, sa.–sr., <0.92 mm, mode 0.22 mm, unimodal grain size distribution, well sorted.

¹⁶⁴³ Okay 2001, 721–723.

¹⁶⁴⁴ Personal observation by L. Betina (unpublished).

Types of inclusions: Predominant: monocrystalline quartz (rarely polycrystalline). Frequent: fine muscovite. Rare: biotite; opaques. Very rare: plagioclase; quartz-mica schist; phyllite (?); alkalifeldspar in different stages of transformation to clay minerals; carbonates/fine micrite.

Interpretation: This is a fine-grained petrofabric whose composition can be related to alluvial sediments set in a metamorphic environment. Rock inclusions are almost completely lacking. The range of aplastics detected is compatible with a provenance from Western Asia Minor, even though not being characteristic for a specific production centre. The typological classification of the analysed sample might imply an origin from the area around Miletos, and its petrographic signature generally would correspond¹⁶⁴⁵. It still has to be considered that Milesian-type amphoras could have been stylistically imitated elsewhere¹⁶⁴⁶. A provenance from for instance Ephesos itself, from a petrographic point of view, cannot be excluded. Contextually, this sample is related to the fill of the Archaic kiln uncovered on the Tetragonos Agora.

10) EPH-METAMORPHIC/CARB_01

Definition: Fine quartz, muscovite and carbonates (fig. 51)

| Petrofabric EPH-METAMORPHIC/CARB_01 | | |
|-------------------------------------|--------------------|-----------------------------------|
| Kat. | Inv./Sample No. | Shape/Ware |
| 863 | AG 95/169.2 | Cup with everted rim |
| 871 | AG 96/196.4 | Stand (Grey ware) |
| 884 | AG 96/196.23 | Hydria |
| 889 | AG 96/196.18 | Amphora (Milesian or Ionian type) |
| 1201 | AG 89/222.2 | Mortarium |
| 1318 | AG 90/202.10 | Amphora |
| 1369 | AG 90/141.6 | Amphora (Ionian type) |
| 2032 | ETH 08/026.101 | Amphora (Ionian type) |
| 2146 | EΦ.KG.25 | Kotyle |
| 2183 | EΦ.KG.46 | Mug |
| 2203 | EΦ.KG.127 | Krater |
| 2328 | EΦ.KG.341 | Myrina-Amphora bichrome ware |
| 2359 | EΦ.KG/26.II/III.17 | Lekane |
| 2395 | EΦ.KG/26.IV.60 | Orientalising krater |
| 2479 | EΦ.KG/26.VII.17 | Subgeometric krater |
| 2500 | EΦ.KG/26.VIII.1 | Kotyle |

Clay matrix: micaceous and slightly calcareous, dark reddish-brown in PPL, dark reddish-brown to greenish-brown in XPL. Optically inactive to glassy vitrified clay matrix.

Voids: 4–7 %

Inclusions: 5–11 %, a.–sr., <0.96 mm, mode 0.16 mm, unimodal grain size distribution, well sorted.

¹⁶⁴⁵ M. Seifert, who studied thin-sections of amphoras from Miletos, mentions the composition of a local Milesian ceramic containing dominantly muscovite and quartz besides some feldspar, carbonates and accessories of epidote and pyroxene (cf. Seifert 2004, 32).

¹⁶⁴⁶ Kerschner – Mommsen 2005, 124 f. were able to determine for most of the amphoras found in the Archaic settlement underneath the Tetragonos Agora, a provenance from Miletos. However, for some elemental groups, no indication of this possible origin had been given due to the lack of comparative data. According to the authors, amphoras produced in Milet would (just) be defined by a distinctive quantity of quartz embedded in the clay, which seems not to correspond to our example. However, due to natural variability the amount of quartz and muscovite might vary. A provenance from both Miletos and Ephesos might be possible.

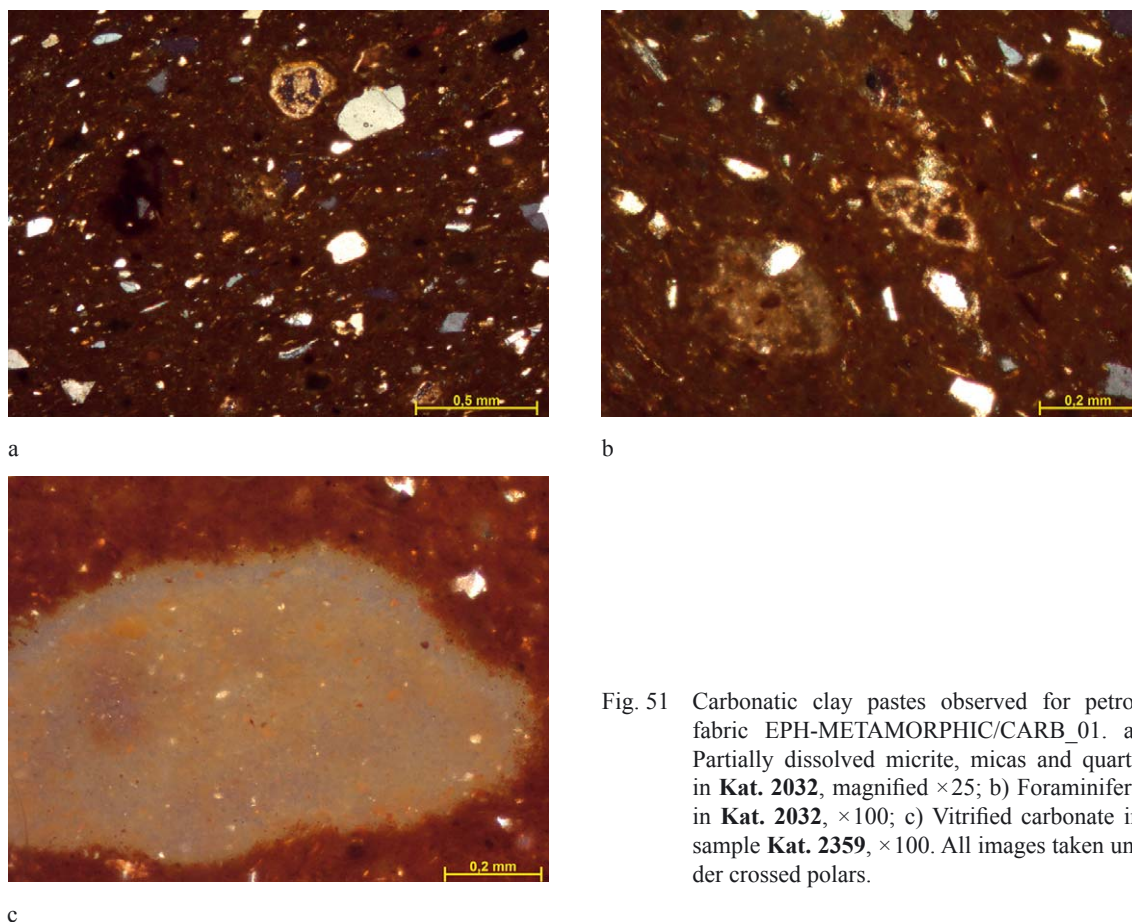


Fig. 51 Carbonatic clay pastes observed for petrofabric EPH-METAMORPHIC/CARB_01. a) Partially dissolved micrite, micas and quartz in **Kat. 2032**, magnified $\times 25$; b) Foraminifera in **Kat. 2032**, $\times 100$; c) Vitrified carbonate in sample **Kat. 2359**, $\times 100$. All images taken under crossed polars.

Types of inclusions: Dominant: monocrystalline quartz. Frequent: muscovite. Common: carbonates (mostly vitrified micrite appearing greenish-beige in XPL, sometimes formation of voids due to decomposition); biotite; tcf's. Very rare: fine clinopyroxene; hornblende; alkalifeldspar; microcline; plagioclase; sporadic microfossils (planktonic foraminifera).

Interpretation: Certain similarities to EPH-METAMORPHIC_04 can be noticed, apart from containing additionally fine carbonates and a greater spectrum of accessory minerals. The amount of carbonates and quartz within this petrographic group varies considerably. An origin from a sedimentary or metamorphic geological environment is likely. The presence of carbonates in the region around Ephesos is testified, while microfossils are not particularly linked to these formations but can occasionally occur. Similar observations have been pointed out by T. Bezczky¹⁶⁴⁷, but R. Sauer noticed the utilisation of slightly calcareous clay pastes with sporadic metamorphic inclusions for the production of Archaic roof tiles found in the Artemision¹⁶⁴⁸. Ceramics falling within this petrofabric have been excavated in the fill of the Archaic kiln on the Tetragonos Agora, demonstrating that such clay pastes might have been available locally. However, based on the fineness of the petrofabric and the lack of characteristic rock fragments, the provenance of the entity of the analysed samples remains uncertain. The typological classification illustrates that this petrofabric is of a ›mixed‹ character concerning its provenance, comprising probably samples from various production centres in Western Asia Minor and/or beyond, not being further differentiable in thin-section (cf. chap. 4.D.3).

¹⁶⁴⁷ Bezczky 2013, 63.

¹⁶⁴⁸ Still, »Ziegeltyp B«, as described by R. Sauer for the roof tiles of the Artemision (Sauer 2004, 64 f.) are considerably more calcareous than the presented petrofabric and the range of aplastics does also vary, when comparing the published data with the presented results.

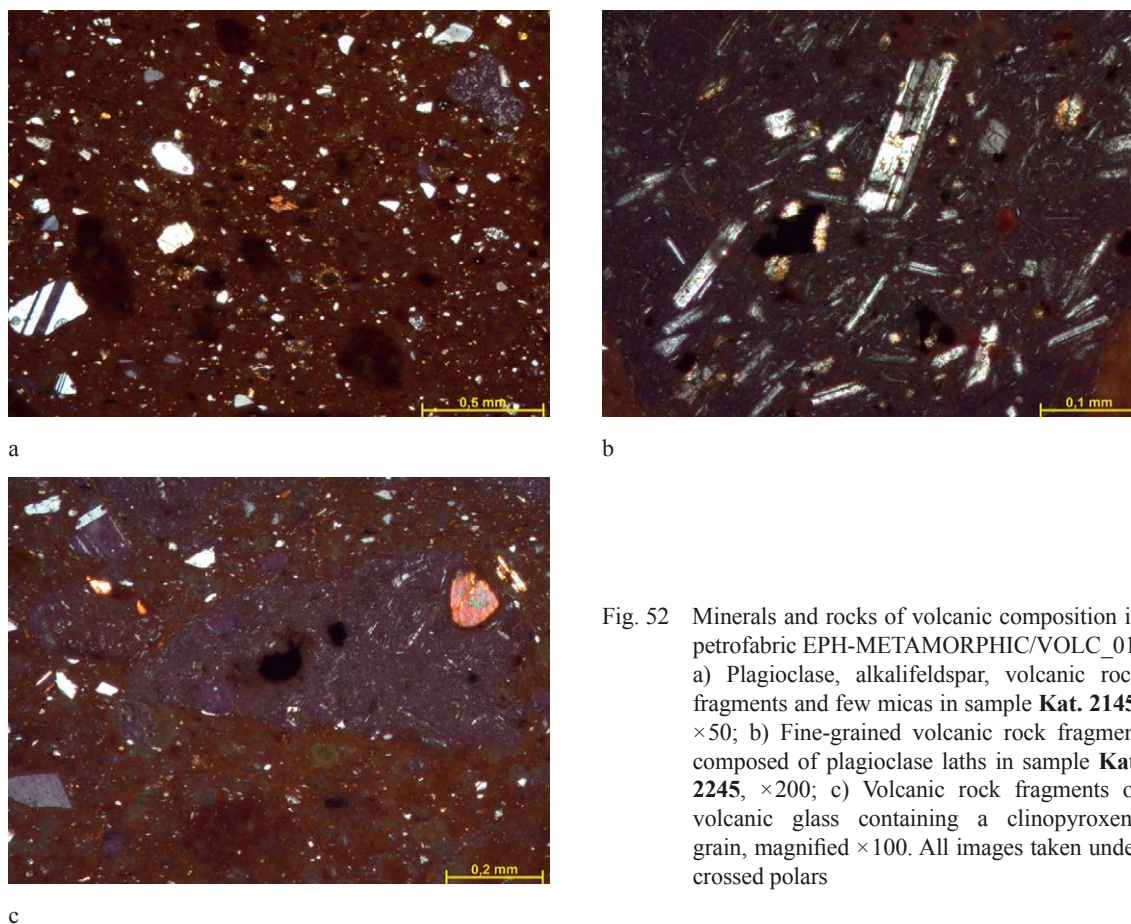


Fig. 52 Minerals and rocks of volcanic composition in petrofabric EPH-METAMORPHIC/VOLC_01. a) Plagioclase, alkali feldspar, volcanic rock fragments and few micas in sample **Kat. 2145**, $\times 50$; b) Fine-grained volcanic rock fragment composed of plagioclase laths in sample **Kat. 2245**, $\times 200$; c) Volcanic rock fragments or volcanic glass containing a clinopyroxene grain, magnified $\times 100$. All images taken under crossed polars

11) EPH-METAMORPHIC/VOLC_01

Definition: Fine quartz, muscovite and sporadic volcanics (fig. 52)

| Petrofabric EPH-METAMORPHIC/VOLC_01 | | |
|-------------------------------------|--------------------|-------------------------------|
| Kat. | Inv./Sample No. | Shape/Ware |
| 2033 | ETH 08/026.103 | Amphora (Ionian type) |
| 2145 | EΦ.KG.19 | Kotyle |
| 2187 | EΦ.KG.291 | Mug with everted rim |
| 2208 | EΦ.KG.126 | Krater |
| 2246 | EΦ.KG.157 | Small lid |
| 2335 | EΦ.KG/26.7/I+II.18 | N-Ionian black-figure krater |
| 2426 | EΦ.KG/26.IV.80 | Myrina-Amphora, orientalising |
| 2454 | EΦ.KG/26.VI.6 | Geometric krater |
| 2505 | EΦ.KG/26.VIII.8 | Geometric krater |

Clay matrix: micaceous and calcareous, light to dark tannish brown in PPL, reddish-brown in XPL. Often vitrified with glassy green carbonates.

Voids: 2–7 %

Inclusions: 3–5 %, sa.–sr., <1.06 mm (coarse fragments mostly represented by volcanics), mode 0.16mm, unimodal grain size distribution, well sorted.

Types of inclusions: Dominant: monocrystalline quartz; mica (biotite dominating in most samples). Frequent: opaques. Common: plagioclase (lamellar twinning and rarely zoned); alkali feldspar (sanidine [?]); albite (?). Few: fine-grained volcanic rock fragments (glassy and plagioclase-

rich matrix with sporadic brown minerals or opaques + alkalifeldspar ± hornblende ± muscovite ± clinopyroxene) of andesite/dacite/rhyolite-composition, most probably being dacite-tuff with hornblende and partly being identified with volcanic glass; carbonates which are decomposed through firing appear as greenish-vitrified speckles. Rare: hornblende; epidote; tcf's (dark reddish-brown, sometimes with silt-sized quartz and muscovite); carbonates/micrite. Very rare: clinopyroxene/augite; sandstone (of quartz and chert); ostracod; basaltic glass¹⁶⁴⁹ (in sample **Kat. 2335**).

Interpretation: Compositionally and by means of the grain size distribution, there are close analogies to the petrofabric EPH-METAMORPHIC/CARB_01 with discreet embedded volcanic rock fragments (on average, one or two small fragments per sample). Only sample **Kat. 2208** relates to the petrofabric EPH-METAMORPHIC_04, but also contains discreet volcanic rock fragments as natural clay paste constituents. Due to the rare occurrence of volcanics being embedded in the clay by chance, a differentiation of this petrofabric from the other above-mentioned clay pastes is not secure, as the presence or absence of volcanic particles in thin-section is arbitrary. This petrofabric derives from a region defined by metamorphic and volcanic rocks. It is a natural clay paste lacking any evidence of tempering with rock fragments. Petrographic evidence might imply a provenance in the area between Phocaea/Çandarlı–Izmir–Clazomenae. The composition also accords to »Scherbentyp L« defined by R. Sauer for the Vediugymnasium in Ephesos¹⁶⁵⁰, containing volcanic rock fragments in a slightly calcareous clay groundmass. A production centre in the area around Çandarlı has been presumed. Geochemical analysis in chapter 4.D.3 will test if the assignation of this petrofabric to Northern Ionia or Aeolis can be proved.

12) EPH-SHALE/CARB_01

Definition: Increased brown tcf-content (shale [?]) and fine carbonates (fig. 53)

| Petrofabric EPH-SHALE/CARB_01 | | |
|-------------------------------|-----------------|------------------------------|
| Kat. | Inv./Sample No. | Shape/Ware |
| 2220 | EΦ.KG.298 | N-Ionian black-figure krater |
| 2285 | EΦ.KG.355 | Hydria |
| 2324 | EΦ.KG.14 | Amphora |
| 2417 | EΦ.KG/26.IV.59 | N-Ionian black-figure jug |

Clay matrix: iron-rich, slightly calcareous, tannish brown in PPL, dark brown in XPL. Optically slightly active clay matrix.

Voids: 2–5 %

Inclusions: 4–8 %, sa.–r., <1.22 mm, mode 0.18 mm, weak unimodal grain size, moderately sorted.

Types of inclusions: Frequent: quartz. Common: dark brown to reddish-brown tcf's, very fine grained lacking any silt-sized inclusions, high optical density and clear boundaries, pores around tcf's and sometimes being defined by fractures, possibly to be identified with shale; micas (muscovite and biotite); carbonates (mostly vitrified or decomposed). Few: quartzite. Rare: muscovite, quartz-mica schist, hornblende.

Interpretation: Shale is a rock inclusion that can appear undifferentiated in several geological environments, in this case likely to originate close to metamorphic rocks due to the presence of schist. So far, no petrofabric of similar composition has been identified in Ephesos. Taking into account the implications of typological classification, which would imply an origin from the northern part of Ionia, reference to A. I. Okay¹⁶⁵¹ can be given, who notes the occurrence of

¹⁶⁴⁹ Many thanks to R. Sauer for this observation.

¹⁶⁵⁰ Sauer – Ladstätter 2008, 185.

¹⁶⁵¹ Okay 2008, 30.

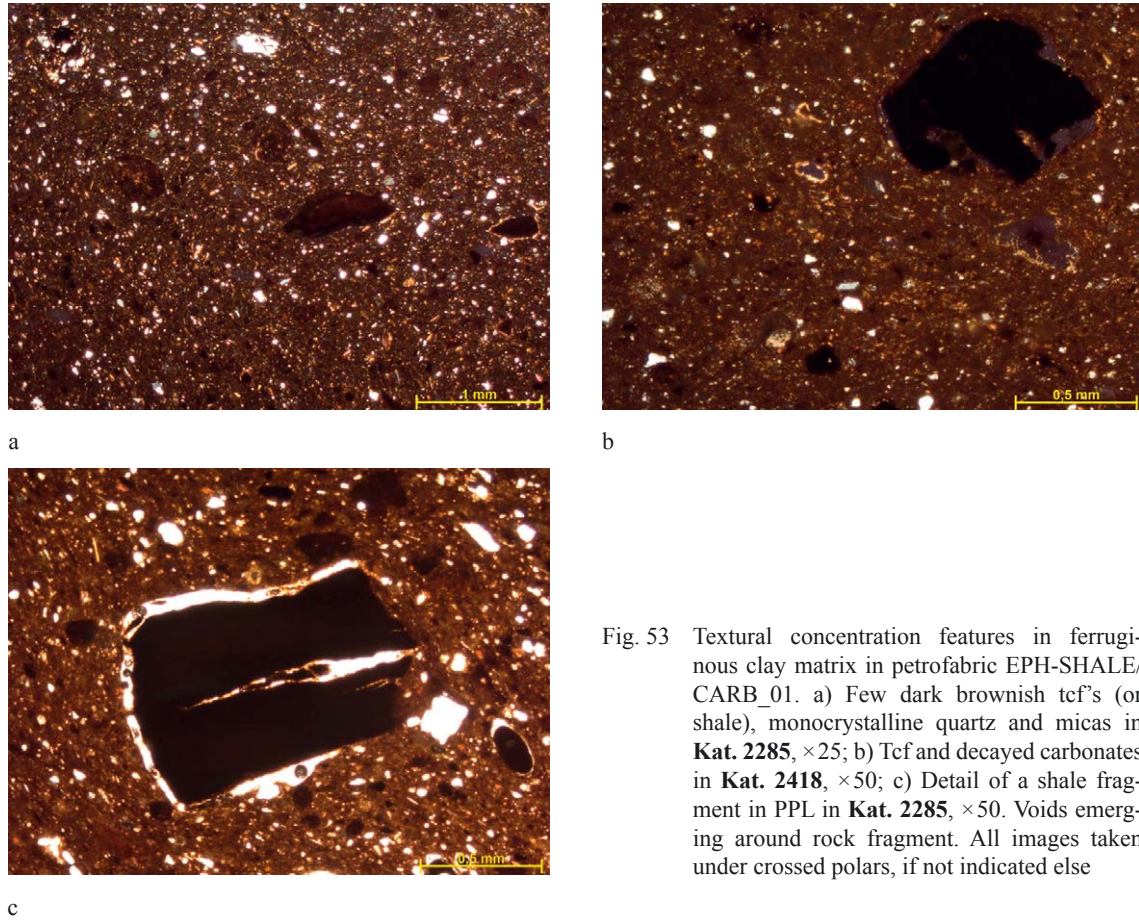


Fig. 53 Textural concentration features in ferruginous clay matrix in petrofabric EPH-SHALE/CARB_01. a) Few dark brownish tcf's (or shale), monocrystalline quartz and micas in **Kat. 2285**, $\times 25$; b) Tcf and decayed carbonates in **Kat. 2418**, $\times 50$; c) Detail of a shale fragment in PPL in **Kat. 2285**, $\times 50$. Voids emerging around rock fragment. All images taken under crossed polars, if not indicated else

shale and calcareous sediments in the Bornova Flysch zone, covering the whole Izmir area. A provenance from Northern Ionia, as such, might be plausible.

13) EPH-CHERT_01

Definition: Chert, radiolarian chert, carbonates and siltstone (fig. 54)

| Petrofabric EPH-CHERT_01 | | |
|--------------------------|-----------------|--------------------------|
| Kat. | Inv./Sample No. | Shape/Ware |
| 1431 | AG 90/130.7 | Mortarium (Kitchen ware) |
| 1576 | AG 89/197.41 | Mortarium (Cypriot) |
| 1878 | AG 96/207.4 | Mortarium (Cypriot) |

Clay matrix: ferruginous and slightly calcareous, non-micaceous, reddish-brown in PPL and XPL. Optically slightly active to inactive.

Voids: 4–10 %

Inclusions: 9–14 %, va.–sr., <2.06 mm, mode 0.52 mm, moderate bimodal grain size distribution, moderately sorted.

Types of inclusions: Predominant: chert (in very angular to angular shape), sometimes radiolarian chert. Common: carbonates (fine-grained, sometimes secondary calcite; usually micritic limestone sporadically with embedded silt-sized quartz). Few: monocrystalline quartz; plagioclase. Rare: fine biotite and hornblende; quartzite. Very rare: clinopyroxene/augite; volcanic rock fragments (plagioclase + alkalifeldspar + opaques) of andesite/rhyolite/trachyte (?) composition; serpentinite; sandstone (in **Kat. 1878**) composed of quartz and brown minerals; quartzite;

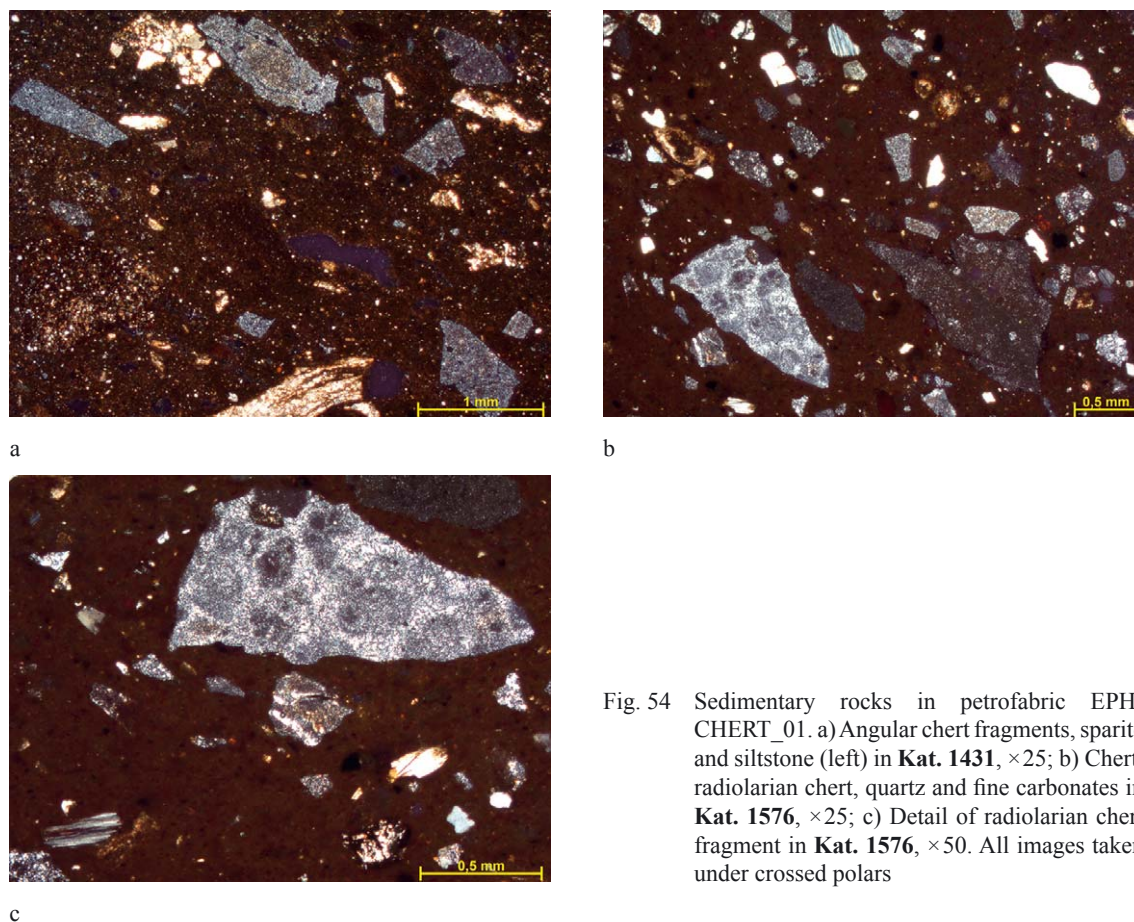


Fig. 54 Sedimentary rocks in petrofabric EPH-CHERT_01. a) Angular chert fragments, sparite and siltstone (left) in **Kat. 1431**, $\times 25$; b) Chert, radiolarian chert, quartz and fine carbonates in **Kat. 1576**, $\times 25$; c) Detail of radiolarian chert fragment in **Kat. 1576**, $\times 50$. All images taken under crossed polars

chlorite (?) (in sample **Kat. 1878**); siltstone (in sample **Kat. 1431**); sparite (in sample **Kat. 1431**). Almost absent: volcanic rock fragments in sample **Kat. 1878** composed of fine plagioclase laths, opaques and hornblende pointing towards an intermediate volcanic rock.

Interpretation: This petrofabric relates to an environment of sedimentary geology with a minor presence of volcanic rocks. Similar geological environments are known on Cyprus, particularly in the southwestern part in the region of the so-called Mamonia complex¹⁶⁵². (Radiolarian) chert occurs also in the context of volcanogenic sediments around the Troodos massif and again in Southwestern Cyprus¹⁶⁵³. In their investigation of mortaria from the Eastern Mediterranean, M. Spataro and A. Villing¹⁶⁵⁴ mentioned petrofabrics of Cypriot provenance containing radiolarian chert, serpentinite, shale and volcanics. Even though compositionally their examples of Cypriot mortaria do not match exactly the composition of the mortaria found in Archaic Ephesos, a geological link is obvious. An additional argument for the assignation of the analysed samples to Cyprus is their Cypriot-style shape and the fact that there is evidence for exchange systems between Cyprus and Ionia in the Archaic period¹⁶⁵⁵.

¹⁶⁵² Dikomitou-Eliadou et al. 2016, 455 (compare fabric IV).

¹⁶⁵³ Cf. Robertson 1977, 12–22 for a systematic description of cherts and their geological associations in Cyprus.

¹⁶⁵⁴ Spataro – Villing 2009, 94 f.

¹⁶⁵⁵ Leidwanger et al. 2013 presenting evidence for the distribution of Cypriot amphoras and mortaria in the coastal area of Western Asia Minor based on findings from Archaic shipwrecks.

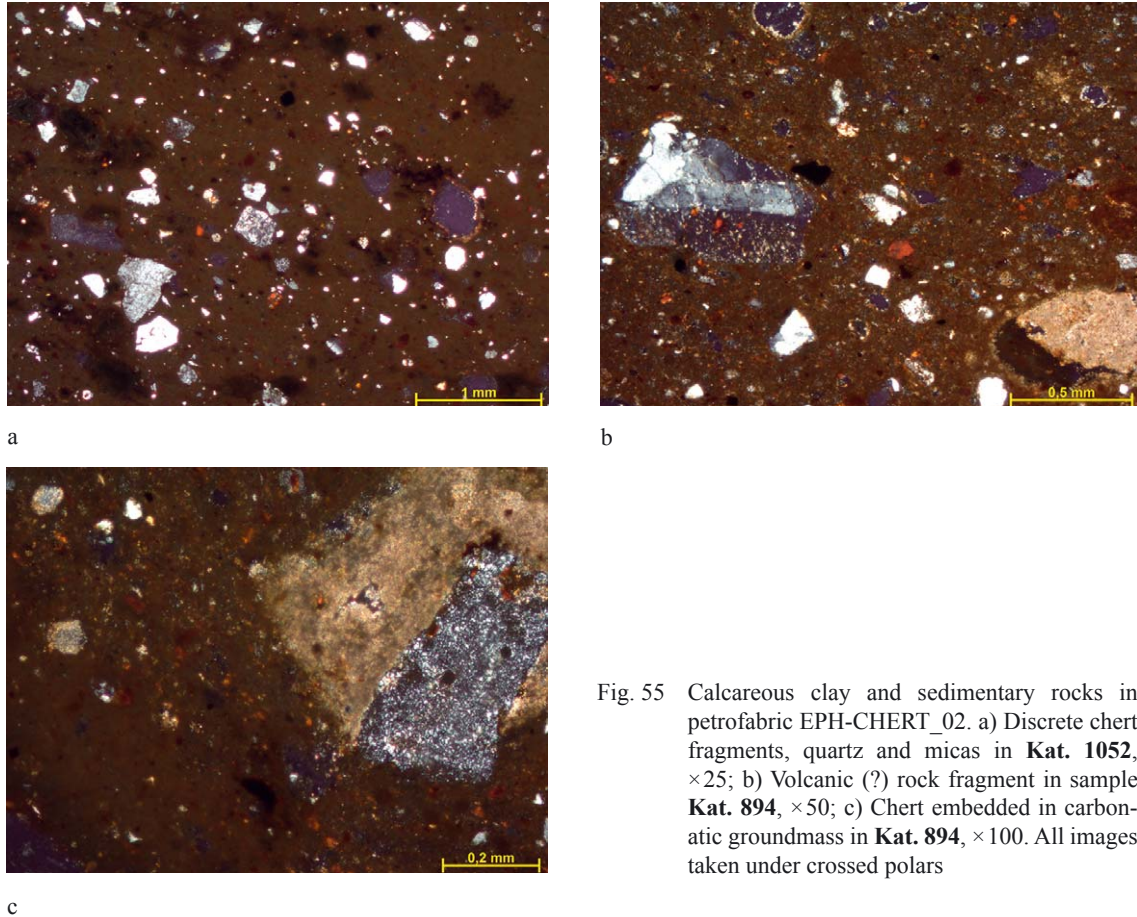


Fig. 55 Calcareous clay and sedimentary rocks in petrofabric EPH-CHERT_02. a) Discrete chert fragments, quartz and micas in **Kat. 1052**, $\times 25$; b) Volcanic (?) rock fragment in sample **Kat. 894**, $\times 50$; c) Chert embedded in carbonatic groundmass in **Kat. 894**, $\times 100$. All images taken under crossed polars

14) EPH-CHERT_02

Definition: Calcareous clay, chert, micrite and quartz (fig. 55)

| Petrofabric EPH-CHERT_02 | | |
|--------------------------|-----------------|---------------------|
| Kat. | Inv./Sample No. | Shape/Ware |
| 894 | AG 96/179.1 | Mortarium (Cypriot) |
| 1052 | AG 92/099.1 | Mortarium (Cypriot) |

Clay matrix: calcareous sometimes with increased iron oxide content, reddish-brown to tannish brown in PPL, either greenish-brown or reddish in XPL, inactive to glassy vitrified clay matrices.

Voids: 5–9 %

Inclusions: 7–11 %, sa.–sr., <1.28 mm, mode 0.64 mm, slightly bimodal grain size distribution, moderately sorted.

Types of inclusions: Frequent: quartz (monocrystalline and polycrystalline). Frequent: fine micritic limestone (optically inactive and partially decomposed); fine opaques. Common: fine chert (can occasionally be covered with micrite). Few: hornblende; muscovite; biotite. Very rare: fine clinopyroxene/augite; serpentinite; alkalifeldspar; plagioclase; microfossils/foraminifera (in sample **Kat. 894**); volcanic rock fragments, possibly basalt (in sample **Kat. 894**); volcanic rock fragments in sample **Kat. 894** with composition of plagioclase + alkalifeldspar + opaques (andesite/rhyolite/dacite [?]).

Interpretation: This has certain similarities to the petrofabric EPH-CHERT_01, corresponding to sedimentary rock formations. However, the calcareous clay used is diagnostic for this specific petrofabric as well as the rare presence of microfossils. Noticeable is the high diversity of individual samples falling within this petrographic fabric group. Calcareous and fossiliferous

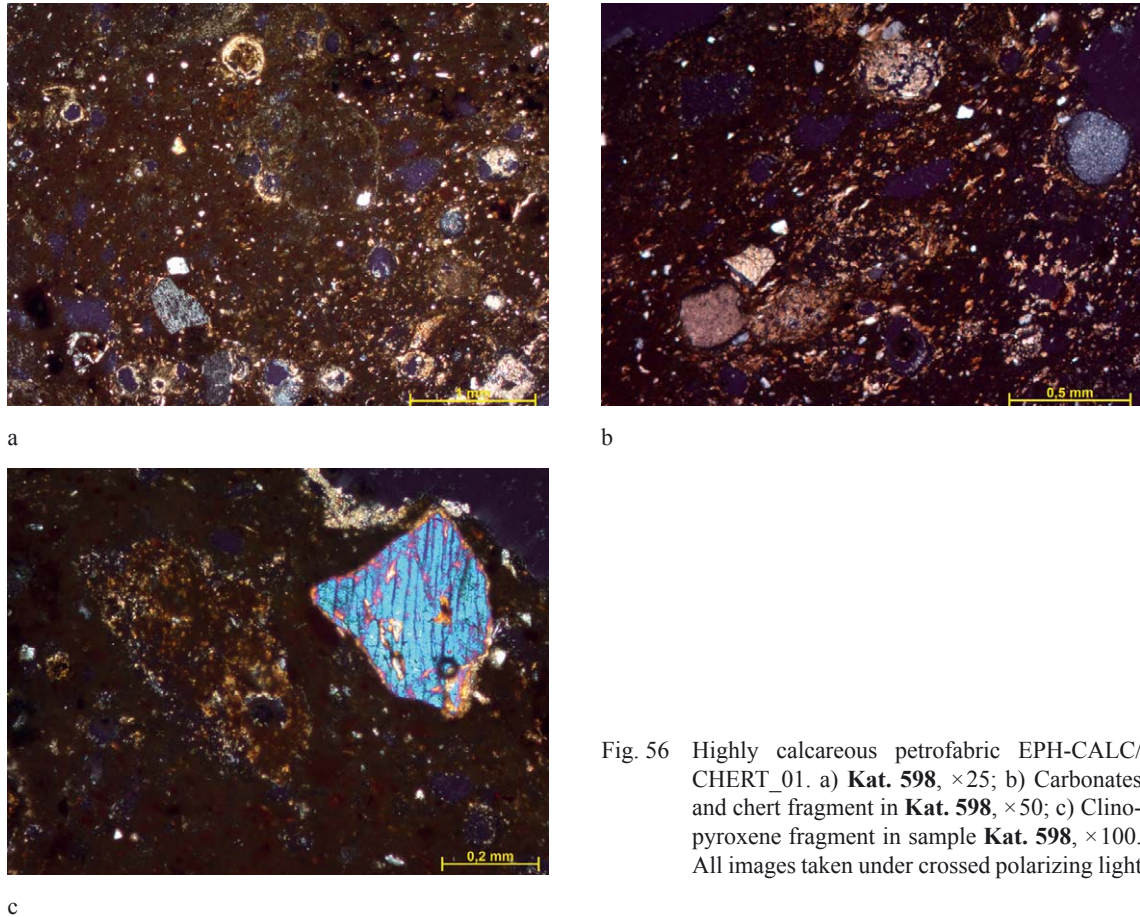


Fig. 56 Highly calcareous petrofabric EPH-CALC/CHERT_01. a) **Kat. 598**, $\times 25$; b) Carbonates and chert fragment in **Kat. 598**, $\times 50$; c) Clino-pyroxene fragment in sample **Kat. 598**, $\times 100$. All images taken under crossed polarizing light

clays are well known from Cyprus, but also serpentinite and pyroxenes are common, the latter often being a diagnostic feature of Cypriot wares. An association to chalky sediments is given, well testified in Cyprus in the Troodos region¹⁶⁵⁶. The samples analysed typologically relate to the Cypriot shape repertoire of mortaria. Considering the typology and geological associations, a provenance from Cyprus is probable.

15) EPH-CALC/CHERT_01

Definition: Highly calcareous, fine chert \pm clinopyroxene (fig. 56)

| Petrofabric EPH-CALC/CHERT_01 | | |
|-------------------------------|-----------------|-------------------------------|
| Kat. | Inv./Sample No. | Shape/Ware |
| 598 | AG 92/168.11 | Mortarium <i>en miniature</i> |
| 1479 | AG 91/149.12 | Mortarium (Cypriot) |

Clay matrix: calcareous; tannish brown in PPL, greenish-brown in XPL, inactive clay matrices (can be vitrified).

Voids: 4–6 %

Inclusions: 8–13 %, a.–r., < 0.70 mm, mode 0.26 mm, weak bimodal grain size distribution, moderately to poorly sorted.

¹⁶⁵⁶ Robertson 1977, 12–20.

Types of inclusions: Predominant-dominant: micritic limestone and fossiliferous marl (difficult to distinguish) which are very often decomposed. Common: quartz (mostly monocrystalline). Frequent: fine reddish hornblende. Few: chert; fine plagioclase; clinopyroxene (in sample **Kat. 598**).
Interpretation: This is a highly distinctive petrofabric of calcareous character, but differing from EPH-CALC/FOSS_01 by compositional means. Symptomatic is the sporadic presence of clinopyroxene, the combination of marly calcareous clays and those minerals being in concordance with well-known ceramic products – also mortaria – from Cyprus (Troodos mountains)¹⁶⁵⁷. An assignation of this petrofabric to Cyprus possibly can be confirmed through typological studies as well, as at least one of the represented grinding bowls clearly follows a Cypriot shape repertoire.

16) EPH-CALC/FOSS_01

Definition: Highly calcareous with microfossils (fig. 57)

| Petrofabric EPH-CALC/FOSS_01 | | |
|------------------------------|-----------------|--------------|
| Kat. | Inv./Sample No. | Shape/Ware |
| 2329 | EΦ.KG.296 | Cypriot bowl |

Clay matrix: highly calcareous, beige-brown in PPL and XPL, optically inactive clay matrix.

Voids: 3 %

Inclusions: 5 %, sa.–r., <0.42 mm, mode 0.16 mm, almost unimodal grain size distribution, well-sorted.

Types of inclusions: Frequent: monocrystalline quartz. Common: microfossils (different species of planktonic foraminifera). Few: micritic limestone; tcf's (dark brown in XPL, high optical density, clear boundaries).

Interpretation: Due to the presence of a certain amount of microfossils and the calcareous character of the clay paste, a marine sediment can be reconstructed as the parent clay of this petrofabric. This petrofabric can most likely be rated as an imported ware, also based on its typological classification, as several decorative elements and the surface treatment of the bowl are coherent with Cypriot vessels of the Archaic period. Similar petrofabrics with a limited range of components of volcanic rocks in a highly calcareous matrix rich in microfossils are known from Cyprus. M. Dikomitou detected a petrofabric of a micritic clay matrix with embedded microfossils, micritic limestone, tcf's and few muscovite laths for the area around Deneia in North-central Cyprus, which she rated as a local pottery product¹⁶⁵⁸. An origin from this broad area for the analysed bowl from Ephesos seems to be most likely.

17) EPH-VOLC_01

Definition: Plagioclase, alkalifeldspar and grog (fig. 58)

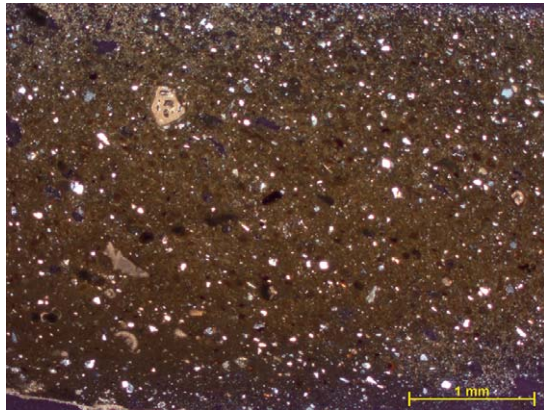
| Petrofabric EPH-VOLC_01 | | |
|-------------------------|-----------------|-------------------------------|
| Kat. | Inv./Sample No. | Shape/Ware |
| 607 | AG 89/225.3 | Mortarium (Kitchen ware) |
| 895 | AG 96/179.2 | Mortarium (Cypriot imitation) |

Clay matrix: slightly micaceous and calcareous; reddish-brown in PPL and XPL, optically slightly active clay matrices.

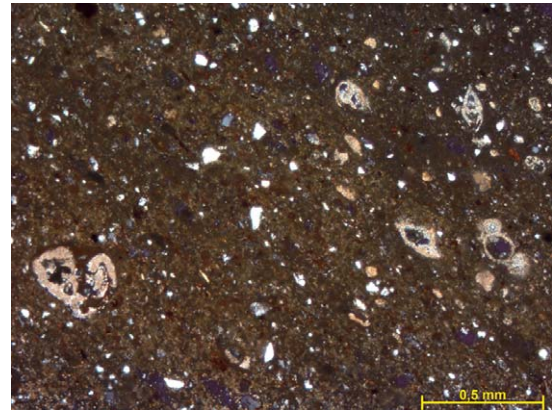
Voids: 4–9 % (elongated voids in sample **Kat. 607**)

¹⁶⁵⁷ Spataro – Villing 2009, 96.

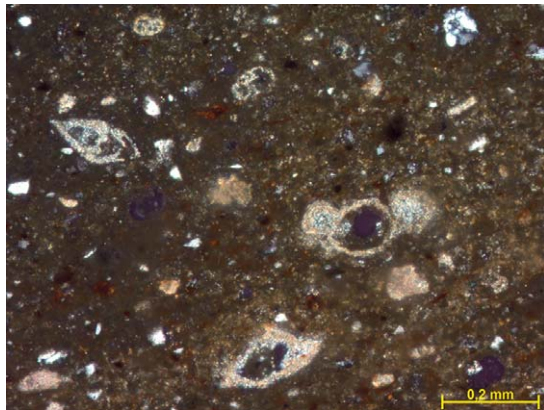
¹⁶⁵⁸ The area of study, the Deneia cemetery on Cyprus, dates back to the Bronze Age periods. Dikomitou's (Dikomitou 2007, 113 f.) petrographic »Fabric Group A«, defined as fossiliferous clay with a variety of microfossil species, best matches the composition of the bowl found in Ephesos.



a

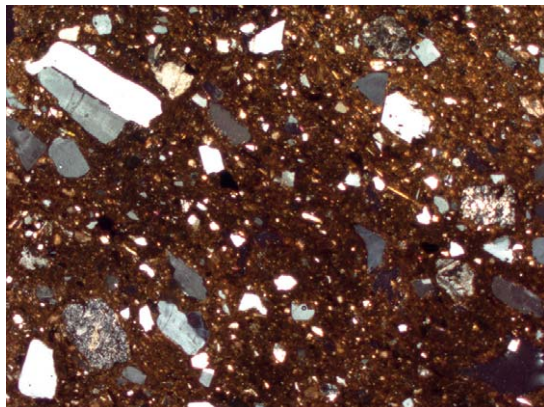


b

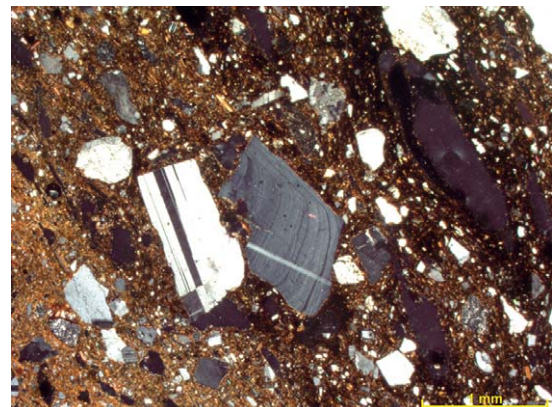


c

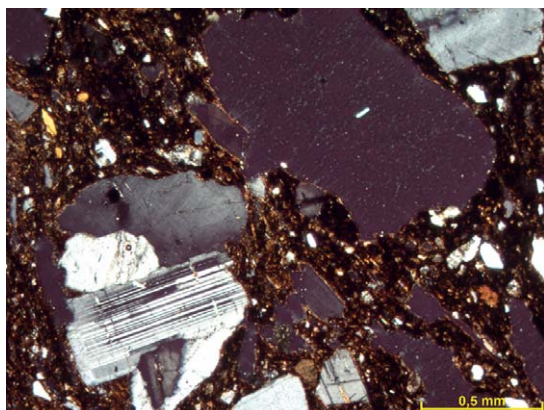
Fig. 57 Composition of petrofabric EPH-CALC/FOSS_01. a) Microfossils embedded in a carbonatic groundmass with monocrystalline quartz, sample **Kat. 2329**, magnification $\times 25$; b) Fine carbonates, quartz and various species of foraminifera in **Kat. 2329**, $\times 50$; c) Detail of planktonic foraminifera in **Kat. 2329**, $\times 100$. All images taken in XPL



a



b



c

Fig. 58 Volcanic minerals in petrofabric EPH-VOLC_01. a) Alkali feldspar, fine-grained volcanics and quartz in **Kat. 895**, magnified $\times 25$; b) Plagioclase phenocryst showing zoning in **Kat. 607**, $\times 25$; c) Rock fragments composed of plagioclase and alkali feldspar in **Kat. 607**, $\times 50$. All images taken under crossed polars

Inclusions: 9–11 %, sa.–sr., <1.84 mm, mode 0.72 mm, weak bimodal grain size distribution, moderately to poorly sorted.

Types of inclusions: Frequent: quartz; plagioclase feldspar. Common: alkalifeldspar (sandine [?]). Few: muscovite; perthite; organics. Rare: chert; amphibole (diamond-shaped and green in PPL); biotite. Rare: fine clinopyroxene/augite; grog (greyish-black in XPL); green minerals; volcanic rock fragments (fine plagioclase + opaques ± alkalifeldspar); volcanic (?) rock fragments entirely composed of plagioclase feldspars (mean size 0.80 mm); pyroxenes (cleavage, transparent-yellow in XPL); rock fragments composed of alkalifeldspar with minor amounts of plagioclase which are partially dissolved and might be either of metamorphic or igneous (granitic [?]) origin. Very rare: aggregates of clinozoisite; calcite; tuff (?); chert.

Interpretation: Plagioclase and volcanic rock fragments are indicative that this petrofabric relates to a volcanic geological environment. To date, there are no clay raw materials from Ephesos testified that would match the composition described above and from a geological perspective, a local provenance can be excluded¹⁶⁵⁹. Pyroclastic rocks, undifferentiated volcanics, dacite and rhyolite occur in the Izmir region around Yeniköy and in the Çeşme peninsula, while granitic outcrops are rare. Granitoid, which would be the closest match to the composition of the rock fragments identified in this petrofabric, is known southwest of Izmir¹⁶⁶⁰. Technologically, the addition of organic matter to the clay paste needs to be reported, visible in the thin-section by the presence of pores developed in the course of the decomposition of the organics during firing (**Kat. 607**). An exact provenance determination of this petrofabric is hindered due to the lack of petrographic reference data, but an origin from the broader Izmir region is one possibility that might be assumed. Most likely, however, is a relationship to the highly volcanic region between Smyrna/Izmir and Çandarlı.

18) EPH-VOLC_02

Definition: Plagioclase-rich volcanics (fig. 59)

| Petrofabric EPH-VOLC_02 | | |
|-------------------------|------------------|---------------|
| Kat. | Inv./Sample No. | Shape/Ware |
| 2521 | EΦ.KG/26.VIII.43 | Cooking plate |

Clay matrix: micaceous/ferruginous, reddish-brown in PPL, dark reddish-brown in XPL, slightly active clay matrix.

Voids: 6 %

Inclusions: 7 %, sa.–sr., <1.82 mm, mode 0.40 mm, weak bimodal grain size distribution, moderately sorted.

Types of inclusions: Frequent: mono- and polycrystalline quartz; fine muscovite. Few: extrusive rock fragments of intermediate composition (composed mainly of fine alkalifeldspar laths + opaques + biotite with a phenocryst of alkalifeldspar) possibly trachyte (due to trachytic texture) or rhyolite; volcanic (?) rock fragments heavily vitrified and glassy being greenish-beige in XPL. Rare: chert.

Interpretation: Compositionally this petrofabric shows certain similarities to EPH-METAMORPHIC/VOLC_01, as they are both characterised by possible rhyolite or trachyte fragments and few metamorphics. A provenance from the immediate area around Ephesos is not likely. The glassy and greenish-beige rock fragments are in accordance with similarly-appearing fragments

¹⁶⁵⁹ Geological field studies and the examination of clay and sand sample taken from the broader area around Ephesos verified that volcanic rock fragments are not native to this geological landscape, as Sauer 1995, 125–130 stresses in the course of the descriptions of the raw material samples.

¹⁶⁶⁰ Cf. the geological map by Şenel 2002.

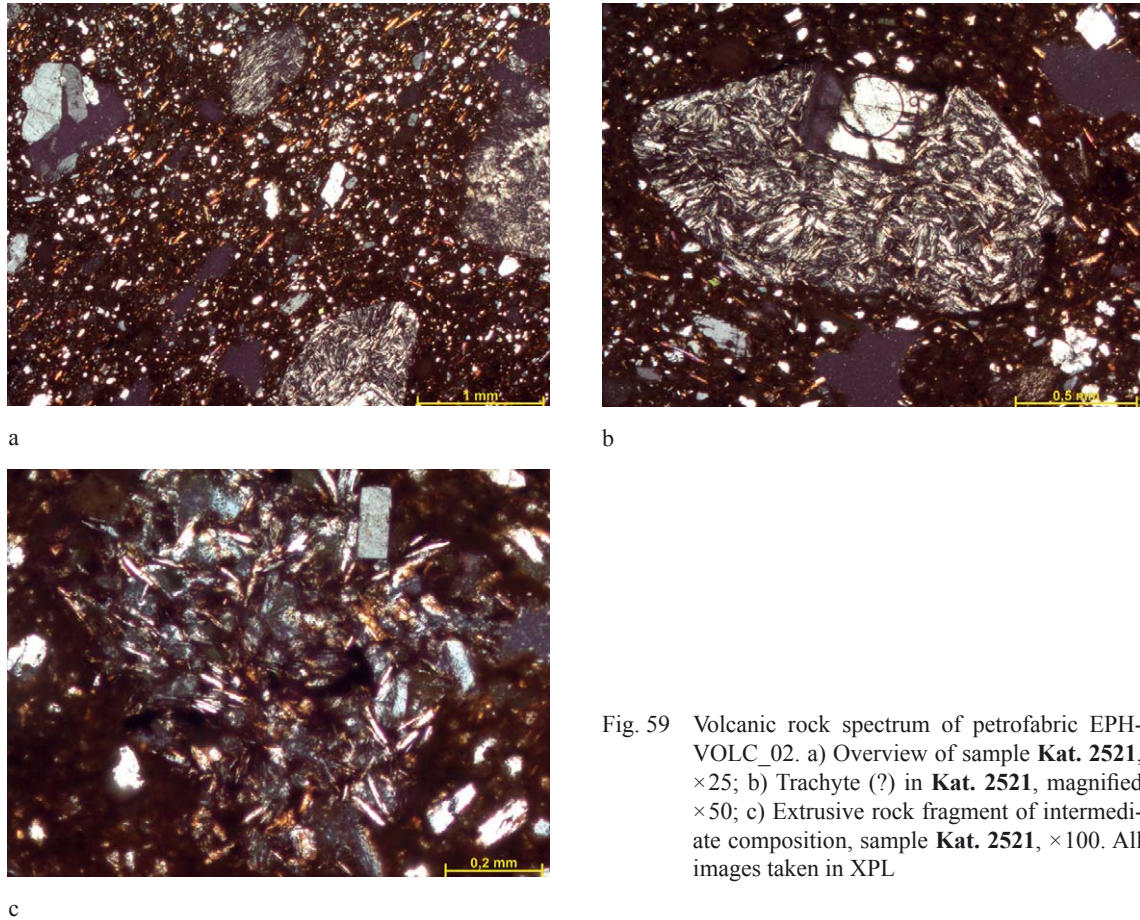


Fig. 59 Volcanic rock spectrum of petrofabric EPH-VOLC_02. a) Overview of sample **Kat. 2521**, $\times 25$; b) Trachyte (?) in **Kat. 2521**, magnified $\times 50$; c) Extrusive rock fragment of intermediate composition, sample **Kat. 2521**, $\times 100$. All images taken in XPL

in sample **Kat. 2425** (petrofabric EPH-VOLC_04). Again, a provenance in the region between Çesme in the south and Çandarlı/Phocaea in the north might be proposed¹⁶⁶¹.

19) EPH-VOLC_03

Definition: Zoned plagioclase and fine volcanic glass/pumice (fig. 60)

| Petrofabric EPH-VOLC_03 | | |
|-------------------------|------------------|-------------|
| Kat. | Inv./Sample No. | Shape/Ware |
| 2520 | ΕΦ.ΚΓ/26.VIII.47 | Cooking pot |

Clay matrix: ferruginous, dark tannish brown in PPL and XPL, inactive clay matrix.

Voids: 8 %

Inclusions: 17 %, sa.–sr., <2.04 mm, mode 0.56 mm, weak unimodal grain size distribution, well-sorted

Types of inclusions: Dominant: glassy volcanic rock fragments (grey matrix, fine plagioclase laths, vitrified, contains brown minerals, alkali feldspar and plagioclase phenocrysts, and biotite) compositionally ranging to volcanic glass and pumice. Frequent: plagioclase feldspars (some particularly large particles up to 1.32 mm exhibiting zoning); quartz. Few: mica schists (biotite); opaques/iron rich inclusions. Almost absent: fine clinopyroxene/augite.

Interpretation: The presence of coarse and zoned plagioclase phenocrysts and glassy fine-grained rock fragments allows the reconstruction of an association of this petrofabric to volcanic glass/

¹⁶⁶¹ Amicone et al. 2014, 6 (Petrographic group B).

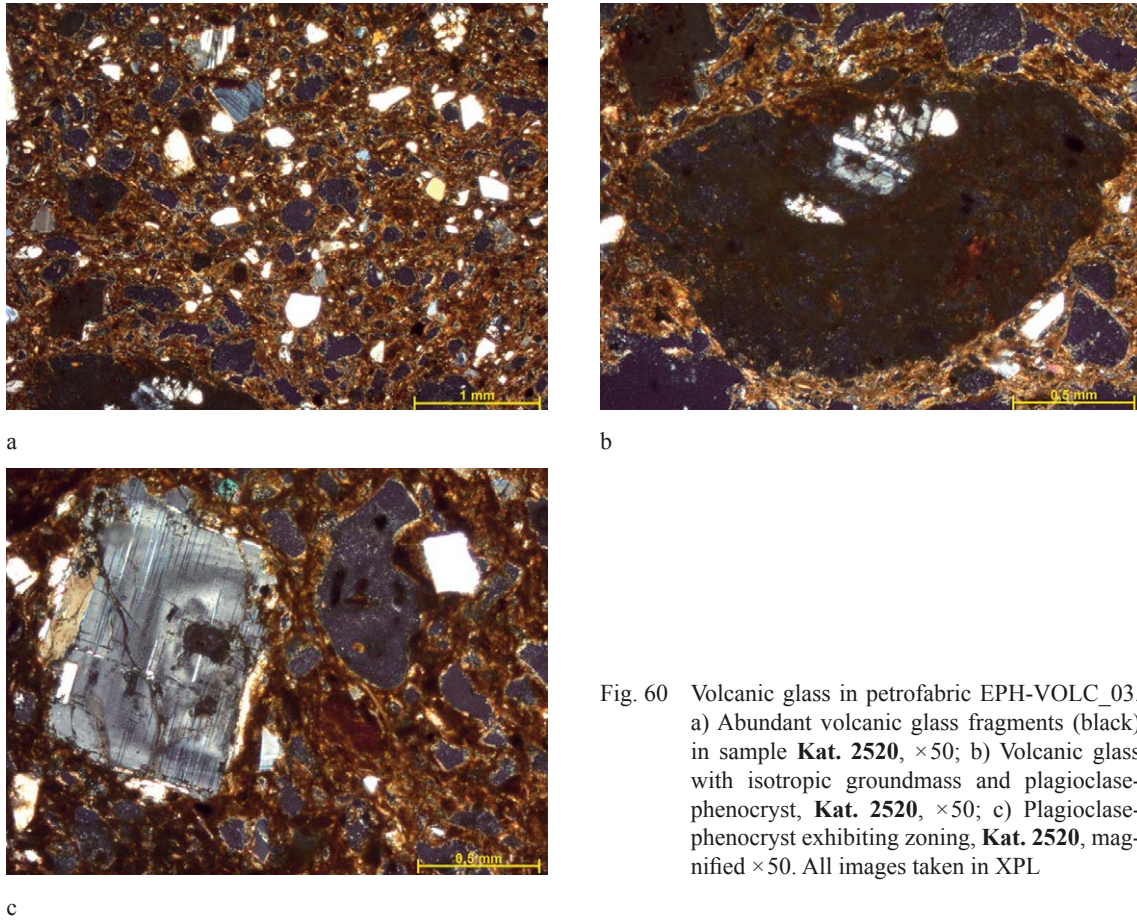


Fig. 60 Volcanic glass in petrofabric EPH-VOLC_03. a) Abundant volcanic glass fragments (black) in sample **Kat. 2520**, $\times 50$; b) Volcanic glass with isotropic groundmass and plagioclase-phenocryst, **Kat. 2520**, $\times 50$; c) Plagioclase-phenocryst exhibiting zoning, **Kat. 2520**, magnified $\times 50$. All images taken in XPL

pumice possibly being also connected to andesite (?). However, most significant is the extremely dense enrichment with glassy fine-grained volcanic rock fragments, which seem to have been added deliberately to the clay paste after having been sieved in order to remove coarser rock fragments. The rock fragments can be classified as young and fresh rocks that might be initially associated with ashfall¹⁶⁶², its deposits later being mixed with clay in order to fabricate this cooking ware. A production centre of cooking pots is known in Phocaea in the Late Classical/Hellenistic periods, well known for the utilisation of clays containing pumice¹⁶⁶³. It is unknown if this production or generally an export-oriented ceramic production, was already started in the Archaic period. The area north of Izmir around Phocaea, as such, might be one candidate of origin for the discussed cooking pot.

20) EPH-VOLC_04

Definition: Coarse glassy (volcanic [?]) rock fragments (fig. 61)

| Petrofabric EPH-VOLC_04 | | |
|-------------------------|-----------------|----------------------|
| Kat. | Inv./Sample No. | Shape/Ware |
| 2425 | EΦ.KG/26.IV.61 | Orientalising pithos |

Clay matrix: ferruginous and calcareous, vitrified, dark brown in PPL and dark brown-greenish (vitrified) in XPL, inactive clay matrix.

¹⁶⁶² Credit to R. Sauer for this idea.

¹⁶⁶³ Amicone et al. 2014.

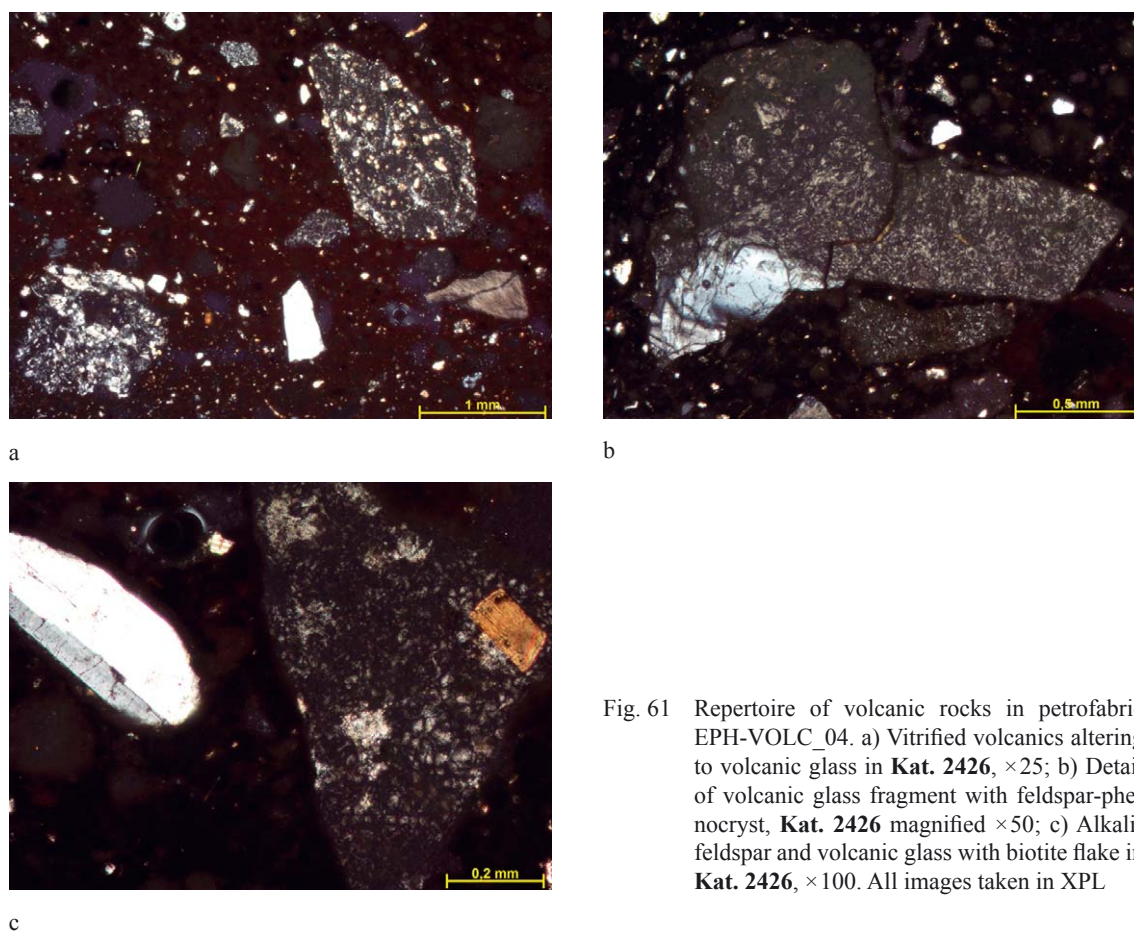


Fig. 61 Repertoire of volcanic rocks in petrofabric EPH-VOLC_04. a) Vitrified volcanics altering to volcanic glass in **Kat. 2426**, $\times 25$; b) Detail of volcanic glass fragment with feldspar-phenocryst, **Kat. 2426** magnified $\times 50$; c) Alkali-feldspar and volcanic glass with biotite flake in **Kat. 2426**, $\times 100$. All images taken in XPL

Voids: 11 %

Inclusions: 14 %, sa.-r., <3.66 mm, mode 1.22 mm. Bimodal grain size distribution, poorly sorted.

Types of inclusions: Dominant: glassy highly vitrified greenish rock fragments (inclusions: silt-sized opaques, quartz, rarely clinopyroxene, brown amphibole [?] and biotite) of volcanic character but highly altered, to be identified with volcanic glass. Common: fine-grained siliceous rock fragments, possibly also of volcanic character (trachyte) with a phenocryst of alkali-feldspar (?); volcanic rock fragment of intermediate composition composed of fine plagioclase and brown minerals. Few: plagioclase; spherulite (?); chert (siliceous); quartz. Very rare: fine clinopyroxene/augite; chalcedony.

Interpretation: The very coarse rock fragments in this petrofabric are highly altered (vitrification) and, as such, a reconstruction of the character of the original rock is severely hindered. Yet, they seem to be related to volcanic rock formations of possibly intermediate to acid composition now being transformed to volcanic glass. The presence of volcanic glass in considerable quantity and the range of accessories shows certain analogies to the petrofabric EPH-VOLC_03. A provenance from the area around Izmir and, more detailed, possibly the Phocaea region might be assumed but cannot be verified with certainty. However, this hypothesis can be supported when considering the existence of potteries in Phocaea at the beginning of the 6th century B.C., demonstrably producing orientalisising ceramic shapes¹⁶⁶⁴.

¹⁶⁶⁴ For a brief summary on the Archaic workshop remains with bibliographic references see Pekin 2015, 103.

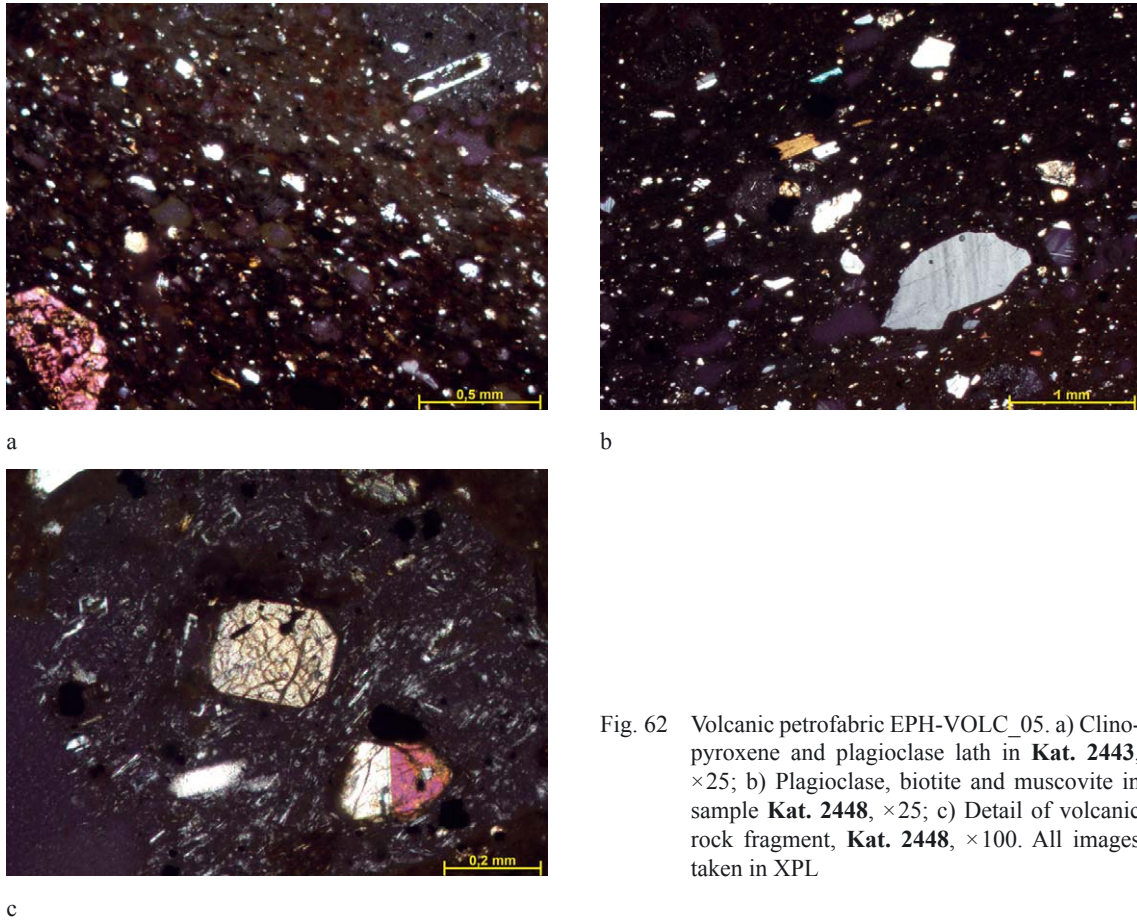


Fig. 62 Volcanic petrofabric EPH-VOLC_05. a) Clinopyroxene and plagioclase lath in **Kat. 2443**, $\times 25$; b) Plagioclase, biotite and muscovite in sample **Kat. 2448**, $\times 25$; c) Detail of volcanic rock fragment, **Kat. 2448**, $\times 100$. All images taken in XPL

21) EPH-VOLC_05

Definition: Plagioclase, clinopyroxene and volcanic rock fragments (fig. 62)

| Petrofabric EPH-VOLC_05 | | |
|-------------------------|-----------------|------------------|
| Kat. | Inv./Sample No. | Shape/Ware |
| 2443 | EΦ.KG/26.V.25 | Geometric juglet |
| 2448 | EΦ.KG/26.V.23 | Cooking pot |

Clay matrix: ferruginous, slightly calcareous, dark tannish brown in PPL, dark brown in XPL, moderately active to inactive clay matrix.

Voids: 4–8 %

Inclusions: 7–13 %, sa.–sr., <1.42 mm, mode 0.46 mm. Weak unimodal grain size distribution, moderately sorted.

Types of inclusions: Frequent: plagioclase feldspar with polysynthetic twinning or rarely zoning, sometimes aggregates of fused plagioclase minerals with grain sizes up to 0.90 mm; greenish vitrified carbonates. Common: fine quartz; volcanic rock fragments (fine glassy greyish ground-mass with opaques + biotite + plagioclase \pm alkalisfeldspar \pm clinopyroxene) of intermediate composition likely to be identified with rhyolite/dacite/andesite (?), sometimes ranging compositionally to volcanic glass; biotite. Rare: clinopyroxene/augite (sometimes up to 0.62 mm); quartzite; microcline; muscovite; sandstone (sample **Kat. 2454**); pumice (?) (volcanic, glassy, rounded pores).

Interpretation: This is a volcanic fabric likely to be associated to rhyolite/dacite/andesite formations based on the characteristically-zoned plagioclase feldspar, the composition of the volcanic rock fragments and the distribution of a considerable amount of plagioclase in the clay matrix

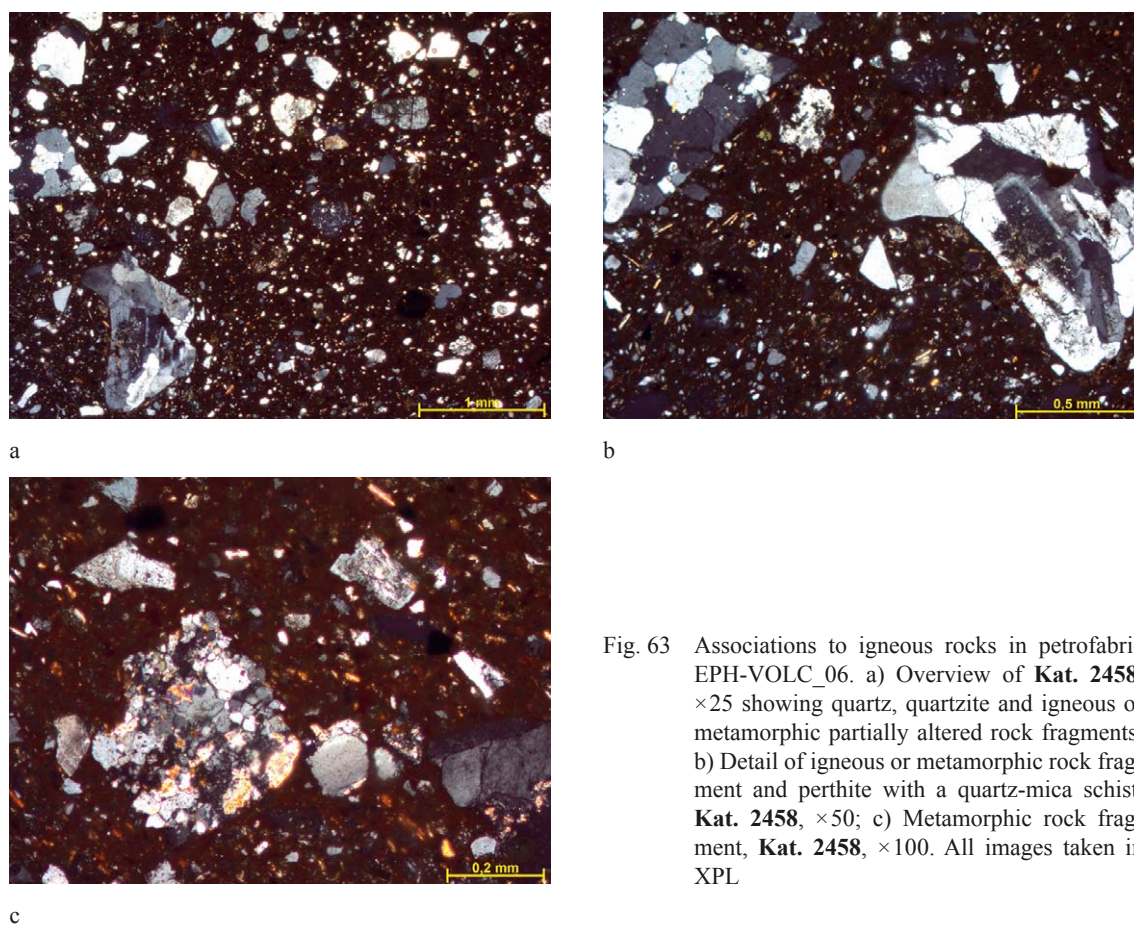


Fig. 63 Associations to igneous rocks in petrofabric EPH-VOLC_06. a) Overview of **Kat. 2458**, $\times 25$ showing quartz, quartzite and igneous or metamorphic partially altered rock fragments; b) Detail of igneous or metamorphic rock fragment and perthite with a quartz-mica schist, **Kat. 2458**, $\times 50$; c) Metamorphic rock fragment, **Kat. 2458**, $\times 100$. All images taken in XPL

that might indicate the species of a parent rock. Compositionally the volcanics range to volcanic glass. Visually and compositionally, this petrofabric exhibits similar features as noticed for the East Greek coarse wares found in Ashkelon¹⁶⁶⁵, for which no certain provenance had been determined, but which was generally linked to Northwestern Anatolia. However, it is relatively coherent with the composition of petrofabrics EPH-VOLC_03 and EPH-VOLC_04 and might, moreover, match in its constituents clays detected in the Çandarlı region. A provenance from the geological landscape around Çandarlı–Phocaea–Smyrna, as such, is likely¹⁶⁶⁶.

22) EPH-VOLC_06

Definition: Igneous rock (?) and plagioclase (fig. 63)

| Petrofabric EPH-VOLC_06 | | |
|-------------------------|-----------------|------------------|
| Kat. | Inv./Sample No. | Shape/Ware |
| 2468 | EΦ.KG/26.VI.34 | Geometric hydria |

Clay matrix: ferruginous and slightly calcareous, dark reddish-brown in PPL and XPL, inactive clay matrix.

Voids: 4 %

¹⁶⁶⁵ Stager 2011b, 62.

¹⁶⁶⁶ There are three other samples analysed but not being discussed comprehensively in this volume that match the composition of petrofabric EPH-VOLC_05, namely Inv. EΦ.KG.26.II/III.65. EΦ.KG.26.VI.38. EΦ.KG.26.VII.22.

Inclusions: 9 %, va.–sr., <1.32 mm, mode 0.42 mm. Unimodal grain size distribution, moderately sorted.

Types of inclusions: Frequent: fine quartz. Common: plagioclase; alkalifeldspar frequently altered to perthite; fine opaques. Few: biotite; schists (quartz, hornblende, muscovite [?]); muscovite; chert. Very few: microcline; carbonates/micrite; hornblende; quartzite; sandstone; rock fragment composed of alkalifeldspar/perthite + few plagioclase + opaques, which might be either of igneous/plutonic (granite [?]) or metamorphic origin; epidote.

Interpretation: A metamorphic and volcanic environment can be reconstructed for this petrofabric, similarly as proposed for the petrofabric EPH-VOLC_01. The next known localities of granite or granitoid – when actually being of igneous origin and not a small fragment of a gneiss – can be found southwest of Izmir but spreads up to Çesme and Pergamon. A local provenance, as such, can definitely be excluded, even though an exact provenance determination is not possible.

4.D DISCUSSION

4.D.1 The composition of ceramics from Ephesos in the first half of the 1st millennium B.C.

The petrofabrics identified can be associated with primarily metamorphic, but also volcanic respective igneous geological environments or can relate to sedimentary rocks or alluvial sediments, as depicted in figure 64 below.

The defining components of the »metamorphic groups« are mostly represented by mica schists of varying grain sizes and by a diverse spectrum of accessories (often epidote). Besides the micaceous character of the clay paste, a calcareous groundmass is attested for one of the petrofabrics. Samples falling within the petrofabrics EPH-METAMORPHIC_04 and EPH-METAMORPHIC_05 are exceptionally fine-grained with mineral inclusions of quartz and muscovite almost exclusively. They have to be monitored more comprehensively as compositionally they are not diagnostic enough in order to conduct a definite provenance determination (cf. chap. 4.D.3). However, an association to a metamorphic geological landscape is plausible. Two petrofabrics do deviate as serpentinite have been identified as dominant rock inclusion. Principally, all samples could fit into the same geological landscape implying a mutual provenance.

Seven petrofabrics correspond to an environment of volcanic or igneous geology. The range of volcanic rocks attested in all relevant petrofabrics is limited and comprises mainly fragments of intermediate composition and a glassy groundmass, often being volcanic glass. The amount of volcanic rock fragments preserved varies considerably comparing the individual petrographic fabric groups, and in the case of, for instance, the petrofabric EPH-VOLC_03, an intentional addition of these coarse particles might be presumed. Concerning the nature of the identified rock fragments, most of the petrofabrics potentially might be associated with the same geological region, which evidently cannot be equalised with the Kaystros valley around Ephesos.

Petrofabrics pointing to an origin from sedimentary environments are very diverse in the spectrum of their aplastic constituents. The clay matrices can be either micaceous, ferruginous or highly calcareous, while for three of the six defined petrofabrics chert is the most diagnostic feature. Archaeological and mineralogical evidence both indicate different production sites in the Eastern Mediterranean.

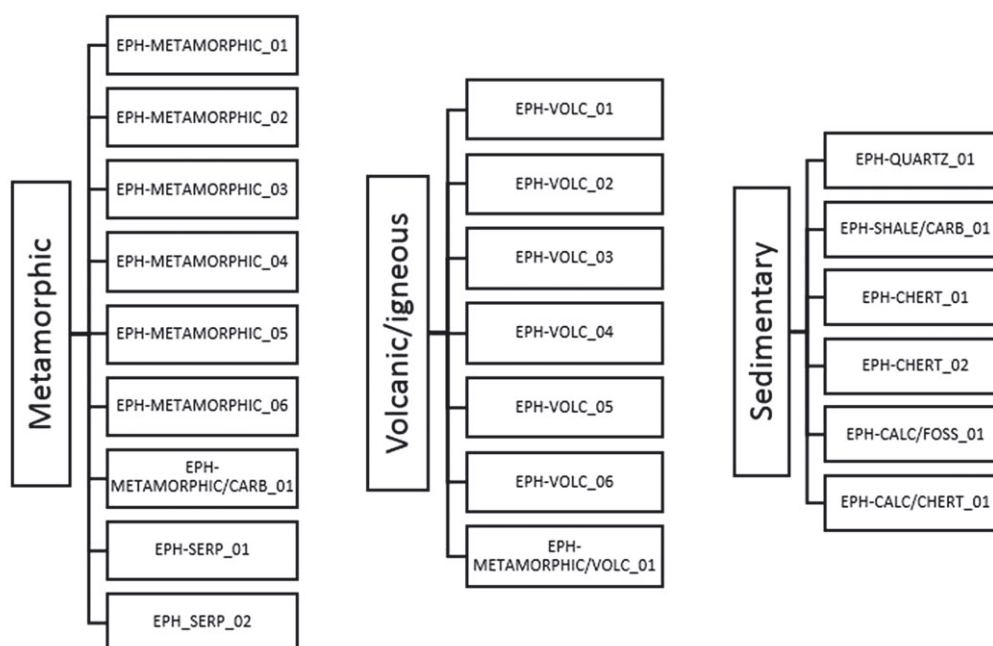


Fig. 64 Assignment of individual petrofabrics to metamorphic, volcanic/igneous and sedimentary environments

4.D.2 A local reference group? Pottery from the Archaic kiln on the Tetragonos Agora

Agreeably, as the most straightforward attempt to separate locally-produced ceramics from possible imports, the analysis of ceramics excavated in kiln contexts can be understood, providing that there is evidence the ceramics once constituted the load of this particular kiln. The analysis of such ceramic assemblages would demonstrate how much variability there can be expected in the composition and shape repertoire of vessels fired simultaneously or in a limited time span on one site. Debates on the organisation of pottery production concentrate on the possibility that certain potting groups might have shared firing installations for finishing their products rather than operating private kilns. The number of different clay recipes – reflected in the number of identified petrofabrics – detected in a kiln context, as such, might be equalised with the quantity of individual involved potting groups.

In the case of the Archaic kiln on the agora, the emergence of theories concerning the issues discussed above is hindered due to the archaeological record. The analysed samples contextually relate to stratigraphical units 96/196, 95/169, 95/271 and 96/179. These layers represent the ›fill‹ of the kiln structure associated to its abandonment or destruction at the end of the 7th century B.C.¹⁶⁶⁷. It is arguable how reliably the ceramics can be directly linked to activities performed within this actual kiln having been fired in this installation, or if the fill of the kiln has rather the character of a midden used for the disposal of any vessels circulating in Ephesian daily life at that time.

Table 10: List of thin-sectioned samples from the kiln on the Tetragonos Agora

| List of thin-sectioned samples from the kiln | | |
|--|-------------------------|-----------------------------------|
| Kat. | Petrofabric | Shape |
| 862 | EPH-METAMORPHIC_04 | Cup with everted rim |
| 874 | EPH-METAMORPHIC_04 | Bowl (Grey ware) |
| 876 | EPH-METAMORPHIC_04 | Plate |
| 877 | EPH-METAMORPHIC_04 | Juglet |
| 880 | EPH-METAMORPHIC_04 | Orientalising jug |
| 890 | EPH-METAMORPHIC_04 | Amphora |
| 892 | EPH-METAMORPHIC_04 | Deep storage vessel (Grey ware) |
| 893 | EPH-METAMORPHIC_04 | Deep storage vessel |
| 1847 | EPH-METAMORPHIC_04 | Bowl with steep wall |
| 863 | EPH-METAMORPHIC/CARB_01 | Deep storage vessel |
| 871 | EPH-METAMORPHIC/CARB_01 | Stand (Grey ware) |
| 884 | EPH-METAMORPHIC/CARB_01 | Hydria |
| 889 | EPH-METAMORPHIC/CARB_01 | Amphora (Milesian or Ionian type) |
| 887 | EPH-QUARTZ_01 | Amphora (Milesian type) |

The co-occurrence of three individual petrofabrics in the kiln context (cf. table 10) is attested, covering the defined groups EPH-METAMORPHIC_04, EPH-METAMORPHIC/CARB_01 and EPH-QUARTZ_01. Samples of these petrofabrics are particularly fine-grained and comprise a great diversity of vessel shapes.

A characteristic petrographic signature is difficult to establish for the petrofabrics under discussion. The petrofabric EPH-METAMORPHIC_04 contains mostly fine quartz and muscovite micas, while diagnostic accessory minerals and rock fragments are almost absent. Iron-rich opaque particles are being testified besides textural concentration features. Such a spectrum of minerals could be expected in locally-produced Ephesian ceramics. In one sample (**Kat. 1203**) traces of biotite-alkalifeldspar-epidote schist have been identified – a metamorphic rock well

¹⁶⁶⁷ Discussion of the stratigraphy in chap. 1.A.2, 1.A.3.3. and 1.A.4.

known from the geological landscape of Ephesos. A local provenance of this petrofabric would be realistic, but there is a certain complexity connected to the representation of vessel shapes in this petrographic fabric group. EPH-METAMORPHIC_04 as a whole¹⁶⁶⁸ includes several vessel shapes of Lydian type for which a local provenance is generally possible, but other production centres, foremost Sardis, and Ionian ones like Samos¹⁶⁶⁹ need to be considered as well¹⁶⁷⁰. On the other hand, there are certain shapes that plausibly could fit into the local ceramic spectrum or Ionia, respectively. The archaeological evidence and the fact that fine wares of quartz-mica composition have been produced in several parts of Western Asia Minor implies that ceramic products of varying provenance have been subsumed in this petrofabric.

These observations are coherent with the other major petrographic fabric groups found in the kiln. EPH-METAMORPHIC/CARB_01 shares the presence of dominant fine quartz and muscovite with EPH-METAMORPHIC_04, but containing significant calcareous components such as micritic limestone. Again, an integration in the local geology of Ephesos is possible. A Lydian type vessel of Bichrome Ware, with high probability an import from Sardis or its vicinity, and vessels in Milesian style point to a co-existence of local production and imports, both from the North and the South, also within EPH-METAMORPHIC/CARB_01. Sporadic mineral inclusions of feldspar and pyroxenes could be used for arguing for a relation of at least some of the samples to a geological environment characterised by volcanic rocks. Parts of Lydia and Northern Ionia would fit these requirements.

One single sample from the kiln context falls within the petrofabric EPH-QUARTZ_01, which is almost defined by the presence of fine quartz exclusively, besides a few fragments of metamorphic rocks, carbonates and feldspars. Typologically it concerns an amphora of Milesian type. However, this does not prove its origin from Miletos, as there is still the chance of local reproductions elsewhere, including Ephesos. Rating from the range of aplastics preserved in this petrofabric, a provenance from Miletos¹⁶⁷¹ cannot be excluded but this also applies to most parts of Western Asia Minor.

Petrographic data – due to the fineness of the clay pastes – and typological classification are both not exclusive for clarifying which analysed samples actually once might have been part of an original load fired in the kiln on the Tetragonos Agora, and which pieces, on the other hand, are imported wares only being deposited in this area when the ceramic workshop was abandoned. It can be assumed that a high amount of shards uncovered during the excavations of the kiln fill indeed might have been produced on site, as the petrographic profile would be applicable. More detailed conclusions and the reconstruction of modes of production need to be carried out.

4.D.3 Geochemical differentiation of fine-grained petrofabrics

Starting from the observation that some of the fine-grained petrofabrics are generic but seem to originate from different production sites and the fact that there are strong compositional analogies between the petrofabrics EPH-METAMORPHIC_04 and EPH-METAMORPHIC/VOLC_01, complementary geochemical analyses were initiated. 12 ceramic samples, which previously had been thin-sectioned, were submitted to the Fitch Laboratory of the British School at Athens¹⁶⁷² for wave-length dispersive X-Ray Fluorescence analyses using a WD-XRF Bruker S8-Tiger spectrometer.

¹⁶⁶⁸ Cf. tab. 10.

¹⁶⁶⁹ Menelaou et al. 2016, 485 (»Fabric«).

¹⁶⁷⁰ For a comprehensive discussion cf. Kerschner 2005a, 136–139. See also the contribution by M. Kerschner in this volume (chap. 2.B.2.11).

¹⁶⁷¹ Synchronic amphoras from Miletos studied by Seifert (Seifert 2004, 32) have been characterised as consisting primarily of quartz and micas besides few carbonates and accessories of epidote and pyroxenes.

¹⁶⁷² Many thanks to the staff of Fitch Laboratory for the execution of WD-XRF analysis, conducted in the course of a Fitch Bursary Award.

When interpreting the results of these analyses, one needs to be aware of the small number of samples subjected to WD-XRF analyses. Particularly the statistical treatment is problematic, as the boundaries of the individual compositional groups cannot be defined reliably, as such being exposed to the risk of actually individual groups merging to only one compositional group. The graphs and the depicted ›groupings‹ should be rather understood as tendencies of provenance than a definite assignment to a production centre. Complemented by the petrographic information on the individual samples, the area of provenance might be confirmed or at least narrowed down.

The aim of this additional analytical programme was to test whether elemental homogeneity can be detected between samples that petrographically are grouping together but typologically indicate diverse provenance (this applies to the samples of the petrofabric EPH-METAMORPHIC_04, EPH-METAMORPHIC_05, EPH-METAMORPHIC/CARB_01 and EPH-METAMORPHIC/VOLC_01). The sample selection for geochemical analyses was targeted and tried to integrate a range of possibly local vessels, but also shapes of Lydian type and Ionian/North Ionian/Aeolian pieces in order to see if they relate elementally to each other.

Table 11: List of samples analysed with WD-XRF

| List of samples analysed with WD-XRF | | |
|---|-------------------------|----------------------------------|
| Kat. | Petrofabric | Shape |
| 874 | EPH-METAMORPHIC_04 | Bowl (Grey ware) |
| 1847 | EPH-METAMORPHIC_04 | Bowl with steep wall |
| 2190 | EPH-METAMORPHIC_04 | Mug |
| 2193 | EPH-METAMORPHIC_04 | Ovoid kotyle |
| 2376 | EPH-METAMORPHIC_04 | Fruit stand marbled ware |
| 2389 | EPH-METAMORPHIC_04 | Ovoid kotyle |
| 2176 | EPH-METAMORPHIC_05 | Cup with everted rim |
| 2328 | EPH-METAMORPHIC/CARB_01 | Myrina-Amphora bichrome ware |
| 2145 | EPH-METAMORPHIC/VOLC_01 | Kotyle |
| 2187 | EPH-METAMORPHIC/VOLC_01 | Cup with everted rim |
| 2246 | EPH-METAMORPHIC/VOLC_01 | Small lid |
| 2335 | EPH-METAMORPHIC/VOLC_01 | North Ionian black-figure krater |

One assumption as being responsible for the ›mixed‹ character of the petrofabric EPH-METAMORPHIC_04 was its clear compositional analogy to EPH-METAMORPHIC/VOLC_01, apart from the additional presence of sporadic volcanic rock fragments/volcanic glass particles in the latter. Usually, mostly one or two small volcanic rock fragments have been noticed in EPH-METAMORPHIC/VOLC_01, which is the only distinguishing feature of its purely metamorphic counterpart mentioned above. The way a thin-section has been cut could, as such, have an impact on the presence/absence of volcanics, emphasising that some samples classified as belonging to the petrofabric EPH-METAMORPHIC_04 should be considered as possibly being related rather to EPH-METAMORPHIC/VOLC_01.

Of the elemental spectrum quantified by the WD-XRF analysis, values below 20 ppm had been excluded as well as elements that might have been influenced by post-depositional alteration. Finally, 26 major, minor and trace elements have been considered as meaningful for the Archaic ceramic samples (fig. 65). Two certified standard reference materials were analysed in order to test for the accuracy and precision of the instrument's performance. Before applying multivariate statistics, the raw data has been normalised and log-transformed (base 10 logarithm).

Multivariate statistics have been conducted with IBM-SPSS Statistics 22 software, covering principal component analysis (henceforth PCA) and hierarchical cluster analysis.

The 26 representative variables (elements) were statistically reduced to two principal components, with the eigenvalue of Principal Component 1 being calculated as being 33.112 % and Principal Component 2 being 60.659 % of total variability. These new variables were plotted in a

| Kat. | Na ₂ O (%) | MgO (%) | Al ₂ O ₃ (%) | SiO ₂ (%) | P (PPM) | K ₂ O (%) | CaO (%) | TiO ₂ (%) | V (PPM) | Cr (PPM) | Mn (PPM) | Fe ₂ O ₃ (%) | Co (PPM) | Ni (PPM) |
|---------|-----------------------|---------|------------------------------------|----------------------|---------|----------------------|---------|----------------------|---------|----------|----------|------------------------------------|----------|----------|
| 2145 | 1,58 | 2,46 | 17,02 | 60,42 | 1240,00 | 3,07 | 6,37 | 0,81 | 114,00 | 111,00 | 961,00 | 6,16 | 19,00 | 67,00 |
| 2193 | 1,15 | 3,63 | 22,35 | 52,11 | 982,00 | 3,97 | 4,16 | 0,89 | 167,00 | 178,00 | 960,00 | 10,53 | 29,00 | 112,00 |
| 2246 | 1,32 | 2,40 | 19,78 | 57,07 | 991,00 | 3,12 | 6,55 | 0,91 | 138,00 | 147,00 | 1390,00 | 7,44 | 25,00 | 126,00 |
| 2176 | 0,67 | 3,48 | 20,68 | 54,08 | 751,00 | 3,90 | 6,57 | 0,97 | 164,00 | 252,00 | 855,00 | 8,20 | 24,00 | 171,00 |
| 2187 | 0,91 | 3,15 | 18,47 | 56,40 | 812,00 | 3,60 | 7,04 | 0,74 | 117,00 | 230,00 | 654,00 | 7,26 | 21,00 | 159,00 |
| 2328 | 1,31 | 3,60 | 19,63 | 55,26 | 1332,00 | 3,94 | 4,95 | 0,88 | 146,00 | 199,00 | 907,00 | 8,40 | 26,00 | 152,00 |
| 2190 | 1,17 | 2,67 | 20,18 | 56,32 | 680,00 | 3,22 | 6,07 | 0,93 | 147,00 | 219,00 | 1095,00 | 7,94 | 26,00 | 157,00 |
| 2335 | 1,44 | 2,38 | 17,91 | 53,59 | 1151,00 | 3,14 | 7,86 | 0,86 | 143,00 | 173,00 | 1276,00 | 7,30 | 26,00 | 107,00 |
| 2376 | 1,30 | 3,57 | 22,60 | 51,70 | 954,00 | 3,92 | 3,90 | 0,88 | 177,00 | 175,00 | 936,00 | 10,85 | 30,00 | 107,00 |
| 2389 | 1,15 | 3,87 | 19,55 | 53,89 | 946,00 | 3,56 | 7,09 | 0,87 | 136,00 | 219,00 | 885,00 | 8,35 | 26,00 | 186,00 |
| 1847 | 1,30 | 3,61 | 19,45 | 47,95 | 1802,00 | 3,36 | 9,52 | 0,84 | 146,00 | 224,00 | 1732,00 | 9,16 | 35,00 | 153,00 |
| 874 | 1,79 | 3,61 | 21,44 | 47,67 | 1774,00 | 3,77 | 8,34 | 0,90 | 185,00 | 198,00 | 2357,00 | 10,36 | 50,00 | 133,00 |
| Average | 1,26 | 3,20 | 19,92 | 53,87 | 1118,00 | 3,55 | 6,54 | 0,87 | 148,00 | 194,00 | 1167,00 | 8,50 | 28,08 | 136,00 |
| StDev | 0,29 | 0,56 | 1,68 | 3,68 | 365,72 | 0,35 | 1,65 | 0,06 | 21,79 | 39,32 | 471,79 | 1,46 | 8,03 | 33,53 |

| Kat. | Cu (PPM) | Zn (PPM) | Rb (PPM) | Sr (PPM) | Y (PPM) | Zr (PPM) | Ba (PPM) | La (PPM) | Ce (PPM) | Nd (PPM) | Pb (PPM) | Th (PPM) | Sum (%) |
|---------|----------|----------|----------|----------|---------|----------|----------|----------|----------|----------|----------|----------|---------|
| 2145 | 45,00 | 137,00 | 137,00 | 248,00 | 32,00 | 198,00 | 776,00 | 44,00 | 85,00 | 36,00 | 47,00 | 19,00 | 99,59 |
| 2193 | 67,00 | 135,00 | 167,00 | 255,00 | 41,00 | 168,00 | 846,00 | 43,00 | 93,00 | 47,00 | 40,00 | 18,00 | 99,88 |
| 2246 | 46,00 | 141,00 | 145,00 | 239,00 | 36,00 | 204,00 | 846,00 | 47,00 | 89,00 | 43,00 | 65,00 | 22,00 | 99,88 |
| 2176 | 63,00 | 123,00 | 221,00 | 189,00 | 32,00 | 217,00 | 466,00 | 39,00 | 79,00 | 31,00 | 32,00 | 23,00 | 99,61 |
| 2187 | 49,00 | 102,00 | 186,00 | 196,00 | 42,00 | 169,00 | 506,00 | 45,00 | 95,00 | 49,00 | 26,00 | 20,00 | 99,52 |
| 2328 | 45,00 | 111,00 | 166,00 | 295,00 | 42,00 | 203,00 | 982,00 | 52,00 | 96,00 | 48,00 | 33,00 | 20,00 | 100,09 |
| 2190 | 60,00 | 120,00 | 152,00 | 187,00 | 32,00 | 206,00 | 568,00 | 44,00 | 79,00 | 43,00 | 40,00 | 17,00 | 100,10 |
| 2335 | 51,00 | 206,00 | 120,00 | 190,00 | 31,00 | 183,00 | 736,00 | 43,00 | 95,00 | 37,00 | 69,00 | 15,00 | 96,03 |
| 2376 | 55,00 | 137,00 | 166,00 | 249,00 | 42,00 | 158,00 | 766,00 | 44,00 | 102,00 | 44,00 | 34,00 | 19,00 | 99,94 |
| 2389 | 48,00 | 109,00 | 163,00 | 347,00 | 42,00 | 214,00 | 725,00 | 59,00 | 101,00 | 49,00 | 35,00 | 21,00 | 100,00 |
| 1847 | 76,00 | 119,00 | 129,00 | 312,00 | 40,00 | 177,00 | 792,00 | 52,00 | 103,00 | 44,00 | 29,00 | 17,00 | 99,35 |
| 874 | 79,00 | 147,00 | 139,00 | 238,00 | 49,00 | 183,00 | 802,00 | 60,00 | 131,00 | 57,00 | 19,00 | 22,00 | 99,32 |
| Average | 57,00 | 132,00 | 158,00 | 245,00 | 38,00 | 190,00 | 728,00 | 48,00 | 96,00 | 44,00 | 39,00 | 19,00 | 99,44 |
| StDev | 12,00 | 27,14 | 27,43 | 51,81 | 5,70 | 19,55 | 150,40 | 6,64 | 13,79 | 6,93 | 14,88 | 2,39 | 1,11 |

Fig. 65 Elemental composition of samples analysed with WD-XRF. Data normalized to 100 %

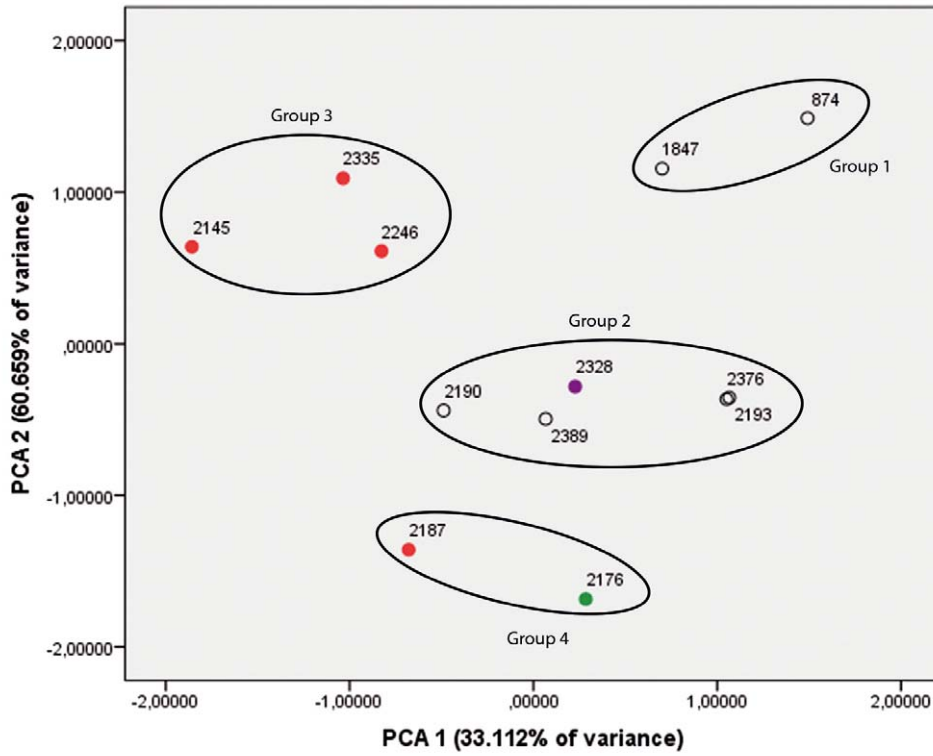


Fig. 66 Scatter plot depicting the first two principal components of the analysed samples. The colour-coding of the dots represents the different petrofabrics the samples had been assigned to in the course of thin-section analysis (EPH-METAMORPHIC_04 = white circles; EPH-METAMORPHIC_05 = green circle; EPH-METAMORPHIC/CARB_01 = purple circle; EPH-METAMORPHIC/VOLC_01 = red circles)

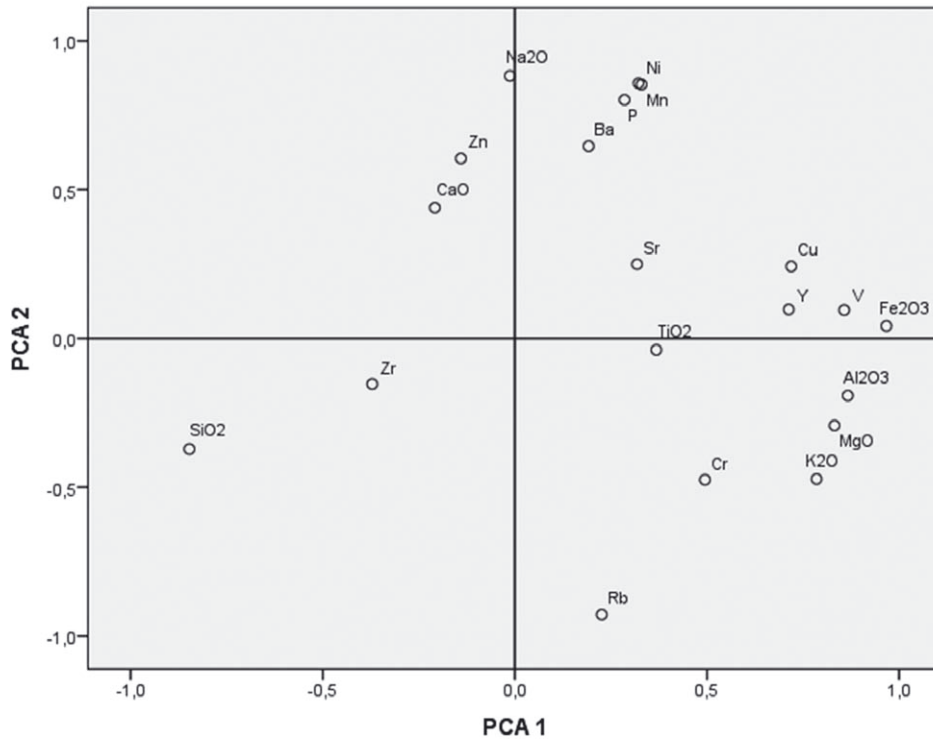


Fig. 67 Scatter plot highlighting the distribution of elements as they relate to PCA 1 and PCA 2

scatter plot illustrating the correlation of the 12 analysed samples on the basis of their elemental composition (fig. 66).

The distribution of the individual samples in the scatter plot results in the formation of a distinctive pattern. The colours chosen for the individual dots in the graph reflect the various petrofabrics. Four groups can be distinguished: most samples cluster together in Group 2, being the core group of the sample. Group 1 geochemically clearly stands apart from the core group, including samples **Kat. 874** and **Kat. 1847** of the petrofabric EPH-METAMORPHIC_04. Both samples originate from the Archaic kiln context on the Tetragonos Agora, for which possibly a local provenance might be assumed. Their distinctive elemental fingerprint with an increased value of Ni, Mn, P, Ba and Sr, as indicated when comparing the vectors in the loading plot in figure 67, might argue for their manufacture in Ephesos.

Group 2 includes the remaining samples of the petrofabric EPH-METAMORPHIC_04 with the ovoid kotylae falling within this group. The initial idea of samples of the petrofabric EPH-METAMORPHIC_04 coming from at least two different production centres seems to be confirmed, as their elemental fingerprint shows no relationship between Group 1 and Group 2. Considering vessels of Group 1 as local, Group 2 needs to be interpreted as being constituted with imported ceramics. Elementally in concordance with the vessels of Lydian type subsumed in Group 2 is the sample **Kat. 2328** (an amphora of Myrina-type) of the petrofabric EPH-METAMORPHIC/CARB_01, highlighted in a purple colour. The presented geochemical evidence might encourage the archaeological interpretation of these vessels as being foreign, possibly indeed Lydian, products.

In Group 3, three of the four samples of the petrofabric METAMORPHIC/VOLC_01 constitute a symptomatic cluster, being defined by an increased Zn and CaO ratio. In fact, petrographically these samples have been classified as imported vessels due to the presence of volcanic rock inclusions. One of the samples, **Kat. 2335**, has been described as North Ionian black figure krater. It needs to be considered that for all samples clustering in Group 2 a Northern Ionian origin might be probable.

Finally, Group 4 with the sample **Kat. 2187** of the petrofabric EPH-METAMORPHIC/VOLC_01 and the sample **Kat. 2176** of the petrofabric EPH-METAMORPHIC_05 can be correlated based on their elemental composition, with characteristically high Rb-values. Without doubt, this elemental signature points to another provenance from that of the other groups generated by PCA. Typologically the vessels are represented by cups with an everted rim.

The principal component analysis clearly verified that for the fine wares excavated in Ephesos, more than one region of provenance can be reconstructed. The areas around Çandarlı, Phocaea, Smyrna and Çesme had been referred to as possible production areas for the Archaic ceramic assemblage based on the petrographic analysis. Published WD-XRF reference data is accessible for Ephesos, Çandarlı and Pergamon, the last two being representatives for the North Ionian respective Aeolian landscape. However, this data has been gained from Hellenistic and Roman ceramics by S. Zabełlicky-Scheffenecker and R. Schneider, or R. Schneider and S. Japp¹⁶⁷³. Reference data from Ephesos was available through the analysis of so-called Ephesian Grey Ware, also performed at the Fitch Laboratory. This is a ceramic ware well known to have been manufactured in Ephesos in the Early Imperial period. It was not possible to consult any WD-XRF results of Geometric or Archaic fine wares from the Ionian landscape that would have been most appropriate for comparison.

¹⁶⁷³ Zabełlicky-Scheffenecker – Schneider 2000, 112 state in their X-Ray Fluorescence Analyses on Late Hellenistic and Early Imperial period applique wares data for Ephesian and Pergamenian reference groups, as well as publishing data on applique wares of certain Ephesian provenance. Schneider – Japp 2009, 301 published the average elemental composition for the Pergamenian main geochemical group, one sub-group and reference data from Çandarlı.

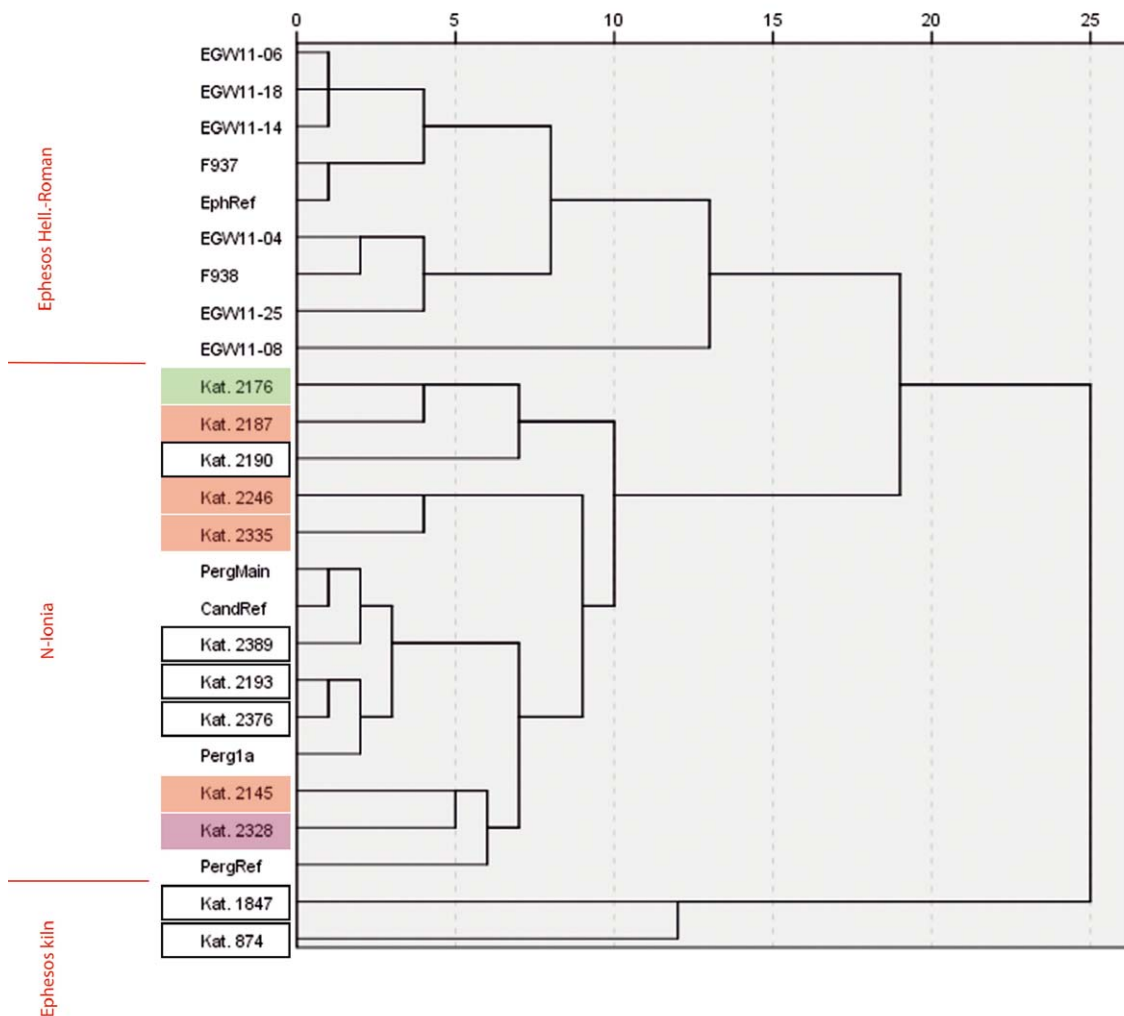


Fig. 68 Dendrogram generated by hierarchical cluster analysis based on the elemental composition of the analysed samples and reference materials

The hierarchical cluster analysis on non-log-transformed data including 20 elements¹⁶⁷⁴, using average linkage and Euclidean distance, created the dendrogram depicted in figure 68. The dendrogram represents the hierarchy of the individual samples as inferred by their elemental composition. The more branches split when moving down the hierarchy, the less the samples are geochemically related.

The branches, as such, represent the distance between the individual samples. For samples that cluster together the tightest, a similar provenance might be considered. Samples are again colour-coded referring to their initial grouping into the petrofabrics.

Interpreting the dendrogram, one major tendency is obvious. Samples **Kat. 874** and **Kat. 1847** retrieved from the Archaic kiln in Ephesos do not correlate to the rest of the analysed samples at all. Looking at the other main branch, it splits again into two branches. One of them, which appears uppermost on the graph, is represented exclusively by samples for which already an Ephesian provenance has been determined: it covers the Hellenistic-Roman Ephesian Grey Ware samples (EGW11-04. EGW11-06. EGW11-08. EGW11-014. EGW11-018. EGW11-25), two

¹⁶⁷⁴ Twenty elements as published in the studies by Zabehlicky-Scheffenecker – Schneider 2000 and Schneider – Japp 2009 have been included in statistical analysis. All elements tabulated in tab. 11 have been applied for hierarchical cluster analysis, except Co, La, Ce, Nd, Pb and Th.

samples of Applique wares published by S. Zabehlicky-Scheffenecker and H. Mommsen (F927 and F938) and one reference group from Ephesos¹⁶⁷⁵. The reason why this local group does not cluster together with the samples from the Archaic kiln might be the exploitation of different clay raw material sources in each period, their elemental composition slightly varying.

The other branch splits into several variables. Noteworthy is that several samples of the petrofabrics EPH-METAMORPHIC/VOLC_01 (red boxes), EPH-METAMORPHIC_04 (white boxes) and the sample falling within EPH-METAMORPHIC/CARB_01 (purple box) cluster not directly, but closely together with reference samples from Pergamon and Çandarlı¹⁶⁷⁶. It is primarily the vessel shapes of Lydian type showing these compositional analogies to clays geologically being native to this Northern Ionian/Aeolian region. Strong political contacts of the Mermnad dynasty based in Sardis (Lydia) with the Ionian cities might have had an impact on the reproduction of Lydian-inspired shapes in Northern Ionia.

Of the remaining samples, **Kat. 2246** and **Kat. 2335** can be understood as one group, hierarchically being slightly separated from the before-described group, but still being partly related. The latter sample follows the shape repertoire of a North Ionian black figure krater. Considering the archaeological evidence and the relative geochemical proximity to clays of the Pergamenean territory, a North Ionian origin might apply to these two samples as well.

Lastly, **Kat. 2176**, **Kat. 2187** and **Kat. 2190** need to be evaluated. They correlate more to the proposed North Ionian samples than to Ephesian products. One sample, **Kat. 2176** is a cup with everted rim, one of the samples, **Kat. 2187** petrographically points to a volcanic environment of origin, following the possible North Ionian group as described before. Though the Ionian bowl **Kat. 2176**, from a typological perspective, could be integrated rather into the Southern Ionian cultural area, through geochemical analyses, its provenance from the Northern Ionian landscape has been attested.

In summary, the hierarchical cluster analysis supported the tendencies already gained through PCA, with the samples from the Archaic kiln most likely being local products and the rest of the samples clearly differentiating, demonstrating the heterogeneity of the ceramic spectrum circulating in pre-Hellenistic Ephesos. While PCA was able to explain the elemental peculiarities of the individual compositional groups, the hierarchical cluster method was able to firstly, show the relative distance between the ›foreign‹ samples, and secondly, to prove a relationship to the geological landscape of Northern Ionia. The emergence of a cluster incorporating most of the 12 analysed samples and reference material from Pergamon and Çandarlı does not necessarily mean that our samples do indeed originate from those two sites. As the whole region around those sites is defined by clays of a quite homogeneous elemental signature, a broad area in Northern Ionia might be considered as the production locality¹⁶⁷⁷.

Even though exemplarily just a small number of 12 samples have been analysed geochemically, the data generated allows us to make conclusions about the bulk of the samples, as demonstrated. Methodologically of enormous interest is the proof of how problematic the interpretative value of thin-section analyses of fine wares can be. Petrographic analyses were partly unable to differentiate local from imported products, emphasising the significance of integrated multidisciplinary studies.

¹⁶⁷⁵ Average geochemical composition of Ephesian ceramics (›Ephesos-Referenzgruppe‹ as published by Zabehlicky-Scheffenecker – Schneider 2000, 112).

¹⁶⁷⁶ ›PergRef‹ describes a geochemical reference from the Pergamon-Ketios valley presented in Zabehlicky-Scheffenecker – Schneider 2000, 112 (Pergamon – Ketiosal). The other three reference samples had been published by Schneider – Japp 2009, 301. The abbreviation ›PergMain‹ written in the graph means Gruppe 1 (Pergamon Hauptgruppe) referring to Schneider – Japp, ›Perg1a‹ is Gruppe 1a (Pergamon Nebengruppe) and ›CandRef‹ is synonymous with Gruppe 2 (Çandarlı) presented by Schneider – Japp 2009.

¹⁶⁷⁷ XRF-data on Archaic East Greek pottery has been published by Dupont (e.g. Dupont 1986). However, a different range of elements had been measured than in our case study.

4.D.4 Varieties of Ephesian petrofabrics and shape repertoire

Coarse wares are compositionally more representative and as such their Ephesian provenance can be determined more securely through thin-section analysis (diagram 102). In-depth geological investigations of the Menderes Massif or the Cycladic Metamorphic Complex the Selçuk area relates to, highlighted the abundance of high pressure metamorphic rocks in this region. Mica schists, gneiss and marble constitute the major rock types¹⁶⁷⁸. Detailed mapping by Çakmakoğlu¹⁶⁷⁹ identified, moreover, quartz schists, phyllites, sporadic metavolcanics, dolomite and schists of biotite-quartz-epidote ± amphibole ± chlorite ± muscovite composition in the immediate vicinity of the archaeological site¹⁶⁸⁰. Around today's Selçuk and to its east, similarly composed schists have been recognised, including additionally the minerals tremolite/actinolite and garnet¹⁶⁸¹.

The typical mineral and metamorphic rock assemblage of Ephesian pottery is represented through the petrofabric EPH-METAMORPHIC_01, with coarse quartz-mica schists and mica/muscovite schists dominating. Characteristically, schists of quartz + biotite + epidote + alkali-feldspar/albite composition, moreover, underline the distinctive petrographic signature of local clays. It has to be stressed that, even though being coarse-grained with rock fragments of high angularity, this is a natural clay paste not having been manipulated intentionally by the potter. There is a clear preference for the utilisation of the petrofabric EPH-METAMORPHIC_01 in the production of cooking pots, but also for pithoi or roof tiles¹⁶⁸². The advantage of this coarse clay paste rich in quartz-mica schists is its performance properties. The high silica content of the metamorphic rocks that are natural constituents of the sediment considerably improved the heat resistance and thermal conductivity, favourable for cooking vessels. Furthermore, the coarseness of the clay paste enhanced the stability of pots such as in case of the pithoi. This petrofabric has been widely applied since the prehistoric (Neolithic) periods irrespective the intended function of the vessels¹⁶⁸³. In the Archaic period, in contrast, there seems to be a specialisation on a limited spectrum of shapes serving recognisable cooking practices and, as such, the choice for

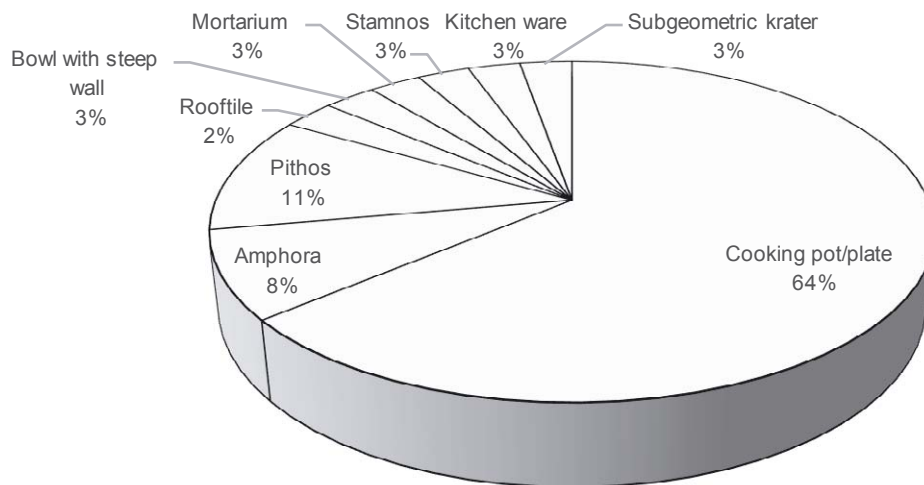


Diagram 102 Percental representation of local Ephesian ceramic types

¹⁶⁷⁸ Okay 2008, 31.

¹⁶⁷⁹ Çakmakoğlu 2007, 5–10 separates the region around Ephesos in the geological landscapes of »Efes Nappe« and »Şirince Metaflysch«.

¹⁶⁸⁰ Çakmakoğlu 2007, 6.

¹⁶⁸¹ Çakmakoğlu 2007, 9.

¹⁶⁸² Cf. also Sauer 2004, 63 f. (»Ziegeltyp A«).

¹⁶⁸³ Peloschek 2017.

this particular clay paste is selective¹⁶⁸⁴. The petrofabrics EPH-METAMORPHIC_02 and EPH-METAMORPHIC_03 are coherent with the above-described clay paste, but differ slightly, as for the former, an increased epidote content is obvious while the latter contains a higher quantity of infilled feldspars/albite¹⁶⁸⁵ compared to EPH-METAMORPHIC_01. Natural variability is responsible for these variations as an effect of the extraction of the clay from different – yet possibly closely located – clay mining areas.

Constantly, amphoras have been manufactured from a specific local clay in the Archaic period. The petrofabric EPH-METAMORPHIC_06 is defined by distinctive textural concentration features in a variety of colours ranging from yellowish to reddish-brown, besides micas and quartz. The sample size of analysed specimens is too small to prove if such a composition is indeed only represented by amphoras.

Two petrofabrics (EPH-SERP_01 and EPH-SERP_02) relate to serpentinite. This metamorphic rock is common around Ephesos and has been documented particularly to the southeast of Selçuk. Studies on Ephesian ceramics were already able to demonstrate that serpentinite in different stages of oxidation (ranging in XPL from a greyish to a strong orange colour) are widely distributed in the region and indicative of the local pottery. Only one single sample falls within the petrofabric EPH-SERP_01, having been identified as a subgeometric krater. It is surprising that one of the earliest samples analysed has been formed of this clay paste which stands in a tradition that goes back to the Late Chalcolithic period. Similar observations apply to the petrofabric EPH-SERP_02, containing besides serpentinite fragments additional talc. This petrofabric is of interest as an alteration of serpentinite to talc is visible in the clay paste constituents. Functionally, this petrofabric shows a strong correlation to utilitarian ware, comprising pithoi and cooking pots.

The clay pastes utilised are quite homogeneous and reflect strikingly the most common clay raw materials available. A certain unity concerns also the vessel shapes that can be associated with these local coarse wares, as illustrated below.

4.D.5 On the provenance of imported vessels

A high amount of imports has been identified (diagram 103), their composition not being in concordance with the local geology around Ephesos. Firstly, imported vessels will be discussed, for which a secure provenance determination has been achieved followed by more problematic non-local pieces.

Four petrofabrics indicate an association with the island of Cyprus, namely EPH-CHERT_01, EPH-CHERT_02, EPH-CALC/FOSS_01 and EPH-CALC/CHERT_01. Their distinguishing feature as being imported wares is the presence of (radiolarian) chert and micrite embedded in a calcareous clay matrix. Diagnostics are, moreover, occasional pyroxenes and volcanic/basaltic rock fragments and other intermediate volcanic rocks as well as serpentinite. The petrofabrics EPH-CHERT_01, EPH-CHERT_02 and EPH-CALC/CHERT_01 fit very well into the geological landscape of Cyprus, as chert is testified on several spots all over the island. As such, a similar provenance might apply to these three petrofabrics but cannot be established with certainty. Areas around the Troodos massif and to its south or southwest (the Mamonía complex, close to Paphos) have to be considered as landscapes accommodating possible production sites, as this area is defined by abundant outcrops of radiolarian chert¹⁶⁸⁶. However, the Kyrenia Terrane dispersing in the whole northern coastal area of Cyprus might be a more probable environment that the ceramics from Ephesos might originate from. A combination of limestone, marl, chert,

¹⁶⁸⁴ However, more analyses on a broader spectrum of vessel shapes would be required in order to test this assumption.

¹⁶⁸⁵ Infilled alkalifeldspar/albite had been noted by Sauer – Waksman 2005, 5 as a common constituent of Ephesian clays.

¹⁶⁸⁶ Dikomitou-Eliadou et al. 2016, 455–456.

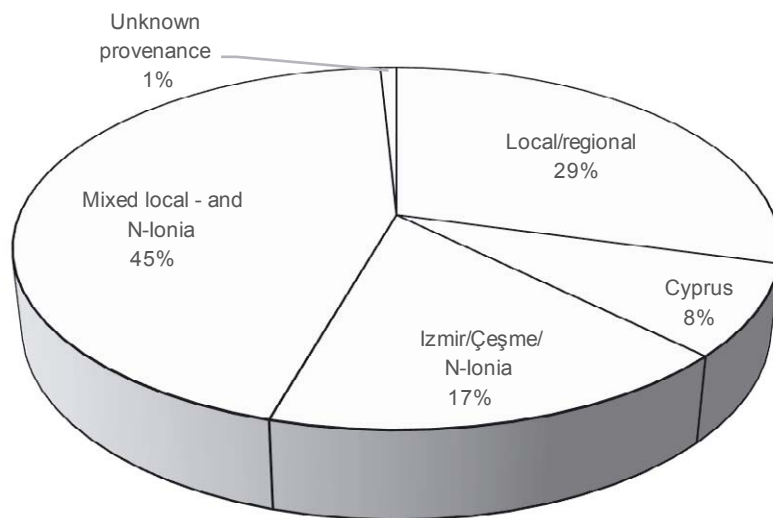


Diagram 103 Percental representation of analysed samples by provenance

radiolarian chert, basalts and micas¹⁶⁸⁷ found in this micro-region best matches the composition noticed for the mortaria. However, Cypriot workshops might have been specialised in the production of grinding bowls, as in the ceramic spectrum uncovered in Ephesos, only mortaria are represented. M. Spataro and A. Villing¹⁶⁸⁸ stressed the importance of Cyprus as a production centre of mortaria which were evidently distributed also to Western Asia Minor/Ionia in the Archaic period. The style of several of the analysed mortaria has been realised as being inspired in some elements by the common Cypriot shape repertoire, but petrographic analysis confirmed indeed their Cypriot origin coming to Ephesos as imports. The success of Cypriot mortaria as highly-demanded export goods in the Eastern Mediterranean has been explained on the basis of volcanic particles naturally embedded in the clays that should promote an improved abrasion-resistance of the vessels during the grinding activities¹⁶⁸⁹.

The petrofabric EPH-CALC/FOSS_01 can be assigned to Cyprus as well, its calcareous clay matrix and high amount of different species of (planktonic) foraminifera matching properties of clay pastes being native to the island¹⁶⁹⁰. A Cypriot provenance has already been stated through typological studies, following the decoration of Cypriot vessels.

The most extensive number of analysed samples excavated in Archaic contexts in Ephesos and being identified as imports (the petrofabrics EPH-VOLC_01 to EPH-VOLC_06 and EPH-METAMORPHIC/VOLC_01) is directly related to a landscape of volcanic activity or influenced by or exposed to volcanic events. Generally, the volcanic rock fragments detected in all relevant petrofabrics are homogeneous with extrusive rocks of intermediate to rarely acidic composition, are a diagnostic feature. Rhyolite, dacite or andesite might be reconstructed as possible parent rocks; in the case of the petrofabric EPH-VOLC_02 a trachyte needs to be considered as well. Usually the bulk of these rock fragments are rather volcanic glass, being defined by very small and vitrified mineral grains surrounded by an isotropic groundmass. Mineral grains embedded in the clay matrices of the ceramics also support the association with a volcanic environment, as zoned plagioclase phenocrysts (EPH-VOLC_03) and K-feldspar phenocrysts (EPH-VOLC_04), as well as loose particles of sanidine, plagioclase and K-feldspars testify. Regarding the petro-

¹⁶⁸⁷ See Pantazis 1979 for more details on the geology of the region.

¹⁶⁸⁸ Spataro – Villing 2009.

¹⁶⁸⁹ This model had been proposed for explaining the import of mortaria in the 8th and 7th c. B.C. from Cyprus to the Levant by Zukerman – Ben-Shlomo 2011, 88.

¹⁶⁹⁰ Dikomitou 2007, 113 f. describes an identical clay paste for Deneia, located to the west of Nicosia.

fabric EPH-METAMORPHIC/VOLC_01, EPH-VOLC_01 and EPH-VOLC_06, a possible additional metamorphic component had been detected (see below).

Distinctive analogies observable within the ›volcanic‹ petrographic fabric groups might indicate that they derive from broadly the same or a very restricted geographical area. Following the typological classification of the sampled vessels, the whole Ionian and Northern Ionian, but also Lydian and Aeolian landscapes need to be considered as possible production localities, challenging the validity of the petrographic data. Based on published petrographic and geological studies, the area covering Çandarlı in the north to the immediate area south and southwest of Izmir, including the Aegean islands of Samos and Chios, needs to be scanned for eligible references.

Outcrops of volcanic rocks of matching composition most closely positioned to Ephesos are being located in the Yeniköy area near Izmir and the Çeşme and the Karaburun peninsula. Geologically this area can be equalised with the so-called Bornova Flysch zone with carbonates of respectively limestone and mafic volcanic rocks dominating¹⁶⁹¹. Rhyolite, rhyodacite and varieties of andesitic rocks have been noticed between Izmir, Seferihisar and Urla. Following the descriptions by M. Akartuna, there exist pyroxene-andesites and andesites of augite-biotite-opaques composition. Rhyolite of this area is characterised by a vitreous matrix similar to our petrofabrics, while containing phenocrysts of sanidine, quartz and biotite¹⁶⁹². Formations of Miocene dacite, rhyolite and rhyodacite geographically nearest to Ephesos are known from the area northeast of modern Doğanbey. Andesite can be found abundantly in the Çeşme peninsula¹⁶⁹³ and the preliminary analysis of prehistoric ceramics from Liman Tepe¹⁶⁹⁴ – synonymous with the Ionian city of Clazomenae – verified the use of andesitic and basaltic clay pastes in local and regional pottery production.

The petrofabrics EPH-VOLC_02 and EPH-VOLC_04 can be classified as rhyolitic/trachytic respectively, being defined by the presence of volcanic glass for the latter. As discussed above, this composition might apply to clays from the Çeşme-Izmir/Smyrna region or reaching also further northwards to Phocaea and Çandarlı. The cooking plate and orientalising pithos represented in these petrographic fabric groups do not add more information to pinpoint potential production sites.

Several features noticed in our volcanic samples have been finalised already by other petrographers. J. Riederer describes Archaic pottery retrieved during excavations in Didyma as so-called Glimmerware, which is a highly volcanic clay paste¹⁶⁹⁵. It in its main components correspond to EPH-VOLC_03 and EPH-VOLC_05, containing besides plagioclase phenocrysts and pyroxenes also tuff. Not tuff, but pumice had been identified in the petrofabric EPH-VOLC_03. Nonetheless, Riederer was tempted to set this clay paste, which rarely occurs in Southern Ionia, in relation to a production centre on the island of Aegina in the Saronic Gulf. One argument for this possible assignation focused on the shape repertoire of the analysed vessels, being represented by cooking pots. Aegina is a prominent producer of cooking pots from the first half of the 7th century B.C. onwards, according to G. Klebinder-Gauß¹⁶⁹⁶. The local geology of the island, moreover, is defined by pyroclastic formations of andesitic composition, but also dacite and basalts are widely exposed. Based on the analysed ceramic assemblage from Ephesos and having noted their compositional relationship I would, however, rather argue for an Anatolian provenance. Coarse wares found in the Levant and being defined by andesitic inclusions have already been linked to a production in Northwest Anatolia¹⁶⁹⁷ without further specifying a workshop area. Based on our petrographic data and comparable references from the region, an origin

¹⁶⁹¹ Moreover, serpentinite and radiolarian chert complement the characteristic rock spectrum in this region, as summarised by Okay 2008, 30 f.

¹⁶⁹² Akartuna 1962, 12 f. Basalts are also native to the area.

¹⁶⁹³ Location pinpointed through the geological map of the Izmir region by Şenel 2002.

¹⁶⁹⁴ Ceramics of the Early Bronze Age have been briefly described by compositional means by Day et al. 2009, 341.

¹⁶⁹⁵ Riederer 2007, 51 f.

¹⁶⁹⁶ Klebinder-Gauß 2012, 173 f.

¹⁶⁹⁷ Stager 2011b, 62.

from the broader area around Phocaea or spreading towards the Izmir region might be assumed for the petrofabrics EPH-VOLC_03 and EPH-VOLC_05.

For the petrofabrics relating to both a volcanic and metamorphic environment, the area around Miletos and north of Izmir/Smyrna do most appropriately correspond to the described composition. M. Seifert mentioned the coexistence of volcanic components (sanidine, plagioclase, pyroxenes, volcanic glass, volcanics) and metamorphics (mica schists, gneiss) in the analysis of Archaic amphoras¹⁶⁹⁸. These tendencies have been encouraged by Spataro and Villing¹⁶⁹⁹ when noticing a combination of volcanic tuff, amphibolite, basalt and mica schists or gneiss in pottery shards of Milesian provenance, but placing emphasis on the non-calcareous character of the local clay. Looking to Northern Ionia, again a combination of extrusive and intrusive rocks and metamorphics is common, specifically close to Phocaea and Çandarlı. The petrographic fingerprint of ceramics native to the landscape involves acid to intermediate volcanic rocks (rhyodacite and andesite with augite as main components, tuff), granitoids and feldspars (alkalifeldspar and plagioclase)¹⁷⁰⁰. Schists and siltstone are, moreover, native to the region, but most significantly, limestones and, as such, associated carbonatic clay pastes are particularly well known¹⁷⁰¹. The archaeological evidence connected to the petrofabrics EPH-METAMORPHIC/VOLC_01, EPH-VOLC_01 and EPH-VOLC_06, seems to confirm a possible origin from Northern Ionia rather than from Miletos, making a provenance from the region around Çandarlı likely, also testified through the geochemical results.

There are two petrofabrics related to sedimentary rock and possibly alluvial deposits that cannot be related to a specific geographical area on the basis of the documented data. EPH-SHALE_01/CARB_01 might be associated with rock formations in the Bornova Flysch zone around Izmir and the Çeşme peninsula¹⁷⁰², corresponding to its typological affiliation as Northern Ionian products. For EPH-QUARTZ_01, on the other hand, represented by an amphora of Milesian type, various production locations in Western Asia Minor might be considered.

The results of natural-scientific analysis might give the impression of imports detected in Archaic Ephesos exclusively originating from Northern Ionia. This tendency is directly related to the sampling strategy of the analytical programme: Southern Ionian imports can be more securely identified by typological criteria, and, thus, such vessel shapes have not been subjected to archaeometric investigations, and archaeological data is appropriate for their provenance determination alone. Referring to the archaeological interpretation, Southern Ionian products are well represented in the Archaic ceramic material from Ephesos.

¹⁶⁹⁸ Seifert 2004, 32–35.

¹⁶⁹⁹ Spataro – Villing 2009.

¹⁷⁰⁰ Following descriptions by Slane – Kiriati 2014, 15 (igneous fabric; volcanic fabric).

¹⁷⁰¹ Compare the results of the analysis of Late Roman C-Ware by Ladstätter – Sauer 2002, 324. Albayrak – Özgüner 2013, 613 also mention rhyolites and limestone around Phocaea. Sauer – Ladstätter 20008, 185 in the course of the analysis of thin-sections from the Vediusgymnasium in Ephesos assumed that »Scherbentyp L«, which follows the composition described in the text, might originate from Çandarlı.

¹⁷⁰² Okay 2008, 30.

4.E CONCLUSION

After having presented and discussed the petrographic results in detail, it is crucial to briefly come back to the initial archaeological questions raised before having started the natural-scientific investigation.

Ionia in the Archaic period demonstrably was involved in the cultural and economic interaction with other parts of Western Asia Minor and was, furthermore, integrated in international trade or exchange systems. Of 22 petrographic fabric groups identified, nine can be addressed as being related to local respective regional clay sources. Imported ceramics have been traced back to broadly two cultural areas: Cyprus and Northern Ionia/Aeolis/Lydia. Ceramics of local provenance reflect their Ephesian origin also stylistically, as following the common shapes of utilitarian wares. For several of the samples, which typologically have been linked to Ephesos, this identification has been confirmed petrographically. The analysed vessels confirm that kitchen ware particularly was in the focus of local production forming excellent reference groups, but that at the same time, cooking pots had also been imported from Northern Ionia. Cultural interaction of the west coast of Asia Minor with the Aegean is also evident through the imitation of Cypriot mortaria in Northern Ionia¹⁷⁰³, which consequently had been transferred to Ephesos, but simultaneously the city had been supplied widely with the original Cypriot prototypes.

Ephesos from the 8th century onwards is an emerging city, being self-sufficient in ceramic production focusing solely on the import of specialised vessel shapes or pottery of a specific quality. Diachronic developments between the Geometric and Archaic periods are not obvious based on the analysed ceramic assemblage¹⁷⁰⁴, apart from the fact that contacts to Cyprus seem to concentrate on the Archaic periods exclusively. The exploitation of raw materials for local pottery manufacture can be examined in a wider chronological perspective and is revealing. Based on our current state of knowledge, compositionally highly variable clay pastes so far are primarily known from the prehistoric periods in Ephesos, while in post-Archaic periods, they have not been commonly recognised¹⁷⁰⁵. Aesthetical or functional reasons, or the availability of the raw materials influenced by environmental changes might be responsible for this shift. Future studies will clarify if the use of specific clay pastes in Ephesos is a reliable chronological marker.

Lisa Betina

¹⁷⁰³ Petrofabric EPH-VOLC_01.

¹⁷⁰⁴ Possibly also due to the low quantity of Geometric vessels analysed.

¹⁷⁰⁵ An exception is the petrofabric EPH-METAMORPHIC_01.

5 ZUSAMMENFASSUNG/SUMMARY/ÖZET

5.A ZUSAMMENFASSUNG

Die vorliegende Arbeit beschäftigt sich mit den Befunden und Funden aus der archaischen Siedlung unter der Tetragonos Agora in Ephesos und hat darüber hinaus die Keramik spätgeometrischer und archaischer Zeit von den nördlichen und westlichen Abhängen des Panayırdağ zum Thema. Neben der umfassenden Präsentation des einzigen in Ephesos bislang bekannten Siedlungsareals archaischer Zeit stellen die typologische und chronologische Analyse der Fundkeramik aller drei Fundplätze sowie deren kontextuelle und kulturhistorische Interpretation den Kern der Arbeit dar.

Die Studie (Teil I), die sich in vier Hauptkapitel untergliedert, wird von einem Fundkatalog (Teil II) begleitet und in Tafeln (Teil III) illustriert.

Das erste und zentrale Kapitel (1) ist den Befunden und Funden der archaischen Siedlung unter der Tetragonos Agora gewidmet.

Im Anschluss an eine topografische Standortbestimmung und einen forschungsgeschichtlichen Überblick zu dem Fundplatz werden die stratigrafischen Grabungsbefunde archaischer Zeit, welche auf die Forschungen des Österreichischen Archäologischen Instituts der 1980er und 1990er Jahre zurückgehen, in Form eines kommentierten Befundkatalogs vorgestellt, der nach Bauphasen gegliedert ist und in diesem Zusammenhang alle Gebäude und Strukturen einzeln beschreibt. Diesem Befundkatalog sind ein erster zusammenfassender Überblick über die Periodisierung der Bauphasen und ihrer Subphasen sowie eine tabellarische Aufschlüsselung der Stratigrafie, wie sie aus der vorhandenen Grabungsdokumentation hervorgeht, angefügt. Die Planaufnahmen im Tafelteil illustrieren den Abschnitt A in Kapitel 1.

Kapitel 1 Abschnitt B widmet sich der Präsentation der Fundkeramik aus den archaischen Siedlungshorizonten. An eine kurze forschungsgeschichtliche Heranführung an das Thema und die Beschreibung der methodischen Parameter, nach denen die Materialbearbeitung und Materialanalyse erfolgte, schließt die ausführliche und zunächst vorwiegend materialimmanente Diskussion der Siedlungskeramik auf typologischer Grundlage an. Diese dient der umfassenden Darstellung der form- und dekortypologischen, fabrikatstypologischen und chronologischen Bandbreite des Gefäßbestands, der ein repräsentatives Bild der Zusammensetzung archaischer Siedlungskeramik in Ephesos wiedergibt. Ein detaillierter und nach Kontexten geordneter Katalog begleitet die Materialstudie und wird im Tafelteil zeichnerisch und teilweise fotografisch illustriert.

Die wenigen aus der archaischen Siedlung geborgenen Kleinfunde aus Bronze, Eisen und Elfenbein werden in Kapitel 1.C vorgestellt. Sie vervollständigen das durch die Baubefunde und die Keramik für die archaische Siedlung unter der Tetragonos Agora entstandene Bild und stellen die dritte, wenn auch aufgrund ihrer geringen Quantität wenig aussagekräftige Fundgattung dar, welche für die archäologische Interpretation der Agora-Siedlung zur Verfügung steht.

Nach erfolgter Präsentation der gesamten Fundevidenz wird in Kapitel 1 Abschnitt D in einem zweiten Schritt die typhochronologische Aufschlüsselung des Keramikspektrums um seine kontextuelle Analyse erweitert. Diese zielt einerseits auf die absolutchronologische Einordnung der stratigrafisch erfassten Baustrukturen in den diachronen Bauphasen ab; die einzelnen Kontexte werden in diesem Zusammenhang noch einmal ausführlich in der Zusammenschau aus Befunden und Funden diskutiert. Dabei gelingt es, die baustratigrafisch erfassten Siedlungsphasen und -subphasen mit aus der Datierung der repräsentativen Keramikensembles gewonnenen Rahmen-

daten zu hinterlegen und die archaische Siedlung unter der Tetragonos Agora im historischen Gesamtbild von Ephesos zu verorten.

Die Agora-Siedlung verzeichnete demnach eine Lebensdauer von etwa 150 Jahren und erfuhr in dieser Zeitspanne eine gewaltsame Brandzerstörung im mittleren 7. Jahrhundert, eine nach dem unmittelbaren Wiederaufbau planmäßige Aufgabe und Neuanlage an der Wende zum 6. Jahrhundert und schließlich die endgültige Aufgabe als Siedlungsareal im mittleren 6. Jahrhundert. Diese markanten und die gesamte ergrabene Fläche betreffenden Ereignisse (erste Steinarchitektur, Zerstörungsbrand, Wiederaufbau, Aufgabe und Niveauerhöhung, Wiederaufbau, Aufgabe) definieren die Bauphasen AG Phase I bis AG Phase IV. Kleinräumigere Phänomene wie Umbauten an bestehenden Gebäuden und punktuell fassbare neue Strukturen unterstreichen die Binnengliederung besonders der AG Phase II und der AG Phase III in je zwei Subphasen (a+b), die auch in der typochronologischen Entwicklung der Gefäßbestände innerhalb einer Phase von ihren Baubefunden bis zu ihren Zerstörungsbefunden erkennbar sind.

Ein zweiter thematischer Schwerpunkt der kontextuellen Analyse gilt einer ersten Annäherung an funktionale Fragestellungen, die sich ausgehend vom heterogenen Baubefund in den einzelnen Siedlungsphasen an das Material stellen. Für Gebäude, die sich innerhalb einer Siedlungsphase von den umgebenden Strukturen aufgrund ihrer Grundrisstypologie (Ovalbau OB, zweiräumiger Bau MB), ihrer Bautypologie (Kalkmergelbau KMB) oder ihrer Ausstattung (zweiräumiger Bau MB, ziegelgedeckter Raum HA 6) unterscheiden, wird eine vergleichende Gegenüberstellung ihres Gefäßbestands mit jenem der jeweils synchronen Kontexte vorgenommen. Die Analyse zielt darauf ab, eventuelle, auch im Gefäßrepertoire sichtbare Besonderheiten aufzuzeigen und in ihren möglichen funktionalen Implikationen, innerhalb der durch die Publikationslage zu ionischen Siedlungen archaischer Zeit begrenzten Möglichkeiten, zu diskutieren.

Die Studie am keramischen Fundmaterial aus der archaischen Siedlung unter der Tetragonos Agora schließt in Kapitel 1.E mit dem Entwurf einer vom frühen 7. bis in das mittlere 6. Jahrhundert reichenden Typochronologie ab. Diese zeichnet die grundsätzlichen Entwicklungen im archaischen Gefäßrepertoire nach und wird zukünftig die chronologische Einordnung des in diesem Zeithorizont in Ephesos vertretenen Waren- und Formenspektrums auch jenseits kontextuell abgesicherter Horizonte ermöglichen. Im Tafelteil sind dieser Analyse chronologische Typentafeln beigelegt, welche die wichtigsten Entwicklungstendenzen nach Siedlungsphasen aufgeschlüsselt nachvollziehen lassen.

In Kapitel 2 wird das geometrische und archaische Fundmaterial von zwei weiteren ephesischen Fundplätzen, dem Theater von Ephesos und dem Nordwestabhang des Panayırdağ und seiner Ausläufer, vorgestellt. Die Theatergrabungen wurden von der Österreichischen Akademie der Wissenschaften durchgeführt und sind mittlerweile in der Reihe der »Forschungen in Ephesos« publiziert. Diese Ergebnisse erfahren in Kapitel 2.A mit der Thematisierung des vorklassischen Fundspektrums eine Ergänzung. Die Grabungen am Nordwestabhang des Panayırdağ, deren Fundmaterial in Kapitel 2.B vorgestellt wird, erfolgten hingegen bereits in den 1920er Jahren durch das Österreichische Archäologische Institut.

Anders als aus der archaischen Siedlung unter der Tetragonos Agora liegen für keines dieser beiden Keramikensembles indikative Befunde der geometrischen und archaischen Zeit vor, weshalb sich die Analyse allein auf das Fundmaterial selbst stützen kann. In der Gegenüberstellung mit der kontextuell erfassten Gefäßkeramik aus der Agora-Siedlung gelingt es jedoch, die chronologische und funktionale Interpretation auch der Fundkeramik aus den Theatergrabungen und aus den Grabungen an den nordwestlichen Ausläufern des Panayırdağ zu schärfen und chronologische Horizonte spätgeometrischer und spätarchaischer Zeit besser zu erfassen, welche von der Agora-Siedlung nicht oder nicht in dieser Deutlichkeit abgedeckt werden. Darüber hinaus erschließt sich in der auch jenseits der chronologischen Dimension sehr heterogenen Gefäßkeramik ein unmittelbarer archäologischer Beleg für komplexe Phänomene, welche ein nach Fundplätzen differenziertes Bild des archaischen Ephesos zeichnen. Zu den prägnantesten Indikatoren dieses differenzierten Spektrums zählen etwa die nur am Nordwestabhang des

Panayırdağ auffallend prominent vertretenen Gefäße lydischen Typs, die von M. Kerschner in einer ausführlichen Diskussion vorgelegt werden. Insgesamt steuert die Keramikstudie mit ihren ein heterogenes Bild entwerfenden Ergebnissen wichtige archäologische Indizien zur Beurteilung von Ephesos in der geometrischen und archaischen Epoche bei.

Das Material aller drei thematisierten Fundplätze wird in Kapitel 3 schließlich in eine abschließende vergleichende Analyse einbezogen, welche die Annäherung an eine kulturhistorische Einordnung von Ephesos innerhalb des archaischen Ioniens und des Ägäisraumes zum Ziel hat. Dies geschieht in Abhängigkeit von der aktuellen Publikationslage zu keramikführenden Kontexten. Im Abschnitt A werden zunächst chronologische und typologische Gemeinsamkeiten und Unterschiede im Gefäßspektrum benachbarter ionischer Zentren (Milet/Assesos, Samos, Smyrna, Klazomenai, Chios) anhand zur Agora-Siedlung synchron datierender Kontexte herausgearbeitet. Dabei wird aufgrund der Tatsache, dass es sich bei einigen der Vergleichsbefunde um solche aus Heiligtümern handelt, das Hauptaugenmerk nicht nur auf die chronologische und regionaltypische Komponente gelegt, sondern auch die funktionale Dimension der verglichenen Kontexte thematisiert.

In Kapitel 3.B wird das ephesische Keramikbild, wie es sich generell aus allen drei im Rahmen der Arbeit relevanten Fundplätzen erschließen lässt, dem keramischen Inventar einer Auswahl ionischer Niederlassungen im Schwarzmeerraum und von Naukratis gegenübergestellt, um auch den erweiterten ionischen Kulturraum als wichtigen Vergleichshorizont in die Überlegungen einzubeziehen.

Im Rahmen dieser teils chronologisch spezifizierten, teils allgemein die archaische Zeit berücksichtigenden und über Kernionien hinausreichenden vergleichenden Studie gelingt es, die nach Waren, Gattungen und Gefäßformen differenzierte Anbindung des archaischen Ephesos an unterschiedliche Produktionsregionen und -zentren aufzuzeigen und erstmals auch die im Material immanenten lokalen Besonderheiten zu benennen, die Ephesos innerhalb der gesamtionischen Koinè auszeichnen. Die Definition der ephesischen Keramikproduktion archaischer Zeit auf der Basis einer repräsentativen archäologischen Grundlage zählt in diesem Zusammenhang zu den wichtigsten Ergebnissen der vorliegenden Materialstudie und schafft erstmals die Voraussetzung, ephesisches Material zukünftig auch außerhalb von Ephesos als solches identifizieren zu können.

Den Abschluss der Studie bilden mit Kapitel 4 die Ergebnisse zu den archäometrischen Analysen. Im Zusammenhang konkreter Fragestellungen wurden von L. Betina petrografische Dünnschliffanalysen an einer Auswahl von Gefäßfragmenten, die sich auch aus dem Katalog erschließt, vorgenommen. Die geochemische Röntgenfluoreszenzanalyse, die am Fitch Laboratory, British School at Athens, durchgeführt werden konnte, diente zur weiteren Absicherung und Spezifizierung der petrografischen Untersuchungsergebnisse. Die Ergebnisse der archäometrischen Analyse, welche auch bereits in die archäologische Materialstudie (Kap. 1 und Kap. 2) einfließen, haben einen entscheidenden Anteil an der Interpretation des Materials und tragen zum besseren Verständnis des ephesischen Importverhaltens bei. Ein ausschlaggebendes Resultat ist die petrografische Definition der lokalen Keramik archaischer Zeit und ihre Einbindung im diachronen Rahmen der ephesischen Gefäßproduktion, wie er sich in der Verwendung bestimmter Tonrohstoffe widerspiegelt.

5.B SUMMARY

The present work is concerned with the evidence and finds from the Archaic settlement underneath the Tetragnonos Agora in Ephesos, and furthermore deals with the Late Geometric and Archaic pottery from the northern and western slopes of the Panayırdağ. In addition to the comprehensive presentation of the only settlement area of Archaic date known so far in Ephesos, the typological and chronological analyses of the pottery evidence from all three find sites, as well as its contextual and cultural-historical interpretation, represent a central core of the work.

The study, which is divided into four main chapters, is accompanied by a catalogue of finds and is illustrated with plates.

The first and central Chapter 1 is dedicated to the evidence and finds from the Archaic settlement underneath the Tetragonos Agora.

Following a topographical siting and an overview of the find site from the point of the history of research, the stratigraphically excavated finds from the Archaic period, resulting from research by the Austrian Archaeological Institute in the 1980s and 1990s, are presented in the form of a catalogue of finds, with commentary. This is organised according to building phases, and within it, all buildings and structures are individually described. Attached to this catalogue of finds are a first, summarizing overview of the periodisation of the building phases and their sub-phases, as well as a breakdown in table form of the stratigraphy resulting from the existing excavation documentation. The tables of plans in the section of plates illustrate the first Section A in Chapter 1.

Chapter 1 Section B focuses on the presentation of the pottery finds from the Archaic settlement horizons. Following a brief introduction to the theme and the description of the methodological parameters according to which the processing and analysis of the material was carried out, comes an extensive discussion, initially predominantly intrinsic to the material, of the settlement pottery from a typological basis. This serves the extensive representation of the spectrum of the inventory of vessels and its decorative typology, typology of fabrics, and chronology, a spectrum which presents a representative picture of the composition of ceramics from the Archaic settlement at Ephesos. A detailed catalogue, organised according to context, accompanies the material studies and is illustrated in the section of plates both by drawings and in part by photographs.

The few examples of small finds of bronze, iron and ivory excavated from the Archaic settlement are presented in their own section, Chapter 1 C. These finds round out the picture which arises from the building evidence and the pottery for the Archaic settlement under the Tetragonos Agora, and represent the third category of finds, albeit a less informative category due to the smaller quantity, which is available for the archaeological interpretation of the Agora settlement.

After the presentation of the entire evidence of finds, in Chapter 1 Section D in a second step the typo-chronological itemisation of the ceramic spectrum is supplemented around its contextual analysis. This has as its goal on the one hand the absolute chronological classification of the stratigraphically captured architectural structures in their diachronic building phases; the individual contexts are discussed in this connection extensively again in the synopsis of evidence and finds. It was thereby possible to record the settlement phases and sub-phases documented by building stratigraphy with the contextual data obtained from the dating of the representative ceramic ensembles, and to define the Archaic settlement under the Tetragonos Agora within the historical overall picture of Ephesos.

According to this evidence, the Agora settlement recorded a lifespan of approximately 150 years, during which time span it experienced a violent destruction by fire in the mid-7th century, a methodical abandonment after an immediate reconstruction, with a new construction at the turn of the 6th century, and finally the ultimate discontinuation as a settlement area in the mid-6th century.

These marked events which affected the entire excavated surfaces (first stone architecture, destruction by fire, rebuilding, abandonment and raising of levels, rebuilding, abandonment) are defined by building phases I up to AG Phase IV. Smaller-scale phenomena such as alterations to existing buildings and selectively recorded new structures underscore the internal division, particularly for the AG Phase II and the AG Phase III, each into two sub-phases (a+b), which are also identifiable in the typo-chronological development of the inventory of vessels within each phase, from their building evidence up until their destruction evidence.

A second thematic concentration of the contextual analysis is aimed at a first approach to functional sets of questions, which are posed starting from the heterogeneous building evidence in the individual settlement phases. For buildings which, within a settlement phase, are differentiated

from their surrounding structures due to the typology of their ground plan (oval building OB, two-roomed building MB), their construction typology (lime-marl building KMB) or their features (two-roomed building MB, tile-roofed room HA 6), a comparative contrast of the inventory of their vessels with that of each synchronic context will be carried out. Thereupon, the analysis aims to demonstrate potential idiosyncrasies, also those observable in the repertoire of vessels, and to discuss these in their probable functional implications – in the framework of the limited possibilities due to the situation regarding publication of Ionic settlements in the Archaic period.

The study of the ceramic finds from the Archaic settlement beneath the Tetragonos Agora concludes in Chapter 1.E with the outline of a typo-chronology extending from the early 7th century up until the mid-6th century. This illustrates the fundamental developments in the Archaic vessel repertoire and will enable in future the chronological classification of the spectrum of wares and forms represented in this time horizon in Ephesos, also beyond the contextually secured horizons. In the section of plates, chronological tables of types are appended to this analysis, which allow the most important development tendencies, broken down according to settlement phases, to be comprehended.

In Chapter 2 the Geometric and Archaic find material from two further Ephesian find sites, the Theatre of Ephesos and the north-west slope of the Panayırdağ and its foothills, will be presented. The excavations at the Theatre were carried out by the Austrian Academy of Sciences and the results – equally published in the series »Forschungen in Ephesos« – are supplemented here in Chapter 2.A with the thematisation of the pre-Classical spectrum of finds. The excavations on the north-west slope of the Panayırdağ, the find material from which is presented in Chapter 2.B, were in contrast already carried out in the 1920s by the Austrian Archaeological Institute.

In contrast to the material from the Archaic settlement under the Tetragonos Agora, neither of these two pottery ensembles contains indicative evidence of the Geometric and Archaic period, so that the analysis must be based on the find material itself alone. In the juxtaposition with the contextually recorded pottery vessels from the Agora settlement it was nonetheless possible to sharpen the chronological and functional interpretation of the pottery finds from the Theatre excavations and from the excavations on the north-west slopes of the Panayırdağ, and to more precisely record the chronological horizons of the Late Geometric and Late Archaic periods which were not covered, or at least not in this clarity, in the Agora settlement. Furthermore, direct archaeological evidence is revealed in the pottery vessels which are extremely heterogeneous also beyond the chronological dimension, creating a picture of Archaic Ephesos which is differentiated according to find sites. Amongst the most incisive indicators of this differentiated spectrum are, for example, the vessels of Lydian type which are only conspicuously prominent on the north-west slope of the Panayırdağ; these are presented by M. Kerschner in an extensive discussion. In general, the ceramic studies, with their results which chart a heterogeneous picture, contribute important archaeological evidence for the evaluation of Ephesos in the Geometric and Archaic epochs.

The material from each of the three thematised find sites is incorporated into a concluding comparative analysis in Chapter 3; its goal is an approach towards a cultural-historical classification of Ephesos within Archaic Ionia and the Aegean region. This takes place with reliance on the actual publication situation for ceramic-prominent contexts. At first, in section A in Chapter 3, chronological and typological commonalities and differences in the spectrum of vessels from neighbouring Ionian centres (Miletos/Assos, Samos, Smyrna, Clazomenai, Chios) will be worked out with the aid of contexts which are synchronous in date with the Agora settlement. Due to the fact that a number of the comparative finds derive from sanctuaries, the main focus will be not only on chronological and regional-typical components, but also on the functional dimension of the comparative contexts.

In Chapter 3.B, the Ephesian ceramic picture, as far as it can be generally understood from all three find sites which were relevant in the framework of the study, will be contrasted with the

ceramic inventory of a selection of Ionian settlements in the Black Sea area and from Naucratis, in order to also incorporate the extended Ionian cultural region, as a significant comparative horizon, into the considerations.

This study is partly chronologically specific, and in part considers the Archaic period in general and extends beyond the core of Ionia. It has been able to demonstrate the connection, differentiated by wares, types, and vessel forms, of Archaic Ephesos to a variety of regions and centres of production. Furthermore, it has also been able for the first time to identify the local idiosyncrasies immanent in the material, which distinguish Ephesos within the overall Ionian *koiné*. The definition of the Ephesian ceramic production of the Archaic period on the basis of a representative archaeological foundation counts in this connection amongst the most important results of the present material study, and for the first time accomplishes the circumstances whereby in the future it will be possible to identify Ephesian material, also that from beyond Ephesos, as such.

The results of the archaeometric analyses constitute the conclusion of the study in Chapter 4. In connection with concrete sets of questions, petrographic thin section analyses were made by L. Betina on a selection of vessel fragments which also are accessible from the catalogue. The geochemical X-ray fluorescence analyses, carried out at the Fitch Laboratory, British School at Athens, served the further securing and specification of the results of the petrographic investigations. The results of the archaeometric analyses, which were already incorporated into the studies of the archaeological material (Chap. 1 and Chap. 2), have a decisive role in the interpretation of the material and contribute to a better understanding of the Ephesian pattern of importing. A crucial result is the petrographic definition of the local ceramic of the Archaic period and its connection, also in the diachronic context, to the Ephesian production of vessels, as it is reflected in the employment of specific clay raw materials.

Translation: Sarah Cormack

5.C ÖZET

Burada sunulan çalışma Efes'te bulunan Tetragonos Agora'sının altında yer alan Arkaik yerleşimden çıkan yapısal buluntuları ve taşınabilir buluntuları ele almaktadır. Ayrıca Panayırdığı'nın kuzey ve batı yamaçlarından gelen Geç Geometrik Dönem ve Arkaik Dönem seramiklerini de konu edilmişlerdir. Efes'te şimdiye kadar bilinen Arkaik Dönem ait tek yerleşim alanının kapsamlı bir sunumunun yanı sıra her üç buluntu yerinden gelen seramik buluntuların tipolojik ve kronolojik olarak analizi ve bunların bağlamsal ve sanat tarihi açısından yorumlanması bu çalışmanın ana çekirdeğini oluşturur. Dört ana başlık altında toplanan incelemeye bir buluntu kataloğu eşlik etmektedir ve ayrıca inceleme levhalarında resimlendirilmiştir.

İlk ve en önemli bölüm olan Bölüm 1 Tetragonos Agora'nın altındaki Arkaik yerleşime ithaf edilmiştir.

Buluntu yeri ile ilgili topografik bir yer belirlemesi ve araştırma tarihine genel bir bakışın ardından Avusturya Arkeoloji Enstitüsü tarafından 1980'ler ve 1990'larda yapılan araştırmalarda ortaya çıkarılan Arkaik Döneme ait statikrafik yapısal kazı buluntuları, yorumlanmış bir yapısal buluntu kataloğu şeklinde sunulmuştur. Katalog yapım evrelerine göre düzenlenmiş ve yapım evreleri içerisinde bütün binalar ve yapılanmalar tek tasvir edilmiştir. Bu buluntun kataloğunda ilk defa yapım evrelerinin ve onların alt evrelerinin dönemlendirilmelerine özetleyen bir genel bakış ve mevcut kazı dokümantasyondan ortaya çıkan stratikrafinin tablo halinde bir dağılımı verilmiştir. Levha kısmındaki plan levhaları Bölüm 1'deki A kısmını açıklamaktadır.

Bölüm 1'in B kısmında Arkaik Dönem yerleşim katmalarından gelen seramik buluntulara verilmiştir. Konuya araştırma tarihi açısından yapılan kısa bir giriş ve malzemelerin çalışılmasında ve analizinde kullanılan yöntemsel parametrelerin anlatımının ardından tipolojik temellere

dayanarak yerleşim seramiklerine dair ayrıntılı ve ilk başta daha çok malzeme ile ilgili bir tartışma gelir. Bu tartışma, mevcut kapların şekil, süsleme, fabrikasyon tipolojisi bakımından ve kronolojik yelpazesinin kapsamlı bir şekilde sunulmasını sağlar. Bu, Efes'teki Arkaik Dönem yerleşim seramiklerinin bileşimini temsil eden bir tablo sunar. Kontekslere göre düzenlenmiş ayrıntılı bir katalog malzeme incelemesine eşlik eder. Katalog levha kısmında çizimlerle ve kısmen fotoğraflarla illüstre edilmiştir.

Arkaik Dönem yerleşiminden ele geçirilen az sayıdaki bronz, demir ve fildişinden yapılmış küçük buluntular, onlara özel bir kısım olan Bölüm 1.C'de sunulmuşlardır. Bu eserler, Tetragonos Agora'nın altında bulunan Arkaik Dönem yerleşimine ait, seramikler ve yapısal buluntular ile oluşmuş tabloyu tamamlamaktadırlar ve Agora-Yerleşiminin arkeolojik açıdan yorumlanmasında, kalitelerinin kötü olması nedeniyle çok bilgi verici olmasalar da, üçüncü ayağı oluştururlar.

Ele geçen bütün bulguların sunulmasından sonra Bölüm 1'in D kısmından ikinci bir adımda seramik çeşitliliğinin tipolojik-kronolojik dökümü, seramiklerin bağlamsal analizleriyle tamamlanır. Bu bir taraftan zaman içinde gelişen ve birbirini izleyen yapım evrelerinin stratigrafik olarak kayda geçirilmiş mimari yapılanmalarının kesin tarihlere dayanan kronolojik düzenlemesini amaçlamaktadır. Ayrı ayrı kontekslere bu bağlamda yapısal buluntulara ve küçük buluntulara bir arada bakıldığında tekrar ayrıntılı biçimde tartışılacaklardır. Burada yapısal-stratigrafisi kayda geçirilmiş yerleşim evrelerinin ve alt evrelerini, tipik seramik gruplarının tarihlendirmesinden elde edilen veri çerçevesine oturtulabilmiş ve Tetragonos Agora'sının altındaki Arkaik Yerleşimi Efes'in toplu tarihsel resmi içinde bir yere koyulabilmiştir. Buna göre Agora-Yerleşimi yaklaşık 150 yıllık bir ömrü olmuştur ve bu zaman zarfında 7. Yüzyılın ortasında şiddetli bir yangın tahribi, hemen ardından gerçekleşen yeniden ayağa kaldırmadan sonra gerçekleşen planlı bir terkedilme ve 7. Yüzyılın sonu 6. Yüzyılın başında yeniden yerleşim ve sonunda yerleşim alanının 6. Yüzyılın ortasında kesin olarak terkedilmesi görülür. Bu göze çarpan ve kazılan bütün alanda söz konusu olan olaylar (ilk taş mimari, yangın yıkıntısı, tekrar ayağa kaldırma, terketme ve seviye yükseltme, tekrar ayağa kaldırma ve terketme) AG Evre I'den AG Evre IV'e kadar olan yapım evrelerini belirlemektedir. Varolan yapılarıdaki tadilatlar ve noktasal olarak tespit edilen yeni yapılanmalar gibi küçük ölçekli fenomenler, özellikle her biri iki alt evreye ayrılan (a+b) AG Evre II ve AG Evre III'ün içlerindeki bölümlerin altını çizer. Bu alt evrelerde, bir evre içindeki mevcut kapların türsel-kronolojik gelişiminde de yapısal buluntularından yıkıntı buluntularına kadar giden süreç anlaşılabilir. Varolan yapılarıdaki tadilatlar ve noktasal olarak tespit edilen yeni yapılanmalar gibi küçük ölçekli fenomenler, özellikle her biri iki alt evreye ayrılan (a+b) AG Evre II ve AG Evre III'ün içlerindeki bölümlerin altını çizer. Bu alt evrelerde, bir evre içindeki mevcut kapların türsel-kronolojik gelişiminde de yapısal buluntularından yıkıntı buluntularına kadar giden süreç anlaşılabilir.

Konteks ile ilgili analizin konu bakımından ikinci ağırlık noktasında, ayrı ayrı yerleşim evrelerindeki heterojen yapısal buluntularından yola çıkılarak malzemeye yöneltilen işlevsel sorulara ilk bir yaklaşım yer alır. Bir yerleşim evresi içerisinde plan tipolojisi (oval yapı OB, iki odalı yapı MB), inşaat tipolojisi (kireç taşı yapı) ya da donanımı (iki odalı yapı MB, kiremitle örtülü yapı) nedeniyle onu çevreleyen yapılardan farkı olan binaların, kap envanterinin aynı zamandan olan kontekslere karşı karşıya konulup bir mukayesesi yapılmıştır. Analiz, olası ve kap repertuarında da gözlemlenebilecek özellikleri ortaya koymayı ve bunların olası işlevsel etkilerini (yayın durumu nedeniyle Arkaik Dönem İyon yerleşimleri ile sınırlı kalan olanaklar kapsamında) tartışmayı amaçlamaktadır.

Tetragonos Agorası altındaki Arkaik Yerleşimin seramik buluntu malzemesinin incelenmesi Bölüm 1.E'de erken 7. Yüzyıldan 6. Yüzyılın ortasına uzanan bir tipolojik kronoloji taslağı ile biter. Bu tipolojik kronoloji temel olarak Arkaik Dönem kap repertuarını ile paralel bir gelişme gösterir ve gelecekte bu dönem ekseninde Efes'te bulunan malzeme ve form çeşitlerinin kronolojik düzenlemesine, sağlam kontekslere olmasa bile, olanak sağlayacaktır. Levha kısmında bu analizlere yerleşim evrelerine göre en önemli gelişim eğilimlerinin detaylı bir şekilde anlaşılması sağlayan kronolojik tip levhaları eklenmiştir.

Bölüm 2'de Efes Tiyatrosu, Panayırdağ'ın kuzeybatı yamacı ve eteklerinin oluşturduğu Efes'teki diğer iki buluntu yerinin Geometrik ve Arkaik Dönem buluntu malzemesi tanıtılmıştır. Tiyatro kazıları Avusturya Arkeoloji Enstitüsü tarafından yapılmıştır ve kazının yine »For-

schungen in Ephesos» adlı yayının dizisinde yayınlanmış olan sonuçları burada Bölüm 2A'da Klassik Dönem öncesi buluntu spektrumunun konu edilmesiyle tamamlanmış olur. Buluntuları Bölüm 2B'de sunulan Panayırdağı'nın kuzeybatı yamacındaki kazılar ise daha 1920'li yıllarda Avusturya Arkeoloji Enstitüsü tarafından yapılmıştır.

Tetragonos Agora'nın altındaki Arkaik yerleşimden farklı olarak bu iki seramik grubu ile ilgili Geometrik ve Arkaik Döneme ait belirleyici yapısal buluntular bulunmaz. Bu nedenle analizler yalnızca buluntu malzemesinin kendine dayanmak zorundadır. Ancak Agora-Yerleşimi'nin bir konteks içerisinde bulunmuş kap seramikleri ile karşılaştırıldığında, tiyatro kazılarından ve Panayırdağı'nın kuzeybatı eteklerindeki kazılardan gelen seramik buluntularının kronolojik ve işlevsel olarak yorumlanması ve Agora-Yerleşiminde hiç ya da bu derece açık bir şekilde ortaya konamamış Geç Geometrik ve Geç Arkaik Dönem kronolojik tabakalarını daha iyi kavranabilmesi mümkün olmuştur. Ayrıca kronolojik boyutun ötesinde de oldukça heterojen olan kap seramiklerinden Arkaik Dönem Efes'ine ait buluntu yerlerine göre farklılık gösteren bir tablo ortaya koyan karmaşık fenomenler için doğrudan arkeolojik bir kanıt elde edilir. Bu farklılık gösteren çeşitliliğin en kesin göstergeleri arasında, sadece Panayırdağı'nın kuzeybatı yamacında dikkat çekecek derecede fazla sayıda görülen M. Kerscher tarafından ayrıntılı bir tartışma ile sunulmuş olan Lydia tipi kaplar yer alır. Genel olarak heterojen bir tablo resmeden sonuçları ile seramik incelemesi, Geometrik ve Arkaik Çağlarındaki Efes'i değerlendirmekte önemli arkeolojik bulgular sunar.

Son olarak söz konusu her üç buluntu yerinin malzemeleri Bölüm 3'de Efes'in kültür tarihi bakımından Arkaik İonia ve Ege bölgesi içindeki yerini belirleme denemesine yönelik karşılaştırmalı nihai bir analize tabi tutulurlar. Bu, seramiği olan kontekslerin aktüel yayınlanmışlık durumuna bağlı olarak gerçekleşmiştir. Bölüm 3'ün 1. kısmında ilk olarak kap çeşitliliğinde komşu İon merkezleri (Milet/Assesos, Samos, Smyrna, Klazomenai, Chios) ile olan kronolojik ve tipolojik benzerlikler ve farklılıklar Agora-Yerleşimi ile aynı zamana tarihlenen konteksler yardımıyla ortaya konulmuştur. Burada bazı karşılaştırma örneklerinin kutsal alan buluntuları olması gerçeği nedeniyle ağırlık sadece kronolojik ve bölgeye özgü unsurlara verilmemiş, ayrıca karşılaştırılan kontekslerin işlevsel boyutları da ele alınmıştır.

Bölüm 3.B'de genel olarak çalışma için önemli her üç buluntu yerinden elde edilen Efes seramiklerine ait tablo Karadeniz'deki seçilmiş İon yerleşimlerinin ve Naukratis'in seramik envanterleri ile karşılaştırılmıştır. Bu karşılaştırmanın nedeni geniş İon kültür alanını da önemli bir karşılaştırma alanı olarak çalışmalara katmaktır. Bu kısmen kronolojik olarak ayrılan kısmen ise Arkaik Dönemi genel olarak dikkate alan ve merkez İonia'nın dışına taşan, karşılaştırmalı inceleme kapsamında Arkaik Dönem Efes'inin farklı üretim bölgelerine ve merkezlerine olan malzeme, tür ve kap formlarına göre ayrılan bağlantısını göstermek ve ilk defa malzeme içinde Efes'in bütün İon *koiné*'si içinde ayırt edici yerel özellikleri söyleyebilmek mümkün olmuştur. Arkaik Dönem Efes seramik üretiminin temsili bir arkeolojik temele dayanarak tanımlanması buradaki malzeme incelemesinin bu bağlamda en önemli sonuçlarından ve ilk defa Efes malzemesini gelecekte Efes dışında da bu şekilde tespit edebilmeyi sağlar.

İncelemenin sonunu arkeometrik analizlerin yer aldığı Bölüm 4 oluşturur. Analize yöneltilen somut sorular bağlamında L. Betina tarafından katalogta da belirtilmiş seçilen kap parçaları üzerinde petrografik ince kesit analizleri yapılmıştır. Atina'daki British School Fitch Laboratuvar'ında yapılan Jeokimyasal X-ışınları florışıl görüngen ölçümü analizi petrografik araştırma sonuçlarının daha da detaylandırılması ve sağlamalarının yapılması sağlamıştır. Arkeolojik malzeme incelemesine de dahil edilen (Bölüm 1 ve Bölüm 2) arkeometrik analizlerin sonuçlarının malzemenin yorumlanmasında belirleyici bir payları vardır ve Efes'in ithalat bağlantıları anlaşılmasında katkı sağlamışlardır. Önemli bir sonuç ise Arkaik Dönem yerel seramiğinin petrografik tanımlanması ve onun, belirli kil ham maddelerinin kullanımının yansıttığı gibi Efes seramik kap üretiminin tarihsel gelişimi çerçevesine oturtulmasıdır.

6 VERZEICHNISSE

Abgekürzt zitierte Literatur

Die Literaturangaben (Zitierweise und Abkürzungen) richten sich nach den Vorgaben des Österreichischen Archäologischen Instituts, s. <<https://www.oeaw.ac.at/oeai/publikationen/fuer-autorinnen-und-autoren>>. Die Abkürzungen der antiken Autoren folgen DNP I (1996) XXXIX–XLVII.

- | | |
|-------------------------|--|
| Adamesteanu 1978 | D. Adamesteanu, Diskussionsbeitrag, in: CNRS 1978, 312–316. |
| Adiego 2001 | I. J. Adiego, Greek and Lydian, in: A. F. Christides (Hrsg.), <i>A History of Ancient Greek. From the Beginnings to Late Antiquity</i> (Cambridge 2001) 768–772. |
| Akartuna 1962 | M. Akartuna, On the Geology of Izmir-Torbali-Seferhisar-Urla District, <i>Bulletin of the Mineral Research and Exploration Institute of Turkey</i> 59, 1962, 1–18. |
| Akurgal 1950 | E. Akurgal, Bayraklı. Erster vorläufiger Bericht über die Ausgrabungen in Alt-Smyrna, <i>Ankara Üniversitesi Dil ve Tarih-Coğrafya Fakültesi Dergisi</i> 8/1, 1950, 52–97. |
| Akurgal 1961 | E. Akurgal, <i>Die Kunst Anatoliens von Homer bis Alexander</i> (Berlin 1961). |
| Akurgal 1983 | E. Akurgal, Alt-Smyrna 1. Wohnschichten und Athenatempel, <i>Türk Tarih Kurumu Yayınlarından, Dizi</i> 5, Sa. 40 (Ankara 1983). |
| Akurgal 2002 | M. Akurgal, Spätgeometrische und archaische ostgriechische Keramik aus Smyrna, Daskyleion, Erythrai, Klazomenai und Phokaia, in: Akurgal u. a. 2002, 109–113. |
| Akurgal u. a. 2002 | M. Akurgal – M. Kerschner – H. Mommsen – W.-D. Niemeier (Hrsg.), <i>Töpferzentren der Ostägäis. Archäometrische und archäologische Untersuchungen zur mykenischen, geometrischen und archaischen Keramik aus Fundorten in Westkleinasien</i> , <i>ErghÖJh</i> 3 (Wien 2002). |
| Akurgal 2007 | M. Akurgal, Hellenic Architecture in Smyrna 650–546 B.C., in: Cobet u. a. 2007, 125–136. |
| Albayrak – Özgüner 2013 | M. Albayrak – A. M. Özgüner, Geology and Diagenesis of a Zeolitic Foça Tuff Unit in a Miocene Phreatomagmatic Lacustrine Environment (Western Anatolia), <i>Turkish Journal of Earth Sciences</i> 22, 2013, 611–631. |
| Amicone u. a. 2014 | S. Amicone – N. Fenn – L. Heinze – G. Schneider, Cooking pottery in Priene. Imports and local/regional production from late Classical to late Hellenistic times, <i>Frankfurter elektronische Rundschau zur Altertumskunde</i> 25, 2014, 1–27. |
| Alexandrescu 1978 | P. Alexandrescu, La céramique d'époque archaïque et classique (VII–IV s.), <i>Histria</i> 4 (Bukarest 1978). |
| Alexandrescu 2005a | P. Alexandrescu (Hrsg.), La zone sacrée d'époque grecque (fouilles 1915–1989), <i>Histria</i> 7 (Bukarest 2005). |
| Alexandrescu 2005b | P. Alexandrescu, La céramique, in: Alexandrescu 2005a, 329–411. |
| Amyx 1988 | D. A. Amyx, Corinthian Vase Painting of the Archaic Period, <i>California Studies in the History of Art</i> 25 (Berkeley, CA 1988). |
| Amyx – Lawrence 1975 | D. A. Amyx – P. Lawrence, Archaic Corinthian Pottery and the Anaploga Well, <i>Corinth</i> 7, 2 (Princeton, NJ 1975). |
| Anderson 1954 | J. K. Anderson, Excavation on the Kofinà Ridge, Chios, <i>BSA</i> 49, 1954, 123–182. |
| Anderson 1958/1959 | J. K. Anderson, Old Smyrna: The Corinthian Pottery, <i>BSA</i> 53/54, 1958/1959, 138–151. |
| Antonaccio 2003 | C. M. Antonaccio, Hybridity and the Cultures within Greek Culture, in: C. Dougherty – L. Kurke (Hrsg.), <i>The Cultures within Ancient Greek Culture. Contact, Conflict, Collaboration</i> (Cambridge, MA 2003) 57–74. |
| Antonaccio 2013 | C. M. Antonaccio, Networking the Middle Ground? The Greek Diaspora, Tenth to Fifth Century BC, in: van Pelt 2013, 237–251. |
| Artzy 2004 | M. Artzy, The Underwater Project at Liman Tepe, Summer 2003, <i>R.I.M.S. News</i> 30, 2004, 17–21. |
| Asheri 1997 | D. Asheri, Identità greche, identità greca, in: S. Setti (Hrsg.), <i>I greci. Storia, cultura, società</i> II 2. Una storia greca. Definizione (Turin 1997) 5–26. |
| Ateşlier 2010 | S. Ateşlier, Lydian Architectural Terracottas, in: Cahill 2010a, 225–232. |

- Ault – Nevett 2005 B. A. Ault – L. C. Nevett (Hrsg.), *Ancient Greek Houses and Households. Chronological, Regional, and Social Diversity* (Philadelphia 2005).
- Aydemir 2005 A. Aydemir, *Kochgeschirr und Küchengeräte aus dem archaischen Milet*, AA 2005/2, 85–101.
- Aytaçlar 2004 N. Aytaçlar, *The Early Iron Age at Klazomenai*, in: Moustaka u. a. 2004, 17–41.
- Aytaçlar 2006 M. N. Aytaçlar, *South Ionian Orientalizing Style Squat Oinochoai*, ADerg 7, 2006, 49–67.
- Aytaçlar 2007 M. N. Aytaçlar, *Problems in Determining Pottery Production Centres through Clay Analysis*, ADerg 10, 2007, 55–67.
- Aytaçlar – Kozanlı 2012 M. N. Aytaçlar – C. Kozanlı, »Hellasponos Workshop« and the Parion Finds, Olba 20, 2012, 27–118.
- Baier 2013 C. Baier, *Attolitur monte Pione. Neue Untersuchungen im Stadtviertel oberhalb des Theaters von Ephesos*, ÖJh 82, 2013, 23–68.
- Bailey 1975 D. M. Bailey, *A Catalogue of the Lamps in the British Museum I. Greek, Hellenistic, and Early Roman Pottery Lamps* (London 1975).
- Bammer 1984 A. Bammer, *Das Heiligtum der Artemis von Ephesos*, Welt der Wunder (Graz 1984).
- Bammer 1988 A. Bammer, *Gold und Elfenbein von einer neuen Kultbasis in Ephesos*, ÖJh 58, 1988, 1–23.
- Barth 1969 F. Barth, *Introduction*, in: F. Barth (Hrsg.), *Ethnic Groups and Boundaries. The Social Organization of Culture Difference* (Bergen 1969) 9–37.
- Baughan 2010 E. Baughan, *Lydian Burial Customs*, in: Cahill 2010a, 273–304.
- Bayburtluoğlu 1978 C. Bayburtluoğlu, *Les céramiques chiotes d'Anatolie*, in: CNRS 1978, 27–30.
- Bayne 2000 N. Bayne, *The Grey Wares of North-West Anatolia in the Middle and the Late Bronze Age and the Early Iron Age and Their Relation to the Early Greek Settlements*, AMS 37 (Bonn 2000).
- Benda 1991 I. Benda, *Vorbericht über die geometrischen und archaischen Keramikfunde unter der Agora von Ephesos der Kampagnen 1985, 1986 und 1988*, BerMatÖAI 1 (Wien 1991) 19–41.
- Benton 1953 S. Benton, *Further Excavations at Aetos*, BSA 48, 1953, 255–361.
- Bengisu 2013 R. L. Bengisou, *Research in the Tmolus and the Cult of Karios in Lydia: The Survey at Kel Dağ and Ovacık, August 1995*, Anatolia 39, 2013, 165–197.
- Berges 2006 D. Berges, *Knidos. Beiträge zur Geschichte der archaischen Stadt* (Mainz 2006).
- Berti 2007 F. Berti, *La necropoli geometrica dell' Agora di Iasos*, in: Cobet u. a. 2007, 437–446.
- Besios u. a. 2012 M. Besios – G. Z. Tzifhopoulos – A. Kotsonas, *Μεθώνη Περίας Ι. Επιγραφές, χαράγματα και εμπορικά σύμβολα στη γεωμετρική και αρχαϊκή κεραμική από το »Υπόγειο« της Μεθώνης Περίας στη Μακεδονία* (Thessaloniki 2012).
- Bezczky 2013 T. Bezczky, *The Amphorae of Roman Ephesus*, FiE 15, 1 (Wien 2013).
- Bhabha 1994 H. K. Bhabha, *Location of Culture* (London 1994).
- Biering 2006 R. Biering (Hrsg.), *Maiandros. Festschrift Volkmar von Graeve* (München 2006).
- Bîrzescu 2005 I. Bîrzescu, *Die Handelsamphoren der »Lesbos rot«-Serie in Istros*, AM 120, 2005, 45–69.
- Bîrzescu 2009 I. Bîrzescu, *Funde aus Milet XXI. Drei Typen archaischer Reifenamphoren aus Milet*, AA 2009/1, 121–134.
- Bîrzescu 2012a I. Bîrzescu, *Die archaischen und frühklassischen Transportamphoren*, Histria 15 (Bukarest 2012).
- Bîrzescu 2012b I. Bîrzescu, *Die archaische Siedlung von Tariverde*, Dacia 56, 2012, 77–90.
- Blegen u. a. 1964 C. W. Blegen – H. Palmer – R. S. Young, *The North Cemetery, Corinth 13* (Princeton, NJ 1964).
- Blinkenberg 1926 C. Blinkenberg, *Fibules grecques et orientales*, Lindiaka 5 = Det Kgl. danske videnskabsbernes selskab. Historisk-filologiske meddelelser 13, 1 (Kopenhagen 1926).
- Blinkenberg 1931 C. Blinkenberg, *Lindos. Fouilles de l'acropole 1902–1914, 1. Les petits objets* (Berlin 1931).
- Boardman 1958/1959 J. Boardman, *Old Smyrna: The Attic Pottery*, BSA 33/34, 1958/1959, 152–181.
- Boardman 1961/1962 J. Boardman, *Ionian Bronze Belts*, Anatolia 6, 1961/1962, 179–189.
- Boardman 1967 J. Boardman, *Excavations in Chios 1952–1955*. Greek Emporio (Athen 1967).
- Boardman 1968 J. Boardman, *A Chian Phiale Mesomphalos from Marion*, RDAC, 1968, 12–15.
- Boardman 1980 J. Boardman, *The Greeks Overseas. Their Early Colonies and Trade* (London 1980).
- Boardman 1998a J. Boardman, *Early Greek Vase Painting. 11th–6th Centuries BC* (London 1998).
- Boardman 1998b J. Boardman, *Olbia and Berezan: The Early Pottery*, in: G. R. Tsetschladze (Hrsg.), *The Greek Colonisation of the Black Sea Area. Historical Interpretation of Archaeology*, Historia Einzelschriften 121 (Stuttgart 1998) 201–204.

- Boardman 2001 J. Boardman, *The History of Greek Vases: Potters, Painters and Pictures* (London 2001).
- Boardman 2002 J. Boardman, *Greeks and Syria: Pots and People*, in: G. R. Tsetskhladze – A. M. Snodgrass (Hrsg.), *Greek Settlements in the Eastern Mediterranean and the Black Sea*, BAR-IntSer 1062 (Oxford 2002) 1–16.
- Boardman – Hammond 1990 J. Boardman – N. G. L. Hammond (Hrsg.), *The Expansion of the Greek World, Eight to Sixth Centuries B.C.*, CAH III 3² (Cambridge 1982; Nachdruck Cambridge 1990).
- Boardman – Price 1980 J. Boardman – M. J. Price, *The Late Geometric Pottery*, in: M. R. Popham – L. H. Sackett – P. G. Themelis (Hrsg.), *Lefkandi 1. The Iron Age. The Settlement. The Cemeteries*, BSA Suppl. 11 (Oxford 1980) 57–80.
- Boardman – Schweizer 1973 J. Boardman – F. Schweizer, *Clay Analyses of Archaic Greek Pottery*, BSA 68, 1973, 267–283.
- Boehlau 1898 J. Boehlau, *Aus ionischen und italischen Nekropolen. Ausgrabungen und Untersuchungen zur Geschichte der nachmykenischen griechischen Kunst* (Leipzig 1898).
- Boehlau – Schefold 1942 J. Boehlau – K. Schefold (Hrsg.), *Larisa am Hermos. Die Ergebnisse der Ausgrabungen. 1902–1934, 3. Die Kleinfunde* (Berlin 1942).
- Boehmer 1972 R. M. Boehmer, *Die Kleinfunde von Boğazköy. Aus den Grabungskampagnen 1931–1939 und 1952–1969, Boğazköy-Hattuša 7 = WVDOG 87* (Berlin 1972).
- Boitani-Visentini 1978 F. Boitani-Visentini, *Le ceramiche decorate di importazione greco-orientale di Gravisca*, in: CNRS 1978, 216–222.
- Boldrini 1994 S. Boldrini, *Le ceramiche ioniche, Gravisca. Scavi nel santuario greco 4* (Bari 1994) 137–187.
- Boldrini 2000 S. Boldrini, *Coppe ioniche e altro: una produzione occidentale a Gravisca*, in: Cabrera Bonet – Santos Retolaza 2000, 101–110.
- Bourogiannis 2012 G. Bourogiannis, *Pondering the Cypro-Phoenician Conundrum. The Aegean View of a Bewildering Term*, in: M. Iacovou (Hrsg.), *Cyprus and the Aegean in the Early Iron Age. The Legacy of Nicholas Coldstream* (Nicosia 2012) 183–205.
- Brandt u. a. 2005 B. Brandt – V. Gassner – S. Ladstätter (Hrsg.), *Synergia. Festschrift Friedrich Krinzinger, I* (Wien 2005).
- Brein 1978a F. Brein, *Die Kleinfunde im Altarbereich*, in: S. Şahin – E. Schwertheim – J. Wagner (Hrsg.), *Studien zur Religion und Kultur Kleinasiens. Festschrift Friedrich Karl Dörner I*, EPRO 66, 1 (Leiden 1978) 116–132.
- Brein 1978b F. Brein, *Geometrisch dekorierte Keramik aus Ephesos*, in: E. Akurgal (Hrsg.), *The Proceedings of the Xth International Congress of Classical Archaeology, Ankara-Izmir, 23.–30.9.1973, II* (Ankara 1978) 721–728.
- Brock 1957 J. K. Brock, *Fortetsa. Early Greek Tombs Near Knossos*, BSA Suppl. 2 (Cambridge 1957).
- Brommer 1979 F. Brommer, *Ein ostgriechischer Skyphos*, in: A. Cambitoglou (Hrsg.), *Studies in Honour of Arthur Dale Trendall* (Sydney 1979) 39–45.
- Brückner 1997 H. Brückner, *Geoarchäologische Forschungen in der Westtürkei – das Beispiel Ephesos*, in: T. Breuer (Hrsg.), *Geographische Forschungen im Mittelmeerraum und in der Neuen Welt. Festschrift Klaus Rother, Passauer Schriften zur Geographie 15*, 1997, 39–51.
- Bruns-Özgan u. a. 2011 C. Bruns-Özgan – V. Gassner – U. Muss, *Kolophon. Neue Untersuchungen zur Topographie der Stadt, Anatolia Antiqua 19*, 2011, 199–239.
- Buchner – Ridgway 1993 G. Buchner – D. Ridgway, *Pithekoussai 1. La Necropoli: Tombe 1–723 scavate dal 1952 al 1961, MonAnt 55 = MonAnt Serie monografica 4* (Rom 1993).
- Bujskich 2001 A. Bujskich, *Rez. zu G. R. Tsetskhladze* (Hrsg.), *The Greek Colonisation of the Black Sea* (Stuttgart 1998), *EurAnt 7*, 2001, 623–629.
- Bujskich 2007 A. Bujskich, *The Earliest East Greek Pottery from Olbia Pontica*, in: Cobet u. a. 2007, 499–510.
- Bumke 2013 H. Bumke, *Der archaische Heiligtumsbefund vom Taxiarchis-Hügel in Didyma und sein Zeugniswert für die Rekonstruktion ritueller Mahlzeiten*, in: I. Gerlach – D. Raue (Hrsg.), *Sanktuar und Ritual. Heilige Plätze im archäologischen Befund* (Leiden 2013) 335–342.
- Butler 1914 H. C. Butler, *Fifth Preliminary Report on the American Excavations at Sardes in Asia Minor*, *AJA 18*, 1914, 425–437.
- Butler 1922 H. C. Butler, *The Excavations 1. 1910–1914, Sardis I* (Leiden 1922).
- Buxton 2002 A. H. Buxton, *Lydian Royal Dedications in Greek Sanctuaries* (Diss. University of California Berkeley 2002).
- Büyükkolancı 2007 M. Büyükkolancı, *Apaşa, das alte Ephesos und Ayasoluk*, in: Cobet u. a. 2007, 21–26.

- Cabrera Bonet – Santos Retolaza 2000 P. Cabrera Bonet – M. Santos Retolaza (Hrsg.), *Ceràmiques jònies d'època arcaica: centres de producció i comercialització al Mediterrani Occidental*. Actes de la tabula rodona celebrada a Empúries, els dies 26 al 28 de maig de 1999, Monografies Emporitanes 11 (Barcelona 2000).
- Cahill 2005 N. D. Cahill, Household Industry in Greece and Anatolia, in: Ault – Neveit 2005, 54–66.
- Cahill 2010a N. D. Cahill (Hrsg.), *Lidyalılar ve Dünyaları. The Lydians and Their World*. Ausstellungskatalog Istanbul, Yapı Kredi Yayınları 3055 (Istanbul 2010).
- Cahill 2010b N. Cahill, The City of Sardis, in: Cahill 2010a, 75–105.
- Cahill 2010c N. Cahill, The Persian Sack of Sardis, in: Cahill 2010a, 339–361.
- Cahill 2010d N. D. Cahill in: Cahill – Greenewalt 2010.
- Cahill 2010e N. Cahill, Functional Analyses of Ancient House Inventories, in: S. Ladstätter – V. Scheibelreiter (Hrsg.), *Städtisches Wohnen im östlichen Mittelmeerraum 4. Jh. v. Chr.–1. Jh. n. Chr. Akten des Internationalen Kolloquiums vom 24.–27. Oktober 2007 an der Österreichischen Akademie der Wissenschaften*, *AForsch* 18 = *DenkschrWien* 397 (Wien 2010) 477–495.
- Cahill – Greenewalt 2010 N. D. Cahill – C. H. Greenewalt, Jr., Lydian Pottery and Household Items, in: Cahill 2010a, 457–481.
- Cahill – Kroll 2005 N. D. Cahill – J. H. Kroll, New Archaic Coin Finds at Sardis, *AJA* 109, 2005, 589–617.
- Çakmaköğlü 2007 A. Çakmaköğlü, Pre-Neogene Tectonostratigraphy of Dilek Peninsula and the Area Surrounding Söke and Selçuk, *Bulletin of the Mineral Research and Exploration* 135, 2007, 1–17.
- Calvet – Yon 1977 Y. Calvet – M. Yon, *Ceràmiques trouvée à Salamine (Fouilles de la ville)*, in: Gjerstad 1977a, 9–22.
- Calvet – Yon 1978 Y. Calvet – M. Yon, Salamine de Chypre et le commerce ionien, in: CNRS 1978, 43–51.
- van Campenolle 2000 T. van Campenolle, Les céramiques ioniennes en Méditerranée centrale, in: Cabrera Bonet – Santos Retolaza 2000, 89–100.
- Caner 1983 E. Caner, *Fibeln in Anatolien I*, *PBF* 14, 8 (München 1983).
- Cargill 1977 J. Cargill, The Nabonidus Chronicle and the Fall of Lydia. Consensus with Feet of Clay, *AmJAnchHist* 2, 1977, 97–116.
- Catling – Lemos 1990 R. W. V. Catling – I. S. Lemos, *Lefkandi 2. The Protogeometric Building at Toumba Part 1. The Pottery* (Oxford 1990).
- Céramique grecque 1982 La céramique grecque ou de tradition grecque au VIII^{ème} siècle en Italie centrale et meridionale, *Cahiers du Centre Jean Bérard* 3 (Neapel 1982).
- Chase 1921 G. H. Chase, Two Vases from Sardis, *AJA* 25, 1921, 111–117.
- Çilingiroğlu – French 1994 A. Çilingiroğlu – D. H. French (Hrsg.), *Anatolian Iron Ages 3. The Proceedings of the Third Anatolian Iron Ages Colloquium Held at Van, 6–12 August 1990*, British Institute of Archaeology at Ankara Monograph 16 (Ankara 1994).
- Čistov 2005 D. E. Čistov, Borysthenes – Berezan. The 120th Anniversary of Archaeological Investigations of the Ancient Settlement on Berezan Island. *Ausstellungskatalog Sankt Petersburg* (St. Petersburg 2005).
- Čistov 2012 D. E. Čistov (Hrsg.), *Materialy berezanskoj (nižnebugskoj) antičnoj archeologičeskoj ekspedicii II. Issledovanija na ostrove Berezan' v 2005–2009 gg* (St. Petersburg 2012).
- Clairmont 1954/1955 C. Clairmont, Greek Pottery from the Near East, *Berytus* 11, 1954/1955, 85–141.
- Clinkenbeard 1982 B. G. Clinkenbeard, Lesbian Wine and Storage Amphoras. A Progress Report on Identification, *Hesperia* 51, 1982, 248–268.
- Clinkenbeard 1986 B. G. Clinkenbeard, Lesbian and Thasian Wine Amphoras. Questions Concerning Collaboration, *BCH Suppl.* 13 (Paris 1986) 353–362.
- CNRS 1978 Les céramiques de la Grèce de l'est et leur diffusion en occident. Centre Jean Bérard, Institut Français de Naples, 6–9 Juillet 1976, *Publications du Centre Jean Bérard = Bibliothèque de l'Institut français de Naples (Serie 2) 4 = Colloques internationaux du Centre national de la recherche scientifique. Sciences humaines 569* ²(Paris 1978).
- Cobet u. a. 2007 J. Cobet – V. von Graeve – W.-D. Niemeier – K. Zimmermann (Hrsg.), *Frühes Ionien. Eine Bestandsaufnahme*, *MilForsch* 5 (Mainz 2007).
- Çokay-Kepçe 2009 S. Çokay-Kepçe, The Pottery from Burdur Uylupınar Necropolis, *Adalya* 12, 2009, 29–76.
- Coldstream 1968 J. N. Coldstream, Greek Geometric Pottery. A Survey of Ten Local Styles and Their Chronology, *Methuen's Handbooks of Art* (London 1968).
- Coldstream 1981 J. N. Coldstream, The Greek Geometric and Plain Archaic Imports, in: V. Karageorghis – J. N. Coldstream – P. M. Bikai – A. W. Johnston – M. Robertson – L. Jehasse, *Excavations at Kition 4. The Non-Cypriot Pottery* (Nikosia 1981) 17–22.

- Coldstream 2008 J. N. Coldstream, *Greek Geometric Pottery. A Survey of Ten Local Styles and Their Chronology* ²(Bristol 2008).
- Coldstream – Catling 1996 J. N. Coldstream – H. W. Catling (Hrsg.), *Knossos North Cemetery. Early Greek Tombs*, BSA Suppl. 28 (London 1996).
- Condurachi 1966 E. Condurachi (Hrsg.), *Histria 2* (Bukarest 1966).
- Cook 1958/1959 J. M. Cook, *Old Smyrna 1948–1951*, BSA 53/54, 1958/1959, 1–34.
- Cook 1965 J. M. Cook, *Old Smyrna: Ionian Black Figured and Other Sixth Century Figured Wares*, BSA 60, 1965, 114–142.
- Cook 1985 J. M. Cook, *On the Date of Alyattes' Sack of Smyrna*, BSA 80, 1985, 25–28.
- Cook 1990 J. M. Cook, *The Eastern Greeks*, in: Boardman – Hammond 1990, 196–221.
- Cook – Nicholls 1998 J. M. Cook – R. V. Nicholls, *Old Smyrna Excavations: The Temples of Athena*, BSA Suppl. 30 (London 1998).
- Cook 1933/1934 R. M. Cook, *Fikellura-Pottery*, BSA 34, 1933/1934, 1–98.
- Cook 1949 R. M. Cook, *The Distribution of Chiot Pottery*, BSA 44, 1949, 154–161.
- Cook 1952 R. M. Cook, *A List of Clazomenian Pottery*, BSA 47, 1952, 123–152.
- Cook 1953 R. M. Cook, *Archaeology in Greece, 1952*, JHS 73, 1953, 108–130.
- Cook 1960 R. M. Cook, *Greek Painted Pottery*, Methuen's Handbooks of Archaeology (London 1960).
- Cook 1992 R. M. Cook, *Greek Painted Pottery* ²(London 1992).
- Cook – Dupont 1998 R. M. Cook – P. Dupont, *East Greek Pottery*, Routledge Readings in Classical Archaeology Series (London 1998).
- Coulié 2013 A. Coulié, *La céramique grecque aux époques géométrique et orientalisante (XI^e–VI^e siècle av. J.-C.)*, Les manuels d'art et d'archéologie antiques = La céramique grecque 1 (Paris 2013).
- Coulié 2014 A. Coulié, *La céramique de la Grèce de l'est. Le style des chèvres sauvages. La collection du musée du Louvre* (Paris 2014).
- Coulié – Filimonos-Tsopotou 2014 A. Coulié – M. Filimonos-Tsopotou (Hrsg.), *Rhodes. Une île grecque aux portes de l'Orient: XV^e–V^e siècle avant J.-C.* (Paris 2014).
- Coulson 1996 W. D. E. Coulson, *Ancient Naukratis 2, 1. The Survey at Naukratis and Environs*, Oxbow Monograph 60 (Oxford 1996).
- Courbin 1978 P. Courbin, *La céramique de la Grèce de l'Est à Ras el Bassit*, in: CNRS 1978, 41. 42.
- Crielaard 1999 J. P. Crielaard, *Production, Circulation and Consumption of Early Iron Age Greek Pottery (Eleventh to Seventh Centuries BC)*, in: J. P. Crielaard – V. Stissi – G. J. van Wijngaarden (Hrsg.), *The Complex Past of Pottery. Production, Circulation and Consumption of Mycenaean and Geometric Pottery (Sixteenth to Early Fifth Centuries BC)*, Proceedings of the ARCHON International Conference, Held in Amsterdam, 8–9 November 1996 (Amsterdam 1999) 49–81.
- Crielaard 2009 J. P. Crielaard, *The Ionians in the Archaic Period. Shifting Identities in a Changing World*, in: Derks – Roymans 2009, 37–84.
- Curia Barnes 2000 E. Curia Barnes, *Ceramicas e identidades culturales: algunas reflexiones sobre la ciudad griega arcaica de Marsella*, in: Cabrera Bonet – Santos Retolaza 2000, 125–135.
- Day u. a. 2009 P. M. Day – Ch. G. Doumas – H. Erkanal – V. Kilikoglou – O. Kouka – M. Relaki – V. Şahoğlu, *New Light on the »Kastri Group«: A Petrographic and Chemical Investigation of Ceramics from Liman Tepe and Bakla Tepe*, *Arkeometri Sonuçları Toplantısı* 132, 2009, 335–346.
- Delemen 2008 I. Delemen (Hrsg.), *Euergetes. Festschrift Haluk Abbasoğlu*, Armağan kitaplar dizisi 1 (Antalya 2008).
- Denti 2008 M. Denti, *La circulation de la céramique du »Wild Goat Style« (MWGS I) de la Mer Noire à l'Occident. Les contextes de réception et de destination*, RA 2008, 3–36.
- Derks – Roymans 2009 T. Derks – N. Roymans (Hrsg.), *Ethnic Constructs in Antiquity. The Role of Power and Tradition*, Amsterdam Archaeological Studies 13 (Amsterdam 2009).
- DeVries 1990 K. DeVries, *The Gordion Excavation Seasons of 1969–1973 and Subsequent Research*, AJA 94, 1990, 371–406.
- DeVries 1997 K. DeVries, *Greek Fine-Ware*, in: M. M. Voigt – K. DeVries – R. C. Henrickson – M. Lawall – B. Marsch – A. Gürsan-Salzmann – T. C. Young, Jr., *Fieldwork at Gordion: 1993–1995*, *Anatolica* 23, 1997, 19–21. 52.
- Dietler 1998 M. Dietler, *Consumption, Agency, and Cultural Entanglement: Theoretical Implications of a Mediterranean Colonial Encounter*, in: J. G. Cusick (Hrsg.), *Studies in Culture Contact: Interaction, Culture Change, and Archaeology*, Occasional Paper (Center for Archaeological Investigations, Southern Illinois University, Carbondale) 25 (Carbondale 1998) 288–315.

- Dikomitou 2007 M. Dikomitou, Analysis of Clay and Fabrics, in: D. Frankel – J. M. Webb, *The Bronze Age Cemeteries at Deneia in Cyprus*, SIMA 135 (Sävedalen 2007) 107–122.
- Dikomitou-Eliadou u. a. 2016 M. Dikomitou-Eliadou – A. Georgiou – A. K. Vionis, Cooking Fabric Recipes: An Interdisciplinary Study of Cypriot Cooking Pots of the Late Bronze Age, *JASc Reports* 7, 2016, 451–457.
- Docter 1997 R. F. Docter, *Archaische Amphoren aus Karthago und Toscanos. Fundspektrum und Formentwicklung. Ein Beitrag zur phönizischen Wirtschaftsgeschichte* (Amsterdam 1997).
- Docter 2000 R. F. Docter, East Greek Fine Wares and Transport Amphorae of the 8th–5th Century BC from Carthage and Toscanos, in: Cabrera Bonet – Santos Retolaza 2000, 63–88.
- Doğer 1986 E. Doğer, Premiers remarques sur les amphores de Clazomene, in: J.-Y. Empereur – Y. Garlan (Hrsg.), *Recherches sur les amphores grecques. Actes du colloque international organisé par le Centre National de la Recherche Scientifique, l'Université de Rennes II et l'École Française d'Athènes* (Athènes, 10–12 Septembre 1984), *BCH Suppl.* 13 (Paris 1986) 461–471.
- Dohan 1932 E. H. Dohan, A Lydian Imitation of a Laconian Vase, *The Museum Journal* 23, 1932, 61–63.
- Donati 2013 L. Donati, Agora. The Fountains and the Archaic Period, in: D. Baldoni – F. Berti – M. Giuman (Hrsg.), *Iasos e il suo territorio. Atti del convegno internazionale per i cinquanta anni della Missione Archeologica Italiana* (Istanbul, 26–28 Febbraio 2011) (Rom 2013) 21–36.
- Donnellan 2016 L. Donnellan, »Greek Colonisation« and Mediterranean Networks: Patterns of Mobility and Interaction at Pithekoussai, *Journal of Greek Archaeology* 1, 2016, 109–148.
- Dragendorff 1903 H. Dragendorff (Hrsg.), *Thera. Untersuchungen, Vermessungen und Ausgrabungen in den Jahren 1895–1902, 2. Theraeische Gräber* (Berlin 1903).
- Drerup 1969 H. Drerup, *Griechische Baukunst in geometrischer Zeit*. ArchHom 2 O (Göttingen 1969).
- Dugas 1928 C. Dugas, *Les vases de l'Heraion, Délos* 10 (Paris 1928).
- Dugas 1935 C. Dugas, *Les vases orientalisants du style non mélien, Les vases de Délos III, Délos* 17 (Paris 1935).
- Dugas – Rhomaios 1934 C. Dugas – C. Rhomaios, *Les vases préhelléniques et géométriques, Les vases de Délos I, Délos* 15 (Paris 1934).
- Dunbabin 1962 T. J. Dunbabin (Hrsg.), *Perachora. The Sanctuaries of Hera Akraia and Limenia. Excavations of the British School of Archaeology at Athens, 1930–1933, 2. Pottery, Ivories, Scarabs, and Other Objects from the Votive Deposit of Hera Limenia* (Oxford 1962).
- Dupont 1982 P. Dupont, Amphores commerciales archaïques de la Grèce de l'est, *PP* 37, 1982, 193–209.
- Dupont 1983 P. Dupont, Classification et détermination de provenance des céramiques grecques orientales archaïques d'Istros. Rapport préliminaire, *Dacia* 27, 1983, 19–43.
- Dupont 1986 P. Dupont, Naturwissenschaftliche Bestimmung der archaischen Keramik Milets, in: W. Müller-Wiener (Hrsg.), *Milet 1899–1980: Ergebnisse, Probleme und Perspektiven einer Ausgrabung. Kolloquium Frankfurt am Main 1980, IstMitt Beih.* 31 (Tübingen 1986) 55–71.
- Dupont 2000a P. Dupont, Trafics méditerranéens archaïques: quelques aspects, in: Krinzinger 2000, 445–460.
- Dupont 2000b P. Dupont, Amphores »samiennes« archaïques: sources de confusion et questionnements, in: Cabrera Bonet – Santos Retolaza 2000, 57–62.
- Dupont 2005a P. Dupont, Les amphores commerciales grecques archaïques. Fouilles du temple d'Aphrodite (1971–1981), in: Alexandrescu 2005a, 218–255.
- Dupont 2005b P. Dupont, Les lampes grecques archaïques, in: Alexandrescu 2005a, 433–452.
- Dupont 2007a P. Dupont, Diffusion des amphores commerciales de type Milesien dans le Pont Archaïque, in: Cobet u. a. 2007, 621–630.
- Dupont 2007b P. Dupont, Amphores »samiennes« archaïques du Mer Noire. Approche archeométrique, in: S. L. Solovyov (Hrsg.), *Greeks and Natives in the Cimmerian Bosphorus* (Oxford 2007) 41–50.
- Dupont 2011 P. Dupont, Données archéométriques préliminaires sur les amphores du type de Lesbos, in: Tzoché 2011a, 171–178.
- Dupont 2013 P. Dupont, Trafics amphoriques et commerce de vases dans le Pont-Euxin archaïque, in: Tsingarida – Viviers 2013, 233–236.

- Dupont – Thomas 2006 P. Dupont – A. Thomas, Naukratis: Les importations grecques orientales archaïques. Classification et détermination d'origine en laboratoire, in: Villing – Schlotzhauer 2006, 77–84.
- Dusinberre 1999 E. R. M. Dusinberre, Satrapal Sardis: Achaemenid Bowls in an Achaemenid Capital, *AJA* 103, 1999, 73–102.
- Dusinberre 2003 E. R. M. Dusinberre, *Aspects of Empire in Achaemenid Sardis* (Cambridge 2003).
- Ehrhardt 2005 N. Ehrhardt, Die Ionier und ihr Verhältnis zu den Phrygern und Lydern. Analyse der literarischen, epigraphischen und numismatischen Zeugnisse, in: Schwertheim – Winter 2005, 93–111.
- Eilmann 1933 R. Eilmann, Frühe griechische Keramik im samischen Heraion, *AM* 58, 1933, 47–145.
- Engels u. a. 2009 L. Engels – L. Bavay – A. Tsingarida, Calculating Vessel Capacities: A New Web-Based Solution, in: Tsingarida 2009, 129–133.
- Ersoy 1993 Y. E. Ersoy, *Clazomenae: The Archaic Settlement* (Diss. Bryn Mawr College, Bryn Mawr, PA 1993).
- Ersoy 2003 Y. Ersoy, Pottery Production and Mechanism of Workshops in Archaic Clazomenae, in: Schmaltz – Söldner 2003, 254–257.
- Ersoy 2004 Y. R. Ersoy, Klazomenai: 900–500 BC. History and Settlement Evidence, in: Moustaka u. a. 2004, 43–76.
- Ersoy 2007 Y. Ersoy, Notes on History and Archaeology of Early Clazomenae, in: Cobet u. a. 2007, 149–178.
- Fantalkin 2001 A. Fantalkin, Mezad Hashavyahu: Its Material Culture and Historical Background, *TelAvivJA* 28, 2001, 3–165.
- Fantalkin 2003 A. Fantalkin, Greek Pottery at Mezad Hashavyahu and its Contribution to the Reconstruction of the Site: Trading Post or Military Stronghold?, in: Schmaltz – Söldner 2003, 274–276.
- Fantalkin 2006 A. Fantalkin, Identity in the Making. Greeks in the Eastern Mediterranean during the Iron Age, in: Villing – Schlotzhauer 2006, 199–208.
- Fantalkin – Tal 2010 A. Fantalkin – O. Tal, Reassessing the Date of the Beginning of the Grey Series Transport Amphorae from Lesbos, *BABesch* 85, 2010, 1–12.
- Farina 1963 A. Farina, Ipponatte. Introduzione, testo critico, testimonianze, traduzione e commento, *Collana di studi Greci* 41 (Neapel 1963).
- Fischer 2009 J. Fischer, Die Tyrannen von Ephesos, *Forum Archaeologiae* 53/XII/2009 <<http://farch.net>> (14. 4. 2017).
- Fischer 2013 J. Fischer, *Das archaische Ephesos im Spiegel der literarischen Überlieferung* (Hamburg 2013).
- Forstenpointner u. a. 2008 G. Forstenpointner – M. Kerschner – U. Muss, Das Artemision in der späten Bronzezeit und der frühen Eisenzeit, in: Muss 2008a, 33–46.
- Freyer-Schauenburg 1973 B. Freyer-Schauenburg, Die Glasfunde aus Pitane (Çandarlı), *Anatolia* 17, 1973, 141–175.
- Friis Johansen 1923 K. Friis Johansen, *Les vases sicyoniens. Étude archéologique* (Paris 1923).
- Friis Johansen 1957 K. Friis Johansen, Exochi, ein frührhodisches Gräberfeld, *ActaArch* 28, 1957, 1–192.
- Furtwängler 1980 A. E. Furtwängler, Heraion von Samos: Grabungen im Südtemenos 1977. Schicht- und Baubefund, *Keramik, AM* 95, 1980, 149–224.
- Furtwängler – Kienast 1989 A. E. Furtwängler – H. J. Kienast, Der Nordbau im Heraion von Samos, *Samos* 3 (Bonn 1989).
- Gadolou 2002 A. Gadolou, The Pottery Fabrics and Workshops from Ano Mazaraki. The 1979 Excavation Season, in: E. Greco (Hrsg.), *Gli achei e l'identità etnica degli achei d'occidente. Atti del convegno internazionale di studi, Paestum, 23–25 febbraio 2001*, *Tekmeria* 3 (Paestum 2002) 165–204.
- Gadolou 2008 A. Gadolou, Η Αχαΐα στους πρώιμους ιστορικούς χρόνους. Κεραμική παραγωγή και έθιμα ταφής, *Δημοσιεύματα του Αρχαιολογικού Δελτίου* 101 (Athen 2008).
- Gadolou 2011 A. Gadolou, Thapsos-Class Ware Reconsidered. The Case of Achaea in the Northern Peloponnese: Pottery Workshop or Pottery Style?: Non Destructive Element Ceramic Analysis from Achaea Using x-Ray Fluorescence Spectroscopy (m-XRF), *BARIntSer* 2279 (Oxford 2011).
- Galli 2004 V. Galli, Le lucerne greche e locali. Gravisca. Scavi nel santuario greco 11 (Bari 2004).
- Gantes 2000 L. F. Gantes, Un atelier de Grèce d'Occident à l'époque archaïque: l'exemple de Marseille, in: Cabrera Bonet – Santos Retolaza 2000, 111–123.
- Gasser 1989 A. Gasser, Die korinthische und attische Importkeramik vom Artemision in Ephesos, *FiE* 12, 1 (Wien 1989).

- Gasser 1992 A. Gasser, Local Archaic Pottery from Ephesos, in: F. Blondé – J. Y. Perrault (Hrsg.), *Les ateliers de potiers dans le monde grec aux époques géométriques, archaïques et classiques. Actes de la table ronde organisée à l'École Française d'Athènes (2 et 3 octobre 1987)*, BCH Suppl. 23 (Athen 1992) 189–203.
- Gassner 1997 V. Gassner, Das Südtor der Tetrakonos-Agora. Keramik und Kleinfunde, FiE 13, 1 (Wien 1997).
- Gassner 2003 V. Gassner, Materielle Kultur und kulturelle Identität in Elea in spätarchaisch-frühklassischer Zeit. Untersuchungen zu Gefäß- und Baukeramik aus der Unterstadt (Grabung 1987–1994), *Velia Studien* 2 (Wien 2003).
- Gebauer 1992 J. Gebauer, Die archaische geglättete graue Keramik, AMS 5 (Bonn 1992) 65–102.
- Georgescu 2005 C. Georgescu, Les boucliers votifs et autres vêtements décorés archaïques en bronze et en fer, in: Alexandrescu 2005a, 271–328.
- Ghali-Kahil 1960 L. Ghali-Kahil, La céramique grecque (fouilles 1911–1956), *Études Thasiennes* 7 (Paris 1960).
- Gjerstad 1948 E. Gjerstad, The Cypro-Geometric, Cypro-Archaic and Cypro-Classical Periods, SCE 4, 2 (Stockholm 1948).
- Gjerstad 1977a E. Gjerstad, Greek Geometric and Archaic Pottery Found in Cyprus, *ActaAth* 4° 26 (Stockholm 1977).
- Gjerstad 1977b E. Gjerstad, Pottery from Various Parts of Cyprus, in: Gjerstad 1977a, 23–60.
- Goldman 1963 H. Goldman (Hrsg.), *Excavations at Gözlu Kule, Tarsus 3. The Iron Age* (Princeton, NJ 1963).
- Grace 1971 V. R. Grace, Samian Amphoras, *Hesperia* 40, 1971, 52–95.
- von Graeve 1971 V. von Graeve, Eine Sagendarstellung der frühen milesischen Vasenmalerei, *IstMitt* 21, 1971, 109–119.
- von Graeve 1973/1974 V. von Graeve, Milet. Bericht über die Arbeiten im Südschnitt an der hellenistischen Stadtmauer 1963, *IstMitt* 23/24, 1973/1974, 63–115.
- von Graeve 1975 V. von Graeve, Milet. Vorläufiger Bericht über die Grabungen im Südschnitt an der hellenistischen Stadtmauer 1966, *IstMitt* 25, 1975, 35–59.
- von Graeve 1978 V. von Graeve, Zur milesischen Keramik im 8. und 7. Jh. v. Chr., in: CNRS 1978, 34–39.
- von Graeve 1986 V. von Graeve, Grabung auf dem Kalabaktepe, in: W. Müller-Wiener, *Milet 1985. Vorbericht über die Arbeiten des Jahres 1985 mit Beiträgen von V. von Graeve, M. Pfrommer, S. Pülz unter Mitarbeit von A. Baier, B. Grentzenberg und C. Trümpler*, *IstMitt* 36, 1986, 37–51.
- von Graeve 1987 V. von Graeve, Grabung auf dem Kalabaktepe, in: W. Müller-Wiener, *Milet 1986. Vorbericht über die Arbeiten des Jahres 1986 mit Beiträgen von W. Müller-Wiener, V. v. Graeve, M. Pfrommer und S. Pülz*, *IstMitt* 37, 1987, 6–33.
- von Graeve 1988 V. von Graeve, Notgrabung in der archaischen Nekropole von Milet, in: W. Müller-Wiener, *Milet 1987. Vorbericht über die Arbeiten des Jahres 1987 mit Beiträgen von V. v. Graeve, R. Bierling, M. Heinz und H. Svenson*, *IstMitt* 38, 1988, 253–262. 267–273.
- Graham 1990 A. J. Graham, The Colonial Expansion of Greece, in: Boardman – Hammond 1990, 83–162.
- Grammer 2017 B. Grammer, Material Culture as Marker of Ethnicity? The Burial Mounds of Kolophon and the Question of »Lydian«, »Greek«, and »Ionian« Identity, in: E. Mortensen – B. Poulsen (Hrsg.), *Cityscapes and Monuments of Western Asia Minor. Memories and Identities* (Oxford 2017) 207–228.
- Grandjean 1992 Y. Grandjean, Contribution à l'établissement d'une typologie des amphores thasiennes. Le matériel amphorique du quartier de la Porte du Silene, BCH 116, 1992, 541–584.
- Greenewalt 1966 C. H. Greenewalt, Jr., *Lydian Pottery of the Sixth Century B.C. The Lydian and Marbled Ware* (PhD University of Pennsylvania, Philadelphia 1966).
- Greenewalt 1970 C. H. Greenewalt, Jr., Orientalizing Pottery from Sardis: The Wild Goat Style, *CalifStClAnt* 3, 1970, 55–89.
- Greenewalt 1971 C. H. Greenewalt, Jr., Fikellura and »Early Fikellura« Pottery from Sardis, *CalifStClAnt* 4, 1971, 153–180.
- Greenewalt 1972 C. H. Greenewalt, Jr., Two Lydian Graves at Sardis, *CalifStClAnt* 5, 1972, 113–145.
- Greenewalt 1973 C. H. Greenewalt, Jr., »Ephesian Ware«, *CalifStClAnt* 6, 1973, 91–122.
- Greenewalt 1975 C. H. Greenewalt, Jr., Northeast Wadi, in: Hanfmann – Waldbaum 1975, 118–125.
- Greenewalt 1978a C. H. Greenewalt, Jr., Lydian Elements in the Material Culture of Sardis, in: E. Akurgal (Hrsg.), *The Proceedings of the Xth International Congress of Classical Archaeology I* (Ankara 1978) 37–45.

- Greenewalt 1978b C. H. Greenewalt, Jr., *Ritual Dinners in Early Historic Sardis* (Berkeley, CA 1978).
- Greenewalt 1984–1997 C. H. Greenewalt, Jr., *A Lydian Canoe-Shaped Vessel from Sardis*, in: C. Bayburtluoğlu (Hrsg.), *Akurgal'a armağan, Anatolia* 23, 1984–1997, 195–220.
- Greenewalt 1993 C. H. Greenewalt, Jr., *Sardis Archaeological Research in 1991*, *KST* 14, 1993, 23–35.
- Greenewalt 1995a C. H. Greenewalt, Jr., *Sardis: Archaeological Research in 1993*, *KST* 16, 1995, 393–404.
- Greenewalt 1995b C. H. Greenewalt, Jr., *Croesus of Sardis*, in: J. M. Sasson (Hrsg.), *Civilizations of the Ancient Near East II* (New York 1995) 1173–1183.
- Greenewalt 1996 C. H. Greenewalt, Jr., *Sardis: Archaeological Research in 1994*, *KST* 17, 1996, 409–418.
- Greenewalt 1997 C. H. Greenewalt, Jr., *Arms and Weapons at Sardis in the Mid-Sixth Century B.C.*, *Arkeoloji ve Sanat* 79, 1997, 2–20.
- Greenewalt 2009 C. H. Greenewalt, Jr., *Sardis: Archaeological Research and Conservation Projects in 2007*, *KST* 30, 2009, 191–204.
- Greenewalt 2010a C. H. Greenewalt Jr., *Lydian Pottery*, in: Cahill 2010a, 107–124.
- Greenewalt 2010b C. H. Greenewalt, Jr., *The Gods of Lydia*, in: Cahill 2010a, 233–246.
- Greenewalt 2010c C. H. Greenewalt, Jr., *Bon Appetit!*, in: Cahill 2010a, 125–133.
- Greenewalt 2010d C. H. Greenewalt, Jr., *Introduction*, in: Cahill 2010a, 7–36.
- Greenewalt 2010e C. H. Greenewalt, Jr. in: Cahill – Greenewalt 2010.
- Greenewalt 2010f C. H. Greenewalt, Jr., *Lydian Tomb Groups. Objects from the Inderesi Tombs at Sardis*, in: Cahill 2010a, 515–521.
- Greenewalt 2010g C. H. Greenewalt, Jr., *Ritual Dinners from Sardis*, in: Cahill 2010a, 441–445.
- Greenewalt – Waldbaum 1975 C. H. Greenewalt, Jr. – J. C. Waldbaum, *The Area Northeast of the Artemis Precinct*, in: Hanfmann – Waldbaum 1975, 118–128.
- Greenewalt u. a. 1996 C. H. Greenewalt, Jr. – C. Ratté – M. L. Rautman, *The Sardis Campaigns of 1992 and 1993*, *AASOR* 53, 1996, 1–36.
- Güngör 2004 U. Güngör, *The History of Klazomenai in the Fifth Century and the Settlement on the Island*, in: Moustaka u. a. 2004, 121–131.
- Gürtekin-Demir 2001 R. G. Gürtekin-Demir, *Three Provincial Marbling Ware with Eastern Greek Aspects in Manisa Museum*, *Olba* 4, 2001, 65–70.
- Gürtekin-Demir 2002 R. G. Gürtekin-Demir, *Lydian Painted Pottery at Daskyleion*, *AnSt* 52, 2002, 111–143.
- Gürtekin-Demir 2007 R. G. Gürtekin-Demir, *Provincial Production of Lydian Painted Pottery*, in: A. Çilingiroğlu – A. Sagona (Hrsg.), *Anatolian Iron Ages 6. The Proceedings of the Sixth Anatolian Iron Ages Colloquium Held at Eskişehir, 16–20 August 2004*, *AncNear-EastSt Suppl.* 20 (Löwen 2007) 47–77.
- Gürtekin-Demir 2010 G. Gürtekin-Demir, *A Small Group of Pottery with Lydian Character from Gavurtepe, Alaşehir*, *ADerg* 15, 2010, 41–48.
- Gürtekin-Demir 2014 G. Gürtekin-Demir, *Phrygian Aspects of Lydian Painted Pottery from Sardis*, *AJA* 118, 2014, 223–239.
- Gusmani 1975 R. Gusmani, *Kleinasiatische Graffiti aus Alt-Smyrna*, *Kadmos* 14, 1975, 149–153.
- Gusmani 1995 R. Gusmani, *Zum Stand der Erforschung der lydischen Sprache*, in: E. Schwertheim (Hrsg.), *Forschungen in Lydien*, *AMS* 17 (Bonn 1995) 9–19.
- Haggis 2015 D. C. Haggis, *The Archaeology of Urbanization: Research Design and the Excavation of an Archaic Greek City on Crete*, in: D. C. Haggis – C. M. Antonaccio (Hrsg.), *Classical Archaeology in Context, Theory and Practice in Excavation in the Greek World* (Berlin 2015) 219–258.
- Haggis u. a. 2004 D. C. Haggis – M. S. Mook – C. M. Scarry – L. M. Snyder – W. C. West III, *Excavations at Azoria, 2002*, *Hesperia* 73, 2004, 339 f.
- Haggis u. a. 2007 D. C. Haggis – M. S. Mook – R. D. Fitzsimons – C. M. Scarry – L. M. Snyder, *Excavations at Azoria, 2003–2004, Part 1: The Archaic Civic Complex, with appendices by M. I. Stefanakis and W. C. West III*, *Hesperia* 76, 2007, 243–321.
- Haider 2004 P. W. Haider, *Lydien*, in: W. Eder – J. Renger (Hrsg.), *Herrscherchronologien der antiken Welt. Namen, Daten, Dynastien*, *DNP Suppl.* I (Stuttgart 2004) 83–87.
- Hall 1997 J. M. Hall, *Ethnic Identity in Greek Antiquity* (Cambridge 1997).
- Hanfmann 1956 G. M. A. Hanfmann, *On Some Eastern Greek Wares Found at Tarsus*, in: S. S. Weinberg (Hrsg.), *The Aegean and the Near East. Festschrift Hetty Goldman* (Locust Valley, NY 1956) 165–184.
- Hanfmann 1959 G. M. A. Hanfmann, *Excavations at Sardis, 1958*, *BASOR* 154, 1959, 5–35.
- Hanfmann 1961 G. M. A. Hanfmann, *The Third Campaign at Sardis (1960)*, *BASOR* 162, 1961, 8–49.
- Hanfmann 1963 G. M. A. Hanfmann, *The Iron Age Pottery of Tarsus*, in: Goldmann 1963, 18–332.

- Hanfmann 1983a G. M. A. Hanfmann (Hrsg.), *Sardis from Prehistoric to Roman Times* (Cambridge, MA 1983).
- Hanfmann 1983b G. M. A. Hanfmann, *Lydian Society and Culture*, in: Hanfmann 1983a, 67–99.
- Hanfmann – Ramage 1978 G. M. A. Hanfmann – N. H. Ramage, *Sculpture from Sardis. The Finds through 1975, Archaeological Exploration of Sardis Report 2* (Cambridge, MA 1978).
- Hanfmann – Waldbaum 1975 G. M. A. Hanfmann – J. C. Waldbaum, *A Survey of Sardis and the Major Monuments outside the City Walls, Archaeological Exploration of Sardis Report 1* (Cambridge, MA 1975).
- Hasdağlı 2014 İ. Hasdağlı, *The Post-Bronze Age Pottery from Ulucak Höyük*, *Olba* 22, 2014, 33–61.
- Haspels 1951 C. H. E. Haspels, *La cité de Midas. Céramique et trouvailles diverses, Phrygie. Exploration archéologique 3* (Paris 1951).
- Hayes 1966 J. Boardman – J. Hayes, *Excavation at Tocra. The Archaic Deposits I*, *BSA Suppl.* 4 (London 1966).
- Hayes 1973 J. Boardman – J. Hayes, *Excavation at Tocra. The Archaic Deposits II*, *BSA Suppl.* 10 (London 1973).
- Heinz 1990 M. Heinz, *Katalog ausgewählter Funde*, in: V. von Graeve, *Milet 1989. Vorbericht über die Arbeiten des Jahres 1989 und einer 1988 auf dem Kalabaktepe durchgeführten Sondierung. Mit Beiträgen von V. Brinkmann, U. Gans, V. v. Graeve, M. Heinz, W. Müller-Wiener, B. Schröder, R. Senff*, *IstMitt* 40, 1990, 56–61.
- Higgins 1959 R. A. Higgins, *Plastic Vases of the Seventh and Sixth Centuries B.C. Catalogue of the Terracottas in the Department of Greek and Roman Antiquities British Museum II* (London 1959).
- Höcker 1999 DNP VII (1999) 1144 f. s. v. Megaron (C. Höcker).
- Höckmann – Kreikenbom 2001 U. Höckmann – D. Kreikenbom (Hrsg.), *Naukratis. Die Beziehungen zu Ostgriechenland, Ägypten und Zypern in archaischer Zeit* (Paderborn 2001).
- Hodder 2011 I. Hodder, *Human-thing Entanglement: Towards an Integrated Archaeological Perspective*, *Journal of the Royal Anthropological Institute* 17, 2011, 154–177.
- Hoesch 2006 N. Hoesch, *Ostionische Keramik aus der Randsiedlung der Agora von Selinunt*, in: Biering 2006, 141–150.
- Hofbauer 2017 M. Hofbauer, *Archäologischer Befund*, in: Krinzinger – Ruggendorfer 2017, 23–131.
- Hogarth 1908 D. G. Hogarth, *Excavations at Ephesos. The Archaic Artemisia* (London 1908).
- Högemann 2003 P. Högemann, *Das ionische Griechentum und seine altanatolische Umwelt im Spiegel Homers*, in: M. Witte – S. Alkier (Hrsg.), *Die Griechen und der Vordere Orient. Beiträge zum Kultur- und Religionskontakt zwischen Griechenland und dem Vorderen Orient im 1. Jahrtausend v. Chr.*, *Orbis Biblicus et Orientalis* 191 (Freiburg 2003) 1–24.
- Hölbl 2008 G. Hölbl, *Ägyptisches Kulturgut im archaischen Artemision*, in: Muss 2008a, 209–221.
- Holland 1944 L. B. Holland, *Colophon*, *Hesperia* 13, 1944, 91–171.
- Hommel 1959/1960 P. Hommel, *Der Abschnitt östlich des Athenatempels*, *IstMitt* 9/10, 1959/1960, 31–62.
- Hostetter 1994 E. Hostetter, *Lydian Architectural Terracottas. A Study in Tile Replication, Display, and Technique. The Archaeological Exploration of Sardis*, *IllinCISt Suppl.* 5 (Atlanta 1994).
- Howland 1958 R. H. Howland, *Greek Lamps and Their Survivals*, *Agora* 4 (Princeton, NJ 1958).
- Hrouda 1993–1997 RIA VIII (1993–1997) 11 f. s. v. Megaron (B. Hrouda).
- Hürmüzlü 2004 B. Hürmüzlü, *Burial Grounds at Klazomenai: Geometric through Hellenistic Periods*, in: Moustaka u. a. 2004, 77–95.
- Hürmüzlü 2008 B. Hürmüzlü, *Remarks on Local Imitation of Import Pottery in the Sixth Century B.C.: Clazomenian Chalices*, in: Delemen 2008, 557–569.
- Hürmüzlü 2011 B. Hürmüzlü, *Die früheste Gruppe klazomaenischer Sarkophage aus Klazomenai*, *JdI* 125, 2011, 89–153.
- Ibba 2004 M. A. Ibba, *La fontana »arcaica« dell'Agora di Iasos e i suoi materiali*, in: V. Caputo (Hrsg.), *Iasos tra VI e IV sec. A.C. Miscellanea storico-archeologica, Atti dell'Accademia delle Scienze di Ferrara Suppl.* 81 (Ferrara 2004) 73–99.
- İren 2002a K. İren, *Die Werkstatt des Londoner Dinos. Eine phokäische Werkstatt?*, *IstMitt* 52, 2002, 165–205.
- İren 2002b K. İren, *Bir Lydia amphorası üzerine*, *Anadolu Araştırmaları* 16, 2002, 295–302.
- İren 2003 K. İren, *Äolische orientalisierende Keramik* (Istanbul 2003).
- İren 2008 K. İren, *The Necropolis of Kyme Unveiled: Some Observations on the New Finds*, in: Delemen 2008, 613–637.
- İren – Ünlü 2012 K. İren – A. Ünlü, *Burning in Geometric Teos*, in: K. Konuk (Hrsg.), *Stephanéphoros de l'économie antique à l'Asie Mineure. Hommages à Raymond Descat, Mémoires* 28 (Bordeaux 2012) 309–333.

- Isler 1978a
Isler 1978b
Jacopi 1929
Jacopi 1931
Jacopi 1932/1933
Jahresbericht 2002
Jahresbericht 2005
Jahresbericht 2013
Jantzen 1972
Jantzen 2004
Jarosch 1994
Jeffery 1964
Johnston 1981
Johnston 1990
Johnston 2000
Johnston 2006
Johnston – Jones 1978
Jones 1986a
Jones 1986b
Jung 2000
Kadioğlu u. a. 2015
Kalaitzoglou 2008
Kaltsas 1998
Karageorghis 1960
Karageorghis 1970
Karageorghis 1978
Karageorghis 2005
Karwiese 1995
Käufler 2006
Kearns 1992
- H.-P. Isler, Samos: la ceramica arcaica, in: CNRS 1978, 71–84.
H.-P. Isler, Das archaische Nordtor und seine Umgebung im Heraion von Samos, Samos 4 (Bonn 1978).
G. Jacopi, Scavi nelle necropoli di Jalisso 1924–1928, CIRh 3 (Rhodos 1929).
G. Jacopi, Esplorazione archeologica di Camiro. Scavi nelle necropoli Camiresi 1929–1930, CIRh 4, 1 (Rhodos 1931).
G. Jacopi, Esplorazione archeologica di Camiro 2, CIRh 6/7 (Rhodos 1932/1933).
Jahresbericht 2002 des Österreichischen Archäologischen Instituts, ÖJh 72, 2003, 291–328.
Jahresbericht 2005 des Österreichischen Archäologischen Instituts, ÖJh 75, 2006, 317–359.
Wissenschaftlicher Jahresbericht des Österreichischen Archäologischen Instituts 2013, 3–87 <http://oeai.at/tl_files/img/Dateien/Jahresbericht_2013_ebook.pdf> (18. 6. 2017).
U. Jantzen, Ägyptische und orientalische Bronzen aus dem Heraion von Samos, Samos 8 (Bonn 1972).
U. Jantzen, Die Wasserleitung des Eupalinos. Die Funde, Samos 20 (Bonn 2004).
V. Jarosch, Samische Tonfiguren des 10. bis 7. Jahrhunderts v. Chr. aus dem Heraion von Samos, Samos 18 (Bonn 1994).
L. H. Jeffery, Old Smyrna: Inscriptions on Sherds and Small Objects, BSA 59, 1964, 39–49.
A. W. Johnston, Imported Greek Storage Amphorae, in: V. Karageorghis – J. N. Coldstream – P. M. Bikai – A. W. Johnston – M. Robertson – L. Jehasse, Excavations at Kition 4. The Non-Cypriote Pottery (Nikosia 1981) 37–44.
A. W. Johnston, Aegina, Aphaia Temple XIII. The Storage Amphorae, AA 1990, 37–64.
A. W. Johnston, Building Z at Kommos. An 8th-Century Pottery Sequence, Hesperia 69, 2000, 189–226.
A. Johnston, The Delta: From Gamma to Zeta, in: Villing – Schlotzhauer 2006, 23–30.
A. W. Johnston – R. E. Jones, The »SOS« Amphora, BSA 73, 1978, 103–142.
R. E. Jones, Geophysical Prospection at Amphorae Production Sites on Thasos, in: J.-Y. Empereur – Y. Garlan (Hrsg.), Recherches sur les amphores grecques. Actes du colloque international organisé par le Centre National de la Recherche Scientifique, l'Université de Rennes II et l'École Française d'Athènes (Athènes, 10–12 Septembre 1984), BCH Suppl. 13 (Paris 1986) 279–285.
R. E. Jones, Greek and Cypriote Pottery. A Review of Scientific Studies, Fitch Laboratory Occasional Paper 1 (Athen 1986).
R. Jung, Das Megaron – Ein Analogie(Kurz)Schluss der ägäischen Archäologie, in: A. Gramsch (Hrsg.), Vergleichen als archäologische Methode. Analogien in den Archäologien (Oxford 2000) 71–96.
M. Kadioğlu – C. Özbil – M. Kerschner – H. Mommsen, Teos im Licht der neuen Forschungen, in: Ü. Yalçın – H.-D. Bienert (Hrsg.), Anatolien – Brücke der Kulturen. Aktuelle Forschungen und Perspektiven in den deutsch-türkischen Altertumswissenschaften. Tagungsband des internationalen Symposions »Anatolien – Brücke der Kulturen« in Bonn, 7.–9. Juli 2014, Der Anschnitt. Zeitschrift für Kunst und Kultur im Bergbau, Beih. 27 (Bochum 2015) 345–366.
G. Kalaitzoglou, Assesos. Ein geschlossener Befund südionischer Keramik aus dem Heiligtum der Athena Assesia, MilForsch 6 (Mainz 2008).
N. E. Kaltsas, Άκανθος Ι. Η ανασκαφή στο νεκροταφείο κατά το 1979, Δημοσιεύματα του Αρχαιολογικού Δελτίου 65 (Athen 1998).
V. Karageorghis, Chronique des fouilles et découvertes archéologiques à Chypre en 1959, BCH 84, 1960, 242–299.
V. Karageorghis, Excavations in the Necropolis of Salamis 2, Salamis 4 (London 1970).
V. Karageorghis, Excavations in the Necropolis of Salamis 4, Salamis 7 (Nikosia 1978).
V. Karageorghis, Excavations at Kition 6. The Phoenician and Later Levels (Nikosia 2005).
S. Karwiese, Groß ist die Artemis von Ephesos. Die Geschichte einer der großen Städte der Antike (Wien 1995).
S. Käufler, Die archaischen Kannen von Milet (Diss. Universität Bochum 2006).
J. M. Kearns, The Languages of Lydian Ionia (Diss. University of California Los Angeles 1992).

- Kearsley 1989 R. Kearsley, *The Pendant Semi-Circle Skyphos. A Study of Its Development and Chronology and an Examination of It as Evidence for Euboean Activity at Al Mina* (London 1989).
- Keil 1922–1924 J. Keil, *Zur Topographie und Geschichte von Ephesos*, *ÖJh* 21/22, 1922–1924, 96–112.
- Keil 1926 J. Keil, *Vorläufiger Bericht über die Ausgrabungen in Ephesos*, *ÖJh* 23, 1926, Beibl. 247–300.
- Keil 1929a J. Keil, *Vorläufiger Bericht über die Ausgrabungen in Ephesos*, *ÖJh* 24, 1929, Beibl. 5–68.
- Keil 1929b J. Keil, *Vorläufiger Bericht über die Ausgrabungen in Ephesos*, *ÖJh* 25, 1929, Beibl. 5–52.
- Kenzelmann Pfyffer – Verdand 2011 A. Kenzelmann Pfyffer – S. Verdand, *Vaisselle domestique, vaisselle de sanctuaire? Deux exemples érétriens*, in: Mazarakis Ainian 2011, 891–903.
- Kerschner 1995 M. Kerschner, *Die ostgriechischen Vogelschalen und Verwandtes. Studien zur Chronologie und Verbreitung der ostgriechischen Keramik* (unpubl. Diss. Universität Bochum 1995).
- Kerschner 1997a M. Kerschner, *Ein stratifizierter Opferkomplex des 7. Jhs. v. Chr. aus dem Artemision von Ephesos*, *ÖJh* 66, 1997, Beibl. 85–226.
- Kerschner 1997b M. Kerschner, *Ein Kessel des frühen Tierfriesstils aus den Grabungen unter der Tetragonos-Agora in Ephesos*, *ÖJh* 66, 1997, 9–28.
- Kerschner 1999 M. Kerschner, *Das Artemisheiligtum auf der Ostterrasse des Kalabaktepe in Milet. Stratigraphie und Keramikfunde der Sondagen des Jahres 1995. Mit einem Beitrag von U. Schlotzhauer*, *AA* 1999, 7–51.
- Kerschner 2000 M. Kerschner, *Die bemalte ostgriechische Keramik auf Sizilien und ihr Zeugniswert für den archaischen Handel*, in: Krinzinger 2000, 487–492.
- Kerschner 2001 M. Kerschner, *Perspektiven der Keramikforschung in Naukratis 75 Jahre nach Elinor Price*, in: Höckmann – Kreikenbom 2001, 69–94.
- Kerschner 2002a M. Kerschner, *Die bemalte spätgeometrische und archaische ostgriechische Keramik*, in: Akurgal u. a. 2002, 28–36.
- Kerschner 2002b M. Kerschner, *Die lokalisierten chemischen Gruppen A, D und H und ihr Aussagewert für die Keramikproduktion von Milet und Ephesos*, in: Akurgal u. a. 2002, 37–50.
- Kerschner 2002c M. Kerschner, *Die nichtlokalisierten chemischen Muster I und J und ihre Einordnung in die Keramikproduktion des südlichen und mittleren Ioniens*, in: Akurgal u. a. 2002, 51–55.
- Kerschner 2002d M. Kerschner, *Ostgriechische Kalottenschalen (Vogelkotylen, Vogel-, Rosetten-, Mäander- und Reifenschalen) und Vogelkannen*, in: Akurgal u. a. 2002, 63–72.
- Kerschner 2002e M. Kerschner, *Die nichtlokalisierten chemischen Gruppen B/C, E, F, G und ihr Aussagewert für die spätgeometrische und archaische Keramik des nördlichen Ioniens und der Äolis*, in: Akurgal u. a. 2002, 72–92.
- Kerschner 2002f M. Kerschner, *Bemerkungen zu den chemischen Einzelstücken*, in: Akurgal u. a. 2002, 92–94.
- Kerschner 2002g M. Kerschner, *Ostgriechische Kalottenschalen*, in: Akurgal u. a. 2002, 97–105.
- Kerschner 2002h M. Kerschner, *Spätgeometrische und archaische ostgriechische Keramik aus Ephesos*, in: Akurgal u. a. 2002, 106–109.
- Kerschner 2002i M. Kerschner, *Referenzproben aus Milet und Ephesos: Fehlbrände und Gefäße aus der Füllung von Brennöfen*, in: Akurgal u. a. 2002, 113–115.
- Kerschner 2003a M. Kerschner, *Stratifizierte Fundkomplexe der geometrischen und subgeometrischen Epoche aus Ephesos*, in: Rückert – Kolb 2003, 43–59.
- Kerschner 2003b M. Kerschner, *Zum Kult im früheisenzeitlichen Ephesos. Interpretation eines protogeometrischen Fundkomplexes aus dem Artemisheiligtum*, in: Schmaltz – Söldner 2003, 246–250.
- Kerschner 2005a M. Kerschner, *Die Ionier und ihr Verhältnis zu den Phrygern und Lydern. Beobachtungen zur archäologischen Evidenz*, in: Schwertheim – Winter 2005, 113–146.
- Kerschner 2005b M. Kerschner, *Phrygische Keramik im griechischen Kontext. Eine Omphalosschale der schwarz glänzenden Ware aus der so genannten Zentralbasis im Artemision von Ephesos und weitere phrygische Keramikfunde in der Ostägäis*, *ÖJh* 74, 2005, 125–149.
- Kerschner 2006a M. Kerschner, *Spätgeometrische und archaische Keramik aus dem Brunnen S-AB*, in: Scherrer – Trinkl 2006, 59–64. 79–85.
- Kerschner 2006b M. Kerschner, *Zur Herkunftsbestimmung archaischer ostgriechischer Keramik: die Funde aus Berezan im Akademischen Kunstmuseum der Universität Bonn und im Robertinum der Universität Halle-Wittenberg*, *IstMitt* 56, 2006, 129–156.

- Kerschner 2006c M. Kerschner, On the Provenance of Aiolian Pottery, in: Villing – Schlotzhauer 2006, 109–126.
- Kerschner 2006d M. Kerschner, Zum Beginn und zu den Phasen der griechischen Kolonisation am Schwarzen Meer. Die Evidenz der ostgriechischen Keramik, *EurAnt* 12, 2006, 227–250.
- Kerschner 2006e M. Kerschner, Die Ionische Wanderung im Lichte neuer archäologischer Forschungen in Ephesos, in: E. Olshausen – H. Sonnabend (Hrsg.), »Troianer sind wir gewesen« – Migrationen in der antiken Welt. Stuttgarter Kolloquium zur Historischen Geographie des Altertums 8, 2002, *Geographica Historica* 21 (Stuttgart 2006) 364–382.
- Kerschner 2006f M. Kerschner, Lydische Weihungen in griechischen Heiligtümern, in: *Naso* 2006, 253–291.
- Kerschner 2006g M. Kerschner, Der Fikellura-Amphoriskos aus Grab 7 in Tumulus III, in: Scherrer – Trinkl 2006, 151.
- Kerschner 2007 M. Kerschner, Das Keramikbild von Ephesos im 7. und 6. Jh. v. Chr., in: *Cobet u. a.* 2007, 221–242.
- Kerschner 2008a M. Kerschner, Der Keramikbefund im Bereich von Koressos, in: Kerschner u. a., 2008, 25–74.
- Kerschner 2008b M. Kerschner, Keramik aus dem Heiligtum der Artemis, in: *Muss* 2008a, 125–132.
- Kerschner 2008c M. Kerschner, Katalogbeitrag, in: *Seipel* 2008, 232–237.
- Kerschner 2008d M. Kerschner, Die Lyder und das Artemision von Ephesos, in: *Muss* 2008a, 223–234.
- Kerschner 2008e M. Kerschner in: Kerschner u. a. 2008, 109–118.
- Kerschner 2010a M. Kerschner, The Lydians and Their Ionian and Aiolian Neighbours, in: *Cahill* 2010a, 247–265.
- Kerschner 2010b M. Kerschner in: *Cahill* 2010a, 492. 493. 494.
- Kerschner 2011 M. Kerschner, Approaching Aspects of Cult Practice and Ethnicity in Early Iron Age Ephesos using Quantitative Analysis of a Protogeometric Deposit from the Artemision, in: S. Verdan – T. Theurillat – A. Kenzelmann Pfyffer (Hrsg.), *Early Iron Age Pottery: A Quantitative Approach*, Proceedings of the International Round Table organized by the Swiss School of Archaeology in Greece (Athens, November 28–30, 2008) (Oxford 2011) 19–27.
- Kerschner 2014a M. Kerschner, Euboean Imports to the Eastern Aegean and the Eastern Aegean Production of Pottery in the Euboean Style: New Evidence from Neutron Activation Analyses, in: M. Kerschner – I. Lemos (Hrsg.), *Archaeometric Analyses of Euboean and Euboean Related Pottery: New Results and Their Interpretations*. Proceedings of the Round Table Conference Held at the Austrian Archaeological Institute in Athens, 15 and 16 April 2011, *ErghÖJh* 15 (Wien 2014) 109–140.
- Kerschner 2014b M. Kerschner in: F. Stock – M. Kerschner – J. C. Kraft – A. Pint – P. Frenzel – H. Brückner, The Paleogeographies of Ephesos (Turkey), its Harbours, and the Artemision – a Geoarchaeological Reconstruction for the Timespan 1500–300 BC., in: M. Engel – H. Brückner (Hrsg.), *Geoarchaeology. Exploring Terrestrial Archives for Evidence of Human Interaction with the Environment*, *Zeitschrift für Geomorphologie* 58, Suppl. 2 (Stuttgart 2014) 33–66.
- Kerschner 2016 M. Kerschner, Neue Forschungen zu den Befestigungen von Ephesos in archaischer und klassischer Zeit: Archäologischer Befund und Schriftquellen, in: R. Frederiksen – S. Müth – P. I. Schneider – M. Schnelle (Hrsg.), *Focus on Fortification. New Research on Fortifications in the Ancient Mediterranean and the Near East*, *Fokus Fortifikation Studies* 2, Monographs of the Danish Institute at Athens 18 (Oxford 2016) 337–350.
- Kerschner 2017a M. Kerschner, East Greek Pottery Workshops in the Seventh Century BC: Tracing Regional Styles, in: X. Charalambidou – C. Morgan (Hrsg.), *Interpreting the Seventh Century BC. Tradition, Innovation and Meaning* (Oxford 2017) 100–113.
- Kerschner 2017b M. Kerschner, The Spatial Development of Ephesos from ca. 1000 – ca. 670 BC against the Background of other EIA Settlements in Ionia, in: A. Mazarakis Ainian – A. Alexandridou – X. Charalambidou (Hrsg.), *Regional Stories. Towards a new Perception of the Early Greek World*. Acts of an International Symposium in Honour of Professor Jan Bouzek, Volos 18–21 June 2015 (Volos 2017) 487–512.
- Kerschner 2017c M. Kerschner, Das Artemision von Ephesos in geometrischer und archaischer Zeit. Die Anfänge des Heiligtums und sein Aufstieg zu einem Kultzentrum von überregionaler Bedeutung, in: T. Georges (Hrsg.), *Ephesos. Die antike Metropole im Spannungsfeld von Religion und Bildung* (Tübingen 2017) 3–76.

- Kerschner – Mommsen 1997 M. Kerschner – H. Mommsen, Neutronenaktivierungs-Analyse zur Herkunft der ostgriechischen Vogelschalen, in: G. Schulze – K. Slusallek (Hrsg.), Archäometrie und Denkmalpflege. Kurzberichte 1997. Jahrestagung im Archäologiezentrum der Universität Wien, 24.–26. März 1997 (Berlin 1997) 138–140.
- Kerschner – Mommsen 2004–2006 M. Kerschner – H. Mommsen, Neue archäologische und archäometrische Forschungen zu den Töpferzentren der Ostägäis, *Il Mar Nero* 6, 2004–2006, 79–93.
- Kerschner – Mommsen 2005 M. Kerschner – H. Mommsen, Transportamphoren milesischen Typs in Ephesos. Archäometrische und archäologische Untersuchungen zum Handel im archaischen Ionien, in: Brandt u. a. 2005 I, 119–130.
- Kerschner – Mommsen 2006 M. Kerschner – H. Mommsen, Chemical Provenance Determination of Pottery: The Example of the Aiolian Pottery Group G, in: Villing – Schlotzhauer 2006, 105–108.
- Kerschner – Mommsen 2009 M. Kerschner – H. Mommsen, Imports of East Greek Pottery to Sicily and Sicilian Productions of East Greek Type. Archaeometric Analyses of Finds from the Votive Deposit in Katane, in: Pautasso 2009, 125–150.
- Kerschner – Prochaska 2011 M. Kerschner – W. Prochaska, Die Tempel und Altäre der Artemis in Ephesos und ihre Baumaterialien, *ÖJh* 80, 2011, 73–153.
- Kerschner – Schlotzhauer 2005 M. Kerschner – U. Schlotzhauer, A New Classification System for East Greek Pottery, *AncWestEast* 4, 2005, 1–56.
- Kerschner – Schlotzhauer 2007 M. Kerschner – U. Schlotzhauer, Ein neues Klassifikationssystem der ostgriechischen Keramik, in: Cobet u. a. 2007, 296–317.
- Kerschner – Steskal 2008 M. Kerschner – M. Steskal in: Kerschner u. a. 2008, 120–123.
- Kerschner u. a. 1993 M. Kerschner – H. Mommsen – T. Beier – D. Heimermann – A. Hein, Neutron Activation Analysis of Bird Bowls and Related Archaic Ceramics from Miletus, *Archaeometry* 35, 1993, 197–210.
- Kerschner u. a. 2000 M. Kerschner – M. Lawall – P. Scherrer – E. Trinkl, Ephesos in archaischer und klassischer Zeit. Die Ausgrabungen in der Siedlung Smyrna, in: Krinzinger 2000, 45–54.
- Kerschner u. a. 2002 M. Kerschner – H. Mommsen – C. Rogl – A. Schwedt, Die Keramikproduktion von Ephesos in griechischer Zeit. Zum Stand der archäometrischen Forschungen, *ÖJh* 71, 2002, 189–206.
- Kerschner u. a. 2008 M. Kerschner – I. Kowalleck – M. Steskal, Archäologische Forschungen zur Siedlungsgeschichte von Ephesos in geometrischer, archaischer und klassischer Zeit. Grabungsbefunde und Keramikfunde aus dem Bereich von Koressos, *ErgHÖJh* 9 (Wien 2008).
- Kilian-Dirlmeier 1984 I. Kilian-Dirlmeier, Nadeln der frühhelladischen bis archaischen Zeit von der Peleponnes, *PBF* 13, 8 (München 1984).
- Kinch 1914 K. F. Kinch, *Vroulia* (Berlin 1914).
- Kistler 2012 E. Kistler, *À la lydienne ... mehr als nur eine Mode*, in: L.-M. Günther (Hrsg.), *Tryphe und Kultritual im archaischen Kleinasien – ex oriente luxuria?* (Wiesbaden 2012) 59–73.
- Klebinder 2001 G. Klebinder, Bronzegürtel aus dem Artemision von Ephesos, in: U. Muss (Hrsg.), *Der Kosmos der Artemis von Ephesos* (Wien 2001) 111–122.
- Klebinder-Gauß 2007 G. Klebinder-Gauß, Die Bronzefunde aus dem Artemision von Ephesos, *FiE* 12, 3 (Wien 2007).
- Klebinder-Gauß 2008 G. Klebinder-Gauß, Weihegaben aus Bronze, in: Muss 2008a, 149–155.
- Klebinder-Gauß 2012 G. Klebinder-Gauß, Keramik aus klassischen Kontexten im Apollon-Heiligtum von Ägina-Kolonna. Lokale Produktion und Importe, *Contributions to the Chronology of the Eastern Mediterranean* 30 = *Ägina-Kolonna* 6 = *Österreichische Akademie der Wissenschaften. Denkschriften der Gesamtakademie* 70 (Wien 2012).
- Kleine 1979 J. Kleine, Milet. Bericht über die Arbeiten im Südschnitt an der hellenistischen Stadtmauer 1968–1973, *IstMitt* 29, 1979, 109–159.
- Kleiner 1959/1960 G. Kleiner, Die Ausgrabungen beim Athena-Tempel in Milet 1957, VI. Die Grabung im Norden des Athenatempels, *IstMitt* 9/10, 1959/1960, 86–96.
- Kleiner 1969 G. Kleiner, Die Grabung in Milet im Herbst 1968, *TAD* 17, 1969, 75–78.
- Kleiner u. a. 1967 G. Kleiner – P. Hommel – W. Müller-Wiener, Panionion und Melie, *JdI Ergbd.* 23 (Berlin 1967).
- Klug 2013 R. D. Klug, Griechische Transportamphoren im regionalen und überregionalen Handel. Untersuchungen in griechischen und nicht-griechischen Kontexten in Unteritalien und Sizilien vom 8. bis zum 5. Jh. v. Chr., *Göttinger Studien zur mediterranen Archäologie* 4 (Rahden 2013).
- Knappett 2011 C. Knappett, *An Archaeology of Interaction. Network Perspectives on Material Culture and Society* (Oxford 2011).

- Knibbe 1998 D. Knibbe, *Ephesus. Geschichte einer bedeutenden antiken Stadt und Portrait einer modernen Großgrabung* (Frankfurt a. M. 1998).
- Knigge 1976 U. Knigge, *Der Südhügel, Kerameikos 9* (Berlin 1976).
- Knudsen 1961 A. K. Knudsen, *A Study of the Relation between Phrygian Metalware and Pottery in the Eight and Seventh Centuries B.C.* (Philadelphia 1961).
- Knudsen 1964 A. K. Knudsen, *From a Sardis Tomb: A Lydian Pottery Imitation of a Phrygian Metal Bowl*, *Berytus* 15, 1964, 59–69.
- Koehler 1978 C. G. Koehler, *Corinthian A and B Transport Amphoras* (Princeton, NJ 1978).
- Koehler 1981 C. G. Koehler, *Corinthian Developments in the Study of Trade in the Fifth Century*, *Hesperia* 50, 1981, 449–458.
- Kohler 1995 E. L. Kohler, *The Gordion Excavations (1950–1973), Final Reports II. The Lesser Phrygian Tumuli 1. The Inhumations*, University Museum Monograph 88 (Philadelphia 1995).
- Koparal – İplikçi 2004 E. Koparal – E. İplikçi, *Archaic Olive Oil Extraction Plant in Klazomenai*, in: Moustaka u. a. 2004, 221–234.
- Kopcke 1968 G. Kopcke, *Heraion von Samos: Die Kampagnen 1961–1965 im Südtemenos (8.–6. Jahrhundert)*, *AM* 83, 1968, 250–314.
- Körte – Körte 1904 G. Körte – A. Körte, *Gordion. Ergebnisse der Ausgrabung im Jahre 1900*, *JdI Ergh.* 5 (Berlin 1904).
- Kowalleck 2008 I. Kowalleck, *Attische und attisierende Keramik*, in: Kerschner u. a. 2008, 75–107.
- Kraft u. a. 2000 J. C. Kraft – K. İlhan – H. Brückner – G. Ripp Jr., *A Geologic Analysis of Ancient Landscapes and the Harbours of Ephesos and the Artemision in Anatolia*, *ÖJh* 69, 2000, 175–233.
- Kraft u. a. 2005 J. C. Kraft – H. Brückner – K. İlhan, *The Sea under the City of Ancient Ephesos*, in: Brandt u. a. 2005, 147–156.
- Krinzinger 2000 F. Krinzinger (Hrsg.), *Akten des Symposions »Die Ägäis und das Westliche Mittelmeer«. Beziehungen und Wechselwirkungen, 8. bis 5. Jh. v. Chr.* Akten des Symposions Wien 24. bis 27. März 1999, *DenkschrWien* 288 = *AForsch* 4 (Wien 2000).
- Krinzinger – Ruggendorfer 2017 F. Krinzinger – P. Ruggendorfer (Hrsg.), *Das Theater von Ephesos. Archäologischer Befund, Funde und Chronologie*, *FiE* 2, 1 (Wien 2017).
- Kroll 2010 J. Kroll, *The Coins of Sardis*, in: Cahill 2010a, 143–156.
- Kron 1984 U. Kron, *Archaisches Kultgeschirr aus dem Heraion von Samos. Zu einer speziellen Gattung von archaischem Trink- und Tafelgeschirr mit Dipinti*, in: H. A. G. Brijder (Hrsg.), *Ancient Greek and Related Pottery. Proceedings of the International Vase Symposium in Amsterdam, 12–15 April 1984* (Amsterdam 1984) 292–297.
- Kübler 1954 K. Kübler, *Die Nekropole des 10. bis 8. Jahrhunderts, Kerameikos 5, 1* (Berlin 1954).
- Kunisch 1971 N. Kunisch, *CVA Berlin, Antiquarium (4) = Deutschland (33)* (München 1971).
- Kunisch 1998 N. Kunisch, *Ornamente geometrischer Vasen. Ein Kompendium* (Köln 1998).
- Ladstätter 2002 S. Ladstätter, *Die hellenistischen Brennöfen und die darin gefundenen Miniaturgefäße unter dem Hanghaus 2 in Ephesos*, in: Akurgal u. a. 2002, 117–119.
- Ladstätter 2013 S. Ladstätter, *Thymiaterien der jüngeren römischen Kaiserzeit aus Ephesos*, in: G. Kökdemir (Hrsg.), *Festschrift Orhan Bingöl* (Ankara 2013) 317–338.
- Ladstätter – Sauer 2002 S. Ladstätter – R. Sauer, *Late Roman C Ware in Ephesos: The Significance of Imported and Local Production by Petrological and Mineralogical Methods*, in: V. Kilikoglou – A. Hein – Y. Maniatis (Hrsg.), *Modern Trends in Scientific Studies on Ancient Ceramics. Papers Presented at the 5th European Meeting on Ancient Ceramics, Athens 1999*, *BARIntSer* 1011 (Oxford 2002) 323–333.
- de La Genière 1992 J. de La Genière, *Cahiers de Claros 1* (Paris 1992).
- de La Genière – Jolivet 2003 J. de La Genière – V. Jolivet, *L'aire des sacrifices, Cahiers de Claros 2* (Paris 2003).
- Lamb 1931/1932 W. Lamb, *Antissa, BSA* 32, 1931/1932, 41–67.
- Lamb 1934/1935 W. Lamb, *Excavations at Kato Phana in Chios, BSA* 35, 1934/1935, 138–164.
- Lambrino 1938 M. Lambrino, *Les vases archaïques d'Histria* (Bukarest 1938).
- Lane 1933/1934 E. A. Lane, *Lakonian Vase-Painting, BSA* 34, 1933/1934, 99–198.
- Lang 1996 F. Lang, *Archaische Siedlungen in Griechenland. Struktur und Entwicklung* (Berlin 1996).
- Lang 2005 F. Lang, *Structural Change in Archaic Greek Housing*, in: Ault – Nevett 2005, 12–35.
- Lang 2007 F. Lang, *House – Community – Settlement: The New Concept of Living in Archaic Greece*, in: R. Westgate – N. Fisher – J. Whitley (Hrsg.), *Building Communities: House, Settlement and Society in the Aegean and Beyond. Proceedings of a Conference Held at Cardiff University, 17–21 April 2001* (London 2007) 183–193.

- Langmann 1967 G. Langmann, Eine spätarchaische Nekropole unter dem Staatsmarkt von Ephesos, in: Festschrift Fritz Eichler, *ÖJh Beih.* 1 (Wien 1967) 103–123.
- Langmann 1988 G. Langmann, Ephesos, *ÖJh* 58, 1988, Beibl. Grabungen 9.
- Langmann 1989 G. Langmann, Ephesos, Agora – Vorlysimachische Siedlung, *ÖJh* 59, 1989, Beibl. Grabungen 8.
- Langmann 1990 G. Langmann, Ephesos, Tetragonos Agora, *ÖJh* 60, 1990, Beibl. Grabungen 28–30.
- Langmann 1991/1992 G. Langmann, Ephesos, Agora, *ÖJh* 61, 1991/1992, Beibl. Grabungen 5 f.
- Langmann 1993 G. Langmann, Smyrna gefunden, in: G. Dobesch – G. Röehrenböck (Hrsg.), Die epigraphische und alttumskundliche Erforschung Kleinasiens. Hundert Jahre Kleinasiatische Kommission der Österreichischen Akademie der Wissenschaften. Akten des Symposiums vom 23. bis 25. Oktober 1990, *DenkschrWien* 236 (Wien 1993) 283–287.
- Langmann – Scherrer 1993 G. Langmann – P. Scherrer, Ephesos, Agora, *ÖJh* 62, 1993, Beibl. Grabungen 12–14.
- Laurenzi 1936 L. Laurenzi, Necropoli Ialisie (scavo dell'anno 1934), *ClRh* 8 (Rhodos 1936) 7–208.
- Lawall 1995 M. Lawall, Transport Amphoras and Trademarks: Imports to Athens and Economic Diversity in the Fifth Century BC (Ann Arbor, MI 1995).
- Lawall 2010 M. L. Lawall, Imitative Amphoras in the Greek World, in: H.-J. Drexhage – T. Matern – R. Rollinger – K. Ruffing – C. Schäfer (Hrsg.), *MBHA* 28 (Rahden 2010) 45–87.
- Lawall 2011 M. L. Lawall, Appendix I, Transport Amphoras from Well J 2:4, in: K. M. Lynch, The Symposium in Context. Pottery from a Late Archaic House near the Athenian Agora, *Hesperia Suppl.* 46 (Princeton, NJ 2011), 295–326.
- Lawall 2013 M. L. Lawall, Patterns in Production and Distribution of Transport Amphoras in the 5th century B.C.: an Archaeological Perspective on Economic Change, in: A. Slawisch (Hrsg.), Handels- und Finanzgebaren in der Ägäis im 5. Jh. v. Chr., *Byzas* 18 (Istanbul 2013) 103–120.
- Lawall 2017 M. L. Lawall, Regional Styles of Transport Amphora Production in the Archaic Aegean, in: S. Handberg – A. Gadolou (Hrsg.), Material Koinai in the Greek Early Iron Age and Archaic period. Acts of an International Conference at the Danish Institute at Athens, 30 January – 1 February 2015 (Aarhus 2017) 289–311.
- Lazzarini 1973/1974 M. L. Lazzarini, I nomi dei vasi greci nelle iscrizioni dei vasi stessi, *ArchCl* 25/26, 1973/1974, 341–375.
- Lehmann 1998 G. Lehmann, Trends in the Local Pottery Development of the Late Iron Age and Persian Period in Syria and Lebanon ca. 700 to 300 B.C., *BASOR* 311, 1998, 7–37.
- Leidwanger u. a. 2013 J. Leidwanger – H. Özdaş – E. S. Greene, Sourcing the Cargos of Three Archaic Shipwrecks: Kekova Adası, Kepçe Burnu and Çaycağiz Koyu, *Arkeometri Sonuçları Toplantısı* 27, 2013, 393–409.
- Lejpuskaja u. a. 2010 N. A. Lejpuskaja – P. Guldarger Bilde – J. Munk Højte – V. V. Krapivina – S. D. Kryžickij (Hrsg.), The Lower City of Olbia (Sector NGS) in the 6th Century BC to the 4th Century AD, *Black Sea Studies* 13, 2 (Aarhus 2010).
- Lemos 1986 A. A. Lemos, Archaic Chian Pottery, in: J. Boardman – C. E. Vaphopoulou-Richardson (Hrsg.), Chios. A Conference at the Homerion in Chios 1984 (Oxford 1986) 233–249.
- Lemos 1991 A. A. Lemos, Archaic Pottery of Chios. The Decorated Styles (Oxford 1991).
- Lentini 2000 M. C. Lentini, Una oinochoe *Middle Wild Goat* I da Naxos di Sicilia, in: Krinzinger 2000, 425–428.
- Liddy 1988 D. J. Liddy, A Chemical Study of Early Iron Age Pottery from the North Cemetery, Knossos, in: R. E. Jones – H. W. Catling (Hrsg.), New Aspects of Archaeological Science in Greece. Proceedings of a Meeting Held at the British School at Athens, January 1987, *Fitch Laboratory Occasional Paper* 3 (Athen 1988) 29–32.
- Löhlhöffel 2018 K. Löhlhöffel, Fikellura Mugs from the Taxiarchis Hill at Didyma, in: R. G. Gürtekin Demir – H. Cevizoglu – Y. Polat – G. Polat – G. R. Tsetsckhladze (Hrsg.), Archaic and Classical Western Anatolia: New Perspectives in Ceramic Studies. Proceedings of the Second International Conference on Ceramic Studies, *Colloquia Antiqua* 19 (Leiden 2018) 161–174.
- Lohmann 1995 H. Lohmann, Survey in der Chora von Milet. Vorbericht über die Kampagne der Jahre 1990, 1992 und 1993, in: V. von Greave, Milet 1992–1993, *AA* 1995, 311–322.
- Long 1990 L. Long, Amphores massaliètes: objets isolés et gisements sous-marins du littoral français méditerranéen, *Études Massaliètes* 2 (Lattes 1990) 27–70.
- Long u. a. 1992 L. Long – J. Miro – G. Volpe, Les épaves archaïques de la pointe Lequin, *Études Massaliètes* 3 (Lattes 1992) 199–234.
- Lo Porto 1978 F. G. Lo Porto, Le importazioni della Grecia dell'est in Puglia, in: CNRS 1978, 131–136.

- Lüdorf 2000 G. Lüdorf, Die Lekane. Typologie und Chronologie einer Leitform der attischen Gebrauchskeramik des 6.–1. Jhs. v. Chr., *Internationale Archäologie* 61 (Rahden 2000).
- Lungu 2011 V. Lungu, Données typologiques préliminaires sur les amphores à pâte grise de Mytilène, in: Tzocher 2011a, 179–189.
- Luraghi 2008 N. Luraghi, *The Ancient Messenians. Constructions of Ethnicity and Memory* (Cambridge 2008).
- Luraghi 2014 N. Luraghi, The Study of Greek Ethnic Identities, in: McInerney 2014, 213–227.
- Mac Sweeney 2013 N. Mac Sweeney, *Foundation Myths and Politics in Ancient Ionia*, *Cambridge Classical Studies* (Cambridge 2013).
- Malkin 2002 I. Malkin, A Colonial Middle Ground: Greek, Etruscan and Local Elites in the Bay of Naples, in: C. Lyons – J. Papadopoulos (Hrsg.), *The Archaeology of Colonialism* (Los Angeles 2002) 151–181.
- Malkin 2011 I. Malkin, *A Small Greek World. Networks in the Ancient Mediterranean* (Oxford 2011).
- Mallen 2011 L. Mallen, Gendering Space in Dark Age Nichoria, in: Mazarakis Ainian 2011, 385 f.
- Mallwitz 1981 A. Mallwitz, Kritisches zur Architektur Griechenlands im 8. und 7. Jahrhundert, *AA* 1981, 599–642.
- Maran 2012 J. Maran, One World is Not Enough: The Transformative Potential of Intercultural Exchange in Prehistoric Societies, in: Stockhammer 2012a, 59–66.
- Martelli-Cristofani 1978 M. Martelli-Cristofani, La ceramica greco-orientale in Etruria, in: *CNRS* 1978, 150–212.
- Maslov 2003 V. Maslov, The Finds of the North Ionian Pottery from a Scythian Barrow at the Northern Caucasus, in: Schmalz – Söldner 2003, 232 f.
- Masson 1962 O. Masson, Les fragments du poète Hipponax. Édition critique et commentée, *Études et commentaires* 43 (Paris 1962).
- Matteucci 1986 P. Matteucci, L'uso dei mortai di terracotta nell'alimentazione antica, *StClOr* 36, 1986, 239–277.
- Mazarakis Ainian 1988 A. Mazarakis Ainian, Early Greek Temples: Their Origin and Function, in: R. Hägg – N. Marinatos – G. C. Nordquist (Hrsg.), *Early Greek Cult Practice. Proceedings of the Fifth International Symposium at the Swedish Institute at Athens, 26–29 June, 1986*, *ActaAth* 4° 38 (Stockholm 1988) 105–119.
- Mazarakis Ainian 1997 A. Mazarakis Ainian, From Rulers' Dwellings to Temples. Architecture, Religion and Society in Early Iron Age Greece (1100–700 B.C.), *SIMA* 121 (Jonsered 1997).
- Mazarakis Ainian 2011 A. Mazarakis Ainian (Hrsg.), *The »Dark Ages« Revisited II* (Volos 2011).
- McInerney 2014 J. McInerney (Hrsg.), *A Companion to Ethnicity in the Ancient Mediterranean* (Oxford 2014).
- McLauchlin 1985 B. K. McLauchlin, *Lydian Graves and Burial Customs* (Diss. University of California, Berkeley 1985).
- McMullen Fisher 2000 S. McMullen Fisher, *Ceramics and Culture: The Archaic Finewares of Ilios* (Cincinnati 2000).
- Melchert 2010 H. C. Melchert, Lydian Language and Inscriptions, in: Cahill 2010a, 267–272.
- Mellaart 1955 J. Mellaart, The Iron Age Pottery from Southern Anatolia, *Bulleten* 74, 1955, 115–136.
- Menelaou u. a. 2016 S. Menelaou – O. Kouka – P. M. Day, Pottery Production and Exchange at the Heraion, Samos during the Late Third Millennium BC. First Steps in the Study of Technology and Provenance, *JASc Reports* 7, 2016, 480–488.
- Meriç 2009 R. Meriç, Das Hinterland von Ephesos. Archäologisch-topographische Forschungen im Kaystros-Tal, *ErghÖJh* 12 (Wien 2009).
- Metzger 1972 H. Metzger, Les céramiques archaïques et classiques de l'Acropole Lycienne, *FdX* 4 (Paris 1972).
- Miller 2007 M. C. Miller, The Poetics of Emulation in the Achaemenid World. The Figure Bowls of the »Lydian Treasure«, *AncWestEast* 6, 2007, 43–72.
- von Miller 2008 A. von Miller, Die Keramik des 5. Jahrhunderts aus der Oststadt von Elea/Velia (unpubl. Mag. Universität Wien 2008).
- von Miller 2013 A. von Miller, Die archaischen Siedlungsbefunde von Ephesos: Keramik, Kontexte und Chronologie (unpubl. Diss. Universität Wien 2013).
- von Miller 2015 A. von Miller, Archaic Pottery from Panayırdağ, Ephesos: New Evidences and First Results, in: R. G. Gürtekin-Demir – H. Cevizoğlu – Y. Polat – G. Polat (Hrsg.), *Keramos. Ceramics: A Cultural Approach. Proceedings of the First International Conference at Ege University, May 9–13, 2011, Izmir* (Ankara 2015) 184–196. 340–342.
- von Miller 2016 A. von Miller, Korinthisierende Kotylen in Ephesos: Ein Fallbeispiel zur ionischen Gefäßproduktion nach korinthischem Vorbild im späten 8. und frühen 7. Jahrhundert v. Chr., *IstMitt* 66, 2016, 59–133.

- von Miller 2018 A. von Miller, Pottery Remains from the Archaic Settlement underneath the Tetragonos-Agora, Ephesos. A Chronological Case Study on Archaic Settlement Pottery, in: R. G. Gürtekin Demir – H. Cevizoglu – Y. Polat – G. Polat – G. R. Tsetschladze (Hrsg.), *Archaic and Classical Western Anatolia: New Perspectives in Ceramic Studies. Proceedings of the Second International Conference on Ceramic Studies, Colloquia Antiqua 19* (Leiden 2018) 175–199.
- Miltner – Miltner 1932 F. Miltner – H. Miltner, Bericht über eine Voruntersuchung in Alt-Smyrna, *ÖJh* 27, 1932, Beibl. 129–188.
- Mohr 2007 M. Mohr, An welcher Stelle lag die archaisch-klassische Siedlung von Ephesos? Neue Überlegungen zur archäologischen und literarischen Evidenz, *ÖJh* 76, 2007, 301–320.
- Mommsen 2012 H. Mommsen, Herkunftsbestimmung von archaischen Scherben aus Naukratis und Tell Defenneh in Ägypten durch Neutronenaktivierungsanalyse, in: Schlotzhauer u. a. 2012, 433–455.
- Mommsen u. a. 2006 H. Mommsen – M. Kerschner – R. Posamentir, Provenance determination of 111 Pottery Samples from Berezan by Neutron Activation Analysis, *IstMitt* 56, 2006, 157–168.
- Monachov 1999 S. Y. Monachov, Греческие амфоры в причерноморье. Комплексы керамической тары VII – II веков до н. э. (Saratov 1999).
- Monachov 2003 S. Y. Monachov, Amphorae from Unidentified Centres in the Northern Aegean (the So Called »Proto-Thasian« Series According to I. B. Zeest), in: P. Guldager Bilde (Hrsg.), *The Cauldron of Ariantes. Studies Presented to A. N. Scegllov* (Aarhus 2003) 247–259.
- Moore – Philippides 1986 M. B. Moore – M. Z. P. Philippides, *Attic Black-Figured Pottery, Agora 23* (Princeton, NJ 1986).
- Morgan 1999 C. Morgan, The Late Bronze Age Settlement and Early Iron Age Sanctuary, Isthmia 8 (Princeton, NJ 1999).
- Morgan 2003 C. Morgan, *Early Greek States Beyond the Polis* (London 2003).
- Morgan 2009 C. Morgan, Ethnic Expression on the Early Iron Age and Early Archaic Greek Mainland. Where Should We Be Looking?, in: Derks – Roymans 2009, 11–36.
- Moustaka u. a. 2004 A. Moustaka – E. Skarlatidou – M.-C. Tzannes – Y. Ersoy (Hrsg.), *Klazomenai, Teos and Abdera: Metropoleis and Colony, Proceedings of the International Symposium Held at the Archaeological Museum of Abdera, Abdera, 20–21 October 2004* (Thessaloniki 2004).
- Murray 1988 O. Murray, The Ionian Revolt, in: J. Boardman (Hrsg.), *Persia, Greece and the Western Mediterranean c. 525 to 479 B.C.*, *CAH IV* 2 (Cambridge 1988) 461–490.
- Muscarella 1967 O. W. Muscarella, *Phrygian Fibulae from Gordion* (London 1967).
- Muss 2008a U. Muss (Hrsg.), *Die Archäologie der ephesischen Artemis. Gestalt und Ritual eines Heiligtums* (Wien 2008).
- Muss 2008b U. Muss, Zur Geschichte des Artemisions, in: Muss 2008a, 47–54.
- Muss 2008c U. Muss, Elfenbein und Bein aus dem Artemision von Ephesos, in: Muss 2008a, 103–116.
- Naso 2005 A. Naso, Anfore commerciali arcaiche a Mileto: rapporto preliminare, *AA* 2005/2, 73–84.
- Naso 2006 A. Naso (Hrsg.), *Stranieri e non cittadini nei santuari greci. Atti del convegno internazionale, Susma 2* (Florenz 2006).
- Nedev – Gyuzelev 2011 D. Nedev – M. Gyuzelev, The 6th Century BC Chian White-Slipped Amphorae from Apollonia (Results of the Most Recent Archaeological Investigations), in: Tzochew 2011a, 63–71.
- Neeft 1975 C. W. Neeft, Corinthian Fragments from Argos at Utrecht and the Corinthian Late Geometric Kotyle, *BABesch* 50, 1975, 97–134.
- Neeft 1981 C. W. Neeft, Observations on the Thapsos Class, *MEFRA* 93, 1981, 7–88.
- Neeft 1982 C. W. Neeft, Corinthian Hemispherical Kotylai, Thapsos Panel Cups and the West, in: *Cèramique grecque* 1982, 39–43.
- Neeft 1987 C. W. Neeft, Protocorinthian Subgeometric Aryballoi, *Allard Pierson Series 7* (Amsterdam 1987).
- Neeft 1995 C. W. Neeft, Corinthian Pottery in Magna Graecia, in: *Corinto e l'Occidente. Atti del trentaquattresimo convegno di studi sulla Magna Grecia, Taranto, 7–11 ottobre 1994*, *CMGr* 34, 1994 (Tarent 1995) 367–403.
- Neeft 2006 C. W. Neeft, Camarina e la sua ceramica corinzia, in: Pelagatti u. a. 2006, 77–107.
- Neeft 2012 C. W. Neeft, Absolute Chronology in Corinthian Pottery, in: R. N. Panvini – L. Sole (Hrsg.), *La Sicilia in età arcaica. Dalle apoikia al 480 a.C. Atti del Convegno internazionale, Caltanissetta, Museo archeologico, 27–28 marzo 2008* (Caltanissetta 2012) 485–496.

- Neeft (in Druckvorbereitung) C. W. Neeft, *Bouthrotos 2. The Pottery. Corinthian Pottery* (in Druckvorbereitung).
- Nicholls 1958/1959 R. V. Nicholls, *Old Smyrna: The Iron Age Fortifications and Associated Remains on the City Perimeter*, BSA 53/54, 1958/1959, 35–137.
- Niemeier 1999 W.-D. Niemeier, *Die Zierde Ioniens: ein archaischer Brunnen, der jüngere Athenatempel und Milet vor der Perserzerstörung*, AA 1999, 373–413.
- Nys – Åström 2001 K. Nys – P. Åström, *The Vase Collection in the Odense University*, SIMA 20.22 = *Corpus of Cypriote Antiquities 22* (Jonsered 2001).
- Oelsner 2004 J. Oelsner, *Mesopotamien und benachbarte Gebiete: Ende des 2./1. Hälfte des 1. Jahrtausend v. Chr.*, in: W. Eder – J. Renger (Hrsg.), *Herrscherchronologien der antiken Welt. Namen, Daten, Dynastien*, DNP Suppl. I (Stuttgart 2004) 18–25.
- Oglovski 1980 S. Y. Oglovski, *The Bronze Artefacts from Berezan*, SovA 1980/4, 190–201.
- Ohnesorg 1990 A. Ohnesorg, *Archaic Roof Tiles from the Heraion on Samos*, in: Winter 1990, 181–192.
- Ohnesorg 2007 A. Ohnesorg, *Der Kroisostempel. Neue Forschungen zum archaischen Dipteros der Artemis von Ephesos*, FiE 12, 4 (Wien 2007).
- Ohnesorg 2008 A. Ohnesorg, *Neue Forschungen zum archaischen Dipteros*, in: Muss 2008a, 263–273.
- Ohnesorg 2011 A. Ohnesorg, *Die Dachterrakotten aus dem Heraion von Samos*, AM 124, 2011, 19–167.
- Okay 2001 A. I. Okay, *Stratigraphic and Metamorphic Inversions in the Central Menderes Massif: A New Structural Model*, International Journal of Earth Sciences 89, 2001, 709–727.
- Okay 2008 A. I. Okay, *Geology of Turkey. A Synopsis*, in: Ü. Yalçın (Hrsg.), *Anatolian Metal IV, Anschnitt Beih. 21 = Veröffentlichungen des Deutschen Bergbau-Museum Bochum 157* (Bochum 2008) 19–42.
- von Olfers 1858 I. F. M. von Olfers, *Über die Lydischen Königsgräber bei Sardes und den Grabhügel des Alyattes nach dem Bericht des Kaiserlichen General-Consuls Spiegelthal zu Smyrna*, AbhBerl 1858, 539–556.
- Orlandini 1978 P. Orlandini, *Ceramiche della Grecia dell'est a Gela*, in: CNRS 1978, 93–98.
- Orton – Hughes 2013 C. Orton – M. Hughes, *Pottery in Archaeology*, Cambridge Manuals in Archaeology 2 (Cambridge 2013).
- Özer 2004 B. Özer, *Clazomenian and Related Black-Figured Pottery from Klazomenai: Preliminary Observations*, in: Moustaka u. a. 2004, 198–219.
- Özgen – Öztürk 1996 İ. Özgen – J. Öztürk, *The Lydian Treasure. Heritage Recovered* (Istanbul 1996).
- Özgünel 1978 C. Özgünel, *Spätgeometrische Keramik in Bayraklı (Alt-Smyrna)*, in: CNRS 1978, 17–26.
- Özgünel 2003 C. Özgünel, *Geometrische Keramik von Alt-Smyrna aus der Akurgal-Grabung*, in: Rückert – Kolb 2003, 69–89.
- Özyiğit 1988 Ö. Özyiğit, *Spätarchaische Funde im Museum von Ephesos und die Lage von Alt-Ephesos*, IstMitt 38, 1988, 83–96.
- Pantazis 1979 T. Pantazis, *Geological Map of Cyprus, 1:250.000*, Geological Survey Department, Government of Cyprus (1979).
- Panteleon 2013 N. Panteleon, *Die Kratere der archaischen Zeit aus Milet* (unpubl. Diss. Universität Bochum 2011, Mikrofiche-Ausgabe 2013).
- Papadopoulos 1997 J. K. Papadopoulos, *Phantom Euboians*, MedA 10, 1997, 191–219.
- Paspalas 1999 S. A. Paspalas, *A Lydian Oinochoe Identified*, MedA 12, 1999, 89–93 Taf. 14.
- Paspalas 2006 S. Paspalas, *The Non-Figured Wares from the Anglo-Turkish Excavations at Old Smyrna. Points of Contact with Naukratis*, in: Villing – Schlotzhauer 2006, 93–104.
- Paspalas 2009 S. A. Paspalas, *Greek Shapes among the Lydians: Retentions, Divergences and Developments*, in: Tsingarida 2009, 347–363.
- Pautasso 2008 A. Pautasso in: M. C. Lentini (Hrsg.), *Vasi del Wild Goat Style dalla Sicilia e dai Musei Europei. Ausstellungskatalog Gela* (Gela 2008) 80–112.
- Pautasso 2009 A. Pautasso, *La ceramica greco-orientale. Stipe votiva del Santuario di Demetra a Catania 2 = Studi e materiali di archeologia greca 9* (Catania 2009).
- Payne 1931 H. G. G. Payne, *Necrocorinthia. A Study of Corinthian Art in the Archaic Period* (Oxford 1931).
- Payne 1940 H. Payne, *Perachora. The Sanctuaries of Hera Akraia and Limenia. Excavations of the British School of Archaeology at Athens, 1930–1933, 1. Architecture, Bronzes, Terracottas* (Oxford 1940).
- Payne 1974 H. G. G. Payne, *Protokorinthische Vasenmalerei, Forschungen zur antiken Keramik Reihe 1, Bilder griechischer Vasen 7* (Mainz 1974).
- Pedley 1972 J. G. Pedley, *Ancient Literary Sources on Sardis, Archaeological Exploration of Sardis, Monograph 2* (Cambridge, MA 1972).

- Pekin 2015 A. V. Pekin, *Foça Tarihi. The History of Phokaia* (Istanbul 2015).
- Pelagatti 1982 P. Pelagatti, I più antichi materiali di importazione a Siracusa, a Naxos e in altri siti della Sicilia Orientale, in: *Céramique grecque* 1982, 113–180.
- Pelagatti u. a. 2006 P. Pelagatti – G. di Stefano – L. de Lachenal (Hrsg.), *Camarina. 2600 anni dopo la fondazione. Nuovi studi sulla città e sul territorio. Atti del convegno internazionale, Ragusa, 7 dicembre 2002/7–9 aprile 2003* (Ragusa 2006).
- Peloschek 2016 L. Peloschek, *Archaeometric Analyses of Ceramic Household Inventories: Current Research in Ephesos and at Çukuriçi Höyük*, *Arkeometri Sonuçları Toplantısı* 31, 2016, 253–260.
- Peloschek 2017 L. Peloschek, *Social Dynamics and the Development of New Pottery Signatures at Çukuriçi Höyük, 7th to 3rd Millennium BC*, in: B. Horejs (Hrsg.), *Çukuriçi Höyük 1. Anatolia and the Aegean from the 7th to the 3rd Millennium BC*, *Oriental and European Archaeology* 5 (Wien 2017) 125–137.
- van Pelt 2013 P. van Pelt (Hrsg.), *Archaeology and Cultural Mixture*, *Archaeological Review from Cambridge* 28, 1 (Cambridge 2013).
- Pemberton 1981 E. G. Pemberton, *The Attribution of Corinthian Bronzes*, *Hesperia* 50, 1981, 101–111.
- Pemberton 1989 E. G. Pemberton, *The Sanctuary of Demeter and Kore. The Greek Pottery*, *Corinth* 18, 1 (Princeton, NJ 1989).
- Perrot – Chipiez 1890 G. Perrot – C. Chipiez, *Histoire de l'art dans l'antiquité. Égypte – Assyrie – Phénicie – Judée – Asie Mineure – Perse – Grèce – Étrurie – Rome V. Perse – Phrygie – Lydie et Carie – Lycie* (Paris 1890).
- Petrie 1886 W. M. F. Petrie, *Naukratis 1. 1884–5, Memoir of the Egypt Exploration Fund* 3 (London 1886).
- Pfaff 1988 C. A. Pfaff, *A Geometric Well at Corinth: Well 1981-6*, *Hesperia* 57, 1988, 21–80.
- Pierro 1978 E. Pierro, *Ceramiche greco-orientali di Tarquinia*, in: *CNRS* 1978, 231–238.
- Ploug 1973 G. Ploug, *Sukas 2. Aegean, Corinthian and Eastern Greek Pottery and Terracottas*, *Publications of the Carlsberg Expedition to Phoenicia 2 = Historisk-filologiske skrifter* 6, 2 (Kopenhagen 1973).
- Posamentir 2002 R. Posamentir, *Beobachtungen zu archaischen Deckeln: Tierfries und »Graue Ware«*, *AA* 2002/1, 9–26.
- Posamentir 2006 R. Posamentir, *The Greeks in Berezan and Naukratis: A Similar Story?*, in: *Villing – Schlotzhauer* 2006, 159–167.
- Posamentir – Solovyov 2006 R. Posamentir – S. Solovyov, *Zur Herkunftsbestimmung archaisch-ostgriechischer Keramik: die Funde aus Berezan in der Eremitage von St. Petersburg I*, *IstMitt* 56, 2006, 103–128.
- Posamentir – Solovyov 2007 R. Posamentir – S. Solovyov, *Zur Herkunftsbestimmung archaisch-ostgriechischer Keramik: die Funde aus Berezan in der Eremitage von St. Petersburg II*, *IstMitt* 57, 2007, 179–207.
- Posamentir u. a. 2009 R. Posamentir – N. Arslan – I. Bîrzescu – H. Mommsen – S. Karagöz, *Zur Herkunftsbestimmung archaisch-ionischer Keramik III: Funde aus den Hellespontstädten, Histria und Olbia*, *IstMitt* 59, 2009, 35–50.
- Pottier – Reinach 1887 E. Pottier – S. Reinach, *La nécropole de Myrina. Recherches archéologiques*, *BEFAR* 8 (Paris 1887).
- Prayon – Wittke 1994 F. Prayon – A.-M. Wittke, *Kleinasien vom 12. bis 6. Jh. v. Chr., Kartierung und Erläuterung archäologischer Befunde und Denkmäler*, *TAVO Beih. Reihe B, Geisteswissenschaften* 82 (Wiesbaden 1994).
- Preda – Nubar 1973 C. Preda – H. Nubar, *Descoperirile Monetare 1914–1970*, *Histria* 3 (Bukarest 1973).
- Price 1924 E. R. Price, *Pottery of Naukratis*, *JHS* 44, 1924, 180–222.
- Pülz 2009 A. M. Pülz, *Goldfunde aus dem Artemision von Ephesos. Mit einem Beitrag von B. Bühler*, *FiE* 12, 5 (Wien 2009).
- Radt 1986 W. Radt, *Lampen und Beleuchtung in der Antike*, *AW* 17/1, 1986, 40–58.
- Radt 1992 W. Radt, *Die frühesten Wehrmauern von Pergamon und die zugehörigen Keramikfunde*, *IstMitt* 42, 1992, 163–280.
- Raeder 1993 J. Raeder, *Kunstlandschaft und Landschaftsstil. Begriffe, Anschauungen und deren methodische Grundlagen*, in: K. Zimmermann (Hrsg.), *Der Stilbegriff in den Altertumswissenschaften* (Rostock 1993) 105–109.
- Ramage 1994a A. Ramage, *Early Iron Age Sardis and Its Neighbours*, in: *Çilingiroğlu – French* 1994, 163–172.
- Ramage 1994b N. H. Ramage, *Pactolus Cliff: An Iron Age Site at Sardis and its Pottery*, in: *Çilingiroğlu – French* 1994, 173–183.

- Ramage u. a. 1983 A. Ramage – S. M. Goldstein – W. E. Mierse, Lydian Excavation Sectors, in: Hanfmann 1983a, 26–52.
- Ratté 2011 C. Ratté, Lydian Architecture. Ashlar Masonry Structures at Sardis, Archaeological Exploration of Sardis Report 5 (Cambridge, MA 2011).
- Reger 2007 G. Reger, Regions Revisited. Identifying Regions in a Greco-Roman Mediterranean Context, *FACTA. A Journal of Roman Material Culture Studies* 1, 2007, 65–74.
- Reger 2013 G. Reger, Economic Regionalism in Theory and Practice, in: Tsingarida – Viviers 2013, 119–131.
- Reger 2014 G. Reger, Ethnic Identities, Borderlands, and Hybridity, in: McInerney 2014, 112–126.
- Rhomiopoulou 1978 K. Rhomiopoulou, Pottery Evidence from the North Aegean (8th–6th Cent. B.C.), in: CNRS 1978, 62–65.
- Richter 1935 G. M. A. Richter, Shapes and Names of Athenian Vases (New York 1935).
- Richter 1980 G. M. A. Richter, *A Handbook of Greek Art* ⁷(London 1980).
- Riederer 2007 J. Riederer, Die mikroskopische Untersuchung der archaischen Keramik von Didyma, in: Schattner 2007, 51–58.
- Robertson 1977 A. H. F. Robertson, The Origin and Diagenesis of Chert from Cyprus, *Sedimentology* 24, 1977, 11–30.
- Robertson 1940 M. Robertson, The Excavation at Al Mina, Suedia IV. The Early Greek Vases, *JHS* 60, 1940, 2–21.
- Robertson 1948 M. Robertson, Excavations in Ithaca V. The Geometric and Later Finds from Aetos, *The Finds, BSA* 43, 1948, 9–124.
- Roebuck 1972 C. Roebuck, Some Aspects of Urbanization in Corinth, *Hesperia* 41, 1972, 96–127.
- Rogl 2002 C. Rogl, Zu Lokalisierung, Definition und Zeitstellung der sog. PAR-Monogramm-Werkstätte, in: Kerschner – Mommsen u. a. 2002, 193–198.
- Rollinger 2008 R. Rollinger, The Median ›Empire‹, the End of Urartu and Cyrus the Great's Campaign in 547 BC (Nabonidus Chronicle II 16), *AncWestEast* 7, 2008, 51–65.
- Roosevelt 2009 C. H. Roosevelt, *The Archaeology of Lydia, from Gyges to Alexander* (Cambridge 2009).
- Roosevelt 2010 C. H. Roosevelt, Lydia Before the Lydians, in: Cahill 2010a, 37–73.
- Rotroff – Oliver 2003 S. I. Rotroff – A. Oliver, Jr., The Hellenistic Pottery from Sardis: The Finds Through 1994, *Archaeological Exploration of Sardis, Monograph 12* (Cambridge, MA 2003).
- Ruban 1991 V. V. Ruban, An Attempt of Classification of So-Called Milesian Amphorae from the Lower Bug Area, *SovA* 1991/2, 182–195.
- Rückert – Kolb 2003 B. Rückert – F. Kolb (Hrsg.), Probleme der Keramikchronologie des südlichen und westlichen Kleinasiens in geometrischer und archaischer Zeit. Internationales Kolloquium, Tübingen 24.3.–26.3.1998, *Antiquitas. Reihe 3, Abhandlungen zur Vor- und Frühgeschichte, zur klassischen und provinzial-römischen Archäologie und zur Geschichte des Altertums*, 44 (Bonn 2003).
- Rumpf 1920 A. Rumpf, Lydische Salbgefäße, *AM* 45, 1920, 163–170.
- Salzmann 1875 A. Salzmann, Nécropole de Camiros. *Journal des fouilles exécutées dans cette nécropole pendant les années 1858 à 1865* (Paris 1875).
- Sams 2011 G. K. Sams, Artefacts, in: C. B. Rose – G. Darbyshire (Hrsg.), *The New Chronology of Iron Age Gordion* (Philadelphia 2011) 59–78.
- Sanchez-Stockhammer 2012 C. Sanchez-Stockhammer, Hybridization in Language, in: Stockhammer 2012a, 133–158.
- di Sandro 1986 N. di Sandro, Le anfore arcaiche dello scarico Gosetti, Pithecusa. *Cahiers du Centre Jean Berard* 12 (Neapel 1986).
- Sapouna-Sakellarakis 1978 E. Sapouna-Sakellarakis, Die Fibeln der griechischen Inseln, *PBF* 14, 4 (München 1978).
- Sauer 1995 R. Sauer, Produktionszentren späthellenistischer und römischer Keramik an der W-Küste Kleinasiens, Unveröffentlichter Bericht über die archäometrischen Untersuchungen für das FWF-Projekt Nr. P 9280 (Wien 1995).
- Sauer 2004 R. Sauer, Mineralogisch-petrographische Analysen von Dachziegelproben des Artemisions, in: Schädler – Schneider 2004, 61–69.
- Sauer – Ladstätter 2008 R. Sauer – S. Ladstätter, Petrografisch-mineralogische Analysen ausgewählter Amphoren und Küchenwaren, in: M. Steskal – M. La Torre (Hrsg.), *Das Vediusgymnasium in Ephesos. Archäologie und Baubefund, FiE* 14, 1 (Wien 2008) 173–186.
- Sauer – Waksman 2005 R. Sauer – Y. Waksman, Laboratory Investigations of Selected Medieval Sherds from the Artemision in Ephesus, in: F. Krininger (Hrsg.), *Spätantike und mittelalterliche Keramik aus Ephesos, DenkschrWien* 332 = *AForsch* 13 (Wien 2005) 51–66.

- Schädler – Schneider 2004 U. Schädler – P. Schneider, Ein frühes Tondach aus dem Artemision von Ephesos, *Ergh-ÖJh* 6 (Wien 2004).
- Schädler – Schneider 2008 U. Schädler – P. Schneider, Ein Tondach des 7. Jahrhunderts, in: Muss 2008a, 255–262.
- Schaeffer u. a. 1997 J. Snyder Schaeffer – N. H. Ramage – C. H. Greenewalt, Jr., *The Corinthian, Attic and Lakonian Pottery from Sardis, Archaeological Exploration of Sardis, Monograph 10* (Cambridge, MA 1997).
- Schattner 1990 T. Schattner, Griechische Hausmodelle. Untersuchungen zur frühgriechischen Architektur, *AM Beih.* 15 (Berlin 1990).
- Schattner 1996 T. Schattner, Die Fundkeramik, in: K. Tuchelt – T. Wiegand – A. Furtwängler (Hrsg.), *Ein Kultbezirk an der Heiligen Straße von Milet nach Didyma, Didyma 3, 1* (Mainz 1996) 163–216.
- Schattner 2000 T. Schattner, Cerámicas Jonias de Didyma y de Samos: algunos aspectos técnicos y metodológicos, in: Cabrera Bonet – Santos Retolaza 2000, 47–55.
- Schattner 2003 T. Schattner, Möglichkeiten und Grenzen der Bearbeitung geometrisch-archaischer Fundkeramik am Beispiel Didymas, in: Rückert – Kolb 2003, 61–68.
- Schattner 2006 T. Schattner, Panionionschalen, in: Biering 2006, 221–229.
- Schattner 2007 T. Schattner, Die Fundkeramik vom 8. bis zum 4. Jahrhundert v. Chr., *Ergebnisse der Ausgrabungen und Untersuchungen seit dem Jahre 1962, Didyma 3, 4* (Mainz 2007).
- Schaus 1985 G. P. Schaus, *The East Greek, Island and Laconian Pottery. The Extramural Sanctuary of Demeter and Persephone at Cyrene, Lybia. Final Reports 2* (Philadelphia 1985).
- Schaus 1986 G. P. Schaus, Two Fikellura Vase Painters, *BSA* 81, 1986, 251–295.
- Schaus 1992 G. P. Schaus, Imported West Anatolian Pottery at Gordion, *AnSt* 42, 1992, 151–177.
- Scheibler 1976 I. Scheibler, Griechische Lampen, *Kerameikos* 11 (Berlin 1976).
- Scherrer 1994 P. Scherrer, Ephesos, Agora, *ÖJh* 93, 1994, Beibl. Grabungen 11–14.
- Scherrer 1996 P. Scherrer, Ephesos, Agora, archaisch-klassisches Dorf, *ÖJh* 65, 1996, Beibl. Grabungen 7–12.
- Scherrer 1997 P. Scherrer, Ephesos, Agora, *ÖJh* 66, 1997, Beibl. Grabungen 4–6.
- Scherrer 1999 P. Scherrer, Bemerkungen zur Siedlungsgeschichte von Ephesos vor Lysimachos, in: H. Friesinger – F. Krinzinger (Hrsg.), *100 Jahre Österreichische Forschungen in Ephesos. Akten des Symposions Wien 1995, AForsch 1 = DenkschrWien 266* (Wien 1999) 379–387.
- Scherrer 2000 P. Scherrer, Einführung in die Siedlungsgeschichte, in: Kerschner u. a. 2000, 45–47.
- Scherrer 2007 P. Scherrer, Von Apaša nach Hagios Theologos. Die Siedlungsgeschichte des Raumes Ephesos von prähistorischer bis in byzantinische Zeit unter dem Aspekt der maritimen und fluvialen Bedingungen, *ÖJh* 76, 2007, 321–351.
- Scherrer – Trinkl 2006 P. Scherrer – E. Trinkl, Die Tetragonos Agora in Ephesos. Grabungsergebnisse von archaischer bis in byzantinische Zeit – ein Überblick. Befunde und Funde klassischer Zeit, *FiE* 13, 2 (Wien 2006).
- Schiering 1957 W. Schiering, Werkstätten orientalisierender Keramik auf Rhodos (Berlin 1957).
- Schiering 1968 W. Schiering, Aus einem ostgriechischen Kindergrab, *JbBerlMus* 18, 1968, 2–6.
- Schiering 1979 W. Schiering, Eine Erweiterung der Grabung östlich des Athenatempels, *IstMitt* 29, 1979, 77–107.
- Schlotzhauer 1995 U. Schlotzhauer, Knickrandschalen von Milet, *Typologie* (unpubl. Mag. Universität Bochum 1995).
- Schlotzhauer 1999a U. Schlotzhauer, Funde aus Milet IV. Beobachtungen zu Trinkgefäßen des Fikellurastils, *AA* 1999, 223–239.
- Schlotzhauer 1999b U. Schlotzhauer, Knickrandskyphoi und -schalen aus der Nordabhangsondage, in: Kerschner 1999, 21–23.
- Schlotzhauer 2000 U. Schlotzhauer, Die südionischen Knickrandschalen: Formen und Entwicklung der sog. Ionischen Schalen in archaischer Zeit, in: Krinzinger 2000, 407–416.
- Schlotzhauer 2001 U. Schlotzhauer, Ausgewählte ostgriechische Keramik aus Naukratis im Blickwinkel neuer Forschungen, in: Höckmann – Kreikenbom 2001, 111–125.
- Schlotzhauer 2006a U. Schlotzhauer, Some Observations on Milesian Pottery, in: Villing – Schlotzhauer 2006, 133–144.
- Schlotzhauer 2006b U. Schlotzhauer, Griechen in der Fremde: wer weihte in den Filialheiligtümern der Samier und Milesier in Naukratis? Mit einem epigraphischen Beitrag von W. Röllig, in: Naso 2006, 292–324.
- Schlotzhauer 2007 U. Schlotzhauer, Zum Verhältnis zwischen sog. Tierfries- und Fikellurastil (SiA I und II) in Milet, in: Cobet u. a. 2007, 263–293.
- Schlotzhauer 2010 U. Schlotzhauer, The Chronology of Pottery from Asia Minor: A Review Article, *AncWestEast* 9, 2010, 259–271.

- Schlotzhauer 2012 U. Schlotzhauer, Untersuchungen zur archaischen Keramik aus Naukratis, in: Schlotzhauer u. a. 2012, 21–195.
- Schlotzhauer 20014 U. Schlotzhauer, Die südionischen Knickrandschalen. Eine chronologische Untersuchung zu den sog. Ionischen Schalen in Milet. (Diss. Universität Bochum 2001) <<http://www-brs.ub.ruhr-uni-bochum.de/netahtml/HSS/Diss/SchlotzhauerUdo/diss.pdf>> (2. 12. 2014).
- Schlotzhauer – Villing 2006 U. Schlotzhauer – A. Villing, East Greek Pottery from Naukratis: The Current State of Research, in: Villing – Schlotzhauer 2006, 53–68.
- Schlotzhauer u. a. 2012 U. Schlotzhauer – S. Weber – H. Mommsen, Griechische Keramik des 7. und 6. Jhs. v. Chr. aus Naukratis und anderen Orten in Ägypten, Archäologische Studien zu Naukratis 3 (Worms 2012).
- Schmaltz – Söldner 2003 B. Schmaltz – M. Söldner (Hrsg.), Griechische Keramik im kulturellen Kontext. Akten des Internationales Vasen-Symposiums in Kiel vom 24. bis 28.9.2001 (Münster 2003).
- Schneider 1990 P. Schneider, New Information from the Discovery of an Archaic Tiled Roof in Ionia, in: Winter 1990, 211–222.
- Schneider – Japp 2009 G. Schneider – S. Japp, Röntgenfluoreszenzanalysen von 115 Keramikproben aus Pergamon, Çandarlı, Elaia und Atarneus (Türkei), *IstMitt* 59, 2009, 287–306.
- Schwertheim – Winter 2005 E. Schwertheim – E. Winter (Hrsg.), Neue Forschungen zu Ionien. Festschrift Fahri Işık, *AMS* 54 (Bonn 2005).
- Seifert 2004 M. Seifert, Herkunftsbestimmung archaischer Keramik am Beispiel von Amphoren aus Milet, *BARIntSer* 1233 (Oxford 2004).
- Seipel 2008 W. Seipel (Hrsg.), Das Artemision von Ephesos. Heiliger Platz einer Göttin. Ausstellungskatalog Wien (Wien 2008).
- Selesnow 1997 W. Selesnow, Ausgewählte Lampen vom Kalabak- und Zeytintepe, in: V. von Graeve, Milet 1994–1995. Vorbericht über die Grabungsarbeiten und Geländeerkundungen, die Denkmälerrestaurierung und die naturwissenschaftlichen Begleitprogramme der Miletgrabung in den Jahren 1994 und 1995, *AA* 1997, 137–143.
- Şenel 2002 M. Şenel, Geological Map of Turkey – Izmir, 1:500 000, General Directorate of Mineral Research and Exploration (2002).
- Senff 1995 R. Senff, Die Grabung am Kalabaktepe, *AA* 1995, 208–214.
- Senff 2000 R. Senff, Die archaische Wohnbebauung am Kalabaktepe in Milet, in: Krinzinger 2000, 29–37.
- Senff 2007 R. Senff, Die Ergebnisse der neuen Grabungen im archaischen Milet – Stratigraphie und Chronologie, in: Cobet u. a. 2007, 319–326.
- Sezgin 2004 Y. Sezgin, Clazomenian Transport Amphorae of the Seventh and Sixth Centuries, in: Moustaka u. a. 2004, 169–183.
- Sezgin 2012 Y. Sezgin, Arkaik dönem ionia üretimi ticari amphoralar (Istanbul 2012).
- Sinn 1985 U. Sinn, Der sog. Tempel D im Heraion von Samos II. Ein archäologischer Befund aus der nachpolykratischen Zeit, *AM* 100, 1985, 129–158.
- Skarlatidou 2004 E. Skarlatidou, The Archaic Cemetery of the Clazomenian Colony at Abdera, in: Moustaka u. a. 2004, 249–259.
- Slane – Kiriati 2014 K. Warner Slane – E. Kiriati, Kythera al Fresco: Middle and Late Roman Cooking Pots from the Aegean Region, in: N. Poulou-Papadimitriou – E. Nodarou – V. Kilikoglou (Hrsg.), *LRCW* 4. Late Roman Coarse Wares, Cooking Wares and Amphorae in the Mediterranean. Archaeology and Archaeometry. The Mediterranean: A Market Without Frontiers, *BARIntSer* 2616 (Oxford 2014) 907–918.
- Slaska 1978 M. Slaska, Gravisca. Le ceramiche comuni di produzione greco-orientale, in: *CNRS* 1978, 223–230.
- Smith 2009 T. J. Smith, East Greek Pottery in the Collection of the British School at Athens, *BSA* 104, 2009, 341–360.
- Snodgrass 1964 A. Snodgrass, Early Greek Armour and Weapons. From the End of the Bronze Age to 600 B.C. (Edinburgh 1964).
- Solovyov 1999 S. L. Solovyov, Ancient Berezan: The Architecture, History and Culture of the First Greek Colony in the Northern Black Sea, *Colloquia Pontica* 4 (Leiden 1999).
- Solovyov 2007 S. Solovyov, Ancient Greek Pioneering in the Northern Black Sea Coastal Area in the Seventh Century BC, in: G. Erkut – S. Mitchell (Hrsg.), *The Black Sea: Past, Present and Future* (Ankara 2007) 37–43.
- Sourisseau 2006 J.-C. Sourisseau, Les amphores commerciales de la nécropole di Rifriscolaro à Camarine. Remarques préliminaires sur les productions corinthiennes de type A, in: Pelagatti u. a. 2006, 129–147.
- Sparkes 1962 B. A. Sparkes, The Greek Kitchen, *JHS* 82, 1962, 121–137.

- Sparkes 1991
Sparkes – Talcott 1970
Spataro – Villing 2009
- van der Spek 2014
- Stager 2011a
Stager 2011b
Stager 2011c
Stager u. a. 2008
- Stager u. a. 2011
- Stähler 1984
- Steskal 2008a
Steskal 2008b
- Stillwell – Benson 1984
- Stibbe 1972
Stibbe 1989
Stibbe 2004
- Stockhammer 2012a
Stockhammer 2012b
Stockhammer 2013
- Strøm 1971
- Stronach 2008
- Technau 1929
Tezgör – Sezer 1995
- Thalman 1977
Tölle-Kastenstein 1974
- Trinkl 2009
Trinkl u. a. 2006
- Tsakos 2007
- Tsetschladze 1994
- B. A. Sparkes, *Greek Pottery. An Introduction* (Manchester 1991).
- B. A. Sparkes – L. Talcott, *Black and Plain Pottery, Agora 12* (Princeton, NJ 1970).
- M. Spataro – A. Villing, *Scientific Investigation of Pottery Grinding Bowls from the Archaic and Classical Eastern Mediterranean, The British Museum Technical Research Bulletin 3*, 2009, 89–100.
- R. J. van der Spek, *Cyrus the Great, Exiles, and Foreign Gods. A Comparison of Assyrian and Persian Policies on Subject Nations*, in: M. Kozuh u. a. (Hrsg.), *Extraction & Control. Studies in Honor of Matthew W. Stolper, Studies in Ancient Oriental Civilisations 68* (Chicago 2014) 233–264.
- L. E. Stager, *Ashkelon on the Eve of Destruction in 604 B.C.*, in: Stager u. a. 2011, 3–11.
- L. E. Stager, *Pottery Classification and Petrographic Analysis*, in: Stager u. a. 2011, 53–69.
- L. E. Stager, *Cypriot and North Syrian Pottery*, in: Stager u. a. 2011, 103–106.
- L. E. Stager – J. D. Schloen – D. M. Master (Hrsg.), *Ashkelon I. Introduction and Overview (1985–2006), Final Reports of the Leon Levy Expedition to Ashkelon 1*, Harvard Semitic Museum Publications (Winona Lake, IN 2008).
- L. E. Stager – D. M. Master – J. D. Schloen, *Ashkelon III. The Seventh Century B.C., Final Reports of the Leon Levy Expedition to Ashkelon 3*, Harvard Semitic Museum Publications (Winona Lake, IN 2011).
- K. Stähler, *Antiken der Sammlung W. W. I. Lydische und anatolische Gefäße*, *Boreas 7*, 1984, 367–372.
- M. Steskal, *Einleitung*, in: Kerschner u. a. 2008, 11–20.
- M. Steskal, *Der Grabungsbefund im Vedioseum, in: Kerschner u. a. 2008, 21–23.*
- A. N. Stillwell – J. L. Benson, *The Potters' Quarter. The Pottery, Corinth 15, 3* (Princeton, NJ 1984).
- C. M. Stibbe, *Lakonische Vasenmaler des sechsten Jahrhunderts v. Chr., Studies in Ancient Civilisation. New Series I* (Amsterdam 1972).
- C. M. Stibbe, *Laconian Mixing Bowls. A History of the Krater Lakonikos from the Seventh to the Fifth Century B.C.* (Amsterdam 1989).
- C. M. Stibbe, *Lakonische Vasenmaler des 6. Jahrhunderts v. Chr., Supplement* (Mainz 2004).
- P. W. Stockhammer (Hrsg.), *Conceptualizing Cultural Hybridization. A Transdisciplinary Approach, Transcultural Research – Heidelberg Studies on Asia and Europe in a Global Context* (Berlin 2012).
- P. W. Stockhammer, *Conceptualizing Cultural Hybridization in Archaeology*, in: Stockhammer 2012a, 43–58.
- P. W. Stockhammer, *From Hybridity to Entanglement, from Essentialism to Practise*, in: van Pelt 2013, 11–28.
- I. Strøm, *Problems Concerning the Origin and Early Development of the Etruscan Orientalizing Style*, *Odense University Classical Studies 2* (Odense 1971).
- D. Stronach, *The Building Program of Cyrus the Great at Pasargadae and the Date of the Fall of Sardis*, in: S. M. Darbandi – A. Zournatzi (Hrsg.), *Ancient Greece and Ancient Iran. Cross-Cultural Encounters, 1st International Conference Athens, 11–13 November 2006* (Athen 2008) 149–173.
- W. Technau, *Griechische Keramik im samischen Heraion*, *AM 54*, 1929, 6–66.
- D. K. Tezgör – T. Sezer, *Catalogue des lamps en terre cuite du Musée Archeologique d'Istanbul I. Époques protohistorique, archaïque, classique et hellénistique*, *Varia Anatolica 6, 1* (Paris 1995).
- J. P. Thalman, *Céramique trouvée à Amathonte*, in: Gjerstad 1977a, 65–86.
- R. Tölle-Kastenstein, *Das Kastro Tigani. Die Bauten und Funde griechischer, römischer und byzantinischer Zeit*, *Samos 14* (Bonn 1974).
- E. Trinkl, *Sacrificial and Profane Use of Greek Hydriai*, in: Tsingarida 2009, 153–171.
- E. Trinkl – H. Mommsen – A. Schwedt, *Neutronenaktivierungsanalysen an klassischer Keramik zur Herkunftsbestimmung*, in: Scherrer – Trinkl 2006, 246–250.
- K. Tsakos, *Die Stadt Samos in der geometrischen und archaischen Epoche*, in: Cobet u. a. 2007, 189–199.
- G. R. Tsetschladze, *Greek Penetration of the Black Sea*, in: G. R. Tsetschladze – F. de Angelis (Hrsg.), *The Archaeology of Greek Colonisation. Essays dedicated to Sir John Boardman* (Oxford 1994) 111–199.

- Tsetskhladze 1998 G. R. Tsetskhladze (Hrsg.), *The Greek Colonisation of the Black Sea* (Stuttgart 1998).
- Tsingarida 2009 A. Tsingarida (Hrsg.), *Shapes and Uses of Greek Vases (7th–4th Centuries B.C.)*. Proceedings of the Symposium Held at the Université Libre de Bruxelles 27–29 April 2006, *Études d'archéologie* 3 (Brüssel 2009).
- Tsingarida – Viviers 2013 A. Tsingarida – D. Viviers (Hrsg.), *Pottery Markets in the Ancient Greek World (8th–1st Centuries B.C.)*. Proceedings of the International Symposium Held at the Université Libre de Bruxelles 19–21 June 2008, *Études d'archéologie* 5 (Brüssel 2013).
- Tuchelt 1971 K. Tuchelt, Didyma. Bericht über die Arbeiten 1969/70 mit Beiträgen von Helga Gesche und Wolfgang Guthu, *IstMitt* 21, 1971, 45–108.
- Tzannes 2004 M.-C. Tzannes, The Excavations of G. Oikonomos at the Archaic Cemetery of Monastirakia in Klazomenai, 1921–22, in: Moustaka u. a. 2004, 97–120.
- Tzochev 2011a C. Tzochev (Hrsg.), *Production and Trade of Amphorae in the Black Sea*. Acts of the International Round Table Held in Kiten, Nessebar and Sredetz, September 26–30, 2007, *PATABS* 2 (Sofia 2011).
- Tzochev 2011b C. Tzochev, *Archaic Amphora Import from Thracian Sites Around the Bay of Bourgas*, in: Tzochev 2011a, 73–86.
- Ulf 2014 C. Ulf, *Rethinking Cultural Contacts*, in: R. Rollinger – K. Schnegg (Hrsg.), *Kulturkontakte in antiken Welten. Vom Denkmodell zum Fallbeispiel*. Proceedings des internationalen Kolloquiums aus Anlass des 60. Geburtstages von Christoph Ulf, Innsbruck, 26.–30. Januar 2009 (Leuven 2014) 507–564.
- Ulitin 2013 V. V. Ulitin, *Trade Relations between the Maeotian Tribes of the Kuban and the Ancient World Based on the Evidence of Amphorae (End of the 7th Century – First Half of 1st Century B.C.)*, in: G. R. Tsetskhladze – S. Atasoy – A. Avram – Ş. Dönmez – J. Hargrave (Hrsg.), *The Bosphorus: Gateway between the Ancient West and East (1st Millennium BC – 5th Century AD)* (Oxford 2013) 89–101.
- Utili 1999 F. Utili, *Die archaische Nekropole von Assos*, *AMS* 31 (Bonn 1999).
- Vacek 2012 A. Vacek, *Greek and Related Pottery from Al Mina. A Case Study of Production, Consumption and Distribution of Greek Pottery in the Eastern Mediterranean from the 9th to the End of the 7th Century B.C.* (unpubl. Diss. Universität Oxford 2012).
- Vassileva 2012 M. Vassileva, *Early Bronze Fibulae and Belts from the Gordion Citadel Mound*, in: C. B. Rose (Hrsg.), *The Archaeology of Phrygian Gordion, Royal City of Midas, Gordion Special Studies 7 = Museum Monograph 136* (Philadelphia 2012) 111–126.
- Venit 1988 M. S. Venit, *Greek Painted Pottery from Naukratis in Egyptian Museums*, *American Research Center in Egypt. Catalogs* 7 (Winona Lake, IN 1988).
- Verdan 2013 S. Verdan, *Le sanctuaire d'Apollon Daphnéphoros à l'époque géométrique*, *Eretria* 22 (Gollion 2013).
- Verdan u. a. 2008 S. Verdan – A. Kenzelmann Pfyffer – C. Léderry, *Céramique géométrique d'Éréttrie*, *Eretria* 20 (Gollion 2008).
- Villard – Vallet 1955 F. Villard – G. Vallet, *Megara Hyblaea. Lampes du VII^e siècle et chronologie des coupes ioniennes*, *MEFRA* 65, 1955, 7–34.
- Villard – Vallet 1964 F. Villard – G. Vallet, *Mégará Hyblaea II. La céramique archaïque*, *Mélanges d'archéologie et d'histoire Suppl.* 1 (Paris 1964).
- Villing 1999 A. Villing, *Zwei archaische Schüsselformen*, *AA* 1999, 189–202.
- Villing 2006 A. Villing, »Drab Bowls« for Apollo: The Mortaria of Naukratis and Exchange in the Archaic Eastern Mediterranean, in: Villing – Schlotzhauer 2006, 31–46.
- Villing 2009 A. Villing, *The Daily Grind of Ancient Greece: Mortars and Mortaria between Symbol and Reality*, in: Tsingarida 2009, 319–334.
- Villing 2013 A. Villing, *Egypt as a »Market« for Greek Pottery: Some Thoughts on Production, Consumption and Distribution in an International Environment*, in: Tsingarida – Viviers 2013, 73–101.
- Villing – Pemberton 2010 A. Villing – E. G. Pemberton, *Mortaria from Ancient Corinth*, *Hesperia* 79, 2010, 555–638.
- Villing – Schlotzhauer 2006 A. Villing – U. Schlotzhauer (Hrsg.), *Naukratis: Greek Diversity in Egypt. Studies on East Greek Pottery and Exchange in the Eastern Mediterranean*, *British Museum Research Publication* 162 (London 2006).
- Voigtländer 1982 W. Voigtländer, *Funde aus der Insula westlich des Bouleuterion in Milet*, *IstMitt* 32, 1982, 30–173.
- Voigtländer 1986a W. Voigtländer, *Zur archaischen Keramik in Milet*, *IstMitt Beih.* 31 (Tübingen 1986) 35–56.
- Voigtländer 1986b W. Voigtländer, *Umriss eines vor- und frühgeschichtlichen Zentrums an der karisch-ionischen Küste. Erster Vorbericht – Survey 1984*, *AA* 1986, 613–667.

- Voyatzis 2014 M. E. Voyatzis, Pottery from the Temple Excavation, in: E. Østby (Hrsg.), Tegea 1. Investigations in the Temple of Athena Alea 1991–94 (Athen 2014) 197–391.
- Waldbaum 1983 J. C. Waldbaum, Metalwork from Sardis: The Finds through 1974, Archaeological Exploration of Sardis. Monograph 8 (Cambridge, MA 1983).
- Waldbaum 2011 J. C. Waldbaum, Greek Pottery, in: Stager u. a. 2011, 127–339.
- Waldbaum – Magness 1997 J. C. Waldbaum – J. Magness, The Chronology of Early Greek Pottery: New Evidence from Seventh Century B.C. Destruction Levels in Israel, *AJA* 101, 1997, 23–40.
- Waldner 2017 A. Waldner, Keramik und Glasfunde, in: Krinzinger – Ruggendorfer 2017, 133–227.
- Wallace 2016 R. W. Wallace, Redating Croesus: Herodotean Chronologies and the Dates of the Earliest Coinages, *JHS* 136, 2016, 168–181.
- Walsh – Antonaccio 2014 J. S. P. Walsh – C. Antonaccio, Athenian Black Gloss Pottery: A View from the West, *OxfJA* 33/1, 2014, 47–67.
- Walter 1957 H. Walter, Frühe samische Gefäße und ihre Fundlage I, *AM* 72, 1957, 35–51.
- Walter 1959 H. Walter, Korinthische Keramik, *AM* 74, 1959, 57–68.
- Walter 1968 H. Walter, Frühe samische Gefäße. Chronologie und Landschaftsstile ostgriechischer Gefäße, *Samos* 5 (Bonn 1968).
- Walter – Vierneisel 1959 H. Walter – K. Vierneisel, Heraion von Samos. Die Funde der Kampagnen 1958 und 1959, *AM* 74, 1959, 10–34.
- Walter-Karydi 1970 E. Walter-Karydi, Äolische Kunst, in: Studien zur Griechischen Vasenmalerei, *AntK Beih.* 7 (Bern 1970) 1–18.
- Walter-Karydi 1973 E. Walter-Karydi, Samische Gefäße des 6. Jahrhunderts v. Chr. Landschaftsstile ostgriechischer Gefäße, *Samos* 6, 1 (Bonn 1973).
- Walter-Karydi 1982 W. Walter-Karydi, Ostgriechische Keramik, *Alt-Ägina* 2, 1 (Mainz 1982) 9–18.
- Waschek 2008 F. Waschek, Fikellura-Amphoren und -Amphoriskoi von Milet. Ein Gefäßlager am Kalabaktepe?, *AA* 2008/2, 47–81.
- Weber 2006 S. Weber, East Greek »Situlae« from Egypt, in: Villing – Schlotzhauer 2006, 145–154.
- Weber 2012 S. Weber, Untersuchungen zur archaischen griechischen Keramik aus anderen ägyptischen Fundorten, in: Schlotzhauer u. a. 2012, 196–432.
- Weickert 1959/1960 C. Weickert, Die Ausgrabungen beim Athena-Tempel in Milet. Westabschnitt, *IstMitt* 9/10, 1959/1960, 63–66.
- Weinberg 1943 S. S. Weinberg, The Geometric and Orientalizing Pottery, *Corinth* 7, 1 (Cambridge, MA 1943).
- Weinberg 1949 S. S. Weinberg, Investigations at Corinth, 1947–1948, *Hesperia* 18, 1949, 148–158.
- Whitbread 1995 I. K. Whitbread, Greek Transport Amphoras. A Petrological and Archaeological Study (Exeter 1995).
- White 1991 R. White, The Middle Ground. Indians, Empires, and Republics in the Great Lakes Region, 1650–1815 (Cambridge 1991).
- White 2011 R. White, The Middle Ground. Indians, Empires, and Republics in the Great Lakes Region, 1650–1815 (Cambridge 2011).
- Wilberg 1923 W. Wilberg, Die Agora, in: *FiE* 3 (Wien 1923) 1–90.
- Williams 1981 C. K. Williams, A Survey of Pottery from Corinth from 730 to 600 B.C., *ASAtene* 59, 1981, 139–155.
- Williams 1983 D. Williams, Aegina, Aphaia-Tempel V. The Pottery from Chios, *AA* 1983, 155–186.
- Williams 2006 D. Williams, The Chian Pottery from Naucratis, in: Villing – Schlotzhauer 2006, 127–132.
- Winter 1990 N. A. Winter (Hrsg.), Proceedings of the First International Conference on Archaic Greek Architectural Terracottas. December 2–4, 1988, *Hesperia* 59, 1990.
- Winter 1993 N. A. Winter, Greek Architectural Terracottas from the Prehistoric to the End of the Archaic Period (Oxford 1993).
- Wintermeyer 1980 U. Wintermeyer, Katalog ausgewählter Keramik und Kleinfunde, in: K. Tuchelt, Didyma. Bericht über die Arbeiten der Jahre 1975 – 1979, *IstMitt* 30, 1980, 122–160.
- Woolf 2009 G. Woolf, Cruptorix and his Kind. Talking Ethnicity on the Middle Ground, in: Derks – Roymans 2009, 207–217.
- Woolley 1937 L. Woolley, Excavations Near Antioch in 1936, *AntJ* 17, 1937, 1–15.
- Yegül 1986 F. Yegül, The Bath-Gymnasium Complex at Sardis, Archaeological Exploration of Sardis, Report 3 (Cambridge, MA 1986).
- Yılmaz 2008 F. Yılmaz, Apollon Klarios Kutsal Alanındaki »Kutsal Yol« un Seramik Buluntulara Göre Tarihlendirilmesi, *ADerg* 12, 2008/2, 247–268.
- Young 1938 R. S. Young, Pottery from a Seventh Century Well, *Hesperia* 7, 1938, 412–428.
- Young 1939 R. S. Young, Late Geometric Graves and a Seventh Century Well in the Agora, *Hesperia* Suppl. 2 (Athen 1939).

- Young 1953 R. S. Young, Making History at Gordion, *Archaeology* 6/3, 1953, 159–166.
- Young 1981 R. S. Young, Three Great Tumuli. The Gordion Excavations Final Reports I with Contributions to the Text by K. DeVries, E. L. Kohler, J. F. McClellan, M. J. Mellink and G. K. Sams (Philadelphia 1981).
- Zahbelicky-Scheffenegger –
Schneider 2000 S. Zahbelicky-Scheffenegger – G. Schneider, Applikenverzierte Gefäße aus Ephesos, *ActaRCRF* 36, 2000, 105–112.
- Zeest 1960 J. B. Zeest, Керамическая тара Боспора, *MatJsslt* 83 (Moskau 1960).
- Zimmermann 1990 K. Zimmermann, Archaische Dachterrakotten aus Histria, *Hesperia* 59, 1990, 223–233.
- Zimmermann 1998 N. Zimmermann, Beziehungen zwischen Ton- und Metallgefäßen spätklassischer und frühhellenistischer Zeit, *Internationale Archäologie* 20 (Rahden 1998).
- Zimmermann 2005 K. Zimmermann, Terres cuites architecturales, in: Alexandrescu 2005a, 198–214. 463–485.
- Zimmermann 2007 K. Zimmermann, Frühe Dachterrakotten aus Milet und dem Pontosgebiet, in: Cobet u. a. 2007, 631–636.
- Zukerman – Ben-Shlomo
2011 A. Zukerman – D. Ben-Shlomo, Mortaria as a Foreign Element in the Material Culture of the Southern Levant During the 8th–7th Centuries BCE, *PEQ* 143, 2011, 87–105.

Abkürzungen in Text und Katalog

| | | | |
|----------------------|--------------------------------|---------|--------------------------------|
| a. | angular | NiA | Nordionisch Archaisch |
| B | (erhaltene) Breite | OK | Oberkante |
| Ephe aus Ephesos) | Ephesos (Sigle für NAA-Proben) | PCA | Principal Component Analysis |
| Frgt(e) | Fragment(e) | PPL | plane polarised light |
| H | (erhaltene) Höhe | r. | rounded |
| Herkunftsgr. | Herkunftsgruppe | sa. | sub-angular |
| HK | Holzkohle | SiA | Südionisch Archaisch |
| KRL | Kalkrotlehm | sr. | sub-rounded |
| KS | Knickrandschale | tcf | textural concentration feature |
| L | (erhaltene) Länge | UK | Unterkante |
| LZ | Lehmziegel | unpubl. | unpublizierte |
| NA | Neutronenaktivierung | va. | very angular |
| NAA | Neutronenaktivierungsanalyse | Wst | Wandstärke |
| | | XPL | crossed polarised light |

Abkürzungen zur Bezeichnung der Baustrukturen

Die Kürzel zur Bezeichnung der Mauerzüge und Baustrukturen folgen der Terminologie von Scherrer – Trinkl 2006, S. XXVIII.

Abkürzungen bei Inventarnummern

| | |
|------|--|
| AG | Agora |
| ART | Artemision |
| B.M. | British Museum |
| ETH | Ephesos Theater |
| EΦ | Ephesos |
| EVG | Ephesos Vediumnasium |
| K | Kalabaktepe, Milet (Grabung V. von Graeve, M. Kerschner) |
| KG | ›Keil-Grabung‹ |
| PAN | Panayırdağ |
| SE | Stratigrafische Einheit |
| SM | Smyrna (Grabung J. Keil) |
| T | Teos (Grabung M. Kerschner) |

Verfasser/innen von Zeichnungen, Umzeichnungen und Fotografien

| | | | |
|-------------------------------------|----------|-------------------------------------|---------|
| I. Benda-Weber | I. B.-W. | B. Konnemann | B. K. |
| K. Bernhardt | K. B. | C. Kurtze | C. K. |
| L. Betina (vorm. Peloschek) | L. B. | C. Maier | C. M. |
| G. Erath | G. E. | W. Mayr | W. M. |
| N. Gail | N. G. | (und Mitarbeiterinnen B. K., U. W.) | |
| T. Gedik | T. G. | A. von Miller | A. v.M. |
| M. Gessl | M. G. | G. Plattner | G. P. |
| G. Gruber | G. G. | C. Scheich | C. S. |
| M. Hofbauer | M. H. | P. Scherrer | P. S. |
| M. Kerschner | M. K. | F. Soykal | F. S. |
| (und Mitarbeiterinnen K. B., L. B.) | | E. Trinkl | E. T. |
| K. Koller | K. K. | U. Winkler | U. W. |

Abbildungsnachweis

| Plantafel | Inhalt | Nachweis |
|-----------|--------------------------|--|
| 1 | Übersichtspläne Ephesos | Inhalt: M. K.; Ausführung: C. K., I. B.-W. |
| 2 | Lageplan Agora-Siedlung | I. B.-W. nach Scherrer – Trinkl 2005, 335 Plan 6 (M. H.) |
| 3 | Phasenplan AG Phase I | Inhalt: A. v.M.; Ausführung: I. B.-W. nach Scherrer – Trinkl 2006, 353 Plan 19 (M. H.) |
| 4 | Phasenplan AG Phase IIa | Inhalt: A. v.M.; Ausführung: I. B.-W. nach Scherrer – Trinkl 2006, 353 Plan 19 (M. H.) |
| 5 | Phasenplan AG Phase IIb | Inhalt: A. v.M.; Ausführung: I. B.-W. nach Scherrer – Trinkl 2006, 353 Plan 19 (M. H.) |
| 6 | Phasenplan AG Phase IIIa | Inhalt: A. v.M.; Ausführung: I. B.-W. nach Scherrer – Trinkl 2006, 353 Plan 19 (M. H.) |
| 7 | Phasenplan AG Phase IIIb | Inhalt: A. v.M.; Ausführung: I. B.-W. nach Scherrer – Trinkl 2006, 353 Plan 19 (M. H.) |
| 8 | Phasenplan AG Phase IV | Inhalt: A. v.M.; Ausführung: I. B.-W. nach Scherrer – Trinkl 2006, 353 Plan 19 (M. H.) |
| 9 | Profil HA 1/1 | Zeichnung: C. S.; Umzeichnung: I. B.-W., M. H. |
| 9 | Profil HA 1/2 | Zeichnung: F. S.; Umzeichnung: I. B.-W., M. H. |
| 9 | Profil HA 2/1 | Zeichnung: F. S.; Umzeichnung: I. B.-W., M. H. |
| 9 | Profil HA 3/1 | Zeichnung: F. S.; Umzeichnung: I. B.-W. |
| 10 | Profil HA 3/2 | Zeichnung: P. S.; Umzeichnung: I. B.-W., M. H. |
| 10 | Profil HA 3/4 | Zeichnung: G. E.; Umzeichnung: I. B.-W., M. H. |
| 10 | Profil HA 5/1 | Zeichnung: G. E.; Umzeichnung: I. B.-W., M. H. |
| 11 | Profil HA 5/2 | Zeichnung: G. E.; Umzeichnung: I. B.-W., M. H. |
| 11 | Profil HA 5/2a | Zeichnung: F. S.; Umzeichnung: I. B.-W. |
| 12 | Profil HA 5/3 | Zeichnung: F. S.; Umzeichnung: I. B.-W. |
| 12 | Profil HA 5/8 | Zeichnung: G. G., K. K.; Umzeichnung: I. B.-W., M. H. |
| 12 | Profil HA 5/11 | Zeichnung: F. S.; Umzeichnung: I. B.-W. |
| 12 | Profil HA 5a | Zeichnung: F. S.; Umzeichnung: I. B.-W. |
| 13 | Profil HA 6/1 | Zeichnung: F. S.; Umzeichnung: I. B.-W. |
| 13 | Profil HA 6/2 | Zeichnung: C. S.; Umzeichnung: I. B.-W., M. H. |
| 13 | Profil HA 6/3 | Zeichnung: C. S.; Umzeichnung: I. B.-W., M. H. |
| 13 | Profil HA 6/6 | Zeichnung: G. G.; Umzeichnung: I. B.-W., M. H. |
| 13 | Profil HA 6/7 | Zeichnung: G. G., C. S.; Umzeichnung: I. B.-W., M. H. |
| 14 | Profil HA 6/9 | Zeichnung: G. G.; Umzeichnung: I. B.-W. |
| 15 | Profil HA 6/10 | Zeichnung: F. S.; Umzeichnung: I. B.-W., M. H. |
| 15 | Profil HA 6/11 | Zeichnung: F. S.; Umzeichnung: I. B.-W., M. H. |
| 15 | Profil HA 7/1 | Zeichnung: F. S.; Umzeichnung: I. B.-W. |
| 16 | Profil HA 7/2 | Zeichnung: F. S.; Umzeichnung: I. B.-W., M. H. |
| 16 | Profil HA 8/1 und 8/4 | Zeichnung: C. S., F. S.; Umzeichnung: I. B.-W., M. H. |
| 17 | Profil HA 8/2 | Zeichnung: F. S.; Umzeichnung: I. B.-W., M. H. |
| 18 | Profil HA 8/3 | Zeichnung: C. S.; Umzeichnung: I. B.-W., M. H. |
| 18 | Profil HA 8/6 | Zeichnung: G. G.; Umzeichnung: I. B.-W. |
| 18 | Profil HA 8/7 | Zeichnung: G. G.; Umzeichnung: I. B.-W. |
| 19 | Profil HA 8/8a | Zeichnung: G. G.; Umzeichnung: I. B.-W., M. H. |
| 19 | Profil HA 8/11 | Zeichnung: F. S.; Umzeichnung: I. B.-W., M. H. |
| 19 | Profil HA 8/12 | Zeichnung: K. K.; Umzeichnung: I. B.-W., M. H. |
| 20 | Profil HA 8/13 | Zeichnung: G. G.; Umzeichnung: I. B.-W. |

| | | |
|----|--------------------|---|
| 20 | Profil HA 9/3 | Zeichnung: G. G.; Umzeichnung: I. B.-W., M. H. |
| 21 | Profil HA 9/4 | Zeichnung: G. G.; Umzeichnung: I. B.-W., M. H. |
| 22 | Profil HA 9/5 | Zeichnung: C. S.; Umzeichnung: I. B.-W., M. H. |
| 22 | Profil HA 9/6 | Zeichnung: F. S.; Umzeichnung: I. B.-W., M. H. |
| 23 | Profil HA 9/7 | Zeichnung: F. S.; Umzeichnung: I. B.-W., M. H. |
| 23 | Profil HA 9/9 | Zeichnung: F. S.; Umzeichnung: I. B.-W., M. H. |
| 24 | Profil HA 9/10 | Zeichnung: F. S.; Umzeichnung: I. B.-W. |
| 25 | Profil HA 9/11 | Zeichnung: C. S., F. S.; Umzeichnung: I. B.-W. |
| 25 | Profil HA 10/1 | Zeichnung: C. S.; Umzeichnung: I. B.-W., M. H. |
| 25 | Profil HA 10/2 | Zeichnung: G. G., C. S.; Umzeichnung: I. B.-W., M. H. |
| 26 | Profil HA 10/4a+b | Zeichnung: C. M., C. S., U. W., Umzeichnung: I. B.-W. |
| 26 | Profil HA 11/1 | Zeichnung: T. G.; Umzeichnung: I. B.-W., M. H. |
| 26 | Profil HA 11/7 | Zeichnung: T. G.; Umzeichnung: I. B.-W., M. H. |
| 27 | Profil HA 11/8 | Zeichnung: B. K.; Umzeichnung: I. B.-W., M. H. |
| 27 | Profil HA 11/9 | Zeichnung: T. G.; Umzeichnung: I. B.-W. |
| 27 | Profil HA 11/10a+b | Zeichnung: E. T.; Umzeichnung: I. B.-W., M. H. |
| 28 | Profil HA 11/11 | Zeichnung: T. G.; Umzeichnung: I. B.-W., M. H. |
| 28 | Profil HA 11/13 | Zeichnung: E. T.; Umzeichnung: I. B.-W. |
| 28 | Profil HA 11/14a+b | Zeichnung: T. G.; Umzeichnung: I. B.-W. |
| 28 | Profil HA 11/16 | Zeichnung: T. G.; Umzeichnung: I. B.-W. |
| 29 | Profil HA 11/19 | Zeichnung: E. T.; Umzeichnung: I. B.-W., M. H. |
| 29 | Profil HA 11/21 | Zeichnung: T. G.; Umzeichnung: I. B.-W. |
| 29 | Profil KB 1 | Zeichnung: T. G.; Umzeichnung: I. B.-W. |
| 29 | Profil KB 2 | Zeichnung: T. G.; Umzeichnung: I. B.-W. |
| 29 | Profil KB 3 | Zeichnung: T. G.; Umzeichnung: I. B.-W. |
| 30 | Profil KB 4 | Zeichnung: E. T.; Umzeichnung: I. B.-W. |
| 30 | Profil NB 1 | Zeichnung: G. G.; Umzeichnung: I. B.-W. |
| 30 | Profil NB 2 | Zeichnung: F. S.; Umzeichnung: I. B.-W., M. H. |
| 30 | Profil NB 4 | Zeichnung: F. S.; Umzeichnung: I. B.-W. |
| 31 | Profil NB 6 | Zeichnung: F. S.; Umzeichnung: I. B.-W., M. H. |
| 31 | Profil NB 7 | Zeichnung: F. S.; Umzeichnung: I. B.-W. |
| 31 | Profil NB 9 | Zeichnung: G. G., C. S.; Umzeichnung: I. B.-W. |

| Keramiktafeln | Nachweis |
|----------------------|---|
| Kat. 1–3 | Zeichnung und Umzeichnung: A. v.M. |
| Kat. 4 | Zeichnung: M. K.; Umzeichnung: A. v.M. |
| Kat. 5–11 | Zeichnung und Umzeichnung: A. v.M. |
| Kat. 12 | Zeichnung: W. M.; Umzeichnung: A. v.M. |
| Kat. 13–24 | Zeichnung und Umzeichnung: A. v.M. |
| Kat. 25 | Zeichnung: A. v.M., W. M.; Umzeichnung: A. v.M. |
| Kat. 26. 27 | Zeichnung und Umzeichnung: A. v.M. |
| Kat. 28 | Zeichnung: W. M.; Umzeichnung: A. v.M. |
| Kat. 29 | Zeichnung: A. v.M., W. M.; Umzeichnung: A. v.M. |
| Kat. 30–32 | Zeichnung und Umzeichnung: A. v.M. |
| Kat. 33. 34 | Zeichnung: W. M.; Umzeichnung: A. v.M. |
| Kat. 35–39 | Zeichnung und Umzeichnung: A. v.M. |

| | |
|---------------|---|
| Kat. 40 | Zeichnung: W. M.; Umzeichnung: A. v.M. |
| Kat. 41. 42 | Zeichnung und Umzeichnung: A. v.M. |
| Kat. 43 | Zeichnung: A. v.M., W. M.; Umzeichnung: A. v.M. |
| Kat. 44 | Zeichnung und Umzeichnung: A. v.M. |
| Kat. 45 | Zeichnung: A. v.M., W. M.; Umzeichnung: A. v.M. |
| Kat. 46. 47 | Zeichnung und Umzeichnung: A. v.M. |
| Kat. 48 | Zeichnung: W. M.; Umzeichnung: A. v.M. |
| Kat. 49–51 | Zeichnung und Umzeichnung: A. v.M. |
| Kat. 52 | Zeichnung: W. M.; Umzeichnung: A. v.M. |
| Kat. 53–55 | Zeichnung und Umzeichnung: A. v.M. |
| Kat. 56 | Zeichnung: A. v.M., W. M.; Umzeichnung: A. v.M. |
| Kat. 57. 58 | Zeichnung und Umzeichnung: A. v.M. |
| Kat. 59 | Zeichnung: W. M.; Umzeichnung: A. v.M. |
| Kat. 60–63 | Zeichnung und Umzeichnung: A. v.M. |
| Kat. 64 | Zeichnung: A. v.M., W. M.; Umzeichnung: A. v.M. |
| Kat. 65. 66 | Zeichnung und Umzeichnung: A. v.M. |
| Kat. 67–77 | Zeichnung: M. K.; Umzeichnung: A. v.M. |
| Kat. 78 | Zeichnung und Umzeichnung: A. v.M. |
| Kat. 79. 80 | Zeichnung: M. K.; Umzeichnung: A. v.M. |
| Kat. 81 | Zeichnung: W. M.; Umzeichnung: A. v.M. |
| Kat. 82–87 | Zeichnung: M. K.; Umzeichnung: A. v.M. |
| Kat. 88 | Zeichnung und Umzeichnung: A. v.M. |
| Kat. 89 | Zeichnung: A. v.M., W. M.; Umzeichnung: A. v.M. |
| Kat. 90 | Zeichnung und Umzeichnung: A. v.M. |
| Kat. 91 | Zeichnung: M. K.; Umzeichnung: A. v.M. |
| Kat. 92–98 | Zeichnung und Umzeichnung: A. v.M. |
| Kat. 99–103 | Zeichnung: W. M.; Umzeichnung: A. v.M. |
| Kat. 104. 105 | Zeichnung und Umzeichnung: A. v.M. |
| Kat. 106 | Zeichnung: A. v.M., W. M.; Umzeichnung: A. v.M. |
| Kat. 107 | Zeichnung und Umzeichnung: A. v.M. |
| Kat. 108. 109 | Zeichnung: W. M. Umzeichnung: A. v.M. |
| Kat. 110 | Zeichnung: M. K.; Umzeichnung: A. v.M. |
| Kat. 111. 112 | Zeichnung und Umzeichnung: A. v.M. |
| Kat. 113. 114 | Zeichnung: M. K.; Umzeichnung: A. v.M. |
| Kat. 115 | Zeichnung und Umzeichnung: A. v.M. |
| Kat. 116. 117 | Zeichnung: M. K.; Umzeichnung: A. v.M. |
| Kat. 118 | Zeichnung: W. M.; Umzeichnung: A. v.M. |
| Kat. 119–121 | Zeichnung und Umzeichnung: A. v.M. |
| Kat. 122. 123 | Zeichnung: W. M.; Umzeichnung: A. v.M. |
| Kat. 124–127 | Zeichnung und Umzeichnung: A. v.M. |
| Kat. 128 | Zeichnung: W. M.; Umzeichnung: A. v.M. |
| Kat. 129 | Zeichnung und Umzeichnung: A. v.M. |
| Kat. 130 | Zeichnung: A. v.M., W. M.; Umzeichnung: A. v.M. |
| Kat. 131–134 | Zeichnung: W. M.; Umzeichnung: A. v.M. |
| Kat. 135 | Zeichnung und Umzeichnung: A. v.M. |
| Kat. 136 | Zeichnung: A. v.M., W. M.; Umzeichnung: A. v.M. |
| Kat. 137–140 | Zeichnung: W. M.; Umzeichnung: A. v.M. |

| | |
|---------------|---|
| Kat. 141 | Zeichnung und Umzeichnung: A. v.M. |
| Kat. 142. 143 | Zeichnung: W. M.; Umzeichnung: A. v.M. |
| Kat. 144. 145 | Zeichnung und Umzeichnung: A. v.M. |
| Kat. 146 | Zeichnung: W. M.; Umzeichnung: A. v.M. |
| Kat. 147 | Zeichnung und Umzeichnung: A. v.M. |
| Kat. 148 | Zeichnung: W. M.; Umzeichnung: A. v.M. |
| Kat. 149. 150 | Zeichnung und Umzeichnung: A. v.M. |
| Kat. 151 | Zeichnung: W. M.; Umzeichnung: A. v.M. |
| Kat. 152 | Zeichnung: M. K.; Umzeichnung: A. v.M. |
| Kat. 153 | Zeichnung und Umzeichnung: A. v.M. |
| Kat. 154 | Zeichnung: W. M.; Umzeichnung: A. v.M. |
| Kat. 155–161 | Zeichnung und Umzeichnung: A. v.M. |
| Kat. 162. 163 | Zeichnung: W. M.; Umzeichnung: A. v.M. |
| Kat. 164–167 | Zeichnung und Umzeichnung: A. v.M. |
| Kat. 168 | Zeichnung: A. v.M., W. M.; Umzeichnung: A. v.M. |
| Kat. 169 | Zeichnung: W. M.; Umzeichnung: A. v.M. |
| Kat. 170. 171 | Zeichnung und Umzeichnung: A. v.M. |
| Kat. 172. 173 | Zeichnung: W. M.; Umzeichnung: A. v.M. |
| Kat. 174 | Zeichnung: A. v.M., W. M.; Umzeichnung: A. v.M. |
| Kat. 175 | Zeichnung und Umzeichnung: A. v.M. |
| Kat. 176. 177 | Zeichnung: W. M.; Umzeichnung: A. v.M. |
| Kat. 178 | Zeichnung und Umzeichnung: A. v.M. |
| Kat. 179 | Zeichnung: A. v.M., W. M.; Umzeichnung: A. v.M. |
| Kat. 180. 181 | Zeichnung und Umzeichnung: A. v.M. |
| Kat. 182. 183 | Zeichnung: A. v.M., W. M.; Umzeichnung: A. v.M. |
| Kat. 184 | Zeichnung und Umzeichnung: A. v.M. |
| Kat. 185–192 | Zeichnung: W. M.; Umzeichnung: A. v.M. |
| Kat. 193 | Zeichnung und Umzeichnung: A. v.M. |
| Kat. 194 | Zeichnung: W. M.; Umzeichnung: A. v.M. |
| Kat. 195 | Zeichnung: A. v.M., W. M.; Umzeichnung: A. v.M. |
| Kat. 196–198 | Zeichnung und Umzeichnung: A. v.M. |
| Kat. 199 | Zeichnung: W. M.; Umzeichnung: A. v.M. |
| Kat. 200. 201 | Zeichnung: A. v.M., W. M.; Umzeichnung: A. v.M. |
| Kat. 202 | Zeichnung: W. M.; Umzeichnung: A. v.M. |
| Kat. 203 | Zeichnung und Umzeichnung: A. v.M. |
| Kat. 204. 205 | Zeichnung: W. M.; Umzeichnung: A. v.M. |
| Kat. 206 | Zeichnung und Umzeichnung: A. v.M. |
| Kat. 207–210 | Zeichnung: W. M.; Umzeichnung: A. v.M. |
| Kat. 211. 212 | Zeichnung: A. v.M., W. M.; Umzeichnung: A. v.M. |
| Kat. 213. 214 | Zeichnung: W. M.; Umzeichnung: A. v.M. |
| Kat. 215 | Zeichnung und Umzeichnung: A. v.M. |
| Kat. 216 | Zeichnung: W. M.; Umzeichnung: A. v.M. |
| Kat. 217 | Zeichnung: A. v.M., W. M.; Umzeichnung: A. v.M. |
| Kat. 218–221 | Zeichnung: W. M.; Umzeichnung: A. v.M. |
| Kat. 222. 223 | Zeichnung und Umzeichnung: A. v.M. |
| Kat. 224 | Zeichnung: W. M.; Umzeichnung: A. v.M. |
| Kat. 225 | Zeichnung und Umzeichnung: A. v.M. |

| | |
|---------------|---|
| Kat. 226. 227 | Zeichnung: W. M.; Umzeichnung: A. v.M. |
| Kat. 228–232 | Zeichnung und Umzeichnung: A. v.M. |
| Kat. 233. 234 | Zeichnung: W. M.; Umzeichnung: A. v.M. |
| Kat. 235–238 | Zeichnung und Umzeichnung: A. v.M. |
| Kat. 239 | Zeichnung: W. M.; Umzeichnung: A. v.M. |
| Kat. 240 | Zeichnung: A. v.M., W. M.; Umzeichnung: A. v.M. |
| Kat. 241–243 | Zeichnung: W. M.; Umzeichnung: A. v.M. |
| Kat. 244 | Zeichnung: A. v.M., W. M.; Umzeichnung: A. v.M. |
| Kat. 245–248 | Zeichnung und Umzeichnung: A. v.M. |
| Kat. 249 | Zeichnung: W. M.; Umzeichnung: A. v.M. |
| Kat. 250 | Zeichnung und Umzeichnung: A. v.M. |
| Kat. 251 | Zeichnung: W. M.; Umzeichnung: A. v.M. |
| Kat. 252–255 | Zeichnung und Umzeichnung: A. v.M. |
| Kat. 256 | Zeichnung: W. M.; Umzeichnung: A. v.M. |
| Kat. 257–266 | Zeichnung und Umzeichnung: A. v.M. |
| Kat. 267 | Zeichnung: W. M.; Umzeichnung: A. v.M. |
| Kat. 268 | Zeichnung: A. v.M., W. M.; Umzeichnung: A. v.M. |
| Kat. 269. 270 | Zeichnung und Umzeichnung: A. v.M. |
| Kat. 271 | Zeichnung: A. v.M., W. M.; Umzeichnung: A. v.M. |
| Kat. 272 | Zeichnung: W. M.; Umzeichnung: A. v.M. |
| Kat. 273 | Zeichnung und Umzeichnung: A. v.M. |
| Kat. 274 | Zeichnung: A. v.M., W. M.; Umzeichnung: A. v.M. |
| Kat. 275 | Zeichnung: W. M.; Umzeichnung: A. v.M. |
| Kat. 276. 277 | Zeichnung und Umzeichnung: A. v.M. |
| Kat. 278 | Zeichnung: W. M.; Umzeichnung: A. v.M. |
| Kat. 279 | Zeichnung: A. v.M., W. M.; Umzeichnung: A. v.M. |
| Kat. 280–283 | Zeichnung und Umzeichnung: A. v.M. |
| Kat. 284 | Zeichnung: W. M.; Umzeichnung: A. v.M. |
| Kat. 285. 286 | Zeichnung und Umzeichnung: A. v.M. |
| Kat. 287 | Zeichnung: W. M.; Umzeichnung: A. v.M. |
| Kat. 288. 289 | Zeichnung und Umzeichnung: A. v.M. |
| Kat. 290 | Zeichnung: W. M.; Umzeichnung: A. v.M. |
| Kat. 291 | Zeichnung: A. v.M., W. M.; Umzeichnung: A. v.M. |
| Kat. 292. 293 | Zeichnung und Umzeichnung: A. v.M. |
| Kat. 294 | Zeichnung: W. M.; Umzeichnung: A. v.M. |
| Kat. 295 | Zeichnung und Umzeichnung: A. v.M. |
| Kat. 296 | Zeichnung: W. M.; Umzeichnung: A. v.M. |
| Kat. 297–299 | Zeichnung und Umzeichnung: A. v.M. |
| Kat. 300–303 | Zeichnung: W. M.; Umzeichnung: A. v.M. |
| Kat. 304–306 | Zeichnung und Umzeichnung: A. v.M. |
| Kat. 307–309 | Zeichnung: W. M.; Umzeichnung: A. v.M. |
| Kat. 310–319 | Zeichnung und Umzeichnung: A. v.M. |
| Kat. 320–324 | Zeichnung: W. M.; Umzeichnung: A. v.M. |
| Kat. 325 | Zeichnung und Umzeichnung: A. v.M. |
| Kat. 326–328 | Zeichnung: W. M.; Umzeichnung: A. v.M. |
| Kat. 329–331 | Zeichnung und Umzeichnung: A. v.M. |
| Kat. 332–334 | Zeichnung: W. M.; Umzeichnung: A. v.M. |

| | |
|--------------|---|
| Kat. 335 | Zeichnung und Umzeichnung: A. v.M. |
| Kat. 336-337 | Zeichnung: W. M.; Umzeichnung: A. v.M. |
| Kat. 338 | Zeichnung und Umzeichnung: A. v.M. |
| Kat. 339-340 | Zeichnung: W. M.; Umzeichnung: A. v.M. |
| Kat. 341-346 | Zeichnung und Umzeichnung: A. v.M. |
| Kat. 347 | Zeichnung: A. v.M., W. M.; Umzeichnung: A. v.M. |
| Kat. 348-354 | Zeichnung und Umzeichnung: A. v.M. |
| Kat. 355-356 | Zeichnung: W. M.; Umzeichnung: A. v.M. |
| Kat. 357-360 | Zeichnung und Umzeichnung: A. v.M. |
| Kat. 361-362 | Zeichnung: A. v.M., W. M.; Umzeichnung: A. v.M. |
| Kat. 363-365 | Zeichnung: W. M.; Umzeichnung: A. v.M. |
| Kat. 366-369 | Zeichnung und Umzeichnung: A. v.M. |
| Kat. 370 | Zeichnung: W. M.; Umzeichnung: A. v.M. |
| Kat. 371 | Zeichnung: A. v.M., W. M.; Umzeichnung: A. v.M. |
| Kat. 372 | Zeichnung: W. M.; Umzeichnung: A. v.M. |
| Kat. 373-376 | Zeichnung und Umzeichnung: A. v.M. |
| Kat. 377 | Zeichnung: W. M.; Umzeichnung: A. v.M. |
| Kat. 378 | Zeichnung und Umzeichnung: A. v.M. |
| Kat. 379-380 | Zeichnung: W. M.; Umzeichnung: A. v.M. |
| Kat. 381-382 | Zeichnung und Umzeichnung: A. v.M. |
| Kat. 383 | Zeichnung: W. M.; Umzeichnung: A. v.M. |
| Kat. 384 | Zeichnung und Umzeichnung: A. v.M. |
| Kat. 385 | Zeichnung: W. M.; Umzeichnung: A. v.M. |
| Kat. 386-388 | Zeichnung und Umzeichnung: A. v.M. |
| Kat. 389 | Zeichnung: W. M.; Umzeichnung: A. v.M. |
| Kat. 390 | Zeichnung und Umzeichnung: A. v.M. |
| Kat. 391 | Zeichnung: A. v.M., W. M.; Umzeichnung: A. v.M. |
| Kat. 392 | Zeichnung und Umzeichnung: A. v.M. |
| Kat. 393-394 | Zeichnung: W. M.; Umzeichnung: A. v.M. |
| Kat. 395 | Zeichnung: A. v.M., W. M.; Umzeichnung: A. v.M. |
| Kat. 396-399 | Zeichnung: W. M.; Umzeichnung: A. v.M. |
| Kat. 400 | Zeichnung und Umzeichnung: A. v.M. |
| Kat. 401-402 | Zeichnung: W. M.; Umzeichnung: A. v.M. |
| Kat. 403 | Zeichnung und Umzeichnung: A. v.M. |
| Kat. 404 | Zeichnung: A. v.M., W. M.; Umzeichnung: A. v.M. |
| Kat. 405 | Zeichnung und Umzeichnung: A. v.M. |
| Kat. 406 | Zeichnung: W. M.; Umzeichnung: A. v.M. |
| Kat. 407 | Zeichnung: A. v.M., W. M.; Umzeichnung: A. v.M. |
| Kat. 408 | Zeichnung und Umzeichnung: A. v.M. |
| Kat. 409-412 | Zeichnung: M. K.; Umzeichnung: A. v.M. |
| Kat. 413-415 | Zeichnung und Umzeichnung: A. v.M. |
| Kat. 416-419 | Zeichnung: M. K.; Umzeichnung: A. v.M. |
| Kat. 420 | Zeichnung und Umzeichnung: A. v.M. |
| Kat. 421 | Zeichnung: M. K., A. v.M.; Umzeichnung: A. v.M. |
| Kat. 422 | Zeichnung: M. K.; Umzeichnung: A. v.M. |
| Kat. 423 | Zeichnung und Umzeichnung: A. v.M. |
| Kat. 424 | Zeichnung: M. K., A. v.M.; Umzeichnung: A. v.M. |

| | |
|---------------|---|
| Kat. 425–427 | Zeichnung und Umzeichnung: A. v.M. |
| Kat. 428. 429 | Zeichnung: M. K.; Umzeichnung: A. v.M. |
| Kat. 430 | Zeichnung und Umzeichnung: A. v.M. |
| Kat. 431 | Zeichnung: M. K.; Umzeichnung: A. v.M. |
| Kat. 432 | Zeichnung und Umzeichnung: A. v.M. |
| Kat. 433 | Zeichnung: M. K., A. v.M.; Umzeichnung: A. v.M. |
| Kat. 434 | Zeichnung und Umzeichnung: A. v.M. |
| Kat. 435 | Zeichnung: M. K.; Umzeichnung: A. v.M. |
| Kat. 436–440 | Zeichnung und Umzeichnung: A. v.M. |
| Kat. 441 | Zeichnung: M. K.; Umzeichnung: A. v.M. |
| Kat. 442 | Zeichnung und Umzeichnung: A. v.M. |
| Kat. 443 | Zeichnung: W. M.; Umzeichnung: A. v.M. |
| Kat. 444 | Zeichnung und Umzeichnung: A. v.M. |
| Kat. 445 | Zeichnung: W. M.; Umzeichnung: A. v.M. |
| Kat. 446 | Zeichnung: A. v.M., W. M.; Umzeichnung: A. v.M. |
| Kat. 447–449 | Zeichnung und Umzeichnung: A. v.M. |
| Kat. 450. 451 | Zeichnung: A. v.M., W. M.; Umzeichnung: A. v.M. |
| Kat. 452. 453 | Zeichnung und Umzeichnung: A. v.M. |
| Kat. 454 | Zeichnung: M. K.; Umzeichnung: A. v.M. |
| Kat. 455 | Zeichnung und Umzeichnung: A. v.M. |
| Kat. 456 | Zeichnung: W. M.; Umzeichnung: A. v.M. |
| Kat. 457 | Zeichnung und Umzeichnung: A. v.M. |
| Kat. 458 | Zeichnung: M. K.; Umzeichnung: A. v.M. |
| Kat. 459. 460 | Zeichnung und Umzeichnung: A. v.M. |
| Kat. 461–463 | Zeichnung: W. M.; Umzeichnung: A. v.M. |
| Kat. 464 | Zeichnung: M. K.; Umzeichnung: A. v.M. |
| Kat. 465–467 | Zeichnung: W. M.; Umzeichnung: A. v.M. |
| Kat. 468–472 | Zeichnung und Umzeichnung: A. v.M. |
| Kat. 473. 474 | Zeichnung: W. M.; Umzeichnung: A. v.M. |
| Kat. 475–477 | Zeichnung und Umzeichnung: A. v.M. |
| Kat. 478. 479 | Zeichnung: W. M.; Umzeichnung: A. v.M. |
| Kat. 480 | Zeichnung: M. K.; Umzeichnung: A. v.M. |
| Kat. 481 | Zeichnung und Umzeichnung: A. v.M. |
| Kat. 482 | Zeichnung: W. M.; Umzeichnung: A. v.M. |
| Kat. 483 | Zeichnung: A. v.M., W. M.; Umzeichnung: A. v.M. |
| Kat. 484. 486 | Zeichnung: W. M.; Umzeichnung: A. v.M. |
| Kat. 487. 488 | Zeichnung und Umzeichnung: A. v.M. |
| Kat. 489–491 | Zeichnung: W. M.; Umzeichnung: A. v.M. |
| Kat. 492–494 | Zeichnung und Umzeichnung: A. v.M. |
| Kat. 495 | Zeichnung: W. M.; Umzeichnung: A. v.M. |
| Kat. 496 | Zeichnung und Umzeichnung: A. v.M. |
| Kat. 497. 498 | Zeichnung: W. M.; Umzeichnung: A. v.M. |
| Kat. 499–502 | Zeichnung und Umzeichnung: A. v.M. |
| Kat. 503 | Zeichnung: A. v.M., W. M.; Umzeichnung: A. v.M. |
| Kat. 504 | Zeichnung: W. M.; Umzeichnung: A. v.M. |
| Kat. 505 | Zeichnung und Umzeichnung: A. v.M. |
| Kat. 506. 507 | Zeichnung: W. M.; Umzeichnung: A. v.M. |

| | |
|---------------|---|
| Kat. 508 | Zeichnung und Umzeichnung: A. v.M. |
| Kat. 509 | Zeichnung: A. v.M., W. M.; Umzeichnung: A. v.M. |
| Kat. 510. 511 | Zeichnung und Umzeichnung: A. v.M. |
| Kat. 512. 513 | Zeichnung: W. M.; Umzeichnung: A. v.M. |
| Kat. 514 | Zeichnung: A. v.M., W. M.; Umzeichnung: A. v.M. |
| Kat. 515–517 | Zeichnung und Umzeichnung: A. v.M. |
| Kat. 518 | Zeichnung: W. M.; Umzeichnung: A. v.M. |
| Kat. 519–521 | Zeichnung und Umzeichnung: A. v.M. |
| Kat. 522 | Zeichnung: W. M.; Umzeichnung: A. v.M. |
| Kat. 523 | Zeichnung und Umzeichnung: A. v.M. |
| Kat. 524 | Zeichnung: W. M.; Umzeichnung: A. v.M. |
| Kat. 525–528 | Zeichnung und Umzeichnung: A. v.M. |
| Kat. 529 | Zeichnung: W. M.; Umzeichnung: A. v.M. |
| Kat. 530 | Zeichnung und Umzeichnung: A. v.M. |
| Kat. 531 | Zeichnung: A. v.M., W. M.; Umzeichnung: A. v.M. |
| Kat. 532–537 | Zeichnung und Umzeichnung: A. v.M. |
| Kat. 538. 539 | Zeichnung: W. M.; Umzeichnung: A. v.M. |
| Kat. 540. 541 | Zeichnung und Umzeichnung: A. v.M. |
| Kat. 542. 543 | Zeichnung: W. M.; Umzeichnung: A. v.M. |
| Kat. 544–546 | Zeichnung und Umzeichnung: A. v.M. |
| Kat. 547 | Zeichnung: W. M.; Umzeichnung: A. v.M. |
| Kat. 548 | Zeichnung und Umzeichnung: A. v.M. |
| Kat. 549. 550 | Zeichnung: W. M.; Umzeichnung: A. v.M. |
| Kat. 551–553 | Zeichnung und Umzeichnung: A. v.M. |
| Kat. 554. 555 | Zeichnung: W. M.; Umzeichnung: A. v.M. |
| Kat. 556. 557 | Zeichnung und Umzeichnung: A. v.M. |
| Kat. 558–560 | Zeichnung: W. M.; Umzeichnung: A. v.M. |
| Kat. 561 | Zeichnung und Umzeichnung: A. v.M. |
| Kat. 562–564 | Zeichnung: W. M.; Umzeichnung: A. v.M. |
| Kat. 565 | Zeichnung und Umzeichnung: A. v.M. |
| Kat. 566–568 | Zeichnung: W. M.; Umzeichnung: A. v.M. |
| Kat. 569–572 | Zeichnung und Umzeichnung: A. v.M. |
| Kat. 573 | Zeichnung: W. M.; Umzeichnung: A. v.M. |
| Kat. 574–581 | Zeichnung und Umzeichnung: A. v.M. |
| Kat. 582 | Zeichnung: W. M.; Umzeichnung: A. v.M. |
| Kat. 583–585 | Zeichnung und Umzeichnung: A. v.M. |
| Kat. 586. 587 | Zeichnung: W. M.; Umzeichnung: A. v.M. |
| Kat. 588–591 | Zeichnung und Umzeichnung: A. v.M. |
| Kat. 592–597 | Zeichnung: W. M.; Umzeichnung: A. v.M. |
| Kat. 598 | Zeichnung und Umzeichnung: A. v.M. |
| Kat. 599–601 | Zeichnung: W. M.; Umzeichnung: A. v.M. |
| Kat. 602 | Zeichnung und Umzeichnung: A. v.M. |
| Kat. 603–607 | Zeichnung: W. M.; Umzeichnung: A. v.M. |
| Kat. 608 | Zeichnung: M. K.; Umzeichnung: A. v.M. |
| Kat. 609 | Zeichnung und Umzeichnung: A. v.M. |
| Kat. 610 | Zeichnung: M. K.; Umzeichnung: A. v.M. |
| Kat. 611 | Zeichnung und Umzeichnung: A. v.M. |

| | |
|---------------|---|
| Kat. 612 | Zeichnung: M. K.; Umzeichnung: A. v.M. |
| Kat. 613 | Zeichnung: K. B., M. K.; Umzeichnung: A. v.M. |
| Kat. 614 | Zeichnung und Umzeichnung: A. v.M. |
| Kat. 615 | Zeichnung: M. K.; Umzeichnung: A. v.M. |
| Kat. 616 | Zeichnung und Umzeichnung: A. v.M. |
| Kat. 617 | Zeichnung: M. K.; Umzeichnung: A. v.M. |
| Kat. 618 | Zeichnung und Umzeichnung: A. v.M. |
| Kat. 619. 620 | Zeichnung: M. K.; Umzeichnung: A. v.M. |
| Kat. 621 | Zeichnung: W. M.; Umzeichnung: A. v.M. |
| Kat. 622 | Zeichnung: M. K.; Umzeichnung: A. v.M. |
| Kat. 623 | Zeichnung: W. M.; Umzeichnung: A. v.M. |
| Kat. 624. 625 | Zeichnung: M. K.; Umzeichnung: A. v.M. |
| Kat. 626–628 | Zeichnung: W. M.; Umzeichnung: A. v.M. |
| Kat. 629 | Zeichnung: M. K.; Umzeichnung: A. v.M. |
| Kat. 630–634 | Zeichnung und Umzeichnung: A. v.M. |
| Kat. 635 | Zeichnung: M. K.; Umzeichnung: A. v.M. |
| Kat. 636 | Zeichnung: W. M.; Umzeichnung: A. v.M. |
| Kat. 637 | Zeichnung und Umzeichnung: A. v.M. |
| Kat. 638–640 | Zeichnung: M. K.; Umzeichnung: A. v.M. |
| Kat. 641 | Zeichnung und Umzeichnung: A. v.M. |
| Kat. 642–645 | Zeichnung: M. K.; Umzeichnung: A. v.M. |
| Kat. 646 | Zeichnung: L. B., W. M.; Umzeichnung: A. v.M. |
| Kat. 647–656 | Zeichnung: M. K.; Umzeichnung: A. v.M. |
| Kat. 657 | Zeichnung und Umzeichnung: A. v.M. |
| Kat. 658–660 | Zeichnung: M. K.; Umzeichnung: A. v.M. |
| Kat. 661. 662 | Zeichnung: W. M.; Umzeichnung: A. v.M. |
| Kat. 663. 664 | Zeichnung: M. K.; Umzeichnung: A. v.M. |
| Kat. 665 | Zeichnung: M. K., A. v.M.; Umzeichnung: A. v.M. |
| Kat. 666 | Zeichnung: W. M.; Umzeichnung: A. v.M. |
| Kat. 667. 668 | Zeichnung und Umzeichnung: A. v.M. |
| Kat. 669 | Zeichnung: M. K.; Umzeichnung: A. v.M. |
| Kat. 670 | Zeichnung: W. M.; Umzeichnung: A. v.M. |
| Kat. 671 | Zeichnung: M. K.; Umzeichnung: A. v.M. |
| Kat. 672–675 | Zeichnung: W. M.; Umzeichnung: A. v.M. |
| Kat. 676 | Zeichnung und Umzeichnung: A. v.M. |
| Kat. 677 | Zeichnung: W. M.; Umzeichnung: A. v.M. |
| Kat. 678–680 | Zeichnung und Umzeichnung: A. v.M. |
| Kat. 681 | Zeichnung: A. v.M., W. M.; Umzeichnung: A. v.M. |
| Kat. 682 | Zeichnung und Umzeichnung: A. v.M. |
| Kat. 683 | Zeichnung: A. v.M., W. M.; Umzeichnung: A. v.M. |
| Kat. 684. 685 | Zeichnung und Umzeichnung: A. v.M. |
| Kat. 686 | Zeichnung: A. v.M., W. M.; Umzeichnung: A. v.M. |
| Kat. 687 | Zeichnung: W. M.; Umzeichnung: A. v.M. |
| Kat. 688 | Zeichnung und Umzeichnung: A. v.M. |
| Kat. 689–694 | Zeichnung: W. M.; Umzeichnung: A. v.M. |
| Kat. 695 | Zeichnung und Umzeichnung: A. v.M. |
| Kat. 696 | Zeichnung: A. v.M., W. M.; Umzeichnung: A. v.M. |

| | |
|---------------|---|
| Kat. 697 | Zeichnung: W. M.; Umzeichnung: A. v.M. |
| Kat. 698. 699 | Zeichnung und Umzeichnung: A. v.M. |
| Kat. 700 | Zeichnung: W. M.; Umzeichnung: A. v.M. |
| Kat. 701. 702 | Zeichnung und Umzeichnung: A. v.M. |
| Kat. 703 | Zeichnung: W. M.; Umzeichnung: A. v.M. |
| Kat. 704–709 | Zeichnung und Umzeichnung: A. v.M. |
| Kat. 710 | Zeichnung: K. B.; Umzeichnung: A. v.M. |
| Kat. 711 | Zeichnung und Umzeichnung: A. v.M. |
| Kat. 712 | Zeichnung: K. B.; Umzeichnung: A. v.M. |
| Kat. 713–720 | Zeichnung und Umzeichnung: A. v.M. |
| Kat. 721. 722 | Zeichnung: M. K.; Umzeichnung: A. v.M. |
| Kat. 723. 724 | Zeichnung und Umzeichnung: A. v.M. |
| Kat. 725. 726 | Zeichnung: M. K.; Umzeichnung: A. v.M. |
| Kat. 727. 728 | Zeichnung und Umzeichnung: A. v.M. |
| Kat. 729. 730 | Zeichnung: M. K.; Umzeichnung: A. v.M. |
| Kat. 731–735 | Zeichnung und Umzeichnung: A. v.M. |
| Kat. 736–738 | Zeichnung: W. M.; Umzeichnung: A. v.M. |
| Kat. 739–743 | Zeichnung und Umzeichnung: A. v.M. |
| Kat. 744 | Zeichnung: W. M.; Umzeichnung: A. v.M. |
| Kat. 745 | Zeichnung und Umzeichnung: A. v.M. |
| Kat. 746–748 | Zeichnung: W. M.; Umzeichnung: A. v.M. |
| Kat. 749–751 | Zeichnung und Umzeichnung: A. v.M. |
| Kat. 752 | Zeichnung: W. M.; Umzeichnung: A. v.M. |
| Kat. 753–756 | Zeichnung und Umzeichnung: A. v.M. |
| Kat. 757 | Zeichnung: W. M.; Umzeichnung: A. v.M. |
| Kat. 758 | Zeichnung: A. v.M., W. M.; Umzeichnung: A. v.M. |
| Kat. 759. 760 | Zeichnung und Umzeichnung: A. v.M. |
| Kat. 761 | Zeichnung: W. M.; Umzeichnung: A. v.M. |
| Kat. 762–764 | Zeichnung und Umzeichnung: A. v.M. |
| Kat. 765 | Zeichnung: W. M.; Umzeichnung: A. v.M. |
| Kat. 766. 767 | Zeichnung und Umzeichnung: A. v.M. |
| Kat. 768 | Zeichnung: W. M.; Umzeichnung: A. v.M. |
| Kat. 769 | Zeichnung und Umzeichnung: A. v.M. |
| Kat. 770 | Zeichnung: W. M.; Umzeichnung: A. v.M. |
| Kat. 771. 772 | Zeichnung und Umzeichnung: A. v.M. |
| Kat. 773 | Zeichnung: W. M.; Umzeichnung: A. v.M. |
| Kat. 774. 775 | Zeichnung und Umzeichnung: A. v.M. |
| Kat. 776. 777 | Zeichnung: W. M.; Umzeichnung: A. v.M. |
| Kat. 778–782 | Zeichnung und Umzeichnung: A. v.M. |
| Kat. 783 | Zeichnung: W. M.; Umzeichnung: A. v.M. |
| Kat. 784 | Zeichnung: A. v.M., W. M.; Umzeichnung: A. v.M. |
| Kat. 785 | Zeichnung: W. M.; Umzeichnung: A. v.M. |
| Kat. 786 | Zeichnung und Umzeichnung: A. v.M. |
| Kat. 787 | Zeichnung: A. v.M., W. M.; Umzeichnung: A. v.M. |
| Kat. 788–790 | Zeichnung und Umzeichnung: A. v.M. |
| Kat. 791 | Zeichnung: W. M.; Umzeichnung: A. v.M. |
| Kat. 792–798 | Zeichnung und Umzeichnung: A. v.M. |

| | |
|---------------|---|
| Kat. 799 | Zeichnung: M. K.; Umzeichnung: A. v.M. |
| Kat. 800 | Zeichnung: L. B.; Umzeichnung: A. v.M. |
| Kat. 801 | Zeichnung: M. K.; Umzeichnung: A. v.M. |
| Kat. 802. 803 | Zeichnung und Umzeichnung: A. v.M. |
| Kat. 804 | Zeichnung: M. K.; Umzeichnung: A. v.M. |
| Kat. 805 | Zeichnung und Umzeichnung: A. v.M. |
| Kat. 806–808 | Zeichnung: M. K.; Umzeichnung: A. v.M. |
| Kat. 809 | Zeichnung und Umzeichnung: A. v.M. |
| Kat. 810 | Zeichnung: M. K.; Umzeichnung: A. v.M. |
| Kat. 811. 812 | Zeichnung und Umzeichnung: A. v.M. |
| Kat. 813 | Zeichnung: L. B.; Umzeichnung: A. v.M. |
| Kat. 814 | Zeichnung: K. B.; Umzeichnung: A. v.M. |
| Kat. 815–817 | Zeichnung und Umzeichnung: A. v.M. |
| Kat. 818. 819 | Zeichnung: K. B.; Umzeichnung: A. v.M. |
| Kat. 820 | Zeichnung und Umzeichnung: A. v.M. |
| Kat. 821–824 | Zeichnung: K. B.; Umzeichnung: A. v.M. |
| Kat. 825 | Zeichnung und Umzeichnung: A. v.M. |
| Kat. 826 | Zeichnung: M. K.; Umzeichnung: A. v.M. |
| Kat. 827 | Zeichnung: K. B.; Umzeichnung: A. v.M. |
| Kat. 828 | Zeichnung: L. B.; Umzeichnung: A. v.M. |
| Kat. 829 | Zeichnung: K. B.; Umzeichnung: A. v.M. |
| Kat. 830. 831 | Zeichnung und Umzeichnung: A. v.M. |
| Kat. 832 | Zeichnung: K. B.; Umzeichnung: A. v.M. |
| Kat. 833. 834 | Zeichnung und Umzeichnung: A. v.M. |
| Kat. 835 | Zeichnung: M. K.; Umzeichnung: A. v.M. |
| Kat. 836–841 | Zeichnung und Umzeichnung: A. v.M. |
| Kat. 842. 843 | Zeichnung: K. B.; Umzeichnung: A. v.M. |
| Kat. 844–846 | Zeichnung und Umzeichnung: A. v.M. |
| Kat. 847. 848 | Zeichnung: K. B.; Umzeichnung: A. v.M. |
| Kat. 849–851 | Zeichnung: M. K.; Umzeichnung: A. v.M. |
| Kat. 852. 853 | Zeichnung und Umzeichnung: A. v.M. |
| Kat. 854. 855 | Zeichnung: M. K.; Umzeichnung: A. v.M. |
| Kat. 856. 857 | Zeichnung und Umzeichnung: A. v.M. |
| Kat. 858 | Zeichnung: M. K., A. v.M. Umzeichnung: A. v.M. |
| Kat. 859–862 | Zeichnung: M. K.; Umzeichnung: A. v.M. |
| Kat. 863 | Zeichnung und Umzeichnung: A. v.M. |
| Kat. 864–868 | Zeichnung: M. K.; Umzeichnung: A. v.M. |
| Kat. 869. 870 | Zeichnung und Umzeichnung: A. v.M. |
| Kat. 871. 872 | Zeichnung: M. K.; Umzeichnung: A. v.M. |
| Kat. 873 | Zeichnung und Umzeichnung: A. v.M. |
| Kat. 874–883 | Zeichnung: M. K.; Umzeichnung: A. v.M. |
| Kat. 884 | Zeichnung: M. K., A. v.M.; Umzeichnung: A. v.M. |
| Kat. 885 | Zeichnung: M. K.; Umzeichnung: A. v.M. |
| Kat. 886–890 | Zeichnung: M. K.; Umzeichnung: A. v.M. |
| Kat. 891 | Zeichnung und Umzeichnung: A. v.M. |
| Kat. 892–896 | Zeichnung: M. K.; Umzeichnung: A. v.M. |
| Kat. 897 | Zeichnung und Umzeichnung: A. v.M. |

| | |
|--------------------|--|
| Kat. 898. 900 | Zeichnung: M. K.; Umzeichnung: A. v.M. |
| Kat. 901. 902 | Zeichnung und Umzeichnung: A. v.M. |
| Kat. 903–905 | Zeichnung: M. K.; Umzeichnung: A. v.M. |
| Kat. 906 | Zeichnung: L. B.; Umzeichnung: A. v.M. |
| Kat. 907 | Zeichnung: M. K.; Umzeichnung: A. v.M. |
| Kat. 908. 909 | Zeichnung: M. K., A. v.M. Umzeichnung: A. v.M. |
| Kat. 910–912 | Zeichnung und Umzeichnung: A. v.M. |
| Kat. 913–917 | Zeichnung: M. K.; Umzeichnung: A. v.M. |
| Kat. 918 | Zeichnung: M. K., A. v.M. Umzeichnung: A. v.M. |
| Kat. 919 | Zeichnung und Umzeichnung: A. v.M. |
| Kat. 920–923 | Zeichnung: M. K.; Umzeichnung: A. v.M. |
| Kat. 924 | Zeichnung und Umzeichnung: A. v.M. |
| Kat. 925 | Zeichnung: M. K., A. v.M. Umzeichnung: A. v.M. |
| Kat. 926–928 | Zeichnung: M. K.; Umzeichnung: A. v.M. |
| Kat. 929–931 | Zeichnung und Umzeichnung: A. v.M. |
| Kat. 932 | Zeichnung: M. K.; Umzeichnung: A. v.M. |
| Kat. 933 | Zeichnung und Umzeichnung: A. v.M. |
| Kat. 934–936 | Zeichnung: M. K.; Umzeichnung: A. v.M. |
| Kat. 937 | Zeichnung: M. K., A. v.M. Umzeichnung: A. v.M. |
| Kat. 938 | Zeichnung: M. K.; Umzeichnung: A. v.M. |
| Kat. 939 | Zeichnung und Umzeichnung: A. v.M. |
| Kat. 940 | Zeichnung: M. K., A. v.M. Umzeichnung: A. v.M. |
| Kat. 941 | Zeichnung: [N.N.]; Umzeichnung: A. v.M. |
| Kat. 942 | Zeichnung: M. K.; Umzeichnung: A. v.M. |
| Kat. 943–946 | Zeichnung und Umzeichnung: A. v.M. |
| Kat. 947 | Zeichnung: M. K.; Umzeichnung: A. v.M. |
| Kat. 948–950 | Zeichnung und Umzeichnung: A. v.M. |
| Kat. 951 | Zeichnung: M. K.; Umzeichnung: A. v.M. |
| Kat. 952 | Zeichnung und Umzeichnung: A. v.M. |
| Kat. 953 | Zeichnung: M. K.; Umzeichnung: A. v.M. |
| Kat. 954–958 | Zeichnung und Umzeichnung: A. v.M. |
| Kat. 959. 960 | Zeichnung: M. K.; Umzeichnung: A. v.M. |
| Kat. 961 | Zeichnung und Umzeichnung: A. v.M. |
| Kat. 962 | Zeichnung: M. K.; Umzeichnung: A. v.M. |
| Kat. 963 | Zeichnung: M. K., A. v.M. Umzeichnung: A. v.M. |
| Kat. 964–967 | Zeichnung: M. K.; Umzeichnung: A. v.M. |
| Kat. 968–970 | Zeichnung und Umzeichnung: A. v.M. |
| Kat. 971 | Zeichnung: M. K.; Umzeichnung: A. v.M. |
| Kat. 972 | Zeichnung und Umzeichnung: A. v.M. |
| Kat. 973 | Zeichnung: M. K.; Umzeichnung: A. v.M. |
| Kat. 974. 977. 978 | Zeichnung und Umzeichnung: A. v.M. |
| Kat. 979. 980 | Zeichnung: M. K.; Umzeichnung: A. v.M. |
| Kat. 981. 982 | Zeichnung und Umzeichnung: A. v.M. |
| Kat. 983 | Zeichnung: W. M.; Umzeichnung: A. v.M. |
| Kat. 984 | Zeichnung: M. K.; Umzeichnung: A. v.M. |
| Kat. 985 | Zeichnung und Umzeichnung: A. v.M. |
| Kat. 986–988 | Zeichnung: W. M.; Umzeichnung: A. v.M. |

| | |
|-----------------|---|
| Kat. 989 | Zeichnung: M. K.; Umzeichnung: A. v.M. |
| Kat. 990–1001 | Zeichnung und Umzeichnung: A. v.M. |
| Kat. 1002. 1003 | Zeichnung: W. M.; Umzeichnung: A. v.M. |
| Kat. 1004 | Zeichnung und Umzeichnung: A. v.M. |
| Kat. 1005 | Zeichnung: A. v.M., W. M.; Umzeichnung: A. v.M. |
| Kat. 1006–1012 | Zeichnung und Umzeichnung: A. v.M. |
| Kat. 1013 | Zeichnung: W. M.; Umzeichnung: A. v.M. |
| Kat. 1014–1020 | Zeichnung und Umzeichnung: A. v.M. |
| Kat. 1021 | Zeichnung: W. M.; Umzeichnung: A. v.M. |
| Kat. 1022–1024 | Zeichnung und Umzeichnung: A. v.M. |
| Kat. 1025 | Zeichnung: W. M.; Umzeichnung: A. v.M. |
| Kat. 1026–1031 | Zeichnung und Umzeichnung: A. v.M. |
| Kat. 1032 | Zeichnung: A. v.M., W. M.; Umzeichnung: A. v.M. |
| Kat. 1033. 1034 | Zeichnung: W. M.; Umzeichnung: A. v.M. |
| Kat. 1035. 1036 | Zeichnung und Umzeichnung: A. v.M. |
| Kat. 1037. 1038 | Zeichnung: W. M.; Umzeichnung: A. v.M. |
| Kat. 1039 | Zeichnung und Umzeichnung: A. v.M. |
| Kat. 1040. 1041 | Zeichnung: W. M.; Umzeichnung: A. v.M. |
| Kat. 1042 | Zeichnung und Umzeichnung: A. v.M. |
| Kat. 1043. 1044 | Zeichnung: W. M.; Umzeichnung: A. v.M. |
| Kat. 1045 | Zeichnung und Umzeichnung: A. v.M. |
| Kat. 1046. 1047 | Zeichnung: W. M.; Umzeichnung: A. v.M. |
| Kat. 1048–1050 | Zeichnung und Umzeichnung: A. v.M. |
| Kat. 1051 | Zeichnung: M. K.; Umzeichnung: A. v.M. |
| Kat. 1052–1054 | Zeichnung und Umzeichnung: A. v.M. |
| Kat. 1055 | Zeichnung: W. M.; Umzeichnung: A. v.M. |
| Kat. 1056 | Zeichnung und Umzeichnung: A. v.M. |
| Kat. 1057 | Zeichnung: W. M.; Umzeichnung: A. v.M. |
| Kat. 1058–1060 | Zeichnung und Umzeichnung: A. v.M. |
| Kat. 1061. 1062 | Zeichnung: W. M.; Umzeichnung: A. v.M. |
| Kat. 1063 | Zeichnung und Umzeichnung: A. v.M. |
| Kat. 1064 | Zeichnung: A. v.M., W. M.; Umzeichnung: A. v.M. |
| Kat. 1065–1067 | Zeichnung und Umzeichnung: A. v.M. |
| Kat. 1068 | Zeichnung: W. M.; Umzeichnung: A. v.M. |
| Kat. 1069 | Zeichnung und Umzeichnung: A. v.M. |
| Kat. 1070 | Zeichnung: M. K.; Umzeichnung: A. v.M. |
| Kat. 1071–1084 | Zeichnung und Umzeichnung: A. v.M. |
| Kat. 1085 | Zeichnung: W. M.; Umzeichnung: A. v.M. |
| Kat. 1086–1095 | Zeichnung und Umzeichnung: A. v.M. |
| Kat. 1096 | Zeichnung: L. B.; Umzeichnung: A. v.M. |
| Kat. 1097 | Zeichnung und Umzeichnung: A. v.M. |
| Kat. 1098. 1099 | Zeichnung: W. M.; Umzeichnung: A. v.M. |
| Kat. 1100. 1101 | Zeichnung und Umzeichnung: A. v.M. |
| Kat. 1102 | Zeichnung: L. B.; Umzeichnung: A. v.M. |
| Kat. 1103. 1104 | Zeichnung: W. M.; Umzeichnung: A. v.M. |
| Kat. 1105 | Zeichnung und Umzeichnung: A. v.M. |
| Kat. 1106. 1107 | Zeichnung: W. M.; Umzeichnung: A. v.M. |

| | |
|-----------------|---|
| Kat. 1108–1110 | Zeichnung und Umzeichnung: A. v.M. |
| Kat. 1111 | Zeichnung: W. M.; Umzeichnung: A. v.M. |
| Kat. 1112 | Zeichnung und Umzeichnung: A. v.M. |
| Kat. 1113 | Zeichnung: W. M.; Umzeichnung: A. v.M. |
| Kat. 1114–1116 | Zeichnung und Umzeichnung: A. v.M. |
| Kat. 1117–1119 | Zeichnung: W. M.; Umzeichnung: A. v.M. |
| Kat. 1120. 1121 | Zeichnung und Umzeichnung: A. v.M. |
| Kat. 1122 | Zeichnung: W. M.; Umzeichnung: A. v.M. |
| Kat. 1123–1125 | Zeichnung und Umzeichnung: A. v.M. |
| Kat. 1126. 1127 | Zeichnung: W. M.; Umzeichnung: A. v.M. |
| Kat. 1128. 1129 | Zeichnung und Umzeichnung: A. v.M. |
| Kat. 1130 | Zeichnung: W. M.; Umzeichnung: A. v.M. |
| Kat. 1131 | Zeichnung und Umzeichnung: A. v.M. |
| Kat. 1132. 1133 | Zeichnung: W. M.; Umzeichnung: A. v.M. |
| Kat. 1134 | Zeichnung und Umzeichnung: A. v.M. |
| Kat. 1135 | Zeichnung: A. v.M., W. M.; Umzeichnung: A. v.M. |
| Kat. 1136 | Zeichnung und Umzeichnung: A. v.M. |
| Kat. 1137 | Zeichnung: W. M.; Umzeichnung: A. v.M. |
| Kat. 1138–1142 | Zeichnung und Umzeichnung: A. v.M. |
| Kat. 1143–1145 | Zeichnung: W. M.; Umzeichnung: A. v.M. |
| Kat. 1146. 1147 | Zeichnung und Umzeichnung: A. v.M. |
| Kat. 1148 | Zeichnung: W. M.; Umzeichnung: A. v.M. |
| Kat. 1149 | Zeichnung und Umzeichnung: A. v.M. |
| Kat. 1150 | Zeichnung: M. K.; A. v.M.; Umzeichnung: A. v.M. |
| Kat. 1151. 1152 | Zeichnung und Umzeichnung: A. v.M. |
| Kat. 1153 | Zeichnung: A. v.M., W. M.; Umzeichnung: A. v.M. |
| Kat. 1154. 1155 | Zeichnung: W. M.; Umzeichnung: A. v.M. |
| Kat. 1156–1159 | Zeichnung und Umzeichnung: A. v.M. |
| Kat. 1160 | Zeichnung: W. M.; Umzeichnung: A. v.M. |
| Kat. 1161. 1162 | Zeichnung und Umzeichnung: A. v.M. |
| Kat. 1163. 1164 | Zeichnung: W. M.; Umzeichnung: A. v.M. |
| Kat. 1165–1167 | Zeichnung und Umzeichnung: A. v.M. |
| Kat. 1168. 1169 | Zeichnung: W. M.; Umzeichnung: A. v.M. |
| Kat. 1170–1179 | Zeichnung und Umzeichnung: A. v.M. |
| Kat. 1180 | Zeichnung: W. M.; Umzeichnung: A. v.M. |
| Kat. 1181 | Zeichnung und Umzeichnung: A. v.M. |
| Kat. 1182 | Zeichnung: W. M.; Umzeichnung: A. v.M. |
| Kat. 1183 | Zeichnung und Umzeichnung: A. v.M. |
| Kat. 1184 | Zeichnung: W. M.; Umzeichnung: A. v.M. |
| Kat. 1185. 1186 | Zeichnung und Umzeichnung: A. v.M. |
| Kat. 1187 | Zeichnung: W. M.; Umzeichnung: A. v.M. |
| Kat. 1188–1191 | Zeichnung und Umzeichnung: A. v.M. |
| Kat. 1192. 1193 | Zeichnung: W. M.; Umzeichnung: A. v.M. |
| Kat. 1194 | Zeichnung: M. K.; Umzeichnung: A. v.M. |
| Kat. 1195–1197 | Zeichnung und Umzeichnung: A. v.M. |
| Kat. 1198. 1199 | Zeichnung: W. M.; Umzeichnung: A. v.M. |
| Kat. 1200 | Zeichnung und Umzeichnung: A. v.M. |

| | |
|-----------------|---|
| Kat. 1201. 1202 | Zeichnung: A. v.M., W. M.; Umzeichnung: A. v.M. |
| Kat. 1203–1205 | Zeichnung und Umzeichnung: A. v.M. |
| Kat. 1206–1211 | Zeichnung: W. M.; Umzeichnung: A. v.M. |
| Kat. 1212–1220 | Zeichnung und Umzeichnung: A. v.M. |
| Kat. 1221. 1222 | Zeichnung: W. M.; Umzeichnung: A. v.M. |
| Kat. 1223. 1224 | Zeichnung: A. v.M., W. M.; Umzeichnung: A. v.M. |
| Kat. 1225 | Zeichnung und Umzeichnung: A. v.M. |
| Kat. 1226 | Zeichnung: W. M.; Umzeichnung: A. v.M. |
| Kat. 1227. 1228 | Zeichnung und Umzeichnung: A. v.M. |
| Kat. 1229 | Zeichnung: A. v.M., W. M.; Umzeichnung: A. v.M. |
| Kat. 1230. 1231 | Zeichnung und Umzeichnung: A. v.M. |
| Kat. 1232 | Zeichnung: W. M.; Umzeichnung: A. v.M. |
| Kat. 1233–1235 | Zeichnung und Umzeichnung: A. v.M. |
| Kat. 1236 | Zeichnung: W. M.; Umzeichnung: A. v.M. |
| Kat. 1237–1240 | Zeichnung und Umzeichnung: A. v.M. |
| Kat. 1241 | Zeichnung: W. M.; Umzeichnung: A. v.M. |
| Kat. 1242–1244 | Zeichnung und Umzeichnung: A. v.M. |
| Kat. 1245 | Zeichnung: W. M.; Umzeichnung: A. v.M. |
| Kat. 1246 | Zeichnung und Umzeichnung: A. v.M. |
| Kat. 1247 | Zeichnung: W. M.; Umzeichnung: A. v.M. |
| Kat. 1248. 1249 | Zeichnung und Umzeichnung: A. v.M. |
| Kat. 1250 | Zeichnung: W. M.; Umzeichnung: A. v.M. |
| Kat. 1251 | Zeichnung und Umzeichnung: A. v.M. |
| Kat. 1252–1254 | Zeichnung: W. M.; Umzeichnung: A. v.M. |
| Kat. 1255–1257 | Zeichnung und Umzeichnung: A. v.M. |
| Kat. 1259. 1260 | Zeichnung: W. M.; Umzeichnung: A. v.M. |
| Kat. 1261. 1262 | Zeichnung und Umzeichnung: A. v.M. |
| Kat. 1263–1271 | Zeichnung: W. M.; Umzeichnung: A. v.M. |
| Kat. 1272 | Zeichnung und Umzeichnung: A. v.M. |
| Kat. 1273 | Zeichnung: W. M.; Umzeichnung: A. v.M. |
| Kat. 1274–1287 | Zeichnung und Umzeichnung: A. v.M. |
| Kat. 1288 | Zeichnung: W. M.; Umzeichnung: A. v.M. |
| Kat. 1289–1297 | Zeichnung und Umzeichnung: A. v.M. |
| Kat. 1298 | Zeichnung: W. M.; Umzeichnung: A. v.M. |
| Kat. 1299 | Zeichnung und Umzeichnung: A. v.M. |
| Kat. 1300 | Zeichnung: W. M.; Umzeichnung: A. v.M. |
| Kat. 1301–1307 | Zeichnung und Umzeichnung: A. v.M. |
| Kat. 1308 | Zeichnung: W. M.; Umzeichnung: A. v.M. |
| Kat. 1309. 1310 | Zeichnung und Umzeichnung: A. v.M. |
| Kat. 1311. 1312 | Zeichnung: W. M.; Umzeichnung: A. v.M. |
| Kat. 1313–1321 | Zeichnung und Umzeichnung: A. v.M. |
| Kat. 1322 | Zeichnung: W. M.; Umzeichnung: A. v.M. |
| Kat. 1323. 1325 | Zeichnung und Umzeichnung: A. v.M. |
| Kat. 1326 | Zeichnung: M. K.; Umzeichnung: A. v.M. |
| Kat. 1327 | Zeichnung und Umzeichnung: A. v.M. |
| Kat. 1328. 1329 | Zeichnung: M. K.; Umzeichnung: A. v.M. |
| Kat. 1330–1332 | Zeichnung: W. M.; Umzeichnung: A. v.M. |

| | |
|-----------------|---|
| Kat. 1333 | Zeichnung: M. K.; Umzeichnung: A. v.M. |
| Kat. 1334 | Zeichnung und Umzeichnung: A. v.M. |
| Kat. 1335–1337 | Zeichnung: M. K.; Umzeichnung: A. v.M. |
| Kat. 1338–1341 | Zeichnung: W. M.; Umzeichnung: A. v.M. |
| Kat. 1342 | Zeichnung: M. K.; Umzeichnung: A. v.M. |
| Kat. 1343 | Zeichnung: W. M.; Umzeichnung: A. v.M. |
| Kat. 1344 | Zeichnung: M. K.; Umzeichnung: A. v.M. |
| Kat. 1345 | Zeichnung: A. v.M., W. M.; Umzeichnung: A. v.M. |
| Kat. 1346 | Zeichnung: M. K.; Umzeichnung: A. v.M. |
| Kat. 1347 | Zeichnung und Umzeichnung: A. v.M. |
| Kat. 1348 | Zeichnung: M. K.; Umzeichnung: A. v.M. |
| Kat. 1349 | Zeichnung: W. M.; Umzeichnung: A. v.M. |
| Kat. 1350–1352 | Zeichnung: M. K.; Umzeichnung: A. v.M. |
| Kat. 1353 | Zeichnung: W. M.; Umzeichnung: A. v.M. |
| Kat. 1354 | Zeichnung: A. v.M., W. M.; Umzeichnung: A. v.M. |
| Kat. 1355 | Zeichnung: M. K.; Umzeichnung: A. v.M. |
| Kat. 1356–1359 | Zeichnung: W. M.; Umzeichnung: A. v.M. |
| Kat. 1360 | Zeichnung: M. K.; Umzeichnung: A. v.M. |
| Kat. 1361 | Zeichnung: W. M.; Umzeichnung: A. v.M. |
| Kat. 1362 | Zeichnung: M. K.; Umzeichnung: A. v.M. |
| Kat. 1363. 1364 | Zeichnung: W. M.; Umzeichnung: A. v.M. |
| Kat. 1365 | Zeichnung: M. K.; Umzeichnung: A. v.M. |
| Kat. 1366. 1367 | Zeichnung und Umzeichnung: A. v.M. |
| Kat. 1368 | Zeichnung: M. K.; Umzeichnung: A. v.M. |
| Kat. 1369 | Zeichnung: W. M.; Umzeichnung: A. v.M. |
| Kat. 1370 | Zeichnung: M. K.; Umzeichnung: A. v.M. |
| Kat. 1371 | Zeichnung: W. M.; Umzeichnung: A. v.M. |
| Kat. 1372 | Zeichnung: M. K.; Umzeichnung: A. v.M. |
| Kat. 1373–1375 | Zeichnung: W. M.; Umzeichnung: A. v.M. |
| Kat. 1376–1380 | Zeichnung und Umzeichnung: A. v.M. |
| Kat. 1381 | Zeichnung: W. M.; Umzeichnung: A. v.M. |
| Kat. 1382 | Zeichnung: M. K.; Umzeichnung: A. v.M. |
| Kat. 1383. 1384 | Zeichnung und Umzeichnung: A. v.M. |
| Kat. 1385 | Zeichnung: M. K.; Umzeichnung: A. v.M. |
| Kat. 1386 | Zeichnung und Umzeichnung: A. v.M. |
| Kat. 1387 | Zeichnung: M. K.; Umzeichnung: A. v.M. |
| Kat. 1388. 1389 | Zeichnung und Umzeichnung: A. v.M. |
| Kat. 1390 | Zeichnung: M. K.; Umzeichnung: A. v.M. |
| Kat. 1391 | Zeichnung und Umzeichnung: A. v.M. |
| Kat. 1392–1394 | Zeichnung: M. K.; Umzeichnung: A. v.M. |
| Kat. 1395. 1396 | Zeichnung und Umzeichnung: A. v.M. |
| Kat. 1397 | Zeichnung: M. K.; Umzeichnung: A. v.M. |
| Kat. 1398 | Zeichnung und Umzeichnung: A. v.M. |
| Kat. 1399. 1400 | Zeichnung: M. K.; Umzeichnung: A. v.M. |
| Kat. 1401 | Zeichnung: W. M.; Umzeichnung: A. v.M. |
| Kat. 1402 | Zeichnung: M. K.; Umzeichnung: A. v.M. |
| Kat. 1403 | Zeichnung: W. M.; Umzeichnung: A. v.M. |

| | |
|-----------------|---|
| Kat. 1404 | Zeichnung: M. K.; Umzeichnung: A. v.M. |
| Kat. 1405 | Zeichnung: W. M.; Umzeichnung: A. v.M. |
| Kat. 1406. 1407 | Zeichnung: M. K.; Umzeichnung: A. v.M. |
| Kat. 1408 | Zeichnung und Umzeichnung: A. v.M. |
| Kat. 1409 | Zeichnung: M. K.; Umzeichnung: A. v.M. |
| Kat. 1410 | Zeichnung: W. M.; Umzeichnung: A. v.M. |
| Kat. 1411. 1412 | Zeichnung: M. K.; Umzeichnung: A. v.M. |
| Kat. 1413 | Zeichnung und Umzeichnung: A. v.M. |
| Kat. 1414 | Zeichnung: W. M.; Umzeichnung: A. v.M. |
| Kat. 1415 | Zeichnung: M. K.; Umzeichnung: A. v.M. |
| Kat. 1416 | Zeichnung: A. v.M., W. M.; Umzeichnung: A. v.M. |
| Kat. 1417. 1418 | Zeichnung: W. M.; Umzeichnung: A. v.M. |
| Kat. 1419–1424 | Zeichnung: M. K.; Umzeichnung: A. v.M. |
| Kat. 1425–1428 | Zeichnung und Umzeichnung: A. v.M. |
| Kat. 1429 | Zeichnung: M. K.; Umzeichnung: A. v.M. |
| Kat. 1430 | Zeichnung und Umzeichnung: A. v.M. |
| Kat. 1431 | Zeichnung: M. K.; Umzeichnung: A. v.M. |
| Kat. 1432 | Zeichnung und Umzeichnung: A. v.M. |
| Kat. 1433. 1434 | Zeichnung: M. K.; Umzeichnung: A. v.M. |
| Kat. 1435 | Zeichnung: W. M.; Umzeichnung: A. v.M. |
| Kat. 1436 | Zeichnung und Umzeichnung: A. v.M. |
| Kat. 1437–1444 | Zeichnung: M. K.; Umzeichnung: A. v.M. |
| Kat. 1445 | Zeichnung und Umzeichnung: A. v.M. |
| Kat. 1446–1449 | Zeichnung: M. K.; Umzeichnung: A. v.M. |
| Kat. 1450–1452 | Zeichnung und Umzeichnung: A. v.M. |
| Kat. 1453 | Zeichnung: W. M.; Umzeichnung: A. v.M. |
| Kat. 1454–1457 | Zeichnung und Umzeichnung: A. v.M. |
| Kat. 1458 | Zeichnung: W. M.; Umzeichnung: A. v.M. |
| Kat. 1459 | Zeichnung: A. v.M., W. M.; Umzeichnung: A. v.M. |
| Kat. 1460–1465 | Zeichnung und Umzeichnung: A. v.M. |
| Kat. 1466 | Zeichnung: W. M., Umzeichnung: A. v.M. |
| Kat. 1467–1470 | Zeichnung und Umzeichnung: A. v.M. |
| Kat. 1471 | Zeichnung: A. v.M., W. M.; Umzeichnung: A. v.M. |
| Kat. 1472 | Zeichnung: W. M.; Umzeichnung: A. v.M. |
| Kat. 1473–1477 | Zeichnung: A. v.M., W. M.; Umzeichnung: A. v.M. |
| Kat. 1478. 1479 | Zeichnung und Umzeichnung: A. v.M. |
| Kat. 1480 | Zeichnung: A. v.M., W. M.; Umzeichnung: A. v.M. |
| Kat. 1481 | Zeichnung und Umzeichnung: A. v.M. |
| Kat. 1482–1485 | Zeichnung: W. M.; Umzeichnung: A. v.M. |
| Kat. 1486–1488 | Zeichnung und Umzeichnung: A. v.M. |
| Kat. 1489 | Zeichnung: W. M.; Umzeichnung: A. v.M. |
| Kat. 1490–1493 | Zeichnung und Umzeichnung: A. v.M. |
| Kat. 1494 | Zeichnung: W. M.; Umzeichnung: A. v.M. |
| Kat. 1495–1499 | Zeichnung und Umzeichnung: A. v.M. |
| Kat. 1500 | Zeichnung: A. v.M., W. M.; Umzeichnung: A. v.M. |
| Kat. 1501 | Zeichnung und Umzeichnung: A. v.M. |
| Kat. 1502 | Zeichnung: A. v.M., W. M.; Umzeichnung: A. v.M. |

| | |
|-----------------|---|
| Kat. 1503. 1504 | Zeichnung: W. M.; Umzeichnung: A. v.M. |
| Kat. 1505 | Zeichnung und Umzeichnung: A. v.M. |
| Kat. 1506–1508 | Zeichnung: W. M.; Umzeichnung: A. v.M. |
| Kat. 1509 | Zeichnung: K. B.; Umzeichnung: A. v.M. |
| Kat. 1510 | Zeichnung: A. v.M., W. M.; Umzeichnung: A. v.M. |
| Kat. 1511–1519 | Zeichnung: W. M.; Umzeichnung: A. v.M. |
| Kat. 1520 | Zeichnung und Umzeichnung: A. v.M. |
| Kat. 1521 | Zeichnung: A. v.M., W. M.; Umzeichnung: A. v.M. |
| Kat. 1522 | Zeichnung: W. M.; Umzeichnung: A. v.M. |
| Kat. 1523 | Zeichnung und Umzeichnung: A. v.M. |
| Kat. 1524. 1525 | Zeichnung: W. M.; Umzeichnung: A. v.M. |
| Kat. 1526 | Zeichnung und Umzeichnung: A. v.M. |
| Kat. 1527–1534 | Zeichnung: W. M.; Umzeichnung: A. v.M. |
| Kat. 1535. 1536 | Zeichnung und Umzeichnung: A. v.M. |
| Kat. 1537–1543 | Zeichnung: W. M.; Umzeichnung: A. v.M. |
| Kat. 1544. 1545 | Zeichnung: A. v.M., W. M.; Umzeichnung: A. v.M. |
| Kat. 1546–1549 | Zeichnung: W. M.; Umzeichnung: A. v.M. |
| Kat. 1550 | Zeichnung: A. v.M., W. M.; Umzeichnung: A. v.M. |
| Kat. 1551 | Zeichnung und Umzeichnung: A. v.M. |
| Kat. 1552–1556 | Zeichnung: W. M.; Umzeichnung: A. v.M. |
| Kat. 1557–1561 | Zeichnung und Umzeichnung: A. v.M. |
| Kat. 1562 | Zeichnung: W. M.; Umzeichnung: A. v.M. |
| Kat. 1563 | Zeichnung und Umzeichnung: A. v.M. |
| Kat. 1564 | Zeichnung: A. v.M., W. M.; Umzeichnung: A. v.M. |
| Kat. 1565–1568 | Zeichnung: W. M.; Umzeichnung: A. v.M. |
| Kat. 1569–1572 | Zeichnung und Umzeichnung: A. v.M. |
| Kat. 1573 | Zeichnung: W. M.; Umzeichnung: A. v.M. |
| Kat. 1574 | Zeichnung und Umzeichnung: A. v.M. |
| Kat. 1575–1577 | Zeichnung: W. M.; Umzeichnung: A. v.M. |
| Kat. 1578 | Zeichnung und Umzeichnung: A. v.M. |
| Kat. 1579–1585 | Zeichnung: W. M.; Umzeichnung: A. v.M. |
| Kat. 1586. 1587 | Zeichnung und Umzeichnung: A. v.M. |
| Kat. 1588–1590 | Zeichnung: W. M.; Umzeichnung: A. v.M. |
| Kat. 1591–1594 | Zeichnung und Umzeichnung: A. v.M. |
| Kat. 1595 | Zeichnung: W. M.; Umzeichnung: A. v.M. |
| Kat. 1596. 1597 | Zeichnung und Umzeichnung: A. v.M. |
| Kat. 1598 | Zeichnung: W. M.; Umzeichnung: A. v.M. |
| Kat. 1599–1601 | Zeichnung und Umzeichnung: A. v.M. |
| Kat. 1602 | Zeichnung: W. M.; Umzeichnung: A. v.M. |
| Kat. 1603–1608 | Zeichnung und Umzeichnung: A. v.M. |
| Kat. 1609 | Zeichnung: W. M.; Umzeichnung: A. v.M. |
| Kat. 1610. 1611 | Zeichnung und Umzeichnung: A. v.M. |
| Kat. 1612 | Zeichnung: W. M.; Umzeichnung: A. v.M. |
| Kat. 1613 | Zeichnung und Umzeichnung: A. v.M. |
| Kat. 1614 | Zeichnung: W. M.; Umzeichnung: A. v.M. |
| Kat. 1615. 1616 | Zeichnung und Umzeichnung: A. v.M. |
| Kat. 1617 | Zeichnung: W. M.; Umzeichnung: A. v.M. |

| | |
|-----------------|---|
| Kat. 1618–1620 | Zeichnung und Umzeichnung: A. v.M. |
| Kat. 1621 | Zeichnung: W. M.; Umzeichnung: A. v.M. |
| Kat. 1622 | Zeichnung und Umzeichnung: A. v.M. |
| Kat. 1623 | Zeichnung: W. M.; Umzeichnung: A. v.M. |
| Kat. 1624 | Zeichnung: M. K.; Umzeichnung: A. v.M. |
| Kat. 1625 | Zeichnung: W. M.; Umzeichnung: A. v.M. |
| Kat. 1626 | Zeichnung und Umzeichnung: A. v.M. |
| Kat. 1627 | Zeichnung: W. M.; Umzeichnung: A. v.M. |
| Kat. 1628. 1629 | Zeichnung und Umzeichnung: A. v.M. |
| Kat. 1630–1633 | Zeichnung: W. M.; Umzeichnung: A. v.M. |
| Kat. 1634–1638 | Zeichnung und Umzeichnung: A. v.M. |
| Kat. 1639–1643 | Zeichnung: W. M.; Umzeichnung: A. v.M. |
| Kat. 1644–1646 | Zeichnung und Umzeichnung: A. v.M. |
| Kat. 1647 | Zeichnung: W. M.; Umzeichnung: A. v.M. |
| Kat. 1648 | Zeichnung und Umzeichnung: A. v.M. |
| Kat. 1649 | Zeichnung: W. M.; Umzeichnung: A. v.M. |
| Kat. 1650–1652 | Zeichnung und Umzeichnung: A. v.M. |
| Kat. 1653–1656 | Zeichnung: W. M.; Umzeichnung: A. v.M. |
| Kat. 1657–1662 | Zeichnung und Umzeichnung: A. v.M. |
| Kat. 1663 | Zeichnung: W. M.; Umzeichnung: A. v.M. |
| Kat. 1664–1667 | Zeichnung und Umzeichnung: A. v.M. |
| Kat. 1668 | Zeichnung: M. K.; Umzeichnung: A. v.M. |
| Kat. 1669. 1670 | Zeichnung und Umzeichnung: A. v.M. |
| Kat. 1671–1673 | Zeichnung: W. M.; Umzeichnung: A. v.M. |
| Kat. 1674–1677 | Zeichnung und Umzeichnung: A. v.M. |
| Kat. 1678–1680 | Zeichnung: W. M.; Umzeichnung: A. v.M. |
| Kat. 1681 | Zeichnung und Umzeichnung: A. v.M. |
| Kat. 1682 | Zeichnung: W. M.; Umzeichnung: A. v.M. |
| Kat. 1683–1686 | Zeichnung und Umzeichnung: A. v.M. |
| Kat. 1687 | Zeichnung: W. M.; Umzeichnung: A. v.M. |
| Kat. 1688–1691 | Zeichnung und Umzeichnung: A. v.M. |
| Kat. 1692–1699 | Zeichnung: W. M.; Umzeichnung: A. v.M. |
| Kat. 1700–1702 | Zeichnung und Umzeichnung: A. v.M. |
| Kat. 1703. 1704 | Zeichnung: W. M.; Umzeichnung: A. v.M. |
| Kat. 1705. 1706 | Zeichnung und Umzeichnung: A. v.M. |
| Kat. 1707 | Zeichnung: M. K.; Umzeichnung: A. v.M. |
| Kat. 1708 | Zeichnung und Umzeichnung: A. v.M. |
| Kat. 1709 | Zeichnung: W. M.; Umzeichnung: A. v.M. |
| Kat. 1710. 1711 | Zeichnung und Umzeichnung: A. v.M. |
| Kat. 1713 | Zeichnung: W. M.; Umzeichnung: A. v.M. |
| Kat. 1714. 1715 | Zeichnung und Umzeichnung: A. v.M. |
| Kat. 1716 | Zeichnung: W. M.; Umzeichnung: A. v.M. |
| Kat. 1717. 1718 | Zeichnung und Umzeichnung: A. v.M. |
| Kat. 1719 | Zeichnung: W. M.; Umzeichnung: A. v.M. |
| Kat. 1720–1728 | Zeichnung und Umzeichnung: A. v.M. |
| Kat. 1729 | Zeichnung: M. K.; A. v.M.; Umzeichnung: A. v.M. |
| Kat. 1730–1733 | Zeichnung und Umzeichnung: A. v.M. |

| | |
|-----------------|---|
| Kat. 1734 | Zeichnung: M. K.; Umzeichnung: A. v.M. |
| Kat. 1735 | Zeichnung und Umzeichnung: A. v.M. |
| Kat. 1736 | Zeichnung: M. K.; Umzeichnung: A. v.M. |
| Kat. 1737–1740 | Zeichnung und Umzeichnung: A. v.M. |
| Kat. 1741–1743 | Zeichnung: M. K.; Umzeichnung: A. v.M. |
| Kat. 1744 | Zeichnung und Umzeichnung: A. v.M. |
| Kat. 1745 | Zeichnung: M. K., A. v.M.; Umzeichnung: A. v.M. |
| Kat. 1746 | Zeichnung: M. K.; Umzeichnung: A. v.M. |
| Kat. 1747. 1748 | Zeichnung: M. K.; Umzeichnung: A. v.M. |
| Kat. 1749. 1750 | Zeichnung und Umzeichnung: A. v.M. |
| Kat. 1751. 1752 | Zeichnung: M. K., A. v.M.; Umzeichnung: A. v.M. |
| Kat. 1753. 1754 | Zeichnung: M. K.; Umzeichnung: A. v.M. |
| Kat. 1755. 1756 | Zeichnung und Umzeichnung: A. v.M. |
| Kat. 1757 | Zeichnung: M. K.; Umzeichnung: A. v.M. |
| Kat. 1758. 1759 | Zeichnung und Umzeichnung: A. v.M. |
| Kat. 1760 | Zeichnung: M. K.; Umzeichnung: A. v.M. |
| Kat. 1761 | Zeichnung und Umzeichnung: A. v.M. |
| Kat. 1762–1764 | Zeichnung: M. K.; Umzeichnung: A. v.M. |
| Kat. 1765 | Zeichnung und Umzeichnung: A. v.M. |
| Kat. 1766. 1767 | Zeichnung: M. K.; Umzeichnung: A. v.M. |
| Kat. 1768–1772 | Zeichnung und Umzeichnung: A. v.M. |
| Kat. 1773 | Zeichnung: M. K.; Umzeichnung: A. v.M. |
| Kat. 1774–1776 | Zeichnung und Umzeichnung: A. v.M. |
| Kat. 1777 | Zeichnung: M. K., A. v.M.; Umzeichnung: A. v.M. |
| Kat. 1778. 1779 | Zeichnung: M. K.; Umzeichnung: A. v.M. |
| Kat. 1780–1782 | Zeichnung und Umzeichnung: A. v.M. |
| Kat. 1783 | Zeichnung: M. K.; Umzeichnung: A. v.M. |
| Kat. 1784 | Zeichnung und Umzeichnung: A. v.M. |
| Kat. 1785 | Zeichnung: M. K., A. v.M.; Umzeichnung: A. v.M. |
| Kat. 1786 | Zeichnung: M. K.; Umzeichnung: A. v.M. |
| Kat. 1787–1789 | Zeichnung und Umzeichnung: A. v.M. |
| Kat. 1790. 1791 | Zeichnung: M. K.; Umzeichnung: A. v.M. |
| Kat. 1792 | Zeichnung: L. B.; Umzeichnung: A. v.M. |
| Kat. 1793 | Zeichnung: M. K., A. v.M.; Umzeichnung: A. v.M. |
| Kat. 1794–1796 | Zeichnung: M. K.; Umzeichnung: A. v.M. |
| Kat. 1797 | Zeichnung: L. B.; Umzeichnung: A. v.M. |
| Kat. 1798 | Zeichnung: M. K.; Umzeichnung: A. v.M. |
| Kat. 1799. 1800 | Zeichnung: L. B.; Umzeichnung: A. v.M. |
| Kat. 1801–1808 | Zeichnung: M. K.; Umzeichnung: A. v.M. |
| Kat. 1809–1811 | Zeichnung und Umzeichnung: A. v.M. |
| Kat. 1812 | Zeichnung: M. K.; Umzeichnung: A. v.M. |
| Kat. 1813. 1814 | Zeichnung und Umzeichnung: A. v.M. |
| Kat. 1815–1817 | Zeichnung: M. K., A. v.M.; Umzeichnung: A. v.M. |
| Kat. 1818 | Zeichnung und Umzeichnung: A. v.M. |
| Kat. 1819. 1820 | Zeichnung: M. K.; Umzeichnung: A. v.M. |
| Kat. 1821 | Zeichnung: M. K., A. v.M.; Umzeichnung: A. v.M. |
| Kat. 1822 | Zeichnung: M. K.; Umzeichnung: A. v.M. |

| | |
|-----------------|---|
| Kat. 1823 | Zeichnung: L. B.; Umzeichnung: A. v.M. |
| Kat. 1824 | Zeichnung: M. K.; Umzeichnung: A. v.M. |
| Kat. 1825. 1826 | Zeichnung und Umzeichnung: A. v.M. |
| Kat. 1827 | Zeichnung: M. K.; Umzeichnung: A. v.M. |
| Kat. 1828 | Zeichnung und Umzeichnung: A. v.M. |
| Kat. 1829. 1830 | Zeichnung: M. K.; Umzeichnung: A. v.M. |
| Kat. 1831. 1832 | Zeichnung und Umzeichnung: A. v.M. |
| Kat. 1833 | Zeichnung: M. K.; Umzeichnung: A. v.M. |
| Kat. 1834–1837 | Zeichnung und Umzeichnung: A. v.M. |
| Kat. 1838 | Zeichnung: L. B.; Umzeichnung: A. v.M. |
| Kat. 1839–1842 | Zeichnung und Umzeichnung: A. v.M. |
| Kat. 1843. 1844 | Zeichnung: M. K.; Umzeichnung: A. v.M. |
| Kat. 1845–1847 | Zeichnung und Umzeichnung: A. v.M. |
| Kat. 1848 | Zeichnung: M. K.; Umzeichnung: A. v.M. |
| Kat. 1849–1851 | Zeichnung und Umzeichnung: A. v.M. |
| Kat. 1852. 1853 | Zeichnung: M. K.; Umzeichnung: A. v.M. |
| Kat. 1854 | Zeichnung und Umzeichnung: A. v.M. |
| Kat. 1855 | Zeichnung: A. v.M., W. M.; Umzeichnung: A. v.M. |
| Kat. 1856 | Zeichnung: M. K.; Umzeichnung: A. v.M. |
| Kat. 1857. 1858 | Zeichnung: W. M.; Umzeichnung: A. v.M. |
| Kat. 1859 | Zeichnung: A. v.M., W. M.; Umzeichnung: A. v.M. |
| Kat. 1860 | Zeichnung: W. M.; Umzeichnung: A. v.M. |
| Kat. 1861 | Zeichnung: A. v.M., W. M.; Umzeichnung: A. v.M. |
| Kat. 1862–1864 | Zeichnung und Umzeichnung: A. v.M. |
| Kat. 1865 | Zeichnung: W. M.; Umzeichnung: A. v.M. |
| Kat. 1866 | Zeichnung: M. K.; Umzeichnung: A. v.M. |
| Kat. 1867 | Zeichnung: M. K., A. v.M.; Umzeichnung: A. v.M. |
| Kat. 1868 | Zeichnung und Umzeichnung: A. v.M. |
| Kat. 1869 | Zeichnung: W. M.; Umzeichnung: A. v.M. |
| Kat. 1870–1872 | Zeichnung und Umzeichnung: A. v.M. |
| Kat. 1873 | Zeichnung: W. M.; Umzeichnung: A. v.M. |
| Kat. 1874. 1875 | Zeichnung und Umzeichnung: A. v.M. |
| Kat. 1876–1878 | Zeichnung: M. K.; Umzeichnung: A. v.M. |
| Kat. 1879. 1880 | Zeichnung und Umzeichnung: A. v.M. |
| Kat. 1881. 1882 | Zeichnung: M. K.; Umzeichnung: A. v.M. |
| Kat. 1883–1888 | Zeichnung und Umzeichnung: A. v.M. |
| Kat. 1889 | Zeichnung: M. K.; Umzeichnung: A. v.M. |
| Kat. 1890. 1891 | Zeichnung und Umzeichnung: A. v.M. |
| Kat. 1892. 1893 | Zeichnung: M. K.; Umzeichnung: A. v.M. |
| Kat. 1894 | Zeichnung und Umzeichnung: A. v.M. |
| Kat. 1895–1898 | Zeichnung: M. K.; Umzeichnung: A. v.M. |
| Kat. 1899 | Zeichnung und Umzeichnung: A. v.M. |
| Kat. 1900–1906 | Zeichnung: M. K.; Umzeichnung: A. v.M. |
| Kat. 1907 | Zeichnung und Umzeichnung: A. v.M. |
| Kat. 1908 | Zeichnung: M. K.; Umzeichnung: A. v.M. |
| Kat. 1909. 1910 | Zeichnung und Umzeichnung: A. v.M. |
| Kat. 1911 | Zeichnung: M. K.; Umzeichnung: A. v.M. |

| | |
|-----------------|--|
| Kat. 1912–2049 | Zeichnung und Umzeichnung: A. v.M. |
| Kat. 2050–2052 | Zeichnung: M. G.; Umzeichnung: A. v.M. |
| Kat. 2053 | Zeichnung und Umzeichnung: A. v.M. |
| Kat. 2054–2063 | Zeichnung: M. G.; Umzeichnung: A. v.M. |
| Kat. 2064 | Zeichnung und Umzeichnung: A. v.M. |
| Kat. 2065 | Zeichnung: M. G.; Umzeichnung: A. v.M. |
| Kat. 2066 | Zeichnung und Umzeichnung: A. v.M. |
| Kat. 2067. 2068 | Zeichnung: M. G.; Umzeichnung: A. v.M. |
| Kat. 2069 | Zeichnung und Umzeichnung: A. v.M. |
| Kat. 2070 | Zeichnung: M. G.; Umzeichnung: A. v.M. |
| Kat. 2071–2073 | Zeichnung und Umzeichnung: A. v.M. |
| Kat. 2074–2076 | Zeichnung: M. G.; Umzeichnung: A. v.M. |
| Kat. 2077 | Zeichnung und Umzeichnung: A. v.M. |
| Kat. 2078–2080 | Zeichnung: M. G.; Umzeichnung: A. v.M. |
| Kat. 2081 | Zeichnung und Umzeichnung: A. v.M. |
| Kat. 2082 | Zeichnung: M. G.; Umzeichnung: A. v.M. |
| Kat. 2083–2085 | Zeichnung und Umzeichnung: A. v.M. |
| Kat. 2086 | Zeichnung: M. G.; Umzeichnung: A. v.M. |
| Kat. 2087 | Zeichnung und Umzeichnung: A. v.M. |
| Kat. 2088 | Zeichnung: M. G.; Umzeichnung: A. v.M. |
| Kat. 2089–2097 | Zeichnung und Umzeichnung: A. v.M. |
| Kat. 2098. 2099 | Zeichnung: M. G.; Umzeichnung: A. v.M. |
| Kat. 2100 | Zeichnung und Umzeichnung: A. v.M. |
| Kat. 2101. 2102 | Zeichnung: M. G.; Umzeichnung: A. v.M. |
| Kat. 2103 | Zeichnung und Umzeichnung: A. v.M. |
| Kat. 2104 | Zeichnung: M. G.; Umzeichnung: A. v.M. |
| Kat. 2105. 2106 | Zeichnung und Umzeichnung: A. v.M. |
| Kat. 2107–2118 | Zeichnung: M. G.; Umzeichnung: A. v.M. |
| Kat. 2119–2521 | Zeichnung und Umzeichnung: A. v.M. |

| Fototafeln | Nachweis |
|--|-----------------|
| Keramik | |
| Kat. 28. 43. 57. 127. 147. 159. 205. 213. 224. 229. 245. 250. 338–340. 382. 386. 395. 402. 404. 446. 515. 518. 573. 657. 702. 771. 784. 814. 816. 854. 876. 881. 884. 894. 896. 911. 941. 1017. 1034. 1047. 1108. 1122. 1162. 1211. 1303. 1373. 1406. 1467. 1501. 1506. 1558. 1564. 1579. 1584. 1678. 1726. 1807. 1812. 1824. 1847. 1865. 1868. 1871. 1878. 1910. 2119. 2145. 2155. 2163. 2164. 2169. 2184. 2190. 2202. 2213. 2216. 2218. 2220. 2221. 2243. 2244. 2246. 2258. 2264. 2297. 2324. 2325. 2328. 2329. 2332. 2334. 2335–2337. 2346. 2355. 2360. 2376–2378. 2386. 2394. 2395. 2415–2417. 2425–2428. 2437. 2449. 2463. 2468. 2473. 2479. 2480. 2494. 2500. 2504. 2508. 2518 | N. G. |
| Kat. 60. 96. 154. 228. 316. 324. 471. 485. 559. 607. 670. 828. 847. 891. 903. 1052. 1068. 1176. 1181. 1200. 1201. 1203. 1204. 1431. 1490. 1517. 1554. 1576. 1631. 1666. 1682. 1727. 1752. 2053. 2071. 2073. 2085. 2105. 2106 | A. v.M. |
| Kleinfunde | |
| Kat. 247. 257. 258. 341. 706. 707. 718. 833. 946. 974. 976. 1212. 1325. 1436. 1711. 1712. 1836. 2499 | N. G. |
| Ziegel | |
| Kat. 1258. 1324 | A. v.M. |

| Typentafel | Nachweis |
|------------|----------|
| 1–8 | A. v.M. |

| Textabbildung | Nachweis |
|---------------|--|
| 1 | Kerschner – Schlotzhauer 2005, 8 |
| 2 | A. v.M. |
| 3, 4 | Zeichnung und Umzeichnung: A. v.M. |
| 5 | Zeichnung: M. K., A. v.M., W. M.; Umzeichnung: A. v.M. |
| 6–12 | Zeichnung und Umzeichnung: A. v.M. |
| 13 | Zeichnung: M. K.; Umzeichnung: A. v.M. |
| 14, 15 | Zeichnung und Umzeichnung: A. v.M. |
| 16 | Zeichnung: A. v.M., W. M.; Umzeichnung: A. v.M. |
| 17 | Zeichnung: W. M.; Umzeichnung: A. v.M. |
| 18 | Zeichnung und Umzeichnung: A. v.M. |
| 19 | Zeichnung: M. K.; Umzeichnung: A. v.M. |
| 20 | Zeichnung und Umzeichnung: A. v.M. |
| 21 | Zeichnung: M. K.; Umzeichnung: A. v.M. |
| 22–25 | Zeichnung und Umzeichnung: A. v.M. |
| 26 | Zeichnung: M. K.; Umzeichnung: A. v.M. |
| 27–29 | Zeichnung und Umzeichnung: A. v.M. |
| 30 | Zeichnung: W. M.; Umzeichnung: A. v.M. |
| 31, 32 | Zeichnung und Umzeichnung: A. v.M. |
| 33 | Zeichnung: W. M.; Umzeichnung: A. v.M. |
| 34–36 | Zeichnung und Umzeichnung: A. v.M. |
| 37 | Zeichnung: W. M.; Umzeichnung: A. v.M. |
| 38 | Zeichnung und Umzeichnung: A. v.M. |
| 39 | Zeichnung: M. K.; Umzeichnung: I. B.-W. |
| 40 | Zeichnung: G. P.; Umzeichnung: I. B.-W. |
| 41 | Kartierung: M. K.; Ausführung: I. B.-W. |
| 42–68 | L. B. |

| Diagramm | Nachweis |
|----------|----------|
| 1–100 | A. v.M. |
| 101–103 | L. B. |

